برقی و مقناطیسیات

خالد خان یوسفزئی
کامسیٹ انسٹیٹیوٹ آف انفارمیشن ٹیکنالوجی، اسلام آباد
khalidyousafzai@comsats.edu.pk

عنوان

1 سمتیات 1

1.1 مقداری اور سمتیہ 1

1.2 سمتی الجبرا 2

1.3 کارتیسی محدد 3

1.4 اکائی سمتیات 5

1.5 میدانی سمتیہ 9

1.6 سمتی رقبہ 9

1.7 غیر سمتی ضرب 10

1.8 سمتی ضرب یا صلیبی ضرب 14

1.9 گول نلکی محدد 17

1.9.1 نلکی اکائی سمتیات کا کارتیسی اکائی سمتیات کے ساتھ غیر سمتی ضرب 20

1.9.2 نلکی اور کارتیسی اکائی سمتیات کا تعلق 20

1.9.3 نلکی لامحدود سطحیں 25

1.10 کروی محدد 27

2 کولومب کا قانون 39

2.1 قوت کشش یا دفع 39

2.2 برقی میدان کی شدت 43

2.3 یکساں چارج بردار سیدھی لامحدود لکیر کا برقی میدان 46

2.4 یکساں چارج بردار ہموار لامحدود سطح 51

2.5 چارج بردار حجم 55

2.6 مزید مثال 56

2.7 برقی میدان کے سمت بہاو خط 64

3 گاؤس کا قانون اور پھیلاو 69 26
3.1 ساکن چارج 69 27
3.2 فیراڈے کا تجربہ 69 28
3.3 گاؤس کا قانون 70 29
3.4 گاؤس کے قانون کا استعمال 72 30
3.4.1 نقطہ چارج 72 31
3.4.2 یکساں چارج بردار کروی سطح 74 32
3.4.3 یکساں چارج بردار سیدھی لامحدود لکیر 74 33
3.5 ہم محوری تار 75 34
3.6 یکساں چارج بردار ہموار لامحدود سطح 77 35
3.7 انتہائی چھوٹی حجم پر گاؤس کے قانون کا اطلاق 77 36
3.8 پھیلاو 80 37
3.9 نلکی محدد میں پھیلاو کی مساوات 82 38
3.10 پھیلاو کی عمومی مساوات 84 39
3.11 مسئلہ پھیلاو 86 40

4 توانائی اور برقی دباو 93 41
4.1 توانائی اور کام 93 42
4.2 لکیری تکملہ 94 43
4.3 برقی دباو 99 44
4.3.1 نقطہ چارج کا برقی دباو 100 45
4.3.2 لکیری چارج کثافت سے پیدا برقی دباو 101 46
4.3.3 ہم محوری تار کا برقی دباو 102 47
4.4 متعدد نقطہ چارجوں کی برقی دباو 102 48
4.5 برقی دباو کی ڈھلوان 106 49
4.5.1 نلکی محدد میں ڈھلوان 110 50
4.5.2 کروی محدد میں ڈھلوان 111 51
4.6 جفت قطب 112 52
4.6.1 جفت قطب کے سمت بہاو خط 114 53
4.7 ساکن برقی میدان کی کثافت توانائی 117 54

5 موصل، ذو برق اور کپیسٹر 125

5.1 برقی رو اور کثافت برقی رو 125

5.2 استمراری مساوات 127

5.3 موصل 129

5.4 موصل کے خصوصیات اور سرحدی شرائط 134

5.5 عکس کی ترکیب 137

5.6 نیم موصل 140

5.7 ذو برق 141

5.8 کامل ذو برق کے سرحد پر برقی شرائط 146

5.9 موصل اور ذو برقی کے سرحدی شرائط 150

5.10 کپیسٹر 150

5.10.1 متوازی چادر کپیسٹر 152

5.10.2 ہم محوری کپیسٹر 153

5.10.3 ہم محوری کرہ کپیسٹر 153

5.11 سلسلہ وار اور متوازی جڑے کپیسٹر 155

5.12 دو متوازی تاروں کا کپیسٹنس 156

6 پوئسن اور لاپلاس مساوات 169

6.1 مسئلہ یکتائی 171

6.2 لاپلاس مساوات خطی ہے 173

6.3 نلکی اور کروی محدد میں لاپلاس کی مساوات 173

6.4 لاپلاس مساوات کے حل 174

6.5 پوئسن مساوات کے حل کی مثال 181

6.6 لاپلاس مساوات کا ضربی حل 183

6.7 عددی دہرانے کا طریقہ 191

7 ساکن مقناطیسی میدان 199

7.1 بایوٹ-سیوارٹ کا قانون 199

7.2 ایمپیئر کا دوری قانون 204

7.3 گردش 210

7.3.1 نلکی محدد میں گردش 217

7.3.2 عمومی محدد میں گردش کی مساوات 222

7.3.3 کروی محدد میں گردش کی مساوات 224

7.4 مسئلہ سٹوکس 225

7.5 مقناطیسی بہاو اور کثافت مقناطیسی بہاو 228

7.6 غیر سمتی اور سمتی مقناطیسی دباو 235

7.7 ساکن مقناطیسی میدان کے قوانین کا حصول 240

7.7.1 سمتی مقناطیسی دباو 240

7.7.2 ایمپیئر کا دوری قانون 242

8 مقناطیسی قوتیں، مقناطیسی مادے اور امالہ 249

8.1 متحرک چارج پر قوت 249

8.2 تفرقی چارج پر قوت 250

8.3 برقی رو گزارتے تفرقی تاروں کے مابین قوت 254

8.4 قوت اور مروڑ 255

8.5 فولادی مقناطیسی اشیاء اور مقناطیسی خطے 261

8.6 مقناطیسیت اور مقناطیسی مستقل 262

8.7 مقناطیسی سرحدی شرائط 265

8.8 مقناطیسی دور 268

8.9 مقناطیسی مخفی توانائی 271

8.10 خود امالہ اور مشترکہ امالہ 271

8.11 مشترکہ امالہ 277

9 وقت کے ساتھ بدلتے میدان اور میکس ویل کے مساوات 283[104]

9.1 فیراڈے کا قانون . . . . . 283[105]

9.2 انتقالی برقی رو . . . . . 290[106]

9.3 میکس ویل مساوات کی نقطہ شکل . . . . . 296[107]

9.4 میکس ویل مساوات کی تکمل شکل . . . . . 298[108]

9.5 تاخیری دباو . . . . . 303[109]

10 مستوی امواج 311[110]

10.1 خالی خلاء میں برقی و مقناطیسی مستوی امواج . . . . . 311[111]

10.2 برقی و مقناطیسی مستوی امواج . . . . . 312[112]

10.2.1 خالی خلاء میں امواج . . . . . 320[113]

10.2.2 خالص یا کامل ذو برق میں امواج . . . . . 323[114]

10.2.3 ناقص یا غیر کامل ذو برقی میں امواج . . . . . 325[115]

10.3 پوئنٹنگ سمتیہ . . . . . 329[116]

10.4 موصل میں امواج . . . . . 334[117]

10.5 انعکاس مستوی موج . . . . . 340[118]

10.6 شرح ساکن موج . . . . . 346[119]

10.7 دو سرحدی انعکاس . . . . . 351[120]

10.7.1 فیبری-پیروٹ طیف پیما . . . . . 356[121]

10.7.2 $\eta_1 \neq \eta_3$ کی صورت میں ہم رکاوٹ صورت کا حصول . . . . . 358[122]

10.7.3 متعدد سرحدی مسئلہ . . . . . 359[123]

10.8 خطی، بیضوی اور دائری تقطیب . . . . . 360[124]

10.9 بیضوی یا دائری قطبی امواج کا پوئنٹنگ سمتیہ . . . . . 367[125]

11 ترسیلی تار 377126

11.1 ترسیلی تار کے مساوات 377127

11.2 ترسیلی تار کے مستقل 381128

11.2.1 ہم محوری تار کے مستقل 382129

11.2.2 دو متوازی تار کے مستقل 385130

11.2.3 سطح مستوی ترسیلی تار 386131

11.3 ترسیلی تار کے چند مثال 387132

11.4 ترسیمی تجزیہ، سمتھ نقشہ 395133

11.4.1 سمتھ فراوانی نقشہ 402134

11.5 تجرباتی نتائج پر مبنی چند مثال 404135

11.6 تجزیہ عارضی حال 408136

12 ترچھی آمد، انعکاس، انحراف اور انکسار 425137

12.1 ترچھی آمد 425138

12.2 قطبی موج کی ترچھی آمد 437139

12.3 ترسیم بائی گن 438140

13 مویج اور گھمکیا 443141

13.1 برقی دور، ترسیلی تار اور مویج کا موازنہ 443142

13.2 دو لامحدود وسعت کے مستوی چادروں کے مویج میں عرضی برقی موج 444143

13.3 کھوکھلا مستطیلی مویج 450144

13.3.1 مستطیلی مویج کے میدان پر تفصیلی غور 459145

13.4 مستطیلی مویج میں عرضی مقناطیسی TM_{mn} موج 466146

13.5 کھوکھلی نالی مویج 470147

13.6 انقطاعی تعدد سے کم تعدد پر تضعیف 477148

13.7 انقطاعی تعدد سے بلند تعدد پر تضعیف 479149

13.8 سطحی موج 481150

13.9 ذو برق تختی مویج 486151

13.10 شیش ریشہ 489152

13.11 پردہ بصارت 492153

13.12 گھمکی خلاء 494154

13.13 میکس ویل مساوات کا عمومی حل 497155

14 اینٹینا اور شعاعی اخراج 505[56]
14.1 تعارف 505[57]
14.2 تاخیری دباو 505[58]
14.3 تکمل 507[59]
14.4 مختصر جفت قطبی اینٹینا 508[60]
14.5 مختصر جفت قطب کا اخراجی مزاحمت 516[61]
14.6 ٹھوس زاویہ 520[62]
14.7 اخراجی رقبہ، سمتیت اور افزائش 521[63]
14.8 قطاری ترتیب 528[64]
14.8.1 غیر سمتی، دو نقطہ منبع 528[65]
14.8.2 ضرب نقش 529[66]
14.8.3 ثنائی قطار 530[67]
14.8.4 یکساں طاقت کے متعدد رکن پر مبنی قطار 532[68]
14.8.5 یکساں طاقت کے متعدد رکن پر مبنی قطار: چوڑائی جانب اخراجی قطار 534[69]
14.8.6 یکساں طاقت کے متعدد رکن پر مبنی قطار: لمبائی جانب اخراجی قطار 534[70]
14.8.7 یکساں طاقت کے متعدد رکن پر مبنی قطار: بدلتے زاویہ اخراجی اینٹینا 538[71]
14.9 تداخُل پیما 539[72]
14.10 مسلسل خطی اینٹینا 540[73]
14.11 مستطیل سطحی اینٹینا 541[74]
14.12 اخراجی سطح پر میدان اور دور میدان آپس کے فوریئر بدل ہیں 544[75]
14.13 خطی اینٹینا 544[76]
14.14 چلتے موج اینٹینا 549[77]
14.15 چھوٹا گھیرا اینٹینا 550[78]
14.16 پیچ دار اینٹینا 551[79]
14.17 دو طرفہ کردار 553[80]
14.18 جھری اینٹینا 555[81]
14.19 پیپا اینٹینا 556[82]
14.20 فرائس ریڈار مساوات 558[83]
14.21 ریڈیائی دوربین، اینٹینا کی حرارت اور تحلیلی کارکردگی 561[84]
14.22 حرارت نظام اور حرارت بعید 563[85]
15 سوالات 565[86]

باب 1

سمتیات

1.1 مقداری اور سمتیہ

وہ طبعی مقدار جس کے مکمل اظہار کے لئے سمت کی ضرورت نہیں ہوتی مقداری[1] کہلاتا ہے۔ کسی چیز کی کمیت m یا اس کا درجہ حرارت T مقداری کی مثالیں ہیں۔ مقداری کی قیمت اٹل یا متغیر ممکن ہے۔ کمیت اٹل مقداری کی مثال ہے۔ متغیر مقداری کی قیمت مختلف اوقات اور نقاط پر مختلف ہو سکتی ہے۔ یوں کسی بھی نقطے پر درجہ حرارت کی قیمت وقت t کے ساتھ تبدیل ہو سکتی ہے۔ اسی طرح کسی بھی وقت مختلف نقاط پر درجہ حرارت کی قیمت مختلف ہو سکتی ہے۔ یوں اگر صبح کے وقت اسلام آباد میں کسی مقام پر درجہ حرارت 12 °C ہو تو دوپہر کو اسی مقام پر درجہ حرارت 30 °C ہو سکتا ہے۔ درجہ حرارت T، وقت t، کارتیسی محدد[2] کے متغیرات x، y اور z تمام مقداری متغیرات ہیں۔

ایسی طبعی مقدار جسے بیان کرنے کے لئے سمت درکار ہو سمتیہ[3] کہلاتا ہے۔ اس کتاب میں سمتیہ کی قیمت (یا طول) کو مثبت تصور کیا جائے گا۔ یوں سمتیہ کی حتمی قیمت ہی اس کی مقدار ہو گی۔ سمتیہ کی مثالیں قوت، سمتی رفتار اور سمتی اسراع ہیں۔

اس کتاب میں مقداری متغیرات کو سادہ طرز کی لکھائی میں انگریزی یا لاطینی زبان کے چھوٹے حروف مثلاً a، b، α، $\cdots$ یا بڑے حروف مثلاً A، B، Ψ، $\cdots$ سے ظاہر کیا جائے گا۔ سمتیہ متغیرات کو موٹی لکھائی میں انگریزی یا لاطینی زبان کے چھوٹے یا بڑے حروف سے ظاہر کیا جائے گا۔ یوں قوت کو $\mathbf{F}$ جبکہ سمتی رفتار کو $\mathbf{v}$ سے ظاہر کیا جائے گا۔ قلم و کاغذ استعمال کرتے ہوئے سمتیہ پر تیر یا آدھے تیر کا نشان بنایا جاتا ہے یوں قوت کو $\vec{F}$ یا $\overrightarrow{F}$ لکھا جاتا ہے۔ سمتیہ کو تیر سے ظاہر کیا جاتا ہے جہاں تیر کی لمبائی سمتیہ کی حتمی قیمت $|\mathbf{F}|$ ظاہر کرتی ہے جبکہ سمتیہ کی سمت تیر کی سمت سے ظاہر کی جاتی ہے۔ سمتیہ کی حتمی قیمت کو سمتیہ ظاہر کرنے والے حرف کو سادہ لکھائی میں لکھ کر ظاہر کیا جاتا ہے۔ یوں قوت $\mathbf{F}$ کی حتمی قیمت کو F لکھا جائے گا۔

شکل 1.1 میں نقطہ $(1,1)$ پر پانی کی رفتار کو سمتیہ $\mathbf{v}$ سے ظاہر کیا گیا ہے۔ اس نقطے پر مثبت افقی محور کی سمت میں پانی کی رفتار $2.5\,\frac{\mathrm{m}}{\mathrm{s}}$ ہے۔ سمتیہ کی دُم اس مقام پر رکھی جاتی ہے جہاں سمتیہ کی قیمت بیان کی جا رہی ہو۔ یوں شکل میں سمتیہ کی دُم $(1,1)$ پر رکھی گئی ہے۔ اس شکل میں 1 cm کی لمبائی $1\,\frac{\mathrm{m}}{\mathrm{s}}$ کی رفتار کو ظاہر کرتی ہے۔

---

[1] scalar
[2] Cartesian coordinates
[3] vector

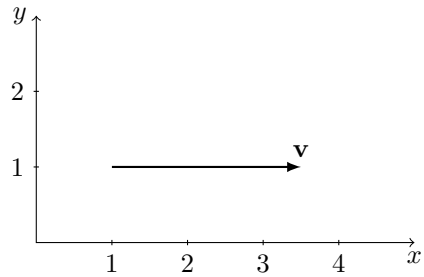

شکل 1.1: سمتیہ

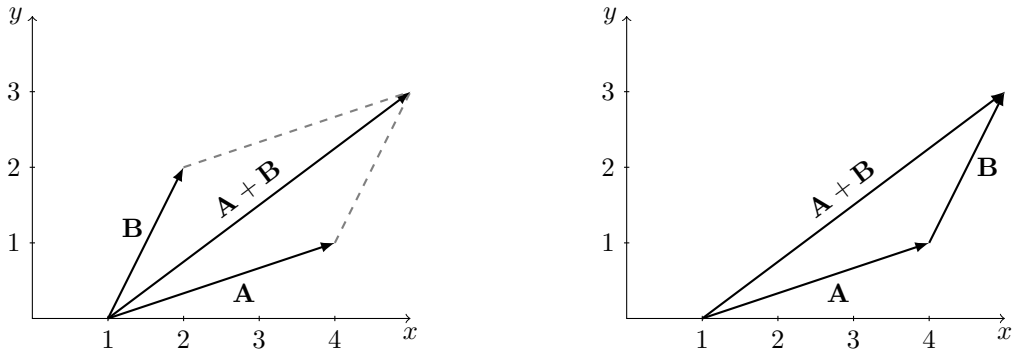

(ا) سر کے ساتھ دُم جوڑ کر مجموعہ حاصل کیا جاتا ہے۔

(ب) متوازی الاضلاع سے بھی مجموعہ حاصل کیا جاتا ہے۔

شکل 1.2: سمتیوں کے مجموعے کا حصول

1.2 سمتی الجبرا

205

دو سمتیوں کا ترسیمی مجموعہ حاصل کرنے کی خاطر ایک سمتیہ کے سر کو دوسری سمتیہ کے دُم کے ساتھ ملایا جاتا ہے۔پہلی سمتیہ کی دُم سے دوسری سمتیہ کے سر تک سمتیہ حاصل جمع ہو گا۔اس عمل کو شکل 1.2-الف میں دکھایا گیا ہے۔شکل میں $\mathbf{A}$ کے سر کے ساتھ $\mathbf{B}$ کی دُم ملائی گئی ہے۔دو سے زیادہ سمتیوں کا مجموعہ بھی اسی عمل کو استعمال کرتے ہوئے حاصل کیا جاتا ہے۔اس عمل کو سر سے دُم جوڑنا[4] کہتے ہیں۔شکل 1.2-ب میں دو سمتیوں کے دُم ملا کر سمتیوں کے متوازی الاضلاع[5] سے ان کا مجموعہ حاصل کرنا دکھایا گیا ہے جسے دیکھ کر صاف ظاہر ہے کہ $\mathbf{A}+\mathbf{B}=\mathbf{B}+\mathbf{A}$ ہے یعنی سمتیوں کا مجموعہ قانون تبادل[6] پر پورا اترتا ہے۔اسی طرح سمتیوں کا مجموعہ قانون تلازمی[7]

$$\mathbf{A}+(\mathbf{B}+\mathbf{C})=(\mathbf{A}+\mathbf{B})+\mathbf{C} \tag{1.1}$$

پر بھی پورا اترتا ہے۔

206

سمتیوں کے تفریق کا اصول جمع کے اصول سے حاصل کیا جا سکتا ہے۔ہم $\mathbf{A}-\mathbf{B}$ کو $\mathbf{A}+(-\mathbf{B})$ لکھ سکتے ہیں جہاں $-\mathbf{B}$ سے مراد یہ ہے کہ سمتیہ $\mathbf{B}$ کی سمت الٹی کر دی گئی ہے۔یوں $\mathbf{A}-\mathbf{B}$ حاصل کرنے کی خاطر $\mathbf{B}$ کی سمت الٹی کرتے ہوئے اس نئے سمتیہ کو $\mathbf{A}$ کے ساتھ جمع کیا جاتا ہے۔

سمتیہ $\mathbf{A}$ کو مثبت مقداری k سے ضرب دینے سے سمتیہ کی سمت پر کوئی اثر نہیں ہوتا جبکہ اس کی لمبائی k گنا ہو جاتی ہے۔اس کے برعکس سمتیہ $\mathbf{A}$ کو منفی مقداری $-k$ سے ضرب دینے سے سمتیہ کی سمت الٹ ہو جاتی ہے اور اس کی لمبائی $|k|$ گنا ہو جاتی ہے۔

210

[4] head to tail rule
[5] parallelogram law
[6] commutative law
[7] associative law

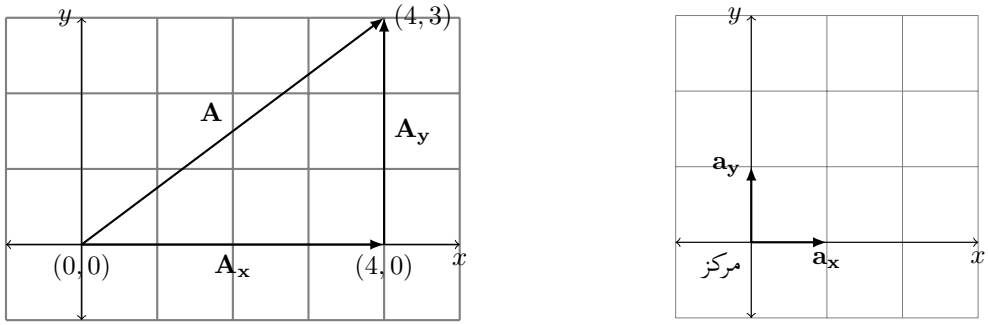

(ا) اکائی سمتیہ

(ب) اکائی سمتیوں کی مدد سے کسی بھی سمتیہ کو ظاہر کیا جا سکتا ہے۔

شکل 1.3: اکائی سمتیہ اور ان کا استعمال

دو سمتیے اُس صورت میں برابر ہوتے ہیں جب ان کا تفریق صفر کے برابر ہو یعنی $\boldsymbol{A} = \boldsymbol{B}$ تب ہو گا جب $\boldsymbol{A} - \boldsymbol{B} = 0$ ہو۔

سمتی میدان کے متغیرات کو ہم آپس میں جمع یا منفی صرف اُس صورت کریں گے جب یہ متغیرات ایک ہی نقطے پر بیان کئے گئے ہوں۔یوں کسی بھی نقطے پر دو یا دو سے زیادہ مقناطیسوں کا اجتماعی مقناطیسی میدان حاصل کرتے ہوئے اس نقطے پر تمام مقناطیسوں کا علیحدہ علیحدہ مقناطیسی میدان لیتے ہوئے ان کا مجموعہ لیا جائے گا۔

اگر سمتی میدان کی بات نہ ہو رہی ہو تب مختلف مقامات پر پائے جانے والے سمتیوں کا بھی مجموعہ یا فرق لیا جا سکتا ہے۔یوں سمندر کے پانی میں ڈوبے آب دوز کی اوپر اور نچلی سطح پر قوت کا مجموعہ حاصل کرتے ہوئے ہم یہ معلوم کر سکتے ہیں کہ آیا یہ مزید ڈوبے گا یا نہیں۔

1.3 کارتیسی محدد

ایسا طریقہ جس سے کسی نقطے کا مقام بیان کیا جائے محدد[8] کہلاتا ہے۔سیدھی سطح پر کسی بھی نقطے کو دو محدد سے ظاہر کیا جا سکتا ہے۔خلاء تین طرفہ[9] ہے لہٰذا خلاء میں کسی بھی نقطے کو تین محدد سے ظاہر کیا جا سکتا ہے۔شکل 1.3-الف میں دو طرفہ کارتیسی محدد پر اکائی لمبائی کے دو سمتیات $\boldsymbol{a}_\mathrm{x}$ اور $\boldsymbol{a}_\mathrm{y}$ دکھائے گئے ہیں۔اکائی سمتیہ $\boldsymbol{a}_\mathrm{x}$ کی سمت مثبت x جانب کو ہے جبکہ $\boldsymbol{a}_\mathrm{y}$ کی سمت مثبت y جانب کو ہے۔شکل-ب میں $\mathbf{A}$ دکھایا گیا ہے۔کسی بھی سمتیہ کو دو یا دو سے زیادہ سمتیوں کے مجموعے کی شکل میں لکھا جا سکتا ہے۔شکل میں $\boldsymbol{A}$ کو $\boldsymbol{A}_x$ اور $\boldsymbol{A}_y$ کے مجموعے کی شکل میں دکھایا گیا ہے یعنی

$$\boldsymbol{A} = \boldsymbol{A}_x + \boldsymbol{A}_y \tag{1.2}$$

زمین کی سطح کو لامحدود سیدھی سطح تصور کرتے ہوئے، اس کے ہم سطحی[10] دو عمودی لکیریں کھینچتے ہوئے ایک لکیر کو x محدد اور دوسری لکیر کو y محدد تصور کیا جا سکتا ہے۔زمین کے ہم سطحی لکیر سے مراد ایسی لکیر ہے جس پر ہر نقطہ اس سطح کو چھوتا ہے۔x محدد کے مثبت حصے سے گھڑی کی الٹ سمت گھومتے ہوئے نوے درجے پر y محدد کا مثبت حصہ رکھتے ہوئے اونچائی کو z محدد کے مثبت حصے سے ظاہر کیا جائے گا۔اب اگر اونچائی صفر رکھتے ہوئے x اور y کو تبدیل کیا جائے تو ہم زمین کی سطح پر حرکت کریں گے۔اس طرح ہم دیکھتے ہیں کہ زمین کی سطح پر $z = 0$ جبکہ اس پر x اور y آزاد متغیرات ہیں۔یوں زمین کی سطح کو $z = 0$ سطح کہتے ہیں جسے

$$z = 0, \quad x \leq |\mp\infty|, \quad y \leq |\mp\infty|$$

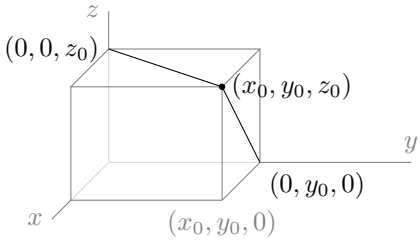

(ب) نقطے سے محدد پر عمود۔

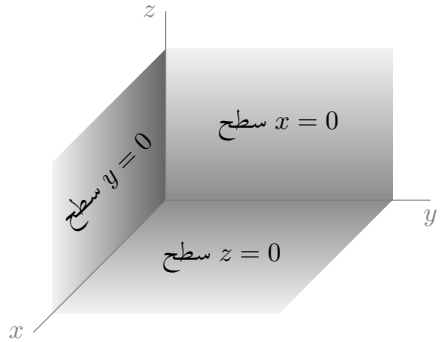

(ا) کارتیسی محدد میں عمودی سیدھی سطحیں۔

شکل 1.4: کارتیسی نظام میں نقطہ اور تین عمودی سطحیں۔

لکھا جا سکتا ہے۔ شکل 1.4-الف میں اس سطح کی نشاندہی کی گئی ہے۔ہم بالکل اسی طرح $y=0$ سطح اور $x=0$ سطح بھی بیان کر سکتے ہیں۔

شکل 1.4-ب کو دیکھتے ہوئے آگے پڑھیں۔ کارتیسی محدد میں کسی بھی نقطے کو (x_0,y_0,z_0) لکھا جا سکتا ہے۔اس نقطے تک پہنچنے کی خاطر کارتیسی محدد کے مرکز سے پہلے x محدد کے متوازی x_0 فاصلہ طے کرتے ہوئے $(x_0,0,0)$ تک پہنچیں۔اس کے بعد y محدد کے متوازی y_0 فاصلہ طے کرتے ہوئے $(x_0,y_0,0)$ تک پہنچیں اور آخرکار z محدد کے متوازی z_0 فاصلہ طے کرتے ہوئے درکار نقطہ (x_0,y_0,z_0) تک پہنچیں۔اس عمل میں یہ ضروری نہیں کہ پہلے x محدد کے متوازی ہی چلا جائے۔آپ مرکز سے پہلے y محدد کے متوازی y_0 فاصلہ طے کرنے کے بعد z محدد کے متوازی z_0 اور آخرکار x محدد کے متوازی x_0 فاصلہ طے کرتے ہوئے بھی اسی نقطے تک پہنچ سکتے ہیں۔تینوں فاصلوں کو کسی بھی ترتیب سے طے کیا جا سکتا ہے۔

نقطہ (x_0,y_0,z_0) سے x محدد پر عمود بناتے ہوئے $(x_0,0,0)$ حاصل ہوتا ہے۔اسی طرح اس نقطے سے y محدد پر عمود $(0,y_0,0)$ اور z محدد پر عمود $(0,0,z_0)$ دیتا ہے۔نقطہ (x_0,y_0,z_0) سے y محدد اور z محدد پر عمودی لکیریں گہری سیاہی میں دکھائے گئے ہیں۔اگر (x_0,y_0,z_0) سے شروع ہوتے ہوئے z محدد کے متوازی یوں چلا جائے کہ آخرکار $z=0$ ہو جائے تو نقطہ $(x_0,y_0,0)$ حاصل ہو گا۔اب اگر یہاں سے x محدد کے متوازی یوں چلا جائے کہ آخرکار $x=0$ ہو جائے تو نقطہ $(0,y_0,0)$ حاصل ہو گا۔یہ وہی نقطہ ہے جو (x_0,y_0,z_0) سے y محدد پر عمودی لکیر بناتے ہوئے حاصل ہوتا ہے۔اس عمل میں ہم پہلے x محدد کے متوازی چلتے ہوئے $x=0$ کرنے کے بعد z محدد کے متوازی چلتے ہوئے $z=0$ کرتے ہوئے بھی نقطہ $(0,y_0,0)$ تک پہنچ سکتے تھے۔

نقطہ (x_0,y_0,z_0) تک قدر مختلف انداز سے بھی پہنچا جا سکتا ہے جسے کارتیسی محدد میں سمجھنا زیادہ آسان ہے۔فرض کریں کہ $x=x_0$ پر لامحدود yz سیدھی سطح بنائی جائے۔ایسی سطح کو $x=x_0$ سطح کہتے ہیں۔اس سطح کو

$$x=x_0,\quad y\leq|\mp\infty|,\quad z\leq|\mp\infty|$$

لکھا جا سکتا ہے۔اس مساوات میں x_0 مقررہ ہے جبکہ y اور z متغیرات ہیں۔دو متغیرات کی مساوات سطح کو ظاہر کرتی ہے۔اگر $y=y_0$ پر لامحدود xz سیدھی سطح بنائی جائے تو یہ دو سطحے آپس میں سیدھی لکیر پر ملیں گے۔یہ لکیر

$$x=x_0,\quad y=y_0,\quad z\leq|\mp\infty|$$

لکھی جا سکتی ہے۔اس مساوات میں x_0 اور y_0 مقررہ ہیں جبکہ z متغیرہ ہے۔ایک متغیرہ کی مساوات لکیر کو ظاہر کرتی ہے۔اب اگر $z=z_0$ پر لامحدود xy سیدھی سطح بھی بنائی جائے تب یہ تینوں سطحے ایک نقطے $N(x_0,y_0,z_0)$ پر آپس کو چھوئینگے۔یہ صورت حال شکل 1.5 میں دکھائی گئی ہے جہاں لامحدود سطحوں کے کچھ حصے دکھائے گئے ہیں۔آپ دیکھیں گے کہ نقطے تک پہنچنے کا یہ طریقہ دیگر محدد میں استعمال کرنا لازمی ثابت ہو گا۔

[8] coordinates
[9] three dimensional
[10] coplanar

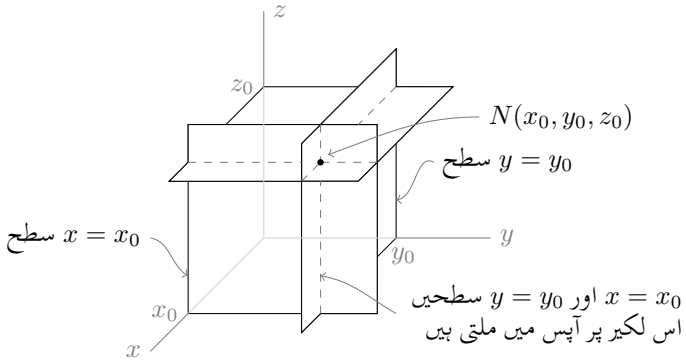

شکل 1.5: تین عمودی سطحوں سے نقطے کا حصول۔

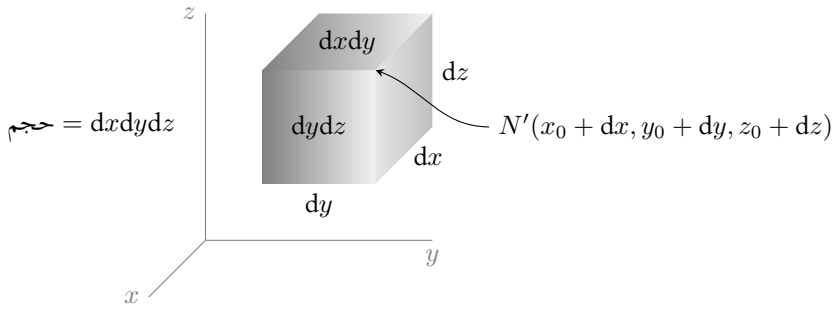

شکل 1.6: چھ سطحے مکعب گھیرتی ہیں۔

اگر سطح $x = x_0$ کے متوازی $x = x_0 + \mathrm{d}x$ پر اور اسی طرح $y = y_0$ کے متوازی $y = y_0 + \mathrm{d}y$ اور $z = z_0$ کے متوازی $z = z_0 + \mathrm{d}z$ سطح رکھے جائیں تو یہ چھ سطحے ایک چھوٹی مکعب نما حجم کو گھیریں گی جسے شکل 1.6 میں دکھایا گیا ہے جبکہ یہ تین نئی سطحیں آپس میں نقطہ $N'(x_0 + \mathrm{d}x, y_0 + \mathrm{d}y, z_0 + \mathrm{d}z)$ پر ملیں گی۔ اس مکعب نما کے اطراف $\mathrm{d}x$، $\mathrm{d}y$ اور $\mathrm{d}z$ ہیں۔ اس کی اوپر والی سطح کا رقبہ $\mathrm{d}x\,\mathrm{d}y$ ہے اسی طرح اس کی نچلی سطح کا رقبہ بھی $\mathrm{d}x\,\mathrm{d}y$ ہے۔ سامنے سطح اور پچھلی سطح دونوں $\mathrm{d}y\,\mathrm{d}z$ رقبے رکھتے ہیں جبکہ بائیں اور دائیں سطحوں کے رقبے $\mathrm{d}x\,\mathrm{d}z$ کے برابر ہیں۔ اس مکعب نما کی حجم $\mathrm{d}x\,\mathrm{d}y\,\mathrm{d}z$ ہے۔ نقطہ $N'(x_0 + \mathrm{d}x, y_0 + \mathrm{d}y, z_0 + \mathrm{d}z)$ شکل میں دکھایا گیا ہے جبکہ نقطہ $N(x_0, y_0, z_0)$ مکعب نما کا وہ واحد کونا ہے جسے شکل میں نہیں دکھایا گیا۔ ان دو نقطوں کے درمیان فاصلہ $NN' = \sqrt{\mathrm{d}x^2 + \mathrm{d}y^2 + \mathrm{d}z^2}$ ہے۔

کارتیسی محدد کے تینوں متغیرات تبدیل کرنے سے ہم N سے N' پہنچتے ہیں۔ N سے N' تک کی سمتیہ

$$\mathrm{d}\boldsymbol{L} = \mathrm{d}x\boldsymbol{a}_\mathrm{x} + \mathrm{d}y\boldsymbol{a}_\mathrm{y} + \mathrm{d}z\boldsymbol{a}_\mathrm{z} \tag{1.3}$$

لکھی جاتی ہے۔ یہ مساوات کسی بھی دو قریبی نقطوں کے درمیان سمتی لمبائی دیتی ہے۔

1.4 اکائی سمتیات

حصہ 1.3 کے شروع میں دو طرفہ کارتیسی نظام میں سیدھی سطح پر کسی بھی سمتیہ کو دو سمتیات کی صورت میں لکھنا دکھایا گیا۔ یہی طریقہ تین طرفہ کارتیسی نظام کے لئے بھی استعمال کیا جاتا ہے۔ تین طرفہ کارتیسی نظام کے تین اکائی سمتیات $\boldsymbol{a}_\mathrm{x}$، $\boldsymbol{a}_\mathrm{y}$ اور $\boldsymbol{a}_\mathrm{z}$ لکھے جاتے ہیں۔ یہ تینوں سمتیات آپس میں عمودی

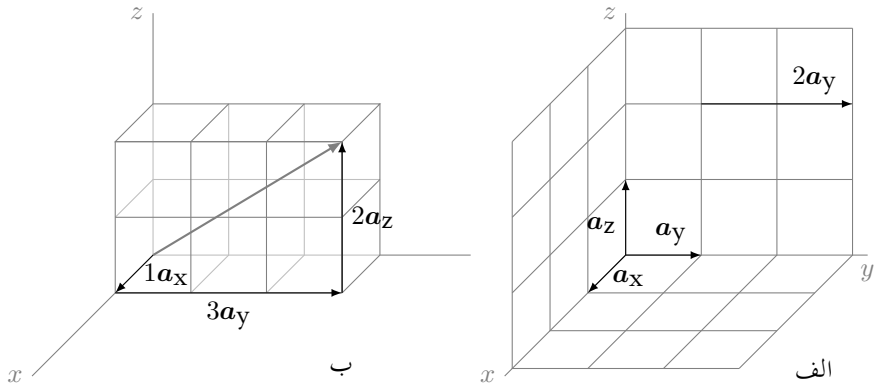

شکل 1.7: کارتیسی نظام کے اکائی سمتیات اور ان کا استعمال

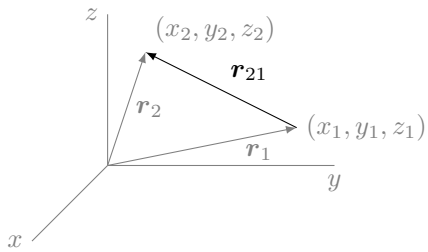

شکل 1.8: کارتیسی نظام میں سمتیہ کی مساوات کا حصول

ہیں۔کسی بھی اکائی سمتیہ کی طرح یہ تین اکائی سمتیات اکائی لمبائی رکھتے ہیں۔ $\boldsymbol{a}_\mathrm{x}$ کی سمت x محدد کے بڑھتے جانب کو ہے۔اسی طرح $\boldsymbol{a}_\mathrm{y}$ کی سمت y محدد کے بڑھتے جانب کو اور $\boldsymbol{a}_\mathrm{z}$ کی سمت z محدد کے بڑھتے جانب کو ہے۔شکل 1.7-الف میں یہ تینوں اکائی سمتیات دکھائے گئے ہیں۔اسی شکل میں نقطہ $(0,1,2)$ پر سمتیہ دکھایا گیا ہے جس کی لمبائی دو کے برابر ہے جبکہ یہ اکائی سمتیہ $\boldsymbol{a}_\mathrm{y}$ کی سمت میں ہے۔اس سمتیہ کو $2\boldsymbol{a}_\mathrm{y}$ لکھا جا سکتا ہے۔یاد رہے کہ ایسے دو سمتیات برابر ہوتے ہیں جن کا طول برابر ہو اور جو ایک ہی سمت میں ہوں۔یوں سمت تبدیل کئے بغیر سمتیہ کو کارتیسی محدد کے مرکز منتقل کرتے ہوئے اس کی قیمت نسبتاً آسانی سے لکھی جا سکتی ہے۔

شکل 1.8 میں مرکز سے (x_1, y_1, z_1) تک سمتیہ $\boldsymbol{r}_1 = x_1\boldsymbol{a}_\mathrm{x} + y_1\boldsymbol{a}_\mathrm{y} + z_1\boldsymbol{a}_\mathrm{z}$ اور مرکز سے (x_2, y_2, z_2) تک سمتیہ $\boldsymbol{r}_2 = x_2\boldsymbol{a}_\mathrm{x} + y_2\boldsymbol{a}_\mathrm{y} + z_2\boldsymbol{a}_\mathrm{z}$ دکھائے گئے ہیں۔شکل میں سمتیہ $\boldsymbol{r}_{21}$ بھی دکھائی گئی ہے جس کی دُم (x_1, y_1, z_1) اور نوک (x_2, y_2, z_2) پر ہے۔سر سے دُم جوڑنے

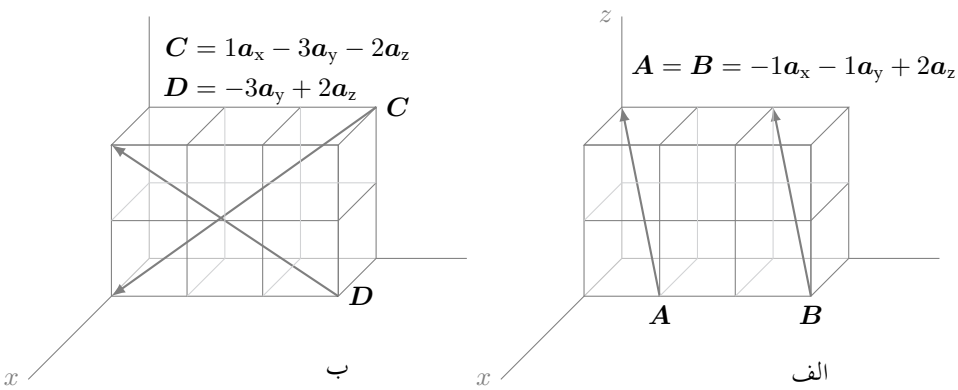

شکل 1.9: کارتیسی نظام میں چند سمتیات۔

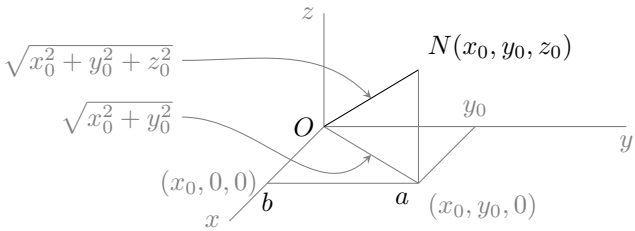

شکل 1.10: کارتیسی نظام میں سمتیہ کا طول۔

کے اصول کے استعمال سے $\boldsymbol{r}_2 = \boldsymbol{r}_{21} + \boldsymbol{r}_1$ لکھا جا سکتا ہے جس سے

$$\begin{aligned} \boldsymbol{r}_{21} &= \boldsymbol{r}_2 - \boldsymbol{r}_1 \\ &= (x_2 - x_1)\boldsymbol{a}_\mathrm{x} + (y_2 - y_1)\boldsymbol{a}_\mathrm{y} + (z_2 - z_1)\boldsymbol{a}_\mathrm{z} \end{aligned} \tag{1.4}$$

حاصل ہوتا ہے۔اس مساوات کے استعمال سے سمتیہ کی مساوات باآسانی حاصل ہوتی ہے۔سمتیہ $\boldsymbol{r}_{21}$ لکھتے ہوئے زیر نوشت میں سمتیہ کی نوک کو 2 اور اس کی دُم کو 1 سے ظاہر کیا گیا ہے۔اس کتاب میں سمتیہ لکھتے ہوئے نوک اور دُم کو اسی ترتیب سے زیر نوشت میں لکھا جائے گا۔یوں سمتیہ $\boldsymbol{r}_{21}$ کو تین اجزاء $(x_2 - x_1)\boldsymbol{a}_\mathrm{x}$، $(y_2 - y_1)\boldsymbol{a}_\mathrm{y}$ اور $(z_2 - z_1)\boldsymbol{a}_\mathrm{z}$ کے مجموعے کی شکل میں لکھا جا سکتا ہے۔

شکل 1.7-ب میں مرکز سے $(1, 3, 2)$ تک سمتیہ دکھایا گیا ہے۔آپ دیکھ سکتے ہیں کہ اس کو تین سمتیات کا مجموعہ لکھا جا سکتا ہے یعنی $1\boldsymbol{a}_\mathrm{x} + 3\boldsymbol{a}_\mathrm{y} + 2\boldsymbol{a}_\mathrm{z}$ جہاں اکائی سمتیات استعمال کرتے ہوئے تینوں اجزاء کو لکھا گیا ہے۔سمتیہ کی دُم $(0, 0, 0)$ اور اس کی نوک $(1, 3, 2)$ پر لیتے ہوئے یہی جواب مساوات 1.4 سے بھی حاصل ہوتا ہے۔

شکل 1.9-الف میں دو متوازی سمتیات $\boldsymbol{A}$ اور $\boldsymbol{B}$ دکھائے ہیں جن کی لمبائی برابر ہے۔چونکہ ان کی لمبائی برابر ہے اور یہ دونوں ایک ہی سمت میں ہیں لہٰذا $\boldsymbol{A} = \boldsymbol{B} = -1\boldsymbol{a}_\mathrm{x} - 1\boldsymbol{a}_\mathrm{y} + 2\boldsymbol{a}_\mathrm{z}$ لکھا جائے گا۔شکل 1.9-ب میں $\boldsymbol{C}$ کی دُم سے $\boldsymbol{a}_\mathrm{x}$ جانب ایک قدم اور یہاں سے $-\boldsymbol{a}_\mathrm{y}$ جانب تین قدم اور آخرکار $-\boldsymbol{a}_\mathrm{z}$ جانب دو قدم چلنے سے اس کی نوک تک پہنچا جا سکتا ہے لہٰذا $\boldsymbol{C} = 1\boldsymbol{a}_\mathrm{x} - 3\boldsymbol{a}_\mathrm{y} - 2\boldsymbol{a}_\mathrm{z}$ لکھا جائے گا۔اسی طرح $\boldsymbol{D}$ کی دُم سے $-\boldsymbol{a}_\mathrm{y}$ جانب تین قدم اور پھر $\boldsymbol{a}_\mathrm{z}$ جانب دو قدم چلتے ہوئے سمتیہ کی نوک تک پہنچا جایا سکتا ہے لہٰذا $\boldsymbol{D} = -3\boldsymbol{a}_\mathrm{y} + 2\boldsymbol{a}_\mathrm{z}$ لکھا جائے گا۔سمتیہ $\boldsymbol{D}$ کو دو اجزاء کی شکل میں لکھا گیا ہے چونکہ اس کے تیسرے جزو کی لمبائی صفر کے برابر ہے۔

مشق 1.1: مساوات 1.4 کے استعمال سے شکل 1.9 میں تمام سمتیات لکھیں۔

جوابات: تمام جوابات شکل میں دئے گئے ہیں۔

شکل 1.10 میں مرکز سے نقطہ $N(x_0, y_0, z_0)$ تک کا فاصلہ ON مسئلہ فیثاغورث[11] سے حاصل کیا جا سکتا ہے۔اس نقطے سے $z = 0$ سطح پر عمود سے نقطہ a حاصل ہوتا ہے۔نقطہ a سے x محدد پر عمود نقطہ b دیتا ہے۔تکون Oba میں O سے b کا فاصلہ x_0 ہے جبکہ b سے a کا فاصلہ y_0 ہے۔یوں فاصلہ Oa مسئلہ فیثاغورث کی مدد سے $\sqrt{x_0^2 + y_0^2}$ کے برابر ہو گا۔تکون OaN میں a پر $90°$ کا زاویہ پایا جاتا ہے۔یوں مسئلہ فیثاغورث کی مدد سے ON کا فاصلہ $\sqrt{x_0^2 + y_0^2 + z_0^2}$ حاصل ہوتا ہے۔

---

[11] Pythagoras theorem

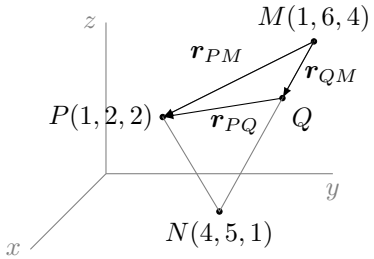

شکل 1.11: سمتیوں کا استعمال

مساوات 1.4 سمتیہ کی عمومی مساوات ہے۔اس میں دئے سمتیہ $\boldsymbol{r}_{21}$ کی دُم محدد کے مرکز پر رکھنے سے صاف ظاہر ہے کہ سمتیہ کی مقدار

$$|\boldsymbol{r}_{21}| = r_{21} = \sqrt{(x_2-x_1)^2+(y_2-y_1)^2+(z_2-z_1)^2} \tag{1.5}$$

کے برابر ہے۔اگر سمتیہ کو اس کی مقدار سے تقسیم کیا جائے تو حاصل جواب کی مقدار اکائی ہو گی جبکہ اس کی سمت میں کوئی تبدیلی رونما نہیں ہو گی۔یوں $\boldsymbol{r}_{21}$ کو $|\boldsymbol{r}_{21}|$ سے تقسیم کرتے ہوئے $\boldsymbol{r}_{21}$ کی سمت میں اکائی سمتیہ $\boldsymbol{a}_{r21}$ حاصل کی جا سکتی ہے۔

$$\boldsymbol{a}_{r21} = \frac{\boldsymbol{r}_{21}}{|\boldsymbol{r}_{21}|} = \frac{(x_2-x_1)\boldsymbol{a}_\mathrm{x}+(y_2-y_1)\boldsymbol{a}_\mathrm{y}+(z_2-z_1)\boldsymbol{a}_\mathrm{z}}{\sqrt{(x_2-x_1)^2+(y_2-y_1)^2+(z_2-z_1)^2}} \tag{1.6}$$

یاد رہے کہ سمتیہ کی سمت اور طول تبدیل کئے بغیر اسے ایک مقام سے دوسری مقام منتقل کیا جا سکتا ہے۔البتہ وہ سمتیہ جو کسی نقطے کی مقام تعین کرتا ہو کو اگر کہیں اور منتقل کیا جائے تو ایسی صورت میں سمتیہ کی نوک درکار نقطے پر نہیں رہے گی۔اسی حقیقت کی بنا پر میدان ظاہر کرنے والے سمتیہ کو اپنی جگہ سے نہیں ہٹایا جا سکتا۔میدانی سمتیہ کی دُم اس مقام پر پائی جاتی ہے جہاں میدان بیان کی جا رہی ہو۔

سمتیات کے استعمال سے نقطہ (x,y,z) کے مقام کو $\boldsymbol{r} = x\boldsymbol{a}_\mathrm{x}+y\boldsymbol{a}_\mathrm{y}+z\boldsymbol{a}_\mathrm{z}$ لکھا جاتا ہے۔کسی بھی سمتیہ مثلاً قوت $\boldsymbol{F}$ کو بالکل اسی طرح $\boldsymbol{F} = F_x\boldsymbol{a}_\mathrm{x}+F_y\boldsymbol{a}_\mathrm{y}+F_z\boldsymbol{a}_\mathrm{z}$ لکھا جاتا ہے جہاں $F_x\boldsymbol{a}_\mathrm{x}$، $F_y\boldsymbol{a}_\mathrm{y}$ اور $F_z\boldsymbol{a}_\mathrm{z}$ اس کے تین اجزاء ہیں۔اس طرح قوت کی مقدار $|\boldsymbol{F}| = \sqrt{F_x^2+F_y^2+F_z^2}$ کے برابر ہو گی۔

مثال 1.1: نقطہ $(-5,2,-1)$ کا مقام ظاہر کرنے والا سمتیہ اور اس سمتیہ کا طول حاصل کریں۔اسی سمتیہ کی سمت میں اکائی سمتیہ حاصل کریں۔

حل: مرکز سے اس نقطے تک کا سمتیہ $\boldsymbol{r} = -5\boldsymbol{a}_\mathrm{x}+2\boldsymbol{a}_\mathrm{y}-1\boldsymbol{a}_\mathrm{z}$ ہے جبکہ اس سمتیہ کا طول $|\boldsymbol{r}| = \sqrt{5^2+2^2+1^1} = \sqrt{30}$ ہے۔یوں اکائی سمتیہ $\boldsymbol{a}_r = \frac{-5\boldsymbol{a}_\mathrm{x}+2\boldsymbol{a}_\mathrm{y}-1\boldsymbol{a}_\mathrm{z}}{\sqrt{30}}$ ہو گا۔

مثال 1.2: شکل 1.11 میں تین نقطے $M(1,6,4)$، $N(4,5,1)$ اور $P(1,2,2)$ دئے گئے ہیں۔M اور N کے درمیان سیدھی لکیر پر M سے کل فاصلے کے $\frac{1}{3}$ پر نقطہ Q پایا جاتا ہے۔Q سے P تک سمتیہ حاصل کرتے ہوئے ان دو نقطوں کے درمیان فاصلہ معلوم کریں۔ حل: M سے N تک سمتیہ

$$\begin{aligned}\boldsymbol{r}_{NM} &= (4-1)\boldsymbol{a}_\mathrm{x}+(5-6)\boldsymbol{a}_\mathrm{y}+(1-4)\boldsymbol{a}_\mathrm{z}\\ &= 3\boldsymbol{a}_\mathrm{x}-1\boldsymbol{a}_\mathrm{y}-3\boldsymbol{a}_\mathrm{z}\end{aligned}$$

ہے۔M سے Q تک سمتیہ $\boldsymbol{r}_{QM}$ اور $\boldsymbol{r}_{NM}$ ایک ہی سمت میں ہیں جبکہ $|\boldsymbol{r}_{QM}| = \frac{1}{3}|\boldsymbol{r}_{NM}|$ کے برابر ہے۔یوں

$$\boldsymbol{r}_{QM} = \frac{1}{3}\boldsymbol{r}_{NM} = \frac{1}{3}(3\boldsymbol{a}_{\mathrm{x}} - 1\boldsymbol{a}_{\mathrm{y}} - 3\boldsymbol{a}_{\mathrm{z}}) = 1\boldsymbol{a}_{\mathrm{x}} - \frac{1}{3}\boldsymbol{a}_{\mathrm{y}} - 1\boldsymbol{a}_{\mathrm{z}}$$

ہو گا۔M سے P تک سمتیہ

$$\begin{aligned}\boldsymbol{r}_{PM} &= (1-1)\boldsymbol{a}_{\mathrm{x}} + (2-6)\boldsymbol{a}_{\mathrm{y}} + (2-4)\boldsymbol{a}_{\mathrm{z}}\\ &= -4\boldsymbol{a}_{\mathrm{y}} - 2\boldsymbol{a}_{\mathrm{z}}\end{aligned}$$

ہے۔شکل کو دیکھتے ہوئے ہم لکھ سکتے ہیں $\boldsymbol{r}_{QM} + \boldsymbol{r}_{PQ} = \boldsymbol{r}_{PM}$ لہٰذا

$$\begin{aligned}\boldsymbol{r}_{PQ} &= \boldsymbol{r}_{PM} - \boldsymbol{r}_{QM}\\ &= (-4\boldsymbol{a}_{\mathrm{y}} - 2\boldsymbol{a}_{\mathrm{z}}) - (1\boldsymbol{a}_{\mathrm{x}} - \frac{1}{3}\boldsymbol{a}_{\mathrm{y}} - 1\boldsymbol{a}_{\mathrm{z}})\\ &= -1\boldsymbol{a}_{\mathrm{x}} - \frac{11}{3}\boldsymbol{a}_{\mathrm{y}} - 1\boldsymbol{a}_{\mathrm{z}}\end{aligned}$$

ہو گا۔Q سے P تک فاصلہ $\sqrt{1^1 + \left(\frac{11}{3}\right)^2 + 1^2} = 3.93$ ہے۔

مشق 1.2: مثال 1.2 میں دئے نقطوں کو استعمال کرتے ہوئے M سے P تک سمتیہ حاصل کریں۔اسی طرح P سے N تک سمتیہ اور M سے N تک سمتیہ حاصل کریں۔پہلے دو جوابات کو استعمال کرتے ہوئے سر سے دُم جوڑنے کے اصول سے تیسرا سمتیہ دوبارہ حاصل کریں۔

جوابات: $-5\boldsymbol{a}_{\mathrm{x}} - 4\boldsymbol{a}_{\mathrm{y}}$، $-1\boldsymbol{a}_{\mathrm{x}} + 4\boldsymbol{a}_{\mathrm{y}} + 12\boldsymbol{a}_{\mathrm{z}}$ اور $-6\boldsymbol{a}_{\mathrm{x}} + 12\boldsymbol{a}_{\mathrm{z}}$

1.5 میدانی سمتیہ

لکھنا ہے

1.6 سمتی رقبہ

کسی بھی سطح کے دو اطراف ہوتے ہیں۔یوں سطح کے کسی بھی نقطے پر دو آپس میں الٹ سمتوں میں عمود بنائے جا سکتے ہیں۔سیدھی سطح جس کا رقبہ S ہو کے ایک طرف پر اکائی عمود $\boldsymbol{a}_N$ اور دوسری طرف پر اکائی عمود $-\boldsymbol{a}_N$ بنائے جا سکتے ہیں۔اگر ان دو عمود میں سے ایک عمود مثلاً $\boldsymbol{a}_N$ کو سطح کی سمت[12] تصور کیا جائے تب اس سطح کا سمتی رقبہ[13] $S\boldsymbol{a}_N$ ہو گا۔بند سطح کے بیرونی اکائی عمود کو سطح کی سمت تصور کیا جاتا ہے۔شکل 1.12 میں سمتی رقبے $\boldsymbol{A}_1$ اور $\boldsymbol{A}_2$ دکھائے گئے ہیں جہاں بند سطح کے بیرونی عمود کو ہی سطح کی سمت دکھایا گیا ہے۔

---

[12] عمود سطح کے ساتھ نوے درجہ زاویہ بناتا ہے۔$\boldsymbol{a}_N$ کے زیر نوشت میں N، لفظ نوے کے پہلے حرف کی آواز کو ظاہر کرتا ہے۔

[13] vector area

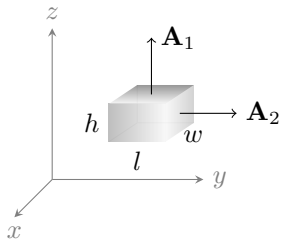

$$\mathbf{A}_1 = A_1\mathbf{a}_{N1} = wl\mathbf{a}_z$$
$$\mathbf{A}_2 = A_2\mathbf{a}_{N2} = wh\mathbf{a}_y$$

شکل 1.12: سمتی رقبہ

1.7 غیر سمتی ضرب

دو سمتیات $\boldsymbol{A}$ اور $\boldsymbol{B}$ کے غیر سمتی ضرب[14] سے مراد $\boldsymbol{A}$ کی مقدار ضربِ $\boldsymbol{B}$ کی مقدار ضربِ سمتیوں کے مابین چھوٹے زاویے کا کوسائن ہے۔

$$\boldsymbol{A}\cdot\boldsymbol{B} = |\boldsymbol{A}||\boldsymbol{B}|\cos\theta_{AB} \tag{1.7}$$

اگر دونوں سمتیات کی دُم ایک ہی جگہ پر نہ ہو تب ان کے مابین زاویہ دریافت کرنے کی خاطر سمتیوں کی سمت تبدیل کئے بغیر انہیں ایک نقطے پر منتقل کیا جا سکتا ہے۔ غیر سمتی ضرب دو سمتیوں کے مابین کیا جاتا ہے جبکہ اس کا حاصل جواب مقداری ہوتا ہے جس کی وجہ سے اسے مقداری ضرب بھی کہا جاتا ہے۔ غیر سمتی ضرب کو سمتیوں کے درمیان نقطے سے ظاہر کیا جاتا ہے۔ اسی وجہ سے اسے ضرب نقطہ[15] بھی کہا جاتا ہے۔ یوں $\boldsymbol{A}\cdot\boldsymbol{B}$ کو "$\boldsymbol{A}$ نقطہ $\boldsymbol{B}$" پڑھا جاتا ہے۔ بالکل سادہ ضرب کی طرح $\boldsymbol{A}\cdot\boldsymbol{B}$ کو $\boldsymbol{B}\cdot\boldsymbol{A}$ بھی لکھا جا سکتا ہے یعنی غیر سمتی ضرب میں متغیرات کی ترتیب اہمیت نہیں رکھتی۔

کارتیسی اکائی سمتیات $\boldsymbol{a}_\mathrm{x}$، $\boldsymbol{a}_\mathrm{y}$ اور $\boldsymbol{a}_\mathrm{z}$ آپس میں عمودی ہیں لہٰذا ان میں کسی بھی دو سمتیات کے درمیان 90 زاویہ پایا جاتا ہے۔ چونکہ $\cos 90 = 0$ کے برابر ہوتا ہے لہٰذا ان میں کسی بھی دو سمتیوں کا غیر سمتی ضرب صفر کے برابر ہوتا ہے یعنی

$$\boldsymbol{a}_\mathrm{x}\cdot\boldsymbol{a}_\mathrm{y} = 0, \quad \boldsymbol{a}_\mathrm{x}\cdot\boldsymbol{a}_\mathrm{z} = 0, \quad \boldsymbol{a}_\mathrm{y}\cdot\boldsymbol{a}_\mathrm{z} = 0 \tag{1.8}$$

ایک ہی سمت میں دو سمتیوں کے درمیان صفر زاویہ ہوتا ہے اور $\cos 0 = 1$ کے برابر ہے۔ اکائی سمتیہ کا طول بھی ایک کے برابر ہے لہٰذا مساوات 1.7 کے تحت $\boldsymbol{a}_\mathrm{x}$ اور $\boldsymbol{a}_\mathrm{x}$ کا غیر سمتی ضرب

$$\boldsymbol{a}_\mathrm{x}\cdot\boldsymbol{a}_\mathrm{x} = (|\boldsymbol{a}_\mathrm{x}|)(|\boldsymbol{a}_\mathrm{x}|)(\cos 0) = (1)(1)(1) = 1$$

ہو گا۔ بقایا دو کارتیسی اکائی سمتیات کا خود غیر سمتی ضرب بھی ایک کے برابر ہے۔

$$\boldsymbol{a}_\mathrm{x}\cdot\boldsymbol{a}_\mathrm{x} = 1, \quad \boldsymbol{a}_\mathrm{y}\cdot\boldsymbol{a}_\mathrm{y} = 1, \quad \boldsymbol{a}_\mathrm{z}\cdot\boldsymbol{a}_\mathrm{z} = 1 \tag{1.9}$$

مساوات 1.8 اور مساوات 1.9 کو کرونیکر ڈیلٹا[16] δ_{ij} کی مدد سے ایک ہی مساوات کی مدد سے یوں لکھا جا سکتا ہے۔

$$\boldsymbol{a}_i\cdot\boldsymbol{a}_j = \delta_{ij} \tag{1.10}$$

جہاں

$$\delta_{ij} = \begin{cases} 0 & i \neq j \text{ اگر} \\ 1 & i = j \text{ اگر} \end{cases} \tag{1.11}$$

---

[14] scalar product
[15] dot product
[16] یہ لیوپولڈ کرونیکر کے نام سے منسوب ہے۔

کے برابر ہے یعنی $i = j$ کی صورت میں ہی δ_{ij} کی قیمت ایک جبکہ $i \neq j$ کی صورت میں ہی δ_{ij} کی قیمت صفر کے برابر لی جاتی ہے۔یوں $\boldsymbol{a}_\mathrm{x} \cdot \boldsymbol{a}_\mathrm{y}$ کی صورت میں $i = \boldsymbol{a}_\mathrm{x}$ جبکہ $j = \boldsymbol{a}_\mathrm{y}$ کے برابر ہیں۔یوں i اور j برابر نہیں ہیں لہٰذا حاصل جواب صفر کے برابر ہو گا۔اس کے برعکس $\boldsymbol{a}_\mathrm{z} \cdot \boldsymbol{a}_\mathrm{z}$ کی صورت میں $i = \boldsymbol{a}_\mathrm{z}$ اور $j = \boldsymbol{a}_\mathrm{z}$ ہیں لہٰذا $i = j$ ہے اور یوں حاصل جواب ایک کے برابر ہے۔

کارتیسی تین عمودی اکائیوں کی مدد سے سمتیات کا غیر سمتی ضرب نہایت آسانی سے حاصل ہوتا ہے۔یوں اگر $\boldsymbol{A} = A_x\boldsymbol{a}_\mathrm{x} + A_y\boldsymbol{a}_\mathrm{y} + A_z\boldsymbol{a}_\mathrm{z}$ اور $\boldsymbol{B} = B_x\boldsymbol{a}_\mathrm{x} + B_y\boldsymbol{a}_\mathrm{y} + B_z\boldsymbol{a}_\mathrm{z}$ دو سمتیات ہوں تب ان کا غیر سمتی ضرب

$$\begin{aligned}
\boldsymbol{A} \cdot \boldsymbol{B} &= (A_x\boldsymbol{a}_\mathrm{x} + A_y\boldsymbol{a}_\mathrm{y} + A_z\boldsymbol{a}_\mathrm{z}) \cdot (B_x\boldsymbol{a}_\mathrm{x} + B_y\boldsymbol{a}_\mathrm{y} + B_z\boldsymbol{a}_\mathrm{z}) \\
&= A_xB_x\boldsymbol{a}_\mathrm{x} \cdot \boldsymbol{a}_\mathrm{x} + A_xB_y\boldsymbol{a}_\mathrm{x} \cdot \boldsymbol{a}_\mathrm{y} + A_xB_z\boldsymbol{a}_\mathrm{x} \cdot \boldsymbol{a}_\mathrm{z} \\
&\quad + A_yB_x\boldsymbol{a}_\mathrm{y} \cdot \boldsymbol{a}_\mathrm{x} + A_yB_y\boldsymbol{a}_\mathrm{y} \cdot \boldsymbol{a}_\mathrm{y} + A_yB_z\boldsymbol{a}_\mathrm{y} \cdot \boldsymbol{a}_\mathrm{z} \\
&\quad + A_zB_x\boldsymbol{a}_\mathrm{z} \cdot \boldsymbol{a}_\mathrm{x} + A_zB_y\boldsymbol{a}_\mathrm{z} \cdot \boldsymbol{a}_\mathrm{y} + A_zB_z\boldsymbol{a}_\mathrm{z} \cdot \boldsymbol{a}_\mathrm{z}
\end{aligned}$$

ہو گا۔مساوات 1.8 اور مساوات 1.9 کا سہارا لیتے ہوئے یوں

$$\boldsymbol{A} \cdot \boldsymbol{B} = A_xB_x + A_yB_y + A_zB_z \tag{1.12}$$

حاصل ہوتا ہے۔اس مساوات سے ہم دیکھتے ہیں کہ سمتیہ $\boldsymbol{A}$ کا خود غیر سمتی ضرب

$$\boldsymbol{A} \cdot \boldsymbol{A} = A_x^2 + A_y^2 + A_z^2 = |\boldsymbol{A}|^2 \tag{1.13}$$

اس کے طول کے مربع کے برابر ہے۔یہ انتہائی اہم نتیجہ ہے جسے عموماً استعمال کرتے ہوئے سمتیہ کا طول حاصل کیا جاتا ہے۔

مساوات 1.7 اور مساوات 1.12 کی مدد سے دو سمتیوں کے مابین زاویہ معلوم کیا جا سکتا ہے یعنی

$$\theta_{AB} = \cos^{-1}\left(\frac{\boldsymbol{A} \cdot \boldsymbol{B}}{(\boldsymbol{A} \cdot \boldsymbol{A})(\boldsymbol{B} \cdot \boldsymbol{B})}\right) = \cos^{-1}\left(\frac{A_xB_x + A_yB_y + A_zB_z}{\sqrt{A_x^2 + A_y^2 + A_z^2}\sqrt{B_x^2 + B_y^2 + B_z^2}}\right) \tag{1.14}$$

مثال 1.3: شکل 1.11 میں تکون دکھایا گیا ہے جس کے نوک $M(1,6,4)$، $N(4,5,1)$ اور $P(1,2,2)$ ہیں۔M پر زاویہ حاصل کریں۔

حل: مثال 1.2 میں $\boldsymbol{r}_{NM} = 3\boldsymbol{a}_\mathrm{x} - 1\boldsymbol{a}_\mathrm{y} - 3\boldsymbol{a}_\mathrm{z}$ اور $\boldsymbol{r}_{PM} = 0\boldsymbol{a}_\mathrm{x} - 4\boldsymbol{a}_\mathrm{y} - 2\boldsymbol{a}_\mathrm{z}$ حاصل کئے گئے۔$|\boldsymbol{r}_{NM}| = \sqrt{3^2 + 1^2 + 3^2} = \sqrt{19}$ اور $|\boldsymbol{r}_{PM}| = \sqrt{4^2 + 2^2} = \sqrt{20}$ ہیں جبکہ

$$\boldsymbol{r}_{NM} \cdot \boldsymbol{r}_{PM} = 0 + 4 + 6 = 10$$

کے برابر ہے۔یوں ان سمتیوں کے مابین زاویہ

$$\theta = \cos^{-1}\left(\frac{10}{\sqrt{19}\sqrt{20}}\right) = 1.0321 \quad \mathrm{rad}$$

یا 59.137° ہے۔

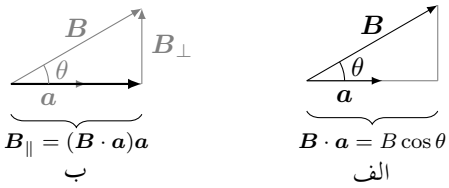

شکل 1.13: کسی بھی سمت میں سمتیہ کے جزو کا حصول۔

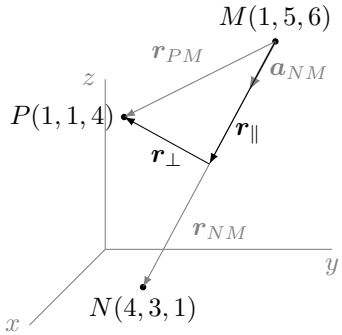

شکل 1.14: متوازی اور عمودی اجزاء۔

شکل 1.13-الف میں سمتیہ $\boldsymbol{B}$ اور اکائی سمتیہ $\boldsymbol{a}$ دکھائے گئے ہیں۔ان کا غیر سمتی ضرب

$$\boldsymbol{B} \cdot \boldsymbol{a} = |\boldsymbol{B}||\boldsymbol{a}|\cos\theta = B\cos\theta$$

کے برابر ہے۔شکل سے واضح ہے کہ یہی $\boldsymbol{a}$ کی سمت میں $\boldsymbol{B}$ کے جزو کا طول $B_\parallel$[17] ہے۔یوں کسی بھی سمت میں $\boldsymbol{B}$ کے جزو کا طول حاصل کرنے کی خاطر $\boldsymbol{B}$ اور اس سمت کی اکائی سمتیہ کا غیر سمتی ضرب حاصل کریں۔یوں حاصل طول کا اکائی سمتیہ کے ساتھ ضرب یعنی $(\boldsymbol{B} \cdot \boldsymbol{a})\boldsymbol{a}$ سے اکائی سمتیہ کی سمت میں $\boldsymbol{B}$ کا سمتی جزو حاصل ہوتا ہے۔شکل 1.13-ب میں $\boldsymbol{a}$ کی سمت میں $\boldsymbol{B}$ کا سمتی جزو $\boldsymbol{B}_\parallel$ دکھایا گیا ہے۔شکل سے واضح ہے کہ $\boldsymbol{B}$ سے $B_\parallel \boldsymbol{a}$ منفی کرنے سے $B_\perp$ حاصل ہوتا ہے جو $\boldsymbol{B}$ کا وہ جزو ہے جو $\boldsymbol{a}$ کے عمودی ہے۔

غیر سمتی ضرب کا حاصل جواب دو صورتوں میں صفر کے برابر ہوتا ہے۔پہلی صورت وہ ہے جب دونوں سمتیوں میں سے کم از کم ایک سمتیہ کا طول صفر کے برابر ہو۔دوسری صورت وہ ہے جب دونوں سمتیات آپس میں عمودی ہوں۔عمودی ہونے کی صورت میں ان کے مابین نوے درجے کا زاویہ ہو گا اور $\cos 90 = 0$ کے برابر ہوتا ہے۔یوں دو سمتیوں کے نقطہ ضرب صفر کے برابر ہونے سے اخذ کیا جاتا ہے کہ یہ آپس میں عمودی ہیں۔

مثال 1.4: شکل 1.14 میں تین نقطے $M(1,5,6)$، $N(4,3,1)$ اور $P(1,1,4)$ دئے گئے ہیں۔M اور N سے گزرتی سیدھی لکیر سے P کا عمودی فاصلہ حاصل کریں۔

حل: M سے N تک سمتیہ $\boldsymbol{r}_{NM} = 3\boldsymbol{a}_\mathrm{x} - 2\boldsymbol{a}_\mathrm{y} - 5\boldsymbol{a}_\mathrm{z}$ ہے جس کا طول $|\boldsymbol{r}_{NM}| = \sqrt{38}$ ہے۔یوں اس سمت میں اکائی سمتیہ $\boldsymbol{a}_{NM} = \frac{3\boldsymbol{a}_\mathrm{x} - 2\boldsymbol{a}_\mathrm{y} - 5\boldsymbol{a}_\mathrm{z}}{\sqrt{38}}$ ہو گا۔اسی طرح M سے P تک سمتیہ $\boldsymbol{r}_{PM} = -4\boldsymbol{a}_\mathrm{y} - 2\boldsymbol{a}_\mathrm{z}$ ہے۔$\boldsymbol{a}_{NM}$ کی سمت میں $\boldsymbol{r}_{PM}$ کا طول

$$\begin{aligned} r_\parallel = \boldsymbol{r}_{PM} \cdot \boldsymbol{a}_{NM} &= (-4\boldsymbol{a}_\mathrm{y} - 2\boldsymbol{a}_\mathrm{z}) \cdot \left(\frac{3\boldsymbol{a}_\mathrm{x} - 2\boldsymbol{a}_\mathrm{y} - 5\boldsymbol{a}_\mathrm{z}}{\sqrt{38}}\right) \\ &= \frac{0 + 8 + 10}{\sqrt{38}} = \frac{18}{\sqrt{38}} \end{aligned}$$

---

[17] $B_\parallel$ لکھتے ہوئے زیرنوشت میں دو متوازی لکیریں یہ بتلاتی ہیں کہ $\boldsymbol{B}$ کا یہ وہ حصہ ہے جو $\boldsymbol{a}$ کے متوازی ہے۔اسی طرح عمودی مقدار کو عموماً $\perp$ کی علامت سے ظاہر کیا جاتا ہے۔

ہے یوں $\boldsymbol{a}_{NM}$ سمت میں $\boldsymbol{r}_{PM}$ کا سمتی جزو

$$\boldsymbol{r}_{\parallel} = r_{\parallel}\boldsymbol{a}_{NM} = \frac{18}{\sqrt{38}}\left(\frac{3\boldsymbol{a}_{\mathrm{x}} - 2\boldsymbol{a}_{\mathrm{y}} - 5\boldsymbol{a}_{\mathrm{z}}}{\sqrt{38}}\right) = \frac{18}{38}(3\boldsymbol{a}_{\mathrm{x}} - 2\boldsymbol{a}_{\mathrm{y}} - 5\boldsymbol{a}_{\mathrm{z}})$$

ہے۔$\boldsymbol{r}_{PM}$ سے $\boldsymbol{r}_{\parallel}$ منفی کرنے سے لکیر سے P تک عمودی سمتیہ $\boldsymbol{r}_{\perp}$ حاصل ہوتا ہے

$$\begin{aligned}\boldsymbol{r}_{\perp} = \boldsymbol{r}_{PM} - \boldsymbol{r}_{\parallel} &= (-4\boldsymbol{a}_{\mathrm{y}} - 2\boldsymbol{a}_{\mathrm{z}}) - \frac{18}{38}(3\boldsymbol{a}_{\mathrm{x}} - 2\boldsymbol{a}_{\mathrm{y}} - 5\boldsymbol{a}_{\mathrm{z}})\\ &= \frac{-27\boldsymbol{a}_{\mathrm{x}} - 58\boldsymbol{a}_{\mathrm{y}} + 7\boldsymbol{a}_{\mathrm{z}}}{19}\end{aligned}$$

جس کا طول $\frac{\sqrt{27^2+58^2+7^2}}{19} = 3.3873$ ہے۔یوں P کا لکیر سے عمودی فاصلہ 3.3873 ہے۔

$\boldsymbol{r}_{\parallel}$ اور $\boldsymbol{r}_{\perp}$ آپس میں عمودی ہیں لہٰذا ان کا نقطہ ضرب

$$\boldsymbol{r}_{\parallel}\cdot\boldsymbol{r}_{\perp} = \frac{18}{38}(3\boldsymbol{a}_{\mathrm{x}} - 2\boldsymbol{a}_{\mathrm{y}} - 5\boldsymbol{a}_{\mathrm{z}})\cdot\left(\frac{-27\boldsymbol{a}_{\mathrm{x}} - 58\boldsymbol{a}_{\mathrm{y}} + 7\boldsymbol{a}_{\mathrm{z}}}{19}\right) = \frac{18}{722}(-81 + 116 - 35) = 0$$

صفر کے برابر ہے۔

شکل 1.14 میں اگر M پر $\boldsymbol{r}_{NM}$ کی دُم رکھی جائے تب $\boldsymbol{r}_{NM}$ کی نوک N کا مقام تعین کرتا ہے۔عموماً کسی بھی نقطے کا مقام محدد کے مرکز $(0,0,0)$ کی نسبت سے طے کیا جاتا ہے۔ایسا سمتیہ جس کی دُم مرکز پر رکھتے ہوئے اس کی نوک نقطے کا مقام طے کرے **مقام تعین کنندہ** سمتیہ[18] کہلاتا ہے۔اگر تعین کنندہ سمتیہ کو مرکز سے ہٹایا جائے تب ظاہر ہے اس کی نوک اصل مقام طے کرنے سے قاصر ہو گی۔

مثال 1.5: شکل 1.14 میں M سے شروع ہوتے اور N جانب بڑھتی سیدھی لکیر پر کسی بھی نقطے کا مقام تعین کرتے تعین کنندہ سمتیہ حاصل کریں۔

حل: مرکز $(0,0,0)$ سے نقطہ M تک کا سمتیہ $\boldsymbol{r}_M = 1\boldsymbol{a}_{\mathrm{x}} + 5\boldsymbol{a}_{\mathrm{y}} + 6\boldsymbol{a}_{\mathrm{z}}$ ہے جبکہ M سے N جانب اکائی سمتیہ $\boldsymbol{a}_{NM}$ گزشتہ مثال میں حاصل کیا گیا۔اکائی سمتیہ $\boldsymbol{a}_{NM}$ کی سمت میں M سے s فاصلے پر نقطہ Q تک کا سمتیہ $s\boldsymbol{a}_{NM}$ ہے۔یوں مرکز سے Q تک سمتیہ $\boldsymbol{r}_Q = \boldsymbol{r}_M + s\boldsymbol{a}_{NM}$ ہو گا۔

$$\boldsymbol{r}_{\mathrm{Q}} = (1\boldsymbol{a}_{\mathrm{x}} + 5\boldsymbol{a}_{\mathrm{y}} + 6\boldsymbol{a}_{\mathrm{z}}) + s\left(\frac{3\boldsymbol{a}_{\mathrm{x}} - 2\boldsymbol{a}_{\mathrm{y}} - 5\boldsymbol{a}_{\mathrm{z}}}{\sqrt{38}}\right)$$

اس مساوات میں s متغیرہ ہے جسے تبدیل کرتے ہوئے سیدھی لکیر پر کسی بھی نقطہ Q تک پہنچا جا سکتا ہے۔

مثال 1.6: $z = z_0$ پر $1\boldsymbol{a}_{\mathrm{z}}$ کے عمودی سیدھی سطح کی مساوات حاصل کریں جہاں z_0 مستقل ہے۔

---

[18] displacement vector

حل: نقطہ $N_1(0,0,z_0)$ سے کسی بھی نقطہ $N_2(x,y,z)$ تک کا سمتیہ $\boldsymbol{r}_{21} = x\boldsymbol{a}_\mathrm{x} + y\boldsymbol{a}_\mathrm{y} + (z-z_0)\boldsymbol{a}_\mathrm{z}$ ہے۔ سطح پر کسی بھی سمتیہ اور سطح کے عمودی سمتیہ آپس میں نوے درجے زاویہ پر پائے جاتے ہیں لہٰذا ان کا غیر سمتی ضرب صفر کے برابر ہو گا۔ یوں اگر N_2 اسی عمودی سطح پر پایا جائے تب

$$1\boldsymbol{a}_\mathrm{z} \cdot [x\boldsymbol{a}_\mathrm{x} + y\boldsymbol{a}_\mathrm{y} + (z-z_0)\boldsymbol{a}_\mathrm{z}] = z - z_0 = 0$$

ہو گا جس سے اس سطح کی مساوات $z = z_0$ حاصل ہوتی ہے۔

اس قیمت کو $\boldsymbol{r}_{21}$ میں پُر کرتے ہوئے $\boldsymbol{r}_{21} = x\boldsymbol{a}_\mathrm{x} + y\boldsymbol{a}_\mathrm{y}$ حاصل ہوتا ہے جہاں x اور y آزاد متغیرات ہیں۔ چونکہ مرکز سے N_1 کا تعین کنندہ سمتیہ $\boldsymbol{r}_{10} = z_0\boldsymbol{a}_\mathrm{z}$ ہے لہٰذا $z = z_0$ سطح پر کسی بھی نقطہ N_2 کا تعین کنندہ سمتیہ یعنی سطح کی سمتی مساوات $\boldsymbol{r}_{20} = x\boldsymbol{a}_\mathrm{x} + y\boldsymbol{a}_\mathrm{y} + z_0\boldsymbol{a}_\mathrm{z}$ ہو گی۔

مشق 1.3: مرکز سے $(2,1,3)$ تک کی سمتیہ ایک سیدھی سطح کی عمودی سمتیہ ہے۔ اس سطح کی مساوات حاصل کریں۔

جواب: $2x + y + 3z = 14$

1.8 سمتی ضرب یا صلیبی ضرب

دو سمتیات $\boldsymbol{A}$ اور $\boldsymbol{B}$ کے سمتی ضرب[19] کا حاصل جواب سمتیہ ہوتا ہے جس کا طول $\boldsymbol{A}$ کی مقدار ضربِ $\boldsymbol{B}$ کی مقدار ضربِ سمتیوں کے مابین چھوٹے زاویے کے سائن کے برابر ہے۔ حاصل سمتیہ $\boldsymbol{A}$ اور $\boldsymbol{B}$ سمتیات کی عمودی سمت میں ہوتا ہے جسے اکائی عمودی سمتیہ $\boldsymbol{a}_N$ سے ظاہر کیا جائیگا۔

$$\boldsymbol{A} \times \boldsymbol{B} = |\boldsymbol{A}||\boldsymbol{B}| \sin\theta_{AB}\boldsymbol{a}_N \tag{1.15}$$

جس سیدھی سطح پر $\boldsymbol{A}$ اور $\boldsymbol{B}$ دونوں پائے جائیں، $\boldsymbol{a}_N$ اس سطح کے دو عمودی سمتیات میں سے ایک ہے۔ $\boldsymbol{a}_N$ کو دائیں ہاتھ کے قانون[20] سے یوں حاصل کیا جا سکتا ہے۔

دائیں ہاتھ کی ہتھیلی سیدھی اور انگوٹھے کو بقایا چار انگلیوں کے عمود میں رکھتے ہوئے پہلی انگلی کو $\boldsymbol{A}$ اور دوسری انگلی کو $\boldsymbol{B}$ کی سمت میں رکھیں۔ اس صورت میں انگوٹھا $\boldsymbol{a}_N$ کی سمت میں ہو گا۔

اگر دونوں سمتیات کی دُم ایک ہی جگہ پر نہ ہو تب ان کے مابین زاویہ دریافت کرنے کی خاطر سمتیوں کی سمت تبدیل کئے بغیر انہیں ایک نقطے پر منتقل کیا جا سکتا ہے۔ سمتی ضرب کو سمتیوں کے درمیان صلیبی نشان $\times$ سے ظاہر کیا جاتا ہے۔ اسی وجہ سے اسے صلیبی ضرب[21] بھی کہا جاتا ہے اور

---

[19] vector product
[20] right hand rule
[21] cross product

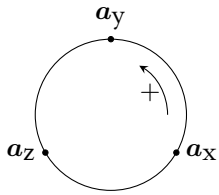

شکل 1.15: صلیبی ضرب کا حصول۔

$\boldsymbol{A} \times \boldsymbol{B}$ کو "$\boldsymbol{A}$ صلیب $\boldsymbol{B}$" پڑھا جاتا ہے۔ سمتی ضرب میں سمتیوں کی ترتیب نہایت اہم ہے اور انہیں الٹانے سے حاصل جواب کی سمت الٹی ہو جاتی ہے۔

$$\boldsymbol{A} \times \boldsymbol{B} = -\boldsymbol{B} \times \boldsymbol{A} \tag{1.16}$$

اکائی سمتیات $\boldsymbol{a}_\mathrm{x}$ اور $\boldsymbol{a}_\mathrm{y}$ کے مابین نوے درجے کا زاویہ ہے اور $\sin 90 = 1$ کے برابر ہے جبکہ دائیں ہاتھ کے قانون سے ان کے صلیبی ضرب کی سمت $\boldsymbol{a}_\mathrm{z}$ حاصل ہوتی ہے۔ یوں $\boldsymbol{a}_\mathrm{x} \times \boldsymbol{a}_\mathrm{y} = \boldsymbol{a}_\mathrm{z}$ کے برابر ہے۔ اسی طرح $\boldsymbol{a}_\mathrm{y} \times \boldsymbol{a}_\mathrm{z} = \boldsymbol{a}_\mathrm{x}$ اور $\boldsymbol{a}_\mathrm{z} \times \boldsymbol{a}_\mathrm{x} = \boldsymbol{a}_\mathrm{y}$ کے برابر حاصل ہوتے ہیں۔ مساوات 1.16 کے تحت یوں $\boldsymbol{a}_\mathrm{y} \times \boldsymbol{a}_\mathrm{x} = -\boldsymbol{a}_\mathrm{z}$، $\boldsymbol{a}_\mathrm{z} \times \boldsymbol{a}_\mathrm{y} = -\boldsymbol{a}_\mathrm{x}$ اور $\boldsymbol{a}_\mathrm{x} \times \boldsymbol{a}_\mathrm{z} = -\boldsymbol{a}_\mathrm{y}$ لکھے جا سکتے ہیں۔ دو متوازی سمتیوں کے درمیان صفر درجے کا زاویہ ہوتا ہے اور $\sin 0 = 0$ کے برابر ہے لہٰذا $\boldsymbol{a}_\mathrm{x} \times \boldsymbol{a}_\mathrm{x} = 0$ کے برابر ہے۔ اسی طرح $\boldsymbol{a}_\mathrm{y} \times \boldsymbol{a}_\mathrm{y} = 0$ اور $\boldsymbol{a}_\mathrm{z} \times \boldsymbol{a}_\mathrm{z} = 0$ کے برابر ہیں۔ ان تمام جوابات کو ایک جگہ لکھتے ہیں۔

$$\begin{aligned} \boldsymbol{a}_\mathrm{x} \times \boldsymbol{a}_\mathrm{y} &= \boldsymbol{a}_\mathrm{z} & \boldsymbol{a}_\mathrm{y} \times \boldsymbol{a}_\mathrm{z} &= \boldsymbol{a}_\mathrm{x} & \boldsymbol{a}_\mathrm{z} \times \boldsymbol{a}_\mathrm{x} &= \boldsymbol{a}_\mathrm{y} \\ \boldsymbol{a}_\mathrm{x} \times \boldsymbol{a}_\mathrm{x} &= 0 & \boldsymbol{a}_\mathrm{y} \times \boldsymbol{a}_\mathrm{y} &= 0 & \boldsymbol{a}_\mathrm{z} \times \boldsymbol{a}_\mathrm{z} &= 0 \end{aligned} \tag{1.17}$$

یہی جوابات شکل 1.15 کی مدد سے حاصل کئے جا سکتے ہیں۔ اس شکل میں گھڑی کی الٹ سمت مثبت سمت ہے۔ یوں اگر $\boldsymbol{a}_\mathrm{x} \times \boldsymbol{a}_\mathrm{y}$ حاصل کرنا ہو تو شکل میں $\boldsymbol{a}_\mathrm{x}$ سے شروع ہو کر $\boldsymbol{a}_\mathrm{y}$ کی جانب کم راستے پر چلتے ہوئے $\boldsymbol{a}_\mathrm{z}$ حاصل ہوتا ہے۔ ساتھ ہی ساتھ چونکہ $\boldsymbol{a}_\mathrm{x}$ سے $\boldsymbol{a}_\mathrm{y}$ جانے کی خاطر مثبت راستہ اختیار کیا گیا لہٰذا جواب مثبت یعنی $+\boldsymbol{a}_\mathrm{z}$ ہو گا۔ اس کے برعکس $\boldsymbol{a}_\mathrm{z} \times \boldsymbol{a}_\mathrm{y}$ حاصل کرنے کی خاطر $\boldsymbol{a}_\mathrm{z}$ سے $\boldsymbol{a}_\mathrm{y}$ جانب کم راستے پر چلتے ہوئے $\boldsymbol{a}_\mathrm{x}$ حاصل ہوتا ہے البتہ یہ راستہ گھڑی کے الٹ سمت یعنی منفی سمت میں ہے لہٰذا جواب $-\boldsymbol{a}_\mathrm{x}$ ہو گا۔

مساوات 1.17 کی مدد سے $\boldsymbol{A} = A_x\boldsymbol{a}_\mathrm{x} + A_y\boldsymbol{a}_\mathrm{y} + A_z\boldsymbol{a}_\mathrm{z}$ اور $\boldsymbol{B} = B_x\boldsymbol{a}_\mathrm{x} + B_y\boldsymbol{a}_\mathrm{y} + B_z\boldsymbol{a}_\mathrm{z}$ کی صلیبی ضرب

$$\begin{aligned} \boldsymbol{A} \times \boldsymbol{B} &= (A_x\boldsymbol{a}_\mathrm{x} + A_y\boldsymbol{a}_\mathrm{y} + A_z\boldsymbol{a}_\mathrm{z}) \times (B_x\boldsymbol{a}_\mathrm{x} + B_y\boldsymbol{a}_\mathrm{y} + B_z\boldsymbol{a}_\mathrm{z}) \\ &= A_xB_x\boldsymbol{a}_\mathrm{x} \times \boldsymbol{a}_\mathrm{x} + A_xB_y\boldsymbol{a}_\mathrm{x} \times \boldsymbol{a}_\mathrm{y} + A_xB_z\boldsymbol{a}_\mathrm{x} \times \boldsymbol{a}_\mathrm{z} \\ &\quad + A_yB_x\boldsymbol{a}_\mathrm{y} \times \boldsymbol{a}_\mathrm{x} + A_yB_y\boldsymbol{a}_\mathrm{y} \times \boldsymbol{a}_\mathrm{y} + A_yB_z\boldsymbol{a}_\mathrm{y} \times \boldsymbol{a}_\mathrm{z} \\ &\quad + A_zB_x\boldsymbol{a}_\mathrm{z} \times \boldsymbol{a}_\mathrm{x} + A_zB_y\boldsymbol{a}_\mathrm{z} \times \boldsymbol{a}_\mathrm{y} + A_zB_z\boldsymbol{a}_\mathrm{z} \times \boldsymbol{a}_\mathrm{z} \end{aligned}$$

کو

$$\boldsymbol{A} \times \boldsymbol{B} = (A_yB_z - A_zB_y)\boldsymbol{a}_\mathrm{x} + (A_zB_x - A_xB_z)\boldsymbol{a}_\mathrm{y} + (A_xB_y - A_yB_x)\boldsymbol{a}_\mathrm{z} \tag{1.18}$$

لکھا جا سکتا ہے۔ اس جواب کو قالب کے حتمی قیمت کی شکل میں یوں لکھا جا سکتا ہے۔

$$\boldsymbol{A} \times \boldsymbol{B} = \begin{vmatrix} \boldsymbol{a}_\mathrm{x} & \boldsymbol{a}_\mathrm{y} & \boldsymbol{a}_\mathrm{z} \\ A_x & A_y & A_z \\ B_x & B_y & B_z \end{vmatrix} \tag{1.19}$$

یوں اگر $\boldsymbol{A} = 2\boldsymbol{a}_\mathrm{x} - 3\boldsymbol{a}_\mathrm{y} + 1\boldsymbol{a}_\mathrm{z}$ اور $\boldsymbol{B} = 6\boldsymbol{a}_\mathrm{x} + 5\boldsymbol{a}_\mathrm{y} - 4\boldsymbol{a}_\mathrm{z}$ ہوں تب

$$\begin{aligned}
\boldsymbol{A} \times \boldsymbol{B} &= \begin{vmatrix} \boldsymbol{a}_\mathrm{x} & \boldsymbol{a}_\mathrm{y} & \boldsymbol{a}_\mathrm{z} \\ 2 & -3 & 1 \\ 6 & 5 & -4 \end{vmatrix} \\
&= [(-3)(-4) - (1)(5)]\boldsymbol{a}_\mathrm{x} - [(2)(-4) - (1)(6)]\boldsymbol{a}_\mathrm{y} + [(2)(5) - (-3)(6)]\boldsymbol{a}_\mathrm{z} \\
&= 7\boldsymbol{a}_\mathrm{x} + 14\boldsymbol{a}_\mathrm{y} + 28\boldsymbol{a}_\mathrm{z}
\end{aligned}$$

ہو گا۔

مثال 1.7: $N_1(2,3,1)$، $N_2(1,6,5)$ اور $N_3(-2,-3,2)$ سیدھی سطح پر پائے جاتے ہیں۔اس سطح کی مساوات حاصل کریں۔

حل:

$$\begin{aligned}
\boldsymbol{r}_{21} &= (1-2)\boldsymbol{a}_\mathrm{x} + (6-3)\boldsymbol{a}_\mathrm{y} + (5-1)\boldsymbol{a}_\mathrm{z} = -1\boldsymbol{a}_\mathrm{x} + 3\boldsymbol{a}_\mathrm{y} + 4\boldsymbol{a}_\mathrm{z} \\
\boldsymbol{r}_{31} &= (-2-2)\boldsymbol{a}_\mathrm{x} + (-3-3)\boldsymbol{a}_\mathrm{y} + (2-1)\boldsymbol{a}_\mathrm{z} = -4\boldsymbol{a}_\mathrm{x} - 6\boldsymbol{a}_\mathrm{y} + 1\boldsymbol{a}_\mathrm{z}
\end{aligned}$$

کے سمتی ضرب سے ان کا عمودی سمتیہ حاصل ہو گا۔

$$\begin{aligned}
\boldsymbol{r}_N &= (-1\boldsymbol{a}_\mathrm{x} + 3\boldsymbol{a}_\mathrm{y} + 4\boldsymbol{a}_\mathrm{z}) \times (-4\boldsymbol{a}_\mathrm{x} - 6\boldsymbol{a}_\mathrm{y} + 1\boldsymbol{a}_\mathrm{z}) \\
&= 6\boldsymbol{a}_\mathrm{z} + 1\boldsymbol{a}_\mathrm{y} + 12\boldsymbol{a}_\mathrm{z} + 3\boldsymbol{a}_\mathrm{x} - 16\boldsymbol{a}_\mathrm{y} + 24\boldsymbol{a}_\mathrm{x} \\
&= 27\boldsymbol{a}_\mathrm{x} - 15\boldsymbol{a}_\mathrm{y} + 18\boldsymbol{a}_\mathrm{z}
\end{aligned}$$

سطح پر دئے گئے تین نقطوں سے سطح پر کسی بھی نقطہ $N_4(x,y,z)$ تک کا سمتیہ اس عمودی سمتیہ کے نوے درجے زاویہ پر ہو گا اور یوں ان کا غیر سمتی ضرب صفر کے برابر ہو گا۔ N_1 سے N_4 تک سمتیہ $\boldsymbol{r}_{41} = (x-2)\boldsymbol{a}_\mathrm{x} + (y-3)\boldsymbol{a}_\mathrm{y} + (z-1)\boldsymbol{a}_\mathrm{z}$ کے استعمال سے

$$\boldsymbol{r}_{41} \cdot \boldsymbol{r}_N = [(x-2)\boldsymbol{a}_\mathrm{x} + (y-3)\boldsymbol{a}_\mathrm{y} + (z-1)\boldsymbol{a}_\mathrm{z}] \cdot (27\boldsymbol{a}_\mathrm{x} - 15\boldsymbol{a}_\mathrm{y} + 18\boldsymbol{a}_\mathrm{z}) = 0$$

لکھ کر

$$27(x-2) - 15(y-3) + 18(z-1) = 0$$

سے

$$27x - 15y + 18z = 27$$

سیدھی سطح کی مساوات حاصل ہوتی ہے۔ایسی مساوات میں x، y اور z کے مخفف عمودی سمتیہ میں $\boldsymbol{a}_\mathrm{x}$، $\boldsymbol{a}_\mathrm{y}$ اور $\boldsymbol{a}_\mathrm{z}$ کے مخفف 27، -15 اور 18 ہوتے ہیں۔

سطح کی مساوات سے $z = \frac{9-9x+5y}{6}$ لکھا جا سکتا ہے۔ سطح پر N_4 کی تعین کنندہ مساوات $\boldsymbol{r} = x\boldsymbol{a}_\mathrm{x} + y\boldsymbol{a}_\mathrm{y} + z\boldsymbol{a}_\mathrm{z}$ میں z کی قیمت پُر کرتے ہوئے سطح کی سمتی مساوات

$$\boldsymbol{r} = x\boldsymbol{a}_\mathrm{x} + y\boldsymbol{a}_\mathrm{y} + \left(\frac{9-9x+5y}{6}\right)\boldsymbol{a}_\mathrm{z}$$

لکھی جا سکتی ہے جہاں x اور y آزاد متغیرات ہیں جبکہ z کو بطور تابع متغیرہ لکھا گیا ہے۔

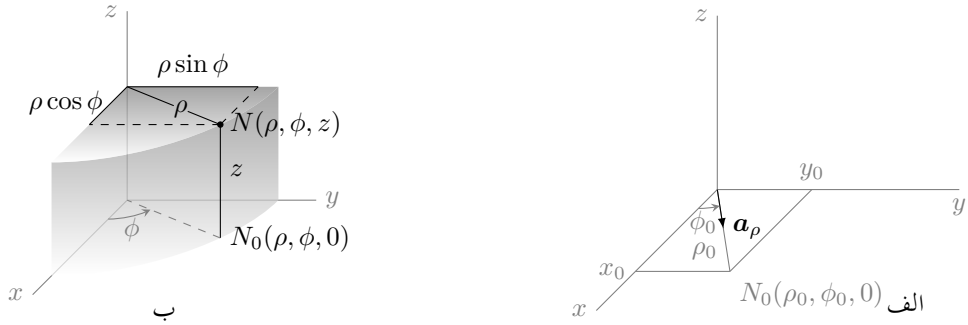

شکل 1.16: نلکی محدد

مشق 1.4: $\boldsymbol{A}=1\boldsymbol{a}_{\mathrm{x}}+3\boldsymbol{a}_{\mathrm{y}}-2\boldsymbol{a}_{\mathrm{z}}$ اور $\boldsymbol{B}=5\boldsymbol{a}_{\mathrm{x}}-2\boldsymbol{a}_{\mathrm{y}}-3\boldsymbol{a}_{\mathrm{z}}$ کی صورت میں $\boldsymbol{A}\times\boldsymbol{B}$، $\boldsymbol{B}\times\boldsymbol{A}$، $\boldsymbol{A}\times\boldsymbol{A}$، $\boldsymbol{a}_{\mathrm{B}}\times\boldsymbol{A}$ اور $\boldsymbol{a}_{\mathrm{z}}\times(\boldsymbol{a}_{\mathrm{y}}\times\boldsymbol{B})$ حاصل کریں۔

خلاء میں کسی بھی نقطے کا مقام کارتیسی محدد کے علاوہ دیگر طرز کے محدد سے بھی تعین کیا جا سکتا ہے۔ماہرین طبیعیات تقریباً ایک درجن اقسام کے محددی نظام استعمال کرتے ہیں۔ہم اس کتاب میں کارتیسی نظام کے علاوہ دو مزید اقسام کے محددی نظام استعمال کریں گے۔آئیں انہیں پر غور کریں۔

1.9 گول نلکی محدد

کارتیسی نظام میں کسی بھی نقطے کا مقام مرکز سے x، y اور z سمتوں میں فاصلوں سے طے کیا جاتا ہے۔آئیں اب ایسا نظام دیکھیں جس میں ایک عدد زاویہ اور دو عدد فاصلے استعمال کرتے ہوئے کسی بھی نقطے کا مقام طے ہو۔

شکل 1.16-الف میں $z=0$ سطح پر نقطہ N_0 دکھایا گیا ہے جسے کارتیسی محدد میں $N_0(x_0,y_0,0)$ لکھا جائے گا۔اگر مرکز سے N_0 تک سیدھی لکیر کی لمبائی ρ_0 اور x محدد سے اس لکیر کا زاویہ ϕ_0 ہو تب اسی نقطے کو **گول نلکی محدد**[22] کے نظام میں $N_0(\rho_0,\phi_0,0)$ لکھا جاتا ہے۔اس کتاب میں گول نلکی محدد کا نام چھوٹا کر کے اسے **نلکی محدد** پکارا جائے گا۔اگر $z=0$ سطح پر مرکز سے نقطے کی جانب اکائی سمتیہ $\boldsymbol{a}_\rho$ ہو تب مرکز سے نقطے تک سمتیہ کو

$$\boldsymbol{\rho}=\rho_0\boldsymbol{a}_\rho \qquad (\phi=\phi_0, \quad z=0) \tag{1.20}$$

لکھا جا سکتا ہے۔نلکی اور کارتیسی نظام میں z محدد یکساں ہیں۔

شکل 1.16-الف یا شکل-ب سے کارتیسی اور نلکی محدد کے تعلق اخذ کئے جا سکتے ہیں۔یوں نلکی محدد کے متغیرات (ρ,ϕ,z) سے کارتیسی متغیرات (x,y,z) یوں حاصل ہوتے ہیں۔

$$\begin{aligned} x&=\rho\cos\phi\\ y&=\rho\sin\phi\\ z&=z \end{aligned} \tag{1.21}$$

---

[22] cylindrical coordinate system

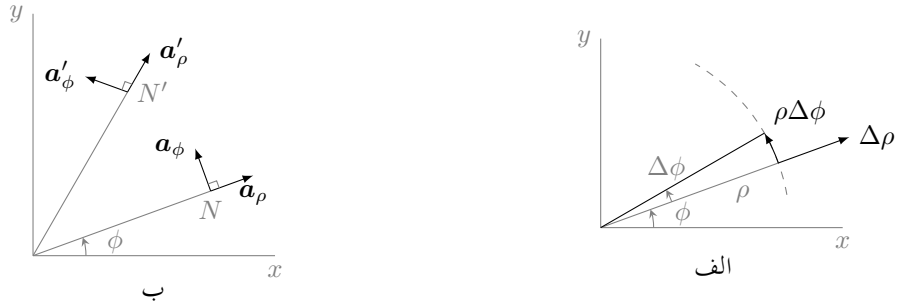

شکل 1.17: نلکی محدد میں متغیرات کے تبدیلی سے فاصلے کا حصول اور اکائی سمتیات۔

اسی طرح (x, y, z) سے (ρ, ϕ, z) یوں حاصل کئے جاتے ہیں۔

$$\begin{aligned} \rho &= \sqrt{x^2+y^2} \qquad (\rho \geq 0) \\ \phi &= \tan^{-1}\frac{y}{x} \\ z &= z \end{aligned} \tag{1.22}$$

مندرجہ بالا مساوات میں رداس کی صرف مثبت قیمت لی گئی۔ہم رداس کی قیمت مثبت ہی لیتے ہیں۔

شکل 1.17-الف میں ϕ زاویہ پر ρ رداس کا ہلکی سیاہی میں دکھایا سمتیہ نقطہ N ہے۔اس شکل میں ϕ اور z تبدیل کئے بغیر ρ کو $\Delta\rho$ بڑھتا دکھایا گیا ہے۔اس صورت میں سمتیہ کی نوک $\Delta\rho$ فاصلہ طے کرتی ہے۔نقطہ N سے $\Delta\rho$ کی سمت میں اکائی سمتیہ جسے $\boldsymbol{a}_\rho$ لکھا جاتا ہے، نلکی محدد کی بنیادی اکائی سمتیہ ہے۔اس سمتیہ کو شکل 1.17-ب میں دکھایا گیا ہے۔

شکل 1.17-الف میں ρ اور z تبدیل کئے بغیر ϕ کو $\Delta\phi$ بڑھا کر اسی سمتیہ کو گاڑھی سیاہی میں دوبارہ دکھایا گیا ہے۔آپ دیکھ سکتے ہیں کہ سمتیہ کی نوک نے ρ رداس کے گول دائرے پر حرکت کرتے ہوئے $\rho\Delta\phi$ فاصلہ طے کیا۔یوں اگر زاویہ کو 0 تا 2π ریڈیئن تبدیل کیا جائے تو سمتیہ کی نوک گول دائرے پر ایک مکمل چکر کاٹے گی۔جیسے جیسے $\Delta\phi$ کو کم سے کم کیا جائے ویسے ویسے $\rho\Delta\phi$ گول دائرے کے مماس کی صورت اختیار کرے گی حتیٰ کہ $\mathrm{d}\phi$ کی صورت میں $\rho\,\mathrm{d}\phi$ گول دائرے کا مماس ہو گا۔نقطہ N پر بڑھتے ϕ جانب مماس کی سمت میں اکائی سمتیہ کو $\boldsymbol{a}_\phi$ لکھا جاتا ہے۔اس سمتیہ کو شکل 1.17-ب میں دکھایا گیا ہے۔

اسی طرح اگر نقطہ N پر صرف z کو Δz تبدیل کیا جائے تب سمتیہ کی نوک Δz فاصلہ طے کرے گی۔Δz کی سمت میں اکائی سمتیہ جسے $\boldsymbol{a}_z$ لکھا جاتا ہے، نلکی محدد کی تیسری اور آخری بنیادی اکائی سمتیہ ہے۔نلکی محدد کے تین اکائی سمتیات $\boldsymbol{a}_\rho$، $\boldsymbol{a}_\phi$ اور $\boldsymbol{a}_z$ مل کر دائیں ہاتھ کا عمودی نظام دیتے ہیں۔نقطہ (ρ_1, ϕ_1, z_1) پر نلکی محدد کے اکائی سمتیات کو شکل 1.18 میں دکھایا گیا ہے۔$\boldsymbol{a}_\rho$ گول سطح $\rho = \rho_1$ کے عمودی ہے۔یہ $\phi = \phi_1$ اور $z = z_1$ سطحوں پر پایا جاتا ہے۔اسی طرح $\boldsymbol{a}_\phi$ سیدھی سطح $\phi = \phi_1$ کے عمودی ہے۔یہ $z = z_1$ سطح پر پایا جاتا ہے اور $\rho = \rho_1$ نلکی سطح کا مماس ہے۔$\boldsymbol{a}_z$ اکائی سمتیہ $z = z_1$ سطح کے عمودی ہے۔یہ $\rho = \rho_1$ اور $\phi = \phi_1$ سطحوں پر پایا جاتا ہے۔

دائیں ہاتھ کے عمودی نظام میں سمتی ضرب کا حاصل جواب صفحہ 14 پر دئے گئے دائیں ہاتھ کے قانون کی مدد سے حاصل کیا جاتا ہے۔یوں

$$\boldsymbol{a}_\rho \times \boldsymbol{a}_\phi = \boldsymbol{a}_z, \quad \boldsymbol{a}_\phi \times \boldsymbol{a}_z = \boldsymbol{a}_\rho, \quad \boldsymbol{a}_z \times \boldsymbol{a}_\rho = \boldsymbol{a}_\phi \tag{1.23}$$

لکھا جا سکتا ہے۔یہی جوابات شکل 1.19 سے بھی اخذ کئے جا سکتے ہیں۔

کسی سمتیہ کا خود سمتی ضرب صفر کے برابر ہوتا ہے لہٰذا

$$\boldsymbol{a}_\rho \times \boldsymbol{a}_\rho = 0, \quad \boldsymbol{a}_\phi \times \boldsymbol{a}_\phi = 0, \quad \boldsymbol{a}_z \times \boldsymbol{a}_z = 0 \tag{1.24}$$

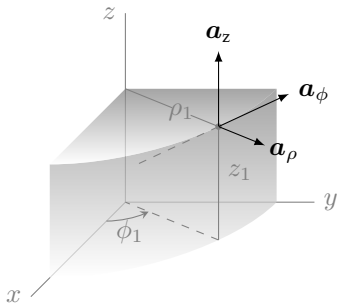

شکل 1.18: نلکی محدد کے اکائی سمتیات۔

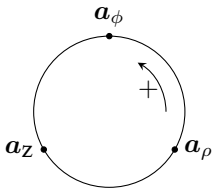

شکل 1.19: صلیبی ضرب کی حاصل اکائی سمتیہ۔

لکھا جا سکتا ہے جبکہ کسی بھی اکائی سمتیہ کا خود غیر سمتی ضرب ایک کے برابر ہوتا ہے لہٰذا

$$\boldsymbol{a}_\rho \cdot \boldsymbol{a}_\rho = 1, \quad \boldsymbol{a}_\phi \cdot \boldsymbol{a}_\phi = 1, \quad \boldsymbol{a}_z \cdot \boldsymbol{a}_z = 1 \tag{1.25}$$

لکھا جا سکتا ہے۔اسی طرح کسی بھی دو عمودی سمتیات کا غیر سمتی ضرب صفر کے برابر ہوتا ہے یعنی

$$\boldsymbol{a}_\rho \cdot \boldsymbol{a}_\phi = 0, \quad \boldsymbol{a}_\phi \cdot \boldsymbol{a}_z = 0, \quad \boldsymbol{a}_z \cdot \boldsymbol{a}_\rho = 0 \tag{1.26}$$

غیر سمتی ضرب کو کرونیکر ڈیلٹا کی مدد سے یوں لکھا جا سکتا ہے۔

$$\boldsymbol{a}_i \cdot \boldsymbol{a}_j = \delta_{ij} \tag{1.27}$$

جہاں

$$\delta_{ij} = \begin{cases} 0 & i \neq j \text{ اگر} \\ 1 & i = j \text{ اگر} \end{cases} \tag{1.28}$$

کے برابر ہے۔

آپ دیکھتے ہیں کہ کسی بھی نقطہ $N(\rho, \phi, z)$ پر اکائی سمتیات حاصل کرنے کی خاطر محدد کے متغیرات ρ، ϕ اور z کو باری باری انتہائی کم بڑھایا جاتا ہے۔جس سمت میں نقطہ حرکت کرے، اسی سمت میں اکائی سمتیہ ہو گی۔شکل 1.17-ب میں دو مختلف نقاط N اور N' پر نلکی محدد کے عمودی اکائی سمتیات دکھائے گئے ہیں۔آپ دیکھ سکتے ہیں کہ نلکی محدد کے عمودی اکائی سمتیات کی سمت کا دارومدار اس نقطے پر ہے جہاں انہیں حاصل کیا جائے۔آپ جانتے ہیں کہ کارتیسی نظام میں نقطے کا مقام تبدیل کرنے سے کارتیسی اکائی سمتیات تبدیل نہیں ہوتے۔یوں نلکی محدد کے اکائی سمتیات اٹل نہیں ہیں۔یہ ایک انتہائی اہم حقیقت ہے جو تکمل لیتے وقت پیچیدگیاں پیدا کرتا ہے۔تکمل لیتے وقت کارتیسی اکائی سمتیات اٹل ہونے کی بنا پر تکمل کے باہر لے جائے جا سکتے ہیں جبکہ نلکی محدد کے $\boldsymbol{a}_\rho$ اور $\boldsymbol{a}_\phi$ اکائی سمتیات کو تکمل کے باہر نہیں لے جایا جا سکتا۔یاد رہے کہ کسی بھی نقطہ N پر حاصل کئے گئے $\boldsymbol{a}_\rho$، $\boldsymbol{a}_\phi$ اور $\boldsymbol{a}_z$ آپس میں عمودی ہوں گے جبکہ کسی اور نقطہ N' پر حاصل کئے گئے $\boldsymbol{a}'_\rho$، $\boldsymbol{a}'_\phi$ اور $\boldsymbol{a}_z$ آپس میں عمودی ہوں گے۔

شکل 1.20: نلکی اکائی سمتیات کا کارتیسی اکائی سمتیات کے ساتھ غیر سمتی ضرب۔

جدول 1.1: نلکی اکائی سمتیات کا کارتیسی اکائی سمتیات کے ساتھ غیر سمتی ضرب۔

a_z	a_y	a_x	
0	$\sin\phi$	$\cos\phi$	a_ρ
0	$\cos\phi$	$-\sin\phi$	a_ϕ
1	0	0	a_z

1.9.1 نلکی اکائی سمتیات کا کارتیسی اکائی سمتیات کے ساتھ غیر سمتی ضرب

شکل 1.20-الف میں نقطہ N پر اکائی سمتیات a_ρ، a_x اور a_y دکھائے گئے ہیں۔ a_ρ اور a_x کے مابین زاویہ ϕ ہے جبکہ اکائی سمتیات کی لمبائی ایک ہوتی ہے لہٰذا

$$a_\rho \cdot a_x = (1)(1)(\cos\phi) = \cos\phi \tag{1.29}$$

ہے۔ a_ρ اور a_y کے مابین زاویہ $(90^\circ - \phi)$ ہے لہٰذا

$$a_\rho \cdot a_y = (1)(1)[\cos(90^\circ - \phi)] = \sin\phi \tag{1.30}$$

کے برابر ہے۔ اس مساوات میں $\cos(\alpha - \beta) = \cos\alpha\cos\beta + \sin\alpha\sin\beta$ کو استعمال کرتے ہوئے $\cos(90^\circ - \phi) = \sin\phi$ لکھا گیا ہے۔ شکل 1.20-ب میں نقطہ N پر اکائی سمتیات a_ϕ، a_x اور a_y دکھائے گئے ہیں۔ a_ϕ اور a_x کے مابین زاویہ $(90^\circ + \phi)$ ہے لہٰذا

$$a_\phi \cdot a_x = (1)(1)[\cos(90^\circ + \phi)] = -\sin\phi \tag{1.31}$$

ہے۔ a_ϕ اور a_y کے مابین زاویہ ϕ ہے لہٰذا

$$a_\phi \cdot a_y = (1)(1)(\cos\phi) = \cos\phi \tag{1.32}$$

کے برابر ہے۔ a_z کا a_x اور a_y کے ساتھ غیر سمتی ضرب صفر کے برابر ہے۔ اس کی وجہ ان کے مابین نوے درجے کا زاویہ ہے۔ ان تمام غیر سمتی ضرب کو جدول 1.1 میں یکجا کیا گیا ہے۔

1.9.2 نلکی اور کارتیسی اکائی سمتیات کا تعلق

شکل 1.21-الف میں نقطہ N پر اکائی سمتیہ a_ρ دکھایا گیا ہے۔ آپ دیکھ سکتے ہیں کہ کارتیسی محدد میں اسی اکائی سمتیہ کو دو عدد سمتیات کی مدد سے لکھا جا سکتا ہے۔ a_ρ کی لمبائی ایک کے برابر ہے۔ یوں مسئلہ فیثاغورث کی مدد سے

$$\begin{aligned} a_\rho &= \cos\phi\, a_x + \sin\phi\, a_y \\ &= \frac{x}{\sqrt{x^2+y^2}} a_x + \frac{y}{\sqrt{x^2+y^2}} a_y \end{aligned} \tag{1.33}$$

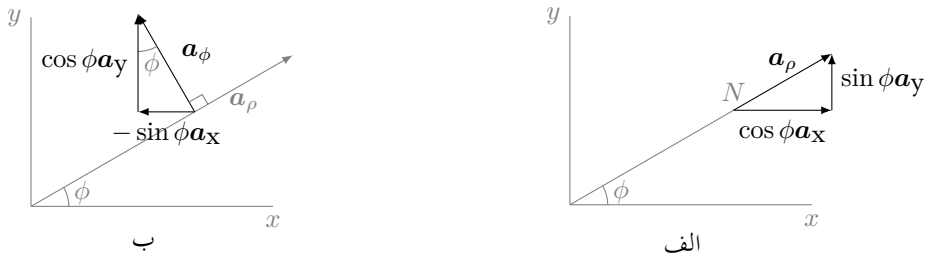

شکل 1.21: $\boldsymbol{a}_\rho$ اور $\boldsymbol{a}_\phi$ کا کارتیسی نظام میں تبادلہ۔

شکل 1.22: $\boldsymbol{a}_{\mathrm{x}}$ اور $\boldsymbol{a}_{\mathrm{y}}$ کا نلکی محدد میں تبادلہ۔

لکھا جا سکتا ہے جہاں دوسرے قدم پر تمام نلکی محدد کے متغیرات کو کارتیسی متغیرات کی شکل میں لکھا گیا ہے۔ شکل 1.21-ب میں نقطہ N پر اکائی سمتیہ $\boldsymbol{a}_\phi$ دکھایا گیا ہے۔ آپ دیکھ سکتے ہیں کہ کارتیسی محدد میں اسی اکائی سمتیہ کو دو عدد سمتیات کی مدد سے یوں لکھا جا سکتا ہے

$$\begin{aligned}\boldsymbol{a}_\phi &= -\sin\phi\boldsymbol{a}_{\mathrm{x}} + \cos\phi\boldsymbol{a}_{\mathrm{y}}\\ &= -\frac{y}{\sqrt{x^2+y^2}}\boldsymbol{a}_{\mathrm{x}} + \frac{x}{\sqrt{x^2+y^2}}\boldsymbol{a}_{\mathrm{y}}\end{aligned} \tag{1.34}$$

جہاں دوسرے قدم پر تمام نلکی محدد کے متغیرات کو کارتیسی متغیرات کی شکل میں لکھا گیا ہے۔

شکل 1.22-الف میں $\boldsymbol{a}_{\mathrm{x}}$ کا نلکی محدد میں تبادلہ دکھایا گیا ہے۔ جس نقطے پر ایسا درکار ہو، اس نقطے پر $\boldsymbol{a}_{\mathrm{x}}$ کی دُم رکھیں۔ مرکز سے نقطے تک نقطہ دار سیدھی لکیر کھینچتے ہوئے اسے مزید آگے بڑھائیں۔ اس نقطے پر $\boldsymbol{a}_\rho$ اسی لکیر کی سمت میں ہو گا جبکہ $\boldsymbol{a}_\phi$ لکیر کے ساتھ نوے درجے کا زاویہ بنائے گا۔ شکل میں $\boldsymbol{a}_\phi$ دکھایا گیا ہے۔ جیسا شکل میں دکھایا گیا ہے، $\boldsymbol{a}_{\mathrm{x}}$ کی نوک سے نقطہ دار لکیر پر عمود بنائیں۔ صاف ظاہر ہے کہ $\boldsymbol{a}_{\mathrm{x}}$ کو دو عدد سمتیات کی مدد سے لکھا جا سکتا ہے۔ ان میں سے ایک سمتیہ $\boldsymbol{a}_\rho$ کی سمت میں اور دوسرا سمتیہ $\boldsymbol{a}_\phi$ کی الٹ جانب کو ہو گا۔ یوں

$$\boldsymbol{a}_{\mathrm{x}} = \cos\phi\boldsymbol{a}_\rho - \sin\phi\boldsymbol{a}_\phi \tag{1.35}$$

لکھا جا سکتا ہے۔ شکل 1.22-ب میں $\boldsymbol{a}_{\mathrm{y}}$ کا نلکی محدد میں تبادلہ دکھایا گیا ہے۔ یہاں نقطہ پر $\boldsymbol{a}_{\mathrm{y}}$ کی دُم رکھتے ہوئے اس کی نوک سے نقطہ دار لکیر پر عمود کھینچا گیا ہے۔ یوں

$$\boldsymbol{a}_{\mathrm{y}} = \sin\phi\boldsymbol{a}_\rho + \cos\phi\boldsymbol{a}_\phi \tag{1.36}$$

لکھا جا سکتا ہے۔

آئیں مساوات 1.33 تا مساوات 1.36 کو جدول 1.1 کی مدد سے حاصل کریں۔ کسی بھی سمتیہ $\boldsymbol{A}$ کو کارتیسی یا نلکی محدد میں لکھا جا سکتا ہے۔ یوں

$$\begin{aligned}\boldsymbol{A} &= A_x\boldsymbol{a}_{\mathrm{x}} + A_y\boldsymbol{a}_{\mathrm{y}} + A_z\boldsymbol{a}_{\mathrm{z}}\\ &= A_\rho\boldsymbol{a}_\rho + A_\phi\boldsymbol{a}_\phi + A_z\boldsymbol{a}_{\mathrm{z}}\end{aligned} \tag{1.37}$$

لکھا جا سکتا ہے۔ان میں پہلی مساوات کا باری باری $\boldsymbol{a}_\mathrm{x}$، $\boldsymbol{a}_\mathrm{y}$ اور $\boldsymbol{a}_\mathrm{z}$ کے ساتھ غیر سمتی ضرب لیتے ہوئے

$$\begin{aligned}
\boldsymbol{a}_\mathrm{x}\cdot\boldsymbol{A} &= A_x\boldsymbol{a}_\mathrm{x}\cdot\boldsymbol{a}_\mathrm{x}+A_y\boldsymbol{a}_\mathrm{x}\cdot\boldsymbol{a}_\mathrm{y}+A_z\boldsymbol{a}_\mathrm{x}\cdot\boldsymbol{a}_\mathrm{z}=A_x\\
\boldsymbol{a}_\mathrm{y}\cdot\boldsymbol{A} &= A_x\boldsymbol{a}_\mathrm{y}\cdot\boldsymbol{a}_\mathrm{x}+A_y\boldsymbol{a}_\mathrm{y}\cdot\boldsymbol{a}_\mathrm{y}+A_z\boldsymbol{a}_\mathrm{y}\cdot\boldsymbol{a}_\mathrm{z}=A_y\\
\boldsymbol{a}_\mathrm{z}\cdot\boldsymbol{A} &= A_x\boldsymbol{a}_\mathrm{z}\cdot\boldsymbol{a}_\mathrm{x}+A_y\boldsymbol{a}_\mathrm{z}\cdot\boldsymbol{a}_\mathrm{y}+A_z\boldsymbol{a}_\mathrm{z}\cdot\boldsymbol{a}_\mathrm{z}=A_z
\end{aligned} \tag{1.38}$$

حاصل ہوتے ہیں۔$\boldsymbol{A}$ کو کارتیسی نظام میں لکھنے کی خاطر A_x، A_y اور A_z درکار ہوتے ہیں جنہیں مندرجہ بالا مساوات سے حاصل کیا جا سکتا ہے۔اسی طرح مساوات 1.37 کے نچلے حصے کا باری باری $\boldsymbol{a}_\rho$، $\boldsymbol{a}_\phi$ اور $\boldsymbol{a}_\mathrm{z}$ کے ساتھ غیر سمتی ضرب لیتے ہوئے

$$\begin{aligned}
\boldsymbol{a}_\rho\cdot\boldsymbol{A} &= A_\rho\boldsymbol{a}_\rho\cdot\boldsymbol{a}_\rho+A_\phi\boldsymbol{a}_\rho\cdot\boldsymbol{a}_\phi+A_z\boldsymbol{a}_\rho\cdot\boldsymbol{a}_\mathrm{z}=A_\rho\\
\boldsymbol{a}_\phi\cdot\boldsymbol{A} &= A_\rho\boldsymbol{a}_\phi\cdot\boldsymbol{a}_\rho+A_\phi\boldsymbol{a}_\phi\cdot\boldsymbol{a}_\phi+A_z\boldsymbol{a}_\phi\cdot\boldsymbol{a}_\mathrm{z}=A_\phi\\
\boldsymbol{a}_\mathrm{z}\cdot\boldsymbol{A} &= A_\rho\boldsymbol{a}_\mathrm{z}\cdot\boldsymbol{a}_\rho+A_\phi\boldsymbol{a}_\mathrm{z}\cdot\boldsymbol{a}_\phi+A_z\boldsymbol{a}_\mathrm{z}\cdot\boldsymbol{a}_\mathrm{z}=A_z
\end{aligned} \tag{1.39}$$

حاصل ہوتے ہیں۔یوں $\boldsymbol{A}$ کو نلکی نظام میں لکھنے کی خاطر A_ρ، A_ϕ اور A_z کو مندرجہ بالا مساوات کی مدد سے حاصل کیا جا سکتا ہے۔ 387

آئیں $\boldsymbol{a}_\rho$ کو کارتیسی نظام میں لکھیں۔یوں $\boldsymbol{A}=\boldsymbol{a}_\rho$ کو کارتیسی نظام میں لکھنا مطلوب ہے۔مساوات 1.38 کے مطابق A_x حاصل کرنے کی خاطر $\boldsymbol{a}_\mathrm{x}\cdot\boldsymbol{A}$ لینا ہو گا۔جدول 1.1 کے استعمال سے

$$A_x=\boldsymbol{a}_\mathrm{x}\cdot\boldsymbol{A}=\boldsymbol{a}_\mathrm{x}\cdot\boldsymbol{a}_\rho=\cos\phi$$

حاصل ہوتا ہے۔اسی طرح جدول کو استعمال کرتے ہوئے

$$A_y=\boldsymbol{a}_\mathrm{y}\cdot\boldsymbol{A}=\boldsymbol{a}_\mathrm{y}\cdot\boldsymbol{a}_\rho=\sin\phi$$

اور

$$A_z=\boldsymbol{a}_\mathrm{z}\cdot\boldsymbol{A}=\boldsymbol{a}_\mathrm{z}\cdot\boldsymbol{a}_\rho=0$$

حاصل کرتے ہیں۔یوں کارتیسی نظام میں $\boldsymbol{A}=A_x\boldsymbol{a}_\mathrm{x}+A_y\boldsymbol{a}_\mathrm{y}+A_z\boldsymbol{a}_\mathrm{z}$ لکھتے ہوئے

$$\boldsymbol{a}_\rho=\cos\phi\boldsymbol{a}_\mathrm{x}+\sin\phi\boldsymbol{a}_\mathrm{y}$$

لکھا جائے گا۔یہی جواب مساوات 1.33 میں بھی حاصل کیا گیا تھا۔ 388

$\boldsymbol{a}_\phi$ کو بھی اسی طرح کارتیسی نظام میں لکھا جا سکتا ہے۔ایسا کرنے کی خاطر جدول 1.1 کی مدد سے اس سمتیہ کا باری باری $\boldsymbol{a}_\mathrm{x}$، $\boldsymbol{a}_\mathrm{y}$ اور $\boldsymbol{a}_\mathrm{z}$ کے ساتھ غیر سمتی ضرب لیتے ہیں۔

$$\begin{aligned}
A_x &= \boldsymbol{a}_\mathrm{x}\cdot\boldsymbol{a}_\phi=-\sin\phi\\
A_y &= \boldsymbol{a}_\mathrm{y}\cdot\boldsymbol{a}_\phi=\cos\phi\\
A_z &= \boldsymbol{a}_\mathrm{z}\cdot\boldsymbol{a}_\phi=0
\end{aligned}$$

یوں

$$\boldsymbol{a}_\phi=A_x\boldsymbol{a}_\mathrm{x}+A_y\boldsymbol{a}_\mathrm{y}+A_z\boldsymbol{a}_\mathrm{z}=-\sin\phi\boldsymbol{a}_\mathrm{x}+\cos\phi\boldsymbol{a}_\mathrm{y}$$

حاصل ہوتا ہے۔یہی جواب مساوات 1.34 بھی دیتا ہے۔ 389

آپ سے گزارش ہے کہ جدول 1.34 کو یاد کرنے کی کوشش نہ کریں۔اپنے آپ میں یہ صلاحیت پیدا کریں کہ ان جوابات کو آپ جلد اخذ کر سکیں۔ 390

391

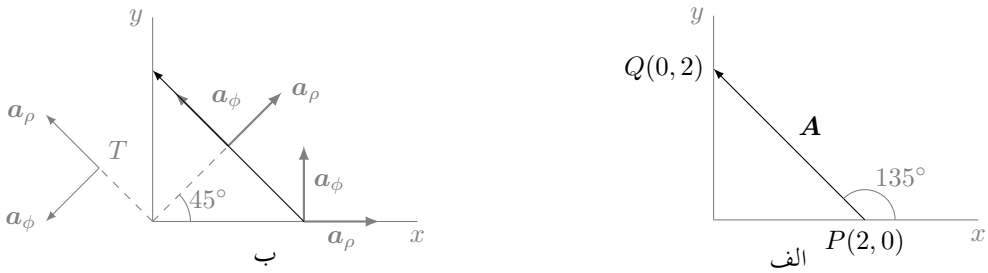

شکل 1.23: کارتیسی اور نلکی محدد میں سمتیہ۔

---

392 مشق 1.5: $\boldsymbol{a}_{\mathrm{x}}$، $\boldsymbol{a}_{\mathrm{y}}$ اور $\boldsymbol{a}_{\mathrm{z}}$ کو جدول 1.1 کی مدد سے نلکی محدد میں لکھیں۔

جوابات:

$$\begin{aligned}
\boldsymbol{a}_{\mathrm{x}} &= \cos\phi\boldsymbol{a}_\rho - \sin\phi\boldsymbol{a}_\phi \\
\boldsymbol{a}_{\mathrm{y}} &= \sin\phi\boldsymbol{a}_\rho + \cos\phi\boldsymbol{a}_\phi \\
\boldsymbol{a}_{\mathrm{z}} &= \boldsymbol{a}_{\mathrm{z}}
\end{aligned}$$

393

شکل 1.23 میں $P(2,0)$ سے $Q(0,2)$ تک سمتیہ $\boldsymbol{A}$ دکھایا گیا ہے۔کارتیسی نظام میں

$$\boldsymbol{A} = -2\boldsymbol{a}_{\mathrm{x}} + 2\boldsymbol{a}_{\mathrm{y}} \tag{1.40}$$

لکھا جا سکتا ہے۔اس سمتیہ کی حتمی قیمت

$$|\boldsymbol{A}| = \sqrt{\boldsymbol{A}\cdot\boldsymbol{A}} = \sqrt{(-2\boldsymbol{a}_{\mathrm{x}} + 2\boldsymbol{a}_{\mathrm{y}})\cdot(-2\boldsymbol{a}_{\mathrm{x}} + 2\boldsymbol{a}_{\mathrm{y}})} = \sqrt{8}$$

ہے۔آئیں اسی سمتیہ کو نلکی محدد میں لکھیں۔ایسا کرنے کی خاطر A_ρ اور A_ϕ درکار ہوں گے جنہیں حاصل کرنے کی خاطر جدول 1.1 کی مدد سے $\boldsymbol{a}_\rho\cdot\boldsymbol{A}$ اور $\boldsymbol{a}_\phi\cdot\boldsymbol{A}$ حاصل کرتے ہیں۔

$$\begin{aligned}
A_\rho &= \boldsymbol{a}_\rho\cdot(-2\boldsymbol{a}_{\mathrm{x}} + 2\boldsymbol{a}_{\mathrm{y}}) = -2\cos\phi + 2\sin\phi \\
A_\phi &= \boldsymbol{a}_\phi\cdot(-2\boldsymbol{a}_{\mathrm{x}} + 2\boldsymbol{a}_{\mathrm{y}}) = 2\sin\phi + 2\cos\phi
\end{aligned}$$

یوں

$$\boldsymbol{A} = 2(-\cos\phi + \sin\phi)\boldsymbol{a}_\rho + 2(\sin\phi + \cos\phi)\boldsymbol{a}_\phi \tag{1.41}$$

لکھا جا سکتا ہے۔آئیں دیکھیں کہ اس کی حتمی قیمت کیا حاصل ہوتی ہے۔اکائی سمتیات کا غیر سمتی ضرب $\boldsymbol{a}_\rho\cdot\boldsymbol{a}_\rho = 1$، $\boldsymbol{a}_\phi\cdot\boldsymbol{a}_\phi = 1$ اور $\boldsymbol{a}_\rho\cdot\boldsymbol{a}_\phi = 0$ استعمال کرتے ہوئے

$$\begin{aligned}
|\boldsymbol{A}| &= \sqrt{\boldsymbol{A}\cdot\boldsymbol{A}} \\
&= \sqrt{2^2(-\cos\phi + \sin\phi)^2 + 2^2(\sin\phi + \cos\phi)^2} \\
&= \sqrt{4(\cos^2\phi + \sin^2\phi - 2\cos\phi\sin\phi) + 4(\cos^2\phi + \sin^2\phi + 2\cos\phi\sin\phi)} \\
&= \sqrt{8(\cos^2\phi + \sin^2\phi)} \\
&= \sqrt{8}
\end{aligned}$$

حاصل ہوتا ہے جہاں آخری قدم پر $\cos^2\alpha + \sin^2\alpha = 1$ کا استعمال کیا گیا ہے۔یقیناً سمتیہ کی حتمی قیمت محدد کے نظام پر منحصر نہیں۔

مساوات 1.40 اور مساوات 1.41 ایک ہی سمتیہ کو لکھنے کے دو طریقے ہیں۔یہاں کارتیسی نظام کا استعمال نہایت آسان ثابت ہوا۔آگے چل کر آپ دیکھیں گے کہ کہیں مسئلوں میں نلکی محدد کا استعمال زیادہ آسان ہو گا۔آئیں مساوات 1.40 پر مزید غور کریں۔اس مساوات میں اکائی سمتیات از خود اٹل نہیں ہیں۔ان کی سمتوں کا دارومدار زاویہ ϕ پر ہے۔شکل 1.23-ب میں $\phi = 0^\circ$، $\phi = 45^\circ$ اور $\phi = 135^\circ$ پر $\boldsymbol{a}_\rho$ اور $\boldsymbol{a}_\phi$ دکھائے گئے ہیں۔نقطہ P یعنی $\phi = 0^\circ$ پر مساوات 1.41

$$\begin{aligned}\boldsymbol{A}_{\phi=0^\circ} &= 2(-\cos 0^\circ + \sin 0^\circ)\boldsymbol{a}_\rho + 2(\sin 0^\circ + \cos 0^\circ)\boldsymbol{a}_\phi \\ &= -2\boldsymbol{a}_\rho + 2\boldsymbol{a}_\phi\end{aligned}$$

صورت اختیار کر لیتی ہے۔اس مساوات کے مطابق $\phi = 0^\circ$ پر $\boldsymbol{A}$ کو دو عدد سمتیات کے مجموعہ کی صورت میں لکھا جا سکتا ہے جن میں پہلی سمتیہ $\boldsymbol{a}_\rho$ کے الٹ سمت میں ہے اور اس کی لمبائی دو کے برابر ہے جبکہ دوسری سمتیہ کی مقدار دو اور اس کی سمت $\boldsymbol{a}_\phi$ کی سمت میں ہی ہے۔1.23-ب میں نقطہ P پر $\boldsymbol{A}$ کی سمت واقع بڑھتی $\boldsymbol{a}_\phi$ اور گھٹتی $\boldsymbol{a}_\rho$ کی سمت میں ہے۔یاد رہے کہ اس مساوات میں $\boldsymbol{a}_\rho$ اور $\boldsymbol{a}_\phi$ کو $\phi = 0^\circ$ پر حاصل کیا گیا ہے۔$\phi = 0^\circ$ پر $\boldsymbol{a}_\rho$ اور $\boldsymbol{a}_\mathrm{x}$ برابر ہوتے ہیں اور اسی طرح $\boldsymbol{a}_\phi$ اور $\boldsymbol{a}_\mathrm{y}$ برابر ہوتے ہیں۔یہی وجہ ہے کہ مساوات 1.40 میں $\boldsymbol{a}_\mathrm{x}$ کی جگہ $\boldsymbol{a}_\rho$ اور $\boldsymbol{a}_\mathrm{y}$ کی جگہ $\boldsymbol{a}_\phi$ پُر کرنے سے مندرجہ بالا مساوات لکھی جا سکتی ہے۔

$\phi = 45^\circ$ پر مساوات 1.41

$$\begin{aligned}\boldsymbol{A}_{\phi=45^\circ} &= 2(-\cos 45^\circ + \sin 45^\circ)\boldsymbol{a}_\rho + 2(\sin 45^\circ + \cos 45^\circ)\boldsymbol{a}_\phi \\ &= 2(-\frac{1}{\sqrt{2}} + \frac{1}{\sqrt{2}})\boldsymbol{a}_\rho + 2(\frac{1}{\sqrt{2}} + \frac{1}{\sqrt{2}})\boldsymbol{a}_\phi \\ &= \sqrt{8}\boldsymbol{a}_\phi\end{aligned}$$

صورت اختیار کر لیتی ہے۔اس مساوات کے مطابق $\phi = 45^\circ$ پر $\boldsymbol{A}$ صرف اور صرف $\boldsymbol{a}_\phi$ کی سمت میں ہے اور اس کی لمبائی $\sqrt{8}$ ہے۔شکل 1.23-ب میں یہ حقیقت واضح ہے کہ $\phi = 45^\circ$ پر $\boldsymbol{A}$ کی سمت $\boldsymbol{a}_\phi$ ہی ہے۔یاد رہے کہ اس مساوات میں $\boldsymbol{a}_\rho$ اور $\boldsymbol{a}_\phi$ کو $\phi = 45^\circ$ پر حاصل کیا گیا ہے۔شکل میں اکائی سمتیات کو عین $\boldsymbol{A}$ کے اوپر کھینچا گیا ہے تاکہ سمتیات کی سمتوں کا موازنہ آسانی سے کیا جا سکے۔

آپ نے دیکھا کہ نلکی محدد میں سمتیہ کی مساوات کا دارومدار اس نقطے پر ہے جس نقطے کے اکائی سمتیات استعمال کئے جائیں۔آئیں دیکھیں کہ $\phi = 135^\circ$ پر پائے جانے والے نقطہ T کے اکائی سمتیات استعمال کرتے ہوئے $\boldsymbol{A}$ کیسا لکھا جائے گا۔مساوات 1.41 میں $\phi = 135^\circ$ پُر کرنے سے

$$\begin{aligned}\boldsymbol{A}_{\phi=135^\circ} &= 2(-\cos 135^\circ + \sin 135^\circ)\boldsymbol{a}_\rho + 2(\sin 135^\circ + \cos 135^\circ)\boldsymbol{a}_\phi \\ &= 2(\frac{1}{\sqrt{2}} + \frac{1}{\sqrt{2}})\boldsymbol{a}_\rho + 2(\frac{1}{\sqrt{2}} - \frac{1}{\sqrt{2}})\boldsymbol{a}_\phi \\ &= \sqrt{8}\boldsymbol{a}_\rho\end{aligned}$$

حاصل ہوتا ہے۔اس مساوات کے مطابق $\phi = 135^\circ$ کے اکائی سمتیات استعمال کرتے ہوئے $\boldsymbol{A}$ کو $\boldsymbol{a}_\rho$ کی سمت میں $\sqrt{8}$ لمبائی کا سمتیہ لکھا جا سکتا ہے۔شکل سے یہ حقیقت واضح ہے۔

مثال 1.8: شکل 1.24 میں z محدد پر نقطہ $a(0, 0, \frac{d}{2})$ پر مثبت چارج $+Q$ اور نقطہ $b(0, 0, -\frac{d}{2})$ پر منفی چارج $-Q$ پائے جاتے ہیں۔ایسے دو برابر لیکن الٹ علامت کے دو قریب قریب پائے جانے والے چارجوں کی جوڑی کو جفت قطب[23] کہتے ہیں۔دکھائے گئے سمتی فاصلوں $\boldsymbol{R}_1$ اور $\boldsymbol{R}_2$ کو کروی محدد میں لکھیں۔

---

[23] dipole

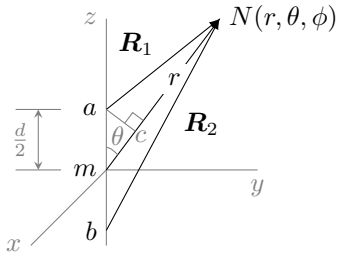

شکل 1.24: جفت قطب کے چارجوں سے دور نقطے تک فاصلے۔

حل: m سے N تک فاصلہ r ہے اور اس سمت میں اکائی سمتیہ $\boldsymbol{a}_{\mathrm{r}}$ ہے۔ نقطہ a سے r پر عمودی لکیر لگائی گئی ہے جو اسے c پر ملتی ہے۔ یوں ac کی سمت کروی محدد کے اکائی سمتیہ $\boldsymbol{a}_\theta$ کی سمت میں ہے۔ شکل کو دیکھتے ہوئے $mc = \frac{d}{2}\cos\theta$ اور $ac = \frac{d}{2}\sin\theta$ لکھے جا سکتے ہیں۔ یوں $\boldsymbol{R}_1$ کو ہم a سے c تک سمتیہ $\frac{d}{2}\sin\theta\boldsymbol{a}_\theta$ اور c سے N تک سمتیہ $(r-\frac{d}{2}\cos\theta)\boldsymbol{a}_{\mathrm{r}}$ کے مجموعے کی شکل میں

$$\boldsymbol{R}_1 = \frac{d}{2}\sin\theta\boldsymbol{a}_\theta + (r-\frac{d}{2}\cos\theta)\boldsymbol{a}_{\mathrm{r}} \tag{1.42}$$

لکھ سکتے ہیں۔ ہم اسی طرح شکل 1.24 میں N سے m تک لکیر کو m سے آگے بڑھا کر b سے اس پر عمودی لکیر کھینچ کر شکل کو دیکھتے ہوئے $\boldsymbol{R}_2$ کی مساوات بھی لکھ سکتے ہیں البتہ ایسا کرنے کی بجائے آئیں $\boldsymbol{R}_2$ کی مساوات تحلیلی طریقے سے حاصل کریں۔ شکل کو دیکھتے ہوئے

$$\boldsymbol{R}_2 = \frac{d}{2}\boldsymbol{a}_{\mathrm{z}} + r\boldsymbol{a}_{\mathrm{r}}$$

لکھا جا سکتا ہے جہاں کارتیسی محدد کی اکائی سمتیہ $\boldsymbol{a}_{\mathrm{z}}$ اور کروی محدد کی اکائی سمتیہ $\boldsymbol{a}_{\mathrm{r}}$ استعمال کئے گئے۔ کروی محدد میں کسی بھی لکیر کی طرح

$$\boldsymbol{R}_2 = A_r\boldsymbol{a}_{\mathrm{r}} + A_\theta\boldsymbol{a}_\theta + A_\phi\boldsymbol{a}_\phi$$

لکھا جا سکتا ہے۔ آئیں $A_r = \boldsymbol{R}_2\cdot\boldsymbol{a}_{\mathrm{r}}$ سے حاصل کریں۔

$$A_r = \left(\frac{d}{2}\boldsymbol{a}_{\mathrm{z}} + r\boldsymbol{a}_{\mathrm{r}}\right)\cdot\boldsymbol{a}_{\mathrm{r}} = \frac{d}{2}\cos\theta + r$$

اسی طرح $A_\theta = \boldsymbol{R}_2\cdot\boldsymbol{a}_\theta$ سے حاصل کرتے ہیں۔

$$A_\theta = \left(\frac{d}{2}\boldsymbol{a}_{\mathrm{z}} + r\boldsymbol{a}_{\mathrm{r}}\right)\cdot\boldsymbol{a}_\theta = -\frac{d}{2}\sin\theta$$

اسی طرح $A_\phi = \boldsymbol{R}_2\cdot\boldsymbol{a}_\phi$ لکھتے ہوئے $A_\phi = 0$ حاصل ہوتا ہے۔ یوں

$$\boldsymbol{R}_2 = \left(\frac{d}{2}\cos\theta + r\right)\boldsymbol{a}_{\mathrm{r}} - \frac{d}{2}\sin\theta\boldsymbol{a}_\theta \tag{1.43}$$

لکھا جا سکتا ہے۔

1.9.3 نلکی لامحدود سطحیں

شکل 1.25-الف میں ϕ تبدیل کئے بغیر ρ اور z کی قیمتیں تبدیل کرتے ہوئے $\phi = \phi_0$ سطح کا حصول دکھایا گیا ہے۔ یہ سطح نلکی شکل رکھتی ہے جس کا اوپر والا منہ اور نچلا منہ کھلے ہیں یعنی ان پر ڈھکن نہیں۔ شکل-ب میں ρ تبدیل کئے بغیر ϕ اور z کو تبدیل کرتے ہوئے $\rho = \rho_0$ سطح کا حصول دکھایا گیا

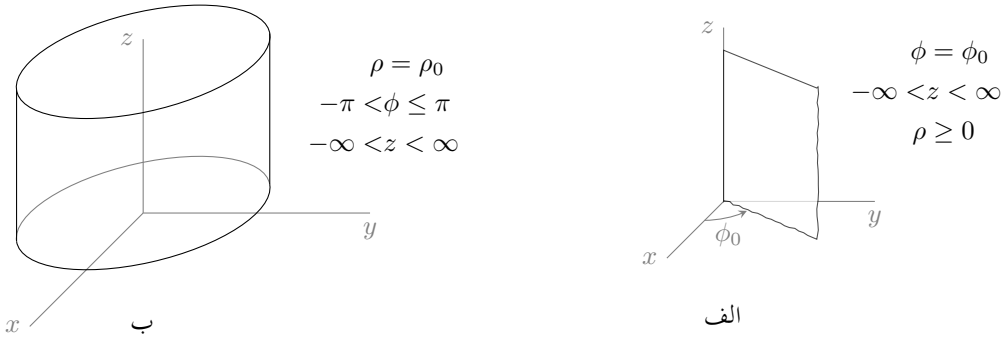

شکل 1.25: $\phi = \phi_0$ اور $\rho = \rho_0$ سطحیں۔

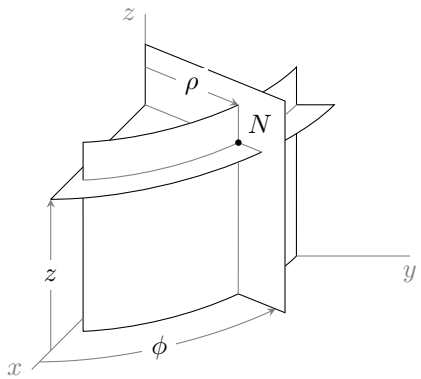

شکل 1.26: نلکی محدد کے تین سطحیں۔

ہے۔ان دونوں لامحدود سطحوں کے کچھ حصے ان اشکال میں دکھائے گئے ہیں۔ شکل-الف میں ρ کی قیمت صرف مثبت جبکہ z کی قیمت مثبت یا منفی ممکن ہے۔ شکل-ب میں زاویہ کل 2π ریڈیئن تبدیل ہو سکتا ہے۔یوں زاویے کا مثبت حد π ریڈیئن یعنی 180 درجہ ہے جبکہ اس کا منفی[24] حد $-\pi$ یعنی -180 درجے ہے۔ نلکی محدد اور کارتیسی نظام دونوں میں $z = z_0$ سطح یکساں بنتی ہے۔

جیسے شکل 1.26 میں دکھایا گیا ہے، $\rho = \rho_1$ اور $\phi = \phi_1$ سطحیں $\boldsymbol{a}_z$ کی سیدھ میں سیدھی لکیر پر ملتے ہیں۔اسی طرح $\rho = \rho_1$ اور $z = z_1$ سطحیں ایک گول دائرے پر ملتے ہیں جبکہ $\phi = \phi_1$ اور $z = z_1$ سطحیں $\boldsymbol{a}_\rho$ کی سیدھ میں سیدھی لکیر پر ملتے ہیں۔ $\rho = \rho_1$، $\phi = \phi_1$ اور $z = z_1$ سطحیں صرف اور صرف ایک ہی نقطہ N پر اکٹھے ملتے ہیں۔ نلکی محدد میں کسی بھی نقطے کا مقام اسی طرح تین سطحوں کے متقاطع نقطہ سے حاصل کیا جاتا ہے۔البتہ $(0, 0, z)$ تک پہنچنے کی خاطر ایسا کرنے کی ضرورت نہیں ہوتی۔

کسی بھی نقطہ $N(\rho_1, \phi_1, z_1)$ پر $\rho = \rho_1$، $\phi = \phi_1$ اور $z = z_1$ سطحیں بنانے کے بعد اگر نلکی محدد کے متغیرات کو $\mathrm{d}\rho$، $\mathrm{d}\phi$ اور $\mathrm{d}z$ بڑھا کر مزید تین سطحیں کھینچے جائیں تو یہ چھ سطحیں مل کر منحرف مکعب کو گھیریں گے جسے شکل 1.27-الف میں دکھایا گیا ہے۔ردا سی سمت میں اس منحرف مکعب کے اطراف کی لمبائی $\mathrm{d}\rho$ جبکہ $\boldsymbol{a}_z$ سمت کے اطراف کی لمبائی $\mathrm{d}z$ ہے۔ $\boldsymbol{a}_\phi$ سمت میں z محدد کے قریبی گول طرف کی لمبائی $\rho\,\mathrm{d}\phi$ جبکہ محدد سے دور طرف کی گول لمبائی $(\rho + \mathrm{d}\rho)\,\mathrm{d}\phi$ ہے۔جیسے جیسے اس منحرف مکعب کو چھوٹا کیا جائے ویسے ویسے یہ ایک درست مکعب کی صورت اختیار کرتا ہے۔لہٰذا نہایت چھوٹے حجم کو مکعب تصور کرتے ہوئے اس کا حجم $\rho\,\mathrm{d}\rho\,\mathrm{d}\phi\,\mathrm{d}z$ لکھا جا سکتا ہے۔

شکل 1.27-ب میں چھوٹے منحرف مکعب کو ردا سی سمت میں z محدد تک بڑھا کر پیچ یا فانہ کی شکل میں دکھایا گیا ہے۔ $z = 0$ سطح پر اس کا عمودی سایہ بھی دکھایا گیا ہے۔ ρ رداس کے گول دائرے کے مرکز سے $\mathrm{d}\phi$ زاویے پر دو لکیریں دائرے تک کھینچنے سے $\frac{\rho^2\,\mathrm{d}\phi}{2}$ رقبہ گھیرا جاتا ہے۔اگر رداس $\rho + \mathrm{d}\rho$

[24] حقیقت میں منفی حد -180° کو نہیں چھوتا۔اگر منفی حد -180° کو چھوئے تب منفی x محدد دو مرتبہ شامل ہوتا ہے۔

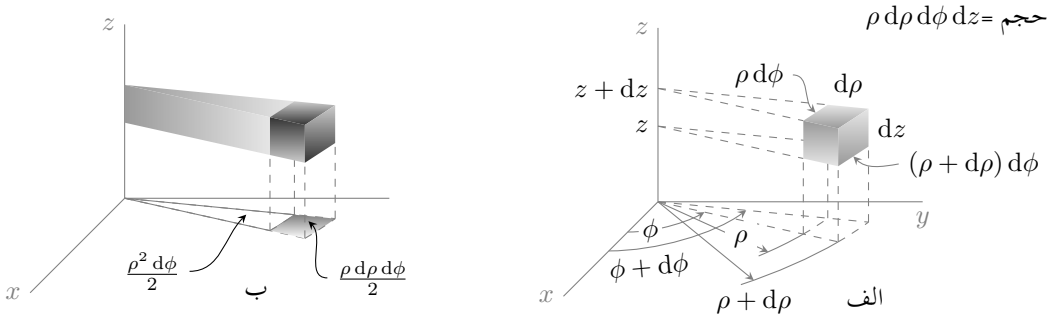

شکل 1.27: نلکی محدد میں انتہائی چھوٹی حجم۔

ہو تب رقبہ $\frac{(\rho+\mathrm{d}\rho)^2\,\mathrm{d}\phi}{2}$ ہو گا۔یوں شکل-ب میں چھوٹے مکعب کے سایہ کا رقبہ $\mathrm{d}S$

$$\begin{aligned}
\mathrm{d}S &= \frac{(\rho+\mathrm{d}\rho)^2\,\mathrm{d}\phi}{2} - \frac{\rho^2\,\mathrm{d}\phi}{2}\\
&= \frac{\rho^2\,\mathrm{d}\phi + 2\rho\,\mathrm{d}\rho\,\mathrm{d}\phi + (\mathrm{d}\rho)^2\,\mathrm{d}\phi}{2} - \frac{\rho^2\,\mathrm{d}\phi}{2}\\
&= \rho\,\mathrm{d}\rho\,\mathrm{d}\phi + \frac{(\mathrm{d}\rho)^2\,\mathrm{d}\phi}{2}\\
&\approx \rho\,\mathrm{d}\rho\,\mathrm{d}\phi
\end{aligned}$$

ہو گا۔یہاں آخری قدم پر d کی علامت، مجموعہ کے پہلے رکن میں دو مرتبہ جبکہ دوسرے رکن میں تین مرتبہ ہے۔یوں دوسرے اور پہلے رکن کی نسبت $\frac{0.5(\mathrm{d}\rho)^2\,\mathrm{d}\phi}{\rho\,\mathrm{d}\rho\,\mathrm{d}\phi} = \frac{\mathrm{d}\rho}{2\rho}$ ہو گی۔$\mathrm{d}\rho$ کو کم سے کم[25] کرتے ہوئے دوسرے رکن کو قابل نظر انداز بناتے ہوئے نظرانداز کیا گیا ہے۔یوں $\rho\,\mathrm{d}\rho\,\mathrm{d}\phi$ رقبہ اور $\mathrm{d}z$ بلندی کے مکعب کا حجم $\rho\,\mathrm{d}\rho\,\mathrm{d}\phi\,\mathrm{d}z$ ہو گا۔

شکل 1.27 کو درست مکعب تصور کرتے ہوئے، اس کے اطراف کی لمبائی $\rho\,\mathrm{d}\phi$، $\mathrm{d}\rho$ اور $\mathrm{d}z$ لی جاتی ہے۔یوں مکعب کے نچلی اور اوپر سطح کا رقبہ مستطیل کے اطراف کو ضرب دیتے ہوئے $\rho\,\mathrm{d}\rho\,\mathrm{d}\phi$ لکھا جا سکتا ہے۔اسی طرح سامنے اور پیچھے سطحوں کا رقبہ $\mathrm{d}\rho\,\mathrm{d}z$ جبکہ بائیں اور دائیں سطحوں کا رقبہ $\rho\,\mathrm{d}\phi\,\mathrm{d}z$ لکھا جا سکتا ہے۔

شکل 1.27-الف میں نلکی محدد کے تینوں متغیرات تبدیل کرتے ہوئے ہم چھوٹے مکعب کے $N(\rho,\phi,z)$ کونے سے $N'(\rho+\mathrm{d}\rho,\phi+\mathrm{d}\phi,z+\mathrm{d}z)$ کونے پہنچتے ہیں۔N سے N' تک سمتیہ کو

$$\mathrm{d}\boldsymbol{L} = \mathrm{d}\rho\boldsymbol{a}_\rho + \rho\,\mathrm{d}\phi\boldsymbol{a}_\phi + \mathrm{d}z\boldsymbol{a}_z \tag{1.44}$$

لکھا جاتا ہے۔یہ مساوات کسی بھی دو قریبی نقطوں کے مابین سمتی فاصلے کو ظاہر کرتی ہے۔

1.10 کروی محدد

سیدھی لکیروں اور سیدھی سطحوں کو کارتیسی محدد میں زیادہ آسانی سے ظاہر کیا جا سکتا ہے جبکہ نلکی سطحوں کو ظاہر کرنے کے لئے نلکی محدد بہتر ثابت ہوتا ہے۔اسی طرح کرہ اشکال کے سطحوں کو کروی محدد میں باآسانی لکھا جا سکتا ہے۔آئیں کروی نظام پر غور کریں۔

[25] کسی بھی متغیرہ مثلاً ρ میں چھوٹی سی تبدیلی کو $\Delta\rho$ لکھا جاتا ہے جبکہ اس میں کم سے کم تبدیلی کو $\mathrm{d}\rho$ لکھا جاتا ہے۔$\mathrm{d}\rho$ کو تقریباً صفر سمجھا جا سکتا ہے یعنی $\mathrm{d}\rho \to 0$ ہوتا ہے۔

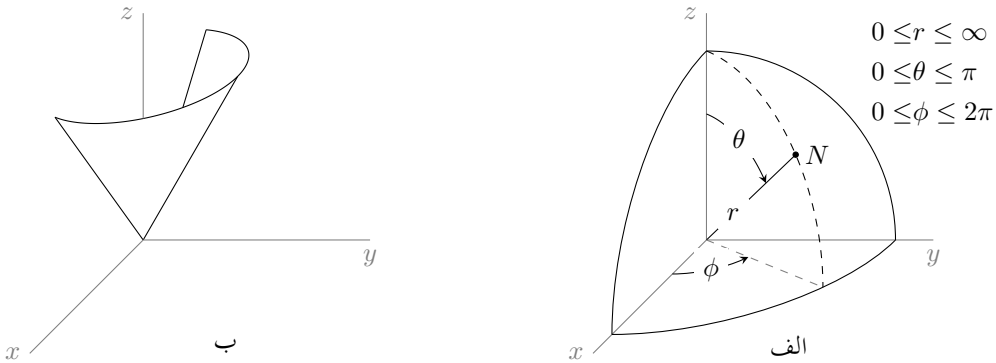

شکل 1.28: الف کروی محدد کے متغیرات۔ ب $\theta = \theta_0$ سطح کا کچھ حصہ۔

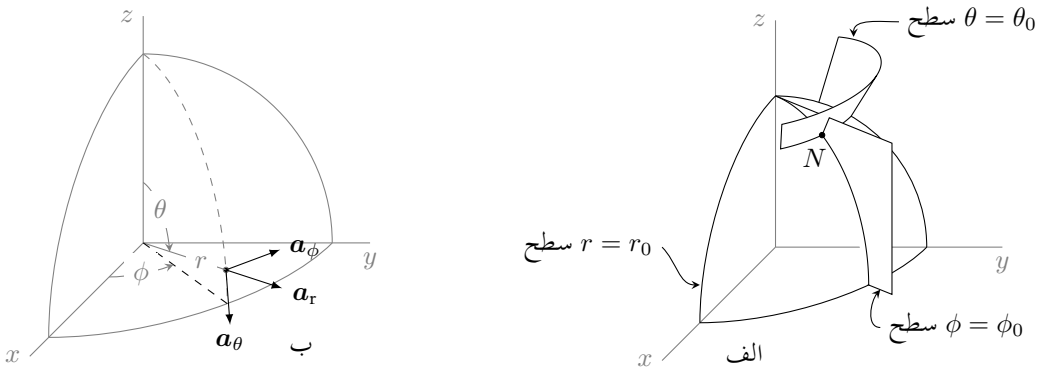

شکل 1.29: (الف) تین عمودی سطحوں کے ملاپ سے نقطہ N کا حصول۔ (ب) کروی محدد کے تین عمودی اکائی سمتیات۔

شکل 1.28-الف میں کروی محدد کے متغیرات r، θ اور ϕ دکھائے گئے ہیں۔ محدد کے مرکز سے نقطہ N تک کے فاصلے r کو کروی رداس پکارا جاتا ہے جبکہ z محدد سے کروی رداس تک زاویے کو θ لکھا جاتا ہے۔ x محدد سے رداس کے عمودی سائے تک زاویہ ϕ ہے۔ کروی اور نلکی نظام میں ϕ یکساں بیان کیا جاتا ہے۔ رداس کی قیمت مثبت لی جاتی ہے۔ یوں $r \ge 0$ ممکن ہے۔ θ کی کم سے کم قیمت $0°$ اور زیادہ سے زیادہ قیمت $180°$ ہے جبکہ ϕ کی کم سے کم قیمت $0°$ اور زیادہ سے زیادہ قیمت $360°$ ہے۔

r اور ϕ تبدیل کئے بغیر θ کو 0 سے بڑھاتے ہوئے π ریڈیئن کرنے سے نقطہ N شکل 1.28-الف میں نقطہ دار لکیر پر چلتے ہوئے مثبت z محدد سے شروع ہو کر منفی z محدد پر پہنچتا ہے۔ اسے نقطہ دار لکیر کو کرہ ارض کے خط طول بلد[26] تصور کیا جا سکتا ہے۔ شکل-الف میں θ کا $0°$ تا $90°$ تبدیل ہوتا دکھایا گیا ہے۔ اسی طرح r اور θ تبدیل کئے بغیر ϕ کو $0°$ تا $360°$ تبدیل کرنے سے نقطہ N گول دائرے پر z محدد کے گرد ایک چکر کاٹے گا۔ یہ حرکت کرہ ارض کے خط عرض بلد[27] پر چلنے کے مانند ہے۔ θ اور ϕ تبدیل کئے بغیر r کو تبدیل کرنے سے نقطہ N مرکز سے سیدھی باہر نکلتی لکیر پر حرکت کرتا ہے۔

r تبدیل کئے بغیر θ کو $0°$ تا $180°$ اور ϕ کو $0°$ تا $360°$ تبدیل کرنے سے نقطہ N کروی $r = r_0$ سطح پر حرکت کرے گا۔ اس کروی سطح کا رداس r ہو گا۔ شکل 1.28-الف میں θ کو $0°$ تا $90°$ اور ϕ کو $0°$ تا $90°$ تبدیل کرنے سے حاصل سطح دکھائی گئی ہے۔ شکل 1.28-ب میں θ تبدیل کئے بغیر r اور ϕ تبدیل کرنے سے پیدا مخروط[28] $\theta = \theta_0$ کروی سطح دکھائی گئی ہے۔ ϕ تبدیل کئے بغیر r اور θ تبدیل کرنے سے نلکی محدد کی طرح $\phi = \phi_0$ سطح حاصل ہوتی ہے۔ شکل 1.29-الف میں ان تینوں سطحوں کو دکھایا گیا ہے۔ بالکل کارتیسی اور نلکی محدد کی طرح، کسی بھی نقطہ $N(r_0, \theta_0, \phi_0)$ کا مقام ان تین

[26] longitude
[27] latitude
[28] cone

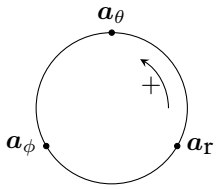

شکل 1.30: کروی نظام میں اکائی سمتیات کی صلیبی ضرب۔

سطحوں کے نقطہ ملاپ سے اخذ کیا جاتا ہے۔ کسی بھی نقطہ $N(r_0, \theta_0, \phi_0)$ پر $r = r_0$، $\theta = \theta_0$ اور $\phi = \phi_0$ سطحیں آپس میں عمودی ہوتی ہے اور یہ صرف اور صرف اسی نقطے پر اکھٹے ملتی ہیں۔

شکل 1.29-ب میں کروی نظام کے تین عمودی اکائی سمتیات $\boldsymbol{a}_\mathrm{r}$، $\boldsymbol{a}_\theta$ اور $\boldsymbol{a}_\phi$ دکھائے گئے ہیں۔ نلکی محدد کی طرح کروی محدد کے عمودی اکائی سمتیات بھی مقام تبدیل کرنے سے تبدیل ہوتے ہیں۔ کسی بھی نقطہ $N(r_0, \theta_0, \phi_0)$ پر θ اور ϕ تبدیل کئے بغیر r کے بڑھتے جانب اکائی سمتیہ $\boldsymbol{a}_\mathrm{r}$ ہو گی۔ اسی طرح θ بڑھانے سے نقطہ N اکائی سمتیہ $\boldsymbol{a}_\theta$ کی جانب حرکت کرے گا جبکہ ϕ بڑھانے سے نقطہ $\boldsymbol{a}_\phi$ کی جانب حرکت کرے گا۔ کارتیسی اور نلکی محدد کی طرح کروی محدد کے اکائی سمتیات کو بھی محددی نظام کے متغیرات کو کم سے کم بڑھاتے ہوئے نقطے کی حرکت کی جانب اکائی سمتیہ کھینچنے سے حاصل کیا جاتا ہے۔

شکل 1.29-الف سے واضح ہے کہ $\boldsymbol{a}_\mathrm{r}$ سمتیہ $r = r_0$ سطح کے عمودی جبکہ $\theta = \theta_0$ اور $\phi = \phi_0$ سطحوں کے متوازی ہے۔ اسی طرح $\boldsymbol{a}_\theta$ سمتیہ $\theta = \theta_0$ سطح کے عمودی اور $\phi = \phi_0$ سطح کے متوازی پایا جاتا ہے جبکہ $r = r_0$ سطح کے ساتھ مماس بناتا ہے۔ $\boldsymbol{a}_\phi$ سمتیہ $\phi = \phi_0$ سطح کے عمودی جبکہ $r = r_0$ اور $\theta = \theta_0$ سطحوں کے ساتھ مماس بناتا ہے۔

$\boldsymbol{a}_\mathrm{r}$، $\boldsymbol{a}_\theta$ اور $\boldsymbol{a}_\phi$ کروی نظام کے اکائی سمتیات ہیں۔ $\boldsymbol{a}_\mathrm{r} \times \boldsymbol{a}_\theta = \boldsymbol{a}_\phi$ لکھنے سے دائیں ہاتھ کا کروی نظام حاصل ہوتا ہے۔ دائیں ہاتھ کے قانون میں دائیں ہاتھ کا انگوٹھا r جبکہ پہلی انگلی θ اور دوسری انگلی ϕ بڑھانے سے پیدا حرکت کی سمتوں کو ظاہر کرتے ہیں۔ نلکی محدد میں یہ انگلیاں ρ، ϕ اور z جبکہ کارتیسی محدد میں x، y اور z بڑھانے سے پیدا حرکت کی سمتوں کو ظاہر کرتی ہیں۔

دائیں ہاتھ کے قانون یا شکل 1.30 کی مدد سے یوں اکائی سمتیات کے صلیبی ضرب

$$\boldsymbol{a}_\mathrm{r} \times \boldsymbol{a}_\theta = \boldsymbol{a}_\phi, \quad \boldsymbol{a}_\theta \times \boldsymbol{a}_\phi = \boldsymbol{a}_\mathrm{r}, \quad \boldsymbol{a}_\phi \times \boldsymbol{a}_\mathrm{r} = \boldsymbol{a}_\theta \tag{1.45}$$

لکھے جا سکتے ہیں۔ اسی طرح

$$\boldsymbol{a}_\mathrm{r} \cdot \boldsymbol{a}_\mathrm{r} = 1, \quad \boldsymbol{a}_\theta \cdot \boldsymbol{a}_\theta = 1, \quad \boldsymbol{a}_\phi \cdot \boldsymbol{a}_\phi = 1 \tag{1.46}$$

اور

$$\boldsymbol{a}_\mathrm{r} \cdot \boldsymbol{a}_\theta = 0, \quad \boldsymbol{a}_\theta \cdot \boldsymbol{a}_\phi = 0, \quad \boldsymbol{a}_\phi \cdot \boldsymbol{a}_\mathrm{r} = 0 \tag{1.47}$$

بھی لکھے جا سکتے ہیں۔

نقطہ N کا z محدد سے فاصلہ ρ ہے جو نلکی محدد کا رداس ہے۔ اسے شکل 1.31 میں دکھایا گیا ہے جہاں سے واضح ہے کہ $\rho = r \sin\theta$ کے برابر ہے۔ اسی طرح $z = 0$ سطح سے N کی اونچائی z ہے جو شکل کو دیکھتے ہوئے $z = r\cos\theta$ لکھی جا سکتی ہے۔ نقطہ N کا عمودی سایہ $z = 0$ سطح پر دکھایا گیا ہے جہاں سے واضح ہے کہ $x = \rho\cos\phi$ اور $y = \rho\sin\phi$ لکھے جا سکتے ہیں۔ $\rho = r\sin\theta$ پُر کرنے سے

$$\begin{aligned} x &= r\sin\theta\cos\phi \\ y &= r\sin\theta\sin\phi \\ z &= r\cos\theta \end{aligned} \tag{1.48}$$

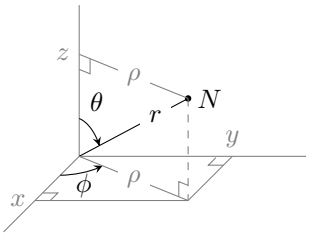

شکل 1.31: کروی، نلکی اور کارتیسی متغیرات کا تبادلہ۔

شکل 1.32: کروی اکائی سمتیات کا کارتیسی نظام میں تبادلہ۔

لکھے جا سکتے ہیں جہاں z کی مساوات بھی ساتھ ہی لکھی گئی ہے۔ مساوات 1.48 کروی سے کارتیسی متغیرات دیتا ہے۔ اسی شکل کو دیکھتے ہوئے مسئلہ فیثاغورث کی مدد سے

$$\begin{aligned} r^2 &= \rho^2 + z^2 \\ \rho^2 &= x^2 + y^2 \end{aligned} \tag{1.49}$$

لکھتے ہوئے

$$r^2 = x^2 + y^2 + z^2 \tag{1.50}$$

حاصل ہوتا ہے۔ مساوات 1.48 میں z کی مساوات سے

$$\theta = \cos^{-1}\frac{z}{r} = \cos^{-1}\frac{z}{\sqrt{x^2+y^2+z^2}} \tag{1.51}$$

لکھا جا سکتا ہے۔ اسی طرح مساوات 1.48 کے y کو x سے تقسیم کرتے ہوئے

$$\phi = \tan^{-1}\frac{y}{x} \tag{1.52}$$

حاصل ہوتا ہے۔ مساوات 1.50، مساوات 1.51 اور مساوات 1.52 کارتیسی سے کروی متغیرات دیتے ہیں۔ 464

شکل 1.29-ب میں نقطہ N پر اکائی سمتیات دکھائے گئے ہیں۔ $\boldsymbol{a}_\mathrm{r}$ کی سمت تبدیل کئے بغیر اسے محدد کے مرکز پر منتقل کرتے ہوئے شکل 1.32-الف میں دکھایا گیا ہے جہاں سے ظاہر ہے کہ اسے نلکی محدد کے اکائی سمتیات کی مدد سے

$$\boldsymbol{a}_\mathrm{r} = A_\rho \boldsymbol{a}_\rho + A_z \boldsymbol{a}_\mathrm{z} \tag{1.53}$$

لکھا جا سکتا ہے۔ شکل 1.32-الف میں $\boldsymbol{a}_\mathrm{r}$ کی لمبائی ایک لیتے ہوئے $A_\rho = \sin\theta$ اور $A_z = \cos\theta$ لکھا جا سکتا ہے۔ یوں

$$\boldsymbol{a}_\mathrm{r} = \sin\theta \boldsymbol{a}_\rho + \cos\theta \boldsymbol{a}_\mathrm{z} \tag{1.54}$$

حاصل ہوتا ہے۔اس مساوات کا باری باری $\boldsymbol{a}_\rho$، $\boldsymbol{a}_\phi$ اور $\boldsymbol{a}_\mathrm{z}$ کے ساتھ غیر سمتی ضرب لیتے ہوئے

$$\begin{aligned}
\boldsymbol{a}_\mathrm{r}\cdot\boldsymbol{a}_\rho &= (\sin\theta\boldsymbol{a}_\rho+\cos\theta\boldsymbol{a}_\mathrm{z})\cdot\boldsymbol{a}_\rho=\sin\theta\\
\boldsymbol{a}_\mathrm{r}\cdot\boldsymbol{a}_\phi &= (\sin\theta\boldsymbol{a}_\rho+\cos\theta\boldsymbol{a}_\mathrm{z})\cdot\boldsymbol{a}_\phi=0\\
\boldsymbol{a}_\mathrm{r}\cdot\boldsymbol{a}_\mathrm{z} &= (\sin\theta\boldsymbol{a}_\rho+\cos\theta\boldsymbol{a}_\mathrm{z})\cdot\boldsymbol{a}_\mathrm{z}=\cos\theta
\end{aligned} \tag{1.55}$$

حاصل ہوتا ہے جہاں $\boldsymbol{a}_\rho\cdot\boldsymbol{a}_\rho=1$، $\boldsymbol{a}_\mathrm{z}\cdot\boldsymbol{a}_\rho=0$ وغیرہ کا استعمال کیا گیا۔یہ مساوات کروی رداسی اکائی سمتیے اور نلکی نظام کے اکائی سمتیات کے تمام ممکنہ غیر سمتی ضرب دیتا ہے۔اسی طرح جدول 1.1 استعمال کرتے ہوئے مساوات 1.54 کا باری باری $\boldsymbol{a}_\mathrm{x}$ اور $\boldsymbol{a}_\mathrm{y}$ کے ساتھ غیر سمتی ضرب لیتے ہوئے

$$\begin{aligned}
\boldsymbol{a}_\mathrm{r}\cdot\boldsymbol{a}_\mathrm{x} &= (\sin\theta\boldsymbol{a}_\rho+\cos\theta\boldsymbol{a}_\mathrm{z})\cdot\boldsymbol{a}_\mathrm{x}=\sin\theta\cos\phi\\
\boldsymbol{a}_\mathrm{r}\cdot\boldsymbol{a}_\mathrm{y} &= (\sin\theta\boldsymbol{a}_\rho+\cos\theta\boldsymbol{a}_\mathrm{z})\cdot\boldsymbol{a}_\mathrm{y}=\sin\theta\sin\phi\\
\boldsymbol{a}_\mathrm{r}\cdot\boldsymbol{a}_\mathrm{z} &= (\sin\theta\boldsymbol{a}_\rho+\cos\theta\boldsymbol{a}_\mathrm{z})\cdot\boldsymbol{a}_\mathrm{z}=\cos\theta
\end{aligned} \tag{1.56}$$

حاصل ہوتا ہے۔مکمل نتائج ایک جگہ لکھنے کی خاطر مندرجہ بالا مساوات میں $\boldsymbol{a}_\mathrm{r}\cdot\boldsymbol{a}_\mathrm{z}$ کو بھی شامل کیا گیا ہے۔ یہ مساوات کروی اکائی رداسی سمتیے اور کارتیسی اکائی سمتیات کے تمام ممکنہ غیر سمتی ضرب دیتا ہے۔ 466

$\boldsymbol{a}_\mathrm{r}$ کو کارتیسی نظام میں لکھنے کی خاطر $\boldsymbol{a}_\mathrm{r}=\boldsymbol{A}=A_x\boldsymbol{a}_\mathrm{x}+A_y\boldsymbol{a}_\mathrm{y}+A_z\boldsymbol{a}_\mathrm{z}$ لکھتے ہیں۔مساوات 1.38 کے مطابق $A_x=\boldsymbol{a}_\mathrm{x}\cdot\boldsymbol{a}_\mathrm{r}$ جبکہ $A_y=\boldsymbol{a}_\mathrm{y}\cdot\boldsymbol{a}_\mathrm{r}$ اور $A_z=\boldsymbol{a}_\mathrm{z}\cdot\boldsymbol{a}_\mathrm{r}$ ہوں گے۔یہ تمام مساوات 1.56 میں دئے گئے ہیں۔یوں

$$\boldsymbol{a}_\mathrm{r}=\sin\theta\cos\phi\boldsymbol{a}_\mathrm{x}+\sin\theta\sin\phi\boldsymbol{a}_\mathrm{y}+\cos\theta\boldsymbol{a}_\mathrm{z} \tag{1.57}$$

لکھا جا سکتا ہے۔ 467

شکل 1.29-ب میں دکھائے $\boldsymbol{a}_\theta$ کو $\phi=\phi_0$ سطح پر حرکت دیتے ہوئے مرکز کے اتنے قریب لا کر شکل 1.32-ب میں دکھایا گیا ہے کہ اس کی نوک $x=0$ سطح کو چھوتی ہے۔جیسا شکل 1.29-الف سے واضح ہے، $\phi=\phi_0$ سطح پر $\boldsymbol{a}_\theta$ کو حرکت دینے سے اس سمتیہ کی سمت تبدیل نہیں ہوتی۔شکل 1.32-ب کو دیکھتے ہوئے $\boldsymbol{a}_\theta=B_\rho\boldsymbol{a}_\rho-B_z\boldsymbol{a}_\mathrm{z}$ لکھا جا سکتا ہے۔یہاں رک کر تسلی کر لیں کہ $B_\rho\boldsymbol{a}_\rho$ اور $\boldsymbol{a}_\theta$ کے مابین زاویہ θ ہے۔$\boldsymbol{a}_\theta$، $B_\rho\boldsymbol{a}_\rho$ اور $-B_z\boldsymbol{a}_\mathrm{z}$ مل کر تکون بناتے ہیں جسے دیکھتے ہوئے مسئلہ فیثاغورث کی مدد سے

$$\begin{aligned}
B_\rho &= \cos\theta\\
B_z &= \sin\theta
\end{aligned}$$

لکھا جا سکتا ہے۔یوں

$$\boldsymbol{a}_\theta=\cos\theta\boldsymbol{a}_\rho-\sin\theta\boldsymbol{a}_\mathrm{z} \tag{1.58}$$

کے برابر ہے۔اس مساوات کا باری باری $\boldsymbol{a}_\rho$، $\boldsymbol{a}_\phi$ اور $\boldsymbol{a}_\mathrm{z}$ کے ساتھ غیر سمتی ضرب لینے سے

$$\begin{aligned}
\boldsymbol{a}_\theta\cdot\boldsymbol{a}_\rho &= (\cos\theta\boldsymbol{a}_\rho-\sin\theta\boldsymbol{a}_\mathrm{z})\cdot\boldsymbol{a}_\rho=\cos\theta\\
\boldsymbol{a}_\theta\cdot\boldsymbol{a}_\phi &= (\cos\theta\boldsymbol{a}_\rho-\sin\theta\boldsymbol{a}_\mathrm{z})\cdot\boldsymbol{a}_\phi=0\\
\boldsymbol{a}_\theta\cdot\boldsymbol{a}_\mathrm{z} &= (\cos\theta\boldsymbol{a}_\rho-\sin\theta\boldsymbol{a}_\mathrm{z})\cdot\boldsymbol{a}_\mathrm{z}=-\sin\theta
\end{aligned} \tag{1.59}$$

$\boldsymbol{a}_\theta$ اور نلکی اکائی سمتیات کے تمام غیر سمتی ضرب حاصل ہوتے ہیں۔اسی طرح مساوات 1.58 کا باری باری ax، $\boldsymbol{a}_\mathrm{y}$ اور $\boldsymbol{a}_\mathrm{z}$ کے ساتھ غیر سمتی ضرب لینے سے

$$\begin{aligned}
\boldsymbol{a}_\theta\cdot\boldsymbol{a}_\mathrm{x} &= (\cos\theta\boldsymbol{a}_\rho-\sin\theta\boldsymbol{a}_\mathrm{z})\cdot\boldsymbol{a}_\mathrm{x}=\cos\theta\boldsymbol{a}_\rho\cdot\boldsymbol{a}_\mathrm{x}=\cos\theta\cos\phi\\
\boldsymbol{a}_\theta\cdot\boldsymbol{a}_\mathrm{y} &= (\cos\theta\boldsymbol{a}_\rho-\sin\theta\boldsymbol{a}_\mathrm{z})\cdot\boldsymbol{a}_\mathrm{y}=\cos\theta\boldsymbol{a}_\rho\cdot\boldsymbol{a}_\mathrm{y}=\cos\theta\sin\phi\\
\boldsymbol{a}_\theta\cdot\boldsymbol{a}_\mathrm{z} &= (\cos\theta\boldsymbol{a}_\rho-\sin\theta\boldsymbol{a}_\mathrm{z})\cdot\boldsymbol{a}_\mathrm{z}=-\sin\theta\boldsymbol{a}_\mathrm{z}\cdot\boldsymbol{a}_\mathrm{z}=-\sin\theta
\end{aligned} \tag{1.60}$$

جدول 1.2: کروی اکائی سمتیات کا نلکی اکائی سمتیات کے ساتھ غیر سمتی ضرب۔

$\boldsymbol{a}_z$	$\boldsymbol{a}_\phi$	$\boldsymbol{a}_\rho$	
$\cos\theta$	0	$\sin\theta$	$\boldsymbol{a}_r$
$-\sin\theta$	0	$\cos\theta$	$\boldsymbol{a}_\theta$
0	1	0	$\boldsymbol{a}_\phi$

جدول 1.3: کروی اکائی سمتیات کا کارتیسی اکائی سمتیات کے ساتھ غیر سمتی ضرب۔

$\boldsymbol{a}_z$	$\boldsymbol{a}_y$	$\boldsymbol{a}_x$	
$\cos\theta$	$\sin\theta\sin\phi$	$\sin\theta\cos\phi$	$\boldsymbol{a}_r$
$-\sin\theta$	$\cos\theta\sin\phi$	$\cos\theta\cos\phi$	$\boldsymbol{a}_\theta$
0	$\cos\phi$	$-\sin\phi$	$\boldsymbol{a}_\phi$

حاصل ہوتے ہیں۔یہ مساوات $\boldsymbol{a}_\theta$ اور کار تیسی اکائی سمتیات کے تمام غیر سمتی ضرب دیتا ہے۔

$\boldsymbol{a}_\theta$ کو کار تیسی نظام میں لکھنے کی خاطر $\boldsymbol{a}_\theta = \boldsymbol{A} = A_x\boldsymbol{a}_x + A_y\boldsymbol{a}_y + A_z\boldsymbol{a}_z$ لکھتے ہیں۔مساوات 1.38 کے مطابق $A_x = \boldsymbol{a}_x \cdot \boldsymbol{a}_\theta$ جبکہ $A_y = \boldsymbol{a}_y \cdot \boldsymbol{a}_\theta$ اور $A_z = \boldsymbol{a}_z \cdot \boldsymbol{a}_\theta$ ہوں گے۔یہ تمام مساوات 1.60 میں دئے گئے ہیں۔یوں

$$\boldsymbol{a}_\theta = \cos\theta\cos\phi\boldsymbol{a}_x + \cos\theta\sin\phi\boldsymbol{a}_y - \sin\theta\boldsymbol{a}_z \tag{1.61}$$

لکھا جا سکتا ہے۔

کروی محدد کا $\boldsymbol{a}_\phi$ اور نلکی محدد کا $\boldsymbol{a}_\phi$ یکساں ہیں۔اسے کار تیسی نظام میں

$$\boldsymbol{a}_\phi = -\sin\phi\boldsymbol{a}_x + \cos\phi\boldsymbol{a}_y \tag{1.62}$$

لکھا جاتا ہے۔اس مساوات کا $\boldsymbol{a}_x$، $\boldsymbol{a}_y$ اور $\boldsymbol{a}_z$ کے ساتھ غیر سمتی ضرب لیتے ہوئے

$$\begin{aligned}\boldsymbol{a}_\phi \cdot \boldsymbol{a}_x &= -\sin\phi\\ \boldsymbol{a}_\phi \cdot \boldsymbol{a}_y &= \cos\phi\\ \boldsymbol{a}_\phi \cdot \boldsymbol{a}_z &= 0\end{aligned} \tag{1.63}$$

لکھا جا سکتا ہے۔

مساوات 1.55 اور مساوات 1.59 کے نتائج کے ساتھ $\boldsymbol{a}_\phi$ کے مختلف غیر سمتی ضربوں کو جدول 1.2 میں یکجا کیا گیا ہے۔

مساوات 1.56 اور مساوات 1.60 کے نتائج جدول 1.3 میں یکجا کئے گئے ہیں۔

شکل 1.29 میں $N(r,\theta,\phi)$ پر تین عمودی سطحیں دکھائی گئی ہیں۔اگر کروی محدد کے متغیرات $\mathrm{d}r$، $\mathrm{d}\theta$ اور $\mathrm{d}\phi$ بڑھا کر دوبارہ تین عمودی سطحیں کھینچی جائیں تو یہ چھ سطحیں مل کر چھوٹا منحرف مکعب نما حجم گھیریں گی جسے شکل 1.33 میں دکھایا گیا ہے۔$\boldsymbol{a}_r$ سمت میں مکعب کے چار اطراف کی لمبائیاں $\mathrm{d}r$ ہے۔$\boldsymbol{a}_\theta$ سمت میں z محدد کے قریبی دو اطراف کی لمبائیاں $r\,\mathrm{d}\theta$ جبکہ دو دور اطراف کی لمبائیاں $(r+\mathrm{d}r)\,\mathrm{d}\theta$ ہے جسے دو اجزاء کی صورت میں یوں $r\,\mathrm{d}\theta + \mathrm{d}r\,\mathrm{d}\theta$ لکھا جا سکتا ہے۔دور اطراف کے لمبائی کا پہلا جزو ہو بہو قریبی اطراف کی لمبائی ہے جبکہ اس کا دوسرا جزو دور اور قریبی اطراف کے لمبائیوں میں فرق کو ظاہر کرتی ہے۔ان دو اجزاء کی نسبت $\frac{\mathrm{d}r}{r} = \frac{\mathrm{d}r\,\mathrm{d}\theta}{r\,\mathrm{d}\theta}$ کے برابر ہے۔$\mathrm{d}r$ کو کم سے کم[29] کرتے ہوئے اس نسبت کو کم سے کم کیا جا سکتا ہے۔ایسا ہی کرتے ہوئے ہم $\mathrm{d}r\,\mathrm{d}\theta$ کو رد کرتے ہوئے ان چاروں اطراف کی لمبائیاں $r\,\mathrm{d}\theta$ ہی لیتے ہیں۔اسی طریقہ کار سے $\boldsymbol{a}_\phi$ اطراف کی

[29] کسی بھی متغیرہ مثلاً r میں چھوٹی سی تبدیلی کو Δr لکھا جاتا ہے جبکہ اس میں کم سے کم تبدیلی کو $\mathrm{d}r$ لکھا جاتا ہے۔$\mathrm{d}r$ کو تقریباً صفر سمجھا جا سکتا ہے یعنی $\mathrm{d}r \to 0$ ہوتا ہے۔

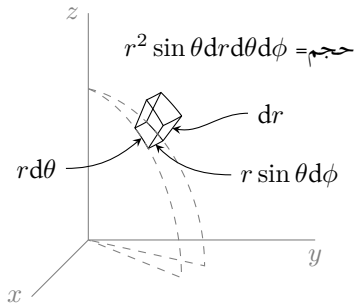

شکل 1.33: کروی نظام میں چھوٹی حجم۔

لمبائیاں $r\sin\theta\,\mathrm{d}\phi$ لکھی جا سکتی ہے۔ منحرف مکعب نما کے اطراف میں معمولی فرق کو نظرانداز کرتے ہوئے اسے مکعب نما تصور کیا جا سکتا ہے جس کے $r = r_0$ سطحوں کا رقبہ $r^2 \sin\theta\,\mathrm{d}\theta\,\mathrm{d}\phi$ جبکہ $\theta = \theta_0$ سطحوں کا رقبہ $r\sin\theta\,\mathrm{d}r\,\mathrm{d}\phi$ اور $\phi = \phi_0$ سطحوں کا رقبہ $r\,\mathrm{d}r\,\mathrm{d}\theta$ ہو گا۔ اس مکعب کا حجم $r^2 \sin\theta\,\mathrm{d}r\,\mathrm{d}\theta\,\mathrm{d}\phi$ ہو گا۔

شکل 1.33 میں کروی محدد کے تینوں متغیرات تبدیل کرتے ہوئے ہم چھوٹے مکعب کے $N(r,\theta,\phi)$ کونے سے $N'(r+\mathrm{d}r, \theta+\mathrm{d}\theta, \phi+\mathrm{d}\phi)$ کونے پہنچتے ہیں۔ N سے N' تک سمتیہ کو

$$\mathrm{d}\boldsymbol{L} = \mathrm{d}r\boldsymbol{a}_\mathrm{r} + r\,\mathrm{d}\theta\boldsymbol{a}_\theta + r\sin\theta\,\mathrm{d}\phi\boldsymbol{a}_\phi \tag{1.64}$$

لکھا جاتا ہے۔ یہ مساوات کسی بھی دو قریبی نقطوں کے درمیان سمتی فاصلہ دیتا ہے۔

کسی بھی مکمل بند سطح کی سمت، سطح کے عمودی باہر جانب لی جاتی ہے۔ شکل 1.33 میں $r = r_0$ سطح مرکز کا قریبی سطح ہے۔ اس سطح کے دو آپس میں الٹ عمودی اطراف $\mp\boldsymbol{a}_\mathrm{r}$ ہیں جن میں $-\boldsymbol{a}_\mathrm{r}$ بند سطح کی بیرونی سمت کو ظاہر کرتا ہے لہٰذا یہی اس سطح کی درست سمت ہے۔ اس کے برعکس $r = r_0 + \mathrm{d}r$ سطح مرکز سے دور تر ہے۔ اس سطح کے بھی دو آپس میں الٹ عمودی سمتیں $\mp\boldsymbol{a}_\mathrm{r}$ ہیں جن میں $\boldsymbol{a}_\mathrm{r}$ سطح کی درست سمت ہے۔ یوں $r = r_0$ سطح کا سمتی رقبہ $-r^2 \sin\theta\,\mathrm{d}\theta\,\mathrm{d}\phi\boldsymbol{a}_\mathrm{r}$ جبکہ $r = r_0 + \mathrm{d}r$ سطح کا سمتی رقبہ $r^2 \sin\theta\,\mathrm{d}\theta\,\mathrm{d}\phi\boldsymbol{a}_\mathrm{r}$ ہے۔ اسی طرح $\theta = \theta_0$ سطح کا سمتی رقبہ $-r\sin\theta\,\mathrm{d}r\,\mathrm{d}\phi\boldsymbol{a}_\theta$ جبکہ $\theta = \theta_0 + \mathrm{d}\theta$ سطح کا سمتی رقبہ $r\sin\theta\,\mathrm{d}r\,\mathrm{d}\phi\boldsymbol{a}_\theta$ ہو گا۔ $\phi = \phi_0$ سطح کا سمتی رقبہ $-r\,\mathrm{d}r\,\mathrm{d}\theta\boldsymbol{a}_\phi$ اور $\phi = \phi_0 + \mathrm{d}\phi$ سطح کا سمتی رقبہ $r\,\mathrm{d}r\,\mathrm{d}\theta\boldsymbol{a}_\phi$ ہو گا۔

مشق 1.6: شکل 1.33 میں سمت میں مرکز کے قریبی اور دور اطراف کی لمبائیاں لکھیں۔

جوابات: $r\sin\theta\,\mathrm{d}\phi$، $r\sin(\theta+\mathrm{d}\theta)\,\mathrm{d}\phi$، $(r+\mathrm{d}r)\sin\theta\,\mathrm{d}\phi$ اور $(r+\mathrm{d}r)\sin(\theta+\mathrm{d}\theta)\,\mathrm{d}\phi$

مثال 1.9: دو اکائی سمتیات $\boldsymbol{a}_1$ اور $\boldsymbol{a}_2$ کا غیر سمتی ضرب $\boldsymbol{a}_1 \cdot \boldsymbol{a}_2 = (1)(1)\cos\alpha_{12}$ یعنی ان کے مابین زاویے α_{12} کے کوسائن کے برابر ہوتا ہے۔ غیر سمتی ضرب کے اس تعریف کو استعمال کرتے ہوئے $\boldsymbol{a}_\mathrm{x} \cdot \boldsymbol{a}_\rho$، $\boldsymbol{a}_\mathrm{y} \cdot \boldsymbol{a}_\rho$، $\boldsymbol{a}_\mathrm{x} \cdot \boldsymbol{a}_\phi$ اور $\boldsymbol{a}_\mathrm{y} \cdot \boldsymbol{a}_\phi$ حاصل کریں۔

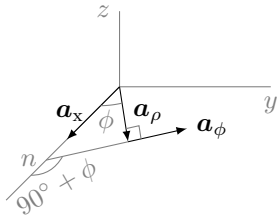

شکل 1.34: کارتیسی اور نلکی اکائی سمتیات کا غیر سمتی ضرب۔

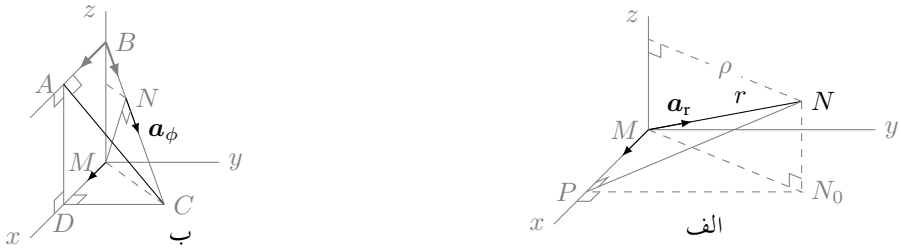

شکل 1.35: کروی اور کارتیسی اکائی سمتیات کا غیر سمتی ضرب۔

حل: شکل 1.34 میں $\boldsymbol{a}_x$ اور $\boldsymbol{a}_\rho$ کے درمیان زاویہ ϕ جبکہ $\boldsymbol{a}_y$ اور $\boldsymbol{a}_\rho$ کے درمیان زاویہ $90^\circ - \phi$ پایا جاتا ہے لہٰذا $\boldsymbol{a}_x \cdot \boldsymbol{a}_\rho = \cos\phi$ اور $\boldsymbol{a}_y \cdot \boldsymbol{a}_\rho = \cos(90^\circ - \phi) = \sin\phi$ کے برابر ہیں۔ $\boldsymbol{a}_x$ اور $\boldsymbol{a}_\phi$ کی سمتیں تبدیل کئے بغیر اگر انہیں یوں ہلایا جائے کہ ان کی دُم نقطہ n پر آ ٹھرے تو شکل سے ظاہر ہے کہ ان کے مابین زاویہ $90^\circ + \phi$ ہے۔ یوں $\boldsymbol{a}_x \cdot \boldsymbol{a}_\phi = \cos(90^\circ + \phi) = -\sin\phi$ کے برابر ہے۔ اسی طرح $\boldsymbol{a}_y$ اور $\boldsymbol{a}_\phi$ کے درمیان ϕ زاویہ ہونے کی بنا پر $\boldsymbol{a}_y \cdot \boldsymbol{a}_\phi = \cos\phi$ کے برابر ہے۔ چونکہ $\boldsymbol{a}_z$ ان دونوں نلکی اکائی سمتیات کے عمودی ہے لہٰذا ان کا غیر سمتی ضرب صفر کے برابر ہو گا۔

مثال 1.10: مثال 1.9 کے طرز پر $\boldsymbol{a}_r$ کا $\boldsymbol{a}_x$، $\boldsymbol{a}_y$ اور $\boldsymbol{a}_z$ کے ساتھ غیر سمتی ضرب حاصل کریں۔

حل: شکل 1.35-الف میں نقطہ $N(r,\theta,\phi)$ دکھایا گیا ہے جسے $N(x,y,z)$ بھی لکھا جا سکتا ہے۔ شکل میں $\boldsymbol{a}_x$ اور $\boldsymbol{a}_r$ بھی دکھائے گئے ہیں۔ شکل سے ظاہر ہے کہ $\boldsymbol{a}_x \cdot \boldsymbol{a}_r = \cos \underline{/NMP}$ کے برابر ہے جہاں N اور P سے M تک لکیریں کھینچنے سے زاویہ $\underline{/NMP}$ بنتا ہے۔ N سے $z = 0$ سطح پر عمود نقطہ N_0 دیتا ہے۔ N_0 سے x محدد پر عمود نقطہ P دیتا ہے۔ N سے N_0 اور یہاں سے P منتقل ہوتے ہوئے $\boldsymbol{a}_x$ سمت میں کسی قسم کی حرکت نہیں کی جاتی لہٰذا اگر کارتیسی نظام میں $N(x,y,z)$ لکھا جائے تو اسی نظام میں $N_0(x,y,0)$ اور $P(x,0,0)$ لکھے جائیں گے۔ ہم N سے x محدد پر عمود بناتے ہوئے بھی P تک پہنچ سکتے ہیں۔ تکون NMP میں M سے N تک کا فاصلہ $\overline{MN} = r$ جبکہ M سے P تک کا فاصلہ $\overline{MP} = x$ اور زاویہ $\underline{/NPM} = 90^\circ$ ہیں لہٰذا $\cos \underline{/NMP} = \frac{x}{r}$ ہو گا۔ یہی $\boldsymbol{a}_x$ اور $\boldsymbol{a}_r$ کے غیر سمتی ضرب کے برابر ہے۔ N سے y محدد پر عمود بناتے ہوئے یوں $\boldsymbol{a}_y \cdot \boldsymbol{a}_r = \frac{y}{r}$ اور N سے z محدد پر عمود سے $\boldsymbol{a}_z \cdot \boldsymbol{a}_r = \frac{z}{r}$ لکھے جا سکتے ہیں۔ چونکہ $x = r\sin\theta\cos\phi$، $y = r\sin\theta\sin\phi$ اور $z = r\cos\theta$ کے برابر ہیں لہٰذا ہم

$$\boldsymbol{a}_r \cdot \boldsymbol{a}_x = \frac{x}{r} = \sin\theta\cos\phi$$
$$\boldsymbol{a}_r \cdot \boldsymbol{a}_y = \frac{y}{r} = \sin\theta\sin\phi$$
$$\boldsymbol{a}_r \cdot \boldsymbol{a}_z = \frac{z}{r} = \cos\theta$$

لکھ سکتے ہیں۔

مثال 1.11: مثال 1.9 کے طرز پر $\boldsymbol{a}_\theta$ کا $\boldsymbol{a}_\text{x}$ کے ساتھ غیر سمتی ضرب حاصل کریں۔

حل: شکل 1.35-ب میں نقطہ N پر اکائی سمتیہ $\boldsymbol{a}_\theta$ جبکہ محدد کے مرکز M پر $\boldsymbol{a}_\text{x}$ دکھائے گئے ہیں۔ $\boldsymbol{a}_\theta \cdot \boldsymbol{a}_\text{x}$ حاصل کرنے کی خاطر سمتیات کی سمت تبدیل کئے بغیر انہیں z محدد پر نقطہ B منتقل کرتے ہوئے دوبارہ دکھایا گیا ہے جہاں سے واضح ہے کہ $\boldsymbol{a}_\theta \cdot \boldsymbol{a}_\text{x} = \cos \underline{/ABC}$ کے برابر ہے۔ اس شکل میں $\underline{/DMC} = \phi$ اور $\underline{/BMN} = \theta$ کروی محدد کے زاویے ہیں۔ تکون ΔBMN میں زاویہ $\underline{/MNB}$ نوے درجے کا ہے۔ یوں $\underline{/NBM} = 90^\circ - \theta$ ہو گا۔ شکل سے واضح ہے کہ $\underline{/NBM} = \underline{/CBM}$ ہیں۔ اس طرح تکون ΔBMC میں $\underline{/BMC} = 90^\circ$ جبکہ $\underline{/CBM} = 90^\circ - \theta$ ہونے کی بنا پر $\underline{/MCB} = \theta$ ہو گا۔

شکل-ب میں $\overline{BM} = l$ لیتے ہوئے تکون ΔBMC کو دیکھتے ہوئے

$$\overline{BC} = \frac{l}{\sin\theta}$$
$$\overline{MC} = \frac{l}{\tan\theta}$$

لکھا جا سکتا ہے۔ تکون ΔMDC سے

$$\overline{MD} = \overline{MC}\cos\phi = \frac{l\cos\phi}{\tan\theta}$$

لکھا جا سکتا ہے۔ شکل سے واضح ہے کہ $\overline{MD}$ اور $\overline{AB}$ برابر ہیں یعنی $\overline{AB} = \overline{MD}$۔ یوں تکون ΔBAC سے

$$\cos \underline{/ABC} = \frac{\overline{AB}}{\overline{BC}} = \frac{\left(\frac{l\cos\phi}{\tan\theta}\right)}{\left(\frac{l}{\sin\theta}\right)} = \cos\theta\cos\phi$$

حاصل ہوتا ہے۔ یوں $\boldsymbol{a}_\text{r} \cdot \boldsymbol{a}_\text{x} = \cos\theta\cos\phi$ لکھا جا سکتا ہے۔

مشق 1.7: شکل 1.35-ب کے طرز پر شکل بناتے ہوئے $\boldsymbol{a}_\theta \cdot \boldsymbol{a}_\text{y}$ اور $\boldsymbol{a}_\theta \cdot \boldsymbol{a}_\text{y}$ حاصل کریں۔

جوابات: $\cos\theta\sin\phi$ اور $-\sin\theta$

سوالات

سوال 1.1: سمتیہ $\boldsymbol{A} = -2\boldsymbol{a}_x + 1\boldsymbol{a}_y + 7\boldsymbol{a}_z$ اور $\boldsymbol{B} = 3\boldsymbol{a}_x + 5\boldsymbol{a}_y - 2\boldsymbol{a}_z$ ہیں۔مندرجہ ذیل حاصل کریں: (الف) $2\boldsymbol{A} - 3\boldsymbol{B}$ اور اسی کی سمت میں اکائی سمتیہ؛(ب) $2\boldsymbol{A} - 5\boldsymbol{B} + 3\boldsymbol{a}_x$ ؛(پ) $|3\boldsymbol{A}||2\boldsymbol{B}|\,(\boldsymbol{B} - \boldsymbol{A})$

جوابات: $-13\boldsymbol{a}_x - 13\boldsymbol{a}_y + 8\boldsymbol{a}_z$ ، $-0.648\boldsymbol{a}_x - 0.648\boldsymbol{a}_y - 0.399\boldsymbol{a}_z$ ، 28.3 ، $1359\boldsymbol{a}_x + 1087\boldsymbol{a}_y + 1359\boldsymbol{a}_z$

سوال 1.2: نقطہ $A(1,-2,3)$ ، $B(3,-1,2)$ اور $C(7,5,-4)$ دیے گئے ہیں۔(الف) محدد کے مرکز سے A تک سمتیہ لکھیں؛(ب) مرکز سے لکیر AB کے وسط تک سمتیہ لکھیں؛(پ) اسی سمت میں اکائی سمتیہ لکھیں؛(ت) تکون ABC کا احاطہ دریافت کریں۔

جوابات: $\boldsymbol{a}_x - 2\boldsymbol{a}_y + 3\boldsymbol{a}_z$ ، $2\boldsymbol{a}_x - 1.5\boldsymbol{a}_y + 2.5\boldsymbol{a}_z$ ، $0.566\boldsymbol{a}_x - 0.424\boldsymbol{a}_y - 0.707\boldsymbol{a}_z$ ، 23.4

سوال 1.3: مرکز سے نقطہ A تک سمتیہ $2\boldsymbol{a}_x + \boldsymbol{a}_y + 3\boldsymbol{a}_z$ ہے جبکہ مرکز سے $\frac{2}{3}\boldsymbol{a}_x - \frac{2}{3}\boldsymbol{a}_y + \frac{1}{3}\boldsymbol{a}_z$ اکائی سمتیہ کی سمت میں نقطہ B پایا جاتا ہے۔دونوں نقطوں کے درمیان 4 فاصلہ ہونے کی صورت میں نقطہ B دریافت کریں۔

جوابات: $(2.57, -2.57, 1.28)$

سوال 1.4: سمتی میدان $\boldsymbol{M} = (x + y^2)\boldsymbol{a}_x + 2(xy + 3)\boldsymbol{a}_y + 4z^2\boldsymbol{a}_z$ دیا گیا ہے۔نقطہ $A(2,-3,1)$ پر اس میدان کی قیمت حاصل کریں۔اسی نقطے پر میدان کی سمت میں اکائی سمتیہ دریافت کریں۔ایسی سطح جس پر $|\boldsymbol{M}| = 5$ ہو کی مساوات حاصل کریں۔اس سطح پر $y = 2$ اور $z = -1$ ہونے کی صورت میں حاصل لکیر کی مساوات حاصل کریں۔

جوابات: $\boldsymbol{M} = 11\boldsymbol{a}_x - 6\boldsymbol{a}_y + 4\boldsymbol{a}_z$ ، $(0.836\boldsymbol{a}_x - 0.456\boldsymbol{a}_y + 0.304\boldsymbol{a}_z)$ ،
$x^2 + y^2 + 2xy^2 + 4x^2y^2 + 24xy + 16z^4 - 11 = 0$ ، $17x^2 + 56x + 9 = 0$

سوال 1.5: سمتی میدان $\boldsymbol{B} = 2x^2\boldsymbol{a}_x - 3y(x + 2z)\boldsymbol{a}_y + 5\boldsymbol{a}_z$ اور $\boldsymbol{M} = (x + y + z)\boldsymbol{a}_x + \frac{y}{x}\boldsymbol{a}_y + xy\boldsymbol{a}_z$ دیے گئے ہیں۔نقطہ $N(2,-3,-1)$ پر $\boldsymbol{B}$ اور $\boldsymbol{M}$ حاصل کریں۔اسی نقطے پر سمتیہ $2\boldsymbol{B} - \boldsymbol{M}$ کی سمت میں اکائی سمتیہ حاصل کریں۔

جوابات: $\boldsymbol{B} = 8\boldsymbol{a}_x + 5\boldsymbol{a}_z$ ، $\boldsymbol{M} = -2\boldsymbol{a}_x - 1.5\boldsymbol{a}_y - 2\boldsymbol{a}_z$ ، $0.830\boldsymbol{a}_x + 0.069\boldsymbol{a}_y + 0.553\boldsymbol{a}_z$

سوال 1.6: نقطہ $N(2,-3,7)$ پر میدان $\boldsymbol{M} = \frac{16}{x^2+y^2}(x\boldsymbol{a}_x + y\boldsymbol{a}_y)$ کی سمت میں اکائی سمتیہ $\boldsymbol{a}_M$ دریافت کریں۔نقطہ N پر $\boldsymbol{a}_x$ اور $\boldsymbol{M}$ کے درمیان زاویہ حاصل کریں۔اسی طرح نقطہ N پر $\boldsymbol{a}_y$ اور $\boldsymbol{M}$ کے درمیان زاویہ حاصل کریں۔

جوابات: $\boldsymbol{a}_M = 0.555\boldsymbol{a}_x - 0.832\boldsymbol{a}_y$ ، 56.3° ، 33.7°

سوال 1.7: میدان $\boldsymbol{M} = \frac{16}{x^2+y^2}(x\boldsymbol{a}_x + y\boldsymbol{a}_y)$ کا مندرجہ ذیل دو درجی تکمل $y = 3$ سطح پر حاصل کریں۔

$$\int_0^3 \int_0^2 \boldsymbol{M}\,\mathrm{d}x\,\mathrm{d}z \cdot \boldsymbol{a}_x$$

جواب: $24 \ln \frac{13}{9}$

سوال 1.8: غیر سمتی ضرب استعمال کرتے ہوئے تکون ABC میں زاویہ A اور C حاصل کریں۔تکون کے کونے $A(3,1,2)$ ، $B(4,6,2)$ اور $C(1,4,-2)$ ہیں۔

جوابات: $61.74°$ ، $56.51°$

سوال 1.9: نقطے $A(4,1,2)$، $B(-2,4,3)$ اور $C(2,3,-1)$ دیے گئے ہیں۔ سمتیہ $\boldsymbol{R}_{BA}$ اور $\boldsymbol{R}_{CA}$ حاصل کریں۔ دوسری سمتیہ پر پہلی سمتیہ کے عمودی سائے[30] کی لمبائی دریافت کریں۔ لکیر AB کے درمیانے نقطے سے لکیر AC کے درمیانے نقطے تک سیدھا سمتیہ حاصل کریں۔

جوابات: $-6\boldsymbol{a}_x + 3\boldsymbol{a}_y + \boldsymbol{a}_z$ ، $-2\boldsymbol{a}_x + 2\boldsymbol{a}_y - 3\boldsymbol{a}_z$ ، 4.12 ، $2\boldsymbol{a}_x - 0.5\boldsymbol{a}_y - 2\boldsymbol{a}_z$

سوال 1.10: سمتیہ $\boldsymbol{M} = 5\boldsymbol{a}_x - 3\boldsymbol{a}_y + 2\boldsymbol{a}_z$ کا وہ حصہ حاصل کریں جو سمتیہ $\boldsymbol{P} = -7\boldsymbol{a}_x + 2\boldsymbol{a}_y - 6\boldsymbol{a}_z$ کے متوازی ہے۔ وہ حصہ حاصل کریں جو اس کے عمودی ہے۔

جوابات: $4.17\boldsymbol{a}_x - 1.19\boldsymbol{a}_y + 3.57\boldsymbol{a}_z$ ، $0.83\boldsymbol{a}_x - 1.81\boldsymbol{a}_y - 1.57\boldsymbol{a}_z$

سوال 1.11: تین سمتیات $\boldsymbol{r}_1 = 2\boldsymbol{a}_x - 1\boldsymbol{a}_y + 3\boldsymbol{a}_z$ ، $\boldsymbol{r}_2 = -3\boldsymbol{a}_x + 4\boldsymbol{a}_y - 5\boldsymbol{a}_z$ اور $\boldsymbol{r}_3 = 5\boldsymbol{a}_x - 2\boldsymbol{a}_y + 3\boldsymbol{a}_z$ دیے گئے ہیں۔ $\boldsymbol{r}_1 \times \boldsymbol{r}_2$ کی سمت میں اکائی سمتیہ حاصل کریں۔ ایسی اکائی سمتیہ حاصل کریں جو $\boldsymbol{r}_1$ اور $\boldsymbol{r}_2$ دونوں کو عمودی ہو۔ سمتیہ $\boldsymbol{r}_2 - \boldsymbol{r}_1$ اور $\boldsymbol{r}_2 - \boldsymbol{r}_3$ دونوں کو عمودی اکائی سمتیہ حاصل کریں۔ اس تکون کا رقبہ حاصل کریں جس کے اطراف $\boldsymbol{r}_1$ اور $\boldsymbol{r}_2$ ہوں۔ اس تکون کا رقبہ حاصل کریں جس کے کونے یہ تین سمتیات دیتے ہیں۔

جوابات: $-0.81\boldsymbol{a}_x + 0.16\boldsymbol{a}_y + 0.58\boldsymbol{a}_z$ ، $\mp(-0.81\boldsymbol{a}_x + 0.16\boldsymbol{a}_y + 0.58\boldsymbol{a}_z)$ ، $\mp(0.29\boldsymbol{a}_x + 0.88\boldsymbol{a}_y + 0.37\boldsymbol{a}_z)$ ، 4.3 ، 13.6

سوال 1.12: نقطہ $N(5,10,4)$ پر سمتیات $\boldsymbol{R}_{AN} = -3\boldsymbol{a}_x + 6\boldsymbol{a}_y + 12\boldsymbol{a}_z$ اور $\boldsymbol{R}_{BN} = 12\boldsymbol{a}_x + 20\boldsymbol{a}_y - 5\boldsymbol{a}_z$ مل کر تکون بناتی ہیں۔ تکون کی عمودی اکائی سمتیہ حاصل کریں۔ سمتیہ $\boldsymbol{R}_{BN}$ کے عمودی اور تکون کی سطح کے متوازی اکائی سمتیہ حاصل کریں۔ تکون کی سطح پر اس اکائی سمتیہ کو حاصل کریں جو نقطہ N پر تکون کے کونے کو نصف زاویہ میں کاٹے۔

جوابات: $\mp(-0.83\boldsymbol{a}_x + 0.39\boldsymbol{a}_y - 0.40\boldsymbol{a}_z)$ ، $\mp(0.26\boldsymbol{a}_x - 0.38\boldsymbol{a}_y - 0.89\boldsymbol{a}_z)$ ، $0.19\boldsymbol{a}_x + 0.87\boldsymbol{a}_y + 0.45\boldsymbol{a}_z$

سوال 1.13: سمتیہ $\boldsymbol{M} = (x^2+y^2)^{-1}(x\boldsymbol{a}_x + y\boldsymbol{a}_y)$ کو نلکی محدد کے متغیرات میں لکھیں۔ نقطہ $(5, 30°, 6)$ پر سمتیہ کی قیمت کارتیسی اور نلکی محدد میں حاصل کریں۔

جوابات: $\boldsymbol{M} = \frac{1}{\rho}\boldsymbol{a}_\rho$ ، $\boldsymbol{M} = 0.41\boldsymbol{a}_x + 0.29\boldsymbol{a}_y$ ، $\boldsymbol{M} = \frac{1}{5}\boldsymbol{a}_\rho$

سوال 1.14: نقطہ $N(\rho = 2, \phi = 45°, z = 12)$ اور $P(\rho = 5, \phi = -60°, z = -6)$ دئے گئے ہیں۔ کارتیسی محدد میں، پہلے نقطے سے دوسرے نقطے کی جانب اکائی سمتیہ حاصل کریں۔ اسی اکائی سمتیہ کو پہلے نقطے پر پائے جانے والے نلکی محدد کے متغیرات کی صورت میں لکھیں۔ اسی اکائی سمتیہ کو دوسرے نقطے پر پائے جانے والے نلکی محدد کے متغیرات کی صورت میں لکھیں۔

جوابات: $0.057\boldsymbol{a}_x - 0.303\boldsymbol{a}_y - 0.951\boldsymbol{a}_z$ ، $-0.174\boldsymbol{a}_\rho - 0.255\boldsymbol{a}_\phi - 0.951\boldsymbol{a}_z$ ، $0.292\boldsymbol{a}_\rho - 0.180\boldsymbol{a}_\phi - 0.951\boldsymbol{a}_z$

سوال 1.15: نقطہ $N(\rho = 5, \phi = 30°, z = 6)$ سے نقطہ $P(\rho = 10, \phi = 75°, z = 12)$ تک سمتیہ کارتیسی محدد میں لکھیں۔ اسی سمت میں اکائی سمتیہ بھی لکھیں۔ کارتیسی محدد میں دوسرے نقطے سے مرکز تک اکائی سمتیہ لکھیں۔

جوابات: $-1.74\boldsymbol{a}_x + 7.16\boldsymbol{a}_y + 6\boldsymbol{a}_z$ ، $-0.183\boldsymbol{a}_x - 0.618\boldsymbol{a}_y + 0.631\boldsymbol{a}_z$ ، $0.166\boldsymbol{a}_x - 0.618\boldsymbol{a}_y - 0.768\boldsymbol{a}_z$

[30] projection

سوال 1.16: نقطہ $M(5,-3,2)$ سے نقطہ $N(10,2,-5)$ تک سمتیہ کو نقطہ M پر نلکی محدد کے اکائی سمتیات کی مدد سے لکھیں۔ دوسرے نقطے سے پہلے نقطے کی سمت میں اکائی سمتیہ کو دوسرے نقطے پر نلکی اکائی سمتیات کی مدد سے لکھیں۔ دوسرے نقطے سے مرکز تک اکائی سمتیہ دوسرے نقطے کے اکائی سمتیات کی صورت میں لکھیں۔

جوابات: $-1.71\boldsymbol{a}_\rho - 6.86\boldsymbol{a}_\phi + 7\boldsymbol{a}_z$ ، $0.59\boldsymbol{a}_\rho + 0.39\boldsymbol{a}_\phi - 0.7\boldsymbol{a}_z$ ، $0.90\boldsymbol{a}_\rho + 0.44\boldsymbol{a}_z$

سوال 1.17: رداس $\rho = 2$ اور $\rho = 6$ حجم گھیرتے ہیں جو $z = 11$ تا $z = 13$ اور $\phi = 30^\circ$ تا $\phi = 60^\circ$ پایا جاتا ہے۔ اس جسم کے حجم کو تین درجی تکمل سے حاصل کریں۔ اس کی بھی تکمل سے سطح بھی حاصل کریں۔

جوابات: 16.8 ، 41.1

سوال 1.18: نقطہ $N(5,3,8)$ سے نقطہ $P(3,-4,2)$ تک سمتیہ کارتیسی، نلکی اور کروی محدد میں حاصل کریں۔ پہلے نقطے کے اکائی سمتیات استعمال کریں۔ تینوں سمتیات کی لمبائی حاصل کرتے ہوئے ثابت کریں کہ تینوں سمتیات کی لمبائی برابر ہے۔

جوابات: $-2\boldsymbol{a}_x - 7\boldsymbol{a}_y - 6\boldsymbol{a}_z$ ، $-5.3165\boldsymbol{a}_\rho - 4.9735\boldsymbol{a}_\phi - 6.0000\boldsymbol{a}_z$ ، $-8.6615 - 2.7739\boldsymbol{a}_\theta - 2.5069\boldsymbol{a}_\phi$ ، 9.434

سوال 1.19: نقطہ N پر سمتیہ $\boldsymbol{K} = 3\boldsymbol{a}_r - 2\boldsymbol{a}_\theta + 8\boldsymbol{a}_\phi$ اور $\boldsymbol{G} = 2\boldsymbol{a}_r + 5\boldsymbol{a}_\theta + 2\boldsymbol{a}_\phi$ دیے گئے ہیں۔ ان کی غیر سمتی ضرب $\boldsymbol{K}\cdot\boldsymbol{G}$ حاصل کریں۔ دوسری سمتیہ کی پہلی سمتیہ کی سمت میں لمبائی حاصل کریں۔ پہلی سمتیہ کا وہ حصہ دریافت کریں جو دوسری سمتیہ کی سمت میں ہے۔ دونوں سمتیوں کا سمتی ضرب $\boldsymbol{K}\times\boldsymbol{G}$ حاصل کریں۔ اس نقطے پر دونوں سمتیوں کی عمودی اکائی سمتیہ حاصل کریں۔

جوابات: 12 ، 1.3675 ، $0.46753\boldsymbol{a}_r - 0.31169\boldsymbol{a}_\theta + 1.24675\boldsymbol{a}_\phi$ ، $44\boldsymbol{a}_r - 10\boldsymbol{a}_\theta - 19\boldsymbol{a}_\phi$ ، $\mp(0.89871\boldsymbol{a}_r - 0.20425\boldsymbol{a}_\theta - 0.38808\boldsymbol{a}_\phi)$

سوال 1.20: ایک جسم $r = 6$ تا $r = 10$ ، $\theta = 30^\circ$ تا $\theta = 70^\circ$ اور $\phi = 25^\circ$ تا $\phi = 100^\circ$ حجم گھیرتا ہے۔ اس جسم کے دو دور ترین کونوں کے درمیان فاصل حاصل کریں۔ جسم کی سطح کا رقبے حاصل کریں۔ جسم کی حجم دریافت کریں۔

جوابات: 9.27 ، 198.27 ، 179.25

سوال 1.21: نقطہ $N(5,4,-2)$ اور $P(6,4,10)$ دیے گئے ہیں۔ پہلے نقطے کو نلکی محدد میں لکھیں۔ پہلے نقطے کے متغیرات استعمال کرتے ہوئے پہلے نقطے سے دوسرے نقطے تک سمتیہ نلکی محدد میں لکھیں۔

جوابات: $P(6.4031, 38.6598^\circ, -2.0000)$ ، $0.57\boldsymbol{a}_\rho - 0.82\boldsymbol{a}_\phi + 12\boldsymbol{a}_z$

باب 2

کولومب کا قانون

2.1 قوت کشش یا دفع

نیوٹن کے کائناتی تجاذب کے قانون[1] سے آپ بخوبی واقف ہوں گے۔کولومب کا قانون[2] اس سے قریبی مشابہت رکھتا ہے۔کائناتی تجاذب کے قانون کو مساوات 2.1 میں پیش کیا گیا ہے۔

$$F = G\frac{M_1 M_2}{R^2} \tag{2.1}$$

یہ مساوات کمیت M_1 اور کمیت M_2 کے مابین قوت کشش F دیتا ہے جہاں ایک کمیت کے مرکز سے دوسری کمیت کے مرکز تک کا فاصلہ R ہے۔قوت کشش دونوں کمیت کے حاصل ضرب کے راست متناسب اور ان کے مرکزوں کے درمیانی فاصلے کے مربع کے بالعکس متناسب ہوتی ہے۔دونوں کمیتوں پر قوت کشش کی مقدار برابر ہوتی ہے اور یہ قوت دونوں کمیتوں کے مرکزوں پر کھینچی لکیر پر عمل درآمد ہوتی ہے۔M_1 پر قوت کشش کی سمت M_1 کے مرکز سے M_2 کے مرکز کی جانب کو ہوتا ہے جبکہ M_2 پر قوت کشش کی سمت M_2 کے مرکز سے M_1 کے مرکز کی جانب کو ہوتا ہے۔تناسب کے جزو مستقل کو G لکھا اور تجاذبی مستقل[3] پکارا جاتا ہے جس کی قیمت تقریباً $6.674 \times 10^{-11}\ \frac{\mathrm{m}^3}{\mathrm{kg\,s}^2}$ کے برابر ہے۔

کولومب کا قانون مساوات 2.2 میں بیان کیا گیا ہے۔یہ مساوات چارج Q_1 اور چارج Q_2 کے مابین قوت کشش یا قوت دفع F دیتا ہے جہاں ایک چارج کے مرکز سے دوسری چارج کے مرکز تک کا فاصلہ R ہے۔ان چارجوں کا حجم صفر تصور کیا جاتا ہے۔یوں اگر چارج کو گیند کی شکل کا تصور کیا جائے تو اس گیند کے رداس کی لمبائی صفر ہو گی۔ایسے چارج کو نقطہ چارج[4] کہا جاتا ہے۔

$$F = \frac{1}{4\pi\epsilon_0}\frac{Q_1 Q_2}{R^2} \tag{2.2}$$

قوت کشش یا دفع دونوں چارجوں کے حاصل ضرب کے راست متناسب اور باہمی فاصلہ کے مربع کے بالعکس متناسب ہوتی ہے۔دونوں چارجوں پر قوت کی مقدار برابر ہوتی ہے اور یہ قوت دونوں چارجوں سے گزرتی لکیر پر عمل درآمد ہوتی ہے۔دو مختلف اقسام کے چارجوں کے مابین قوت کشش پائی

[1] Law of Universal Gravitation
[2] Coulomb's law
[3] gravitational constant
[4] point charge

جاتی ہے جبکہ دو یکساں چارجوں کے مابین قوت دفع پائی جاتی ہے۔مساوات کے جزو مستقل کو $\frac{1}{4\pi\epsilon_0}$ لکھا جاتا ہے جہاں ϵ_0 خالی خلاء کا برقی مستقل[5] ہے جس کی قیمت اٹل ہے۔خالی خلاء کے برقی مستقل کی قیمت

$$\epsilon_0 = \frac{1}{\mu_0 c^2} \tag{2.3}$$

ہے جہاں c خالی خلاء میں روشنی کی رفتار اور μ_0 خالی خلاء کی مقناطیسی مستقل[7] ہے۔یہ دونوں بھی اٹل مستقل ہیں جن کی قیمتیں

$$c = 299\,792\,458\,\frac{\mathrm{m}}{\mathrm{s}} \approx 3 \times 10^8\,\frac{\mathrm{m}}{\mathrm{s}} \tag{2.4}$$

$$\mu_0 = 4\pi \times 10^{-7}\,\frac{\mathrm{H}}{\mathrm{m}} \tag{2.5}$$

ہیں۔یوں مقناطیسی مستقل کی قیمت تقریباً

$$\epsilon_0 = 8.854 \times 10^{-12} \doteq \frac{1}{36\pi} 10^{-9}\,\frac{\mathrm{F}}{\mathrm{m}} \tag{2.6}$$

کے برابر ہے۔اس کتاب میں $\frac{1}{4\pi\epsilon_0}$ بار بار استعمال ہو گا جسے عموماً

$$\frac{1}{4\pi\epsilon_0} \doteq 9 \times 10^9 \tag{2.7}$$

لیا جائے گا۔ϵ_0 کی اکائی فیراڈ فی میٹر $\frac{\mathrm{F}}{\mathrm{m}}$ ہے جس کی وضاحت جلد کر دی جائے گی۔

مثال 2.1: زمین کی سطح پر زمین اور ایک کلو گرام کمیت کے مابین 9.8 N کی قوت کشش پائی جاتی ہے۔زمین کا رداس 6370 km لیتے ہوئے زمین کی کمیت حاصل کریں۔

حل: مساوات 2.1 کی مدد سے

$$9.8 = \frac{6.674 \times 10^{-11} \times M \times 1}{6\,370\,000 \times 6\,370\,000}$$

لکھتے ہوئے زمین کی کمیت 5.959×10^{24} kg حاصل ہوتی ہے۔

مثال 2.2: زمین کی مرکز سے تقریباً 42 000 km کے فاصلے پر ذرائع ابلاغ کے سیٹلائٹ زمین کے گرد مدار میں گردش کرتے ہیں۔پوری دنیا میں بے تار[8] مواصلاتی نظام انہیں کے مرہون منت ہے۔اس فاصلے پر ایک کلو گرام کی کمیت اور زمین کے مابین قوت کشش کی مقدار حاصل کریں۔

---

[5] permittivity
[6] electric constant
[7] permeability
[8] wireless

حل:

$$F = \frac{6.674 \times 10^{-11} \times 5.959 \times 10^{24} \times 1}{42\,000\,000 \times 42\,000\,000} = 0.225\,\mathrm{N}$$

مثال 2.3: ایک ایک کولومب کے دو مثبت چارجوں کے درمیان ایک میٹر کا فاصلہ ہے۔ان میں قوت دفع حاصل کریں۔

حل: $\frac{1}{4\pi\epsilon_0}$ کی قیمت مساوات 2.7 سے لیتے ہوئے

$$F = 9 \times 10^9 \frac{1 \times 1}{1 \times 1} = 9 \times 10^9\,\mathrm{N}$$

مندرجہ بالا مثال سے آپ دیکھ سکتے ہیں کہ چارج کی اکائی (کولومب) انتہائی بڑی مقدار ہے۔

شکل 2.1 میں چارج Q_1 محدد کے مرکز سے سمتی فاصلہ $\mathbf{r_1}$ پر جبکہ چارج Q_2 مرکز سے سمتی فاصلہ $\mathbf{r_2}$ پر دکھائے گئے ہیں۔چارج Q_1 سے چارج Q_2 تک کا سمتی فاصلہ $\mathbf{R_{21}}$ ہے جہاں

$$\boldsymbol{R_{21}} = \boldsymbol{r_2} - \boldsymbol{r_1} \tag{2.8}$$

کے برابر ہے۔سمتیہ $\mathbf{R_{21}}$ کی سمت میں اکائی سمتیہ $\mathbf{a_{21}}$ یوں حاصل کیا جاتا ہے

$$\boldsymbol{a_{21}} = \frac{\boldsymbol{R_{21}}}{|\boldsymbol{R_{21}}|} = \frac{\boldsymbol{R_{21}}}{R_{21}} = \frac{\boldsymbol{r_2} - \boldsymbol{r_1}}{|\boldsymbol{r_2} - \boldsymbol{r_1}|} \tag{2.9}$$

چارج Q_2 پر قوت $\mathbf{F_2}$ کی حتمی قیمت مساوات 2.2 سے حاصل کی جاسکتی ہے جبکہ اس کی سمت اکائی سمتیہ $\mathbf{a_{21}}$ کے سمت میں ہو گی۔اس طرح یہ قوت

$$\begin{aligned} \boldsymbol{F_2} &= \frac{1}{4\pi\epsilon_0} \frac{Q_1 Q_2}{R_{21}^2} \boldsymbol{a_{21}} \\ &= \frac{Q_1 Q_2}{4\pi\epsilon_0} \frac{\boldsymbol{r_2} - \boldsymbol{r_1}}{|\boldsymbol{r_2} - \boldsymbol{r_1}|^3} \end{aligned} \tag{2.10}$$

لکھا جائے گا۔مساوات 2.10 کولومب کے قانون کی سمتی شکل ہے۔چونکہ دونوں چارجوں پر برابر مگر الٹ سمت میں قوت عمل کرتا ہے لہٰذا Q_1 پر قوت $\mathbf{F_1}$ یوں لکھا جائے گا

$$\begin{aligned} \boldsymbol{F_1} = -\boldsymbol{F_2} &= \frac{-1}{4\pi\epsilon_0} \frac{Q_1 Q_2}{R_{21}^2} \boldsymbol{a_{21}} \\ &= \frac{1}{4\pi\epsilon_0} \frac{Q_1 Q_2}{R^2} \boldsymbol{a_{12}} \end{aligned} \tag{2.11}$$

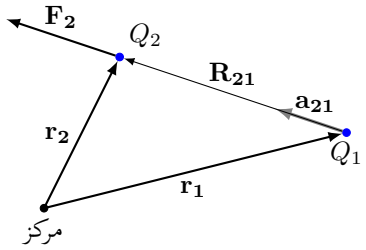

شکل 2.1: دو مثبت چارجوں کے مابین قوت دفع

جہاں دوسری قدم پر $R_{21} = R_{12} = R$ لکھا گیا ہے اور $\boldsymbol{a_{12}} = -\boldsymbol{a_{21}}$ کے برابر ہے۔ دونوں چارج مثبت یا دونوں چارج منفی ہونے کی صورت میں Q_2 پر مساوات 2.10 سے قوت $\mathbf{a_{21}}$ کی سمت میں حاصل ہوتا ہے۔ یوں یکساں چارجوں کے مابین قوت دفع پایا جاتا ہے۔ دو الٹ اقسام کے چارجوں کی صورت میں Q_2 پر قوت $-\mathbf{a_{21}}$ کی سمت میں حاصل ہوتا ہے۔ یوں الٹ اقسام کے چارجوں کے مابین قوت کشش پایا جاتا ہے۔

مثال 2.4: شکل 2.1 میں نقطہ $A(3,2,4)$ پر $20\,\mu\text{C}$ کا چارج Q_1 جبکہ نقطہ $B(1,5,9)$ پر $-50\,\mu\text{C}$ کا چارج Q_2 پایا جاتا ہے۔ منفی چارج Q_2 پر سمتی قوت حاصل کریں۔

حل:

$$\begin{aligned}
\boldsymbol{R_{21}} &= (1-3)\boldsymbol{a}_\text{x} + (5-2)\boldsymbol{a}_\text{y} + (9-4)\boldsymbol{a}_\text{z} \\
&= -2\boldsymbol{a}_\text{x} + 3\boldsymbol{a}_\text{y} + 5\boldsymbol{a}_\text{z} \\
R_{21} &= |\boldsymbol{R_{21}}| = \sqrt{(-2)^2 + 3^2 + 5^2} \\
&= \sqrt{38} \\
&= 6.1644
\end{aligned}$$

اور یوں

$$\begin{aligned}
\boldsymbol{a_{21}} &= \frac{\boldsymbol{R_{21}}}{|\boldsymbol{R}_{21}|} = \frac{-2\boldsymbol{a}_\text{x} + 3\boldsymbol{a}_\text{y} + 5\boldsymbol{a}_\text{z}}{6.1644} \\
&= -0.324\boldsymbol{a}_\text{x} + 0.487\boldsymbol{a}_\text{y} + 0.811\boldsymbol{a}_\text{z}
\end{aligned}$$

حاصل ہوتا ہے جس سے

$$\begin{aligned}
\boldsymbol{F_2} &= \frac{36\pi \times 10^9}{4\pi} \frac{\left(-50 \times 10^{-6} \times 20 \times 10^{-6}\right)}{38} \left(-0.324\boldsymbol{a}_\text{x} + 0.487\boldsymbol{a}_\text{y} + 0.811\boldsymbol{a}_\text{z}\right) \\
&= -0.237 \left(-0.324\boldsymbol{a}_\text{x} + 0.487\boldsymbol{a}_\text{y} + 0.811\boldsymbol{a}_\text{z}\right) \text{ N}
\end{aligned}$$

حاصل ہوتا ہے۔ آپ دیکھ سکتے ہیں کہ قوت کی سمت $\mathbf{a_{21}}$ کے الٹ سمت میں ہے۔ یوں منفی چارج پر قوت کی سمت مثبت چارج کی جانب ہے یعنی اس پر قوت کشش پایا جاتا ہے۔

کسی بھی چارج پر ایک سے زیادہ چارجوں سے پیدا مجموعی قوت تمام چارجوں سے پیدا علیحدہ علیحدہ قوتوں کا سمتی مجموعہ ہوتا ہے یعنی

$$\boldsymbol{F} = \sum_{i=1}^{n} \boldsymbol{F}_i \tag{2.12}$$

اس حقیقت کو یوں بیان کیا جاتا ہے کہ کولومب کا قانون خطی[9] ہے۔

2.2 برقی میدان کی شدت

نیوٹن کے کائناتی تجاذب کے قانون میں زمین کی کمیت کو M لکھ کر کمیت m پر قوت F حاصل کی جا سکتی ہے۔ایک کلو گرام کمیت پر اس قوت کی مقدار $\frac{F}{m}$ ہو گی جسے زمین کی کشش[10] یا ثقلی اسراع پکارا اور g لکھا جاتا ہے۔زمین کی سطح پر g کی مقدار تقریباً $9.8\ \frac{\mathrm{m}}{\mathrm{s}^2}$ کے برابر ہے۔

$$g = \frac{F}{m} = \frac{GM}{R^2} \tag{2.13}$$

کسی بھی کمیت M کے گرد تجاذبی میدان[11] پایا جاتا ہے۔کسی بھی نقطے پر اس تجاذبی میدن کو ناپنے کی خاطر اس نقطے پر پیمائشی کمیت m_p[12] رکھ کر اس پر قوت ناپی جاتی ہے۔مختلف مقامات پر اس طرح قوت ناپ کر ہم تجاذبی میدان کا جائزہ لے سکتے ہیں۔تجاذبی قوت کی مقدار کا دارومدار پیمائشی کمیت[13] m_p پر بھی منحصر ہے۔مختلف تجاذبی میدانوں کا آپس میں موازنہ کرتے وقت یہ ضروری ہے کہ تمام تجاذبی میدان جانچتے وقت ایک ہی قیمت کے پیمائشی کمیت استعمال کی جائے۔ماہرین طبیعیات عموماً m_p کو ایک کلو گرام رکھتے ہیں۔یہ ضروری نہیں کہ تجاذبی قوت ناپتے وقت ایک کلو گرام کی پیمائشی کمیت ہی استعمال کی جائے البتہ جوابات اکٹھے کرتے وقت $\mathbf{F}$ کو m_p سے تقسیم کرتے ہوئے ایک کلو گرام پر تجاذبی قوت حاصل کی جا سکتی ہے۔زمین کے قریب ایک کلو گرام کمیت پر قوت کشش کو ثقلی اسراع g پکارا جاتا ہے۔

مثال 2.5: زمین کی سطح پر دو سو گرام پیمائشی کمیت پر 1.96 N قوت ناپی جاتی ہے۔ثقلی اسراع حاصل کریں۔

حل:

$$g = \frac{1.96}{0.2} = 9.8\ \frac{\mathrm{N}}{\mathrm{kg}} \tag{2.14}$$

مساوات 2.13 سے ہم

$$\begin{aligned} F &= mg \\ w &= mg \end{aligned} \tag{2.15}$$

---

[9] linear
[10] gravity
[11] gravitational field
[12] m_p لکھتے ہوئے زیرنوشت میں p لفظ پیمائشی کے پ کو ظاہر کرتا ہے، یعنی یہ وہ کمیت ہے جسے قوت کی پیمائش کی خاطر استعمال کیا جا رہا ہے۔
[13] test mass

لکھ سکتے ہیں جو زمین کی سطح پر کمیت m پر کشش ثقل F دیتا ہے جسے وزن پکارا اور w لکھا جاتا ہے۔

چارجوں پر بھی اسی طرح غور کیا جاتا ہے۔ کسی بھی چارج Q کے گرد برقی میدان پایا جاتا ہے یعنی برقی میدان کا منبع چارج ہے۔ اس برقی میدان میں چارج پر قوت اثر انداز ہوتا ہے۔ چارج Q کے برقی میدان کی شدت کے پیمائش کی خاطر اس میدان میں مختلف مقامات پر پیمائشی چارج q_p [14] پر قوت $\mathbf{F}$ ناپ کر برقی میدان کا مطالعہ کیا جا سکتا ہے اور اس کا نقشہ بنایا جا سکتا ہے۔ مختلف چارجوں کے برقی میدانوں کا آپس میں موازنہ کرتے وقت یہ ضروری ہے کہ تمام صورتوں میں ایک ہی قیمت کے پیمائشی چارج استعمال کئے جائیں۔ ماہرین طبیعیات q_p کو ایک کولومب کا مثبت چارج رکھتے ہیں۔ یہ ضروری نہیں کہ قوت ناپتے وقت ایک کولومب کا مثبت پیمائشی چارج ہی استعمال کیا جائے البتہ جوابات اکٹھے کرتے وقت $\mathbf{F}$ کو q_p سے تقسیم کرتے ہوئے ایک مثبت کولومب پر قوت حاصل کی جاتی ہے جسے برقی میدان کی شدت [15] یا صرف برقی میدان پکارا اور $\mathbf{E}$ لکھا جاتا ہے یعنی

$$\boldsymbol{E} = \frac{\boldsymbol{F}}{q_p} \tag{2.16}$$

مختلف مقامات پر موجود مختلف قیمتوں کے چارجوں سے کسی ایک نقطے پر پیدا برقی میدان تمام چارجوں کے مجموعی اثر سے پیدا ہو گا۔ ایسا کولومب کے قانون کے خطی ہونے کی بنا پر ہوتا ہے۔ کسی بھی نقطے پر n چارجوں کا مجموعی $\mathbf{E}$ تمام چارجوں کے علیحدہ علیحدہ پیدا کردہ $\boldsymbol{E}_1$، $\boldsymbol{E}_2$، $\boldsymbol{E}_3$، $\cdots$ کا سمتی مجموعہ

$$\boldsymbol{E} = \sum_{i=1}^{n} \boldsymbol{E}_i = \boldsymbol{E}_1 + \boldsymbol{E}_2 + \boldsymbol{E}_3 + \cdots + \boldsymbol{E}_n \tag{2.17}$$

ہوتا ہے۔ یوں کسی بھی نقطے P پر $\mathbf{E}$ ناپتے وقت اس نقطے پر ایک کولومب چارج q_p رکھ کر اس چارج پر قوت ناپی جاتی ہے۔ یہ قوت اس نقطے پر تمام چارجوں کا مجموعی $\mathbf{E}$ ہوتا ہے۔ یاد رہے کہ کسی بھی نقطے پر $\mathbf{E}$ ناپتے وقت یہاں رکھے پیمائشی چارج q_p کا اثر شامل نہیں ہوتا۔

مساوات 2.10 سے چارج Q سے $\boldsymbol{a}_R$ سمت میں R فاصلے پر برقی میدان کو

$$\begin{aligned} \boldsymbol{E} &= \frac{Q}{4\pi\epsilon_0}\frac{\boldsymbol{a_R}}{R^2} \\ &= \frac{Q}{4\pi\epsilon_0}\frac{\boldsymbol{R}}{R^3} \end{aligned} \tag{2.18}$$

لکھا جا سکتا ہے۔ چارج کو کروی محدد کے مرکز پر تصور کرتے ہوئے اسی مساوات کو یوں لکھا جا سکتا ہے

$$\boldsymbol{E} = \frac{Q}{4\pi\epsilon_0 r^2}\boldsymbol{a}_{\mathrm{r}} \tag{2.19}$$

جہاں $\boldsymbol{a}_{\mathrm{r}}$ کروی محدد کا رداسی سمت میں اکائی سمتیہ ہے۔

نقطہ (x', y', z') پر موجود چارج Q سے نقطہ (x, y, z) پر برقی شدت یوں حاصل کی جا سکتی ہے۔

$$\begin{aligned} \boldsymbol{E} &= \frac{1}{4\pi\epsilon_0}\frac{Q}{|\boldsymbol{r}-\boldsymbol{r'}|^2}\frac{\boldsymbol{r}-\boldsymbol{r'}}{|\boldsymbol{r}-\boldsymbol{r'}|} = \frac{Q}{4\pi\epsilon_0}\frac{\boldsymbol{r}-\boldsymbol{r'}}{|\boldsymbol{r}-\boldsymbol{r'}|^3} \\ &= \frac{Q}{4\pi\epsilon_0}\frac{\left[(x-x')\boldsymbol{a}_{\mathrm{x}} + (y-y')\boldsymbol{a}_{\mathrm{y}} + (z-z')\boldsymbol{a}_{\mathrm{z}}\right]}{\left[(x-x')^2 + (y-y')^2 + (z-z')^2\right]^{\frac{3}{2}}} \end{aligned} \tag{2.20}$$

---

[14] test charge
[15] electric field intensity

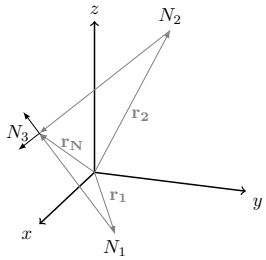

شکل 2.2: دو چارجوں سے پیدا برقی شدت

جہاں

$$\begin{aligned}
\boldsymbol{r} &= x\boldsymbol{a}_x + y\boldsymbol{a}_y + z\boldsymbol{a}_z \\
\boldsymbol{r}' &= x'\boldsymbol{a}_x + y'\boldsymbol{a}_y + z'\boldsymbol{a}_z \\
\boldsymbol{R} = \boldsymbol{r} - \boldsymbol{r}' &= (x - x')\boldsymbol{a}_x + (y - y')\boldsymbol{a}_y + (z - z')\boldsymbol{a}_z
\end{aligned}$$

کے برابر ہے۔

چارج کے جوابات

مثال 2.6: نقطہ $N_1(4,1,1)$ پر $100\,\mu\text{C}$ کا چارج Q_1 جبکہ نقطہ $N_2(1,4,2)$ پر $50\,\mu\text{C}$ کا چارج Q_2 پایا جاتا ہے۔ نقطہ $N_3(2,2,5)$ پر Q_1 سے پیدا $\boldsymbol{E}_1$ اور Q_2 سے پیدا $\boldsymbol{E}_2$ حاصل کریں۔ اس نقطے پر دونوں چارجوں کا مجموعی $\boldsymbol{E}$ کیا ہو گا۔

حل: شکل 2.2 میں صورت حال دکھایا گیا ہے۔ پہلے Q_1 سے پیدا $\boldsymbol{E}_1$ حاصل کرتے ہیں۔ N_1 سے N_3 تک سمتی فاصلہ

$$\begin{aligned}
\boldsymbol{R}_{31} = \boldsymbol{R}_3 - \boldsymbol{R}_1 &= (2-4)\boldsymbol{a}_x + (2-1)\boldsymbol{a}_y + (5-1)\boldsymbol{a}_z \\
&= -2\boldsymbol{a}_x + 1\boldsymbol{a}_y + 4\boldsymbol{a}_z
\end{aligned}$$

ہے جس سے

$$\begin{aligned}
R_{31} = \left|\boldsymbol{R}_{31}\right| &= \sqrt{(-2)^2 + 1^2 + 4^2} \\
&= \sqrt{21} = 4.583 \\
\boldsymbol{a}_{31} = \frac{\boldsymbol{R}_{31}}{R_{31}} &= \frac{-2\boldsymbol{a}_x + 1\boldsymbol{a}_y + 4\boldsymbol{a}_z}{\sqrt{21}} \\
&= -0.436\boldsymbol{a}_x + 0.218\boldsymbol{a}_y + 0.873\boldsymbol{a}_z
\end{aligned}$$

حاصل ہوتے ہیں۔ یوں مساوات 2.18 سے

$$\begin{aligned}
\boldsymbol{E}_1 &= 9 \times 10^9 \frac{100 \times 10^{-6}}{21} \left(-0.436\boldsymbol{a}_x + 0.218\boldsymbol{a}_y + 0.873\boldsymbol{a}_z\right) \\
&= -18\,686\boldsymbol{a}_x + 9343\boldsymbol{a}_y + 37\,414\boldsymbol{a}_z \quad \frac{\text{V}}{\text{m}}
\end{aligned}$$

حاصل ہوتا ہے جہاں مساوات 2.7 سے $\frac{1}{4\pi\epsilon_0}$ کی قیمت 9×10^9 پر کی گئی۔ اسی طرح Q_2 کے لئے حل کرتے ہوئے

$$\begin{aligned}
\boldsymbol{R}_{32} &= (2-1)\boldsymbol{a}_x + (2-4)\boldsymbol{a}_y + (5-2)\boldsymbol{a}_z \\
&= 1\boldsymbol{a}_x - 2\boldsymbol{a}_y + 3\boldsymbol{a}_z
\end{aligned}$$

اور

$$
\begin{aligned}
R_{32} &= |\boldsymbol{R}_{32}| = \sqrt{1^2+2^2+3^2} = \sqrt{14} \\
\boldsymbol{a}_{32} &= \frac{1\boldsymbol{a}_x - 2\boldsymbol{a}_y + 3\boldsymbol{a}_z}{\sqrt{14}} \\
&= 0.267\boldsymbol{a}_x - 0.535\boldsymbol{a}_y + 0.802\boldsymbol{a}_z
\end{aligned}
$$

سے

$$
\begin{aligned}
\boldsymbol{E}_2 &= 9\times 10^9 \frac{50\times 10^{-6}}{14}\left(0.267\boldsymbol{a}_x - 0.535\boldsymbol{a}_y + 0.802\boldsymbol{a}_z\right) \\
&= 8582\boldsymbol{a}_x - 17\,196\boldsymbol{a}_y + 25\,779\boldsymbol{a}_z \quad \frac{\mathrm{V}}{\mathrm{m}}
\end{aligned}
$$

ملتا ہے۔ان دو جوابات کا سمتی مجموعہ لیتے ہوئے کل $\boldsymbol{E}$ حاصل کرتے ہیں۔

$$
\begin{aligned}
\boldsymbol{E} &= \boldsymbol{E}_1 + \boldsymbol{E}_2 \\
&= \left(-18\,686\boldsymbol{a}_x + 9343\boldsymbol{a}_y + 37\,414\boldsymbol{a}_z\right) + \left(8582\boldsymbol{a}_x - 17\,196\boldsymbol{a}_y + 25\,779\boldsymbol{a}_z\right) \\
&= -10\,104\boldsymbol{a}_x - 7853\boldsymbol{a}_y + 63\,193\boldsymbol{a}_z \quad \frac{\mathrm{V}}{\mathrm{m}}
\end{aligned}
$$

مساوات 2.16 کو

$$\boldsymbol{F} = q\boldsymbol{E} \tag{2.21}$$

لکھا جا سکتا ہے جو برقی میدان E کے موجودگی میں چارج q پر قوت F دیتا ہے۔

2.3 یکساں چارج بردار سیدھی لامحدود لکیر کا برقی میدان

شکل 2.3 میں z محدد پر $z=-\infty$ سے $z=+\infty$ تک یکساں چارج کی کثافت پائی جاتی ہے۔آپ تصور کر سکتے ہیں کہ z محدد پر انتہائی قریب قریب برابر فاصلے پر یکساں نقطہ چارج رکھے گئے ہیں۔یوں اگر ΔL لمبائی میں کل ΔQ چارج پایا جائے تب اکائی لمبائی میں $\frac{\Delta Q}{\Delta L}$ چارج پایا جائے گا جسے لکیری چارج کثافت[16] ρ_L[17] کہا جاتا ہے اور جس کی اکائی C/m ہے۔لکیری چارج کثافت کی تعریف

$$\rho_L = \lim_{\Delta L\to 0}\frac{\Delta Q}{\Delta L} \tag{2.22}$$

ہے۔لکیر پر چھوٹی لمبائی اتنی کم نہیں کی جاتی کہ چارج بردار الیکٹران علیحدہ علیحدہ نظر آئیں اور لکیری کثافت کی جگہ نقطہ چارج نظر آئیں۔اگر لکیر پر چارج کی تقسیم ہر جگہ یکساں نہ ہو تب لکیری چارج کثافت متغیر ہو گی۔آئیں یکساں لکیری چارج کثافت سے خالی خلاء میں پیدا برقی میدان پر غور کریں۔

پہلے بغیر قلم اٹھائے اس مسئلے کی نوعیت پر توجہ دیتے ہیں۔مقام $(0,0,z)$ پر چھوٹی سی لمبائی Δz میں $\rho_L\Delta z$ چارج پایا جاتا ہے جسے نقطہ چارج تصور کرتے ہوئے آگے بڑھتے ہیں۔z محدد کے گرد $z=0$ یعنی xy سطح پر شکل 2.3 میں نقطہ دار گول دائرہ بنایا گیا ہے۔نقطہ چارج $\rho_L\Delta z$ سے دائرے پر کسی

---

[16] line charge density

[17] اس کتاب میں رداس کے لئے بھی ρ استعمال کیا جاتا ہے۔ρ کو جب بھی کثافت کے لئے استعمال کیا جائے،اس کے زیر نوشت میں L، S یا h لکھا جائے گا۔

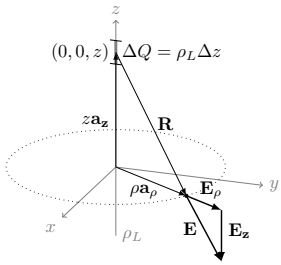

شکل 2.3: یکساں چارج بردار سیدھی لامحدود لکیر کا برقی میدان

بھی مقام پر پیدا برقی میدان پر غور کرتے ہیں۔ برقی میدان کی مقدار کا دارومدار میدان پیدا کرنے والے چارج اور چارج سے فاصلے پر ہے۔ نقطہ دار لکیر پر پائے جانے والے تمام نقطوں کا $(0,0,z)$ سے فاصلہ برابر ہے۔ یوں ہم توقع کرتے ہیں کہ اس دائرے پر برقی میدان کی شدت کی حتمی قیمت ہر جگہ برابر ہو گی۔ اس کو یوں بھی بیان کیا جا سکتا ہے کہ چارج کی نقطہ نظر سے نقطہ دار لکیر پر تمام نقطے بالکل یکساں نظر آتے ہیں۔ اس مشابہت سے ہم کہہ سکتے ہیں کہ نقطہ دار دائرے پر ہر جگہ برقی میدان یکساں ہو گا۔

آئیں شکل 2.3 کو دیکھتے ہوئے ایک اور مشابہت پر غور کرتے ہیں۔ چونکہ $\mathbf{E}$ سمتی فاصلہ $\mathbf{R}$ کی سمت میں ہوتا ہے لہٰذا دائرے پر کسی بھی نقطے پر نقطہ چارج $\rho_L \Delta z$ سے پیدا $\boldsymbol{E}$ کے دو اجزاء پائے جائیں گے یعنی

$$\boldsymbol{E} = \boldsymbol{E}_\rho + \boldsymbol{E}_z \tag{2.23}$$

مثبت ρ_L کی صورت میں $(0,0,z)$ پر موجود چارج سے $\boldsymbol{E}_z$ کی سمت منفی z جانب ہو گی۔ اسی طرح $(0,0,-z)$ پر پائے جانے والے مثبت چارج سے دائرے پر پیدا $\boldsymbol{E}$ کی سمت مثبت z جانب ہو گی۔ دائرے پر یہ دونوں ارکان ایک دونوں کو ختم کریں گے۔ اسی عمل سے دائرے پر کسی بھی نقطے پر مثبت z محدد پر کسی بھی فاصلے پر پائے جانے والے چارج سے پیدا $\boldsymbol{E}_z$ کے اثر کو منفی z محدد پر اتنے ہی فاصلے پر چارج سے پیدا $\boldsymbol{E}_z$ ختم کرتا ہے۔ یوں دائرے پر

$$\boldsymbol{E}_z = 0 \tag{2.24}$$

ہو گا۔

ایک آخری مشابہت پر اب غور کرتے ہیں۔ اگر نقطہ دار دائرے کو z محدد پر مثبت یا منفی جانب لے جایا جائے تو کیا ہو گا؟ اب بھی دائرے کے ایک جانب کسی بھی فاصلے پر چارج کا اثر دائرے کے دوسری جانب اتنے ہی فاصلے پر چارج ختم کرے گا۔ یوں دائرے کے ایک جانب یعنی z محدد پر ∞ تک فاصلے پر چارجوں کے $\boldsymbol{E}_z$ کو دائرے کی دوسری جانب z محدد پر $-\infty$ تک فاصلے پر چارجوں کا $\boldsymbol{E}_z$ ختم کرے گا اور یوں خلاء میں ہر جگہ مساوات 2.24 درست ثابت ہوتا ہے۔ اس حقیقت کو یوں بہتر بیان کیا جا سکتا ہے کہ لامحدود لکیر پر یکساں کثافت چارج سے خلاء میں برقی میدان صرف رداس کی سمت میں پیدا ہو گا۔ آئیں اس $\mathbf{E}$ کو حاصل کریں۔

شکل 2.3 میں مقام z پر نقطہ چارج $\rho_L \Delta z$ دائرے پر $\Delta \boldsymbol{E}$ پیدا کرتا ہے۔ محدد کے مرکز سے نقطہ چارج کا مقام سمتیہ $z\boldsymbol{a}_z$ سے ظاہر کیا جا سکتا ہے جبکہ دائرے پر کسی بھی نقطے N کو سمتیہ $\rho \boldsymbol{a}_\rho$ ظاہر کرتا ہے۔ یوں نقطہ چارج سے N تک کا سمتی فاصلہ اور اسی سمت میں اکائی سمتیہ یوں حاصل کئے جائیں گے۔

$$\begin{aligned}
\boldsymbol{R} &= \rho \boldsymbol{a}_\rho - z\boldsymbol{a}_z \\
|\boldsymbol{R}| = R &= \sqrt{\rho^2 + z^2} \\
\boldsymbol{a}_R &= \frac{\boldsymbol{R}}{|\boldsymbol{R}|} = \frac{\rho \boldsymbol{a}_\rho - z\boldsymbol{a}_z}{\sqrt{\rho^2 + z^2}}
\end{aligned}$$

مساوات 2.19 سے

$$\begin{aligned}\Delta \boldsymbol{E} &= \frac{\rho_L \Delta z}{4\pi\epsilon_0\left(\rho^2+z^2\right)}\frac{\rho \boldsymbol{a}_\rho - z\boldsymbol{a}_z}{\sqrt{\rho^2+z^2}}\\ &= \frac{\rho_L \Delta z\left(\rho \boldsymbol{a}_\rho - z\boldsymbol{a}_z\right)}{4\pi\epsilon_0\left(\rho^2+z^2\right)^{\frac{3}{2}}}\end{aligned}$$

حاصل ہوتا ہے۔ تمام چارجوں کے اثرات کو یکجا کرنے کی خاطر مندرجہ بالا مساوات کو تکمل کی شکل دے کر مندرجہ ذیل مساوات میں دکھایا گیا ہے۔ تکملہ کے حدود $-\infty$ اور $+\infty$ ہیں۔

$$\boldsymbol{E} = \int \mathrm{d}\boldsymbol{E} = \int_{-\infty}^{+\infty}\left[\frac{\rho_L\left(\rho \boldsymbol{a}_\rho - z\boldsymbol{a}_z\right)}{4\pi\epsilon_0\left(\rho^2+z^2\right)^{\frac{3}{2}}}\right]\mathrm{d}z \tag{2.25}$$

اس تکمل کو یوں لکھا جا سکتا ہے

$$\boldsymbol{E} = \frac{\rho_L \rho \boldsymbol{a}_\rho}{4\pi\epsilon_0}\int_{-\infty}^{+\infty}\frac{\mathrm{d}z}{\left(\rho^2+z^2\right)^{\frac{3}{2}}} - \frac{\rho_L \boldsymbol{a}_z}{4\pi\epsilon_0}\int_{-\infty}^{+\infty}\frac{z\,\mathrm{d}z}{\left(\rho^2+z^2\right)^{\frac{3}{2}}} \tag{2.26}$$

جہاں مساوات کی نشان کے دائیں جانب پہلا تکمل $\boldsymbol{E}_\rho$ اور دوسرا تکمل $\boldsymbol{E}_z$ دیتا ہے یعنی

$$\begin{aligned}\boldsymbol{E}_\rho &= \frac{\rho_L \rho \boldsymbol{a}_\rho}{4\pi\epsilon_0}\int_{-\infty}^{+\infty}\frac{\mathrm{d}z}{\left(\rho^2+z^2\right)^{\frac{3}{2}}}\\ \boldsymbol{E}_z &= -\frac{\rho_L \boldsymbol{a}_z}{4\pi\epsilon_0}\int_{-\infty}^{+\infty}\frac{z\,\mathrm{d}z}{\left(\rho^2+z^2\right)^{\frac{3}{2}}}\end{aligned} \tag{2.27}$$

مساوات 2.24 کی مدد سے ہم دیکھ سکتے ہیں کہ دوسرا تکملہ صفر جواب دیگا۔ آئیں دونوں تکمل کو باری باری حل کریں۔ پہلے $\boldsymbol{E}_\rho$ حل کرتے ہیں۔ اس مساوات میں

$$z = \rho \tan\alpha$$

استعمال کرتے ہیں۔ ایسا کرتے ہوئے تکمل کا ابتدائی حد

$$\begin{aligned}-\infty &= \rho \tan \alpha_{\text{ابتدائی}}\\ \alpha_{\text{ابتدائی}} &= -\frac{\pi}{2}\end{aligned}$$

اور اختتامی حد

$$\begin{aligned}\infty &= \rho \tan \alpha_{\text{اختتامی}}\\ \alpha_{\text{اختتامی}} &= \frac{\pi}{2}\end{aligned}$$

حاصل ہوتے ہیں۔ مزید

$$\mathrm{d}z = \rho \sec^2\alpha\,\mathrm{d}\alpha$$

لکھا جائے گا۔یوں

$$\begin{aligned}
\boldsymbol{E}_\rho &= \frac{\rho_L \rho \boldsymbol{a}_\rho}{4\pi\epsilon_0} \int_{-\frac{\pi}{2}}^{+\frac{\pi}{2}} \frac{\rho \sec^2 \alpha \, \mathrm{d}\alpha}{\left(\rho^2 + \rho^2 \tan^2 \alpha\right)^{\frac{3}{2}}} \\
&= \frac{\rho_L \rho \boldsymbol{a}_\rho}{4\pi\epsilon_0} \int_{-\frac{\pi}{2}}^{+\frac{\pi}{2}} \frac{\rho \sec^2 \alpha \, \mathrm{d}\alpha}{\rho^3 \left(1 + \tan^2 \alpha\right)^{\frac{3}{2}}}
\end{aligned}$$

لکھا جائے گا جس میں

$$1 + \tan^2 \alpha = \sec^2 \alpha$$

استعمال کرتے ہوئے

$$\begin{aligned}
\boldsymbol{E}_\rho &= \frac{\rho_L \rho \boldsymbol{a}_\rho}{4\pi\epsilon_0} \int_{-\frac{\pi}{2}}^{+\frac{\pi}{2}} \frac{\rho \sec^2 \alpha \, \mathrm{d}\alpha}{\rho^3 \sec^3 \alpha} \\
&= \frac{\rho_L \boldsymbol{a}_\rho}{4\pi\epsilon_0 \rho} \int_{-\frac{\pi}{2}}^{+\frac{\pi}{2}} \cos \alpha \, \mathrm{d}\alpha \\
&= \frac{\rho_L \boldsymbol{a}_\rho}{4\pi\epsilon_0 \rho} \sin \alpha \Bigg|_{-\frac{\pi}{2}}^{\frac{+\pi}{2}} \\
&= \frac{\rho_L}{2\pi\epsilon_0 \rho} \boldsymbol{a}_\rho
\end{aligned} \tag{2.28}$$

661 ملتا ہے جہاں دوسری قدم پر $\sec \alpha = \frac{1}{\cos \alpha}$ کا استعمال کیا گیا۔

آئیں اب مساوات 2.27 کے دوسرے جزو کو حل کریں۔اس میں بھی $z = \rho \tan \alpha$ استعمال کرتے ہیں۔یوں

$$\begin{aligned}
\boldsymbol{E}_z &= -\frac{\rho_L \boldsymbol{a}_z}{4\pi\epsilon_0} \int_{-\infty}^{+\infty} \frac{z \, \mathrm{d}z}{\left(\rho^2 + z^2\right)^{\frac{3}{2}}} \\
&= -\frac{\rho_L \boldsymbol{a}_z}{4\pi\epsilon_0} \int_{-\frac{\pi}{2}}^{+\frac{\pi}{2}} \frac{\rho^2 \tan \alpha \sec^2 \alpha \, \mathrm{d}\alpha}{\left(\rho^2 + \rho^2 \tan^2 \alpha\right)^{\frac{3}{2}}} \\
&= -\frac{\rho_L \boldsymbol{a}_z}{4\pi\epsilon_0 \rho} \int_{-\frac{\pi}{2}}^{+\frac{\pi}{2}} \frac{\tan \alpha \sec^2 \alpha \, \mathrm{d}\alpha}{\left(1 + \tan^2 \alpha\right)^{\frac{3}{2}}}
\end{aligned}$$

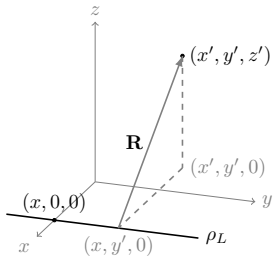

شکل 2.4: کسی بھی سمت میں لامحدود لکیر پر چارج کی مثال

سے

$$
\begin{aligned}
\boldsymbol{E}_z &= -\frac{\rho_L \boldsymbol{a}_z}{4\pi\epsilon_0\rho}\int_{-\frac{\pi}{2}}^{+\frac{\pi}{2}} \frac{\tan\alpha\sec^2\alpha\,\mathrm{d}\alpha}{\sec^3\alpha} \\
&= -\frac{\rho_L \boldsymbol{a}_z}{4\pi\epsilon_0\rho}\int_{-\frac{\pi}{2}}^{+\frac{\pi}{2}} \sin\alpha\,\mathrm{d}\alpha \\
&= \frac{\rho_L \boldsymbol{a}_z}{4\pi\epsilon_0\rho}\cos\alpha\Big|_{-\frac{\pi}{2}}^{+\frac{\pi}{2}} \\
&= 0
\end{aligned}
\tag{2.29}
$$

ملتا ہے۔یہی جواب مساوات 2.24 میں حاصل کیا گیا تھا۔

مساوات 2.28 اور مساوات 2.29 سے مساوات 2.26 کا حل یوں لکھا جائے گا

$$
\boldsymbol{E} = \boldsymbol{E}_\rho = \frac{\rho_L}{2\pi\epsilon_0\rho}\boldsymbol{a}_\rho \tag{2.30}
$$

جس کے مطابق لامحدود سیدھی لکیر پر یکساں چارج سے برقی میدان رداس ρ کے بالعکس متناسب ہے۔اس نتیجے کا مساوات 2.19 کے ساتھ موازنہ کریں جو نقطہ چارج کی برقی میدان بیان کرتا ہے۔نقطہ چارج کا برقی میدان کروی رداس کے مربع کے بالعکس متناسب ہے۔یوں اگر لامحدود لکیر کے چارج سے فاصلہ دگنا کر دیا جائے تو برقی میدان آدھا ہو جائے گا جبکہ نقطہ چارج سے فاصلہ دگنا کرنے سے برقی میدان چار گنا کم ہوتا ہے۔

کسی بھی سمت میں لامحدود سیدھی لکیر پر چارج کا برقی میدان مساوات 2.30 میں بیان خوبیوں پر پورا اترے گا۔ایسی صورت میں کسی بھی نقطے پر $\mathbf{E}$ حاصل کرنے کی خاطر اس نقطے سے چارج کے لکیر تک کم سے کم فاصلہ R حاصل کریں۔یہ فاصلہ نقطے سے لکیر پر عمود کھینچنے سے حاصل ہو گا۔اس فاصلے کو ρ تصور کریں۔لکیر سے عمودی سمت میں نقطے کی جانب اکائی سمتیہ $\boldsymbol{a}_R$ کو $\boldsymbol{a}_\rho$ تصور کریں۔ایسی صورت میں مساوات 2.30 کو

$$
\boldsymbol{E} = \frac{\rho_L}{2\pi\epsilon_0 R}\boldsymbol{a}_R \tag{2.31}
$$

لکھ سکتے ہیں۔

مثال 2.7: y محدد کے متوازی اور $(x, 0, 0)$ سے گزرتی لامحدود لکیر پر ρ_L کثافت کا چارج پایا جاتا ہے۔نقطہ (x', y', z') پر $\mathbf{E}$ حاصل کریں۔

حل: شکل 2.4 میں صورت حال دکھایا گیا ہے۔ (x', y', z') سے چارج کے لکیر پر عمود $(x, y', 0)$ پر ٹکراتا ہے۔ان دو نقطوں کا آپس میں فاصلہ $\sqrt{(x'-x)^2+z^2}$ ہے جبکہ

$$\boldsymbol{R} = (x'-x)\boldsymbol{a}_{\mathrm{X}} + z\boldsymbol{a}_{\mathrm{Z}}$$
$$\boldsymbol{a}_R = \frac{(x'-x)\boldsymbol{a}_{\mathrm{X}} + z\boldsymbol{a}_{\mathrm{Z}}}{\sqrt{(x'-x)^2+z^2}}$$

ہیں۔یوں

$$\boldsymbol{E} = \frac{\rho_L}{2\pi\epsilon_0\sqrt{(x'-x)^2+z^2}}\boldsymbol{a}_R$$

ہو گا۔

مشق 2.1: y محدد پر $-\infty$ سے $+\infty$ تک $10\ \frac{\mathrm{nC}}{\mathrm{m}}$ چارج کی کثافت پائی جاتی ہے۔ نقطہ $N_1(0,0,6)$ اور نقطہ $N_2(0,8,6)$ پر $\mathbf{E}$ حاصل کریں۔

جواب: دونوں نقطوں پر $\boldsymbol{E} = 30\boldsymbol{a}_{\mathrm{Z}}$ کے برابر ہے۔

مشق 2.2: x محدد پر $-\infty$ سے $+\infty$ تک $5\ \frac{\mathrm{nC}}{\mathrm{m}}$ چارج کی کثافت پائی جاتی ہے۔ نقطہ $N_1(0,5,0)$ اور نقطہ $N_2(7,3,4)$ پر $\mathbf{E}$ حاصل کریں۔

جوابات: $\boldsymbol{E}_1 = 18\boldsymbol{a}_{\mathrm{Z}}\ \frac{\mathrm{V}}{\mathrm{m}}$ اور $\boldsymbol{E}_2 = 18\left(\frac{3\boldsymbol{a}_{\mathrm{Y}}+4\boldsymbol{a}_{\mathrm{Z}}}{5}\right)\ \frac{\mathrm{V}}{\mathrm{m}}$

2.4 یکساں چارج بردار ہموار لامحدود سطح

شکل 2.5 میں $z=0$ پر لامحدود $x-y$ سطح دکھائی گئی ہے۔ تصور کریں کہ اس پوری سطح پر انتہائی قریب قریب نقطہ چارج یوں رکھے گئے ہیں کہ سطح پر کہیں بھی چھوٹی رقبہ ΔS پر یکساں قیمت کا چارج ΔQ پایا جاتا ہے۔اس طرح اکائی رقبے پر کل $\frac{\Delta Q}{\Delta S}$ چارج پایا جائے گا جسے سطحی چارج کثافت[18] ρ_S کہتے ہیں۔ سطحی چارج کثافت کی تعریف

$$\rho_S = \lim_{\Delta S \to 0} \frac{\Delta Q}{\Delta S} \tag{2.32}$$

[18] surface charge density

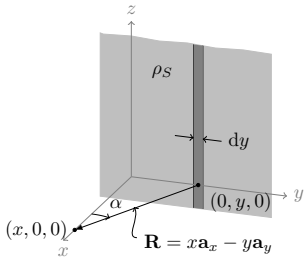

شکل 2.5: یکساں چارج بردار ہموار لامحدود سطح

ہے۔ چھوٹی سطح اتنی کم نہیں لی جاتی کہ اس پر چارج بردار الیکٹران علیحدہ علیحدہ بطور نقطہ چارج نظر آئیں بلکہ اسے اتنا رکھا جاتا ہے کہ علیحدہ علیحدہ الیکٹران کا اثر قابل نظر انداز ہو۔ سطح پر ہر جگہ چارج کا تقسیم یکساں نہ ہونے کی صورت میں ρ_S کی قیمت متغیر ہو گی۔ آئیں لامحدود سطح پر یکساں چارج کثافت سے خالی خلاء میں پیدا $\mathbf{E}$ حاصل کریں۔

پہلے غور کرتے ہیں کہ آیا مختلف مقامات سے دیکھتے ہوئے کچھ اخذ کرنا ممکن ہے۔ اگر اس چارج بردار سطح کے سامنے ہم کھڑے ہو جائیں تو ہمیں سامنے لامحدود چارج بردار سطح نظر آئے گی۔ سطح سے برابر فاصلے پر ہم جہاں بھی جائیں ہمیں صورت حال میں کوئی تبدیلی نظر نہیں آئے گی۔ اسی طرح اگر ہم سطح کی دوسری طرف اتنے ہی فاصلے پر چلے جائیں تو ہمیں صورت حال میں کسی قسم کی کوئی تبدیلی نظر نہیں آئے گی۔ اس مشاہدت سے ہم کہہ سکتے ہیں کہ ایسی سطح سے برابر فاصلے پر تمام نقطوں پر یکساں برقی میدان پایا جائے گا۔ اس کے برعکس اگر ہم اس سطح سے دور ہو جائیں تو ہمیں سطح قدر دور نظر آئے گی اور ہو سکتا ہے کہ اس تبدیلی سے $\mathbf{E}$ پر اثر ہو۔ آئیں اب مسئلے کو حساب و کتاب سے حل کرتے ہوئے $\mathbf{E}$ حاصل کریں۔

شکل 2.5 میں چارج بردار سطح پر z محدد کے متوازی دو انتہائی قریب قریب لکیریں کھینچی گئی ہیں جن کے مابین فاصلہ $\mathrm{d}y$ ہے۔ اس گھیرے گئے رقبے کی چوڑائی $\mathrm{d}y$ ہے۔ یوں ΔL لمبائی اور $\mathrm{d}y$ چوڑائی رقبے میں $\rho_S \Delta L\, \mathrm{d}y$ چارج پایا جائے گا۔ لکیروں سے گھیرے رقبے کو چارج کی سیدھی لکیر تصور کیا جا سکتا ہے جس پر اکائی لمبائی کے رقبے پر $\frac{\rho_S \Delta L\, \mathrm{d}y}{\Delta L}$ چارج پایا جائے گا جسے ρ_L تصور کیا جا سکتا ہے یعنی

$$\rho_L = \rho_S\, \mathrm{d}y \tag{2.33}$$

لامحدود لکیر پر یکساں چارج کی کثافت سے پیدا برقی میدان پر گزشتہ حصے میں غور کیا گیا۔ نقطہ $(x, 0, 0)$ پر $\mathbf{E}$ حاصل کرتے ہیں۔ شکل میں لامحدود چارج کی لکیر سے اس نقطے تک کا قریبی سمتی فاصلہ $\mathbf{R}$ دکھایا گیا ہے جہاں

$$\boldsymbol{R} = x\boldsymbol{a}_{\mathrm{x}} - y\boldsymbol{a}_{\mathrm{y}} \tag{2.34}$$

کے برابر ہے جس سے

$$\begin{aligned} R &= |\boldsymbol{R}| = \sqrt{x^2 + y^2} \\ \boldsymbol{a}_R &= \frac{x\boldsymbol{a}_{\mathrm{x}} - y\boldsymbol{a}_{\mathrm{y}}}{\sqrt{x^2 + y^2}} \end{aligned} \tag{2.35}$$

حاصل ہوتے ہیں۔ یوں چارج بردار لکیر سے $(x, 0, 0)$ پر پیدا برقی میدان کو مساوات 2.31 کی مدد سے

$$\begin{aligned} \mathrm{d}\boldsymbol{E} &= \frac{\rho_S\, \mathrm{d}y}{2\pi\epsilon_0 \sqrt{x^2 + y^2}} \frac{x\boldsymbol{a}_{\mathrm{x}} - y\boldsymbol{a}_{\mathrm{y}}}{\sqrt{x^2 + y^2}} \\ &= \frac{\rho_S\, \mathrm{d}y \left(x\boldsymbol{a}_{\mathrm{x}} - y\boldsymbol{a}_{\mathrm{y}}\right)}{2\pi\epsilon_0 \left(x^2 + y^2\right)} \end{aligned} \tag{2.36}$$

لکھا جا سکتا ہے۔اس جواب کو $\mathrm{d}\boldsymbol{E} = \mathrm{d}\boldsymbol{E}_x + \mathrm{d}\boldsymbol{E}_y$ لکھا جا سکتا ہے جہاں

$$\begin{aligned}\mathrm{d}\boldsymbol{E}_x &= \frac{\rho_S x\,\mathrm{d}y}{2\pi\epsilon_0\left(x^2+y^2\right)}\boldsymbol{a}_\mathrm{x}\\ \mathrm{d}\boldsymbol{E}_y &= -\frac{\rho_S y\,\mathrm{d}y}{2\pi\epsilon_0\left(x^2+y^2\right)}\boldsymbol{a}_\mathrm{y}\end{aligned} \tag{2.37}$$

کے برابر ہیں۔x محدد کے ایک جانب چارج بردار لکیر مندرجہ بالا برقی میدان پیدا کرتا ہے۔غور کرنے سے معلوم ہوتا ہے کہ x محدد کے دوسری جانب اتنے ہی فاصلے پر چارج بردار لکیر سے پیدا برقی میدان مندرجہ بالا $\mathrm{d}\boldsymbol{E}_y$ کو ختم کرے گا۔یوں کسی بھی مثبت y پر کھینچی لکیر کے $\mathrm{d}\boldsymbol{E}_y$ کو منفی y پر کھینچی لکیر کا $\mathrm{d}\boldsymbol{E}_y$ ختم کرے گا۔x محدد کے دونوں جانب مسئلے کی مشابہت سے یوں ہم توقع کرتے ہیں کہ

$$\boldsymbol{E}_y = 0 \tag{2.38}$$

ہو گا۔ 687

آئیں اب حساب و کتاب سے مساوات 2.37 کو حل کریں۔پہلے $\boldsymbol{E}_x$ حاصل کرتے ہیں۔مساوات 2.37 میں دئے $\mathrm{d}\boldsymbol{E}_x$ کا تکمل لیتے ہیں۔ایسا کرنے کی خاطر

$$\begin{aligned}y &= x\tan\alpha\\ \mathrm{d}y &= x\sec^2\alpha\,\mathrm{d}\alpha\end{aligned} \tag{2.39}$$

کا استعمال کرتے ہیں۔شکل 2.5 میں α کی نشاندہی کی گئی ہے۔یوں

$$\begin{aligned}\boldsymbol{E}_x = \int \mathrm{d}\boldsymbol{E}_x &= \frac{\rho_S x\boldsymbol{a}_\mathrm{x}}{2\pi\epsilon_0}\int_{y=-\infty}^{y=+\infty}\frac{\mathrm{d}y}{\left(x^2+y^2\right)}\\ &= \frac{\rho_S x\boldsymbol{a}_\mathrm{x}}{2\pi\epsilon_0}\int_{\alpha=-\frac{\pi}{2}}^{\alpha=+\frac{\pi}{2}}\frac{x\sec^2\alpha\,\mathrm{d}\alpha}{x^2\left(1+\tan^2\alpha\right)}\end{aligned}$$

میں $\sec^2\alpha = 1+\tan^2\alpha$ کے استعمال سے

$$\begin{aligned}\boldsymbol{E}_x &= \frac{\rho_S\boldsymbol{a}_\mathrm{x}}{2\pi\epsilon_0}\int_{\alpha=-\frac{\pi}{2}}^{\alpha=+\frac{\pi}{2}}\mathrm{d}\alpha\\ &= \frac{\rho_S\boldsymbol{a}_\mathrm{x}}{2\pi\epsilon_0}\,\alpha\Big|_{-\frac{\pi}{2}}^{+\frac{\pi}{2}}\\ &= \frac{\rho_S}{2\epsilon_0}\boldsymbol{a}_\mathrm{x}\end{aligned} \tag{2.40}$$

حاصل ہوتا ہے۔آئیں اب $\boldsymbol{E}_y$ حاصل کریں۔ 688

مساوات 2.37 میں دئے $\mathrm{d}\boldsymbol{E}_y$ کا تکمل لیتے ہیں۔

$$\boldsymbol{E}_y = \int \mathrm{d}\boldsymbol{E}_y = -\frac{\rho_S\boldsymbol{a}_\mathrm{y}}{2\pi\epsilon_0}\int_{y=-\infty}^{y=+\infty}\frac{y\,\mathrm{d}y}{\left(x^2+y^2\right)}$$

تکمل کے نشان کے اندر $f(y) = x^2+y^2$ لیتے ہوئے اسے $\frac{\mathrm{d}f(y)}{2f(y)}$ لکھا جا سکتا ہے جس کا تکمل $\frac{\ln f(y)}{2}$ ہے۔یوں

$$\begin{aligned}\boldsymbol{E}_y &= -\frac{\rho_S\boldsymbol{a}_\mathrm{y}}{2\pi\epsilon_0}\,\frac{\ln(x^2+y^2)}{2}\Bigg|_{y=-\infty}^{y=+\infty}\\ &= 0\end{aligned} \tag{2.41}$$

حاصل ہوتا ہے۔مساوات 2.38 میں یہی جواب حاصل کیا گیا تھا۔

مساوات 2.40 اور مساوات 2.41 کی مدد سے یکساں چارج بردار لامحدود سطح کی برقی میدان

$$\boldsymbol{E} = \frac{\rho_S}{2\epsilon_0}\boldsymbol{a}_N \tag{2.42}$$

لکھی جا سکتی ہے جہاں $\boldsymbol{a}_N$ اس سطح کا عمودی اکائی سمتیہ ہے۔آپ دیکھ سکتے ہیں کہ سطح سے فاصلہ کم یا زیادہ کرنے سے برقی میدان کی شدت پر کوئی اثر نہیں ہوتا۔ سطح کے دونوں جانب برقی میدان اسی مساوات سے حاصل کی جائے گی۔ظاہر ہے کہ سطح کے دونوں جانب کے اکائی عمودی سمتیہ آپس میں الٹ ہیں۔

اب تصور کریں کہ اس سطح کے متوازی $x = x_1$ پر ایک اور لامحدود سطح رکھی جائے جس پر چارج کی یکساں کثافت $-\rho_S$ ہو۔ان دو متوازی سطحوں کو دو دھاتی چادروں سے بنایا گیا کپیسٹر[19] سمجھا جا سکتا ہے۔کسی بھی نقطے پر کل E دونوں سطحوں پر چارج سے پیدا برقی میدان کا مجموعہ ہو گا۔پہلے دونوں سطحوں کے دونوں جانب برقی میدان لکھتے ہیں۔

- $x = 0$ پر $+\rho_S$ کثافت کی سطح کا برقی میدان۔

$$\begin{aligned}
\boldsymbol{E}^+_{x>0} &= +\frac{\rho_S}{2\epsilon_0}\boldsymbol{a}_\mathrm{x} && x > 0\\
\boldsymbol{E}^+_{x<0} &= -\frac{\rho_S}{2\epsilon_0}\boldsymbol{a}_\mathrm{x} && x < 0
\end{aligned}$$

- $x = x_1$ پر $-\rho_S$ کثافت کی سطح کا برقی میدان۔

$$\begin{aligned}
\boldsymbol{E}^-_{x>x_1} &= -\frac{\rho_S}{2\epsilon_0}\boldsymbol{a}_\mathrm{x} && x > x_1\\
\boldsymbol{E}^-_{x<x_1} &= +\frac{\rho_S}{2\epsilon_0}\boldsymbol{a}_\mathrm{x} && x < x_1
\end{aligned}$$

ان نتائج کو استعمال کرتے ہوئے $x < 0$، $x > x_1$ اور $0 < x < x_1$ خطوں میں برقی میدان حاصل کرتے ہیں۔

$$\begin{aligned}
\boldsymbol{E}_{x<0} &= \boldsymbol{E}^+_{x<0} + \boldsymbol{E}^-_{x<x_1} = -\frac{\rho_S}{2\epsilon_0}\boldsymbol{a}_\mathrm{x} + \frac{\rho_S}{2\epsilon_0}\boldsymbol{a}_\mathrm{x} = 0\\
\boldsymbol{E}_{x>x_1} &= \boldsymbol{E}^+_{x>0} + \boldsymbol{E}^-_{x>x_1} = +\frac{\rho_S}{2\epsilon_0}\boldsymbol{a}_\mathrm{x} - \frac{\rho_S}{2\epsilon_0}\boldsymbol{a}_\mathrm{x} = 0\\
\boldsymbol{E}_{0<x<x_1} &= \boldsymbol{E}^+_{x>0} + \boldsymbol{E}^-_{x<x_1} = +\frac{\rho_S}{2\epsilon_0}\boldsymbol{a}_\mathrm{x} + \frac{\rho_S}{2\epsilon_0}\boldsymbol{a}_\mathrm{x} = \frac{\rho_S}{\epsilon_0}\boldsymbol{a}_\mathrm{x}
\end{aligned} \tag{2.43}$$

اس نتیجے کے مطابق دو متوازی لامحدود سطحوں جن پر الٹ یکساں کثافت پائی جائے کے باہر کوئی برقی میدان نہیں پایا جاتا جبکہ سطحوں کے درمیانی خطے میں

$$\boldsymbol{E} = \frac{\rho_S}{\epsilon_0}\boldsymbol{a}_\mathrm{x} \tag{2.44}$$

برقی میدان پایا جاتا ہے۔اس میدان کی سمت مثبت چارج بردار چادر سے منفی چارج بردار چادر کی جانب ہوتی ہے۔یہی مساوات ایک ایسے کپیسٹر کے برقی میدان کے لئے بھی استعمال کیا جا سکتا ہے جس میں دھاتی چادروں کی لمبائی اور چوڑائی دونوں چادروں کے درمیانی فاصلے سے کئی گنا زیادہ ہو اور چادروں کے درمیان خالی خلاء یا ہوا پائی جائے۔چادروں کے کناروں کے قریب کپیسٹر کے اندر اور باہر صورت حال قدر مختلف ہو گی۔

[19] capacitor

مثال 2.8: خلاء میں تین متوازی لامحدود سطح پائے جاتے ہیں جن پر چارج کی یکساں کثافت پائی جاتی ہے۔ پہلی سطح $y = 2$ پر $2\,\mathrm{nC/m^2}$، دوسری سطح $y = 5$ پر $4\,\mathrm{nC/m^2}$ اور تیسری سطح $y = 10$ پر $-6\,\mathrm{nC/m^2}$ کثافت پائی جاتی ہے۔ $N_1(0,0,0)$، $N_2(5,3,4)$، $N_3(-2,7,11)$ اور $N_4(-7,30,22)$ پر $\mathbf{E}$ حاصل کریں۔

جوابات: 0، $144\pi \boldsymbol{a}_y$، $216\pi \boldsymbol{a}_y$ اور 0

2.5 چارج بردار حجم

ہم نقطہ چارج، لامحدود لکیر پر چارج اور لامحدود سطح پر چارج دیکھ چکے ہیں۔ اگلا فطری قدم چارج بردار حجم بنتا ہے لہٰذا اسی پر غور کرتے ہیں۔ لکیر اور سطح کے چارج پر غور کرتے ہوئے ہر جگہ یکساں کثافت کی بات کی گئی۔ حجم میں چارج کی بات کرتے ہوئے اس شرط کو دور کرتے ہوئے کثافت کو متغیر تصور کرتے ہیں۔ یوں مختلف مقامات پر کثافت کی قیمت مختلف ہو سکتی ہے۔

تصور کریں کہ حجم میں انتہائی قریب قریب نقطہ چارج پائے جاتے ہیں۔ یوں اگر کسی نقطے پر Δh حجم میں ΔQ چارج پایا جائے تب اس نقطے پر اوسط حجمی چارج کثافت $\frac{\Delta Q}{\Delta h}$ ہو گی۔ کسی بھی نقطے پر چارج کی حجمی کثافت یوں بیان کی جاتی ہے۔

$$\rho_h = \lim_{\Delta h \to 0} \frac{\Delta Q}{\Delta h} \tag{2.45}$$

کسی بھی حجم میں کل چارج تین درجی تکمل سے حاصل کیا جائے گا۔ کارتیسی محدد میں ایسا تکمل یوں لکھا جائے گا۔

$$Q = \iiint\limits_{\mathrm{h}} \rho_h \,\mathrm{d}x\,\mathrm{d}y\,\mathrm{d}z \tag{2.46}$$

جہاں تکمل کے نشان کے نیچے h حجم کو ظاہر کرتا ہے۔ اس طرز کے تکمل کو عموماً ایک درجی تکمل سے ہی ظاہر کیا جاتا ہے یعنی

$$Q = \int\limits_{\mathrm{h}} \rho_h \,\mathrm{d}h \tag{2.47}$$

حجم میں $\mathbf{r}'$ نقطے پر چھوٹی سی حجم $\Delta h'$ میں $\Delta Q = \rho'_h \Delta h'$ چارج پایا جائے گا جسے نقطہ چارج تصور کیا جا سکتا ہے۔ نقطہ $\mathbf{r}$ پر اس نقطہ چارج کا برقی میدان $\mathrm{d}\boldsymbol{E}$ مساوات 2.20 سے یوں حاصل ہوتا ہے۔

$$\mathrm{d}\boldsymbol{E} = \frac{1}{4\pi\epsilon_0} \frac{\rho'_h \Delta h'}{|\boldsymbol{r} - \boldsymbol{r}'|^2} \frac{\boldsymbol{r} - \boldsymbol{r}'}{|\boldsymbol{r} - \boldsymbol{r}'|}$$

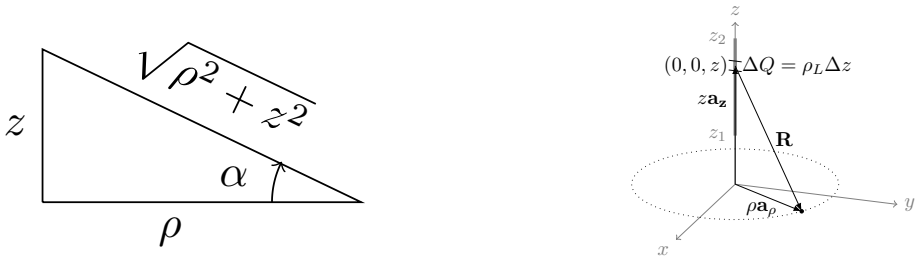

(ب) z اور α کا تعلق

(ا) محدود لکیر پر چارج کی یکساں کثافت

شکل 2.6: محدود لکیر پر چارج

اس مساوات میں نقطہ r' پر چارج کی کثافت ρ'_h لکھی گئی ہے۔تمام حجم میں پائے جانے والے چارج کا نقطہ $\mathbf{r}$ پر میدان مندرجہ بالا مساوات کے تکمل سے یوں حاصل کیا جائے گا۔

$$\boldsymbol{E}(\boldsymbol{r}) = \frac{1}{4\pi\epsilon_0}\int_{\mathrm{h}} \frac{\rho'_h \,\mathrm{d}h'}{|\boldsymbol{r}-\boldsymbol{r'}|^2}\frac{\boldsymbol{r}-\boldsymbol{r'}}{|\boldsymbol{r}-\boldsymbol{r'}|} \tag{2.48}$$

اس مساوات کی شکل قدر خوف ناک ہے البتہ حقیقت میں ایسا ہر گز نہیں۔سمتیہ $\mathbf{r}$ اس نقطے کی نشاندہی کرتا ہے جہاں برقی میدان حاصل کرنا درکار ہو۔اس نقطے پر برقی میدان کو $\boldsymbol{E}(\boldsymbol{r})$ لکھ کر اس حقیقت کی وضاحت کی گئی ہے کہ نقطے کی تبدیلی سے برقی میدان تبدیل ہو سکتا ہے۔کثافت از خود متغیرہ ہے جس کی قیمت $\mathbf{r}'$ پر منحصر ہے۔ $\mathbf{r}'$ پر چھوٹی حجم $\mathrm{d}h'$ اور چارج کی کثافت ρ'_h لکھے گئے ہیں جہاں $'$ اس بات کی یاد دہانی کراتا ہے کہ یہ متغیرات نقطہ r' پر پائے جاتے ہیں۔آخر میں یاد رہے کہ کسی بھی نقطے پر $\mathbf{E}$ حاصل کرتے وقت اسی نقطے پر موجود چارج کو نظرانداز کیا جاتا ہے۔

2.6 مزید مثال

مثال 2.9: شکل 2.6 میں $z = z_1$ سے $z = z_2$ تک کی سیدھی لکیر پر یکساں ρ_L پایا جاتا ہے۔نقطہ دار گول دائرے پر $\mathbf{E}$ حاصل کریں۔اس گول دائرے کا مرکز کارتیسی محدد کے مرکز $(0,0,0)$ پر ہے جبکہ دائرہ از خود $z = 0$ سطح پر پایا جاتا ہے۔

حل: شکل 2.6 سے واضح ہے کہ نکتہ دار گول دائرے پر $\mathbf{E}$ کی حتمی قیمت $|\boldsymbol{E}|$ یکساں ہو گی۔یوں ہم لکھ سکتے ہیں

$$\begin{aligned}
\boldsymbol{E} &= \frac{\rho_L}{4\pi\epsilon_0}\int_{z_1}^{z_2}\frac{\mathrm{d}z}{|\rho^2+z^2|}\frac{\rho\boldsymbol{a}_\rho - z\boldsymbol{a}_\mathrm{z}}{\sqrt{\rho^2+z^2}}\\
&= \frac{\rho_L\rho\boldsymbol{a}_\rho}{4\pi\epsilon_0}\int_{z_1}^{z_2}\frac{\mathrm{d}z}{|\rho^2+z^2|^{\frac{3}{2}}} - \frac{\rho_L\boldsymbol{a}_\mathrm{z}}{4\pi\epsilon_0}\int_{z_1}^{z_2}\frac{z\,\mathrm{d}z}{|\rho^2+z^2|^{\frac{3}{2}}}\\
&= \boldsymbol{E}_\rho + \boldsymbol{E}_z
\end{aligned}$$

دائیں جانب باری باری تکملہ حل کرتے ہیں۔ تکملہ حل کرنے کی خاطر $z = \rho \tan \alpha$ کا تعلق استعمال کرتے ہیں۔ α کا z کا تعلق شکل 2.6-ب میں دکھایا گیا ہے۔

$$\begin{aligned}
\boldsymbol{E}_\rho &= \frac{\rho_L \rho \boldsymbol{a}_\rho}{4\pi\epsilon_0} \int_{\alpha_1}^{\alpha_2} \frac{\rho \sec^2 \alpha \, \mathrm{d}\alpha}{\left|\rho^2 + \rho^2 \tan^2 \alpha\right|^{\frac{3}{2}}} \\
&= \frac{\rho_L \boldsymbol{a}_\rho}{4\pi\epsilon_0 \rho} \sin \alpha \Big|_{\alpha_1}^{\alpha_2} \\
&= \frac{\rho_L \boldsymbol{a}_\rho}{4\pi\epsilon_0 \rho} (\sin \alpha_2 - \sin \alpha_1)
\end{aligned}$$

حاصل ہوتا ہے جہاں

$$\begin{aligned}
\alpha_2 &= \tan^{-1} \frac{z_2}{\rho} \\
\alpha_1 &= \tan^{-1} \frac{z_1}{\rho}
\end{aligned}$$

کے برابر ہے۔ شکل 2.6-ب سے $\sin \alpha = \frac{z}{\sqrt{\rho^2+z^2}}$ لکھا جا سکتا ہے۔ یوں

$$\boldsymbol{E}_\rho = \frac{\rho_L \boldsymbol{a}_\rho}{4\pi\epsilon_0 \rho} \left(\frac{z_2}{\sqrt{\rho^2 + z_2^2}} - \frac{z_1}{\sqrt{\rho^2 + z_1^2}} \right)$$

حاصل ہوتا ہے۔ اسی طرح

$$\begin{aligned}
\boldsymbol{E}_z &= -\frac{\rho_L \boldsymbol{a}_z}{4\pi\epsilon_0} \int_{z_1}^{z_2} \frac{z \, \mathrm{d}z}{\left|\rho^2 + z^2\right|^{\frac{3}{2}}} \\
&= -\frac{\rho_L \boldsymbol{a}_z}{4\pi\epsilon_0} \int_{\alpha_1}^{\alpha_2} \frac{\rho^2 \tan \alpha \sec^2 \alpha \, \mathrm{d}\alpha}{\left|\rho^2 + \rho^2 \tan^2 \alpha\right|^{\frac{3}{2}}}
\end{aligned}$$

سے

$$\begin{aligned}
\boldsymbol{E}_z &= \frac{\rho_L \boldsymbol{a}_z}{4\pi\epsilon_0 \rho} (\cos \alpha_2 - \cos \alpha_1) \\
&= \frac{\rho_L \boldsymbol{a}_z}{4\pi\epsilon_0} \left(\frac{1}{\sqrt{\rho^2 + z_2^2}} - \frac{1}{\sqrt{\rho^2 + z_1^2}} \right)
\end{aligned}$$

حاصل ہوتا ہے۔ $\boldsymbol{E}_\rho$ اور $\boldsymbol{E}_z$ کا مجموعہ لیتے ہوئے کل برقی میدان یوں حاصل ہوتا ہے۔

$$\boldsymbol{E} = \frac{\rho_L \boldsymbol{a}_\rho}{4\pi\epsilon_0 \rho} \left(\frac{z_2}{\sqrt{\rho^2 + z_2^2}} - \frac{z_1}{\sqrt{\rho^2 + z_1^2}} \right) + \frac{\rho_L \boldsymbol{a}_z}{4\pi\epsilon_0} \left(\frac{1}{\sqrt{\rho^2 + z_2^2}} - \frac{1}{\sqrt{\rho^2 + z_1^2}} \right) \tag{2.49}$$

اگر نقطہ دار گول دائرہ $z = z_0$ سطح پر پایا جاتا تب مندرجہ بالا مساوات

$$\boldsymbol{E} = \frac{\rho_L \boldsymbol{a}_\rho}{4\pi\epsilon_0 \rho} \left(\frac{z_2 - z_0}{\sqrt{\rho^2 + (z_2 - z_0)^2}} - \frac{z_1 - z_0}{\sqrt{\rho^2 + (z_1 - z_0)^2}} \right) + \frac{\rho_L \boldsymbol{a}_z}{4\pi\epsilon_0} \left(\frac{1}{\sqrt{\rho^2 + (z_2 - z_0)^2}} - \frac{1}{\sqrt{\rho^2 + (z_1 - z_0)^2}} \right)$$

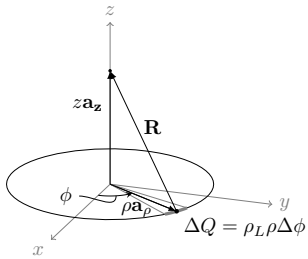

شکل 2.7: چارج بردار گول دائرہ

صورت اختیار کرتا۔

مثال 2.10: شکل 2.7 میں $z = 0$ پر گول دائرہ دکھایا گیا ہے جس پر چارج کی یکساں کثافت پائی جاتی ہے۔نقطہ $(0, 0, z)$ پر $\mathbf{E}$ حاصل کریں۔

حل: نلکی محدد استعمال کرتے ہوئے اسے حل کرتے ہیں۔کسی بھی زاویہ پر رداس کھینچتے ہوئے دائرے پر کوئی نقطہ حاصل کیا جا سکتا ہے۔زاویہ میں باریک تبدیلی $\Delta\phi$ سے لمبائی $\rho\Delta\phi$ حاصل ہوتی ہے جس پر کل چارج $\Delta Q = \rho_L \rho \Delta\phi$ پایا جائے گا۔یوں چارج ΔQ مقام $\rho \boldsymbol{a}_\rho$ پر پایا جاتا ہے جبکہ $\mathbf{E}$ مقام $z\boldsymbol{a}_\mathrm{Z}$ پر درکار ہے۔آپ دیکھ سکتے ہیں کہ $\mathbf{E}$ رداس کی سمت میں ممکن نہیں۔ΔQ سے

$$\Delta \boldsymbol{E} = \frac{\rho_L \rho \Delta\phi}{4\pi\epsilon_0 \left(\rho^2 + z^2\right)} \frac{z\boldsymbol{a}_\mathrm{Z} - \rho \boldsymbol{a}_\rho}{\sqrt{\rho^2 + z^2}}$$

پیدا ہو گا۔دائرے پر تمام چارج کے اثر کے لئے تکملہ لینا ہو گا۔

$$\boldsymbol{E} = \frac{\rho_L \rho}{4\pi\epsilon_0 \left(\rho^2 + z^2\right)^{\frac{3}{2}}} \int_0^{2\pi} \left(z\boldsymbol{a}_\mathrm{Z} - \rho \boldsymbol{a}_\rho\right) \mathrm{d}\phi$$

تکملہ کا متغیرہ ϕ ہے جسے تبدیل کرنے سے ρ اور z میں کوئی تبدیلی رونما نہیں ہوتی۔اسی لئے انہیں تکملہ کی نشان سے باہر لے جایا گیا ہے۔حاصل تکملہ کو دو حصوں میں لکھا جا سکتا ہے البتہ معاملہ اتنا سیدھا نہیں جتنا معلوم ہوتا ہے۔$\boldsymbol{E}_z$ لکھتے ہوئے کارتیسی محدد کی اکائی سمتیہ $\mathbf{a}_\mathrm{Z}$ کو تکملہ کے باہر لے جایا جا سکتا ہے چونکہ ϕ کی تبدیلی سے $\mathbf{a}_\mathrm{Z}$ تبدیل نہیں ہوتا البتہ $\boldsymbol{E}_\rho$ لکھتے ہوئے نلکی محدد کی اکائی سمتیہ $\boldsymbol{a}_\rho$ کو تکملہ کے باہر نہیں لے جایا جا سکتا چونکہ ϕ کی تبدیلی سے $\boldsymbol{a}_\rho$ کی سمت تبدیل ہوتی ہے۔چونکہ $\boldsymbol{a}_\rho$ کی سمت تبدیل ہوتی ہے لہٰذا اس کو مستقل تصور کرنا غلط ہے اور یوں یہ تکملہ کے اندر ہی رہے گا۔

$$\begin{aligned}
\boldsymbol{E}_z &= \frac{\rho_L \rho z \boldsymbol{a}_\mathrm{Z}}{4\pi\epsilon_0 \left(\rho^2 + z^2\right)^{\frac{3}{2}}} \int_0^{2\pi} \mathrm{d}\phi \\
\boldsymbol{E}_\rho &= -\frac{\rho_L \rho^2}{4\pi\epsilon_0 \left(\rho^2 + z^2\right)^{\frac{3}{2}}} \int_0^{2\pi} \boldsymbol{a}_\rho \, \mathrm{d}\phi
\end{aligned} \tag{2.50}$$

پہلے تکملہ کا جواب اب دیکھ کر ہی

$$\boldsymbol{E}_z = \frac{2\pi\rho_L \rho z \boldsymbol{a}_\mathrm{Z}}{4\pi\epsilon_0 \left(\rho^2 + z^2\right)^{\frac{3}{2}}} \tag{2.51}$$

لکھا جا سکتا ہے جبکہ دوسرے تکملہ میں $\boldsymbol{a}_\rho = \cos\phi \boldsymbol{a}_\text{x} + \sin\phi \boldsymbol{a}_\text{y}$ لکھتے ہوئے حل کرتے ہیں۔

$$\begin{aligned}
\boldsymbol{E}_\rho &= -\frac{\rho_L \rho^2}{4\pi\epsilon_0 \left(\rho^2+z^2\right)^{\frac{3}{2}}} \int_0^{2\pi} \left(\cos\phi \boldsymbol{a}_\text{x} + \sin\phi \boldsymbol{a}_\text{y}\right) \mathrm{d}\phi \\
&= -\frac{\rho_L \rho^2}{4\pi\epsilon_0 \left(\rho^2+z^2\right)^{\frac{3}{2}}} \left(\sin\phi \boldsymbol{a}_\text{x} - \cos\phi \boldsymbol{a}_\text{y}\right) \Big|_0^{2\pi} \\
&= 0
\end{aligned}$$

یہی جواب اس طرح بھی حاصل کیا جا سکتا ہے کہ گول دائرے پر تمام چارج کو $Q = 2\pi\rho\rho_L$ لکھیں۔ یہ چارج نقطہ $(0,0,z)$ سے $\sqrt{\rho^2+z^2}$ فاصلے پر ہے۔ اگر اس تمام چارج کو ایک ہی نقطے $(\rho,0,0)$ پر موجود تصور کیا جائے تو یہ

$$\boldsymbol{E}_R = \frac{2\pi\rho\rho_L}{4\pi\epsilon_0 \left(\rho^2+z^2\right)} \boldsymbol{a}_R$$

برقی میدان پیدا کرے گا۔ چارج گول دائرے پر پھیلا ہوا ہے لہٰذا حقیقت میں صرف $\boldsymbol{a}_\text{z}$ جانب ہی $\boldsymbol{E}$ پیدا ہوتا ہے۔ شکل میں اس تکون کو دیکھتے ہوئے جس کا $\boldsymbol{R}$ حصہ ہے آپ دیکھ سکتے ہیں کہ $\boldsymbol{E}_R$ کا $\frac{z}{\sqrt{\rho^2+z^2}}$ حصہ حقیقت میں پایا جائے گا۔ یوں

$$\boldsymbol{E}_z = \frac{2\pi\rho\rho_L}{4\pi\epsilon_0 \left(\rho^2+z^2\right)} \frac{z}{\sqrt{\rho^2+z^2}} \boldsymbol{a}_\text{z}$$

ہی حاصل ہوتا ہے۔

مثال 2.11: رداس a کرہ کی سطح پر یکساں چارج کثافت ρ_S پایا جاتا ہے۔ کرہ کے باہر اور اس کے اندر برقی میدان $\boldsymbol{E}$ حاصل کریں۔

حل: ہم کرہ کو کروی محدد کے مرکز پر رکھتے ہوئے حل کرتے ہیں۔ کرہ کی سطح پر نقطہ $M(a,\theta,\phi)$ پر چھوٹی رقبہ $a^2 \sin\theta \,\mathrm{d}\theta \,\mathrm{d}\phi$ میں چارج $\rho_S a^2 \sin\theta \,\mathrm{d}\theta \,\mathrm{d}\phi$ پایا جائے گا جو نقطہ $N(0,0,b)$ پر برقی میدان $\mathrm{d}\boldsymbol{E}$ پیدا کرے گا۔ محدد کے مرکز سے M تک سمتی فاصلہ $a\boldsymbol{a}_\text{r}$ جبکہ مرکز سے N تک سمتی فاصلہ $b\boldsymbol{a}_\text{z}$ ہے۔ یوں M سے N تک سمتی فاصلہ

$$\boldsymbol{R} = b\boldsymbol{a}_\text{z} - a\boldsymbol{a}_\text{r} \tag{2.52}$$

لکھا جا سکتا ہے جہاں کارتیسی محدد اور کروی محدد کے اکائی سمتیات استعمال کئے گئے ہیں۔ اس طرح

$$\begin{aligned}
|\boldsymbol{R}| = \sqrt{\boldsymbol{R}\cdot\boldsymbol{R}} &= \sqrt{\left(b\boldsymbol{a}_\text{z} - a\boldsymbol{a}_\text{r}\right)\cdot\left(b\boldsymbol{a}_\text{z} - a\boldsymbol{a}_\text{r}\right)} \\
&= \sqrt{b^2+a^2-2ab\boldsymbol{a}_\text{z}\cdot\boldsymbol{a}_\text{r}} \\
&= \sqrt{b^2+a^2-2ab\cos\theta}
\end{aligned} \tag{2.53}$$

اور

$$\boldsymbol{a}_R = \frac{\boldsymbol{R}}{|R|} = \frac{b\boldsymbol{a}_\text{z} - a\boldsymbol{a}_\text{r}}{\sqrt{b^2+a^2-2ab\cos\theta}} \tag{2.54}$$

حاصل ہوتے ہیں جہاں صفحہ 32 پر جدول 1.3 کے استعمال سے $\boldsymbol{a}_{\mathrm{Z}} \cdot \boldsymbol{a}_{\mathrm{r}} = \cos\theta$ لکھا گیا ہے۔ 724

کرہ کی سطح z محدد کو $(0,0,-a)$ اور $(0,0,a)$ پر چھوتا ہے جہاں بالترتیب $\theta = \pi$ اور $\theta = 0$ کے برابر ہیں۔یوں $(0,0,-a)$ سے $N(0,0,b)$ تک فاصلہ

$$\begin{aligned}\sqrt{b^2+a^2-2ab\cos\pi} &= \sqrt{b^2+a^2+2ab}\\ &= \sqrt{(b+a)^2}\\ &= b+a\end{aligned} \tag{2.55}$$

کے برابر ہے جہاں جذر لیتے وقت مثبت جواب چنا گیا ہے چونکہ فاصلہ مقداری[20] ہے جو مثبت قیمت رکھتا ہے۔اسی طرح $(0,0,a)$ سے $N(0,0,b)$ تک فاصلہ

$$\sqrt{b^2+a^2-2ab\cos 0} = \sqrt{b^2+a^2-2ab} \tag{2.56}$$

کے برابر ہے۔اگر N کرہ کے باہر ہو تب $b > a$ ہو گا اور یہ فاصلہ $b-a$ کے برابر ہو گا جسے مساوات 2.56 سے یوں

$$\sqrt{b^2+a^2-2ab} = \sqrt{(b-a)^2} = b-a \tag{2.57}$$

حاصل کیا جا سکتا ہے۔اس کے برعکس اگر N کرہ کے اندر ہو تب $a > b$ ہو گا اور یہ فاصلہ $a-b$ کے برابر ہو گا جسے اور مساوات 2.56 سے یوں

$$\sqrt{b^2+a^2-2ab} = \sqrt{(a-b)^2} = a-b \tag{2.58}$$

حاصل کیا جا سکتا ہے۔ 725

اس طرح N پر

$$\mathrm{d}\boldsymbol{E} = \frac{a^2\sin\theta\,\mathrm{d}\theta\,\mathrm{d}\phi}{4\pi\epsilon_0 R^2}\boldsymbol{a}_R$$

لکھتے ہوئے تمام کرہ پر چارج سے پیدا میدان کو تکمل سے یوں حاصل کیا جا سکتا ہے۔

$$\begin{aligned}\boldsymbol{E} &= \int_0^{2\pi}\int_0^{\pi}\frac{\rho_S a^2\sin\theta\,\mathrm{d}\theta\,\mathrm{d}\phi}{4\pi\epsilon_0(b^2+a^2-2ab\cos\theta)}\frac{b\boldsymbol{a}_{\mathrm{Z}}-a\boldsymbol{a}_{\mathrm{r}}}{\sqrt{b^2+a^2-2ab\cos\theta}}\\ &= \frac{\rho_S a^2}{4\pi\epsilon_0}\int_0^{2\pi}\int_0^{\pi}\frac{(b\boldsymbol{a}_{\mathrm{Z}}-a\boldsymbol{a}_{\mathrm{r}})\sin\theta}{\left(b^2+a^2-2ab\cos\theta\right)^{\frac{3}{2}}}\,\mathrm{d}\theta\,\mathrm{d}\phi\end{aligned} \tag{2.59}$$

اس مساوات میں جدول 1.3 کی مدد سے $\boldsymbol{a}_{\mathrm{r}} = \sin\theta\cos\phi\boldsymbol{a}_{\mathrm{X}} + \sin\theta\sin\phi\boldsymbol{a}_{\mathrm{Y}} + \cos\theta\boldsymbol{a}_{\mathrm{Z}}$ لکھتے ہوئے

$$\boldsymbol{E} = \frac{\rho_S a^2}{4\pi\epsilon_0}\int_0^{2\pi}\int_0^{\pi}\frac{[-a\sin\theta\cos\phi\boldsymbol{a}_{\mathrm{X}} - a\sin\theta\sin\phi\boldsymbol{a}_{\mathrm{Y}} + (b-a\cos\theta)\boldsymbol{a}_{\mathrm{Z}}]\sin\theta}{\left(b^2+a^2-2ab\cos\theta\right)^{\frac{3}{2}}}\,\mathrm{d}\theta\,\mathrm{d}\phi \tag{2.60}$$

حاصل ہوتا ہے۔z محدد سے دیکھتے ہوئے صاف ظاہر ہے کہ اس محدد پر میدان صرف اور صرف $\boldsymbol{a}_{\mathrm{Z}}$ سمت میں ہی ممکن ہے۔یوں $\boldsymbol{a}_{\mathrm{X}}$ اور $\boldsymbol{a}_{\mathrm{Y}}$ اجزاء کو صفر لیتے ہوئے

$$E_z = \frac{\rho_S a^2}{4\pi\epsilon_0}\int_0^{2\pi}\int_0^{\pi}\frac{(b-a\cos\theta)\sin\theta}{\left(b^2+a^2-2ab\cos\theta\right)^{\frac{3}{2}}}\,\mathrm{d}\theta\,\mathrm{d}\phi \tag{2.61}$$

[20] فاصلہ ہر صورت مثبت ہوتا ہے البتہ سمتی فاصلہ مثبت یا منفی ہو سکتا ہے جہاں سمتی فاصلے کی مقدار مثبت ہی رہتی ہے جبکہ اس کی سمت مثبت یا منفی ہو سکتی ہے۔

لکھتے ہیں۔ سوال 2.1 میں آپ سے درخواست کی گئی ہے کہ مساوات 2.60 میں $\boldsymbol{a}_{\mathrm{X}}$ اور $\boldsymbol{a}_{\mathrm{Y}}$ اجزاء کو صفر ثابت کریں۔ بیرونی تکمل پہلے لیتے ہوئے

$$E_z = \frac{2\pi\rho_S a^2}{4\pi\epsilon_0}\int_0^\pi \frac{(b - a\cos\theta)\sin\theta}{\left(b^2+a^2-2ab\cos\theta\right)^{\frac{3}{2}}}\,\mathrm{d}\theta \tag{2.62}$$

حاصل ہوتا ہے جسے

$$E_z = \frac{2\pi\rho_S a^2 b}{4\pi\epsilon_0}\int_0^\pi \frac{\sin\theta\,\mathrm{d}\theta}{\left(b^2+a^2-2ab\cos\theta\right)^{\frac{3}{2}}} - \frac{2\pi\rho_S a^3}{4\pi\epsilon_0}\int_0^\pi \frac{\cos\theta\sin\theta\,\mathrm{d}\theta}{\left(b^2+a^2-2ab\cos\theta\right)^{\frac{3}{2}}} \tag{2.63}$$

لکھا جا سکتا ہے۔

مساوات 2.63 کے پہلے تکمل میں $w = \cos\theta$ اور $\mathrm{d}w = -\sin\theta\,\mathrm{d}\theta$ پُر کر کے حل کرتے ہوئے

$$\int \frac{\sin\theta\,\mathrm{d}\theta}{\left(b^2+a^2-2ab\cos\theta\right)^{\frac{3}{2}}} = \int \frac{-\mathrm{d}w}{\left(b^2+a^2-2abw\right)^{\frac{3}{2}}} = \frac{-1}{ab\left(b^2+a^2-2abw\right)^{\frac{1}{2}}} \tag{2.64}$$

یعنی

$$\frac{-1}{ab\sqrt{b^2+a^2-2ab\cos\theta}}$$

لکھا جا سکتا ہے۔ یوں

$$\begin{aligned}\int_0^\pi \frac{\sin\theta\,\mathrm{d}\theta}{\left(b^2+a^2-2ab\cos\theta\right)^{\frac{3}{2}}} &= \left.\frac{-1}{ab\sqrt{b^2+a^2-2ab\cos\theta}}\right|_0^\pi \\ &= \frac{-1}{ab\sqrt{b^2+a^2+2ab}} + \frac{1}{ab\sqrt{b^2+a^2-2ab}}\end{aligned} \tag{2.65}$$

حاصل ہوتا ہے جو N بیرونِ کرہ ہونے کی صورت میں مساوات 2.55 اور مساوات 2.57 کے تحت

$$\frac{1}{ab}\left[\frac{-1}{b+a} + \frac{1}{b-a}\right] = \frac{1}{ab}\left[\frac{-(b-a)+(b+a)}{(b+a)(b-a)}\right] = \frac{2}{b(b^2-a^2)} \tag{2.66}$$

جبکہ N اندرونِ کرہ ہونے کی صورت میں مساوات 2.55 اور مساوات 2.58 کے تحت

$$\frac{1}{ab}\left[\frac{-1}{a+b} + \frac{1}{a-b}\right] = \frac{1}{ab}\left[\frac{-(a-b)+(a+b)}{(a+b)(a-b)}\right] = \frac{2}{a(a^2-b^2)} \tag{2.67}$$

شکل اختیار کرتا ہے۔

مساوات 2.63 کے دوسرے تکمل میں $w = \cos\theta$ پُر کرتے ہوئے

$$\int \frac{\cos\theta\sin\theta\,\mathrm{d}\theta}{\left(b^2+a^2-2ab\cos\theta\right)^{\frac{3}{2}}} = \int \frac{-w\,\mathrm{d}w}{\left(b^2+a^2-2abw\right)^{\frac{3}{2}}}$$

حاصل ہوتا ہے۔آپ

$$\int u\,\mathrm{d}v = uv - \int v\,\mathrm{d}u$$

کے کلیہ سے بخوبی واقف ہیں۔ہم

$$\begin{aligned} u &= w \\ \mathrm{d}v &= \frac{-\,\mathrm{d}w}{(b^2+a^2-2abw)^{\frac{3}{2}}} \end{aligned}$$

لیتے ہیں۔یوں

$$v = \int \mathrm{d}v = \int \frac{-\,\mathrm{d}w}{(b^2+a^2-2abw)^{\frac{3}{2}}}$$

کے برابر ہے جسے ہم مساوات 2.64 میں حاصل کر چکے ہیں۔اس طرح

$$\begin{aligned} \int \frac{\cos\theta\sin\theta\,\mathrm{d}\theta}{\left(b^2+a^2-2ab\cos\theta\right)^{\frac{3}{2}}} &= \int w\left[\frac{-\,\mathrm{d}w}{(b^2+a^2-2abw)^{\frac{3}{2}}}\right] \\ &= w\left[\frac{-1}{ab(b^2+a^2-2abw)^{\frac{1}{2}}}\right] + \int \frac{\mathrm{d}w}{ab(b^2+a^2-2abw)^{\frac{1}{2}}} \\ &= \frac{-w}{ab(b^2+a^2-2abw)^{\frac{1}{2}}} - \frac{(b^2+a^2-2abw)^{\frac{1}{2}}}{a^2b^2} \\ &= \frac{-(b^2+a^2-abw)}{a^2b^2(b^2+a^2-2abw)^{\frac{1}{2}}} \end{aligned}$$

سے

$$\begin{aligned} \int_0^{\pi} \frac{\cos\theta\sin\theta\,\mathrm{d}\theta}{\left(b^2+a^2-2ab\cos\theta\right)^{\frac{3}{2}}} &= \left.\frac{-(b^2+a^2-ab\cos\theta)}{a^2b^2(b^2+a^2-2ab\cos\theta)^{\frac{1}{2}}}\right|_0^{\pi} \\ &= \frac{1}{a^2b^2}\left[\frac{-(b^2+a^2+ab)}{\sqrt{b^2+a^2+2ab}} + \frac{(b^2+a^2-ab)}{\sqrt{b^2+a^2-2ab}}\right] \end{aligned}$$

حاصل ہوتا ہے۔N کا کرہ سے باہر ہونے کی صورت میں اس سے

$$\frac{1}{a^2b^2}\left[\frac{-(b^2+a^2+ab)}{\sqrt{b^2+a^2+2ab}} + \frac{(b^2+a^2-ab)}{\sqrt{b^2+a^2-2ab}}\right] = \frac{2a}{b^2(b^2-a^2)} \tag{2.68}$$

جبکہ N کا کرہ کے اندر ہونے کی صورت میں اس سے

$$\frac{1}{a^2b^2}\left[\frac{-(b^2+a^2+ab)}{\sqrt{b^2+a^2+2ab}} + \frac{(b^2+a^2-ab)}{\sqrt{b^2+a^2-2ab}}\right] = \frac{2b}{a^2(a^2-b^2)} \tag{2.69}$$

حاصل ہوتا ہے۔کرہ کے باہر مساوات 2.66 اور مساوات 2.68 کو استعمال کرتے ہوئے مساوات 2.63 سے

$$\begin{aligned} E_z &= \frac{2\pi\rho_S a^2 b}{4\pi\epsilon_0}\left(\frac{2}{b(b^2-a^2)}\right) - \frac{2\pi\rho_S a^3}{4\pi\epsilon_0}\left(\frac{2a}{b^2(b^2-a^2)}\right) \\ &= \frac{4\pi\rho_S a^2}{4\pi\epsilon_0 b^2} \\ &= \frac{Q}{4\pi\epsilon_0 b^2} \end{aligned} \tag{2.70}$$

حاصل ہوتا ہے جہاں کرہ پر کل چارج $4\pi a^2\rho_S$ کو Q لکھا گیا ہے۔ کرہ کے اندر مساوات 2.67 اور مساوات 2.69 کو استعمال کرتے ہوئے مساوات 2.63

$$\begin{aligned} E_z &= \frac{2\pi\rho_S a^2 b}{4\pi\epsilon_0}\left(\frac{2}{a(a^2-b^2)}\right) - \frac{2\pi\rho_S a^3}{4\pi\epsilon_0}\left(\frac{2b}{a^2(a^2-b^2)}\right) \\ &= 0 \end{aligned} \tag{2.71}$$

مساوات 2.70 بیرون کرہ z محدد پر میدان دیتا ہے۔ چونکہ ہم کسی بھی سمت میں اس محدد کو رکھ سکتے تھے اور میدان اسی محدد کی سمت یعنی رداسی سمت میں ہوتا لہٰذا یہ ایک عمومی جواب ہے جسے کسی بھی بیرونی نقطے کے لئے

$$\boldsymbol{E} = \frac{Q}{4\pi\epsilon_0 r^2}\boldsymbol{a}_{\mathrm{r}} \qquad (r > a) \tag{2.72}$$

لکھا جا سکتا ہے۔ یہ وہی میدان ہے جو کروی محدد کے مرکز پر Q نقطہ چارج رکھنے سے حاصل ہوتا ہے۔

مساوات 2.71 کے تحت کرہ کے اندر میدان صفر کے برابر ہے۔ یہ انتہائی اہم نتیجہ ہے۔ ہم کسی بھی مقام کو کرہ یا کسی بھی مکمل بند موصل سطح میں گھیر کر اس مقام پر صفر برقی میدان یقینی بنا سکتے ہیں۔ ایسی سطح کو فیراڈے پردہ[21] کہتے ہیں۔

حصہ 3.4.2 میں اسی مسئلے کو انتہائی آسان طریقے سے حل کرنا دکھایا جائے گا۔

مثال 2.12: مثال 2.11 کے نتائج استعمال کرتے ہوئے a رداس کرہ جس میں یکساں ρ_h حجمی چارج کثافت پائی جائے کا کرہ کے اندر اور کرہ کے باہر برقی میدان $\boldsymbol{E}$ حاصل کریں۔

حل: کرہ کے اندر رداس r پر $\mathrm{d}r$ موٹی جھلی کا حجم $4\pi r^2\,\mathrm{d}r$ ہو گا جس میں کل $4\pi\rho_h r^2\,\mathrm{d}r$ چارج پایا جائے گا۔ مثال 2.11 کے مطابق یہ چارج r سے کم رداس کے خطے میں کوئی برقی میدان نہیں پیدا کرتا جبکہ r سے زیادہ رداس پر یہ میدان پیدا کرے گا۔ یوں R سے کم کسی بھی رداس پر جھلی میں پائے جانے والا چارج R پر میدان پیدا کرے گا جسے

$$\boldsymbol{E} = \int_0^R \frac{4\pi\rho_h r^2\,\mathrm{d}r}{4\pi\epsilon_0 R^2}\boldsymbol{a}_{\mathrm{r}} = \left.\frac{\rho_h r^3}{3\epsilon_0 R^2}\boldsymbol{a}_{\mathrm{r}}\right|_0^R = \frac{\rho_h R}{3\epsilon_0}\boldsymbol{a}_{\mathrm{r}} \qquad (R < a) \tag{2.73}$$

لکھ کر حاصل کیا جا سکتا ہے۔ چارج کرہ کے باہر یعنی $R > a$ کی صورت میں کرہ میں موجود تمام چارج بطور نقطہ چارج کردار ادا کرتے ہوئے

$$\boldsymbol{E} = \frac{\frac{4}{3}\pi a^3\rho_h}{4\pi\epsilon_0 R^2}\boldsymbol{a}_{\mathrm{r}} = \frac{a^3\rho_h}{3\epsilon_0 R^2}\boldsymbol{a}_{\mathrm{r}} \qquad (R > a) \tag{2.74}$$

---

[21] Faraday shield

شکل 2.8: الف) سمت بہاو خط کے مساوات کا حصول۔ ب) لکیری چارج کثافت کے سمت بہاو خط۔

2.7 برقی میدان کے سمت بہاو خط

ہم نے اب تک جتنے بھی مثال دیکھے ان سب میں $\boldsymbol{E}$ کی شکل سیدھی لکیر کی مانند رہی ہے۔ایسے میدان کا تصوراتی شکل ذہن میں بنانا آسان ہوتا ہے۔یوں نقطہ چارج کے میدان کو چارج سے ابتدا کرتے ہوئے ہر طرف سمتیوں سے ظاہر کیا جا سکتا ہے۔اب چارج کے قریب $\boldsymbol{E}$ کی قیمت زیادہ اور چارج سے دور اس کی قیمت کم ہوتی ہے۔یوں مختلف مقامات پر $\boldsymbol{E}$ کی لمبائی یہاں کے میدان کی نسبت سے ہو گی۔میدان کو ظاہر کرنے کے دیگر طریقے بھی رائج ہیں۔

آئیں ایسے ہی ایک طریقے پر غور کریں جس میں میدان کو سمت بہاو خط سے ظاہر کیا جاتا ہے۔اس طریقے میں کسی بھی نقطے پر $\boldsymbol{E}$ یہاں سے گزرتے سمت بہاو خط کا مماس ہوتا ہے۔جس مقام پر گھنے سمت بہاو خطوط پائے جائیں ایسے مقام پر $\boldsymbol{E}$ کی مقدار زیادہ ہوتی ہے اور جہاں ان خطوط کی تعداد کم ہو وہاں میدان کمزور ہوتا ہے۔سمت بہاو خطوط پر تیر کا نشان $\boldsymbol{E}$ کے مثبت سمت کی نشاندہی کرتا ہے۔

کارتیسی محدد میں کسی بھی میدان کو

$$\boldsymbol{E} = E_x \boldsymbol{a}_{\mathrm{x}} + E_y \boldsymbol{a}_{\mathrm{y}} + E_z \boldsymbol{a}_{\mathrm{z}}$$

لکھا جا سکتا ہے۔یہ مساوات ان میدان کو بھی ظاہر کرتا ہے جو سیدھی لکیر کی مانند نہ ہوں۔آئیں ایسے عمومی میدان پر غور کریں جس میں E_z کی قیمت صفر کے برابر ہو جبکہ E_x اور E_y کی قیمتیں x اور y پر منحصر ہو۔کسی بھی نقطہ (x, y) پر ایسے میدان کو

$$\boldsymbol{E} = E_x(x, y) \boldsymbol{a}_{\mathrm{x}} + E_y(x, y) \boldsymbol{a}_{\mathrm{y}} \tag{2.75}$$

لکھا جا سکتا ہے۔شکل 2.8-الف میں ایسے ہی ایک $\boldsymbol{E}$ کے تین سمت بہاو خط دکھائے گئے ہیں۔شکل میں کسی عمومی نقطے پر $\boldsymbol{E}$ دکھایا گیا ہے جو اس نقطے سے گزرتے سمت بہاو خط کا مماس ہے۔میدان کے کارتیسی اجزاء E_x اور E_y بھی دکھائے گئے ہیں۔اسی نقطے پر سمت بہاو خط کی چھوٹی لمبائی لیتے ہوئے Δx اور Δy دکھائے گئے ہیں۔Δx اور Δy کو کم سے کم کرتے ہوئے ہم شکل کو دیکھتے ہوئے

$$\frac{\mathrm{d}y}{\mathrm{d}x} = \frac{E_y}{E_x} \tag{2.76}$$

لکھ سکتے ہیں۔اب اگر ہمیں E_x اور E_y کی خاصیت معلوم ہو تب ہم تکمل سے سمت بہاو خط کی مساوات حاصل کر سکتے ہیں۔

آئیں لامحدود لکیری چارج کثافت کے میدان کو مثال بناتے ہوئے اس کے سمت بہاو خط کی مساوات حاصل کریں۔$\rho_L = 2\pi\epsilon_0$ کی صورت میں z محدد پر لامحدود لکیری چارج کثافت کا میدان

$$\boldsymbol{E} = \frac{\boldsymbol{a}_\rho}{\rho} \tag{2.77}$$

لکھا جاتا ہے۔ مساوات 2.75 بھی اسی میدان کی مساوات ہے جس سے ظاہر ہے کہ $E_x = \boldsymbol{E} \cdot \boldsymbol{a}_{\mathrm{x}}$ اور $E_y = \boldsymbol{E} \cdot \boldsymbol{a}_{\mathrm{y}}$ سے حاصل کئے جا سکتے ہیں۔ یوں مساوات 2.77 کی مدد سے

$$E_x = \frac{1}{\rho}\boldsymbol{a}_\rho \cdot \boldsymbol{a}_{\mathrm{x}} = \frac{\cos\phi}{\rho} = \frac{x}{x^2+y^2}$$
$$E_y = \frac{1}{\rho}\boldsymbol{a}_\rho \cdot \boldsymbol{a}_{\mathrm{y}} = \frac{\sin\phi}{\rho} = \frac{y}{x^2+y^2}$$

حاصل ہوتے ہیں۔ یوں لامحدود لکیری چارج کثافت کے میدان کو

$$\boldsymbol{E} = \frac{x}{x^2+y^2}\boldsymbol{a}_{\mathrm{x}} + \frac{y}{x^2+y^2}\boldsymbol{a}_{\mathrm{y}} \tag{2.78}$$

لکھا جا سکتا ہے۔ اس طرح مساوات 2.76 کو

$$\frac{\mathrm{d}y}{\mathrm{d}x} = \frac{y}{x}$$

یا

$$\frac{\mathrm{d}y}{y} = \frac{\mathrm{d}x}{x}$$

لکھ کر اس کا تکمل

$$\ln y = \ln x + M'$$

یعنی

$$y = Mx \tag{2.79}$$

لیتے ہوئے میدان کے سمت بہاو خط کی مساوات حاصل کرتے ہیں۔ یہ سیدھی لکیر کی مساوات ہے جسے مختلف M کے قیمتوں کے لئے شکل 2.8-ب میں کھینچا گیا ہے۔

748

سوالات

سوال 2.1: صفحہ 60 پر مساوات 2.60 میں $\boldsymbol{a}_x$ اور $\boldsymbol{a}_y$ اجزاء کا تکمل لیتے ہوئے انہیں صفر کے برابر ثابت کریں۔

سوال 2.2: تکون کے تینوں کونوں پر $25\,\mu C$ کا چارج پایا جاتا ہے جبکہ تینوں کونوں سے $15\,cm$ فاصلے پر $20\,\mu C$ چارج پایا جاتا ہے۔ تکون کے اطراف $10\,cm$ ہونے کی صورت میں چوتھے چارج پر قوت دفع کی مقدار حاصل کریں۔

جواب: $0.553\,N$

سوال 2.3: $z = 0$ پر $4\,nF$ اور $z = 1\,cm$ پر $-3\,nF$ چارج پائے جاتے ہیں۔ z محدد پر وہ نقطے دریافت کریں جہاں مثبت چارج پر صفر قوت پائی جائے گی۔

جوابات: $z = 0.92\,cm$ ، $z = 7.08\,cm$

سوال 2.4: ایک چکور کے اطراف $25\,cm$ ہیں جبکہ اس کے چاروں کونوں پر $30\,nC$ چارج پایا جاتا ہے۔ کسی ایک کونے کے چارج پر کتنی قوت عمل کرے گی۔

جواب: $0.248\,mN$

سوال 2.5: نقطہ $(2,1,-3)$ پر $15\,nC$ اور نقطہ $(-3,-5,4)$ پر $-6\,nC$ چارج پایا جاتا ہے۔ نقطہ $(2,1,-3)$ پر برقی شدت $\boldsymbol{E}$ حاصل کریں۔

جواب: $-0.191\boldsymbol{a}_x + 1.057\boldsymbol{a}_y + 2.195\boldsymbol{a}_z$

سوال 2.6: نقطہ $(0,0,3)$ اور $(0,0,-3)$ پر $20\,\mu C$ چارج پائے جاتے ہیں۔ نقطہ $N(2,0,0)$ پر برقی شدت $\boldsymbol{E}$ حاصل کریں۔ محدد کے مرکز پر کتنا چارج نقطہ N پر اتنی ہی برقی شدت پیدا کرے گا۔

جوابات: $\boldsymbol{E} = 15\,339\boldsymbol{a}_x\,\frac{V}{m}$ ، $6.827\,\mu C$

سوال 2.7: نقطہ $(4,-2,7)$ پر $5\,\mu C$ اور $(-3,4,-2)$ پر $12\,\mu C$ چارج پایا جاتا ہے۔ y محدد پر کہاں $E_x = 0$ ہو گا۔

جواب: $y = -6.89$ ، $y = -22.11$

سوال 2.8: نقطہ $P(6,3,7)$ پر $6\,\mu C$ پایا جاتا ہے۔ نقطہ $N(5,4,2)$ پر کارتیسی، نلکی اور کروی محدد میں $\boldsymbol{E}$ حاصل کریں۔ نقطہ N کے اکائی سمتیات استعمال کریں۔ - جوابات: $\boldsymbol{E} = -384.4\boldsymbol{a}_x + 384.4\boldsymbol{a}_y - 1922\boldsymbol{a}_z$ ، $\boldsymbol{E} = -60\boldsymbol{a}_\rho + 540\boldsymbol{a}_\phi - 1922\boldsymbol{a}_z$ ، $\boldsymbol{E} = -630\boldsymbol{a}_r + 1817\boldsymbol{a}_\theta + 540\boldsymbol{a}_\phi$

سوال 2.9: نقطہ $(0,0,0.25)$ اور $(0,0,-0.25)$ پر $50\,nC$ جبکہ $(0,0,0)$ پر $-35\,nC$ پایا جاتا ہے۔ نقطہ $N(3,1,2)$ پر کارتیسی اور کروی محدد میں $\boldsymbol{E}$ حاصل کریں۔

جواب: $34\boldsymbol{a}_x + 11\boldsymbol{a}_y + 22\boldsymbol{a}_z$ ، $42\boldsymbol{a}_r + 0.39\boldsymbol{a}_\theta$

سوال 2.10: محدد کے مرکز پر $1\,nC$ چارج پایا جاتا ہے۔ سطح $z = 0$ پر اس خط کی مساوات حاصل کریں جس پر $E_y = 1\,\frac{V}{m}$ ہو گا۔

جواب: $\rho^2 = 8.987 \sin\phi$ ، $80.8y^2 = (x^2+y^2)^3$

سوال 2.11: محدد کے مرکز پر پڑے چکور کے چاروں کونوں پر 5 nC نقطہ چارج پائے جاتے ہیں۔ چکور $z = 0$ سطح پر پایا جاتا ہے جبکہ اس کے اطراف 1 m لمبے ہیں۔ نقطہ $(0,a,0)$ اور نقطہ $(0,2a,0)$ پر برقی شدت کی شرح $a = 2$ ، $a = 10$ اور $a = \infty$ کی صورت میں حاصل کریں۔

جوابات: 4.15 ، 4.01 ، 4

سوال 2.12: نقطہ $(0,0,0)$ پر Q_1 اور نقطہ $(1,0,0)$ پر Q_2 نقطہ چارج پائے جاتے ہیں۔ نقطہ $(2,1,0)$ پر $E_x = 0$ ہونے کی صورت میں چارجوں کا تعلق دریافت کریں۔

جواب: $Q_1 = -1.976Q_2$

سوال 2.13: کارتیسی محدد کے پہلے آٹھویں حصے $(x > 0, y > 0, z > 0)$ میں حجمی کثافت چارج $\rho_h = 10e^{-2z}(x^2+2y^2)$ ہے جبکہ بقایا سات حصوں میں کوئی چارج نہیں پایا جاتا۔ خطہ $(0 \leq x \leq 1,\ 0 \leq y \leq 1,\ 0 \leq z \leq 1)$ میں کل چارج حاصل کریں۔ اسی طرح خطہ $(0 \leq x+2y \leq 1,\ 0 \leq z \leq 1)$ میں کل چارج حاصل کریں۔

جوابات: پہلا جواب 4.32 C ہے۔ دوسرا تکمل $\int_0^{1/2}\int_0^{1-2y}\int_0^1 \rho_h \,\mathrm{d}z\,\mathrm{d}x\,\mathrm{d}y$ لکھتے ہوئے 0.27 C حاصل ہو گا۔

سوال 2.14: حجمی کثافت چارج $\rho_h = (\rho+0.002)z^2 \tan\phi\ \mathrm{C/m^3}$ خطہ $0 \leq \rho \leq 0.008$، $30^\circ \leq \phi \leq 75^\circ$، $2 \leq z \leq 5$ میں پایا جاتا ہے۔ کثافت چارج کی زیادہ سے زیادہ قیمت دریافت کریں۔ اس خطے میں کل چارج حاصل کریں۔

جوابات: $0.933\ \mathrm{C/m^3}$ ، $11.05\ \mu\mathrm{C}$

سوال 2.15: نلکی محدد میں z محدد کے گرد یکساں حجمی کثافت چارج $e^{-\rho^2}$ پائی جاتی ہے۔ $z = 0$ تا $z = 1$ کل چارج حاصل کریں۔ z محدد کے گرد کتنے رداس کے اندر کل چارج کا آدھا پایا جاتا ہے۔

جوابات: 3.142 C ، 0.832 m

سوال 2.16: کروی محدد میں رداس کے ساتھ بدلتی حجمی کثافت چارج $\rho_h = \sqrt{r}$ پائی جاتی ہے۔ اکائی رداس کے کرہ میں کل چارج حاصل کریں۔ اسی طرح خطہ $(r \leq 0.5, \theta \leq 25^\circ, \phi \leq \frac{\pi}{3})$ میں کل چارج حاصل کریں۔

جوابات: 3.59 C ، 0.028 C

سوال 2.17: x محدد پر $\rho_L = 5\ \frac{\mathrm{nC}}{\mathrm{m}}$ لکیری کثافت چارج پایا جاتا ہے جبکہ نقطہ $(0,3,0)$ پر $-2\ \mathrm{nC}$ نقطہ چارج پایا جاتا ہے۔ نقطہ $(4,8,1)$ پر $\boldsymbol{E}$ حاصل کریں۔

جواب: $-0.26\boldsymbol{a}_\mathrm{x} + 10.73\boldsymbol{a}_\mathrm{y} + 1.32\boldsymbol{a}_\mathrm{z}\ \frac{\mathrm{V}}{\mathrm{m}}$

سوال 2.18: نقطہ $(0,2,0)$ اور $(0,0,4)$ سے گزرتی سیدھی لکیر پر لکیری کثافت چارج $2\ \frac{\mathrm{nC}}{\mathrm{m}}$ پایا جاتا ہے جبکہ نقطہ $(6,1,-2)$ پر 7 nC چارج پایا جاتا ہے۔ نقطہ $(6,8,4)$ پر $\boldsymbol{E}$ حاصل کریں۔

جواب: $2.47\boldsymbol{a}_\mathrm{x} + 3.78\boldsymbol{a}_\mathrm{y} + 1.65\boldsymbol{a}_\mathrm{z}\ \frac{\mathrm{V}}{\mathrm{m}}$

سوال 2.19: کارتیسی z محدد کے کچھ حصہ $0 \leq z$ پر لکیری کثافت چارج $5\,\frac{\mu\mathrm{C}}{\mathrm{m}}$ پایا جاتا ہے۔نقطہ $(0,0,-2)$ اور نقطہ $(5,-2,6)$ پر برقی شدت $\boldsymbol{E}$ حاصل کریں۔

جوابات: $-22.5\boldsymbol{a}_{\mathrm{Z}}\,\frac{\mathrm{V}}{\mathrm{m}}$ ، $13.5\boldsymbol{a}_{\mathrm{X}}+5.4\boldsymbol{a}_{\mathrm{Y}}-5.5\boldsymbol{a}_{\mathrm{Z}}\,\frac{\mathrm{V}}{\mathrm{m}}$

سوال 2.20: کارتیسی z محدد کے کچھ حصہ $2 \leq z \leq 10$ پر لکیری کثافت چارج $2\,\frac{\mu\mathrm{C}}{\mathrm{m}}$ پایا جاتا ہے۔نقطہ $(2,12,8)$ پر برقی شدت $\boldsymbol{E}$ حاصل کریں۔

$$147\boldsymbol{a}_{\mathrm{X}}+881\boldsymbol{a}_{\mathrm{Y}}+133\boldsymbol{a}_{\mathrm{Z}}\,\frac{\mathrm{V}}{\mathrm{m}}$$

سوال 2.21: سطح $y=1$ پر $\rho_S=0.72\,\frac{\mathrm{nC}}{\mathrm{m}^2}$ ، سطح $y=-3$ پر $\rho_S=-0.72\,\frac{\mathrm{nC}}{\mathrm{m}^2}$ ، سطح $x=-6$ پر $0.4\,\frac{\mathrm{nC}}{\mathrm{m}^2}$ اور لکیر $x=2, z=3$ پر $0.4\pi\,\frac{\mathrm{nC}}{\mathrm{m}}$ پایا جاتا ہے۔نقطہ $(1,3,-1)$ پر $\boldsymbol{E}$ حاصل کریں۔

جواب: $21.3\boldsymbol{a}_{\mathrm{X}}-5.31\boldsymbol{a}_{\mathrm{Z}}\,\frac{\mathrm{V}}{\mathrm{m}}$

سوال 2.22: سطح $z=0$ پر مستطیل خطہ $-2 \leq x \leq 2, -3 \leq y \leq 3$ پر $\rho_S=|x|\,\frac{\mathrm{nC}}{\mathrm{m}^2}$ پایا جاتا ہے۔نقطہ $(0,0,3)$ پر برقی میدان $\boldsymbol{E}$ حاصل کریں۔

جواب: $13.36\,\frac{\mathrm{V}}{\mathrm{m}}$

سوال 2.23: سطح $z=0$ پر نلکی رداس $\rho=2$ تا $\rho=5$ سطحی کثافت چارج $\rho_S=4\,\frac{\mathrm{nC}}{\mathrm{m}^2}$ پایا جاتا ہے۔نقطہ $(0,0,5)$ پر برقی شدت $\boldsymbol{E}$ حاصل کریں۔

جواب: $50\,\frac{\mathrm{V}}{\mathrm{m}}$

سوال 2.24: میدان $\boldsymbol{E}=3\sqrt{x}y\boldsymbol{a}_{\mathrm{X}}+x^3y^2\boldsymbol{a}_{\mathrm{Y}}$ کا سمت بہاو خط حاصل کریں۔نقطہ $(4,1,7)$ پر میدان کی سمت میں اکائی سمتیہ لکھیں۔

جوابات: $\frac{y^2}{2}=\frac{x^{3.5}}{3.5}+\mathrm{C}$ ، $0.093\boldsymbol{a}_{\mathrm{X}}+0.996\boldsymbol{a}_{\mathrm{Y}}$

سوال 2.25: میدان $\boldsymbol{E}=(x+2)\boldsymbol{a}_{\mathrm{X}}+(4-y)\boldsymbol{a}_{\mathrm{Y}}$ کے اس سمت بہاو خط کی مساوات حاصل کریں جو نقطہ $(5,7,2)$ سے گزرتی ہے۔

جواب: $(y-4)(x+2)=21$

سوال 2.26: جو میدان z تبدیل کرنے سے تبدیل نہیں ہوتے، نلکی محدد میں ان کی سمت بہاو خط $\frac{\mathrm{d}\rho}{\rho\,\mathrm{d}\phi}=\frac{E_\rho}{E_\phi}$ حل کرتے ہوئے حاصل کئے جاتے ہیں۔نقطہ $(5,75^\circ,3)$ سے گزرتے میدان $\boldsymbol{E}=\rho\cos\phi\boldsymbol{a}_\rho+\sin\phi\boldsymbol{a}_\phi$ کی سمت بہاو خط حاصل کریں۔

جواب: $\frac{1}{\rho}+\ln(\sin\phi)=0.1653$

باب 3

گاؤس کا قانون اور پھیلاو

3.1 ساکن چارج

3.2 فیراڈے کا تجربہ

اس باب کا آغاز جناب مائکل فیراڈے[1] کے ایک تجربے سے کرتے ہیں جس کے نتیجے کو یوں بیان کیا جا سکتا ہے۔چارج Q کو غیر چارج شدہ موصل سطح میں مکمل طور پر یوں بند کرنے کے بعد، کہ چارج اور سطح کہیں بھی ایک دونوں کو نہ چھوئیں، موصل سطح کو زمین کے ساتھ ایک لمحے کے لئے ملانے سے موصل سطح پر $-Q$ چارج پیدا ہو جاتا ہے۔دیکھا یہ گیا ہے کہ چارج اور بیرونی سطح کے درمیان فاصلہ کم یا زیادہ کرنے سے نتیجے پر کوئی اثر نہیں ہوتا۔اسی طرح چارج اور سطح کے درمیان مختلف غیر موصل مواد بھرنے سے بھی نتیجے پر کوئی اثر نہیں ہوتا۔مزید یہ کہ سطح کی شکل کا بھی نتیجے پر کوئی اثر نہیں ہوتا۔اسی طرح جس چیز پر چارج Q رکھا گیا ہو، اس کی شکل کا بھی نتیجے پر کوئی اثر نہیں ہوتا۔

بہتری در

ایسا معلوم ہوتا ہے جیسے اندرونی چارج سے بیرونی سطح تک چارج کی مقدار اور قطب کی خبر پہنچتی ہے۔اس حقیقت کو تصوراتی جامع یوں پہنایا جا سکتا ہے کہ ہم سمجھیں کہ مثبت چارج سے ہر جانب یکساں طور پر کچھ خارج ہوتا ہے۔اس چیز کو ہم برقی بہاو[2] کہیں گے اور اس کو ψ سے ظاہر کریں گے۔برقی بہاو کو چارج کے برابر تصور کیا جاتا ہے۔

$$\psi = Q \tag{3.1}$$

برقی بہاو کی اکائی کولومب C ہی تصور کی جاتی ہے۔منفی چارج کی صورت میں برقی بہاو کی سمت الٹی ہو گی اور یہ چارج میں داخل ہو گا۔

تصور کریں کہ اندرونی چارج r_1 رداس کی کرہ پر پایا جاتا ہے جبکہ اسے r_2 رداس کی کرہ نے گھیرا ہوا ہے۔کرہ کی سطح $4\pi r^2$ کے برابر ہوتی ہے۔اندرونی کرہ سے ψ برقی بہاو خارج ہوتا ہے۔یوں اندرونی کرہ سے $\frac{\psi}{4\pi r_1^2}$ برقی بہاو فی اکائی رقبہ خارج ہوتا ہے جسے $\frac{Q}{4\pi r_1^2}$ لکھا جا سکتا ہے۔اسی طرح بیرونی کرہ پر $\frac{Q}{4\pi r_2^2}$ برقی بہاو فی اکائی رقبہ پہنچتی ہے۔برقی بہاو فی اکائی رقبے کو کثافت برقی بہاو[3] D کہا جائے گا۔یوں اگر اندرونی کرہ کے رداس کو اتنا کم کر دیا جائے کہ اس کو نقطہ تصور کرنا ممکن ہو اور اس نقطہ چارج کو رداس r کے کرہ کے مرکز پر رکھا جائے تو کرہ پر

$$\boldsymbol{D} = \frac{Q}{4\pi r^2}\boldsymbol{a}_{\mathrm{r}} \tag{3.2}$$

---

[1] Michael Faraday
[2] electric flux
[3] electric flux density

سمتیہ کثافت برقی بہاو پائی جائے گی۔ صفحہ 44 پر مساوات 2.19 سے موازنہ کرنے سے ثابت ہوتا ہے کہ خالی خلاء میں

$$\boldsymbol{D} = \epsilon_0 \boldsymbol{E} \qquad \text{خالی خلاء} \tag{3.3}$$

کے برابر ہے۔ اگر نقطہ چارج کو کروی محدد کے مرکز پر نہ رکھا جائے تب کسی بھی مقام پر کثافت برقی بہاو حاصل کرنے کی خاطر مساوات 3.2 یوں لکھی جائے گی

$$\boldsymbol{D} = \frac{Q}{4\pi R^2}\boldsymbol{a}_R \tag{3.4}$$

جہاں $\boldsymbol{a}_R$ چارج سے اس مقام کی جانب اکائی سمتیہ ہے اور R ان کے درمیان فاصلہ ہے۔

کسی بھی حجم جس میں تغیر پذیر چارج کی کثافت پائی جائے میں مقام $\mathbf{r}'$ پر $\Delta h'$ حجم میں $\rho'_h \Delta h'$ چارج پایا جائے گا جو مقام $\mathbf{r}$ پر

$$\Delta \boldsymbol{D}(\boldsymbol{r}) = \frac{\rho'_h \Delta h'}{4\pi|\boldsymbol{r}-\boldsymbol{r}'|^2}\frac{\boldsymbol{r}-\boldsymbol{r}'}{|\boldsymbol{r}-\boldsymbol{r}'|}$$

کثافت برقی بہاو پیدا کرے گا۔ قانون کولومب خطی ہونے کی بنا پر $\boldsymbol{D}$ بھی خطی نوعیت کا ہوتا ہے لہٰذا حجم کے تمام چارجوں سے

$$\boldsymbol{D}(\boldsymbol{r}) = \int_h \frac{\rho'_h \, \mathrm{d}h'}{4\pi|\boldsymbol{r}-\boldsymbol{r}'|^2}\frac{\boldsymbol{r}-\boldsymbol{r}'}{|\boldsymbol{r}-\boldsymbol{r}'|} \tag{3.5}$$

حاصل ہو گا۔ مساوات 3.5 کا صفحہ 56 پر مساوات 2.48 کے ساتھ موازنہ کرنے سے ثابت ہوتا ہے کہ حجمی کثافت کے لئے بھی مساوات 3.3 خالی خلاء میں $\mathbf{D}$ اور $\mathbf{E}$ کا تعلق بیان کرتا ہے۔ اسی طرح ρ_S اور ρ_L سے پیدا $\boldsymbol{D}$ اور $\boldsymbol{E}$ کا خالی خلاء میں تعلق بھی مساوات 3.3 ہی بیان کرتا ہے۔ یوں مساوات 3.3 ایک عمومی مساوات ہے۔

3.3 گاؤس کا قانون

فیراڈے کے تجربے کو قانون کی شکل میں یوں پیش کیا جا سکتا ہے جسے **گاؤس کا قانون**[4] کہتے ہیں۔

کسی بھی مکمل بند سطح سے کل گزرتی برقی بہاو سطح میں گھیرے چارج کے برابر ہوتی ہے۔

جناب گاؤس[5] نے اس قانون کو ریاضیاتی شکل دی جس کی بنا پر یہ قانون انہیں کے نام سے منسوب ہے۔ آئیں گاؤس کے قانون کی ریاضیاتی شکل حاصل کریں۔

شکل 3.1 میں بند سطح دکھائی گئی ہے جس کی کوئی مخصوص شکل نہیں ہے۔ اس سطح کے اندر یعنی سطح کے گھیرے حجم میں کل Q چارج پایا جاتا ہے۔ سطح پر کسی بھی مقام سے گزرتا برقی بہاو اس مقام پر سطح کی عمودی سمت میں کثافت برقی بہاو اور اس مقام کے رقبہ کے حاصل ضرب کے برابر ہو گا۔ یوں شکل کو دیکھتے ہوئے چھوٹے سے رقبہ ΔS پر سطح کے عمودی سمت میں برقی بہاو کے کثافت کی قیمت $D_S \cos\alpha$ ہو گی لہٰذا

$$\Delta\psi = D_S \cos\alpha \Delta S$$

[4] Gauss's law
[5] Carl Friedrich Gauss

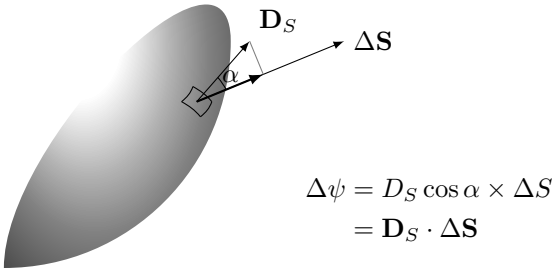

شکل 3.1: مکمل بند سطح سے گزرتی برقی بہاو سطح میں گھیرے کل چارج کے برابر ہے۔

ہو گا۔ کثافتِ برقی بہاو D_S لکھتے ہوئے زیر نوشت میں S اس حقیقت کی یاد دہانی کراتا ہے کہ سطح پر کثافتِ برقی بہاو کی قیمت کی بات کی جا رہی ہے۔اس مساوات کو ضرب نقطہ کے استعمال سے

$$\Delta\psi = \boldsymbol{D}_S \cdot \Delta\boldsymbol{S}$$

لکھا جا سکتا ہے۔ مکمل سطح سے گزرتے کل برقی بہاو تکملہ سے حاصل ہو گی جو گاؤس کے قانون کے مطابق گھیرے ہوئے چارج Q کے برابر ہے۔یوں

$$\psi = \oint_S \boldsymbol{D}_S \cdot \Delta\boldsymbol{S} = Q \tag{3.6}$$

لکھا جا سکتا ہے۔یہ تکملہ دراصل دو درجی تکملہ ہے جسے ہم عموماً ایک درجی تکملہ سے ہی ظاہر کریں گے۔ تکملہ کے نشان پر گول دائرہ بند تکملہ[6] کو ظاہر کرتا ہے جبکہ بند تکملہ کے نیچے S اس بند سطح کو ظاہر کرتا ہے جس پر بند تکملہ حاصل کیا جا رہا ہو۔اس بند سطح کو عموماً گاؤس سطح[7] کہتے ہیں۔

جس مقام پر چارج کی کثافت ρ_h ہو، وہاں چھوٹی سی حجم Δh میں کل چارج $\rho_h \Delta h$ پایا جاتا ہے۔یوں کسی بھی حجم کو چھوٹے چھوٹے حصوں میں تقسیم کرتے ہوئے تمام حصوں میں پائے جانے والے چارجوں کا مجموعہ پوری حجم میں چارج کے برابر ہو گا یعنی

$$Q = \int_h \rho_h \, \mathrm{d}h \tag{3.7}$$

جہاں تین درجی حجم کے تکملہ کو ایک درجی تکملہ کے نشان سے ظاہر کیا گیا ہے۔

مندرجہ بالا دو مساوات سے

$$\oint_S \boldsymbol{D}_S \cdot \Delta\boldsymbol{S} = \int_h \rho_h \, \mathrm{d}h \tag{3.8}$$

حاصل ہوتا ہے جو گاؤس کے قانون کی تکملہ شکل ہے۔اس مساوات کو یوں پڑھا جاتا ہے کہ کسی بھی بند سطح سے گزرتی کل برقی بہاو اس سطح کے اندر گھیرے کل چارج کے برابر ہے۔

یہ ضروری نہیں کہ گھیرے ہوئے حجم یعنی بند حجم میں حجمی کثافت ہی پائی جائے۔ بند حجم کے اندر سطحی کثافت، لکیری کثافت، علیحدہ علیحدہ نقطہ چارج یا ان تینوں اقسام کا مجموعہ پایا جا سکتا ہے۔ حجم گھیرنے والے بند بیرونی سطح کے اندر کسی سطح پر سطحی کثافت کی صورت میں مساوات 3.7 کی جگہ

$$Q = \int_S \rho_S \, \mathrm{d}S \tag{3.9}$$

[6] closed integral
[7] gaussian surface

لکھا جائے گا جہاں چارج بردار سطح از خود بند یا کھلی سطح ہو سکتی ہے۔ لکیری کثافت کی صورت میں

$$Q = \int_L \rho_L \, \mathrm{d}L \tag{3.10}$$

جبکہ n عدد نقطہ چارج کی صورت میں

$$Q = \sum_n Q = Q_1 + Q_2 + Q_3 + \cdots + Q_n \tag{3.11}$$

لکھا جائے گا، وغیرہ وغیرہ۔ بہر حال مساوات 3.7 سے مراد یہ تمام صورتیں لی جاتی ہیں اور یوں ان تمام صورتوں کے لئے گاؤس کے قانون کی تکملہ شکل مساوات 3.8 ہی ہے۔

3.4 گاؤس کے قانون کا استعمال

گزشتہ باب میں ہم نے کولومب کے قانون سے نقطہ چارج، لامحدود لکیری چارج اور لامحدود سطحی چارج سے پیدا برقی میدان حاصل کئے۔ آئیں انہیں کو گاؤس کے قانون کی مدد سے بھی حاصل کریں۔ آپ دیکھیں گے کہ ان تینوں صورتوں میں گاؤس کے قانون کا استعمال شرم ناک حد تک سادہ ثابت ہو گا۔ یہاں یہ بتلانا ضروری ہے کہ ایسے مسائل جن میں گاؤس کا قانون استعمال کیا جا سکے کی تعداد بہت کم ہیں۔

3.4.1 نقطہ چارج

شکل 3.2 میں کرہ کے مرکز پر نقطہ چارج دکھایا گیا ہے۔ نقطہ چارج کو کروی محدد[8] کے مرکز پر رکھتے ہوئے ہم نے مختلف مقامات سے دیکھتے ہوئے مسئلے کی مشابہت کی بنا پر اخذ کیا تھا کہ کثافتِ برقی میدان صرف رداس کی سمت میں ممکن ہے اور اس کی حتمی قیمت صرف اور صرف رداس r تبدیل کرنے سے تبدیل ہو گی۔ اس کا مطلب ہے کہ کروی محدد کے مرکز کے گرد رداس r کے کرہ پر $\mathbf{D}$ تبدیل نہیں ہو گا۔

کروی محدد استعمال کرتے ہوئے کرہ پر چھوٹی سی سطح

$$\mathrm{d}S = r^2 \sin\theta \, \mathrm{d}\theta \, \mathrm{d}\phi$$

لکھی جا سکتی ہے۔ اسی کی سمتی شکل

$$\mathrm{d}\boldsymbol{S} = r^2 \sin\theta \, \mathrm{d}\theta \, \mathrm{d}\phi \boldsymbol{a}_\mathrm{r}$$

ہو گی۔ اس سطح پر کثافتِ برقی بہاو کی قیمت D_S اور سمت $\boldsymbol{a}_\mathrm{r}$ ہو گی لہٰذا سمتی کثافتِ برقی بہاو

$$\boldsymbol{D}_S = D_S \boldsymbol{a}_\mathrm{r}$$

لکھی جائے گی۔ یوں اس چھوٹی سی سطح سے گزرتی برقی بہاو

$$\begin{aligned}
\mathrm{d}\psi &= \boldsymbol{D}_S \cdot \mathrm{d}\boldsymbol{S} \\
&= (D_S \boldsymbol{a}_\mathrm{r}) \cdot \left(r^2 \sin\theta \, \mathrm{d}\theta \, \mathrm{d}\phi \boldsymbol{a}_\mathrm{r}\right) \\
&= D_S r^2 \sin\theta \, \mathrm{d}\theta \, \mathrm{d}\phi
\end{aligned}$$

[8] spherical coordinates

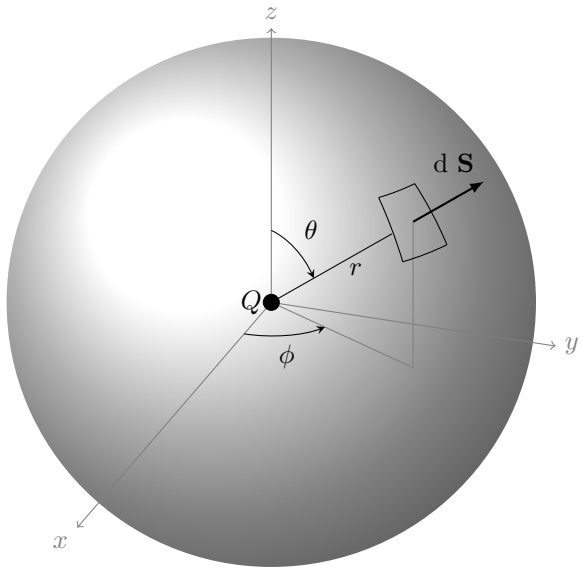

شکل 3.2: کرہ کے مرکز پر نقطہ چارج کا کرہ کے سطح پر کثافتِ برقی بہاو

ہو گی۔اس طرح پوری کرہ سے گزرتی برقی بہاو تکملہ سے یوں حاصل ہو گی۔

$$\begin{aligned}
\psi &= D_S r^2 \int_{\phi=0}^{\phi=2\pi} \int_{\theta=0}^{\theta=\pi} \sin\theta \, \mathrm{d}\theta \, \mathrm{d}\phi \\
&= D_S r^2 \int_{\phi=0}^{\phi=2\pi} -\cos\theta \Big|_0^{\pi} \mathrm{d}\phi \\
&= D_S r^2 \int_{\phi=0}^{\phi=2\pi} 2 \, \mathrm{d}\phi \\
&= 4\pi r^2 D_S
\end{aligned}$$

گاؤس کے قانون کے تحت یہ برقی بہاو گھیرے گئے چارج Q کے برابر ہے لہٰذا

$$4\pi r^2 D_S = Q$$

ہو گا جس سے

$$D_S = \frac{Q}{4\pi r^2}$$

حاصل ہوتا ہے۔یہی جواب بغیر زیادہ حساب و کتاب کے یوں حاصل کیا جا سکتا ہے۔

کرہ پر کثافتِ برقی بہاو D_S عمودی ہے اور اس کی قیمت کرہ پر تبدیل نہیں ہوتی۔کرہ کی سطح $4\pi r^2$ کے برابر ہے لہٰذا پوری سطح سے $4\pi r^2 D_S$ برقی بہاو گزرے گی جو گاؤس کے قانون کے تحت Q کے برابر ہے لہٰذا $4\pi r^2 D_S = Q$ ہو گا جس سے $D_S = \frac{Q}{4\pi r^2}$ حاصل ہوتا ہے۔اس کی سمتی شکل

$$\boldsymbol{D}_S = \frac{Q}{4\pi r^2} \boldsymbol{a}_{\mathrm{r}} \tag{3.12}$$

اور $\boldsymbol{D} = \epsilon_0 \boldsymbol{E}$ سے

$$\boldsymbol{E} = \frac{Q}{4\pi\epsilon_0 r^2} \boldsymbol{a}_{\mathrm{r}} \tag{3.13}$$

حاصل ہوتا ہے۔اس مساوات کا صفحہ 44 پر مساوات 2.19 کے ساتھ موازنہ کریں اور دیکھیں کہ موجودہ جواب کتنی آسانی سے حاصل ہوا۔

3.4.2 یکساں چارج بردار کروی سطح

صفحہ 59 پر حصہ 2.11 میں کروی محدد کے مرکز پر a رداس کی کروی سطح جس پر یکساں ρ_S چارج کثافت پائی جائے کا میدان بیرونِ کرہ اور اندرونِ کرہ حاصل کیا گیا۔آئیں گاوس کے قانون سے انہیں جوابات کو دوبارہ حاصل کریں۔

کرہ کے اندر r رداس کا کرہ لیتے ہیں۔یوں $r < a$ رداس کے کرہ میں صفر چارج پایا جائے گا۔یوں اس کی سطح پر صفر میدان ہو گا۔اس کے برعکس $r > a$ رداس کا کرہ a رداس کے کرہ کو گھیرتا ہے لہٰذا یہ $4\pi a^2\rho_S$ چارج کو گھیرے گا لہٰذا یہاں

$$\boldsymbol{D} = \frac{4\pi a^2\rho_S}{4\pi r^2}\boldsymbol{a}_{\mathrm{r}}$$

ہو گا جس سے

$$\boldsymbol{E} = \frac{Q}{4\pi\epsilon_0 r^2}\boldsymbol{a}_{\mathrm{r}}$$

حاصل ہوتا ہے جہاں کل چارج کو Q لکھا گیا ہے۔یہ نتائج گاوس کے قانون کے استعمال سے حاصل کئے گئے۔ساتھ ہی ساتھ اس حقیقت کو مد نظر رکھا گیا کہ میدان صرف رداسی سمت میں ممکن ہے۔

آپ دیکھ سکتے ہیں کہ اس مسئلے کو حل کرنے کا موجودہ طریقہ نہات آسان ہے۔

3.4.3 یکساں چارج بردار سیدھی لامحدود لکیر

ایسی لامحدود لکیر جس پر چارج کی یکساں کثافت پائی جائے کے گرد رداس پر گھومتے ہوئے صورت حال میں کوئی تبدیلی نظر نہیں آتی۔اسی طرح اس لکیر کے ساتھ ساتھ چلتے ہوئے بھی صورت حال میں کسی قسم کی تبدیلی پیدا نہیں ہوتی۔لامحدود لکیر کو نلکی محدد کی z محدد تصور کرتے ہوئے ان حقائق کی روشنی میں ہم توقع کرتے ہیں کہ برقی میدان صرف رداس تبدیل کرنے سے ہی تبدیل ہو گا۔مزید، جیسا کہ پچھلی باب میں بتلایا گیا، کسی بھی نقطے کے ایک جانب لکیر پر چارج سے پیدا برقی میدان کا وہ حصہ جو $\boldsymbol{a}_{\mathrm{Z}}$ کی سمت میں ہو کو لکیر پر نقطے کی دوسری جانب برابر فاصلے پر چارج سے پیدا برقی میدان کا وہ حصہ جو $\boldsymbol{a}_{\mathrm{Z}}$ کی سمت میں ہو ختم کرتا ہے۔یوں یہ اخذ کیا جا سکتا ہے کہ کثافتِ برقی بہاو صرف رداس کی سمت میں ہی پایا جائے گا۔آئیں ان معلومات کی روشنی میں گاؤس کے قانون کی مدد سے کثافتِ برقی بہاو حاصل کریں۔

چارج بردار لکیر جس پر یکساں کثافتِ چارج ρ_L پایا جائے کی لمبائی L میں کل چارج $\rho_L L$ ہو گا۔اس لمبائی کے گرد ρ رداس کی نلکی سطح تصور کرتے ہیں جس کے دونوں آخری سرے[9] بند تصور کریں۔چونکہ برقی بہاو صرف رداس کی سمت میں ہے لہٰذا ان دونوں آخری سروں سے کوئی برقی بہاو نہیں ہو گا۔نلکی سطح کا رقبہ $2\pi\rho L$ ہے جبکہ اس سطح پر ہر جگہ کثافتِ برقی بہاو D_ρ ہے لہٰذا پوری سطح سے $2\pi\rho L D_\rho$ برقی بہاو ہو گا جو گاؤس کے قانون کے تحت گھیرے گئے چارج $\rho_L L$ کے برابر ہو گا۔اس طرح

$$2\pi\rho D_\rho = \rho_L L$$

لکھتے ہوئے

$$D_\rho = \frac{\rho_L}{2\pi\rho}$$

[9] آخری سروں کو غیر موصل چادر سے بند کیا جا سکتا ہے۔یوں اس نلکی سطح تک چارج نہیں پہنچ پائے گا۔

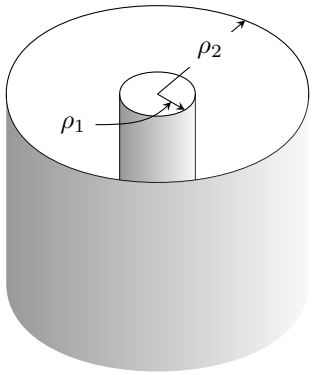

شکل 3.3: ہم محوری تار

حاصل ہوتا ہے جس کی سمتی شکل

$$\boldsymbol{D}_\rho = \frac{\rho_L}{2\pi\rho}\boldsymbol{a}_\rho \tag{3.14}$$

سے

$$\boldsymbol{E}_\rho = \frac{\rho_L}{2\pi\epsilon_0\rho}\boldsymbol{a}_\rho \tag{3.15}$$

حاصل ہوتا ہے۔ صفحہ 50 پر مساوات 2.30 کے ساتھ موازنہ کریں اور دیکھیں کہ موجودہ طریقہ کتنا سادہ ہے۔

3.5 ہم محوری تار

یکساں چارج بردار سیدھی لامحدود لکیر کے قصے کو آگے بڑھاتے ہوئے تصور کریں کہ اس تار کا رداس ρ_1 ہے۔ اگر تار پر کسی بھی جگہ L لمبائی میں Q چارج پایا جائے تو تار پر چارج کی لکیری کثافت $\rho_L = \frac{Q}{L}$ ہو گی جبکہ اس پر چارج کی سطحی کثافت $\frac{Q}{2\pi\rho_1 L}$ ہو گی۔ جیسا آپ جانتے ہیں ہیں ٹھوس موصل میں چارجوں کے مابین قوت دفع کی وجہ سے تمام چارج موصل کے بیرونی سطح پر دھکیلے جاتے ہیں۔ یوں چارج Q تار کے بیرونی سطح، محور سے ρ_1 فاصلے پر پایا جائے گا۔

اب تصور کریں کہ پہلی تار کے اوپر نلکی نما دوسری تار چڑھائی جائے جس کا اندرونی رداس ρ_2 ہو جہاں $\rho_2 > \rho_1$ ہو گا۔ ایسی تار جسے **ہم محوری تار**[10] کہتے ہیں کو شکل 3.3 میں دکھایا گیا ہے۔ تصور کریں کہ بیرونی تار پر کسی بھی جگہ L لمبائی پر $-Q$ چارج پایا جاتا ہے۔ دونوں تاروں پر الٹ اقسام کے چارج ہیں جن میں قوت کشش پائی جائے گی۔ یوں بیرونی تار پر چارج تار کے اندرونی سطہ یعنی محور سے ρ_2 رداس پر پایا جائے گا۔ بیرونی تار پر $\rho_L = \frac{-Q}{L}$ جبکہ $\rho_S = \frac{-Q}{2\pi\rho_2 L}$ ہو گی۔

دونوں تاروں کے درمیانی فاصلے میں رداس ρ کی فرضی نلکی سطح صرف اندرونی تار کے چارج کو گھیرتی ہے لہٰذا L لمبائی کی ایسی نلکی پر مساوات 3.14 کی طرح

$$\begin{aligned}\boldsymbol{D} &= \frac{\rho_L}{2\pi\rho}\boldsymbol{a}_\rho \\ &= \frac{Q}{2\pi\rho L}\boldsymbol{a}_\rho\end{aligned} \tag{3.16}$$

[10] coaxial cable

پایا جائے گا۔آپ دیکھ سکتے ہیں کہ بیرونی تار پر چارج کا اس میدان پر کوئی اثر نہیں پایا جاتا۔یوں اندرونی تار کے بیرونی سطح پر

$$\boldsymbol{D}_1 = \frac{Q}{2\pi\rho_1 L}\boldsymbol{a}_\rho \tag{3.17}$$

جبکہ بیرونی تار کے اندرونی سطح پر

$$\boldsymbol{D}_2 = \frac{Q}{2\pi\rho_2 L}\boldsymbol{a}_\rho \tag{3.18}$$

پایا جائے گا۔بیرونی تار کے باہر فرضی نلکی سطح میں کل صفر چارج پایا جاتا ہے لہٰذا ہم محوری تار کے باہر (یعنی بیرونی تار کے باہر)

$$\boldsymbol{D}_{\text{تار کے باہر}} = 0 \tag{3.19}$$

ہو گا۔مساوات 3.14 انتہائی اہم نتیجہ ہے۔اس کے مطابق ہم محوری تار کے باہر کسی قسم کا برقی میدان نہیں پایا جاتا لہٰذا تار کے باہر سے کسی طرح بھی یہ معلوم نہیں کیا جا سکتا کہ تار پر کس قسم کا چارج پائے جاتے ہیں۔یوں ہم محوری تار کے ذریعہ اشارات کی منتقلی محفوظ ہوتی ہے۔ہم محوری تار میں بیرونی تار اندرونی تار کو پناہی دیتا ہے۔ لہٰذا ہم محوری تار کو پناہ دار تار[11] بھی کہا جائے گا۔

مثال 3.1: ہم محوری تار کے اندروری تار کا رداس 1 mm جبکہ اس کے بیرونی تار کا اندرونی رداس 5 mm ہے۔3 mm رداس پر کثافتِ برقی بہاو $-5\ \frac{\mu\text{Wb}}{\text{m}^2}$ ہے جبکہ تار کے باہر کوئی برقی میدان نہیں پایا جاتا۔دونوں تاروں پر چارج کی سطحی کثافت حاصل کریں۔

حل:تار کے گرد برقی میدان صرف رداس کی سمت میں پایا جاتا ہے۔اگر تار پر چارج کی لکیری کثافت ρ_L ہو تب مساوات

$$-5\times 10^{-6} = \frac{\rho_L}{2\pi\times 0.003}$$

سے $\rho_L = -94.26\ \frac{\text{nC}}{\text{m}}$ حاصل ہوتا ہے۔یوں اندرونی تار کے ایک میٹر لمبائی پر $-94.26\,\text{nC}$ چارج پایا جائے گا جس سے اس کی سطحی کثافت

$$\rho_{S1} = \frac{-0.09426\times 10^{-9}}{2\pi\times 0.001\times 1} = -15\ \frac{\mu\text{C}}{\text{m}^2}$$

حاصل ہوتی ہے۔بیرونی تار کے ایک میٹر فاصلے پر $94.26\,\text{nC}$ چارج پایا جائے گا جس سے یہاں

$$\rho_{S2} = \frac{94.26\times 10^{-9}}{2\pi\times 0.005\times 1} = 3\ \frac{\mu\text{C}}{\text{m}^2}$$

حاصل ہوتا ہے۔

---

[11] shielded

3.6 یکساں چارج بردار ہموار لامحدود سطح

اگر چارج بردار ہموار لامحدود سطح سے برابر فاصلے پر کسی بھی مقام سے دیکھا جائے تو صورت حال بالکل یکساں معلوم ہو گا۔ کسی بھی نقطے کے ایک جانب چارجوں سے پیدا برقی میدان کا وہ حصہ جو چارج بردار سطح کے متوازی ہو کو نقطے کے دوسری جانب چارجوں سے پیدا برقی میدان کا وہ حصہ جو چارج بردار سطح کے متوازی ہو کو ختم کرتا ہے۔ ان حقائق سے ہم اخذ کر سکتے ہیں کہ ایسی سطح کا برقی میدان سطح کی عمودی سمت میں ہو گا اور سطح سے یکساں فاصلے پر برقی میدان کی حتمی قیمت برابر ہو گی۔ صفحہ 52 پر ایسی لامحدود سطح شکل 2.5 میں دکھائی گئی ہے۔

اس شکل میں چارج بردار سطح کے متوازی دونوں اطراف برابر فاصلے پر تصوراتی لامحدود سطح تصور کرتے ہیں۔ ان سطحوں پر آمنے سامنے رقبہ S لیتے ہوئے انہیں عمودی سطحوں سے بند کرتے ہوئے حجم گھیرتے ہیں۔ سامنے سطح پر $D\boldsymbol{a}_{\mathrm{x}}$ جبکہ پیچھے سطح پر $-D\boldsymbol{a}_{\mathrm{x}}$ ہو گا جبکہ ان رقبوں کو $S\boldsymbol{a}_{\mathrm{x}}$ اور $-S\boldsymbol{a}_{\mathrm{x}}$ لکھا جا سکتا ہے۔ چونکہ برقی میدان سطحوں کے عمودی ہے لہٰذا دونوں سطحوں کو ملانے والے عمودی سطحوں میں سے کوئی برقی بہاو نہیں ہو گا۔ یوں حجم سے برقی بہاو صرف ان آمنے سامنے رقبوں سے یعنی

$$\begin{aligned}\psi_{\text{سامنے}} &= D\boldsymbol{a}_{\mathrm{x}} \cdot S\boldsymbol{a}_{\mathrm{x}} = SD\\ \psi_{\text{پیچھے}} &= (-D\boldsymbol{a}_{\mathrm{x}}) \cdot (-S\boldsymbol{a}_{\mathrm{x}}) = SD\end{aligned}$$

جو گھیرے گئی چارج کے برابر ہو گا۔ اگر چارج بردار سطح پر ρ_S ہو تب حجم میں $\rho_S S$ چارج پایا جائے گا۔ یوں

$$\psi_{\text{سامنے}} + \psi_{\text{پیچھے}} = 2DS = \rho_S S$$

لکھتے ہوئے

$$D = \frac{\rho_S}{2}$$

حاصل ہوتا ہے جس کی سمتی شکل

$$\boldsymbol{D} = \frac{\rho_S}{2}\boldsymbol{a}_N \tag{3.20}$$

لکھی جا سکتی ہے جہاں $\boldsymbol{a}_N$ سے مراد سطح کی اکائی سمتیہ ہے۔ یوں

$$\boldsymbol{E} = \frac{\rho_S}{2\epsilon_0}\boldsymbol{a}_N \tag{3.21}$$

حاصل ہوتا ہے۔ آپ دیکھ سکتے ہیں کہ مساوات 2.42 کے حصول کا موجودہ طریقہ زیادہ آسان ہے۔

3.7 انتہائی چھوٹی حجم پر گاؤس کے قانون کا اطلاق

شکل 3.4 میں کارتیسی محدد کے نقطہ $N(x_0, y_0, z_0)$ پر چھوٹا مستطیلی ڈبہ دکھایا گیا ہے جس کے اطراف Δx، Δy اور Δz ہیں۔ یہ ڈبہ برقی میدان $\boldsymbol{D} = D_x\boldsymbol{a}_{\mathrm{x}} + D_y\boldsymbol{a}_{\mathrm{y}} + D_z\boldsymbol{a}_{\mathrm{z}}$ میں ہے۔ اس چھوٹی ڈبیہ پر گاؤس کے قانون

$$\oint_S \boldsymbol{D} \cdot \mathrm{d}\boldsymbol{S} = Q = \int_h \rho_h \,\mathrm{d}h \tag{3.22}$$

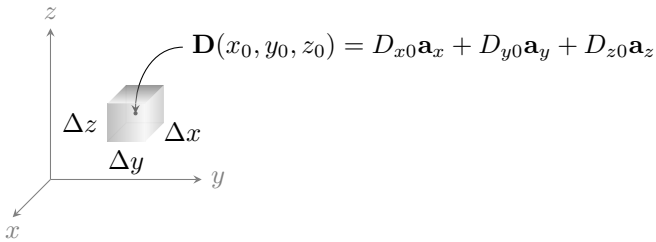

شکل 3.4: انتہائی چھوٹی حجم پر گاؤس کے قانون کا اطلاق

کا اطلاق کرتے ہیں۔ڈبیہ کے چھ اطراف ہیں۔یوں مندرجہ بالا تکملہ کے بائیں بازو کو

$$\oint_S \boldsymbol{D}\cdot \mathrm{d}\boldsymbol{S} = \int_{\text{سامنے}} + \int_{\text{پیچھے}} + \int_{\text{بائیں}} + \int_{\text{دائیں}} + \int_{\text{اوپر}} + \int_{\text{نیچے}}$$

لکھا جا سکتا ہے جہاں

$$\begin{aligned}
\int_{\text{سامنے}} &\doteq \boldsymbol{D}_{\text{سامنے}} \cdot \Delta \boldsymbol{S}_{\text{سامنے}} \\
&\doteq \left(D_x \boldsymbol{a}_{\mathrm{x}} + D_y \boldsymbol{a}_{\mathrm{y}} + D_z \boldsymbol{a}_{\mathrm{z}}\right)_{\text{سامنے}} \cdot \Delta y \Delta z \boldsymbol{a}_{\mathrm{x}} \\
&\doteq D_{x,\text{سامنے}} \Delta y \Delta z
\end{aligned}$$

کے برابر ہے۔ 899

ہمیں $\boldsymbol{D}$ کی قیمت ڈبیہ کے وسط میں معلوم ہے۔ٹیلر تسلسل[12] کے مطابق کسی بھی تفاعل جس کی قیمت نقطہ a پر معلوم ہو کو اس نقطے کے قریبی نقطوں پر

$$f(x+a) = f(a) + \frac{1}{1!}(x-a)f'(a) + \frac{1}{2!}(x-a)^2 f''(a) + \cdots$$

سے حاصل کیا جا سکتا ہے۔ڈبیہ کے وسط میں نقطہ $N(x_0, y_0, z_0)$ پر

$$\boldsymbol{D}(x_0, y_0, z_0) = D_{x0}\boldsymbol{a}_{\mathrm{x}} + D_{y0}\boldsymbol{a}_{\mathrm{y}} + D_{z0}\boldsymbol{a}_{\mathrm{z}}$$

کی قیمت سے وسط سے $+\frac{\Delta x}{2}$ فاصلے پر ڈبیہ کے سامنے سطح پر D_x ٹیلر تسلسل سے یوں حاصل کیا جا سکتا ہے۔

$$\begin{aligned}
D_{x,\text{سامنے}} &= D_{x0} + \frac{1}{1!}\frac{\Delta x}{2}\frac{\partial D_x}{\partial x} + \frac{1}{2!}\left[\frac{\Delta x}{2}\right]^2 \frac{\partial^2 D_x}{\partial x^2} \cdots \\
&\doteq D_{x0} + \frac{\Delta x}{2}\frac{\partial D_x}{\partial x}
\end{aligned}$$

جہاں دوسرے قدم پر تسلسل کے صرف پہلے دو اجزاء لئے گئے ہیں۔تفاعل کے ایک سے زیادہ متغیرات x، y اور z ہیں لہٰذا تسلسل میں جزوی تفرق[13] 900 کا استعمال کیا گیا۔ 901

یوں

$$\int_{\text{سامنے}} \doteq \left(D_{x0} + \frac{\Delta x}{2}\frac{\partial D_x}{\partial x}\right)\Delta y \Delta z$$

---

[12] Taylor series
[13] partial differential

902 حاصل ہوتا ہے۔

بند سطح کی سمت باہر جانب ہوتی ہے لہٰذا پچھلی سطح $-\Delta y \Delta z \boldsymbol{a}_{\mathrm{x}}$ ہے اور یوں ڈبیہ کی پچھلی سطح کے لئے

$$\begin{aligned}\int_{\text{پیچھے}} &\doteq \boldsymbol{D}_{\text{پیچھے}} \cdot \Delta \boldsymbol{S}_{\text{پیچھے}}\\ &\doteq \left(D_x \boldsymbol{a}_{\mathrm{x}} + D_y \boldsymbol{a}_{\mathrm{y}} + D_z \boldsymbol{a}_{\mathrm{z}}\right)_{\text{پیچھے}} \cdot \left(-\Delta y \Delta z \boldsymbol{a}_{\mathrm{x}}\right)\\ &\doteq -D_{x,\text{پیچھے}} \Delta y \Delta z\end{aligned}$$

لکھا جا سکتا ہے جہاں وسط سے $-\frac{\Delta x}{2}$ فاصلے پر ڈبیہ کی پچھلی سطح پر D_x ٹیلر تسلسل سے

$$D_{x,\text{پیچھے}} = D_{x0} - \frac{\Delta x}{2}\frac{\partial D_x}{\partial x}$$

حاصل ہوتا ہے۔یوں

$$\int_{\text{پیچھے}} \doteq -\left(D_{x0} - \frac{\Delta x}{2}\frac{\partial D_x}{\partial x}\right)\Delta y \Delta z$$

اور

$$\begin{aligned}\int_{\text{سامنے}} + \int_{\text{پیچھے}} &\doteq \left(D_{x0} + \frac{\Delta x}{2}\frac{\partial D_x}{\partial x}\right)\Delta y \Delta z - \left(D_{x0} - \frac{\Delta x}{2}\frac{\partial D_x}{\partial x}\right)\Delta y \Delta z\\ &\doteq \frac{\partial D_x}{\partial x}\Delta x \Delta y \Delta z\end{aligned}$$

حاصل ہوتا ہے۔اسی عمل کو دہراتے ہوئے بائیں اور دائیں سطحوں کے لئے

$$\int_{\text{بائیں}} + \int_{\text{دائیں}} \doteq \frac{\partial D_y}{\partial y}\Delta x \Delta y \Delta z$$

اور اوپر، نیچے سطحوں کے لئے

$$\int_{\text{اوپر}} + \int_{\text{نیچے}} \doteq \frac{\partial D_z}{\partial z}\Delta x \Delta y \Delta z$$

حاصل ہوتا ہے۔اس طرح

$$\oint_S \boldsymbol{D} \cdot \mathrm{d}\boldsymbol{S} = Q \doteq \left(\frac{\partial D_x}{\partial x} + \frac{\partial D_y}{\partial y} + \frac{\partial D_z}{\partial z}\right)\Delta x \Delta y \Delta z \tag{3.23}$$

903 حاصل ہوتا ہے۔

اس مساوات کے تحت کسی بھی نقطے پر انتہائی چھوٹی حجم Δh میں چارج تقریباً

$$Q \doteq \left(\frac{\partial D_x}{\partial x} + \frac{\partial D_y}{\partial y} + \frac{\partial D_z}{\partial z}\right)\Delta h \tag{3.24}$$

کے برابر ہے۔ حجم کی جسامت جتنی کم کی جائے جواب اتنا زیادہ درست ہو گا۔ اگلے حصے میں حجم کو کم کرتے کرتے نقطہ نما بنا دیا جائے گا۔ ایسی صورت میں مندرجہ بالا مساوات مکمل طور صحیح جواب مہیا کرے گا۔

مثال 3.2: اگر $\boldsymbol{D} = 2x\boldsymbol{a}_{\mathrm{x}} + 3y\boldsymbol{a}_{\mathrm{y}} + 5\boldsymbol{a}_{\mathrm{z}}\,\mathrm{C/m^2}$ ہو تب کارتیسی محدد کے مرکز پر $10^{-9}\,\mathrm{m}^3$ کے انتہائی چھوٹی حجم میں چارج حاصل کریں۔

حل:

$$\frac{\partial D_x}{\partial x} + \frac{\partial D_y}{\partial y} + \frac{\partial D_z}{\partial z} = 2 + 3 + 0$$

سے اس حجم میں $5 \times 10^{-9} = 5\,\mathrm{nC}$ چارج پایا جائے گا۔

3.8 پھیلاو

مساوات 3.23 میں حجم کو اتنا کم کرتے ہوئے کہ اس کو صفر تصور کرنا ممکن ہو

$$\frac{\partial D_x}{\partial x} + \frac{\partial D_y}{\partial y} + \frac{\partial D_z}{\partial z} = \lim_{\Delta h \to 0} \frac{\oint_S \boldsymbol{D} \cdot \mathrm{d}\boldsymbol{S}}{\Delta h} = \lim_{\Delta h \to 0} \frac{Q}{\Delta h}$$

لکھا جا سکتا ہے۔ چارج فی حجم کو حجمی کثافت کہتے ہیں۔ یوں مساوات کا دایاں بازو نقطے پر حجمی کثافت ρ_h دیتا ہے۔ اس طرح اس مساوات سے دو مساوات حاصل کئے جا سکتے ہیں یعنی

$$\frac{\partial D_x}{\partial x} + \frac{\partial D_y}{\partial y} + \frac{\partial D_z}{\partial z} = \rho_h \tag{3.25}$$

اور

$$\frac{\partial D_x}{\partial x} + \frac{\partial D_y}{\partial y} + \frac{\partial D_z}{\partial z} = \lim_{\Delta h \to 0} \frac{\oint_S \boldsymbol{D} \cdot \mathrm{d}\boldsymbol{S}}{\Delta h} \tag{3.26}$$

مساوات 3.25 میکس ویل[14] [15] کی پہلی مساوات ہے جبکہ مساوات 3.26 سمتیہ $\boldsymbol{D}$ کا پھیلاو[16] بیان کرتا ہے۔ اس مساوات کا دایاں بازو پھیلاو کی تعریف جبکہ اس کا بایاں بازو پھیلاو حاصل کرنے کا طریقہ دیتا ہے۔ یوں کارتیسی محدد میں

$$\frac{\partial D_x}{\partial x} + \frac{\partial D_y}{\partial y} + \frac{\partial D_z}{\partial z} \quad \text{کارتیسی محدد میں پھیلاو کی مساوات} \tag{3.27}$$

سے سمتیہ $\boldsymbol{D}$ کا پھیلاو حاصل کیا جاتا ہے۔

---

[14] Maxwell equation

[15] جناب جیمس کلارک میکس ویل (1831-1879) کے مساوات میکس ویل مساوات کہلاتے ہیں۔

[16] divergence

انجنیئرنگ کے شعبے میں ایسے کئی مسئلے پائے جاتے ہیں جن میں چھوٹی سی حجم کو گھیرنے والے بند سطح پر کسی سمتیہ $\boldsymbol{K}$ کا $\oint_S \boldsymbol{K}\cdot \mathrm{d}\boldsymbol{S}$ درکار ہو۔ گزشتہ حصے میں سمتیہ $\boldsymbol{D}$ کے لئے ایسا ہی کیا گیا۔ غور کرنے سے معلوم ہوتا ہے کہ ایسا کرتے ہوئے $\boldsymbol{D}$ کی جگہ $\boldsymbol{K}$ لکھا جا سکتا ہے جس سے

$$\frac{\partial K_x}{\partial x}+\frac{\partial K_y}{\partial y}+\frac{\partial K_z}{\partial z}=\lim_{\Delta h\to 0}\frac{\oint_S \boldsymbol{K}\cdot \mathrm{d}\boldsymbol{S}}{\Delta h} \tag{3.28}$$

حاصل ہوتا۔ سمتیہ $\boldsymbol{K}$ پانی کا بہاو، ایٹموں کی رفتار یا سلیکان کی پتری میں درجہ حرارت ہو سکتا ہے۔ ہم $\boldsymbol{K}$ کو سمتی بہاو کی کثافت تصور کریں گے۔ مندرجہ بالا مساوات $\boldsymbol{K}$ کا پھیلاو بیان کرتا ہے۔ پھیلاو کے عمل سے مراد مساوات کے بائیں بازو کا عمل ہے جبکہ مساوات کا دایاں بازو اس کی تعریف بیان کرتا ہے جس کے تحت

کسی بھی سمتی کثافتی بہاو کے پھیلاو سے مراد کسی چھوٹی حجم کو صفر کرتے ہوئے اس سے خارج کل بہاو فی اکائی حجم ہے۔

یہ ضروری ہے کہ آپ کو پھیلاو کی تعریف کی سمجھ ہو۔ یاد رہے کہ پھیلاو کا عمل سمتیہ پر کیا جاتا ہے جبکہ اس سے حاصل جواب مقداری ہوتا ہے۔ کسی نقطے پر چھوٹی حجم سے باہر جانب کل بہاو فی چھوٹی حجم کو پھیلاو کہتے ہیں۔ پھیلاو کی کوئی سمت نہیں ہوتی۔ پھیلاو کی تعریف جانتے ہوئے کئی مرتبہ بغیر قلم اٹھائے جواب حاصل کیا جا سکتا ہے۔ اسی نوعیت کے چند مسئلوں پر اب غور کرتے ہیں۔

پانی سے بھری بالٹی میں پانی میں ڈوبے کسی بھی نقطے پر پانی کی رفتار کا پھیلاو صفر ہو گا چونکہ اس نقطے سے نہ پانی باہر نکل رہا ہے اور نا ہی اس میں داخل ہو رہا ہے۔ اسی طرح دریا میں پانی میں ڈھوبے نقطے پر بھی پانی کے رفتار کا پھیلاو صفر ہو گا چونکہ ایسے نقطے سے جتنا پانی نکلتا ہے، اتنا ہی پانی اس میں داخل ہوتا ہے۔ البتہ اگر بھری بالٹی کے تہہ میں سوراخ کر دیا جائے تو جب تک نقطہ پانی میں ڈھوبا رہے اس وقت تک یہاں پھیلاو صفر رہے گا البتہ جیسے ہی نقطہ پانی سے نمودار ہونے لگے یہاں مثبت پھیلاو پایا جائے گا اور جب نقطہ پانی سے مکمل طور باہر آ جائے تب ایک بار پھر یہاں پھیلاو صفر ہو جائے گا۔ جتنی دیر نقطہ پانی کی سطح سے باہر نمودار ہو رہا ہوتا ہے اتنی دیر اس نقطے سے پانی کی انخلاء پائی جاتی ہے جس کی وجہ سے یہاں پھیلاو پایا جاتا ہے۔

ایک اور دلچسپ مثال سائیکل کے ٹائر میں ہوا کی ہے۔ اگر ٹائر پنکچر ہو جائے اور اس سے ہوا نکلنی شروع ہو جائے تو ٹائر میں کسی بھی نقطے پر سمتی رفتار کا پھیلاو پایا جائے گا چونکہ کسی بھی نقطے پر دیکھا جائے تو یہاں سے ہوا پھیلتے ہوئے خارج ہو گا۔ یوں مثبت پھیلاو سے مراد نقطے سے انخلاء جبکہ منفی پھیلاو سے مراد نقطے میں داخل ہونا ہے۔

ریاضیاتی عمل کو بیان کرنے کے لئے عموماً علامت استعمال کی جاتی ہے۔ یوں جمع کے لئے $+$، ضرب کے لئے $\times$ اور تکملہ کے لئے $\int$ استعمال کئے جاتے ہیں۔ آئیں ایک نئی علامت جسے نیبلا[17] کہتے اور ∇ سے ظاہر کرتے ہیں سیکھیں۔ نیبلا یونانی حروف تہجی کا حرف ہے۔ تصور کریں کہ

$$\nabla=\frac{\partial}{\partial x}\boldsymbol{a}_{\mathrm{x}}+\frac{\partial}{\partial y}\boldsymbol{a}_{\mathrm{y}}+\frac{\partial}{\partial z}\boldsymbol{a}_{\mathrm{z}} \tag{3.29}$$

لکھا جاتا ہے جہاں مقداری متغیرہ f کے سامنے لکھنے سے مراد

$$\nabla f=\frac{\partial f}{\partial x}\boldsymbol{a}_{\mathrm{x}}+\frac{\partial f}{\partial y}\boldsymbol{a}_{\mathrm{y}}+\frac{\partial f}{\partial z}\boldsymbol{a}_{\mathrm{z}} \tag{3.30}$$

جبکہ سمتیہ $\boldsymbol{K}$ کے ساتھ نقطہ ضرب سے مراد

$$\begin{aligned}\nabla\cdot\boldsymbol{K}&=\left(\frac{\partial}{\partial x}\boldsymbol{a}_{\mathrm{x}}+\frac{\partial}{\partial y}\boldsymbol{a}_{\mathrm{y}}+\frac{\partial}{\partial z}\boldsymbol{a}_{\mathrm{z}}\right)\cdot\left(K_x\boldsymbol{a}_{\mathrm{x}}+K_y\boldsymbol{a}_{\mathrm{y}}+K_z\boldsymbol{a}_{\mathrm{z}}\right)\\&=\frac{\partial K_x}{\partial x}+\frac{\partial K_y}{\partial y}+\frac{\partial K_z}{\partial z}\end{aligned} \tag{3.31}$$

[17] nabla, del

لیا جاتا ہے۔یہ علامت انجنیئرنگ کے شعبے میں انتہائی مقبول ہے۔اسے استعمال کرتے ہوئے پھیلاو کو $\nabla \cdot \boldsymbol{D}$ لکھا جا سکتا ہے جہاں

$$\nabla \cdot \boldsymbol{D} = \frac{\partial D_x}{\partial x} + \frac{\partial D_y}{\partial y} + \frac{\partial D_z}{\partial z} \tag{3.32}$$

کے برابر ہے۔پھیلاو کے عمل کو ہم اسی علامت سے ظاہر کریں گے۔مساوات 3.25 یعنی میکس ویل کی پہلی مساوات اب یوں لکھی جا سکتی ہے۔

$$\nabla \cdot \boldsymbol{D} = \rho_h \quad \text{میکس ویل کی پہلی مساوات} \tag{3.33}$$

میکس ویل کی پہلی مساوات درحقیقت گاؤس کے قانون کی تفرق[18] شکل ہے۔اسی طرح گاؤس کا قانون میکس ویل مساوات کی تکمل[19] شکل ہے۔

مساوات 3.30 کے طرز پر مساوات صفحہ 108 پر دیا گیا ہے۔

3.9 نلکی محدد میں پھیلاو کی مساوات

حصہ 3.7 میں کارتیسی محدد استعمال کرتے ہوئے چھوٹی حجم پر گاؤس کے قانون کے اطلاق سے پھیلاو کی مساوات حاصل کی گئی۔اس حصے میں نلکی محدد استعمال کرتے ہوئے شکل میں دکھائے چھوٹی حجم کو استعمال کرتے ہوئے پھیلاو کی مساوات حاصل کی جائے گی۔شکل کو دیکھتے ہوئے

$$\begin{aligned}
\Delta_{S_{\text{سامنے}}} &= -\Delta\rho\Delta z\boldsymbol{a}_\phi \\
\Delta_{S_{\text{پیچھے}}} &= +\Delta\rho\Delta z\boldsymbol{a}_\phi \\
\Delta_{S_{\text{بائیں}}} &= -\left(\rho - \frac{\Delta\rho}{2}\right)\Delta\phi\Delta z\boldsymbol{a}_\rho \\
\Delta_{S_{\text{دائیں}}} &= +\left(\rho + \frac{\Delta\rho}{2}\right)\Delta\phi\Delta z\boldsymbol{a}_\rho \\
\Delta_{S_{\text{اوپر}}} &= +\rho\Delta\phi\Delta\rho\boldsymbol{a}_z \\
\Delta_{S_{\text{نیچے}}} &= -\rho\Delta\phi\Delta\rho\boldsymbol{a}_z
\end{aligned}$$

لکھا جا سکتا ہے۔کارتیسی محدد میں آمنے سامنے رقبے برابر تھے۔نلکی محدد میں بائیں اور دائیں رقبے برابر نہیں ہیں۔اس فرق کی بنا پر نلکی محدد میں پھیلاو کی مساوات قدر مختلف حاصل ہو گی۔چھوٹی حجم کے وسط میں

$$\boldsymbol{D} = D_{\rho 0}\boldsymbol{a}_\rho + D_{\phi 0}\boldsymbol{a}_\phi + D_{z0}\boldsymbol{a}_z \tag{3.34}$$

---

[18] differential
[19] integral

کے برابر ہے جس سے ٹیلر تسلسل کی مدد سے

$$\boldsymbol{D}_{\text{سامنے}} = \left(D_{\phi 0} - \frac{\Delta\phi}{2}\frac{\partial D_\phi}{\partial \phi}\right)\boldsymbol{a}_\phi$$
$$\boldsymbol{D}_{\text{پیچھے}} = \left(D_{\phi 0} + \frac{\Delta\phi}{2}\frac{\partial D_\phi}{\partial \phi}\right)\boldsymbol{a}_\phi$$
$$\boldsymbol{D}_{\text{بائیں}} = \left(D_{\rho 0} - \frac{\Delta\rho}{2}\frac{\partial D_\rho}{\partial \rho}\right)\boldsymbol{a}_\rho$$
$$\boldsymbol{D}_{\text{دائیں}} = \left(D_{\rho 0} + \frac{\Delta\rho}{2}\frac{\partial D_\rho}{\partial \rho}\right)\boldsymbol{a}_\rho$$
$$\boldsymbol{D}_{\text{اوپر}} = \left(D_{z 0} + \frac{\Delta z}{2}\frac{\partial D_z}{\partial z}\right)\boldsymbol{a}_{\mathbf{z}}$$
$$\boldsymbol{D}_{\text{نیچے}} = \left(D_{z 0} - \frac{\Delta z}{2}\frac{\partial D_z}{\partial z}\right)\boldsymbol{a}_{\mathbf{z}}$$

لکھا جا سکتا ہے۔یوں

$$\int\limits_{\text{سامنے}} + \int\limits_{\text{پیچھے}} = \frac{\partial D_\phi}{\partial \phi}\Delta\rho\Delta\phi\Delta z$$

حاصل ہوتا ہے۔اسی طرح

$$\int\limits_{\text{بائیں}} + \int\limits_{\text{دائیں}} = \left(D_{\rho 0} + \rho\frac{\partial D_\rho}{\partial \rho}\right)\Delta\rho\Delta\phi\Delta z$$

حاصل ہوتا ہے جسے

$$\int\limits_{\text{بائیں}} + \int\limits_{\text{دائیں}} = \frac{\partial(\rho D_\rho)}{\partial \rho}\Delta\rho\Delta\phi\Delta z$$

بھی لکھا جا سکتا ہے۔ایسا لکھتے وقت یاد رہے کہ نقطہ $N(\rho_0, \phi_0, z_0)$ پر

$$\left.\frac{\partial(\rho D_\rho)}{\partial \rho}\right|_N = D_\rho + \rho\left.\frac{\Delta D_\rho}{\Delta \rho}\right|_N = D_{\rho 0} + \rho\frac{\partial D_\rho}{\partial \rho}$$

کے برابر ہے۔اسی طرح

$$\int\limits_{\text{اوپر}} + \int\limits_{\text{نیچے}} = \rho\frac{\partial D_z}{\partial z}\Delta\rho\Delta\phi\Delta z$$

حاصل ہوتا ہے۔ان تمام کو استعمال کرتے ہوئے

$$\oint\limits_S \boldsymbol{D}_S \cdot \mathrm{d}\boldsymbol{S} = \left(\frac{\partial(\rho D_\rho)}{\partial \rho} + \frac{\partial D_\phi}{\partial \phi} + \rho\frac{\partial D_z}{\partial z}\right)\Delta\rho\Delta\phi\Delta z$$

ملتا ہے۔ چھوٹی حجم $\Delta h = \rho\Delta\rho\Delta\phi\Delta z$ کے استعمال سے

$$\frac{1}{\rho}\frac{\partial(\rho D_\rho)}{\partial\rho} + \frac{1}{\rho}\frac{\partial D_\phi}{\partial\phi} + \frac{\partial D_z}{\partial z} = \lim_{\Delta h\to 0}\frac{\oint_S \boldsymbol{D}_S\cdot \mathrm{d}\boldsymbol{S}}{\Delta h} \tag{3.35}$$

حاصل ہوتا ہے۔ مساوات 3.28 کا دایاں بازو پھیلاو کی تعریف بیان کرتا ہے جس کے ساتھ موازنہ کرنے سے آپ دیکھ سکتے ہیں کہ مساوات 3.35 نلکی محدد میں پھیلاو دیتا ہے۔

آپ دیکھ سکتے ہیں کہ نلکی محدد میں پھیلاو کی مساوات سادہ شکل نہیں رکھتی۔ مساوات 3.29 میں دی گئی ∇ کو استعمال کرتے ہوئے نلکی محدد میں پھیلاو کی مساوات ہر گز حاصل نہیں کی جا سکتی ہے۔ اس کے باوجود نلکی محدد میں بھی پھیلاو کے عمل کو $\nabla\cdot\boldsymbol{D}$ سے ہی ظاہر کیا جا سکتا ہے جہاں اس سے مراد

$$\nabla\cdot\boldsymbol{D} = \frac{1}{\rho}\frac{\partial(\rho D_\rho)}{\partial\rho} + \frac{1}{\rho}\frac{\partial D_\phi}{\partial\phi} + \frac{\partial D_z}{\partial z} \tag{3.36}$$

لیا جاتا ہے۔ مندرجہ بالا مساوات نلکی محدد میں پھیلاو کی مساوات ہے جو کسی بھی سمتیہ کے لئے درست ہے۔ یوں سمتیہ $\boldsymbol{K}$ کے لئے اسے یوں لکھا جا سکتا ہے۔

$$\nabla\cdot\boldsymbol{K} = \frac{1}{\rho}\frac{\partial(\rho K_\rho)}{\partial\rho} + \frac{1}{\rho}\frac{\partial K_\phi}{\partial\phi} + \frac{\partial K_z}{\partial z} \tag{3.37}$$

3.10 پھیلاو کی عمومی مساوات

کارتیسی محدد میں چھوٹی حجم کے آمنے سامنے اطراف کا رقبہ برابر ہوتا ہے جس سے پھیلاو کی مساوات آسانی سے حاصل ہوتی ہے۔ نلکی محدد میں چھوٹی حجم کے رداسی سمت کے آمنے سامنے رقبے مختلف ہوتے ہیں جن کا خصوصی خیال رکھتے ہوئے پھیلاو کی قدر مشکل مساوات گزشتہ حصے میں حاصل کی گئی۔ اس حصے میں پھیلاو کی مساوات حاصل کرنے کا ایسا طریقہ دیکھتے ہیں جسے استعمال کرتے ہوئے پھیلاو کی عمومی مساوات حاصل کی جا سکتی ہے جو تمام محدد کے لئے کارآمد ہے۔

کارتیسی محدد کے متغیرات (x, y, z) جبکہ نلکی محدد کے (ρ, ϕ, z) اور کروی محدد کے متغیرات (r, θ, ϕ) ہیں۔ اس حصے میں عمومی محدد[20] استعمال کیا جائے گا جس کے متغیرات (u, v, w) اور تین عمودی اکائی سمتیات $(\boldsymbol{a}_u, \boldsymbol{a}_v, \boldsymbol{a}_w)$ ہیں۔ عمومی محدد کسی بھی محدد کے لئے استعمال کیا جا سکتا ہے۔ یوں اگر اسے کارتیسی محدد کے لئے استعمال کیا جا رہا ہو تب (u, v, w) سے مراد (x, y, z) ہو گا۔

شکل میں عمومی محدد استعمال کرتے ہوئے چھوٹی حجم دکھائی گئی ہے۔ عمومی محدد کے تین اطراف

$$\begin{aligned}\mathrm{d}L_1 &= k_1\,\mathrm{d}u\\ \mathrm{d}L_2 &= k_2\,\mathrm{d}v\\ \mathrm{d}L_3 &= k_3\,\mathrm{d}w\end{aligned}$$

ہیں۔ کارتیسی محدد میں $k_1 = k_2 = k_3 = 1$ کے برابر لیا جائے گا اور یوں $\mathrm{d}L_1 = \mathrm{d}x$ کے برابر ہو گا۔ نلکی محدد میں

$$\begin{aligned}k_1 &= 1\\ k_2 &= \rho\\ k_3 &= 1\end{aligned} \tag{3.38}$$

[20] generalized coordinates

جبکہ کروی محدد میں

$$\begin{aligned} k_1 &= 1 \\ k_2 &= r \\ k_3 &= r\sin\theta \end{aligned} \tag{3.39}$$

کے برابر ہیں۔اسی طرح تین سمتی رقبے

$$\begin{aligned} &\mathrm{d}L_2\,\mathrm{d}L_3\boldsymbol{a}_u \\ &\mathrm{d}L_1\,\mathrm{d}L_3\boldsymbol{a}_v \\ &\mathrm{d}L_1\,\mathrm{d}L_2\boldsymbol{a}_w \end{aligned}$$

ہوں گے۔ 940

گزشتہ حصوں میں چھوٹی حجم کے آمنے سامنے سطحوں پر بہاو حاصل کرتے وقت پہلے ان سطحوں پر $\boldsymbol{D}$ کی قیمت اور ان سطحوں کے رقبے حاصل کئے گئے جن کے نقطہ ضرب سے بہاو حاصل کیا گیا۔یہاں چھوٹی حجم کے وسط میں تین اکائی سمتیات کی سمت میں بہاو سے ٹیلر تسلسل کے استعمال سے حجم کے سطحوں پر بہاو حاصل کیا جائے گا۔حجم کے وسط میں تین اکائی سمتیات کے رخ میں سطحوں پر بہاو

$$\begin{aligned} &\mathrm{d}L_2\,\mathrm{d}L_3D_{u0} \\ &\mathrm{d}L_1\,\mathrm{d}L_3D_{v0} \\ &\mathrm{d}L_1\,\mathrm{d}L_2D_{w0} \end{aligned}$$

ہے۔ٹیلر تسلسل سے سامنے اور پیچھے سطحوں پر ان مساوات سے

$$\begin{aligned} \mathrm{d}L_2\,\mathrm{d}L_3D_{u0} + \frac{1}{2}\frac{\partial}{\partial u}(\mathrm{d}L_2\,\mathrm{d}L_3D_u)\,\mathrm{d}u \quad &\text{سامنے} \\ -\mathrm{d}L_2\,\mathrm{d}L_3D_{u0} + \frac{1}{2}\frac{\partial}{\partial u}(\mathrm{d}L_2\,\mathrm{d}L_3D_u)\,\mathrm{d}u \quad &\text{پیچھے} \end{aligned}$$

یعنی

$$\begin{aligned} k_2k_3\,\mathrm{d}v\,\mathrm{d}wD_{u0} + \frac{1}{2}\frac{\partial}{\partial u}(k_2k_3D_u)\,\mathrm{d}u\,\mathrm{d}v\,\mathrm{d}w \quad &\text{سامنے} \\ -k_2k_3\,\mathrm{d}v\,\mathrm{d}wD_{u0} + \frac{1}{2}\frac{\partial}{\partial u}(k_2k_3D_u)\,\mathrm{d}u\,\mathrm{d}v\,\mathrm{d}w \quad &\text{پیچھے} \end{aligned}$$

لکھتے ہوئے دونوں سطحوں پر بہاو کا مجموعہ

$$\frac{\partial}{\partial u}(k_2k_3D_u)\,\mathrm{d}u\,\mathrm{d}v\,\mathrm{d}w$$

حاصل ہوتا ہے۔اسی طرح بائیں اور دائیں سطحوں پر کل

$$\frac{\partial}{\partial v}(k_1k_3D_v)\,\mathrm{d}u\,\mathrm{d}v\,\mathrm{d}w$$

اور اوپر، نیچے کا مجموعہ

$$\frac{\partial}{\partial w}(k_1k_2D_w)\,\mathrm{d}u\,\mathrm{d}v\,\mathrm{d}w$$

حاصل ہوتا ہے۔چھوٹی حجم

$$\begin{aligned} \mathrm{d}h &= \mathrm{d}L_1\,\mathrm{d}L_2\,\mathrm{d}L_3 \\ &= k_1k_2k_3\,\mathrm{d}u\,\mathrm{d}v\,\mathrm{d}w \end{aligned}$$

لکھتے ہوئے گاؤس کے قانون سے

$$\oint_S \boldsymbol{D}\cdot \mathrm{d}\boldsymbol{S} = \left[\frac{\partial}{\partial u}(k_2k_3D_u) + \frac{\partial}{\partial v}(k_1k_3D_v) + \frac{\partial}{\partial w}(k_1k_2D_w)\right] \mathrm{d}u\,\mathrm{d}v\,\mathrm{d}w$$

یعنی

$$\frac{1}{k_1k_2k_3}\left[\frac{\partial}{\partial u}(k_2k_3D_u) + \frac{\partial}{\partial v}(k_1k_3D_v) + \frac{\partial}{\partial w}(k_1k_2D_w)\right] = \lim_{\mathrm{d}h\to 0}\frac{\oint_S \boldsymbol{D}\cdot \mathrm{d}\boldsymbol{S}}{\mathrm{d}h}$$

حاصل ہوتا ہے۔اس مساوات کا دایاں بازو پھیلاو کی تعریف ہے۔یوں پھیلاو کی عمومی مساوات

$$\nabla\cdot\boldsymbol{D} = \frac{1}{k_1k_2k_3}\left[\frac{\partial}{\partial u}(k_2k_3D_u) + \frac{\partial}{\partial v}(k_1k_3D_v) + \frac{\partial}{\partial w}(k_1k_2D_w)\right] \tag{3.40}$$

حاصل ہوتی ہے۔

مثال 3.3: مساوات 3.40 سے نلکی اور کروی محدد میں پھیلاو کی مساوات حاصل کریں۔

حل: u, v, w کی جگہ ρ, ϕ, z اور مساوات 3.38 کے استعمال سے نلکی محدد میں پھیلاو

$$\begin{aligned}\nabla\cdot\boldsymbol{D} &= \frac{1}{\rho}\left[\frac{\partial}{\partial\rho}(\rho D_\rho) + \frac{\partial}{\partial\phi}(D_\phi) + \frac{\partial}{\partial z}(\rho D_z)\right]\\ &= \frac{1}{\rho}\frac{\partial}{\partial\rho}(\rho D_\rho) + \frac{1}{\rho}\frac{\partial}{\partial\phi}(D_\phi) + \frac{\partial}{\partial z}(D_z) \qquad \text{نلکی محدد میں پھیلاو کی مساوات}\end{aligned} \tag{3.41}$$

حاصل ہوتا ہے۔اسی طرح u, v, w کی جگہ r, θ, ϕ اور مساوات 3.39 کے استعمال سے کروی محدد میں پھیلاو

$$\begin{aligned}\nabla\cdot\boldsymbol{D} &= \frac{1}{r^2\sin\theta}\left[\frac{\partial}{\partial r}(r^2\sin\theta D_r) + \frac{\partial}{\partial\theta}(r\sin\theta D_\theta) + \frac{\partial}{\partial\phi}(rD_\phi)\right]\\ &= \frac{1}{r^2}\frac{\partial}{\partial r}(r^2D_r) + \frac{1}{r\sin\theta}\frac{\partial}{\partial\theta}(\sin\theta D_\theta) + \frac{1}{r\sin\theta}\frac{\partial}{\partial\phi}(D_\phi) \qquad \text{کروی محدد میں پھیلاو کی مساوات}\end{aligned} \tag{3.42}$$

حاصل ہوتا ہے۔

3.11 مسئلہ پھیلاو

صفحہ 77 پر مساوات 3.22 میں

$$\nabla\cdot\boldsymbol{D} = \rho_h$$

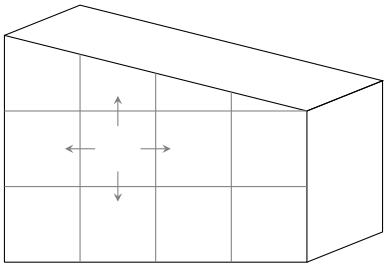

شکل 3.5: بند سطح پر سمتیہ کا عمودی حصے کا تکملہ بند حجم میں سمتیہ کے تکملہ کے برابر ہوتا ہے۔

لکھتے ہوئے

$$\oint_S \boldsymbol{D}\cdot \mathrm{d}\boldsymbol{S} = \int_h \nabla\cdot\boldsymbol{D}\,\mathrm{d}h \tag{3.43}$$

لکھا جا سکتا ہے جو مسئلہ پھیلاو[21] بیان کرتا ہے۔اگرچہ ہم نے اس مسئلے کو برقی بہاو $\boldsymbol{D}$ کے لئے حاصل کیا حقیقت میں یہ ایک عمومی نتیجہ ہے جو کسی بھی تین درجی تکملہ کو دو درجی تکملہ اور دو درجی تکملہ کو تین درجی تکملہ میں تبدیل کرتا ہے۔مسئلہ پھیلاو کو یوں بیان کیا جا سکتا ہے

کسی بھی بند سطح پر سمتیہ کے عمودی حصے کا تکملہ بند حجم میں اسی سمتیہ کے پھیلاو کے تکملہ کے برابر ہوتا ہے۔

مسئلہ پھیلاو کی سمجھ شکل 3.5 کی مدد سے باآسانی ممکن ہے۔جیسے شکل میں دکھایا گیا ہے کہ کسی بھی چھوٹی حجم سے بہاو قریبی چھوٹی حجم کی منفی بہاو ثابت ہوتی ہے لہٰذا دونوں کا مجموعی بہاو حاصل کرتے ہوئے ان کے درمیانی دیوار پر بہاو رد کیا جائے گا۔یہی سلسلہ تمام حجم پر لاگو کرتے ہوئے ظاہر ہے کہ پوری حجم سے بہاو کے حصول میں اندرونی تمام دیواروں پر بہاو کا کوئی کردار نہیں ہوتا اور صرف بیرونی سطح پر بہاو سے ہی جواب حاصل کیا جا سکتا ہے۔

مثال 3.4: نقطہ چارج کے $\boldsymbol{D}$ سے پھیلاو کی مساوات سے مختلف مقامات پر کثافت چارج ρ_h حاصل کریں۔

حل: کروی محدد کے مرکز پر نقطہ چارج کا

$$\boldsymbol{D} = \frac{Q}{4\pi r^2}\boldsymbol{a}_\mathrm{r}$$

ہوتا ہے۔کروی محدد میں پھیلاو کی مساوات کے تحت

$$\nabla\cdot\boldsymbol{D} = \frac{1}{r^2}\frac{\partial}{\partial r}(r^2 D_r) + \frac{1}{r\sin\theta}\frac{\partial}{\partial\theta}(\sin\theta D_\theta) + \frac{1}{r\sin\theta}\frac{\partial}{\partial\phi}(D_\phi)$$

کے برابر ہے۔چونکہ D_θ اور D_ϕ صفر کے برابر ہیں لہٰذا مندرجہ بالا مساوات سے

$$\nabla\cdot\boldsymbol{D} = \frac{1}{r^2}\frac{\partial}{\partial r}(r^2\frac{Q}{4\pi r^2}) = \begin{cases} 0 & r>0 \\ \infty & r=0 \end{cases}$$

حاصل ہوتا ہے جس کے تحت مرکز کے علاوہ تمام خلاء میں کوئی چارج نہیں پایا جاتا۔مرکز پر لامحدود کثافت کا چارج پایا جاتا ہے۔یاد رہے کہ نقطہ چارج سے مراد ایسا چارج ہے جس کا حجم صفر ہو۔ایسی صورت میں اس نقطے پر نقطہ چارج کی کثافت لامحدود ہی ہو گی۔

---

[21] divergence theorem

سوالات

سوال 3.1: محدد کے مرکز پر $20\,\mathrm{nC}$ چارج پایا جاتا ہے۔اس کے علاوہ $z = 0$ سطح پر $5\,\frac{\mathrm{nC}}{\mathrm{m}}$ کے لکیری چارج $y = -1$ اور $y = -3$ پر پائے جاتے ہیں۔نقطہ $(0,-2,0)$ پر $\boldsymbol{D}$ حاصل کریں۔ $(0,1,0)$ پر رداس $r = 1.5$ کے کرہ کی سطح پر کل برقی بہاو حاصل کریں۔

جوابات: $-\frac{5}{4\pi}\boldsymbol{a}_{\mathrm{y}}\,\frac{\mathrm{C}}{\mathrm{m}^2}$ ، $20\,\mathrm{nC}$

سوال 3.2: رداس $\rho = 10\,\mathrm{cm}$ کے نلکی سطح کے $z > 0$ حصے پر سطحی کثافت چارج $\rho_S = 2ze^{-z^2}\,\frac{\mathrm{nC}}{\mathrm{m}^2}$ پائی جاتی ہے۔سطح پر کل چارج دریافت کریں۔اس سطح سے $z = 1$ تا $z = 2$ زاویہ $\phi = 45^\circ$ تا $\phi = 75^\circ$ کتنی برقی بہاو خارج ہوتی ہے۔

جوابات: $0.2\pi\,\mathrm{nC}$ ، $18.3\,\mathrm{pC}$

سوال 3.3: رداس $\rho = 2$ ، $\rho = 4$ اور $\rho = 5$ پر بالترتیب سطحی کثافت چارج $-3\,\frac{\mathrm{nC}}{\mathrm{m}^2}$ ، $1.5\,\frac{\mathrm{nC}}{\mathrm{m}^2}$ اور $0.25\,\frac{\mathrm{nC}}{\mathrm{m}^2}$ پائی جاتی ہے۔ $z = 3$ تا $z = 6$ پر رداس $\rho = 4.5$ نلکی سطح سے کل کتنی برقی بہاو ہوتی ہے۔ $z = 3$ تا $z = 6$ پر رداس $\rho = 6$ نلکی سطح سے کل کتنی برقی بہاو ہوتی ہے۔نقطہ $(6,8,2)$ پر $\boldsymbol{D}$ حاصل کریں۔

$\boldsymbol{D} = 0.09\boldsymbol{a}_{\mathrm{x}} + 0.15\boldsymbol{a}_{\mathrm{y}}\,\frac{\mathrm{nC}}{\mathrm{m}^2}$ ، $28.27\,\mathrm{nC}$ ، $0\,\mathrm{C}$

سوال 3.4: بند خطہ $0 \le x \le 2,\ 0 \le y \le 2,\ 0 \le z \le 2$ میں $\boldsymbol{D} = xy^2\boldsymbol{a}_{\mathrm{x}} + xyz\boldsymbol{a}_{\mathrm{y}} + z(x+y)\boldsymbol{a}_{\mathrm{z}}\,\frac{\mu\mathrm{C}}{\mathrm{m}^2}$ ہے۔اس خطے سے کل برقی بہاو کتنی ہے۔

$28\,\mu\mathrm{C}$

سوال 3.5: محدد z پر لکیری کثافت چارج $50\,\frac{\mathrm{nC}}{\mathrm{m}}$ پایا جاتا ہے۔محدد کے مرکز پر رداس $r = 5\,\mathrm{m}$ کی کرہ سے خارج کل برقی بہاو حاصل کریں۔اگر کرہ کے مرکز کو نقطہ $(0,2,2)$ منتقل کیا جائے تب جواب کیا ہو گا۔

جوابات: $500\,\mathrm{nC}$ ، $458\,\mathrm{nC}$

سوال 3.6: رداس $r = 1.1\,\mathrm{m}$ کی کرہ کے اندر حجمی کثافت چارج $\rho_h = 30e^{-r^3}\,\mathrm{nC/m^3}$ پائی جاتی ہے۔کرہ کے اندر کل چارج حاصل کریں۔گاؤس کے قانون سے کرہ کی سطح پر برقی بہاو کی کثافت حاصل کریں۔

جوابات: $92.46\,\mathrm{nC}$ ، $6.08\,\frac{\mathrm{nC}}{\mathrm{m}^2}$

سوال 3.7: نلکی محدد میں کثافت برقی بہاو $\boldsymbol{D} = \frac{\rho\boldsymbol{a}_\rho + z\boldsymbol{a}_{\mathrm{z}}}{4\pi(\rho^2+z^2)^{3/2}}$ دیا گیا ہے۔لامحدود لمبائی کی نلکی جس کا رداس $\rho = 5$ ہے سے کل کتنی برقی بہاو خارج ہو گی۔

جواب: $1\,\mathrm{C}$

سوال 3.8: مرکز پر رداس 5 ، 9 اور 14 کے کرہ پر بالترتیب سطحی کثافت چارج $20\,\frac{\mu\mathrm{C}}{\mathrm{m}^2}$ ، $-8\,\frac{\mu\mathrm{C}}{\mathrm{m}^2}$ اور $\rho_S\,\frac{\mathrm{C}}{\mathrm{m}^2}$ پائے جاتے ہیں۔نقطہ $(20,0,0)$ پر صفر $\boldsymbol{D}$ حاصل کرنے کے لئے ρ_S دریافت کریں۔تمام خطوں میں D کی مساوات حاصل کریں۔

جوابات: $0.7551\,\frac{\mu C}{m^2}$ ، $r < 5$ پر $D_r = 0$ ہے، $5 < r < 9$ پر $D_r = \frac{500}{r^2}\,\frac{\mu C}{m^2}$ ہے، $9 < r < 14$ پر $D_r = -\frac{148}{r^2}\,\frac{C}{m^2}$ ہے جبکہ $r > 14$ پر $D_r = 0$ ہے۔

سوال 3.9: لامحدود سطح $z = 4$ پر $\rho_S = 2\,\frac{nC}{m^2}$ سطحی کثافت پائی جاتی ہے۔ محدد کے مرکز پر $r = 5$ رداس کا کرہ رکھا جاتا ہے۔ کرہ کتنے چارج کو گھیرے گا۔ کرے سے کتنی برقی بہاو خارج ہو گی۔

جوابات: $56.549\,nC$ ، $56.549\,nC$

سوال 3.10: محدد کے مرکز پر $r = 5$ رداس کا کرہ جبکہ $z = 4$ پر لامحدود سطح پائی جاتی ہے۔ لامحدود سطح کے بالائی جانب کرہ کے اندر حجمی کثافت چارج $\rho_h = 25\,nC/m^3$ پائی جاتی ہے۔ کرہ سے کل خارج برقی بہاو حاصل کریں۔

جواب: $1.1812\,\mu C$

سوال 3.11: خطہ $\rho < 3\,mm$ میں حجمی کثافت چارج $\rho_h = \frac{\rho^2}{1000}\,C/m^3$ جبکہ خطہ $3\,mm < \rho < 5\,mm$ میں $\rho_h = 2\,\mu C/m^3$ پائی جاتی ہے۔ موزوں گاوسی سطحیں چنتے ہوئے رداس $\rho = 0$ ، $\rho = 2\,mm$ ، $\rho = 4\,mm$ اور $6\,mm$ پر D_ρ حاصل کریں۔

جوابات: $0\,\frac{C}{m^2}$ ، $2\,\frac{pC}{m^2}$ ، $1.756\,\frac{nC}{m^2}$ ، $2.67\,\frac{nC}{m^2}$

سوال 3.12: خطہ $r < 3\,mm$ میں $\rho_h = 22\,\mu C/m^3$ جبکہ $5\,mm < r < 7\,mm$ خطے میں $\rho_h = \frac{55}{r}\,nC/m^3$ حجمی کثافت چارج پایا جاتا ہے۔ موزوں گاوسی سطحیں چنتے ہوئے $r = 5\,mm$ اور $r = 10\,mm$ پر D_r دریافت کریں۔

جوابات: $22\,\frac{nC}{m^2}$ ، $8.58\,\frac{nC}{m^2}$

سوال 3.13: تفاعل $\boldsymbol{D} = 2x^2\boldsymbol{a}_x + (x+z)\boldsymbol{a}_y + z\boldsymbol{a}_z$ مکعب $0 < x, y, z, < a$ میں پایا جاتا ہے۔ تفاعل کی پھیلاو $\nabla \cdot \boldsymbol{D}$ حاصل کریں۔ مکعب کے تمام سطحوں پر تفاعل کے سطحی تکمل کا مجموعہ حاصل کرتے ہوئے مکعب میں کل چارج حاصل کریں۔ یہی جواب مسئلہ پھیلاو کی مدد سے حاصل کریں۔

جوابات: $\nabla \cdot \boldsymbol{D} = 4x + 1$ ، $2a^4 + a^3$

سوال 3.14: مکعب $2 < x, y, z < 5$ میں $\boldsymbol{G} = \frac{5x^2y}{z}\boldsymbol{a}_y$ ہے۔ مسئلہ پھیلاو کے دونوں اطراف کو مکعب کے لئے حل کریں۔

جواب: 536.03

سوال 3.15: مندرجہ ذیل تفاعل کے پھیلاو حاصل کرتے ہوئے پھیلاو کی قیمت نقطہ $N(3,4,6)$ پر حاصل کریں۔

$$\boldsymbol{D} = 10(xy - \frac{y}{\sqrt{z}})\boldsymbol{a}_x + y^2(x+2)\boldsymbol{a}_y - (6z^2 + 3x^2y)\boldsymbol{a}_z$$
$$\boldsymbol{D} = 8\rho\sin\phi\boldsymbol{a}_\rho + 4\rho\cos\phi\boldsymbol{a}_\phi + z^2\boldsymbol{a}_z$$
$$\boldsymbol{D} = 2r\sin\theta\cos\phi\boldsymbol{a}_r + r\cos\theta\cos\phi\boldsymbol{a}_\theta + r\cos\phi\boldsymbol{a}_\phi$$

جوابات: $10y + 2y(x+2) - 12z$ ، $12\sin\phi$ ، $6\sin\theta\sin\phi + \frac{\cos 2\theta\sin\phi}{\sin\theta} - \frac{\sin\phi}{\sin\theta}$ ، 80 ، 9.6 ، 2.0486

سوال 3.16: مندرجہ ذیل تفاعل کی پھیلاو نقطہ $N(3,5-2)$ پر حاصل کریں۔

$$\begin{aligned}
\boldsymbol{D} &= (x+yz)(3x\boldsymbol{a}_{\mathrm{x}} - 5z\boldsymbol{a}_{\mathrm{y}} + 2y^2z\boldsymbol{a}_{\mathrm{z}}) \\
\boldsymbol{D} &= \frac{x\boldsymbol{a}_{\mathrm{x}} + y\boldsymbol{a}_{\mathrm{y}} + z\boldsymbol{a}_{\mathrm{z}}}{\sqrt{x^2+y^2+z^2}} \\
\boldsymbol{D} &= 0.24\boldsymbol{a}_{\mathrm{x}} - 0.55\boldsymbol{a}_{\mathrm{y}} + 0.12\boldsymbol{a}_{\mathrm{z}} \\
\boldsymbol{D} &= x^2yz^3(2\boldsymbol{a}_{\mathrm{x}} - 3\boldsymbol{a}_{\mathrm{y}} + \boldsymbol{a}_{\mathrm{z}})
\end{aligned}$$

جوابات: -882 ، 0.324 ، 0 ، 276

سوال 3.17: مندرجہ ذیل تفاعل کی پھیلاو نقطہ $N(3,45^\circ,30^\circ)$ پر حاصل کریں۔

$$\begin{aligned}
\boldsymbol{D} &= (2r\sin\theta\cos\phi + \cos\theta)\boldsymbol{a}_{\mathrm{r}} + (r\cos\theta\cos\phi - \sin\theta)\boldsymbol{a}_\theta - r\sin\phi\boldsymbol{a}_\phi \\
\boldsymbol{D} &= \sin^2\theta\sin\phi\boldsymbol{a}_{\mathrm{r}} + \sin 2\theta\sin\phi\boldsymbol{a}_\theta + \sin\theta\cos\phi\boldsymbol{a}_\phi \\
\boldsymbol{D} &= 0.2\boldsymbol{a}_{\mathrm{r}} - 0.15\boldsymbol{a}_\theta + 0.23\boldsymbol{a}_\phi \\
\boldsymbol{D} &= 0.2r^3\phi\sin^2\theta(\boldsymbol{a}_{\mathrm{r}} + \boldsymbol{a}_\theta + \boldsymbol{a}_\phi)
\end{aligned}$$

جوابات: 4.899 ، 0.1667 ، 0 ، 5.043

سوال 3.18: کارتیسی محدد کے مرکز $(0,0,0)$ پر نقطہ چارج Q سے پیدا $\boldsymbol{D}$ کی عمومی مساوات کارتیسی اور کروی محدد میں حاصل کرتے ہوئے $\boldsymbol{D}$ کی پھیلاو نقطہ $(0,0,0)$ سے ہٹ کر حاصل کریں۔ محدد کے مرکز پر پھیلاو کی قیمت بھی دریافت کریں۔

جوابات: $0\,\frac{\mathrm{C}}{\mathrm{m}^2}$ ، $0\,\frac{\mathrm{C}}{\mathrm{m}^2}$ ، $\infty\,\frac{\mathrm{C}}{\mathrm{m}^2}$

سوال 3.19: z محدد پر لکیری کثافت چارج ρ_L پائی جاتی ہے۔ثابت کریں کہ اس محدد سے ہٹ کر تمام خلاء میں $\nabla\cdot\boldsymbol{D}=0$ کے برابر ہے۔اگر لکیری چارج کی جگہ حجمی کثافت چارج ρ_h خطہ $0<\rho<a$ میں پائی جائے تب پوری خلاء میں $\nabla\cdot\boldsymbol{D}$ کی قیمت کیا ہو گی۔

جوابات: خطہ $0<\rho<a$ میں $\nabla\cdot\boldsymbol{D}=\rho_h$ ہو گا جبکہ بقایا خلاء میں $\nabla\cdot\boldsymbol{D}=0$ ہو گا۔

سوال 3.20: اگر $\boldsymbol{D} = 2x^2\boldsymbol{a}_{\mathrm{x}} + x(z-22)\boldsymbol{a}_{\mathrm{y}} + x^2y^3\boldsymbol{a}_{\mathrm{z}}$ ہو تب حجمی کثافت چارج کی مساوات کیا ہو گی۔مکعب $0 < x,y,z < 2$ میں کل چارج کتنا ہو گا۔

جوابات: $\rho_h = 4x$ ، $32\,\mathrm{C}$

سوال 3.21: نلکی $\rho < 3\,\mathrm{m}$ میں $\boldsymbol{D} = 3\rho\boldsymbol{a}_\rho\,\frac{\mathrm{C}}{\mathrm{m}^2}$ ہے۔نقطہ $(1.5,45^\circ,3)$ پر حجمی کثافت چارج اور کثافت برقی بہاو حاصل کریں۔نلکی $\rho<2.5$، $0<z<2$ سے کل کتنی برقی بہاو کا اخراج ہوتا ہے اور اس نلکی میں کل کتنا چارج پایا جاتا ہے۔

جوابات: $6\,\mathrm{C/m^3}$ ، $4.5\,\frac{\mathrm{C}}{\mathrm{m}^2}$ ، $235.62\,\mathrm{C}$ ، $235.62\mathrm{C}$

سوال 3.22: کرہ $r<4\,\mathrm{m}$ میں کثافت برقی بہاو $3r\boldsymbol{a}_{\mathrm{r}}$ ہے۔نقطہ $(3,30^\circ,70^\circ)$ پر حجمی کثافت چارج اور کثافت برقی بہاو کیا ہوں گے؟ کرہ $r=3\,\mathrm{m}$ سے کل کتنی برقی بہاو کا اخراج ہو گا اور اس کرہ میں کل کتنا چارج پایا جائے گا؟

جوابات: $9\,\mathrm{C/m^3}$ ، $9\,\frac{\mathrm{C}}{\mathrm{m}^2}$ ، $1017.9\,\mathrm{C}$ ، $1017.9\,\mathrm{C}$

سوال 3.23: خطہ $0 \leq x \leq 1$ ، $0 \leq y \leq 1$ ، $0 \leq z \leq 1$ میں $\boldsymbol{G} = (4x - x^2)\boldsymbol{a}_{\mathrm{x}} - 3y^2z^2\boldsymbol{a}_{\mathrm{y}} - (2y^3z^2 - z)\boldsymbol{a}_{\mathrm{z}}$ پر مسئلہ پھیلاو کے دونوں اطراف کے تکمل حاصل کرتے ہوئے ثابت کریں کہ دونوں جوابات برابر ہیں۔

جوابات: 2.5 ، 2.5

سوال 3.24: خطہ $2 \leq r \leq 5$ ، $0 \leq \theta \leq \frac{\pi}{4}$ ، $0 \leq \phi \leq 2\pi$ میں $\boldsymbol{D} = \frac{0.1}{r}\cos\theta\boldsymbol{a}_\theta$ پایا جاتا ہو۔اس خطے میں کل چارج مسئلہ پھیلاو کے دونوں اطراف کی مدد سے حاصل کریں۔

جوابات: 0.942 C ، 0.942 C

باب 4

توانائی اور برقی دباو

4.1 توانائی اور کام

قوت F کی سمت میں فاصلہ $\mathrm{d}L$ طے کرنے سے

$$\mathrm{d}W = F\,\mathrm{d}L$$

کام کیا جاتا ہے۔اگر قوت اور طے کردہ فاصلہ ایک ہی سمت میں نہ ہوں تب قوت کا وہ حصہ جو طے کردہ فاصلے کی سمت میں ہو اور طے شدہ فاصلے کے حاصل ضرب کو کام[1] کہتے ہیں۔شکل 4.1 کو دیکھتے ہوئے سمتیات کے استعمال سے

$$\begin{aligned}\mathrm{d}W &= F\cos\alpha\,\mathrm{d}L\\ &= \boldsymbol{F}\cdot\mathrm{d}\boldsymbol{L}\end{aligned}$$

لکھا جا سکتا ہے جہاں $F\cos\alpha\,\mathrm{d}L$ کو نقطہ ضرب کی مدد سے $\boldsymbol{F}\cdot\mathrm{d}\boldsymbol{L}$ لکھا گیا ہے۔

زمین اور کمیت m کے درمیان قوت ثقل $\boldsymbol{F}_\mathrm{G} = -\frac{GMm}{r^2}\boldsymbol{a}_\mathrm{r}$ پایا جاتا ہے[2] جس میں $\frac{GM}{r^2} = g$ لکھتے ہوئے $\boldsymbol{F}_\mathrm{G} = -mg\boldsymbol{a}_\mathrm{r}$ لکھا جا سکتا ہے۔کام کرتے ہوئے کمیت کو $\Delta h\boldsymbol{a}_\mathrm{r}$ اونچائی پر منتقل کرنے کی خاطر قوت ثقل کے خلاف

$$\boldsymbol{F}_{\text{لاگو}} = -\boldsymbol{F}_\mathrm{G}$$

لاگو کرتے ہوئے

$$\Delta W = \boldsymbol{F}_{\text{لاگو}}\cdot\Delta h\boldsymbol{a}_\mathrm{r} = mg\Delta h$$

---

[1] work

[2] $\boldsymbol{a}_\mathrm{r}$ اکائی سمتیہ ہے۔

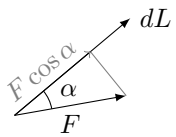

شکل 4.1: طے فاصلہ اور فاصلے کی سمت میں قوت کا حاصل ضرب کام کہلاتا ہے

توانائی درکار ہو گی۔کام کرنے کے لئے درکار توانائی کمیت میں منتقل ہو جاتی ہے جسے مخفی توانائی[3] کہتے ہیں۔اگر Δh کی قیمت r کی نسبت سے بہت کم نہ ہو تب g کو مستقل تصور کرنا ممکن نہ ہو گا اور مخفی توانائی تکملہ کے ذریعہ حاصل کی جائے گی۔

$$W = -\int_{\text{ابتدا}}^{\text{اختتام}} \boldsymbol{F}_G \cdot \mathrm{d}\boldsymbol{r} = \int_{\text{ابتدا}}^{\text{اختتام}} \frac{GMm}{r^2} dr$$

ثقلی میدان میں کمیت کو ابتدائی نقطے سے اختتامی نقطے تک پہنچاتے ہوئے کوئی بھی راستہ اختیار کیا جا سکتا ہے۔اختیار کردہ راستے کا مخفی توانائی پر کسی قسم کا کوئی اثر نہیں ہوتا۔ایسے میدان جن میں دو نقطوں کے مابین مخففی توانائی کا دارومدار، ابتدائی نقطے سے اختتامی نقطے تک پہنچنے کے راستے، پر نہیں ہوتا قائم میدان[4] کہلاتے ہیں۔

برقی میدان میں چارجوں کے حرکت کے مسئلے کو بھی اسی طرح حل کیا جاتا ہے۔برقی میدان $\mathbf{E}$ میں چارج q پر قوت $\boldsymbol{F}_E = q\boldsymbol{E}$ عمل کرتا ہے۔چارج کو فاصلہ $\mathrm{d}\boldsymbol{L}$ ہلانے کی خاطر اس قوت کے خلاف بیرونی

$$\boldsymbol{F}_{\text{لاگو}} = -\boldsymbol{F}_E$$

قوت لاگو کرتے ہوئے

$$\mathrm{d}W = -q\boldsymbol{E} \cdot \mathrm{d}\boldsymbol{L} \tag{4.1}$$

کام[5] کیا جاتا ہے۔کسی بھی ابتدائی نقطے سے اختتامی نقطے تک یوں

$$W = -q\int_{\text{ابتدا}}^{\text{اختتام}} \boldsymbol{E} \cdot \mathrm{d}\boldsymbol{L} \tag{4.2}$$

توانائی درکار ہو گی۔

4.2 لکیری تکملہ

مساوات 4.2 لکیری تکملہ ہے جس پر مزید غور کرتے ہیں۔شکل 4.2 میں یکساں[6] اور وقت کے ساتھ نہ تبدیل ہونے والے میدان $\boldsymbol{E}$ میں نقطہ O سے نقطہ N تک چارج کی منتقلی دکھائی گئی ہے۔یکساں میدان سے مراد ایسا میدان ہے جس میں $\boldsymbol{E}$ کی قیمت جگہ جگہ تبدیل نہیں ہوتی بلکہ اس کی قیمت ہر جگہ یکساں ہوتی ہے۔اسی طرح وقت کے ساتھ تبدیل ہوتے میدان کو وقت کے ساتھ تغیر پذیر میدان کہا جائے گا۔یکساں میدان وقت کے ساتھ غیر تغیر پذیر میدان ہے۔

شکل 4.2 میں پورے راستے کو چھوٹے چھوٹے ٹکڑے $\Delta\boldsymbol{L}_1$، $\Delta\boldsymbol{L}_2$، ... میں تقسیم کرتے ہوئے ایک ایک ٹکڑے پر حرکت کے لئے درکار توانائی مساوات 4.1 کی مدد سے حاصل کی جا سکتی ہے۔یوں $\Delta\boldsymbol{L}_1$ کے ابتدائی نقطے سے اختتامی نقطے تک چارج q منتقل کرنے کی خاطر $\Delta W = -q\boldsymbol{E} \cdot \Delta\boldsymbol{L}_1$ توانائی درکار ہو گی۔یہی عمل راستے کے بقایا ٹکڑوں پر بھی لاگو کرتے ہوئے کل درکار توانائی

$$\begin{aligned} W &= -q\boldsymbol{E} \cdot \Delta\boldsymbol{L}_1 - q\boldsymbol{E} \cdot \Delta\boldsymbol{L}_2 - q\boldsymbol{E} \cdot \Delta\boldsymbol{L}_3 - q\boldsymbol{E} \cdot \Delta\boldsymbol{L}_4 - q\boldsymbol{E} \cdot \Delta\boldsymbol{L}_5 \\ &= -q\boldsymbol{E} \cdot (\Delta\boldsymbol{L}_1 + \Delta\boldsymbol{L}_2 + \Delta\boldsymbol{L}_3 + \Delta\boldsymbol{L}_4 + \Delta\boldsymbol{L}_5) \end{aligned} \tag{4.3}$$

---

[3] potential energy
[4] conservative field
[5] work
[6] uniform

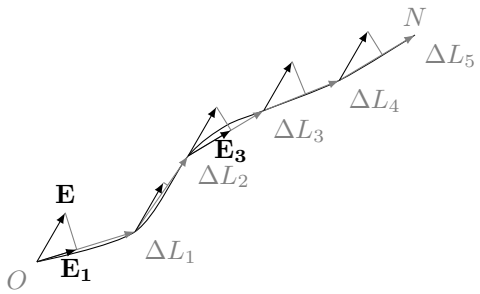

شکل 4.2: تکملہ دراصل چھوٹے حصوں کا مجموعہ ہوتا ہے۔

لکھی جا سکتی ہے۔ قوسین میں بند $\Delta \boldsymbol{L}_1 + \Delta \boldsymbol{L}_2 + \Delta \boldsymbol{L}_3 + \Delta \boldsymbol{L}_4 + \Delta \boldsymbol{L}_5$ درحقیقت نقطہ O سے N تک کا کل سمتی راستہ $\boldsymbol{L}_{ON}$ ہے۔ یوں مندرجہ بالا مساوات کو

$$W = -q\boldsymbol{E} \cdot \boldsymbol{L}_{ON} \tag{4.4}$$

لکھا جا سکتا ہے۔ اگر شکل 4.2 میں منتقلی کے راستے کے نہایت چھوٹے چھوٹے ٹکڑے $\mathrm{d}\boldsymbol{L}$ بنائے جائیں تو مساوات 4.3 کو تکمل کی شکل میں یوں لکھا جا سکتا ہے۔

$$W = \int_O^N -q\boldsymbol{E} \cdot \mathrm{d}\boldsymbol{L} \tag{4.5}$$

چونکہ q اور $\boldsymbol{E}$ کی قیمتیں مستقل ہیں لہٰذا انہیں تکمل کے باہر لکھا جا سکتا ہے۔ ایسا کرتے ہوئے

$$\begin{aligned} W &= -q\boldsymbol{E} \cdot \int_O^N \mathrm{d}\boldsymbol{L} \\ &= -q\boldsymbol{E} \cdot \boldsymbol{L}_{ON} \end{aligned} \tag{4.6}$$

حاصل ہوتا ہے۔ اس جواب سے ہم دیکھتے ہیں کہ درکار توانائی کا دارومدار q، $\boldsymbol{E}$ اور $\boldsymbol{L}_{ON}$ پر ہے جہاں $\boldsymbol{L}_{ON}$ نقطہ O سے نقطہ N تک سیدھی کھینچی لکیر ہے۔ درکار توانائی کا اس سے کسی قسم کا کوئی تعلق نہیں کہ ابتدائی نقطے سے اختتامی نقطے جاتے ہوئے کون سا راستہ اختیار کیا گیا۔ جیسا کہ پہلے ذکر کیا گیا، ایسے میدان کو قدامت پسند میدان کہتے ہیں۔ ہم جلد دیکھیں گے کہ غیر یکساں برقی میدان بھی قدامت پسند میدان ہوتا ہے البتہ تغیر پذیر برقی میدان غیر قدامت پسند ہو سکتا ہے۔

مثال 4.1: غیر یکساں، غیر تغیر پذیر میدان

$$\boldsymbol{E} = (y+z)\boldsymbol{a}_{\mathrm{x}} + (x+z)\boldsymbol{a}_{\mathrm{y}} + (x+y)\boldsymbol{a}_{\mathrm{z}} \quad \frac{\mathrm{V}}{\mathrm{m}}$$

میں $N_1(1,0,2)$ سے $N_2(0,1,2)$ تک سیدھی لکیر پر 0.1 C کا چارج منتقل کرنے کے لئے درکار توانائی حاصل کریں۔

حل: شکل 4.3 میں چارج منتقل کرنے کا سیدھا راستہ دکھایا گیا ہے۔ پہلے اس سیدھی لکیر کا مساوات حاصل کرتے ہیں۔ اس لکیر کا ڈھلوان[7]

$$\text{ڈھلوان} = m = \frac{y_2 - y_1}{x_2 - x_1} = \frac{1-0}{0-1} = -1$$

[7] slope

شکل 4.3: چارج منتقل کرنے کے دو راستے۔

ہے لہٰذا سیدھی لکیر کی مساوات $y = mx + c$ میں نقطہ N_1 پُر کرتے ہوئے $0 = -1 \times 1 + c$ سے $c = 1$ حاصل ہوتا ہے۔یوں لکیر کی مساوات

$$y = -x + 1 \tag{4.7}$$

ہے۔کارتیسی محدد میں کسی بھی راستے پر حرکت کرتے ہوئے مساوات 1.3 کے مطابق

$$\mathrm{d}\boldsymbol{L} = \mathrm{d}x\boldsymbol{a}_{\mathrm{x}} + \mathrm{d}y\boldsymbol{a}_{\mathrm{y}} + \mathrm{d}z\boldsymbol{a}_{\mathrm{z}} \tag{4.8}$$

لکھا جاتا ہے۔یوں مساوات 4.2 سے حاصل ہو گا۔

$$\begin{aligned}
W &= -q \int_{\text{ابتدا}}^{\text{اختتام}} \boldsymbol{E} \cdot \mathrm{d}\boldsymbol{L} \\
&= -0.1 \int_{N_1}^{N_2} \left[(y+z)\boldsymbol{a}_{\mathrm{x}} + (x+z)\boldsymbol{a}_{\mathrm{y}} + (x+y)\boldsymbol{a}_{\mathrm{z}}\right] \cdot (\mathrm{d}x\boldsymbol{a}_{\mathrm{x}} + \mathrm{d}y\boldsymbol{a}_{\mathrm{y}} + \mathrm{d}z\boldsymbol{a}_{\mathrm{z}}) \\
&= -0.1 \int_1^0 (y+z)\,\mathrm{d}x - 0.1 \int_0^1 (x+z)\,\mathrm{d}y - 0.1 \int_2^2 (x+y)\,\mathrm{d}z
\end{aligned}$$

آخری قدم پر تکمل کو تین حصوں میں لکھا گیا ہے جہاں پہلے حصے میں تکمل کو x کے ساتھ حاصل کیا گیا ہے جبکہ دوسرے حصے میں تکمل کو y کے ساتھ اور آخری حصے میں اسے z کے ساتھ حاصل کیا گیا ہے۔پہلے حصے میں $(y+z)$ کا تکمل x کے ساتھ ہے لہٰذا $(y+z)$ کو x کی صورت میں لکھنا ہو گا۔منتقلی کے راستے پر $z = 2$ ہے جبکہ مساوات 4.7 میں y کو x کی صورت میں لکھا گیا ہے۔یوں پہلا تکمل

$$\begin{aligned}
-0.1 \int_1^0 [y+z]\,\mathrm{d}x &= -0.1 \int_1^0 [(-x+1)+2]\,\mathrm{d}x \\
&= -0.1 \left(\frac{-x^2}{2} + 3x\right)\Bigg|_1^0 \\
&= 0.25\,\mathrm{J}
\end{aligned}$$

یعنی جاول کے ایک چوتھائی کے برابر حاصل ہوتا ہے۔دوسرا تکمل y کے ساتھ ہے لہٰذا تمام متغیرات y کی صورت میں لکھنے ہوں گے۔سیدھی لکیر کے مساوات سے $x = -y + 1$ لکھا جا سکتا ہے جبکہ پورے راستے پر $z = 2$ کے برابر ہے لہٰذا

$$\begin{aligned}
-0.1 \int_0^1 [x+z]\,\mathrm{d}y &= -0.1 \int_0^1 [(-y+1)+2]\,\mathrm{d}y \\
&= -0.1 \left(\frac{-y^2}{2} + 3y\right)\Bigg|_0^1 \\
&= -0.25\,\mathrm{J}
\end{aligned}$$

ہو گا۔تیسرے تکمل میں ابتدائی اور اختتامی نقطے ایک ہی ہیں لہٰذا یہ تکمل صفر کے برابر ہے۔

$$-0.1 \int_2^2 (x+y)\,\mathrm{d}z = 0\,\mathrm{J}$$

اس طرح کل درکار توانائی تینوں جوابات کا مجموعہ یعنی 0 J ہو گی۔ مثبت جواب کا مطلب یہ ہے کہ چارج کو منتقل کرنے کی خاطر بیرونی لاگو قوت توانائی فراہم کرے گی۔

مثال 4.2: گزشتہ مثال میں سیدھی لکیر پر چارج منتقل کرنے کے لئے درکار توانائی حاصل کرنے کو کہا گیا۔ اس مثال میں شکل 4.3 میں بائیں جانب گول دائرے کے راستے $(1,0,2)$ سے $(0,1,2)$ تک $\boldsymbol{E} = (y+z)\boldsymbol{a}_{\mathrm{x}} + (x+z)\boldsymbol{a}_{\mathrm{y}} + (x+y)\boldsymbol{a}_{\mathrm{z}}\,\frac{\mathrm{V}}{\mathrm{m}}$ میدان میں 0.1 C کے چارج کو منتقل کرنے کی خاطر درکار توانائی حاصل کریں۔ گول دائرے کا راستہ $z = 2$ سطح پر پایا جاتا ہے۔

حل: اکائی رداس کے گول دائرے کی مساوات $x^2 + y^2 = 1^2$ ہے۔ یوں مساوات 4.2 سے حاصل تین تکملوں

$$W = -0.1\int_1^0 (y+z)\,\mathrm{d}x - 0.1\int_0^1 (x+z)\,\mathrm{d}y - 0.1\int_2^2 (x+y)\,\mathrm{d}z$$

میں پہلی تکمل میں $z = 2$ اور $y = \sqrt{1-x^2}$ پُر کرنا ہو گا۔ یاد رہے کہ ربع اول[8] میں x اور y دونوں کی قیمتیں مثبت ہوتی ہیں۔ اس طرح کے تکمل حل کرتے وقت ربع کو مد نظر رکھنا ضروری ہے۔

$$\begin{aligned}
-0.1\int_1^0 (y+z)\,\mathrm{d}x &= -0.1\int_1^0 (\sqrt{1-x^2}+2)\,\mathrm{d}x \\
&= -0.1\,\left(\frac{\sin^{-1}x}{2} + \frac{x\sqrt{1-x^2}}{2} + 2x\right)\Bigg|_1^0 \\
&= -0.025\pi - 0.2
\end{aligned}$$

جاول، دوسرے تکمل میں $z = 2$ ہی رہے گا جبکہ $x = \mp\sqrt{1-y^2}$ میں سے $x = \sqrt{1-y^2}$ کا استعمال ہو گا۔ یوں

$$\begin{aligned}
-0.1\int_0^1 (x+z)\,\mathrm{d}y &= -0.1\int_0^1 (\sqrt{1-y^2}+2)\,\mathrm{d}y \\
&= -0.1\,\left(\frac{\sin^{-1}y}{2} + \frac{y\sqrt{1-y^2}}{2} + 2x\right)\Bigg|_0^1 \\
&= 0.025\pi + 0.2
\end{aligned}$$

جاول حاصل ہوتا ہے۔ تیسرے تکمل میں ابتدائی اور اختتامی نقطے ایک ہی ہیں لہٰذا یہ تکمل صفر کے برابر ہے۔

$$-0.1\int_2^2 (x+y)\,\mathrm{d}z = 0\,\mathrm{J}$$

کل توانائی ان تین جوابات کا مجموعہ یعنی 0 J ہو گا۔

---

[8] first quadrant

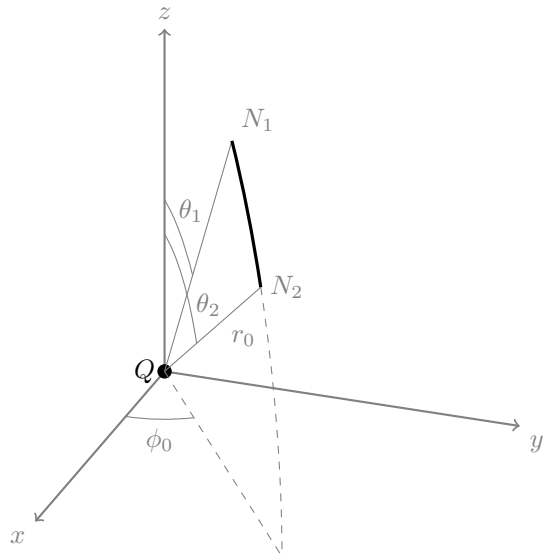

شکل 4.4: نقطہ چارج کے گرد صرف θ تبدیل کرتے ہوئے حرکت کا راستہ

مشق 4.1: گزشتہ دو مثالوں میں ابتدائی نقطہ $(1,0,2)$ اور اختتامی نقطہ $(\frac{1}{\sqrt{2}},\frac{1}{\sqrt{2}},2)$ تصور کرتے ہوئے دوبارہ حل کریں۔

جوابات: $-0.1328\,\mathrm{J}$، $-0.1328\,\mathrm{J}$

محدد کے مرکز پر موجود نقطہ چارج Q کا میدان ہم حاصل کر چکے ہیں جسے یہاں دوبارہ پیش کرتے ہیں۔

$$\boldsymbol{E} = \frac{Q}{4\pi\epsilon_0 r^2}\boldsymbol{a}_\mathrm{r} \tag{4.9}$$

آئیں دیکھیں کہ رداس تبدیل کئے بغیر اس میدان میں چارج q کو حرکت دیتے ہوئے کتنی توانائی درکار ہو گی۔ چونکہ میدان رداس کی سمت میں ہے اور رداس تبدیل کئے بغیر حرکت صرف اُس صورت ممکن ہے کہ ہم $\boldsymbol{a}_\mathrm{r}$ یعنی $\boldsymbol{E}$ کے عمود میں سفر کریں۔ ایسی صورت میں چارج پر میدان سے رونما ہونے والی قوت اور طے فاصلہ عمودی ہوں گے لہٰذا درکار توانائی صفر کے برابر ہو گی۔ آئیں تکمل کے ذریعہ یہی جواب حاصل کریں۔

تصور کریں کہ $\phi = \phi_0$ اور $r = r_0$ رکھتے ہوئے ہم θ کو θ_1 تا θ_2 ریڈیئن تبدیل کرتے ہوئے چارج کو نقطہ N_1 سے N_2 تک حرکت دیتے ہیں۔ یہ صورت حال شکل 4.4 میں دکھائی گئی ہے۔ مساوات 1.3، مساوات 1.44 اور مساوات 1.64 جنہیں یہاں دوبارہ پیش کرتے ہیں

$$\begin{aligned}
\mathrm{d}\boldsymbol{L} &= \mathrm{d}x\boldsymbol{a}_\mathrm{x} + \mathrm{d}y\boldsymbol{a}_\mathrm{y} + \mathrm{d}z\boldsymbol{a}_\mathrm{z}\\
\mathrm{d}\boldsymbol{L} &= \mathrm{d}\rho\boldsymbol{a}_\rho + \rho\,\mathrm{d}\phi\boldsymbol{a}_\phi + \mathrm{d}z\boldsymbol{a}_\mathrm{z}\\
\mathrm{d}\boldsymbol{L} &= \mathrm{d}r\boldsymbol{a}_\mathrm{r} + r\,\mathrm{d}\theta\boldsymbol{a}_\theta + r\sin\theta\,\mathrm{d}\phi\boldsymbol{a}_\phi
\end{aligned} \tag{4.10}$$

کارتیسی، نلکی اور کروی متغیرات تبدیل کرنے سے پیدا چھوٹا فاصلہ $\mathrm{d}\boldsymbol{L}$ دیتے ہیں۔ یوں درکار توانائی

$$\begin{aligned}
W &= -q\int_{\text{ابتدا}}^{\text{اختتام}} \boldsymbol{E}\cdot\mathrm{d}\boldsymbol{L}\\
&= -q\int_{r_0,\theta_1,\phi_0}^{r_0,\theta_2,\phi_0} \frac{Q}{4\pi\epsilon_0 r^2}\boldsymbol{a}_\mathrm{r}\cdot(\mathrm{d}r\boldsymbol{a}_\mathrm{r} + r\,\mathrm{d}\theta\boldsymbol{a}_\theta + r\sin\theta\,\mathrm{d}\phi\boldsymbol{a}_\phi)\\
&= -q\int_{r_0}^{r_0}\frac{Q\,\mathrm{d}r}{4\pi\epsilon_0 r^2}\\
&= 0
\end{aligned}$$

صفر ہی حاصل ہوتی ہے۔ یہاں دوسرے قدم پر $\boldsymbol{a}_\mathrm{r} \cdot \boldsymbol{a}_\mathrm{r} = 1$ کے علاوہ $\boldsymbol{a}_\mathrm{r} \cdot \boldsymbol{a}_\theta = 0$ اور $\boldsymbol{a}_\mathrm{r} \cdot \boldsymbol{a}_\phi = 0$ کا استعمال کیا گیا۔

اس کے برعکس اگر نقطہ (r_1, θ_1, ϕ_1) تا نقطہ (r_2, θ_2, ϕ_2) چارج کو حرکت دی جائے تب

$$\begin{aligned}
W &= -q \int_{r_1,\theta_1,\phi_1}^{r_2,\theta_2,\phi_2} \frac{Q}{4\pi\epsilon_0 r^2} \boldsymbol{a}_\mathrm{r} \cdot (\mathrm{d}r \boldsymbol{a}_\mathrm{r} + r\,\mathrm{d}\theta \boldsymbol{a}_\theta + r \sin\theta\,\mathrm{d}\phi \boldsymbol{a}_\phi) \\
&= -q \int_{r_1}^{r_2} \frac{Q\,\mathrm{d}r}{4\pi\epsilon_0 r^2} \\
&= \frac{qQ}{4\pi\epsilon_0} \left(\frac{1}{r_2} - \frac{1}{r_1} \right)
\end{aligned}$$

ہو گا۔ یوں $r_1 > r_2$ کی صورت میں جواب مثبت ہو گا اور چارج کو ابتدائی نقطے سے اختتامی نقطے منتقل کرنے کے خاطر بیرونی توانائی درکار ہو گی جبکہ $r_2 > r_1$ کی صورت میں جواب منفی حاصل ہوتا ہے لہٰذا چارج کے حرکت سے ہمیں توانائی حاصل ہو گی۔

مشق 4.2: میدان $\boldsymbol{E} = 3x^2yz^2\boldsymbol{a}_\mathrm{x} + x^3z^2\boldsymbol{a}_\mathrm{y} + 2x^3yz\boldsymbol{a}_\mathrm{z}\ \frac{\mathrm{V}}{\mathrm{m}}$ میں محدد کے مرکز $(0,0,0)$ سے نقطہ $(2,3,5)$ تک دو کولمب کا چارج مندرجہ ذیل راستوں منتقل کرنے کے لئے درکار توانائی حاصل کریں۔

- دو نقطوں کے مابین سیدھی لکیر۔
- ایسا راستہ جس پر $y = \frac{3}{4}x^2$ اور $z = \frac{x}{2} + x^2$ ہوں۔

جوابات: سیدھی لکیر پر $y = \frac{3}{2}x$ اور $z = \frac{5}{2}x$ لکھا جائے گا۔ جوابات کے مطابق توانائی درکار نہیں بلکہ حاصل ہو گی۔ $-1200\,\mathrm{J}$، $-1200\,\mathrm{J}$

4.3 برقی دباو

چارج q کے منتقلی کے لئے درکار توانائی سے زیادہ اہم اکائی چارج کے منتقلی کے لئے درکار توانائی ہے۔ اس توانائی کو برقی دباو[9] کہتے ہیں۔ برقی دباو کے اکائی $\mathrm{J/C}$ کو وولٹ[10] کا نام دیا گیا ہے جسے V سے ظاہر کیا جاتا ہے۔ چونکہ توانائی غیر سمتی یعنی مقداری ہے لہٰذا برقی دباو بھی مقداری ہے۔ مساوات 4.2 سے برقی دباو یوں حاصل ہوتا ہے

$$V_{AB} = \frac{W}{q} = -\int_B^A \boldsymbol{E} \cdot \mathrm{d}\boldsymbol{L} \tag{4.11}$$

جہاں ابتدائی نقطے کو B، اختتامی نقطے کو A اور حاصل جواب کو V_{AB} لکھا گیا ہے۔ V_{AB} لکھتے ہوئے زیر نوشت میں پہلے اختتامی نقطہ A اور بعد میں ابتدائی نقطہ B لکھا گیا ہے۔ مساوات 4.6 میں فاصلہ $\boldsymbol{L}_{ON}$ لکھتے ہوئے زیر نوشت میں ابتدائی نقطہ O پہلے اور اختتامی نقطہ N بعد میں لکھا گیا۔ برقی دباو V_{AB} لکھتے ہوئے اس فرق کو مد نظر رکھنا ہو گا۔

---

[9] voltage
[10] volt

برقی دباو دو نقطوں کے مابین ناپی جاتی ہے۔کسی نقطے کی حتمی برقی دباو معنی نہیں رکھتی۔برقی دباو بالکل اونچائی کے مترادف ہے۔یوں کسی پہاڑی کے قریب کھڑے ہو کر اگر اس کی اونچائی تین سو میٹر ناپی جائے تو اسی پہاڑی کی اونچائی سطح سمندر سے ناپتے ہوئے سات سو میٹر حاصل ہو سکتی ہے۔آپ دیکھ سکتے ہیں کہ اونچائی ناپتے ہوئے نقطہ حوالہ[11]، جہاں کی نسبت سے اونچائی ناپی جائے، نہایت اہمیت کا حامل ہے۔نقطہ حوالہ کی اونچائی صفر تصور کی جاتی ہے۔دو یا دو سے زیادہ عمارتوں کی اونچائی کا موازنہ کرتے وقت ان تمام عمارتوں کی اونچائی پہلے کسی ایک نقطے سے ناپی جاتی ہے۔یہ نقطہ عموماً زمین کی سطح ہوتی ہے۔اس کے برعکس مختلف شہروں یا پہاڑیوں کی اونچائی عموماً سطح سمندر سے ناپی جاتی ہے۔اگر تمام افراد کسی ایک نقطہ حوالہ پر اتفاق کریں تب اس نقطے کی نسبت سے کسی مقام کی اونچائی کو اس مقام کی حتمی اونچائی تصور کی جاتی ہے۔بالکل اسی طرح مختلف نقطوں کے برقی دباو کا موازنہ کرتے ہوئے ان تمام نقطوں کی برقی دباو کسی ایک نقطے کی نسبت سے ناپے جائیں گے۔ایسے نقطے کو برقی زمین[12]، کہا جاتا ہے جہاں برقی زمین کو صفر برقی دباو پر تصور کیا جاتا ہے۔عموماً کرہ ارض کی سطح کو ہی برقی زمین تصور کیا جاتا ہے۔

موٹر گاڑی میں نسب بیٹری کے مثبت سرے کی برقی دباو، بیٹری کے منفی سرے کی نسبت سے ناپنا زیادہ مطلب آمیز ہو گا جبکہ گھریلو برقی دباو مہیا کردہ ٹھنڈی اور گرم تار کے مابین ناپنا مطلب رکھتا ہے۔کبھی کبھار برقی دباو ناپنا نسبتاً مشکل ہوتا ہے، مثلاً کرہ ارض کی برقی دباو کو کس نقطہ حوالہ سے ناپا جائے گا۔طبیعیات کے میدان میں عموماً ایسے ہی مسئلے درپیش آتے ہیں جہاں نقطہ حوالہ تعین کرنا دشوار ہوتا ہے۔ایسی صورت میں نقطہ حوالہ کو لامحدود فاصلے پر تصور کیا جاتا ہے اور نقطہ A کے برقی دباؤ کو V_A لکھا جاتا ہے۔یوں لامحدود فاصلے سے اکائی چارج کو کرہ ارض تک لانے کے لئے درکار توانائی دریافت کرتے ہوئے کرہ ارض کی برقی دباو حاصل کی جائے گی۔

ہمہ محوری تار کے مسائل پر غور کرتے ہوئے عموماً اس کی بیرونی نلکی سطح کو نقطہ حوالہ لیا جاتا ہے۔اسی طرح کروی تناسب رکھنے والے سطحوں کے مابین برقی دباو حاصل کرتے وقت ان میں کسی ایک سطح کو حوالہ سطح چنا جائے گا۔

اگر نقطہ A کی برقی دباو V_A جبکہ نقطہ B کی برقی دباو V_B ہو تب ان کے مابین برقی دباو

$$V_{AB} = V_A - V_B \tag{4.12}$$

ہو گا جہاں نقطہ B کو نقطہ حوالہ تصور کیا گیا ہے۔یہ مساوات صرف اور صرف اسی صورت درست ہو گی جب V_A اور V_B از خود ایک ہی نقطہ حوالہ سے ناپے گئے ہوں۔

4.3.1 نقطہ چارج کا برقی دباو

شکل 4.5 میں خالی خلاء میں کروی محدد کے مرکز پر پائے جانے والے چارج Q کے میدان میں کسی بھی راستے پر q کولمب کے پیمائشی چارج کو نقطہ B سے نقطہ A لانا دکھایا گیا ہے۔Q سے r فاصلے پر اس راستے کے چھوٹی لمبائی $\mathrm{d}\boldsymbol{L}$ پر اوسط برقی میدان $\boldsymbol{E} = \frac{Q}{4\pi\epsilon_0 r^2}\boldsymbol{a}_\mathrm{r}$ ہو گا۔یوں اتنا راستہ طے کرنے کے لئے

$$\begin{aligned}
\mathrm{d}W &= -q\boldsymbol{E}\cdot\mathrm{d}\boldsymbol{L}\\
&= -q\left(\frac{Q}{4\pi\epsilon_0 r^2}\boldsymbol{a}_\mathrm{r}\right)\cdot\left(\mathrm{d}r\boldsymbol{a}_\mathrm{r} + r\,\mathrm{d}\theta\boldsymbol{a}_\theta + r\sin\theta\,\mathrm{d}\phi\boldsymbol{a}_\phi\right)\\
&= -\frac{qQ\,\mathrm{d}r}{4\pi\epsilon_0 r^2}
\end{aligned}$$

توانائی درکار ہو گی۔اس طرح پورا راستہ طے کرنے کے لئے

$$W = -\int_{r_B}^{r_A}\frac{qQ\,\mathrm{d}r}{4\pi\epsilon_0 r^2} = \left.\frac{qQ}{4\pi\epsilon_0 r}\right|_{r_B}^{r_A} = \frac{qQ}{4\pi\epsilon_0}\left(\frac{1}{r_A} - \frac{1}{r_B}\right)$$

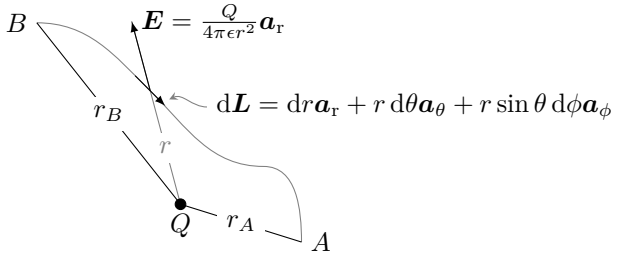

شکل 4.5: نقطہ چارج کی برقی دباو۔

توانائی درکار ہو گی جس سے ان دو نقطوں کے مابین برقی دباو $V_{AB} = \frac{W}{q}$ یوں حاصل ہوتا ہے۔

$$V_{AB} = \frac{Q}{4\pi\epsilon_0}\left(\frac{1}{r_A} - \frac{1}{r_B}\right) \tag{4.13}$$

اس مساوات سے صاف ظاہر ہے کہ نقطہ چارج Q کے میدان میں دو نقطوں کے مابین برقی دباو کا انحصار چارج سے نقطوں کے فاصلوں r_A اور r_B پر ہے نا کہ ایک نقطے سے دوسرے نقطے تک پہنچنے کے راستے پر۔یوں نقطہ B کے حوالے سے نقطہ A پر برقی دباو مساوات 4.13 سے حاصل ہوتا ہے۔اگر نقطہ B کو لامحدود فاصلے پر رکھا جائے یعنی اگر $r_B = \infty$ لیا جائے تب $\frac{1}{\infty} = 0$ ہونے کی وجہ سے یہ مساوات

$$V_A = \frac{Q}{4\pi\epsilon_0 r_A} \tag{4.14}$$

صورت اختیار کر لیتی ہے۔اگر ہم حوالہ نقطہ کے لامحدود فاصلے پر ہونے پہ اتفاق کریں تو ایسی صورت میں $\frac{Q}{4\pi\epsilon_0 r_A}$ کو نقطہ A کی حتمی برقی دباو تصور کیا جا سکتا ہے جسے V_A لکھا جاتا ہے۔نقطہ حوالے کو لامحدود فاصلے پر رکھنے کا مطلب ہے کہ برقی زمین لامحدود فاصلے پر ہے۔نقطہ حوالہ پر اتفاق کے بعد برقی دباو کی بات کرتے ہوئے بار بار برقی زمین کی نشاندہی کرنا ضروری نہیں لہٰذا برقی دباو لکھتے ہوئے زیر نوشت میں B لکھنے سے گریز کیا جاتا ہے اور اسے صرف V_A لکھا جاتا ہے۔مساوات 4.14 نقطہ A کی حتمی برقی دباو دیتا ہے جو Q سے r_A فاصلے پر ہے۔یہ نقطہ کوئی بھی نقطہ ہو سکتا ہے لہٰذا اسے r_A فاصلے پر نقطہ A کی بجائے r فاصلے پر نقطہ کہا جا سکتا ہے۔ایسی صورت میں مساوات 4.14 کو یوں لکھا جا سکتا ہے

$$V = \frac{Q}{4\pi\epsilon_0 r} \tag{4.15}$$

جو کروی محدد کے مرکز پر پائے جانے والے نقطہ چارج Q سے r فاصلے پر برقی دباو V دیتا ہے جہاں نقطہ حوالہ لامحدود فاصلے پر ہے۔

برقی دباو مقداری ہے لہٰذا مساوات 4.15 میں اکائی سمتیات نہیں پائے جاتے۔

ایسی سطح جس پر حرکت کرنے سے برقی دباو تبدیل نہ ہو کو **ہم قوہ سطح**[13] کہتے ہیں۔مساوات 4.15 کے مطابق کروی محدد کے مرکز پر نقطہ چارج کے گرد کسی بھی رداس کا کرہ ہم قوہ سطح ہو گی۔ایسی سطح پر حرکت کرنے کی خاطر کسی توانائی کی ضرورت نہیں ہوتی۔

4.3.2 لکیری چارج کثافت سے پیدا برقی دباو

z محدد پر لامحدود لمبائی کے لکیری چارج کثافت کا میدان صفحہ 75 پر مساوات 3.15

$$\boldsymbol{E}_\rho = \frac{\rho_L}{2\pi\epsilon_0\rho}\boldsymbol{a}_\rho$$

---

reference point[11]
electrical ground[12]
equipotential surface[13]

دیتا ہے۔اس میدان میں ρ_0 اور ρ_1 سطحوں کے مابین

$$V = -\int_{\rho_0}^{\rho_1} \frac{\rho_L \, \mathrm{d}\rho}{2\pi\epsilon_0\rho} = \frac{\rho_L}{2\pi\epsilon_0} \ln \frac{\rho_0}{\rho_1} \tag{4.16}$$

برقی دباو پایا جائے گا۔

4.3.3 ہم محوری تار کا برقی دباو

ہم محوری تار میں اندرونی اور بیرونی تاروں کے درمیانی جگہ پر برقی میدان صفحہ 75 پر مساوات 3.16 میں دیا گیا ہے جسے $\boldsymbol{D} = \epsilon \boldsymbol{E}$ کے استعمال سے

$$\boldsymbol{E} = \frac{\rho_L}{2\pi\epsilon\rho} \boldsymbol{a}_\rho \tag{4.17}$$

لکھا جا سکتا ہے جہاں اندرونی تار پر ρ_L لکیری چارج کثافت پایا جاتا ہے۔اندرونی تار کے اکائی لمبائی پر $+Q$ جبکہ بیرونی تار کے اکائی لمبائی پر $-Q$ چارج پایا جاتا ہے۔بیرونی تار کو برقی زمین تصور کرتے ہوئے اندرونی تار پر برقی دباو

$$V = -\int_{\rho_2}^{\rho_1} \frac{\rho_L}{2\pi\epsilon\rho} \boldsymbol{a}_\rho \cdot \mathrm{d}\rho \boldsymbol{a}_\rho = -\frac{\rho_L}{2\pi\epsilon} \ln \frac{\rho_1}{\rho_2}$$

یعنی

$$V = \frac{\rho_L}{2\pi\epsilon} \ln \frac{\rho_2}{\rho_1} \tag{4.18}$$

ہو گا جہاں اندرونی تار کا رداس ρ_1 اور بیرونی تار کا رداس ρ_2 ہے۔

4.4 متعدد نقطہ چارجوں کی برقی دباو

شکل 4.6-الف میں چارج Q_1 اور Q_2 کے برقی میدان میں B سے A تک پیمائشی چارج q کی حرکت دکھائی گئی ہے۔Q_1 کو کروی محدد کے مرکز پر تصور کرتے ہوئے، B سے A تک راستے پر کسی بھی نقطہ N پر اس کا میدان $\boldsymbol{E}_1 = \frac{Q_1}{4\pi\epsilon_0 r_1^2} \boldsymbol{a}_{\mathrm{r}1}$ لکھا جا سکتا ہے جہاں r_1 مرکز سے N تک کا فاصلہ ہے۔اسی طرح Q_2 کو ایک اور کروی محدد کے مرکز پر تصور کرتے ہوئے نقطے N پر اس کا میدان $\boldsymbol{E}_2 = \frac{Q_2}{4\pi\epsilon_0 r_2^2} \boldsymbol{a}_{\mathrm{r}2}$ لکھا جا سکتا ہے جہاں r_2 اس محدد کے مرکز سے N تک کا فاصلہ ہے۔شکل-الف میں B سے A تک راستے پہ نقطہ N پر Q_1 اور Q_2 کے میدان $\boldsymbol{E}_1$ اور $\boldsymbol{E}_2$ دکھائے گئے ہیں۔یوں N پر کل میدان $\boldsymbol{E} = \boldsymbol{E}_1 + \boldsymbol{E}_2$ ہو گا۔نقطہ N پر B سے A کے راستے چھوٹی سی لمبائی $\mathrm{d}\boldsymbol{L}$ پر کل میدان یہی ہو گا۔ جس کروی محدد کے مرکز پر Q_1 پایا جاتا ہے اس نظام میں اس چھوٹے فاصلے کو

$$\mathrm{d}\boldsymbol{L} = \mathrm{d}r_1 \boldsymbol{a}_{\mathrm{r}1} + r_1 \, \mathrm{d}\theta_1 \boldsymbol{a}_{\theta 1} + r_1 \sin\theta_1 \, \mathrm{d}\phi_1 \boldsymbol{a}_{\phi_1} \tag{4.19}$$

لکھا جا سکتا ہے جبکہ جس کروی محدد کے مرکز پر Q_2 پایا جاتا ہے اس نظام میں اسی چھوٹے فاصلے کو

$$\mathrm{d}\boldsymbol{L} = \mathrm{d}r_2 \boldsymbol{a}_{\mathrm{r}2} + r_2 \, \mathrm{d}\theta_2 \boldsymbol{a}_{\theta 2} + r_2 \sin\theta_2 \, \mathrm{d}\phi_2 \boldsymbol{a}_{\phi_2} \tag{4.20}$$

لکھا جائے گا۔$\mathrm{d}\boldsymbol{L}$ فاصلہ طے کرنے کی خاطر

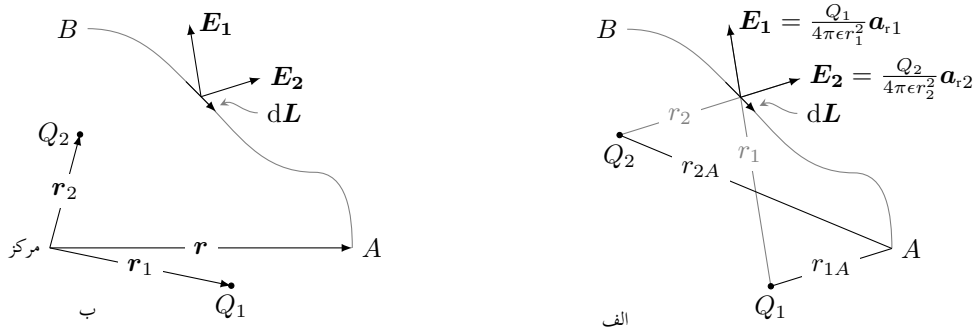

شکل 4.6: دو نقطہ چارج کے میدان میں حتمی برقی دباو۔

$$
\begin{aligned}
\mathrm{d}W &= -q\boldsymbol{E}\cdot\mathrm{d}\boldsymbol{L}\\
&= -q(\boldsymbol{E}_1+\boldsymbol{E}_2)\cdot\mathrm{d}\boldsymbol{L}\\
&- \frac{qQ_1}{4\pi\epsilon_0 r_1^2}\boldsymbol{a}_{\mathrm{r}1}\cdot\mathrm{d}\boldsymbol{L} - \frac{qQ_2}{4\pi\epsilon_0 r_2^2}\boldsymbol{a}_{\mathrm{r}2}\cdot\mathrm{d}\boldsymbol{L}
\end{aligned}
$$

توانائی درکار ہو گی۔اس مساوات میں $\boldsymbol{a}_{\mathrm{r}1}\cdot\mathrm{d}\boldsymbol{L}$ حاصل کرتے وقت $\mathrm{d}\boldsymbol{L}$ کی قیمت مساوات 4.19 سے لیتے ہوئے $\boldsymbol{a}_{\mathrm{r}1}\cdot\mathrm{d}\boldsymbol{L} = \mathrm{d}r_1$ ملتا ہے۔اسی طرح $\boldsymbol{a}_{\mathrm{r}2}\cdot\mathrm{d}\boldsymbol{L}$ حاصل کرتے وقت $\mathrm{d}\boldsymbol{L}$ کی قیمت مساوات 4.20 سے لیتے ہوئے $\boldsymbol{a}_{\mathrm{r}2}\cdot\mathrm{d}\boldsymbol{L} = \mathrm{d}r_2$ ملتا ہے۔ان قیمتوں کے پُر کرنے سے

$$
\mathrm{d}W = -\frac{qQ_1\,\mathrm{d}r_1}{4\pi\epsilon_0 r_1^2} - \frac{qQ_2\,\mathrm{d}r_2}{4\pi\epsilon_0 r_2^2}
$$

حاصل ہوتا ہے۔یوں B سے A تک کا پورا راستہ طے کرنے کی خاطر

$$
\begin{aligned}
W = \int_B^A \mathrm{d}W &= -\frac{qQ_1}{4\pi\epsilon_0}\int_{r_{1B}}^{r_{1A}}\frac{\mathrm{d}r_1}{r_1^2} - \frac{qQ_2}{4\pi\epsilon_0}\int_{r_{2B}}^{r_{2A}}\frac{\mathrm{d}r_2}{r_2^2}\\
&= \frac{qQ_1}{4\pi\epsilon_0}\left(\frac{1}{r_{1A}}-\frac{1}{r_{1B}}\right) + \frac{qQ_2}{4\pi\epsilon_0}\left(\frac{1}{r_{2A}}-\frac{1}{r_{2B}}\right)
\end{aligned}
$$

توانائی درکار ہو گی۔نقطہ B کو لامحدود فاصلے پر لیتے ہوئے یوں نقطہ A پر حتمی برقی دباو

$$
V_A = \frac{W}{q} = \frac{1}{4\pi\epsilon_0}\left(\frac{Q_1}{r_{1A}} + \frac{Q_2}{r_{2A}}\right) \tag{4.21}
$$

حاصل ہوتی ہے۔

مساوات 4.21 میں دائیں ہاتھ پہلا جزو Q_1 کے میدان میں نقطہ A کی حتمی برقی دباو جبکہ دوسرا جزو Q_2 کے میدان میں نقطہ A کی حتمی برقی دباو دیتا ہے۔مساوات 4.21 کے مطابق Q_1 اور Q_2 دونوں کے موجودگی میں نقطہ A کا برقی دباو حاصل کرنے کی خاطر ان دو چارجوں کو باری باری علیحدہ لیتے ہوئے A پر برقی دباو حاصل کیا جاتا ہے اور پھر دونوں برقی دباو کا مجموعہ لیا جاتا ہے۔آپ دیکھ سکتے ہیں کہ یہی طریقہ کار دو سے زیادہ نقطہ چارجوں کے لئے بھی بروئے کار لایا جا سکتا ہے۔یوں کسی بھی نقطے کی برقی دباو حاصل کرتے ہوئے مختلف نقطہ چارجوں کے برقی دباو علیحدہ علیحدہ حاصل کرتے ہوئے انہیں جمع کرتے حاصل کیا جا سکتا ہے۔

اگر کسی کروی محدد کے مرکز سے Q_1 تک کا سمتیہ $\boldsymbol{r}_1$ جبکہ مرکز سے Q_2 تک کا سمتیہ $\boldsymbol{r}_2$ اور مرکز سے نقطہ A تک سمتیہ $\boldsymbol{r}$ ہوں تب نقطہ A کے لئے مساوات 4.21 کو ہم یوں لکھ سکتے ہیں

$$
V_A = \frac{1}{4\pi\epsilon_0}\left(\frac{Q_1}{|\boldsymbol{r}-\boldsymbol{r}_1|} + \frac{Q_2}{|\boldsymbol{r}-\boldsymbol{r}_2|}\right) \tag{4.22}
$$

جہاں Q_1 سے A تک فاصلہ $|\boldsymbol{r}-\boldsymbol{r}_1|$ اور Q_2 سے A تک فاصلہ $|\boldsymbol{r}-\boldsymbol{r}_2|$ ہے۔ یہ صورت حال شکل 4.6-ب میں دکھائی گئی ہے۔ متعدد نقطہ چارجوں کے لئے مساوات 4.22

$$\begin{aligned} V(\boldsymbol{r}) &= \frac{1}{4\pi\epsilon_0}\left(\frac{Q_1}{|\boldsymbol{r}-\boldsymbol{r}_1|}+\frac{Q_2}{|\boldsymbol{r}-\boldsymbol{r}_2|}+\cdots+\frac{Q_n}{|\boldsymbol{r}-\boldsymbol{r}_n|}\right) \\ &= \frac{1}{4\pi\epsilon_0}\sum_{j=1}^{n}\frac{Q_j}{|\boldsymbol{r}-\boldsymbol{r}_j|} \end{aligned} \tag{4.23}$$

لکھی جائے گی جہاں نقطہ A کا مقام زیر نوشت میں A لکھنے کی بجائے $V(\boldsymbol{r})$ میں $\boldsymbol{r}$ سے واضح کیا گیا ہے۔

متغیر حجمی چارج کثافت ρ_h کے چھوٹے حجم Δh میں پائے جانے والے چارج $\Delta Q = \rho_h \Delta h$ کو نقطہ چارج تصور کیا جا سکتا ہے۔ پورے حجم کے n چھوٹے ٹکڑے کرتے ہوئے مساوات 4.23 کو یوں لکھا جا سکتا ہے

$$V(\boldsymbol{r}) = \frac{1}{4\pi\epsilon_0}\left(\frac{\rho_h(\boldsymbol{r}_1)\Delta h_1}{|\boldsymbol{r}-\boldsymbol{r}_1|}+\frac{\rho_h(\boldsymbol{r}_2)\Delta h_2}{|\boldsymbol{r}-\boldsymbol{r}_2|}+\cdots+\frac{\rho_h(\boldsymbol{r}_n)\Delta h_n}{|\boldsymbol{r}-\boldsymbol{r}_n|}\right) \tag{4.24}$$

جہاں $\boldsymbol{r}$ کو کثافت کا آزاد متغیرہ لیتے ہوئے مقام $\boldsymbol{r}_j$ پر کثافت کو $\rho_h(\boldsymbol{r}_j)$ اور چھوٹی حجم کو Δh_j لکھا گیا ہے۔ چھوٹی حجم Δh کو کم سے کم کرتے ہوئے ایسے نقطوں کی تعداد زیادہ سے زیادہ بناتے ہوئے اس مجموعہ سے مندرجہ ذیل حجمی تکمل حاصل ہوتا ہے۔

$$V(\boldsymbol{r}) = \int_{\text{حجم}} \frac{\rho_h(\boldsymbol{r}')\,\mathrm{d}h'}{4\pi\epsilon_0|\boldsymbol{r}-\boldsymbol{r}'|} \tag{4.25}$$

یہاں رک کر مندرجہ بالا مساوات کو دوبارہ دیکھتے ہیں۔ ρ_h حجمی چارج کثافت ہے۔ مقام $\boldsymbol{r}'$ پر چھوٹی حجم $\mathrm{d}h'$ میں تھوڑا سا چارج $\rho_h(\boldsymbol{r}')\,\mathrm{d}h'$ پایا جاتا ہے جسے نقطہ چارج تصور کیا جاتا ہے۔ مساوات 4.25 نقطہ $\boldsymbol{r}$ پر برقی دباو دیتا ہے جہاں برقی زمین کو لامحدود فاصلے پر تصور کیا گیا ہے۔ یوں اکائی چارج کو لامحدود فاصلے سے نقطہ $\boldsymbol{r}$ تک کسی بھی راستے لانے کے لئے اس مساوات سے حاصل $V(\boldsymbol{r})$ برابر توانائی درکار ہو گی۔

اگر حجمی چارج کثافت کی جگہ سطحی چارج کثافت ρ_S یا لکیری چارج کثافت ρ_L پایا جاتا تب مندرجہ بالا مساوات کو

$$V(\boldsymbol{r}) = \int_{\text{سطح}} \frac{\rho_S(\boldsymbol{r}')\,\mathrm{d}S'}{4\pi\epsilon_0|\boldsymbol{r}-\boldsymbol{r}'|} \tag{4.26}$$

$$V(\boldsymbol{r}) = \int_{\text{لکیر}} \frac{\rho_L(\boldsymbol{r}')\,\mathrm{d}L'}{4\pi\epsilon_0|\boldsymbol{r}-\boldsymbol{r}'|} \tag{4.27}$$

لکھتے۔ ان مساوات میں $\mathrm{d}h'$، $\mathrm{d}S'$ اور $\mathrm{d}L'$ غیر سمتی یعنی مقداری ہیں۔ تینوں اقسام کے چارج کثافت پائے جانے کی صورت میں باری باری ہر ایک سے پیدا برقی دباو حاصل کرتے ہوئے ان کا مجموعہ لیا جائے گا۔

مثال 4.3: $z=0$ سطح پر z محدد کے گرد b رداس کے گول دائرے پر ρ_L چارج کثافت پایا جاتا ہے۔ $N(0,0,z)$ پر برقی دباو حاصل کریں۔

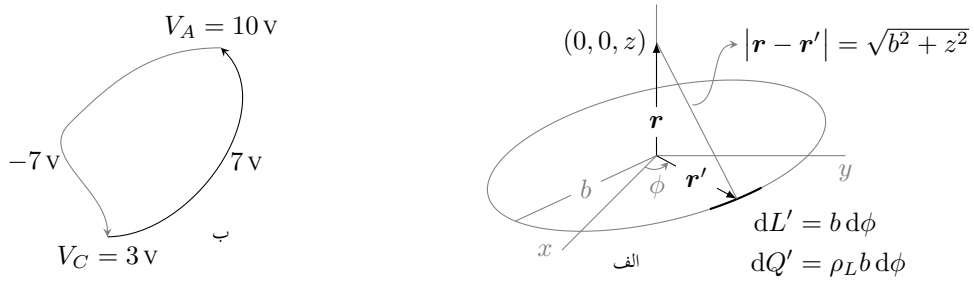

شکل 4.7: (الف) گول دائرے پر لکیری چارج کثافت سے z محدد پر پیدا برقی دباو۔ (ب)بند دائرے کی برقی دباو صفر ہے۔

حل: شکل 4.7-الف میں صورت حال دکھایا گیا ہے۔ $z = 0$ سطح پر کروی نظام کا رداس $\boldsymbol{r}$ اور نلکی محدد کا رداس $\boldsymbol{\rho}$ برابر ہوتے ہیں۔ گول دائرے پہ $\boldsymbol{r}'$ کے مقام پر چھوٹی لکیر $\mathrm{d}L' = b\,\mathrm{d}\phi$ لکھی جا سکتی ہے۔ برقی دباو $\boldsymbol{r}$ پر درکار ہے۔ شکل کو دیکھتے ہوئے مسئلہ فیثاغورث کی مدد سے $|\boldsymbol{r}'-\boldsymbol{r}| = \sqrt{b^2+z^2}$ لکھا جا سکتا ہے۔ یوں مساوات 4.27 استعمال کرتے ہوئے نقطہ $(0,0,z)$ پر

$$V = \int_0^{2\pi} \frac{\rho_L b\,\mathrm{d}\phi}{4\pi\epsilon_0\sqrt{b^2+z^2}} = \frac{\rho_L b}{2\epsilon_0\sqrt{b^2+z^2}}$$

برقی دباو پایا جائے گا۔ گول دائرے کے عین وسط یعنی $(0,0,0)$ پر یوں $\frac{\rho_L}{2\epsilon_0}$ وولٹ کا برقی دباو پایا جائے گا۔

مساوات 4.2 میں B کو لامحدود فاصلے پر لیتے ہوئے کسی بھی دو نقطوں A اور C کے حتمی برقی دباو یوں لکھے جا سکتے ہیں۔

$$V_A = -\int_\infty^A \boldsymbol{E}\cdot\mathrm{d}\boldsymbol{L}$$
$$V_C = -\int_\infty^C \boldsymbol{E}\cdot\mathrm{d}\boldsymbol{L}$$

شکل 4.7-ب میں یہ نقطے دکھائے گئے ہیں۔ اب اگر V_A دس وولٹ جبکہ V_C تین وولٹ کے برابر ہو تب C کے حوالے سے A پر سات وولٹ ہوں گے یعنی $V_{AC} = 7\,\mathrm{V}$ ہو گا۔ اسی طرح A کے حوالے سے C پر منفی سات وولٹ ہوں گے یعنی $V_{CA} = -7\,\mathrm{V}$ ہو گا۔ یوں اگر کسی بھی راستے C سے A جایا جائے تو برقی دباو میں سات وولٹ کا اضافہ ہو گا جبکہ کسی بھی راستے واپس C لوٹنے سے برقی دباو میں سات وولٹ ہی کی کمی رونما ہو گی۔ آپ دیکھ سکتے ہیں کہ کسی بھی نقطے سے شروع ہو کر بند دائرے پر چلتے ہوئے واپس اسی نقطے تک پہنچنے سے برقی دباو میں کل کوئی تبدیلی پیدا نہیں ہو گی۔ اس حقیقت کو یوں لکھا جاتا ہے

$$V_{AC} + V_{CA} = -\int_C^A \boldsymbol{E}\cdot\mathrm{d}\boldsymbol{L} - \int_A^C \boldsymbol{E}\cdot\mathrm{d}\boldsymbol{L} = 0$$

جہاں پہلے C سے A اور پھر A سے واپس C پہنچا گیا۔ بند دائرے کے تکمل کو دو ٹکڑوں میں لکھنے کی بجائے اسے بند تکمل کی شکل میں لکھتے ہوئے اسی مساوات کو یوں بہتر لکھا جا سکتا ہے

$$\oint \boldsymbol{E}\cdot\mathrm{d}\boldsymbol{L} = 0 \tag{4.28}$$

جہاں تکمل کے نشان پر گول دائرہ بند تکمل کو ظاہر کرتا ہے۔

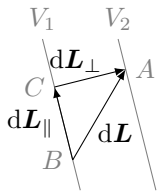

شکل 4.8: برقی دباو کی ڈھلوان برقی میدان ہے۔

مساوات 4.28 کہتا ہے کہ کسی بھی طرح پیدا کئے گئے برقی میدان میں بند دائرے پر پورا چکر لگانے کے لئے صفر توانائی درکار ہوتی ہے۔ حقیقت میں یہ مساوات صرف وقت کے ساتھ نہ تبدیل ہونے والے برقی میدان یعنی ساکن برقی میدان[14] کے لئے درست ہے۔اس کتاب میں وقت کے ساتھ بدلتے میدان پر بعد میں غور کیا جائے گا۔ایسے میدان جس میں بند دائرے پر چلنے کی خاطر کوئی توانائی درکار نہ ہو کو بقائی میدان[15] کہتے ہیں۔ساکن تجاذبی میدان بھی بقائی میدان[16] ہے۔یوں تجاذبی میدان میں پہاڑی کی چوٹی تک پہنچنے سے مخفی توانائی میں جتنا اضافہ پیدا ہو، چوٹی سے واپس اترنے پر مخفی توانائی میں اتنی ہی کمی رونما ہو گی اور یوں آپ کی ابتدائی اور اختتامی مخفی توانائی عین برابر ہوں گے۔

4.5 برقی دباو کی ڈھلوان

شکل 4.8 میں دو انتہائی قریب ہم قوہ سطحیں دکھائی گئی ہیں جن پر V_1 اور V_2 برقی دباو پایا جاتا ہے۔ہم قوہ سطح V_1 پر کسی نقطہ B سے ہم قوہ سطح V_2 پر کسی نقطہ A تک کا سمتی فاصلہ $\mathrm{d}\boldsymbol{L}$ لیتے ہوئے B سے A تک حرکت کرنے سے برقی دباو میں $-\boldsymbol{E}\cdot\mathrm{d}\boldsymbol{L}$ تبدیلی رونما ہو گی جہاں برقی میدان کو $\boldsymbol{E}$ لکھا گیا ہے۔

$$\mathrm{d}V = V_2 - V_1 = -\boldsymbol{E}\cdot\mathrm{d}\boldsymbol{L} \tag{4.29}$$

چھوٹی لمبائی $\mathrm{d}\boldsymbol{L}$ پر برقی میدان کو غیر تغیر پذیر تصور کیا جا سکتا ہے۔چونکہ دو نقطوں کے مابین برقی دباو کا ابتدائی نقطے سے اختتامی نقطے پہنچنے کے راستے پر منحصر نہیں ہوتا لہٰذا ہم B سے C اور پھر A بھی جا سکتے تھے۔B سے C تک فاصلے کو $\mathrm{d}\boldsymbol{L}_\parallel$ جبکہ C سے A تک فاصلے کو $\mathrm{d}\boldsymbol{L}_\perp$ لکھتے ہوئے

$$\mathrm{d}V = -\boldsymbol{E}\cdot(\mathrm{d}\boldsymbol{L}_\parallel + \mathrm{d}\boldsymbol{L}_\perp) \tag{4.30}$$

لکھا جا سکتا ہے۔$\boldsymbol{E}$ کو ہم قوہ سطحہ کے متوازی اور اس کے عمودی اجزاء کی صورت میں یوں لکھا جا سکتا ہے

$$\boldsymbol{E} = \boldsymbol{E}_\parallel + \boldsymbol{E}_\perp \tag{4.31}$$

جس سے

$$\mathrm{d}V = -(\boldsymbol{E}_\parallel + \boldsymbol{E}_\perp)\cdot(\mathrm{d}\boldsymbol{L}_\parallel + \mathrm{d}\boldsymbol{L}_\perp) = -E_\parallel\,\mathrm{d}L_\parallel - E_\perp\,\mathrm{d}L_\perp \tag{4.32}$$

حاصل ہوتا ہے جہاں $\boldsymbol{E}_\parallel$ اور $\mathrm{d}\boldsymbol{L}_\parallel$ کے مابین صفر درجے کا زاویہ ہونے کی بنا پر $\boldsymbol{E}_\parallel\cdot\mathrm{d}\boldsymbol{L}_\parallel = E_\parallel\,\mathrm{d}L_\parallel$ لکھا گیا ہے جبکہ $\boldsymbol{E}_\parallel$ اور $\mathrm{d}\boldsymbol{L}_\perp$ کے مابین نوے درجے کا زاویہ ہونے کی بنا پر $\boldsymbol{E}_\parallel\cdot\mathrm{d}\boldsymbol{L}_\perp = 0$ ہے۔اس مساوات کا پہلا جزو $-E_\parallel\,\mathrm{d}L_\parallel$ نقطہ B اور C کے درمیان برقی دباو دیتا ہے۔ہم قوہ سطح پر ہر جگہ برابر برقی دباو پایا جاتا ہے لہٰذا B اور C کے درمیان کسی قسم کا برقی دباو نہیں پایا جاتا یعنی $-E_\parallel\,\mathrm{d}L_\parallel$ صفر کے برابر ہے۔اب چونکہ $\mathrm{d}L_\parallel$ صفر کے برابر نہیں ہے لہٰذا کسی بھی ہم قوہ سطح پر

$$\boldsymbol{E}_\parallel = 0 \tag{4.33}$$

---

[14] static electric field
[15] conservative field
[16] یہ جملہ لکھنے کے ٹھیک ایک دن بعد نرگس مولولہ اور ان کے ساتھیوں نے تجاذبی موجیں دریافت کیں۔اس دریافت سے پہلے کسی بھی تجاذبی میدان کو بقائی میدان تصور کیا جاتا تھا۔آج سے ہم ساکن تجاذبی میدان کو ہی بقائی میدان کہیں گے۔

ہو گا اور سطح پر صرف اور صرف عمودی برقی میدان پایا جائے گا یعنی

$$\boldsymbol{E} = \boldsymbol{E}_\perp \tag{4.34}$$

یوں

$$\mathrm{d}V = -E_\perp \, \mathrm{d}L_\perp \tag{4.35}$$

لکھا جا سکتا ہے۔ یہ ذہن میں رکھتے ہوئے کہ ہم قوہ سطح پر صرف عمودی میدان پایا جاتا ہے، مندرجہ بالا مساوات میں $\boldsymbol{E}_\perp$ کی جگہ $\boldsymbol{E}$ لکھتے ہیں۔

$$\mathrm{d}V = -E \, \mathrm{d}L_\perp \tag{4.36}$$

اس مساوات سے

$$E = -\frac{\mathrm{d}V}{\mathrm{d}L_\perp} \tag{4.37}$$

حاصل ہوتا ہے جہاں سے ظاہر ہے کہ E درحقیقت V کے ڈھلوان کے برابر مگر الٹ سمت میں ہے۔ یوں

$$\boldsymbol{E} = -\frac{\mathrm{d}V}{\mathrm{d}L_\perp} \tag{4.38}$$

لکھا جا سکتا ہے جہاں $\boldsymbol{a}_N$ ہم قوہ سطح کا عمودی اکائی سمتیہ ہے۔ 1124

کسی نقطہ کو برقی زمین تصور کرتے ہوئے کسی دوسرے نقطے کی برقی دباو کو حتمی برقی دباو تصور کیا جاتا ہے جو نقطے کے مقام پر منحصر ہوتا ہے لہٰذا اسے $V(x,y,z)$ لکھا جا سکتا ہے جہاں برقی دباو کے آزاد متغیرات x، y اور z ہیں۔ کسی بھی قابو متغیرہ کی طرح $V(x,y,z)$ کا تفرق

$$\mathrm{d}V = \frac{\partial V}{\partial x}\,\mathrm{d}x + \frac{\partial V}{\partial y}\,\mathrm{d}y + \frac{\partial V}{\partial z}\,\mathrm{d}z \tag{4.39}$$

لکھا جا سکتا ہے۔ کارتیسی محدد میں کسی بھی برقی دباو کو

$$\boldsymbol{E} = E_x \boldsymbol{a}_\mathrm{x} + E_y \boldsymbol{a}_\mathrm{y} + E_z \boldsymbol{a}_\mathrm{z} \tag{4.40}$$

اور چھوٹی لمبائی کو

$$\mathrm{d}\boldsymbol{L} = \mathrm{d}x \boldsymbol{a}_\mathrm{x} + \mathrm{d}y \boldsymbol{a}_\mathrm{y} + \mathrm{d}z \boldsymbol{a}_\mathrm{z} \tag{4.41}$$

لکھا جا سکتا ہے۔ یہاں آپ صفحہ 5 پر دئے مساوات 1.3 پر دوبارہ نظر ڈال سکتے ہیں۔ مندرجہ بالا تین مساوات کو مساوات 4.29 میں پُر کرتے ہوئے

$$\frac{\partial V}{\partial x}\,\mathrm{d}x + \frac{\partial V}{\partial y}\,\mathrm{d}y + \frac{\partial V}{\partial z}\,\mathrm{d}z = -E_x \,\mathrm{d}x - E_y \,\mathrm{d}y - E_z \,\mathrm{d}z \tag{4.42}$$

حاصل ہوتا ہے۔ y اور z تبدیل کئے بغیر (یعنی $\mathrm{d}y = 0$ اور $\mathrm{d}z = 0$ لیتے ہوئے) x تبدیل کرنے سے اس مساوات کے بائیں اور دائیں ہاتھ کا پہلا جزو یعنی $\frac{\partial V}{\partial x}\,\mathrm{d}x$ اور $-E_x\,\mathrm{d}x$ تبدیل ہوتے ہیں لہٰذا یہ لازم ہے کہ یہ دونوں اجزاء برابر ہوں یعنی $\frac{\partial V}{\partial x}\,\mathrm{d}x = -E_x\,\mathrm{d}x$ جس سے $E_x = -\frac{\partial V}{\partial x}$ حاصل ہوتا ہے۔ اگر $\frac{\partial V}{\partial x}\,\mathrm{d}x$ اور $-E_x\,\mathrm{d}x$ برابر نہ ہوں تب مساوات کے ایک طرف تبدیلی دوسرے طرف کے تبدیلی کے برابر نہیں ہو گی اور یوں مساوات کے دونوں اطراف برابر نہیں رہیں گے۔ اسی طرح صرف y اور صرف z تبدیل کئے جا سکتا ہیں۔ یوں

$$\begin{aligned} E_x &= -\frac{\partial V}{\partial x} \\ E_y &= -\frac{\partial V}{\partial y} \\ E_z &= -\frac{\partial V}{\partial z} \end{aligned} \tag{4.43}$$

لکھا جا سکتا ہے جسے مساوات 4.40 میں پُر کرتے

$$\boldsymbol{E} = -\left(\frac{\partial V}{\partial x}\boldsymbol{a}_{\mathrm{x}} + \frac{\partial V}{\partial y}\boldsymbol{a}_{\mathrm{y}} + \frac{\partial V}{\partial z}\boldsymbol{a}_{\mathrm{z}}\right) \tag{4.44}$$

لکھا جا سکتا ہے۔

اگر ہم

$$\nabla = \frac{\partial}{\partial x}\boldsymbol{a}_{\mathrm{x}} + \frac{\partial}{\partial y}\boldsymbol{a}_{\mathrm{y}} + \frac{\partial}{\partial z}\boldsymbol{a}_{\mathrm{z}} \qquad \text{کارتیسی محدد میں ڈھلوان کی مساوات} \tag{4.45}$$

لکھیں جہاں کسی بھی مقداری f کے لئے ∇f سے مراد $\frac{\partial f}{\partial x}\boldsymbol{a}_{\mathrm{x}} + \frac{\partial f}{\partial y}\boldsymbol{a}_{\mathrm{y}} + \frac{\partial f}{\partial z}\boldsymbol{a}_{\mathrm{z}}$ ہو تب مندرجہ بالا مساوات کو

$$\boldsymbol{E} = -\nabla V \tag{4.46}$$

لکھا جا سکتا ہے۔ ∇V کو برقی دباو کی ڈھلوان[17] پڑھا جاتا ہے۔ مساوات 4.45 کا بایاں ہاتھ ڈھلوان کی علامت جبکہ اس کا دایاں ہاتھ ڈھلوان کے عمل کو ظاہر کرتا ہے۔ اگرچہ ہم نے ڈھلوان کا عمل برقی دباو اور برقی میدان کے لئے حاصل کیا، حقیقت میں یہ عمل سائنس کے دیگر متغیرات کے لئے بھی درست ثابت ہوتا ہے۔ اس کی مقبولیت اسی حقیقت کی وجہ سے ہے کہ یہ جگہ جگہ پیش آتا ہے۔ ڈھلوان کا عمل مقداری پر کیا جاتا ہے جبکہ اس کا حاصل جواب سمتیہ ہوتا ہے۔ صفحہ 82 پر مساوات 3.32 پھیلاو کی تعریف بیان کرتا ہے جہاں پھیلاو کا عمل سمتیہ پر کرتے ہوئے مقداری[18] حاصل کی جاتی ہے۔ پھیلاو کے اس مساوات کو یہاں موازنے کے لئے دوبارہ پیش کرتے ہیں۔

$$\nabla \cdot \boldsymbol{D} = \frac{\partial D_x}{\partial x} + \frac{\partial D_y}{\partial y} + \frac{\partial D_z}{\partial z} \tag{4.47}$$

مشق 4.3: تفاعل $f(x,y,z) = 3 + z^2 e^y \sin x$ کا ڈھلوان حاصل کریں۔

جواب: $z^2 e^y \cos x \boldsymbol{a}_{\mathrm{x}} + z^2 e^y \sin x \boldsymbol{a}_{\mathrm{y}} + 2z e^y \sin x \boldsymbol{a}_{\mathrm{z}}$

مثال 4.4: نقطہ $N_1(x_1,y_1,z_1)$ سے نقطہ $N_2(x_2,y_2,z_2)$ کا سمتی فاصلہ $\boldsymbol{R}_{21} = (x_2-x_1)\boldsymbol{a}_{\mathrm{x}} + (y_2-y_1)\boldsymbol{a}_{\mathrm{y}} + (z_2-z_1)\boldsymbol{a}_{\mathrm{z}}$ ہے جبکہ ان کے مابین فاصلہ $R_{21} = \sqrt{(x_2-x_1)^2 + (y_2-y_1)^2 + (z_2-z_1)^2}$ ہے۔ نقطہ N_2 پر $\frac{1}{R_{21}}$ کی ڈھلوان حاصل کریں۔

حل: نقطہ N_2 پر ڈھلوان حاصل کرتے وقت x_2، y_2 اور z_2 کو متغیرات تصور کیا جاتا ہے جبکہ x_1، y_1 اور z_1 کو اٹل قیمتیں تصور کیا جاتا ہے۔ یوں ڈھلوان کی تعریف

$$\nabla_2 = \frac{\partial}{\partial x_2}\boldsymbol{a}_{\mathrm{x}} + \frac{\partial}{\partial y_2}\boldsymbol{a}_{\mathrm{y}} + \frac{\partial}{\partial z_2}\boldsymbol{a}_{\mathrm{z}}$$

---

[17] gradient

[18] طلباء و طالبات عموماً ڈھلوان کے حاصل جواب کے اکائی سمتیات کو غائب کرتے ہوئے انہیں پھیلاو کے ساتھ منسلک کر لیتے ہیں۔ ایسا کرنے سے گریز کریں۔

لکھی جائے گی جہاں ∇_2 کے زیر نوشت میں 2 یاد دہانی کراتا ہے کہ نقطہ N_2 کے متغیرات ڈھلوان حاصل کرتے ہوئے استعمال کئے جائیں گے۔ڈھلوان کا پہلا جزو

$$\begin{aligned}\frac{\partial}{\partial x_2}\frac{1}{R_{21}} &= \frac{\partial}{\partial x_2}[(x_2-x_1)^2+(y_2-y_1)^2+(z_2-z_1)^2]^{-\frac{1}{2}}\\ &= -\frac{1}{2}[(x_2-x_1)^2+(y_2-y_1)^2+(z_2-z_1)^2]^{-\frac{3}{2}}\left[2(x_2-x_1)\right]\\ &= \frac{-(x_2-x_1)}{[(x_2-x_1)^2+(y_2-y_1)^2+(z_2-z_1)^2]^{\frac{3}{2}}}\end{aligned}$$

یعنی

$$\frac{\partial}{\partial x_2}\frac{1}{R_{21}} = \frac{-(x_2-x_1)}{R_{21}^3}$$

حاصل ہوتا ہے۔بقایا دو اجزاء بھی بالکل اسی طرح حل کرتے ہوئے

$$\nabla_2\frac{1}{R_{21}} = \frac{-(x_2-x_1)\boldsymbol{a}_{\mathrm{x}}-(y_2-y_1)\boldsymbol{a}_{\mathrm{y}}-(z_2-z_1)\boldsymbol{a}_{\mathrm{z}}}{R_{21}^3}$$

یعنی

$$\nabla_2\frac{1}{R_{21}} = -\frac{\boldsymbol{R}_{21}}{R_{21}^3} = -\frac{\boldsymbol{a}_{R21}}{R_{21}^2} \tag{4.48}$$

لکھا جا سکتا ہے۔

مشق 4.4: مندرجہ بالا مساوات میں نقطہ N_2 پر ڈھلوان حاصل کی گئی۔اب آپ نقطہ N_1 پر $\frac{1}{R_{21}}$ کی ڈھلوان حاصل کرتے ہوئے ثابت کریں کہ

$$\nabla_1\frac{1}{R_{21}} = \frac{\boldsymbol{R}_{21}}{R_{21}^3} \tag{4.49}$$

کے برابر ہے۔یوں

$$\nabla_1\frac{1}{R_{21}} = -\nabla_2\frac{1}{R_{21}} \tag{4.50}$$

لکھا جا سکتا ہے۔

4.5.1 نلکی محدد میں ڈھلوان

نلکی محدد میں برقی دباو کے آزاد متغیرات نلکی محدد کے متغیرات ہوں گے اور یوں برقی دباو $V(\rho,\phi,z)$ لکھا جائے گا۔ مساوات 4.39، مساوات 4.40 اور مساوات 4.41 کو نلکی محدد میں یوں لکھ سکتے ہیں

$$\mathrm{d}V = \frac{\partial V}{\partial \rho}\,\mathrm{d}\rho + \frac{\partial V}{\partial \phi}\,\mathrm{d}\phi + \frac{\partial V}{\partial z}\,\mathrm{d}z \tag{4.51}$$

$$\boldsymbol{E} = E_\rho \boldsymbol{a}_\rho + E_\phi \boldsymbol{a}_\phi + E_z \boldsymbol{a}_z \tag{4.52}$$

$$\mathrm{d}\boldsymbol{L} = \mathrm{d}\rho \boldsymbol{a}_\rho + \rho\,\mathrm{d}\phi \boldsymbol{a}_\phi + \mathrm{d}z \boldsymbol{a}_z \tag{4.53}$$

جہاں چھوٹی لمبائی $\mathrm{d}\boldsymbol{L}$ کو صفحہ 27 پر مساوات 1.44 کی مدد سے لکھا گیا ہے۔ مندرجہ بالا تین مساوات کو مساوات 4.29 میں پُر کرتے ہوئے

$$\frac{\partial V}{\partial \rho}\,\mathrm{d}\rho + \frac{\partial V}{\partial \phi}\,\mathrm{d}\phi + \frac{\partial V}{\partial z}\,\mathrm{d}z = -\left(E_\rho\,\mathrm{d}\rho + E_\phi \rho\,\mathrm{d}\phi + E_z\,\mathrm{d}z\right) \tag{4.54}$$

حاصل ہوتا ہے۔ ϕ اور z تبدیل کئے بغیر (یعنی $\mathrm{d}\phi = 0$ اور $\mathrm{d}z = 0$ لیتے ہوئے) ρ تبدیل کرنے سے اس مساوات کے بائیں اور دائیں ہاتھ کا پہلا جزو یعنی $\frac{\partial V}{\partial \rho}\,\mathrm{d}\rho$ اور $-E_\rho\,\mathrm{d}\rho$ تبدیل ہوتے ہیں۔ اگر یہ اجزاء ہر صورت برابر رہیں صرف اور صرف اسی صورت مندرجہ بالا مساوات کے دونوں بازو برابر رہیں گے لہٰذا $-E_\rho\,\mathrm{d}\rho = \frac{\partial V}{\partial \rho}\,\mathrm{d}\rho$ ہو گا جس سے $E_\rho = -\frac{\partial V}{\partial \rho}$ حاصل ہوتا ہے۔ اسی طرح باری باری ϕ اور z تبدیل کرتے ہوئے

$$E_\phi \rho\,\mathrm{d}\phi = -\frac{\partial V}{\partial \phi}\,\mathrm{d}\phi$$
$$E_z\,\mathrm{d}z = -\frac{\partial V}{\partial z}\,\mathrm{d}z$$

لکھے جا سکتے ہیں جس سے E_ϕ اور E_z کے مساوات حاصل ہوتے ہیں۔ ان تمام جوابات کو یکجا کرتے ہیں۔

$$\begin{aligned} E_\rho &= -\frac{\partial V}{\partial \rho} \\ E_\phi &= -\frac{1}{\rho}\frac{\partial V}{\partial \phi} \\ E_z &= -\frac{\partial V}{\partial z} \end{aligned} \tag{4.55}$$

انہیں مساوات 4.52 میں پُر کرتے ہوئے

$$\boldsymbol{E} = -\left(\frac{\partial V}{\partial \rho}\boldsymbol{a}_\rho + \frac{1}{\rho}\frac{\partial V}{\partial \phi}\boldsymbol{a}_\phi + \frac{\partial V}{\partial z}\boldsymbol{a}_z\right) \tag{4.56}$$

حاصل ہوتا ہے۔ اس کو مساوات 4.46 کی شکل میں لکھتے ہوئے نلکی محدد میں ڈھلوان کی مساوات

$$\nabla = \frac{\partial}{\partial \rho}\boldsymbol{a}_\rho + \frac{1}{\rho}\frac{\partial}{\partial \phi}\boldsymbol{a}_\phi + \frac{\partial}{\partial z}\boldsymbol{a}_z \qquad \text{نلکی محدد میں ڈھلوان کی مساوات} \tag{4.57}$$

حاصل ہوتی ہے۔ مساوات 4.45 اور مساوات 4.57 کا موازنہ کریں۔ کارتیسی محدد کی مساوات نسبتاً آسان ہے۔

4.5.2 کروی محدد میں ڈھلوان

صفحہ 33 پر مساوات 1.64 کروی محدد میں چھوٹی لمبائی $\mathrm{d}\boldsymbol{L}$ کی مساوات ہے۔ کروی محدد میں کسی بھی نقطے کے برقی دباو کو $V(r,\theta\phi)$ لکھا جا سکتا ہے جبکہ کسی بھی سمتیہ کی طرح $\boldsymbol{E}$ کو تین عمودی حصوں میں لکھا جا سکتا ہے۔ یوں ہم مساوات 4.39، مساوات 4.40 اور مساوات 4.41 کو کروی محدد میں یوں لکھ سکتے ہیں۔

$$\mathrm{d}V = \frac{\partial V}{\partial r}\,\mathrm{d}r + \frac{\partial V}{\partial \theta}\,\mathrm{d}\theta + \frac{\partial V}{\partial \phi}\,\mathrm{d}\phi \tag{4.58}$$

$$\boldsymbol{E} = E_r\boldsymbol{a}_\mathrm{r} + E_\theta\boldsymbol{a}_\theta + E_\phi\boldsymbol{a}_\phi \tag{4.59}$$

$$\mathrm{d}\boldsymbol{L} = \mathrm{d}r\boldsymbol{a}_\mathrm{r} + r\,\mathrm{d}\theta\boldsymbol{a}_\theta + r\sin\theta\,\mathrm{d}\phi\boldsymbol{a}_\phi \tag{4.60}$$

ان تین مساوات کو مساوات 4.29 میں پُر کرتے ہوئے

$$\frac{\partial V}{\partial r}\,\mathrm{d}r + \frac{\partial V}{\partial \theta}\,\mathrm{d}\theta + \frac{\partial V}{\partial \phi}\,\mathrm{d}\phi = -\left(E_r\,\mathrm{d}r + E_\theta r\,\mathrm{d}\theta + E_\phi r\sin\theta\,\mathrm{d}\phi\right) \tag{4.61}$$

حاصل ہوتا ہے۔ اب اگر ہم صرف r کو تبدیل کریں تب $\mathrm{d}\theta = 0$ اور $\mathrm{d}\phi = 0$ ہوں گے لہٰذا مندرجہ بالا مساوات کے بائیں دائیں بازو کا پہلا جزو یعنی $\frac{\partial V}{\partial r}\,\mathrm{d}r$ اور $-E_r\,\mathrm{d}r$ تبدیل ہوں گے۔ یہ اجزاء بالکل برابر ہونے کی صورت میں ہی مساوات کے دونوں بازو برابر رہیں گے لہٰذا ہم $\frac{\partial V}{\partial r}\,\mathrm{d}r = -E_r\,\mathrm{d}r$ لکھ سکتے ہیں جس سے $E_r = -\frac{\partial V}{\partial r}$ حاصل ہوتا ہے۔ اسی طرح باری باری اور تبدیل کرتے ہوئے مساوات کے دونوں بازو کے اجزاء برابر لکھتے ہوئے

$$\frac{\partial V}{\partial \theta}\,\mathrm{d}\theta = -E_\theta r\,\mathrm{d}\theta$$
$$\frac{\partial V}{\partial \phi}\,\mathrm{d}\phi = -E_\phi r\sin\theta\,\mathrm{d}\phi$$

حاصل ہوتا ہے جس سے E_θ اور E_ϕ کے مساوات حاصل ہوتے ہیں۔ ان تمام جوابات کو یکجا کرتے ہیں۔

$$E_r = -\frac{\partial V}{\partial r}$$
$$E_\theta = -\frac{1}{r}\frac{\partial V}{\partial \theta}$$
$$E_\phi = -\frac{1}{r\sin\theta}\frac{\partial V}{\partial \phi}$$

ان قیمتوں کو مساوات 4.59 میں پُر کرتے ہوئے

$$\boldsymbol{E} = -\left(\frac{\partial V}{\partial r}\boldsymbol{a}_\mathrm{r} + \frac{1}{r}\frac{\partial V}{\partial \theta}\boldsymbol{a}_\theta + \frac{1}{r\sin\theta}\frac{\partial V}{\partial \phi}\boldsymbol{a}_\phi\right) \tag{4.62}$$

لکھا جا سکتا ہے جس سے کروی محدد میں ڈھلوان کی مساوات یوں لکھی جا سکتی ہے۔

$$\nabla = \frac{\partial}{\partial r}\boldsymbol{a}_\mathrm{r} + \frac{1}{r}\frac{\partial}{\partial \theta}\boldsymbol{a}_\theta + \frac{1}{r\sin\theta}\frac{\partial}{\partial \phi}\boldsymbol{a}_\phi \tag{4.63}$$

کروی محدد میں ڈھلوان کی مساوات

مشق 4.5: صفحہ 84 پر حصہ 3.10 میں پھیلاو کی عمومی مساوات کا حصول دکھایا گیا جہاں عمومی محدد کے متغیرات (u, v, w) اور اکائی سمتیات $(\boldsymbol{a}_u, \boldsymbol{a}_v, \boldsymbol{a}_w)$ لئے گئے۔ایسا ہی کرتے ہوئے ڈھلوان کی عمومی مساوات حاصل کریں۔

جواب:

$$\nabla = \frac{1}{K_1}\frac{\partial}{\partial u}\boldsymbol{a}_u + \frac{1}{K_2}\frac{\partial}{\partial v}\boldsymbol{a}_v + \frac{1}{K_3}\frac{\partial}{\partial w}\boldsymbol{a}_w \qquad \text{ڈھلوان کی عمومی مساوات}$$

مثال 4.5: صفحہ 4.15 پر مساوات 4.15 نقطہ چارج کا برقی دباو دیتا ہے۔مساوات 4.62 کے استعمال سے کروی محدد میں $\boldsymbol{E}$ کی مساوات حاصل کریں۔

حل: برقی دباو $V = \frac{Q}{4\pi\epsilon_0 r}$ کروی محدد کے رداس پر منحصر ہے جبکہ θ اور ϕ کا اس میں کوئی کردار نہیں لہٰذا مساوات 4.62 میں $\frac{\partial V}{\partial \theta}$ اور $\frac{\partial V}{\partial \phi}$ صفر کے برابر ہوں گے۔اس طرح $\frac{\partial V}{\partial r}$ لیتے ہوئے $\boldsymbol{E} = \frac{Q}{4\pi\epsilon_0 r^2}\boldsymbol{a}_\mathrm{r}$ حاصل ہوتا ہے۔

یہاں بتلاتا چلوں کہ حقیقی دنیا میں عموماً برقی دباو معلوم ہوتی ہے جس سے برقی میدان کا حصول درکار ہوتا ہے۔اس کی مثال بجلی کی دو تاریں ہو سکتی ہیں جن کے درمیان 220 V پایا جاتا ہے اور جن کے درمیان آپ برقی میدان جاننا چاہتے ہوں۔

4.6 جفت قطب

شکل 4.9-الف میں محدد کے مرکز سے $\frac{d}{2}$ فاصلے پہ z محدد پر ایک جانب $+Q$ اور دوسری جانب $-Q$ نقطہ چارج دکھائے گئے ہیں۔یوں برابر مقدار مگر الٹ علامت کے نقطہ چارجوں کے درمیان d فاصلہ ہے۔ایسی جوڑی چارجوں کو جفت قطب[19] کہا جاتا ہے۔ہمیں جفت قطب سے دور نقطہ N پر برقی میدان اور برقی دباو کی قیمتیں درکار ہیں۔کسی بھی دور نقطے سے یہ دونوں چارج تقریباً مرکز پر دکھائی دیتے ہیں۔دور نقطے سے ایسا نقطہ مراد ہے جہاں مرکز سے نقطے تک کا فاصلہ r جفت قطب چارجوں کے درمیان فاصلہ d سے بہت زیادہ ہو یعنی جب $r \gg d$ ہو۔ہم دیکھ سکتے ہیں کہ r یا θ تبدیل کرنے سے برقی میدان تبدیل ہو گا جبکہ ϕ تبدیل کرنے سے ایسا نہیں ہو گا۔شکل 4.9-الف میں R_1 اور R_2 دونوں r کی جانب جھک کر N پر آ ملتے ہیں۔نقطہ N کو جتنا دور لے جایا جائے اتنی ہی R_1 اور R_2 دونوں r کے متوازی صورت اختیار کرتے ہیں حتٰی کہ آخر کار یہ شکل 4.9-ب کی طرح نظر آتے ہیں۔آئیں اس شکل کی مدد سے دور نقطے پر برقی دباو اور برقی میدان حاصل کریں۔

شکل 4.9-ب میں R_1، R_2 اور r تینوں z محدد کے ساتھ θ زاویہ بناتے ہیں۔چارج $+Q$ سے R_2 پر عمود بناتے ہوئے

$$\begin{aligned} R_2 - R_1 &= d\cos\theta \\ R_1 &= r - \frac{d}{2}\cos\theta \\ R_2 &= r + \frac{d}{2}\cos\theta \end{aligned} \tag{4.64}$$

---

[19] dipole

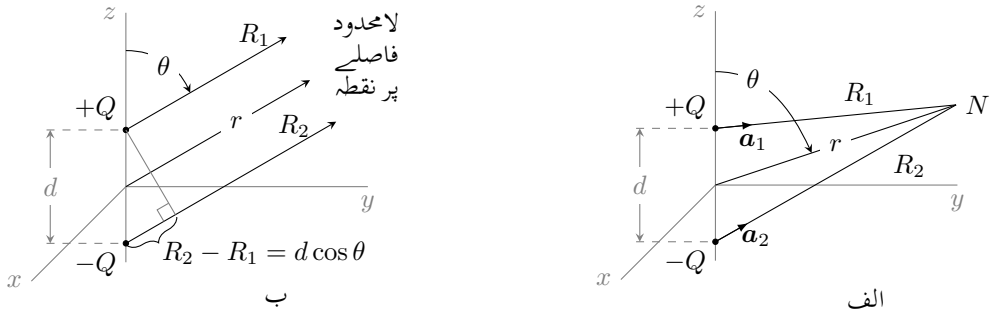

شکل 4.9: جفت قطب

لکھا جا سکتا ہے۔ شکل 4.9-الف میں N پر برقی دباو V مساوات 4.22 کی مدد سے

$$V = \frac{1}{4\pi\epsilon_0}\left(\frac{Q}{R_1} - \frac{Q}{R_2}\right) = \frac{Q}{4\pi\epsilon_0}\left(\frac{R_2 - R_1}{R_1 R_2}\right) \tag{4.65}$$

لکھی جا سکتی ہے۔ مساوات 4.64 کی مدد سے اسے

$$\begin{aligned} V &= \frac{Q}{4\pi\epsilon_0}\frac{d\cos\theta}{(r - \frac{d}{2}\cos\theta)(r + \frac{d}{2}\cos\theta)} \\ &= \frac{Q}{4\pi\epsilon_0}\frac{d\cos\theta}{(r^2 - \frac{d^2}{4}\cos^2\theta)} \\ &= \frac{Q}{4\pi\epsilon_0 r^2}\frac{d\cos\theta}{(1 - \frac{d^2}{4r^2}\cos^2\theta)} \end{aligned}$$

لکھا جا سکتا ہے۔ نیچے قوسین میں $\cos\theta \leq 1$ اور $r \gg d$ کی وجہ سے $1 \gg \frac{d^2}{4r^2}\cos^2\theta$ ہو گا اور یوں $\frac{d^2}{4r^2}\cos^2\theta$ کو نظرانداز کیا جا سکتا ہے۔ یوں

$$V = \frac{Qd\cos\theta}{4\pi\epsilon_0 r^2} \tag{4.66}$$

حاصل ہوتا ہے۔ مساوات 4.62 کو استعمال کرتے ہوئے اس مساوات سے برقی میدان لکھتے ہیں۔

$$\boldsymbol{E} = \frac{Qd}{4\pi\epsilon_0 r^3}\left(2\cos\theta\boldsymbol{a}_\mathrm{r} + \sin\theta\boldsymbol{a}_\theta\right) \tag{4.67}$$

ہم پہلے برقی دباو اور پھر ڈھلوان کی مدد سے برقی میدان حاصل کرنے کے بجائے پہلے برقی میدان اور پھر تکمل استعمال کرتے ہوئے برقی دباو حاصل کر سکتے ہیں البتہ ایسا کرنا اتنا آسان ثابت نہیں ہوتا۔ شوق رکھنے والوں کے لئے مثال 4.6 میں اسی طریقے کو استعمال کرتے ہوئے دور نقطے پر جفت قطب سے پیدا میدان اور برقی دباو حاصل کئے گئے ہیں۔

جفت قطب کا چارج $|Q|$ ضرب چارجوں کے درمیان سمتی فاصلہ $\boldsymbol{d}$ کو معیار اثر جفت قطب[20] کہتے ہیں اور اسے $\boldsymbol{p}$ سے ظاہر کیا جاتا ہے۔ یوں

$$\boldsymbol{p} = Q\boldsymbol{d} \tag{4.68}$$

کے برابر ہے جہاں سمتی فاصلہ منفی چارج سے مثبت چارج کی سمت میں ہوتا ہے لہٰذا شکل 4.9 میں $\boldsymbol{d} = d\boldsymbol{a}_\mathrm{z}$ ہے۔ اس طرح چونکہ $\boldsymbol{a}_\mathrm{z}\cdot\boldsymbol{a}_\mathrm{r} = \cos\theta$ کے برابر ہے لہٰذا یوں ہم مساوات 4.66 کو

$$V = \frac{\boldsymbol{p}\cdot\boldsymbol{a}_\mathrm{r}}{4\pi\epsilon_0 r^2} \tag{4.69}$$

[20] dipole moment

لکھ سکتے ہیں۔اسی مساوات کو مزید یوں بھی لکھا جا سکتا ہے

$$V = \frac{1}{4\pi\epsilon_0|\boldsymbol{r}-\boldsymbol{r}'|^2}\boldsymbol{p}\cdot\frac{\boldsymbol{r}-\boldsymbol{r}'}{|\boldsymbol{r}-\boldsymbol{r}'|} \tag{4.70}$$

جہاں $\boldsymbol{r}$ اس نقطے کی نشاندہی کرتا ہے جہاں برقی دباو حاصل کیا جا رہا ہو جبکہ $\boldsymbol{r}'$ جفت قطب کے مرکز کی نشاندہی کرتا ہے۔یہ مساوات کسی بھی محدد نظام سے آزاد مساوات ہے۔

مساوات 4.66 کے تحت r بڑھانے سے برقی دباو r^2 گنا کم ہوتا ہے۔یاد رہے کہ اکیلے چارج کا برقی دباو ایسی صورت میں r گنا کم ہوتا ہے۔ہمیں تعجب نہیں ہونا چاہیے چونکہ دور سے جفت قطب کے دو چارج نہایت قریب قریب نظر آتے ہیں جس سے مثبت چارج کا اثر منفی چارج کا اثر تقریباً ختم کرتا ہے۔یہی حقیقت مساوات 4.67 میں بھی نظر آتا ہے جہاں r بڑھانے سے $\boldsymbol{E}$ کی قیمت r^3 گنا کم ہوتی ہے۔

جب تک Q ضرب $\boldsymbol{d}$ کی قیمت تبدیل نہ ہو اس وقت تک دور کسی بھی نقطے پر جفت قطب کے اثرات میں کوئی تبدیلی رونما نہیں ہوتی۔یوں Q کو کم یا زیادہ کرتے ہوئے اگر $\boldsymbol{d}$ کو یوں تبدیل کیا جائے کہ $Q\boldsymbol{d}$ تبدیل نہ ہو تو جفت قطب سے دور نقطے پر جفت قطب کے اثرات میں کوئی تبدیلی نہیں پائی جائے گی۔اب اگر ہم $Q\boldsymbol{d}$ کی قیمت محدود رکھتے ہوئے $\boldsymbol{d}$ کو اتنا کم کر دیں کہ اسے صفر تصور کیا جا سکے اور ساتھ ہی ساتھ Q کو اتنا بڑھا دیں کہ اسے لامحدود تصور کیا جا سکے تو ایسی صورت میں ہمیں نقطہ جفت قطب حاصل ہو گا۔

4.6.1 جفت قطب کے سمت بہاو خط

ہم پہلے صفحہ 64 پر حصہ 2.7 میں سمت بہاو خط[21] پر غور کر چکے ہیں۔آئیں جفت قطب کے سمت بہاو خط کھینچنا دیکھیں۔برقی دباو کے سمت بہاو خط مساوات 4.66 کی مدد سے کھینچے جا سکتے ہیں۔اس مساوات میں $\frac{Qd}{4\pi\epsilon_0}$ مستقل ہے جسے ایک کے برابر لیتے ہوئے $V = \frac{\cos\theta}{r^2}$ حاصل ہوتا ہے۔مختلف برقی دباو کی قیمتوں کے لئے اسے کھینچ کر برقی دباو کے سمت بہاو خط حاصل کئے جاتے ہیں۔شکل 4.10 میں $V = 0.2, 0.4, 0.6, 0.8$ کے لئے اس مساوات کے خط دکھائے گئے ہیں۔مساوات 4.65 کے تحت دونوں چارج سے برابر فاصلہ پر $V = 0$ حاصل ہوتا ہے۔یوں $z = 0$ لامحدود سطح پر برقی دباو صفر ہو گا اور یہ بطور برقی زمین کردار ادا کرے گی۔

جفت قطب کے میدان کے سمت بہاو خط مساوات 4.67 کی مدد سے کھینچے جاتے ہیں۔اس مساوات کا پہلا جزو کسی بھی نقطے پر $\boldsymbol{a}_r$ سمت میں میدان E_r دیتا ہے جبکہ اس کا دوسرا جزو اسی نقطے پر $\boldsymbol{a}_\theta$ سمت میں میدان E_θ دیتا ہے۔اس طرح اس نقطے پر ہم

$$\frac{E_r}{E_\theta} = \frac{\mathrm{d}r}{r\,\mathrm{d}\theta} = \frac{2\cos\theta}{\sin\theta}$$

یا

$$\frac{\mathrm{d}r}{r} = \frac{2\cos\theta}{\sin\theta}\,\mathrm{d}\theta$$

لکھ کر تکمل لیتے ہوئے

$$\ln r = 2\ln\sin\theta + \ln M$$

یا

$$r = M\sin^2\theta \tag{4.71}$$

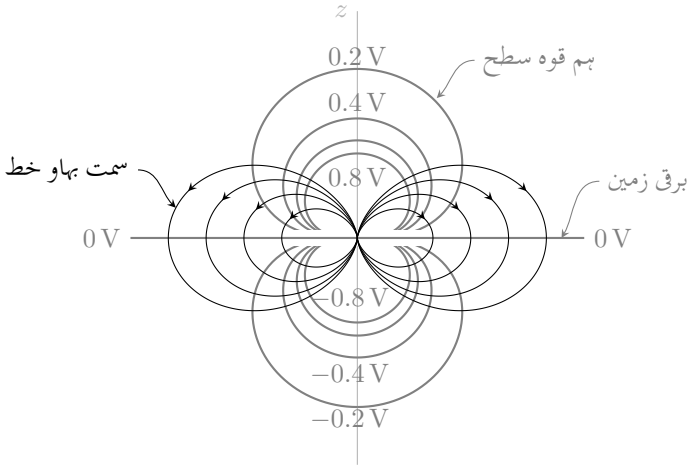

شکل 4.10: جفت قطب کے ہم قوہ اور سمت بہاو خط۔

حاصل کرتے ہیں جہاں $\ln M$ تکمل کا مستقل ہے۔ یہ مساوات جفت قطب کے میدان کے سمت بہاو خط دیتا ہے جنہیں شکل 4.10 میں $M = 1, 1.5, 2, 2.5$ کے لئے کھینچا گیا ہے۔ برقی زمین پر برقی میدان عمودی ہے۔

مثال 4.6: شکل 4.9-الف میں دکھائے گئے جفت قطب سے دور کسی نقطے N پر پہلے برقی میدان اور پھر اس برقی میدان کو استعمال کرتے ہوئے برقی دباو حاصل کریں۔

صفحہ 24 پر مثال 1.8 میں $\boldsymbol{R}_1 = R_1\boldsymbol{a}_1$ اور $\boldsymbol{R}_2 = R_2\boldsymbol{a}_2$ سمتیوں کو کروی نظام میں لکھنا دکھایا گیا ہے۔ انہیں یہاں دوبارہ پیش کرتے ہیں۔

$$\begin{aligned}
\boldsymbol{R}_1 &= (r - \frac{d}{2}\cos\theta)\boldsymbol{a}_\mathrm{r} + \frac{d}{2}\sin\theta\boldsymbol{a}_\theta \\
\boldsymbol{R}_2 &= (r + \frac{d}{2}\cos\theta)\boldsymbol{a}_\mathrm{r} - \frac{d}{2}\sin\theta\boldsymbol{a}_\theta
\end{aligned}$$

جس سے $R_1 = |\boldsymbol{R}_1| = \sqrt{\boldsymbol{R}_1 \cdot \boldsymbol{R}_1}$ حاصل کرتے ہیں۔

$$\begin{aligned}
R_1 &= \sqrt{\left(r - \frac{d}{2}\cos\theta\right)^2 + \left(\frac{d}{2}\sin\theta\boldsymbol{a}_\theta\right)^2} \\
&= r\sqrt{1 - \frac{d}{r}\cos\theta + \frac{d^2}{r^2}} \\
&\approx r\sqrt{1 - \frac{d}{r}\cos\theta} \qquad (d \ll r)
\end{aligned} \tag{4.72}$$

آخری قدم پر $d \ll r$ کی بنا پر $\frac{d^2}{r^2}$ کو رد کیا گیا ہے۔ ہم جانتے ہیں کہ

$$(a+b)^n = a^n + \frac{na^{n-1}b}{1!} + \frac{n(n-1)a^{n-2}b^2}{2!} + \cdots$$

---

[21] streamlines

لکھا جا سکتا ہے۔اگر $a = 1$ اور $b = -\frac{d}{r}\cos\theta$ کے برابر ہوں تب مساوات 4.72 میں دئے R_1 کی طاقت تین کے لئے ہم لکھ سکتے ہیں

$$R_1^3 = r^3(1 - \tfrac{d}{r}\cos\theta)^{\frac{3}{2}} = r^3\left(1 - \tfrac{3d}{2r}\cos\theta + \cdots\right)$$

اس مساوات کے پہلے دو جزو دکھائے گئے ہیں۔اس کے تیسرے جزو میں $\frac{d^3}{r^3}$ چوتھے جزو میں $\frac{d^4}{r^4}$ پائے جاتے ہیں لہٰذا پہلے دو اجزاء کے علاوہ تمام اجزاء کو نظرانداز کیا جا سکتا ہے۔یوں

$$R_1^3 = r^3\left(1 - \frac{3d}{2r}\cos\theta\right) \tag{4.73}$$

صورت اختیار کر لیتا ہے۔یہی عمل R_2^3 کے لئے کرنے سے

$$R_2^3 = r^3\left(1 + \frac{3d}{2r}\cos\theta\right) \tag{4.74}$$

حاصل ہوتا ہے۔صفحہ 44 پر مساوات 2.18 کو استعمال کرتے ہوئے دونوں چارجوں سے کل برقی میدان ان کے علیحدہ علیحدہ میدان کے مجموعہ لے کو یوں لکھا جا سکتا ہے۔

$$\begin{aligned}
\boldsymbol{E} &= \frac{Q}{4\pi\epsilon_0}\frac{\boldsymbol{R}_1}{R_1^3} - \frac{Q}{4\pi\epsilon_0}\frac{\boldsymbol{R}_2}{R_2^3} \\
&= \frac{Q}{4\pi\epsilon_0}\left(\frac{\left[(r - \frac{d}{2}\cos\theta)\boldsymbol{a}_\mathrm{r} + \frac{d}{2}\sin\theta\boldsymbol{a}_\theta\right]}{r^3(1 - \frac{3d}{2r}\cos\theta)} - \frac{\left[(r + \frac{d}{2}\cos\theta)\boldsymbol{a}_\mathrm{r} - \frac{d}{2}\sin\theta\boldsymbol{a}_\theta\right]}{r^3(1 + \frac{3d}{2r}\cos\theta)}\right) \\
&= \frac{Qd}{4\pi\epsilon_0 r^3}\left(\frac{2\cos\theta\boldsymbol{a}_\mathrm{r} + \sin\theta\boldsymbol{a}_\theta}{(1 - \frac{3d}{2r}\cos\theta)(1 + \frac{3d}{2r}\cos\theta)}\right)
\end{aligned}$$

اس مساوات میں کسر کے نچلے حصے کو ضرب دیتے ہوئے $(1 - \frac{9d^2}{4r^2}\cos^2\theta \approx 1)$ لکھا جا سکتا ہے جہاں $\frac{d^2}{r^2}$ والے جزو کو نظرانداز کیا گیا ہے۔یوں

$$\boldsymbol{E} = \frac{Qd}{4\pi\epsilon_0 r^3}(2\cos\theta\boldsymbol{a}_\mathrm{r} + \sin\theta\boldsymbol{a}_\theta) \tag{4.75}$$

حاصل ہوتا ہے جو مساوات 4.67 ہی ہے۔

آئیں اب مساوات 4.75 سے نقطہ $N_0(r,\theta,\phi)$ پر برقی دباو حاصل کریں۔ہم برقی زمین کو لامحدود فاصلے پر رکھتے ہیں۔لامحدود فاصلے پر نقطہ $N_3(\infty,\theta',\phi')$ سے کروی محدد کے مرکز کی جانب سیدھا چلتے ہوئے ہم پہلے $N_2(r,\theta',\phi')$ تک پہنچتے ہیں۔اس کے بعد صرف θ تبدیل کرتے ہوئے ہم $N_1(r,\theta,\phi')$ پہنچیں گے اور آخر کار r اور θ تبدیل کئے بغیر $N_0(r,\theta,\phi)$ پہنچیں گے۔

صفحہ 33 پر مساوات 1.64 کروی محدد میں چھوٹی لمبائی $\mathrm{d}\boldsymbol{L}$ کی مساوات ہے۔اسے یہاں دوبارہ لکھتے ہیں۔

$$\mathrm{d}\boldsymbol{L} = \mathrm{d}r\boldsymbol{a}_\mathrm{r} + r\,\mathrm{d}\theta\boldsymbol{a}_\theta + r\sin\theta\,\mathrm{d}\phi\boldsymbol{a}_\phi \tag{4.76}$$

N_3 سے N_2 تک چلتے ہوئے $\mathrm{d}\theta = 0$ اور $\mathrm{d}\phi = 0$ ہوں گے لہٰذا N_3 کے حوالے سے N_2 پر برقی دباو V_{23}

$$\begin{aligned}
V_{23} &= -\int_{N_3}^{N_2}\boldsymbol{E}\cdot\mathrm{d}\boldsymbol{L} = -\frac{Qd}{4\pi\epsilon_0}\int_{N_3}^{N_2}\frac{(2\cos\theta\boldsymbol{a}_\mathrm{r} + \sin\theta\boldsymbol{a}_\theta)\cdot\mathrm{d}r\boldsymbol{a}_\mathrm{r}}{r^3} \\
&= -\frac{Qd}{4\pi\epsilon_0}\int_{N_3}^{N_2}\frac{2\cos\theta\,\mathrm{d}r}{r^3} = \left.\frac{Qd\cos\theta}{4\pi\epsilon_0 r^2}\right|_{\infty,\theta',\phi'}^{r,\theta',\phi'} = \frac{Qd\cos\theta'}{4\pi\epsilon_0 r^2}
\end{aligned}$$

حاصل ہوتا ہے۔اب N_2 سے N_1 چلتے ہیں۔ہم اس راستے $\mathrm{d}r = 0$ اور $\mathrm{d}\phi = 0$ رکھتے ہیں لہٰذا

$$\begin{aligned} V_{12} &= -\int_{N_2}^{N_1} \boldsymbol{E}\cdot \mathrm{d}\boldsymbol{L} = -\frac{Qd}{4\pi\epsilon_0}\int_{N_2}^{N_1} \frac{(2\cos\theta \boldsymbol{a}_\mathrm{r} + \sin\theta \boldsymbol{a}_\theta)\cdot r\,\mathrm{d}\theta \boldsymbol{a}_\theta}{r^3} \\ &= -\frac{Qd}{4\pi\epsilon_0}\int_{N_2}^{N_1} \frac{\sin\theta\,\mathrm{d}\theta}{r^2} = \frac{Qd}{4\pi\epsilon_0}\frac{\cos\theta}{r^2}\bigg|_{r,\theta',\phi'}^{r,\theta,\phi'} = \frac{Qd}{4\pi\epsilon_0}\frac{(\cos\theta - \cos\theta')}{r^2} \end{aligned}$$

ہو گا۔اب N_1 سے N چلتے ہیں۔اس راستے $\mathrm{d}r = 0$ اور $\mathrm{d}\theta = 0$ رکھے گئے ہیں لہٰذا

$$V_{01} = -\int_{N_1}^{N_0} \boldsymbol{E}\cdot \mathrm{d}\boldsymbol{L} = -\frac{Qd}{4\pi\epsilon_0}\int_{N_1}^{N_0} \frac{(2\cos\theta \boldsymbol{a}_\mathrm{r} + \sin\theta \boldsymbol{a}_\theta)\cdot r\sin\theta\,\mathrm{d}\phi \boldsymbol{a}_\phi}{r^3} = 0$$

حاصل ہوتا ہے جہاں $\boldsymbol{a}_\mathrm{r}\cdot\boldsymbol{a}_\phi = 0$ اور $\boldsymbol{a}_\theta\cdot\boldsymbol{a}_\phi = 0$ کی بدولت مکمل صفر کے برابر لیا گیا ہے۔یوں V_{23}، V_{12} اور V_{01} جمع کرتے ہوئے N_3 سے N_0 تک کا برقی دباو

$$V_0 = V_{03} = V_{23} + V_{12} + V_{01} = \frac{Qd\cos\theta}{4\pi\epsilon_0 r^2} \tag{4.77}$$

حاصل ہوتا ہے جو مساوات 4.66 ہی ہے۔

مندرجہ بالا مثال سے آپ نے دیکھ لیا ہو گا کہ پہلے برقی میدان اور بعد میں برقی دباو حاصل کرنا زیادہ مشکل کام ہے۔برقی دباو کی افادیت اس مثال سے صاف ظاہر ہے۔حقیقی دنیا میں عموماً برقی دباو ہی معلوم ہوتی ہے جیسے دو متوازی دھاتی چادروں کے درمیان برقی دباو یا گھریلو صارفین کے ہاں دو برقی تاروں کے درمیان برقی دباو۔ہم ایسی برقی دباو جانتے ہوئے اس سے مختلف متغیرات حاصل کرتے ہیں۔

4.7 ساکن برقی میدان کی کثافت توانائی

برقی دباو پر غور کرتے ہوئے ہم نے دیکھا کہ برقی میدان میں لامحدود فاصلے سے چارج کو کسی نقطہ منتقل کرنے کے لئے توانائی درکار ہوتی ہے۔یہ توانائی چارج کو حرکت دینے والا محرک مہیا کرتا ہے۔چونکہ توانائی اٹل ہے لہٰذا یہ توانائی بصورت مخفی توانائی چارج میں منتقل ہو جاتی ہے۔جب تک بیرونی قوت چارج کو اس نقطے پر روکے رکھے یہ توانائی چارج میں بطور مخفی توانائی رہے گی۔اگر چارج کو بیرونی طاقت نہ روکے تو مخفی توانائی حرکی[22] توانائی میں تبدیل ہوتے ہوئے چارج کو حرکت دے گی۔یوں اب چارج از خود کام کرنے کے قابل ہو گا۔

آئیں دیکھیں کہ اگر اسی طرح مختلف چارج کو لامحدود فاصلے سے مختلف مقامات پر لا کر وہیں روکے رکھا جائے تو اس پورے نظام کی کل مخفی توانائی کتنی ہو گی۔یہ توانائی ان چارجوں کو اپنی اپنی جگہوں پر منتقل کرنے کے لئے درکار بیرونی توانائی کے مجموعے سے حاصل کی جا سکتی ہے۔

شروع خالی خلاء سے کرتے ہیں۔خالی خلاء میں چونکہ کوئی چارج نہیں پایا جاتا لہٰذا اس میں برقی میدان صفر کے برابر ہو گا۔یوں پہلے چارج Q_1 کو لامحدود فاصلے سے نقطہ N_1 منتقل کرنے کے لئے صفر توانائی درکار ہو گی۔اب چونکہ خلاء میں Q_1 موجود ہے لہٰذا دوسرے چارج Q_2 کو نقطہ N_2 منتقل

---

[22] kinetic energy

کرنے کے لئے $Q_2V_{2,1}$ توانائی درکار ہو گی جہاں N_2 پر پہلے چارج کی وجہ سے پیدا برقی دباو کو $V_{2,1}$ لکھا گیا ہے۔ $V_{2,1}$ لکھتے ہوئے زیر نوشت میں پہلا عدد منتقل کئے جانے والے چارج کی نشاندہی کرتا ہے جبکہ پہلا عدد منتقلی کے نقطے پر برقی دباو پیدا کرنے والے چارج کی نشاندہی کرتا ہے۔ یوں

$$\text{چارج } Q_2 \text{ منتقل کرنے کے لئے درکار توانائی} = Q_2V_{2,1}$$

لکھا جائے گا۔ اب خلاء میں دو عدد چارج پائے جاتے ہیں لہٰذا نقطہ N_3 پر Q_1 سے پیدا $V_{3,1}$ اور Q_2 سے پیدا $V_{3,2}$ برقی دباو ہوں گے۔ یوں N_3 پر کل $V_{3,1}+V_{3,2}$ برقی دباو ہو گا لہٰذا

$$\text{چارج } Q_3 \text{ منتقل کرنے کے لئے درکار توانائی} = Q_3V_{3,1}+Q_3V_{3,2}$$

اور اسی طرح

$$\text{چارج } Q_4 \text{ منتقل کرنے کے لئے درکار توانائی} = Q_4V_{4,1}+Q_4V_{4,2}+Q_4V_{4,3}$$

ہو گا۔ یہی طریقہ کار مزید چارج منتقل کرنے کے لئے درکار توانائی دریافت کرنے کے لئے استعمال کیا جائے گا۔ کل مخفی توانائی W تمام چارجوں کو منتقل کرنے کے لئے درکار توانائی کے برابر ہو گا جو مندرجہ بالا طرز کے تمام جوابات کا مجموعہ ہو گا یعنی

$$\begin{aligned} W &= Q_2V_{2,1}+Q_3V_{3,1}+Q_3V_{3,2}+Q_4V_{4,1}+Q_4V_{4,2}+Q_4V_{4,3}+\cdots \\ &= Q_2(V_{2,1})+Q_3(V_{3,1}+V_{3,2})+Q_4(V_{4,1}+V_{4,2}+V_{4,3})+\cdots \end{aligned} \tag{4.78}$$

مندرجہ بالا مساوات میں کسی رکن مثلاً $Q_4V_{4,2}$ کو دیکھیں۔ اسے یوں

$$Q_4V_{4,2} = Q_4\frac{Q_2}{4\pi\epsilon_0 R_{42}} = Q_2\frac{Q_4}{4\pi\epsilon_0 R_{24}} = Q_2V_{2,4}$$

لکھا جا سکتا ہے جہاں Q_2 اور Q_4 کے درمیان مقداری فاصلے کو R_{42} یا R_{24} لکھا جا سکتا ہے۔ اس طرح $Q_4V_{4,2}$ کو $Q_2V_{2,4}$ لکھا جا سکتا ہے۔ اس طرح مساوات 4.78 کے ہر جزو کو تبدیل کرتے ہوئے اسے

$$\begin{aligned} W &= Q_1V_{1,2}+Q_1V_{1,3}+Q_2V_{2,3}+Q_1V_{1,4}+Q_2V_{2,4}+Q_3V_{3,4}+\cdots \\ &= Q_1(V_{1,2}+V_{1,3}+V_{1,4}+\cdots)+Q_2(V_{2,3}+V_{2,4}+\cdots)+Q_3(V_{3,4}+\cdots) \end{aligned} \tag{4.79}$$

لکھا جا سکتا ہے۔ مساوات 4.78 اور مساوات 4.79 کو جمع کرتے ہوئے

$$\begin{aligned} 2W = \quad & Q_1(V_{1,2}+V_{1,3}+V_{1,4}+\cdots) \\ & +Q_2(V_{2,1}+V_{2,3}+V_{2,4}+\cdots) \\ & +Q_3(V_{3,1}+V_{3,2}+V_{3,4}+\cdots) \\ & +\cdots \end{aligned} \tag{4.80}$$

حاصل ہوتا ہے۔ اس مساوات کے پہلے قوسین میں $V_{1,2}$ نقطہ N_1 پر Q_2 کا پیدا کردہ برقی دباو ہے۔ اسی طرح $V_{1,3}$ نقطہ N_1 پر Q_3 کا پیدا کردہ برقی دباو ہے جبکہ $V_{1,4}$ یہیں پر Q_4 کا پیدا کردہ برقی دباو ہے۔ یوں قوسین میں بند قیمت نقطہ N_1 پر تمام چارجوں کا مجموعی برقی دباو V_1 ہے۔ یاد رہے کہ N_1 پر برقی دباو حاصل کرتے وقت یہیں پر پائے جاتے چارج Q_1 کو شامل نہیں کیا جاتا۔ یوں

$$V_1 = V_{1,2}+V_{1,3}+V_{1,4}+\cdots$$

کے برابر ہے۔ اس طرح مندرجہ بالا مساوات سے

$$W = \frac{1}{2}(Q_1V_1+Q_2V_2+Q_3V_3+\cdots) = \frac{1}{2}\sum_{m=1}^{n} Q_mV_m \tag{4.81}$$

حاصل ہوتا ہے جہاں

$$\begin{aligned}
V_1 &= V_{1,2} + V_{1,3} + V_{1,4} + \cdots \\
V_2 &= V_{2,1} + V_{2,3} + V_{2,4} + \cdots \\
V_3 &= V_{3,1} + V_{3,2} + V_{3,4} + \cdots
\end{aligned}$$

لکھے گئے ہیں۔ 1202

ایسی حجم جس میں حجمی چارج کثافت ρ_h پائی جائے کی کل مخفی توانائی حاصل کرنے کی غرض سے چھوٹے چھوٹے حجم $\mathrm{d}h$ میں چارج $\mathrm{d}Q = \rho_h\,\mathrm{d}h$ کو نقطہ چارج تصور کرتے ہوئے مساوات 4.81 کا استعمال کیا جا سکتا ہے۔ایسی صورت میں یہ مساوات تکمل کی شکل اختیار کر لے گی یعنی

$$W = \frac{1}{2}\int_h \rho_h V\,\mathrm{d}h \tag{4.82}$$

جہاں تکمل پورے حجم h کے لئے حاصل کیا گیا ہے۔ 1203

مثال 4.7 میں کارتیسی محدد استعمال کرتے ہوئے مندرجہ ذیل مساوات کا ثبوت دکھایا گیا ہے۔

$$\nabla\cdot(V\boldsymbol{D}) = V(\nabla\cdot\boldsymbol{D}) + \boldsymbol{D}\cdot(\nabla V) \tag{4.83}$$

مساوات 4.83 اور صفحہ 82 پر مساوات 3.33 کے استعمال سے مساوات 4.82 کو یوں لکھا جا سکتا ہے۔

$$\begin{aligned}
W &= \frac{1}{2}\int_h (\nabla\cdot\boldsymbol{D})V\,\mathrm{d}h \\
&= \frac{1}{2}\int_h [\nabla\cdot(V\boldsymbol{D}) - \boldsymbol{D}\cdot(\nabla V)]\,\mathrm{d}h
\end{aligned} \tag{4.84}$$

اس مساوات میں تکمل کے دو اجزاء ہیں۔پہلے جزو کو مسئلہ پھیلاو، جسے صفحہ 87 پر مساوات 3.43 دیتا ہے، کی مدد سے بند سطحی تکمل کی صورت میں یوں لکھا جا سکتا ہے۔

$$\frac{1}{2}\int_h \nabla\cdot(V\boldsymbol{D})\,\mathrm{d}h = \frac{1}{2}\oint_S (V\boldsymbol{D})\cdot\mathrm{d}\boldsymbol{S} \tag{4.85}$$

یہاں بائیں جانب حجم h جبکہ دائیں جانب اس حجم کی سطح S پر تکمل حاصل کیا جاتا ہے۔h اس حجم کو ظاہر کرتا ہے جس میں مساوات 4.82 کے تمام چارج پائے جاتے ہیں۔مساوات 4.82 میں حجم کے ایسے حصے بھی ہوں گے جہاں چارج کثافت ρ_h کی قیمت صفر ہو گی۔ایسے حصوں کا تکمل $\rho_h = 0$ کی بنا پر صفر کے برابر ہو گا۔یوں اگر حجم کو لامحدود کر دیا جائے تب بھی تکمل کی قیمت وہی رہے گی چونکہ ایسی اضافی حجم میں $\rho_h = 0$ ہو گا۔مساوات 4.85 میں یوں حجم کو لامحدود لیا جا سکتا ہے۔لامحدود حجم کو گھیرتی سطح کو کرہ شکل کا تصور کرتے ہوئے ایسی سطح $4\pi r^2$ کے برابر ہو گی جہاں $r \to \infty$ ہو گا۔لامحدود رداس کی سطح سے دیکھتے ہوئے کسی بھی شکل کا چارج کثافت نقطہ مانند چارج Q نظر آئے گا جو سطح پر $D = \frac{Q}{4\pi r^2}$ میدان اور $V = \frac{Q}{4\pi\epsilon_0 r}$ برقی دباو پیدا کرے گا۔یوں مساوات 4.85 کے دائیں جانب بند تکمل رداس کے ساتھ $\frac{1}{r}$ کا تعلق رکھتا ہے اور $r \to \infty$ کی صورت میں ایسا تکمل صفر کے برابر ہو گا۔یوں مساوات 4.84 کو

$$W = -\frac{1}{2}\int_h \boldsymbol{D}\cdot(\nabla V)\,\mathrm{d}h$$

یا

$$W = \frac{1}{2}\int_h \boldsymbol{D}\cdot\boldsymbol{E}\,\mathrm{d}h = \frac{\epsilon_0}{2}\int_h E^2\,\mathrm{d}h \tag{4.86}$$

لکھا جا سکتا ہے جہاں مساوات 4.46 اور صفحہ 70 پر مساوات 3.3 کی مدد لی گئی ہے۔

مثال 4.7: مساوات 4.83

$$\nabla\cdot(V\boldsymbol{D}) = V(\nabla\cdot\boldsymbol{D}) + \boldsymbol{D}\cdot(\nabla V)$$

کو ثابت کریں۔

حل: مساوات 4.83 کا بائیں بازو حل کرتے ہیں۔

$$\begin{aligned}
\nabla\cdot(V\boldsymbol{D}) &= \nabla\cdot(V[D_x\boldsymbol{a}_\mathrm{x} + D_y\boldsymbol{a}_\mathrm{y} + D_z\boldsymbol{a}_\mathrm{z}]) \\
&= \nabla\cdot(VD_x\boldsymbol{a}_\mathrm{x} + VD_y\boldsymbol{a}_\mathrm{y} + VD_z\boldsymbol{a}_\mathrm{z}) \\
&= \frac{\partial(VD_x)}{\partial x} + \frac{\partial(VD_y)}{\partial y} + \frac{\partial(VD_z)}{\partial z} \\
&= \frac{\partial V}{\partial x}D_x + V\frac{\partial D_x}{\partial x} + \frac{\partial V}{\partial y}D_y + V\frac{\partial D_y}{\partial y} + \frac{\partial V}{\partial z}D_z + V\frac{\partial D_z}{\partial z}
\end{aligned}$$

ایک جیسے اجزاء کو اکٹھے کرتے ہوئے

$$\nabla\cdot(V\boldsymbol{D}) = V\left(\frac{\partial D_x}{\partial x} + \frac{\partial D_y}{\partial y} + \frac{\partial D_z}{\partial z}\right) + \frac{\partial V}{\partial x}D_x + \frac{\partial V}{\partial y}D_y + \frac{\partial V}{\partial z}D_z$$

لکھا جا سکتا ہے۔اب مساوات 4.83 کا دایاں بازو حل کرتے ہیں جہاں

$$V\nabla\cdot\boldsymbol{D} = V\left(\frac{\partial D_x}{\partial x} + \frac{\partial D_y}{\partial y} + \frac{\partial D_z}{\partial z}\right)$$

اور

$$\begin{aligned}
\boldsymbol{D}\cdot\nabla V &= (D_x\boldsymbol{a}_\mathrm{x} + D_y\boldsymbol{a}_\mathrm{y} + D_z\boldsymbol{a}_\mathrm{z})\cdot\left(\frac{\partial V}{\partial x}\boldsymbol{a}_\mathrm{x} + \frac{\partial V}{\partial y}\boldsymbol{a}_\mathrm{y} + \frac{\partial V}{\partial z}\boldsymbol{a}_\mathrm{z}\right) \\
&= D_x\frac{\partial V}{\partial x} + D_y\frac{\partial V}{\partial y} + D_z\frac{\partial V}{\partial z}
\end{aligned}$$

کے برابر ہیں۔انہیں جمع کرتے ہوئے مساوات 4.83 کا بایاں بازو ہی ملتا ہے۔یاد رہے کہ $D_x\frac{\partial V}{\partial x}$ کو $\frac{\partial V}{\partial x}D_x$ لکھا جا سکتا ہے۔

مثال 4.8: صفحہ 54 پر مساوات 2.44 دو لامحدود چادروں کے درمیان برقی میدان دیتا ہے جہاں ایک چادر پر $+\rho_S$ اور دوسری چادر پر $-\rho_S$ سطحی کثافت چارج پایا جاتا ہے۔اگر ان چادروں کے مابین فاصلہ a ہو تب چادروں پر آمنے سامنے S سطح لیتے ہوئے حجم aS میں کل مخفی توانائی حاصل کریں۔

حل: چادروں کے مابین $E = \frac{\rho_S}{\epsilon_0}$ ہے جو اٹل مقدار ہے لہٰذا اسے مساوات 4.86 میں تکمل سے باہر لے جایا جا سکتا ہے۔یوں

$$W = \frac{\epsilon_0}{2}\frac{\rho_S^2}{\epsilon_0^2}\int_h \mathrm{d}h = \frac{\rho_S^2 S a}{2\epsilon_0} \tag{4.87}$$

حاصل ہوتا ہے۔آئیں اسی نتیجے کو مساوات 4.82 کی مدد سے حاصل کریں۔منفی چادر کو برقی زمین تصور کرتے ہوئے مثبت چادر پر $Ea = \frac{\rho_S a}{\epsilon_0}$ برقی دباو ہو گا۔منفی چادر پر برقی دباو چونکہ صفر لیا گیا ہے لہٰذا مساوات 4.82 کا تکمل لیتے ہوئے منفی چادر پر تکمل صفر کے برابر ہو گا۔اسی طرح دونوں چادروں کے درمیان چارج نہیں پایا جاتا لہٰذا اس حجم پر بھی تکمل صفر کے برابر ہو گا۔مثبت چادر پر سطحی چارج کثافت کو حجمی چارج کثافت میں یوں تبدیل کیا جا سکتا ہے۔الٹ قطب کے چارجوں کے مابین قوت کشش پایا جاتا ہے لہٰذا چادروں پر آپس میں قریبی سطحوں پر چارج پایا جائے گا۔یوں مثبت چادر کے S حصے پر چارج $\rho_S S$ کو t موٹائی اور S رقبے کے حجم پر تقسیم کرتے ہوئے $\frac{\rho_S}{t}$ حجمی چارج کثافت تصور کیا جا سکتا ہے جہاں t نہایت کم موٹائی ہے یعنی $t \to 0$ ہے۔اس چارج کو $(a - t/2)$ تا $(a + t/2)$ خطے میں تصور کرتے ہوئے یوں

$$W = \frac{1}{2}\int_S \int_{a-t/2}^{a+t/2} \frac{\rho_S}{t}\frac{\rho_S a}{\epsilon_0}\,\mathrm{d}x\,\mathrm{d}S = \frac{\rho_S^2 S a}{2\epsilon_0} \tag{4.88}$$

ہی دوبارہ حاصل ہوتا ہے۔

اس باب میں ہم مخفی توانائی کی بات کرتے رہے لیکن کہیں پر بھی یہ ذکر نہیں کیا کہ مخفی توانائی آخر کہاں ذخیرہ ہوتی ہے۔اس کا جواب آج تک کوئی نہیں بتلا سکا ہے۔آئیں دیکھیں کہ یہ بتلانا اتنا مشکل کیوں ہے۔

مساوات 4.87 سے ایسا معلوم ہوتا ہے کہ مخفی توانائی دو چادروں کے درمیان برقی میدان میں ذخیرہ ہے البتہ مساوات 4.88 کے حصول کو دیکھتے ہوئے ایسا معلوم ہوتا ہے کہ منفی چادر اور چادروں کے درمیان صفر توانائی پائی جاتی ہے جبکہ تمام کی تمام مخفی توانائی مثبت چادر پر ہے۔اسی طرح اگر ہم مثبت چادر کو برقی زمین تصور کرتے تب منفی چادر پر برقی دباو $-Ea$ ہوتا اور مخفی توانائی منفی چادر میں نظر آتی۔ہم دو چادروں کے بالکل درمیانی نقطے کو برقی زمین لے سکتے ہیں۔ایسا کرتے ہوئے مثبت چادر پر $\frac{Ea}{2}$ اور منفی چادر پر $\frac{-Ea}{2}$ برقی دباو حاصل ہوتی ہے اور مخفی توانائی برابر دونوں چادروں میں نظر آئے گی۔برقی زمین کو دو چادروں کے درمیان کسی بھی نقطے پر رکھا جا سکتا ہے اور ایسا کرنے سے مثبت اور منفی چادروں میں مخفی توانائی کی تقسیم کے جوابات تبدیل ہوتے رہیں گے۔اگرچہ ان تمام طریقوں سے کل مخفی توانائی کی صحیح قیمت حاصل ہوتی ہے لیکن ان سے کسی صورت یہ معلوم نہیں کیا جا سکتا ہے کہ مخفی توانائی ذخیرہ کہاں ہوتی ہے۔اس حقیقت کے ساتھ ہی زندگی بسر کرنا سیکھ لیں۔

سوالات

سوال 4.1: میدان $\boldsymbol{E} = 5\boldsymbol{a}_\rho - 3\boldsymbol{a}_\phi + 2\boldsymbol{a}_z\ \frac{\mathrm{V}}{\mathrm{m}}$ میں $1\,\mu\mathrm{C}$ چارج کو نقطہ $N(5, 45^\circ, 4)$ سے نقطہ $M(5, 45^\circ, 6)$ کی جانب نہایت کم فاصلہ $1\,\mu\mathrm{m}$ منتقل کرنے کے لئے درکار توانائی دریافت کریں۔اسی طرح $(5, 45.3^\circ, 4)$ ، $(7, 45^\circ, 4)$ اور $(10, 66^\circ, 12)$ کی جانب منتقل کرنے کے لئے درکار توانائی بھی حاصل کریں۔

جوابات: $-2\,\mathrm{pJ}$ ، $3.013\,\mathrm{pJ}$ ، $-2.753\,\mathrm{pJ}$ ، $3.013\,\mathrm{pJ}$

سوال 4.2: میدان $\boldsymbol{E} = 100\boldsymbol{a}_x - 250\boldsymbol{a}_y + 50\boldsymbol{a}_z)\ \frac{\mathrm{V}}{\mathrm{m}}$ دیا گیا ہے۔چارج $25\,\mathrm{C}$ کو نہایت کم فاصلہ $1\,\mathrm{mm}$ نقطہ $(3, 4, 6)$ سے نقطہ $(5, 10, -2)$ کی سمت میں منتقل کرنے کے لئے کتنی توانائی درکار ہے۔اسی طرح $\boldsymbol{a}_x$ ، $\boldsymbol{a}_y$ اور $\boldsymbol{a}_x + \boldsymbol{a}_y + 2\boldsymbol{a}_z$ سمت میں منتقل کرنے کے لئے درکار توانائی بھی حاصل کریں۔

جوابات: $-0.2\,\mathrm{J}$ ، $0.5\,\mathrm{J}$ ، $0.115\,\mathrm{J}$

سوال 4.3: میدان $\boldsymbol{E} = 0.2x(\sin 0.1z\boldsymbol{a}_x - 2\cos 0.15x\boldsymbol{a}_y + 0.02z\boldsymbol{a}_z)\ \frac{\mathrm{V}}{\mathrm{m}}$ دیا گیا ہے۔نقطہ $N(3, 2, 4)$ پر $\boldsymbol{E}$ حاصل کریں۔اس نقطے سے $(5, 6, -2)$ جانب $12\,\mathrm{C}$ چارج نہایت کم فاصلہ $2.5\,\mu\mathrm{m}$ منتقل کرنے کے لئے درکار توانائی حاصل کریں۔

جوابات: $0.177\boldsymbol{a}_x - 1.081\boldsymbol{a}_y + 0.048\boldsymbol{a}_z$ ، $17.06\,\mu\mathrm{J}$

سوال 4.4: میدان $\boldsymbol{E} = (2x^3 + yz^2)\boldsymbol{a}_x - 3z^2\boldsymbol{a}_y + xy^2z\boldsymbol{a}_z\ \frac{\mathrm{V}}{\mathrm{m}}$ کا لکیری تکمل $\int \boldsymbol{E} \cdot \mathrm{d}\boldsymbol{L}$ نقطہ $N(1, 2, 3)$ تا نقطہ $P(6, 1, 2)$ مندرجہ ذیل دو راستوں پر حاصل کریں۔(الف) پہلے x محدد کے متوازی چلیں، اس کے بعد y محدد کے متوازی چلیں اور آخر میں z محدد کے متوازی چلیں۔(ب) پہلے نقطہ سے بالکل سیدھا دوسرے نقطے کی طرف چلتے ہوئے تکمل حاصل کریں۔ایسا مساوات $z = y + 1$ اور مساوات $x = 11 - 5y$ پر بیک وقت چلتے ہوئے ممکن ہو گا۔

جوابات: 749.5 ، 698.9

سوال 4.5: میدان $\boldsymbol{E} = 2x\boldsymbol{a}_x - 3z\boldsymbol{a}_y + 2\boldsymbol{a}_z\ \frac{\mathrm{V}}{\mathrm{m}}$ میں $5\,\mu\mathrm{C}$ کا چارج نقطہ $(0, 2, -4)$ تا نقطہ $(2, 4, -12)$ منتقل کرنے کے لئے درکار توانائی حاصل کریں۔(الف) باری باری x ، y اور z محدد کے متوازی چلیں۔(ب) ابتدائی نقطے سے اختتامی نقطے تک بہ راستہ $z = x^2 - y^2$ ، $y = x + 2$ چلیں۔

جوابات: $-60\,\mu\mathrm{J}$ ، $-180\,\mu\mathrm{J}$

سوال 4.6: برقی میدان $\boldsymbol{E} = (y + z)\boldsymbol{a}_x + (x + z)\boldsymbol{a}_y + (x + y)\boldsymbol{a}_z$ میں $-0.1\,\mathrm{C}$ کے چارج کو نقطہ $(1, 0, 2)$ سے نقطہ $(0, 0, 2)$ اور یہاں سے نقطہ $(0, 1, 2)$ لایا جاتا ہے۔دونوں راستوں کی علیحدہ علیحدہ اور کل درکار توانائی حاصل کریں۔

جوابات: $0.2\,\mathrm{J}$، $-0.2\,\mathrm{J}$ اور $0\,\mathrm{J}$

سوال 4.7: میدان $\boldsymbol{E} = 2x^2y\boldsymbol{a}_x + y^2\boldsymbol{a}_y + (x + z)\boldsymbol{a}_z$ میں چارج $-2.2\,\mu\mathrm{C}$ کو نقطہ $N(2, 1, 1)$ سے $P(4, 3, 1)$ منتقل کرنے کے لئے درکار توانائی دریافت کریں۔راستہ $6y = x^2 + 2$، $z = 1$ اختیار کیا گیا ہے۔

جواب: $191.9\,\mu\mathrm{J}$

سوال 4.8: محدد کے مرکز پر Q چارج پایا جاتا ہے۔اس کے میدان میں چارج q کو نقطہ N سے P منتقل کرنے کے لئے درکار توانائی حاصل کریں جہاں ان نقطوں کی تفصیل اور راستے کی تفصیل کچھ یوں ہے۔ الف) $N(r_1,\theta_1,\phi_1)$ تا $P(r_2,\theta_1,\phi_1)$ ایسے راستے پر جس پر θ اور ϕ تبدیل نہیں ہوتے۔ب) $N(r_1,\theta_1,\phi_1)$ تا $P(r_1,\theta_2,\phi_1)$ ایسے راستے پر جس پر r اور ϕ تبدیل نہیں ہوتے۔ پ) $N(r_1,\theta_1,\phi_1)$ تا $P(r_1,\theta_1,\phi_2)$ ایسے راستے پر جس پر r اور θ تبدیل نہیں ہوتے۔

جوابات: $\frac{Qq}{4\pi\epsilon_0}\left(\frac{1}{r_2}-\frac{1}{r_1}\right)$ ، 0 ، 0

سوال 4.9: محدد کے مرکز پر $r=5\,\mathrm{mm}$ رداس کے کرہ پر سطحی کثافت چارج $25\,\frac{\mathrm{nC}}{\mathrm{m}^2}$ پایا جاتا ہے۔نقطہ $A(0.015,30^\circ,45^\circ)$ پر حتمی برقی دباو V_A اور نقطہ $B(0.035,60^\circ,15^\circ)$ پر حتمی برقی دباو V_B حاصل کریں۔نقطہ A کو برقی زمین تصور کرتے ہوئے برقی دباو V_{BA} حاصل کریں۔

جوابات: $4.706\,\mathrm{V}$ ، $2.017\,\mathrm{V}$ ، $-2.689\,\mathrm{V}$

سوال 4.10: میدان $\boldsymbol{E}=50z\sin\phi\boldsymbol{a}_\rho+50z\cos\phi\boldsymbol{a}_\phi+50\rho\sin\phi\boldsymbol{a}_z\,\frac{\mathrm{V}}{\mathrm{m}}$ میں محدد کے مرکز پر صفر وولٹ تصور کرتے ہوئے نقطہ $N(2,150^\circ,3)$ پر برقی دباو حاصل کریں۔ایسا کرتے ہوئے تکمل بہ راستہ $\rho=\frac{12\phi}{5\pi}$ ، $z=\frac{18\phi}{5\pi}$ حاصل کریں۔

جواب: $-150\,\mathrm{V}$

سوال 4.11: سطح $x=0$ پر سطحی کثافت چارج $2\,\frac{\mathrm{nC}}{\mathrm{m}^2}$ پائی جاتی ہے۔نقطہ $A(5,3,-6)$ کو صفر وولٹ لیتے ہوئے نقطہ $N(6,-2,9)$ پر برقی دباو V_{NA} حاصل کریں۔

جواب: $112.94\,\mathrm{V}$

سوال 4.12: کارتیسی y محدد پر لکیری کثافت چارج $15\,\frac{\mathrm{nC}}{\mathrm{m}}$ پایا جاتا ہے۔نقطہ $P(5,2,6)$ کو صفر وولٹ اور پر تصور کرتے ہوئے نقطہ $N(10,8,10)$ پر برقی دباو حاصل کریں۔اگر نقطہ $P(5,2,6)$ پر $200\,\mathrm{V}$ وولٹ کا برقی دباو ہوتا تب نقطہ $N(10,8,10)$ پر برقی دباو کیا ہوتا؟

جواب: $-160\,\mathrm{V}$ ، $40\,\mathrm{V}$

سوال 4.13: کارتیسی z محدد پر $5\,\frac{\mathrm{nC}}{\mathrm{m}}$ اور x محدد پر $-2\,\frac{\mathrm{nC}}{\mathrm{m}}$ لکیری کثافت چارج پائے جاتے ہیں۔نقطہ $A(5,3,6)$ پر $50\,\mathrm{V}$ ہونے کی صورت میں نقطہ $N(8,-2,5)$ پر برقی دباو حاصل کریں۔

جواب: $10.954\,\mathrm{V}$

سوال 4.14: سطح $z=0$ پر رداس a کی گول ٹکیا پر سطحی کثافت چارج ρ_S پائی جاتی ہے۔نقطہ $(0,0,z)$ پر حتمی برقی دباو حاصل کریں۔

جواب: $\frac{\rho_S}{2\epsilon_0}(\sqrt{z^2+a^2}-z)$

سوال 4.15: سطح $z=0$ پر رداس $a\leq\rho\leq b$ کی گول ٹکیا پر سطحی کثافت چارج ρ_S پائی جاتی ہے۔نقطہ $(0,0,z)$ پر حتمی برقی دباو حاصل کریں۔

جواب: $\frac{\rho_S}{2\epsilon_0}(\sqrt{z^2+b^2}-\sqrt{z^2+a^2})$

سوال 4.16: لکیری کثافت چارج $15x\,\frac{\mathrm{nC}}{\mathrm{m}}$ محدد x کے متوازی $0\leq x\leq 2$، $y=4$ ، $z=2$ پر پائی جاتی ہے۔ محدد کے مرکز پر حتمی برقی دباو حاصل کریں۔

جواب: $57.54\,\mathrm{V}$

سوال 4.17: ہمیں برقی دباو $V(x,y,z) = 3x^2y^2 + 5xz^2 - 10\ln(x-y)\,\mathrm{V}$ معلوم ہے۔نقطہ $N(5,-3,8)$ پر V ، $\boldsymbol{E}$ $\boldsymbol{D}$ اور ρ_h کی قیمتیں حاصل کریں۔

جوابات: $2254\,\mathrm{V}$ ، $-589\boldsymbol{a}_\mathrm{x} + 449\boldsymbol{a}_\mathrm{y} - 400\boldsymbol{a}_\mathrm{z}\,\frac{\mathrm{V}}{\mathrm{m}}$ ، $-5.21\boldsymbol{a}_\mathrm{x} + 3.97\boldsymbol{a}_\mathrm{y} - 3.54\boldsymbol{a}_\mathrm{z}\,\frac{\mathrm{nC}}{\mathrm{m}^2}$ ، $1.48\,\mathrm{nC/m^3}$

سوال 4.18: ہمیں $V(\rho,\phi,z) = 10\rho^2\sin\phi$ معلوم ہے۔ $\boldsymbol{E}$ اور ρ_h کے مساوات حاصل کریں۔

جوابات: $-20\rho\sin\phi\boldsymbol{a}_\rho - 10\rho\cos\phi\boldsymbol{a}_\phi$ ، $-30\epsilon_0\sin\phi$

سوال 4.19: مکعب $0 < x < 1$ ، $0 < y < 1$ ، $0 < z < 1$ میں $V(x,y,z) = x^3 + y^3 + 3z$ ہے۔اس مکعب میں کل چارج حاصل کریں۔

جواب: $-53\,\mathrm{pC}$

سوال 4.20: سطح $2x^2 - 4y^3 + 2z = -100$ ہم قوہ سطح ہے جس پر برقی دباو $220\,\mathrm{V}$ ہے۔نقطہ $N(7,4,29)$ پر $|E| = 30\,\frac{\mathrm{V}}{\mathrm{m}}$ ہونے کی صورت میں اس نقطے پر $\boldsymbol{E}$ کی مساوات حاصل کریں۔

جواب: $4.3\boldsymbol{a}_\mathrm{x} - 29.7\boldsymbol{a}_\mathrm{y} + 0.31\boldsymbol{a}_\mathrm{z}$

سوال 4.21: نقطہ $(0,0,-10)$ پر $\boldsymbol{p}_1 = 15\boldsymbol{a}_\mathrm{z}\,\mathrm{nC\,m}$ اور نقطہ $(0,0,5)$ پر $\boldsymbol{p}_2 = -25\boldsymbol{a}_\mathrm{z}\,\mathrm{nC\,m}$ جفت قطب پائے جاتے ہیں۔نقطہ $(0,0,-5)$ پر V اور $\boldsymbol{E}$ حاصل کریں۔

جوابات: $7.64\,\mathrm{V}$ ، $1.71\boldsymbol{a}_\mathrm{z}\,\frac{\mathrm{V}}{\mathrm{m}}$

سوال 4.22: محدد کے مرکز پر $\boldsymbol{p} = 15\epsilon_0\boldsymbol{a}_\mathrm{z}$ جفت قطب پایا جاتا ہے۔ان سطحوں کی مساوات حاصل کریں جن پر $E_z = 0$ کے برابر ہے۔صرف $\boldsymbol{E} \neq 0$ کی صورت پر غور کریں۔

جواب: $x^2 + y^2 - 2z^2 = 0$ یعنی ایسی مخروط جس کا $\theta = 54.7^\circ$ یا $\theta = 125.3^\circ$ ہو۔

سوال 4.23: سیدھی لکیر پر تین یکساں چارج Q پائے جاتے ہیں۔قریبی چارجوں کے درمیان فاصلہ d ہے۔اس نظام میں کل توانائی دریافت کریں۔اگر چار عدد چارج اسی طرح رکھے جائیں تب توانائی کتنی ہو گی؟

جوابات: $\frac{5}{2}\,\frac{Q^2}{4\pi\epsilon_0 d}\,\mathrm{J}$ ، $\frac{13}{3}\,\frac{Q^2}{4\pi\epsilon_0 d}\,\mathrm{J}$

سوال 4.24: مثال 4.8 کے طرز پر L لمبائی ہم محوری تار میں مخففی توانائی حاصل کریں۔اندرونی تار کا رداس a جبکہ بیرونی تار کا رداس b ہے۔

جواب: $W = \frac{\pi L a^2 \rho_S^2}{\epsilon_0}\ln\frac{b}{a}$

سوال 4.25: خطہ $a \leq r \leq b$ میں $V = \frac{0.1}{r^2}\,\mathrm{V}$ برقی دباو پایا جاتا ہے جہاں $a < 0$ ، $b < 0$ ہیں۔اس خطے میں کل مخفی توانائی دریافت کریں۔

جواب: $\frac{0.08\pi\epsilon_0}{3}\left(\frac{1}{a^3} - \frac{1}{b^3}\right)$

باب 5

موصل، ذو برق اور کپیسٹر

اس باب میں ہم برقی رو اور کثافت برقی رو سے شروع ہو کر بنیادی استمراری مساوات[1] حاصل کریں گے۔اس کے بعد اوہم کے قانون کی نقطہ شکل اور اس کی بڑی شکل حاصل کریں گے۔دو اجسام کے سرحد پر سرحدی شرائط[2] حاصل کرتے ہوئے عکس[3] کے طریقے کا استعمال دیکھیں گے۔

ذو برق[4] کی تقطیب[5] پر غور کرتے ہوئے جزو برقی مستقل حاصل کریں گے۔اس کے بعد کپیسٹر پر غور کیا جائے گا۔سادہ شکل و صورت رکھنے والے کپیسٹر کی قیمتیں حاصل کی جائیں گیں۔ایسا گزشتہ بابوں کے نتائج استعمال کرتے ہوئے کیا جائے گا۔

5.1 برقی رو اور کثافت برقی رو

جیسے پانی کے حرکت کو پانی کا بہاو کہتے ہیں، اسی طرح برقی چارج کے حرکت کو برقی رو کہتے ہیں۔برقی رو کو i اور I سے ظاہر کیا جاتا ہے۔برقی رو کی اکائی ایمپیئر (A) ہے۔کسی نقطے یا سطح سے ایک کولمب چارج فی سیکنڈ کے گزر کو ایک ایمپیئر کہتے ہیں۔یوں

$$I = \frac{\mathrm{d}Q}{\mathrm{d}t} \tag{5.1}$$

لکھا جائے گا۔

ایسی موصل تار جس کی ایک سرے سے دوسری سرے تک موٹائی مسلسل کم ہوتی ہو کے بالکل محور پر برقی چارج محوری سمت میں حرکت کرے گا جبکہ محور سے دور چارج کی حرکت تار کی موٹائی کم یا زیادہ ہونے کی وجہ سے قدرِ ترچھی ہو گی۔یوں اگرچہ تار میں ہر مقام پر برقی رو کی مقدار برابر ہے لیکن برقی رو کی سمتیں مختلف ہو سکتی ہیں۔اسی بنا پر ہم برقی رو کو مقداری تصور کریں گے۔اگر تار کی موٹائی انتہائی کم ہو تب برقی رو سمتیہ مانند ہو گا لیکن ایسی صورت میں بھی ہم اسے مقداری ہی تصور کرتے ہوئے تار کی لمبائی کو سمتیہ لیں گے۔

[1] continuity equation
[2] boundary conditions
[3] images
[4] dielectric
[5] polarization

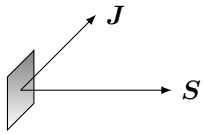

شکل 5.1: سطح سے گزرتی برقی رو۔

کثافت برقی رو[6] سے مراد برقی رو فی اکائی مربع سطح ($\frac{\mathrm{A}}{\mathrm{m}^2}$) ہے اور اسے J سے ظاہر کیا جاتا ہے۔ اگر چھوٹی سطح ΔS سے عمودی سمت میں ΔI برقی رو گزرے تب

$$\Delta I = J_n \Delta S \tag{5.2}$$

کے برابر ہو گا۔ اگر کثافت برقی رو اور سمتی رقبہ کی سمتیں مختلف ہوں تب

$$\Delta I = \boldsymbol{J} \cdot \Delta S \tag{5.3}$$

لکھا جائے گا اور پوری سطح سے کل گزرتی برقی رو تکمل کے ذریعہ حاصل کی جائے گی۔

$$I = \int_S \boldsymbol{J} \cdot \mathrm{d}\boldsymbol{S} \tag{5.4}$$

مثال 5.1: شکل 5.1 میں سیدھی سطح $\boldsymbol{S} = 2\boldsymbol{a}_{\mathrm{x}}$ دکھائی گئی ہے جہاں کثافت برقی رو $\boldsymbol{J} = 1\boldsymbol{a}_{\mathrm{x}} + 1\boldsymbol{a}_{\mathrm{y}}$ پائی جاتی ہے۔ سطح سے گزرتی برقی رو اور اس کی سمت دریافت کریں۔ اگر سطح کی دوسری سمت کو سطح کی سمت لی جائے تب برقی رو کی مقدار اور اس کی سمت کیا ہوں گے۔

حل: چونکہ یہاں $\boldsymbol{J}$ مستقل مقدار ہے لہٰذا اسے مساوات 5.4 میں تکمل کے باہر لایا جا سکتا ہے اور یوں اس تکمل سے

$$I = \boldsymbol{J} \cdot \boldsymbol{S} = 2\,\mathrm{A}$$

حاصل ہوتا ہے۔ برقی رو چونکہ مثبت ہے لہٰذا یہ سطح کی سمت میں ہی سطح سے گزر رہی ہے۔

اگر سطح کی دوسری طرف کو سطح کی سمت لی جائے تب $\boldsymbol{S} = -2\boldsymbol{a}_{\mathrm{x}}$ لکھا جائے گا اور یوں

$$I = \boldsymbol{J} \cdot \boldsymbol{S} = -2\,\mathrm{A}$$

حاصل ہو گا۔ برقی رو کی مقدار اب بھی دو ایمپیئر ہی ہے البتہ اس کی علامت منفی ہے جس کا مطلب یہ ہے کہ برقی رو سطح کے سمت کی الٹی سمت میں ہے۔ یوں اب بھی برقی رو بائیں سے دائیں ہی گزر رہی ہے۔

اس مثال سے آپ دیکھ سکتے ہیں کہ $\boldsymbol{S}$ کی سمت میں برقی رو کو مثبت برقی رو کہا جاتا ہے۔

شکل 5.2 میں a اور b اطراف کی تار میں لمبائی کی سمت میں v رفتار سے چارج حرکت کر رہا ہے۔ شکل میں اس تار کا کچھ حصہ دکھایا گیا ہے۔ یوں $\mathrm{d}t$ دورانیہ میں چارج $v\,\mathrm{d}t$ فاصلہ طے کرے گا۔ اس طرح اس دورانیہ میں m پر لگائی گئی نقطہ دار لکیر n پہنچ جائے گی۔ آپ دیکھ سکتے ہیں کہ اس دورانیہ میں

[6] current density

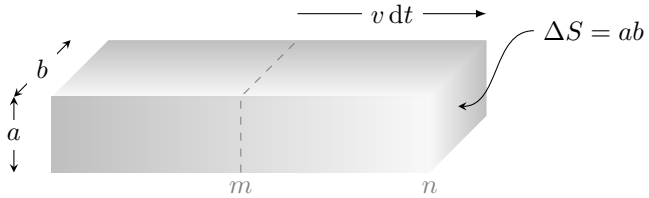

شکل 5.2: حرکت کرتے چارج کی رفتار اور کثافت برقی رو۔

m اور n کے درمیان موجود چارج سطح ΔS سے گزر جائے گا۔ m سے n تک حجم $abv\,\mathrm{d}t$ کے برابر ہے۔ اگر تار میں چارج کی حجمی کثافت ρ_h ہو تب اس حجم میں کل چارج $\rho_h abv\,\mathrm{d}t$ ہو گا۔ یوں برقی رو

$$I = \frac{\Delta Q}{\Delta t} = \frac{\rho_h abv\,\mathrm{d}t}{\mathrm{d}t} = \rho_h \Delta S v$$

لکھتے ہوئے کثافت برقی رو

$$J = \frac{I}{\Delta S} = \rho_h v$$

حاصل ہوتی ہے جس کی سمتی شکل

$$\boldsymbol{J} = \rho_h \boldsymbol{v} \tag{5.5}$$

ہے۔ اس مساوات میں $\boldsymbol{J}$ **کثافت اتصالی رو**[7] کو ظاہر کرتی ہے۔

یہ مساوات کہتا ہے کہ حجمی چارج کثافت بڑھانے سے کثافت برقی رو اسی نسبت سے بڑھتی ہے۔ اسی طرح چارج کی رفتار بڑھانے سے کثافت برقی رو اسی نسبت سے بڑھتی ہے۔ یہ ایک عمومی نتیجہ ہے۔ یوں سڑک پر زیادہ لوگ گزارنے کا ایک طریقہ انہیں تیز چلنے پر مجبور کرنے سے حاصل کیا جا سکتا ہے۔ دوسرا طریقہ یہ ہے کہ انہیں قریب قریب کر دیا جائے۔

5.2 استمراری مساوات

قانون بقائے چارج کہتا ہے کہ چارج کو نہ تو پیدا اور نا ہی اسے ختم کیا جا سکتا ہے، اگرچہ برابر مقدار میں مثبت اور منفی چارج کو ملا کی انہیں ختم کیا جا سکتا ہے اور اسی طرح برابر مقدار میں انہیں پیدا بھی کیا جا سکتا ہے۔

یوں اگر ڈبے میں ایک جانب 5 C اور دوسری جانب -3 C چارج موجود ہو تو اس ڈبے میں کل 2 C چارج ہے۔ اگر ہم 3 C کو -3 C کے ساتھ ملا کر ختم کر دیں تب بھی ڈبے میں کل 2 C ہی چارج رہے گا۔

مثال 5.2: ایک ڈبہ جس کا حجم $5\,\mathrm{m}^3$ ہے میں حجمی کثافت چارج $3\,\mathrm{C/m}^3$ ہے۔ اس ڈبے سے چارج کی نکاسی ہو رہی ہے۔ دو سیکنڈ میں حجمی کثافت چارج $1\,\mathrm{C/m}^3$ رہ جاتی ہے۔ ان دو سیکنڈوں میں ڈبے سے خارج برقی رو کا تخمینہ لگائیں۔

---

[7] convection current density

حل: شروع میں ڈبے میں $Q_1 = 3 \times 5 = 15\,\mathrm{C}$ چارج ہے جبکہ دو سیکنڈ بعد اس میں $Q_1 = 1 \times 5 = 5\,\mathrm{C}$ رہ جاتا ہے۔یوں دو سیکنڈ میں ڈبے سے $10\,\mathrm{C}$ چارج خارج ہوتا ہے۔اس طرح ڈبے سے خارج برقی رو $\frac{10}{2} = 5\,\mathrm{A}$ ہے۔اسی کو یوں لکھا جا سکتا ہے۔

$$I = -\frac{\Delta Q}{\Delta t} = -\frac{(5-15)}{2} = 5\,\mathrm{A}$$

اس مثال میں آپ نے دیکھا کہ ڈبے میں ΔQ منفی ہونے کی صورت میں خارجی برقی رو کی قیمت مثبت ہوتی ہے۔آئیں اس حقیقت کو بہتر شکل دیں۔

حجم کو مکمل طور پر گھیرتی سطح کو بند سطح کہتے ہیں۔کسی بھی مقام پر ایسی سطح کی سمت سطح کے عمودی باہر کو ہوتی ہے۔مساوات 5.4 کے تحت برقی رو کو کثافت برقی رو کے سطحی تکمل سے بھی حاصل کیا جا سکتا ہے۔یوں

$$I = \oint_S \boldsymbol{J} \cdot \mathrm{d}\boldsymbol{S} = -\frac{\mathrm{d}Q}{\mathrm{d}t} \tag{5.6}$$

لکھا جا سکتا ہے جہاں حجم کی سطح بند سطح ہونے کی بنا پر بند تکمل کی علامت استعمال کی گئی ہے اور Q حجم میں کل چارج ہے۔

مساوات 5.6 استراری مساوات[8] کی تکمل شکل ہے۔آئیں اب اس کی نقطہ شکل حاصل کریں۔

مسئلہ پھیلاو کو صفحہ 87 پر مساوات 3.43 میں بیان کیا گیا ہے۔مسئلہ پھیلاو کسی بھی سمتی تفاعل کے لئے درست ہے لہٰذا اسے استعمال کرتے ہوئے مساوات 5.6 میں بند سطحی تکمل کو حجمی تکمل میں تبدیل کرتے ہیں۔

$$\oint_S \boldsymbol{J} \cdot \mathrm{d}\boldsymbol{S} = \int_h (\nabla \cdot \boldsymbol{J})\,\mathrm{d}h$$

اگر حجم میں حجمی کثافت چارج ρ_h ہو تب اس میں کل چارج

$$Q = \int_h \rho_h\,\mathrm{d}h$$

ہو گا۔ان دو نتائج کو استعمال کرتے ہوئے

$$\int_h (\nabla \cdot \boldsymbol{J})\,\mathrm{d}h = -\frac{\mathrm{d}}{\mathrm{d}t}\int_h \rho_h\,\mathrm{d}h$$

لکھا جا سکتا ہے۔اس مساوات میں $\frac{\mathrm{d}}{\mathrm{d}t}$ دو متغیرات پر لاگو ہو گا۔یہ متغیرات تکمل کے اندر حجمی چارج کثافت ρ_h اور حجم h ہے۔

آپ جانتے ہیں کہ دو متغیرات کے تفرق کو جزوی تفرق کی شکل میں

$$\frac{\mathrm{d}(uv)}{\mathrm{d}t} = \frac{\partial u}{\partial t}v + u\frac{\partial v}{\partial t}$$

لکھا جا سکتا ہے جہاں v کو مستقل رکھتے ہوئے $\frac{\partial u}{\partial t}$ اور u کو مستقل رکھتے ہوئے $\frac{\partial v}{\partial t}$ حاصل کیا جاتا ہے۔

---

[8] continuity equation

اگر ہم یہ شرط لاگو کریں کہ حجم کی سطح تبدیل نہیں ہو گی تب حجم بھی تبدیل نہیں ہو گا اور یوں $\frac{\mathrm{d}}{\mathrm{d}t}$ کو جزوی تفرق میں تبدیل کرتے ہوئے تکمل کے اندر لکھتے ہوئے

$$\int_h (\nabla \cdot \boldsymbol{J})\,\mathrm{d}h = \int_h -\frac{\partial \rho_h}{\partial t}\,\mathrm{d}h$$

حاصل ہوتا ہے۔یہ مساوات ہر ممکنہ حجم کے لئے درست ہے لہٰذا یہ نہایت چھوٹی حجم کے لئے بھی درست ہے۔نہایت چھوٹی حجم $\mathrm{d}h$ کے لئے تکمل

$$(\nabla \cdot \boldsymbol{J})\,\mathrm{d}h = -\frac{\partial \rho_h}{\partial t}\,\mathrm{d}h$$

ہی ہے جس سے

$$\nabla \cdot \boldsymbol{J} = -\frac{\partial \rho_h}{\partial t} \tag{5.7}$$

حاصل ہوتا ہے۔مساوات 5.7 استمراری مساوات کی نقطہ شکل ہے۔

پھیلاو کی تعریف کو ذہن میں رکھتے ہوئے آپ دیکھ سکتے ہیں کہ مساوات 5.7 کہتا ہے کہ ہر نقطے پر چھوٹی سی حجم سے فی سیکنڈ چارج کا اخراج، یعنی برقی رو، فی اکائی حجم مساوی ہے چارج کے گھٹاو فی سیکنڈ فی اکائی حجم۔

5.3 موصل

غیر چارج شدہ موصل میں منفی الیکٹران اور مثبت ساکن ایٹموں کی تعداد برابر ہوتی ہے البتہ اس میں برقی رو آزاد الیکٹران کے حرکت سے پیدا ہوتا ہے۔موصل میں الیکٹران آزادی سے بے ترتیب حرکت کرتا رہتا ہے۔یہ حرکت کرتا ہوا لمحہ بہ لمحہ ساکن ایٹم سے ٹکراتا ہے اور ہر ٹکر سے اس کے حرکت کی سمت تبدیل ہو جاتی ہے۔یوں ایسے الیکٹران کی اوسط رفتار صفر کے برابر ہوتی ہے۔آئیں دیکھیں کہ برقی میدان کے موجودگی میں کیا ہوتا ہے۔

برقی میدان $\boldsymbol{E}$ میں الیکٹران پر قوت

$$\boldsymbol{F} = -e\boldsymbol{E} \tag{5.8}$$

عمل کرے گی جہاں الیکٹران کا چارج $-e$ ہے۔الیکٹران کی رفتار اس قوت کی وجہ سے اسراع کے ساتھ قوت کی سمت میں بڑھنے شروع ہو جائے گی۔یوں بلا ترتیب رفتار کے ساتھ ساتھ قوت کے سمت میں الیکٹران رفتار پکڑے گا۔موصل میں پائے جانے والا الیکٹران جلد کسی ایٹم سے ٹکرا جاتا ہے اور یوں اس کی سمت تبدیل ہو جاتی ہے۔جس لمحہ الیکٹران کسی ایٹم سے ٹکراتا ہے اگر لاگو میدان کو صفر کر دیا جائے تو الیکٹران دوبارہ بلا ترتیب حرکت کرتا رہے گا اور اس کی اوسط رفتار دوبارہ صفر ہی ہو گی، البتہ اس کی رفتار اب پہلے سے زیادہ ہو گی۔اگر الیکٹران ایٹم سے نہ ٹکراتا تب برقی میدان صفر کرنے کے بعد یہ برقرار قوت کی سمت میں حاصل کردہ رفتار سے حرکت کرتا رہتا۔یوں آپ دیکھ سکتے ہیں کہ ہر ٹکر سے الیکٹران کی اوسط رفتار صفر ہو جاتی ہے۔اس طرح ہم دیکھتے ہیں کہ $\boldsymbol{E}$ کے موجودگی میں موصل میں الیکٹران کی رفتار مسلسل نہیں بڑھتی بلکہ یہ قوت کی سمت میں اوسط رفتار $\boldsymbol{v}_d$ حاصل کرتا ہے اور جیسے ہی میدان صفر کر دیا جائے الیکٹران کی اوسط رفتار بھی صفر ہو جاتی ہے۔$\boldsymbol{v}_d$ کو رفتار بہاو[9] کہتے ہیں۔رفتار بہاو کا دارومدار $\boldsymbol{E}$ کی قیمت پر ہے لہٰذا ہم

$$\boldsymbol{v}_d = -\mu_e \boldsymbol{E} \tag{5.9}$$

لکھ سکتے ہیں جہاں مساوات کے مستقل μ_e کو الیکٹران کی حرکت پذیری[10] کہتے ہیں۔حرکت پذیری کی مقدار مثبت ہے۔چونکہ $\boldsymbol{v}_d$ کو میٹر فی سیکنڈ اور $\boldsymbol{E}$ کو وولٹ فی میٹر میں ناپا جاتا ہے لہٰذا حرکت پذیری کو $\frac{\mathrm{m}^2}{\mathrm{V\,s}}$ میں ناپا جائے گا۔

[9] drift velocity
[10] mobility

مساوات 5.9 کو صفحہ 127 پر دئے مساوات 5.5 میں پر کرتے ہوئے

$$\boldsymbol{J} = -\rho_e \mu_e \boldsymbol{E} \tag{5.10}$$

حاصل ہوتا ہے جہاں موصل میں آزاد الیکٹران کی حجمی چارج کثافت کو ρ_e لکھا گیا ہے۔ ρ_e منفی مقدار ہے۔ یاد رہے کہ غیر چارج شدہ موصل میں حجمی کثافت چارج صفر کے برابر ہے چونکہ اس میں منفی الیکٹران اور مثبت ایٹم کے چارج برابر ہوتے ہیں۔ اس مساوات کو عموماً

$$\boldsymbol{J} = \sigma \boldsymbol{E} \tag{5.11}$$

لکھا جاتا ہے جو اوہم کے قانون کی نقطہ شکل ہے اور جہاں

$$\sigma = -\rho_e \mu_e \tag{5.12}$$

لکھا گیا ہے۔ مساوات 5.11 میں $\boldsymbol{J}$ کو کثافت ایصالی برقی رو یا[11] ہے جبکہ σ کو موصلیت کا مستقل[12] کہتے ہیں اور اس کی اکائی[13] سیمنز فی میٹر $\frac{\mathrm{S}}{\mathrm{m}}$ ہے۔ سیمنز کو بڑے S سے جبکہ سیکنڈ کو چھوٹے s سے ظاہر کیا جاتا ہے۔ امید کی جاتی ہے کہ آپ ان میں غلطی نہیں کریں گے۔ اس کتاب کے آخر میں صفحہ 567 پر جدول 15.1 میں کئی موصل اور غیر موصل اشیاء کی موصلیت پیش کی گئی ہیں۔

مثال 5.3: تانبے[14] کی موصلیت کے مستقل کی قیمت $5.8 \times 10^7\ \frac{\mathrm{S}}{\mathrm{m}}$ ہے جبکہ اس کی کمیتی کثافت $8940\ \mathrm{kg/m^3}$ اور ایٹمی کمیت 63.5 g ہیں۔ اگر ہر ایٹم ایک عدد الیکٹران آزاد کرتا ہو تب تانبے میں الیکٹران کی حرکت پذیری حاصل کریں۔ برقی میدان $E = 0.1\ \frac{\mathrm{V}}{\mathrm{m}}$ کی صورت میں الیکٹران کا رفتار بہاو حاصل کریں۔

حل: ایٹمی کمیت 6.023×10^{23} یعنی ایک مول[15] ایٹم کی کمیت کو کہتے ہیں۔ چونکہ ایک مربع میٹر میں 8940 kg ہیں لہٰذا ایک مربع میٹر میں

$$\frac{8940 \times 6.023 \times 10^{23}}{0.0635} = 8.48 \times 10^{28}$$

ایٹم پائیں جائیں گے۔ ہر ایٹم ایک الیکٹران آزاد کرتا ہے لہٰذا 0.1 nm اطراف کے مربع میں اوسطاً 0.848 یعنی تقریباً ایک عدد آزاد الیکٹران پایا جائے گا۔ اس طرح ایک مربع میٹر میں کل آزاد الیکٹران چارج یعنی حجمی آزاد چارج کثافت

$$\rho_e = -1.6 \times 10^{-19} \times 8.48 \times 10^{28} = -1.36 \times 10^{10}\ \mathrm{C/m^3} \tag{5.13}$$

ہو گی۔ ایک مربع میٹر میں یوں انتہائی زیادہ آزاد چارج پایا جاتا ہے۔ اس طرح مساوات 5.12 کی مدد سے

$$\mu_e = -\frac{\sigma}{\rho_e} = \frac{5.8 \times 10^7}{-1.36 \times 10^{10}} = 0.004\,27\ \frac{\mathrm{m^2}}{\mathrm{V\,s}}$$

حاصل ہوتا ہے جہاں $0.004\,27\ \frac{\mathrm{m^2\,S}}{\mathrm{C}}$ کو $0.004\,27\ \frac{\mathrm{m^2}}{\mathrm{V\,s}}$ لکھا گیا ہے۔ آپ تسلی کر سکتے ہیں کہ یہ برابر مقدار ہیں۔ اب مساوات 5.9 استعمال کرتے ہوئے الیکٹران کی رفتار بہاو

$$v_d = -0.00427 \times 0.1 = -0.000\,427\ \frac{\mathrm{m}}{\mathrm{s}}$$

---

[11] conduction current density
[12] conductivity
[13] یہ اکائی جرمنی کے جناب ارنسٹ ورنر وان سیمنز (1816-1892) کے نام ہے جنہوں نے موجودہ سیمنز ادارے کی بنیاد رکھی۔
[14] copper
[15] mole

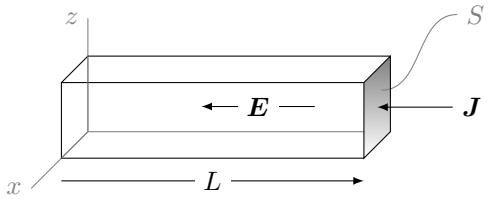

شکل 5.3: اوہم کے قانون کی بڑی شکل۔

حاصل ہوتی ہے۔ منفی رفتار کا مطلب ہے کہ الیکٹران $\boldsymbol{E}$ کے الٹ سمت حرکت کر رہا ہے۔اس رفتار[16] سے الیکٹران ایک کلو میٹر کا فاصلہ ستائیس دن و رات چل کر طے کرے گا۔ یہاں یہ بتلاتا چلوں کہ عام درجہ حرارت مثلاً 300 K پر تانبے میں حرارتی توانائی سے حرکت کرتے الیکٹران کی رفتار تقریباً $1000\ \frac{\mathrm{km}}{\mathrm{s}}$ ہوتی ہے۔

یوں موصل میں آزاد الیکٹرانوں کو نئی جگہ منتقل ہوتے شہد کے مکھیوں کا جھنڈ سمجھا جا سکتا ہے۔ایسے جھنڈ میں کوئی ایک مکھی نہایت تیز رفتار سے آگے پیچھے اڑتی ہے جبکہ پورا جھنڈ نسبتاً آہستہ رفتار سے ایک سمت میں حرکت کرتا ہے۔موصل میں بھی کوئی ایک الیکٹران نہایت تیز رفتار سے ایٹموں سے ٹکراتا ہوا حرارتی توانائی کی وجہ سے نہایت تیزی سے اِدھر اُدھر حرکت کرتا ہے جبکہ بیرونی لاگو میدان کی وجہ سے ایسے تمام الیکٹران نہایت آہستہ رفتار سے میدان کی سمت میں حرکت کرتے ہیں۔

اگر موصل میں آزاد الیکٹران اتنے کم رفتار سے بیرونی لاگو میدان کی سمت میں صفر کرتے ہیں تب بجلی چالو کرتے ہی بلب کس طرح روشن ہوتا ہے۔اس کو سمجھنے کی خاطر برقی تار کو پانی بھرے ایک لمبے پائپ مانند سمجھیں۔ایسے پائپ میں جیسے ہی ایک جانب سے مزید پانی داخل کیا جائے، اسی وقت پائپ کے دوسرے سرے سے برابر پانی خارج ہو گا۔امید ہی سمجھ آ گئی ہو گی۔

مندرجہ بالا مثال میں بتلایا گیا کہ تانبے کا ہر ایٹم ایک عدد الیکٹران آزاد کرتا ہے۔اس حقیقت کو یوں سمجھا جا سکتا ہے کہ تانبے کا ایٹمی عدد 29 ہے۔ایٹم کے کسی بھی مدار میں $2n^2$ الیکٹران ہو سکتے ہیں جہاں پہلے مدار کے لئے $n = 1$، دوسرے مدار کے لئے $n = 2$ وغیرہ لیا جاتا ہے۔یوں اس کے پہلے مدار میں 2، دوسرے مدار میں 8، تیسرے مدار میں 18 اور آخری مدار[17] میں 1 الیکٹران ہو گا۔ایٹم آخری مدار میں واحد الیکٹران کو آزاد کرتا ہے۔آئیں اب بڑی شکل میں اوہم کا قانون حاصل کریں۔

شکل 5.3 میں موصل سلاخ دکھایا گیا ہے جس کی لمبائی L اور رقبہ عمودی تراش S ہیں۔سلاخ کو $\boldsymbol{a}_\mathrm{y}$ سمت میں لیٹا تصور کریں۔سلاخ میں لمبائی کی سمت میں مستقل اور یکساں برقی میدان $\boldsymbol{E} = -E\boldsymbol{a}_\mathrm{y}$ اور کثافت برقی رو $\boldsymbol{J} = -J\boldsymbol{a}_\mathrm{y}$ پائے جاتے ہیں۔یوں اگر سلاخ کا بایاں سرا برقی زمین تصور کیا جائے تب اس کے دائیں سرے پر برقی دباو کو صفحہ 99 پر دئے مساوات 4.11 سے یوں

$$V = -\int_0^L \boldsymbol{E}\cdot \mathrm{d}\boldsymbol{L} = \int_0^L E\boldsymbol{a}_\mathrm{y}\cdot \mathrm{d}y\boldsymbol{a}_\mathrm{y} = \int_0^L E\,\mathrm{d}y = E\int_0^L \mathrm{d}y = EL$$

حاصل کرتے ہیں۔رقبہ عمودی تراش کو شکل میں گہرے رنگ سے اجاگر کیا گیا ہے۔سمتی رقبہ عمودی تراش بند سطح نہیں ہے لہٰذا اس کے دو ممکنہ رخ ہیں۔سلاخ کے دائیں سرے سے داخل برقی رو حاصل کرنے کی غرض سے رقبہ عمودی تراش کو $\boldsymbol{S} = -S\boldsymbol{a}_\mathrm{y}$ لکھتے ہیں۔یوں دائیں سرے سے داخل برقی رو کی مقدار مثبت ہو گی۔ برقی رو

$$I = \int_S \boldsymbol{J}\cdot \mathrm{d}\boldsymbol{S} = JS$$

---

[16] کھودا پہاڑ، نکلا چوہا۔آزاد الیکٹران تو کچھوے سے بھی آہستہ چلتا ہے۔

[17] چوتھے مدار میں 32 الیکٹران ممکن ہیں لیکن تانبے کے ایٹم میں اس مدار کے لئے صرف ایک عدد الیکٹران بچتا ہے۔

حاصل ہوتی ہے۔ان معلومات کو شکل 5.11 میں پُر کرتے ہوئے

$$\frac{I}{S} = \sigma \frac{V}{L}$$

یا

$$V = I \frac{L}{\sigma S}$$

حاصل ہوتا ہے جہاں

$$R = \frac{L}{\sigma S} \tag{5.14}$$

کو مزاحمت لکھتے ہوئے

$$V = IR \tag{5.15}$$

حاصل ہوتا ہے جو اوہم کے قانون کی جانی پہچانی شکل ہے۔

مساوات 5.14 یکساں رقبہ عمودی تراش رکھنے والے موصل سلاخ کی مزاحمت[18] دیتا ہے جہاں مزاحمت کی اکائی اوہم[19] ہے جسے Ω سے ظاہر کیا جاتا ہے۔یکساں رقبہ عمودی تراش کے سلاخ میں برقی میدان یکساں ہوتا ہے۔اگر سلاخ کا رقبہ عمودی تراش یکساں نہ ہو تب اس میں برقی میدان بھی یکساں نہ ہو گا اور ایسی صورت میں مساوات 5.14 استعمال نہیں کیا جا سکتا البتہ ایسی صورت میں بھی مزاحمت کو مساوات 5.15 کی مدد سے برقی دباو فی اکائی برقی رو سے بیان کیا جاتا ہے۔یوں مساوات 4.11 اور مساوات 5.4 استعمال کرتے ہوئے سلاخ کے b سے a سرے تک مزاحمت

$$R = \frac{V}{I} = \frac{-\int_b^a \boldsymbol{E} \cdot \mathrm{d}\boldsymbol{L}}{\int_S \boldsymbol{J} \cdot \mathrm{d}\boldsymbol{S}} = \frac{-\int_b^a \boldsymbol{E} \cdot \mathrm{d}\boldsymbol{L}}{\int_S \sigma \boldsymbol{E} \cdot \mathrm{d}\boldsymbol{S}} \tag{5.16}$$

سے حاصل ہو گی جہاں برقی رو سلاخ کے مثبت برقی دباو والے سرے سے سلاخ میں داخل ہوتے برقی رو کو کہتے ہیں۔یوں مندرجہ بالا مساوات میں سطحی تکمل سلاخ کے مثبت سرے پر حاصل کیا جائے گا جہاں سطح عمودی تراش کی سمت سلاخ کی جانب لی جائے گی۔

مثال 5.4: تانبے کی ایک کلو میٹر لمبی اور تین ملی میٹر رداس کے تار کی مزاحمت حاصل کریں۔

حل: یہاں $L = 1000\,\mathrm{m}$ جبکہ $S = \pi r^2 = 2.83 \times 10^{-7}\,\mathrm{m}^2$ اور $\sigma = 5.8 \times 10^7$ ہے لہٰذا

$$R = \frac{1000}{5.8 \times 10^7 \times 2.83 \times 10^{-7}} = 0.61\,\Omega$$

حاصل ہوتا ہے۔

---

[18] resistance
[19] ohm

مشق 5.1: المونیم میں کثافت برقی رو مندرجہ ذیل صورتوں میں حاصل کریں۔(الف) برقی میدان کی شدت $50\ \frac{\mathrm{mV}}{\mathrm{m}}$ ہے۔(ب) آزاد الیکٹران کی رفتار بہاو $0.12\ \frac{\mathrm{mm}}{\mathrm{s}}$ ہے۔(پ) ایک ملی میٹر موٹی تار جس میں 2 A برقی رو گزر رہی ہے۔

جوابات: $1.91\ \frac{\mathrm{MA}}{\mathrm{m}^2}$، $3.82\ \frac{\mathrm{MA}}{\mathrm{m}^2}$ اور $2.55\ \frac{\mathrm{MA}}{\mathrm{m}^2}$

ہم دیکھ چکے ہیں کہ موصل کے اندر داخل کیا گیا چارج جلد موصل کے سطح پر پہنچ کر سطحی چارج کثافت پیدا کرتا ہے۔یہ جانتے ہوئے کہ حقیقت میں موصل کے اندر چارج کا پیدا ہونا یا وہاں چارج داخل کرنا معمول کی بات ہر گز نہیں، ہم ایسے داخل کئے گئے چارج کی حرکت پر غور کرتے ہیں۔

اوہم کے قانون

$$\boldsymbol{J} = \sigma \boldsymbol{E}$$

اور استمراری مساوات

$$\nabla \cdot \boldsymbol{J} = -\frac{\partial \rho_h}{\partial t}$$

دونوں میں صرف آزاد چارج کی بات کی جاتی ہے۔ان مساوات سے

$$\nabla \cdot \sigma \boldsymbol{E} = -\frac{\partial \rho_h}{\partial t}$$

یا

$$\nabla \cdot \frac{\sigma}{\epsilon} \boldsymbol{D} = -\frac{\partial \rho_h}{\partial t}$$

لکھا جا سکتا ہے۔اگر موصل میں σ اور ϵ کی قیمتیں اٹل ہوں تب اس مساوات کو

$$\nabla \cdot \boldsymbol{D} = -\frac{\epsilon}{\sigma} \frac{\partial \rho_h}{\partial t}$$

لکھا جا سکتا ہے۔صفحہ 82 پر مساوات 3.33 جو میکس ویل کی پہلی مساوات ہے کی مدد سے یوں

$$\rho_h = -\frac{\epsilon}{\sigma} \frac{\partial \rho_h}{\partial t}$$

حاصل ہوتا ہے۔مساوات 5.12 کہتا ہے کہ موصلیت کی قیمت آزاد الیکٹران کی حجمی چارج کثافت ρ_e اور الیکٹران کی حرکت پذیری پر منحصر ہے۔مساوات 5.13 تانبے میں $\rho_e = -1.36 \times 10^{10}\ \mathrm{C/m^3}$ دیتا ہے جو انتہائی بڑی مقدار ہے۔اتنے چارج میں بیرونی داخل چارج نمک برابر بھی حیثیت نہیں رکھتا لہٰذا σ کی قیمت کو اٹل تصور کیا جا سکتا ہے۔یوں مندرجہ بالا مساوات کو نئی شکل

$$\frac{\partial \rho_h}{\rho_h} = -\frac{\sigma}{\epsilon} \partial t$$

میں لکھتے ہوئے، اس کا تکمل

$$\rho_h = \rho_0 e^{-\frac{\sigma}{\epsilon} t}$$

حاصل کرتے ہیں جہاں وقت $t = 0$ پر داخل کئے گئے چارج کا حجمی چارج کثافت ρ_0 ہے۔اس مساوات کے تحت حجمی چارج کثافت $\frac{\sigma}{\epsilon}$ وقتی مستقل[20] رکھتا ہے۔تقطیر شدہ پانی کا وقتی مستقل جدول 15.1 اور جدول 15.2 کی مدد سے

$$\frac{\epsilon}{\sigma} = \frac{80}{36\pi \times 10^9 \times 10^{-4}} = 7.07\,\mu\text{s}$$

حاصل ہوتا ہے۔اگرچہ تقطیر شدہ پانی انتہائی کم موصل ہے لیکن اس میں بھی کثافت چارج صرف سات مائیکرو سیکنڈ میں ابتدائی قیمت کے صرف 37 فی صد رہ جاتا ہے۔یوں کسی بھی موصل کے اندر انتہائی کم دورانیے کے لئے اضافی چارج پایا جا سکتا ہے۔اس لمحاتی چارج کثافت کے علاوہ اندرون موصل کو چارج سے پاک تصور کیا جا سکتا ہے۔

ذو برق میں مختلف وجوہات کی بنا پر لگاتار آزاد چارج پیدا ہوتے رہتے ہیں جس کی بنا پر ذو برق صفر سے زیادہ موصلیت رکھتے ہوئے برقی رو گزارتا ہے۔ذو برق کے اندر چارج بھی آخر کار سطح پر پہنچ جاتا ہے۔

5.4 موصل کے خصوصیات اور سرحدی شرائط

غیر چارج شدہ موصل میں کل آزاد الیکٹران اور مثبت ایٹم برابر تعداد میں پائے جاتے ہیں۔یوں اس میں برقی میدان صفر کے برابر ہوتا ہے۔فرض کریں کہ غیر چارج شدہ موصل کے اندر کسی طرح چند الیکٹران نمودار ہو جاتے ہیں۔یہ الیکٹران برقی میدان $\boldsymbol{E}$ پیدا کریں گے جس کی وجہ سے موصل میں آزاد الیکٹران موصل کے سطح کی جانب چل پڑیں گے۔سطح کے باہر غیر موصل خلاء پائی جاتی ہے جس میں الیکٹران حرکت نہیں کر سکتے لہٰذا الیکٹران موصل کے سطح پر پہنچ کر رک جائیں گے۔موصل میں نمودار ہونے والے الیکٹران کے برابر تعداد میں الیکٹران موصل کے سطح پر منتقل ہوں گے جس کے بعد موصل میں دوبارہ منفی الیکٹران اور مثبت ایٹموں کی تعداد برابر ہو جائے گی اور یہ غیر چارج شدہ صورت اختیار کر لے گا۔

آپ نے دیکھا کہ اضافی چارج موصل میں زیادہ دیر نہیں رہ سکتا اور یہ جلد سطح پر منتقل ہو جاتا ہے۔یوں اضافی چارج موصل کے سطح پر بیرونی جانب چمٹا رہتا ہے۔یہ موصل کی پہلی اہم خاصیت ہے۔

موصل کی دوسری خاصیت برقی سکون[21] کی حالت کے لئے بیان کرتے ہیں۔برقی سکون سے مراد ایسی صورت ہے جب چارج حرکت نہ کر رہا ہو یعنی جب برقی رو صفر کے برابر ہو۔برقی سکون کی حالت میں موصل کے اندر ساکن برقی میدان صفر رہتا ہے۔اگر ایسا نہ ہوتا تو میدان کی وجہ سے اس میں آزاد الیکٹران حرکت کر کے برقی رو کو جنم دیتے جو غیر ساکن حالت ہے۔

یوں برقی سکون کی حالت میں موصل کے اندر اضافی چارج اور برقی میدان دونوں صفر کے برابر ہوتے ہیں البتہ اس کے سطح پر بیرونی جانب چارج پایا جا سکتا ہے۔آئیں دیکھیں کہ سطح پر پائے جانے والا چارج موصل کے باہر کس قسم کا برقی میدان پیدا کرتا ہے۔

موصل کے سطح پر چارج، موصل کے باہر برقی میدان پیدا کرتا ہے۔سطح پر کسی بھی نقطے پر ایسے میدان کو دو اجزاء کے مجموعے کی شکل میں لکھا جا سکتا ہے۔پہلا جزو سطح کے مماسی اور دوسرا جزو سطح کے عمودی رکھتے ہوئے ہم دیکھتے ہیں کہ مماسی جزو صفر ہو گا۔اگر ایسا نہ ہو تو اس میدان کی وجہ سے سطح پر پائے جانے والے آزاد الیکٹران حرکت میں آئیں گے جو غیر ساکن حالت ہو گی۔یوں ہم

$$E_{\text{مماسی}} = 0 \tag{5.17}$$

[20] time constant
[21] electrostatic

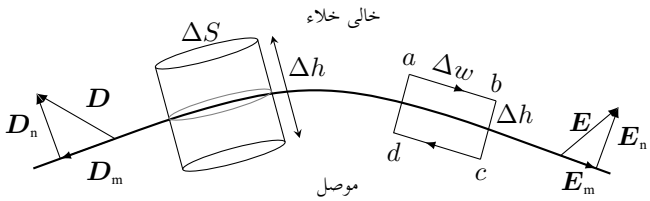

شکل 5.4: موصل اور خلاء کے سرحد پر برقی شرائط۔

لکھ سکتے ہیں۔ سطح پر عمودی برقی میدان گاوس کے قانون کی مدد سے حاصل کیا جا سکتا ہے جو کہتا ہے کہ کسی بھی بند سطح سے کل برقی بہاو کا اخراج، سطح میں گھیرے چارج کے برابر ہوتا ہے۔ چونکہ سطح پر مماسی برقی میدان صفر ہے اور موصل کے اندر بھی برقی میدان صفر ہے لہٰذا سطح پر چارج سے برقی بہاو کا اخراج صرف عمودی سمت میں ہو سکتا ہے۔ یوں ΔS سطح سے عمودی اخراج $D\Delta S$ اسی سطح پر چارج $\rho_S \Delta S$ کے برابر ہو گا جس سے

$$D_{\text{عمودی}} = \rho_S \tag{5.18}$$

حاصل ہوتا ہے۔ آئیں اسی بحث کو بہتر جامہ پہنائیں۔ ایسا کرتے ہوئے ہم ایک عمومی ترکیب سیکھ لیں گے جو مختلف اقسام کے اشیاء کے سرحد پر میدان کے حصول کے لئے استعمال کیا جاتا ہے۔

شکل 5.4 میں موصل اور خالی خلاء کے درمیان سرحد موٹی لکیر سے دکھایا گیا ہے۔ اس سرحد پر خلاء میں $\boldsymbol{E}$ اور $\boldsymbol{D}$ دکھائے گئے ہیں۔ خلاء میں $\boldsymbol{E}$ کو $\boldsymbol{E}_m$ اور $\boldsymbol{E}_n$ کے مجموعے کے طور پر بھی دکھایا گیا ہے جو بالترتیب سرحد کے مماسی اور عمودی اجزاء ہیں۔ اسی طرح $\boldsymbol{D}$ کو بھی مماسی اور عمودی اجزاء کے مجموعہ کے طور پر دکھایا گیا ہے۔ ہم صرف اس حقیقت کو لے کر آگے بڑھتے ہیں کہ موصل کے اندر $\boldsymbol{E}$ اور $\boldsymbol{D}$ دونوں صفر کے برابر ہیں۔ آئیں اس حقیقت کی بنا پر خلاء میں $\boldsymbol{E}$ کی قیمت حاصل کریں۔ ہم $\boldsymbol{E}$ کے مجموعے $\boldsymbol{E}_m$ اور $\boldsymbol{E}_n$ حاصل کریں گے۔ پہلے $\boldsymbol{E}_m$ حاصل کرتے ہیں۔

سرحد پر $abcd$ مستطیل بنایا گیا ہے جہاں ab اور cd سرحد کے مماسی جبکہ bc اور da سرحد کے عمودی ہیں۔ ab خالی خلاء میں سرحد سے $\Delta h/2$ فاصلے پر جبکہ cd موصل میں سرحد سے $\Delta h/2$ فاصلے پر ہیں۔ ab اور cd کی لمبائیاں Δw ہیں جبکہ bc اور da کی لمبائیاں Δh ہے۔ صفحہ 105 پر دئے مساوات 4.28

$$\oint \boldsymbol{E} \cdot \mathrm{d}\boldsymbol{L} = 0$$

کو $abcd$ پر لاگو کرتے ہیں۔ اس تکمل کو چار ٹکڑوں کا مجموعہ لکھا جا سکتا ہے۔

$$\oint \boldsymbol{E} \cdot \mathrm{d}\boldsymbol{L} = \int_a^b \boldsymbol{E} \cdot \mathrm{d}\boldsymbol{L} + \int_b^c \boldsymbol{E} \cdot \mathrm{d}\boldsymbol{L} + \int_c^d \boldsymbol{E} \cdot \mathrm{d}\boldsymbol{L} + \int_d^a \boldsymbol{E} \cdot \mathrm{d}\boldsymbol{L} = 0$$

اب a سے b تک

$$\int_a^b \boldsymbol{E} \cdot \mathrm{d}\boldsymbol{L} = E_m \Delta w$$

حاصل ہوتا ہے۔ خلاء میں نقطہ b پر عمودی میدان کو $E_{n,b}$ لکھتے ہوئے b سے c تک

$$\int_b^c \boldsymbol{E} \cdot \mathrm{d}\boldsymbol{L} = -E_{n,b} \frac{\Delta h}{2}$$

حاصل ہوتا ہے۔ یاد رہے کہ bc کی آدھی لمبائی موصل کے اندر ہے جہاں $\boldsymbol{E} = 0$ ہے۔ c سے d تک تکمل صفر کے برابر ہے چونکہ یہ راستہ موصل کے اندر ہے جہاں $\boldsymbol{E} = 0$ ہے۔

$$\int_c^d \boldsymbol{E} \cdot \mathrm{d}\boldsymbol{L} = 0$$

خلاء میں نقطہ a پر عمودی میدان کو $E_{n,a}$ لکھتے ہوئے d سے a تک

$$\int_d^a \boldsymbol{E}\cdot \mathrm{d}\boldsymbol{L} = E_{n,a}\frac{\Delta h}{2}$$

ان چار نتائج سے

$$\oint \boldsymbol{E}\cdot \mathrm{d}\boldsymbol{L} = E_m \Delta w + \left(E_{n,a} - E_{n,b}\right)\frac{\Delta h}{2} = 0$$

لکھا جا سکتا ہے۔ سرحد کے قریب میدان حاصل کرنے کی خاطر ہمیں سرحد کے قریب تر ہونا ہو گا یعنی Δh کو تقریباً صفر کے برابر کرنا ہو گا۔ایسا کرنے سے $\left(E_{n,a} - E_{n,b}\right)\frac{\Delta h}{2}$ کو نظرانداز کیا جا سکتا ہے۔ہم Δw کو اتنا چھوٹا لیتے ہیں کہ اس کی پوری لمبائی پر میدان کو یکساں تصور کرنا ممکن ہو۔ایسا کرتے ہوئے اس مساوات سے

$$\oint \boldsymbol{E}\cdot \mathrm{d}\boldsymbol{L} = E_m \Delta w = 0$$

یعنی

$$E_m = 0 \tag{5.19}$$

حاصل ہوتا ہے۔آئیں اب E_n حاصل کریں۔E_n کی بجائے گاوس کے قانون

$$\oint_S \boldsymbol{D}\cdot \mathrm{d}\boldsymbol{S} = Q$$

کی مدد سے D_n کا حصول زیادہ آسان ثابت ہوتا ہے لہٰذا ہم اسی کو حاصل کرتے ہیں۔ [1411]

شکل 5.4 میں موصل اور خالی خلاء کے سرحد پر Δh لمبائی کا بیلن دکھایا گیا ہے۔اس بیلن کے ڈھکنوں کا رقبہ ΔS ہے۔اگر سرحد پر ρ_S پایا جائے تب بیلن $\rho_S \Delta S$ چارج کو گھیرے گا۔گاوس کے قانون کے تحت بیلن سے اسی مقدار کے برابر برقی بہاو کا اخراج ہو گا۔برقی بہاو کا اخراج بیلن کے دونوں سروں اور اس کے نلکی نما سطح سے ممکن ہے۔یوں

$$\oint_S \boldsymbol{D}\cdot \mathrm{d}\boldsymbol{S} = \int_{\text{نچلا ڈھکن}} \boldsymbol{D}\cdot \mathrm{d}\boldsymbol{S} + \int_{\text{بالائی ڈھکن}} \boldsymbol{D}\cdot \mathrm{d}\boldsymbol{S} + \int_{\text{نلکی سطح}} \boldsymbol{D}\cdot \mathrm{d}\boldsymbol{S} = \rho_S \Delta S$$

لکھا جا سکتا ہے۔اب بیلن کی نچلی سطح موصل کے اندر ہے جہاں میدان صفر کے برابر ہے لہٰذا

$$\int_{\text{نچلا ڈھکن}} \boldsymbol{D}\cdot \mathrm{d}\boldsymbol{S} = 0$$

ہو گا۔مساوات 5.19 کے تحت سرحد پر خلاء میں مماسی میدان صفر ہوتا ہے۔موصل میں بھی میدان صفر ہوتا ہے لہٰذا

$$\int_{\text{نلکی سطح}} \boldsymbol{D}\cdot \mathrm{d}\boldsymbol{S} = 0$$

ہو گا۔بیلن کے بالائی سرے پر

$$\int_{\text{بالائی ڈھکن}} \boldsymbol{D}\cdot \mathrm{d}\boldsymbol{S} = D_n \Delta S$$

ہو گا۔ان تین نتائج کو استعمال کرتے ہوئے

$$\oint_S \boldsymbol{D} \cdot \mathrm{d}\boldsymbol{S} = D_n \Delta S = \rho_S \Delta S$$

یعنی

$$D_n = \rho_S$$

حاصل ہوتا ہے۔چونکہ $D = \epsilon_0 E$ ہوتا ہے لہٰذا یوں

$$D_n = \epsilon_0 E_n = \rho_S \tag{5.20}$$

لکھا جا سکتا ہے۔

مساوات 5.19 اور مساوات 5.20 موصل اور خالی خلاء کے سرحد پر برقی میدان کے شرائط بیان کرتے ہیں۔موصل اور خلاء کے سرحد پر برقی میدان موصل سے عمودی خارج ہوتا ہے جبکہ اس کے سرحد کے مماسی میدان صفر کے برابر ہوتا ہے۔نتیجتاً موصل کی سطح ہم قوہ سطح ہوتی ہے۔یوں موصل کی سطح پر دو نقطوں کے مابین کسی بھی راستے پر برقی میدان کا تکمل صفر کے برابر ہو گا یعنی $\int_a^b \boldsymbol{E} \cdot \mathrm{d}\boldsymbol{L} = 0$ ہو گا۔یاد رہے کہ برقی میدان کا تکمل برقی دباو دیتا ہے جو تکمل کے راستے پر منحصر نہیں ہوتا لہٰذا اس راستے کو موصل کی سطح پر ہی رکھا جا سکتا ہے جہاں $\boldsymbol{E}_{\text{مماسی}} = 0$ ہونے کی وجہ سے تکمل صفر کے برابر ہو گا۔

مشق 5.2: نقطہ $N(2,-3,5)$ موصل کی سطح پر پایا جاتا ہے جہاں $\boldsymbol{E} = 210\boldsymbol{a}_{\mathrm{x}} - 350\boldsymbol{a}_{\mathrm{y}} + 99\boldsymbol{a}_{\mathrm{z}}\ \frac{\mathrm{V}}{\mathrm{m}}$ کے برابر ہے۔اس نقطے پر E_m اور ρ_S حاصل کریں۔

جوابات: 0، $420\ \frac{\mathrm{V}}{\mathrm{m}}$ اور $3.71\ \frac{\mathrm{nC}}{\mathrm{m}^2}$

5.5 عکس کی ترکیب

جفت قطب کے خطوط صفحہ 115 پر شکل 4.10 میں دکھائے گئے ہیں جہاں دونوں چارجوں سے برابر فاصلے پر لامحدود برقی زمینی سطح دکھائی گئی ہے۔برقی زمین پر انتہائی باریک موٹائی کی لامحدود موصل سطح رکھی جا سکتی ہے۔ایسی موصل سطح پر برقی دباو صفر وولٹ ہو گا اور اس پر میدان عمودی ہو گا۔موصل کے اندر برقی میدان صفر رہتا ہے اور اس سے برقی میدان گزر نہیں پاتا۔

اگر اس موصل سطح کے نیچے سے جفت قطب کا منفی چارج ہٹا دیا جائے تب بھی سطح کے بالائی جانب میدان عمودی ہی ہو گا۔یاد رہے برقی زمین صفر وولٹ پر ہوتی ہے۔موصل سطح سے اوپر میدان جوں کا توں رہے گا جبکہ اس سے نیچے میدان صفر ہو جائے گا۔اسی طرح سطح سے اوپر جفت قطب کا مثبت چارج ہٹانے سے سطح کے نچلے میدان پر کوئی اثر نہیں پڑتا جبکہ سطح سے اوپر میدان صفر ہو جاتا ہے۔

آئیں ان حقائق کو دوسری نقطہ نظر سے دیکھیں۔فرض کریں کہ لامحدود موصل سطح یا برقی زمین سے $\frac{d}{2}$ فاصلے پر اوپر مثبت نقطہ چارج $+Q$ پایا جاتا ہے۔چونکہ ایسی صورت میں سطح سے اوپر برقی میدان بالکل جفت قطب کے میدان کی طرح ہو گا لہٰذا ہم $\frac{d}{2}$ فاصلے پر برقی زمین سے نیچے عین مثبت چارج

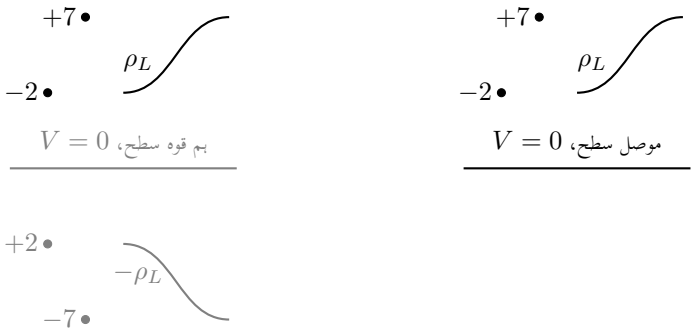

شکل 5.5: عکس کی ترکیب۔

کے نیچے منفی چارج $-Q$ رکھتے ہوئے برقی زمین کو ہٹا سکتے ہیں۔اوپر جانب کے میدان پر ان اقدام کا کوئی اثر نہیں ہو گا۔یوں جفت قطب کے تمام مساوات بروئے کار لاتے ہوئے زمین کے اوپر جانب کا میدان حاصل کیا جا سکتا ہے۔یاد رہے کہ سطح کے نیچے برقی زمین کو صفر ہی تصور کیا جائے گا۔اگر برقی زمین کی سطح کو آئینہ تصور کیا جائے تب مثبت چارج کا عکس اس آئینہ میں اسی مقام پر نظر آئے گا جہاں ہم نے تصوراتی منفی چارج رکھا۔یوں اس منفی چارج کو حقیقی چارج کا عکس[22] کہتے ہیں۔

ایسی ہی ترکیب لامحدود زمینی سطح کے ایک جانب منفی چارج سے پیدا میدان حاصل کرنے کی خاطر بھی استعمال کیا جاتا ہے۔ایسی صورت میں زمین کی دوسری جانب عین منفی چارج کے سامنے، اتنے ہی فاصلے پر برابر مقدار مگر مثبت چارج رکھتے ہوئے برقی زمین کو ہٹایا جا سکتا ہے۔

کسی بھی چارج کو نقطہ چارجوں کا مجموعہ تصور کیا جا سکتا ہے۔لہٰذا لامحدود برقی زمین یا لامحدود موصل سطح کی ایک جانب کسی بھی شکل کے چارجوں کا میدان، سطح کی دوسری جانب چارجوں کا عکس رکھتے اور زمین کو ہٹاتے ہوئے حاصل کیا جاتا ہے۔اس ترکیب کو عکس کی ترکیب کہتے ہیں۔یاد رہے کہ کسی بھی لامحدود موصل سطح جس کے ایک جانب چارج پایا جاتا ہو پر سطحی چارج پایا جائے گا۔عموماً مسئلے میں لامحدود سطح اور سطح کے باہر چارج معلوم ہوں گے۔ایسے مسئلے کو حل کرنے کی خاطر سطح پر سطحی چارجوں کا علم بھی ضروری ہوتا ہے۔سطحی چارج دریافت کرنا نسبتاً مشکل کام ہے جس سے چھٹکارا حاصل کرنا عقلمندی ہو گی۔عکس کی ترکیب میں سطحی چارج کا جاننا ضروری نہیں لہٰذا اس ترکیب سے مسئلہ کو حل کرنا عموماً زیادہ آسان ثابت ہوتا ہے۔

شکل 5.5 میں لامحدود موصل سطح سے اوپر مختلف اقسام کے چارج دکھائے گئے ہیں۔اسی شکل میں مسئلے کو عکس کے ترکیب کی نقطہ نظر سے بھی دکھایا گیا ہے۔موصل سطح کے مقام پر دونوں صورتوں میں صفر وولٹ ہی رہتے ہیں۔

مثال 5.5: لامحدود موصل سطح $z = 3$ کے قریب $N(5,7,8)$ پر $5\,\mu\text{C}$ چارج پایا جاتا ہے۔موصل کی سطح پر نقطہ $M(2,4,3)$ پر $\boldsymbol{E}$ حاصل کرتے ہوئے اسی مقام پر موصل کی سطحی کثافت چارج حاصل کریں۔

حل: $5\,\mu\text{C}$ کا عکس $-5\,\mu\text{C}$ لامحدود سطح کے دوسری جانب نقطہ $P(5,7,-2)$ پر رکھتے ہوئے موصل سطح ہٹاتے ہیں۔اب N سے M تک سمتیہ $\boldsymbol{R}_{MN} = -3\boldsymbol{a}_\text{x} - 3\boldsymbol{a}_\text{y} - 5\boldsymbol{a}_\text{z}$ ہے جبکہ P سے M تک سمتیہ $\boldsymbol{R}_{MP} = -3\boldsymbol{a}_\text{x} - 3\boldsymbol{a}_\text{y} + 5\boldsymbol{a}_\text{z}$ ہے۔یوں $5\,\mu\text{C}$ نقطہ M پر

$$\boldsymbol{E}_+ = \frac{5\times 10^{-6}(-3\boldsymbol{a}_\text{x} - 3\boldsymbol{a}_\text{y} - 5\boldsymbol{a}_\text{z})}{4\pi\epsilon_0(3^2+3^2+5^2)^{\frac{3}{2}}} = \frac{5\times 10^{-6}(-3\boldsymbol{a}_\text{x} - 3\boldsymbol{a}_\text{y} - 5\boldsymbol{a}_\text{z})}{4\pi\epsilon_0(43)^{\frac{3}{2}}}$$

---

[22] image

پیدا کرے گا۔اسی طرح $-5\,\mu\text{C}$ چارج نقطہ M پر

$$\boldsymbol{E}_- = \frac{-5\times 10^{-6}(-3\boldsymbol{a}_\text{x} - 3\boldsymbol{a}_\text{y} + 5\boldsymbol{a}_\text{z})}{4\pi\epsilon_0(3^2+3^2+5^2)^{\frac{3}{2}}} = \frac{-5\times 10^{-6}(-3\boldsymbol{a}_\text{x} - 3\boldsymbol{a}_\text{y} + 5\boldsymbol{a}_\text{z})}{4\pi\epsilon_0(43)^{\frac{3}{2}}}$$

میدان پیدا کرے گا۔چونکہ برقی میدان خطی نوعیت کا ہوتا ہے لہٰذا کسی بھی نقطے پر مختلف چارجوں کے پیدا کردہ میدان جمع کرتے ہوئے کل میدان حاصل کیا جا سکتا ہے۔یوں نقطہ M پر کل میدان

$$\boldsymbol{E}_{\text{کل}} = \boldsymbol{E}_+ + \boldsymbol{E}_- = \frac{-50\times 10^{-6}\boldsymbol{a}_\text{z}}{4\pi\epsilon_0(43)^{\frac{3}{2}}}$$

ہو گا۔موصل کی سطح پر میدان عمودی ہوتا ہے۔موجودہ جواب اس حقیقت کی تصدیق کرتا ہے۔یوں موصل کی سطح پر

$$\boldsymbol{D} = \epsilon_0\boldsymbol{E} = \frac{-50\times 10^{-6}\boldsymbol{a}_\text{z}}{4\pi(43)^{\frac{3}{2}}} = -14.13\times 10^{-9}\boldsymbol{a}_\text{z}$$

حاصل ہوتا ہے جو سطح میں داخل ہونے کی سمت میں ہے۔یوں مساوات 5.20 کے تحت سطح پر

$$\rho_S = -14.3\frac{\text{nC}}{\text{m}^2}$$

پایا جاتا ہے۔

مندرجہ بالا مثال میں اگر $N(5,7,8)$ پر $5\,\mu\text{C}$ پایا جاتا اور لامحدود سطح موجود نہ ہوتا تب $M(2,4,3)$ پر میدان $\boldsymbol{E}_+$ ہوتا۔لامحدود موصل سطح کی موجودگی میں یہ قیمت تبدیل ہو کر مثال میں حاصل کی گئی $\boldsymbol{E}_{\text{کل}}$ ہو جاتی ہے۔درحقیقت سطح کے قریب چارج کی وجہ سے سطح پر سطحی چارج کثافت پیدا ہو جاتا ہے۔کسی بھی نقطے پر بیرونی چارج اور سطحی چارج دونوں کے میدان کا مجموعہ حقیقی میدان ہوتا ہے۔

مثال 5.6: لامحدود موصل سطح $z=0$ میں $(0,0,z)$ پر Q نقطہ چارج سے پیدا کثافت سطحی چارج حاصل کریں۔

حل: اس مسئلے کو عکس کے ترکیب سے حل کرنے کی خاطر $(0,0,-z)$ پر $-Q$ چارج رکھتے ہوئے موصل سطح کو ہٹا کر حل کرتے ہیں۔ایسی صورت میں سطح کے مقام پر عمومی نقطہ $(\rho,\phi,0)$ پر Q اور $-Q$ چارج

$$\boldsymbol{E}_+ = \frac{Q(\rho\boldsymbol{a}_\rho - z\boldsymbol{a}_\text{z})}{4\pi\epsilon_0(\rho^2+z^2)^{\frac{3}{2}}}$$
$$\boldsymbol{E}_- = \frac{-Q(\rho\boldsymbol{a}_\rho + z\boldsymbol{a}_\text{z})}{4\pi\epsilon_0(\rho^2+z^2)^{\frac{3}{2}}}$$

میدان پیدا کریں گے۔$\boldsymbol{D} = \epsilon_0\boldsymbol{E}$ استعمال کرتے ہوئے کل

$$\boldsymbol{D} = \frac{-2Qz\boldsymbol{a}_\text{z}}{4\pi(\rho^2+z^2)^{\frac{3}{2}}}$$

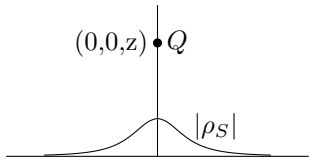

شکل 5.6: نقطہ چارج سے لامحدود موصل سطح میں پیدا سطحی کثافت چارج۔

حاصل ہوتا ہے جس کی سمت $-\boldsymbol{a}_z$ ہے جو موصل میں اوپر سے داخل ہونے کی سمت ہے۔یوں موصل سطح پر

$$\rho_S = \frac{-2Qz}{4\pi(\rho^2+z^2)^{\frac{3}{2}}} \qquad \frac{\mathrm{C}}{\mathrm{m}^2} \tag{5.21}$$

پایا جائے گا۔شکل 5.6 میں چارج Q اور موصل سطح پر ρ_S دکھائے گئے ہیں۔

مساوات 5.21 کو استعمال کرتے ہوئے لامحدود موصل سطح پر کل چارج حاصل کیا جا سکتا ہے۔یقینی طور پر اس کی مقدار $-Q$ ہی حاصل ہو گی۔

5.6 نیم موصل

نیم موصل اشیاء مثلاً خالص سلیکان اور جرمینیم میں آزاد چارجوں کی تعداد موصل کی نسبت سے کم جبکہ غیر موصل کی نسبت سے زیادہ ہوتی ہے۔یوں ان کی موصلیت موصل اور غیر موصل کے موصلیت کے درمیان میں ہوتی ہے۔نیم موصل کی خاص بات یہ ہے کہ ان میں انتہائی کم مقدار کے ملاوٹ[23] سے ان کی موصلیت پر انتہائی گہرا اثر پڑتا ہے۔نیم موصل دوری جدول[24] کے چوتھے جماعت[25] سے تعلق رکھتے ہیں۔دوری جدول کے پانچویں جماعت کے عناصر مثلاً نائٹروجن اور فاسفورس کا ایٹم ایک عدد الیکٹران عطا کرنے کا رجحان رکھتا ہے۔یوں انہیں عطا کنندہ[26] عناصر کہتے ہیں۔نیم موصل میں ایسا ہر عطا کنندہ ملاوٹی ایٹم ایک عدد آزاد الیکٹران کو جنم دیتا ہے۔ایسے عنصر کی نہایت کم مقدار کی ملاوٹ سے نیم موصل میں آزاد الیکٹران کی تعداد بڑھ جاتی ہے جس سے ان کی موصلیت بہت بڑھ جاتی ہے۔ایسے نیم موصل جن میں آزاد الیکٹران کی تعداد بڑھا دی گئی ہو کو n نیم موصل کہتے ہیں۔اس کے برعکس تیسرے جماعت کے عناصر مثلاً المونیم کا ایٹم ایک عدد الیکٹران قبول کرنے کا رجحان رکھتا ہے۔یوں المونیم کو قبول کنندہ[27] عنصر کہا جاتا ہے۔ملاوٹی المونیم کا ایٹم نیم موصل کے ایٹم سے الیکٹران حاصل کرتے ہوئے الیکٹران کی جگہ خالی جگہ پیدا کر دیتا ہے جسے خول[28] کہا جاتا ہے۔نیم موصل میں ایسا ہر قبول کنندہ ملاوٹی ایٹم ایک عدد آزاد خول کو جنم دیتا ہے۔ایسا آزاد خول مثبت ذرے کی مانند معلوم ہوتا ہے جس کا چارج e الیکٹران کے چارج $-e$ کے برابر مگر الٹ قطب کا ہوتا ہے اور جس کی کمیت m_h لی جا سکتی ہے۔اسی طرح آزاد خول کی حرکت پذیری μ_h لکھی جاتی ہے۔بالکل آزاد الیکٹران کی طرح برقی میدان کی موجودگی میں آزاد خول رفتار بہاو $\boldsymbol{v}_d = \mu_h \boldsymbol{E}$ سے حرکت کرتا ہے جو موصلیت $\sigma = \rho_h \mu_h$ کو جنم دیتا ہے۔یاد رہے کہ مثبت خول $\boldsymbol{E}$ کی سمت میں ہی حرکت کرے گا لہٰذا اس کے رفتار بہاو کی سمت $\boldsymbol{E}$ کی سمت ہی ہو گی۔تیسرے جماعت کے عناصر کی ملاوٹ کردہ نیم موصل کو p نیم موصل کہا جاتا ہے۔آزاد الیکٹران اور آزاد خول مل کر

$$\sigma = -\rho_e \mu_e + \rho_h \mu_h \tag{5.22}$$

---

[23] doping
[24] periodic table
[25] group
[26] donor
[27] acceptor
[28] hole

موصلیت پیدا کرتے ہیں جہاں ρ_h آزاد خول کی حجمی چارج کثافت ہے۔خالص نیم موصل میں حرارتی توانائی سے نیم موصل کے ایٹم سے الیکٹران خارج ہو کر آزاد الیکٹران کی حیثیت اختیار کرتا ہے جبکہ ایسے الیکٹران کا خالی کردہ مقام آزاد خول کی حیثیت اختیار کرتا ہے۔یوں خالص نیم موصل میں آزاد الیکٹران اور آزاد خول کی تعداد برابر ہوتی ہے۔

خالص نیم موصل اوہم کے قانون کی نقطہ شکل پر پورا اترتا ہے۔یوں کسی ایک درجہ حرارت پر نیم موصل کی موصلیت تقریباً اٹل قیمت رکھتی ہے۔

آپ کو یاد ہو گا کہ درجہ حرارت بڑھانے سے موصل میں آزاد الیکٹران کی رفتار بہاو کم ہوتی ہے جس سے موصلیت کم ہو جاتی ہے۔درجہ حرارت کا موصل میں آزاد الیکٹران کے حجمی چارج کثافت پر خاص اثر نہیں ہوتا۔اگرچہ نیم موصل میں بھی درجہ حرارت بڑھانے سے آزاد چارج کی رفتار بہاو کم ہوتی ہے لیکن ساتھ ہی ساتھ آزاد چارج کی مقدار نسبتاً زیادہ مقدار میں بڑھتی ہے جس کی وجہ سے نیم موصل کی موصلیت درجہ حرارت بڑھانے سے بڑھتی ہے۔یہ موصل اور نیم موصل کے خصوصیات میں واضح فرق ہے۔

مشق 5.3: 300 K درجہ حرارت پر خالص سلیکان میں آزاد الیکٹران اور آزاد خول کی تعداد 1.5×10^{16} فی مربع میٹر، الیکٹران کی رفتار بہاو $0.12\ \frac{\mathrm{m}^2}{\mathrm{Vs}}$ جبکہ خول کی رفتار بہاو $0.025\ \frac{\mathrm{m}^2}{\mathrm{Vs}}$ ہے۔جرمینیم کے لئے یہی قیمتیں بالترتیب 2.4×10^{19} فی مربع میٹر، $0.36\ \frac{\mathrm{m}^2}{\mathrm{Vs}}$ اور $0.17\ \frac{\mathrm{m}^2}{\mathrm{Vs}}$ ہیں۔خالص سلیکان اور خالص جرمینیم کی موصلیت دریافت کریں۔

جوابات: $0.348\ \frac{\mathrm{mS}}{\mathrm{m}}$ اور $2\ \frac{\mathrm{S}}{\mathrm{m}}$

5.7 ذو برق

اس باب میں اب تک ہم موصل اور نیم موصل کی بات کر چکے ہیں جن میں آزاد چارج پائے جاتے ہیں۔یوں ایسے اشیاء پر برقی دباو لاگو کرنے سے ان میں برقرار برقی رو پیدا کی جا سکتی ہے۔آئیں ایسی اشیاء کی بات کریں جن میں آزاد چارج نہیں پائے جاتے لہٰذا ان میں برقرار برقی رو پیدا کرنا ممکن نہیں ہوتا۔

بعض اشیاء مثلاً پانی کے مالیکیول میں قدرتی طور پر مثبت اور منفی مراکز پائے جاتے ہیں۔ایسے مالیکیول کو قطبی[29] مالیکیول کہتے ہیں۔قطبی مالیکیول کو جفت قطب تصور کیا جا سکتا ہے۔بیرونی میدان کے غیر موجودگی میں کسی بھی چیز میں قطبی مالیکیول بلا ترتیب پائے جاتے ہیں۔بیرونی میدان $\boldsymbol{E}$ لاگو کرنے سے مالیکیول کے مثبت سرے پر میدان کی سمت میں جبکہ منفی سرے پر میدان کی الٹ سمت میں قوت عمل کرتا ہے۔ان قوتوں کی وجہ سے مالیکیول کے مثبت اور منفی مراکز ان قوتوں کی سمتوں میں حرکت کرتے ہوئے گھوم جاتے ہیں اور ساتھ ہی ساتھ مراکز کے درمیان فاصلہ بھی بڑھ جاتا ہے۔ٹھوس قطبی اشیاء میں ایٹموں اور مالیکیول کے درمیان قوتیں ان حرکات کو روکنے کی کوشش کرتی ہیں۔اسی طرح مثبت اور منفی چارج کے مابین قوت کشش ان کے درمیان فاصلہ بڑھنے کو روکتا ہے۔جہاں یہ مخالف قوتیں برابر ہوں وہاں مثبت اور منفی مراکز رک جاتے ہیں۔بیرونی میدان ان تمام بلا ترتیب جفت قطب کو ایک سمت میں لانے کی کوشش کرتا ہے۔

بعض اشیاء میں قدرتی طور پر مثبت اور منفی مراکز نہیں پائے جاتے البتہ انہیں بیرونی میدان میں رکھنے سے ان میں ایسے مراکز پیدا ہو جاتے ہیں۔ایسے اشیاء کو غیر قطبی[30] کہتے ہیں۔بیرونی میدان مالیکیول کے الیکٹرانوں کو ایک جانب کھینچ کر منفی مرکز جبکہ بقایا ایٹم کو مثبت چھوڑ کر مثبت مرکز پیدا کرتا

---

[29] polar
[30] non polar

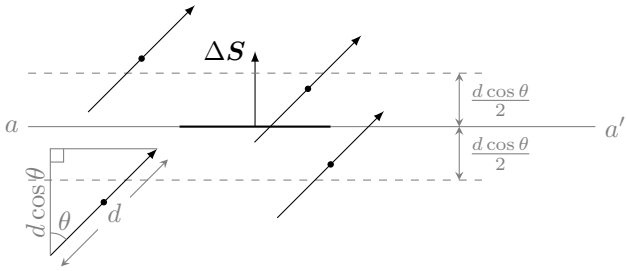

شکل 5.7: بیرونی میدان کی موجودگی میں مقید چارج کی حرکت۔

ہے۔مثبت اور منفی چارج کے مابین قوت کشش اس طرح مراکز پیدا ہونے کے خلاف عمل کرتا ہے۔جہاں یہ مخالف قوتیں برابر ہو جائیں وہیں پر چارج کے حرکت کا سلسلہ رک جاتا ہے۔یہ اشیاء قدرتی طور پر غیر قطبی ہیں البتہ انہیں بیرونی میدان قطبی بنا دیتا ہے۔پیدا کردہ جفت قطب بیرونی میدان کی سمت میں ہی ہوں گے۔

ایسے تمام اشیاء جو یا تو پہلے سے قطبی ہوں اور یا انہیں بیرونی میدان کی مدد سے قطبی بنایا جا سکے ذو برق[31] کہلاتے ہیں۔

ذو برق میں بیرونی میدان سے مالیکیول کے اندر حرکت پیدا ہوتی ہے البتہ مالیکیول از خود اسی جگہ رہتا ہے۔ایسا چارج جو بیرونی میدان کی وجہ سے اپنی جگہ پر معمولی حرکت کرتا ہو کو مقید چارج[32] کہتے ہیں۔اس کے برعکس آزاد چارج بیرونی میدان میں مسلسل حرکت کرتا ہے۔

ذو برق کے جفت قطب کا معیار اثر کو صفحہ 113 میں دئے مساوات 4.68

$$\boldsymbol{p} = Q\boldsymbol{d} \tag{5.23}$$

سے ظاہر کیا جا سکتا ہے جہاں Q ذو برق کے جفت قطب میں مثبت مرکز کا چارج ہے۔

اگر اکائی حجم میں n جفت قطب پائے جائیں تب Δv حجم میں $n\Delta v$ جفت قطب ہوں گے جن کا اجتماعی معیار اثر جفت قطب تمام کے سمتی مجموعے

$$\boldsymbol{p}_{\text{کل}} = \sum_{i=1}^{n\Delta v} \boldsymbol{p}_i \tag{5.24}$$

کے برابر ہو گا جہاں انفرادی $\boldsymbol{p}$ مختلف ہو سکتے ہیں۔تقطیب[33] سے مراد اکائی حجم میں کل معیار اثر جفت قطب ہے یعنی

$$\boldsymbol{P} = \lim_{\Delta v \to 0} \frac{1}{\Delta v} \sum_{i=1}^{n\Delta v} \boldsymbol{p}_i \tag{5.25}$$

جس کی اکائی کولمب فی مربع میٹر ہے۔Δv کو کم سے کم[34] کرتے ہوئے نقطے پر تقطیب حاصل کی گئی ہے۔حقیقت میں Δv کو اتنا رکھا جاتا ہے کہ اس میں جفت قطب کی تعداد $(n\Delta v)$ اتنی ہو کہ انفرادی جفت قطب کے اثر کو نظر انداز کرنا ممکن ہو۔یوں تقطیب کو یکساں تفاعل تصور کیا جاتا ہے۔

آئیں ان حقائق کو استعمال کرتے ہوئے آگے بڑھیں۔

شکل 5.7 کو دیکھتے ہوئے آگے پڑھیں۔تصور کریں کہ ذو برق میں غیر قطبی مالیکیول پائے جاتے ہیں جن کا مقام بیرونی میدان کی غیر موجودگی میں دائروں سے ظاہر کیا گیا ہے۔بیرونی میدان کے غیر موجودگی میں $\boldsymbol{P} = 0$ ہو گا۔ذو برق کے اندر تصوراتی سطح ΔS لیتے ہیں جسے موٹی گہری سیاہی کی لکیر

[31] dielectric
[32] bound charge
[33] polarization
[34] یہ ایسے ہی ہے جیسے لمحاتی رفتار $\frac{\Delta x}{\Delta t}$ حاصل کرتے وقت $\Delta t \to 0$ لیا جاتا ہے۔

سے ظاہر کیا گیا ہے۔اس کے دونوں جانب ہلکی سیاہی سے a تا a' لکیر بھی دکھائی گئی ہے۔بیرونی میدان لاگو کرنے سے جفت قطب $\boldsymbol{p} = Q\boldsymbol{d}$ پیدا ہوتے ہیں جن کا $\boldsymbol{d}$ اور $\boldsymbol{p}$ سطح $\Delta \boldsymbol{S}$ کے ساتھ θ زاویہ بناتے ہیں۔ان جفت قطب کو سمتیوں سے ظاہر کیا گیا ہے جہاں سمتیہ کی نوک مثبت جبکہ اس کی دم منفی چارج کا مقام دیتی ہے۔شکل کو دیکھتے ہوئے صاف ظاہر ہے کہ aa' سے $\frac{d\cos\theta}{2}$ فاصلے نیچے تک تمام مثبت چارج بیرونی میدان لاگو کرنے سے aa' سے گزرتے ہوئے اوپر چلے جائیں گے۔اسی طرح aa' سے $\frac{d\cos\theta}{2}$ فاصلے اوپر تک تمام منفی چارج بیرونی میدان لاگو کرنے سے aa' سے گزرتے ہوئے نیچے چلے جائیں گے۔یوں ΔS رقبہ اور $d\cos\theta$ گہرائی کے حجم $d\Delta S\cos\theta$ میں جتنے بھی جفت قطب ہوں ان تمام کا ایک سرا $\Delta \boldsymbol{S}$ سے گزرے گا۔چونکہ اکائی حجم میں n جفت قطب ہیں لہٰذا اتنی حجم میں $nd\Delta S\cos\theta$ جفت قطب ہوں گے۔یوں $\frac{nQd\Delta S\cos\theta}{2}$ چارج ΔS سے گزر کر اوپر جبکہ $\frac{-nQd\Delta S\cos\theta}{2}$ چارج ΔS سے گزر کر نیچے جائے گا۔مثبت چارج کا اوپر جانب حرکت اور منفی چارج کا نیچے جانب حرکت ایک ہی معنی رکھتے ہیں لہٰذا کل

$$\Delta Q_m = nQd\Delta S\cos\theta = nQ\boldsymbol{d}\cdot\Delta\boldsymbol{S} \tag{5.26}$$

چارج سطح سے گزرتے ہوئے اوپر جانب جائے گا جہاں ΔQ_m لکھتے ہوئے اس حقیقت کی یاد دہانی کرائی گئی ہے کہ ہم مقید چارج کی بات کر رہے ہیں۔چونکہ تمام جفت قطب ایک ہی سمت میں ہیں لہٰذا اس حجم کی تقطیب

$$\boldsymbol{P} = nQ\boldsymbol{d} \tag{5.27}$$

ہو گی۔یوں مساوات 5.26 کو

$$\Delta Q_m = \boldsymbol{P}\cdot\Delta\boldsymbol{S} \tag{5.28}$$

لکھا جا سکتا ہے۔اگر $\Delta \boldsymbol{S}$ کو بند سطح کا ٹکڑا سمجھا جائے جہاں $\boldsymbol{a}_S$ بیرونی سمت کو ہو تب اس بند سطح سے کل چارج کا اخراج

$$\oint_S \boldsymbol{P}\cdot\mathrm{d}\boldsymbol{S}$$

کے برابر ہو گا۔یوں بند سطح میں مقید چارج کا اضافہ

$$Q_m = -\oint_S \boldsymbol{P}\cdot\mathrm{d}\boldsymbol{S} \tag{5.29}$$

ہو گا۔یہ مساوات گاوس کے قانون کی شکل رکھتی ہے لہٰذا ہم کثافت برقی بہاو کی تعریف یوں تبدیل کرتے ہیں کہ یہ خالی خلاء کے علاوہ دیگر صورتوں میں بھی قابل استعمال ہو۔گاوس کا قانون صحہ 71 پر مساوات 3.6 میں دیا گیا ہے۔ہم پہلے اس قانون کو $\epsilon_0\boldsymbol{E}$ اور کل گھیرے چارج $Q_{\text{کل}}$ کی شکل میں لکھتے ہیں

$$Q_{\text{کل}} = \oint_S \epsilon_0\boldsymbol{E}\cdot\mathrm{d}\boldsymbol{S} \tag{5.30}$$

جہاں

$$Q_{\text{کل}} = Q + Q_m \tag{5.31}$$

کے برابر ہے۔مساوات 5.30 میں بند سطح $\boldsymbol{S}$ آزاد چارج Q اور مقید چارج Q_m کو گھیرے ہوئے ہے۔مساوات 5.31 میں مساوات 5.29 اور مساوات 5.30 پر کرتے ہوئے

$$Q = Q_{\text{کل}} - Q_m = \oint_S (\epsilon_0\boldsymbol{E} + \boldsymbol{P})\cdot\mathrm{d}\boldsymbol{S} \tag{5.32}$$

حاصل ہوتا ہے۔ 1494

ہم کثافت برقی بہاو کو اب

$$\boldsymbol{D} = \epsilon_0\boldsymbol{E} + \boldsymbol{P} \tag{5.33}$$

بیان کرتے ہیں جو زیادہ کارآمد اور عمومی مساوات ہے۔یوں ذو برق اشیاء کے لئے کثافت برقی بہاو میں اضافی جزو $\boldsymbol{P}$ شامل ہو جاتا ہے۔اس طرح

$$Q = \oint_S \boldsymbol{D} \cdot \mathrm{d}\boldsymbol{S} \tag{5.34}$$

لکھا جا سکتا ہے جہاں Q گھیرا ہوا آزاد چارج ہے۔

ہم آزاد، مقید اور کل چارجوں کے لئے آزاد، مقید اور کل حجمی کثافت بیان کرتے ہوئے

$$\begin{aligned} Q &= \int_h \rho_h \, \mathrm{d}h \\ Q_m &= \int_h \rho_m \, \mathrm{d}h \\ Q_{\text{کل}} &= \int_h \rho_{\text{کل}} \, \mathrm{d}h \end{aligned}$$

لکھ سکتے ہیں۔

مسئلہ پھیلاو کے استعمال سے مساوات 5.29، مساوات 5.30 اور مساوات 5.34 کے نقطہ اشکال

$$\begin{aligned} \nabla \cdot \boldsymbol{P} &= -\rho_m \\ \epsilon_0 \nabla \cdot \boldsymbol{E} &= \rho_{\text{کل}} \end{aligned}$$

اور

$$\nabla \cdot \boldsymbol{D} = \rho_h \tag{5.35}$$

لکھے جا سکتے ہیں۔

قلم میں دہراتے طرز پر ایٹم پائے جاتے ہیں۔ قلم میں عموماً کسی ایک سمت میں با آسانی جبکہ بقایا سمتوں میں مشکل سے تقطیب پیدا کرنا ممکن ہوتا ہے۔جس سمت میں باآسانی تقطیب پیدا کی جا سکے اسے آسان محور[35] یا آسان سمت یا نرم محور کہتے ہیں۔۔ایسے اشیاء جو مختلف اطراف میں مختلف خصوصیات رکھتے ہوں سمتی[36] اشیاء کہلاتے ہیں۔ساتھ ہی ساتھ یہ ضروری نہیں کہ بیرونی لاگو میدان اور تقطیب ایک ہی سمت میں ہوں۔کچھ ایسے اشیاء بھی پائے جاتے ہیں جو برقی چال[37] کی خاصیت رکھتے ہیں۔ان میں تقطیب کی قیمت ان اشیاء کی گزشتہ تاریخ پر مبنی ہوتی ہے۔یہ عمل بالکل مقناطیسی مادے کی مقناطیسی چال کے طرز کی خصوصیت ہے۔

کچھ ذو برق اشیاء میں لاگو بیرونی میدان $\boldsymbol{E}$ اور تقطیب $\boldsymbol{P}$ ہر صورت ایک ہی سمت میں ہوتے ہیں۔ ان اشیاء کی خصوصیات ہر طرف بالکل ایک ہی طرح ہوتی ہیں۔ایسے اشیاء غیر سمتی[38] اشیاء کہلاتے ہیں۔انجنیئرنگ میں استعمال ہونے والے ذو برق اشیاء عموماً ایسے ہی ہوتے ہیں۔اس کتاب میں صرف انہیں پر تبصرہ کیا جائے گا۔ایسے اشیاء میں تقطیب اور لاگو برقی میدان راست تناسب تعلق

$$\begin{aligned} \boldsymbol{P} &= \chi_e \epsilon_0 \boldsymbol{E} \\ &= (\epsilon_R - 1)\epsilon_0 \boldsymbol{E} \end{aligned} \tag{5.36}$$

---

[35] easy axis
[36] anisotropic
[37] ferroelectric
[38] isotropic

رکھتا ہے جہاں مساوات کے مستقل کو $\epsilon_0\chi_e$ یا $(\epsilon_R-1)\epsilon_0$ لکھا جاتا ہے۔یوں مساوات 5.33

$$\boldsymbol{D}=\epsilon_0\boldsymbol{E}+(\epsilon_R-1)\epsilon_0\boldsymbol{E}$$

یا

$$\boldsymbol{D}=\epsilon_R\epsilon_0\boldsymbol{E}=\epsilon\boldsymbol{E} \tag{5.37}$$

شکل اختیار کرتا ہے جہاں ذو برق کا برقی مستقل

$$\epsilon=\epsilon_R\epsilon_0 \tag{5.38}$$

کے برابر ہے۔ماہر طبیعیات عموماً χ_e جبکہ انجنیئر عموماً ϵ_R استعمال کرتے ہیں۔ان کا تعلق

$$\chi_e=\epsilon_R-1 \tag{5.39}$$

ہے۔

χ_e برقی اثر پذیری[39]، ϵ_R جزوی برقی مستقل[40] جبکہ ϵ_0 خالی خلاء کا برقی مستقل[41] کہلاتے ہیں۔اس کتاب کے آخر میں صفحہ 568 پر چند مخصوص اشیاء کے برقی مستقل جدول 15.2 میں دئے گئے ہیں۔

غیر یکساں[42] خاصیت رکھنے والے اشیاء اتنے سادہ مساوات سے نہیں نپٹے جاتے۔ان اشیاء میں $\boldsymbol{E}$ کا ہر کارتیسی جزو $\boldsymbol{D}$ کے ہر کارتیسی جزو پر اثر انداز ہوتا ہے لہٰذا ان کا تعلق یوں

$$\begin{aligned}D_x&=\epsilon_{xx}E_x+\epsilon_{xy}E_y+\epsilon_{xz}E_z\\D_y&=\epsilon_{yx}E_x+\epsilon_{yy}E_y+\epsilon_{yz}E_z\\D_z&=\epsilon_{zx}E_x+\epsilon_{zy}E_y+\epsilon_{zz}E_z\end{aligned} \tag{5.40}$$

لکھا جاتا ہے جہاں نو اعدادی ϵ_{ij} کو مجموعی طور پر تناوی مستقل[43] کہا جاتا ہے۔اسی طرح مساوات 5.40 کے طرز کے مساوات تناوی مساوات کہلاتے ہیں۔غیر سمتی اشیاء میں $\boldsymbol{D}$ اور $\boldsymbol{E}$ (اور $\boldsymbol{P}$) آپس میں متوازی نہیں ہوتے اور اگرچہ $\boldsymbol{D}=\epsilon_0\boldsymbol{E}+\boldsymbol{P}$ ان کے لئے بھی درست ہے، $\boldsymbol{D}=\epsilon\boldsymbol{E}$ استعمال کرتے وقت اس حقیقت کا خیال رکھنا ہو گا کہ ϵ اب تناوی مستقل ہے۔غیر سمتی اشیاء پر ایک مثال کے بعد بحث روکتے ہیں۔

مثال 5.7: ایک غیر سمتی ذو برق کا تناوی مستقل

$$\epsilon=\epsilon_0\begin{vmatrix}4&0&0\\0&9&0\\0&0&9\end{vmatrix}$$

ہے۔برقی میدان $\boldsymbol{E}=\sqrt{3}\boldsymbol{a}_{\mathrm{x}}$، $\boldsymbol{E}=\sqrt{3}\boldsymbol{a}_{\mathrm{y}}+1\boldsymbol{a}_{\mathrm{z}}$ اور $\boldsymbol{E}=1\boldsymbol{a}_{\mathrm{x}}+1\boldsymbol{a}_{\mathrm{y}}+1\boldsymbol{a}_{\mathrm{z}}$ کی صورت میں $\boldsymbol{D}$ حاصل کریں۔

جوابات: $\boldsymbol{D}=4\sqrt{3}\epsilon_0\boldsymbol{a}_{\mathrm{x}}$، $\boldsymbol{D}=9\epsilon_0\boldsymbol{a}_{\mathrm{y}}$ اور $\boldsymbol{D}=\epsilon_0(4\boldsymbol{a}_{\mathrm{x}}+9\boldsymbol{a}_{\mathrm{y}}+9\boldsymbol{a}_{\mathrm{z}})$

---

[39] electric susceptibility
[40] relative electric constant, relative permittivity
[41] permittivity of vacuum, electric constant of vacuum
[42] non homogeneous
[43] tensor

اس مثال میں تینوں بار $|E| = \sqrt{3}$ رہا جبکہ D کی قیمتیں خاصی مختلف ہیں۔یہی غیر سمتی ذو برق کی پہچان ہے۔

مشق 5.4: مندرجہ ذیل صورتوں میں تقطیب حاصل کریں۔(الف) ذو برق میں $E = 5\,\frac{\mathrm{kV}}{\mathrm{m}}$ کی صورت میں $D = 1.2\,\frac{\mu\mathrm{C}}{\mathrm{m}^2}$ پایا جاتا ہے۔(ب) $D = 2\,\frac{\mu\mathrm{C}}{\mathrm{m}^2}$ اور $\chi_e = 1.5$ ہیں۔(پ) ذو برق میں 6×10^{20} مالیکیول فی مربع میٹر ہیں جہاں $E = 100\,\frac{\mathrm{kV}}{\mathrm{m}}$ پر ہر مالیکیول کا معیار جفت قطب $1.2 \times 10^{-26}\,\mathrm{C\,m}$ ہے۔

جوابات: $1.156\,\frac{\mu\mathrm{C}}{\mathrm{m}^2}$، $1.2\,\frac{\mu\mathrm{C}}{\mathrm{m}^2}$ اور $7.2\,\frac{\mu\mathrm{C}}{\mathrm{m}^2}$

5.8 کامل ذو برق کے سرحد پر برقی شرائط

دو مختلف ذو برق کے سرحدی برقی شرائط[44] شکل 5.8 کی مدد سے حاصل کرتے ہیں جہاں پہلے ذو برق کا برقی مستقل ϵ_1 جبکہ دوسرے ذو برق کا برقی مستقل ϵ_2 ہے۔پہلے مماسی اجزاء حاصل کرنے کی خاطر مستطیلی راستہ $abcd$ پر

$$\oint \boldsymbol{E} \cdot \mathrm{d}\boldsymbol{L} = 0$$

یعنی

$$E_{m1}\Delta w - E_{n1,b}\frac{\Delta h}{2} - E_{n2,b}\frac{\Delta h}{2} - E_{m2}\Delta w + E_{n2,a}\frac{\Delta h}{2} + E_{n1,a}\frac{\Delta h}{2} = 0$$

لکھتے ہیں جس سے

$$(E_{m1} - E_{m2})\Delta w + (E_{n1,a} + E_{n2,a} - E_{n1,b} - E_{n2,b})\frac{\Delta h}{2} = 0$$

حاصل ہوتا ہے۔Δw اتنا چھوٹا لیا جاتا ہے کہ اس پر مماسی میدان کو یکساں تصور کرنا ممکن ہو۔مستطیل کے بائیں اور دائیں اطراف کے میدان کو زیر نوشت میں a اور b سے ظاہر کیا گیا ہے۔سرحدی شرائط حاصل کرنے کی خاطر سطح کے قریب تر جانا ہو گا۔ایسا کرنے سے $\Delta h \to 0$ ہو گا جس سے

$$(E_{n1,a} + E_{n2,a} - E_{n1,b} - E_{n2,b})\frac{\Delta h}{2} \to 0$$

ہو کر قابل نظر انداز ہو گا۔یوں

$$(E_{m1} - E_{m2})\Delta w = 0$$

رہ جاتا ہے جس سے

$$E_{m1} = E_{m2} \tag{5.41}$$

[44] boundary conditions

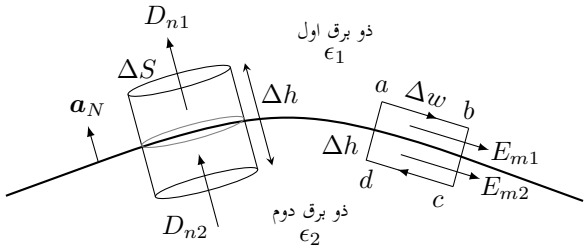

شکل 5.8: دو مختلف ذو برق کے سرحد پر برقی شرائط۔

حاصل ہوتا ہے جسے

$$\boldsymbol{a}_N \times (\boldsymbol{E}1 - \boldsymbol{E}_2) = 0 \tag{5.42}$$

بھی لکھا جا سکتا ہے۔اس مساوات سے

$$\frac{D_{m1}}{\epsilon_1} = E_{m1} = E_{m2} = \frac{D_{m2}}{\epsilon_2}$$

یعنی

$$\frac{D_{m1}}{D_{m2}} = \frac{\epsilon_1}{\epsilon_2} \tag{5.43}$$

یا

$$\boldsymbol{a}_N \times \left(\boldsymbol{D}_1 - \frac{\epsilon_1}{\epsilon_2}\boldsymbol{D}_2\right) = 0 \tag{5.44}$$

لکھا جا سکتا ہے۔

مساوات 5.41 کہتا ہے کہ ایک ذو برقی سے دوسرے ذو برق میں داخل ہوتے ہوئے سرحد پر مماسی برقی شدت بلا جوڑ[45] ہوتا ہے۔اس کے برعکس مساوات 5.43 کہتا ہے کہ دو ذو برق کے سرحد پر مماسی برقی بہاو جوڑ دار[46] ہوتا ہے۔یوں ایک ذو برق سے دوسرے ذو برق میں داخل ہوتے ہوئے مماسی برقی بہاو میں سیڑھی نما[47] تبدیلی پائی جاتی ہے۔

عمودی اجزاء حاصل کرنے کی خاطر گاؤس کا قانون شکل میں رقبہ ΔS گھیرتے بیلن پر لاگو کرتے ہوئے

$$\int_{\Delta S} \boldsymbol{D}_{n1} \cdot \mathrm{d}\boldsymbol{S} + \int_{\Delta S} \boldsymbol{D}_{n2} \cdot \mathrm{d}\boldsymbol{S} + \int_{\text{نکلی سطح}} \boldsymbol{D}_m \cdot \mathrm{d}\boldsymbol{S} = \int_{\Delta S} \rho_S \, \mathrm{d}S \tag{5.45}$$

لکھا جا سکتا ہے۔چھوٹے رقبہ پر میدان کو یکساں تصور کرتے ہوئے تکمل کے باہر لے جاتے ہوئے مساوات 5.45 کے پہلے جزو سے

$$\int_{\Delta S} \boldsymbol{D}_{n1} \cdot \mathrm{d}\boldsymbol{S} = D_{n1}\Delta S$$

---

[45] continuous
[46] discontinuous
[47] step

حاصل ہوتا ہے۔یاد رہے کہ بند سطح کی سمت باہر کو ہوتی ہے لہٰذا $\boldsymbol{D}_{n1}$ اور بیلن کا بالائی ڈھکن ایک ہی سمت رکھتے ہیں جبکہ $\boldsymbol{D}_{n2}$ اور بیلن کا نچلا ڈھکن الٹ سمت میں ہیں۔مساوات 5.45 کا دوسرا جزو

$$\int_{\Delta S} \boldsymbol{D}_{n2} \cdot \mathrm{d}\boldsymbol{S} = -D_{n2}\Delta S$$

دیتا ہے۔سطح کے قریب سے قریب ہونے سے $\Delta h \to 0$ ہو گا جس سے نلکی سطح کا رقبہ قابل نظر انداز ہو گا جس سے مساوات 5.45 کا تیسرا جزو صفر ہو جاتا ہے جبکہ

$$\int_{\Delta S} \rho_S \, \mathrm{d}S = \rho_S \Delta S$$

کے برابر ہے۔ان تمام نتائج سے

$$D_{n1}\Delta S - D_{n2}\Delta S = \rho_S \Delta S$$

یعنی

$$D_{n1} - D_{n2} = \rho_S \tag{5.46}$$

حاصل ہوتا ہے جسے

$$\boldsymbol{a}_N \cdot (\boldsymbol{D}_1 - \boldsymbol{D}_2) = \rho_S \tag{5.47}$$

بھی لکھا جا سکتا ہے۔یوں $D = \epsilon E$ کے استعمال سے

$$\boldsymbol{a}_N \cdot (\epsilon_1 \boldsymbol{E}_1 - \epsilon_2 \boldsymbol{E}_2) = \rho_S \tag{5.48}$$

حاصل ہوتا ہے۔ 1526

جزوی برقی مستقل کی مدد سے مقید چارج کا حساب رکھا جاتا ہے۔اس طرح مقید چارج کا علیحدہ طور پر خیال رکھنے کی ضرورت نہیں رہتی۔یوں مندرجہ بالا مساوات میں ρ_S مقید چارج نہیں ہے۔ ρ_S سرحد پر با مقصد طور رکھی گئی سطحی چارج کثافت ہے۔اس منفرد صورت، جہاں سرحد پر از خود چارج رکھا جائے، کے علاوہ دو ذو برق کی سرحد پر کبھی چارج نہیں پایا جاتا۔انجنیئرنگ مسائل میں عموماً $\rho_S = 0$ ہی ہوتا ہے۔ایسی صورت میں مندرجہ بالا مساوات نسبتاً سادہ شکل

$$D_{n1} = D_{n2} \tag{5.49}$$

اختیار کر لیتی ہے جس سے

$$\epsilon_1 E_{n1} = D_{n1} = D_{n2} = \epsilon_2 E_{n2} \tag{5.50}$$

لکھا جا سکتا ہے۔یوں سرحد پار کرتے وقت E_n میں سیڑھی نما تبدیلی پائے جاتی ہے۔اس حقیقت کو ہم یوں بیان کرتے ہیں کہ سرحد پر E_n جوڑدار[48] ہے۔اس کے برعکس D_n سرحد پر بلا جوڑ ہے۔ 1528

آئیں ان جوابات کی مدد سے سرحد کے دونوں جانب برقی میدان کا تعلق حاصل کریں۔شکل 5.9 کو دیکھتے ہوئے ہم

$$\begin{aligned}
D_{m1} &= D_1 \sin\theta_1 \\
D_{n1} &= D_1 \cos\theta_1 \\
D_{m2} &= D_2 \sin\theta_2 \\
D_{n2} &= D_2 \cos\theta_2
\end{aligned}$$

---

[48] discontinuous

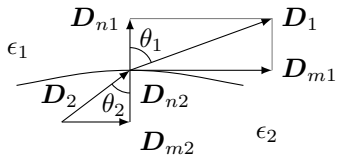

شکل 5.9: $\epsilon_1 > \epsilon_2$ کی صورت میں $D_1 > D_2$ ہو گا۔اسی طرح $\theta_1 > \theta_2$ جبکہ $E_1 < E_2$ ہو گا۔

لکھ سکتے ہیں جن سے

$$\frac{D_{n1}}{D_{n2}} = \frac{D_1 \cos\theta_1}{D_2 \cos\theta_2} = 1$$
$$\frac{D_{m1}}{D_{m2}} = \frac{D_1 \sin\theta_1}{D_2 \sin\theta_2} = \frac{\epsilon_1}{\epsilon_2}$$

لکھا جا سکتا ہے جہاں مساوات 5.49 اور مساوات 5.43 کا استعمال کیا گیا ہے۔انہیں

$$\begin{aligned} D_1 \cos\theta_1 &= D_2 \cos\theta_2 \\ \epsilon_2 D_1 \sin\theta_1 &= \epsilon_1 D_2 \sin\theta_2 \end{aligned} \tag{5.51}$$

لکھ سکتے ہیں۔ان میں دوسری مساوات کو پہلی مساوات سے تقسیم کرتے ہیں

$$\frac{\epsilon_2 D_1 \sin\theta_1}{D_1 \cos\theta_1} = \frac{\epsilon_1 D_2 \sin\theta_2}{D_2 \cos\theta_2}$$

جس سے

$$\frac{\tan\theta_1}{\tan\theta_2} = \frac{\epsilon_1}{\epsilon_2} \tag{5.52}$$

حاصل ہوتا ہے۔یہ مساوات سرحد کے دونوں جانب میدان کے زاویوں کا تعلق بیان کرتا ہے۔چونکہ $\boldsymbol{D} = \epsilon \boldsymbol{E}$ ہوتا ہے لہٰذا سرحد کے کسی بھی طرف، اس طرف کا $\boldsymbol{E}$ اور $\boldsymbol{D}$ ایک ہی سمت رکھتے ہیں۔ شکل میں $\epsilon_1 > \epsilon_2$ تصور کیا گیا ہے لہٰذا اس میں $\theta_1 > \theta_2$ ہے۔ 1530

مساوات 5.51 کے پہلے جزو کا مربع لیتے ہوئے

$$\begin{aligned} D_1^2 \cos^2\theta_1 &= D_2^2 \cos^2\theta_2 \\ &= D_2^2 (1 - \sin^2\theta_2) \\ &= D_2^2 - D_2^2 \sin^2\theta_2 \end{aligned}$$

اس میں مساوات 5.51 کے دوسرے جزو سے $D_2 \sin\theta_2$ کی قیمت پر کرتے ہوئے

$$D_1^2 \cos^2\theta_1 = D_2^2 - D_1^2 \left(\frac{\epsilon_2}{\epsilon_1}\right)^2 \sin^2\theta_1$$

حاصل ہوتا ہے جس سے

$$D_2 = D_1 \sqrt{\cos^2\theta_1 + \left(\frac{\epsilon_2}{\epsilon_1}\right)^2 \sin^2\theta_1} \tag{5.53}$$

ملتا ہے۔چونکہ $E = \frac{D}{\epsilon}$ ہے لہٰذا مندرجہ بالا مساوات سے

$$\begin{aligned} E_2 = \frac{D_2}{\epsilon_2} &= \frac{D_1}{\epsilon_2}\sqrt{\cos^2\theta_1 + \left(\frac{\epsilon_2}{\epsilon_1}\right)^2 \sin^2\theta_1} \\ &= \frac{\epsilon_1 E_1}{\epsilon_2}\sqrt{\cos^2\theta_1 + \left(\frac{\epsilon_2}{\epsilon_1}\right)^2 \sin^2\theta_1} \end{aligned}$$

یعنی

$$E_2 = E_1\sqrt{\left(\frac{\epsilon_1}{\epsilon_2}\right)^2 \cos^2\theta_1 + \sin^2\theta_1} \tag{5.54}$$

حاصل ہوتا ہے۔

جس جانب برقی مستقل کی قیمت زیادہ ہو، سرحد کے اسی طرف D کی قیمت بھی زیادہ ہوتی ہے ماسوائے جب $\theta_1 = \theta_2 = 0$ ہوں جس صورت میں $D_2 = D_1$ ہوتا ہے۔اسی طرح کم ϵ جانب E کی قیمت زیادہ ہوتی ہے ماسوائے جب $\theta_1 = \theta_2 = 90$ ہوں جس صورت میں $E_2 = E_1$ ہوتا ہے۔

5.9 موصل اور ذو برقی کے سرحدی شرائط

موصل اور ذو برق کے سرحد پر صورت حال تقریباً ویسے ہی ہے جیسے موصل اور خالی خلاء کے سرحد پر تھی۔موصل میں $\boldsymbol{E} = 0$ ہونے کی وجہ سے سرحد پر مستطیلی راستے پر کرچاف کے قانون سے ذو برق میں $E_m = 0$ حاصل ہوتا ہے۔اس طرح $D_m = \frac{E_m}{\epsilon} = 0$ ہو گا۔

اسی طرح سرحد پر چھوٹا بیلن $\rho_S \Delta S$ چارج کو گھیرے گا جو گاوس کے قانون کی مدد سے بیلن کے ذو برق جانب ڈھکن پر عمودی بہاو $D_n \Delta S$ پیدا کرے گا۔یوں $D_n = \rho_S$ حاصل ہوتا ہے جس سے $E_n = \frac{D_n}{\epsilon} = \frac{\rho_S}{\epsilon}$ حاصل ہوتا ہے۔

ان نتائج سے صاف ظاہر ہے کہ موصل اور ذو برق کے سرحد پر برقی میدان کے جوابات موصل اور خالی خلاء کے سرحد کے جوابات میں ϵ_0 کی جگہ ϵ پر کرنے سے حاصل ہوتے ہیں یعنی

$$\begin{aligned} D_m &= E_m = 0 \\ D_n &= \epsilon E_n = \rho_S \end{aligned} \tag{5.55}$$

5.10 کپیسٹر

شکل 5.10 میں دو عدد موصل M_1 اور M_2 دکھائے گئے ہیں جن کے گرد ذو برق پایا جاتا ہے۔M_1 پر کل $-Q$ اور M_2 پر کل $+Q$ چارج پایا جاتا ہے۔ان چارجوں کے علاوہ پورے نظام میں کوئی اور چارج نہیں پایا جاتا۔یوں پورا نظام غیر چارج شدہ ہے۔چونکہ موصل پر صرف سطحی چارج پایا جاتا ہے لہٰذا دونوں موصل پر چارج سطحی چارج کثافت کی صورت میں پایا جائے گا۔

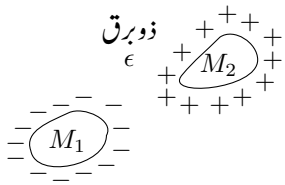

شکل 5.10: کپیسٹنس کی تعریف۔

گاوس کے قانون کے تحت M_2 سے عمودی سمت میں $+Q$ کے برابر برقی بہاو کا اخراج اور M_1 پر عمودی سمت میں اتنی ہی برقی بہاو کا دخول ہو گا۔یوں موصل کے گرد ذو برق میں کثافت برقی بہاو $\boldsymbol{D}$ اور برقی میدان کی شدت $\boldsymbol{E}$ پائی جائے گی۔$\boldsymbol{D}$ اور $\boldsymbol{E}$ کی ابتدا M_2 سے ہو گی اور ان کا اختتام M_1 پر ہو گا۔

اس برقی میدان میں کسی بھی راستے ایک کولمب کا چارج M_1 تا M_2 منتقل کرنے کی خاطر V_0 توانائی درکار ہو گی۔موصل کی سطح ہم قوہ سطح ہوتی ہے لہٰذا پہلے موصل کی سطح سے کسی بھی نقطے سے دوسرے موصل کی سطح پر کسی بھی نقطے تک چارج منتقل کرنے کی خاطر برابر توانائی درکار ہوتی ہے۔

کپیسٹنس[49] C کی تعریف

$$C = \frac{Q}{V_0} \tag{5.56}$$

ہے جہاں M_1 کو صفر برقی دباو پر تصور کرتے ہوئے M_2 کی برقی دباو V_0 اور مثبت موصل یعنی M_2 کا چارج Q ہے۔منفی موصل سے مثبت موصل تک اکائی مثبت چارج منتقل کرنے کے لئے درکار توانائی V_0 کو تکمل کے ذریعے حاصل کیا جاتا ہے۔اسی طرح مثبت موصل پر چارج Q کو گاوس کے قانون کی مدد سے بذریعہ سطحی تکمل حاصل کیا جاتا ہے۔یوں صفحہ 71 پر مساوات 3.6 اور صفحہ 99 پر مساوات 4.11 کی مدد سے کپیسٹنس کی عمومی مساوات

$$C = \frac{\oint_S \epsilon \boldsymbol{E} \cdot \mathrm{d}\boldsymbol{S}}{-\int_-^+ \boldsymbol{E} \cdot \mathrm{d}\boldsymbol{L}} \tag{5.57}$$

لکھی جا سکتی ہے۔

دونوں موصل پر چارج دگنا کرنے سے گاوس کے قانون کے تحت برقی بہاو بھی دگنی ہو جائے گی۔یوں $\boldsymbol{D}$ اور $\boldsymbol{E}$ بھی دگنے ہوں گے جس سے دونوں موصل کے مابین برقی دباو بھی دگنا ہو گا۔اس طرح دگنا چارج تقسیم دگنا دباو ایک بار پھر وہی کپیسٹنس دے گا۔آپ دیکھ سکتے ہیں کہ کپیسٹنس کی قیمت کا دارومدار موصل کے اشکال، ان کے درمیان فاصلہ اور برقی مستقل پر منحصر ہے نا کہ موصل پر کل چارج کے۔

کپیسٹنس کی اکائی فیراڈ[50] ہے جسے F سے ظاہر کیا جاتا ہے۔ایک کولمب فی وولٹ ایک فیراڈ[51] کے برابر ہے۔ایک فیراڈ نہایت بڑی قیمت ہے اور عام طور کپیسٹنس کو مائیکرو فیراڈ μF یا پیکو فیراڈ pF میں ناپا جاتا ہے۔

---

[49] capacitance
[50] Farad
[51] یہ اکائی انگلستانی ماہر طبیعیات مائیکل فیراڈے کے نام سے منسوب ہے۔

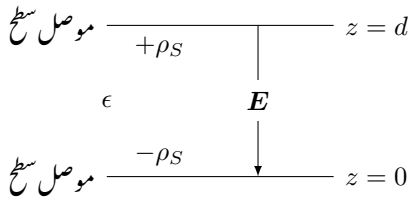

شکل 5.11: متوازی چادر کپیسٹر۔

5.10.1 متوازی چادر کپیسٹر

شکل 5.11 میں دو لامحدود متوازی موصل چادر دکھائے گئے ہیں۔ نچلی چادر $z = 0$ پر ہے اور اس پر سطحی چارج کثافت $-\rho_S$ پائی جاتی ہے جبکہ بالائی چادر $z = d$ پر ہے اور اس پر سطحی چارج کثافت $+\rho_S$ پائی جاتی ہے۔ اس مسئلے کو ہم پہلے تفصیلی طور پر دیکھ چکے ہیں۔ دو چادروں کے درمیان میدان صفحہ 54 پر مساوات 2.44 دیتا ہے جہاں مثبت چادر $x = 0$ اور منفی چادر $x = x_1$ پر رکھے گئے تھے۔ یوں موجودہ شکل کے مطابق مساوات 2.44 کی صورت

$$\boldsymbol{E} = -\frac{\rho_S}{\epsilon}\boldsymbol{a}_z$$

ہو گی۔ میدان مثبت سے منفی چادر کی سمت میں ہے۔ مثبت سطح سے خارج برقی بہاو کی کثافت مثبت ہے یعنی اس سطح پر عمودی $D_+ = \rho_S$ کے برابر ہے جبکہ منفی چادر پر برقی بہاو داخل ہوتا ہے لہٰذا یہاں $D_- = -\rho_S$ ہو گا۔

منفی چادر کو برقی زمین تصور کرتے ہوئے مثبت چادر پر

$$V = -\int_0^d \boldsymbol{E}\cdot \mathrm{d}\boldsymbol{L} = \int_0^d \frac{\rho_S \boldsymbol{a}_z}{\epsilon}\cdot \mathrm{d}z\boldsymbol{a}_z = \int_0^d \frac{\rho_S}{\epsilon}\,\mathrm{d}z = \frac{\rho_S d}{\epsilon}$$

برقی دباو ہو گا۔ لامحدود چادر پر لامحدود چارج پایا جائے گا جس سے چادر لامحدود کپیسٹنس کا حامل ہو گا۔ حقیقی کپیسٹر محدود رقبے کے چادر سے بنائے جاتے ہیں۔ اگر محدود رقبے کے متوازی چادروں کے اطراف کی لمبائیاں سطحوں کے مابین فاصلے سے زیادہ ہو تو ایسی صورت میں چادروں کے درمیانی خطے میں برقی میدان لامحدود چادروں کے میدان کی مانند ہی ہو گا۔ S رقبے کے چادروں کے کپیسٹر کو لیتے ہوئے ہم دیکھتے ہیں کہ مثبت چادر پر کل

$$Q = \int_S \rho_S\,\mathrm{d}S = \rho_S S$$

چارج پایا جائے گا۔ یوں اس کی کپیسٹنس

$$C = \frac{Q}{V} = \frac{\epsilon S}{d} \tag{5.58}$$

ہو گی۔ کپیسٹر کے کناروں کے قریب میدان پھول کر کپیسٹر سے باہر نکلے گا۔ میدان کے پھولنے[52] کو ہم نے نظرانداز کیا ہے۔ کپیسٹنس کی قیمت رقبہ بڑھا کر اور چادروں کے درمیان فاصلہ کم کرتے ہوئے حاصل کیا جاتا ہے۔ اسی طرح چادروں کے درمیان زیادہ سے زیادہ برقی مستقل کا ذو برق استعمال کرتے ہوئے کپیسٹنس بڑھائی جا سکتی ہے۔

بلند تر تعدد پر چلنے والے کپیسٹر ابرق استعمال کرتے ہوئے بنائے جاتے ہیں۔ ابرق کپیسٹر[53] انتہائی کم برقی طاقت ضائع کرتا ہے۔ ابرق کی پتری کے دونوں جانب موصل مادے کی تہہ چڑھا[54] کر کپیسٹر تیار کیا جاتا ہے۔

---

[52] fringing
[53] mica capacitor
[54] deposit

مثال 5.8: ایک ملی میٹر کے ایک چوتھائی موٹا اور ایک سنٹی میٹر اطراف کے مربع ابرق کے پتری کے دونوں جانب المونیم کی تہہ چڑھا کر کپیسٹر تیار کیا گیا۔اس کی کپیسٹنس دریافت کریں۔

حل: کتاب کے آخر میں جدول 15.2 سے ابرق کا جزوی برقی مستقل $\epsilon_R = 5.4$ حاصل ہوتا ہے۔یوں

$$C = \frac{5.4 \times 0.01^2}{36\pi \times 10^9 \times 0.25 \times 10^{-3}} = 19.1\,\text{pF}$$

حاصل ہوتا ہے۔

5.10.2 ہم محوری کپیسٹر

صفحہ 102 پر مساوات 4.18

$$V = \frac{\rho_L}{2\pi\epsilon} \ln \frac{\rho_2}{\rho_1}$$

ہم محوری تار کے دو تاروں کے درمیان برقی دباو دیتا ہے جہاں اندرونی تار پر لکیری چارج کثافت ρ_L ہے۔بیرونی تار کو برقی زمین تصور کیا گیا ہے۔L لمبائی کے ہم محوری تار کے اندرونی تار پر یوں $Q = \rho_L L$ چارج پایا جائے گا۔اس طرح اتنی تار کا کپیسٹنس

$$C = \frac{Q}{V} = \frac{\rho_L L}{\frac{\rho_L}{2\pi\epsilon} \ln \frac{\rho_2}{\rho_1}} = \frac{2\pi\epsilon L}{\ln \frac{\rho_2}{\rho_1}} \tag{5.59}$$

ہو گا جہاں اندرونی تار کا رداس ρ_1 جبکہ بیرونی تار کا رداس ρ_2 ہے۔

5.10.3 ہم محوری کرہ کپیسٹر

محدد کے مرکز پر r_A اور r_B رداس کے موصل کرہ سطح ہیں جہاں $r_B > r_A$ ہے۔اندرونی سطح پر $+Q$ اور بیرونی سطح پر $-Q$ چارج پایا جاتا ہے۔گاوس کے قانون کے تحت اندرونی سطح کے اندر یعنی $r < r_A$ اور بیرونی سطح باہر یعنی $r > r_B$ پر میدان صفر ہو گا۔دونوں سطحوں کے درمیان میدان بالکل ایسا ہی ہو گا جیسے محدد کے مرکز پر نقطہ چارج $+Q$ کا میدان ہوتا ہے۔یوں بیرونی سطح کو برقی زمین تصور کرتے ہوئے اندرونی سطح پر برقی دباو صفحہ 101 پر مساوات 4.13

$$V_{AB} = \frac{Q}{4\pi\epsilon_0} \left(\frac{1}{r_A} - \frac{1}{r_B} \right)$$

سے حاصل کیا جا سکتا ہے۔اس طرح ان سطحوں کا کپیسٹنس

$$C = \frac{Q}{V_{AB}} = \frac{4\pi\epsilon}{\frac{1}{r_A} - \frac{1}{r_B}} \tag{5.60}$$

ہو گا۔

ایک دلچسپ صورت حال کو دیکھتے ہیں۔ اگر r_B کو لامحدود کر دیا جائے تب مندرجہ بالا مساوات سے

$$C = 4\pi\epsilon R \qquad \text{کرہ کی کپیسٹنس} \tag{5.61}$$

حاصل ہوتا ہے جہاں r_A کی جگہ R لکھا گیا ہے۔ یہ مساوات رداس R کرہ کی کپیسٹنس دیتا ہے۔ یاد رہے کہ اس کپیسٹر کی دوسری سطح لامحدود فاصلے پر ہے۔

مثال 5.9: آپ نے بچپن میں بلور تو کھیلیں ہوں گے۔ بلور کا قطر تقریباً ایک سنٹی میٹر ہوتا ہے۔ خالی خلاء میں موصل بلور کی کپیسٹنس حاصل کریں۔

حل:

$$C = \frac{0.5 \times 10^{-2}}{9 \times 10^{9}} = 0.55\,\text{pF}$$

---

r_A رداس کے چارج بردار موصل بلور کے اوپر r_A تا r_1 برقی مستقل ϵ_1 کے ذو برق کی تہہ چھڑانے سے $\boldsymbol{D} = \frac{Q}{4\pi r^2}\boldsymbol{a}_\text{r}$ کی بدولت

$$\boldsymbol{E} = \begin{cases} \frac{Q}{4\pi\epsilon_1 r^2}\boldsymbol{a}_\text{r} & (r_A < r < r_1) \\ \frac{Q}{4\pi\epsilon_0 r^2}\boldsymbol{a}_\text{r} & (r > r_1) \end{cases}$$

ہو گا۔ برقی زمین کو لامحدود فاصلے پر رکھتے ہوئے بلور کا برقی دباو

$$\begin{aligned} V &= -\int_\infty^{r_1} \frac{Q\,\text{d}r}{4\pi\epsilon_1 r^2} - \int_{r_1}^{r_A} \frac{Q\,\text{d}r}{4\pi\epsilon_1 r^2} \\ &= \frac{Q}{4\pi\epsilon_0 r_1} + \frac{Q}{4\pi\epsilon_1}\left(\frac{1}{r_A} - \frac{1}{r_1}\right) \end{aligned}$$

ہو گا جس سے کپیسٹنس

$$C = \frac{Q}{V} = \frac{4\pi}{\frac{1}{\epsilon_0 r_1} + \frac{1}{\epsilon_1}\left(\frac{1}{r_A} - \frac{1}{r_1}\right)} \tag{5.62}$$

حاصل ہوتی ہے۔

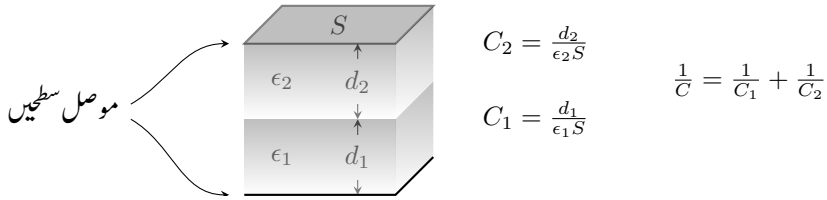

شکل 5.12: سلسلہ وار کپیسٹر۔

5.11 سلسلہ وار اور متوازی جڑے کپیسٹر

متوازی چادر کپیسٹر میں دو مختلف ذو برق بھرنے کا کپیسٹنس پر اثر دیکھتے ہیں۔ایسا کپیسٹر شکل 5.12 میں دکھایا گیا ہے۔چادروں کے درمیان فاصلہ چادر کے اطراف کی لمبائیوں سے نہایت کم ہونے کی صورت میں انہیں لامحدود چادروں کی طرح تصور کیا جا سکتا ہے۔منفی چادر پر ϵ_1 برقی مستقل کی d_1 موٹائی کی تہہ اور مثبت چادر پر ϵ_2 برقی مستقل کی d_2 موٹائی کی تہہ ہیں۔نفی چادر پر $-\rho_S$ جبکہ مثبت چادر پر $+\rho_S$ سطحی چارج کثافت کی صورت میں چادروں کے درمیان $D = \rho_S$ ہو گا۔یوں ϵ_1 ذو برق کے خطے میں

$$E_1 = \frac{\rho_S}{\epsilon_1}$$

جبکہ ϵ_2 ذو برق کے خطے میں

$$E_2 = \frac{\rho_S}{\epsilon_2}$$

لکھا جا سکتا ہے۔اس طرح

$$V = E_1 d_1 + E_2 d_2 = \frac{\rho_S d_1}{\epsilon_1} + \frac{\rho_S d_2}{\epsilon_2}$$

ہو گا جبکہ مثبت چادر پر چارج $Q = \rho_S S$ ہو گا جس سے کپیسٹنس

$$C = \frac{Q}{V} = \frac{S}{\frac{d_1}{\epsilon_1} + \frac{d_2}{\epsilon_2}} = \frac{1}{\frac{d_1}{\epsilon_1 S} + \frac{d_2}{\epsilon_2 S}} = \frac{1}{\frac{1}{C_1} + \frac{1}{C_2}}$$

یعنی

$$\frac{1}{C} = \frac{1}{C_1} + \frac{1}{C_2} \tag{5.63}$$

لکھی جا سکتی ہے جہاں

$$\begin{aligned} C_1 &= \frac{d_1}{\epsilon_1 S} \\ C_2 &= \frac{d_2}{\epsilon_2 S} \end{aligned} \tag{5.64}$$

کے برابر ہیں۔یہی جواب شکل 5.12 میں سلسلہ وار جڑے C_1 اور C_2 کی نشاندہی کرتے ہوئے لکھا جا سکتا ہے۔

آپ دیکھ سکتے ہیں کہ موصل متوازی دو چادروں کے درمیان تیسرے اور چوتھے ذو برق کے تہہ دئے جا سکتے ہیں۔انہیں سلسلہ وار کپیسٹر تصور کرتے ہوئے حل کیا جا سکتا ہے۔

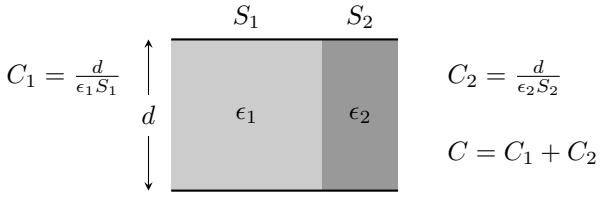

شکل 5.13: متوازی جڑے کپیسٹر۔

شکل 5.13 میں دو چادروں کے درمیان دو مختلف ذو برق اس طرح بھرے گئے ہیں کہ یہ متوازی جڑے کپیسٹر کو جنم دیں۔ہم شکل کو دیکھ کر ہی

$$C = C_1 + C_2 \tag{5.65}$$

لکھ سکتے ہیں۔آئیں اتنی جلدی کرنے کی بجائے اس مسئلے کا ریاضیاتی حل نکالیں۔دونوں موصل چادر ہم قوہ ہیں لہٰذا نچلی چادر کو برقی زمین یعنی صفر وولٹ اور دوسری چادر کو V_0 برقی دباو پر تصور کرتے ہوئے آگے بڑھتے ہیں۔یوں چادروں کے درمیان خطے میں $E = \frac{V_0}{d}$ ہو گا جس سے بائیں ہاتھ، یعنی ϵ_1 برقہ مستقل کے ذو برق میں $D_1 = \epsilon_1 E$ جبکہ دائیں ہاتھ کے ذو برق میں $D_2 = \epsilon_2 E$ ہوں گے۔D_1 اور D_2 موصل چادروں کے عمودی ہیں لہٰذا سرحدی شرائط کے تحت مثبت چادر کے S_1 حصے پر $\rho_1 = D_1$ جبکہ اس کے S_2 حصے پر $\rho_2 = D_2$ ہو گا۔یوں مثبت چادر پر کل چارج

$$Q = \rho_1 S_1 + \rho_2 S_2 = \epsilon_1 \frac{V_0}{d} S_1 + \epsilon_2 \frac{V_0}{d} S_2$$

سے کپیسٹنس

$$C = \frac{Q}{V_0} = \frac{\epsilon_1 S_1}{d} + \frac{\epsilon_2 S_2}{d}$$

یعنی

$$C = C_1 + C_2 \tag{5.66}$$

لکھا جا سکتا ہے جہاں

$$\begin{aligned} C_1 &= \frac{\epsilon_1 S_1}{d} \\ C_2 &= \frac{\epsilon_2 S_2}{d} \end{aligned} \tag{5.67}$$

کے برابر ہیں۔

5.12 دو متوازی تاروں کا کپیسٹنس

شکل 5.14 میں دو لامحدود لمبائی کے تار z محدد کے متوازی دکھائے گئے ہیں۔ہم ایسے متوازی جوڑی کی کپیسٹنس حاصل کرنا چاہتے ہیں۔ہم قوہ تار کی طرح دو متوازی تار بھی انتہائی اہم ہیں اور ان سے زندگی میں بار بار واسطہ پڑتا ہے۔

ایک تار جو $(0, a, 0)$ سے گزرتی ہے پر مثبت لکیری چارج کثافت $+\rho_L$ پایا جاتا ہے جبکہ دوسری تار جو $(0, -a, 0)$ سے گزرتی ہے پر منفی لکیری چارج کثافت $-\rho_L$ پایا جاتا ہے۔z محدد پر لامحدود لمبائی کے لکیری چارج کثافت سے پیدا برقی دباو صفحہ 102 پر مساوات 4.16

$$V = \frac{\rho_L}{2\pi\epsilon_0} \ln \frac{\rho_0}{\rho_1}$$

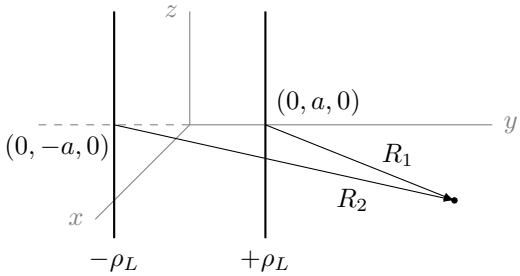

شکل 5.14: دو متوازی تاروں کی کپیسٹنس۔

دیتا ہے جہاں برقی میدان کو ρ_0 پر تصور کیا گیا۔اس مساوات کو شکل 5.14 کے لئے ترتیب دیتے ہوئے دونوں تاروں کا مجموعی برقی دباو

$$V = \frac{\rho_L}{2\pi\epsilon_0}\left(\ln\frac{R_{10}}{R_1} - \ln\frac{R_{20}}{R_2}\right) = \frac{\rho_L}{2\pi\epsilon_0}\ln\frac{R_{10}R_2}{R_{20}R_1}$$

لکھا جا سکتا ہے۔اگر $R_{10} = R_{20}$ رکھا جائے تب مندرجہ بالا مساوات

$$V = \frac{\rho_L}{2\pi\epsilon_0}\ln\frac{R_2}{R_1}$$

صورت اختیار کر لے گی۔ سطح $y = 0$ پر $R_{10} = R_{20}$ ہو گا لہٰذا دراصل ہم برقی زمین کو $y = 0$ سطح پر رکھ رہے ہیں۔اب R_1 اور R_2 کو x اور y کی صورت

$$\boldsymbol{R}_1 = x\boldsymbol{a}_{\mathrm{x}} + (y-a)\boldsymbol{a}_{\mathrm{y}}$$
$$\boldsymbol{R}_2 = x\boldsymbol{a}_{\mathrm{x}} + (y+a)\boldsymbol{a}_{\mathrm{y}}$$

میں لکھتے ہوئے

$$V = \frac{\rho_L}{2\pi\epsilon_0}\ln\sqrt{\frac{x^2+(y+a)^2}{x^2+(y-a)^2}} = \frac{\rho_L}{4\pi\epsilon_0}\ln\frac{x^2+(y+a)^2}{x^2+(y-a)^2} \tag{5.68}$$

یا

$$e^{\frac{4\pi\epsilon_0 V}{\rho_L}} = \frac{x^2+(y+a)^2}{x^2+(y-a)^2} \tag{5.69}$$

لکھا جا سکتا ہے۔ 1584

ہم قوہ سطحیں حاصل کرنے کی خاطر مندرجہ بالا مساوات کو کسی اٹل برقی دباو مثلاً V_1 کے لئے لکھ کر حل کرتے ہیں۔چونکہ V_1 اٹل یا مستقل قیمت ہے جو تبدیل نہیں ہوتا لہٰذا مندرجہ بالا مساوات میں

$$K_1 = e^{\frac{4\pi\epsilon_0 V_1}{\rho_L}} \tag{5.70}$$

لکھ کر اسے

$$K_1 = \frac{x^2+(y+a)^2}{x^2+(y-a)^2}$$

لکھا جا سکتا ہے جسے حل کرتے ہوئے

$$x^2 + y^2 - 2ay\frac{K_1+1}{K_1-1} = -a^2$$

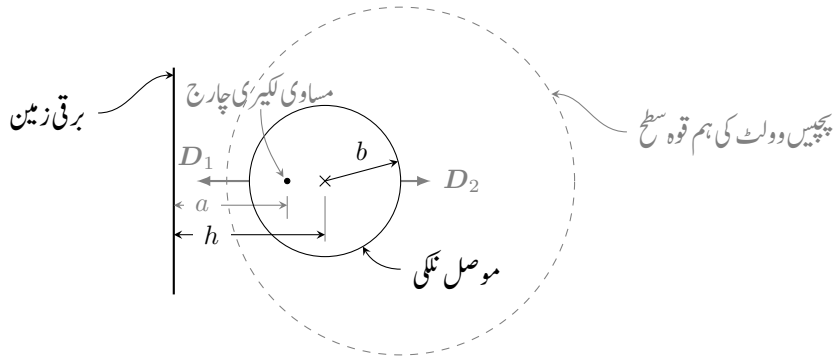

شکل 5.15: زمین کے قریب موٹی تار کا کپیسٹنس۔

لکھا جا سکتا ہے۔ مساوات کے دونوں جانب $a^2\frac{(K_1+1)^2}{(K_1-1)^2}$ جمع کرتے ہوئے یوں

$$x^2+\left[y-a\left(\frac{K_1+1}{K_1-1}\right)\right]^2=\left(\frac{2a\sqrt{K_1}}{K_1-1}\right)^2 \tag{5.71}$$

لکھا جا سکتا ہے جو رداس $\frac{2a\sqrt{K_1}}{K_1-1}$ کے گول دائرے کی مساوات ہے جس کا مرکز $[0,\frac{a(K_1+1)}{K_1-1}]$ پر ہے۔ یہ مساوات کہتا ہے کہ ہم قوہ سطح z کی قیمت پر منحصر نہیں ہے یعنی یہ نلکی شکل رکھتی ہے۔ مساوات 5.71 میں

$$\begin{aligned} b&=\frac{2a\sqrt{K_1}}{K_1-1}\\ h&=a\left(\frac{K_1+1}{K_1-1}\right)\end{aligned} \tag{5.72}$$

لکھتے ہوئے اسے

$$x^2+(y-h)^2=b^2 \tag{5.73}$$

لکھا جا سکتا ہے۔ آئیں ان نتائج پر غور کریں۔

شکل 5.14 کو عکس کے نقطہ نظر سے دیکھتے ہوئے $y=0$ پر برقی زمین رکھتے ہوئے منفی چارج کثافت کے تار کو ہٹانے سے زمین کے دائیں جانب میدان میں کوئی تبدیلی پیدا نہیں ہو گی۔ دائیں جانب اب بھی ہم قوہ سطحیں b رداس کے دائرے بنائے گیں جن کا مرکز زمین سے h فاصلے پر ہو گا۔ ہم قوہ سطح کے رداس اور h کا دارومدار K_1 پر ہے جو از خود V_1 پر منحصر ہے۔ ہم مختلف برقی دباو $V_2, V_3, \cdots$ کے لئے $K_2, K_3, \cdots$ حاصل کرتے ہوئے ایسے ہم قوہ سطحوں کے رداس اور زمین سے ان کے مرکز کے فاصلے حاصل کر سکتے ہیں۔ ہم V_1 ہم قوہ سطح کی جگہ V_1 برقی دباو کی موصل سطح رکھ سکتے ہیں۔ ایسا کرنے سے میدان پر کہیں بھی کوئی اثر نہیں آئے گا۔

آئیں ان معلومات کو استعمال کرتے ہوئے لامحدود سیدھی موصل سطح سے h فاصلے پر b رداس کے موصل نلکی کی کپیسٹنس حاصل کریں۔ یہ صورت حال شکل 5.15 میں دکھائی گئی ہے۔ یہاں h اور b دئے گئے ہیں جن سے مساوات 5.72 کی مدد سے a، K_1 اور یوں V_1 معلوم کیا جا سکتا ہے۔ مساوات 5.72 کو حل کرتے ہوئے

$$\begin{aligned} a&=\sqrt{h^2-b^2}\\ K_1&=\left(\frac{h+\sqrt{h^2-b^2}}{b}\right)^2\end{aligned} \tag{5.74}$$

لکھا جا سکتا ہے۔اس سے

$$V_1 = \frac{\rho_L}{2\pi\epsilon_0} \ln \frac{h + \sqrt{h^2 - b^2}}{b}$$

حاصل ہوتا ہے۔چونکہ زمین صفر وولٹ اور موصل نلکی V_1 وولٹ پر ہے لہٰذا ان کے درمیان V_1 برقی دباو ہو گا۔

شکل 5.14 میں مثبت تار کے L لمبائی پر کل چارج $Q = \rho_L L$ پایا جاتا ہے۔ شکل 5.15 میں بھی برقی زمین کے اتنے ہی لمبائی پر اتنے ہی مقدار مگر منفی چارج ہو گا جبکہ b رداس کے موصل نلکی پر یہی $Q = \rho_L L$ چارج ہو گا۔یوں L لمبائی کے موصل نلکی اور زمین کے درمیان

$$C = \frac{Q}{V_1} = \frac{2\pi\epsilon_0 L}{\ln \frac{h+\sqrt{h^2-b^2}}{b}} = \frac{2\pi\epsilon_0 L}{\cosh^{-1} \frac{h}{b}} \tag{5.75}$$

کپیسٹنس پایا جائے گا۔

زمین سے دور کم موٹائی کے تار کی صورت میں $h \gg b$ ہو گا لہٰذا مساوات 5.75

$$C = \frac{2\pi\epsilon_0 L}{\ln \frac{2h}{b}} \quad h \gg b \tag{5.76}$$

صورت اختیار کر لے گا جو نسبتاً آسان مساوات ہے۔ شکل 5.14 میں دو تاروں کے درمیان کپیسٹنس مساوات 5.75 کے جواب کا نصف ہو گا چونکہ مثبت تار اور زمین کے مابین کپیسٹر اور منفی تار اور زمین کے مابین کپیسٹر کو سلسلہ وار جڑا تصور کیا جا سکتا ہے۔

کچھ حقائق مثال کی مدد سے بہتر سمجھ آتے ہیں۔آئیں مثال 5.10 کی مدد سے ایسی چند باتیں سیکھیں۔

مثال 5.10: برقی زمین کے متوازی خالی خلاء میں دس میٹر کے فاصلے پر پانچ میٹر رداس کی موصل نلکی پائی جاتی ہے جس پر پچاس وولٹ کا برقی دباو ہے۔

- نلکی پر لکیری چارج کثافت حاصل کریں۔
- ایک میٹر لمبائی کے لئے نلکی اور زمین کے مابین کپیسٹنس حاصل کریں۔
- پچیس وولٹ ہم قوہ سطح کا رداس اور زمین سے اس کے مرکز کا فاصلہ حاصل کریں۔
- زمین سے ایسی لکیری چارج کثافت کا فاصلہ دریافت کریں جو ہو بہو ایسی ہی ہم قوہ سطحیں پیدا کرے گا۔
- نلکی پر زیادہ سے زیادہ اور کم سے کم سطحی چارج کثافت حاصل کریں۔

حل: صورت حال شکل 5.15 میں دکھائی گئی ہے۔

- یہاں $h = 10$ جبکہ $b = 5$ ہیں لہٰذا مساوات 5.74 کی مدد سے

$$a = \sqrt{10^2 - 5^2} = 8.66\,\mathrm{m}$$
$$K_1 = \left(\frac{10 + \sqrt{10^2 - 5^2}}{5}\right)^2 = 13.92$$

حاصل ہوتے ہیں۔ مساوات 5.70 کے استعمال سے یوں

$$\rho_L = \frac{4\pi\epsilon_0 V_1}{\ln K_1} = \frac{50}{9 \times 10^9 \times \ln 13.92} = 2.11\,\frac{\mathrm{nC}}{\mathrm{m}}$$

حاصل ہوتا ہے۔

- مساوات 5.75 یا کپیسٹنس کی تعریف سے فی میٹر کپیسٹنس حاصل کرتے ہیں۔

$$C = \frac{\rho_L L}{V_1} = \frac{2.11 \times 10^{-9} \times 1}{50} = 4.22\,\mathrm{nF}$$

- پچیس وولٹ ہم قوہ سطح کے لئے مساوات 5.70 سے

$$K_2 = e^{\frac{4\pi\epsilon_0 V_2}{\rho_L}} = e^{\frac{25}{9\times10^9\times2.11\times10^{-9}}} = 3.73$$

حاصل ہوتا ہے۔ یوں مساوات 5.72 سے پچیس وولٹ کے ہم قوہ سطح کے لئے

$$b = \frac{2 \times 8.66 \times \sqrt{3.73}}{3.73 - 1} = 12.25\,\mathrm{m}$$
$$h = 8.66 \times \left(\frac{3.73 + 1}{3.73 - 1}\right) = 15\,\mathrm{m}$$

حاصل ہوتے ہیں۔ پچیس وولٹ کے ہم قوہ سطح جس کا رداس سوا بارہ میٹر اور جو زمین سے پندرہ میٹر کے فاصلے پر ہے کو شکل میں ہلکی سیاہی سے نقطہ دار گول دائرے سے دکھایا گیا ہے۔

- برقی زمین سے 8.66 m فاصلے پر $2.11\ \frac{\mathrm{nC}}{\mathrm{m}}$ لکیری چارج کثافت کی باریک تار بالکل اسی طرز کے ہم قوہ سطحیں پیدا کرے گا۔

- کسی بھی جگہ $\boldsymbol{E}$ کو مساوات 5.68

$$V = \frac{\rho_L}{4\pi\epsilon_0}\left[\ln(x^2 + (y+a)^2) - \ln(x^2 + (y-a)^2)\right]$$

کے ڈھلوان $\boldsymbol{E} = -\nabla V$ سے حاصل کیا جا سکتا ہے جس سے

$$\boldsymbol{D} = \epsilon_0 \boldsymbol{E} = -\epsilon_0 \nabla V = -\epsilon_0\left(\frac{\partial V}{\partial x}\boldsymbol{a}_\mathrm{x} + \frac{\partial V}{\partial y}\boldsymbol{a}_\mathrm{y}\right)$$

بھی حاصل ہوتا ہے جہاں

$$\frac{\partial V}{\partial x} = \frac{\rho_L}{4\pi\epsilon_0}\left[\frac{2x}{x^2 + (y+a)^2} - \frac{2x}{x^2 + (y-a)^2}\right]$$
$$\frac{\partial V}{\partial y} = \frac{\rho_L}{4\pi\epsilon_0}\left[\frac{2(y+a)}{x^2 + (y+a)^2} - \frac{2(y-a)}{x^2 + (y-a)^2}\right]$$

کے برابر ہیں۔

چونکہ موصل کے سطح پر $\boldsymbol{D}$ عمودی ہوتا ہے اور اس کی قیمت سطحی چارج کثافت کے برابر ہوتی ہے لہٰذا ہم موصل نلکی پر برقی زمین کے قریبی جانب $\boldsymbol{D}_1$ اور اس سے دور جانب $\boldsymbol{D}_2$ کی قیمت حاصل کرتے ہیں۔انہیں شکل 5.15 میں دکھایا گیا ہے۔زمین سے نلکی کا قریبی فاصلہ $h-b=5\,\mathrm{m}$ ہے۔یوں $x=0$ اور $y=5$ ہو گا جس سے

$$\frac{\partial V}{\partial x}=\frac{\rho_L}{4\pi\epsilon_0}\left[\frac{2\times 0}{0^2+(5+8.66)^2}-\frac{2\times 0}{0^2+(5-8.66)^2}\right]=0$$
$$\frac{\partial V}{\partial y}=\frac{\rho_L}{4\pi\epsilon_0}\left[\frac{2(5+8.66)}{0^2+(5+8.66)^2}-\frac{2(5-8.66)}{0^2+(5-8.66)^2}\right]=\frac{0.693\rho_L}{4\pi\epsilon_0}$$

حاصل ہوتے ہیں۔یوں

$$\boldsymbol{D}_1=-\frac{0.693\rho_L}{4\pi}\boldsymbol{a}_{\mathrm{y}}$$

ہو گا۔زمین سے دور نلکی پر $x=0$ اور $y=h+b=10+5=15\,\mathrm{m}$ ہیں جس سے

$$\frac{\partial V}{\partial x}=\frac{\rho_L}{4\pi\epsilon_0}\left[\frac{2\times 0}{0^2+(15+8.66)^2}-\frac{2\times 0}{0^2+(15-8.66)^2}\right]=0$$
$$\frac{\partial V}{\partial y}=\frac{\rho_L}{4\pi\epsilon_0}\left[\frac{2(15+8.66)}{0^2+(15+8.66)^2}-\frac{2(15-8.66)}{0^2+(15-8.66)^2}\right]=-\frac{0.231\rho_L}{4\pi\epsilon_0}$$

یا

$$\boldsymbol{D}_2=\frac{0.231\rho_L}{4\pi}\boldsymbol{a}_{\mathrm{y}}$$

حاصل ہوتا ہے۔دونوں جوابات سے ظاہر ہے کہ بہاو کا اخراج سطح کے عمودی ہے۔یوں موصل نلکی پر

$$\rho_{S\text{قریبی}}=\frac{0.693\rho_L}{4\pi}$$
$$\rho_{S\text{دور}}=\frac{0.231\rho_L}{4\pi}$$

پایا جائے گا۔یاد رہے کہ قریبی جانب منفی جواب کا مطلب ہے کہ اخراج زمین کی جانب ہے جبکہ دور جانب مثبت جواب کا مطلب ہے کہ اخراج $\boldsymbol{a}_{\mathrm{y}}$ جانب ہے۔دونوں جانب اخراج ہی ہے لہٰذا سطحی چارج کثافت دونوں جگہوں پر مثبت ہی ہے۔

اس مثال سے صاف ظاہر ہے کہ نلکی کا چارج بالکل اس طرح عمل کرتا ہے جیسے برقی زمین سے $8.66\,\mathrm{m}$ فاصلے پر باریک چارج بردار تار جس پر $2.11\,\frac{\mathrm{nC}}{\mathrm{m}}$ پایا جاتا ہو۔نلکی سے پیدا ہم قوہ سطحیں اسی فرضی لکیری چارج کثافت کے تار سے حاصل کی جاتی ہیں۔

مشق 5.5: مساوات 5.74 کو ثابت کریں۔

سوالات

سوال 5.1: نلکی محدد میں کثافت برقی رو $\boldsymbol{J} = 50e^{-1.5z}(\rho^2\boldsymbol{a}_\rho + \boldsymbol{a}_z)\ \frac{\mathrm{A}}{\mathrm{m}^2}$ دی گئی ہے۔الف) سطح $z = 0$ اور $z = 1$ پر رداس $0 < \rho < 1$ کی ٹکیا سے $\boldsymbol{a}_z$ سمت میں گزرتی برقی رو دریافت کریں۔ ب) بند بیلن $0 \le z \le 1$ ، $0 \le \rho \le 1$ سے خارج کل برقی رو حاصل کریں۔

جوابات: 157 A ، 35 A ، 41 A

سوال 5.2: کثافت برقی رو $\boldsymbol{J} = \frac{550\sin 2\theta}{r^2+6}\ \frac{\mathrm{A}}{\mathrm{m}^2}$ دی گئی ہے۔کروی سطح $r = 0.5$ ، $0.1\pi \le \theta \le 0.25\pi$ ، $0 \le \phi \le 2\pi$ سے رداسی سمت میں خارج کل برقی رو حاصل کریں۔اس سطح پر اوسط کثافت برقی رو دریافت کریں۔

جوابات: 29.86 A ، $77.9\ \frac{\mathrm{A}}{\mathrm{m}^2}$

سوال 5.3: دو متوازی سطحیں $z = 0$ اور $z = 10\,\mathrm{mm}$ پر پائے جاتے ہیں جن کے درمیان 1000 V کا برقی دباو ہے۔نچلی سطح سے الیکٹران صفر ابتدائی رفتار کے ساتھ خارج ہو کر بالائی سطح کی جانب اسراع پذیر ہوتے ہیں جہاں انہیں وصول کیا جاتا ہے۔الیکٹران کا چارج $-1.6 \times 10^{-19}\,\mathrm{C}$ جبکہ اس کی کمیت $9.1 \times 10^{-31}\,\mathrm{kg}$ ہے۔نچلی سطح سے کل $50\,\mu\mathrm{A}$ برقی رو $0.1\,\mathrm{mm}$ رداس کے شعاع کی صورت میں خارج ہوتی ہے۔چاروں کے درمیان E حاصل کریں۔اسراع پذیر الیکٹران کی رفتار $v(t)$ کی مساوات حاصل کریں۔اسی طرح $z(t)$ اور $v(z)$ بھی حاصل کریں۔کثافت برقی رو اور حجمی کثافت چارج کے مساوات حاصل کریں۔

جوابات: $a(t) = -10^5\boldsymbol{a}_z\ \frac{\mathrm{V}}{\mathrm{m}}$ ، $v(t) = 1.758 \times 10^{16}t\ \frac{\mathrm{m}}{\mathrm{s}}$ ، $z(t) = 8.792 \times 10^{15}t^2\,\mathrm{m}$ ، $v(z) = 1.87 \times 10^8\sqrt{z}\ \frac{\mathrm{m}}{\mathrm{s}}$ ، $1592\ \frac{\mathrm{A}}{\mathrm{m}^2}$ ، $\frac{-8.51 \times 10^{-6}}{\sqrt{z}}\ \mathrm{C/m^3}$

سوال 5.4: کثافت برقی رو $\boldsymbol{J} = \frac{J_0 e^{-\alpha z}}{(y+1)(x+1)}\boldsymbol{a}_z$ کی صورت میں سطح $z = 0$ ، $0 < x < 1$ ، $0 < y < 1$ سے گزرتی برقی رو حاصل کریں۔

جواب: $0.48J_0$

سوال 5.5: کثافت برقی رو $\boldsymbol{J} = 3xyz\boldsymbol{a}_x + 2x^2yz^2\boldsymbol{a}_y - 5xy^2z^2$ کی صورت میں نقطہ $N(7,-4,2)$ پر 1 m لمبائی اطراف کے مکعب سے کتنی برقی رو خارج ہوتی ہے؟ مکعب کے اطراف کارتیسی محدد کے متوازی ہیں جبکہ نقطہ N اس کا وسطی نقطہ ہے۔مکعب میں چارج کس شرح سے بڑھ رہی ہے؟

جواب: 1875 A ، $-1875\ \frac{\mathrm{C}}{\mathrm{s}}$

سوال 5.6: سلیکان کی موصلیت $1200\ \frac{\mathrm{S}}{\mathrm{m}}$ ہے۔سلیکان کا پچر $0 \le z \le 0.08$ ، $0.02 \le \rho \le 0.07$ ، $0 \le \phi \le 0.3\pi$ شکل رکھتا ہے۔برقی شدت $\boldsymbol{E} = \frac{0.005}{\rho}\boldsymbol{a}_\phi\ \frac{\mathrm{V}}{\mathrm{m}}$ کی صورت میں پچر میں برقی رو اور اس کی مزاحمت حاصل کریں۔

جوابات: 0.6 A ، $6\,\mathrm{m\Omega}$

سوال 5.7: برقی شدت $\boldsymbol{E} = \frac{0.005}{\rho}\boldsymbol{a}_\rho\ \frac{\mathrm{V}}{\mathrm{m}}$ ہونے کی صورت میں سوال 5.6 کو دوبارہ حل کریں۔

جوابات: 0.3468 A ، $18\,\mathrm{m\Omega}$

سوال 5.8: پاکستان میں برقی طاقت کی پیداوار اور منتقلی واپڈا[55] کے ذمہ ہے۔اگرچہ تانبہ کی موصلیت نہایت عمدہ ہے لیکن تانبہ مہنگا عنصر ہے لہٰذا برقی طاقت کے منتقلی کے لئے المونیم کی تار استعمال کی جاتی ہے۔المونیم ازخود کمزور عنصر ہے لہٰذا المونیم کے تاروں کو سٹیل کے تار کے گرد لپیٹا جاتا ہے۔فرض کریں کہ 2 mm رداس کے لوہے کی تار پر 3 mm المونیم کی تہہ چڑھائی جاتی ہے۔ایسی ایک کلو میٹر لمبی تار کی مزاحمت حاصل کریں۔المونیم اور لوہے کی موصلیت بالترتیب $3.82 \times 10^7 \frac{\mathrm{S}}{\mathrm{m}}$ اور $1.03 \times 10^7 \frac{\mathrm{S}}{\mathrm{m}}$ ہیں۔

جواب: $377.4\,\mathrm{m}\Omega$

سوال 5.9: ایک خطے میں کثافت برقی رو کو $\boldsymbol{J} = 0.02re^{-1000t}\boldsymbol{a}_\mathrm{r}\,\frac{\mathrm{A}}{\mathrm{m}^2}$ لکھا جا سکتا ہے۔لمحہ $t = 1\,\mathrm{ms}$ پر رداس $r = 3$ کے کرہ سے کتنی برقی رو خارج ہو گی۔استمراری مساوات $\nabla \cdot \boldsymbol{J} = -\frac{\partial \rho_h}{\partial t}$ استعمال کرتے ہوئے ρ_h حاصل کریں۔ایسا کرتے ہوئے $t \to \infty$ پر $\rho_h \to 0$ لیں۔حجمی کثافت چارج ρ_h کی رفتار کی مساوات حاصل کریں۔

جوابات: $2.5\,\mathrm{A}$ ، $\rho_h = 60e^{-1000t}\,\mu\mathrm{C/m^3}$ ، $333r\boldsymbol{a}_\mathrm{r}\,\frac{\mathrm{m}}{\mathrm{s}}$

سوال 5.10: برقی ہیٹر[56] عموماً نائیکروم کی تار سے بنائے جاتے ہیں۔گھریلو 220 V اور 50 Hz پر چلنے والے 1 kW طاقت کے ہیٹر کے تار کا قطر حاصل کریں اگر تار کی لمبائی 4 m ہو۔اس طاقت پر تار میں کثافت برقی رو حاصل کریں۔صفحہ 15.1 پر جدول 15.1 کی مدد لیں۔

جواب: $0.324\,\mathrm{mm}$ ، $55\,\frac{\mathrm{MA}}{\mathrm{m}^2}$

سوال 5.11: $N(0,0,2)$ سے گزرتی y محدد کے متوازی لکیری چارج کثافت

$$\rho_L = 5\,\frac{\mathrm{nC}}{\mathrm{m}} \qquad (-\infty < y < \infty, x = 0, z = 2)$$

سے $M(5,3,1)$ پر $\boldsymbol{D}$ حاصل کریں۔

جواب: $\boldsymbol{D} = \frac{5\times10^{-9}(5\boldsymbol{a}_\mathrm{x} - 1\boldsymbol{a}_\mathrm{z})}{2\pi\times26}$

سوال 5.12: لامحدود موصل زمینی سطح $z = 0$ رکھتے ہوئے سوال 5.11 کو دوبارہ حل کریں۔

جواب: $\boldsymbol{D} = \frac{5\times10^{-9}(40\boldsymbol{a}_\mathrm{x} - 112\boldsymbol{a}_\mathrm{z})}{2\pi\times884}$

سوال 5.13: $N(0,0,2)$ سے گزرتی y محدد کے متوازی لکیری چارج کثافت

$$\rho_L = 5\,\frac{\mathrm{nC}}{\mathrm{m}} \qquad (-\infty < y < \infty, x = 0, z = 2)$$

پایا جاتا ہے جبکہ $z = 0$ پر لامحدود موصل زمینی سطح موجود ہے۔سطح کے $M(5,3,0)$ مقام پر سطحی چارج کثافت حاصل کریں۔

جواب: $-0.1097\,\frac{\mathrm{nC}}{\mathrm{m}^2}$

سوال 5.14: مشق 5.3 میں 300 K درجہ حرارت پر سلیکان اور جرمینیم کے مستقل دئے گئے ہیں۔اگر سلیکان میں المونیم کا ایک ایٹم فی 1×10^7 سلیکان ایٹم ملاوٹ شامل کی جائے تو سلیکان کی موصلیت کیا ہو گی۔سلیکان کی تعدادی کثافت 5×10^{28} ایٹم فی مربع میٹر ہے۔(ہر ملاوٹی المونیم کا ایٹم ایک عدد

[55] WAPDA
[56] heater

آزاد خول پیدا کرتا ہے جن کی تعداد مشق میں دئے خالص سلیکان میں آزاد خول کی تعداد سے بہت زیادہ ہوتی ہے لہٰذا ایسی صورت میں موصلیت صرف ملاوٹی ایٹموں کے پیدا کردہ آزاد خول ہی تعین کرتے ہیں۔)

جواب: $800\,\frac{\mathrm{S}}{\mathrm{m}}$

سوال 5.15: صفحہ 139 پر مثال 5.6 میں لامحدود موصل سطح $z = 0$ میں $(0,0,z)$ پر پائے جانے والے نقطہ چارج Q سے پیدا سطحی چارج کثافت ρ_S حاصل کیا گیا۔ موصل سطح میں پائے جانے والا کل چارج سطحی تکمل سے حاصل کریں۔

جواب: $-Q$

سوال 5.16: صفحہ 130 پر تانبے کے ایک مربع میٹر میں کل آزاد چارج مساوات 5.13 میں حاصل کیا گیا۔ ایک ایمپیئر کی برقی رو کتنے وقت میں اتنے چارج کا اخراج کرے گا۔

جواب: چار سو اکتیس (431) سال۔

سوال 5.17: مساوات 5.75 میں $\ln \frac{h+\sqrt{h^2-b^2}}{b} = \cosh^{-1}\frac{h}{b}$ لکھا گیا ہے۔ اسے ثابت کریں۔

سوال 5.18: پانچ میٹر رداس کی موصل نلکی کا محور برقی زمین سے تیرہ میٹر پر ہے۔ نلکی پر ایک سو وولٹ کا برقی دباو ہے۔

- ایسی لکیری چارج کثافت کا زمین سے فاصلہ اور اس کا ρ_L حاصل کریں جو ایسی ہم قوہ سطح پیدا کرے۔
- موصل نلکی سے پیدا پچاس وولٹ کے ہم قوہ سطح کا رداس اور اس کے محور کا زمین سے فاصلہ دریافت کریں۔
- نلکی پر زمین کے قریب اور اس سے دور سطحی چارج کثافت حاصل کریں۔

جوابات: $12\,\mathrm{m}$، $3.46\,\frac{\mathrm{nC}}{\mathrm{m}}$، $13.4\,\mathrm{m}$، $18\,\mathrm{m}$، $1.65\,\frac{\mathrm{pF}}{\mathrm{m}^2}$ اور $0.73\,\frac{\mathrm{pF}}{\mathrm{m}^2}$

سوال 5.19: مندرجہ ذیل صورتوں میں موصل میں $|\boldsymbol{J}|$ حاصل کریں۔ الف) حرکت پذیری $5.2 \times 10^{-3}\,\frac{\mathrm{m}^2}{\mathrm{Vs}}$ ، حجمی کثافت چارج $-4 \times 10^9\,\mathrm{C/m^3}$ اور برقی شدت $72\,\frac{\mathrm{mV}}{\mathrm{m}}$ ہے۔ ب) رفتار بہاو $30\,\frac{\mu\mathrm{m}}{\mathrm{s}}$ ہے جبکہ الیکٹران کی تعدادی کثافت 5.5×10^{28} فی مربع میٹر ہے۔ پ) موصلیت $2.5 \times 10^6\,\frac{\mathrm{S}}{\mathrm{m}}$ جبکہ برقی شدت $50\,\mathrm{mV}$ ہے۔

جوابات: $1.5\,\frac{\mathrm{MA}}{\mathrm{m}^2}$ ، $0.26\,\frac{\mathrm{MA}}{\mathrm{m}^2}$ ، $0.125\,\frac{\mathrm{MA}}{\mathrm{m}^2}$

سوال 5.20: نلکی محدد میں رداس $\rho = 0.2$ اور $\rho = 0.5$ پر موصل نلکی چادر پائے جاتے ہیں جبکہ ان چادروں کے درمیان خالی خلاء میں $V = 150\rho^3$ برقی دباو پایا جاتا ہے۔ الف) اندرونی اور بیرونی نلکی چادر پر سطحی کثافت چارج دریافت کریں۔ ب) دونوں چادروں کے درمیان خطہ $0 < z < 1$ ، $0.2 < \rho < 0.5$ میں کل چارج حاصل کریں۔ پ) خطہ $0 < z < 1$ میں کل چارج حاصل کریں۔ یہاں چادروں پر اور خلاء میں پائے جانے والے تمام کو شامل کریں۔ یاد رہے کہ مثبت موصل چادر سے برقی بہاو کا اخراج ہوتا ہے۔

جوابات: $-0.159\,\frac{\mathrm{nC}}{\mathrm{m}^2}$ ، $0.996\,\frac{\mathrm{nC}}{\mathrm{m}^2}$ ، $-2.93\,\mathrm{nC}$ ، 0

سوال 5.21: گریفائٹ سے بنی نلکی جس کی لمبائی $4\,\text{cm}$ ، اندرونی رداس $\rho = 5\,\text{cm}$ اور بیرونی رداس $\rho = 7\,\text{cm}$ ہے میں $2\,\text{A}$ کی برقی رو رداسی سمت میں گزر رہی ہے۔ گریفائٹ کی موصلیت $7 \times 10^4\,\frac{\text{S}}{\text{m}}$ ہے۔ نلکی میں $\boldsymbol{J}$ ، $\boldsymbol{E}$ حاصل کریں۔ نلکی کے اندرونی اور بیرونی گول سطحوں کے درمیان برقی دباو V حاصل کرتے ہوئے ان کے درمیان مزاحمت R حاصل کریں۔ نلکی میں طاقت کا ضیاع $V \times I$ اور حجمی تکمل $\iiint \boldsymbol{J} \cdot \boldsymbol{E}\,\text{d}h$ سے حاصل کریں۔

جوابات: $\boldsymbol{J} = \frac{7.96}{\rho}\boldsymbol{a}_\rho$ ، $\boldsymbol{E} = \frac{1.14e-4}{\rho}\boldsymbol{a}_\rho$ ، $V = 38.25\,\mu\text{V}$ ، $R = 19.12\,\mu\Omega$ ، $76\,\mu\text{W}$ ، $76\,\mu\text{W}$

سوال 5.22: رقبہ A کی ایک موصل چادر $z = 0$ اور دوسری $z = d$ پر رکھی گئی ہے۔ چادروں کے درمیانی خطے میں موصلیت $\sigma(z) = \sigma_0 e^{-z}$ ہے جہاں σ_0 مستقل ہے۔ چادر $z = 0$ کو صفر وولٹ پر رکھا جاتا ہے جبکہ چادر $z = d$ کو V_0 برقی دباو پر رکھا جاتا ہے۔ الف) دونوں چادروں کے درمیان مزاحمت حاصل کریں۔ ب) چادروں کے مابین برقی رو حاصل کریں۔ پ) چادروں کے درمیان کثافت برقی رو اور برقی میدان کی شدت حاصل کریں۔

جوابات: $R = \frac{e^d-1}{A\sigma_0}$ ، $I = \frac{A\sigma_0 V_0}{e^d-1}$ ، $\boldsymbol{J} = -\frac{V_0\sigma_0}{e^d-1}\boldsymbol{a}_z$ ، $\boldsymbol{E} = -\frac{V_0 e^z}{e^d-1}\boldsymbol{a}_z$

سوال 5.23: خالی خلاء میں برقی دباو $V = 50(\rho^2+1)z\sin\phi\,\text{V}$ دی گئی ہے۔ ہم قوہ سطح $V = 100\,\text{V}$ موصل سطح کو ظاہر کرتی ہے۔ اس سطح کی مساوات حاصل کریں۔ اس سطح پر نقطہ $(0.65, 0.25\pi, z)$ دیا گیا ہے۔ اس نقطے پر $\boldsymbol{E}$ حاصل کرتے ہوئے سطحی کثافت چارج $|\rho_S|$ حاصل کریں۔

جوابات: $(\rho^2+1)z\sin\phi = 2$ ، $\boldsymbol{E} = -91\boldsymbol{a}_\rho - 154\boldsymbol{a}_\phi - 50\boldsymbol{a}_z$ ، $|\rho_S| = 1.65\,\frac{\text{nC}}{\text{m}^2}$

سوال 5.24: مثبت z خطے میں برقی دباو $V = \frac{50z(x+y)}{x^2+9}\,\text{V}$ دی گئی ہے۔ موصل سطح $z = 0$ پر $\boldsymbol{E}$ حاصل کریں۔ موصل سطح پر سطحی کثافت چارج حاصل کریں۔ سطح پر $2 < x < 5$ ، $3 < y < 6$ کل چارج حاصل کریں۔

جوابات: $\boldsymbol{E} = -\frac{50(x+y)}{x^2+9}\boldsymbol{a}_z\,\frac{\text{V}}{\text{m}}$ ، $\rho_S = -\frac{50\epsilon_0(x+y)}{x^2+9}\,\frac{\text{C}}{\text{m}^2}$ ، $-1.52\,\text{nC}$

سوال 5.25: خالی خلاء میں $V = 50\ln\frac{(x+1)^2+(y+1)^2}{x^2+(y-1)^2}\,\text{V}$ پایا جاتا ہے۔ نقطہ $N(3,1,2)$ پر موصل سطح ہے۔ اس سطح پر $\boldsymbol{E}$ اور ρ_S حاصل کریں۔ سطح پر عمودی اکائی سمتیہ $\boldsymbol{a}_N$ حاصل کریں۔

جوابات: $\boldsymbol{E} = 13.33\boldsymbol{a}_x - 10\boldsymbol{a}_y\,\frac{\text{V}}{\text{m}}$ ، $\rho_S = 148\,\frac{\text{pC}}{\text{m}^2}$ ، $\boldsymbol{a}_N = \frac{4}{5}\boldsymbol{a}_x - \frac{3}{5}\boldsymbol{a}_y$ ؛ چونکہ ہمیں یہ نہیں معلوم کہ موصل سطح نقطہ N کے کس جانب ہے لہٰذا سطحی کثافت چارج مثبت یا منفی ہو سکتا ہے۔ یوں اکائی سمتیہ کی سمت الٹ بھی ممکن ہے۔

سوال 5.26: نقطہ چارج $Q = 8\pi\,\mu\text{C}$ موصل زمین $z = 0$ کے قریب نقطہ $(2,0,4)$ اور $(-2,0,4)$ پر پائے جاتے ہیں۔ الف) محدد y پر $\boldsymbol{D}$ کی مساوات حاصل کریں۔ یاد رہے کہ برقی زمین میں چارج کے عکس بھی کردار ادا کریں گے۔ ب) نقطہ $(0,0,0)$ پر سطحی کثافت چارج حاصل کریں۔

جوابات: $\rho_S = -0.36\,\frac{\mu\text{C}}{\text{m}^2}$ ، $\boldsymbol{D} = -16\left[\frac{1}{[(x+2)^2+16]^{3/2}} + \frac{1}{[(x-2)^2+16]^{3/2}}\right]\boldsymbol{a}_z\,\frac{\mu\text{C}}{\text{m}^2}$

سوال 5.27: سطح $x = 0$ برقی زمین ہے۔ لکیری کثافت چارج $2\,\frac{\text{nC}}{\text{m}}$ مقام $y = 3$ ، $x = 2$ پر z محدد کے متوازی پایا جاتا ہے جبکہ لکیری کثافت چارج $-5\,\frac{\text{nC}}{\text{m}}$ مقام $y = 5$ ، $x = 4$ پر z محدد کے متوازی پایا جاتا ہے۔ نقطہ $N(7,2,3)$ پر برقی دباو حاصل کریں۔

جواب: $46.4\,\mathrm{V}$

سوال 5.28: نیم موصل ٹکڑے کی لمبائی $15\,\mathrm{mm}$ ، چوڑائی $5\,\mathrm{mm}$ اور موٹائی $2\,\mathrm{mm}$ ہے۔اگر الیکٹران اور خول کی تعدادی کثافت بالترتیب $1.5 \times 10^{18}\,/\mathrm{m}^3$ اور $2 \times 10^{15}\,/\mathrm{m}^3$ ہوں جبکہ ان کی حرکت پذیری $\mu_e = 0.08\,\frac{\mathrm{m}^2}{\mathrm{Vs}}$ اور $\mu_h = 0.0025\,\frac{\mathrm{m}^2}{\mathrm{Vs}}$ ہوں تب لمبائی جانب نیم موصل ٹکڑے کی مزاحمت حاصل کریں۔

جواب: $78\,\mathrm{k}\Omega$

سوال 5.29: کوارٹس میں $\boldsymbol{E} = -20\boldsymbol{a}_\mathrm{x} + 35\boldsymbol{a}_\mathrm{y} + 15\boldsymbol{a}_\mathrm{z}\,\frac{\mathrm{V}}{\mathrm{m}}$ میدان پایا جاتا ہے۔الف) کتاب کے آخر میں جدول 15.2 سے کوارٹس کا مستقل ϵ_R دریافت کرتے ہوئے χ_e حاصل کریں۔ ب) کوارٹس میں $\boldsymbol{D}$ اور $\boldsymbol{P}$ حاصل کریں۔

جوابات: $\epsilon_R = 3.8$ ، $\chi_e = 2.8$ ، $\boldsymbol{D} = -0.67\boldsymbol{a}_\mathrm{x} + 1.18\boldsymbol{a}_\mathrm{y} + 0.50\boldsymbol{a}_\mathrm{z}\,\frac{\mathrm{nC}}{\mathrm{m}^2}$ ، $\boldsymbol{P} = -0.50\boldsymbol{a}_\mathrm{x} + 0.87\boldsymbol{a}_\mathrm{y} + 0.37\boldsymbol{a}_\mathrm{z}\,\frac{\mathrm{nC}}{\mathrm{m}^2}$

سوال 5.30: کسی مخصوص حرارت اور میکانی دباو پر ہایڈروجن گیس کی تعددی کثافت $6 \times 10^{25}\,/\mathrm{m}^3$ ہے۔اگر اسے $2400\,\frac{\mathrm{V}}{\mathrm{m}}$ کے برقی میدان میں رکھا جائے تو ہر قطبی ایٹم میں مثبت اور منفی خطوں کے درمیان اوسطاً $6.6 \times 10^{-19}\,\mathrm{m}$ فاصلہ پایا جاتا ہے۔ایسی صورت میں ہایڈروجن کے مستقل χ_e اور ϵ_R حاصل کریں۔

جوابات: $\chi_e = 0.000298$ ، $\epsilon_R = 1.000298$

سوال 5.31: خطہ-الف میں $\boldsymbol{E}_1 = 25\boldsymbol{a}_\mathrm{x} + 10\boldsymbol{a}_\mathrm{y} - 15\boldsymbol{a}_\mathrm{z}\,\frac{\mathrm{V}}{\mathrm{m}}$ پایا جاتا ہے۔یہ خطہ محدد کے مرکز کو چھوتا ہے۔برقی مستقل $\epsilon_{R1} = 1$ اور $\epsilon_{R2} = 2.5$ ہیں۔مرکز پر سمتیہ $\boldsymbol{A} = 45\boldsymbol{a}_\mathrm{x} - 20\boldsymbol{a}_\mathrm{y} + 10\boldsymbol{a}_\mathrm{z}$ خطہ-الف کا عمودی سمتیہ ہے جس کی سمت خطہ-الف سے خطہ-ب کی جانب ہے۔سمتیہ $\boldsymbol{A}$ کا $\boldsymbol{E}_1$ اور $\boldsymbol{E}_2$ کے ساتھ زاویہ حاصل کریں۔دونوں خطوں کے سرحدی سطح کے عمودی اور متوازی، $\boldsymbol{E}_1$ کے اجزاء حاصل کریں۔خطہ-ب میں $\boldsymbol{E}_2$ بھی حاصل کریں۔

جوابات: 60° ، 77° ، $13.8\boldsymbol{a}_\mathrm{x} - 6.1\boldsymbol{a}_\mathrm{y} + 3.1\boldsymbol{a}_\mathrm{z}$ ، $11.2\boldsymbol{a}_\mathrm{x} + 16.1\boldsymbol{a}_\mathrm{y} - 18\boldsymbol{a}_\mathrm{z}$ ، $\boldsymbol{E}_2 = 16.7\boldsymbol{a}_\mathrm{x} + 13.7\boldsymbol{a}_\mathrm{y} - 16.8\boldsymbol{a}_\mathrm{z}\,\frac{\mathrm{V}}{\mathrm{m}}$

سوال 5.32: ہم محوری تار کے اندرونی تار کا بیرونی رداس $6\,\mathrm{mm}$ ہے جبکہ بیرونی تار کا اندرونی رداس $15\,\mathrm{mm}$ ہے۔موصل تاروں کے درمیان دو مختلف ذو برق استعمال کئے جاتے ہیں۔اندرونی تار پر $4\,\mathrm{mm}$ کی پہلی تہہ کا $\epsilon_{R1} = 1.5$ ہے جبکہ بقایا حصے میں ذو برق کا $\epsilon_{R2} = 2.5$ ہے۔اندرونی تار پر $15\,\frac{\mathrm{nC}}{\mathrm{m}^2}$ ہونے کی صورت میں دونوں تاروں کے درمیان برقی دباو حاصل کریں۔

جواب: $5.11\,\mathrm{V}$

سوال 5.33: رداس $6\,\mathrm{mm}$ کے موصل کرہ پر $\epsilon_{R1} = 1.5$ برقی مستقل کے ذو برق کی $4\,\mathrm{mm}$ موٹی تہہ پہلی چڑھائی۔اس کے اوپر $\epsilon_{R2} = 2.5$ برقی مستقل کے ذو برق کی $5\,\mathrm{mm}$ موٹی دوسری تہہ چڑھائی جاتی ہے۔بیرونی موصل کرہ کا اندرونی رداس $15\,\mathrm{mm}$ ہے۔اندرونی کرہ پر $15\,\frac{\mathrm{nC}}{\mathrm{m}^2}$ ہونے کی صورت میں دونوں موصل کرہ کے درمیان برقی دباو حاصل کریں۔

جواب: $3.52\,\mathrm{V}$

سوال 5.34: متوازی چادر کپیسٹر کے چادروں کے درمیان فاصلہ $1\,\mathrm{mm}$ ہے جبکہ چادر کا رقبہ $100\,\mathrm{cm}^2$ ہے۔چادروں کے درمیان ذو برق کا $\epsilon_R = 5$ ہے۔الف) کپیسٹر کا C حاصل کریں۔ ب) کپیسٹر کے چادروں کے مابین کچھ دیر $50\,\mathrm{V}$ کی سپلائی جوڑی جاتی ہے تاکہ کپیسٹر اتنی برقی دباو حاصل کر لے۔اس کے بعد سپلائی کو ہٹا دیا جاتا ہے۔ایسی صورت میں E ، D ، Q اور کپیسٹر میں موجود توانائی W حاصل کریں۔ پ) اب

اگر چادروں کے درمیان سے ذو برق ہٹا دیا جائے تب Q کتنا ہو گا۔ E ، D اور کپیسٹر میں موجود توانائی W دوبارہ حاصل کریں۔ ساتھ ہی ساتھ برقی دباو بھی حاصل کریں۔

جوابات: الف) $442.7\,\text{pF}$ ب) $50\,\frac{\text{kV}}{\text{m}}$ ، $2.21\,\frac{\mu\text{C}}{\text{m}^2}$ ، $22.13\,\text{nC}$ ، $553\,\text{nJ}$ پ) $22.13\,\text{nC}$ ، $250\,\frac{\text{kV}}{\text{m}}$ ، $2.21\,\frac{\mu\text{C}}{\text{m}^2}$ ، $2.77\,\mu\text{J}$ ، $250\,\text{V}$

سوال 5.35: موصل چادر کے متوازی $25\,\text{mm}$ فاصلے پر $7\,\text{mm}$ رداس کی موصل تار پائی جاتی ہے۔ چادر صفر وولٹ جبکہ تار $2\,\text{kV}$ پر ہے۔ الف) فی میٹر کپیسٹنس حاصل کریں۔ ب) تار پر فی میٹر چارج حاصل کریں۔ پ) چادر کے قریبی جانب تار کی سطح پر برقی شدت حاصل کریں۔

جوابات: $28.6\,\frac{\text{pF}}{\text{m}}$ ، $57.2\,\frac{\text{nC}}{\text{m}}$ ، $-195.8\boldsymbol{a}_{\text{x}}\,\frac{\text{kV}}{\text{m}}$

باب 6

پوئسن اور لاپلاس مساوات

گاوس کے قانون کی نقطہ شکل

$$\nabla \cdot \boldsymbol{D} = \rho_h \tag{6.1}$$

میں $\boldsymbol{D} = \epsilon \boldsymbol{E}$ اور حاصل جواب میں $\boldsymbol{E} = -\nabla V$ پر کرنے سے

$$\nabla \cdot (\epsilon \boldsymbol{E}) = -\nabla \cdot (\epsilon \nabla V) = \rho_h$$

یعنی

$$\nabla \cdot \nabla V = -\frac{\rho_h}{\epsilon} \tag{6.2}$$

حاصل ہوتا ہے جہاں ہر طرف یکساں[1] خاصیت کے خطے میں ϵ اٹل قیمت رکھتا ہے۔مساوات 6.2 پوئسن[2] مساوات کہلاتا ہے۔

آئیں کارتیسی محدد میں پوئسن مساوات کی شکل حاصل کریں۔یاد رہے کہ کسی بھی متغیرہ $\boldsymbol{A} = A_x \boldsymbol{a}_{\mathrm{x}} + A_y \boldsymbol{a}_{\mathrm{y}} + A_z \boldsymbol{a}_{\mathrm{z}}$ کے لئے

$$\nabla \cdot \boldsymbol{A} = \frac{\partial A_x}{\partial x} + \frac{\partial A_y}{\partial y} + \frac{\partial A_z}{\partial z}$$

کے برابر ہوتا ہے۔اب چونکہ

$$\nabla V = \frac{\partial V}{\partial x} \boldsymbol{a}_{\mathrm{x}} + \frac{\partial V}{\partial y} \boldsymbol{a}_{\mathrm{y}} + \frac{\partial V}{\partial z} \boldsymbol{a}_{\mathrm{z}}$$

کے برابر ہے لہٰذا

$$\begin{aligned} \nabla \cdot \nabla V &= \frac{\partial}{\partial x}\left(\frac{\partial V}{\partial x}\right) + \frac{\partial}{\partial y}\left(\frac{\partial V}{\partial y}\right) + \frac{\partial}{\partial z}\left(\frac{\partial V}{\partial z}\right) \\ &= \frac{\partial^2 V}{\partial x^2} + \frac{\partial^2 V}{\partial y^2} + \frac{\partial^2 V}{\partial z^2} \end{aligned} \tag{6.3}$$

ہو گا۔

[1] homogeneous
[2] Poisson equation

عموماً $\nabla \cdot \nabla$ کو ∇^2 لکھا جاتا ہے۔اس طرح پوئسن مساوات کی کارتیسی شکل

$$\nabla^2 V = \frac{\partial^2 V}{\partial x^2} + \frac{\partial^2 V}{\partial y^2} + \frac{\partial^2 V}{\partial z^2} = -\frac{\rho_h}{\epsilon} \tag{6.4}$$

حاصل ہوتی ہے۔

حجمی چارج کثافت کی غیر موجودگی، یعنی $\rho_h = 0$ کی صورت میں مساوات 6.2

$$\nabla^2 V = 0 \tag{6.5}$$

صورت اختیار کر لے گی جسے لاپلاس[3] مساوات کہتے ہیں۔جس حجم کے لئے لاپلاس کی مساوات لکھی گئی ہو اس حجم میں حجمی چارج کثافت صفر ہوتا ہے البتہ اس حجم کی سرحد پر نقطہ چارج یا سطحی چارج کثافت پائی جا سکتیں ہیں۔عموماً سطح پر موجود چارج سے حجم میں پیدا میدان ہی حاصل کرنا مطلوب ہوتا ہے۔کارتیسی محدد میں لاپلاس کی مساوات

$$\nabla^2 V = \frac{\partial^2 V}{\partial x^2} + \frac{\partial^2 V}{\partial y^2} + \frac{\partial^2 V}{\partial z^2} = 0 \tag{6.6}$$

صورت رکھتی ہے۔∇^2 کو لاپلاسی عامل[4] کہا جاتا ہے۔

لاپلاس مساوات کہتا ہے کہ کسی بھی چارج سے خالی حجم میں ہر صورت $\nabla^2 V = 0$ ہو گا۔حجم کی شکل کچھ بھی ہو سکتی ہے اور اس کے سرحد پر کسی بھی قسم کا چارج ہو سکتا ہے۔یہ ایک دلچسپ حقیقت ہے۔حجم کے سرحد پر عموماً ایک یا ایک سے زیادہ موصل سطحیں ہوتی ہیں جن پر برقی دباو V_0، V_1، V_2 وغیرہ پایا جاتا ہے اور حجم کے اندر میدان کا حصول درکار ہوتا ہے۔کبھی کبھار موصل سطح پر چارج یا $\boldsymbol{E}$ معلوم ہو گا جس سے حجم کے اندر میدان درکار ہو گا۔اسی طرح کبھی کبھار سرحد پر ایک جگہ چارج اور اس پر دوسری جگہ برقی دباو اور اس پر تیسرے جگہ عمودی بہاو دیا گیا ہو گا جبکہ حجم کے اندر کے متغیرات درکار ہوں گے۔اس کے برعکس ایسا بھی ممکن ہے کہ حجم میں میدان یا برقی دباو معلوم ہو اور ان معلومات سے سرحد پر چارج یا بہاو یا برقی دباو حاصل کرنا ضروری ہو گا۔

یہاں یہ بتلانا ضروری ہے کہ $V = 0$ لاپلاس مساوات کا حل ہے۔یہ حل برقی دباو کی عدم موجودگی کو ظاہر کرتی ہے۔ہمیں عموماً ایسے مسئلوں سے دلچسپی ہوتی ہے جہاں برقی دباو پائی جائے۔اس لئے لاپلاس مساوات کے اس حل کو ہم عموماً نظرانداز کریں گے۔

ہم نے لاپلاس کی مساوات برقی دباو کے لئے حاصل کی۔دیکھا یہ گیا ہے کہ انجینئری کے دیگر شعبوں میں کئی متغیرات لاپلاس کے مساوات پر پورا اترتے ہیں۔یہ مساوات حقیقی اہمیت کا حامل ہے۔

اس باب میں ہم ایسی کئی مثالیں دیکھیں گے لیکن پہلے یہ حقیقت جاننا ضروری ہے کہ مساوات 6.6 کا کوئی بھی جواب ان تمام اقسام کے سرحدی معلومات کے لئے درست ہو گا۔یہ انتہائی تشویشناک بات ہو گی اگر دو مختلف طریقوں سے لاپلاس مساوات کے جوابات حاصل کرنے کے بعد معلوم ہو کہ ان میں سے ایک ٹھیک اور دوسرا غلط جواب ہے۔آئیں اس حقیقت کا ثبوت دیکھیں کہ کسی بھی سرحدی حقائق کو مد نظر رکھتے ہوئے لاپلاس مساوات کا صرف اور صرف ایک ہی جواب حاصل ہوتا ہے۔

---

[3] Laplace equation
[4] Laplacian operator

مثال 6.1: لاپلاس اور پوئسن کے مساوات حاصل کرتے وقت پورے خطے میں یکساں ϵ تصور کی گئی۔ غیر یکساں ϵ کی صورت میں ϵ کی تبدیلی پر وہ شرط حاصل کریں جس سے لاپلاس اور پوئسن مساوات برقرار رہتے ہیں۔

حل: مساوات $\nabla \cdot \boldsymbol{D} = \rho_h$ سے شروع کرتے ہیں جس میں $\boldsymbol{D} = \epsilon \boldsymbol{E}$ پر کرتے ہوئے آگے بڑھتے ہیں۔ سمتی $\boldsymbol{E}$ اور مقداری ϵ کی صورت میں

$$\nabla \cdot \boldsymbol{D} = \nabla \cdot (\epsilon \boldsymbol{E}) = \boldsymbol{E} \cdot \nabla \epsilon + \epsilon \nabla \cdot \boldsymbol{E} = \rho_h$$

لکھا جا سکتا ہے۔ اس میں $\boldsymbol{E} = -\nabla V$ پر کرنے سے

$$-\nabla V \cdot \nabla \epsilon - \epsilon \nabla^2 V = \rho_h$$

حاصل ہوتا ہے۔ اس مساوات سے پوئسن مساوات اس صورت حاصل ہو گی جب $\nabla V \cdot \nabla \epsilon = 0$ یعنی $\boldsymbol{E} \cdot \nabla \epsilon = 0$ ہو۔ ایسا ہونے کا مطلب ہے کہ کسی بھی نقطے پر ϵ میں تبدیلی کی سمت، اسی نقطے پر $\boldsymbol{E}$ کے سمت کے عمودی ہو۔

6.1 مسئلہ یکتائی

تصور کریں کہ ہم دو مختلف طریقوں سے لاپلاس مساوات کے دو جوابات V_1 اور V_2 حاصل کرتے ہیں۔ یہ دونوں جوابات لاپلاس مساوات پر پورا اترتے ہیں لہٰذا

$$\nabla^2 V_1 = 0$$
$$\nabla^2 V_2 = 0$$

لکھا جا سکتا ہے جس سے

$$\nabla^2 (V_1 - V_2) = 0 \tag{6.7}$$

حاصل ہوتا ہے۔ اب اگر سرحد پر برقی دباو V_s ہو تب دونوں جوابات سرحد پر یہی جواب دیں گے یعنی سرحد پر

$$V_{1s} = V_{2s} = V_s$$

یا

$$V_{1s} - V_{2s} = 0$$

ہو گا۔ صفحہ 119 پر مساوات 4.83

$$\nabla \cdot (V \boldsymbol{D}) = V(\nabla \cdot \boldsymbol{D}) + \boldsymbol{D} \cdot (\nabla V)$$

کا ذکر کیا گیا جو کسی بھی مقداری V اور کسی بھی سمتیہ $\boldsymbol{D}$ کے لئے درست ہے۔ موجودہ استعمال کے لئے ہم $V_1 - V_2$ کو مقداری اور $\nabla(V_1 - V_2)$ کو سمتیہ لیتے ہوئے

$$\begin{aligned}\nabla \cdot [(V_1 - V_2)\nabla(V_1 - V_2)] &= (V_1 - V_2)[\nabla \cdot \nabla(V_1 - V_2)] + \nabla(V_1 - V_2) \cdot \nabla(V_1 - V_2) \\ &= (V_1 - V_2)[\nabla^2(V_1 - V_2)] + [\nabla(V_1 - V_2)]^2\end{aligned}$$

لکھ سکتے ہیں جس کا تکمل پورے حجم کے لئے

$$\int\limits_{\text{حجم}} \nabla \cdot [(V_1 - V_2)\nabla(V_1 - V_2)]\,\mathrm{d}h = \int\limits_{\text{حجم}} (V_1 - V_2)[\nabla^2(V_1 - V_2)]\,\mathrm{d}h + \int\limits_{\text{حجم}} [\nabla(V_1 - V_2)]^2\,\mathrm{d}h \tag{6.8}$$

ہو گا۔ صفحہ 87 پر مساوات 3.43 مسئلہ پھیلاو بیان کرتا ہے جس کے مطابق کسی بھی حجمی تکمل کو بند سطحی تکمل میں تبدیل کیا جا سکتا ہے جہاں حجم کی سطح پر سطحی تکمل حاصل کیا جاتا ہے۔ یوں مندرجہ بالا مساوات کے بائیں ہاتھ کو سطحی تکمل میں تبدیل کرتے ہوئے

$$\int\limits_{\text{حجم}} \nabla \cdot [(V_1 - V_2)\nabla(V_1 - V_2)]\,\mathrm{d}h = \oint\limits_{\text{سطح}} [(V_{1s} - V_{2s})\nabla(V_{1s} - V_{2s})] \cdot \mathrm{d}\boldsymbol{S} = 0$$

حاصل ہوتا ہے جہاں سرحدی سطح پر $V_{1s} = V_{2s}$ ہونے کی بنا پر $V_{1s} - V_{2s} = 0$ ہے اور صفر کا تکمل صفر ہی ہوتا ہے۔ مساوات 6.8 میں دائیں ہاتھ پہلے جزو میں مساوات 6.7 کے تحت $\nabla^2(V_1 - V_2) = 0$ ہے اور صفر کا تکمل صفر ہی ہوتا ہے۔ اس طرح مساوات 6.8 سے

$$\int\limits_{\text{حجم}} [\nabla(V_1 - V_2)]^2\,\mathrm{d}h = 0$$

حاصل ہوتا ہے۔

کسی بھی تکمل کا جواب صرف دو صورتوں میں صفر کے برابر ہو سکتا ہے۔ پہلی صورت یہ ہے کہ کچھ خطے میں تکمل کی قیمت مثبت اور کچھ خطے میں اس کی قیمت منفی ہو۔ اگر مثبت اور منفی حصے بالکل برابر ہوں تب تکمل صفر کے برابر ہو گا۔ موجودہ صورت میں $[\nabla(V_1 - V_2)]^2$ کا تکمل لیا جا رہے ہے اور کسی بھی متغیر کا مربع کسی صورت منفی نہیں ہو سکتا لہٰذا موجودہ تکمل میں ایسا ممکن نہیں ہے۔ تکمل صفر ہونے کی دوسری صورت یہ ہے کہ صفر کا تکمل حاصل کیا جا رہا ہو لہٰذا

$$[\nabla(V_1 - V_2)]^2 = 0$$

ہی ہو گا یعنی

$$\nabla(V_1 - V_2) = 0$$

کے برابر ہے۔

اب $\nabla(V_1 - V_2) = 0$ کا مطلب ہے کہ $V_1 - V_2$ کی ڈھلوان ہر صورت صفر کے برابر ہے۔ یہ تب ہی ممکن ہے جب $V_1 - V_2$ کی قیمت کسی بھی محدد کے ساتھ تبدیل نہ ہو یعنی اگر تکمل کے پورے خطے میں

$$V_1 - V_2 = \text{اٹل قیمت}$$

ہو۔ حجم کے سرحد پر بھی یہ درست ہو گا۔ مگر سرحد پر

$$V_1 - V_2 = V_{1s} - V_{2s} = 0$$

کے برابر ہے لہٰذا یہ اٹل قیمت از خود صفر ہے۔ یوں

$$V_1 = V_2 \tag{6.9}$$

ہو گا۔ اس کا مطلب ہے کہ دونوں جوابات بالکل برابر ہیں۔

مسئلہ یکتائی کو پوئسن مساوات کے لئے بھی بالکل اسی طرح ثابت کیا جا سکتا ہے۔ پوئسن مساوات کے دو جوابات V_1 اور V_2 پوئسن مساوات پر پورا اتریں گے لہٰذا $\nabla^2 V_1 = -\frac{\rho_h}{\epsilon}$ اور $\nabla^2 V_2 = -\frac{\rho_h}{\epsilon}$ لکھے جا سکتے ہیں جن سے $\nabla^2(V_1 - V_2) = 0$ حاصل ہوتا ہے۔ سرحد پر اب بھی $V_{1s} - V_{2s} = 0$ ہو گا۔ یہاں سے آگے ثبوت بالکل یکتائی لاپلاس کی ثبوت کی طرح ہے۔

مسئلہ یکتائی کے تحت سرحدی حقائق کے لئے حاصل کئے گئے پوئسن یا لاپلاس مساوات کے جوابات ہر صورت برابر ہوں گے۔ یہ ممکن نہیں کہ دو مختلف جوابات حاصل کئے جائیں۔

6.2 لاپلاس مساوات خطی ہے

تصور کریں کہ سرحدی شرائط لاگو کرنے کے بغیر لاپلاس مساوات کے دو حل V_1 اور V_2 حاصل کئے جائیں۔یوں

$$\nabla^2 V_1 = 0$$
$$\nabla^2 V_2 = 0$$

لکھا جا سکتا ہے جن سے

$$\nabla^2 (c_1 V_1 + c_2 V_2) = 0$$

بھی لکھا جا سکتا ہے جہاں c_1 اور c_2 مستقل ہیں۔اس حقیقت کو یوں بیان کیا جاتا ہے کہ لاپلاس مساوات خطی[5] ہے۔

6.3 نلکی اور کروی محدد میں لاپلاس کی مساوات

نلکی محدد میں ڈھلوان کی مساوات صفحہ 110 پر مساوات 4.57 دیتا ہے جس سے

$$\begin{aligned}\nabla V &= \frac{\partial V}{\partial \rho}\boldsymbol{a}_\rho + \frac{1}{\rho}\frac{\partial V}{\partial \phi}\boldsymbol{a}_\phi + \frac{\partial V}{\partial z}\boldsymbol{a}_z \\ &= -E_\rho \boldsymbol{a}_\rho - E_\phi \boldsymbol{a}_\phi - E_z \boldsymbol{a}_z\end{aligned} \tag{6.10}$$

لکھتے ہیں جہاں $\boldsymbol{E} = -\nabla V$ کا استعمال کیا گیا۔نلکی محدد میں پھیلاو کی مساوات صفحہ 84 پر مساوات 3.37 دیتا ہے۔اسی مساوات کو سمتیہ $\boldsymbol{E}$ کے لئے

$$\nabla \cdot \boldsymbol{E} = \frac{1}{\rho}\frac{\partial(\rho E_\rho)}{\partial \rho} + \frac{1}{\rho}\frac{\partial E_\phi}{\partial \phi} + \frac{\partial E_z}{\partial z}$$

لکھتے ہیں۔اس میں بائیں ہاتھ $\boldsymbol{E} = -\nabla V$ اور دائیں ہاتھ مساوات 6.10 سے قیمتیں پر کرتے ہوئے

$$\nabla \cdot \nabla V = \frac{1}{\rho}\frac{\partial}{\partial \rho}\left(\rho \frac{\partial V}{\partial \rho}\right) + \frac{1}{\rho}\frac{\partial}{\partial \phi}\left(\frac{1}{\rho}\frac{\partial V}{\partial \phi}\right) + \frac{\partial}{\partial z}\left(\frac{\partial V}{\partial z}\right)$$

حاصل ہوتا ہے جہاں دونوں جانب منفی علامت کٹ جاتے ہیں۔اس کو یوں

$$\nabla^2 V = \frac{1}{\rho}\frac{\partial}{\partial \rho}\left(\rho \frac{\partial V}{\partial \rho}\right) + \frac{1}{\rho^2}\left(\frac{\partial^2 V}{\partial \phi^2}\right) + \frac{\partial^2 V}{\partial z^2} \quad \text{نلکی} \tag{6.11}$$

لکھا جا سکتا ہے جو نلکی محدد میں لاپلاسی مساوات ہے۔

کروی محدد میں بالکل اسی

$$\nabla^2 V = \frac{1}{r^2}\frac{\partial}{\partial r}\left(r^2 \frac{\partial V}{\partial r}\right) + \frac{1}{r^2 \sin\theta}\frac{\partial}{\partial \theta}\left(\sin\theta \frac{\partial V}{\partial \theta}\right) + \frac{1}{r^2 \sin\theta}\frac{\partial^2 V}{\partial \phi^2} \quad \text{کروی} \tag{6.12}$$

---

[5] linear

جبکہ عمومی محدد میں

$$\nabla^2 V = \frac{1}{k_1 k_2 k_3}\left[\frac{\partial}{\partial u}\left(\frac{k_2 k_3}{k_1}\frac{\partial V}{\partial u}\right) + \frac{\partial}{\partial v}\left(\frac{k_1 k_3}{k_2}\frac{\partial V}{\partial v}\right) + \frac{\partial}{\partial w}\left(\frac{k_1 k_2}{k_3}\frac{\partial V}{\partial w}\right)\right] \quad \text{عمومی} \tag{6.13}$$

حاصل کی جا سکتی ہے۔

مشق 6.1: مساوات 6.12 حاصل کریں۔

6.4 لاپلاس مساوات کے حل

لاپلاس مساوات حل کرنے کے کئی طریقے ہیں۔ سادہ ترین مسئلے، سادہ تکمل سے ہی حل ہو جاتے ہیں۔ ہم اسی سادہ تکمل کے طریقے سے کئی مسئلے حل کریں گے۔ یہ طریقہ صرف اس صورت قابل استعمال ہوتا ہے جب میدان یک سمتی ہو یعنی جب یہ محدد کے تین سمتوں میں سے صرف ایک سمت میں تبدیل ہوتا ہو۔ چونکہ اس کتاب میں محدد کے تین نظام استعمال کئے جا رہے ہیں لہٰذا معلوم ایسا ہوتا ہے کہ کل نو مسئلے ممکن ہیں۔ درحقیقت ایسا نہیں ہے۔ کارتیسی محدد میں x سمت میں تبدیل ہوتے میدان کا حل بالکل ویسا ہی ہے جیسے y یا z سمت میں تبدیل ہوتے میدان کا حل۔ اسی طرح x محدد سے کسی زاویے پر سیدھی لکیر کی سمت میں تبدیل ہوتا میدان بھی بالکل اسی طرح حل ہو گا۔ یوں کارتیسی محدد میں کسی بھی سمت میں تبدیل ہوتے میدان اور x سمت میں تبدیل ہوتے میدان کے حل بالکل ایک جیسے ہوں گے لہٰذا کارتیسی محدد میں صرف ایک مسئلہ حل کرنا درکار ہے۔ نلکی محدد میں z محدد کے ساتھ تبدیل ہوتے میدان کو ہم کارتیسی محدد میں دیکھ لیں گے لہٰذا یہاں کل دو مسئلے حل کرنا درکار ہے جبکہ کروی محدد میں بھی دو مسئلے پائے جاتے ہیں۔ آئیں ان تمام کو باری باری حل کریں۔

مثال 6.2: تصور کریں کہ V صرف x محدد کے ساتھ تبدیل ہوتی ہو۔ دیکھتے ہیں کہ ایسی صورت میں لاپلاس مساوات کا حل کیا ہو گا۔ اس پر بعد میں غور کریں گے کہ حقیقت میں ایسی کون سی صورت ہو گی کہ V صرف x محدد کے ساتھ تبدیل ہوتا ہو۔ ایسی صورت میں لاپلاس مساوات

$$\frac{\partial^2 V}{\partial x^2} = 0$$

شکل اختیار کر لے گا۔ چونکہ V کی قیمت صرف x پر منحصر ہے لہٰذا مندرجہ بالا مساوات کو

$$\frac{\mathrm{d}^2 V}{\mathrm{d}x^2} = 0$$

لکھا جا سکتا ہے۔ پہلی بار تکمل لیتے ہوئے

$$\frac{\mathrm{d}V}{\mathrm{d}x} = A$$

حاصل ہوتا ہے۔دوبارہ تکمل لیتے ہوئے

$$V = Ax + B \tag{6.14}$$

حاصل ہوتا ہے جو لاپلاس مساوات کا حل ہے۔یہ کسی بھی سیدھی لکیر کی سمت میں تبدیل ہوتے برقی دباو کے مسئلے کو ظاہر کرتا ہے جہاں اس لکیر کو x کہا جائے گا۔A اور B دو درجی تکمل کے مستقل ہیں جن کی قیمتیں سرحدی شرائط کی مدد سے حاصل کی جاتی ہیں۔

آئیں مساوات 6.14 کا مطلب سمجھیں۔اس کے مطابق برقی دباو کا دارومدار صرف x پر ہے جبکہ y اور z کا اس کی قیمت پر کوئی اثر نہیں۔x کی کسی بھی قیمت پر یعنی $x = x_0$ سطح پر V کی قیمت اٹل ہو گی۔ایسی ہم قوہ سطحیں x محدد کے عمودی ہوں گی۔آپ دیکھ سکتے ہیں کہ مساوات 6.14 یہ متوازی چادر کپیسٹر کا حل ہے۔

ہم ایسے کپیسٹر کے دونوں چادروں پر برقی دباو اور چادروں کا x محدد پر مقام بیان کرتے ہوئے A اور B کی قیمتیں حاصل کر سکتے ہیں۔یوں اگر کپیسٹر کی پہلی چادر x_1 پر ہے جبکہ اس پر برقی دباو V_1 ہے اور اسی طرح دوسری چادر x_2 پر ہے جبکہ اس پر برقی دباو V_2 ہے تب

$$\begin{aligned} V_1 &= Ax_1 + B \\ V_2 &= Ax_2 + B \end{aligned}$$

ہو گا جس سے

$$\begin{aligned} A &= \frac{V_1 - V_2}{x_1 - x_2} \\ B &= \frac{V_2 x_1 - V_1 x_2}{x_1 - x_2} \end{aligned}$$

حاصل ہوتے ہیں۔یوں چادروں کے درمیان

$$V = \left(\frac{V_1 - V_2}{x_1 - x_2}\right) x + \frac{V_2 x_1 - V_1 x_2}{x_1 - x_2} \tag{6.15}$$

ہو گا۔

اگر ہم پہلی چادر کو $x = 0$ اور دوسری چادر کو d پر تصور کرتے جبکہ اسی ترتیب سے ان کی برقی دباو کو صفر اور V_0 کہتے تب ہمیں

$$V = \frac{V_0 x}{d} \tag{6.16}$$

حاصل ہوتا جو نسبتاً آسان مساوات ہے۔

باب 5 میں ہم نے سطحی چارج کثافت سے بالترتیب برقی میدان، برقی دباو اور کپیسٹنس حاصل کئے۔موجودہ باب میں ہم پہلے لاپلاس کے مساوات کے حل سے برقی دباو حاصل کرتے ہیں۔برقی دباو سے میدان بذریعہ $\boldsymbol{E} = -\nabla V$ اور بہاو بذریعہ $\boldsymbol{D} = \epsilon \boldsymbol{E}$ حاصل کرتے ہوئے سطحی چارج کثافت حاصل کرتے ہیں جو عمودی بہاو کے برابر ہے۔سطحی چارج کثافت سے سطح پر کل چارج حاصل کرتے ہوئے $C = \frac{Q}{V}$ حاصل کیا جاتا ہے۔ان اقدام کو بالترتیب دوبارہ پیش کرتے ہیں۔

- لاپلاس مساوات حل کرتے ہوئے برقی دباو V حاصل کریں۔
- تکمل کے سرحدی شرائط سے تکمل کے مستقل کی قیمتیں حاصل کریں۔

- برقی دباو سے برقی میدان اور برقی بہاو بذریعہ $\boldsymbol{E} = -\nabla V$ اور $\boldsymbol{D} = \epsilon \boldsymbol{E}$ حاصل کریں۔
- کپیسٹر کے کسی ایک چادر پر برقی بہاو کی قیمت $\boldsymbol{D}_S = D_n \boldsymbol{a}_N$ حاصل کریں جو سطح کے عمودی ہو گا۔
- چونکہ سطح پر سطحی چارج کثافت اور عمودی برقی بہاو برابر ہوتے ہیں لہٰذا $\rho_S = D_n$ ہو گا۔ مثبت چارج کثافت کی صورت میں برقی بہاو کا موصل چادر سے اخراج جبکہ منفی چارج کثافت کی صورت میں برقی بہاو کا چادر میں دخول ہو گا۔
- سطح پر چارج بذریعہ سطحی تکمل حاصل کریں۔
- کپیسٹنس $\mathrm{C} = \frac{Q}{V}$ ہو گا۔

آئیں ان اقدام کو موجودہ مثال پر لاگو کریں۔

چونکہ موجودہ مثال میں مساوات 6.16 کے تحت

$$V = \frac{V_0 x}{d}$$

ہے لہٰذا

$$\boldsymbol{E} = -\nabla V = -\frac{V_0}{d}\boldsymbol{a}_{\mathrm{x}}$$

اور

$$\boldsymbol{D} = -\epsilon \frac{V_0}{d}\boldsymbol{a}_{\mathrm{x}}$$

چونکہ بہاو کی سمت مثبت سے منفی چادر کی جانب ہوتی ہے لہٰذا مثبت چادر $x = d$ پر جبکہ منفی چادر $x = 0$ پر ہے۔ مثبت چادر پر

$$\boldsymbol{D}_S = \boldsymbol{D}\Big|_{x=d} = -\epsilon \frac{V_0}{d}\boldsymbol{a}_{\mathrm{x}}$$

کے برابر ہے۔ چونکہ مثبت چادر کا

$$\boldsymbol{a}_N = -\boldsymbol{a}_{\mathrm{x}}$$

ہے لہٰذا برقی بہاو چادر سے خارج ہو رہا ہے۔ یوں

$$\rho_S = \epsilon \frac{V_0}{d}$$

ہو گا۔ اگر چادر کی سطح کا رقبہ S ہو تب

$$Q = \int_S \rho_S \, \mathrm{dS} = \int \epsilon \frac{V_0}{d} \, \mathrm{dS} = \frac{\epsilon V_0 S}{d}$$

ہو گا جس سے

$$\mathrm{C} = \frac{\epsilon S}{d}$$

حاصل ہوتا ہے۔ صفحہ 152 پر مساوات 5.58 یہی جواب دیتا ہے۔

اگر مندرجہ بالا مثال میں کپیسٹر کو y یا z محدد پر رکھا جاتا تو کپیسٹنس کی قیمت یہی حاصل ہوتی لہٰذا کارتیسی محدد کے لئے ایک مثال حل کر لینا کافی ہے۔ نلکی محدد میں z کے ساتھ تبدیل ہوتے برقی دباو کو حل کرنے سے کوئی نئی بات سامنے نہیں آتی۔ یہ بالکل کارتیسی محدد کے مثال کی طرح ہی ہے لہٰذا ہم باری باری ρ اور ϕ کے ساتھ تبدیل ہوتے برقی دباو کے مسئلے حل کرتے ہیں۔

مثال 6.3: اس مثال میں صرف ρ کے ساتھ تبدیل ہوتے برقی دباو پر غور کرتے ہیں۔ایسی صورت میں لاپلاس کی مساوات

$$\frac{1}{\rho}\frac{\partial}{\partial\rho}\left(\rho\frac{\partial V}{\partial\rho}\right)=0$$

یا

$$\frac{1}{\rho}\frac{\mathrm{d}}{\mathrm{d}\rho}\left(\rho\frac{\mathrm{d}V}{\mathrm{d}\rho}\right)=0 \tag{6.17}$$

صورت اختیار کر لے گی۔یوں یا

$$\frac{1}{\rho}=0$$

ہو گا جس سے

$$\rho=\infty \tag{6.18}$$

حاصل ہوتا ہے اور یا

$$\frac{\mathrm{d}}{\mathrm{d}\rho}\left(\rho\frac{\mathrm{d}V}{\mathrm{d}\rho}\right)=0 \tag{6.19}$$

ہو گا۔اس تفرقی مساوات کو بار بار تکمل لے کر حل کرتے ہیں۔پہلی بار تکمل لیتے ہوئے

$$\rho\frac{\mathrm{d}V}{\mathrm{d}\rho}=A$$

یا

$$\mathrm{d}V=A\frac{\mathrm{d}\rho}{\rho}$$

حاصل ہوتا ہے۔دوسری بار تکمل سے

$$V=A\ln\rho+B$$

حاصل ہوتا ہے۔یہ ہم قوہ سطحیں نلکی شکل کے ہیں۔یوں یہ مساوات محوری تار کا برقی دباو دیتی ہے۔ہم محوری تار کے بیرونی تار $\rho = b$ کو برقی زمین اور اندرونی تار $\rho = a$ کو V_0 برقی دباو پر تصور کرتے ہوئے

$$V = V_0 \frac{\ln \frac{b}{\rho}}{\ln \frac{b}{a}} \tag{6.20}$$

حاصل ہوتا ہے۔ہم جانتے ہیں کہ کسی بھی شکل کے چارج سے لامحدود فاصلے پر برقی دباو صفر ہی ہوتا ہے۔اسی وجہ سے ہم لامحدود فاصلے کو ہی برقی زمین کہتے آ رہے ہیں۔یوں لاپلاس مساوات کا پہلا حل یعنی مساوات 6.18 ہمارے امید کے عین مطابق ہے۔

مساوات 6.20 کو لے کر آگے بڑھتے ہوئے یوں

$$\boldsymbol{E} = -\nabla V = \frac{V_0}{\rho} \frac{1}{\ln \frac{b}{a}} \boldsymbol{a}_\rho$$

اور

$$D_n = D\Big|_{\rho=a} = \frac{\epsilon V_0}{a \ln \frac{b}{a}}$$
$$Q = \frac{\epsilon V_0 2\pi a L}{a \ln \frac{b}{a}}$$

حاصل ہوتے ہیں جن سے

$$C = \frac{2\pi\epsilon L}{\ln \frac{b}{a}} \tag{6.21}$$

حاصل ہوتا ہے۔صفحہ 153 پر مساوات 5.59 یہی جواب دیتا ہے۔

مساوات 6.17 کو ρ سے ضرب دینے سے بھی مساوات 6.19 حاصل ہوتا ہے۔البتہ یہ ضرب صرف اور صرف اس صورت ممکن ہے جب $\rho \neq 0$ ہو۔یاد رہے کہ $\rho = 0$ کی صورت میں $\frac{\rho}{\rho} = \frac{0}{0}$ ہو گا جو غیر معین[6] ہے۔یوں مساوات 6.20 صرف اس صورت مساوات 6.19 کا حل ہو گا اگر $\rho \neq 0$ ہو۔ان حقائق کو سامنے رکھتے ہوئے لاپلاس مساوات کا حل

$$V = V_0 \frac{\ln \frac{b}{\rho}}{\ln \frac{b}{a}} \qquad \rho \neq 0 \tag{6.22}$$

لکھنا زیادہ درست ہو گا۔

مثال 6.4: اب تصور کرتے ہیں کہ برقی دباو نلکی محدد کے متغیرہ ϕ کے ساتھ تبدیل ہوتا ہے۔اس صورت میں لاپلاس مساوات

$$\frac{1}{\rho^2} \frac{\partial^2 V}{\partial \phi^2} = 0$$

[6] undefined

صورت اختیار کرے گا۔ یہاں بھی پہلا حل $\rho = \infty$ حاصل ہوتا ہے۔ ہم یہاں بھی $\rho = 0$ کو جواب کا حصہ تصور نہ کرتے ہوئے مساوات کو ρ^2 سے ضرب دیتے ہوئے اس سے جان چڑاتے ہیں۔ یوں

$$\frac{\mathrm{d}^2 V}{\mathrm{d}\phi^2} = 0 \qquad \rho \neq 0$$

رہ جاتا ہے۔ دو مرتبہ تکمل لینے سے

$$V = A\phi + B$$

حاصل ہوتا ہے۔ ایسی دو ہم قوہ سطحیں شکل میں دکھائی گئی ہیں۔ آپ دیکھ سکتے ہیں کہ $\rho = 0$ کی صورت میں دونوں چادر آپس میں مل جائیں گی اور ان پر مختلف برقی دباو ممکن نہ ہو گا۔ یوں $\rho = 0$ قابل قبول جواب نہیں ہے۔ یہاں $\phi = 0$ کو برقی زمین جبکہ $\phi = \phi_0$ پر V_0 برقی دباو کی صورت میں

$$V = \frac{V_0 \phi}{\phi_0} \qquad \rho \neq 0 \tag{6.23}$$

حاصل ہوتا ہے۔ اس سے

$$\boldsymbol{E} = -\frac{V_0}{\phi_0 \rho} \boldsymbol{a}_\phi$$

حاصل ہوتا ہے۔ ان چادروں کے کپیسٹنس کا حصول آپ سے حاصل کرنے کو سوال میں کہا گیا ہے۔

مثال 6.5: کروی محدد میں ϕ کے ساتھ تبدیلی کو مندرجہ بالا مثال میں دیکھا گیا لہٰذا اسے دوبارہ حل کرنے کی ضرورت نہیں۔ ہم پہلے r اور بعد میں θ کے ساتھ تبدیلی کے مسئلوں کو دیکھتے ہیں۔

یہ زیادہ مشکل مسئلہ نہیں ہے لہٰذا آپ ہی سے سوالات کے حصے میں درخواست کی گئی ہے کہ اسے حل کرتے ہوئے برقی دباو کی مساوات

$$V(r) = V_0 \frac{\frac{1}{r} - \frac{1}{b}}{\frac{1}{a} - \frac{1}{b}} \tag{6.24}$$

اور کپیسٹنس کی مساوات

$$C = \frac{4\pi\epsilon}{\frac{1}{a} - \frac{1}{b}} \tag{6.25}$$

حاصل کریں جہاں $r = b$ پر برقی زمین اور $r = a$ پر V_0 برقی دباو ہے اور $b > a$ ہے۔

مثال 6.6: کروی محدد میں θ کے ساتھ تبدیل ہوتے برقی دباو کی صورت میں لاپلاس مساوات

$$\frac{1}{r^2 \sin\theta}\frac{\mathrm{d}}{\mathrm{d}\theta}\left(\sin\theta\frac{\mathrm{d}V}{\mathrm{d}\theta}\right) = 0 \tag{6.26}$$

صورت اختیار کرے گی۔ اگر $r \neq 0$ اور $\sin\theta \neq 0$ ہوں تب اس مساوات کو $r^2 \sin\theta$ سے ضرب دیتے ہوئے

$$\frac{\mathrm{d}}{\mathrm{d}\theta}\left(\sin\theta\frac{\mathrm{d}V}{\mathrm{d}\theta}\right) = 0 \tag{6.27}$$

لکھا جا سکتا ہے۔ $\sin\theta$ اس صورت صفر کے برابر ہو گا جب $\theta = 0$ یا $\theta = \pi$ ہوں۔ اس کے پہلی بار تکمل سے

$$\sin\theta\frac{\mathrm{d}V}{\mathrm{d}\theta} = A$$

یا

$$\mathrm{d}V = \frac{A\,\mathrm{d}\theta}{\sin\theta}$$

حاصل ہوتا ہے۔ دوسری بار تکمل سے

$$V = A\int\frac{\mathrm{d}\theta}{\sin\theta} + B = A\ln\left(\tan\frac{\theta}{2}\right) + B \tag{6.28}$$

حاصل ہوتا ہے۔ 1851

یہ ہم قوہ سطحیں مخروطی شکل رکھتے ہیں۔ اگر $\theta = \frac{\pi}{2}$ پر $V = 0$ اور $\theta = \theta_0$ پر $V = V_0$ ہوں جہاں $\theta_0 < \frac{\pi}{2}$ ہے تب ہمیں

$$V = V_0\frac{\ln\left(\tan\frac{\theta}{2}\right)}{\ln\left(\tan\frac{\theta_0}{2}\right)} \tag{6.29}$$

حاصل ہوتا ہے۔ 1852

آئیں ایسی مخروط اور سیدھی سطح کے مابین کپیسٹنس حاصل کریں جہاں مخروط کی نوک سے انتہائی باریک فاصلے پر سیدھی سطح ہو اور مخروط کا محور اس سطح کے عمود میں ہو۔ پہلے برقی شدت حاصل کرتے ہیں۔

$$\boldsymbol{E} = -\nabla V = -\frac{1}{r}\frac{\partial V}{\partial\theta}\boldsymbol{a}_\theta = -\frac{V_0}{r\sin\theta\ln\left(\tan\frac{\theta_0}{2}\right)}\boldsymbol{a}_\theta \tag{6.30}$$

مخروط کی سطح پر سطحی چارج کثافت یوں

$$\rho_S = D_n = -\frac{\epsilon V_0}{r\sin\theta_0\ln\left(\tan\frac{\theta_0}{2}\right)}$$

ہو گا جس سے اس پر چارج

$$Q = -\frac{\epsilon V_0}{\sin\theta_0\ln\left(\tan\frac{\theta_0}{2}\right)}\int_0^\infty\int_0^{2\pi}\frac{r\sin\theta_0\,\mathrm{d}\phi\,\mathrm{d}r}{r}$$

ہو گا۔ تکمل میں رداس کا حد لامحدود ہونے کی وجہ سے چارج کی قیمت بھی لامحدود حاصل ہوتی ہے جس سے لامحدود کپیسٹنس حاصل ہو گا۔ حقیقت میں محدود جسامت کے سطحیں ہی پائی جاتی ہیں لہٰذا ہم رداس کے حدود 0 تا r_1 لیتے ہیں۔ ایسی صورت میں

$$C = \frac{2\pi\epsilon r_1}{\ln\left(\cot\frac{\theta_0}{2}\right)} \tag{6.31}$$

حاصل ہوتا ہے۔ یاد رہے کہ ہم نے لامحدود سطح سے شروع کیا تھا لہٰذا چارج کی مساوات بھی صرف لامحدود سطح کے لئے درست ہے۔ اس طرح مندرجہ بالا مساوات کپیسٹنس کی قریبی قیمت ہو گی نا کہ بالکل درست قیمت۔

6.5 پوئسن مساوات کے حل کی مثال

پوئسن مساوات تب حل کیا جا سکتا ہے جب ρ_h معلوم ہو۔ حقیقت میں عموماً سرحدی برقی دباو وغیرہ معلوم ہوتے ہیں اور ہمیں ρ_h ہی درکار ہوتی ہے۔ ہم پوئسن مساوات حل کرنے کی خاطر ایسی مثال لیتے ہیں جہاں ہمیں ρ_h معلوم ہو۔

سلیکان[7] کی پتری میں p اور n اقسام کے مواد کی ملاوٹ سے p اور n سلیکان پیدا کیا جاتا ہے۔ ایک ہی سلیکان پتری پر آپس میں جڑے ہوئے p اور n خطے ڈایوڈ[8] کو جنم دیتے ہیں۔ x محدد پر رکھے ایسے ہی ایک ڈایوڈ کی بات کرتے ہوئے آگے بڑھتے ہیں۔ تصور کریں کہ $x < 0$ خطہ p اور $x > 0$ خطہ n قسم کا ہے۔ مزید یہ کہ دونوں جانب ملاوٹ کی مقدار یکساں ہے۔ آپ کو یاد ہو گا کہ p یا n خطہ از خود غیر چارج شدہ ہوتا ہے البتہ p خطے میں آزاد خول[9] اور n خطے میں آزاد الیکٹران[10] پائے جاتے ہیں۔ آزاد خول اور آزاد الیکٹران حرکت کر سکتے ہیں۔ جس لمحہ یہ آپس میں جڑے خطے وجود میں آتے ہیں اس وقت آزاد خول صرف p جانب جبکہ آزاد الیکٹران صرف n جانب پائے جاتے ہیں۔ یوں اس لمحے ہی آزاد خول p سے n جانب اور آزاد الیکٹران n سے p جانب نفوذ[11] کے ذریعے حرکت کرنا شروع کر دیتے ہیں۔ چارج کے اس حرکت سے جلد p اور n کے سرحد کے دونوں جانب الٹ قطب کا چارج جمع ہونے شروع ہو جاتا ہے۔ یوں دو چادر کپیسٹر پر چارج کی طرح، سرحد کے دائیں یعنی $x > 0$ جانب مثبت جبکہ اس کے بائیں جانب منفی چارج جمع ہو جاتا ہے۔ یہ چارج کپیسٹر کے چادروں کے درمیان برقی میدان کی طرح $\boldsymbol{E} = -E\boldsymbol{a}_x$ پیدا کرتا ہے جو بائیں سے دائیں جانب آزاد خول کے حرکت اور دائیں سے بائیں جانب آزاد الیکٹران کے حرکت کو روکتا ہے۔ جب تک برقی میدان $\boldsymbol{E}$ چارج کے اس حرکت کو نہ روک سکے اس وقت تک چارج کا نفوذ جاری رہے گا جس سے سرحد کے دونوں جانب چارج کا انبار بڑھتا رہے گا جس سے $\boldsymbol{E}$ بڑھتی رہے گی۔ آخر کار $\boldsymbol{E}$ کی قیمت اتنی ہو جائے گی کہ یہ نفوذ کو مکمل طور پر روک دے گا۔ آئیں برقی سکون کے اس حال پر غور کریں۔ ابتدا میں p اور n خطے دونوں غیر چارج شدہ تھے البتہ برقی سکون کی حالت اختیار کرنے کے بعد صاف ظاہر ہے کہ سرحد کے دائیں جانب مثبت جبکہ اس کے بائیں جانب منفی چارج پایا جاتا ہے۔ سرحد کے دائیں جانب مثبت چارج دو وجوہات کی بنا ہے۔ کچھ تو آزاد خول اس جانب منتقل ہوئے ہیں اور کچھ یہاں سے آزاد الیکٹران کی نفوذ سے مثبت ایٹم یہاں رہ گئے ہیں۔ اسی طرح سرحد کے دوسری جانب منفی چارج کچھ تو آزاد الیکٹران کی آمد اور کچھ یہاں سے آزاد خول کے اخراج سے منفی ایٹموں کے رہ جانے کی وجہ سے ہے۔ سرحد کے دونوں جانب الٹ قطب کے چارج میں قوت کشش پائی جاتی ہے جو انہیں سرحد کے قریب ہی رکھتے ہیں۔

سرحد کے دونوں جانب چارج کے انبار کو شکل میں دکھایا گیا ہے۔ اس طرح کے انبار کو کئی مساوات سے ظاہر کرنا ممکن ہے جن میں غالباً سب سے سادہ مساوات

$$\rho = 2\rho_0 \operatorname{sech}\frac{x}{a}\tanh\frac{x}{a} \tag{6.32}$$

---

[7] silicon
[8] diode
[9] free holes
[10] free electrons
[11] diffusion

ہے جہاں زیادہ سے زیادہ چارج کثافت ρ_0 ہے جو $x = 0.881a$ پر پائی جاتی ہے۔آئیں اس چارج کثافت کے لئے پوئسن مساوات

$$\nabla^2 V = -\frac{2\rho_0}{\epsilon} \operatorname{sech} \frac{x}{a} \tanh \frac{x}{a}$$

یعنی

$$\frac{\mathrm{d}^2 V}{\mathrm{d}x^2} = -\frac{2\rho_0}{\epsilon} \operatorname{sech} \frac{x}{a} \tanh \frac{x}{a}$$

حل کریں۔پہلی بار تکمل لیتے ہوئے

$$\frac{\mathrm{d}V}{\mathrm{d}x} = \frac{2\rho_0 a}{\epsilon} \operatorname{sech} \frac{x}{a} + A$$

حاصل ہوتا ہے جسے

$$E_x = -\frac{\mathrm{d}V}{\mathrm{d}x} = \frac{2\rho_0 a}{\epsilon} \operatorname{sech} \frac{x}{a} - A$$

بھی لکھا جا سکتا ہے۔تکمل کے مستقل A کی قیمت اس حقیقت سے حاصل کی جا سکتی ہے کہ سرحد سے دور کسی قسم کا چارج کثافت یا برقی میدان نہیں پایا جاتا لہٰذا $x \to \mp\infty$ پر $E_x \to 0$ ہو گا جس سے $A = 0$ حاصل ہوتا ہے لہٰذا

$$E_x = -\frac{\mathrm{d}V}{\mathrm{d}x} = -\frac{2\rho_0 a}{\epsilon} \operatorname{sech} \frac{x}{a} \tag{6.33}$$

کے برابر ہے۔دوسری بار تکمل لیتے ہوئے

$$V = \frac{4\rho_0 a^2}{\epsilon} \tan^{-1} e^{\frac{x}{a}} + B$$

حاصل ہوتا ہے۔ہم برقی زمین کو عین سرحد پر لیتے ہیں۔ایسا کرنے سے $B = -\frac{\rho_0 a^2 \pi}{\epsilon}$ حاصل ہوتا ہے۔یوں

$$V = \frac{4\rho_0 a^2}{\epsilon} \left(\tan^{-1} e^{\frac{x}{a}} - \frac{\pi}{4} \right) \tag{6.34}$$

کے برابر ہو گا۔

1874

شکل میں مساوات 6.32، مساوات 6.33 اور مساوات 6.34 دکھائے گئے ہیں جو بالترتیب حجمی چارج کثافت، برقی میدان کی شدت اور برقی دباو دیتے ہیں۔

1876

سرحد کے دونوں جانب کے مابین برقی دباو V_0 کو مساوات 6.34 کی مدد سے یوں حاصل کیا جا سکتا ہے۔

$$V_0 = V_{x\to+\infty} - V_{x\to-\infty} = \frac{2\pi\rho_0 a^2}{\epsilon} \tag{6.35}$$

سرحد کے ایک جانب کل چارج کو مساوات 6.32 کی مدد سے حاصل کیا جا سکتا ہے۔یوں کل مثبت چارج

$$Q = S \int_0^\infty 2\rho_0 \operatorname{sech} \frac{x}{a} \tanh \frac{x}{a} \, \mathrm{d}x = 2\rho_0 a S \tag{6.36}$$

حاصل ہوتا ہے جہاں ڈایوڈ کا رقبہ عمودی تراش[12] S ہے۔مساوات 6.35 سے a کی قیمت مساوات 6.36 میں پر کرنے سے

$$Q = S\sqrt{\frac{2\rho_0 \epsilon V_0}{\pi}} \tag{6.37}$$

[12] cross sectional area

لکھا جا سکتا ہے۔اس مساوات سے کپیسٹنس کی قیمت $C = \frac{Q}{V_0}$ لکھ کر نہیں حاصل کی جا سکتی البتہ

$$I = \frac{\mathrm{d}Q}{\mathrm{d}t} = C\frac{\mathrm{d}V_0}{\mathrm{d}t}$$

سے

$$C = \frac{\mathrm{d}Q}{\mathrm{d}V_0}$$

لکھا جا سکتا ہے لہٰذا مساوات 6.37 کا تفرق لیتے ہوئے

$$C = \sqrt{\frac{\rho_0\epsilon}{2\pi V_0}}S = \frac{\epsilon S}{2\pi a}$$

حاصل ہوتا ہے۔اس مساوات کے پہلے جزو سے ظاہر ہے کہ برقی دباو بڑھانے سے کپیسٹنس کم ہو گی۔مساوات کے دوسرے جزو سے یہ اخذ کیا جا سکتا ہے کہ ڈایوڈ بالکل ایسے دو چادر کپیسٹر کی طرح ہے جس کے چادر کا رقبہ S اور چادروں کے مابین فاصلہ $2\pi a$ ہو۔یوں برقی دباو سے کپیسٹنس کے گھٹنے کو یوں سمجھا جا سکتا ہے کہ برقی دباو بڑھانے سے a بڑھتا ہے۔

6.6 لاپلاس مساوات کا ضربی حل

گزشتہ حصے میں صرف ایک محدد کے ساتھ تبدیل ہوتے برقی دباو کے لاپلاس مساوات پر غور کیا گیا۔اس حصے میں ایسے میدان پر غور کیا جائے گا جہاں برقی دباو ایک سے زیادہ محدد کے ساتھ تبدیل ہوتا ہو۔تصور کریں کہ V کارتیسی محدد کے x اور y کے ساتھ تبدیل ہوتا ہو۔ایسی صورت میں لاپلاس مساوات

$$\frac{\partial^2 V}{\partial x^2} + \frac{\partial^2 V}{\partial y^2} = 0 \tag{6.38}$$

صورت اختیار کرے گا۔تصور کریں کہ ایسی مساوات کے حل کو دو تفاعل $X(x)$ اور $Y(y)$ کے حاصل ضرب $X(x)Y(y)$ کی شکل میں لکھا جا سکتا ہے جہاں X تفاعل کا آزاد متغیرہ صرف x اور Y تفاعل کا آزاد متغیرہ صرف y ہو۔یہاں آپ کو ایسا معلوم ہو رہا ہو گا کہ یہ شرط زیادہ تر ممکنہ جوابات کو پہلے سے ہی رد کرتا ہے۔ایسا ہی ایک سادہ حل $V = x + y$ اور دوسرا نسبتاً مشکل حل $V = G(x) + H(y)$ ہو سکتے ہیں جنہیں ہم انجانے طور پر رد کر رہے ہو سکتے ہیں۔ہم $V = x + y$ کو $V = V_1 + V_2$ لکھ سکتے ہیں جہاں

$$\begin{aligned} V_1 &= X_1(x)Y_1(y) = 1x \\ V_2 &= X_2(x)Y_2(y) = 1y \end{aligned}$$

لکھا جا سکتا ہے جہاں $Y_1(y) = 1$ اور $X_2(x) = 1$ کے برابر ہیں۔یوں ہم دیکھتے ہیں کہ ہم x کو دو تفاعل کے ضرب کی صورت میں لکھ سکتے ہیں اور اسی طرح y کو بھی دو تفاعل کے ضرب کی صورت میں لکھ سکتے ہیں۔لاپلاس مساوات خطی ہونے کی بنا پر ان جوابات کا مجموعہ $x + y$ بھی لاپلاس مساوات کا حل ہو گا۔یوں آپ دیکھ سکتے ہیں کہ ہم نے $V = x + y$ جواب کو ہر گز رد نہیں کیا۔ایسے ہی ثبوت سے ہم دیکھ سکتے ہیں کہ $V = G(x) + H(y)$ جواب کو بھی رد نہیں کیا گیا۔

اب آتے ہیں اصل مسئلے پر۔اگر $V = XY$ مساوات 6.38 کا حل ہو تب

$$\frac{\partial^2 X(x)}{\partial x^2}Y(y) + X(x)\frac{\partial^2 Y(y)}{\partial y^2} = 0$$

ہو گا جسے

$$\frac{1}{X(x)}\frac{\partial^2 X(x)}{\partial x^2} = -\frac{1}{Y(y)}\frac{\partial^2 Y(y)}{\partial y^2} \tag{6.39}$$

لکھا جا سکتا ہے۔ یہاں آنکھیں کھول دینے والی دلیل پیش کرتے ہیں۔ مساوات 6.39 میں بائیں جانب صرف x متغیرہ پایا جاتا ہے جبکہ دائیں جانب صرف y متغیرہ پایا جاتا ہے۔یوں x تبدیل کرنے سے صرف بائیاں ہاتھ تبدیل ہو سکتا ہے جبکہ دایاں ہاتھ جوں کا توں رہے گا۔اب مساوات کہتا ہے کہ بائیں اور دائیں ہاتھ برابر ہیں۔ ایسا صرف اور صرف اس صورت ممکن ہو گا کہ نا تو x تبدیل کرنے سے بایاں ہاتھ تبدیل ہوتا ہو اور نا ہی y تبدیل کرنے سے دایاں ہاتھ تبدیل ہوتا ہو یعنی اگر دونوں ہاتھ کسی مستقل کے برابر ہوں جہاں اس مستقل کو m^2 لکھتے ہوئے آگے بڑھتے ہیں۔m^2 کو علیحدگی مستقل[13] کہا جاتا ہے۔

$$\frac{1}{X(x)}\frac{\partial^2 X(x)}{\partial x^2} = -\frac{1}{Y(y)}\frac{\partial^2 Y(y)}{\partial y^2} = m^2 \tag{6.40}$$

اس مساوات کو دو اجزاء

$$\begin{aligned}\frac{1}{X(x)}\frac{\partial^2 X(x)}{\partial x^2} &= m^2\\ \frac{1}{Y(y)}\frac{\partial^2 Y(y)}{\partial y^2} &= -m^2\end{aligned}$$

یا

$$\begin{aligned}\frac{\partial^2 X(x)}{\partial x^2} - m^2 X(x) &= 0\\ \frac{\partial^2 Y(y)}{\partial y^2} + m^2 Y(y) &= 0\end{aligned} \tag{6.41}$$

کی صورت میں لکھتے ہوئے باری باری حل کرتے ہیں۔ 1885

اس طرز کے مساوات آپ پہلے حل کر چکے ہوں گے جہاں جواب اندازے سے لکھتے ہوئے مساوات کو حل کیا جاتا ہے۔اسی طریقے کو استعمال کرتے ہوئے مساوات 6.41 کے پہلے جزو میں

$$X(x) = e^{\omega x}$$

پر کرتے ہیں۔یوں $\frac{\partial^2 X}{\partial x^2} = \omega^2 e^{\omega x}$ ہو گا لہٰذا

$$\omega^2 e^{\omega x} - m^2 e^{\omega x} = 0$$

لکھا جائے گا جس سے

$$\omega = \mp m$$

حاصل ہو گا۔ω کے دونوں قیمتیں استعمال کرتے ہوئے یوں اصل جواب

$$X(x) = A' e^{mx} + B' e^{-mx} \tag{6.42}$$

حاصل ہوتا ہے۔مساوات 6.41 کے دوسرے جزو کا جواب اسی طرح

$$Y(y) = C\cos my + D\sin my \tag{6.43}$$

[13] separation constant

حاصل ہوتا ہے۔یوں مساوات 6.38 کا پورا حل

$$V = XY = \left(A'e^{mx} + B'e^{-mx}\right)\left(C\cos my + D\sin my\right) \tag{6.44}$$

لکھا جائے گا۔

آئیں مساوات 6.41 کے حل کو ایک مرتبہ دوبارہ حاصل کریں۔البتہ اس مرتبہ جواب کا اندازہ لگانے کی بجائے ہم ایک ایسی ترکیب استعمال کریں گے جو انتہائی زیادہ طاقتور ثابت ہو گا اور جو آگے بار بار استعمال آئے گا۔

اس ترکیب میں ہم تصور کرتے ہیں کہ $X(x)$ تفاعل کو طاقتی سلسلے[14]

$$X(x) = \sum_{n=0}^{\infty} a_n x^n = a_0 + a_1 x + a_2 x^2 + a_3 x^3 + a_4 x^4 + \cdots \tag{6.45}$$

کی شکل میں لکھنا ممکن ہے جہاں a_0، a_1، a_2 وغیرہ طاقتی سلسلے کے مستقل ہیں۔یوں

$$\frac{\partial X}{\partial x} = 0 + a_1 + 2a_2 x^1 + 3a_3 x^2 + 4a_4 x^3 + \cdots = \sum_{n=1}^{\infty} n a_n x^{n-1}$$

اور

$$\frac{\partial^2 X}{\partial x^2} = 0 + 0 + 2\times 1 a_2 + 3\times 2 a_3 x^1 + 4\times 3 a_4 x^2 + \cdots = \sum_{n=2}^{\infty} n(n-1) a_n x^{n-2} \tag{6.46}$$

لکھے جا سکتے ہیں۔مساوات 6.45 اور مساوات 6.46 کو مساوات 6.41 کے پہلے جزو میں پر کرتے ہیں

$$2\times 1 a_2 + 3\times 2 a_3 x^1 + 4\times 3 a_4 x^2 + \cdots = m^2\left(a_0 + a_1 x + a_2 x^2 + a_3 x^3 + a_4 x^4 + \cdots\right)$$

جہاں ہم $m^2 X$ کو دائیں ہاتھ لے گئے ہیں۔یہاں بائیں اور دائیں ہاتھ کے طاقتی سلسلے صرف اس صورت x کے ہر قیمت کے لئے برابر ہو سکتے ہیں جب دونوں جانب x کے برابر طاقت کے ضربیہ[15] عین برابر ہوں یعنی جب

$$\begin{aligned} 2\times 1 a_2 &= m^2 a_0 \\ 3\times 2 a_3 &= m^2 a_1 \\ 4\times 3 a_4 &= m^2 a_2 \end{aligned}$$

یا

$$(n+2)(n+1)a_{n+2} = m^2 a_n$$

ہوں۔جفت ضربیہ کو a_0 کی صورت میں یوں

$$\begin{aligned} a_2 &= \frac{m^2}{2\times 1} a_0 \\ a_4 &= \frac{m^2}{4\times 3} a_2 = \left(\frac{m^2}{4\times 3}\right)\left(\frac{m^2}{2\times 1} a_0\right) = \frac{m^4}{m!} a_0 \\ a_6 &= \frac{m^6}{6!} a_0 \end{aligned}$$

---

[14] power series
[15] coefficient

لکھا جا سکتا ہے جسے عمومی طور پر

$$a_n = \frac{m^n}{n!} a_0 \qquad (\text{جفت } n)$$

لکھا جا سکتا ہے۔طاق ضربیہ کو a_1 کی صورت میں

$$a_3 = \frac{m^2}{3 \times 2} a_1 = \frac{m^3}{3!} \frac{a_1}{m}$$
$$a_5 = \frac{m^5}{5!} \frac{a_1}{m}$$

لکھا جا سکتا ہے جس سے ان کی عمومی مساوات

$$a_n = \frac{m^n}{n!} \frac{a_1}{m} \qquad (\text{طاق } n)$$

لکھی جا سکتی ہے۔انہیں واپس طاقتی سلسلے میں پر کرتے ہوئے

$$X = a_0 \sum_{0,\text{جفت}}^{\infty} \frac{m^n}{n!} x^n + \frac{a_1}{m} \sum_{1,\text{طاق}}^{\infty} \frac{m^n}{n!} x^n$$

یا

$$X = a_0 \sum_{0,\text{جفت}}^{\infty} \frac{(mx)^n}{n!} + \frac{a_1}{m} \sum_{1,\text{طاق}}^{\infty} \frac{(mx)^n}{n!}$$

حاصل ہوتا ہے۔غور کرنے سے معلوم ہوتا ہے کہ مندرجہ بالا مساوات میں پہلا طاقتی سلسلہ دراصل $\cosh mx$ کے برابر

$$\cosh mx = \sum_{0,\text{جفت}}^{\infty} \frac{(mx)^n}{n!} = 1 + \frac{(mx)^2}{2!} + \frac{(mx)^4}{4!} + \cdots$$

اور دوسرا طاقتی سلسلہ $\sinh mx$

$$\sinh mx = \sum_{1,\text{طاق}}^{\infty} \frac{m^n}{n!} x^n = mx + \frac{(mx)^3}{3!} + \frac{(mx)^5}{5!} + \cdots$$

کے برابر ہے۔یوں

$$X = a_0 \cosh mx + \frac{a_1}{m} \sinh mx$$

یا

$$X = A \cosh mx + B \sinh mx$$

لکھا جا سکتا ہے جہاں a_0 اور $\frac{a_1}{m}$ یا ان کی جگہ لکھے گئے A اور B کو سرحدی شرائط سے حاصل کیا جائے گا۔ 1889

$\cosh mx$ اور $\sinh mx$ کو

$$\cosh mx = \frac{e^{mx} + e^{-mx}}{2}$$
$$\sinh mx = \frac{e^{mx} - e^{-mx}}{2}$$

لکھ کر

$$X = A'e^{mx} + B'e^{-mx}$$

بھی لکھا جا سکتا ہے جہاں A' اور B' دو نئے مستقل ہیں۔یہ مساوات 6.42 ہی ہے۔

اسی طاقتی سلسلے کے طریقے کو استعمال کرتے ہوئے مساوات 6.41 کے دوسرے جزو کا حل بھی دو طاقتی سلسلوں کا مجموعہ حاصل ہوتا ہے جہاں ایک طاقتی سلسلہ $\cos my$ اور دوسرا $\sin my$ کے برابر ہوتا ہے۔یوں

$$Y = C\cos my + D\sin my \tag{6.47}$$

لکھا جا سکتا ہے جو عین مساوات 6.43 ہی ہے۔یوں

$$V = XY = (A\cosh mx + B\sinh mx)\left(C\cos my + D\sin my\right) \tag{6.48}$$

یا

$$V = XY = \left(A'e^{mx} + B'e^{-mx}\right)\left(C\cos my + D\sin my\right) \tag{6.49}$$

حاصل ہوتا ہے۔اس آخری مساوات کا مساوات 6.44 کے ساتھ موازنہ کریں۔

مساوات 6.48 میں کل چار مستقل پائے جاتے ہیں جنہیں سرحدی شرائط سے حاصل کیا جاتا ہے۔آئیں ان مستقل کو دو مختلف سرحدی شرائط کے لئے حاصل کریں۔پہلی صورت میں بجائے یہ کہ سرحدی شرائط سے ان مستقل کو حاصل کریں، ہم مستقل پہلے چنتے ہیں اور بعد میں ان چنے گئے مستقل کے مطابق سرحدی شرائط حاصل کرتے ہیں۔

تصور کریں کہ مساوات 6.48 میں A اور B دونوں یا C اور D دونوں صفر کے برابر ہیں۔ایسی صورت میں $V = 0$ حاصل ہو گا جو برقی دباو کی عدم موجودگی کو ظاہر کرتی ہے۔ہمیں عموماً برقی دباو کی موجودگی سے زیادہ دلچسپی ہوتی ہے۔آئیں ایک اور صورت دیکھیں۔

تصور کریں کہ A اور C صفر کے برابر ہے۔ایسی صورت میں مساوات 6.48 کو

$$V = V_0 \sinh mx \sin my \tag{6.50}$$

لکھا جا سکتا ہے جہاں $BD = V_0$ لکھا گیا ہے۔چونکہ

$$\sinh mx = \frac{1}{2}\left(e^{mx} - e^{-mx}\right)$$

ہے لہٰذا $x = 0$ پر $\sinh mx = 0$ ہو گا جبکہ بڑھتے x کے ساتھ اس کی قیمت تقریباً e^{mx} کے تعلق سے بڑھتی ہے۔$\sin my$ کی قیمت $y = 0$، $y = \frac{\pi}{m}$، $y = \frac{2\pi}{m}$ وغیرہ پر صفر کے برابر ہو گی۔یوں صفر برقی دباو کے ہم قوہ سطحیں $x = 0$ اور $y = \frac{n\pi}{m}$ پر رکھی جا سکتیں ہیں جہاں $n = 0, 1, \cdots$ ہو سکتا ہے۔ہم ایسی ہم قوہ سطحیں $x = 0$، $y = 0$ اور $y = \frac{\pi}{m}$ پر رکھتے ہوئے آگے بڑھتے ہیں۔آخر میں V_0 ہم قوہ سطح مساوات 6.50 میں $V = V_0$ پر کرنے سے حاصل کیا جا سکتا ہے یعنی

$$V_0 = V_0 \sinh mx \sin my$$

یا

$$my = \sin^{-1}\frac{1}{\sinh mx}$$

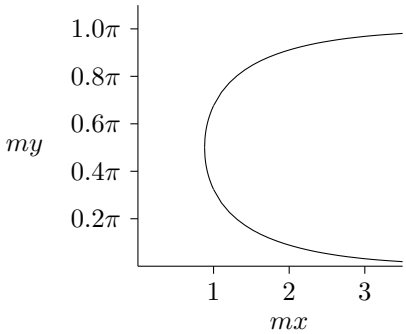

شکل 6.1: $my = \sin^{-1}\left(\frac{1}{\sinh mx}\right)$ کی مساوات۔

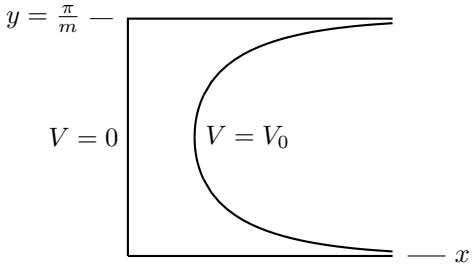

شکل 6.2: ہم قوہ سطحیں اور ان پر برقی دباو۔

x کے مختلف قیمتوں کے لئے اس مساوات سے y کی قیمتیں حاصل کرتے ہوئے اس مساوات کے خط کو شکل 6.1 میں کھینچا گیا ہے۔

ان حقائق کو استعمال کرتے ہوئے موصل ہم قوہ سطحیں شکل 6.2 میں دکھائی گئی ہیں۔ یہ سطحیں z محدد کی سمت میں لامحدود لمبائی رکھتی ہیں اور ان سے پیدا برقی دباو مساوات 6.50 دیتا ہے۔

ہم نے لاپلاس مساوات کے حل یعنی مساوات 6.50 کو لیتے ہوئے ان ہم قوہ سطحوں کو دریافت کیا جو ایسی برقی دباو پیدا کرے گی۔ حقیقت میں عموماً موصل ہم قوہ سطحیں معلوم ہوں گی جن کا پیدا کردہ برقی دباو درکار ہو گا۔ آئیں ایسی ایک مثال دیکھیں۔

شکل 6.3 میں موصل سطحیں اور ان پر برقی دباو دیا گیا ہے۔ یہ سطحیں z سمت میں لامحدود لمبائی رکھتی ہیں۔ سطحوں کے گھیرے خطے میں برقی دباو حاصل کرنا درکار ہے۔

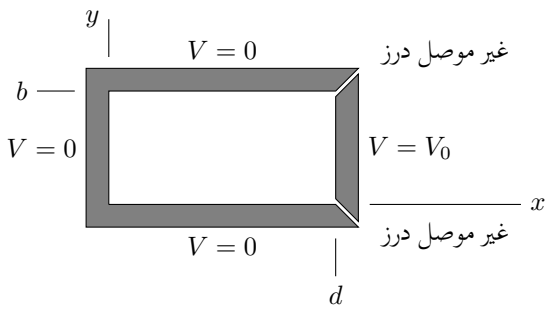

شکل 6.3: موصل سطحوں سے گھیرے خطے میں لاپلاس مساوات متعدد اجزاء کے مجموعے سے حاصل ہوتا ہے۔

یہاں سرحدی شرائط کچھ یوں ہیں۔ $x = 0$، $y = 0$ اور $y = b$ پر برقی دباو صفر ہے جبکہ $x = d$ پر برقی دباو V_0 ہے۔دونوں ہم قوہ سطحوں کے مابین انتہائی باریک غیر موصل درز ہیں جن کی بنا پر ان کے برقی دباو مختلف ہو سکتے ہیں۔انس درز کے اثر کو نظرانداز کیا جائے گا۔

موجودہ مسئلے میں بھی برقی دباو صرف x اور y کے ساتھ تبدیل ہوتا ہے لہٰذا مساوات 6.38 ہی اس مسئلے کا لاپلاس مساوات ہے جس کا حل مساوات 6.48 ہے۔ہم سرحدی شرائط لاگو کرتے ہوئے مساوات کے مستقل حاصل کرتے ہیں۔مساوات 6.38 میں $x = 0$ پر برقی دباو صفر پر کرنے سے

$$\begin{aligned}0 &= (A\cosh 0 + B\sinh 0)\left(C\cos my + D\sin my\right)\\ 0 &= A\left(C\cos my + D\sin my\right)\end{aligned}$$

حاصل ہوتا ہے۔ y کے تمام قیمتوں کے لئے یہ مساوات صرف

$$A = 0$$

کی صورت میں درست ہو سکتا ہے لہٰذا پہلا مستقل صفر کے برابر حاصل ہوتا ہے۔ $y = 0$ پر صفر برقی دباو پر کرنے سے

$$\begin{aligned}0 &= B\sinh mx\left(C\cos 0 + D\sin 0\right)\\ 0 &= BC\sinh mx\end{aligned}$$

لکھا جائے گا جو x کی ہر قیمت کے لئے صرف $BC = 0$ کی صورت میں درست ہو گا۔اب چونکہ $A = 0$ ہے لہٰذا B صفر نہیں ہو سکتا چونکہ ایسی صورت میں مساوات 6.38 سے برقی دباو صفر حاصل ہو گا۔یہ جواب ہمیں مطلوب نہیں ہے۔ہم وہ جواب چاہتے ہیں جس سے برقی دباو کے بارے میں علم حاصل ہو۔اس لئے $C = 0$ کے برابر ہے۔اس طرح مساوات 6.48

$$V = BD\sinh mx\sin my \tag{6.51}$$

صورت اختیار کر لے گی۔اس مساوات میں $y = b$ پر صفر برقی دباو پر کرتے ہیں۔

$$0 = BD\sinh mx\sin mb$$

ہم B یا D کو صفر کے برابر نہیں لے سکتے چونکہ ایسی صورت میں $V = 0$ جواب حاصل ہوتا ہے جس میں ہمیں کوئی دلچسپی نہیں۔یہ مساوات x کی ہر قیمت کے لئے صرف اس صورت درست ہو گا اگر

$$\sin mb = 0$$

ہو جس سے

$$mb = n\pi$$

حاصل ہوتا ہے جہاں

$$n = 0, 1, 2, \cdots$$

کے برابر ہو سکتا ہے۔اس طرح $m = \frac{n\pi}{b}$ لکھتے ہوئے مساوات 6.51

$$V = V_1\sinh\frac{n\pi x}{b}\sin\frac{n\pi y}{b} \tag{6.52}$$

صورت اختیار کر لے گا جہاں BD کو V_1 لکھا گیا ہے۔مساوات 6.52 تین اطراف کے سطحوں پر صفر برقی دباو کے شرائط پر پورا اترتا حل ہے۔البتہ $x = d$ پر V_0 برقی دباو کے شرط کو مندرجہ بالا مساوات سے پورا کرنا ممکن نہیں۔ہمیں عموماً بالکل اسی طرز کے مسئلوں سے واسطہ پڑتا ہے جہاں آخری قدم پر

معلوم ہوتا ہے کہ ہماری قمر دیوار کے ساتھ لگ گئی ہے جہاں سے ظاہری طور پر نکلنے کا کوئی راستہ نہیں۔ گھبرائیں نہیں۔ ہمیں درپیش مسئلے کے تمام ممکنہ جوابات کو مساوات 6.52 کی شکل میں لکھا جا سکتا ہے۔ یوں ان تمام جوابات کا مجموعہ بھی قابل قبول حل ہو گا یعنی ہم

$$V = \sum_{n=0}^{\infty} V_n \sinh \frac{n\pi x}{b} \sin \frac{n\pi y}{b} \qquad (0 < y < b, n = 0, 1, 2, \cdots) \tag{6.53}$$

بھی لکھ سکتے ہیں جہاں n کی ہر قیمت پر منفرد V_1 کو V_n سے ظاہر کیا گیا ہے۔ n اور V_n کی قیمتیں ایسی رکھی جاتی ہیں کہ $x = d$ پر V_0 برقی دباو کے شرط کو پورا کیا جائے۔ اس آخری شرط کو مساوات میں پر کرتے ہوئے

$$V_0 = \sum_{n=0}^{\infty} V_n \sinh \frac{n\pi d}{b} \sin \frac{n\pi y}{b}$$

یعنی

$$V_0 = \sum_{n=0}^{\infty} c_n \sin \frac{n\pi y}{b} \tag{6.54}$$

ملتا ہے جہاں

$$c_n = V_n \sinh \frac{n\pi d}{b}$$

لکھا گیا ہے۔ 1906

مساوات 6.54 فوریئر تسلسل[16] ہے جس کے مستقل باآسانی حاصل کئے جا سکتے ہیں۔ چونکہ ہمیں $0 < y < b$ کے خطے سے غرض ہے لہٰذا اس خطے کے باہر ہمیں برقی دباو سے کوئی غرض نہیں۔ ایسی صورت میں ہم فوریئر تسلسل کے طاق یا جفت جوابات حاصل کر سکتے ہیں۔ طاق جوابات اس صورت حاصل ہوں گے اگر ہم $0 < y < b$ کو آدھا میعاد تصور کرتے ہوئے بقایا آدھے میعاد $b < y < 2b$ پر برقی دباو کو $-V_0$ تصور کریں یعنی

$$\begin{aligned} V &= +V_0 \qquad (0 < y < b) \\ V &= -V_0 \qquad (b < y < 2b) \end{aligned}$$

اسی صورت میں فوریئر تسلسل کے مستقل

$$c_n = \frac{1}{b}\left[\int_0^b V_0 \sin \frac{n\pi y}{b}\, \mathrm{d}y + \int_b^{2b} (-V_0) \sin \frac{n\pi y}{b}\, \mathrm{d}y\right]$$

سے

$$\begin{aligned} c_n &= \frac{4V_0}{n\pi} \qquad (n = 1, 3, 5, \cdots) \\ c_n &= 0 \qquad (n = 2, 4, 6, \cdots) \end{aligned}$$

حاصل ہوتے ہیں۔ اب چونکہ $c_n = V_n \sinh \frac{n\pi d}{b}$ کے برابر ہے لہٰذا

$$V_n = \frac{4V_0}{n\pi \sinh(\frac{n\pi d}{b})} \qquad (n = 1, 3, 5, \cdots)$$

ہو گا اور یوں مساوات 6.53 کو

$$V = \frac{4V_0}{\pi} \sum_{n=1,\text{طاق}}^{\infty} \frac{1}{n} \frac{\sinh \frac{n\pi x}{b}}{\sinh \frac{n\pi d}{b}} \sin \frac{n\pi y}{b} \tag{6.55}$$

[16] Fourier series

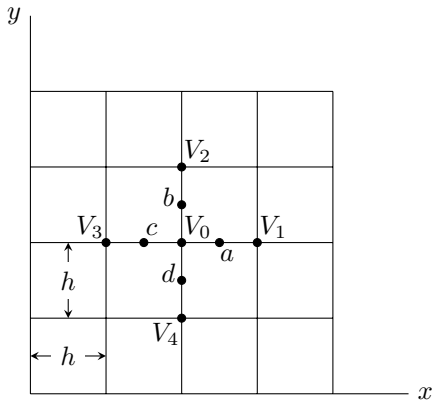

شکل 6.4: لاپلاس مساوات کے تحت کسی بھی نقطے پر برقی دباو قریبی نقطوں کے برقی دباو کا اوسط ہوتا ہے۔

لکھا جا سکتا ہے۔اس مساوات سے مختلف نقطوں پر برقی دباو $V(x,y)$ حاصل کرتے ہوئے ان میں برابر برقی دباو رکھنے والے نقطوں سے گزرتی سطح ہم قوہ سطح ہو گی۔

مثال 6.7: شکل 6.3 میں $d = b$ اور $V_0 = 90\,\mathrm{V}$ ہونے کی صورت میں ڈبے کے عین وسط میں برقی دباو حاصل کریں۔

حل: ڈبے کا وسط $\left(\frac{b}{2}, \frac{b}{2}\right)$ ہے۔مساوات 6.55 کے پہلے چند اجزاء لیتے ہوئے

$$
\begin{aligned}
V &= \frac{4\times 90}{\pi}\left(\frac{\sinh\frac{\pi}{2}}{\sinh\pi}\sin\frac{\pi}{2} + \frac{1}{3}\frac{\sinh\frac{3\pi}{2}}{\sinh 3\pi}\sin\frac{3\pi}{2} + \frac{1}{5}\frac{\sinh\frac{5\pi}{2}}{\sinh 5\pi}\sin\frac{5\pi}{2}\right)\\
&= \frac{4\times 90}{\pi}\left(0.199268 - 0.0029941887 + 0.0000776406\right)\\
&= 22.5\,\mathrm{V}
\end{aligned}
$$

حاصل ہوتا ہے۔

6.7 عددی دہرانے کا طریقہ

لاپلاس مساوات حل کرنے کے کئی ترکیب ہم دیکھ چکے۔کمپیوٹر کی مدد سے عددی دہرانے[17] کے طریقے سے مساوات حل کئے جاتے ہیں۔آئیں لاپلاس مساوات اسی ترکیب سے حل کریں۔

[17] numerical iteration

تصور کرتے ہیں کہ کسی خطے میں برقی میدان صرف x اور y کے ساتھ تبدیل ہوتا ہے۔ شکل 6.4 میں ایسی سطح دکھائی گئی ہے جسے h چوڑائی اور اتنے ہی لمبائی کے مربع کے ٹکڑوں میں تقسیم کیا گیا ہے۔ اس میدان میں آپس میں قریبی پانچ نقطوں پر برقی دباو V_0، V_1، V_2، V_3 اور V_4 ہیں۔ اگر یہ خطہ ہر جانب یکساں خاصیت رکھتا ہو اور یہ چارج سے پاک ہو تب $\nabla \cdot \boldsymbol{D} = 0$ اور $\nabla \cdot \boldsymbol{E} = 0$ ہوں گے جس سے دو محدد میں

$$\frac{\partial E_x}{\partial x} + \frac{\partial E_y}{\partial y} = 0$$

لکھا جا سکتا ہے۔ اب $E_x = -\frac{\partial V}{\partial x}$ اور $E_y = -\frac{\partial V}{\partial y}$ ہونے کی وجہ سے مندرجہ بالا مساوات

$$\frac{\partial^2 V}{\partial x} + \frac{\partial^2 V}{\partial y^2} = 0$$

صورت اختیار کر لیتی ہے جو لاپلاس مساوات ہے۔ شکل 6.4 میں نقطہ a اور نقطہ c پر $\frac{\partial V}{\partial x}$ اور $\frac{\partial V}{\partial y}$ کی قیمتیں تقریباً

$$\left.\frac{\partial V}{\partial x}\right|_a \doteq \frac{V_1 - V_0}{h}$$
$$\left.\frac{\partial V}{\partial x}\right|_c \doteq \frac{V_0 - V_3}{h}$$

ہوں گیں۔ یوں ہم

$$\left.\frac{\partial^2 V}{\partial x^2}\right|_0 \doteq \frac{\left.\frac{\partial V}{\partial x}\right|_a - \left.\frac{\partial V}{\partial x}\right|_c}{h} \doteq \frac{V_1 - V_0 - V_0 + V_3}{h^2}$$

لکھ سکتے ہیں۔ بالکل اسی طرح ہم

$$\left.\frac{\partial^2 V}{\partial y^2}\right|_0 \doteq \frac{\left.\frac{\partial V}{\partial y}\right|_b - \left.\frac{\partial V}{\partial y}\right|_d}{h} \doteq \frac{V_2 - V_0 - V_0 + V_4}{h^2}$$

بھی لکھ سکتے ہیں۔ ان دو جوابات کو لاپلاس مساوات میں پر کرنے

$$\frac{\partial^2 V}{\partial x^2} + \frac{\partial^2 V}{\partial y^2} \doteq \frac{V_1 + V_2 + V_3 + V_4 - 4V_0}{h^2} = 0$$

سے

$$V_0 \doteq \frac{V_1 + V_2 + V_3 + V_4}{4} \tag{6.56}$$

حاصل ہوتا ہے۔ h لمبائی جتنی کم ہو مندرجہ بالا مساوات اتنا زیادہ درست ہو گا۔ h کی لمبائی انتہائی چھوٹی کرنے سے مندرجہ بالا مساوات بالکل صحیح ہو گا۔ یہ مساوات کہتا ہے کہ کسی بھی نقطے پر برقی دباو اس نقطے کے گرد چار نقطوں کے برقی دباو کا اوسط ہوتا ہے۔

عددی دہرانے کے طریقے میں تمام خطے کو شکل 6.4 کی طرز پر مربعوں میں تقسیم کرتے ہوئے مربع کے ہر کونے پر مساوات 6.56 کی مدد سے برقی دباو حاصل کیا جاتا ہے۔ تمام خطے پر بار بار اسی طریقے سے برقی دباو حاصل کی جاتی ہے حتٰی کہ کسی بھی نقطے پر متواتر جوابات میں تبدیلی نہ پائی جائے۔ اس طریقے کو مثال سے بہتر سمجھا جا سکتا ہے۔

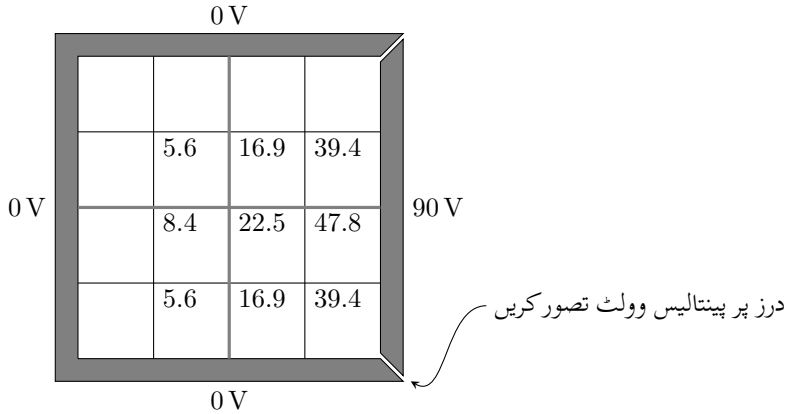

شکل 6.5: رقبہ عمودی تراش کو خانوں میں تقسیم کرتے ہوئے، ہر کونے پر گرد کے چار نقطوں کے اوسط برابر برقی دباو ہو گا۔

شکل 6.5 میں مربع شکل کے لامحدود لمبائی کے ڈبے کا عمودی تراش دکھایا گیا ہے۔اس کے چار اطراف صفر برقی دباو پر ہیں جبکہ نہایت باریک غیر موصل فاصلے پر چوتھی طرف نوے وولٹ پر ہے۔اس ڈبے کو یوں خانوں میں تقسیم کیا گیا ہے کہ یا تو انہیں سولہ چھوٹے خانے تصور کیا جا سکتا ہے اور یا چار درمیانے جسامت کے خانے۔اس کے علاوہ پورے ڈبے کو ایک ہی بڑا خانہ بھی تصور کیا جا سکتا ہے۔آئیں ان خانوں کے کونوں پر مساوات 6.56 کی مدد سے برقی دباو حاصل کریں۔

اگرچہ کمپیوٹر پر ایسے مسائل حل کرتے ہوئے تمام کونوں پر ابتدائی برقی دباو صفر تصور کرتے ہوئے آگے بڑھا جاتا ہے۔قلم و کاغذ استعمال کرتے ہوئے ذرہ سوچ کر چلنا بہتر ثابت ہوتا ہے۔ہم پورے مربع شکل کو ایک ہی بڑا خانہ تصور کرتے ہوئے اس کے عین وسط میں برقی دباو حاصل کرتے ہیں۔ایسا کرنے کی خاطر ہم بڑے خانے کے چار کونوں کو قریبی نقطے چنتے ہیں۔یوں بڑے خانے کے چار کونوں کی برقی دباو زیر استعمال آئے گی۔اب دو کونوں پر صفر برقی دباو ہے جبکہ دو کونے غیر موصل درز پر مشتمل ہیں۔درز کے ایک جانب صفر جبکہ اس کی دوسری جانب نوے وولٹ ہیں، لہٰذا درز میں ان دو قیمتوں کا اوسط یعنی پینتالیس وولٹ برقی دباو تصور کیا جا سکتا ہے۔اس طرح بڑے خانے کے وسط میں

$$V = \frac{45 + 45 + 0 + 0}{4} = 22.5\,\mathrm{V}$$

حاصل ہوتا ہے۔شکل 6.5 میں یہ قیمت دکھائی گئی ہے۔

آئیں اب چار درمیانے جسامت کے خانوں کے کونوں پر برقی دباو حاصل کریں۔یہاں بھی ہم ان خانوں کے کونوں کو چار قریبی نقطے چنتے ہیں۔اوپر دائیں بڑے خانے کے وسط میں برقی دباو حاصل کرنے کی خاطر اس خانے کے چار کونوں کے برقی دباو زیر استعمال لائے جائیں گے۔یوں درز پر پینتالیس وولٹ تصور کرتے ہوئے

$$V = \frac{90 + 45 + 0 + 22.5}{4} = 39.4\,\mathrm{V}$$

حاصل ہوتے ہیں۔اسی طرح دائیں نچلے بڑے خانے کے وسط میں بھی

$$V = \frac{90 + 45 + 0 + 22.5}{4} = 39.4\,\mathrm{V}$$

حاصل ہوتا ہے۔ہم اس قیمت کو بغیر حل کئے شکل کو دیکھ کر ہی لکھ سکتے تھے چونکہ شکل کا اوپر والا آدھا حصہ اور اس کا نچلا آدھا حصہ بالکل یکساں ہیں لہٰذا ان دونوں حصوں میں بالکل یکساں برقی دباو ہو گا۔اس حقیقت کو یہاں سے استعمال کرنا شروع کرتے ہیں۔اوپر اور نیچے بائیں بڑے خانے بالکل یکساں ہیں لہٰذا دونوں کے وسط میں

$$V = \frac{22.5 + 0 + 0 + 0}{4} = 5.6\,\mathrm{V}$$

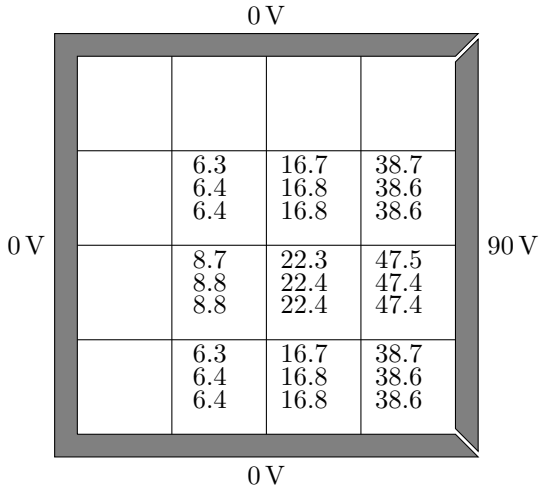

شکل 6.6: چار بار دہرانے کے بعد جوابات تبدیل ہونا بند ہو جاتے ہیں۔یہی اصل جواب ہیں۔

حاصل ہوتے ہیں۔بقایا کونوں پر برقی دباو حاصل کرتے ہوئے نقطے کے بائیں، دائیں، اوپر اور نیچے نقطوں کو قریبی نقطے چنتے ہیں۔یوں

$$\frac{90+39.4+22.5+39.4}{4}=47.8\,\mathrm{V}$$
$$\frac{39.4+0+5.6+22.5}{4}=16.9\,\mathrm{V}$$
$$\frac{22.5+5.6+0+5.6}{4}=8.4\,\mathrm{V}$$

حاصل ہوتے ہیں۔شکل 6.5 میں یہ تمام قیمت دکھائی گئی ہے۔

آئیں شکل میں اوپر سے نیچے چلتے ہوئے پہلے دائیں، پھر درمیانے اور آخر میں بائیں قطار کے تمام کونوں پر برقی دباو حاصل کریں۔ہم یہی سلسلہ بار بار دہرائیں گے حتٰی کہ کسی بھی کونے پر متواتر حاصل کردہ جوابات تبدیل ہونا بند کر دیں۔ہر کونے پر برقی دباو مساوات 6.56 کے استعمال سے حاصل کیا جائے گا جہاں کونے کے اوپر، نیچے، دائیں اور بائیں نقطوں کے برقی دباو کو استعمال کیا جائے گا۔یاد رہے کہ موصل سطحوں پر برقی دباو ہمیں پہلے سے ہی معلوم ہے لہٰذا ان پر برقی دباو حاصل کرنے کی کوشش نہیں کی جائے گی۔

اس طرح دائیں قطار کے اوپر جانب 39.4 V کی نئی قیمت

$$\frac{90+0+16.9+47.8}{4}=38.7\,\mathrm{V}$$

ہو جائے گی۔اوپر اور نچلے آدھے حصوں کی مشابہت سے ہم قطار کی نچلی قیمت بھی یہی لکھتے ہیں۔شکل 6.6 میں یہ قیمتیں دکھائی گئی ہیں۔مساوات 6.56 میں نئی سے نئی قیمتیں استعمال کی جاتی ہیں۔یوں 47.8 V کی نئی قیمت

$$\frac{90+38.7+22.5+38.7}{4}=47.5\,\mathrm{V}$$

ہو گی۔

درمیانے قطار پر آتے ہیں۔یہاں اوپر 16.9 V کی نئی قیمت

$$\frac{38.7+0+5.6+22.5}{4}=16.7\,\mathrm{V}$$

ہو گی جو قطار کے نچلے کونے کی بھی قیمت ہے۔اس قطار کے درمیانے نقطے کی نئی قیمت

$$\frac{47.5 + 16.7 + 8.4 + 16.7}{4} = 22.3\,\mathrm{V}$$

ہو گی۔

اسی طرح بائیں قطار کی نئی قیمتیں بھی حاصل کی جاتی ہیں۔ان تمام کو شکل 6.6 میں دکھایا گیا ہے۔یہی سلسلہ دوبارہ دہرانے سے مزید نئے اور بہتر جوابات حاصل ہوں گے جنہیں گزشتہ جوابات کے نیچے لکھا گیا ہے۔شکل میں اس طرح تین بار دہرانے سے حاصل کئے گئے جوابات دکھائے گئے ہیں۔آپ دیکھ سکتے ہیں کہ کسی بھی نقطے کے آخری دو حاصل کردہ جوابات میں کوئی تبدیلی نہیں پائی جاتی۔اسی لئے ان آخری جوابات کو حتمی جوابات تسلیم کیا جاتا ہے۔

یہاں ڈبے کے عین وسط میں برقی دباو 22.4 V حاصل ہوا ہے۔مثال 6.7 میں ڈبے کے وسط پر برقی دباو طاقتی سلسلے کی مدد سے 22.5 V حاصل ہوئی تھی جو تقریباً اتنی ہی قیمت ہے۔یاد رہے کہ یہاں ہم نے اشاریہ کے بعد صرف ایک ہندسہ رکھتے ہوئے برقی دباو حاصل کئے۔اسی وجہ سے دونوں جوابات میں معمولی فرق ہے۔

اگر ہم سوچ سے کام نہ لیتے ہوئے سیدھ و سیدھ مساوات 6.56 میں شروع سے دائیں، بائیں، اوپر اور نیچے نقطوں کی قیمتیں استعمال کرتے، تب ہمیں قطعی جوابات دس مرتبہ دہرانے کے بعد حاصل ہوتے۔اگرچہ قلم و کاغذ استعمال کرتے ہوئے آپ ضرور سوچ سمجھ سے ہی کام لیں گے البتہ کمپیوٹر استعمال کرتے ہوئے ایسا کرنے کی ضرورت پیش نہیں آتی۔کمپیوٹر کے لئے کیا ایک مرتبہ اور کیا دس ہزار مرتبہ۔

اس مثال میں ہم نے بہت کم نقطوں پر برقی دباو حاصل کی تاکہ دہرانے کا طریقہ باآسانی سمجھا جا سکے۔کمپیوٹر استعمال کرتے ہوئے آپ زیادہ سے زیادہ نقطے چن سکتے ہیں۔بہتر سے بہتر نتائج، زیادہ سے زیادہ نقطے چننے سے حاصل ہوتا ہے نا کہ کم نقطوں پر زیادہ ہندسوں پر مبنی جوابات سے۔دہرانے کا طریقہ اس مرتبہ تک دہرایا جاتا ہے جب تک کسی بھی نقطے پر دو متواتر حاصل کردہ جوابات میں فرق اتنی کم ہو کہ اسے رد کرنا ممکن ہو۔یوں ایک مائیکرو وولٹ تک درست جوابات حاصل کرنے کی خاطر اس وقت تک دہرائی کی جائے گی جب تک کسی بھی نقطے پر دو متواتر جوابات میں فرق ایک مائیکرو وولٹ سے کم نہ ہو جائے۔

سوالات

سوال 6.1: برقی دباو $V = 0.002x^2yz^3\,\mathrm{V}$ ہے۔نقطہ $N(2,-3,-4)$ پر V ، $\boldsymbol{E}$ اور $|\rho_h|$ حاصل کریں۔نقطہ N پر ہم قوہ سطح اور سمت بہاو خط کے مساوات حاصل کریں۔کیا برقی دباو لاپلاس کی مساوات پر پورا اترتا ہے؟

جوابات: $1.536\,\mathrm{V}$ ، $\boldsymbol{E} = -1.536\boldsymbol{a}_\mathrm{x} + 0.512\boldsymbol{a}_\mathrm{y} + 1.152\boldsymbol{a}_\mathrm{z}\,\frac{\mathrm{V}}{\mathrm{m}}$ ، $|\rho_h| = 1.344\,\frac{\mathrm{C}}{\mathrm{m}^2}$ ، $x^2yz^3 - 768 = 0$ ؛ سمت بہاو خط ان مساوات سے ظاہر ہو گی: $2y^2 - x^2 = 14$ اور $2z^2 - 3x^2 = 6$ ؛ چونکہ حاصل کردہ حجمی کثافت چارج صفر کے برابر نہیں ہے لہٰذا لاپلاس کی مساوات پر برقی دباو پورا نہیں اترتا۔

سوال 6.2: دباو کا میدان $V = xy^2z - kxz^3$ لاپلاس مساوات پر پورا اترتا ہے۔اس میں مستقل k کی قیمت حاصل کرتے ہوئے نقطہ $N(5,2,4)$ پر $\boldsymbol{E}$ کی سمت میں اکائی سمتیہ دریافت کریں۔

جوابات: $k = \frac{1}{3}$ ، $0.053\boldsymbol{a}_\mathrm{x} - 0.799\boldsymbol{a}_\mathrm{y} + 0.599\boldsymbol{a}_\mathrm{z}$

سوال 6.3: خلاء میں نقطہ $N(2,-3,1)$ پر میدان $V = x + y^2(z^3 - x^2)$ اور $V = 3x^2 + y^2 - 4z^2$ میں ρ_h حاصل کریں۔

جوابات: $-0.265\,\mathrm{nC/m^3}$ ، $0\,\mathrm{C/m^3}$

سوال 6.4: محدد کے مرکز $(0,0,0)$ پر $V = 3x^3 + y^4 + 2z$ اور $V = e^{2x}\sin 2y$ کے لاپلاس کی قیمت حاصل کریں۔کیا یہ تفاعل لاپلاس مساوات پر پورا اترتے ہیں؟ جوابات: 0 ، 0 ، نہیں، جی ہاں

سوال 6.5: میدان $V = 5\rho^2\sin 2\phi$ کا لاپلاس حاصل کریں۔

جواب: $\nabla^2 V = 0$

سوال 6.6: ثابت کریں کہ $V = \rho V_0\cos\phi$ لاپلاس مساوات پر پورا اترتا ہے۔اسی برقی دباو کو کارتیسی محدد میں لکھتے ہوئے $V = 0$ اور $V = V_0$ سطحیں دریافت کریں۔

جوابات: $V = V_0 x$ ، $x = 0$ ، $x = 1$

سوال 6.7: متوازی چادر کپیسٹر میں $V = 10x + 15y - 30z + 55$ ہے۔چادر کا رقبہ $100\,\mathrm{cm^2}$ جبکہ ان کے درمیان فاصلہ $0.5\,\mathrm{mm}$ ہے۔کپیسٹر پر برقی دباو کی قیمت حاصل کریں۔اس کی کپیسٹنس بھی حاصل کریں۔

جوابات: $17.5\,\mathrm{mV}$ ، $177\,\mathrm{pF}$

سوال 6.8: نلکی محدد میں میدان $V(\rho,\phi,z) = 55\phi + 72\,\mathrm{V}$ دیا گیا ہے۔نقطہ $N(2.2, 62^\circ, 3)$ پر V ، $\boldsymbol{E}$ اور کثافت توانائی حاصل کریں۔خطہ ρ_1 تا ρ_2 ، ϕ_1 تا ϕ_2 ، z_1 تا z_2 میں کل توانائی حاصل کریں۔

جوابات: $132\,\mathrm{V}$ ، $-25\boldsymbol{a}_\phi\,\frac{\mathrm{V}}{\mathrm{m}}$ ، $2.77\,\mathrm{nJ/m^3}$ ، $13.4(\phi_2 - \phi_1)(z_2 - z_1)\ln\frac{\rho_2}{\rho_1}\,\mathrm{nJ}$

سوال 6.9: متوازی چادر کپیسٹر کے چادروں کے درمیان فاصلہ d اور برقی مستقل ϵ ہے۔دونوں چادر صفر وولٹ پر ہیں جبکہ ان کے درمیان خطے میں حجمی کثافت چارج ρ_h پائی جاتی ہے۔پوئسن مساوات حل کرتے ہوئے چادروں کے درمیان برقی دباو اور $\boldsymbol{E}$ حاصل کریں۔

جوابات: $V(z) = \frac{\rho_0 z}{2\epsilon}(d-z)\,\mathrm{V}$ ، $\boldsymbol{E} = \frac{\rho_0}{2\epsilon}(2z-d)\boldsymbol{a_z}\,\frac{\mathrm{V}}{\mathrm{m}}$

سوال 6.10: نلکی محدد استعمال کرتے ہوئے خلاء میں برقی دباو کی مساوات $V = \frac{\sin 2\phi}{\rho}$ دی گئی ہے۔ نقطہ $(0.4, 45°, 2)$ پر حجمی کثافت چارج ρ_h حاصل کریں۔ نقطہ $(2.5, 75°, 3)$ پر موصل سطح موجود ہے۔ اس پر سطحی کثافت چارج ρ_S حاصل کریں۔

جوابات: $415\,\mathrm{pC/m^3}$ ، $\mp 2.55\,\frac{\mathrm{pC}}{\mathrm{m^2}}$ ؛ چونکہ یہ نہیں بتلایا گیا کہ میدان موصل کے کس جانب ہے لہٰذا یہ نہیں بتلایا جا سکتا کہ کثافت مثبت یا منفی ہے۔

سوال 6.11: رداس a کے دو عدد دائری چادر سے متوازی چادر کپیسٹر بنایا جاتا ہے۔ یہ چادر $z = 0$ اور $z = d$ پر پائے جاتے ہیں جبکہ z محدد ان کے محور سے گزرتی ہے۔ نچلی چادر صفر وولٹ جبکہ بالائی چادر V_0 وولٹ پر ہے۔ کپیسٹر میں بھرے گئی ذو برق کا برقی مستقل $\epsilon(\rho) = \epsilon - 0(1+\frac{\rho}{a})$ ہے جو رداسی سمت میں تبدیل ہوتا ہے۔ کپیسٹر میں V اور $\boldsymbol{E}$ حاصل کریں۔ بالائی چادر پر برقی چارج حاصل کرتے ہوئے کپیسٹنس حاصل کریں۔ چادر کے کناروں پر میدان کے پھولنے[18] کو نظر انداز کریں۔

جوابات: چونکہ $\boldsymbol{E}$ محدد z کی سمت میں ہے جبکہ ϵ محدد ρ کی سمت میں تبدیل ہوتا ہے لہٰذا لاپلاس اور پوئسن کے مساوات قابل استعمال ہیں۔ یوں $V(z) = \frac{V_0 z}{d}$ ، $\boldsymbol{E} = -\frac{V_0}{d}$ ، $\rho_S = \epsilon_0(1+\frac{\rho}{d})\frac{V_0}{d}$ ، $Q = \frac{5\pi a^2 \epsilon_0 V_0}{3d}$ اور $C = \frac{5\pi a^2 \epsilon_0}{3d}$ ہیں۔

سوال 6.12: صفحہ 174 پر مساوات 6.13 عمومی محدد میں لاپلاسی دیتا ہے۔ اس مساوات کو حاصل کریں۔

سوال 6.13: مثال 6.4 کو حتمی نتیجے تک پہنچاتے ہوئے اس کا کپیسٹنس حاصل کریں۔

سوال 6.14: مثال 6.5 میں دیے مساوات 6.24 اور مساوات 6.25 حاصل کریں۔

سوال 6.15: مساوات 6.28 کے تکمل کو حل کریں۔

سوال 6.16: مساوات 6.29 حاصل کریں۔

سوال 6.17: مساوات 6.31 حل کریں۔

سوال 6.18: مساوات 6.41 کے دوسرے جزو کا حل طاقتی سلسلے کے طریقے سے حاصل کریں۔ ثابت کریں کہ اس حل کو مساوات 6.47 کی شکل میں لکھا جا سکتا ہے۔

سوال 6.19: دہرانے کے طریقے میں اشاریہ کے نشان کے بعد دو ہندسوں تک درستگی استعمال کرتے ہوئے شکل 6.5 میں دئے تمام نقطوں پر برقی دباو چار مرتبہ دہرانے سے حاصل کریں۔ ڈبے کے وسط میں برقی دباو کیا حاصل ہوتی ہے۔

جواب: 22.49 V

[18] fringing

باب 7

ساکن مقناطیسی میدان

برقی میدان کا منبع برقی چارج ہے جس پر باب 2 میں تفصیلی غور کیا گیا۔ مقناطیسی میدان کا منبع یا تو مقناطیس ہو سکتا ہے، یا وقت کے ساتھ بدلتا برقی میدان اور یا پھر برقی رو۔ اس کتاب میں مقناطیس سے پیدا ہونے والے مقناطیسی میدان پر غور نہیں کیا جائے گا۔ وقت کے ساتھ بدلتے برقی میدان سے پیدا مقناطیسی میدان پر ایک اور باب میں غور کیا جائے گا جبکہ اس باب میں برقی رو سے پیدا ساکن مقناطیسی میدان پر غور کیا جائے گا۔

7.1 بایوٹ-سیوارٹ کا قانون

برقی رو اور اس سے پیدا مقناطیسی میدان کا تعلق **بایوٹ-سیوارٹ**[1] کا قانون[2]

$$\mathrm{d}\boldsymbol{H} = \frac{I\,\mathrm{d}\boldsymbol{L} \times \boldsymbol{a}_{\mathrm{R}}}{4\pi R^2} \tag{7.1}$$

بیان کرتا ہے جہاں سے مقناطیسی شدت $\boldsymbol{H}$ کی اکائی ایمپیئر فی میٹر $\left(\frac{\mathrm{A}}{\mathrm{m}}\right)$ حاصل ہوتی ہے۔ آئیں شکل 7.1 کی مدد سے اس قانون کا مطلب سمجھیں۔

یہ قانون باریک تار کے انتہائی چھوٹے حصے $\mathrm{d}\boldsymbol{L}$ جس میں I برقی رو گزر رہی ہو سے نقطہ N پر پیدا سمتی برقی میدان $\boldsymbol{H}$ دیتا ہے۔ نقطہ N باریک تار کے چھوٹے حصے سے $\boldsymbol{R}$ فاصلے پر ہے۔ باریک تار سے مراد ایسی ٹھوس نلکی نما موصل تار ہے جس کے رقبہ عمودی تراش کا رداس کم سے کمتر ہو۔ چھوٹے لمبائی $\mathrm{d}\boldsymbol{L}$ کی سمت برقی رو کی سمت میں ہے جبکہ $I\,\mathrm{d}\boldsymbol{L}$ منبع مقناطیسی میدان ہے۔

[1] Biot-Savart law

[2] یہ قانون فرانس کے بایوٹ اور سیوارٹ نے 1820 میں پیش کیا۔ یہ دونوں ایمپیئر کے ساتھی تھے۔

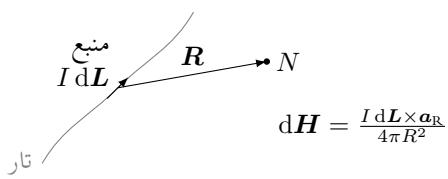

شکل 7.1: بایوٹ سیوارٹ کا قانون۔

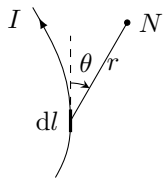

شکل 7.2: تار کے چھوٹے حصے سے پیدا میدان۔

مقناطیسی شدت کی قیمت برقی رو ضرب باریک چھوٹی تار کی لمبائی $I\,\mathrm{d}\boldsymbol{L}$ اور $\boldsymbol{a}_\mathrm{R}$ کے سمتی ضرب کے برائے راست تناسب جبکہ ان کے مابین فاصلہ R کے مربع کے بالعکس تناسب رکھتی ہے۔ تناسبی مستقل $\frac{1}{4\pi}$ ہے۔

بایوٹ-سیوارٹ کے قانون کا موازنہ کولومب کے قانون کے ساتھ کرنے کی غرض سے دونوں مساوات کو ایک ساتھ لکھتے ہیں۔

$$\begin{aligned}\mathrm{d}\boldsymbol{H}_2 &= \frac{I_1\,\mathrm{d}\boldsymbol{L}_1 \times \boldsymbol{a}_{R21}}{4\pi R_{21}^2}\\ \mathrm{d}\boldsymbol{E}_2 &= \frac{\mathrm{d}Q_1\boldsymbol{a}_{R21}}{4\pi\epsilon_0 R_{21}^2}\end{aligned} \tag{7.2}$$

ان مساوات میں زیر نوشت میں 2 اس مقام کو ظاہر کرتی ہے جہاں میدان کی قیمت حاصل کی گئی ہے جبکہ زیر نوشت میں 1 میدان کے منبع کے مقام کو ظاہر کرتی ہے۔ دونوں میدان فاصلے کے مربع کا بالعکس تناسب رکھتے ہیں۔ دونوں اقسام کے میدان کی شدت اور میدان کی منبع کا خطی تعلق ہے۔ دونوں میں فرق میدان کی سمت کا ہے۔ برقی میدان کی سمت منبع سے اس نقطہ کی جانب ہے جس پر میدان حاصل کیا جا رہا ہو۔ مقناطیسی میدان کی سمت سمتی ضرب کے دائیں ہاتھ کے قانون سے حاصل ہوتی ہے۔

شکل 7.2 میں تار کے چھوٹے حصے $\mathrm{d}l$ سے نقطہ N پر مقناطیسی میدان کی مقدار

$$\mathrm{d}H = \frac{I\,\mathrm{d}l\sin\theta}{4\pi r^2} \tag{7.3}$$

ہو گا۔

بایوٹ-سیوارٹ کے قانون کو مساوات 7.1 کی شکل میں تجرباتی طور پر ثابت نہیں کیا جا سکتا چونکہ باریک تار کی چھوٹی لمبائی میں برقی رو تب گزرے گی جب برقی رو اس چھوٹی تار تک پہنچائی جائے۔ جو تار اس تک برقی رو پہنچائے گی، وہ بھی مقناطیسی میدان پیدا کرے گی۔ انہیں علیحدہ علیحدہ نہیں کیا جا سکتا۔ ہم فی الحال صرف یک سمتی برقی رو کی بات کر رہے ہیں۔ یک سمتی برقی رو کی صورت میں وقت کے ساتھ حجمی چارج کثافت تبدیل نہیں ہو گا لہٰذا صفحہ 129 پر دئے استمراری مساوات

$$\nabla\cdot\boldsymbol{J} = -\frac{\partial\rho_h}{\partial t}$$

سے

$$\nabla\cdot\boldsymbol{J} = 0 \tag{7.4}$$

حاصل ہو گا جسے مسئلہ پھیلاو کی مدد سے

$$\oint_S \boldsymbol{J}\cdot\mathrm{d}\boldsymbol{S} = 0$$

لکھا جا سکتا ہے۔ یہ مساوات کہتی ہے کہ کسی بھی بند سطح سے گزرتی ہوئی برقی رو صفر کے برابر ہے۔ یہ صرف اس صورت ممکن ہے جب برقی رو کسی بند راہ پر گزر رہی ہو۔ ہمیں ایسی ہی مکمل بند راہ کے برقی رو کے اثر کو دیکھنا ہو گا نا کہ تار کے کسی چھوٹے حصے کے برقی رو کو۔

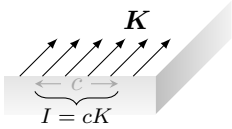

شکل 7.3: سطحی کثافت برقی رو کے c چوڑائی میں کل cK برقی رو ہو گا۔

یوں بایوٹ-سیوارٹ قانون کی تکمل شکل

$$\boldsymbol{H} = \oint \frac{I\,\mathrm{d}\boldsymbol{L} \times \boldsymbol{a}_{\mathrm{R}}}{4\pi R^2} \tag{7.5}$$

ہی تجرباتی طور ثابت کی جا سکتی ہے۔

مساوات 7.1 سے مساوات 7.5 لکھی جا سکتی ہے۔البتہ مساوات 7.5 میں تکمل کے اندر کوئی بھی ایسی اضافی تفاعل شامل کیا جا سکتا ہے جس کا بند تکمل صفر کے برابر ہو۔مقداری میدان کا ڈھلوان ہر صورت بقائی میدان ہوتا ہے لہٰذا مساوات 7.5 میں ∇G کے شمول سے اس کے جواب میں کوئی فرق نہیں پڑے گا۔G کوئی بھی مقداری میدان ہو سکتا ہے۔

واضع رہے کہ کسی بھی نقطے پر مقناطیسی میدان مکمل برقی دور کے اثر کو شامل کرنے سے ہی حاصل کیا جا سکتا ہے۔برقی رو گزارتی تار کے کچھ حصے کے میدان یا ایسے میدان سے پیدا قوت کی بات بے معنی ہو گی۔

شکل 7.3 میں یکساں سطحی کثافت برقی رو $\boldsymbol{K}$ دکھایا گیا ہے۔سطحی کثافت برقی رو کو ایمپیئر فی اکائی چوڑائی پیش کیا جاتا ہے لہٰذا c چوڑائی کے حصے میں

$$I = cK$$

برقی رو ہو گا۔اگر کثافت برقی رو یکساں نہ ہو تب کسی بھی چوڑائی میں کل برقی تو بذریعہ تکمل

$$I = \int K\,\mathrm{d}c$$

حاصل ہو گی جہاں $\mathrm{d}c$ چوڑائی کا چھوٹا حصہ ہے۔یوں $\mathrm{d}\boldsymbol{L}$ کو سطحی کثافت برقی رو $\boldsymbol{K}$ یا حجمی کثافت برقی رو $\boldsymbol{J}$ کی صورت میں

$$I\,\mathrm{d}\boldsymbol{L} = \boldsymbol{K}\,\mathrm{d}S = \boldsymbol{J}\,\mathrm{d}h \tag{7.6}$$

لکھا جا سکتا ہے۔یوں بایوٹ-سیوارٹ کے قانون کو

$$\boldsymbol{H} = \int_S \frac{\boldsymbol{K} \times \boldsymbol{a}_{\mathrm{R}}\,\mathrm{d}S}{4\pi R^2} \tag{7.7}$$

یا

$$\boldsymbol{H} = \int_h \frac{\boldsymbol{J} \times \boldsymbol{a}_{\mathrm{R}}\,\mathrm{d}h}{4\pi R^2} \tag{7.8}$$

لکھا جا سکتا ہے۔

آئیں سیدھی لامحدود لمبائی کی تار جس میں سے برقی رو گزر رہی ہو کی مقناطیسی میدان بایوٹ-سیوارٹ کے قانون سے حاصل کریں۔شکل 7.4 میں صورت حال دکھائی گئی ہے۔اس تار کے دونوں سرے لامحدود فاصلے پر ہیں۔تار کے قریب نقطہ N_2 پر مقناطیسی میدان کا بیشتر حصہ تار کے اس حصے کی

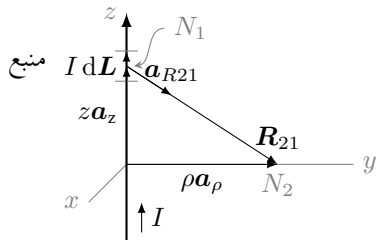

شکل 7.4: سیدھی لامحدود تار سے پیدا مقناطیسی میدان

وجہ سے ہو گا جو N_2 کے قریب ہو۔یوں لامحدود فاصلے پر تار کے سروں تک برقی رو پہنچانے والی تار کا نقطہ N_2 پر اثر کو نظرانداز کرتے ہوئے آگے بڑھتے ہیں۔ 2026

نقطہ N_1 پر تار کے چھوٹے حصے $\mathrm{d}\boldsymbol{L}$ میں برقی رو کو منبع مقناطیسی میدان تصور کرتے ہوئے مساوات 7.1 کی مدد سے نقطہ N_2 پر مقناطیسی میدان لکھی جا سکتی ہے۔چونکہ

$$\boldsymbol{R}_{21} = \rho\boldsymbol{a}_\rho - z\boldsymbol{a}_z$$

کے برابر ہے لہٰذا

$$\begin{aligned} R_{21} &= |\boldsymbol{R}_{21}| = \sqrt{\rho^2 + z^2} \\ \boldsymbol{a}_R &= \frac{\boldsymbol{R}_{21}}{|\boldsymbol{R}_{21}|} = \frac{\rho\boldsymbol{a}_\rho - z\boldsymbol{a}_z}{\sqrt{\rho^2 + z^2}} \end{aligned}$$

لکھے جا سکتے ہیں۔ نلکی محدد میں چھوٹی لمبائی

$$\mathrm{d}\boldsymbol{L} = \mathrm{d}\rho\boldsymbol{a}_\rho + \rho\,\mathrm{d}\phi\boldsymbol{a}_\phi + \mathrm{d}z\boldsymbol{a}_z$$

لکھی جاتی ہے۔چونکہ یہاں $\mathrm{d}\rho = 0$ اور $\mathrm{d}\phi = 0$ ہیں لہٰذا $\mathrm{d}\boldsymbol{L} = \mathrm{d}z\boldsymbol{a}_z$ لکھتے ہوئے مساوات 7.1 کو

$$\mathrm{d}\boldsymbol{H}_2 = \frac{I\,\mathrm{d}z\boldsymbol{a}_z \times (\rho\boldsymbol{a}_\rho - z\boldsymbol{a}_z)}{4\pi(\rho^2 + z^2)^{\frac{3}{2}}}$$

لکھا جا سکتا ہے۔پورے تار کا مقناطیسی میدان اس مساوات کے تکمل سے حاصل ہو گا جہاں تکمل $-\infty$ تا $+\infty$ حاصل کیا جائے گا۔اس طرح

$$\begin{aligned} \boldsymbol{H}_2 &= \int_{-\infty}^{\infty} \frac{I\,\mathrm{d}z\boldsymbol{a}_z \times (\rho\boldsymbol{a}_\rho - z\boldsymbol{a}_z)}{4\pi(\rho^2 + z^2)^{\frac{3}{2}}} \\ &= \frac{I\rho}{4\pi}\int_{-\infty}^{\infty} \frac{\boldsymbol{a}_\phi\,\mathrm{d}z}{(\rho^2 + z^2)^{\frac{3}{2}}} \end{aligned}$$

لکھا جا سکتا ہے جہاں صفحہ 18 پر مساوات 1.23 کی مدد سے $\boldsymbol{a}_z \times \boldsymbol{a}_\rho = \boldsymbol{a}_\phi$ جبکہ مساوات 1.24 کی مدد سے $\boldsymbol{a}_z \times \boldsymbol{a}_z = 0$ لکھے گئے ہیں۔ 2027

مندرجہ بالا مساوات میں تکمل کے اندر $\boldsymbol{a}_\phi$ پر نظر رکھنی ہو گی۔اگرچہ $\boldsymbol{a}_\phi$ اکائی سمتیہ ہے لہٰذا اس کی لمبائی تبدیل نہیں ہو سکتی البتہ یہ دیکھنا ضروری ہے کہ آیا تکمل کا متغیرہ یعنی z تبدیل کرنے سے $\boldsymbol{a}_\phi$ کی سمت تو تبدیل نہیں ہوتی۔صفحہ 21 پر مساوات 1.34 کے تحت

$$\boldsymbol{a}_\phi = -\frac{y}{\sqrt{x^2 + y^2}}\boldsymbol{a}_x + \frac{x}{\sqrt{x^2 + y^2}}\boldsymbol{a}_y$$

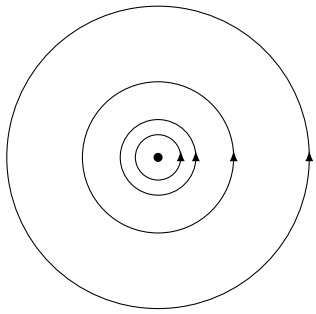

شکل 7.5: سیدھی لمبی تار کا مقناطیسی میدان تار کے گرد دائرے بناتا ہے۔برقی رو صفحے سے باہر نکل رہی ہے۔

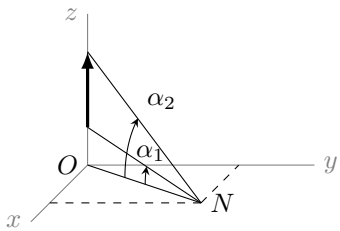

شکل 7.6: سیدھی محدود لمبائی کے تار کی مقناطیسی شدت۔

لکھا جا سکتا ہے۔آپ دیکھ سکتے ہیں کہ z تبدیل کرنے سے $\boldsymbol{a}_\phi$ پر کوئی اثر نہیں پڑتا لہٰذا $\boldsymbol{a}_\phi$ کو تکمل کے باہر منتقل کیا جا سکتا ہے۔یوں

$$\begin{aligned}\boldsymbol{H}_2 &= \frac{I\rho\boldsymbol{a}_\phi}{4\pi}\int_{-\infty}^{\infty}\frac{\mathrm{d}z}{(\rho^2+z^2)^{\frac{3}{2}}}\\ &= \frac{I\rho\boldsymbol{a}_\phi}{4\pi}\left.\frac{z}{\rho^2\sqrt{\rho^2+z^2}}\right|_{-\infty}^{+\infty}\end{aligned} \tag{7.9}$$

سے

$$\boldsymbol{H}_2 = \frac{I}{2\pi\rho}\boldsymbol{a}_\phi \tag{7.10}$$

حاصل ہوتا ہے۔شکل 7.5 میں برقی رو صفحہ سے باہر نکل رہی ہے جبکہ گول دائرے مقناطیسی میدان کو ظاہر کرتے ہیں۔اگر تار کو دائیں ہاتھ سے یوں پکڑا جائے کہ انگوٹھا برقی رو کی سمت میں ہو تب اس ہاتھ کی انگلیاں تار کے گرد مقناطیسی میدان کی سمت میں لپٹی ہوں گی۔آپ دیکھ سکتے ہیں کہ یہ مقناطیسی میدان نا تو z اور نا ہی زاویہ ϕ کے ساتھ تبدیل ہوتا ہے۔اس کی قیمت صرف تار سے فاصلے پر منحصر ہے۔

اگر شکل 7.4 میں تار لامحدود نہ ہو تب مساوات 7.6 میں تکمل کے محدود حدود پر کرنے سے مقناطیسی میدان کی شدت

$$\boldsymbol{H} = \frac{I}{4\pi\rho}\left(\sin\alpha_2 - \sin\alpha_1\right)\boldsymbol{a}_\phi \tag{7.11}$$

حاصل ہوتی ہے جہاں شکل 7.6 میں α_1 اور α_2 کی نشاندہی کی گئی ہے۔تار کا نچلا سرا xy سطح یعنی $z=0$ سطح سے نیچے ہونے کی صورت میں α_1 کی قیمت منفی ہو گی۔یہی کچھ تار کے دوسرے سرے اور α_2 کے لئے بھی درست ہے۔

7.2 ایمپیئر کا دوری قانون

کولومب کے قانون کی مدد سے مختلف طرز پر پائے جانے والے چارج کے برقی میدان حاصل کرنے کے بعد ہم نے گاؤس کا قانون اخذ کیا جس سے ہماری زندگی نہایت آسان ہو گئی۔ گاؤس کے قانون کی مدد سے متشاکل چارج سے پیدا برقی میدان انتہائی آسانی سے حاصل ہوتا ہے۔ متشاکل برقی رو کے مقناطیسی میدان حاصل کرنے کا بھی اتنا ہی آسان طریقہ موجود ہے جسے **ایمپیئر کا دوری قانون**[3] کہتے ہیں۔ اس قانون کو بایوٹ-سیوارٹ کے قانون سے حصہ 7.7 میں حاصل کیا گیا ہے۔ فی الحال ہم اس قانون کو استعمال کرنا سیکھتے ہیں۔ اس قانون کے استعمال کے وقت مسئلے پر غور کرتے ہوئے بغیر حساب و کتاب کے فیصلہ کیا جاتا ہے کہ مقناطیسی میدان کے کون کون سے اجزاء موجود نہیں ہونے چاہئے۔ یہ فیصلہ برقی رو کے راستے کو دیکھ کر کیا جاتا ہے۔

ایمپیئر کا دوری قانون کہتا ہے کہ یک سمتی برقی رو کے گرد کسی بھی راہ $\boldsymbol{H}$ کا لکیری بند تکمل گھیرے برقی رو کے برابر ہو گا یعنی

$$\oint \boldsymbol{H} \cdot \mathrm{d}\boldsymbol{L} = I \tag{7.12}$$

لکیری بند تکمل کی سمت میں برقی رو کے گرد دائیں ہاتھ کی انگلیاں گھمانے سے اسی ہاتھ کا انگوٹھا مثبت برقی رو کی سمت دے گا۔ ایسا کرتے وقت انگوٹھے کو باقی چار انگلیوں کے عمودی رکھا جاتا ہے۔

کسی بھی راہ $\boldsymbol{H}$ کے لکیری تکمل سے مراد اس راہ کو انتہائی چھوٹے چھوٹے ٹکڑوں $\mathrm{d}\boldsymbol{L}$ میں تقسیم کر کے ہر ٹکڑے پر $\boldsymbol{H}$ کی قیمت استعمال کرتے ہوئے $\boldsymbol{H} \cdot \mathrm{d}\boldsymbol{L}$ حاصل کر کے تمام $\boldsymbol{H} \cdot \mathrm{d}\boldsymbol{L}$ کا مجموعہ حاصل کرنا ہے۔ مقناطیسی شدت $\boldsymbol{H}$ کی قیمت مختلف مقامات پر عموماً مختلف ہو گی۔ یوں کسی ایک نقطے پر $\boldsymbol{H} \cdot \mathrm{d}\boldsymbol{L}$ کی قیمت کسی دوسرے نقطے کے $\boldsymbol{H} \cdot \mathrm{d}\boldsymbol{L}$ سے مختلف ہو گی۔ ایمپیئر کا دوری قانون کہتا ہے کہ اگرچہ یک سمتی برقی رو کے گرد دو مختلف بند راہوں پر جگہ جگہ $\boldsymbol{H} \cdot \mathrm{d}\boldsymbol{L}$ کی قیمتیں مختلف ہوں گی لیکن دونوں راہ پر ان کا مجموعہ عین برقی رو کے برابر ہو گا۔

کسی بھی سطح کا محیط، بند راہ ہوتی ہے۔ اسی طرح کوئی بھی بند راہ، لامحدود سطحوں کا محیط ہوتا ہے۔ یوں بند راہ کا گھیرا ہوا برقی رو ان تمام سطحوں کو چھیرتا ہوا گزرے گا جن کا محیط یہ بند راہ ہو۔

گاؤس کے قانون کا استعمال تب ممکن ہوتا ہے جب بند سطح میں کل برقی چارج معلوم ہو۔ ایمپیئر کا دوری قانون اس صورت استعمال کیا جا سکتا ہے جب بند راہ میں گھیرا کل یک سمتی برقی رو معلوم ہو۔

آئیں شکل 7.4 میں دکھائے گئے برقی رو گزارتے سیدھی لامحدود لمبائی کے تار کی مقناطیسی شدت ایمپیئر کے دوری قانون یعنی مساوات 7.12 کی مدد سے دوبارہ حاصل کریں۔ اس مساوات کو استعمال کرتے ہوئے برقی رو کے گرد راہ یوں چنی جاتی ہے کہ اس پر $\boldsymbol{H}$ اور $\mathrm{d}\boldsymbol{L}$ یا تو آپس میں عمودی ہوں اور یا $\boldsymbol{H}$ کی قیمت قطعی اور اس کی سمت $\mathrm{d}\boldsymbol{L}$ کے متوازی ہو۔ پہلی صورت میں دونوں متغیرات کے مابین نوے درجے کا زاویہ ہے اور $\cos 90 = 0$ ہوتا ہے لہٰذا $\boldsymbol{H} \cdot \mathrm{d}\boldsymbol{L}$ صفر کے برابر ہو گا اور یوں راہ کے اس حصے پر تکمل صفر کے برابر ہو گا۔ دوسری صورت میں متغیرات کے مابین صفر درجے کا زاویہ ہے اور $\cos 0 = 1$ ہوتا ہے لہٰذا $\boldsymbol{H} \cdot \mathrm{d}\boldsymbol{L}$ کو $H\,\mathrm{d}L$ لکھا جا سکتا ہے اور ساتھ ہی ساتھ مقناطیسی شدت کی قیمت قطعی ہونے کی وجہ سے H کو تکمل کے باہر لے جایا جا سکتا ہے۔ یوں راہ کے اس راستے پر تکمل کی قیمت HL کے برابر ہو گی جہاں L راہ کے اس حصے کی لمبائی ہے۔

تار کے گرد اور اس کے ساتھ ساتھ حرکت کرنے سے واضح ہوتا ہے کہ مسئلے کی نوعیت نا تو تار کے گرد زاویہ ϕ پر اور نا ہی محدد z پر منحصر ہے۔ تار سے دور یا اس کے قریب ہونے سے ہی مسئلے کی نوعیت میں تبدیلی آتی ہے۔ یوں صاف ظاہر ہے کہ مقناطیسی شدت صرف ρ پر منحصر ہو سکتی ہے۔ اسی طرح بایوٹ-سیوارٹ کے قانون کو مد نظر رکھتے ہوئے ہم دیکھ سکتے ہیں کہ مقناطیسی شدت $\boldsymbol{a}_\phi$ سمت رکھتی ہے یعنی اس کا صرف H_ϕ جزو پایا جائے

[3] Ampere's circuital law

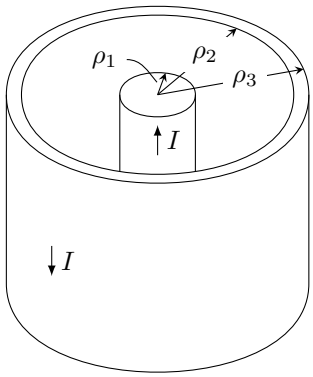

(ا) ہم محوری تار کے اندرونی تار میں مثبت جبکہ بیرونی تار میں منفی برقی رو ہے۔

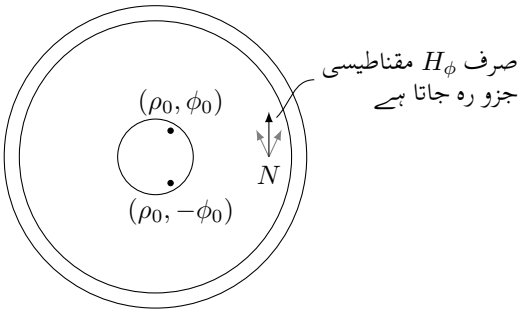

(ب) رداسی اجزاء آپس میں ختم ہو جاتے ہیں اور یوں صرف زاویائی جزو رہ جاتا ہے۔

شکل 7.7: ہم محوری تار۔

گا۔یوں اگر ρ تبدیل کئے بغیر تار کے گرد چلا جائے تو ہم یقین رکھ سکتے ہیں کہ $\boldsymbol{H}$ کی حتمی قیمت H_ϕ تبدیل نہیں ہو گی۔ساتھ ہی ساتھ اس راہ پر کسی بھی نقطے پر $\mathrm{d}\boldsymbol{L} = \rho\,\mathrm{d}\phi\boldsymbol{a}_\phi$ اور $H_\phi\boldsymbol{a}_\phi$ آپس میں متوازی ہوں گے لہٰذا ایمپیئر کے دوری قانون سے

$$\oint \boldsymbol{H}\cdot\mathrm{d}\boldsymbol{L} = \int_0^{2\pi} H_\phi\rho\,\mathrm{d}\phi = H_\phi\rho\int_0^{2\pi}\mathrm{d}\phi = H_\phi 2\pi\rho = I$$

یا

$$H_\phi = \frac{I}{2\pi\rho}$$

حاصل ہوتا ہے جو ہم پہلے بھی حاصل کر چکے ہیں۔

ایمپیئر کے دوری قانون کے استعمال کی دوسری مثال کی خاطر ہم شکل 7.7 میں دکھائے گئے ہم محوری تار لیتے ہیں۔فرض کریں کہ z محدد پر پڑی ایسی لامحدود لمبائی کے ہم محوری تار کے اندرونی حصے میں I اور اس کے بیرونی سطح میں $-I$ برقی رو گزر رہی ہے۔اندرونی موصل موٹی ساخت کے تار کو نہایت پتلی فرضی تاروں کا مجموعہ تصور کیا جا سکتا ہے۔آئیں ان پتلی فرضی تاروں سے نقطہ N پر پیدا مقناطیسی شدت پر غور کریں۔نقطہ N کو کارتیسی محدد کے x محدد پر رکھتے ہوئے مسئلے کی نوعیت شکل 7.7-ب میں دکھائی گئی ہے۔پچھلی مثال سے یہ واضح ہے کہ ایسی کسی بھی پتلی تار کی مقناطیسی شدت میں H_z جزو نہیں پایا جاتا۔ساتھ ہی ساتھ ہم یہ بھی جانتے ہیں کہ ایسی تار کی مقناطیسی شدت تار کے گرد گول دائرہ بناتی ہے۔کسی بھی فرضی تار جو (ρ_0, ϕ_0) پر پائی جاتی ہو N پر ΔH_ρ اور ΔH_ϕ اجزاء پیدا کرے گی۔اسی طرح $(\rho_0, -\phi_0)$ پر پتلی تار سے پیدا مقناطیسی شدت کے بھی ایسے رداسی اور زاویائی اجزاء ہوں گے۔ان دونوں پتلی تاروں کے رداسی اجزاء آپس میں الٹ سمت میں ہوں گے لہٰذا یہ ایک دوسرے کو ختم کریں گے جبکہ زاویائی اجزاء ایک ہی سمت میں ہوتے ہیں لہٰذا N پر صرف زاویائی جزو پایا جائے گا۔

اندرونی ٹھوس موصل تار کے گرد ایسا گول دائرہ لیتے ہیں جس کا رداس ρ اندرونی تار کے رداس ρ_1 سے زیادہ مگر بیرونی تار کے اندرونی رداس ρ_2 سے کم ہو۔اس راہ پر ہم ایمپیئر کے دوری قانون کی مدد سے

$$H_\phi = \frac{I}{2\pi\rho} \qquad (\rho_1 < \rho < \rho_2) \tag{7.13}$$

لکھ سکتے ہیں۔

اندرونی تار کا رقبہ عمودی تراش $\pi\rho_1^2$ ہے لہٰذا اس میں کثافت برقی رو $\frac{I}{\pi\rho_1^2}$ ہو گی۔ اگر ρ کو اندرونی ٹھوس موصل تار کے رداس ρ_1 سے کم رکھا جائے تب یہ راہ

$$I_{\text{گھیرا}} = \frac{I}{\pi\rho_1^2}\pi\rho^2 = \frac{\rho^2}{\rho_1^2}I$$

برقی رو کو گھیرے گا لہٰذا ایمپیئر کے دوری قانون کے تحت اندرونی ٹھوس تار میں

$$H_\phi = \frac{\rho I}{2\pi\rho_1^2} \qquad (\rho < \rho_1)$$

مقناطیسی شدت پایا جائے گا۔ اسی طرح اگر ρ کو بیرونی تار کے بیرونی رداس ρ_3 سے زیادہ رکھا جائے تب یہ راہ اندرونی تار کے $+I$ اور بیرونی تار کے $-I$ کو گھیرے گی لہٰذا یہ کل $I - I = 0$ برقی رو کو گھیرے گا لہٰذا

$$H_\phi = 0 \qquad (\rho_3 < \rho)$$

ہو گا۔ آخر میں اس صورت کو بھی دیکھتے ہیں جب ρ بیرونی تار کے اندر پایا جائے۔ ایسی صورت میں یہ راہ

$$I_{\text{گھیرا}} = I - \left(\frac{\rho^2 - \rho_2^2}{\rho_3^2 - \rho_2^2}\right) I = \left(\frac{\rho_3^2 - \rho^2}{\rho_3^2 - \rho_2^2}\right) I$$

برقی رو گھیرے گی لہٰذا بیرونی تار میں

$$H_\phi = \frac{I}{2\pi\rho}\left(\frac{\rho_3^2 - \rho^2}{\rho_3^2 - \rho_2^2}\right) \qquad (\rho_2 < \rho < \rho_3)$$

ہو گا۔

ہم محوری تار کے باہر مقناطیسی شدت صفر کے برابر ہے۔ اس کی وجہ یہ ہے کہ تار کے باہر کوئی بھی بند گول دائرہ اندرونی تار کی برقی رو I اور بیرونی تار کی برقی رو $-I$ دونوں کو گھیرتا ہے۔ یہ دونوں برابر مقدار مگر الٹ سمت کے برقی رو ہر نقطے پر برابر مگر الٹ سمت میں مقناطیسی شدت پیدا کرتے ہیں جن کا مجموعہ صفر کے برابر ہوتا ہے۔ ہم محوری تار کی یہ خاصیت کہ یہ بیرون تار کسی قسم کا مقناطیسی میدان نہیں پیدا کرتا انتہائی اہمیت کا حامل ہے۔ ہم محوری تار اسی خاصیت کی بنا پر ہر ایسی جگہ پر استعمال کیا جاتا ہے جہاں تار میں پائے گئے برقی اشارات سے بیرونی تار کسی قسم کا اثر ناقابل برداشت ہو۔

ایمپیئر کے دوری قانون کے استعمال کی تیسری مثال کو شکل 7.8-الف میں دکھایا گیا ہے جہاں $z = 0$ لامحدود چوڑائی اور لامحدود لمبائی کے موصل سطح پر $K_x\boldsymbol{a}_x$ سطحی کثافت برقی رو گزر رہی ہے۔ ہمیں اس سطح کے قریب نقطہ N پر مقناطیسی شدت حاصل کرنے سے دلچسپی ہے۔ سطح کے $x = +\infty$ سرے سے $x = -\infty$ سرے تک برقی رو بذریعہ دو لامحدود چوڑائی کے موصل سطحوں سے واپس پہنچتی ہے۔ یہ سطحیں $z = +\infty$ اور $z = -\infty$ پر پائی جاتی ہیں۔ اتنی دور سطحوں کے اثر کو نقطہ N پر نظر انداز کیا جا سکتا ہے۔

موصل سطح کو Δy چوڑائی کی فرضی تاروں میں تقسیم کیا جا سکتا ہے۔ ایسا شکل 7.8-ب میں دکھایا گیا ہے۔ یوں ہر ایسی فرضی تار $K_x\Delta y\boldsymbol{a}_x$ برقی رو گزارے گی۔ لامحدود تار کے مقناطیسی میدان سے ہم بخوبی واقف ہیں۔ ایسی کسی بھی فرضی تار کی برقی رو H_x جزو پیدا نہیں کرے گا۔ سطح پر N کے ایک جانب فرضی تار کا H_z جزو سطح پر N کے دوسری جانب فرضی تار کے H_z جزو کو ختم کرتا ہے جبکہ ان کے H_y اجزاء مل کر دگنی مقناطیسی شدت پیدا کرتے ہیں۔ اس طرح مقناطیسی شدت کا صرف اور صرف H_y جزو ممکن ہے۔

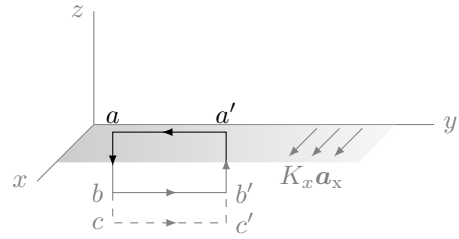

(ا) لامحدود جسامت کے موصل سطح پر سطحی کثافت برقی رو۔

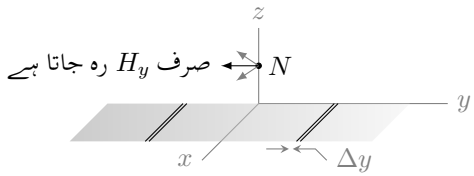

(ب) کسی بھی نقطے کے دونوں جانب فرضی تاروں کے H_z اجزاء آپس میں ختم ہو جاتے ہیں جبکہ ان کے H_y اجزاء جمع ہوتے ہیں۔

شکل 7.8: لامحدود سطحی کثافت برقی رو۔

شکل 7.8-الف میں موصل سطح کے کچھ حصے کو گھیرتی ہوئی مستطیلی راہ $a'abb'$ دکھائی گئی ہے جس کے اطراف y_1 اور $2z_1$ لمبائی رکھتے ہیں۔اس راہ کے z_1 حصوں پر مقناطیسی شدت صفر کے برابر ہے لہٰذا اس حصے پر مقناطیسی شدت کا تکمل بھی صفر کے برابر ہو گا۔راہ کے y_1 اطراف سطح سے دونوں جانب z_1 فاصلے پر ہیں۔ سطح کے دونوں اطراف بالکل یکساں مشابہت رکھتے ہیں۔بایوٹ-سیوارٹ کے قانون سے آپ دیکھ سکتے ہیں کہ سطحی کثافت برقی رو موصل سطح کے اوپر جانب $-H_{ya}\boldsymbol{a}_{\mathrm{y}}$ جبکہ اس کے نچلی جانب $+H_{yb}\boldsymbol{a}_{\mathrm{y}}$ مقناطیسی شدت پیدا کرتا ہے۔ مستطیلی راہ Ky_1 برقی رو کو گھیرتی ہے لہٰذا ایمپیئر کے دوری قانون کے تحت

$$H_{ya}y_1 + H_{yb}y_1 = K_x y_1$$

یا

$$H_{ya} + H_{yb} = K_x \tag{7.14}$$

ہو گا۔اب اگر موصل سطح کے ایک جانب مستطیلی راہ کا y_1 حصہ قدر دور کرتے ہوئے z_2 فاصلے پر کر دیا جائے تب مندرجہ بالا مساوات

$$H_{ya} + H_{yc} = K_x$$

صورت اختیار کر لے گی جس سے صاف ظاہر ہے کہ H_{yb} اور H_{yc} عین برابر ہیں یعنی مقناطیسی شدت کا دارومدار سطح سے فاصلے پر ہر گز نہیں ہے۔اس طرح تمام ایسے نقطے جو مثبت z پر پائے جاتے ہوں پر مقناطیسی شدت یک برابر ہو گی۔یہی کچھ تمام ایسے نقطوں کے لئے بھی درست ہے جو منفی z پر پائے جاتے ہوں۔

سطح کے دونوں اطراف بالکل یکساں مشابہت رکھتے ہیں لہٰذا دونوں جانب مقناطیسی شدت بھی برابر ہو گا یعنی $\left|\boldsymbol{H}_{ya}\right| = \left|\boldsymbol{H}_{yb}\right|$ ہو گا۔اس طرح مساوات 7.14 سے $H_{ya} = H_{yb} = H_y = \frac{K_x}{2}$ لکھتے ہوئے

$$\boldsymbol{H}_y = -\frac{1}{2}K_x\boldsymbol{a}_{\mathrm{x}} \qquad (z > 0)$$
$$\boldsymbol{H}_y = +\frac{1}{2}K_x\boldsymbol{a}_{\mathrm{x}} \qquad (z < 0)$$

حاصل ہوتا ہے جسے بہتر طور پر

$$\boldsymbol{H} = \frac{1}{2}\boldsymbol{K} \times \boldsymbol{a}_N \tag{7.15}$$

لکھا جا سکتا ہے جہاں $\boldsymbol{a}_N$ موصل سطح کی عمودی اکائی سمتیہ ہے۔

اگر $z = -h$ پر دوسری لامحدود موصل سطح رکھی جائے جس میں سطحی کثافت برقی رو $-K_x\boldsymbol{a}_{\mathrm{x}}$ ہو تب دونوں سطحی کثافت برقی رو کی مجموعی مقناطیسی شدت

$$\begin{aligned} \boldsymbol{H} &= \boldsymbol{K} \times \boldsymbol{a}_N \qquad (-h < z < 0) \\ \boldsymbol{H} &= 0 \qquad (z < -h, \quad z > 0) \end{aligned} \tag{7.16}$$

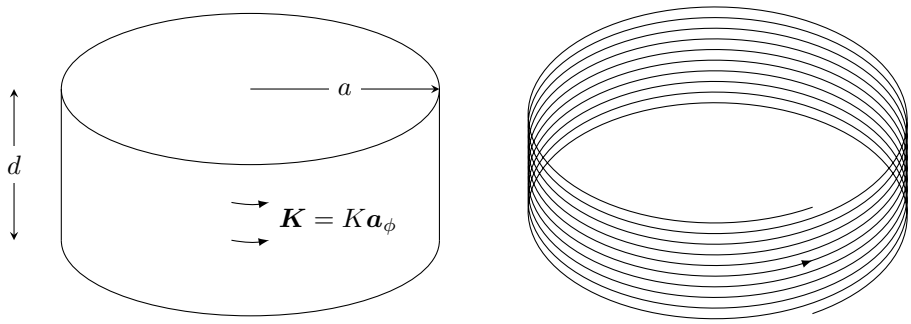

(ب) پیچدار لچھے کو سطحی کثافت تصور کیا جا سکتا ہے۔

(ا) پیچ دار لچھا۔

شکل 7.9: پیچدار لچھے کے میدان کا حصول۔

ہو گی۔

ایمپیئر کے دوری قانون کے استعمال میں سب سے مشکل کام ایسی راہ تلاش کرنا ہے جس پر مقناطیسی میدان یا راہ کے عمودی ہو اور یا پھر اس کی قیمت مستقل ہو۔ جہاں قبل از وقت ایسا جاننا ممکن نہ ہو وہاں بایوٹ-سیوارٹ کا قانون ہی قابل استعمال ہو گا۔

آئیں ایمپیئر کے دوری قانون کو استعمال کرتے ہوئے شکل 7.9-الف میں دکھائے گئے، لا محدود لمبائی کے پیچدار لچھے[4] کا مقناطیسی میدان حاصل کریں۔ لچھے کا رداس a جبکہ اس میں لمبائی جانب d فاصلے پر N چکر پائے جاتے ہیں جن میں برقی رو I گزر رہی ہے۔ لچھے کا محور عین z محدد پر پایا جاتا ہے۔

لچھے کے چکر انتہائی قریب قریب ہونے کی صورت میں لچھے کے تاروں میں برقی رو کو سطحی کثافت رو تصور کیا جا سکتا ہے۔ شکل 7.9-ب میں ایسا ہی کرتے ہوئے لچھے کو نلکی سطحی کثافت

$$\boldsymbol{K} = K\boldsymbol{a}_\phi = \frac{NI}{d}\boldsymbol{a}_\phi$$

تصور کیا گیا ہے۔ سطحی کثافت برقی رو کی صورت میں سطح کے باہر مقناطیسی میدان صفر کے برابر ہو گا جبکہ اس کے اندر میدان نہ تو ρ اور نا ہی ϕ پر منحصر ہے۔ لا محدود لمبائی کی نلکی میں میدان z پر بھی منحصر نہیں ہو گا۔ ساتھ ہی ساتھ میدان صرف اور صرف $\boldsymbol{a}_z$ سمت میں ہو گا۔

نلکی کے اندر اور باہر، z محدد کے متوازی لمبائی d کے فرضی لکیروں کے سرے آپس میں جوڑنے سے بند راہ پر ایمپیئر کا دوری قانون لاگو کرتے ہوئے میدان

$$\boldsymbol{H} = K\boldsymbol{a}_z = \frac{NI}{d}\boldsymbol{a}_z \qquad \text{نلکی کے اندر} \tag{7.17}$$

$$\boldsymbol{H} = 0 \qquad \text{نلکی کے باہر} \tag{7.18}$$

حاصل ہوتا ہے۔

محدود لمبائی کی پیچدار لچھا جس کے چکر قریب قریب ہوں کا میدان مساوات 7.17 ہی دیتی ہے۔ یہ مساوات لچھے کے سروں اور تار سے دور میدان کی صحیح قیمت دیتی ہے۔

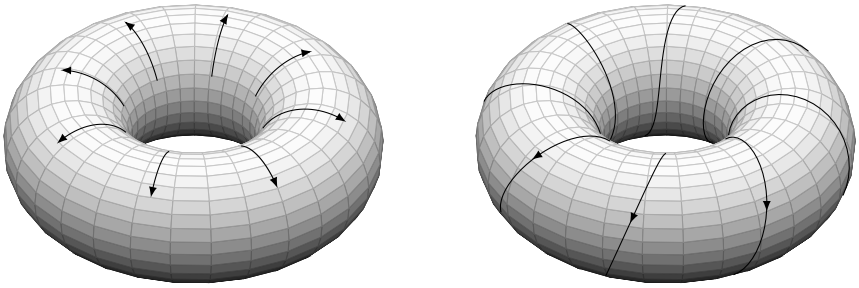

(ا) اندرسہ لچھا۔ (ب) اندرسہ کی سطح پر کثافت برقی رو پائی جاتی ہے۔

شکل 7.10: اندرسہ کی سطح پر تار میں برقی رو کو کثافت برقی رو تصور کیا جا سکتا ہے۔

آئیں ایمپیئر کے دوری قانون کی ایک اور مثال دیکھیں۔ شکل 7.9-الف کے پیچدار لچھے کو دائری شکل دے کر شکل 7.10-الف حاصل ہوتا ہے۔

شکل 7.10-الف میں اندرسہ[65] شکل کی سطح پر N چکر کی لپٹی تار میں I برقی رو گزر رہی ہے۔اندرسہ $z=0$ سطح پر پڑی ہے جبکہ z محدد اس کے محور سے گزرتا ہے۔لپٹی تار کے چکر قریب قریب ہونے کی صورت میں اندرسے کی سطح پر K کثافت برقی رو تصور کی جا سکتی ہے۔اندرسے کا عمودی تراش رداس a کا دائرہ ہے جبکہ اندرسے کا اوسط رداس b ہے۔اس طرح اندرسے کا اندرونی رداس $b-a$ جبکہ اس کا بیرونی رداس $b+a$ ہو گا۔یوں اندرسے کے محور کے قریبی سطح پر کثافت برقی رو

$$K=\frac{NI}{2\pi(b-a)} \quad \frac{\mathrm{A}}{\mathrm{m}}$$

ہو گی۔ایمپیئر کا دوری قانون استعمال کرنے کی غرض سے ہم اندرسے کے اندر رداس $(b-a)<\rho<(b+a)$ کا دائرہ لیتے ہیں۔یہ فرضی دائرہ اندرسے کے محور کے قریبی سطح پر کثافت K کو گھیرے گا لہٰذا یہ

$$2\pi(b-a)K$$

برقی رو کو گھیرے گا۔یوں ایمپیئر کے دوری قانون سے اس رداس پر مقناطیسی میدان

$$\begin{aligned} \boldsymbol{H} &= \frac{2\pi(b-a)K}{2\pi\rho}=\frac{NI}{2\pi\rho}\boldsymbol{a}_\phi && \text{اندرسے کے اندر} \\ \boldsymbol{H} &= 0 && \text{اندرسے کے باہر} \end{aligned} \tag{7.19}$$

ہو گا۔

شکل 7.10-الف میں تار کے چکر قریب قریب نہ ہونے کی صورت میں جب تک ہم دو چکر کے مابین فاصلے سے چند گنا زیادہ دور، تار سے ہٹ کر رہیں، یہی مساوات اصل میدان کی قیمت کے قریب قریب جواب دے گی۔

---

[4] solenoid

[5] بچپن میں اندرسہ کس نے نہیں کھایا۔یہ شکل اندرسہ کی طرح ہے لہٰذا اس کتاب میں اسے اندرسہ ہی پکارا جائے گا۔اگر آپ کو مٹھائی پسند نہیں تو اسے سائیکل کے ٹائر میں موجود ٹیوب تصور کر سکتے ہیں۔

[6] toroid

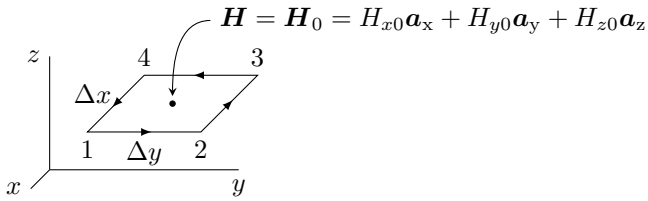

شکل 7.11: گردش کی تعریف۔

7.3 گردش

آپ کو یاد ہو گا کہ ہم نے گاؤس کے قانون کو انتہائی چھوٹے حجم پر لاگو کرتے ہوئے پھیلاو کی مساوات حاصل کی تھی۔اس حصے میں ہم ایمپیئر کے دوری قانون کو انتہائی چھوٹی بند راہ پر استعمال کرتے ہوئے گردش[7] کی مساوات حاصل کریں گے۔

کارتیسی محدد میں ہم کسی نقطے N پر Δx اور Δy اطراف کی چھوٹی بند راہ لیتے ہیں۔شکل 7.11 میں اس چھوٹی بند راہ کو دکھایا گیا ہے جو رقبہ $\Delta x \Delta y$ کو گھیرتی ہے۔یہ راہ مقناطیسی میدان $\boldsymbol{H} = H_x\boldsymbol{a}_\mathrm{x} + H_y\boldsymbol{a}_\mathrm{y} + H_z\boldsymbol{a}_\mathrm{z}$ میں پائی جاتی ہے۔شکل میں راہ پر تیر کے نشان راہ پر چلنے کی سمت کو ظاہر کرتے ہیں۔اس رقبے کے عین وسط میں نقطہ (x_0, y_0, z_0) پر مقناطیسی شدت

$$\begin{aligned}\boldsymbol{H}_0 &= H_x(x_0, y_0, z_0)\boldsymbol{a}_\mathrm{x} + H_y(x_0, y_0, z_0)\boldsymbol{a}_\mathrm{y} + H_z(x_0, y_0, z_0)\boldsymbol{a}_\mathrm{z}\\ &= H_{x0}\boldsymbol{a}_\mathrm{x} + H_{y0}\boldsymbol{a}_\mathrm{y} + H_{z0}\boldsymbol{a}_\mathrm{z}\end{aligned}$$

کے برابر ہے۔ایمپیئر کے دوری قانون کے تحت اس بند راہ کے گرد مقناطیسی شدت کا مکمل رقبہ $\Delta x \Delta y$ سے گزرتی برقی رو کے برابر ہو گا۔آئیں اس تکمل کو حاصل کریں۔ایسا کرنے کی خاطر ہم بند راہ پر 1 سے 2 کی طرف چلتے ہوئے پورا چکر کاٹیں گے۔

کارتیسی محدد میں کسی بھی چھوٹے فاصلے کو $\mathrm{d}\boldsymbol{L} = \mathrm{d}x\boldsymbol{a}_\mathrm{x} + \mathrm{d}y\boldsymbol{a}_\mathrm{y} + \mathrm{d}z\boldsymbol{a}_\mathrm{z}$ لکھا جا سکتا ہے۔شکل 7.11 میں 1 تا 2 پر $\mathrm{d}x = 0$ اور $\mathrm{d}z = 0$ ہیں لہٰذا اس چھوٹے فاصلے کو $\mathrm{d}\boldsymbol{L} = \mathrm{d}y\boldsymbol{a}_\mathrm{y}$ لکھا جا سکتا ہے۔چھوٹے چکور کا وسط (x_0, y_0, z_0) ہے۔یوں چکور کا 1 کونا $(x_0 + \frac{\Delta x}{2}, y_0 - \frac{\Delta y}{2})$ پر اور 2 کونا $(x_0 + \frac{\Delta x}{2}, y_0 + \frac{\Delta y}{2})$ پر ہو گا۔یوں راہ کے پہلے حصے 1 تا 2 پر لکیری تکمل

$$\int_{y_0-\frac{\Delta y}{2}}^{y_0+\frac{\Delta y}{2}} \left(H_x\boldsymbol{a}_\mathrm{x} + H_y\boldsymbol{a}_\mathrm{y} + H_z\boldsymbol{a}_\mathrm{z}\right) \cdot \mathrm{d}y\boldsymbol{a}_\mathrm{y} = \int_{y_0-\frac{\Delta y}{2}}^{y_0+\frac{\Delta y}{2}} H_y\,\mathrm{d}y = H_{y21} \int_{y_0-\frac{\Delta y}{2}}^{y_0+\frac{\Delta y}{2}} \mathrm{d}y = H_{y21}\Delta y$$

لکھا جا سکتا ہے جہاں 1 تا 2 پر مقناطیسی شدت کو H_y کے بجائے H_{y21} لکھتے ہوئے اور اس راہ پر مقناطیسی شدت میں تبدیلی کو نظر انداز کرتے ہوئے تکمل کے باہر لے جایا گیا۔ہمیں اس طرح کے تکمل بار بار حاصل کرنے ہوں گے لہٰذا اس پورے عمل کو ہم

$$(\boldsymbol{H} \cdot \mathrm{d}\boldsymbol{L})_{21} = H_{y21}\Delta y \tag{7.20}$$

لکھیں گے۔ہمیں رقبے کے عین وسط میں مقناطیسی شدت معلوم ہے البتہ راہ کے پہلے حصے پر ہمیں اس کے بارے میں معلومات فراہم نہیں ہے۔ایسی صورت میں ہمیں ٹیلر تسلسل[8] بروئے کار لانا ہو گا۔

---

[7] curl
[8] Taylor series

ٹیلر تسلسل

$$f(x+\delta x) = f(x) + \frac{1}{1!}\frac{\partial f}{\partial x}\delta x + \frac{1}{2!}\frac{\partial^2 f}{\partial x^2}(\delta x)^2 + \cdots$$

سے آپ بخوبی واقف ہیں جہاں $\frac{\partial f}{\partial x}$ اور دیگر تفرق کو نقطہ x پر حاصل کیا جاتا ہے۔اگر اس میں $\delta x = \frac{\Delta x}{2}$ پر کیا جائے تو اس کی نئی شکل

$$f(x+\tfrac{\Delta x}{2}) = f(x) + \frac{1}{1!}\frac{\partial f}{\partial x}\frac{\Delta x}{2} + \frac{1}{2!}\frac{\partial^2 f}{\partial x^2}\left(\frac{\Delta x}{2}\right)^2 + \cdots$$

حاصل ہوتی ہے جسے ہم اب استعمال کرتے ہیں۔

اگر نقطہ (x_0, y_0, z_0) پر تفاعل H_y کی قیمت $H_y(x_0, y_0, z_0)$ ہو تب نقطہ $(x_0 + \frac{\Delta x}{2}, y_0, z_0)$ پر اس کی قیمت مسئلہ ٹیلر سے

$$\begin{aligned} H_y(x_0 + \tfrac{\Delta x}{2}, y_0, z_0) &= H_y(x_0, y_0, z_0) + \frac{\partial H_y}{\partial x}\frac{\Delta x}{2} + \cdots \\ &= H_{y0} + \frac{\partial H_y}{\partial x}\frac{\Delta x}{2} + \cdots \end{aligned}$$

حاصل ہوتی ہے جہاں $\frac{\partial H_y}{\partial x}$ کو نقطہ (x_0, y_0, z_0) پر حاصل کیا جاتا ہے۔راہ 1 تا 2 پر مقناطیسی شدت کی قیمت ٹیلر تسلسل کے پہلے دو اجزاء سے حاصل کرتے ہوئے

$$H_{y21} \doteq H_{y0} + \frac{\partial H_y}{\partial x}\frac{\Delta x}{2} \tag{7.21}$$

لکھ کر مساوات 7.20 کو

$$(\boldsymbol{H}\cdot \mathrm{d}\boldsymbol{L})_{21} \doteq \left(H_{y0} + \frac{\partial H_y}{\partial x}\frac{\Delta x}{2}\right)\Delta y \tag{7.22}$$

لکھا جا سکتا ہے۔

مساوات 7.21 کو یوں بھی حاصل کیا جا سکتا ہے۔چھوٹے رقبے کے وسط میں x کے ساتھ H_y تبدیل ہونے کی شرح $\frac{\partial H_y}{\partial x}$ ہے۔یوں اگر x میں Δx تبدیلی پیدا ہو تب H_y میں تبدیلی تقریباً $\frac{\partial H_y}{\partial x}\Delta x$ ہو گی اور یوں اس کی نئی قیمت تقریباً $H_y + \frac{\partial H_y}{\partial x}\Delta x$ ہو گی۔اسی طرح اگر x میں $\frac{\Delta x}{2}$ تبدیلی پیدا ہو تب H_y میں تبدیلی تقریباً $\frac{\partial H_y}{\partial x}\frac{\Delta x}{2}$ ہو گی اور یوں اس کی نئی قیمت تقریباً $H_y + \frac{\partial H_y}{\partial x}\frac{\Delta x}{2}$ ہو گی۔اب رقبے کے وسط سے $+\frac{\Delta x}{2}$ فاصلے پر 1 تا 2 راہ کا درمیانہ نقطہ ہے لہٰذا یہاں

$$H_{y21} \doteq H_{y0} + \frac{\partial H_y}{\partial x}\frac{\Delta x}{2} \tag{7.23}$$

ہو گا جو عین مساوات 7.21 ہی ہے۔

راہ کے اگلے حصے یعنی 2 تا 3 یہی کچھ کرتے ہوئے

$$(\boldsymbol{H}\cdot \mathrm{d}\boldsymbol{L})_{32} = H_{x32}(-\Delta x) \doteq -\left(H_{x0} + \frac{\partial H_x}{\partial y}\frac{\Delta y}{2}\right)\Delta x \tag{7.24}$$

جبکہ 3 تا 4 پر

$$(\boldsymbol{H}\cdot \mathrm{d}\boldsymbol{L})_{43} = H_{43}(-\Delta y) \doteq -\left(H_{y0} - \frac{\partial H_y}{\partial x}\frac{\Delta x}{2}\right)\Delta y \tag{7.25}$$

اور 4 تا 1 پر

$$(\boldsymbol{H}\cdot \mathrm{d}\boldsymbol{L})_{14} = H_{x14}\Delta x \doteq \left(H_{x0} - \frac{\partial H_x}{\partial y}\frac{\Delta y}{2}\right)\Delta x \tag{7.26}$$

حاصل ہوتے ہیں۔ مساوات 7.22، مساوات 7.24، مساوات 7.25 اور مساوات 7.26 کو جمع کرتے ہوئے پورے بند راستے کا تکمل

$$\oint \boldsymbol{H}\cdot \mathrm{d}\boldsymbol{L} \doteq \left(\frac{\partial H_y}{\partial x} - \frac{\partial H_x}{\partial y}\right)\Delta x\Delta y \tag{7.27}$$

حاصل ہوتا ہے۔ اگر اس چھوٹے بند راہ کے گھیرے رقبے پر کثافت برقی رو

$$\boldsymbol{J} = J_x\boldsymbol{a}_\mathrm{x} + J_y\boldsymbol{a}_\mathrm{y} + J_z\boldsymbol{a}_\mathrm{z}$$

ہو تب اس رقبے سے $J_z\Delta x\Delta y$ برقی رو گزرے گی۔ ایمپیئر کے دوری قانون کے تحت بند راہ کا تکمل اور رقبے سے گزرتی برقی رو برابر ہوں گے یعنی

$$\oint \boldsymbol{H}\cdot \mathrm{d}\boldsymbol{L} \doteq \left(\frac{\partial H_y}{\partial x} - \frac{\partial H_x}{\partial y}\right)\Delta x\Delta y \doteq J_z\Delta x\Delta y$$

ہو گا جسے

$$\frac{\oint \boldsymbol{H}\cdot \mathrm{d}\boldsymbol{L}}{\Delta x\Delta y} \doteq \frac{\partial H_y}{\partial x} - \frac{\partial H_x}{\partial y} \doteq J_z$$

لکھا جا سکتا ہے۔ رقبے کو جتنا چھوٹا کیا جائے مندرجہ بالا مساوات اتنی ہی زیادہ درست ہو گی حتیٰ کہ $\Delta x \to 0$ اور $\Delta y \to 0$ کی صورت میں یہ مکمل طور پر درست ہو گا اور یوں مساوات میں تقریباً برابر کی علامت $\doteq$ کی جگہ بالکل برابر $=$ کی علامت استعمال کی جائے گی یعنی

$$\lim_{\substack{\Delta x\to 0\\ \Delta y\to 0}} \frac{\oint \boldsymbol{H}\cdot \mathrm{d}\boldsymbol{L}}{\Delta x\Delta y} = \frac{\partial H_y}{\partial x} - \frac{\partial H_x}{\partial y} = J_z \tag{7.28}$$

لکھا جائے گا۔

اگر ہم کارتیسی محدد کے بقایا دو محدد کے عمودی چھوٹے رقبے لیں اور مندرجہ بالا عمل دہرائیں تو ہمیں

$$\lim_{\substack{\Delta y\to 0\\ \Delta z\to 0}} \frac{\oint \boldsymbol{H}\cdot \mathrm{d}\boldsymbol{L}}{\Delta y\Delta z} = \frac{\partial H_z}{\partial y} - \frac{\partial H_y}{\partial z} = J_x \tag{7.29}$$

اور

$$\lim_{\substack{\Delta z\to 0\\ \Delta x\to 0}} \frac{\oint \boldsymbol{H}\cdot \mathrm{d}\boldsymbol{L}}{\Delta z\Delta x} = \frac{\partial H_x}{\partial z} - \frac{\partial H_z}{\partial x} = J_y \tag{7.30}$$

حاصل ہوں گے۔ مساوات 7.29 میں چھوٹے رقبے کے اطراف Δy اور Δz ہیں جس سے $J_x\Delta y\Delta z$ برقی رو گزرتی ہے۔ اسی طرح مساوات 7.30 میں چھوٹے رقبے کے اطراف Δz اور Δx ہیں جس سے $J_y\Delta z\Delta x$ برقی رو گزرتی ہے۔

ایمپیئر کے دوری قانون سے شروع کرتے ہوئے ہم نے مساوات 7.28، مساوات 7.29 اور مساوات 7.30 حاصل کئے جو مقناطیسی شدت کے بند تکمل فی اکائی رقبہ کو گھیرے گئے کثافت برقی رو کے برابر ٹھہراتے ہیں۔ کسی بھی متغیرہ کے بند تکمل فی اکائی رقبہ کو اس متغیرہ کی گردش[9] کہتے ہیں۔ انتہائی چھوٹے

[9] curl

رقبے کے گرد گردش کرتے ہوئے کسی بھی متغیرہ کے بند تکمل کو اس نقطے پر متغیرہ کے گھومنے یا گردش کی ناپ تصور کی جا سکتی ہے۔اسی لئے اس عمل کو گردش کہا جاتا ہے۔

کسی بھی سمتیہ کی گردش بھی سمتیہ ہو گی۔ گردش کا کوئی بھی جزو انتہائی چھوٹے سیدھے رقبے کے گرد سمتیہ کے بند تکمل فی یہی رقبہ کے برابر ہو گا جہاں بند تکمل کی راہ درکار جزو کے عمودی سطح میں پایا جاتا ہو اور رقبے کی قیمت صفر کے قریب سے قریب تر ہو۔ گردش کی یہ تعریف کسی بھی محدد پر مبنی نہیں ہے۔اس تعریف کی حسابی شکل

$$\boldsymbol{H}_{\text{گردش}} = \lim_{\Delta S_n \to 0} \frac{\oint \boldsymbol{H} \cdot \mathrm{d}\boldsymbol{L}}{\Delta S_n}$$

ہے جہاں $\boldsymbol{H}$ کی گردش حاصل کی گئی ہے۔اس مساوات میں ΔS_n وہ چھوٹا سیدھا رقبہ ہے جس کے گرد $\boldsymbol{H}$ کا بند تکمل حاصل کیا گیا ہے۔ گردش از خود سیدھے سطح کے عمودی ہو گا۔ رقبہ ΔS_n لکھتے ہوئے زیر نوشت میں n اسی حقیقت کی یاد دہانی کراتا ہے کہ رقبے اور گردش کے درمیان نوے درجے کا زاویہ پایا جاتا ہے۔

کارتیسی محدد میں گردش $\boldsymbol{H}$ کے x، y اور z اجزاء مساوات 7.29، مساوات 7.30 اور مساوات 7.28 بالترتیب دیتے ہیں لہٰذا

$$\boldsymbol{H}_{\text{گردش}} = \left(\frac{\partial H_z}{\partial y} - \frac{\partial H_y}{\partial z}\right)\boldsymbol{a}_{\mathrm{x}} + \left(\frac{\partial H_x}{\partial z} - \frac{\partial H_z}{\partial x}\right)\boldsymbol{a}_{\mathrm{y}} + \left(\frac{\partial H_y}{\partial x} - \frac{\partial H_x}{\partial y}\right)\boldsymbol{a}_{\mathrm{z}} = \boldsymbol{J} \tag{7.31}$$

لکھا جا سکتا ہے۔اس مساوات کو قالب کے حتمی قیمت[10] کی شکل میں

$$\boldsymbol{H}_{\text{گردش}} = \begin{vmatrix} \boldsymbol{a}_{\mathrm{x}} & \boldsymbol{a}_{\mathrm{y}} & \boldsymbol{a}_{\mathrm{z}} \\ \frac{\partial}{\partial x} & \frac{\partial}{\partial y} & \frac{\partial}{\partial z} \\ H_x & H_y & H_z \end{vmatrix} = \boldsymbol{J} \tag{7.32}$$

لکھا جا سکتا ہے۔صفحہ 81 پر مساوات 3.29 نیبلا ∇ کے عمل کو بیان کرتا ہے جسے یہاں دوبارہ پیش کرتے ہیں

$$\nabla = \frac{\partial}{\partial x}\boldsymbol{a}_{\mathrm{x}} + \frac{\partial}{\partial y}\boldsymbol{a}_{\mathrm{y}} + \frac{\partial}{\partial z}\boldsymbol{a}_{\mathrm{z}}$$

اور صفحہ 15 پر مساوات 1.19 دو سمتیات کا سمتی ضرب دیتا ہے۔ان سے گردش نہایت خوبصورتی سے

$$\boldsymbol{H}_{\text{گردش}} = \nabla \times \boldsymbol{H} \tag{7.33}$$

لکھی جا سکتی ہے۔آپ جلد دیکھیں گے کہ صرف کارتیسی محدد میں ہی گردش ∇ اور $\boldsymbol{H}$ کے صلیبی ضرب سے حاصل ہوتا ہے۔اس کے باوجود کسی بھی محدد میں گردش کو $\nabla \times \boldsymbol{H}$ سے ہی ظاہر کیا جاتا ہے۔یوں کارتیسی محدد میں H کی گردش یوں لکھی جائے گی۔

$$\nabla \times \boldsymbol{H} = \left(\frac{\partial H_z}{\partial y} - \frac{\partial H_y}{\partial z}\right)\boldsymbol{a}_{\mathrm{x}} + \left(\frac{\partial H_x}{\partial z} - \frac{\partial H_z}{\partial x}\right)\boldsymbol{a}_{\mathrm{y}} + \left(\frac{\partial H_y}{\partial x} - \frac{\partial H_x}{\partial y}\right)\boldsymbol{a}_{\mathrm{z}} \tag{7.34}$$

ایمپیئر کے دوری قانون کی نقطہ شکل

$$\nabla \times \boldsymbol{H} = \boldsymbol{J} \tag{7.35}$$

[10] determinant

لکھی جا سکتی ہے جو میکس ویل کی دوسری مساوات ہے جو وقت کے ساتھ تبدیل نہ ہوتے میدان کے لئے درست ہے۔ یہاں میکس ویل کے تیسری مساوات کا بھی ذکر کر لیتے ہیں جو $\oint \boldsymbol{E} \cdot \mathrm{d}\boldsymbol{L}$ کی نقطہ شکل

$$\nabla \times \boldsymbol{E} = 0 \tag{7.36}$$

ہے۔ میکس ویل کے چوتھی مساوات پر اس کتاب میں آگے غور کیا جائے گا۔

آپ جانتے ہیں کہ ساکن برقی میدان بقائی میدان ہے لہٰذا اس میں چارج q کو کسی بھی بند راہ پر پورا چکر گھمانے کے لئے صفر توانائی درکار ہو گی۔ یوں $q \oint \boldsymbol{E} \cdot \mathrm{d}\boldsymbol{L}$ صفر کے برابر ہو گا جس سے $\boldsymbol{E}$ کا گردش بھی صفر ہو گا۔ مساوات 7.36 یہی کہتا ہے۔ اس کے برعکس وقت کے ساتھ غیر تغیر پذیر مقناطیسی میدان غیر بقائی میدان ہے جس میں چارج کو برقی رو گھیرتی کسی بھی بند راہ پر پورا چکر گھمانے کے لئے توانائی درکار ہو گی۔ اسی لئے اس کا گردش صفر نہیں ہو گا۔ مساوات 7.35 یہی کہتا ہے۔

مشق 7.1: گردش یعنی $\nabla \times \boldsymbol{H}$ کو

$$\left(\frac{\partial}{\partial x}\boldsymbol{a}_{\mathrm{x}} + \frac{\partial}{\partial y}\boldsymbol{a}_{\mathrm{y}} + \frac{\partial}{\partial z}\boldsymbol{a}_{\mathrm{z}}\right) \times \left(H_x\boldsymbol{a}_{\mathrm{x}} + H_y\boldsymbol{a}_{\mathrm{y}} + H_z\boldsymbol{a}_{\mathrm{z}}\right)$$

لکھ کر سمتی ضرب سے مساوات 7.31 حاصل کریں۔

مشق 7.2: اگر $\boldsymbol{H} = (x^2y + 2z)\boldsymbol{a}_{\mathrm{x}} + (xz - y)\boldsymbol{a}_{\mathrm{y}} + (e^x yz)\boldsymbol{a}_{\mathrm{z}}$ تب $\nabla \times \boldsymbol{H}$ کیا ہو گا اور اس کی قیمت نقطہ $(0,1,2)$ پر کیا ہو گی۔

جوابات: $\nabla \times \boldsymbol{H} = (e^x z - x)\boldsymbol{a}_{\mathrm{x}} + (2 - e^x yz)\boldsymbol{a}_{\mathrm{y}} + (z - x^2)\boldsymbol{a}_{\mathrm{z}}$ اور نقطے پر گردش کی قیمت $2\boldsymbol{a}_{\mathrm{x}} + 2\boldsymbol{a}_{\mathrm{z}}$ ہو گی۔

مثال 7.1: سمتیہ $\boldsymbol{A} = A_x\boldsymbol{a}_{\mathrm{x}} + A_y\boldsymbol{a}_{\mathrm{y}} + A_z\boldsymbol{a}_{\mathrm{z}}$ کے گردش کی گردش یعنی $\nabla \times \nabla \times \boldsymbol{A}$ حاصل کریں۔

حل: مساوات 7.34 سے

$$\nabla \times \boldsymbol{A} = \left(\frac{\partial A_z}{\partial y} - \frac{\partial A_y}{\partial z}\right)\boldsymbol{a}_{\mathrm{x}} + \left(\frac{\partial A_x}{\partial z} - \frac{\partial A_z}{\partial x}\right)\boldsymbol{a}_{\mathrm{y}} + \left(\frac{\partial A_y}{\partial x} - \frac{\partial A_x}{\partial y}\right)\boldsymbol{a}_{\mathrm{z}} \tag{7.37}$$

لکھتے ہیں۔ مساوات 7.34 دوبارہ استعمال کرتے ہوئے

$$\begin{aligned}\nabla\times\nabla\times\boldsymbol{A}=&\left[\frac{\partial}{\partial y}\left(\frac{\partial A_y}{\partial x}-\frac{\partial A_x}{\partial y}\right)-\frac{\partial}{\partial z}\left(\frac{\partial A_x}{\partial z}-\frac{\partial A_z}{\partial x}\right)\right]\boldsymbol{a}_{\mathrm{x}}\\&+\left[\frac{\partial}{\partial z}\left(\frac{\partial A_z}{\partial y}-\frac{\partial A_y}{\partial z}\right)-\frac{\partial}{\partial x}\left(\frac{\partial A_y}{\partial x}-\frac{\partial A_x}{\partial y}\right)\right]\boldsymbol{a}_{\mathrm{y}}\\&+\left[\frac{\partial}{\partial x}\left(\frac{\partial A_x}{\partial z}-\frac{\partial A_z}{\partial x}\right)-\frac{\partial}{\partial y}\left(\frac{\partial A_z}{\partial y}-\frac{\partial A_y}{\partial z}\right)\right]\boldsymbol{a}_{\mathrm{z}}\end{aligned}$$

تمام تفرق حاصل کرتے ہوئے

$$\begin{aligned}\nabla\times\nabla\times\boldsymbol{A}=&\left[\frac{\partial^2 A_y}{\partial y\partial x}-\frac{\partial^2 A_x}{\partial y^2}-\frac{\partial^2 A_x}{\partial z^2}+\frac{\partial^2 A_z}{\partial z\partial x}\right]\boldsymbol{a}_{\mathrm{x}}\\&+\left[\frac{\partial^2 A_z}{\partial z\partial y}-\frac{\partial^2 A_y}{\partial z^2}-\frac{\partial^2 A_y}{\partial x^2}+\frac{\partial^2 A_x}{\partial x\partial y}\right]\boldsymbol{a}_{\mathrm{y}}\\&+\left[\frac{\partial^2 A_x}{\partial x\partial z}-\frac{\partial^2 A_z}{\partial x^2}-\frac{\partial^2 A_z}{\partial y^2}+\frac{\partial^2 A_y}{\partial y\partial z}\right]\boldsymbol{a}_{\mathrm{z}}\end{aligned}$$

اس مساوات کے پہلے جزو میں $\mp\frac{\partial^2 A_x}{\partial x^2}$، دوسرے جزو میں $\mp\frac{\partial^2 A_y}{\partial y^2}$ اور تیسرے میں $\mp\frac{\partial^2 A_z}{\partial z^2}$ شامل کرتے ہوئے ذرہ مختلف ترتیب سے لکھتے ہیں۔

$$\begin{aligned}\nabla\times\nabla\times\boldsymbol{A}=&\left[\frac{\partial^2 A_x}{\partial x^2}+\frac{\partial^2 A_y}{\partial y\partial x}+\frac{\partial^2 A_z}{\partial z\partial x}\right]\boldsymbol{a}_{\mathrm{x}}-\left[\frac{\partial^2 A_x}{\partial x^2}+\frac{\partial^2 A_x}{\partial y^2}+\frac{\partial^2 A_x}{\partial z^2}\right]\boldsymbol{a}_{\mathrm{x}}\\&+\left[\frac{\partial^2 A_x}{\partial x\partial y}+\frac{\partial^2 A_y}{\partial y^2}+\frac{\partial^2 A_z}{\partial z\partial y}\right]\boldsymbol{a}_{\mathrm{y}}-\left[\frac{\partial^2 A_y}{\partial x^2}+\frac{\partial^2 A_y}{\partial y^2}+\frac{\partial^2 A_y}{\partial z^2}\right]\boldsymbol{a}_{\mathrm{y}}\\&+\left[\frac{\partial^2 A_x}{\partial x\partial z}+\frac{\partial^2 A_y}{\partial y\partial z}+\frac{\partial^2 A_z}{\partial z^2}\right]\boldsymbol{a}_{\mathrm{z}}-\left[\frac{\partial^2 A_z}{\partial x^2}+\frac{\partial^2 A_z}{\partial y^2}+\frac{\partial^2 A_z}{\partial z^2}\right]\boldsymbol{a}_{\mathrm{z}}\end{aligned}\tag{7.38}$$

یہاں رک کر $\boldsymbol{A}$ کے پھیلاو کی ڈھلوان یعنی $\nabla(\nabla\cdot\boldsymbol{A})$ حاصل کرتے ہیں۔ پھیلاو

$$\nabla\cdot\boldsymbol{A}=\frac{\partial A_x}{\partial x}+\frac{\partial A_y}{\partial y}+\frac{\partial A_z}{\partial z}$$

استعمال کرتے ہوئے

$$\begin{aligned}\nabla(\nabla\cdot\boldsymbol{A})=&\left(\frac{\partial^2 A_x}{\partial x^2}+\frac{\partial^2 A_y}{\partial x\partial y}+\frac{\partial^2 A_z}{\partial x\partial z}\right)\boldsymbol{a}_{\mathrm{x}}\\&+\left(\frac{\partial^2 A_x}{\partial y\partial x}+\frac{\partial^2 A_y}{\partial y^2}+\frac{\partial^2 A_z}{\partial y\partial z}\right)\boldsymbol{a}_{\mathrm{y}}\\&+\left(\frac{\partial^2 A_x}{\partial z\partial x}+\frac{\partial^2 A_y}{\partial z\partial y}+\frac{\partial^2 A_z}{\partial z^2}\right)\boldsymbol{a}_{\mathrm{z}}\end{aligned}\tag{7.39}$$

حاصل ہوتا ہے۔ اگر ہم

$$\begin{aligned}\nabla^2\boldsymbol{A}&\equiv\nabla^2 A_x\boldsymbol{a}_{\mathrm{x}}+\nabla^2 A_y\boldsymbol{a}_{\mathrm{y}}+\nabla^2 A_z\boldsymbol{a}_{\mathrm{z}}\\&=\left(\frac{\partial^2 A_x}{\partial x^2}+\frac{\partial^2 A_x}{\partial y^2}+\frac{\partial^2 A_x}{\partial z^2}\right)\boldsymbol{a}_{\mathrm{x}}+\left(\frac{\partial^2 A_y}{\partial x^2}+\frac{\partial^2 A_y}{\partial y^2}+\frac{\partial^2 A_y}{\partial z^2}\right)\boldsymbol{a}_{\mathrm{y}}+\left(\frac{\partial^2 A_z}{\partial x^2}+\frac{\partial^2 A_z}{\partial y^2}+\frac{\partial^2 A_z}{\partial z^2}\right)\boldsymbol{a}_{\mathrm{z}}\end{aligned}\tag{7.40}$$

لکھیں تب مندرجہ بالا دو مساوات کی مدد سے مساوات 7.38 کو یوں لکھا جا سکتا ہے۔

$$\nabla \times \nabla \times \boldsymbol{A} \equiv \nabla (\nabla \cdot \boldsymbol{A}) - \nabla^2 \boldsymbol{A} \tag{7.41}$$

مساوات 7.40 سمتیہ کی لاپلاسی[11] ہے۔

مثال 7.2: سمتیہ $\boldsymbol{S}$ اور مقداری M کے حاصل ضرب کی گردش کے لئے ثابت کریں کہ

$$\nabla \times (M\boldsymbol{S}) \equiv (\nabla M) \times \boldsymbol{S} + M (\nabla \times \boldsymbol{S}) \tag{7.42}$$

کے برابر ہے۔

حل: سمتیہ اور مقداری کے حاصل ضرب کو

$$M\boldsymbol{S} = M \left(S_x \boldsymbol{a}_{\mathrm{x}} + S_y \boldsymbol{a}_{\mathrm{y}} + S_z \boldsymbol{a}_{\mathrm{z}} \right) = MS_x \boldsymbol{a}_{\mathrm{x}} + MS_y \boldsymbol{a}_{\mathrm{y}} + MS_z \boldsymbol{a}_{\mathrm{z}}$$

لکھتے ہوئے اس کی گردش مساوات 7.34 کی طرح لکھ کر

$$\nabla \times M\boldsymbol{S} = \left(\frac{\partial MS_z}{\partial y} - \frac{\partial MS_y}{\partial z} \right) \boldsymbol{a}_{\mathrm{x}} + \left(\frac{\partial MS_x}{\partial z} - \frac{\partial MS_z}{\partial x} \right) \boldsymbol{a}_{\mathrm{y}} + \left(\frac{\partial MS_y}{\partial x} - \frac{\partial MS_x}{\partial y} \right) \boldsymbol{a}_{\mathrm{z}}$$

تفرق کھولتے ہیں۔

$$\begin{aligned} \nabla \times M\boldsymbol{S} = & \left(\frac{\partial M}{\partial y} S_z + M \frac{\partial S_z}{\partial y} - \frac{\partial M}{\partial z} S_y - M \frac{\partial S_y}{\partial z} \right) \boldsymbol{a}_{\mathrm{x}} \\ & + \left(\frac{\partial M}{\partial z} S_x + M \frac{\partial S_x}{\partial z} - \frac{\partial M}{\partial x} S_z - M \frac{\partial S_z}{\partial x} \right) \boldsymbol{a}_{\mathrm{y}} \\ & + \left(\frac{\partial M}{\partial x} S_y + M \frac{\partial S_y}{\partial x} - \frac{\partial M}{\partial y} S_x - M \frac{\partial S_x}{\partial y} \right) \boldsymbol{a}_{\mathrm{z}} \end{aligned}$$

اس کو یوں ترتیب دیتے ہیں

$$\begin{aligned} \nabla \times M\boldsymbol{S} = & \left[\left(\frac{\partial M}{\partial y} S_z - \frac{\partial M}{\partial z} S_y \right) \boldsymbol{a}_{\mathrm{x}} + \left(\frac{\partial M}{\partial z} S_x - \frac{\partial M}{\partial x} S_z \right) \boldsymbol{a}_{\mathrm{y}} + \left(\frac{\partial M}{\partial x} S_y - \frac{\partial M}{\partial y} S_x \right) \boldsymbol{a}_{\mathrm{z}} \right] \\ & + M \left[\left(\frac{\partial S_z}{\partial y} - \frac{\partial S_y}{\partial z} \right) \boldsymbol{a}_{\mathrm{x}} + \left(\frac{\partial S_x}{\partial z} - \frac{\partial S_z}{\partial x} \right) \boldsymbol{a}_{\mathrm{y}} + \left(\frac{\partial S_y}{\partial x} - \frac{\partial S_x}{\partial y} \right) \boldsymbol{a}_{\mathrm{z}} \right] \end{aligned}$$

اس مساوات کا دوسرا جزو $M(\nabla \times \boldsymbol{S})$ کے برابر ہے جبکہ اس کا پہلا جزو $(\nabla M) \times \boldsymbol{S}$ کے برابر ہے جسے

$$(\nabla M) \times \boldsymbol{S} = \left(\frac{\partial M}{\partial x} \boldsymbol{a}_{\mathrm{x}} + \frac{\partial M}{\partial y} \boldsymbol{a}_{\mathrm{y}} + \frac{\partial M}{\partial z} \boldsymbol{a}_{\mathrm{z}} \right) \times \left(S_x \boldsymbol{a}_{\mathrm{x}} + S_y \boldsymbol{a}_{\mathrm{y}} + S_z \boldsymbol{a}_{\mathrm{z}} \right)$$

---

[11] vector Laplacian

لکھ کر صلیبی ضرب کے بعد ترتیب دینے سے

$$(\nabla M)\times \boldsymbol{S}=\left(\frac{\partial M}{\partial y}S_z-\frac{\partial M}{\partial z}S_y\right)\boldsymbol{a}_{\mathrm{x}}+\left(\frac{\partial M}{\partial z}S_x-\frac{\partial M}{\partial x}S_z\right)\boldsymbol{a}_{\mathrm{y}}+\left(\frac{\partial M}{\partial x}S_y-\frac{\partial M}{\partial y}S_x\right)\boldsymbol{a}_{\mathrm{z}}$$

حاصل کیا جا سکتا ہے۔

7.3.1 نلکی محدد میں گردش

نلکی محدد میں J_z کثافت برقی رو کے عمودی سطح پر چھوٹا رقبہ لیتے ہیں جسے شکل 7.12 میں دکھایا گیا ہے۔ایسے رقبے کے اطراف $\Delta\rho$ اور $\rho\Delta\phi$ ہوں گے جبکہ اس سطح پر z کی قیمت تبدیل نہیں ہو گی۔اس رقبے کے وسط میں

$$\boldsymbol{H}_0(\rho_0,\phi_0,z_0)=H_{\rho 0}\boldsymbol{a}_\rho+H_{\phi 0}\boldsymbol{a}_\phi+H_{z0}\boldsymbol{a}_{\mathrm{z}}$$

ہو گا۔کارتیسی محدد میں رقبے کے وسط سے $+\frac{\Delta x}{2}$ اور $-\frac{\Delta x}{2}$ فاصلے پر اطراف کی لمبائیاں عین برابر تھیں۔نلکی محدد میں رقبے کے وسط سے $+\frac{\Delta\rho}{2}$ فاصلے پر طرف کی لمبائی $(\rho_0+\frac{\Delta\rho}{2})\Delta\phi$ جبکہ وسط سے $-\frac{\Delta\rho}{2}$ فاصلے پر طرف کی لمبائی $(\rho_0-\frac{\Delta\rho}{2})\Delta\phi$ ہے۔انہیں اطراف پر مقناطیسی شدت بالترتیب

$$H_{\phi 21}\doteq H_{\phi 0}+\frac{\partial H_\phi}{\partial\rho}\frac{\Delta\rho}{2}$$

اور

$$H_{\phi 43}\doteq H_{\phi 0}-\frac{\partial H_\phi}{\partial\rho}\frac{\Delta\rho}{2}$$

ہو گی جہاں $\frac{\partial H_\phi}{\partial\rho}$ چھوٹے رقبے کے وسط میں حاصل کیا جائے گا۔یوں 1 سے 2 جانب چھوٹے رقبے کے گرد چکر کاٹتے ہوئے ان دو اطراف پر تکمل

$$\begin{aligned}(\boldsymbol{H}\cdot\mathrm{d}\boldsymbol{L})_{21}&\doteq\left(H_{\phi 0}+\frac{\partial H_\phi}{\partial\rho}\frac{\Delta\rho}{2}\right)\left(\rho_0+\frac{\Delta\rho}{2}\right)\Delta\phi\\&\doteq\left[H_{\phi 0}\rho_0+H_{\phi 0}\frac{\Delta\rho}{2}+\rho_0\frac{\partial H_\phi}{\partial\rho}\frac{\Delta\rho}{2}+\frac{\partial H_\phi}{\partial\rho}\left(\frac{\Delta\rho}{2}\right)^2\right]\Delta\phi\end{aligned}$$

اور

$$\begin{aligned}(\boldsymbol{H}\cdot\mathrm{d}\boldsymbol{L})_{43}&\doteq\left(H_{\phi 0}-\frac{\partial H_\phi}{\partial\rho}\frac{\Delta\rho}{2}\right)\left[-\left(\rho_0-\frac{\Delta\rho}{2}\right)\Delta\phi\right]\\&\doteq\left[-H_{\phi 0}\rho_0+H_{\phi 0}\frac{\Delta\rho}{2}+\rho_0\frac{\partial H_\phi}{\partial\rho}\frac{\Delta\rho}{2}-\frac{\partial H_\phi}{\partial\rho}\left(\frac{\Delta\rho}{2}\right)^2\right]\Delta\phi\end{aligned}$$

ہوں گے۔

چھوٹے رقبے کے وسط سے $+\frac{\Delta\phi}{2}$ یا $-\frac{\Delta\phi}{2}$ پر اطراف $\Delta\rho$ لمبائی رکھتے ہیں جبکہ ان پر اوسط شدت بالترتیب

$$H_{\phi 32}\doteq H_{\rho 0}+\frac{\partial H_\rho}{\partial\phi}\frac{\Delta\phi}{2}$$

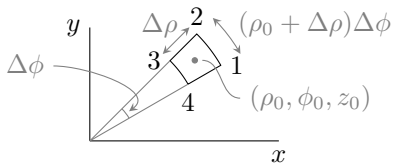

شکل 7.12: نلکی محدد میں چھوتا رقبہ۔

اور

$$H_{\phi 14} \doteq H_{\rho 0} - \frac{\partial H_\rho}{\partial \phi}\frac{\Delta\phi}{2}$$

ہیں۔یوں ان اطراف پر تکمل

$$(\boldsymbol{H}\cdot \mathrm{d}\boldsymbol{L})_{32} \doteq \left(H_{\rho 0} + \frac{\partial H_\rho}{\partial \phi}\frac{\Delta\phi}{2}\right)(-\Delta\rho)$$

اور

$$(\boldsymbol{H}\cdot \mathrm{d}\boldsymbol{L})_{14} \doteq \left(H_{\rho 0} - \frac{\partial H_\rho}{\partial \phi}\frac{\Delta\phi}{2}\right)\Delta\rho$$

ہوں گے۔

یوں پورا تکمل ان چار جوابات کا مجموعہ

$$\oint \boldsymbol{H}\cdot \mathrm{d}\boldsymbol{L} \doteq \left(H_{\phi 0} + \rho_0\frac{\partial H_\phi}{\partial \rho} - \frac{\partial H_\rho}{\partial \phi}\right)\Delta\rho\Delta\phi \tag{7.43}$$

ہو گا۔اس چھوٹے رقبے سے $J_z\rho_0\Delta\rho\Delta\phi$ برقی رو گزرے گی۔یوں ایمپیئر کے دوری قانون سے

$$\oint \boldsymbol{H}\cdot \mathrm{d}\boldsymbol{L} \doteq \left(H_{\phi 0} + \rho_0\frac{\partial H_\phi}{\partial \rho} - \frac{\partial H_\rho}{\partial \phi}\right)\Delta\rho\Delta\phi \doteq J_z\rho_0\Delta\rho\Delta\phi$$

یعنی

$$\frac{\oint \boldsymbol{H}\cdot \mathrm{d}\boldsymbol{L}}{\rho_0\Delta\rho\Delta\phi} \doteq \left(\frac{H_{\phi 0}}{\rho_0} + \frac{\partial H_\phi}{\partial \rho} - \frac{1}{\rho_0}\frac{\partial H_\rho}{\partial \phi}\right) \doteq J_z$$

لکھا جا سکتا ہے۔اگر $\Delta\rho$ اور $\Delta\phi$ کو کم سے کم کرتے ہوئے صفر کے قریب تر کر دیا جائے تب مندرجہ بالا مساوات بالکل درست ہو گا اور تقریباً برابر کی علامت $\doteq$ کی جگہ برابر کی علامت $=$ استعمال کی جائے گی۔اس طرح گردش کا پہلا جزو

$$\lim_{\substack{\Delta\rho\to 0\\ \Delta\phi\to 0}} \frac{\oint \boldsymbol{H}\cdot \mathrm{d}\boldsymbol{L}}{\rho_0\Delta\rho\Delta\phi} = \left(\frac{H_{\phi 0}}{\rho_0} + \frac{\partial H_\phi}{\partial \rho} - \frac{1}{\rho_0}\frac{\partial H_\rho}{\partial \phi}\right) = J_z \tag{7.44}$$

لکھا جا سکتا ہے۔

اس سے پہلے کہ ہم گردش کے بقایا دو اجزاء بھی حاصل کریں، آئیں مساوات 7.43 کو قدر مختلف اور بہتر طریقے سے حاصل کریں۔شکل 7.13-الف کو دیکھتے ہوئے آگے پڑھیں۔اگر ہم کسی نقطے کے $-\frac{\Delta\phi}{2}$ سے نقطے کے $+\frac{\Delta\phi}{2}$ تک حرکت کریں تو ہم $\rho\Delta\phi$ فاصلہ طے کریں گے۔اس راہ پر تکمل تقریباً

$$\boldsymbol{H}\cdot \mathrm{d}\boldsymbol{L} = H_\phi\rho\Delta\phi$$

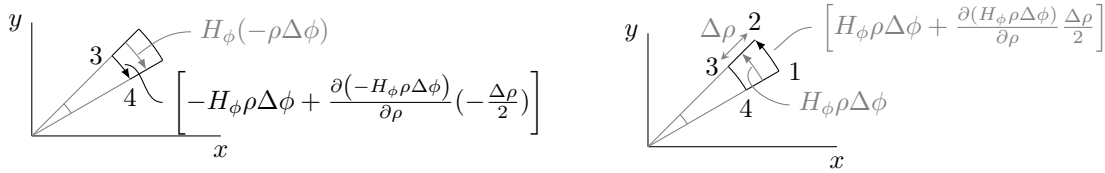

(ا) چھوٹے رقبے کے وسط پر تکمل کے قیمت سے بیرونی زاویائی تکمل کی قیمت کا حصول۔ (ب) چھوٹے رقبے کے وسط پر تکمل کے قیمت سے اندرونی زاویائی تکمل کی قیمت کا حصول۔

شکل 7.13: زاویائی حصول پر تکمل کے قیمت کے حصول کا بہتر طریقہ۔

کے برابر ہو گا۔اس تکمل کو تفاعل g تصور کرتے ہوئے یعنی $g = H_\phi\rho\Delta\phi$ لیتے ہوئے ہم دیکھتے ہیں کہ اگر ہم چھوٹے رقبے کے وسط سے رداسی سمت میں $+\frac{\Delta\rho}{2}$ حرکت کریں تو اس تفاعل کی قیمت میں تبدیلی

$$\Delta(\boldsymbol{H}\cdot \mathrm{d}\boldsymbol{L}) = \frac{\partial g}{\partial\rho}\frac{\Delta\rho}{2} = \frac{\partial(H_\phi\rho\Delta\phi)}{\partial\rho}\frac{\Delta\rho}{2}$$

لکھی جا سکتی ہے جہاں $\frac{\partial(H_\phi\rho\Delta\phi)}{\partial\rho}$ کو چھوٹے رقبے کے وسط پر حاصل کیا جاتا ہے جہاں رداس ρ_0 کے برابر ہے۔چونکہ چھوٹے رقبے کے عین وسط پر اس تکمل کی قیمت $H_{\phi 0}\rho_0\Delta\phi$ کے برابر ہے لہٰذا وسط سے $\frac{\Delta\rho}{2}$ فاصلے پر تکمل کی قیمت

$$\boldsymbol{H}\cdot \mathrm{d}\boldsymbol{L}_{21} = H_\phi\rho\Delta\phi + \frac{\partial(H_\phi\rho\Delta\phi)}{\partial\rho}\frac{\Delta\rho}{2} \tag{7.45}$$

ہو گی۔اسی طرح، جیسا شکل 7.13-ب میں دکھایا گیا ہے، اگر ہم کسی نقطے کے $+\frac{\Delta\phi}{2}$ سے نقطے کے $-\frac{\Delta\phi}{2}$ تک حرکت کریں تو اس راہ پر تکمل

$$\boldsymbol{H}\cdot \mathrm{d}\boldsymbol{L} = H_\phi(-\rho\Delta\phi)$$

کے برابر ہو گا۔اگر اس نقطے کو چھوٹے رقبے کا وسط تصور کیا جائے تب وسط سے $-\frac{\Delta\rho}{2}$ فاصلے پر یہی تکمل

$$\begin{aligned}\boldsymbol{H}\cdot \mathrm{d}\boldsymbol{L}_{43} &= -H_\phi\rho\Delta\phi + \frac{\partial(-H_\phi\rho\Delta\phi)}{\partial\rho}\left(-\frac{\Delta\rho}{2}\right)\\ &= -H_\phi\rho\Delta\phi + \frac{\partial(H_\phi\rho\Delta\phi)}{\partial\rho}\frac{\Delta\rho}{2}\end{aligned} \tag{7.46}$$

ہو گا۔ 2142

اسی طرح، جیسے شکل 7.14-الف میں دکھایا گیا ہے، کسی بھی نقطے پر $-\frac{\Delta\rho}{2}$ تا $+\frac{\Delta\rho}{2}$ حرکت کرتے ہوئے تکمل کی قیمت $H_\rho\Delta\rho$ ہو گی۔اس نقطے سے $-\frac{\Delta\phi}{2}$ پر تکمل کی قیمت میں تبدیلی رونما ہو گی جسے

$$\Delta(\boldsymbol{H}\cdot \mathrm{d}\boldsymbol{L}) = \frac{\partial(H_\rho\Delta\rho)}{\partial\phi}\left(-\frac{\Delta\phi}{2}\right)$$

لکھا جا سکتا ہے اور یوں تکمل کی نئی قیمت

$$\boldsymbol{H}\cdot \mathrm{d}\boldsymbol{L} = H_\rho\Delta\rho - \frac{\partial(H_\rho\Delta\rho)}{\partial\phi}\frac{\Delta\phi}{2}$$

ہو گی۔اگر چھوٹے رقبے کے عین وسط کو یہی نقطہ تصور کیا جائے تب مندرجہ بالا مساوات 4 تا 1 پر تکمل دیتا ہے یعنی

$$\boldsymbol{H}\cdot \mathrm{d}\boldsymbol{L}_{14} = H_\rho\Delta\rho - \frac{\partial(H_\rho\Delta\rho)}{\partial\phi}\frac{\Delta\phi}{2} \tag{7.47}$$

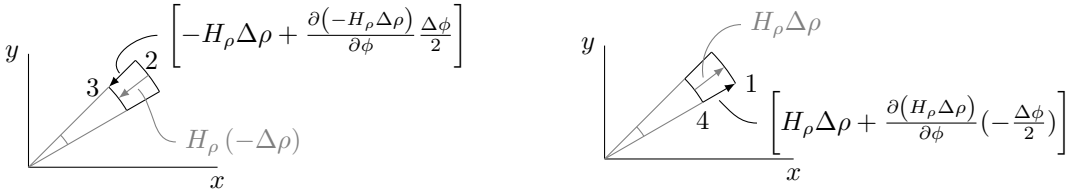

(ا) چھوٹے رقبے کے وسط پر رداسی تکمل کے قیمت سے کم زاویہ پر تکمل کی قیمت کا حصول۔ (ب) چھوٹے رقبے کے وسط پر رداسی تکمل کے قیمت سے زیادہ زاویہ پر تکمل کی قیمت کا حصول۔

شکل 7.14: رداسی حصوں پر تکمل کے قیمت کے حصول کا بہتر طریقہ۔

اسی طرح، جیسے شکل 7.14-ب میں دکھایا گیا ہے، کسی بھی نقطے پر $+\frac{\Delta\rho}{2}$ تا $-\frac{\Delta\rho}{2}$ حرکت کرتے ہوئے تکمل کی قیمت

$$\boldsymbol{H}\cdot\mathrm{d}\boldsymbol{L} = H_\rho(-\Delta\rho)$$

ہو گی۔اس نقطے کو چھوٹے رقبے کا وسط تصور کرتے ہوئے وسط سے $+\frac{\Delta\phi}{2}$ پر یہی تکمل

$$\boldsymbol{H}\cdot\mathrm{d}\boldsymbol{L}_{32} = -H_\rho\Delta\rho - \frac{\partial(H_\rho\Delta\rho)}{\partial\phi}\frac{\Delta\phi}{2} \tag{7.48}$$

کے برابر ہو گا۔ 2143

مساوات 7.45، مساوات 7.46، مساوات 7.47 اور مساوات 7.48 کا مجموعہ چھوٹے رقبے کے گرد پورا تکمل دیتا ہے یعنی

$$\begin{aligned}\oint \boldsymbol{H}\cdot\mathrm{d}\boldsymbol{L} &= \frac{\partial(H_\phi\rho\Delta\phi)}{\partial\rho}\Delta\rho - \frac{\partial(H_\rho\Delta\rho)}{\partial\phi}\Delta\phi\\ &= \left[\frac{\partial(H_\phi\rho)}{\partial\rho} - \frac{\partial H_\rho}{\partial\phi}\right]\Delta\rho\Delta\phi\end{aligned} \tag{7.49}$$

جہاں تفرق رقبے کے وسط پر حاصل کئے جاتے ہیں۔اس مساوات کو یوں بھی لکھا جا سکتا ہے

$$\oint \boldsymbol{H}\cdot\mathrm{d}\boldsymbol{L} = \left[H_{\phi 0} + \rho_0\frac{\partial H_\phi}{\partial\rho} - \frac{\partial H_\rho}{\partial\phi}\right]\Delta\rho\Delta\phi$$

جو بالکل مساوات 7.43 ہی ہے۔یاد رہے کہ $\frac{\partial(H_\phi\rho)}{\partial\rho}$ کو اجزاء کی صورت میں لکھتے ہوئے رقبے کے وسط کی قیمتیں پر کی جاتی ہیں۔یوں رداس ρ_0 اور مقناطیسی شدت $H_{\phi 0}$ کے برابر ہوں گے۔مساوات 7.49 سے گردش

$$\lim_{\substack{\Delta\rho\to 0\\ \Delta\phi\to 0}} \frac{\oint \boldsymbol{H}\cdot\mathrm{d}\boldsymbol{L}}{\Delta\rho\rho\Delta\phi} = \left[\frac{1}{\rho}\frac{\partial(H_\phi\rho)}{\partial\rho} - \frac{1}{\rho}\frac{\partial H_\rho}{\partial\phi}\right] = J_z \tag{7.50}$$

آئیں اب نلکی محدد میں گردش کے بقایا دو اجزاء بھی حاصل کریں۔گردش کا رداسی جزو حاصل کرنے کی خاطر ہم $\rho = \rho_0$ سطح پر چھوٹا رقبہ لیتے ہیں جس کے اطراف Δz اور $\rho_0\Delta\phi$ لمبائی رکھیں گے۔اس رقبے کو شکل 7.15-الف میں دکھایا گیا ہے۔اس پر 1 سے 2 جانب گھومتے ہوئے کا لکیری تکمل حاصل کیا جائے گا۔مستقل رداس کے سطح پر کسی بھی نقطے کے قریب $-\frac{\Delta z}{2}$ تا $+\frac{\Delta z}{2}$ چلتے ہوئے تکمل $H_z\Delta z$ حاصل ہوتا ہے۔اس نقطے سے $+\frac{\Delta\phi}{2}$ زاویہ پر اس تکمل کی قیمت ٹیلر تسلسل سے

$$\boldsymbol{H}\cdot\mathrm{d}\boldsymbol{L}_{21} = H_z\Delta z + \frac{\partial(H_z\Delta z)}{\partial\phi}\left(+\frac{\Delta\phi}{2}\right)$$

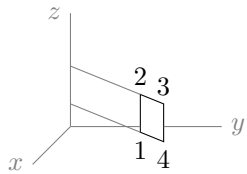

(ب) نلکی محدد میں شدت کا زاویائی جزو حاصل کرنے کے لئے چھوٹا رقبہ۔

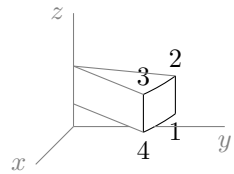

(ا) نلکی محدد میں شدت کا رداسی جزو حاصل کرنے کے لئے چھوٹا رقبہ۔

شکل 7.15: نلکی محدد میں گردش کے رداسی اور زاویائی اجزاء کے رقبے۔

حاصل ہوتی ہے۔اسی طرح نقطے کے قریب $+\frac{\Delta z}{2}$ تا $-\frac{\Delta z}{2}$ چلتے ہوئے تکمل $-H_z\Delta z$ جبکہ نقطے سے $-\frac{\Delta\phi}{2}$ زاویہ پر

$$\boldsymbol{H}\cdot \mathrm{d}\boldsymbol{L}_{43} = -H_z\Delta z + \frac{\partial(-H_z\Delta z)}{\partial\phi}\left(-\frac{\Delta\phi}{2}\right)$$

حاصل ہوتا ہے۔ان دو جوابات سے رقبے کے z اطراف کا تکمل

$$\boldsymbol{H}\cdot \mathrm{d}\boldsymbol{L}_{21} + \boldsymbol{H}\cdot \mathrm{d}\boldsymbol{L}_{43} = +\frac{\partial H_z}{\partial\phi}\Delta z\Delta\phi \tag{7.51}$$

حاصل ہوتا ہے۔کسی بھی نقطے کے قریب $-\frac{\Delta\phi}{2}$ تا $+\frac{\Delta\phi}{2}$ پر تکمل کی قیمت $H_\phi\rho\Delta\phi$ جبکہ نقطے سے $-\frac{\Delta z}{2}$ فاصلے پر یہی تکمل ٹیلر تسلسل سے

$$\boldsymbol{H}\cdot \mathrm{d}\boldsymbol{L}_{14} = H_\phi\rho\Delta\phi + \frac{\partial(H_\phi\rho\Delta\phi)}{\partial z}\left(-\frac{\Delta z}{2}\right)$$

حاصل ہوتا ہے۔اسی طرح نقطے کے قریب $+\frac{\Delta\phi}{2}$ تا $-\frac{\Delta\phi}{2}$ پر تکمل کی قیمت $-H_\phi\rho\Delta\phi$ جبکہ نقطے سے $+\frac{\Delta z}{2}$ فاصلے پر یہی تکمل ٹیلر تسلسل سے

$$\boldsymbol{H}\cdot \mathrm{d}\boldsymbol{L}_{32} = -H_\phi\rho\Delta\phi + \frac{\partial(-H_\phi\rho\Delta\phi)}{\partial z}\left(+\frac{\Delta z}{2}\right)$$

حاصل ہوتا ہے۔ان دو جوابات کے مجموعے سے چھوٹے رقبے کے گرد گھومتے ہوئے زاویائی حصے کا تکمل

$$\boldsymbol{H}\cdot \mathrm{d}\boldsymbol{L}_{14} + \boldsymbol{H}\cdot \mathrm{d}\boldsymbol{L}_{32} = -\rho\frac{\partial H_\phi}{\partial z}\Delta z\Delta\phi \tag{7.52}$$

حاصل ہوتا ہے۔

مساوات 7.51 اور مساوات 7.52 کا مجموعہ چھوٹے رقبے کے گرد کل تکمل دیتا ہے جو رقبے سے گزرتی برقی رو $J_\rho\rho\Delta\phi\Delta z$ کے برابر ہو گا یعنی

$$\oint \boldsymbol{H}\cdot \mathrm{d}\boldsymbol{L} = \left[\frac{\partial H_z}{\partial\phi} - \rho\frac{\partial H_\phi}{\partial z}\right]\Delta z\Delta\phi = J_\rho\rho\Delta\phi\Delta z$$

جس سے گردش کا رداسی جزو

$$\lim_{\substack{\Delta\phi\to 0\\ \Delta z\to 0}} \frac{\oint \boldsymbol{H}\cdot \mathrm{d}\boldsymbol{L}}{\rho\Delta\phi\Delta z} = \left[\frac{1}{\rho}\frac{\partial H_z}{\partial\phi} - \frac{\partial H_\phi}{\partial z}\right] = J_\rho \tag{7.53}$$

ملتا ہے۔

شکل 7.15-ب میں 1 سے 2 جانب گھومتے ہوئے $\boldsymbol{H}$ کے لکیری تکمل مندرجہ ذیل ہیں

$$
\begin{aligned}
\boldsymbol{H}\cdot \mathrm{d}\boldsymbol{L}_{21} &= H_z\Delta z + \frac{\partial(H_z\Delta z)}{\partial\rho}\left(-\frac{\Delta\rho}{2}\right)\\
\boldsymbol{H}\cdot \mathrm{d}\boldsymbol{L}_{43} &= -H_z\Delta z + \frac{\partial(-H_z\Delta z)}{\partial\rho}\left(+\frac{\Delta\rho}{2}\right)\\
\boldsymbol{H}\cdot \mathrm{d}\boldsymbol{L}_{32} &= H_\rho\Delta\rho + \frac{\partial(H_\rho\Delta\rho)}{\partial z}\frac{\Delta z}{2}\\
\boldsymbol{H}\cdot \mathrm{d}\boldsymbol{L}_{14} &= -H_\rho\Delta\rho + \frac{\partial(-H_\rho\Delta\rho)}{\partial z}\left(-\frac{\Delta z}{2}\right)
\end{aligned}
$$

اور یوں ایمپیئر کے دوری قانون سے

$$
\lim_{\substack{\Delta\rho\to 0\\ \Delta z\to 0}} \frac{\oint \boldsymbol{H}\cdot \mathrm{d}\boldsymbol{L}}{\Delta\rho\Delta z} = \left(\frac{\partial H_\rho}{\partial z} - \frac{\partial H_z}{\partial \rho}\right) = J_\phi \tag{7.54}
$$

لکھا جا سکتا ہے۔

مساوات 7.54، مساوات 7.53 اور مساوات 7.50 کا مجموعہ نکلی محدد میں گردش دیتا ہے یعنی

$$
\nabla\times\boldsymbol{H} = \left(\frac{1}{\rho}\frac{\partial H_z}{\partial\phi} - \frac{\partial H_\phi}{\partial z}\right)\boldsymbol{a}_\rho + \left(\frac{\partial H_\rho}{\partial z} - \frac{\partial H_z}{\partial\rho}\right)\boldsymbol{a}_\phi + \left[\frac{1}{\rho}\frac{\partial(H_\phi\rho)}{\partial\rho} - \frac{1}{\rho}\frac{\partial H_\rho}{\partial\phi}\right]\boldsymbol{a}_z \tag{7.55}
$$

یہاں ایک بار پھر یہ بتلانا ضروری ہے کہ نکلی محدد میں ∇ اور $\boldsymbol{H}$ کا صلیبی ضرب کسی صورت مندرجہ بالا مساوات کا دایاں ہاتھ نہیں دیتا۔ اس کے باوجود $\boldsymbol{H}$ کے گردش کو $\nabla\times\boldsymbol{H}$ سے ہی ظاہر کیا جاتا ہے۔

مشق 7.3: اگر $\boldsymbol{H} = (3\rho\cos\phi + 5)\boldsymbol{a}_\rho + 6\sin\phi\boldsymbol{a}_\phi + 2\boldsymbol{a}_z$ ہو تب $\nabla\times\boldsymbol{H}$ کیا ہو گا۔

جواب: $\nabla\times\boldsymbol{H} = (\frac{6}{\rho} + 3)\sin\phi\boldsymbol{a}_z$

7.3.2 عمومی محدد میں گردش کی مساوات

صفحہ 84 پر حصہ 3.10 میں عمومی محدد استعمال کرتے ہوئے پھیلاو کی مساوات حاصل کی گئی۔ یہاں عمومی محدد میں گردش کی مساوات حاصل کرتے ہیں۔ عمومی محدد کے متغیرات (u, v, w) جبکہ اکائی سمتیات $(\boldsymbol{a}_u, \boldsymbol{a}_v, \boldsymbol{a}_w)$ ہیں۔ ان میں تین اطراف

$$
\begin{aligned}
\mathrm{d}L_u &= k_1\,\mathrm{d}u\\
\mathrm{d}L_v &= k_2\,\mathrm{d}v\\
\mathrm{d}L_w &= k_3\,\mathrm{d}w
\end{aligned}
$$

لکھے جاتے ہیں۔

گردش کا پہلا جزو حاصل کرنے کی خاطر ہم نقطہ (u,v,w) پر u کے عمودی سطح پر چھوٹا رقبہ لیتے ہیں جس کے اطراف $k_2\Delta v$ اور $k_3\Delta w$ ہوں گے۔اب $v-\frac{\Delta v}{2}$ سے $v+\frac{\Delta v}{2}$ تک فاصلہ $k_2\Delta v$ کے برابر ہے لہٰذا اس پر چلتے ہوئے تکمل $H_v k_2\Delta v$ کے برابر ہو گا۔نقطہ (u,v,w) سے $-\frac{\Delta w}{2}$ پر یہی تکمل ٹیلر تسلسل سے

$$\boldsymbol{H}\cdot \mathrm{d}\boldsymbol{L}_{21} = H_v k_2\Delta v + \frac{\partial(H_v k_2\Delta v)}{\partial w}\left(-\frac{\Delta w}{2}\right)$$

حاصل ہوتا ہے۔اسی طرح $v+\frac{\Delta v}{2}$ سے $v-\frac{\Delta v}{2}$ تک تکمل $-H_v k_2\Delta v$ کے برابر ہو گا۔نقطہ (u,v,w) سے $+\frac{\Delta w}{2}$ پر یہی تکمل

$$\boldsymbol{H}\cdot \mathrm{d}\boldsymbol{L}_{43} = -H_v k_2\Delta v + \frac{\partial(-H_v k_2\Delta v)}{\partial w}\left(\frac{\Delta w}{2}\right)$$

ہو گا۔یوں ان اطراف پر کل تکمل

$$\boldsymbol{H}\cdot \mathrm{d}\boldsymbol{L}_{21} + \boldsymbol{H}\cdot \mathrm{d}\boldsymbol{L}_{43} = -\frac{\partial(H_v k_2)}{\partial w}\Delta v\Delta w \tag{7.56}$$

ہو گا۔یہی طریقہ کار استعمال کرتے ہوئے

$$\boldsymbol{H}\cdot \mathrm{d}\boldsymbol{L}_{32} = H_w k_3\Delta w + \frac{\partial(H_w k_3\Delta w)}{\partial v}\left(\frac{\Delta v}{2}\right)$$
$$\boldsymbol{H}\cdot \mathrm{d}\boldsymbol{L}_{14} = -H_w k_3\Delta w + \frac{\partial(-H_w k_3\Delta w)}{\partial v}\left(-\frac{\Delta v}{2}\right)$$

حاصل ہوتے ہیں جن سے

$$\boldsymbol{H}\cdot \mathrm{d}\boldsymbol{L}_{32} + \boldsymbol{H}\cdot \mathrm{d}\boldsymbol{L}_{14} = \frac{\partial(H_w k_3)}{\partial v}\Delta v\Delta w \tag{7.57}$$

لکھا جا سکتا ہے۔یوں چھوٹے رقبے کے گرد کل تکمل

$$\oint \boldsymbol{H}\cdot \mathrm{d}\boldsymbol{L} = \left[\frac{\partial(H_w k_3)}{\partial v} - \frac{\partial(H_v k_2)}{\partial w}\right]\Delta v\Delta w \tag{7.58}$$

لکھتے ہوئے ایمپیئر کے دوری قانون سے

$$\oint \boldsymbol{H}\cdot \mathrm{d}\boldsymbol{L} = \left[\frac{\partial(H_w k_3)}{\partial v} - \frac{\partial(H_v k_2)}{\partial w}\right]\Delta v\Delta w = J_u k_2 k_3\Delta v\Delta w$$

لکھ کر گردش کا پہلا جزو

$$\lim_{\substack{\Delta v\to 0\\ \Delta w\to 0}} \frac{\oint \boldsymbol{H}\cdot \mathrm{d}\boldsymbol{L}}{k_2 k_3\Delta v\Delta w} = \frac{1}{k_2 k_3}\left[\frac{\partial(H_w k_3)}{\partial v} - \frac{\partial(H_v k_2)}{\partial w}\right] = J_u \tag{7.59}$$

حاصل ہوتا ہے۔آپ اسی مساوات میں متغیرات ذرہ دیکھ کر تبدیل کرتے ہوئے گردش کے بقایا دو اجزاء

$$\lim_{\substack{\Delta u\to 0\\ \Delta w\to 0}} \frac{\oint \boldsymbol{H}\cdot \mathrm{d}\boldsymbol{L}}{k_1 k_3\Delta u\Delta w} = \frac{1}{k_1 k_3}\left[\frac{\partial(H_u k_1)}{\partial w} - \frac{\partial(H_w k_3)}{\partial u}\right] = J_v \tag{7.60}$$

اور

$$\lim_{\substack{\Delta u\to 0\\ \Delta v\to 0}} \frac{\oint \boldsymbol{H}\cdot \mathrm{d}\boldsymbol{L}}{k_1 k_2\Delta u\Delta v} = \frac{1}{k_1 k_2}\left[\frac{\partial(H_v k_2)}{\partial u} - \frac{\partial(H_u k_1)}{\partial v}\right] = J_w \tag{7.61}$$

لکھ سکتے ہیں۔ عمومی محدد میں گردش کے ان اجزاء کو

$$\nabla \times \boldsymbol{H} = \frac{1}{k_2 k_3}\left[\frac{\partial(H_w k_3)}{\partial v} - \frac{\partial(H_v k_2)}{\partial w}\right]\boldsymbol{a}_u + \frac{1}{k_1 k_3}\left[\frac{\partial(H_u k_1)}{\partial w} - \frac{\partial(H_w k_3)}{\partial u}\right]\boldsymbol{a}_v + \frac{1}{k_1 k_2}\left[\frac{\partial(H_v k_2)}{\partial u} - \frac{\partial(H_u k_1)}{\partial v}\right]\boldsymbol{a}_w \tag{7.62}$$

یا قالب کا حتمی قیمت

$$\boldsymbol{H}_{\text{گردش}} = \begin{vmatrix} \frac{\boldsymbol{a}_u}{k_2 k_3} & \frac{\boldsymbol{a}_v}{k_3 k_1} & \frac{\boldsymbol{a}_w}{k_1 k_2} \\ \frac{\partial}{\partial u} & \frac{\partial}{\partial v} & \frac{\partial}{\partial w} \\ k_1 H_u & k_2 H_v & k_3 H_w \end{vmatrix} \tag{7.63}$$

لکھا جا سکتا ہے۔

7.3.3 کروی محدد میں گردش کی مساوات

جیسے صفحہ 84 پر حصہ 3.10 میں بتلایا گیا عمومی محدد میں

$$\begin{aligned} k_1 &= 1 \\ k_2 &= r \\ k_3 &= r\sin\theta \end{aligned}$$

اور $\boldsymbol{a}_u$ کی جگہ $\boldsymbol{a}_{\mathrm{r}}$، $\boldsymbol{a}_v$ کی جگہ $\boldsymbol{a}_\theta$ اور $\boldsymbol{a}_w$ کی جگہ $\boldsymbol{a}_\phi$ پر کرنے سے کروی محدد حاصل ہوتا ہے۔ مساوات 7.62 میں یہی کچھ پر کرتے ہوئے یوں کروی محدد میں گردش کی مساوات

$$\nabla \times \boldsymbol{H} = \frac{1}{r^2\sin\theta}\left[\frac{\partial(H_\phi r\sin\theta)}{\partial\theta} - \frac{\partial(H_\theta r)}{\partial\phi}\right]\boldsymbol{a}_{\mathrm{r}} + \frac{1}{r\sin\theta}\left[\frac{\partial H_r}{\partial\phi} - \frac{\partial(H_\phi r\sin\theta)}{\partial r}\right]\boldsymbol{a}_\theta + \frac{1}{r}\left[\frac{\partial(H_\theta r)}{\partial r} - \frac{\partial H_r}{\partial\theta}\right]\boldsymbol{a}_\phi$$

یا

$$\nabla \times \boldsymbol{H} = \frac{1}{r\sin\theta}\left[\frac{\partial(H_\phi\sin\theta)}{\partial\theta} - \frac{\partial H_\theta}{\partial\phi}\right]\boldsymbol{a}_{\mathrm{r}} + \frac{1}{r}\left[\frac{1}{\sin\theta}\frac{\partial H_r}{\partial\phi} - \frac{\partial(rH_\phi)}{\partial r}\right]\boldsymbol{a}_\theta + \frac{1}{r}\left[\frac{\partial(rH_\theta)}{\partial r} - \frac{\partial H_r}{\partial\theta}\right]\boldsymbol{a}_\phi \tag{7.64}$$

حاصل ہوتی ہے۔

مشق 7.4: میدان $\boldsymbol{H} = 3\rho^2\cos\phi\boldsymbol{a}_\rho - 2\rho\sin\phi\boldsymbol{a}_\phi + \frac{z}{\rho}\boldsymbol{a}_{\mathrm{z}}$ اور $\boldsymbol{H} = 2r^2\cos\theta\boldsymbol{a}_{\mathrm{r}} - 5r\sin\theta\boldsymbol{a}_\theta$ کے لئے $\nabla \times \boldsymbol{H}$ حاصل کریں۔

جوابات: $\nabla \times \boldsymbol{H} = \frac{z}{\rho^2}\boldsymbol{a}_\phi + (3\rho - 4)\sin\phi\boldsymbol{a}_{\mathrm{z}}$، $\nabla \times \boldsymbol{H} = (2r - 10)\sin\theta\boldsymbol{a}_\phi$

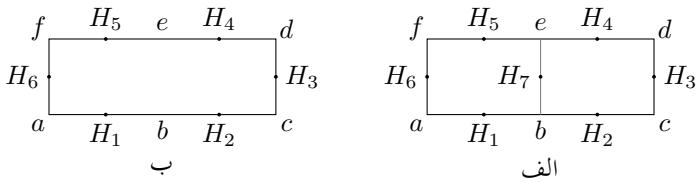

شکل 7.16: چھوٹے رقبوں کے گرد لکیری تکمل پورے رقبے کے گرد لکیری تکمل کے برابر ہے۔

7.4 مسئلہ سٹوکس

2162

شکل 7.16-الف میں ایک رقبہ دکھایا گیا ہے جسے دو چھوٹے ٹکڑوں میں تقسیم کیا گیا ہے۔ بائیں چھوٹے رقبے کے لئے گردش

$$\frac{\oint \boldsymbol{H}\cdot \mathrm{d}\boldsymbol{L}_B}{\Delta S_B} \doteq (\nabla\times \boldsymbol{H}_B)_N$$

لکھی جا سکتی ہے جہاں زیر نوشت میں N اس بات کی یاد دہانی کراتا ہے کہ گردش رقبے ΔS_B کے عمودی ہے اور زیر نوشت میں B بائیں رقبے کو ظاہر کرتا ہے۔ یوں $\mathrm{d}\boldsymbol{L}_B$ سے مراد بائیں رقبے کے سرحد پر چھوٹا فاصلہ ہے جبکہ $\boldsymbol{H}_B$ سے مراد بائیں چھوٹے رقبے کے وسط میں مقناطیسی شدت ہے۔ اس طرح اسی مساوات کو

$$\frac{\oint \boldsymbol{H}\cdot \mathrm{d}\boldsymbol{L}_B}{\Delta S_B} \doteq (\nabla\times \boldsymbol{H}_B)\cdot \boldsymbol{a}_N$$

یا

$$\oint \boldsymbol{H}\cdot \mathrm{d}\boldsymbol{L}_B \doteq (\nabla\times \boldsymbol{H}_B)\cdot \boldsymbol{a}_N \Delta S_B = (\nabla\times \boldsymbol{H})\cdot \Delta \boldsymbol{S}_B$$

بھی لکھا جا سکتا ہے جہاں $\boldsymbol{a}_N$ اس رقبے کی اکائی عمودی سمتیہ ہے۔ اب شکل کو دیکھ کر

$$\oint \boldsymbol{H}\cdot \mathrm{d}\boldsymbol{L}_B \doteq \boldsymbol{H}_1\cdot \Delta \boldsymbol{L}_{ba} + \boldsymbol{H}_7\cdot \Delta \boldsymbol{L}_{eb} + \boldsymbol{H}_5\cdot \Delta \boldsymbol{L}_{fe} + \boldsymbol{H}_6\cdot \Delta \boldsymbol{L}_{af}$$

2163

لکھا جا سکتا ہے۔

اسی طرح دائیں چھوٹے رقبے کے لئے

$$\oint \boldsymbol{H}\cdot \mathrm{d}\boldsymbol{L}_D \doteq (\nabla\times \boldsymbol{H}_D)\cdot \Delta \boldsymbol{S}_D$$

اور

$$\oint \boldsymbol{H}\cdot \mathrm{d}\boldsymbol{L}_D \doteq \boldsymbol{H}_2\cdot \Delta \boldsymbol{L}_{cb} + \boldsymbol{H}_3\cdot \Delta \boldsymbol{L}_{dc} + \boldsymbol{H}_4\cdot \Delta \boldsymbol{L}_{ed} + \boldsymbol{H}_7\cdot \Delta \boldsymbol{L}_{be}$$

2164

لکھا جا سکتا ہے۔

دائیں رقبے کے لکیری تکمل میں $\boldsymbol{H}_7\cdot \Delta \boldsymbol{L}_{be} = -\boldsymbol{H}_7\cdot \Delta \boldsymbol{L}_{eb}$ لکھ کر دونوں رقبوں کے لکیری تکمل جمع کرتے ہوئے

$$\begin{aligned}\oint \boldsymbol{H}\cdot \mathrm{d}\boldsymbol{L}_B + \oint \boldsymbol{H}\cdot \mathrm{d}\boldsymbol{L}_D &\doteq \boldsymbol{H}_1\cdot \Delta \boldsymbol{L}_{ba} + \boldsymbol{H}_2\cdot \Delta \boldsymbol{L}_{cb} + \boldsymbol{H}_3\cdot \Delta \boldsymbol{L}_{dc} + \boldsymbol{H}_4\cdot \Delta \boldsymbol{L}_{ed} + \boldsymbol{H}_5\cdot \Delta \boldsymbol{L}_{fe} + \boldsymbol{H}_6\cdot \Delta \boldsymbol{L}_{af}\\ &\doteq (\nabla\times \boldsymbol{H}_B)\cdot \Delta \boldsymbol{S}_B + (\nabla\times \boldsymbol{H}_D)\cdot \Delta \boldsymbol{S}_D\end{aligned}$$

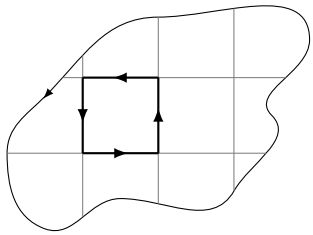

شکل 7.17: کسی بھی بڑے رقبے کو انتہائی چھوٹے رقبوں میں تقسیم کرتے ہوئے ہر کے گرد لکیری تکمل لیں۔ان تمام کا مجموعہ پورے رقبے کے سرحد پر لکیری تکمل کے برابر ہو گا۔

حاصل ہوتا ہے۔آپ دیکھ سکتے ہیں کہ چھوٹے رقبوں کے مشترک طرف ΔL_{be} پر دونوں کے لکیری تکمل آپس میں کٹ گئے ہیں۔یہاں پہلی مساوات پورے رقبے کے گرد لکیری تکمل کے برابر ہے جو شکل 7.16-ب کو دیکھ کر لکھی جا سکتی ہے۔ہم نے شکل 7.16-الف میں رقبے کے صرف دو ٹکڑے لئے۔آپ دیکھ سکتے ہیں کہ رقبے کے زیادہ ٹکڑے کرتے ہوئے بھی یہی طریقہ کار استعمال کیا جا سکتا ہے۔اس طرح اگر کسی بھی بڑے رقبے کو انتہائی چھوٹے چھوٹے رقبوں میں تقسیم کرتے ہوئے ہر ایک کے گرد لکیری تکمل لیا جائے تو ان کا مجموعہ پورے رقبے کے سرحد پر گھومتے لکیری تکمل کے برابر ہو گا۔شکل 7.17 میں بڑے رقبے کو چھوٹے حصوں میں تقسیم کیا دکھایا گیا ہے۔ہر دو جڑے چھوٹے رقبوں کے مشترکہ طرف پر لکیری تکمل آپس میں کٹ جائیں گے۔یوں تمام چھوٹے رقبوں کے لکیری تکمل کے مجموعے کو بڑے رقبے کا لکیری تکمل لیتے ہوئے اور تمام چھوٹے رقبوں کے $(\nabla \times \boldsymbol{H}_B) \cdot \Delta \boldsymbol{S}$ کے مجموعے کو تکمل کی شکل میں لکھتے ہوئے

$$\oint \boldsymbol{H} \cdot \mathrm{d}\boldsymbol{L} = \int_S (\nabla \times \boldsymbol{H}_B) \cdot \mathrm{d}\boldsymbol{S} \tag{7.65}$$

لکھا جا سکتا ہے جہاں $\mathrm{d}\boldsymbol{L}$ کو صرف بڑے رقبے S کے سرحد پر لیا جاتا ہے۔

اگرچہ ہم نے مساوات 7.65 مقناطیسی میدان کے لئے حاصل کیا، درحقیقت یہ ایک عمومی مساوات ہے جو کسی بھی سمتی میدان کے لئے درست ہے۔یہ مساوات مسئلہ سٹوکس[12] بیان کرتا ہے۔

مسئلہ سٹوکس سے ایمپیئر کا دوری قانون باآسانی حاصل ہوتا ہے۔ایسا کرنے کی خاطر $\nabla \times \boldsymbol{H} = \boldsymbol{J}$ کے دونوں اطراف کا $\mathrm{d}\boldsymbol{S}$ کے ساتھ غیر سمتی ضرب لیتے ہوئے دونوں اطراف کا کھلے سطح S پر سطحی تکمل لیتے ہوئے مسئلہ سٹوکس کا استعمال کریں گے۔

$$\int_S (\nabla \times \boldsymbol{H}) \cdot \mathrm{d}\boldsymbol{S} = \int_S \boldsymbol{J} \cdot \mathrm{d}\boldsymbol{S} = \oint \boldsymbol{H} \cdot \mathrm{d}\boldsymbol{L}$$

کثافت برقی رو کا سطحی تکمل سطح S سے گزرتی برقی رو کے برابر ہے لہٰذا مندرجہ بالا سے

$$\oint \boldsymbol{H} \cdot \mathrm{d}\boldsymbol{L} = I$$

حاصل ہوتا ہے جو ایمپیئر کا دوری قانون ہے۔ایمپیئر کے دوری قانون کے اس مختصر حصول سے یہ حقیقت بھی واضح ہوتی ہے کہ I ان تمام سطحوں سے گزرتی برقی رو ہے جن کا سرحد تکمل میں استعمال بند راہ ہے۔

مسئلہ سٹوکس سطحی تکمل اور بند لکیری تکمل کے مابین تعلق بیان کرتا ہے۔آپ کو یاد ہو گا کہ مسئلہ پھیلاو حجمی تکمل اور بند سطحی تکمل کے مابین تعلق بیان کرتا ہے۔یہ دونوں مسئلے عمومی سمتیاتی ثبوت پیش کرنے میں اہم کردار ادا کرتے ہیں۔آئیں ایسی ایک مثال دیکھتے ہیں جس میں ہم $\nabla \cdot \nabla \times \boldsymbol{A}$ کو بیان کرنے کا مختلف طریقہ حاصل کرنے کی کوشش کرتے ہیں جہاں $\boldsymbol{A}$ کوئی بھی عمومی سمتی میدان ہو سکتا ہے۔

[12] Stokes theorem

شروع کرنے سے پہلے یاد رہے کہ گردش کا حاصل جواب سمتیہ ہوتا ہے جبکہ پھیلاو کا حاصل جواب غیر سمتی ہوتا ہے۔ کسی بھی عمومی سمتیہ میدان $\boldsymbol{A}$ کا گردش $\nabla \times \boldsymbol{A}$ بھی سمتیہ ہو گا جبکہ اس گردش کا پھیلاو $\nabla \cdot \nabla \times \boldsymbol{A}$ غیر سمتی ہو گا جسے ہم T کہتے ہیں یعنی

$$\nabla \cdot \nabla \times \boldsymbol{A} = T$$

دونوں اطراف کا حجمی تکمل لیتے ہیں۔

$$\int_{\text{حجم}} (\nabla \cdot \nabla \times \boldsymbol{A})\, \mathrm{d}h = \int_{\text{حجم}} T\, \mathrm{d}h$$

بائیں ہاتھ پر مسئلہ پھیلاو لاگو کرتے ہوئے

$$\oint_S (\nabla \times \boldsymbol{A}) \cdot \mathrm{d}\boldsymbol{S} = \int_{\text{حجم}} T\, \mathrm{d}h$$

لکھا جا سکتا ہے۔ اس مساوات کا بایاں ہاتھ حجم کو گھیرتے بند سطح پر $\nabla \times \boldsymbol{A}$ کا تکمل ہے۔ مسئلہ سٹوکس کسی بھی سطح پر سطحی تکمل اور اس سطح کے سرحد پر لکیری تکمل کا تعلق بیان کرتا ہے۔ یوں مندرجہ بالا مساوات کے بائیں ہاتھ میں اگر سطح کو تھیلا سمجھا جائے تو تھیلے کا منہ سطح کا سرحد ہو گا جس پر لکیری تکمل لیا جائے گا۔ جیسے جیسے تھیلے کے منہ کو چھوٹا کیا جائے ویسے ویسے تھیلا بند سطح کی شکل اختیار کرے گا جبکہ سطح کا سرحد چھوٹے سے چھوٹا ہوتا جائے گا حتیٰ کہ جب تھیلے کا منہ مکمل بند ہو جائے تو تھیلا مکمل بند سطح ہو گا جبکہ اس کا سرحد صفر کے برابر ہو گا۔ صفر لمبائی کے راہ پر تکمل صفر کے برابر ہوتا ہے یعنی

$$\int_0^0 \boldsymbol{A} \cdot \mathrm{d}\boldsymbol{L} = 0$$

یوں

$$\int_{\text{حجم}} T\, \mathrm{d}h = 0$$

حاصل ہوتا ہے۔ چونکہ یہ مساوات کسی بھی حجم کے لئے درست ہے لہٰذا یہ تفرقی حجم $\mathrm{d}h$ کے لئے بھی درست ہے یعنی

$$T\, \mathrm{d}h = 0$$

جس سے

$$T = 0$$

یا

$$\nabla \cdot \nabla \times \boldsymbol{A} = 0 \tag{7.66}$$

حاصل ہوتا ہے۔ مساوات 7.66 انتہائی اہم ثبوت ہے جس کے تحت کسی بھی عمومی سمتی میدان کے گردش کا پھیلا صفر کے برابر ہوتا ہے۔ اس ثبوت کو مندرجہ ذیل مثال میں کارتیسی محدد استعمال کرتے ہوئے بھی حاصل کیا گیا ہے۔ 2174

مثال 7.3: کسی بھی عمومی سمتی میدان $\boldsymbol{A} = A_x \boldsymbol{a}_{\mathrm{x}} + A_y \boldsymbol{a}_{\mathrm{y}} + A_z \boldsymbol{a}_{\mathrm{z}}$ کا گردش اور گردش کا پھیلا کارتیسی محدد میں حاصل کرتے ہوئے ثابت کریں کہ گردش کا پھیلاو صفر کے برابر ہو گا۔ 2176

حل: پہلے گردش حاصل کرتے ہیں

$$\nabla \times \boldsymbol{A} = \left(\frac{\partial A_z}{\partial y} - \frac{\partial A_y}{\partial z}\right) \boldsymbol{a}_{\mathrm{x}} + \left(\frac{\partial A_x}{\partial z} - \frac{\partial A_z}{\partial x}\right) \boldsymbol{a}_{\mathrm{y}} + \left(\frac{\partial A_y}{\partial x} - \frac{\partial A_x}{\partial y}\right) \boldsymbol{a}_{\mathrm{z}}$$

جس کا پھیلاو

$$\nabla \cdot \nabla \times \boldsymbol{A} = \frac{\partial^2 A_z}{\partial x \partial y} - \frac{\partial^2 A_y}{\partial x \partial z} + \frac{\partial^2 A_x}{\partial y \partial z} - \frac{\partial^2 A_z}{\partial y \partial x} + \frac{\partial^2 A_y}{\partial z \partial x} - \frac{\partial^2 A_x}{\partial z \partial y} = 0$$

کے برابر ہے جہاں $\frac{\partial^2 A_z}{\partial x \partial y}$ اور $-\frac{\partial^2 A_z}{\partial y \partial x}$ کی طرح بقایا اجزاء بھی آپس میں کٹ جاتے ہیں۔

ساکن مقناطیسی میدان یعنی وقت کے ساتھ تبدیل نہ ہوتے مقناطیسی میدان کے لئے ایمپیئر کے دوری قانون کی نقطہ شکل

$$\nabla \times \boldsymbol{H} = \boldsymbol{J}$$

ہے۔اس مساوات کے دونوں اطراف کا پھیلاو حاصل کرتے ہوئے

$$\nabla \cdot \nabla \times \boldsymbol{H} = \nabla \cdot \boldsymbol{J}$$

لکھا جا سکتا ہے۔مساوات 7.66 کے تحت گردش کا پھیلاو صفر کے برابر ہوتا ہے لہٰذا

$$\nabla \cdot \boldsymbol{J} = 0 \tag{7.67}$$

ہو گا۔اس سے ظاہر ہے کہ ساکن مقناطیسی میدان صرف ایسی برقی رو سے حاصل ہوتا ہے جس کے لئے مساوات 7.67 درست ہو۔یہی نتیجہ ہم پہلے بھی مساوات 7.4 میں حاصل کر چکے ہیں جہاں ہم دیکھ چکے کہ $\nabla \cdot \boldsymbol{J} = 0$ سے مراد بند راہ سے کل صفر یک سمتی برقی رو کا گزرنا ہے۔

7.5 مقناطیسی بہاو اور کثافت مقناطیسی بہاو

خالی خلاء میں کثافت مقناطیسی بہاو $\boldsymbol{B}$ کی تعریف

$$\boldsymbol{B} = \mu_0 \boldsymbol{H} \tag{7.68}$$

ہے جہاں $\boldsymbol{B}$ کی اکائی ویبر فی مربع میٹر $\mathrm{Wb/m^2}$ ہے جسے ٹسلا[13] پکارا اور T سے ظاہر کیا جاتا ہے۔اس مساوات میں μ_0 خالی خلاء کا مقناطیسی مستقل[14] ہے جسے ہینری فی میٹر $\frac{\mathrm{H}}{\mathrm{m}}$ میں ناپا جاتا ہے۔خالی خلاء میں

$$\mu_0 = 4\pi \times 10^{-7} \frac{\mathrm{H}}{\mathrm{m}} \tag{7.69}$$

کے برابر ہے۔

چونکہ $\boldsymbol{H}$ کی اکائی ایمپیئر فی میٹر ہے لہٰذا ویبر کی اکائی ہینری ضرب ایمپیئر ہے۔ہینری کو اکائی تصور کرتے ہوئے ہم دیکھتے ہیں کہ ہینری ضرب ایمپیئر کو ویبر لکھا جاتا ہے۔وقت کے ساتھ بدلتے میدان پر غور کے دوران ہم دیکھیں گے کہ ویبر سے مراد وولٹ ضرب سیکنڈ بھی لیا جا سکتا ہے۔

خالی خلاء میں کثافت برقی بہاو $\boldsymbol{D}$ اور برقی میدان کی شدت $\boldsymbol{E}$ کا تعلق

$$\boldsymbol{D} = \epsilon_0 \boldsymbol{E}$$

---

[13] Tesla

[14] magnetic constant, permeability

ہو بہو مساوات 7.68 کی طرح ہے۔ کثافت برقی بہاو کا سطحی تکمل برقی بہاو ψ دیتا ہے۔

$$\psi = \int_S \boldsymbol{D} \cdot \mathrm{d}\boldsymbol{S}$$

کسی بھی بند سطح سے گزرتی برقی بہاو اس سطح میں گھیرے چارج Q کے برابر ہوتا ہے۔

$$\psi = \oint_S \boldsymbol{D} \cdot \mathrm{d}\boldsymbol{S} = Q$$

مثبت چارج سے برقی بہاو کا اخراج ہوتا ہے جبکہ منفی چارج پر برقی بہاو کا اختتام ہوتا ہے۔یوں برقی بہاو کا منبع برقی چارج ہے۔مقناطیسی قطب ہر صورت جوڑی کی شکل میں پائے جاتے ہیں۔آج تک تنہا مقناطیسی قطب نہیں پایا گیا۔یوں آج تک ایسی صورت دیکھنے کو نہیں ملی جہاں تنہا مقناطیسی قطب سے مقناطیسی بہاو کا اخراج ہو یا مقناطیسی بہاو اس پر اختتام پذیر ہو۔ مقناطیسی بہاو کا منبع برقی رو ہے۔ یاد رہے کہ نا تو مقناطیسی بہاو اس برقی رو سے خارج اور نا ہی اس پر اختتام پذیر ہوتی ہے بلکہ یہ بند دائرے کی شکل میں برقی رو کو گھیرتی ہے۔ کثافت مقناطیسی بہاو کا سطحی تکمل مقناطیسی بہاو[15] Φ دیتا ہے جسے ویبر[16] Wb میں ناپا جاتا ہے۔

$$\Phi = \int_S \boldsymbol{B} \cdot \mathrm{d}\boldsymbol{S} \qquad \mathrm{Wb} \tag{7.70}$$

چونکہ مقناطیسی بہاو بند دائرہ بناتا ہے لہٰذا کسی بھی بند سطح میں جتنا مقناطیسی بہاو داخل ہوتا ہے، اتنا ہی مقناطیسی بہاو اس سطح سے خارج بھی ہوتا ہے لہٰذا کسی بھی بند سطح پر مقناطیسی بہاو کا تکمل صفر کے برابر ہو گا۔

$$\oint_S \boldsymbol{B} \cdot \mathrm{d}\boldsymbol{S} = 0 \tag{7.71}$$

مسئلہ پھیلاو کے استعمال سے مندرجہ بالا مساوات سے

$$\nabla \cdot \boldsymbol{B} = 0 \tag{7.72}$$

حاصل ہوتا ہے۔

ہم نے مساوات 7.71 کو ثابت نہیں کیا بلکہ حقیقت کو سامنے رکھتے ہوئے اسے لکھا ہے۔اس کو آگے ثابت کیا جائے گا۔فی الحال اس کو قبول کر لیں اور یوں مساوات 7.72 کو بھی درست تصور کریں۔

ساکن مقناطیسی اور ساکن برقی میدان کے لئے مساوات 7.72 میکس ویل کی چوتھی اور آخری مساوات ہے۔ان تمام کو یہاں دوبارہ پیش کرتے ہیں۔

$$\begin{aligned} \nabla \cdot \boldsymbol{D} &= \rho \\ \nabla \times \boldsymbol{E} &= 0 \\ \nabla \times \boldsymbol{H} &= \boldsymbol{J} \\ \nabla \cdot \boldsymbol{B} &= 0 \end{aligned} \tag{7.73}$$

ان کے ساتھ

$$\begin{aligned} \boldsymbol{D} &= \epsilon_0 \boldsymbol{E} \\ \boldsymbol{B} &= \mu_0 \boldsymbol{H} \end{aligned} \tag{7.74}$$

کو بھی شامل کرتے ہیں۔ہم برقی میدان کی شدت اور ساکن برقی دباو کا تعلق بھی پیش کرتے ہیں۔

$$\boldsymbol{E} = -\nabla V \tag{7.75}$$

---

[15] magnetic flux
[16] Weber

مساوات 7.73 برقی اور مقناطیسی میدان کے پھیلاو اور گردش بیان کرتے ہیں جو ان میدان کی خاصیت کے نقطہ اشکال ہیں۔انہیں کی تکمل اشکال مندرجہ ذیل ہیں۔

$$
\begin{aligned}
\oint_S \boldsymbol{D}\cdot \mathrm{d}\boldsymbol{S} &= Q = \int_{\text{حجم}} \rho_h \,\mathrm{d}h \\
\oint \boldsymbol{E}\cdot \mathrm{d}\boldsymbol{L} &= 0 \\
\oint \boldsymbol{H}\cdot \mathrm{d}\boldsymbol{L} &= I = \int_S \boldsymbol{J}\cdot \mathrm{d}\boldsymbol{S} \\
\oint_S \boldsymbol{B}\cdot \mathrm{d}\boldsymbol{S} &= 0
\end{aligned}
\tag{7.76}
$$

ہم جلد ساکن مقناطیسی میدان کے مقناطیسی دباو پر بھی غور کریں گے۔ہم نے برقی میدان پر غور کے دوران موصل اجزاء کے اثر کو بھی تقطیب $\boldsymbol{P}$ کی صورت میں شامل کیا۔ایسا کرتے ہوئے جزو برقی مستقل کا سہارا لیا گیا۔اگلے باب میں اسی طرح دیگر اجزاء کا مقناطیسی میدان پر اثر دیکھا جائے گا۔

آئیں مقناطیسی بہاو اور کثافت مقناطیسی بہاو کا استعمال ہم محوری تار کے اندر بہاو کے مثال کی صورت میں دیکھیں۔ایسی ہم محوری تار جسے شکل 7.7 میں دکھایا گیا ہے میں مقناطیسی شدت

$$H_\phi = \frac{I}{2\pi\rho} \qquad (\rho_1 < \rho < \rho_2)$$

ہم پہلے حاصل کر چکے ہیں۔یوں کثافت مقناطیسی بہاو

$$\boldsymbol{B} = \mu_0 \boldsymbol{H} = \frac{\mu_0 I}{2\pi\rho}\boldsymbol{a}_\phi$$

ہو گا۔اندرونی اور بیرونی تار کے درمیان مقناطیسی بہاو وہی ہو گا جو ان تاروں کے درمیان رداسی سیدھی سطح سے گزرے گا۔تار کو z محدد پر تصور کرتے ہوئے $z = 0$ تا $z = d$ تک رداسی سطح سے گزرتی مقناطیسی بہاو

$$\Phi = \int_S \boldsymbol{B}\cdot \mathrm{d}\boldsymbol{S} = \int_0^d \int_{\rho_1}^{\rho_2} \frac{\mu_0 I}{2\pi\rho}\boldsymbol{a}_\phi \cdot (\mathrm{d}\rho\,\mathrm{d}z\boldsymbol{a}_\phi)$$

یعنی

$$\Phi = \frac{\mu_0 I d}{2\pi}\ln\frac{\rho_2}{\rho_1} \tag{7.77}$$

ہو گی۔یہ مساوات آگے جا کر ہم محوری تار کے امالہ کے حصول میں کام آئے گی۔

مشق 7.5: تانبے کی تار کو پانی سے ٹھنڈا کرتے ہوئے اس میں زیادہ کثافت برقی رو گزاری جا سکتی ہے۔ایک ایسی ہم محوری تار جس کے اندرونی تار کا اندرونی رداس 25 mm جبکہ اس کا بیرونی رداس 28 mm ہے اور جس کے بیرونی تار کا اندرونی رداس 35 mm اور بیرونی رداس 37 mm ہے میں 10 000 A کا یک سمتی برقی رو تاروں میں الٹ سمت میں گزر رہا ہے۔ٹھنڈا پانی اندرونی تار کے اندر اور تاروں کے درمیان فاصلے سے گزار کر انہیں ٹھنڈا رکھا جاتا ہے۔دونوں تاروں کے اندر اور ان کے مابین $\boldsymbol{H}$ اور $\boldsymbol{B}$ حاصل کرنے کے بعد 1 m لمبائی کے لئے دونوں تاروں کے اندر اور ان کے مابین مقناطیسی بہاو حاصل کریں۔

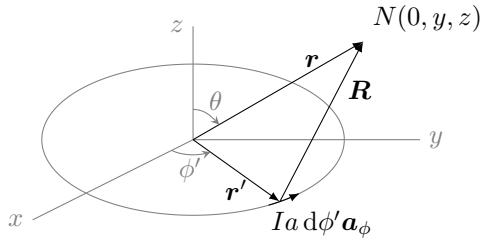

شکل 7.18: گول بند دائرے میں یک سمتی برقی رو سے محور سے ہٹ کر مقناطیسی میدان۔

جوابات: اندرونی تار میں $J = 20\,\frac{\mathrm{A}}{\mathrm{mm}^2}$ اور $\Phi = 109\,\mu\mathrm{Wb}$ ہیں۔ بیرونی تار میں $J = 22.1\,\frac{\mathrm{A}}{\mathrm{mm}^2}$ اور $\Phi = 56.6\,\mu\mathrm{Wb}$ ہیں۔ تاروں کے درمیانی فاصلے میں $\Phi = 446\,\mu\mathrm{Wb}$ ہے۔

مشق 7.6: $z = 0$ سطح پر ρ رداس کے گول بند دائرے میں I برقی رو گزر رہی ہے۔ گول دائرے کا مرکز کارتیسی محدد کے $(0,0,0)$ پر ہے۔ اگر مثبت z جانب سے دیکھا جائے تو برقی رو گھڑی کے الٹ سمت میں گھوم رہی ہے۔ بایوٹ سیوارٹ کے قانون سے دائرے کے عین وسط میں $\boldsymbol{H}$ حاصل کریں۔

جواب: $\boldsymbol{H} = \frac{I}{2\rho}\boldsymbol{a}_z$

مندرجہ بالا مشق میں آپ نے دائرے کے مرکز پر مقناطیسی میدان حاصل کیا۔ یہی طریقہ استعمال کرتے ہوئے دائرے کے محور پر کسی بھی نقطے پر مقناطیسی میدان حاصل کیا جا سکتا ہے۔ البتہ جیسے ہی محور سے ہٹ کر مقناطیسی میدان مطلوب ہو مسئلہ خاصہ مشکل ہو جاتا ہے۔ مندرجہ ذیل مثال میں اس حقیقت کو سامنے رکھا جائے گا کہ محور سے ہٹ کر برقی رو گزارتے گول دائرے کا مقناطیسی میدان حاصل کرنا کیوں ممکن نہیں ہو گا۔ اس کے بعد اس مسئلے کا عددی حل[17] حاصل کرنا دکھایا جائے گا۔ کمپیوٹر استعمال کرتے ہوئے کسی بھی مسئلے کا عددی حل حاصل کیا جا سکتا ہے۔

مثال 7.4: شکل 7.18 میں $x = 0$ سطح یعنی yz سطح پر نقطہ $N(0,y,z)$ پر گول بند دائرے میں یک سمتی برقی رو سے پیدا مقناطیسی میدان کی شدت حاصل کریں۔

حل: رداس a کے گول دائرے پر نقطہ $N'(a, \frac{\pi}{2}, \phi')$ پر چھوٹی سمتی لمبائی کو $\mathrm{d}\boldsymbol{L}' = a\,\mathrm{d}\phi'\boldsymbol{a}'_\phi$ لکھا جا سکتا ہے جہاں اکائی سمتیہ $\boldsymbol{a}'_\phi$ کو کارتیسی محدد میں

$$\boldsymbol{a}'_\phi = -\sin\phi'\boldsymbol{a}_\mathrm{x} + \cos\phi'\boldsymbol{a}_\mathrm{y}$$

---

[17] numerical solution

لکھا جا سکتا ہے۔یوں

$$\mathrm{d}\boldsymbol{L}' = a\,\mathrm{d}\phi'\left(-\sin\phi'\boldsymbol{a}_{\mathrm{x}} + \cos\phi'\boldsymbol{a}_{\mathrm{y}}\right)$$

لکھا جا سکتا ہے۔یہ چھوٹی لمبائی خود $(a\cos\phi', a\sin\phi')$ پر پائی جاتی ہے یعنی

$$\boldsymbol{r}' = a\boldsymbol{a}'_{\rho} = a\cos\phi'\boldsymbol{a}_{\mathrm{x}} + a\sin\phi'\boldsymbol{a}_{\mathrm{y}}$$

کے برابر ہے۔نقطہ N کا مقام کارتیسی محدد میں

$$\boldsymbol{r} = y\boldsymbol{a}_{\mathrm{y}} + z\boldsymbol{a}_{\mathrm{z}}$$

ہے۔یوں

$$\boldsymbol{R} = \boldsymbol{r} - \boldsymbol{r}' = -a\cos\phi'\boldsymbol{a}_{\mathrm{x}} + (y - a\sin\phi')\boldsymbol{a}_{\mathrm{y}} + z\boldsymbol{a}_{\mathrm{z}}$$

لکھتے ہوئے

$$\begin{aligned}|\boldsymbol{R}| = R &= \sqrt{(-a\cos\phi')^2 + (y - a\sin\phi')^2 + z^2}\\ &= \sqrt{a^2 + y^2 + z^2 - 2ay\sin\phi'}\end{aligned}$$

اور

$$\boldsymbol{a}_{\mathrm{R}} = \frac{\boldsymbol{R}}{|\boldsymbol{R}|} = \frac{-a\cos\phi'\boldsymbol{a}_{\mathrm{x}} + (y - a\sin\phi')\boldsymbol{a}_{\mathrm{y}} + z\boldsymbol{a}_{\mathrm{z}}}{\sqrt{a^2 + y^2 + z^2 - 2ay\sin\phi'}}$$

حاصل ہوتے ہیں۔بایوٹ سیوارٹ قانون میں $\boldsymbol{a}_{\mathrm{R}} = \frac{\boldsymbol{R}}{R}$ پر کرتے ہوئے

$$\boldsymbol{H} = \oint \frac{I\,\mathrm{d}\boldsymbol{L}' \times \boldsymbol{R}}{4\pi R^3}$$

لکھا جا سکتا ہے۔آئیں پہلے $\mathrm{d}\boldsymbol{L}' \times \boldsymbol{R}$ کی سادہ شکل حاصل کریں۔

$$\begin{aligned}\mathrm{d}\boldsymbol{L}' \times \boldsymbol{R} &= a\,\mathrm{d}\phi'\left(-\sin\phi'\boldsymbol{a}_{\mathrm{x}} + \cos\phi'\boldsymbol{a}_{\mathrm{y}}\right) \times \left[-a\cos\phi'\boldsymbol{a}_{\mathrm{x}} + (y - a\sin\phi')\boldsymbol{a}_{\mathrm{y}} + z\boldsymbol{a}_{\mathrm{z}}\right]\\ &= a\,\mathrm{d}\phi'\left[z\cos\phi'\boldsymbol{a}_{\mathrm{x}} + z\sin\phi'\boldsymbol{a}_{\mathrm{y}} + (a - y\sin\phi')\boldsymbol{a}_{\mathrm{z}}\right]\end{aligned}$$

یوں بایوٹ سیوارٹ کے قانون کو

$$\boldsymbol{H} = \frac{aI}{4\pi}\int_0^{2\pi} \frac{z\cos\phi'\boldsymbol{a}_{\mathrm{x}} + z\sin\phi'\boldsymbol{a}_{\mathrm{y}} + (a - y\sin\phi')\boldsymbol{a}_{\mathrm{z}}}{\left(a^2 + y^2 + z^2 - 2ay\sin\phi'\right)^{\frac{3}{2}}}\,\mathrm{d}\phi'$$

لکھا جا سکتا ہے۔اس مساوات میں H_x جزو صفر کے برابر ہے۔یہ حقیقت سیدھی منطق سے ثابت ہوتی ہے۔کسی بھی زاویہ ϕ' پر چھوٹی لمبائی سے پیدا میدان کو زاویہ $\pi - \phi'$ پر چھوٹی لمبائی کا میدان ختم کرتا ہے۔یوں یہ جزو صفر کے برابر ہے۔جن کا منطق پر پورا عقیدہ نہیں ہے وہ H_x جزو میں نیا متغیرہ $w = a^2 + y^2 + z^2 - 2ay\sin\phi'$ پر کرتے ہوئے تکمل لے کر دیکھیں کہ

$$H_x = \frac{aI}{4\pi}\int_0^{2\pi} \frac{z\cos\phi'\,\mathrm{d}\phi'}{\left(a^2 + y^2 + z^2 - 2ay\sin\phi'\right)^{\frac{3}{2}}} = 0$$

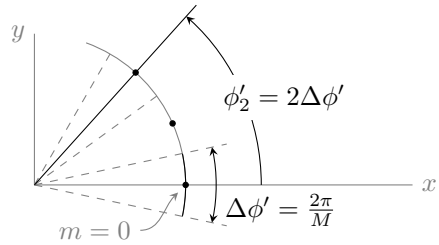

شکل 7.19: تکمل کے راہ کو متعدد چھوٹے ٹکڑوں میں تقسیم کیا گیا ہے۔

ہی ہے۔بقایا دو اجزاء

$$
\begin{aligned}
H_y &= \frac{aI}{4\pi}\int_0^{2\pi} \frac{z\sin\phi'\,\mathrm{d}\phi'}{\left(a^2+y^2+z^2-2ay\sin\phi'\right)^{\frac{3}{2}}} \\
H_z &= \frac{aI}{4\pi}\int_0^{2\pi} \frac{(a-y\sin\phi')\,\mathrm{d}\phi'}{\left(a^2+y^2+z^2-2ay\sin\phi'\right)^{\frac{3}{2}}}
\end{aligned}
\tag{7.78}
$$

ہیں۔یہ دونوں بیضوی تکمل[18] ہیں جنہیں الجبرائی طریقے سے حل کرنا ممکن نہیں ہے۔

بیضوی تکمل کا عددی حل[19] بذریعہ کمپیوٹر حاصل کیا جاتا ہے۔آئیں قلم و کاغذ استعمال کرتے ہوئے بیضوی تکمل کا عددی حل حاصل کریں۔

مثال 7.5: مندرجہ بالا مثال میں H_y اور H_z کے حل بیضوی تکمل کی صورت میں حاصل ہوئے۔نقطہ $N(0,a,a)$ پر H_y کا عددی حل حاصل کریں۔

حل:اس نقطے پر

$$
\begin{aligned}
H_y &= \frac{aI}{4\pi}\int_0^{2\pi} \frac{a\sin\phi'\,\mathrm{d}\phi'}{\left(a^2+a^2+a^2-2a^2\sin\phi'\right)^{\frac{3}{2}}} \\
&= \frac{I}{4\pi a}\int_0^{2\pi} \frac{\sin\phi'\,\mathrm{d}\phi'}{\left(3-2\sin\phi'\right)^{\frac{3}{2}}}
\end{aligned}
$$

لکھا جائے گا۔اس تکمل کو مجموعے کی شکل میں لکھا جا سکتا ہے۔شکل 7.19 کو دیکھ کر آگے پڑھیں۔تکمل کے راہ کو M برابر ٹکڑوں میں تقسیم کرتے ہوئے ہر ٹکڑا پر $\Delta\phi' = \frac{2\pi}{M}$ کے برابر ہو گا۔ان ٹکڑوں کے گنتی کا حساب ہم m سے رکھتے ہیں جہاں m کی قیمت 0 تا $(M-1)$ ہے۔یوں پہلے ٹکڑے کو $m = 0$ سے ظاہر کیا جائے گا اور اس ٹکڑے کے عین وسط میں زاویہ $\phi_0' = 0$ ہو گا۔شکل میں راہ کے چھوٹے ٹکڑوں کے عین وسط کو نقطوں سے ظاہر کیا گیا ہے۔دوسرے ٹکڑے پر $m = 1$ اور زاویہ $\phi_1' = \Delta\phi' = \frac{2\pi}{M}$ ہو گا۔جیسے شکل میں دکھایا گیا ہے، تیسرے پر $m = 2$ اور زاویہ $\phi_2' = 2\Delta\phi' = \frac{2\times 2\pi}{M}$ ہو گا۔یوں عمومی ٹکڑے m پر زاویہ $\phi_m' = m\Delta\phi' = \frac{2m\pi}{M}$ ہو گا۔

---

[18] elliptic integral
[19] numerical solution

$\frac{\sin\frac{2m\pi}{M}}{\left(3-2\sin\frac{2m\pi}{M}\right)^{\frac{3}{2}}}$	m
0.00000	0
0.23852	1
0.82674	2
0.82674	3
0.23852	4
0.00000	5
−0.06889	6
−0.08763	7
−0.08763	8
−0.06889	9

جدول 7.1: دائرے پر برقی رو سے حاصل مقناطیسی میدان کی شدت بذریعہ عددی حل۔

اگر ان چھوٹے ٹکڑوں پر تفاعل کی قیمت میں تبدیلی کو رد کرنا ممکن ہو تب ہر چھوٹے ٹکڑے پر مکمل تقریباً

$$\begin{aligned}\Delta H_y &= \frac{I}{4\pi a}\frac{\sin\phi'_m\Delta\phi'}{\left(3-2\sin\phi'_m\right)^{\frac{3}{2}}}\\ &= \frac{I}{4\pi a}\frac{\sin(\frac{2m\pi}{M})\frac{2\pi}{M}}{\left(3-2\sin\frac{2m\pi}{M}\right)^{\frac{3}{2}}}\end{aligned}$$

کے برابر ہو گا۔یوں تمام ٹکڑوں کا مجموعہ

$$H_y = \frac{I}{4\pi a}\frac{2\pi}{M}\sum_{m=0}^{M-1}\frac{\sin\frac{2m\pi}{M}}{\left(3-2\sin\frac{2m\pi}{M}\right)^{\frac{3}{2}}}$$

ہو گا۔جدول 7.1 میں $M=10$ کی صورت میں m کے تمام قیمتوں پر حاصل $\frac{\sin\frac{2m\pi}{M}}{\left(3-2\sin\frac{2m\pi}{M}\right)^{\frac{3}{2}}}$ اجزاء دئے گئے ہیں۔ان تمام کا مجموعہ

$$\begin{aligned}H_y &= \frac{I}{4\pi a}\frac{2\pi}{M}(0.00000+0.23852+0.82674+0.82674+0.23852+0.00000\\ &\qquad -0.06889-0.08763-0.08763-0.06889)\\ &= \frac{I}{4\pi a}\frac{2\pi}{10}(1.8175)\\ &= 1.1420\left(\frac{I}{4\pi a}\right)\end{aligned}$$

حاصل ہوتا ہے۔زیادہ سے زیادہ ٹکڑے لیتے ہوئے زیادہ درست جواب حاصل ہوتا ہے۔اگر $M=100$ کر دیا جائے تب $H_y=\frac{1.1433I}{4\pi a}$ حاصل ہوتا ہے۔

جدول کو دیکھتے ہوئے ظاہر ہے کہ $m=0$ اور $m=5$ برابر حصہ ڈالتے ہیں۔اسی طرح $m=1$ اور $m=4$ بھی برابر حصہ ڈالتے ہیں۔ان حقائق کو مد نظر رکھتے ہوئے پورے جدول کو حل کرنا درکار نہیں ہے۔درحقیقت موجودہ مثال میں جدول کے صرف پانچ یعنی آدھے خانوں کا حل درکار ہے۔موجودہ مسئلے میں صرف دس چھوٹے ٹکڑے کرتے ہوئے تقریباً درست جواب حاصل ہوتا ہے۔دس اور سو ٹکڑوں کے جوابات میں صرف

$$\left(\frac{1.1433-1.1420}{1.1433}\right)\times 100 = 0.11\,\%$$

کا فرق ہے۔

7.6 غیر سمتی اور سمتی مقناطیسی دباو

برقی میدان کے مسائل برقی دباو کے استعمال سے نہایت آسان ہو جاتے ہیں۔گھریلو 220 V کے برقی دباو سے آپ بخوبی واقف ہیں۔اگرچہ برقی دباو سے ہمیں روز مرہ زندگی میں عموماً واسطہ پڑتا ہے اور یہ ہمارے لئے ایک حقیقت رکھتا ہے، مقناطیس و برقیات کے میدان میں برقی دباو کی اہمیت صرف اس وجہ سے ہے کہ اس کی مدد سے برقی مسائل باآسانی حل ہو جاتے ہیں۔مثال کے طور پر ہم کسی بھی چارج سے پہلے برقی دباو اور پھر برقی دباو سے برقی شدت حاصل کرتے ہیں۔

برقی دباو غیر سمتی مقدار ہے۔ہم جلد دیکھیں گے کہ برقی دباو کے طرز پر غیر سمتی مقناطیسی دباو[20] بیان کیا جا سکتا ہے۔البتہ یہ صرف کثافت برقی رو سے پاک مقامات پر قابل بیان ہوتا ہے۔یوں اس کا استعمال ہر جگہ ممکن نہیں ہو گا۔اس کے برعکس سمتی مقناطیسی دباو[21] بھی بیان کیا جا سکتا ہے جو انتہائی اہمیت کا حامل ہے۔سمتی مقناطیسی دباو اینٹینا[22]، موجیج[23] اور مائیکرو ویو چولھے (خرد موج چولھے)[24] پر غور کرنے میں مدد دیتا ہے۔یہ وقت کے ساتھ تبدیل ہوتے میدان میں بھی قابل استعمال ہو گا اور یہ ان مقامات پر بھی قابل بیان ہو گا جہاں برقی رو پائی جائے۔آئیں پہلے غیر سمتی مقناطیس دباو دیکھیں۔

برقی دباو اور برقی میدان کی شدت کا تعلق صفحہ 108 پر مساوات 4.46 میں بیان کیا گیا ہے۔ہم فرض کرتے ہیں بالکل اسی طرح غیر سمتی مقناطیسی دباو V_m کی ڈھلوان منفی مقناطیسی شدت دیتا ہے یعنی

$$\boldsymbol{H} = -\nabla V_m$$

یہ نیا تفاعل مقناطیسی میدان کے دیگر تفاعل کے ساتھ ہم آہنگ ہونا چاہیے لہٰذا اسے ایمپیئر کے دوری قانون کے نقطہ صورت پر پورا اترنا ہو گا۔اس طرح

$$\nabla \times \boldsymbol{H} = \boldsymbol{J} = \nabla \times (-\nabla V_m) \tag{7.79}$$

ہو گا۔البتہ جیسے آپ مشق 7.7 میں دیکھیں گے، کسی بھی متغیرہ کی ڈھلوان کا گردش صفر کے برابر ہوتا ہے۔یوں مقناطیسی میدان کے شدت اور غیر سمتی مقناطیسی دباو کا تعلق صرف اس صورت درست ہو سکتا ہے جب $\boldsymbol{J} = 0$ ہو یعنی

$$\boldsymbol{H} = -\nabla V_m \qquad (\boldsymbol{J} = 0) \tag{7.80}$$

اب آپ دیکھ سکتے ہیں کہ غیر مقناطیسی دباو پر لاگو شرط کہ کثافت برقی رو صفر ہونا ضروری ہے ناقابل قبول شرط ہے۔اگرچہ کئی صورتوں میں کثافت برقی رو صفر ہو گی اور V_m کا استعمال ممکن ہو گا لیکن ہمیں ایسے مسائل بھی درپیش ہوں گے جہاں کثافت برقی رو صفر نہ ہو گا۔ایسی صورت میں V_m ہمارے کسی کام کا نہ ہو گا۔غیر سمتی مقناطیسی دباو V_m کی تعریف سے ظاہر ہے کہ اسے ایمپیئر میں ناپا جائے گا۔

خالی خلاء میں

$$\nabla \cdot \boldsymbol{B} = \mu_0 \nabla \cdot \boldsymbol{H} = 0$$

سے

$$\mu_0 \nabla \cdot (-\nabla V_m) = 0$$

یا

$$\nabla^2 V_m = 0 \qquad (\boldsymbol{J} = 0) \tag{7.81}$$

---

[20] scalar magnetic potential
[21] vector magnetic potential
[22] antenna
[23] waveguide
[24] microwave oven

جو لاپلاس مساوات ہے حاصل ہوتا ہے۔یوں غیر سمتی مقناطیسی دباو لاپلاس مساوات پر پورا اترتا ہے۔ہم دیکھیں گے کہ ہر طرف یکساں خاصیت کے مقناطیسی اشیاء میں بھی V_m لاپلاس مساوات پر پورا اترتا ہے۔یاد رہے کہ V_m صرف اور صرف کثافت برقی رو سے پاک مقامات پر درست ثابت ہوتا ہے۔

اگلے باب میں V_m پر تفصیلی غور کیا جائے گا۔یہاں یہ بتلانا ضروری ہے کہ چونکہ مقناطیسی میدان بقائی میدان نہیں ہے لہٰذا V_m کی قیمت اٹل نہیں ہو گی۔آپ کو یاد ہو گا کہ برقی میدان میں کسی نقطے کو برقی زمین رکھتے ہوئے کسی دوسرے نقطے پر برقی دباو اٹل قیمت رکھتی ہے۔مقناطیسی میدان میں ایسا ممکن نہیں ہے۔ایسی ایک مثال دیکھنے کی خاطر z محدد پر رکھی لامحدود لمبائی کے تار پر غور کرتے ہیں جس میں $\boldsymbol{a}_z$ جانب I برقی رو گزر رہی ہو۔ایسی تار کے گرد جہاں $\boldsymbol{J}=0$ ہے

$$\boldsymbol{H}=\frac{I}{2\pi\rho}\boldsymbol{a}_\phi$$

ہو گا اور غیر سمتی مقناطیسی دباو حاصل کیا جا سکتا ہے۔مساوات 7.80 اور نلکی محدد میں V_m کے ڈھلوان کا زاویائی جزو لیتے ہوئے

$$\frac{I}{2\pi\rho}=-\frac{1}{\rho}\frac{\partial V_m}{\partial\phi}$$

یا

$$\frac{\partial V_m}{\partial\phi}=-\frac{I}{2\pi}$$

سے

$$V_m=-\frac{I}{2\pi}\phi$$

حاصل ہوتا ہے جہاں تکمل کے مستقل کو صفر چنا گیا ہے تاکہ $\phi=0$ پر مقناطیسی زمین ہو۔آپ دیکھ سکتے ہیں کہ $\phi=0$ پر $V_m=0$ ہے لہٰذا یہی مقناطیسی زمین ہے۔اب اگر ہم تار کے گرد پورا چکر کاٹیں تو ہم اسی مقناطیسی زمین پر دوبارہ پہنچتے ہیں لیکن مندرجہ بالا مساوات کے تحت $\phi=2\pi$ پر $V_m=-I$ کے برابر ہے نا کہ صفر۔تار کے گرد دو چکر کے بعد اسی نقطے پر $V_m=-2I$ حاصل ہوتا ہے۔آپ دیکھ سکتے ہیں کہ کسی بھی نقطے پر غیر سمتی مقناطیسی دباو کے متعدد قیمتیں ممکن ہیں۔آپ کو یاد ہو گا کہ برقی میدان میں ایک مرتبہ برقی زمین چننے کے بعد کسی بھی ایک نقطے پر ایک ہی برقی دباو کی قیمت حاصل ہوتی ہے۔

آئیں غیر سمتی مقناطیسی دباو کے متعدد قیمتوں کا ممکن ہونا سمجھیں۔ساکن برقی میدان میں

$$\nabla\times\boldsymbol{E}=0$$
$$\oint\boldsymbol{E}\cdot\mathrm{d}\boldsymbol{L}=0$$

ہوتا ہے لہٰذا دو نقطوں کے مابین لکیری تکمل

$$V_{ab}=-\int_b^a\boldsymbol{E}\cdot\mathrm{d}\boldsymbol{L}$$

کا دارومدار تکمل کے راہ پر منحصر نہیں ہوتا۔ساکن مقناطیسی میدان میں

$$\nabla\times\boldsymbol{H}=0\qquad(\boldsymbol{J}=0)$$

ہوتا ہے لیکن

$$\oint\boldsymbol{H}\cdot\mathrm{d}\boldsymbol{L}=I$$

کے برابر ہوتا ہے اگرچہ تکمل کے راہ پر $\boldsymbol{J} = 0$ ہے۔یوں تکمل لیتے ہوئے جب بھی ایک چکر پورا ہو، تکمل کے قیمت میں I برابر اضافہ آئے گا۔ہاں اگر تکمل کی راہ صفر برقی رو گھیرے تب غیر سمتی مقناطیسی دباو بھی ایک قیمت رکھے گا۔ان حقائق کو مد نظر رکھتے ہوئے غیر سمتی مقناطیسی دباو

$$V_{ab} = -\int_b^a \boldsymbol{H} \cdot \mathrm{d}\boldsymbol{L} \qquad \text{(قیمت راہ پر منحصر ہے)} \tag{7.82}$$

بیان کی جاتی ہے۔ہم یہ فیصلہ کر سکتے ہیں کہ غیر سمتی مقناطیسی دباو حاصل کرتے وقت صرف ایک چکر کاٹا جائے گا۔اس شرط پر چلتے ہوئے V_m ایک قیمت رکھے گا۔یہ آپ مندرجہ بالا مثال سے دیکھ سکتے ہیں یعنی

$$V_m = -\frac{I}{2\pi}\phi \qquad (-\pi < \phi \leq \pi) \tag{7.83}$$

کی صورت میں $\phi = 0$ پر $V_m = 0$ ہی حاصل ہوتا ہے۔اس مساوات میں چکر کی وضاحت ضروری ہے۔صفر زاویہ سے شروع ہو کر اگر زاویہ ϕ مثبت جانب بڑھایا جائے تو $\phi = \pi$ تک پہنچا جا سکتا ہے۔اس کے برعکس اگر صفر زاویہ سے شروع ہو کر زاویہ ϕ منفی کرتے ہوئے $\phi = \pi$ تک پہنچنے کی کوشش کی جائے تو ایسا ممکن نہیں ہے۔یوں $\phi = \pi$ پر V_m کی ایک عدد قیمت ہو گی۔

مشق 7.7: کارتیسی محدد استعمال کرتے ہوئے مثال 7.3 کے طرز پر ثابت کریں کہ کسی بھی غیر سمتی متغیرہ کے ڈھلوان کی گردش صفر کے برابر ہو گی یعنی

$$\nabla \times (\nabla V) = 0 \tag{7.84}$$

آئیں اب سمتی مقناطیسی دباو پر غور کرتے ہیں۔ہم شروع

$$\nabla \cdot \boldsymbol{B} = 0 \tag{7.85}$$

سے کرتے ہیں۔سمتی مقناطیسی دباو کو اس مساوات کے ہم آہنگ ہونا ہو گا۔مساوات 7.66 میں ہم دیکھ چکے ہیں کہ کسی بھی سمتی متغیرہ کے گردش کا پھیلاو صفر کے برابر ہوتا ہے لہٰذا اگر $\boldsymbol{B}$ سمتی متغیرہ A کا گردش

$$\boldsymbol{B} = \nabla \times \boldsymbol{A} \tag{7.86}$$

ہو تب بھی $\boldsymbol{B}$ کا پھیلاو

$$\nabla \cdot \nabla \times \boldsymbol{A} = 0$$

ہی ہو گا۔ہم مساوات 7.86 میں دئے $\boldsymbol{A}$ کو سمتی مقناطیسی دباو کی تعریف مان کر آگے بڑھتے ہیں۔یوں سمتی مقناطیسی دباو خود بخود مساوات 7.85 کے ہم آہنگ ہو گا۔یوں

$$\boldsymbol{H} = \frac{1}{\mu_0}\nabla \times \boldsymbol{A}$$

اور

$$\nabla \times \boldsymbol{H} = \boldsymbol{J} = \frac{1}{\mu_0}\nabla \times \nabla \times \boldsymbol{A}$$

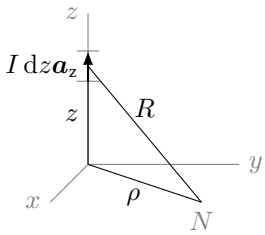

شکل 7.20: تار کے چھوٹے حصے سے پیدا سمتی مقناطیسی دباو۔

حاصل ہوتے ہیں۔ کسی بھی سمتی متغیرہ کے گردش کا گردش عموماً صفر کے برابر نہیں ہوتا۔ سمتی مقناطیسی دباو $\boldsymbol{A}$ کی اکائی ویبر فی میٹر $\frac{\mathrm{Wb}}{\mathrm{m}}$ ہے۔ گردش کے گردش کی قدر مختلف صورت صفحہ 216 پر مساوات 7.41 میں حاصل کی گئی ہے۔

ہم حصہ 7.7.1 میں دیکھیں گے کہ $\boldsymbol{B}$ اور $\boldsymbol{A}$ کے تعریف اور بایوٹ سیوارٹ کے قانون سے

$$\boldsymbol{A} = \oint \frac{\mu_0 I \, \mathrm{d}\boldsymbol{L}}{4\pi R} \tag{7.87}$$

لکھا جا سکتا ہے۔ ہم نے $\boldsymbol{A}$ کی تعریف اس کے گردش کے ذریعے کی ہے۔ چونکہ ڈھلوان کا گردش صفر کے برابر ہوتا ہے لہٰذا ہم مندرجہ بالا مساوات کے ساتھ کسی غیر سمتی متغیرہ کا ڈھلوان بھی جمع کر سکتے ہیں۔ ایسا کرنے سے $\boldsymbol{B}$ یا $\boldsymbol{H}$ کے قیمتوں پر کوئی اثر نہ پڑتا۔ ساکن مقناطیسی میدان میں عموماً ڈھلوان جمع نہیں کیا جاتا اور اس مساوات کو یوں ہی رکھا جاتا ہے۔

ساکن برقی دباو کے مساوات

$$V = \int \frac{\rho_L \, \mathrm{d}\boldsymbol{L}}{4\pi\epsilon_0 R}$$

کے ساتھ مساوات 7.87 کا موازنہ کرنے سے یہ بات بہتر سمجھ میں آتی ہے کہ $\boldsymbol{A}$ واقع سمتی مقناطیسی دباو ہی ہے۔ یہ دونوں مساوات لکیری تکمل دیتے ہیں۔ ایک برقی رو اور دوسرا کثافت چارج کا لکیری تکمل دیتا ہے۔ دونوں میں تفرقی فاصلے $\mathrm{d}\boldsymbol{L}$ کا اثر R کے بالعکس متناسب ہے اور دونوں مساوات میں خالی خلاء کے خاصیت یعنی μ_0 اور ϵ_0 استعمال ہوتے ہیں۔

مساوات 7.87 کی تفرق شکل

$$\mathrm{d}\boldsymbol{A} = \frac{\mu_0 I \, \mathrm{d}\boldsymbol{L}}{4\pi R} \tag{7.88}$$

بھی لکھی جا سکتی ہے جب تک $\mathrm{d}\boldsymbol{L}$ سے حاصل $\mathrm{d}\boldsymbol{A}$ کا کوئی مطلب نہ لیا جائے۔ یاد رہے کہ جب تک بند تکمل پورا نہ لیا جائے، حاصل $\boldsymbol{A}$ کوئی معنی نہیں رکھتا۔

شکل 7.20 میں z محدد پر لامحدود لمبائی کے برقی رو گزارتے تار کا چھوٹا حصہ $\mathrm{d}\boldsymbol{L}$ دکھایا گیا ہے۔ نقطہ N پر یہ

$$\mathrm{d}\boldsymbol{A} = \frac{\mu_0 I \, \mathrm{d}z \boldsymbol{a}_z}{4\pi\sqrt{\rho^2 + z^2}}$$

یا

$$\mathrm{d}A_z = \frac{\mu_0 I \, \mathrm{d}z}{4\pi\sqrt{\rho^2 + z^2}}\,, \quad \mathrm{d}A_\rho = 0, \quad \mathrm{d}A_\phi = 0 \tag{7.89}$$

سمتی مقناطیسی دباو پیدا کرے گا۔آپ دیکھ سکتے ہیں کہ تار کے ہر چھوٹے حصے کا پیدا کردہ سمتی مقناطیسی دباو تار کے اسی حصے کی سمت میں ہو گا۔

مقناطیسی شدت نلکی محدد میں مندرجہ بالا مساوات کے گردش

$$\begin{aligned}\mathrm{d}\boldsymbol{H} = \frac{1}{\mu_0}\nabla\times\mathrm{d}\boldsymbol{A} &= \frac{1}{\mu_0}\left(-\frac{\partial\,\mathrm{d}A_z}{\partial\rho}\right)\boldsymbol{a}_\phi\\ &= \frac{I\,\mathrm{d}z}{4\pi}\frac{\rho\boldsymbol{a}_\phi}{\left(\rho^2+z^2\right)^{\frac{3}{2}}}\end{aligned}$$

سے حاصل ہو گا۔یہی مساوات شکل 7.20 کو دیکھتے ہوئے بایوٹ سیوارٹ کے مساوات سے لکھی جا سکتی ہے۔

سمتی مقناطیسی دباو $\boldsymbol{A}$ کے کلیات دیگر اشکال کے کثافت برقی رو کے لئے بھی لکھا جا سکتے ہیں۔یوں سطحی کثافت برقی رو $\boldsymbol{K}$ کے لئے برقی رو کے چھوٹے حصے کو

$$I\,\mathrm{d}\boldsymbol{L} = \boldsymbol{K}\,\mathrm{d}S$$

اور حجمی کثافت برقی رو $\boldsymbol{J}$ کے لئے

$$I\,\mathrm{d}\boldsymbol{L} = \boldsymbol{J}\,\mathrm{d}h$$

لکھے جا سکتے ہیں۔ لکیری برقی رو کے چھوٹے حصے کو عموماً $I\,\mathrm{d}\boldsymbol{L}$ لکھا جاتا ہے۔یوں برقی رو کو غیر سمتی تصور کرتے ہوئے فاصلے کو سمتی تصور کیا جاتا ہے۔اس کے برعکس مندرجہ بالا دو مساوات میں کثافت برقی رو کو سمتی مقدار تصور کیا گیا جبکہ تفرقی سطح $\mathrm{d}S$ اور تفرقی حجم $\mathrm{d}h$ کو غیر سمتی تصور کیا گیا۔یوں $\boldsymbol{A}$ کے دیگر کلیے

$$\boldsymbol{A} = \int_S \frac{\mu_0\boldsymbol{K}\,\mathrm{d}S}{4\pi R} \tag{7.90}$$

اور

$$\boldsymbol{A} = \int_h \frac{\mu_0\boldsymbol{J}\,\mathrm{d}h}{4\pi R} \tag{7.91}$$

ہیں۔

سمتی مقناطیسی دباو مختلف اشکال کے برقی رو اور کثافت برقی رو سے مندرجہ بالا مساوات کی مدد سے حاصل ہوتے ہیں۔برقی دباو کی طرح سمتی مقناطیسی دباو کا زمین بھی لامحدود فاصلے پر رکھا جاتا ہے یعنی $R \to \infty$ پر $\boldsymbol{A} \to 0$ تصور کیا جاتا ہے۔لامحدود فاصلے پر کوئی بھی برقی رو $R \to \infty$ کی بنا پر سمتی مقناطیسی دباو پر کوئی اثر نہیں ڈال سکتا۔

مثال 7.6: رداس a کے موصل تار میں یکساں برقی رو I گزر رہی ہے۔تار کے اندر $\boldsymbol{B}$ حاصل کرتے ہوئے $\boldsymbol{A}$ بھی حاصل کریں۔

حل: تار کو z محدد پر پڑا تصور کرتے ہیں۔تار کے اندر ρ رداس کا بند دائرہ $\frac{I\pi\rho^2}{\pi a^2}$ برقی رو گھیرے گی لہٰذا اس دائرے پر $\boldsymbol{B} = \frac{\mu_0 I\rho}{2\pi a^2}\boldsymbol{a}_\phi$ ہو گا۔آپ دیکھ سکتے ہیں کہ $\boldsymbol{B}$ کا صرف زاویائی جزو پایا جاتا ہے۔یوں $\boldsymbol{A}$ کے گردش کو مساوات 7.55 کی مدد سے لکھتے ہوئے صرف زاویائی جزو لیتے ہیں۔اس طرح

$$B_\phi = \frac{\partial A_\rho}{\partial z} - \frac{\partial A_z}{\partial \rho}$$

لکھا جا سکتا ہے۔چونکہ برقی رو $\boldsymbol{a}_{\mathrm{Z}}$ سمت میں ہے لہٰذا $\boldsymbol{A}$ کا صرف A_z جزو متوقع ہے لہٰذا مندرجہ بالا مساوات

$$B_\phi = -\frac{\partial A_z}{\partial \rho}$$

یعنی

$$-\frac{\partial A_z}{\partial \rho} = \frac{\mu_0 I \rho}{2\pi a^2}$$

صورت اختیار کر لے گا جس سے

$$A_z = \frac{\mu_0 I \rho^2}{4\pi a^2} + M$$

حاصل ہوتا ہے جہاں M تکمل کا مستقل ہے۔

7.7 ساکن مقناطیسی میدان کے قوانین کا حصول

ساکن مقناطیس میدان کے تمام قوانین بایوٹ سیوارٹ کے قانون،

$$\boldsymbol{H} = \oint \frac{I\,\mathrm{d}\boldsymbol{L} \times \boldsymbol{a}_{\mathrm{R}}}{4\pi R^2} \tag{7.92}$$

سمتی مقناطیسی دباو کے تعریف

$$\boldsymbol{B} = \nabla \times \boldsymbol{A} \tag{7.93}$$

اور مقناطیسی میدان کی شدت اور کثافت مقناطیسی بہاو کے تعلق

$$\boldsymbol{B} = \mu_0 \boldsymbol{H} \tag{7.94}$$

سے حاصل کئے جا سکتے ہیں۔آئیں ایسا ہی کرتے ہیں۔امید کی جاتی ہے کہ طلبہ و طالبات مندرجہ ذیل ثبوت کو سمجھتے ہوئے پڑھیں گے۔آپ سے گزارش کی جاتی ہے کہ انہیں یاد کرنے کی کوشش نہ کریں۔

7.7.1 سمتی مقناطیسی دباو

سمتی مقناطیسی دباو $\boldsymbol{A}$ کی مساوات

$$\boldsymbol{A} = \int_h \frac{\mu_0 \boldsymbol{J}\,\mathrm{d}h}{4\pi R} \tag{7.95}$$

ثابت کرنے کی خاطر ہم اس سے بایوٹ سیوارٹ کا قانون یعنی مساوات 7.92 حاصل کرتے ہیں۔مساوات 7.91 میں (x_2, y_2, z_2) پر سمتی مقناطیسی دباو دی گئی ہے جبکہ (x_1, y_1, z_1) وہ مقام ہے جہاں برقی رو گزارتا تار کا چھوٹا حصہ پایا جاتا ہے۔یوں چھوٹے حجم کو $\mathrm{d}h_1$ لکھیں گے جو $\mathrm{d}x_1\,\mathrm{d}y_1\,\mathrm{d}z_1$ کے برابر ہو گا۔تکمل کے متغیرات x_1، y_1 اور z_1 ہیں۔یوں

$$\boldsymbol{A}_2 = \int_h \frac{\mu_0 \boldsymbol{J}_1\,\mathrm{d}h_1}{4\pi R_{21}} \tag{7.96}$$

لکھا جا سکتا ہے۔اب

$$\boldsymbol{H}_2 = \frac{\boldsymbol{B}_2}{\mu_0} = \frac{\nabla_2 \times \boldsymbol{A}_2}{\mu_0}$$

کے برابر ہے جہاں ∇_2 کے زیر نوشت میں 2 لکھ کر یاد دہانی کرائی گئی ہے کہ گردش نقطہ (x_2, y_2, z_2) پر حاصل کیا جائے گا لہٰذا گردش کے متغیرات بھی x_2، y_2 اور z_2 ہی ہوں گے۔آپ کو یاد ہو گا کہ صفحہ 108 پر مثال 4.4 میں ڈھلوان حاصل کرتے ہوئے بالکل اسی طرح کیا گیا تھا۔یوں موجودہ مسئلے میں گردش حاصل کرتے وقت تمام تفرق x_2، y_2 اور z_2 کے ساتھ لئے جائیں گے۔

اس طرح مساوات 7.96 سے $\boldsymbol{A}_2$ پر کرتے ہوئے

$$\boldsymbol{H}_2 = \frac{1}{\mu_0}\nabla_2 \times \int_h \frac{\mu_0 \boldsymbol{J}_1\,\mathrm{d}h_1}{4\pi R_{21}}$$

حاصل ہوتا ہے۔گردش بنیادی طور پر تفرق کا عمل ہے۔اس مساوات میں تکمل کا گردش حاصل کیا جا رہا ہے۔تکمل اور تفرق جس ترتیب سے حاصل کئے جائیں، اس کا حاصل جواب پر کوئی اثر نہیں ہے لہٰذا ہم تفرق کے عمل کو تکمل کے اندر لے جا سکتے ہیں جبکہ $\frac{\mu_0}{4\pi}$ مستقل ہے جسے تکمل کے باہر لایا جا سکتا ہے۔یوں

$$\boldsymbol{H}_2 = \frac{1}{4\pi}\int_h \nabla_2 \times \frac{\boldsymbol{J}_1\,\mathrm{d}h_1}{R_{21}}$$

لکھا جا سکتا ہے۔یہاں $\mathrm{d}h_1 = \mathrm{d}x_1\,\mathrm{d}y_1\,\mathrm{d}z_1$ پہلے تو مقداری ہے جس کا گردش حاصل نہیں کیا جا سکتا۔اس کے علاوہ اس کا x_2، y_2 اور z_2 کے ساتھ تفرق صفر کے برابر ہے لہٰذا اسے گردش کے عمل سے باہر لکھا جا سکتا ہے یعنی

$$\boldsymbol{H}_2 = \frac{1}{4\pi}\int_h \left(\nabla_2 \times \frac{\boldsymbol{J}_1}{R_{21}}\right)\mathrm{d}h_1 \tag{7.97}$$

یہاں سمتیہ $\boldsymbol{J}$ ضرب مقداری $\frac{1}{R_{21}}$ کا گردش لیا جا رہا ہے۔مثال 7.2 میں کسی بھی سمتیہ $\boldsymbol{S}$ اور مقداری M کے حاصل ضرب کی گردش

$$\nabla \times (M\boldsymbol{S}) \equiv (\nabla M) \times \boldsymbol{S} + M(\nabla \times \boldsymbol{S}) \tag{7.98}$$

حاصل کی گئی۔اس کی مدد سے مساوات 7.97 کو کھولتے ہیں جہاں سمتیہ $\boldsymbol{J}_1$ اور مقداری $\frac{1}{R_{21}}$ ہیں۔

$$\boldsymbol{H}_2 = \frac{1}{4\pi}\int_h \left[\left(\nabla_2 \frac{1}{R_{21}}\right) \times \boldsymbol{J}_1 + \frac{1}{R_{21}}(\nabla_2 \times \boldsymbol{J}_1)\right]\mathrm{d}h_1 \tag{7.99}$$

اس مساوات کے دوسرے جزو میں $\boldsymbol{J}_1$ صرف x_1، y_1 اور z_1 پر منحصر ہے۔نقطہ (x_2, y_2, z_2) کا اس پر کسی قسم کا کوئی اثر نہیں لہٰذا $\boldsymbol{J}_1$ کے تمام تفرق جو x_2، y_2 اور z_2 کے ساتھ لئے جائیں صفر کے برابر ہوں گے۔یوں $\nabla_2 \times \boldsymbol{J}_1 = 0$ ہو گا۔

صفحہ 109 پر مساوات 4.48 کے استعمال سے مندرجہ بالا مساوات

$$\boldsymbol{H}_2 = -\frac{1}{4\pi}\int_h \frac{\boldsymbol{a}_{R21} \times \boldsymbol{J}_1}{R_{21}^2}\,\mathrm{d}h_1$$

یا

$$\boldsymbol{H}_2 = \frac{1}{4\pi}\int_h \frac{\boldsymbol{J}_1 \times \boldsymbol{a}_{R21}}{R_{21}^2}\,\mathrm{d}h_1$$

لکھی جا سکتی ہے۔اس میں $\boldsymbol{J}_1\,\mathrm{d}h_1$ کی جگہ لکیری انداز میں $I_1\,\mathrm{d}\boldsymbol{L}_1$ پر کرتے ہوئے اور بند تکمل لکھ کر جانی پہچانی بایوٹ سیوارٹ مساوات

$$\boldsymbol{H}_2 = \oint_h \frac{I\,\mathrm{d}\boldsymbol{L}_1 \times \boldsymbol{a}_{R21}}{4\pi R_{21}^2}$$

حاصل ہوتی ہے۔یوں ثابت ہوتا ہے کہ مساوات 7.96 درست ہے اور یہ مساوات ، مساوات — اور مساوات پر پورا اترتا ہے۔

7.7.2 ایمپیئر کا دوری قانون

آئیں اب ایمپیئر کے دوری قانون کی نقطہ شکل

$$\nabla \times \boldsymbol{H} = \boldsymbol{J} \tag{7.100}$$

کو بایوٹ سیوارٹ کے قانون سے حاصل کریں۔

شروع کرتے ہیں مساوات 7.93 اور مساوات 7.94 سے جن سے

$$\nabla \times \boldsymbol{H} = \nabla \times \frac{\boldsymbol{B}}{\mu_0} = \frac{1}{\mu_0}\nabla \times \nabla \times \boldsymbol{A} \tag{7.101}$$

لکھا جا سکتا ہے۔صفحہ 216 پر مساوات 7.41 استعمال کرتے ہوئے یوں

$$\nabla \times \boldsymbol{H} = \frac{1}{\mu_0}\left[\nabla\left(\nabla \cdot \boldsymbol{A}\right) - \nabla^2 \boldsymbol{A}\right] \tag{7.102}$$

لکھا جا سکتا ہے۔مندرجہ بالا مساوات میں پھیلاو اور لاپلاسی کے عمل درکار ہیں۔

پھیلاو کو پہلے حل کرتے ہیں۔مساوات 7.96 کی پھیلاو

$$\nabla_2 \cdot \boldsymbol{A}_2 = \frac{\mu_0}{4\pi}\int_h \nabla_2 \cdot \frac{\boldsymbol{J}_1}{R_{21}}\,\mathrm{d}h_1 \tag{7.103}$$

لکھی جا سکتی ہے۔صفحہ 120 پر مثال 4.7 میں سمتیہ $\boldsymbol{D}$ اور مقداری V کے لئے

$$\nabla \cdot (V\boldsymbol{D}) = V(\nabla \cdot \boldsymbol{D}) + \boldsymbol{D} \cdot (\nabla V)$$

ثابت کیا گیا۔یہاں سمتیہ $\boldsymbol{J}_1$ جبکہ مقداری $\frac{1}{R_{21}}$ ہیں لہٰذا اس مساوات کو یوں لکھا جا سکتا ہے

$$\nabla \cdot \left(\frac{\boldsymbol{J}_1}{R_{21}}\right) = \frac{1}{R_{21}}(\nabla \cdot \boldsymbol{J}_1) + \boldsymbol{J}_1 \cdot \left(\nabla \frac{1}{R_{21}}\right) \tag{7.104}$$

جس کی مدد سے

$$\nabla_2 \cdot \boldsymbol{A}_2 = \frac{\mu_0}{4\pi}\int_h \left[\frac{1}{R_{21}}(\nabla_2 \cdot \boldsymbol{J}_1) + \boldsymbol{J}_1 \cdot \left(\nabla_2 \frac{1}{R_{21}}\right)\right]\mathrm{d}h_1 \tag{7.105}$$

ہو گا۔

چونکہ $\boldsymbol{J}_1$ صرف متغیرات x_1، y_1 اور z_1 پر منحصر ہے لہٰذا اس کے x_2، y_2 اور z_2 کے ساتھ تفرق صفر کے برابر ہوں گے لہٰذا $\nabla_2 \cdot \boldsymbol{J}_1 = 0$ ہو گا۔

ہم صفحہ 109 پر مساوات 4.50

$$\nabla_1 \frac{1}{R_{21}} = -\nabla_2 \frac{1}{R_{21}}$$

کو استعمال کرتے ہوئے یوں

$$\nabla_2 \cdot \boldsymbol{A}_2 = \frac{\mu_0}{4\pi} \int_h \left[-\boldsymbol{J}_1 \cdot \left(\nabla_1 \frac{1}{R_{21}} \right) \right] \mathrm{d}h_1 \tag{7.106}$$

لکھ سکتے ہیں۔ مساوات 7.104 کے دوبارہ استعمال سے

$$\nabla_2 \cdot \boldsymbol{A}_2 = \frac{\mu_0}{4\pi} \int_h \left[\frac{1}{R_{21}} (\nabla_1 \cdot \boldsymbol{J}_1) - \nabla_1 \cdot \left(\frac{\boldsymbol{J}_1}{R_{21}} \right) \right] \mathrm{d}h_1 \tag{7.107}$$

حاصل ہوتا ہے۔ مساوات 7.67 کہتا ہے کہ ساکن مقناطیسی میدان صرف اس صورت پیدا ہو گا جب $\nabla \cdot \boldsymbol{J} = 0$ ہو۔ چونکہ ہمیں ساکن مقناطیسی میدان سے ہی غرض ہے لہٰذا مندرجہ بالا مساوات میں سے

$$\nabla_2 \cdot \boldsymbol{A}_2 = -\frac{\mu_0}{4\pi} \int_h \nabla_1 \cdot \left(\frac{\boldsymbol{J}_1}{R_{21}} \right) \mathrm{d}h_1 \tag{7.108}$$

حاصل ہوتا ہے۔ صفحہ 87 پر مساوات 3.43 مسئلہ پھیلاو بیان کرتا ہے جس کے تحت حجمی تکمل کو سطحی تکمل کی صورت میں لکھا جا سکتا ہے۔ اسے استعمال کرتے ہوئے یوں

$$\nabla_2 \cdot \boldsymbol{A}_2 = -\frac{\mu_0}{4\pi} \oint_{S_1} \frac{\boldsymbol{J}_1}{R_{21}} \cdot \mathrm{d}\boldsymbol{S}_1 \tag{7.109}$$

حاصل ہوتا ہے جہاں سطح S_1 اس تمام حجم کو گھیرتی ہے جس پر حجمی تکمل حاصل کیا گیا تھا۔ چونکہ حجمی تکمل اس غرض سے حاصل کیا گیا تھا کہ ساکن مقناطیسی میدان پیدا کرنے والے برقی رو کو مکمل طور پر شامل کیا جائے لہٰذا اس حجم کے باہر کسی قسم کا کوئی برقی رو نہیں پایا جاتا۔ اگر حجم سے باہر کوئی بھی برقی رو ہوتی تب ہمیں حجم کو بڑھا کر اس برقی رو کے اثر کو بھی شامل کرنا ہوتا۔ ہم تکمل لیتے ہوئے حجم کو قدر اور بڑھا سکتے ہیں تا کہ اس کی سطح کو برقی رو نہ چھوئے۔ ہم ایسا اس لئے کر سکتے ہیں کہ برقی رو سے خالی حجم کے شمول سے تکمل کی قیمت تبدیل نہیں ہوتی۔ یوں ضرورت سے زیادہ حجم پر تکمل سے مراد یہ بھی ہے کہ سطحی تکمل ایسی سطح پر لی جائے جس پر کثافت برقی رو صفر کے برابر ہو۔ صفر کثافت برقی رو کا سطحی تکمل صفر کے برابر ہوتا ہے لہٰذا مندرجہ بالا مساوات سے

$$\nabla \cdot \boldsymbol{A} = 0 \tag{7.110}$$

حاصل ہوتا ہے جو کہتا ہے کہ سمتی مقناطیسی دباو کا پھیلاو صفر کے برابر ہے۔ اس مساوات میں زیر نوشت میں 2 نہیں لکھا گیا ہے جو اس نقطے کی نشاندہی کرتا ہے جہاں مقناطیسی میدان کی بات ہو رہی ہو۔ پھیلاو بھی اسی نقطے پر حاصل کیا جاتا ہے۔ یاد رہے کہ ہم مساوات 7.102 حل کرنے کی خاطر پھیلاو اور لاپلاسی حاصل کرنے نکلے تھے۔ پھیلاو حاصل ہو چکا ہے آئیں اب لاپلاسی حاصل کریں۔

برقی دباو اور سمتی مقناطیسی دباو کے ایک جزو

$$V = \int_h \frac{\rho \, \mathrm{d}h}{4\pi\epsilon_0 R}$$
$$A_x = \int_h \frac{\mu_0 J_x \, \mathrm{d}h}{4\pi R}$$

کا موازنہ کرنے سے صاف ظاہر ہے کہ ρ اور J_x کو آپس میں تبدیل کرتے ہوئے اور $\frac{1}{\epsilon_0}$ اور μ_0 کو آپس میں تبدیل کرتے ہوئے ایک مساوات سے دوسری مساوات حاصل کی جا سکتی ہے۔اب ہم پوئسن مساوات

$$\nabla^2 V = -\frac{\rho}{\epsilon_0}$$

میں یہی تبدیلیاں کرتے ہوئے

$$\nabla^2 A_x = -\mu_0 J_x$$

اور

$$\nabla^2 A_y = -\mu_0 J_y$$
$$\nabla^2 A_z = -\mu_0 J_z$$

لکھ سکتے ہیں جنہیں یوں

$$\nabla^2 \boldsymbol{A} = -\mu_0 \boldsymbol{J} \tag{7.111}$$

بھی لکھا جا سکتا ہے۔

مساوات 7.102 میں مساوات 7.110 اور مساوات 7.111 استعمال کرتے ہوئے یوں ایمپیئر کے دوری قانون کی نقطہ شکل

$$\nabla \times \boldsymbol{H} = \boldsymbol{J} \tag{7.112}$$

حاصل ہوتی ہے۔

مثال 7.7: مندرجہ بالا حصے میں برقی دباو کے لاپلاسی سے سمتی مقناطیسی دباو کی لاپلاسی اخذ کی گئی۔ سمتی مقناطیسی دباو کے لاپلاسی کو ایمپیئر کے دوری قانون اور $\boldsymbol{A}$ کی تعریف سے حاصل کریں۔

حل: ایمپیئر کے دوری قانون کی نقطہ شکل اور $\boldsymbol{A}$ کی تعریف

$$\nabla \times \boldsymbol{H} = \boldsymbol{J}$$
$$\boldsymbol{B} = \nabla \times \boldsymbol{A}$$

سے

$$\nabla \times \nabla \times \boldsymbol{A} = \mu_0 \boldsymbol{J}$$

لکھا جا سکتا ہے جہاں $\boldsymbol{B} = \mu_0 \boldsymbol{H}$ کا استعمال کیا گیا ہے۔صفحہ 216 پر مساوات 7.41 استعمال کرتے ہوئے

$$\nabla (\nabla \cdot \boldsymbol{A}) - \nabla^2 \boldsymbol{A} = \mu_0 \boldsymbol{J}$$

حاصل ہوتا ہے جسے مساوات 7.110 کی مدد سے

$$\nabla^2 \boldsymbol{A} = -\mu_0 \boldsymbol{J} \tag{7.113}$$

لکھا جا سکتا ہے۔

سوالات

سوال 7.1: لامحدود لمبائی کی سیدھی تار y محدد پر پڑی ہے۔اس میں $\boldsymbol{a}_y$ جانب $5\,\mathrm{mA}$ برقی رو گزر رہی ہے۔نقطہ $N(2,5,3)$ پر مقناطیسی میدان $\boldsymbol{H}$ اور $|\boldsymbol{H}|$ حاصل کریں۔اگر تار $x=3$ ، $z=-1$ پر ہو تب جوابات کیا ہوں گے۔دونوں تاروں کی موجودگی میں جوابات حاصل کریں۔

جوابات: $\boldsymbol{H}=184\boldsymbol{a}_x-122\boldsymbol{a}_z\,\frac{\mu\mathrm{A}}{\mathrm{m}}$ ، $|\boldsymbol{H}|=221\,\frac{\mu\mathrm{A}}{\mathrm{m}}$ ، $\boldsymbol{H}=187\boldsymbol{a}_x+47\boldsymbol{a}_z\,\frac{\mu\mathrm{A}}{\mathrm{m}}$ ، $|\boldsymbol{H}|=193\,\frac{\mu\mathrm{A}}{\mathrm{m}}$ ، $\boldsymbol{H}=371\boldsymbol{a}_x-75\boldsymbol{a}_z\,\frac{\mu\mathrm{A}}{\mathrm{m}}$ ، $|\boldsymbol{H}|=378\,\frac{\mu\mathrm{A}}{\mathrm{m}}$

سوال 7.2: مساوات 7.11 حاصل کریں۔

سوال 7.3: سطح $z=0$ پر y محدد کے متوازی لامحدود لمبائی کے آٹھ عدد تار پڑے ہیں جن میں $\boldsymbol{a}_y$ جانب $1\,\mathrm{A}$ برقی رو گزر رہی ہے۔یہ تار $y=-3.5$ ، $y=-2.5$ ، $\cdots$ ، $y=2.5$ ، $y=3.5$ پر پائے جاتے ہیں۔نقطہ $(0,0,1)$ اور $(0,0,50)$ پر $\boldsymbol{H}$ حاصل کریں۔

جوابات: $0.421\boldsymbol{a}_x$ ، $0.0254\boldsymbol{a}_x$ ؛ محدد پر پچاس گنا دور میدان صرف سترہ گنا کم ہے۔

سوال 7.4: چار میٹر لمبے تار کو چکور کی شکل دی جاتی ہے جس کا رقبہ $1\,\mathrm{m}^2$ ہے۔اس چکور کو $z=0$ سطح پر رکھا جاتا ہے۔تار میں برقی رو $10\,\mathrm{mA}$ گزرنے کی صورت میں چکور کے وسط $N(0,0,0)$ میں مقناطیسی میدان H حاصل کریں۔نقطہ $P(0,0,1)$ پر بھی میدان حاصل کریں۔

جوابات: $9\,\frac{\mathrm{mA}}{\mathrm{m}}$ ، $2.3\,\frac{\mathrm{mA}}{\mathrm{m}}$

سوال 7.5: شکل 7.8ا کے لامحدود سطح سے پیدا مقناطیسی میدان بایوٹ-سیوارٹ کے قانون کی مدد سے حاصل کریں۔

سوال 7.6: ایک تار کو دائری شکل دے کر سطح $z=0$ پر رکھا جاتا ہے۔دائرے کا رقبہ $1\,\mathrm{m}^2$ ہے۔تار میں $10\,\mathrm{mA}$ گزرنے کی صورت میں دائرے کے وسط $N(0,0,0)$ میں مقناطیسی میدان H حاصل کریں۔نقطہ $P(0,0,1)$ پر بھی میدان حاصل کریں۔

جوابات: $2.82\,\frac{\mathrm{mA}}{\mathrm{m}}$ ، $1.86\,\frac{\mathrm{mA}}{\mathrm{m}}$

سوال 7.7: محدد x اور y میں بڑھتے جانب $55\,\mathrm{mA}$ برقی رو گزر رہی ہے۔نقطہ $N(5,6,4)$ پر $\boldsymbol{H}$ حاصل کریں۔

جواب: $854\boldsymbol{a}_x-673\boldsymbol{a}_y-57\boldsymbol{a}_z\,\frac{\mu\mathrm{A}}{\mathrm{m}}$

سوال 7.8: مساوات 7.23 حاصل کرنے کے طرز پر شکل 7.11 میں 3 تا 4 پر H_{y34} حاصل کریں۔

جواب: شرح $\frac{\partial H_y}{\partial x}$ ہے۔یوں $-\frac{\Delta x}{2}$ تبدیلی سے $\frac{\partial H_y}{\partial x}\left(-\frac{\Delta x}{2}\right)$ تبدیلی رونما ہو گی اور یوں نئی قیمت $H_{y0}-\frac{\partial H_y}{\partial x}\frac{\Delta x}{2}$ ہو گی۔

سوال 7.9: عمومی محدد میں حاصل کردہ گردش کی مساوات سے کارتیسی محدد میں گردش کی مساوات حاصل کریں۔

سوال 7.10: سطحی رو $\boldsymbol{K} = \frac{8}{\rho}\boldsymbol{a}_\phi \frac{\text{A}}{\text{m}}$ خطہ $\rho = 3\,\text{m}$ تا $\rho = 7\,\text{m}$ میں پائی جاتی ہے۔ سطح $\phi = 0$ سے گزرتی کل برقی رو حاصل کریں۔نقطہ $N(0,0,z)$ پر $\boldsymbol{H}$ حاصل کرتے ہوئے میدان کی قیمت $z = 10$ پر دریافت کریں۔

جوابات: $I = 8\ln\frac{7}{3}\,\text{A}$ ، $\boldsymbol{H} = \left[\frac{4}{\sqrt{z^2+3^2}} - \frac{4}{\sqrt{z^2+7^2}}\right]\boldsymbol{a}_\text{z}$ ، $55.4\,\frac{\text{mA}}{\text{m}}$

سوال 7.11: سطحی رو $\boldsymbol{K} = 8\rho\boldsymbol{a}_\phi \frac{\text{A}}{\text{m}}$ خطہ $\rho = 3\,\text{m}$ تا $\rho = 7\,\text{m}$ میں پائی جاتی ہے۔ سطح $\phi = 0$ سے گزرتی کل برقی رو حاصل کریں۔نقطہ $N(0,0,z)$ پر $\boldsymbol{H}$ حاصل کرتے ہوئے میدان کی قیمت $z = 10$ پر دریافت کریں۔

جوابات: $I = 160\,\text{A}$ ، $\boldsymbol{H} = 4\left[\frac{2z^2+49}{\sqrt{(z^2+49)}} - \frac{2z^2+9}{\sqrt{z^2+9}}\right]\boldsymbol{a}_\text{z}$ ، $1.52\,\frac{\text{A}}{\text{m}}$

سوال 7.12: عمومی محدد میں حاصل کردہ گردش کی مساوات سے نلکی محدد میں گردش کی مساوات حاصل کریں۔

سوال 7.13: رداس a کے دائری چادر پر یکساں سطحی کثافت چارج ρ_S پائی جاتی ہے۔چادر کے محور کو محدد کے مرکز پر رکھتے ہوئے چادر کو سطح $z = 0$ پر رکھا جاتا ہے۔اگر چادر محور کے گرد زاویائی رفتار ω سے گھوم رہی ہو تب نقطہ $N(0,0,z)$ پر مقناطیسی میدان H کیا ہو گا؟ میدان کی قیمت $\rho_S = 5\,\frac{\mu\text{C}}{\text{m}^2}$ اور $\omega = 100\pi\,\frac{\text{rad}}{\text{s}}$ کی صورت میں $(0,0,0.1)$ پر حاصل کریں۔

جوابات: $\frac{\omega\rho_S}{2}\left[\frac{2z^2+4}{\sqrt{z^2+4}} - 2z\right]$ ، $1.42\,\frac{\text{mA}}{\text{m}}$

سوال 7.14: سطح $z = 0$ پر خطہ $x = -3\,\text{m}$ تا $x = 3\,\text{m}$ پر سطحی برقی رو $\boldsymbol{K} = 4\boldsymbol{a}_\text{y}\,\frac{\text{A}}{\text{m}}$ پائی جاتی ہے۔نقطہ $N(0,0,5)$ پر مقناطیسی میدان حاصل کریں۔

جواب: $0.688\boldsymbol{a}_\text{x}\,\frac{\text{A}}{\text{m}}$

سوال 7.15: گول دائرے پر برقی رو کا دائرے کے محور سے ہٹ کر مقناطیسی میدان کی شدت حاصل کرتے ہوئے مساوات 7.78 میں دئے بیضوی تکمل حاصل کئے گئے۔ان میں H_y کا عددی حل مثال 7.5 میں حاصل کیا گیا۔بالکل اسی طرز پر تکمل کو دس ٹکڑوں میں کرتے ہوئے H_z کی عددی قیمت نقطہ $N(0,a,a)$ پر حاصل کریں۔

جواب: $0.96525\left(\frac{I}{4\pi a}\right)$

سوال 7.16: سطح $x = 0$ پر سطحی برقی رو $1200\boldsymbol{a}_\text{z}\,\frac{\text{A}}{\text{m}}$ پائی جاتی ہے۔خطہ $0 < z < \infty$ ، $5 < y < 15$ پر برقی رو سے نقطہ $N(10,0,0)$ پر پیدا مقناطیسی میدان $\boldsymbol{H}$ حاصل کریں۔

جواب: $\boldsymbol{H} = 45.6\boldsymbol{a}_\text{x} + 49.6\boldsymbol{a}_\text{y}\,\frac{\text{A}}{\text{m}}$

سوال 7.17: خطہ $0 < z < 5$ میں یکساں کثافت برقی رو $15\boldsymbol{a}_\text{y}\,\frac{\text{A}}{\text{m}^2}$ پائی جاتی ہے۔ایمپیئر کے دوری قانون کی مدد سے ثابت کریں کہ $\boldsymbol{H}_{z<0} = -\boldsymbol{H}_{z>5}$ کے برابر ہے۔نقطہ $(2,5,7)$ اور نقطہ $(4,12,2)$ پر $\boldsymbol{H}$ حاصل کریں۔

جوابات: $37.5\boldsymbol{a}_{\mathrm{x}}\ \frac{\mathrm{A}}{\mathrm{m}}$ ، $-7.5\boldsymbol{a}_{\mathrm{x}}\ \frac{\mathrm{A}}{\mathrm{m}}$

سوال 7.18: محدد کے مرکز پر رداس a کا موصل کرہ پایا جاتا ہے۔ منفی z محدد پر $10\boldsymbol{a}_{\mathrm{z}}\ \mathrm{A}$ کی برقی رو، کرہ کی سطح پر نقطہ $(0,0,-a)$ تک پہنچتی ہے جہاں سے یہ کرہ کے سطح پر یکساں پھیل کر نقطہ $(0,0,a)$ تک پہنچتی ہے اور اس کے بعد مثبت z محدد پر بڑھتے جانب چلے جاتی ہے۔ کرہ کے اندر اور اس کے باہر مقناطیسی میدان حاصل کریں۔

جوابات: $0\ \frac{\mathrm{A}}{\mathrm{m}}$ ، $\frac{10}{2\pi\rho}\boldsymbol{a}_{\phi}\ \frac{\mathrm{A}}{\mathrm{m}}$

سوال 7.19: منفی z محدد سے برقی رو I موصل $\theta = 30^{\circ}$ سطح تک پہنچ کر سطح پر یکساں پھیل کر چلے جاتی ہے۔ نقطہ $(0,0,z)$ اور نقطہ $(5,5,5)$ پر مقناطیسی میدان H حاصل کریں۔

جوابات: $0\ \frac{\mathrm{A}}{\mathrm{m}}$ ، $\frac{I}{2\pi\sqrt{50}}\ \frac{\mathrm{A}}{\mathrm{m}}$

سوال 7.20: تفاعل $\boldsymbol{G} = (5x+yz)\boldsymbol{a}_{\mathrm{x}} + 3xyz\boldsymbol{a}_{\mathrm{y}} + \frac{x^2y}{z}\boldsymbol{a}_{\mathrm{z}}$ نقطہ $N(0.6,0.4,0.2)$ اور اس کے قریب پایا جاتا ہے۔ سطح $z = 0.2$ پر $2a$ لمبائی کے اطراف کے مربع لکیر پر $\oint \boldsymbol{G}\cdot \mathrm{d}\boldsymbol{L}$ حاصل کریں جہاں مربع کا مرکز نقطہ N پر ہے۔ لکیری تکمل کو مربع کے رقبے سے تقسیم کریں اور $a \to 0$ لیتے ہوئے $\nabla \times \boldsymbol{G}_z$ حاصل کریں۔

جوابات: چاروں اطراف کے لکیری تکمل $0.48a^2 + 0.288a$ ، $0.48a^2 - 0.288a$ ، $-0.4a^2 + 6.16a$ اور $-0.4a^2 - 6.16a$ ہیں۔ یوں $\nabla \times \boldsymbol{G}_z = 0.04$ ہے۔

سوال 7.21: مساوات 7.34 استعمال کرتے ہوئے تفاعل $\boldsymbol{G} = (5x+yz)\boldsymbol{a}_{\mathrm{x}} + 3xyz\boldsymbol{a}_{\mathrm{y}} + \frac{x^2y}{z}\boldsymbol{a}_{\mathrm{z}}$ کا نقطہ $N(0.6,0.4,0.2)$ پر $\nabla \times \boldsymbol{G}$ حاصل کریں۔ سوال 7.20 میں حاصل کئے گئے $\nabla \times \boldsymbol{G}_z$ کے ساتھ موازنہ کریں۔

جواب: $1.08\boldsymbol{a}_{\mathrm{x}} - 2\boldsymbol{a}_{\mathrm{y}} + 0.04\boldsymbol{a}_{\mathrm{z}}$

سوال 7.22: ہم محوری تار میں $\boldsymbol{E} = 3000\rho^{1.3}\cos(\omega t - 0.3z)\boldsymbol{a}_{\rho}\ \frac{\mathrm{V}}{\mathrm{m}}$ پایا جاتا ہے۔ تار میں $\nabla \times \boldsymbol{E}$ حاصل کریں۔

جواب: $900\rho^{1.3}\sin(\omega t - 0.3z)\boldsymbol{a}_{\phi}$

سوال 7.23: میدان $V = 5(x^2+y^2)$ اور $V = 10x^3 + y^2 + xz^4$ کے لئے $\nabla^2 V$ اور $\nabla \times \boldsymbol{E}$ حاصل کریں۔

جوابات: 20 ، 0 ، $60x + 2 + 12xz^2$ ، 0

سوال 7.24: میدان $\boldsymbol{H} = x^2y^2z\boldsymbol{a}_{\mathrm{x}} - xy^2z^2\boldsymbol{a}_{\mathrm{z}}$ دیا گیا ہے۔ مسئلہ سٹوکس کے دونوں اطراف باری باری استعمال کرتے ہوئے، سطح $y = 1$ میں خطہ $1 < x < 2$ ، $1 < z < 3$ سے $\boldsymbol{a}_{\mathrm{y}}$ جانب گزرتی برقی رو حاصل کریں۔

جواب: $13.3\ \mathrm{A}$

سوال 7.25: میدان $\boldsymbol{H} = \frac{2xy}{z^2}\boldsymbol{a}_\mathrm{x} - \frac{y^2}{z^2}\boldsymbol{a}_\mathrm{y} + x^2y^2\boldsymbol{a}_\mathrm{z}$ دیا گیا ہے۔ سطح $x = 0.5$ میں خطہ $1 < y < 2$ ، $2 < z < 3$ سے $\boldsymbol{a}_\mathrm{x}$ جانب گزرتی برقی رو درکار ہے۔ الف) برقی رو کو بذریعہ سطحی تکمل حاصل کریں۔ ب) برقی رو کو بذریعہ لکیری تکمل حاصل کریں

جواب: $0.426\,\mathrm{A}$

سوال 7.26: کروی محدد میں میدان $\boldsymbol{H} = \frac{50r}{\sin\theta}\boldsymbol{a}_\phi$ دیا گیا ہے۔ مسئلہ سٹوکس کے دونوں اطراف باری باری استعمال کرتے ہوئے کروی خطہ $r = 0.2$ ، $0 < \phi < 2\pi$ ، $0 < \theta < 60^\circ$ سے گزرتی برقی رو حاصل کریں۔

جواب: $5.44\,\mathrm{A}$

سوال 7.27: میدان $\boldsymbol{H} = \frac{4r^2}{\sin\theta}\boldsymbol{a}_\theta + 50r\sin\theta\boldsymbol{a}_\phi$ دیا گیا ہے۔ سطح $\theta = 45^\circ$ میں خطہ $0 < \phi < 2\pi$ ، $0 < r < 3$ سے $\boldsymbol{a}_\theta$ جانب گزرتی برقی رو حاصل کریں۔

جواب: $-1414\,\mathrm{A}$

سوال 7.28: پاکستان میں کل زمینی مقناطیسی میدان $45\,\mu\mathrm{T}$ تا $50\,\mu\mathrm{T}$ پایا جاتا ہے جس کا افقی جزو اوسطاً $30\,\mu\mathrm{T}$ کے لگ بھگ ہے۔ ایک تار جس میں $1\,\mathrm{A}$ کی برقی رو گزر رہی ہو، کتنے فاصلے پر زمینی میدان کے افقی جزو برابر مقناطیسی میدان پیدا کرے گی۔

جواب: $4.2\,\mathrm{cm}$

سوال 7.29: بیس سنٹی میٹر لمبائی اور پانچ سنٹی میٹر رداس کا پیچدار لچھا جس میں برقی رو گزر رہی ہو میں مقناطیسی میدان $\boldsymbol{H} = 200\boldsymbol{a}_\mathrm{z}\,\frac{\mathrm{A}}{\mathrm{m}}$ پایا جاتا ہے۔ نقطہ $N_1(0.02, 0^\circ, 0.02)$ اور $N_2(0.04, 50^\circ, 0.06)$ کے درمیان غیر سمتی مقناطیسی دباو V_{m21} حاصل کریں۔ سمتی مقناطیسی دباو $\nabla \times \boldsymbol{B} = \boldsymbol{A}$ سے حاصل کرتے ہوئے $\rho = 0$ پر $\boldsymbol{A} = 0$ لیتے ہوئے انہیں دو نقطوں کے مابین $\boldsymbol{A}_{21}$ حاصل کریں۔ یہ مساوات استعمال کرتے وقت $\boldsymbol{A}$ کا درست جزو اپنے علم سے چنیں۔

جوابات: $-8\,\mathrm{A}$ ، $2.5\boldsymbol{a}_\phi\,\frac{\mu\mathrm{Wb}}{\mathrm{m}}$

سوال 7.30: نلکی کثافت برقی رو $50\boldsymbol{a}_\mathrm{z}\,\frac{\mathrm{A}}{\mathrm{m}}$ رداس $\rho = 2\,\mathrm{m}$ پر پائی جاتی ہے جبکہ رداس $\rho = 4\,\mathrm{m}$ پر $25\boldsymbol{a}_\mathrm{z}\,\frac{\mathrm{A}}{\mathrm{m}}$ اور رداس $\rho = 5\,\mathrm{m}$ پر $-40\boldsymbol{a}_\mathrm{z}\,\frac{\mathrm{A}}{\mathrm{m}}$ پائے جاتے ہیں۔ زاویہ $\phi = 0$ پر $V_m = 0$ لیتے اور $\phi = 180^\circ$ کو رکاوٹ تصور کرتے ہوئے نقطہ $N_1(3.5, 60^\circ, 0)$ پر غیر سمتی مقناطیسی دباو V_m حاصل کریں۔

جوابات: $-66.6\,\mathrm{A}$

سوال 7.31: سطح $z = 0$ پر تار $x = 4$ میں $0.2\,\mathrm{A}$ کی برقی رو $\boldsymbol{a}_\mathrm{y}$ جانب پائی جاتی ہے جبکہ تار $x = -4$ میں $0.2\,\mathrm{A}$ برقی رو $-\boldsymbol{a}_\mathrm{y}$ جانب پائی جاتی ہے۔ محدد کے مرکز پر $V_m = 0$ لیتے ہوئے z محدد پر غیر سمتی مقناطیسی دباو V_m حاصل کریں۔

جواب: $-\frac{0.2}{\pi}\tan^{-1}\frac{z}{4}\,\mathrm{A}$

باب 8

مقناطیسی قوتیں، مقناطیسی مادے اور امالہ

برقی چارج کے گرد برقی میدان پایا جاتا ہے جس میں موجود ساکن یا حرکت کرتے چارج پر قوت دفع یا قوت کشش پایا جاتا ہے۔ مقناطیسی میدان برقی رو یعنی حرکت کرتے چارج سے پیدا ہوتا ہے اور اس میدان میں حرکت کرتے چارج پر قوت پائی جاتی ہے۔ مقناطیسی میدان ساکن چارج پر قوت پیدا نہیں کرتا۔

اس باب میں برقی رو گزارتی تار پر قوت اور مروڑ کا جائزہ لیا جائے گا۔ اس کے بعد مقناطیسی اشیاء اور آخر میں امالہ پر غور کیا جائے گا۔

8.1 متحرک چارج پر قوت

تجربے سے ثابت ہوتا ہے کہ برقی میدان میں چارج بردار ذرے پر

$$\boldsymbol{F} = Q\boldsymbol{E} \tag{8.1}$$

قوت اثر انداز ہوتی ہے۔ مثبت چارج کی صورت میں یہ قوت برقی میدان کے شدت $\boldsymbol{E}$ کی سمت میں ہوتی ہے۔ قوت کی قیمت چارج Q اور برقی میدان کی شدت $\boldsymbol{E}$ کے حاصل ضرب کے برابر ہوتی ہے۔ چارج ساکن ہو یا حرکت کر رہا ہو، اس پر قوت کی مقدار اسی مساوات سے حاصل ہوتی ہے۔

اسی طرح تجربے سے ثابت ہوتا ہے کہ مقناطیسی میدان میں ساکن چارج بردار ذرے پر مقناطیسی میدان کوئی قوت پیدا نہیں کرتا البتہ متحرک چارج بردار ذرے پر مقناطیسی میدان

$$\boldsymbol{F} = Q\boldsymbol{v} \times \boldsymbol{B} \tag{8.2}$$

قوت پیدا کرتا ہے۔ یہ قوت چارج کے براہ راست متناسب ہوتی ہے۔ اسی طرح قوت چارج کے رفتار $\boldsymbol{v}$، کثافت مقناطیسی میدان $\boldsymbol{B}$ اور ان دو کے مابین زاویے کے سائن کے بھی براہ راست متناسب ہوتی ہے۔ قوت کی سمت $\boldsymbol{v}$ اور $\boldsymbol{B}$ دونوں کے عمودی یعنی $\boldsymbol{v} \times \boldsymbol{B}$ سمت میں ہوتی ہے۔

مقناطیسی قوت رفتار کے عمودی ہے لہٰذا یہ رفتار کے قیمت پر اثر انداز نہیں ہوتا البتہ یہ اس کی سمت پر ضرور اثر ڈالتا ہے۔ اس طرح مقناطیسی قوت چارج بردار ذرے کے متحرک توانائی میں تبدیلی لانے سے قاصر ہے۔ اس کے برعکس برقی قوت جسے مساوات 8.1 بیان کرتا ہے چارج بردار ذرے کی

رفتار میں تبدیلی پیدا کرتے ہوئے حرکی توانائی میں تبدیلی پیدا کرتا ہے۔دونوں میدانوں میں یہ بنیادی فرق ہے کہ برقی میدان تبادلہ توانائی میں کردار ادا کرتا ہے جبکہ مقناطیسی میدان تبادلہ توانائی میں کردار ادا نہیں کرتا۔

دونوں میدانوں کے بیک وقت موجودگی میں چارج بردار ذرے پر کل قوت

$$\boldsymbol{F} = Q\left(\boldsymbol{E} + \boldsymbol{v} \times \boldsymbol{B}\right) \tag{8.3}$$

دونوں میدانوں سے علیحدہ علیحدہ پیدا قوتوں کے مجموعے کے برابر ہے۔مساوات 8.3 **لورنز مساوات قوت**[21] کہلاتی ہے۔برقی اور مقناطیسی میدانوں میں چارج بردار ذرے، مثلاً الیکٹران، کے راہ اسی مساوات کو حل کرتے ہوئے حاصل کئے جاتے ہیں۔

مشق 8.1: ایک عدد نقطہ چارج جس کی قیمت $-3\,\mathrm{C}$ اور رفتار $\boldsymbol{v} = 2\boldsymbol{a}_\mathrm{x} - 3\boldsymbol{a}_\mathrm{y} + \boldsymbol{a}_\mathrm{z}$ ہو پر مندرجہ ذیل میدانوں میں قوت کی حتمی قیمت حاصل کریں۔(الف) $\boldsymbol{E} = 3\boldsymbol{a}_\mathrm{x} - 2\boldsymbol{a}_\mathrm{y} - 5\boldsymbol{a}_\mathrm{z}$، (ب) $\boldsymbol{B} = -2\boldsymbol{a}_\mathrm{x} - 3\boldsymbol{a}_\mathrm{y} + 6\boldsymbol{a}_\mathrm{z}$، (پ) دونوں میدانوں کے بیک وقت موجودگی میں۔

جوابات: $18.49\,\mathrm{N}$ ، $71.3\,\mathrm{N}$ ، $78.7\,\mathrm{N}$

8.2 تفرقی چارج پر قوت

مقناطیسی میدان میں متحرک تفرقی چارج $\mathrm{d}Q$ پر تفرقی قوت $\mathrm{d}\boldsymbol{F}$ عمل کرے گی۔

$$\mathrm{d}\boldsymbol{F} = \mathrm{d}Q\boldsymbol{v} \times \boldsymbol{B} \tag{8.4}$$

آپ جانتے ہیں کہ منفی چارج کی باریک ترین مقدار الیکٹران کا چارج ہے۔مثبت چارج کی باریک ترین قیمت بھی اتنی ہی لیکن مثبت قطب کی ہے۔منفی چارج کو مثال بناتے ہوئے، یوں مندرجہ بالا مساوات میں تفرقی چارج سے مراد کم از کم اتنا چارج ہے جس میں الیکٹرانوں کی تعداد اتنی ہو کہ کسی ایک الیکٹران کے چارج کا اثر قابل نظر انداز ہو۔اسی طرح اس تفرقی چارج کا حجم اگرچہ چھوٹا ہے لیکن اس حجم کی جسامت الیکٹرانوں کے مابین اوسط فاصلے سے بہت زیادہ ہے۔مساوات 8.4 تفرقی چارج پر کل قوت دیتا ہے۔یہاں یہ سمجھ لینا ضروری ہے کہ یہ قوت کسی ایک الیکٹران پر اثر انداز نہیں ہوتا بلکہ یہ تمام الیکٹرانوں پر علیحدہ علیحدہ قوتوں کا مجموعہ ہے۔

موصل تار میں برقی رو، الیکٹران کے حرکت کی بدولت ہے۔برقی رو گزارتے تار کو مقناطیسی میدان میں رکھنے سے تار میں ہر الیکٹران پر مقناطیسی قوت کا اثر پایا جائے گا۔اگرچہ کسی ایک الیکٹران پر انتہائی کم قیمت کا قوت پایا جاتا ہے لیکن موصل تار میں الیکٹرانوں کی تعداد انتہائی زیادہ ہوتی ہے یوں انتہائی زیادہ تعداد میں انتہائی کم قوتوں کا مجموعہ معقول قیمت کی قوت پیدا کرتا ہے۔آئیں دیکھتے ہیں کہ یہ مجموعی قوت تار تک کس طرح منتقل ہوتی ہے۔

موصل میں مثبت ایٹم یا آئن ساکن ہوتے ہیں جبکہ الیکٹران آزادی سے حرکت کر سکتے ہیں۔مقناطیسی میدان میں برقی رو گزارتے موصل تار میں حرکت پذیر منفی الیکٹران پر مقناطیسی قوت عمل کرتی ہے جس سے مثبت آئن اور منفی الیکٹران کے مابین فاصلوں میں تبدیلی رونما ہوتی ہے۔اب مثبت

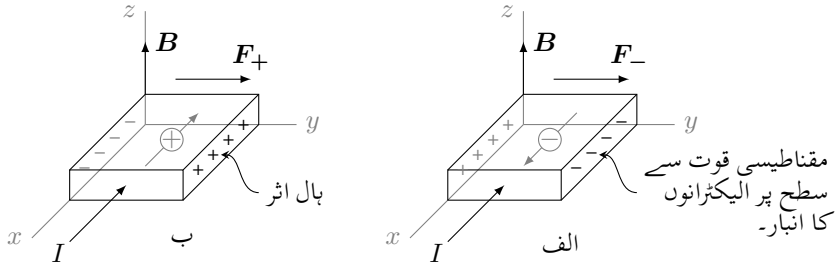

شکل 8.1: ہال اثر سے متحرک چارج کا قطب دریافت کیا جا سکتا ہے۔

اور منفی چارج کے مابین کولومب قوتیں ایسی تبدیلی کو روکتے ہیں لہٰذا حرکت پذیر الیکٹران پر مقناطیسی قوت یوں ساکن آئن تک پہنچ پاتی ہیں جو بطور تار پر مقناطیسی قوت کی صورت میں رونما ہوتی ہے۔

مثبت آئن اور منفی الیکٹران کے مابین کولمب قوتیں انتہائی طاقتور ہوتی ہیں لہٰذا مقناطیسی میدان سے پیدا فاصلوں میں تبدیلی قابل ناپ نہیں ہوتی۔ مثبت اور منفی چارجوں کے مابین فاصلے کی بنا پر انہیں دو چادر کپیسٹر تصور کیا جا سکتا ہے۔ ہم جانتے ہیں کہ ایسے کپیسٹر کے چادروں کے مابین برقی دباو پایا جاتا ہے۔ یوں الیکٹران کے حرکت اور مقناطیسی میدان دونوں کی سمتوں کے عمودی دو الٹ اطراف کے مابین تار پر معمولی برقی دباو پایا جاتا ہے جسے ہال اثر[3] کے نام[4] سے جانا جاتا ہے۔

ہال اثر کو شکل 8.1 کی مدد سے باآسانی سمجھا جا سکتا ہے۔ شکل-الف میں موصل یا n قسم کے نیم موصل برقی رو گزارتا تار دکھایا گیا ہے۔ تار میں برقی رو I کی سمت $-\boldsymbol{a}_{\mathrm{x}}$ ہے لہٰذا تار میں آزاد منفی چارج اس کے الٹ یعنی $\boldsymbol{a}_{\mathrm{x}}$ سمت میں حرکت کر رہے ہیں۔ تار میں آزاد الیکٹران کو ہلکی سیاہی میں تیر کے نشان پر دائرے میں بند – علامت سے ظاہر کیا گیا ہے جہاں تیر اس کے حرکت کی سمت ظاہر کرتا ہے۔ یہ تار $\boldsymbol{a}_{\mathrm{z}}$ سمت کے مقناطیسی میدان میں پڑی ہے۔ تار میں آزاد چارج منفی قطب کے ہیں لہٰذا ان پر مساوات 8.2 کے تحت $\boldsymbol{a}_{\mathrm{y}}$ سمت میں قوت $\boldsymbol{F}_-$ عمل کرے گا۔ قوت کی علامت پر زیر نوشت میں منفی کی علامت یہ ظاہر کرتی ہے کہ یہ قوت متحرک منفی چارج پر اثر انداز ہوتا ہے۔ یوں تار کے دائیں طرف پر منفی الیکٹرانوں کا انبار جمع ہوتا ہے جبکہ تار کے بائیں طرف پر الیکٹران کی تعداد کم ہو جاتی ہے جس سے اس جانب ساکن مثبت آئن بے پردہ[5] ہو جاتے ہیں۔ شکل 8.1-الف میں تار کے دائیں طرف – اور بائیں طرف + کے علامات انہیں کو ظاہر کرتے ہیں۔ آپ جانتے ہیں کہ مثبت اور منفی چارج کے مابین برقی میدان کی شدت $\boldsymbol{E}$ اور یوں برقی دباو پایا جاتا ہے لہٰذا تار کے دائیں اور بائیں اطراف کے مابین ہال برقی دباو[6] پایا جائے گا۔ تار کا بایاں طرف ہال برقی دباو کا مثبت سرا ہو گا۔

آئیں ایسی صورت دیکھیں جہاں متحرک مثبت چارج کی بدولت برقی رو پائی جائے۔ شکل 8.1-ب میں بقایا صورت حال بالکل شکل-الف کی طرح ہے البتہ یہاں تار p قسم کے نیم موصل کا بنا ہوا ہے جس میں برقی رو مثبت آزاد خول[7] کے حرکت سے پیدا ہوتی ہے۔ یوں اگر برقی رو $-\boldsymbol{a}_{\mathrm{x}}$ سمت میں ہو تب آزاد خول بھی اسی سمت میں حرکت کریں گے۔ جیسے شکل میں دکھایا گیا ہے یہاں بھی مقناطیسی قوت آزاد چارج کو دائیں جانب دھکیل رہے ہیں۔ آپ دیکھ سکتے ہیں کہ اس بار ہال برقی دباو کا مثبت سرا تار کا دائیں طرف پایا جاتا ہے جو شکل-الف کے عین الٹ ہے۔ اس حقیقت کو استعمال کرتے ہوئے یہ معلوم کیا جا سکتا ہے کہ آیا نیم موصل n یا p قسم کا ہے۔

ہال اثر استعمال کرتے ہوئے مختلف پیمائشی آلات بنائے جاتے ہیں مثلاً یک سمتی رو پیما، مقناطیسی بہاو پیما[8] وغیرہ۔

---

[1] یہ مساوات ہینڈرک لورنز کے نام ہے۔
[2] Lorentz force equation
[3] Hall effect
[4] ایڈون حال نے اس اثر کو 1879 میں دریافت کیا۔
[5] uncovered
[6] Hall voltage
[7] free holes
[8] magnetic flux meter

سمتی رفتار $\boldsymbol{v}$ سے حرکت کرتا ہوا حجمی کثافت چارج ρ_h کثافت برقی رو $\boldsymbol{J}$

$$\boldsymbol{J} = \rho_h \boldsymbol{v} \tag{8.5}$$

کو جنم دیتا ہے۔اس مساوات کو صفحہ 127 پر حاصل کیا گیا۔ چھوٹے حجم $\mathrm{d}h$ میں تھوڑے سے چارج کو

$$\mathrm{d}Q = \rho_h \, \mathrm{d}h \tag{8.6}$$

لکھا جا سکتا ہے لہٰذا مساوات 8.4 کو

$$\mathrm{d}\boldsymbol{F} = \rho_h \, \mathrm{d}h \boldsymbol{v} \times \boldsymbol{B}$$

یا

$$\mathrm{d}\boldsymbol{F} = \boldsymbol{J} \times \boldsymbol{B} \, \mathrm{d}h \tag{8.7}$$

لکھا جا سکتا ہے۔ہم مساوات 7.6 میں دیکھ چکے ہیں کہ $\boldsymbol{J}\,\mathrm{d}h$ کو برقی رو گزارتے تار کا تفرقی حصہ تصور کیا جا سکتا ہے جسے

$$\boldsymbol{J}\,\mathrm{d}h = \boldsymbol{K}\,\mathrm{d}S = I\,\mathrm{d}\boldsymbol{L}$$

بھی لکھا جا سکتا ہے۔اس طرح مساوات 8.7 کو

$$\mathrm{d}\boldsymbol{F} = \boldsymbol{K} \times \boldsymbol{B} \, \mathrm{d}S \tag{8.8}$$

یا

$$\mathrm{d}\boldsymbol{F} = I\,\mathrm{d}\boldsymbol{L} \times \boldsymbol{B} \tag{8.9}$$

بھی لکھا جا سکتا ہے۔

مساوات 8.7، مساوات 8.8 اور مساوات 8.9 کے تکمل سے انہیں یوں

$$\boldsymbol{F} = \int_h \boldsymbol{J} \times \boldsymbol{B} \, \mathrm{d}h \tag{8.10}$$

$$\boldsymbol{F} = \int_S \boldsymbol{K} \times \boldsymbol{B} \, \mathrm{d}S \tag{8.11}$$

$$\boldsymbol{F} = \oint I\,\mathrm{d}\boldsymbol{L} \times \boldsymbol{B} \tag{8.12}$$

لکھا جا سکتا ہے۔

مساوات 8.12 میں اگر سیدھی تار لی جائے جس کی لمبائی L ہو تو تکمل سے

$$\boldsymbol{F} = I\boldsymbol{L} \times \boldsymbol{B} \tag{8.13}$$

حاصل ہوتا ہے جس میں قوت کی قیمت

$$F = ILB \sin\alpha \tag{8.14}$$

ہے جہاں تار اور مقناطیسی میدان کے درمیان زاویہ α ہے۔مساوات 8.13 اور مساوات 8.14 پورے دور کے کچھ حصے پر قوت دیتے ہیں۔دور کے بقایا حصوں پر بھی اسی طرح قوت حاصل کئے جا سکتے ہیں۔

مثال 8.1: محدد z پر لامحدود لمبائی کی تار میں $1.5\,\mathrm{A}$ کی برقی رو $\boldsymbol{a}_\mathrm{z}$ جانب گزر رہی ہے۔اس کے قریب نقطہ $N_1(3,2,5)$ تا $N_2(4,6,1)$ کے درمیان سیدھی موصل تار میں $2.3\,\mathrm{A}$ کی برقی رو N_1 سے N_2 کی جانب گزر رہی ہے۔اس تار پر مقناطیسی قوت حاصل کریں۔

حل: پہلی تار مقناطیسی میدان

$$\begin{aligned}\boldsymbol{B} &= \frac{1.5\mu_0}{2\pi\rho}\boldsymbol{a}_\phi\\ &= \frac{1.5\mu_0}{2\pi\sqrt{x^2+y^2}}\left(-\frac{y}{\sqrt{x^2+y^2}}\boldsymbol{a}_\mathrm{x}+\frac{x}{x^2+y^2}\boldsymbol{a}_\mathrm{y}\right)\\ &= \frac{1.5\mu_0}{2\pi(x^2+y^2)}(-y\boldsymbol{a}_\mathrm{x}+x\boldsymbol{a}_\mathrm{y})\end{aligned}$$

پیدا کرتا ہے جو دوسری تار کے چھوٹے حصے $\mathrm{d}\boldsymbol{L}=\mathrm{d}x\boldsymbol{a}_\mathrm{x}+\mathrm{d}y\boldsymbol{a}_\mathrm{y}+\mathrm{d}z\boldsymbol{a}_\mathrm{z}$ پر قوت

$$\mathrm{d}\boldsymbol{F} = 2.3\,\mathrm{d}\boldsymbol{L}\times\boldsymbol{B} \tag{8.15}$$

پیدا کرے گی۔تار کی مساوات $\boldsymbol{L}=x\boldsymbol{a}_\mathrm{x}+y\boldsymbol{a}_\mathrm{y}+z\boldsymbol{a}_\mathrm{z}$ میں x ، y اور z متغیرات کو ایک ہی متغیرہ t کی صورت میں یوں لکھا جا سکتا ہے۔

$$\begin{aligned}x &= 3+(4-3)t = 3+t\\ y &= 2+(6-2)t = 2+4t\\ z &= 5+(1-5)t = 5-4t\end{aligned}$$

جہاں $t=0$ پر کرنے سے ابتدائی نقطہ $N_1(3,2,5)$ اور $t=1$ پر کرنے سے اختتامی نقطہ $N_2(4,6,1)$ حاصل ہوتا ہے۔یوں

$$\boldsymbol{L} = (3+t)\boldsymbol{a}_\mathrm{x}+(2+4t)\boldsymbol{a}_\mathrm{y}+(5-4t)\boldsymbol{a}_\mathrm{z}$$

لکھ کر $\mathrm{d}\boldsymbol{L}=\mathrm{d}t\boldsymbol{a}_\mathrm{x}+4\,\mathrm{d}t\boldsymbol{a}_\mathrm{y}-4\,\mathrm{d}t\boldsymbol{a}_\mathrm{z}$ لکھا جا سکتا ہے۔اس طرح پوری تار پر قوت مساوات 8.15 کے تکمل سے یوں

$$\begin{aligned}\boldsymbol{F} &= \int_0^1 2.3(\boldsymbol{a}_\mathrm{x}+4\boldsymbol{a}_\mathrm{y}-4\boldsymbol{a}_\mathrm{z})\,\mathrm{d}t\times\frac{1.5\mu_0}{2\pi[(3+t)^2+(2+4t)^2]}[-(2+4t)\boldsymbol{a}_\mathrm{x}+(3+t)\boldsymbol{a}_\mathrm{y}]\\ &= \int_0^1 \frac{3.45\mu_0}{2\pi(17t^2+22t+13)}[4(t+3)\boldsymbol{a}_\mathrm{x}+8(2t+1)\boldsymbol{a}_\mathrm{y}+(17t+11)\boldsymbol{a}_\mathrm{z}]\,\mathrm{d}t\end{aligned}$$

لکھی جا سکتی ہے جس سے

$$\boldsymbol{F} = 369\boldsymbol{a}_\mathrm{x}+386\boldsymbol{a}_\mathrm{y}+478\boldsymbol{a}_\mathrm{z}\,\mathrm{nN}$$

حاصل ہوتا ہے۔

8.3 برقی رو گزارتے تفرقی تاروں کے مابین قوت

شکل میں نقطہ N_1 پر تار کا ایک چھوٹا ٹکڑا $\mathrm{d}\boldsymbol{L}_1$ دکھایا گیا ہے جس میں I_1 برقی رو گزر رہی ہے جبکہ نقطہ N_2 پر تار کا دوسرا چھوٹا ٹکڑا $\mathrm{d}\boldsymbol{L}_2$ دکھایا گیا ہے جس میں I_2 برقی رو گزر رہی ہے۔ نقطہ N_2 پر تار کے پہلے ٹکڑے سے پیدا مقناطیسی میدان مساوات 7.2 دیتا ہے۔

$$\mathrm{d}\boldsymbol{H}_2 = \frac{I_1\,\mathrm{d}\boldsymbol{L}_1 \times \boldsymbol{a}_{R21}}{4\pi R_{21}^2}$$

مساوات 8.9 مقناطیسی میدان $\boldsymbol{H}_2$ میں تار کے تفرقی حصے پر تفرقی قوت دیتا ہے۔ یہاں تفرقی مقناطیسی میدان $\mathrm{d}\boldsymbol{H}_2$ سے $\mathrm{d}\boldsymbol{L}_2$ پر پیدا قوت درکار ہے۔ اس قوت کو تفرقی قوت کا تفرقی حصہ $\mathrm{d}(\mathrm{d}\boldsymbol{F}_2)$ لکھتے ہوئے مساوات 8.9 کو

$$\mathrm{d}(\mathrm{d}\boldsymbol{F}_2) = I_2\,\mathrm{d}\boldsymbol{L}_2 \times \mathrm{d}\boldsymbol{B}_2$$

لکھا جا سکتا ہے جہاں $\mathrm{d}\boldsymbol{B}_2 = \mu_0\,\mathrm{d}\boldsymbol{H}_2$ کے برابر ہے۔ مندرجہ بالا دو مساوات سے

$$\mathrm{d}(\mathrm{d}\boldsymbol{F}_2) = \mu_0 \frac{I_1 I_2}{4\pi R_{21}^2}\,\mathrm{d}\boldsymbol{L}_2 \times (\mathrm{d}\boldsymbol{L}_1 \times \boldsymbol{a}_{R21}) \tag{8.16}$$

حاصل ہوتا ہے۔ یاد رہے کہ کسی بھی نقطے پر برقی رو سے پیدا مقناطیسی میدان حاصل کرتے وقت ضروری ہے کہ پورے تار پر تکمل حاصل کیا جائے۔ مندرجہ بالا مساوات میں نقطہ N_2 پر مکمل تکمل لیتے ہوئے میدان $\boldsymbol{H}_2$ استعمال نہیں کیا گیا بلکہ تفرقی میدان $\mathrm{d}\boldsymbol{H}_2$ استعمال کیا گیا ہے۔ یوں اگر اس مساوات سے قوتیں حاصل کی جائیں تو یہ درست نہیں ہوں گی۔ یہ دیکھنے کے لئے تصور کریں کہ نقطہ $(1,2,3)$ پر $I_1\,\mathrm{d}\boldsymbol{L}_1 = 2\boldsymbol{a}_\mathrm{y}\mathrm{A\,m}$ جبکہ نقطہ $(-1,3,2)$ پر $I_2\,\mathrm{d}\boldsymbol{L}_2 = -4\boldsymbol{a}_\mathrm{z}\mathrm{A\,m}$ پایا جاتا ہے۔ دوسرے نقطے پر قوت حاصل کرتے ہیں۔ یہاں $\boldsymbol{R}_{21} = -2\boldsymbol{a}_\mathrm{x} + \boldsymbol{a}_\mathrm{y} - \boldsymbol{a}_\mathrm{z}$ ہے لہٰذا دوسرے تار پر قوت

$$\begin{aligned}\mathrm{d}(\mathrm{d}\boldsymbol{F}_2) &= \frac{4\pi 10^{-7}}{4\pi\left(2^2+1^1+1^2\right)^{\frac{3}{2}}}(-4\boldsymbol{a}_\mathrm{z}) \times \left[(2\boldsymbol{a}_\mathrm{y}) \times \left(-2\boldsymbol{a}_\mathrm{x} + \boldsymbol{a}_\mathrm{y} + 2\boldsymbol{a}_\mathrm{z}\right)\right]\\ &= -108.86\boldsymbol{a}_\mathrm{y}\,\mathrm{nN}\end{aligned}$$

ہو گا۔ اب بالکل اسی طرح حل کرتے ہوئے پہلے نقطے پر

$$\begin{aligned}\mathrm{d}(\mathrm{d}\boldsymbol{F}_1) &= \frac{4\pi 10^{-7}}{4\pi\left(2^2+1^1+1^2\right)^{\frac{3}{2}}}(2\boldsymbol{a}_\mathrm{y}) \times \left[(-4\boldsymbol{a}_\mathrm{z}) \times \left(2\boldsymbol{a}_\mathrm{x} - \boldsymbol{a}_\mathrm{y} - 2\boldsymbol{a}_\mathrm{z}\right)\right]\\ &= 54.4\boldsymbol{a}_\mathrm{z}\,\mathrm{nN}\end{aligned}$$

قوت حاصل ہوتی ہے جہاں $\boldsymbol{R}_{12} = -\boldsymbol{R}_{21}$ استعمال کیا گیا۔ آپ کو یاد ہو گا کہ چھوٹے سے چھوٹے مقدار کے دو چارجوں کے مابین ہر صورت قیمت میں برابر اور سمت میں الٹ قوتیں پائی جاتی ہیں۔ مقناطیسی میدان میں ایسا نہیں ہے اور برقی رو گزارتے دو چھوٹے حصوں پر نا تو قوت کی قیمتیں برابر ہیں اور نا ہی ان کی سمتوں کا آپس میں کوئی تعلق ہے۔ یہاں یہ سمجھ لینا ضروری ہے کہ مقناطیسی میدان میں مکمل بند دور حل کرتے ہوئے ہی صحیح جوابات حاصل ہوتے ہیں لہٰذا ایسا ہی کرتے ہیں۔

مساوات 8.16 کا دو درجی تکمل لیتے ہوئے

$$\begin{aligned}\boldsymbol{F}_2 &= \mu_0 \frac{I_1 I_2}{4\pi} \oint \left[\mathrm{d}\boldsymbol{L}_2 \times \oint \frac{\mathrm{d}\boldsymbol{L}_1 \times \boldsymbol{a}_{R21}}{R_{21}^2}\right]\\ &= \mu_0 \frac{I_1 I_2}{4\pi} \oint \left[\oint \frac{\boldsymbol{a}_{R21} \times \mathrm{d}\boldsymbol{L}_1}{R_{21}^2}\right] \times \mathrm{d}\boldsymbol{L}_2\end{aligned} \tag{8.17}$$

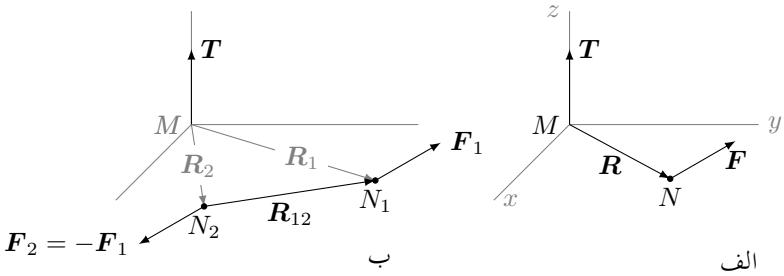

شکل 8.2: قوت کا معیار اثر۔

حاصل ہوتا ہے۔

مندرجہ بالا مساوات میں اندرونی تکمل نقطہ N_2 پر مقناطیسی میدان حاصل کرنے کے لئے درکار ہے جبکہ بیرونی تکمل اسی نقطے پر تار پر کل قوت حاصل کرنے کے لئے درکار ہے۔

8.4 قوت اور مروڑ

مساوات 8.12 مقناطیسی میدان میں برقی رو گزارتے تار پر قوت دیتا ہے جسے یکساں میدان میں $\boldsymbol{B}$ کو تکمل کے باہر لے جاتے ہوئے

$$\boldsymbol{F} = -\boldsymbol{B} \times \oint \mathrm{d}\boldsymbol{L}$$

لکھا جا سکتا ہے۔اب کوئی بھی برقی دور مکمل بند دائرہ بناتا ہے۔کسی بھی شکل کے بند دائرے کا لکیری تکمل $\oint \mathrm{d}\boldsymbol{L} = 0$ ہوتا ہے لہٰذا یکساں میدان میں برقی دور کے پورے تار پر کل صفر قوت پایا جائے گا۔البتہ اگر میدان یکساں نہ ہو تب ضروری نہیں کہ پورے دور پر قوت صفر ہو۔

مساوات 8.10 اور مساوات 8.11 کے برقی رو کو بھی متعدد متوازی جڑے باریک تار نما ٹکڑوں میں تقسیم کیا جا سکتا ہے۔ایسے ہر باریک تار پر بھی یکساں میدان میں صفر قوت ہو گا لہٰذا ان اشکال کے برقی رو کے ادوار پر بھی کل صفر قوت ہی پایا جائے گا۔

یکساں میدان میں پورے دور پر صفر قوت پایا جاتا ہے البتہ دور پر **مروڑ**[9] یعنی **قوت کا معیار اثر**[10] عموماً صفر نہیں ہوتا۔قوت کا معیار اثر حاصل کرنے کی خاطر قوت اور مروڑ کے **محور** یعنی **چُول**[11] کا جاننا ضروری ہے۔شکل 8.2-الف میں نقطہ N پر قوت $\boldsymbol{F}$ عمل کر رہا ہے۔ہم نقطہ M کو محور چنتے ہیں۔نقطہ M سے N تک سمتی فاصلہ $\boldsymbol{R}$ قوت کا **بازو**[12] کہلاتا ہے۔قوت کا معیار اثر $\boldsymbol{T}$

$$\boldsymbol{T} = \boldsymbol{R} \times \boldsymbol{F} \tag{8.18}$$

کے برابر ہے۔مروڑ کی قیمت، قوت کے بازو کی لمبائی ضرب قوت کی قیمت ضرب ان دو کے مابین زاویے کے سائن کے برابر ہے جبکہ اس کی سمت دونوں کے عمودی ہے جسے صلیبی ضرب سے حاصل کیا جا سکتا ہے۔

---

[9] torque
[10] moment of force
[11] pivot
[12] moment arm

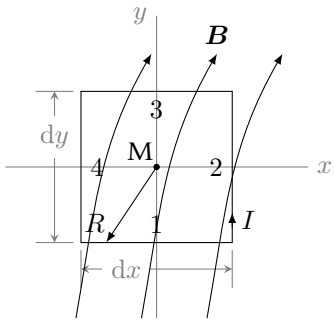

شکل 8.3: مقناطیسی میدان میں برقی رو گزارتے تفرقی بند دائرے پر مروڑ۔

شکل 8.2-ب میں پختہ شکل کے جسم پر دو مختلف نقطوں پر برابر مگر الٹ سمت کے قوت لاگو کئے گئے ہیں۔ چونکہ اس جسم پر کل قوت صفر کے برابر ہے لہٰذا یہ کسی بھی سمت میں سیدھی حرکت نہیں کرے گی۔ محور M پر ان قوتوں کے مروڑ کا مجموعہ

$$\begin{aligned}\boldsymbol{T} &= \boldsymbol{R}_1 \times \boldsymbol{F}_1 + \boldsymbol{R}_2 \times \boldsymbol{F}_2 \\ &= (\boldsymbol{R}_1 - \boldsymbol{R}_2) \times \boldsymbol{F}_1 \\ &= \boldsymbol{R}_{12} \times \boldsymbol{F}_1\end{aligned}$$

ہو گا جہاں دوسرے قدم پر $\boldsymbol{F}_2 = -\boldsymbol{F}_1$ پر کیا گیا ہے۔ اس مساوات میں قوتوں کے محور کا $\boldsymbol{R}_{12}$ پر کوئی اثر نہیں ہے لہٰذا کل قوت صفر ہونے کی صورت میں مروڑ کی قیمت محور پر منحصر نہیں ہے۔ اسی عمل کو زیادہ قوتوں پر بھی لاگو کیا جا سکتا ہے۔

چونکہ مروڑ کی قیمت محور پر منحصر نہیں ہے لہٰذا ہم محور اس مقام پر چن سکتے ہیں جس پر مروڑ کا حصول زیادہ آسان ہو۔ ہم سطحی قوتوں کی صورت میں ایسا محور عموماً قوتوں کے ہم سطحی، جسم کے دھرے پر پایا جاتا ہے۔

آئیں شکل 8.3 میں دئے برقی رو گزارتے تار پر غیر یکساں مقناطیسی میدان $\boldsymbol{B} = B_x\boldsymbol{a}_\mathrm{x} + B_y\boldsymbol{a}_\mathrm{y} + B_z\boldsymbol{a}_\mathrm{z}$ میں مروڑ حاصل کریں۔ تصور کریں کہ تار چول M پر صرف گھوم سکتا ہے۔ اس تار کے اطراف $\mathrm{d}x$ اور $\mathrm{d}y$ ہیں جبکہ اس میں برقی رو I کی سمت تیر کے نشان سے ظاہر کی گئی ہے۔ اس چھوٹے رقبے کے وسط M پر مقناطیسی میدان

$$\boldsymbol{B}_0 = B_{x0}\boldsymbol{a}_\mathrm{x} + B_{y0}\boldsymbol{a}_\mathrm{y} + B_{z0}\boldsymbol{a}_\mathrm{z} \tag{8.19}$$

کے برابر ہے۔ یوں وسط سے $-\frac{\mathrm{d}y}{2}$ جانب نقطہ 1 پر مقناطیسی میدان ٹیلر تسلسل سے

$$\boldsymbol{B}_1 = \boldsymbol{B}_0 - \frac{\partial \boldsymbol{B}}{\partial y}\frac{\mathrm{d}y}{2} + \cdots$$

لکھا جا سکتا ہے جہاں تمام تفرق نقطہ M پر حاصل کئے جاتے ہیں۔ صرف ایک درجی تفرق رکھتے ہوئے یوں

$$\boldsymbol{B}_1 = \left(B_{x0} - \frac{\partial B_x}{\partial y}\frac{\mathrm{d}y}{2}\right)\boldsymbol{a}_\mathrm{x} + \left(B_{y0} - \frac{\partial B_y}{\partial y}\frac{\mathrm{d}y}{2}\right)\boldsymbol{a}_\mathrm{y} + \left(B_{z0} - \frac{\partial B_z}{\partial y}\frac{\mathrm{d}y}{2}\right)\boldsymbol{a}_\mathrm{z}$$

حاصل ہوتا ہے۔ یوں راہ کے اس طرف کی تفرقی لمبائی پر تفرقی قوت

$$\mathrm{d}\boldsymbol{F}_1 = I\,\mathrm{d}x\boldsymbol{a}_\mathrm{x} \times \boldsymbol{B}_1$$

یا

$$\begin{aligned}
\mathrm{d}\boldsymbol{F}_1 &= I\,\mathrm{d}x\boldsymbol{a}_\mathrm{x} \times \left[\left(B_{x0} - \frac{\partial B_x}{\partial y}\frac{\mathrm{d}y}{2}\right)\boldsymbol{a}_\mathrm{x} + \left(B_{y0} - \frac{\partial B_y}{\partial y}\frac{\mathrm{d}y}{2}\right)\boldsymbol{a}_\mathrm{y} + \left(B_{z0} - \frac{\partial B_z}{\partial y}\frac{\mathrm{d}y}{2}\right)\boldsymbol{a}_\mathrm{z}\right] \\
&= I\,\mathrm{d}x\left[\left(B_{y0} - \frac{\partial B_y}{\partial y}\frac{\mathrm{d}y}{2}\right)\boldsymbol{a}_\mathrm{z} - \left(B_{z0} - \frac{\partial B_z}{\partial y}\frac{\mathrm{d}y}{2}\right)\boldsymbol{a}_\mathrm{y}\right]
\end{aligned}$$

ہو گی۔اس قوت کا بازو مرکز سے اس طرف کے درمیانے نقطے تک ہو گا یعنی $\boldsymbol{R}_1 = -\frac{\mathrm{d}y}{2}\boldsymbol{a}_\mathrm{y}$ لہٰذا اس قوت کا معیار اثر

$$\begin{aligned}
\mathrm{d}\boldsymbol{T}_1 &= \boldsymbol{R}_1 \times \mathrm{d}\boldsymbol{F}_1 \\
&= -\frac{\mathrm{d}y}{2}\boldsymbol{a}_\mathrm{y} \times I\,\mathrm{d}x\left[\left(B_{y0} - \frac{\partial B_y}{\partial y}\frac{\mathrm{d}y}{2}\right)\boldsymbol{a}_\mathrm{z} - \left(B_{z0} - \frac{\partial B_z}{\partial y}\frac{\mathrm{d}y}{2}\right)\boldsymbol{a}_\mathrm{y}\right] \\
&= -\frac{I}{2}\left(B_{y0} - \frac{\partial B_y}{\partial y}\frac{\mathrm{d}y}{2}\right)\mathrm{d}x\,\mathrm{d}y\boldsymbol{a}_\mathrm{x}
\end{aligned}$$

ہو گا۔ 2483

اسی طرح وسط سے $+\frac{\mathrm{d}y}{2}$ جانب نقطہ 3 پر مقناطیسی میدان مکلارن تسلسل سے

$$\boldsymbol{B}_3 = \boldsymbol{B}_0 + \frac{\partial \boldsymbol{B}}{\partial y}\frac{\mathrm{d}y}{2} + \cdots$$

لکھا جا سکتا ہے جہاں تمام تفرق نقطہ M پر حاصل کئے جاتے ہیں۔صرف ایک درجی تفرق رکھتے ہوئے یوں

$$\boldsymbol{B}_3 = \left(B_{x0} + \frac{\partial B_x}{\partial y}\frac{\mathrm{d}y}{2}\right)\boldsymbol{a}_\mathrm{x} + \left(B_{y0} + \frac{\partial B_y}{\partial y}\frac{\mathrm{d}y}{2}\right)\boldsymbol{a}_\mathrm{y} + \left(B_{z0} + \frac{\partial B_z}{\partial y}\frac{\mathrm{d}y}{2}\right)\boldsymbol{a}_\mathrm{z}$$

حاصل ہوتا ہے۔یوں راہ کے اس طرف کی تفرقی لمبائی پر تفرقی قوت

$$\mathrm{d}\boldsymbol{F}_3 = -I\,\mathrm{d}x\boldsymbol{a}_\mathrm{x} \times \boldsymbol{B}_3$$

یا

$$\begin{aligned}
\mathrm{d}\boldsymbol{F}_3 &= -I\,\mathrm{d}x\boldsymbol{a}_\mathrm{x} \times \left[\left(B_{x0} + \frac{\partial B_x}{\partial y}\frac{\mathrm{d}y}{2}\right)\boldsymbol{a}_\mathrm{x} + \left(B_{y0} + \frac{\partial B_y}{\partial y}\frac{\mathrm{d}y}{2}\right)\boldsymbol{a}_\mathrm{y} + \left(B_{z0} + \frac{\partial B_z}{\partial y}\frac{\mathrm{d}y}{2}\right)\boldsymbol{a}_\mathrm{z}\right] \\
&= I\,\mathrm{d}x\left[-\left(B_{y0} + \frac{\partial B_y}{\partial y}\frac{\mathrm{d}y}{2}\right)\boldsymbol{a}_\mathrm{z} + \left(B_{z0} + \frac{\partial B_z}{\partial y}\frac{\mathrm{d}y}{2}\right)\boldsymbol{a}_\mathrm{y}\right]
\end{aligned}$$

ہو گی۔اس قوت کا بازو مرکز سے اس طرف کے درمیان تک یعنی $\boldsymbol{R}_3 = \frac{\mathrm{d}y}{2}\boldsymbol{a}_\mathrm{y}$ ہے لہٰذا اس قوت کا معیار اثر

$$\begin{aligned}
\mathrm{d}\boldsymbol{T}_3 &= \boldsymbol{R}_3 \times \mathrm{d}\boldsymbol{F}_3 \\
&= \frac{\mathrm{d}y}{2}\boldsymbol{a}_\mathrm{y} \times I\,\mathrm{d}x\left[-\left(B_{y0} + \frac{\partial B_y}{\partial y}\frac{\mathrm{d}y}{2}\right)\boldsymbol{a}_\mathrm{z} + \left(B_{z0} + \frac{\partial B_z}{\partial y}\frac{\mathrm{d}y}{2}\right)\boldsymbol{a}_\mathrm{y}\right] \\
&= -\frac{I}{2}\left(B_{y0} + \frac{\partial B_y}{\partial y}\frac{\mathrm{d}y}{2}\right)\mathrm{d}x\,\mathrm{d}y\boldsymbol{a}_\mathrm{x}
\end{aligned}$$

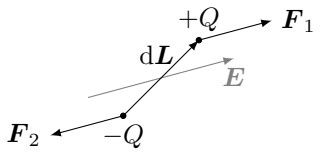

شکل 8.4: برقی جفت قطب پر برقی میدان میں مروڑ۔

ہو گا۔

ان دو قوتوں کے معیار اثر کا مجموعہ

$$\mathrm{d}\boldsymbol{T}_1 + \mathrm{d}\boldsymbol{T}_3 = -IB_{y0}\,\mathrm{d}x\,\mathrm{d}y\boldsymbol{a}_\mathrm{x}$$

کے برابر ہے۔ بالکل اسی طرح تیسرے اور چھوتے اطراف کے قوتوں کے معیار اثر کا مجموعہ

$$\mathrm{d}\boldsymbol{T}_2 + \mathrm{d}\boldsymbol{T}_4 = IB_{x0}\,\mathrm{d}x\,\mathrm{d}y\boldsymbol{a}_\mathrm{y}$$

حاصل ہوتا ہے۔ یوں تمام اطراف کے قوتوں کے معیار اثر کا مجموعہ

$$\mathrm{d}\boldsymbol{T} = I\,\mathrm{d}x\,\mathrm{d}y\left(B_{x0}\boldsymbol{a}_\mathrm{y} - B_{y0}\boldsymbol{a}_\mathrm{x}\right)$$

حاصل ہوتا ہے۔ قوسین میں بند حصے کو صلیبی ضرب کی صورت میں لکھا جا سکتا ہے۔ یوں

$$\mathrm{d}\boldsymbol{T} = I\,\mathrm{d}x\,\mathrm{d}y\left(\boldsymbol{a}_\mathrm{z} \times \boldsymbol{B}_0\right)$$

یا

$$\mathrm{d}\boldsymbol{T} = I\,\mathrm{d}\boldsymbol{S} \times \boldsymbol{B} \tag{8.20}$$

حاصل ہوتا ہے جہاں بند راہ سمتی رقبے $\mathrm{d}\boldsymbol{S}$ کو گھیرتی ہے۔ مندرجہ بالا مساوات میں کثافت مقناطیسی بہاو $\boldsymbol{B}$ لکھتے ہوئے زیر نوشت نہیں لکھا گیا۔

بند دائرے میں برقی رو ضرب چھوٹے سمتی رقبے کا حاصل ضرب تفرقی مقناطیسی جفت قطب کے معیار اثر[13] $\mathrm{d}\boldsymbol{m}$ کی تعریف ہے جس کی اکائی $\mathrm{A\,m^2}$ ہے۔ یوں

$$\mathrm{d}\boldsymbol{m} = I\,\mathrm{d}\boldsymbol{S} \tag{8.21}$$

اور

$$\mathrm{d}\boldsymbol{T} = \mathrm{d}\boldsymbol{m} \times \boldsymbol{B} \tag{8.22}$$

لکھے جا سکتے ہیں۔

مساوات 8.20، مساوات 8.21 اور مساوات 8.22 عمومی مساوات ہیں جن میں چھوٹا رقبہ $\mathrm{d}\boldsymbol{S}$ مربع کے علاوہ کسی بھی شکل کا ہو سکتا ہے اور اس کی سمت کچھ بھی ہو سکتی ہے۔

غیر یکساں مقناطیسی میدان کی صورت میں تار پر کل قوت صفر نہیں ہو گی۔

[13] differential magnetic dipole moment

شکل 8.4 میں برقی میدان میں برقی جفت قطب دکھایا گیا ہے۔ مثبت چارج پر قوت $\boldsymbol{F}_1 = Q\boldsymbol{E}$ اور منفی چارج پر قوت $\boldsymbol{F}_2 = -Q\boldsymbol{E}$ ہے۔ آپ دیکھ سکتے ہیں کہ اس جفت قطب پر تفرقی مروڑ

$$\begin{aligned}\mathrm{d}\boldsymbol{T} &= \mathrm{d}\boldsymbol{L} \times Q\boldsymbol{E}\\ &= \mathrm{d}\boldsymbol{p} \times \boldsymbol{E}\end{aligned}$$

کے برابر ہے جہاں $\mathrm{d}\boldsymbol{p} = Q\,\mathrm{d}\boldsymbol{L}$ برقی جفت قطب ہے۔ مروڑ کی سمت صفحہ کے اندر جانب کو ہے۔ آپ نے دیکھا کہ مقناطیسی اور برقی جفت قطب پر مروڑ کے مساوات یکساں ہیں۔ بالکل مقناطیسی جفت قطب کی طرح یہاں بھی مروڑ کا تخمینہ لگاتے وقت جفت قطب کے احاطے میں میدان $\boldsymbol{E}$ کے تبدیلی کو نظر انداز کیا جا سکتا ہے۔

مثال 8.2: شکل 8.3 میں چھوٹے رقبے کو اتنا چھوٹا تصور کریں کہ اس پر مقناطیسی میدان یکساں تصور کرنا ممکن ہو۔ ایسی صورت میں تفرقی مروڑ حاصل کریں۔

حل: یکساں میدان کی صورت میں

$$\begin{aligned}\mathrm{d}\boldsymbol{F}_1 &= I\,\mathrm{d}x\boldsymbol{a}_\mathrm{x} \times \left(B_{x0}\boldsymbol{a}_\mathrm{x} + B_{y0}\boldsymbol{a}_\mathrm{y} + B_{z0}\boldsymbol{a}_\mathrm{z}\right)\\ &= I\,\mathrm{d}x\left(B_{y0}\boldsymbol{a}_\mathrm{z} - B_{z0}\boldsymbol{a}_\mathrm{y}\right)\end{aligned}$$

اور

$$\begin{aligned}\mathrm{d}\boldsymbol{T}_1 &= -\frac{\mathrm{d}y}{2}\boldsymbol{a}_\mathrm{y} \times I\,\mathrm{d}x\left(B_{y0}\boldsymbol{a}_\mathrm{z} - B_{z0}\boldsymbol{a}_\mathrm{y}\right)\\ &= -\frac{I}{2}\,\mathrm{d}x\,\mathrm{d}yB_{y0}\boldsymbol{a}_\mathrm{x}\end{aligned}$$

حاصل ہوتے ہیں۔ اسی طرح

$$\begin{aligned}\mathrm{d}\boldsymbol{F}_3 &= -I\,\mathrm{d}x\boldsymbol{a}_\mathrm{x} \times \left(B_{x0}\boldsymbol{a}_\mathrm{x} + B_{y0}\boldsymbol{a}_\mathrm{y} + B_{z0}\boldsymbol{a}_\mathrm{z}\right)\\ &= I\,\mathrm{d}x\left(-B_{y0}\boldsymbol{a}_\mathrm{z} + B_{z0}\boldsymbol{a}_\mathrm{y}\right)\end{aligned}$$

اور

$$\begin{aligned}\mathrm{d}\boldsymbol{T}_3 &= \frac{\mathrm{d}y}{2}\boldsymbol{a}_\mathrm{y} \times I\,\mathrm{d}x\left(-B_{y0}\boldsymbol{a}_\mathrm{z} + B_{z0}\boldsymbol{a}_\mathrm{y}\right)\\ &= -\frac{I}{2}\,\mathrm{d}x\,\mathrm{d}yB_{y0}\boldsymbol{a}_\mathrm{x}\end{aligned}$$

حاصل ہوتے ہیں۔ یوں

$$\mathrm{d}\boldsymbol{T}_1 + \mathrm{d}\boldsymbol{T}_3 = -I\,\mathrm{d}x\,\mathrm{d}yB_{y0}\boldsymbol{a}_\mathrm{x}$$

حاصل ہوتے ہیں۔ اسی طرح

$$\mathrm{d}\boldsymbol{T}_2 + \mathrm{d}\boldsymbol{T}_4 = I\,\mathrm{d}x\,\mathrm{d}yB_{x0}\boldsymbol{a}_\mathrm{y}$$

حاصل ہوتا ہے۔ ان نتائج سے کل مروڑ

$$\mathrm{d}\boldsymbol{T} = I\,\mathrm{d}x\,\mathrm{d}y\left(B_{x0}\boldsymbol{a}_\mathrm{y} - B_{y0}\boldsymbol{a}_\mathrm{x}\right)$$

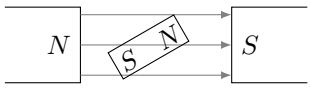

شکل 8.5: مروڑ دونوں مقناطیسی میدان کو متوازی بنانے کی کوشش کرتا ہے۔

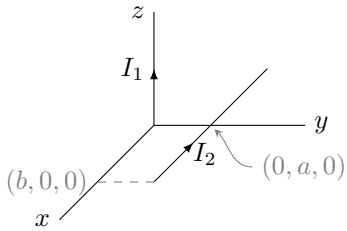

شکل 8.6: چھوٹی تار پر مروڑ کا حصول۔

ہی حاصل ہوتا ہے۔

مندرجہ بالا مثال سے ثابت ہوتا ہے کہ غیر یکساں مقناطیسی میدان کی صورت میں مروڑ حاصل کرتے وقت چھوٹے رقبے پر میدان کی تبدیلی کو نظر انداز کیا جا سکتا ہے۔اس مثال سے یہ بھی ظاہر ہے کہ یکساں مقناطیسی میدان میں تار پر کل قوت صفر کے برابر ہوتی ہے۔اگر مقناطیسی میدان حقیقت میں یکساں ہی ہو تب کسی بھی بڑے رقبے پر بھی مروڑ بالکل اسی مساوات

$$\boldsymbol{T} = I\boldsymbol{S} \times \boldsymbol{B} = \boldsymbol{m} \times \boldsymbol{B} \qquad \text{یکساں مقناطیسی میدان} \tag{8.23}$$

سے حاصل ہو گا البتہ غیر یکساں میدان کی صورت میں مروڑ کی تعریف استعمال کرتے ہوئے ہی صحیح جواب حاصل ہو گا۔سوال 8.9 میں آپ سے غیر یکساں میدان میں مروڑ حاصل کرنے کو کہا گیا ہے جبکہ سوال 8.10 میں مندرجہ بالا مساوات استعمال کرنے کو کہا گیا ہے۔

غور کرنے سے معلوم ہوتا ہے کہ برقی رو گزارتے بند دائرے پر مروڑ اس سمت میں دائرے کو گھمانے کی کوشش کرتا ہے جس میں دائرے سے پیدا مقناطیسی میدان اور بیرونی لاگو مقناطیسی میدان کی سمتیں ایک ہی ہوں۔اس حقیقت کو شکل 8.5 کی مدد سے یاد رکھا جا سکتا ہے جہاں برقی رو گزارتے تار کی جگہ چھوٹا مقناطیس بیرونی میدان میں دکھایا گیا ہے۔چھوٹا مقناطیس اس سمت میں گھومتا ہے جہاں دونوں میدان متوازی ہوں۔

مثال 8.3: محدد z پر لامحدود لمبائی کے تار میں I_1 برقی رو $\boldsymbol{a}_z$ سمت میں گزر رہی ہے۔اس کے قریب سطح $z = 0$ پر تار $y = a$ ، $-b < x < b$ میں $-\boldsymbol{a}_x$ سمت میں I_2 برقی رو گزر رہی ہے۔نقطہ $(0, a, 0)$ پر محور تصور کرتے ہوئے لمبی تار کے میدان میں چھوٹی تار پر مروڑ حاصل کریں۔صورت حال شکل 8.6 میں دکھائی گئی ہے۔

حل: محدد z پر برقی رو میدان

$$\boldsymbol{B} = \frac{\mu_0 I_1}{2\pi\rho}\boldsymbol{a}_\phi$$

پیدا کرتی ہے جسے کارتیسی نظام میں

$$\boldsymbol{B} = \frac{\mu_0 I_1}{2\pi(x^2+y^2)}(-y\boldsymbol{a}_\text{x} + x\boldsymbol{a}_\text{y})$$

لکھا جا سکتا ہے۔اس میدان کی قیمت اور سمت غیر یکساں ہیں۔کارتیسی میدان میں انتہائی چھوٹی لمبائی کو

$$\mathrm{d}\boldsymbol{L} = \mathrm{d}x\boldsymbol{a}_\text{x} + \mathrm{d}y\boldsymbol{a}_\text{y} + \mathrm{d}z\boldsymbol{a}_\text{z}$$

لکھا جاتا ہے۔چھوٹی تار پر $\mathrm{d}y = 0$ اور $\mathrm{d}z = 0$ ہیں لہٰذا $\mathrm{d}\boldsymbol{L} = \mathrm{d}x\boldsymbol{a}_\text{x}$ لکھتے[14] ہوئے تار کے انتہائی چھوٹے حصے پر قوت

$$\begin{aligned}
\mathrm{d}\boldsymbol{F} &= I\,\mathrm{d}\boldsymbol{L}\times\boldsymbol{B}\\
&= I_2\,\mathrm{d}x\boldsymbol{a}_\text{x} \times \frac{\mu_0 I_1}{2\pi(x^2+y^2)}(-y\boldsymbol{a}_\text{x} + x\boldsymbol{a}_\text{y})\\
&= \frac{I_1 I_2 \mu_0 x\,\mathrm{d}x\boldsymbol{a}_\text{z}}{2\pi(x^2+y^2)}
\end{aligned}$$

لکھا جا سکتا ہے۔نقطہ $(0,a,0)$ کو محور تصور کرتے ہوئے $\boldsymbol{R} = x\boldsymbol{a}_\text{x}$ لکھا جائے گا۔یوں تار کی انتہائی چھوٹے حصے پر مروڑ

$$\begin{aligned}
\mathrm{d}\boldsymbol{T} &= \boldsymbol{R}\times\mathrm{d}\boldsymbol{F}\\
&= x\boldsymbol{a}_\text{x} \times \frac{I_1 I_2 \mu_0 x\,\mathrm{d}x\boldsymbol{a}_\text{z}}{2\pi(x^2+y^2)}\\
&= -\frac{I_1 I_2 \mu_0 x^2 \boldsymbol{a}_\text{y}}{2\pi(x^2+y^2)}\,\mathrm{d}x
\end{aligned}$$

ہو گا۔یوں پورے تار پر کل مروڑ

$$\begin{aligned}
\boldsymbol{T} &= \int_b^{-b} -\frac{I_1 I_2 \mu_0 x^2 \boldsymbol{a}_\text{y}}{2\pi(x^2+y^2)}\,\mathrm{d}x\\
&= \frac{I_1 I_2 \mu_0}{\pi}\left(b - a\tan^{-1}\frac{b}{a}\right)\boldsymbol{a}_\text{y} \quad \mathrm{N\,m}
\end{aligned}$$

حاصل ہوتا ہے جہاں $y = a$ پر کیا گیا ہے۔

8.5 فولادی مقناطیسی اشیاء اور مقناطیسی خطے

شکل 8.7 میں ایٹمی مرکز کے گرد مدار میں گھومتا الیکٹران دکھایا گیا ہے۔حرکت کرتا چارج برقی رو پیدا کرتا ہے۔ایسی برقی رو جو مقید الیکٹران کی بنا ہو مقید برقی رو[15] I_m کہلائی جاتی ہے۔اس الیکٹران کو بند گول دائرے پر مقید برقی رو تصور کیا جا سکتا ہے جو مقناطیسی جفت قطب $\boldsymbol{m}$ کو جنم دیتی ہے۔الیکٹران منفی ہونے کی وجہ سے مقید برقی رو $\boldsymbol{v}$ کے الٹ سمت میں ہو گی۔ایٹمی مسائل صرف کوانٹم میکانیات[16] سے ہی سمجھے جا سکتے ہیں۔یہاں صرف اتنا بتانا

---

[14] طلباء یہاں عموماً غلطی کرتے ہوئے $\mathrm{d}\boldsymbol{L} = -\mathrm{d}x\boldsymbol{a}_\text{x}$ لکھتے ہیں۔یاد رہے کہ تکمل میں ابتدائی اور اختتامی نقطے دراصل سمت تعین کرتے ہیں۔

[15] bound current

[16] quantum mechanics

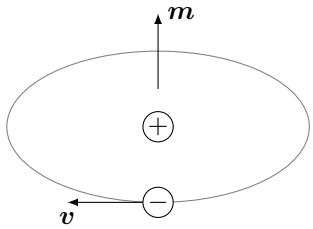

شکل 8.7: مدار میں گھومتے الیکٹران کے مقناطیسی جفت قطب کے معیار اثر کو بیرونی میدان کے متوازی دکھایا گیا ہے۔

ضروری ہے کہ لوہا، نِکل[17] اور کوبالٹ[18] ایسے عناصر ہیں جن کا m قدر زیادہ قیمت رکھتا ہے۔ یہ اشیاء **فولادی مقناطیسی اشیاء**[19] کہلاتے ہیں۔ ہم انہیں اشیاء پر غور کرتے ہیں۔

فولادی مقناطیسی اشیاء میں ایٹموں کے باہمی قوتوں کی وجہ سے قریبی جفت قطب ایک ہی سمت میں رخ کر لیتے ہیں۔ ایسے **ہم صف**[20] خطوں میں متعدد ایٹم شامل ہوتے ہیں۔ ان خطوں کو **مقناطیسی خطے**[21] کہتے ہیں۔ مقناطیسی خطے مختلف شکل کے ہو سکتے ہیں اور ان کی جسامت ایک مائیکرو میٹر تا کئی سنٹی میٹر ممکن ہے۔ کسی بھی قدرتی مقناطیسی شہ میں انفرادی مقناطیسی خطے کے مقناطیسی جفت قطب کا معیار اثر انتہائی بڑی مقدار کا ہوتا ہے البتہ مختلف مقناطیسی خطوں کے جفت قطب کے رخ مختلف سمتوں میں ہوتے ہیں۔ اسی وجہ سے پورا جسم از خود کوئی مقناطیسی معیار اثر نہیں رکھتا۔ ہاں بیرونی مقناطیسی میدان B_0 لاگو کرنے سے وہ مقناطیسی خطے جو B_0 کے ہی سمت میں رخ کئے ہوں کا حجم بڑھ جاتا ہے جبکہ بقایا مقناطیسی خطوں کا حجم کم ہو جاتا ہے۔ یوں اندرونی مقناطیسی میدان بیرونی میدان سے کئی گنا بڑھ جاتا ہے۔ بیرونی میدان ہٹا دینے سے تمام مقناطیسی خطے اپنی پرانی صورت اختیار نہیں کر پاتے۔ یوں تمام مقناطیسی خطوں کا مجموعی بقایا مقناطیسی معیار اثر رہ جاتا ہے۔ یہ حقیقت کہ مقناطیسی اشیاء کے خصوصیات گزشتہ حالات پر منحصر ہے، **مقناطیسی چال**[22] کہلاتا ہے۔

8.6 مقناطیسیت اور مقناطیسی مستقل

تصور کریں کہ کسی مادے کے اکائی حجم میں n مقناطیسی جفت قطب پائے جاتے ہوں۔ اس مادے کے Δh حجم میں $n\Delta h$ جفت قطب ہوں گے جن کا اجتماعی مقناطیسی معیار اثر ان کا سمتی مجموعہ

$$m_{\text{کل}} = \sum_{i=1}^{n\Delta h} m_i \tag{8.24}$$

ہو گا۔ انفرادی m مختلف قیمت اور سمت کے ہو سکتے ہیں۔ اجتماعی مقناطیسی معیار اثر فی اکائی حجم

$$M = \lim_{\Delta h \to 0} \frac{1}{\Delta h} \sum_{i=1}^{n\Delta h} m_i \tag{8.25}$$

کو **مقناطیسیت**[23] پکارا اور M سے ظاہر کیا جاتا ہے۔ مقناطیسیت کی اکائی بالکل H کے اکائی کی طرح ایمپیئر فی میٹر $\frac{\text{A}}{\text{m}}$ ہے۔ مندرجہ بالا مساوات کا صفحہ 142 پر دئے مساوات 5.25 کے ساتھ موازنہ کریں جو تقطیب کی تعریف بیان کرتی ہے۔ مندرجہ ذیل پڑھتے ہوئے بھی تقطیب پر تبصرے کو ساتھ ساتھ دیکھتے رہیں۔

---

[17] nickel
[18] cobolt
[19] ferromagnetic
[20] aligned
[21] magnetic domain
[22] hysteresis
[23] magnetization

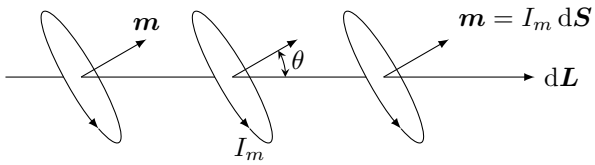

شکل 8.8: بیرونی مقناطیسی میدان جفت قطب کو صف بستہ کئے ہوئے ہے جس سے بند راہ سے گھیرے گئے سطح میں مقید برقی رو سے اضافہ پایا جاتا ہے۔

شکل 8.8 میں بند راہ کا کچھ حصہ $\mathrm{d}\boldsymbol{L}$ دکھایا گیا ہے جس پر مقناطیسی جفت قطب دکھائے گئے ہیں۔ چھوٹے رقبے $\mathrm{d}\boldsymbol{S}$ کے گرد گھومتی مقید برقی رو I_m مقناطیسی معیار اثر $\boldsymbol{m} = I_m \, \mathrm{d}\boldsymbol{S}$ کو جنم دیتی ہے۔ بیرونی مقناطیسی میدان لاگو کرنے سے جفت قطب ہم صف ہو کر $\mathrm{d}\boldsymbol{L}$ کے ساتھ θ کا زاویہ بناتے ہیں۔ یوں چھوٹے حجم $\mathrm{d}S \cos\theta \, \mathrm{d}L$ یعنی $\mathrm{d}\boldsymbol{S} \cdot \mathrm{d}\boldsymbol{L}$ میں جفت قطب کی کل تعداد $n \, \mathrm{d}\boldsymbol{S} \cdot \mathrm{d}\boldsymbol{L}$ ہو گی۔ آئیں دیکھتے ہیں کہ بند راہ سے گھیری سطح سے گزرتی برقی رو میں بیرونی میدان لاگو کرنے سے کیا تبدیلی رونما ہوتی ہے۔ اگر بند راہ پر $\boldsymbol{a}_{\mathrm{L}}$ جانب چلا جائے تو گھیری گئی سطح بائیں ہاتھ کو ہے۔ بیرونی میدان کے غیر موجودگی میں تمام جفت قطب بلا ترتیب پائے جاتے۔ بیرونی میدان $\boldsymbol{B}$ لاگو کرنے کی صورت میں تمام کے تمام $n \, \mathrm{d}\boldsymbol{S} \cdot \mathrm{d}\boldsymbol{L}$ جفت قطب ہم صف ہو جاتے ہیں جس کی وجہ سے گھیرے سطح سے کل مقید گزرتی برقی رو بڑھ جاتی ہے۔ ہر انفرادی جفت قطب گھیری گئی سطح سے گزرتی برقی رو میں I_m کا اضافہ کرتا ہے لہٰذا تمام ہم صف جفت قطب مل کر

$$\mathrm{d}I_m = n I_m \, \mathrm{d}\boldsymbol{S} \cdot \mathrm{d}\boldsymbol{L} = \boldsymbol{M} \cdot \mathrm{d}\boldsymbol{L} \tag{8.26}$$

اضافہ پیدا کرتے ہیں۔ پورے بند راہ کے گرد چلتے ہوئے یوں کل اضافہ

$$I_m = \oint \boldsymbol{M} \cdot \mathrm{d}\boldsymbol{L} \tag{8.27}$$

ہو گا۔ 2527

مندرجہ بالا مساوات ایمپیئر کے دوری قانون کی مساوات کے ساتھ قریبی مشابہت رکھتا ہے۔ یوں $\boldsymbol{B}$ اور $\boldsymbol{H}$ کے تعلق پر نظر ثانی کرتے ہوئے یوں بیان کیا جا سکتا ہے کہ یہ خالی خلاء کے علاوہ دیگر اشیاء میں بھی کارآمد ہو۔ ہمارا موجودہ تبصرہ بیرونی میدان $\boldsymbol{B}$ میں جفت قطب پر قوت اور مروڑ پر رہا ہے۔ آئیں $\boldsymbol{B}$ کو ہی بنیادی متغیرہ تصور کرتے ہوئے $\boldsymbol{H}$ کی بہتر تعریف حاصل کریں۔ ایسا کرنے کی خاطر ایمپیئر کے دوری قانون کو آزاد برقی رو I اور مقید برقی رو I_m کے مجموعے $I_{\text{کل}}$ کی صورت

$$\oint \frac{\boldsymbol{B}}{\mu_0} \cdot \mathrm{d}\boldsymbol{L} = I_{\text{کل}} \tag{8.28}$$

میں لکھتے ہیں جہاں

$$I_{\text{کل}} = I + I_m \tag{8.29}$$

کے برابر ہے۔ مندرجہ بالا تین مساوات سے

$$I = I_{\text{کل}} - I_m = \oint \left(\frac{\boldsymbol{B}}{\mu_0} - \boldsymbol{M} \right) \cdot \mathrm{d}\boldsymbol{L} \tag{8.30}$$

حاصل ہوتا ہے۔ قوسین میں بند حصے کو $\boldsymbol{H}$ کی بہتر تعریف لیتے ہیں یعنی

$$\boldsymbol{H} = \frac{\boldsymbol{B}}{\mu_0} - \boldsymbol{M} \tag{8.31}$$

جسے یوں

$$\boldsymbol{B} = \mu_0 \left(\boldsymbol{H} + \boldsymbol{M} \right) \tag{8.32}$$

بھی لکھا جا سکتا ہے۔ چونکہ خالی خلاء میں $\boldsymbol{M}$ صفر کے برابر ہوتا ہے لہٰذا مندرجہ بالا مساوات سے خالی خلاء میں $\boldsymbol{B} = \mu_0 \boldsymbol{H}$ ہی حاصل ہوتا ہے۔ مساوات 8.30 میں $\boldsymbol{H}$ کی نئی تعریف پر کرنے سے ایمپیئر کے دوری قانون کو آزاد برقی رو کی صورت

$$I = \oint \boldsymbol{H} \cdot \mathrm{d}\boldsymbol{L} \tag{8.33}$$

میں بیان کیا جا سکتا ہے۔ [2528]

مختلف اقسام کے برقی رو کے لئے

$$\begin{aligned} I_m &= \oint_S \boldsymbol{J}_m \cdot \mathrm{d}\boldsymbol{S} \\ I_{\text{کل}} &= \oint_S \boldsymbol{J}_{\text{کل}} \cdot \mathrm{d}\boldsymbol{S} \\ I &= \oint_S \boldsymbol{J} \cdot \mathrm{d}\boldsymbol{S} \end{aligned}$$

لکھے جا سکتے ہیں جن سے بذریعہ مسئلہ سٹوکس مساوات 8.27، مساوات 8.33 اور مساوات 8.28 کے گردش

$$\begin{aligned} \nabla \times \boldsymbol{M} &= \boldsymbol{J}_m \\ \nabla \times \frac{\boldsymbol{B}}{\mu_0} &= \boldsymbol{J}_{\text{کل}} \\ \nabla \times \boldsymbol{H} &= \boldsymbol{J} \end{aligned} \tag{8.34}$$

لکھے جا سکتے ہیں۔ ہمیں یہاں سے آگے مساوات 8.33 اور مساوات 8.34 سے غرض رہے گا۔ یہ دونوں مساوات آزاد برقی رو کے تعلق پیش کرتے ہیں۔

مساوات 8.32 کثافت مقناطیسی بہاو $\boldsymbol{B}$، مقناطیسی میدان کی شدت $\boldsymbol{H}$ اور مقناطیسیت $\boldsymbol{M}$ کے تعلق کو بیان کرتی ہے۔ خطی[24] اور غیر سمتی خاصیت[25] کے اشیاء میں مقناطیسیت اور میدان کے شدت کا خطی تعلق

$$\boldsymbol{M} = \chi_m \boldsymbol{H} \tag{8.35}$$

پایا جاتا ہے جہاں χ_m کو مقناطیسی اثر پذیری[26] کہا جاتا ہے۔ یوں

$$\begin{aligned} \boldsymbol{B} &= \mu_0 \left(\boldsymbol{H} + \chi_m \boldsymbol{H}\right) \\ &= \mu_0 (1 + \chi_m) \boldsymbol{H} \end{aligned}$$

لکھا جا سکتا ہے۔ قوسین میں بند حصے کو جزوی مقناطیسی مستقل[27] پکارا اور μ_R سے ظاہر کیا جاتا ہے یعنی

$$\mu_R = 1 + \chi_m \tag{8.36}$$

یوں

$$\boldsymbol{B} = \mu_0 \mu_R \boldsymbol{H}$$

یا

$$\boldsymbol{B} = \mu \boldsymbol{H} \tag{8.37}$$

---

[24] linear
[25] isotropic
[26] magnetic susceptibility
[27] relative magnetic constant, relative permeability

حاصل ہوتا ہے جہاں μ

$$\mu = \mu_0 \mu_R \tag{8.38}$$

مقناطیسی مستقل[28] پکارا جاتا ہے۔ جزوی مقناطیسی مستقل μ_R کے استعمال سے بایوٹ سیوارٹ کا قانون اور ایمپیئر کے دوری قانون کو خالی خلاء کے علاوہ ان تمام اشیاء میں بھی استعمال کیا جا سکتا ہے جو خطی اور غیر سمتی خاصیت رکھتے ہوں۔ ایسے اشیاء مساوات 8.35 پر پورا اترتے ہیں۔

فولادی مقناطیسی اشیاء کے μ_R کی قیمت 10 تا 100 000 پائی جاتی ہے۔

سمتی خاصیت[29] کے اشیاء میں $\boldsymbol{H}$ کا ہر کارتیسی جزو $\boldsymbol{B}$ کے ہر کارتیسی جزو پر اثر انداز ہوتا ہے لہٰذا ان کا تعلق تناوی شکل

$$\begin{aligned} B_x &= \mu_{xx} H_x + \mu_{xy} H_y + \mu_{xz} H_z \\ B_y &= \mu_{yx} H_x + \mu_{yy} H_y + \mu_{yz} H_z \\ B_z &= \mu_{zx} H_x + \mu_{zy} H_y + \mu_{zz} H_z \end{aligned} \tag{8.39}$$

میں لکھا جا سکتا ہے۔ یہ مساوات صفحہ 145 پر دئے مساوات 5.40 کی طرح ہے۔ یوں سمتی خاصیت کے اشیاء میں $\boldsymbol{B} = \mu \boldsymbol{H}$ کے تعلق میں μ تناوی مستقل ہے۔ مساوات $\boldsymbol{B} = \mu_0(\boldsymbol{H} + \boldsymbol{M})$ اب بھی درست ہے اگرچہ $\boldsymbol{B}$، $\boldsymbol{H}$ اور $\boldsymbol{M}$ عموماً غیر متوازی ہوں گے۔

مقناطیسی اثر پذیری کی بات کرتے ہوئے خطی تعلق تصور کیا گیا ہے۔ حقیقت میں ایسا خطی تعلق صرف غیر مقناطیسی اشیاء میں ہی پایا جاتا ہے۔

8.7 مقناطیسی سرحدی شرائط

ہم موصل اور ذو برق کے سرحدی شرائط دیکھ چکے ہیں۔ انہیں دیکھتے ہوئے آگے پڑھیں۔ بالکل انہیں کی طرح شکل 8.9 کی مدد سے مقناطیسی سرحدی شرائط حاصل کرتے ہیں جہاں دو مقناطیسی اشیاء کا سرحد دکھایا گیا ہے جن کے مقناطیسی مستقل μ_1 اور μ_2 ہیں۔ سرحد پر چھوٹے نلکی ڈبے کی لمبائی کم سے کم کرتے ہوئے گاؤس کے قانون

$$\oint_S \boldsymbol{B} \cdot \mathrm{d}\boldsymbol{S} = 0$$

کے اطلاق سے

$$B_{n1} \Delta S - B_{n2} \Delta S = 0$$

یعنی

$$B_{n2} = B_{n1} \tag{8.40}$$

یا

$$H_{n2} = \frac{\mu_1}{\mu_2} H_{n1} \tag{8.41}$$

حاصل ہوتے ہیں۔ یوں عمودی $\boldsymbol{B}$ سرحد پر بلا جوڑ ہے جبکہ عمودی $\boldsymbol{H}$ سرحد پر $\frac{\mu_1}{\mu_2}$ کی شرح سے جوڑ دار ہے۔ مندرجہ بالا دو مساوات کو یوں

$$\boldsymbol{a}_N \cdot (\boldsymbol{B}_2 - \boldsymbol{B}_1) = 0 \tag{8.42}$$

$$\boldsymbol{a}_N \cdot \left(\boldsymbol{H}_2 - \frac{\mu_1}{\mu_2} \boldsymbol{H}_1 \right) = 0 \tag{8.43}$$

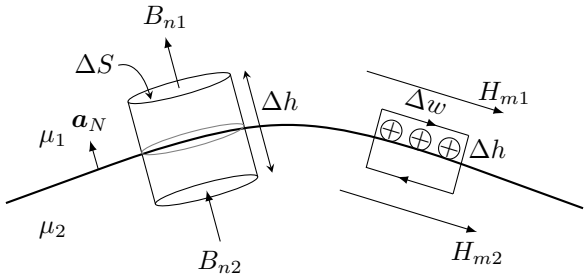

شکل 8.9: مقناطیسی سرحدی شرائط۔

بھی لکھا جا سکتا ہے۔ 2537

سرحد پر عمودی $\boldsymbol{M}$ کا تعلق سرحد پر عمودی $\boldsymbol{H}$ کے تعلق سے حاصل ہوتا ہے۔ خطی خاصیت کے مقناطیسی اشیاء کے لئے یوں

$$M_{n2} = \frac{\chi_{m2}}{\chi_{m1}} \frac{\mu_1}{\mu_2} M_{n1} \tag{8.44}$$

لکھا جا سکتا ہے۔ 2538

سرحد پر انتہائی کم موٹائی کے خطے میں کثافت برقی رو K تصور کرتے ہوئے کثافت کے عمودی ΔL چوڑائی پر برقی رو $I_{\Delta L} = K\Delta L$ لکھی جا سکتی ہے۔ یوں سرحد پر متوازی اجزاء کا شرط شکل میں مستطیل راہ پر ایمپیئر کے دوری قانون

$$\oint \boldsymbol{H} \cdot \mathrm{d}\boldsymbol{L} = I$$

کے اطلاق سے

$$H_{m1}\Delta w - H_{m2}\Delta w = K_\perp \Delta w$$

یعنی

$$H_{m1} - H_{m2} = K_\perp \tag{8.45}$$

حاصل ہوتا ہے جہاں $K_\perp$ سے مراد K کا وہ حصہ ہے جو H_{m1} اور H_{m2} کے عمودی ہے۔ سمتی ضرب کے استعمال سے مندرجہ بالا مساوات کو

$$\boldsymbol{a}_N \times (\boldsymbol{H}_1 - \boldsymbol{H}_2) = \boldsymbol{K}_\perp \tag{8.46}$$

لکھا جا سکتا ہے جہاں $\boldsymbol{a}_N$ سرحد پر عمودی اکائی سمتیہ ہے۔ سرحد کے متوازی $\boldsymbol{B}$ کے لئے یوں

$$\frac{B_{m1}}{\mu_1} - \frac{B_{m2}}{\mu_2} = K_\perp \tag{8.47}$$

یا

$$\boldsymbol{a}_N \times \left(\frac{B_{m1}}{\mu_1} - \frac{B_{m2}}{\mu_2}\right) = \boldsymbol{K}_\perp \tag{8.48}$$

---

magnetic constant, permeability[28]
anisotropic[29]

لکھا جا سکتا ہے۔اسی طرح خطی خاصیت کے اشیاء کے لئے سرحد کے متوازی $\boldsymbol{M}$ کے لئے

$$M_{m2} = \frac{\chi_{m2}}{\chi_{m1}} M_{m1} - \chi_{m2} K_{\perp} \tag{8.49}$$

لکھا جا سکتا ہے۔سرحد پر صفر کثافت برقی رو کی صورت میں مندرجہ بالا تین مساوات سادہ صورت اختیار کر لیتے ہیں۔دونوں اشیاء غیر موصل ہونے کی صورت میں سرحد پر کثافت برقی رو صفر ہی ہوتی ہے۔

مثال 8.4: مساوات $3x - 2y + 5z < 1$ خطہ-1 جبکہ مساوات $3x - 2y + 5z > 1$ خطہ-2 کو ظاہر کرتی ہے۔ان خطوں کے جزوی مقناطیسی مستقل $\mu_{R1} = 2.5$ اور $\mu_{R2} = 5$ ہیں۔خطہ-1 میں $\boldsymbol{H}_1 = 30\boldsymbol{a}_{\mathrm{x}} + 20\boldsymbol{a}_{\mathrm{y}} - 40\boldsymbol{a}_{\mathrm{z}}$ ہے۔سرحد کے عمودی، خطہ-1 سے خطہ-2 کی جانب اکائی سمتیہ $\boldsymbol{a}_N$ حاصل کریں۔پہلے خطے میں سرحد کے عمودی اور متوازی میدان کے اجزاء حاصل کریں۔اسی طرح دوسرے خطے میں سرحد کے عمودی اور متوازی میدان حاصل کریں۔سرحد کے عمود کے ساتھ دونوں خطوں میں میدان کیا زاویہ بناتا ہے۔

حل: سرحدی مساوات کی ڈھلوان سے اکائی سمتیہ حاصل ہو گی۔چونکہ ڈھلوان کی سمت بڑھتے جانب ہوتی ہے لہٰذا اس کی سمت خطہ-1 سے خطہ-2 کی جانب ہو گی۔

$$\begin{aligned}
\boldsymbol{a}_N &= \frac{\nabla(3x - 2y + 5z)}{\left|\nabla(3x - 2y + 5z)\right|} \\
&= \frac{3\boldsymbol{a}_{\mathrm{x}} - 2\boldsymbol{a}_{\mathrm{y}} + 5\boldsymbol{a}_{\mathrm{z}}}{\sqrt{38}} \\
&= 0.487\boldsymbol{a}_{\mathrm{x}} - 0.324\boldsymbol{a}_{\mathrm{y}} + 0.811\boldsymbol{a}_{\mathrm{z}}
\end{aligned}$$

میدان کا عمودی جزو

$$\begin{aligned}
\boldsymbol{H}_{n1} &= (\boldsymbol{H}_1 \cdot \boldsymbol{a}_N)\boldsymbol{a}_N \\
&= -24.33(0.487\boldsymbol{a}_{\mathrm{x}} - 0.324\boldsymbol{a}_{\mathrm{y}} + 0.811\boldsymbol{a}_{\mathrm{z}}) \\
&= -11.84\boldsymbol{a}_{\mathrm{x}} + 7.89\boldsymbol{a}_{\mathrm{y}} - 19.74\boldsymbol{a}_{\mathrm{z}}
\end{aligned}$$

ہے جسے میدان سے منفی کرنے سے متوازی جزو حاصل ہو گا۔

$$\begin{aligned}
\boldsymbol{H}_{m1} &= \boldsymbol{H}_1 - \boldsymbol{H}_{n1} \\
&= (30\boldsymbol{a}_{\mathrm{x}} + 20\boldsymbol{a}_{\mathrm{y}} - 40\boldsymbol{a}_{\mathrm{z}}) - (-11.84\boldsymbol{a}_{\mathrm{x}} + 7.89\boldsymbol{a}_{\mathrm{y}} - 19.74\boldsymbol{a}_{\mathrm{z}}) \\
&= 41.84\boldsymbol{a}_{\mathrm{x}} + 12.11\boldsymbol{a}_{\mathrm{y}} - 20.26\boldsymbol{a}_{\mathrm{z}}
\end{aligned}$$

چونکہ سرحد پر مقناطیسی میدان بے جوڑ ہوتا ہے لہٰذا سرحد کے دونوں اطراف پر متوازی میدان برابر ہوں گے۔

$$\boldsymbol{H}_{m2} = \boldsymbol{H}_{m1} = 41.84\boldsymbol{a}_{\mathrm{x}} + 12.11\boldsymbol{a}_{\mathrm{y}} - 20.26\boldsymbol{a}_{\mathrm{z}}$$

سرحدی شرائط سے

$$\begin{aligned}
\boldsymbol{H}_{n2} = \frac{\mu_{R1}}{\mu_{R2}}\boldsymbol{H}_{n1} &= \frac{2}{5}(-11.84\boldsymbol{a}_{\mathrm{x}} + 7.89\boldsymbol{a}_{\mathrm{y}} - 19.74\boldsymbol{a}_{\mathrm{z}}) \\
&= -5.92\boldsymbol{a}_{\mathrm{x}} + 3.95\boldsymbol{a}_{\mathrm{y}} - 9.87\boldsymbol{a}_{\mathrm{z}}
\end{aligned}$$

لکھا جا سکتا ہے۔یوں دوسرے خطے میں میدان

$$\boldsymbol{H}_2 = \boldsymbol{H}_{m2} + \boldsymbol{H}_{n2} = 35.92\boldsymbol{a}_{\mathrm{x}} + 16.05\boldsymbol{a}_{\mathrm{y}} - 30.13\boldsymbol{a}_{\mathrm{z}}$$

ہے۔ پہلے خطے میں

$$\cos\theta_1 = \frac{|\boldsymbol{H}_{n1}|}{|\boldsymbol{H}_1|} = 0.452$$

سے

$$\theta_1 = 63.1^\circ$$

حاصل ہوتا ہے جبکہ دوسرے خطے میں اسی طرح

$$\theta_2 = \cos^{-1}\frac{|\boldsymbol{H}_{n2}|}{|\boldsymbol{H}_2|} = 75.8^\circ$$

حاصل ہوتا ہے۔

8.8 مقناطیسی دور

یک سمتی برقی ادوار حل کرنے سے آپ بخوبی آگاہ ہوں گے۔ کئی مقناطیسی مسائل بالکل انہیں کی طرح حل ہوتے ہیں۔ برقی مشین مثلاً موٹر اور ٹرانسفارمر کے کارکردگی پر غور کرتے وقت انہیں مقناطیسی ادوار سمجھا جاتا ہے۔ میری کتاب "برقی آلات" میں اس ترکیب پر پورا باب ہے اور پوری کتاب میں اسی ترکیب کو استعمال کرتے ہوئے مختلف برقی مشین پر غور کیا گیا ہے۔ آئیں اس ترکیب کو دیکھیں۔

سب سے پہلے ان برقی اور مقناطیسی مساوات کو پاس پاس لکھتے ہیں جن کی مدد سے مقناطیسی ادوار کا تصور پیدا ہوتا ہے۔ برقی دباو اور برقی میدان کی شدت کا تعلق

$$\boldsymbol{E} = -\nabla V \tag{8.50}$$

ہے۔ غیر سمتی مقناطیسی دباو اور مقناطیسی میدان کی شدت کے تعلق

$$\boldsymbol{H} = -\nabla V_m \tag{8.51}$$

سے بھی آپ بخوبی واقف ہیں۔ منبع برقی دباو کو محرک برقی دباو پکارا جاتا ہے۔ اسی مشابہت کی بنا پر غیر مقناطیسی دباو کو محرک مقناطیسی دباو پکارا جائے گا۔ متحرک مقناطیسی دباو کی اکائی ایمپیئر ہے۔ حقیقت میں عموماً متعدد چکر کے لچھے کو بطور متحرک مقناطیسی دباو استعمال کیا جاتا ہے اور یوں اس کی اکائی ایمپیئر-چکر[30] لی جاتی ہے۔ یاد رہے کہ غیر سمتی مقناطیسی دباو صرف اس خطے میں معنی رکھتا ہے جہاں برقی رو موجود نہ ہو۔

دو نقطوں کے درمیان برقی دباو کے فرق کو

$$V_{AB} = -\int_B^A \boldsymbol{E}\cdot \mathrm{d}\boldsymbol{L} \tag{8.52}$$

لکھا جاتا ہے۔ بالکل اسی طرح دو نقطوں کے درمیان مقناطیسی دباو کے فرق کو

$$V_{mAB} = -\int_B^A \boldsymbol{H}\cdot \mathrm{d}\boldsymbol{L} \tag{8.53}$$

---

[30] ampere-turns

لکھا جاتا ہے۔ صفحہ 237 پر مساوات 7.83 میں بتلایا گیا کہ غیر سمتی مقناطیسی دباو کے حصول کے دوران مندرجہ بالا تکمل میں $\phi = \pi$ پر سے نہیں گزرا جائے گا۔ اس حقیقت کا خیال رکھنا ضروری ہے۔

برقی ادوار میں اوہم کے قانون کی نقطہ شکل

$$\boldsymbol{J} = \sigma \boldsymbol{E} \tag{8.54}$$

سے کون خبردار نہیں ہے۔ یہ مساوات کثافت برقی رو اور برقی میدان کے شدت کا تعلق بیان کرتی ہے۔ مقناطیسی ادوار میں اس کا مقابل

$$\boldsymbol{B} = \mu \boldsymbol{H} \tag{8.55}$$

ہے جو کثافت مقناطیسی بہاو اور مقناطیسی میدان کے شدت کا تعلق پیش کرتی ہے۔

کل برقی رو بذریعہ سطحی تکمل

$$I = \int_S \boldsymbol{J} \cdot \mathrm{d}\boldsymbol{S} \tag{8.56}$$

حاصل ہوتی ہے۔ کل مقناطیسی بہاو بھی ایسے ہی تکمل سے حاصل ہو گا لہٰذا

$$\Phi = \int_S \boldsymbol{B} \cdot \mathrm{d}\boldsymbol{S} \tag{8.57}$$

لکھا جائے گا۔ یوں برقی ادوار میں I اور مقناطیسی ادوار میں Φ اہمیت کے حامل ہیں۔

برقی ادوار میں برقی دباو اور برقی رو کی شرح کو برقی مزاحمت پکارا اور R سے ظاہر کیا جاتا ہے یعنی

$$V = IR \tag{8.58}$$

ہم بالکل اسی طرح متحرک مقناطیسی دباو اور مقناطیسی بہاو کی شرح کو ہچکچاہٹ کا نام دیتے ہیں جسے $\Re$ سے ظاہر کیا جائے گا لہٰذا مقناطیس ادوار کے لئے

$$V_m = \Phi \Re \tag{8.59}$$

لکھا جا سکتا ہے۔ ہچکچاہٹ کی اکائی ایمپیئر-چکر فی ویبر $(\mathrm{A \cdot t/Wb})$ ہے۔

خطی اور غیر سمتی خاصیت کے یکساں مادہ جس کی موصلیت σ ہو سے بنایا گیا برقی مزاحمت

$$R = \frac{d}{\sigma S} \tag{8.60}$$

کے برابر ہے جہاں مزاحمت کی لمبائی d اور اس کا رقبہ عمودی تراش پورے لمبائی پر یکساں S کے برابر ہے۔ اگر خطی اور غیر سمتی خاصیت کے یکساں مادہ سے ہچکچاہٹ بنایا جائے تو اس کی قیمت

$$\Re = \frac{d}{\mu S} \tag{8.61}$$

ہو گی جہاں ہچکچاہٹ کی لمبائی d اور اس کا رقبہ عمودی تراش پورے لمبائی پر یکساں S کے برابر ہے۔ حقیقت میں ہوا کے علاوہ ایسا کوئی مادہ نہیں پایا جاتا جس سے اٹل قیمت کی ہچکچاہٹ بنائی جا سکے۔

مثال 8.5: ایک سلاخ جس کی لمبائی 15 cm اور رداس 1 mm ہے کی موصلیت $1200\ \frac{\mathrm{S}}{\mathrm{m}}$ ہے پر 220 V برقی دباو لاگو کی جاتی ہے۔ سلاخ کی مزاحمت اور اس میں برقی رو حاصل کریں۔ سلاخ میں کثافت برقی رو بھی حاصل کریں۔

حل: مزاحمت

$$R = \frac{d}{\sigma A} = \frac{0.15}{7 \times 10^4 \times \pi \times 0.001^2} = 39.8\,\Omega$$

اور برقی رو

$$I = \frac{V}{R} = \frac{220}{39.8} = 5.5\,\mathrm{A}$$

اور یوں کثافت برقی رو ہو گا

$$J = \frac{I}{A} = \frac{5.5}{\pi \times 0.001^2} = 1.75\,\frac{\mathrm{MA}}{\mathrm{m}^2}$$

مثال 8.6: ایک سلاخ جس کی لمبائی 15 cm اور رداس 2 cm ہے کا جزو مقناطیسی مستقل 1000 ہے۔ اس پر 100 چکر کا لچھا جس میں 0.5 A برقی رو ہو مقناطیسی دباو لاگو کرتا ہے۔ سلاخ کی ہچکچاہٹ اور اس میں مقناطیسی بہاو حاصل کریں۔ سلاخ میں کثافت مقناطیسی بہاو بھی حاصل کریں۔

حل: ہچکچاہٹ

$$\Re = \frac{d}{\mu_R \mu_0 A} = \frac{0.15}{1000 \times 4 \times \pi \times 10^{-7} \times \pi \times 0.02^2} = 94\,988\ \mathrm{A \cdot t/Wb}$$

اور مقناطیسی بہاو

$$\Phi = \frac{V_m}{\Re} = \frac{100 \times 0.5}{94988} = 0.53\,\mathrm{mWb}$$

اور یوں کثافت مقناطیسی بہاو ہو گی

$$B = \frac{\Phi}{A} = \frac{0.00053}{\pi \times 0.02^2} = 0.42\,\mathrm{T}$$

8.9 مقناطیسی مخفی توانائی

ساکن برقی میدان پر غور کے دوران ہم نے نقطہ چارج پر قوت کے تجرباتی نتائج سے کولومب کا قانون اخذ کیا۔اس قانون کو استعمال کرتے ہوئے مختلف نقطہ چارج کو لامحدود فاصلے سے مختلف اختتامی مقامات پر رکھنے کی خاطر کل درکار توانائی حاصل کی گئی۔یہی ساکن برقی میدان کی مخفی توانائی تھی۔اس مخفی توانائی کی عمومی مساوات

$$W_{\text{برقی}} = \frac{1}{2}\int_h \boldsymbol{D}\cdot\boldsymbol{E}\,\mathrm{d}h \tag{8.62}$$

ہے جہاں $\boldsymbol{D}$ اور $\boldsymbol{E}$ کا تعلق راست تناسب تصور کیا گیا ہے۔

یہاں خیال آتا ہے کہ مقناطیسی میدان کی مخفی توانائی بھی اسی طرز پر حاصل کی جاسکتی ہے جیسے برقی میدان کی مخفی توانائی حاصل کی گئی تھی، یعنی ایک برقی رو گزارتے تار کے قریب دوسرے برقی رو گزارتے تار کو قریب لاتے ہوئے درکار توانائی معلوم کر کے۔حقیقت میں معاملہ اتنا سادہ نہیں ہے جیسے کہ اگلے باب میں بتلایا جائے گا، مقناطیسی میدان میں حرکت کرتے حصے میں برقی دباو پیدا ہوتا ہے جس میں معاملہ خاصہ تبدیل ہو جاتا ہے۔

مقناطیسی میدان کی مخفی توانائی اگلے باب میں پوئنٹنگ سمتیہ[31] سے حاصل کی جائے گی۔یہاں مقناطیسی مخفی توانائی کی مساوات صفر پیش کرتے ہیں

$$W_{\text{مقناطیسی}} = \frac{1}{2}\int_h \boldsymbol{B}\cdot\boldsymbol{H}\,\mathrm{d}h \tag{8.63}$$

جو شکل سے برقی مخفی توانائی کے مساوات کے قریبی مشابہت رکھتا ہے۔اس میں $\boldsymbol{B} = \mu\boldsymbol{H}$ پر کرنے سے

$$W_{\text{مقناطیسی}} = \frac{1}{2}\int_h \mu H^2\,\mathrm{d}h \tag{8.64}$$

اور

$$W_{\text{مقناطیسی}} = \frac{1}{2}\int_h \frac{B^2}{\mu}\,\mathrm{d}h \tag{8.65}$$

بھی حاصل ہوتے ہیں۔

برقی مخفی توانائی کی طرح یہاں بھی یہ بتلانا کہ مخفی توانائی درحقیقت کہاں پر ہے ناممکن ثابت ہوتا ہے البتہ حساب و کتاب آسان بنانے کی خاطر ہم فرض کر سکتے ہیں کہ یہ توانائی پورے حجم میں بطور کثافت توانائی $\frac{1}{2}\boldsymbol{B}\cdot\boldsymbol{H}$ پائی جاتی ہے جسے جاول فی مربع میٹر $\mathrm{J/m^3}$ میں ناپا جائے گا۔

8.10 خود امالہ اور مشترکہ امالہ

برقی ادوار میں مزاحمت، کپیسٹر اور امالہ کردار ادا کرتے ہیں۔مزاحمت اور کپیسٹر پر ہم بات کر چکے ہیں۔برقی دباو اور برقی رو کی شرح کو مزاحمت کہا گیا۔ہم نے دیکھا کہ مزاحمت کے قیمت کا دارومدار مزاحمت کے لمبائی، رقبہ عمودی تراش اور موصلیت پر ہے۔اسی طرح دو چادروں میں سے کسی ایک پر چارج کی حتمی قیمت اور ان چادروں کے درمیان برقی دباو کی شرح کو کپیسٹنس کہا گیا۔ہم نے دیکھا کہ کپیسٹر کے قیمت کا دارومدار کپیسٹر کے چادروں کے رقبے، ان چادروں کے درمیان فاصلے اور چادروں کے درمیان مادے کی برقی مستقل پر ہے۔یوں مزاحمت اور کپیسٹر کے قیمت ان کے شکل، جسامت اور مادے کے مستقل پر ہے۔اس حصے میں ہم امالہ L پر غور کریں گے جس کی اکائی ہینری[32] H ہے۔نیچے کئی مساوات میں امالہ اور فاصلہ دونوں کے لئے ایک ہی علامت یعنی L استعمال کیا گیا ہے۔امید کی جاتی ہے کہ متن سے ان کا فرق کرنا ممکن ہو گا۔ہم دیکھیں گے کہ اس کے قیمت کا دارومدار امالہ کی شکل، جسامت اور مقناطیسی مستقل پر ہے۔

امالہ سمجھنے کی خاطر ارتباط بہاو[33] کا ذکر ضروری ہے۔تصور کریں کہ N چکر لالچھا جس میں I برقی رو گزر رہا ہے کل Φ مقناطیسی بہاو پیدا کرتا ہے۔تصور

---

[31] Poynting vector
[32] Henry
[33] flux linkage

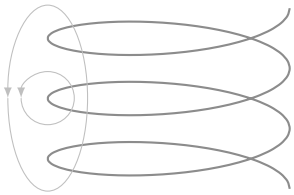

شکل 8.10: متعدد چکر کے لچھے میں ہر چکر سے گزرتی مقناطیسی بہاو مختلف ہو سکتی ہے۔

کریں کہ Φ ان تمام N چکر سے گزرتی ہے۔یوں تمام کا تمام مقناطیسی بہاو ہر چکر سے گزرتی ہے۔یوں پہلے چکر سے Φ بہاو گزرتی ہے، دوسرے چکر سے بھی Φ بہاو گزرتی ہے اور اسی طرح بقایا ہر چکر سے بھی اتنی ہی بہاو گزرتی ہے۔ارتباط بہاو سے مراد $N\Phi$ ہے یعنی تمام چکر سے گزرتی بہاو کا مجموعہ۔

ارتباط بہاو اور برقی رو کی شرح کو امالہ کہا جاتا ہے۔اگر ارتباط بہاو اسی برقی رو سے پیدا ہو تب ان کی شرح کو خود امالہ[34] کہتے ہیں جسے عموماً چھوٹا کر کے صرف امالہ پکارا جاتا ہے۔اس کے برعکس اگر برقی رو ایک تار میں ہو اور ارتباط بہاو دوسری تار کی ہو تب ان کے شرح کو مشترکہ امالہ[35] کہتے ہیں۔اس حصے میں خود امالہ پر ہی غور کیا جائے گا۔اگلے حصے میں مشترکہ امالہ پر غور کیا جائے گا۔

$$L = \frac{N\Phi}{I} \tag{8.66}$$

اس مساوات میں تصور کیا گیا ہے کہ پورا مقناطیسی بہاو تمام چکر سے گزرتی ہے۔امالہ کی یہ تعریف صفر خطی مقناطیسی اشیاء کے لئے معنی رکھتی ہے۔خطی مقناطیسی اشیاء سے مراد ایسے مقناطیسی اشیاء ہیں جن میں مقناطیسی بہاو اور برقی رو راست تناسب کا تعلق رکھتے ہیں۔فولادی مقناطیسی اشیاء میں مقناطیسی چال کی بنا پر امالہ کی کوئی ایک تعریف تمام موقعوں کے لئے کارآمد ثابت نہیں ہوتا۔ہم خطی مقناطیسی اشیاء تک ہی بحث کو محدود رکھیں گے۔

آئیں ہم محوری تار کے اکائی لمبائی کی امالہ حاصل کریں۔صفحہ 205 پر مساوات 7.13

$$H_\phi = \frac{I}{2\pi\rho} \qquad (\rho_1 < \rho < \rho_2)$$

ہم محوری تار میں تاروں کے درمیانی خطے میں مقناطیسی شدت دیتا ہے جسے استعمال کرتے ہوئے اس خطے میں z_0 لمبائی پر کل مقناطیسی بہاو

$$\begin{aligned}\Phi &= \int_S B_\phi \,\mathrm{d}S \\ &= \int_0^{z_0}\int_{\rho_1}^{\rho_2} \frac{\mu I \,\mathrm{d}\rho \,\mathrm{d}z}{2\pi\rho} \\ &= \frac{\mu I z_0}{2\pi} \ln\frac{\rho_2}{\rho_1}\end{aligned}$$

حاصل کیا جا سکتا ہے۔یہ مقناطیسی بہاو دونوں تاروں کے درمیانے خطے میں اندرونی تار کے گرد گھومتی ہے لہٰذا تکمل میں کسی بھی زاویہ پر z_0 لمبی ρ_1 تا ρ_2 رداسی سطح لی جا سکتی ہے۔یوں اکائی لمبائی پر ہم محوری تار کی امالہ

$$L = \frac{\mu I}{2\pi} \ln\frac{\rho_2}{\rho_1} \tag{8.67}$$

ہو گی۔یہاں $N = 1$ یعنی ایک ہی چکر ہے اور تمام کا تمام مقناطیسی بہاو پورے برقی رو کے گرد چکر کاٹتی ہے۔

[34] self inductance
[35] mutual inductance

اب تصور کریں کہ پیچدار لچھے کی امالہ درکار ہو جسے شکل 8.10 میں دکھایا گیا ہے۔ایسے لچھے کے پہلے چکر کا پورا بہاو پہلے چکر سے گزرتی ہے البتہ اس کا کچھ ہی حصہ دوسرے یا تیسرے چکر سے گزرتی ہے۔یہی کچھ بقایا چکر کے بارے میں بھی کہا جا سکتا ہے۔ایسی صورت میں لچھے کی ارتباط بہاو حاصل کرنے کی خاطر ہر چکر سے گزرتی انفرادی بہاو لیتے ہوئے تمام کا مجموعہ حاصل کیا جائے گا یعنی

$$\text{ارتباط بہاو} = \Phi_1 + \Phi_2 + \cdots + \Phi_N = \sum_{i=1}^{N} \Phi_i$$

آئیں اب امالہ کی عمومی مساوات حاصل کریں۔

کسی بھی بند راہ پر یک سمتی برقی رو I گزرنے سے کثافت مقناطیسی بہاو $\boldsymbol{B}$

$$\boldsymbol{B} = \nabla \times \boldsymbol{A}$$

پیدا ہوتی ہے جہاں $\boldsymbol{A}$ سمتی مقناطیسی دباو ہے جسے

$$\boldsymbol{A} = \frac{\mu_0 I}{4\pi} \oint \frac{\mathrm{d}\boldsymbol{L}}{R}$$

سے حاصل کیا جا سکتا ہے۔ایسی بند راہ سطح S کو گھیرتی ہے جس میں سے گزرتی کل مقناطیسی بہاو Φ کو تکمل

$$\Phi = \int_S \boldsymbol{B} \cdot \mathrm{d}\boldsymbol{S}$$

سے حاصل کیا جا سکتا ہے۔اس تکمل میں $\boldsymbol{B}$ پر کرنے سے

$$\Phi = \int_S (\nabla \times \boldsymbol{A}) \cdot \mathrm{d}\boldsymbol{S}$$

حاصل ہوتا ہے۔مسئلہ بایوٹ سیوارٹ کی مدد سے اسے

$$\Phi = \oint \boldsymbol{A} \cdot \mathrm{d}\boldsymbol{L}$$

لکھا جا سکتا ہے جہاں بند تکمل سطح کے سرحد یعنی برقی رو گزارتے بند راہ پر حاصل کیا جائے گا۔اس مساوات میں $\boldsymbol{A}$ پر کرنے سے

$$\Phi = \frac{\mu_0 I}{4\pi} \oint \left(\oint \frac{\mathrm{d}\boldsymbol{L}}{R} \right) \cdot \mathrm{d}\boldsymbol{L}$$

حاصل ہوتا ہے۔یوں امالہ کی عمومی مساوات

$$L = \frac{\mu_0}{4\pi} \oint \left(\oint \frac{\mathrm{d}\boldsymbol{L}}{R} \right) \cdot \mathrm{d}\boldsymbol{L} \tag{8.68}$$

حاصل ہوتی ہے۔یہاں تکمل کے اندر L فاصلے کو ظاہر کرتی ہے جبکہ مساوات کے بائیں ہاتھ یہی علامت امالہ کو ظاہر کرتی ہے۔

امالہ کی مساوات سے ظاہر ہے کہ امالہ کی قیمت کا دارومدار صرف اور صرف تار یا لچھے کی شکل و جسامت اور مقناطیسی مستقل پر منحصر ہے۔

امالہ کی مساوات حاصل کرنے کی خاطر سطحی تکمل لیا گیا۔ایک چکر کے بند راہ جس سطح کو گھیرتی ہے، اس کی شکل ذہن میں آسانی سے بن جاتی ہے البتہ پیچدار لچھا جس سطح کو گھیرتا ہے اس کی شکل ذہن میں ذرہ مشکل[36] سے بنتی ہے۔سطحی تکمل لیتے وقت ایسی تمام ممکنہ سطح استعمال کی جا سکتی ہیں جن کا سرحد پیچدار لچھے کی تار ہو۔

[36] آپ لچھے کے محور پر سلاخ تصور کرتے ہوئے اس کے گرد گول گھومتی اور اوپر جاتی سطح تصور کر سکتے ہیں۔

برقی رو گزارتے تار کی رداس صفر کرنے سے بایوٹ سیوارٹ کے قانون کے تحت لامحدود کثافت مقناطیسی بہاو حاصل ہو گی جس سے لامحدود توانائی اور لامحدود امالہ حاصل ہوتا ہے۔ حقیقت میں قابل استعمال جوابات حاصل کرنے کی خاطر تار کے رداس چھوٹا ضرور لیکن صفر کبھی تصور نہیں کیا جاتا۔

کسی بھی برقی رو گزارتے تار کے اندر بھی زاویائی مقناطیسی بہاو پایا جاتا ہے۔ تار کے محور کے قریب گھومتی اندرونی بہاو کم برقی رو کو گھیرتی ہے جبکہ محور سے دور زاویائی اندرونی بہاو زیادہ برقی رو گھیرتی ہے۔ جیسا آپ اگلے بابوں میں پڑھیں گے، زیادہ تعدد پر تار کے بیرونی سطح کے قریب زیادہ برقی رو گزرتی ہے لہٰذا زیادہ تعدد پر تار کی اندرونی امالہ کا کردار قابل نظرانداز ہوتا ہے البتہ کم تعدد پر اس کا حساب رکھنا ضروری ہوتا ہے۔

مثال 8.7: محوری تار میں اندرونی تار کا رداس ρ_1 جبکہ بیرونی تار کا رداس ρ_2 ہے۔ ان تاروں کے درمیان خطہ $0 < \phi < 90^\circ$ میں $\mu_R = 2$ مقناطیسی مستقل کا ذو برق بھرا گیا ہے جبکہ بقایا خطہ خالی خلاء پر مشتمل ہے۔ تاروں کے درمیان خطے میں مقناطیسی بہاو حاصل کرتے ہوئے فی میٹر تار کی امالہ حاصل کریں۔

حل: ایمپیئر کا قانون استعمال کرتے ہوئے تاروں کے درمیان میدان حاصل کرتے ہیں۔ اندرونی تار میں برقی رو I تصور کرتے ہوئے تاروں کے درمیان میدان $\boldsymbol{a}_\phi$ سمت میں پیدا ہو گا۔ ذو برق اور خالی خلاء کے سطح پر میدان عمودی ہے۔ مساوات 8.40

$$B_{n1} = B_{n2}$$

کے تحت دو ذو برق کے ملاپ پر مقناطیسی میدان کا عمودی جزو بے جوڑ ہوتا ہے۔ یوں ہم محوری تار میں ذو برق کی سرحد پر B_ϕ بے جوڑ ہو گا۔ یوں رداس ρ پر خالی خلاء اور ذو برق میں یکساں B_ϕ پایا جائے گا۔ اس طرح خالی خلاء میں $H_\phi = \frac{B_\phi}{\mu_0}$ ہو گا جبکہ ذو برق میں $H_\phi = \frac{B_\phi}{\mu_R \mu_0}$ ہو گا۔ اس حقیقت کو استعمال کرتے ہوئے ایمپیئر کے قانون کو یوں لکھا جا سکتا ہے

$$\oint \boldsymbol{H} \cdot \mathrm{d}\boldsymbol{L} = \frac{B_\phi}{\mu_R \mu_0} \frac{\pi}{2} \rho + \frac{B_\phi}{\mu_0} \frac{3\pi}{2} \rho = I$$

جس سے

$$\boldsymbol{B} = \frac{2\mu_0 I}{\pi \rho \left(\frac{1}{\mu_R} + 3\right)} \boldsymbol{a}_\phi$$

حاصل ہوتا ہے۔ یوں فی میٹر لمبائی لیتے ہوئے دونوں تاروں کے درمیان مقناطیسی بہاو

$$\begin{aligned}\Phi &= \int_0^1 \int_{\rho_1}^{\rho_2} \frac{2\mu_0 I}{\pi \rho \left(\frac{1}{\mu_R} + 3\right)} \mathrm{d}\rho \, \mathrm{d}z \\ &= \frac{2\mu_0 I}{\pi \left(\frac{1}{\mu_R} + 3\right)} \ln \frac{\rho_2}{\rho_1}\end{aligned}$$

ہو گا جس سے امالہ

$$L = \frac{\Phi}{I} = \frac{2\mu_0}{\pi \left(\frac{1}{\mu_R} + 3\right)} \ln \frac{\rho_2}{\rho_1}$$

حاصل ہوتی ہے۔

مثال 8.8: لا محدود لمبائی کے تار کی اندرونی امالہ حاصل کریں۔

حل: رداس ρ_1 کے تار کو z محدد پر تصور کرتے ہیں۔ تار میں کثافت برقی رو یکساں تصور کرتے ہوئے $J = \frac{I}{\pi\rho_1^2}$ حاصل ہوتا ہے۔ رداس ρ پر گول دائرہ $\frac{I\rho^2}{\rho_1^2}$ برقی رو گھیرتا ہے لہٰذا ایمپیئر کے دوری قانون کے تحت اس دائرے پر زاویائی شدت $H_\phi = \frac{I\rho}{2\pi\rho_1^2}$ ہو گی۔ رداس ρ پر $\mathrm{d}\rho$ چوڑائی اور z_0 لمبائی کی مستطیل سطح سے

$$\mathrm{d}\Phi = B_\phi z_0\,\mathrm{d}\rho = \mu H_\phi z_0\,\mathrm{d}\rho$$

بہاو گزرے گی۔ اگر تار کو متعدد باریک متوازی تاروں کا مجموعہ تصور کیا جائے تو مندرجہ بالا تفرقی بہاو صفر ρ کے اندر تاروں کو گھیرتی ہے جو ایک چکر کا صرف $\frac{\rho^2}{\rho_1^2}$ حصہ ہیں لہٰذا یہ تفرقی بہاو صرف

$$\text{تفرقی ارتباط بہاو} = \frac{\rho^2}{\rho_1^2}\,\mathrm{d}\Phi = \frac{\rho^2}{\rho_1^2}\mu H_\phi z_0\,\mathrm{d}\rho = \frac{\mu I z_0}{2\pi\rho_1^4}\rho^3\,\mathrm{d}\rho$$

دیتی ہے۔ اگر تفرقی بہاو تمام فرضی باریک تاروں کو گھیرتی تب یہ ایک چکر شمار ہوتا۔ یوں تکمل سے اندرونی ارتباط بہاو

$$\text{ارتباط بہاو} = \int_0^{\rho_1} \frac{\mu I z_0}{2\pi\rho_1^4}\rho^3\,\mathrm{d}\rho = \frac{\mu I z_0}{8\pi}$$

حاصل ہوتی ہے جس سے اندرونی امالہ

$$L_{\text{اندرونی}} = \frac{\mu z_0}{8\pi}$$

یا فی میٹر امالہ

$$L_{\text{اندرونی فی میٹر}} = \frac{\mu}{8\pi} \tag{8.69}$$

حاصل ہوتی ہے۔

مشق 8.2: صفحہ 205 میں ہم محوری تار دکھائی گئی ہے۔ بیرونی تار کی اندرونی امالہ حاصل کریں۔

جوابات: تار کی لمبائی z_0 لیتے ہوئے

$$I_{\text{گھیرا}} = \left(\frac{\rho_3^2 - \rho^2}{\rho_3^2 - \rho_2^2}\right) I$$
$$H_\phi = \frac{I}{2\pi\rho}\left(\frac{\rho_3^2 - \rho^2}{\rho_3^2 - \rho_2^2}\right)$$
$$\mathrm{d}\Phi = \mu H_\phi z_0\,\mathrm{d}\rho$$

حاصل ہوتا ہے۔یہ تفرقی بہاو ایک چکر کے $\frac{\rho_3^2-\rho^2}{\rho_3^2-\rho_2^2}$ حصے کے گرد گھومتی ہے لہٰذا تفرقی ارتباط بہاو

$$\text{تفرقی ارتباط بہاو} = \frac{\mu I z_0}{2\pi\rho}\left(\frac{\rho_3^2-\rho^2}{\rho_3^2-\rho_2^2}\right)^2 \mathrm{d}\rho$$

اور یوں $z_0 = 1$ پر کرتے ہوئے فی میٹر امالہ

$$L_{\text{بیرونی تار}} = \frac{\mu}{2\pi\left(\rho_3^2-\rho_2^2\right)^2}\left(\rho_3^4 \ln\frac{\rho_3}{\rho_2} - \frac{\rho_2^4}{4} - \frac{3\rho_3^4}{4} + \rho_2^2\rho_3^2\right) \tag{8.70}$$

حاصل ہوتی ہے۔

مساوات 8.69 ہی ہم محوری تار کے اندرونی تار کی امالہ دیتا ہے۔یوں کم تعدد پر مساوات 8.67، مساوات 8.69 اور مساوات 8.70 کا مجموعہ

$$L = \frac{\mu I}{2\pi}\ln\frac{\rho_2}{\rho_1} + \frac{\mu}{8\pi} + \frac{\mu}{2\pi\left(\rho_3^2-\rho_2^2\right)^2}\left(\rho_3^4 \ln\frac{\rho_3}{\rho_2} - \frac{\rho_2^4}{4} - \frac{3\rho_3^4}{4} + \rho_2^2\rho_3^2\right) \tag{8.71}$$

فی میٹر ہم محوری تار کا کل امالہ ہو گا۔جیسے اگلے بابوں میں بتلایا جائے گا، بلند تعدد پر تار میں کثافت برقی رو یکساں نہیں رہتی جس کی وجہ سے تار کی اندرونی امالہ قابل نظرانداز ہو جاتی ہے۔یوں بلند تعدد پر مساوات 8.67 ہی فی میٹر تار کی امالہ دے گا۔

آپ امالہ کے مخفی توانائی

$$W = \frac{LI^2}{2} \tag{8.72}$$

سے بخوبی واقف ہیں جہاں مخفی توانائی مساوات 8.63، مساوات 8.64 یا مساوات 8.65 سے حاصل کی جا سکتی ہے۔انہیں استعمال کرتے ہوئے امالہ یوں بھی حاصل کی جا سکتی ہے۔

$$\begin{aligned} L = \frac{2W}{I^2} &= \frac{1}{I^2}\int_h \boldsymbol{B}\cdot\boldsymbol{H}\,\mathrm{d}h \\ &= \frac{1}{I^2}\int_h \mu H^2\,\mathrm{d}h \\ &= \frac{1}{I^2}\int_h \frac{B^2}{\mu}\,\mathrm{d}h \end{aligned} \tag{8.73}$$

آپ سے مندرجہ بالا مساوات استعمال کرتے ہوئے، سوال 8.26 میں لامحدود لمبائی کے سیدھی تار کی امالہ اور سوال 8.27 میں ہم محوری تار کے بیرونی تار کی اندرونی امالہ حاصل کرنے کو کہا گیا ہے۔

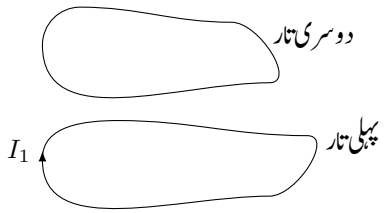

شکل 8.11: مشترکہ امالہ۔

8.11 مشترکہ امالہ

2621

شکل 8.11 میں دو تار دکھائے گئے ہیں۔ آئیں پہلی تار میں برقی رو I سے پیدا مقناطیسی بہاو کا وہ حصہ حاصل کریں جو دوسرے تار سے گزرتا ہے۔ ان معلومات سے دونوں تاروں کے مابین مشترکہ امالہ حاصل کیا جائے گا۔ خود امالہ حاصل کرنے کے طرز پر دوسرے تار سے گزرتی بہاو کو

$$\Phi_2 = \frac{\mu_0 I_1}{4\pi} \oint \left(\oint \frac{\mathrm{d}\boldsymbol{L}_1}{R} \right) \cdot \mathrm{d}\boldsymbol{L}_2$$

لکھا جا سکتا ہے جہاں اندرونی تکمل پہلی تار پر ہے اور یہ کسی بھی نقطے پر مقناطیسی میدان دیتا ہے جبکہ دوسری تکمل دوسرے تار پر ہے جس میں سے گزرتی بہاو کا حصول درکار ہے۔ مشترکہ امالہ M_{21} کی تعریف

$$M_{21} = \frac{\Phi_2}{I_1} \tag{8.74}$$

ہے جس سے

$$M_{21} = \frac{\mu_0}{4\pi} \oint \left(\oint \frac{\mathrm{d}\boldsymbol{L}_1}{R} \right) \cdot \mathrm{d}\boldsymbol{L}_2 \tag{8.75}$$

حاصل ہوتا ہے۔ 2622

اگر دوسری تار میں برقی رو لی جاتی اور پہلی سے گزرتی بہاو حاصل کی جاتی تب

$$M_{12} = \frac{\mu_0}{4\pi} \oint \left(\oint \frac{\mathrm{d}\boldsymbol{L}_2}{R} \right) \cdot \mathrm{d}\boldsymbol{L}_1 \tag{8.76}$$

حاصل ہوتا۔ مندرجہ بالا دو درجی تکمل میں اندرونی تکمل دوسری راہ پر ہے جبکہ بیرونی تکمل پہلی راہ پر ہے۔ تکمل لینے کی ترتیب بدلتے ہوئے اگر پہلا تکمل پہلی راہ پر لیا جائے اور بعد میں دوسری راہ پر تکمل لیا جائے تو تکمل کی قیمت میں کوئی تبدیلی رونما نہیں ہو گی لیکن ایسا کرنے سے ہمیں ہو بہو مساوات 8.75 ملتا ہے لہٰذا

$$M_{21} = M_{12} \tag{8.77}$$

حاصل ہوتا ہے۔ یہ انتہائی اہم نتیجہ ہے جس کے تحت کسی بھی دو لچھوں کے درمیان مشترکہ امالہ دونوں جانب سے برابر حاصل ہوتی ہے۔ 2623

سوالات

سوال 8.1: میدان $\boldsymbol{E} = 1.5\boldsymbol{a}_z \frac{\mathrm{V}}{\mathrm{m}}$ میں الیکٹران حرکت کرتا ہے۔لمحہ $t = 0$ پر الیکٹران نقطہ $(0,0,0)$ پر پایا جاتا ہے جبکہ اس کی سمتی رفتار $\boldsymbol{v} = 3 \times 10^5 \boldsymbol{a}_x \frac{\mathrm{m}}{\mathrm{s}}$ ہے۔الیکٹران کا چارج $-1.6 \times 10^{-19}\,\mathrm{C}$ اور اس کی کمیت $3.1 \times 10^{-31}\,\mathrm{kg}$ ہے۔نیوٹن کے قوانین حرکت سے تفرقی مساوات لکھ کر اسے حل کرتے ہوئے لمحہ $t = 150\,\mathrm{ns}$ پر الیکٹران کی سمتی رفتار، مقام اور حرکی توانائی دریافت کریں۔

جوابات: $\boldsymbol{v} = 300\,000\boldsymbol{a}_x - 116\,129\boldsymbol{a}_z \frac{\mathrm{m}}{\mathrm{s}}$ ، $(0.045, 0, -3.48)$ ، $1.63 \times 10^{-20}\,\mathrm{J}$

سوال 8.2: مقناطیسی میدان $\boldsymbol{B} = 0.3\boldsymbol{a}_x - 0.2\boldsymbol{a}_y - 0.4\boldsymbol{a}_z\,\mathrm{T}$ میں لمحہ $t = 0$ پر الیکٹران کی سمتی رفتار $\boldsymbol{v} = 10^6 \boldsymbol{a}_z \frac{\mathrm{m}}{\mathrm{s}}$ ہے۔الیکٹران پر قوت دریافت کریں۔ایسا برقی میدان حاصل کریں جس کی موجودگی میں مقناطیسی اور برقی میدان مل کر اس الیکٹران پر صفر قوت پیدا کرتے ہیں۔

جواب: $\boldsymbol{F} = -32\boldsymbol{a}_x - 48\boldsymbol{a}_y\,\mathrm{fN}$ ، $\boldsymbol{E} = -200\boldsymbol{a}_x - 300\boldsymbol{a}_y \frac{\mathrm{V}}{\mathrm{m}}$

سوال 8.3: میدان $\boldsymbol{B} = 2\boldsymbol{a}_x - 1\boldsymbol{a}_y + 3\boldsymbol{a}_z\,\mathrm{T}$ اور $\boldsymbol{E} = 3\boldsymbol{a}_x + 2\boldsymbol{a}_y - 1\boldsymbol{a}_z \frac{\mathrm{V}}{\mathrm{m}}$ میں چارج $1.2\,\mu\mathrm{C}$ حرکت کر رہا ہے۔لمحہ $t = 0$ پر اس کی رفتار $\boldsymbol{v} = 10\boldsymbol{a}_x - 30\boldsymbol{a}_y + 20\boldsymbol{a}_z \frac{\mathrm{km}}{\mathrm{s}}$ ہے۔یہ چارج $5\,\mu\mathrm{g}$ کے کمیت پر پایا جاتا ہے۔لمحہ $t = 0$ پر چارج کی اسراع حاصل کریں۔

جواب: $\boldsymbol{a} = -16.8\boldsymbol{a}_x + 2.4\boldsymbol{a}_y + 12\boldsymbol{a}_z \frac{\mathrm{Mm}}{\mathrm{s}^2}$

سوال 8.4: محدد z پر پڑی لامحدود لمبائی کے تار میں $5\boldsymbol{a}_z\,\mathrm{A}$ برقی رو گزر رہی ہے۔اس کے قریب سطح $x = 0$ پر موصل تار $N_1(0,1,0)$ ، $N_2(0,4,0)$ ، $N_3(0,4,2)$ اور $N_4(0,1,2)$ نقطوں کو جوڑ کر مستطیل بناتی ہے جس میں N_1 سے N_2 جانب $2\,\mathrm{A}$ برقی رو چکر لگا رہی ہے۔چکور کے چاروں اطراف پر قوت دریافت کرتے ہوئے پورے چکور پر قوت حاصل کریں۔

جوابات: تار $N_1(0,1,0)$ تا $N_2(0,4,0)$ پر قوت $2.77\boldsymbol{a}_z\,\mu\mathrm{N}$ ہے۔گھڑی کے الٹ سمت چلتے ہوئے بقایا قوت $-1\boldsymbol{a}_y\,\mu\mathrm{N}$ ، $-2.77\boldsymbol{a}_z\,\mu\mathrm{N}$ اور $4\boldsymbol{a}_y\,\mu\mathrm{N}$ ہیں۔یوں مستطیل پر کل قوت $3\boldsymbol{a}_y\,\mu\mathrm{N}$ ہے۔

سوال 8.5: محدد z پر پڑی لامحدود لمبائی کے تار میں $10\boldsymbol{a}_z\,\mathrm{A}$ برقی رو گزر رہی ہے۔اس کے قریب نقطہ $N_1(2,1,3)$ سے $N_2(5,4,7)$ تک سیدھی موصل تار میں N_1 سے N_2 جانب $4\,\mathrm{A}$ برقی رو گزر رہی ہے۔چھوٹی تار پر قوت حاصل کریں۔

جواب: $\boldsymbol{F} = -6.74\boldsymbol{a}_x - 4.49\boldsymbol{a}_y + 8.42\boldsymbol{a}_z\,\mu\mathrm{N}$

سوال 8.6: سطح $x = 0$ پر مقناطیسی میدان کا z جزو $B_z = \frac{200}{z^2+1}\,\mu\mathrm{T}$ پایا جاتا ہے۔اس مقناطیسی جزو سے خطہ $1 < y < 3$ ، $-\infty < z < \infty$ میں کثافت $\boldsymbol{K} = 0.2\boldsymbol{a}_y \frac{\mathrm{A}}{\mathrm{m}}$ پر قوت حاصل کریں۔

جواب: $251\boldsymbol{a}_x\,\mu\mathrm{N}$

سوال 8.7: z محدد پر پڑی لامحدود لمبائی کے تار میں $2.2\,\mathrm{A}$ برقی رو پائی جاتی ہے۔سطح $y = 0$ پر خطہ $1\,\mathrm{mm} < x < 5\,\mathrm{mm}$ پر $\boldsymbol{a}_z$ سمت میں کل $8\,\mathrm{A}$ برقی رو گزر رہی ہے۔اس خطے کی فی میٹر لمبائی پر مقناطیسی قوت حاصل کریں۔محدد z پر پڑی تار پر بھی فی میٹر قوت حاصل کریں۔

جواب: $-1.4\boldsymbol{a}_x\,\mathrm{mN}$ ، $1.4\boldsymbol{a}_x\,\mathrm{mN}$

سوال 8.8: محدد z پر پڑی لامحدود لمبائی کی تار میں I_1 برقی رو $\boldsymbol{a}_z$ جانب گزر رہی ہے۔اس کے قریب سطح $z = 0$ پر تار $y = a$ ، $-b < x < b$ میں I_2 برقی رو $\boldsymbol{a}_x$ سمت میں گزر رہی ہے۔نقطہ $(0,0,0)$ کو محور لیتے ہوئے چھوٹی تار پر مروڑ حاصل کریں۔صفحہ 260 پر شکل 8.6 میں صورت حال دکھایا گیا ہے۔

جواب: $-\frac{I_1 I_2 \mu_0}{\pi}\left(b - a\tan^{-1}\frac{b}{a}\right)\boldsymbol{a}_y\,\mathrm{N\,m}$

سوال 8.9: موصل تار نقطہ $N_1(2,0,0)$ ، $N_2(5,0,0)$ ، $N_3(5,0,4)$ اور $N_4(2,0,4)$ کو جوڑ کر مستطیل بناتی ہے۔مثبت y محدد کی جانب سے دیکھتے ہوئے، اس مستطیل میں $6\,\mathrm{A}$ برقی رو سمت گھڑی گردش کر رہی ہے۔الف) یکساں میدان $\boldsymbol{B} = 5\boldsymbol{a}_x\,\mathrm{T}$ کی صورت میں z محدد کو محور لیتے ہوئے مستطیل کے چاروں اطراف پر علیحدہ علیحدہ مروڑ حاصل کرتے ہوئے کل مروڑ حاصل کریں۔ب) سطح $y = 0$ پر لکیر $x = 3$ کو محور لیتے ہوئے اسی یکساں میدان میں دوبارہ مروڑ حاصل کریں۔

جوابات: (الف) اور (ب): مستطیل کے چار حصوں پر مروڑ 0 ، $600\boldsymbol{a}_z\,\mathrm{N\,m}$ ، 0 اور $-240\boldsymbol{a}_z\,\mathrm{N\,m}$ ہے جس سے کل مروڑ $360\boldsymbol{a}_z\,\mathrm{N\,m}$ حاصل ہوتا ہے۔

سوال 8.10: سوال 8.9 میں میدان یکساں ہے لہٰذا اس میں محور کا مروڑ پر کوئی اثر نہیں ہوتا۔ایسی صورت میں مروڑ صفحہ 260 پر دئے مساوات 8.23 کی مدد سے حاصل کی جا سکتی ہے۔ایسا ہی کریں۔

جواب: $360\boldsymbol{a}_z\,\mathrm{N\,m}$

سوال 8.11: سوال 8.9 میں یکساں میدان کی جگہ اگر z محدد پر لامحدود لمبائی کے تار میں $\boldsymbol{a}_z$ جانب $25\,\mathrm{A}$ برقی رو میدان پیدا کرے تب محدد کے مرکز $(0,0,0)$ کو محور لیتے ہوئے مروڑ حاصل کریں۔یاد رہے کہ یہ میدان غیر یکساں ہے لہٰذا مساوات 8.23 قابل استعمال نہیں ہے۔

جواب: مستطیل کے چار حصوں پر مروڑ $-90\boldsymbol{a}_y\,\mu\mathrm{N\,m}$ ، $-48\boldsymbol{a}_y\,\mu\mathrm{N\,m}$ ، $90\boldsymbol{a}_y\,\mu\mathrm{N\,m}$ اور $120\boldsymbol{a}_y\,\mu\mathrm{N\,m}$ ہے جس سے کل مروڑ $72\boldsymbol{a}_y\,\mu\mathrm{N\,m}$ حاصل ہوتا ہے۔

سوال 8.12: دو سنٹی میٹر رداس اور پانچ سو چکر کے پیچ دار لچھے میں $3\,\mathrm{A}$ کی برقی رو گزر رہی ہے۔یہ لچھا $1.5\,\mathrm{T}$ کے میدان میں پایا جاتا ہے۔میدان اور لچھے کے محور آپس میں عمودی ہیں۔لچھے پر مروڑ حاصل کریں۔

جواب: $2.83\,\mathrm{N\,m}$

سوال 8.13: ایک مادہ میدان $\boldsymbol{B} = 0.15z\boldsymbol{a}_y\,\mathrm{T}$ میں پایا جاتا ہے۔اس مادے کی $\chi = 2.5$ ہے۔آپ سے گزارش ہے کہ μ_R ، $\boldsymbol{H}$ ، $\boldsymbol{M}$ ، $\boldsymbol{J}$ ، $\boldsymbol{J}_m$ اور $\boldsymbol{J}_T$ حاصل کریں۔

جوابات: $\mu_R = 3.5$ ، $\boldsymbol{H} = 34.1z\boldsymbol{a}_y\,\frac{\mathrm{kA}}{\mathrm{m}}$ ، $\boldsymbol{M} = 85.3z\boldsymbol{a}_y\,\frac{\mathrm{kA}}{\mathrm{m}}$ ، $\boldsymbol{J} = -34.1\boldsymbol{a}_x\,\frac{\mathrm{kA}}{\mathrm{m}^2}$ ، $\boldsymbol{J}_m = -85.3\boldsymbol{a}_x\,\frac{\mathrm{kA}}{\mathrm{m}^2}$ اور $\boldsymbol{J}_T = -119\boldsymbol{a}_x\,\frac{\mathrm{kA}}{\mathrm{m}^2}$

سوال 8.14: مندرجہ ذیل مادوں میں $\boldsymbol{H}$ حاصل کریں۔الف) جزوی مقناطیسی مستقل $\mu_R = 2.2$ ، ایٹم کی تعددی کثافت 1.5×10^{29} ایٹم فی مکعب میٹر جبکہ ہر ایٹم کا مقناطیسی جفت قطب $1.9 \times 10^{-30}\boldsymbol{a}_x\,\frac{\mathrm{A}}{\mathrm{m}^2}$ ہے۔ب) مادہ میں $\boldsymbol{M} = 160\boldsymbol{a}_z\,\frac{\mathrm{A}}{\mathrm{m}}$ اور اس کا مقناطیسی مستقل $\mu = 2.25\,\frac{\mu\mathrm{H}}{\mathrm{m}}$ ہے۔پ) مادے کا $\chi_m = 0.65$ ہے جبکہ $\boldsymbol{B} = 1.7\boldsymbol{a}_y\,\mathrm{T}$ ہے۔ت) مساوات $\oint \boldsymbol{M}\cdot\mathrm{d}\boldsymbol{L} = I_m$ کا استعمال کرتے ہوئے ایسے خطے میں $\boldsymbol{M}$ حاصل کریں جس میں نکلی سطح $\rho = 0.5\,\mathrm{m}$ پر $5\boldsymbol{a}_z\,\frac{\mathrm{A}}{\mathrm{m}}$ اور نکلی سطح $\rho = 2.5\,\mathrm{m}$ پر $-1\boldsymbol{a}_z\,\frac{\mathrm{A}}{\mathrm{m}}$ کثافت برقی رو پائی جاتی ہو۔

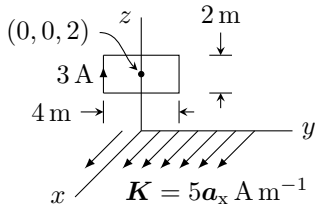

(ا) سطحی کثافت برقی رو کے میدان میں بند دائرے پر مروڑ۔

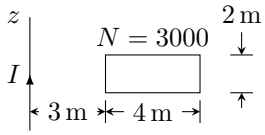

(ب) تار اور مستطیل لچھے کی مشترکہ امالہ۔

شکل 8.12: سوال 8.19 اور سوال 8.23 کے اشکال۔

جوابات: $0.24\boldsymbol{a}_{\mathrm{x}}\,\frac{\mathrm{A}}{\mathrm{m}}$ ، $202\boldsymbol{a}_{\mathrm{z}}\,\frac{\mathrm{A}}{\mathrm{m}}$ ، $820\boldsymbol{a}_{\mathrm{y}}\,\frac{\mathrm{kA}}{\mathrm{m}}$ ، $\rho < 0.5\,\mathrm{m}$ اور $\rho > 1\,\mathrm{m}$ خطوں میں $\boldsymbol{M} = 0$ ہے جبکہ $0.5 < \rho < 2.5$ میں $\boldsymbol{M} = \frac{2.5}{\rho}\boldsymbol{a}_{\phi}\,\frac{\mathrm{A}}{\mathrm{m}}$ ہو گا۔

سوال 8.15: مندرجہ ذیل صورتوں میں مقناطیسیت M کی قیمت حاصل کریں۔ الف) میدان $B = 0.015\,\mathrm{T}$ اور $\chi_m = 0.002$ ہیں۔ ب) مقناطیسی شدت $H = 1600\,\frac{\mathrm{A}}{\mathrm{m}}$ جبکہ مقناطیسی جزوی مستقل $\mu_R = 1.004$ ہے۔ پ) ایٹم کی تعدادی کثافت 6.5×10^{28} ایٹم فی مکعب میٹر ہے جبکہ ایک ایٹم کی مقناطیسی جفت قطب 3×10^{-30} ہے۔ تمام جفت قطب ایک ہی سمت میں ہیں۔

جوابات: $M = 23.8\,\frac{\mathrm{A}}{\mathrm{m}}$ ، $6.4\,\frac{\mathrm{A}}{\mathrm{m}}$ ، $0.195\,\frac{\mathrm{A}}{\mathrm{m}}$

سوال 8.16: خطہ-1 کو مساوات $2x^2 + 3y - 4xz < 3$ ظاہر کرتی ہے جبکہ اس کی دوسری جانب خطہ-2 پایا جاتا ہے۔ ان کے جزوی مقناطیسی مستقل $\mu_{R1} = 1$ اور $\mu_{R2} = 2.2$ ہیں۔ نقطہ $N(2,1,1)$ پر پہلے خطے سے دوسرے خطے کی جانب اکائی سمتیہ حاصل کریں۔ اس نقطے پر پہلے خطے میں میدان $\boldsymbol{H} = 15\boldsymbol{a}_{\mathrm{x}} - 5\boldsymbol{a}_{\mathrm{y}} - 10\boldsymbol{a}_{\mathrm{z}}$ ہے۔ دونوں خطوں میں اس نقطے پر میدان کے عمودی اور متوازی اجزاء حاصل کریں۔ سرحد کے عمود کے ساتھ دونوں خطوں میں میدان کا زاویہ حاصل کریں۔

جوابات: $\boldsymbol{a}_N = 0.42\boldsymbol{a}_{\mathrm{x}} + 0.32\boldsymbol{a}_{\mathrm{y}} - 0.85\boldsymbol{a}_{\mathrm{z}}$ ، $\boldsymbol{H}_{n1} = 5.6\boldsymbol{a}_{\mathrm{x}} + 4.2\boldsymbol{a}_{\mathrm{y}} - 11.2\boldsymbol{a}_{\mathrm{z}}$ ، $\boldsymbol{H}_{m1} = 9.4\boldsymbol{a}_{\mathrm{x}} - 9.2\boldsymbol{a}_{\mathrm{y}} + 1.2\boldsymbol{a}_{\mathrm{z}}$ ، $\boldsymbol{H}_{m2} = 9.4\boldsymbol{a}_{\mathrm{x}} - 9.2\boldsymbol{a}_{\mathrm{y}} + 1.2\boldsymbol{a}_{\mathrm{z}}$ ، $\boldsymbol{H}_{n2} = 2.6\boldsymbol{a}_{\mathrm{x}} + 1.9\boldsymbol{a}_{\mathrm{y}} - 5.1\boldsymbol{a}_{\mathrm{z}}$ ، $\boldsymbol{H}_2 = 11.9\boldsymbol{a}_{\mathrm{x}} - 7.3\boldsymbol{a}_{\mathrm{y}} - 3.9\boldsymbol{a}_{\mathrm{z}}$ ، $\theta_1 = 44.9^\circ$ ، $\theta_2 = 65.5^\circ$

سوال 8.17: $z < 0$ کو خطہ-الف، $0 < z < 2$ کو خطہ-ب، $2 < z < 3$ کو خطہ-پ جبکہ $3 < z$ کو خطہ-ت تصور کریں۔ خطہ-الف اور خطہ-ت خالی خلاء ہیں۔ خطہ-ب کا $\mu_R = 2.5$ جبکہ خطہ-پ کا $\mu_R = 1.5$ ہے۔ خطہ-الف میں میدان $\boldsymbol{H}_1 = 3\boldsymbol{a}_{\mathrm{x}} - 2\boldsymbol{a}_{\mathrm{y}} + 5\boldsymbol{a}_{\mathrm{z}}$ پایا جاتا ہے۔ خطہ-الف، ب، پ اور ت میں میدان اور z محدد کے مابین زاویے حاصل کریں۔

جوابات: 35.8° ، 61° ، 47.2° ، 35.8°

سوال 8.18: ایک لمبے پیچ دار لچھے کا رداس $5\,\mathrm{cm}$ اور فی میٹر چکر 4000 ہیں۔ لچھے میں $100\,\mathrm{mA}$ برقی رو گزر رہی ہے۔ خطہ $\rho < a$ کا $\mu_R = 2.5$ ہے جبکہ بقایا خطے کا $\mu_R = 4.5$ ہے۔ الف) لچھے میں کل مقناطیسی بہاو $10\,\mu\mathrm{Wb}$ ہونے کی صورت میں a کی قیمت حاصل کریں۔ ب) دونوں خطوں میں برابر مقناطیسی بہاو کی صورت میں a کی قیمت اور کل بہاو حاصل کریں۔

جوابات: $4.96\,\mathrm{cm}$ ، $4\,\mathrm{cm}$ ، $12.7\,\mu\mathrm{Wb}$

سوال 8.19: شکل 8.12-الف میں $z = 0$ سطح پر سطحی کثافت برقی رو $5\boldsymbol{a}_{\mathrm{y}}\,\frac{\mathrm{A}}{\mathrm{m}}$ پائی جاتی ہے۔ سطح $x = 0$ پر مستطیل دائرے میں $3\,\mathrm{A}$ کی برقی رو گزر رہی ہے۔ محور کو $(0,0,2)$ اور $(0,0,)$ لیتے ہوئے تار پر مروڑ حاصل کریں۔

جوابات: $\boldsymbol{T} = 75.4\boldsymbol{a}_{\mathrm{z}}\,\mu\mathrm{N\,m}$ ، $\boldsymbol{T} = 75.4\boldsymbol{a}_{\mathrm{z}}\,\mu\mathrm{N\,m}$

سوال 8.20: رداس $5\,\mathrm{cm}$ کے لمبے پیچدار لچھے میں فی میٹر 8000 چکر پائے جاتے ہیں۔ لچھے میں $1.2\,\mathrm{mA}$ برقی رو گزر رہی ہے۔ فی میٹر لچھے میں توانائی W حاصل کریں۔ مساوات $W = \frac{LI^2}{2}$ استعمال کرتے ہوئے فی میٹر لچھے کی امالہ حاصل کریں۔

جوابات: $0.45\,\frac{\mu\mathrm{J}}{\mathrm{m}}$ ، $0.631\,\frac{\mathrm{H}}{\mathrm{m}}$

سوال 8.21: دو لامحدود لمبائی کے چادر متوازی پڑے ہیں۔ ان چادروں پر کثافت برقی رو $150\boldsymbol{a}_\mathrm{y}\,\frac{\mathrm{A}}{\mathrm{m}}$ اور $-150\boldsymbol{a}_\mathrm{y}\,\frac{\mathrm{A}}{\mathrm{m}}$ ہے۔ چادروں کے درمیان لمبا پیچدار لچھا پایا جاتا ہے۔ اس لچھے پر 5000 چکر فی میٹر پائے جاتے ہیں جبکہ اس میں $6\,\mathrm{mA}$ برقی رو گزر رہی ہے۔ لچھے کا رداس $8\,\mathrm{cm}$ ہے اور اس کا محور $\boldsymbol{a}_\mathrm{y}$ سمت میں ہے۔ مندرجہ ذیل صورتوں میں لچھے کے فی میٹر لمبائی میں کل توانائی حاصل کریں۔ الف) صرف چادروں میں کثافت برقی رو پائی جاتی ہے۔ ب) صرف لچھے میں برقی رو پائی جاتی ہے۔ پ) چادروں میں کثافت برقی رو اور لچھے میں برقی رو پائی جاتی ہے۔

جوابات: $284\,\mu\mathrm{J}$ ، $11.4\,\mu\mathrm{J}$ ، $296\,\mu\mathrm{J}$

سوال 8.22: سطح $x = 0$ اور $x = d$ پر بالترتیب $K\boldsymbol{a}_\mathrm{z}\,\frac{\mathrm{A}}{\mathrm{m}}$ اور $-K\boldsymbol{a}_\mathrm{z}\,\frac{\mathrm{A}}{\mathrm{m}}$ کثافت برقی رو پائی جاتی ہے۔ سطحوں کے درمیان مقناطیسی میدان $\boldsymbol{H}$ حاصل کریں۔ چادروں کے درمیان خطہ $0 < y < w$ ، $0 < z < z_0$ میں توانائی W حاصل کریں۔ مساوات $W = \frac{LI^2}{2}$ استعمال کرتے ہوئے $0 < y < w$ چوڑائی کی فی میٹر امالہ حاصل کریں جہاں I کسی ایک چادر کے $0 < y < w$ چوڑائی میں کل برقی رو ہے۔ سطح $y = 0$ پر چادروں کے درمیان خطہ $0 < z < z0$ سے گزرتی کل مقناطیسی بہاو ϕ حاصل کریں۔ مساوات $\phi = LI$ استعمال کرتے ہوئے فی میٹر امالہ حاصل کریں۔

جوابات: $K\boldsymbol{a}_\mathrm{y}\,\frac{\mathrm{A}}{\mathrm{m}}$ ، $W = \frac{\mu_0}{2} dK^2 w z_0\,\mathrm{J}$ ، $L = \frac{\mu_0 d}{w}\,\frac{\mathrm{H}}{\mathrm{m}}$ ، $\phi = \mu_0 K d z_0$ ، $L = \frac{\mu_0 d}{w}\,\frac{\mathrm{H}}{\mathrm{m}}$

سوال 8.23: شکل 8.12-ب میں z محدد پر پڑی لامحدود لمبائی کے تار میں برقی رو I گزر رہی ہے۔ تار کے میدان میں 3000 چکر کا مستطیل لچھا پایا جاتا ہے۔ ان کا مشترکہ امالہ حاصل کریں۔ اگر مستطیل کو تین میٹر کے بجائے $3\,\mathrm{mm}$ فاصلے پر رکھا جائے تب مشترکہ امالہ کیا حاصل ہو گا۔

جواب: $1.02\,\mathrm{mH}$ ، $8.6\,\mathrm{mH}$

سوال 8.24: محدد z پر لامحدود لمبائی کا تار پایا جاتا ہے۔ سطح $x = 0$ پر ایک چکر کا مربع لچھا پایا جاتا ہے جس کا ایک طرف z محدد کے متوازی اور اس سے $1\,\mathrm{m}$ فاصلے پر ہے۔ مربع کے اطراف $2\,\mathrm{m}$ لمبے ہیں۔ تار اور لچھے کے مابین مشترکہ امالہ M حاصل کریں۔ اگر لچھے کو $x = 0$ سطح میں رکھتے ہوئے، 45° گھمایا جائے تب مشترکہ امالہ کیا ہو گا۔

جوابات: $0.439\,\mu\mathrm{H}$ ، $0.443\,\mu\mathrm{H}$

سوال 8.25: صفحہ 205 میں ہم محوری تار دکھائی گئی ہے۔ تصور کریں کہ اس ہم محوری تار کے اندرونی تار میں برقی رو صفر کے برابر ہے جبکہ بیرونی تار میں برقی رو I کے برابر ہے۔ بیرونی تار کی فی میٹر اندرونی امالہ مثال 8.2 کی طرز پر حاصل کریں۔

جواب: $\frac{\mu}{2\pi\left(\rho_3^2-\rho_2^2\right)^2}\left[\rho_2^4 \ln\frac{\rho_3}{\rho_2} + \frac{\rho_3^4-\rho_2^4}{4} - \rho_2^2\left(\rho_3^2-\rho_2^2\right)\right]$

سوال 8.26: لامحدود لمبائی کے سیدھی تار کی امالہ مساوات 8.73 کی مدد سے حاصل کریں۔

سوال 8.27: صفحہ 275 پر مثال 8.2 میں ہم محوری تار کے بیرونی تار کی اندرونی امالہ حاصل کی گئی۔ اسی کو دوبارہ مساوات 8.73 کی مدد سے حاصل کریں۔

جواب: بیرونی تار میں $H = \frac{I}{2\pi\rho}\left(\frac{\rho_3^2-\rho^2}{\rho_3^2-\rho_2^2}\right)$ استعمال کرتے ہوئے آگے بڑھیں۔

باب 9

وقت کے ساتھ بدلتے میدان اور میکس ویل کے مساوات

گزشتہ بابوں میں وقت کے ساتھ تبدیل نہ ہونے والے میدانوں پر غور کیا گیا۔ بقایا کتاب میں وقت کے ساتھ تبدیل ہوتے میدانوں پر غور کیا جائے گا۔

اس باب میں دو نئے اصولوں پر غور کیا جائے گا۔ پہلا اصول مائکل فیراڈے نے تجرباتی طور پر ثابت کیا جس کے تحت وقت کے ساتھ بدلتا مقناطیسی میدان، برقی میدان کو جنم دیتا ہے۔ دوسرا قانون جیمس کلارک میکس ویل کے کاوشوں سے حاصل ہوا جس کے تحت وقت کے ساتھ بدلتا برقی میدان، مقناطیسی میدان کو جنم دیتا ہے۔ اس باب میں برقی و مقناطیسیات کے چار ایسے مساوات پیش کئے جائیں گے جو **میکس ویل مساوات** کہلاتے ہیں۔

9.1 فیراڈے کا قانون

جناب مائکل فیراڈے نے تجرباتی طور پر ثابت کیا کہ وقت کے ساتھ بدلتا مقناطیسی میدان، برقی میدان پیدا کرتا ہے۔ **قانون فیراڈے**[1] کو مندرجہ ذیل مساوات پیش کرتی ہے۔

$$\text{محرک برقی دباو} = -\frac{\mathrm{d}\Phi}{\mathrm{d}t} \tag{9.1}$$

اس قانون کے تحت کسی بھی سطح سے گزرتی مقناطیسی بہاو کی قیمت میں تبدیلی، اس سطح کے محیط پر برقی دباو پیدا کرتی ہے۔ ایسی برقی دباو روایتی طور پر **محرک برقی دباو**[2] کہلاتی ہے۔ کسی بھی سطح کے محیط پر محرک برقی دباو[3] کی قیمت، اس سطح سے گزرتی مقناطیسی بہاو کے قیمت میں تبدیلی کی شرح کے برابر ہوتی ہے۔ محرک برقی دباو کی اکائی وولٹ V ہے۔ سطح کے محیط کو بند دائرہ تصور کرتے ہوئے ہم یوں بھی کہہ سکتے ہیں کہ کسی بھی بند دائرے پر محرک برقی دباو کی قیمت اس دائرے کے اندر سے گزرتی مقناطیسی بہاو کے قیمت میں تبدیلی کی شرح کے برابر ہو گی۔ یہاں یہ سمجھ لینا ضروری ہے کہ بند دائرہ فرضی لکیر بھی ہو سکتا ہے۔

ابتدائی مقناطیسی بہاو میں تبدیلی، محرک برقی دباو پیدا کرتی ہے۔ محرک برقی دباو مکمل برقی دور میں برقی رو پیدا کرنے کی صلاحیت رکھتا ہے۔ محرک برقی دباو سے پیدا برقی رو، بند دائرے میں ثانوی مقناطیسی بہاو پیدا کرے گی۔ ثانوی مقناطیسی بہاو، ابتدائی مقناطیسی بہاو میں تبدیلی کو روکنے کی کوشش کرتی

---

[1] Faraday's law

[2] electromotive force, emf

[3] محرک برقی دباو کی اصطلاح روایتی طور پر ہر قسم کے منبع برقی دباو کے لئے استعمال کی جاتی ہے۔

ہے۔مساوات 9.1 میں منفی کی علامت اسی اصول کو بیان کرتی ہے، یعنی کہ، بند دائرے میں محرک برقی دباو سے پیدا برقی رو، پہلے سے موجود مقناطیسی بہاو میں تبدیلی کو روکنے کی کوشش کرتی ہے۔یہ اصول لینز[54] کا اصول پکارا جاتا ہے۔

کسی بھی بند دائرے سے گزرتی مقناطیسی بہاو میں تبدیلی مندرجہ ذیل وجوہات کی بنا ممکن ہے۔

- مقناطیسی بہاو کے کثافت میں تبدیلی،
- ساکن مقناطیسی میدان اور بند دائرے کا آپس میں اضافی حرکت، یا
- مندرجہ بالا دونوں وجوہات۔

اگر بند دائرہ N چکر کے لچھے پر مشتمل ہو جہاں ہر چکر میں سے Φ مقناطیسی بہاو گزرتی ہو تب فیراڈے کے قانون کو

$$\text{محرک برقی دباو} = -N\frac{\mathrm{d}\Phi}{\mathrm{d}t} \tag{9.2}$$

لکھا جا سکتا ہے۔

برقی دباو کے طرز پر محرک برقی دباو کی تعریف

$$\text{محرک برقی دباو} = \oint \boldsymbol{E}\cdot\mathrm{d}\boldsymbol{L} \tag{9.3}$$

لکھی جاتی ہے جہاں تکمل پورے بند دائرے پر لینا لازم ہے۔برقی دباو کے تعریف کے ساتھ موازنہ کرتے ہوئے ایسا معلوم ہوتا ہے جیسے ہم مندرجہ بالا مساوات میں منفی کی علامت $(-)$ لگانا بھول گئے ہیں۔ایسا بالکل نہیں ہے اور اس کی وضاحت جلد شکل 9.2 کی مدد سے کر دی جائے گی۔محرک برقی دباو بند دائرے پر بیان کی جاتی ہے۔صفحہ 105 پر مساوات 4.28 کے تحت کسی بھی بند دائرے پر ساکن برقی میدان $\boldsymbol{E}$ کا لکیری تکمل صفر کے برابر ہوتا ہے۔مساوات 9.3 کہتا ہے کہ غیر ساکن مقناطیسی میدان میں ایسا نہیں ہوتا اور کسی بھی بند دائرے پر $\boldsymbol{E}$ کا لکیری تکمل اس دائرے پر پیدا محرک برقی دباو دیتا ہے۔

مساوات 9.1 اور مساوات 9.3 سے

$$\text{محرک برقی دباو} = \oint \boldsymbol{E}\cdot\mathrm{d}\boldsymbol{L} = -\frac{\mathrm{d}}{\mathrm{d}t}\int_S \boldsymbol{B}\cdot\mathrm{d}\boldsymbol{S} \tag{9.4}$$

حاصل ہوتا ہے جہاں Φ کی جگہ کثافت مقناطیسی بہاو $\boldsymbol{B}$ کا سطحی تکمل استعمال کیا گیا۔

مندرجہ بالا مساوات میں ایک جانب سطح S کے محیط پر لکیری تکمل اور دوسری جانب اسی سطح پر سطحی تکمل لیا گیا ہے۔کسی بھی سطح کے دو اطراف ہوتے ہیں جیسے کتاب کے اس صفحے کی بالائی سطح اور اس کی نچلی سطح۔یوں ہر سطحی تکمل کے دو ممکنہ جواب ہیں۔اسی طرح کسی بھی سطح کے محیط پر لکیری تکمل یا تو سطح کر گرد گھڑی کی سمت میں اور یا اس کے الٹ گھوم کر لی جا سکتی ہے۔یہاں ذرہ رک کر، کسی بھی سطح پر سطحی تکمل اور اس کے محیط پر لکیری تکمل کی درست سمت کا تعین دائیں ہاتھ کے قانون[6] سے کرتے ہیں۔

کرہ کی مانند مکمل بند سطح[7] کی بیرونی سطح کو مثبت سطح تصور کیا جاتا ہے۔مکمل بند سطح کا کوئی محیط نہیں ہوتا۔اس کے برعکس کھلی سطح[8] پر تکمل لیتے ہوئے مسئلے کے مطابقت سے مثبت سطح چنی جاتی ہے۔ایسی سطح کو دائیں ہاتھ میں یوں پکڑیں کہ ہاتھ کی انگلیاں محیط کے گرد لپٹی ہوں اور انگوٹھا سطح کی مثبت سمت

[4] یہ قانون 1834 میں جناب لینز نے پیش کیا۔
[5] Lenz's law
[6] right hand rule
[7] closed surface
[8] open surface

میں ہو۔انگلیوں کے لپٹنے کی سمت ہی سطح کے گرد مثبت سمت ہے۔یوں محیط پر لکیری تکمل، محیط کے گرد انگلیوں کے لپٹنے کی سمت میں حاصل کی جائے گی۔

مندرجہ بالا مساوات کہتی ہے کہ کسی بھی سمتی سطح سے گزرتی مقناطیسی بہاو اگر بڑھ رہی ہو تب محرک برقی دباو سطح کے محیط پر منفی جانب برقی رو پیدا کرے گا۔مساوات 9.4 استعمال کرتے ہوئے دائیں ہاتھ کا قانون یاد رکھیں جو آپ کو محرک دباو کی صحیح سمت دے گا۔

آئیں وقت کے ساتھ تبدیل ہوتے مقناطیسی میدان کی وجہ سے پیدا ساکن بند دائرے میں محرک برقی دباو پر پہلے غور کریں اور بعد میں ساکن مقناطیسی میدان میں حرکت کرتے دائرے کی وجہ سے پیدا محرک برقی دباو پر غور کریں۔

ساکن دائرے کی صورت میں مساوات 9.4 میں دائیں ہاتھ S ساکن ہے جبکہ $\boldsymbol{B}$ وقت کے ساتھ تبدیل ہو رہی ہے یوں اس مساوات میں تفرق کے عمل کو تکمل کے اندر لے جایا جا سکتا ہے یعنی

$$\text{محرک برقی دباو} = \oint \boldsymbol{E}\cdot \mathrm{d}\boldsymbol{L} = -\int_S \frac{\partial \boldsymbol{B}}{\partial t}\cdot \mathrm{d}\boldsymbol{S} \tag{9.5}$$

آگے بڑھنے سے پہلے اس مساوات کی نقطہ شکل حاصل کرتے ہیں۔مساوات کے بائیں ہاتھ پر مسئلہ سٹوکس کے اطلاق سے

$$\int_S (\nabla\times \boldsymbol{E})\cdot \mathrm{d}\boldsymbol{S} = -\int_S \frac{\partial \boldsymbol{B}}{\partial t}\cdot \mathrm{d}\boldsymbol{S} \tag{9.6}$$

حاصل ہوتا ہے۔

مساوات 9.5 میں بائیں جانب محیط پر لکیری تکمل لی گئی ہے جبکہ دائیں جانب سطحی تکمل لی گئی ہے۔فرض کریں کہ کسی سطح کا محیط مستطیل شکل کو ہو۔اس مستطیل پر ربڑ کی جھلی چسپاں کرتے ہیں۔یہ جھلی ایک ممکنہ سطح ہے جس پر سطحی تکمل لی جا سکتی ہے۔اب جھلی کو کسی درمیانے نقطے سے اگر کھینچا جائے تو سطح کی صورت تبدیل ہو جائے گی جبکہ اس کا محیط تبدیل نہیں ہو گا۔آپ مختلف نقطوں سے جھلی کو کھینچ کر یا دبا کر مختلف سطحیں پیدا کر سکتے ہیں۔ایسی تمام سطحوں کا محیط وہی مستطیل ہو گا۔مساوات 9.5 میں دائیں جانب ایسی تمام سطحوں پر سطحی تکمل، بائیں جانب محیط پر لکیری تکمل کے برابر ہو گا۔اب چونکہ محیط تبدیل نہیں ہوا لہٰذا ایسی تمام سطحوں پر سطحی تکمل برابر ہوں گے۔

مساوات 9.5 سے مساوات 9.6 حاصل کرتے ہوئے یاد رہے کہ ان مساوات میں سطح کی محیط تبدیل نہیں کی جا رہی۔یوں مساوات 9.6 میں دونوں جانب کے سطحوں کا محیط ایک ہونا چاہیے جبکہ سطحیں از خود مختلف ہو سکتی ہیں۔چونکہ یہ مساوات کسی بھی سطح کے لئے درست ہے لہٰذا یہ تفرقی سطح $\mathrm{d}\boldsymbol{S}$ کے لئے بھی درست ہے۔تفرقی سطح کے لئے اسے یوں

$$(\nabla\times \boldsymbol{E})\cdot \mathrm{d}\boldsymbol{S} = -\frac{\partial \boldsymbol{B}}{\partial t}\cdot \mathrm{d}\boldsymbol{S}$$

یعنی

$$\nabla\times \boldsymbol{E} = -\frac{\partial \boldsymbol{B}}{\partial t} \tag{9.7}$$

لکھا جا سکتا ہے۔

مساوات 9.7 میکس ویل کے چار مساواتوں میں سے پہلی مساوات ہے۔یہ میکس ویل کے پہلی مساوات کی نقطہ شکل ہے۔اس مساوات کی نقطہ شکل ہی عموماً استعمال ہوتی ہے۔میکس ویل کے پہلی مساوات کی تکمل شکل مساوات 9.5 بیان کرتی ہے۔وقت کے ساتھ نہ تبدیل ہوتے مقناطیسی میدان کی صورت میں مساوات 9.7 اور مساوات 9.5 ساکن میدان کے مساوات کی صورت اختیار کرتے ہیں یعنی

$$\oint \boldsymbol{E}\cdot \mathrm{d}\boldsymbol{L} = 0 \qquad \text{(برقی سکون)} \tag{9.8}$$

اور

$$\nabla \times \boldsymbol{E} = 0 \qquad \text{(برقی سکون)}$$

آئیں مساوات 9.5 اور مساوات 9.7 کو استعمال کر کے دیکھیں۔ تصور کریں کہ $\rho < \rho_2$ نلکی خطے میں وقت کے ساتھ مسلسل بڑھتی

$$\boldsymbol{B} = B_0 e^{kt} \boldsymbol{a}_z \qquad (\rho < \rho_2) \tag{9.9}$$

کثافت مقناطیسی بہاو پائی جاتی ہے جہاں B_0 ایک مستقل ہے۔ ہم $z = 0$ سطح پر ρ_1 رداس کا گول دائرہ لیتے ہیں۔ مشابہت سے ہم کہہ سکتے ہیں کہ اس پورے دائرے پر E_ϕ کی قیمت تبدیل نہیں ہو سکتی لہٰذا مساوات 9.5 سے

$$\text{محرک برقی دباو} = 2\pi\rho_1 E_\phi = -kB_0 e^{kt} \pi \rho_1^2$$

لکھا جا سکتا ہے۔ یوں کسی بھی رداس پر برقی میدان کی شدت

$$\boldsymbol{E} = -\frac{1}{2} k B_0 e^{kt} \rho \boldsymbol{a}_\phi \tag{9.10}$$

لکھی جا سکتی ہے۔

آئیں اب یہی جواب مساوات 9.7 سے حاصل کریں۔ چونکہ اس مساوات کے دائیں جانب صرف $\boldsymbol{a}_z$ جزو پایا جاتا ہے لہٰذا بائیں ہاتھ بھی صرف یہی جزو ہو گا لہٰذا اس مساوات سے

$$\frac{1}{\rho} \frac{\partial(\rho E_\phi)}{\partial \rho} = -kB_0 e^{kt}$$

لکھا جا سکتا ہے۔ دونوں اطراف کو ρ سے ضرب دیتے ہوئے 0 تا ρ تکمل لے کر

$$\rho E_\phi = -kB_0 e^{kt} \frac{\rho^2}{2}$$

یعنی

$$\boldsymbol{E} = -\frac{1}{2} k B_0 e^{kt} \rho \boldsymbol{a}_\phi \tag{9.11}$$

ہی دوبارہ حاصل ہوتا ہے جہاں رداسی تکمل میں t مستقل کا کردار ادا کرتا ہے۔

مثبت B_0 کی صورت میں اس دائرے پر $\boldsymbol{a}_\phi$ کی الٹ سمت میں برقی رو گزرے گی جو $\boldsymbol{a}_z$ کی الٹ سمت میں کثافت مقناطیسی بہاو پیدا کرتے ہوئے پہلے سے موجود مقناطیسی میدان میں تبدیلی کو روکنے کی کوشش کرتی ہے۔

اس مثال کے آخر میں یہ بتلانا ضروری ہے کہ مساوات 9.9 میں دیا گیا میدان غیر حقیقی ہے چونکہ یہ میکس ویل کے دیگر مساوات پر پورا نہیں اترتا۔ آپ سے سوال 9.18 میں گزارش کی گئی ہے کہ اس حقیقت کو ثابت کریں۔

آئیں اب ایسی مثال دیکھیں جس میں وقت کے ساتھ تبدیل نہ ہونے والے مقناطیسی میدان میں بند دائرہ حرکت کر رہا ہو۔ شکل 9.1 میں ایسی صورت حال دکھائی گئی ہے۔ اس شکل میں v سمتی رفتار کو ظاہر کرتی ہے جبکہ پیما برقی دباو[9] کو V سے ظاہر کیا گیا ہے۔ اس شکل میں دو افقی اور دو متوازی موصل سلاخ بند دائرہ یا بند دور بناتے ہیں۔ متوازی افقی سلاخوں کو بائیں طرف عمودی سلاخ سے جوڑا گیا ہے جس میں قابل نظر انداز جسامت اور لامحدود مزاحمت

[9] voltmeter

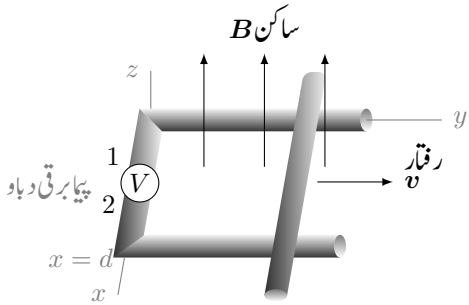

شکل 9.1: وقت کے ساتھ نہ تبدیل ہوتے یکساں مقناطیسی میدان میں حرکت کرتے موصل سلاخ پر محرک برقی دباو پیدا ہوتی ہے۔

والا پیما برقی دباو نسب ہے، جبکہ دائیں جانب انہیں $\boldsymbol{v}$ سمتی رفتار سے حرکت کرتے عمودی سلاخ سے جوڑا گیا ہے۔وقت کے ساتھ نہ تبدیل ہوتا اور ہر جگہ یکساں کثافت مقناطیسی بہاو $\boldsymbol{B}$ بند دائرے کی گھیرے سطح کے عمودی ہے۔

مثبت $\boldsymbol{B}$ کی صورت میں $\boldsymbol{B}$ کی سمت ہی بند دائرے سے گھیری گئی سطح کی سمت ہو گی اور بند دائرے کی سمت گھڑی کے الٹ ہو گی۔یوں دائرے کے مثبت سمت میں دائیں ہاتھ کی انگلیاں رکھتے ہوئے گھیری سطح کی سمت انگوٹھے سے حاصل کی جاتی ہے۔

کسی بھی لمحہ t پر حرکت کرتے سلاخ کے مقام کو y سے ظاہر کرتے ہوئے ہم $y = vt$ لکھ سکتے ہیں جہاں v سلاخ کے رفتار کی قیمت ہے۔یوں لمحہ t پر بند دور کا ارتباط بہاو

$$\Phi = Bdy = Bdvt$$

ہو گا جو مساوات 9.1 کے تحت بند دور میں

$$e = -\frac{\mathrm{d}\Phi}{\mathrm{d}t} = -Bdv$$

محرک برقی دباو e پیدا کرے گا۔

اب محرک برقی دباو $\oint \boldsymbol{E} \cdot \mathrm{d}\boldsymbol{L}$ کو کہتے ہیں لہٰذا مندرجہ بالا جواب دائرے پر گھڑی کے الٹ سمت میں اس بند لکیری تکمل سے بھی حاصل ہونا چاہیے۔ہم دیکھ چکے ہیں کہ برقی سکون کی صورت میں موصل کی سطح پر سطح کے متوازی E صفر رہتی ہے۔ہم آگے دیکھیں گے کہ وقت کے ساتھ تبدیل ہوتے برقی میدان میں بھی موصل کی سطح پر متوازی E صفر ہی رہتی ہے۔یوں شکل 9.1 پر گھڑی کے الٹ چلتے ہوئے تمام سلاخوں پر تکمل کی قیمت صفر کے برابر ہو گی۔پیما برقی دباو کی مزاحمت صفر نہیں ہے لہٰذا تکمل کی قیمت پیما برقی دباو پر مندرجہ بالا قیمت کے برابر ہونا ہو گا۔گھڑی کی الٹ سمت چلتے ہوئے پیما برقی دباو کی لمبائی کو $\mathrm{d}\boldsymbol{L}$ لکھتے ہوئے ہم دیکھتے ہیں کہ $\boldsymbol{E} \cdot \mathrm{d}\boldsymbol{L} = -Bdv$ ہونا ہو گا۔چونکہ $\mathrm{d}\boldsymbol{L} = \mathrm{d}L\boldsymbol{a}_{\mathrm{X}}$ کے برابر ہے لہٰذا $\boldsymbol{E}$ کی سمت $\boldsymbol{a}_{\mathrm{X}}$ کے الٹ ہو گی۔یوں پیما برقی دباو پر $\boldsymbol{E}$ کی سمت پیما کے دوسرے سرے سے پہلے سرے کی جانب ہے اور پیما پر برقی دباو کا مثبت سرا پیما کا دوسرا سرا ہے۔

پیما کی جگہ مزاحمت جوڑنے سے دور میں گھڑی کے الٹ برقی رو گزرے گی جو $\boldsymbol{a}_{\mathrm{Z}}$ کے الٹ سمت میں مقناطیسی بہاو پیدا کرے گی۔یہ لورنز کے قانون کے عین مطابق ہے۔

آئیں اب اسی شکل میں دئے مسئلے کو حرکی برقی دباو تصور کرتے ہوئے حل کریں۔مقناطیسی میدان میں $\boldsymbol{v}$ سمتی رفتار سے حرکت کرتے ہوئے چارج Q پر قوت

$$\boldsymbol{F} = Q\boldsymbol{v} \times \boldsymbol{B}$$

یا حرکی شدت $\boldsymbol{E}_{\text{حرکی}}$

$$\boldsymbol{E}_{\text{حرکی}} = \frac{\boldsymbol{F}}{\mathrm{Q}} = \boldsymbol{v} \times \boldsymbol{B} \tag{9.12}$$

عمل کرتی ہے۔ حرکی شدت $\boldsymbol{a}_{\mathrm{x}}$ سمت میں ہے۔ حرکت کرتے سلاخ میں ساکن مثبت ایٹم اور آزاد منفی الیکٹران پائے جاتے ہیں۔ان تمام چارجوں پر ایسی قوت پائی جائے گی البتہ ساکن ایٹم مقید ہونے کی بنا حرکت نہیں کریں گے۔اگر محرک سلاخ کو متوازی سلاخوں سے اٹھایا جائے تو اس میں آزاد الیکٹران پر $\boldsymbol{a}_{\mathrm{x}}$ کے الٹ جانب قوت انہیں سلاخ کے پرلے سرے پر انبار کرنا شروع کر دے گی۔الیکٹرانوں کا انبار سلاخ میں $-\boldsymbol{a}_{\mathrm{x}}$ جانب برقی میدان کی شدت $\boldsymbol{E}_{\text{ساکن}}$ پیدا کرے گا۔الیکٹران کا انبار بڑھتا رہے گا حتیٰ کہ $\boldsymbol{E}_{\text{حرکی}}$ اور $\boldsymbol{E}_{\text{ساکن}}$ برابر ہو جائیں۔ایسا ہوتے ہی سلاخ میں کل برقی میدان کی شدت صفر ہو جائے گی اور اس میں چارج کا حرکت رک جائے گا۔

یوں حرکی برقی دباو

$$\text{محرک برقی دباو} = \oint \boldsymbol{E}_{\text{حرکی}} \cdot \mathrm{d}\boldsymbol{L} = \oint (\boldsymbol{v} \times \boldsymbol{B}) \cdot \mathrm{d}\boldsymbol{L} \tag{9.13}$$

سے حاصل ہو گی۔مساوات کے دائیں ہاتھ بند دائرے کے ساکن حصوں پر تکمل کی قیمت صفر ہو گی لہٰذا محرک برقی دباو صرف حرکت کرتے حصوں کی وجہ سے پیدا ہو گی۔یوں حرکت کرتے سلاخ پر گھڑی کے الٹ چلتے ہوئے تکمل سے

$$\oint (\boldsymbol{v} \times \boldsymbol{B}) \cdot \mathrm{d}\boldsymbol{L} = \int_d^0 vB \,\mathrm{d}x = -Bvd$$

حاصل ہوتا ہے۔چونکہ $\boldsymbol{B}$ از خود وقت کے ساتھ تبدیل نہیں ہو رہا لہٰذا یہی کل محرک برقی دباو ہو گا۔

یوں وقت کے ساتھ تبدیل نہ ہوتے مقناطیسی میدان میں حرکت کرتے بند دائرے میں محرک برقی دباو حاصل کرتے وقت حرکت کرتے حصوں پر حرکی شدت $\boldsymbol{E}_{\text{حرکی}}$ کے استعمال سے محرک برقی دباو یوں

$$\text{محرک برقی دباو} = \oint \boldsymbol{E} \cdot \mathrm{d}\boldsymbol{L} = \oint \boldsymbol{E}_{\text{حرکی}} \cdot \mathrm{d}\boldsymbol{L} = \oint (\boldsymbol{v} \times \boldsymbol{B}) \cdot \mathrm{d}\boldsymbol{L} \tag{9.14}$$

حاصل کی جا سکتی ہے۔البتہ وقت کے ساتھ بدلتی مقناطیسی میدان میں محرک برقی دباو کے حصول میں مساوات 9.5 کا حصہ شامل کرنا ضروری ہے یوں محرک برقی دباو

$$\text{محرک برقی دباو} = \oint \boldsymbol{E} \cdot \mathrm{d}\boldsymbol{L} = -\int_S \frac{\partial \boldsymbol{B}}{\partial t} \cdot \mathrm{d}\boldsymbol{S} + \oint (\boldsymbol{v} \times \boldsymbol{B}) \cdot \mathrm{d}\boldsymbol{L} \tag{9.15}$$

سے حاصل ہو گی۔یہ مساوات دراصل مساوات 9.1

$$\text{محرک برقی دباو} = -\frac{\mathrm{d}\Phi}{\mathrm{d}t}$$

ہی ہے۔

آئیں شکل 9.1 میں پیما برقی دباو کی جگہ مزاحمت نسب کرتے ہوئے اس کی مدد سے مساوات 9.3 جو محرک برقی دباو کی تعریف بیان کرتا ہے پر دوبارہ غور کریں۔نئی شکل کو شکل 9.2 میں دکھایا گیا ہے۔مساوات 9.12 محرک سلاخ پر پیدا $\boldsymbol{E}_{\text{حرکی}}$ دیتا ہے جو سلاخ میں مثبت چارج کو سلاخ کے اُرلے سرے کی طرف دھکیلے گا۔اس کے برعکس مزاحمت پر برقی دباو v_R پایا جاتا ہے جس کی وجہ سے اس میں برقی میدان کی شدت $\boldsymbol{E}$ پائی جائے گی جو مزاحمت میں مثبت چارج کو مزاحمت کے پرلے سرے کی جانب دھکیلے گی۔

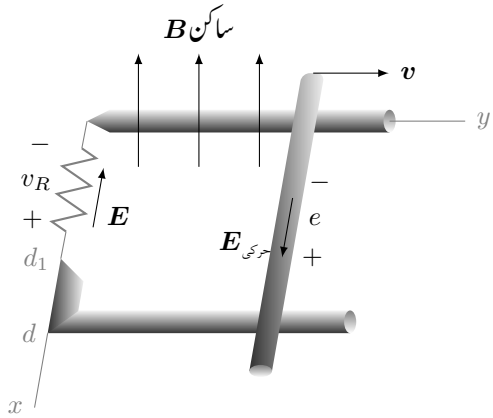

شکل 9.2: محرک برقی دباو اور برقی دباو کا موازنہ۔

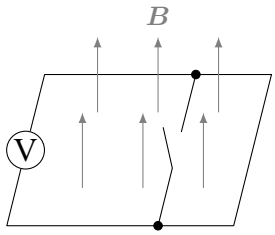

شکل 9.3: محرک برقی دباو یا تا وقت کے ساتھ بدلتی مقناطیسی میدان اور یا حرکت کرتے بند دائرے سے ہی پیدا ہو سکتی ہے۔

آپ شکل کو دیکھ کر تسلی کر لیں کہ مزاحمت پر میدان کی شدت $\boldsymbol{E} = -E\boldsymbol{a}_{\text{x}}$ سے برقی دباو v_R یوں

$$v_R = -\int_0^{d_1} \boldsymbol{E} \cdot \mathrm{d}\boldsymbol{L} = \int_0^{d_1} E \, \mathrm{d}x = Ed_1 \tag{9.16}$$

حاصل ہوتی ہے جبکہ متحرک سلاخ پر حرکی شدت $\boldsymbol{E}_{\text{حرکی}} = E_{\text{حرکی}}\boldsymbol{a}_{\text{x}}$ سے حرکی دباو e یوں

$$e = \oint \boldsymbol{E}_{\text{حرکی}} \cdot \mathrm{d}\boldsymbol{L} = \int_0^{d} \boldsymbol{E}_{\text{حرکی}} \cdot \mathrm{d}\boldsymbol{L} = \int_0^{d} E_{\text{حرکی}} \, \mathrm{d}x = E_{\text{حرکی}}d \tag{9.17}$$

حاصل ہوتی ہے۔ شکل میں دو افقی موصل سلاخوں کے مابین برقی دباو کو سلاخوں کے بائیں سروں پر v_R جبکہ ان کے دائیں سروں پر e کہا گیا ہے لہٰذا v_R اور e دونوں مثبت اور برابر قیمت رکھتے ہیں۔ یہاں ضرورت اس بات کی ہے کہ آپ دیکھ سکیں کہ v_R کی مثبت قیمت حاصل کرنے کے لئے ضروری ہے کہ مساوات میں منفی کی علامت استعمال کی جائے جبکہ e کے مثبت قیمت کے حصول کے لئے ضروری ہے کہ مساوات میں جمع کی علامت استعمال کی جائے۔ حرکی دباو کے بند تکمل میں دائرے کے بقایا اطراف پر تکمل کی قیمت صفر ہونے کے ناطے صرف متحرک سلاخ پر تکمل لیا گیا ہے۔

اگرچہ مساوات 9.1 انتہائی سادہ شکل رکھتی ہے لیکن اس کا استعمال کبھی کبھار مشکل ہو جاتا ہے۔ ایسا اس وقت ہوتا ہے جب دور کے کسی حصے کو تبدیل کرتے ہوئے دوسرا حصہ نسب کیا جائے۔ یہ بات شکل 9.3 پر غور کرنے سے بہتر سمجھ آئے گی۔ اس شکل میں نا تو وقت کے ساتھ تبدیل ہوتا مقناطیسی میدان ہے اور نا ہی بند دائرے کا کوئی حصہ متحرک ہے۔ البتہ شکل میں دکھائے سوئچ کو چالو یا غیر چالو کرتے ہوئے بند دائرے میں مقناطیسی بہاو کم اور زیادہ کیا جا سکتا ہے۔ یہاں بغیر سوچے مساوات 9.1 استعمال کرتے ہوئے غلط نتائج حاصل ہوتے ہیں۔ یاد رہے کہ برقی دباو یا تو وقت کے ساتھ بدلتے مقناطیسی میدان اور یا پھر بند دائرے کے کسی حصے کے حرکت سے ہی پیدا ہو گا۔

مشق 9.1: خطہ $\rho < 4\,\text{cm}$ میں میدان $\boldsymbol{B} = \frac{2\cos 1000t\boldsymbol{a}_z}{5+\rho^2}\,\text{T}$ پایا جاتا ہے۔ الف) سطح $z = 1.5\,\text{cm}$ ، $\rho < 2\,\text{cm}$ سے گزرتی مقناطیسی بہاو حاصل کریں۔ ب) نقطہ $N(0.02, 10^\circ, 3)$ پر $\boldsymbol{E}$ حاصل کریں۔ پ) سطح $z = 0$ پر رداس $\rho = 2\,\text{cm}$ اور مزاحمت $4\,\frac{\Omega}{\text{cm}}$ کی موصل تار کا دائرہ پایا جاتا ہے۔ اس تار میں برقی رو حاصل کریں۔

جوابات: $502.6\cos 1000t\,\mu\text{Wb}$ ، $4\sin 1000t\boldsymbol{a}_\phi\,\frac{\text{V}}{\text{m}}$ ، $10\sin 1000t\,\text{mA}$

مشق 9.2: شکل 9.3 میں $\boldsymbol{B} = 0.5\boldsymbol{a}_z$ ٹسلا، رفتار $100y\boldsymbol{a}_y$ میٹر فی سیکنڈ جبکہ $d = 0.5$ میٹر ہے۔ اگر $t = 0$ پر $y = 0.2$ میٹر ہو تب $t = 15$ ملی سیکنڈ پر مندرجہ ذیل حاصل کریں۔

- سلاخ کی رفتار،
- محرک برقی دباو V_{21}،
- پیا برقی دباو کی اندرونی مزاحمت دس میگا اوہم کی صورت میں دور میں برقی رو۔

جوابات: $4.017\,\frac{\text{m}}{\text{s}}$، $100\,\text{V}$، $10\,\mu\text{A}$

9.2 انتقالی برقی رو

فیراڈے کے تجرباتی نتیجے سے میکس ویل کی پہلی مساوات

$$\nabla \times \boldsymbol{E} = -\frac{\partial \boldsymbol{B}}{\partial t} \tag{9.18}$$

حاصل ہوئی جو کہتا ہے کہ بدلتی مقناطیسی میدان پیدا کرتا ہے برقی دباو۔ گردش کے عمل کو مد نظر رکھتے ہوئے ہم دیکھتے ہیں ایسے پیدا کردہ برقی دباو کا بند لکیری تکمل صفر کے برابر نہیں ہوتا۔ آئیں اب وقت کے ساتھ تبدیل ہوتے برقی میدان پر غور کریں۔

ایمپیئر کے دوری قانون کی نقطہ شکل

$$\nabla \times \boldsymbol{H} = \boldsymbol{J} \tag{9.19}$$

ساکن مقناطیسی میدان پر لاگو ہوتی ہے۔ اس مساوات کی پھیلاو

$$\nabla \cdot \nabla \times \boldsymbol{H} = 0 = \nabla \cdot \boldsymbol{J}$$

لیتے ہوئے ہم دیکھتے ہیں کہ گردش کی پھیلاو ہر صورت صفر کے برابر ہوتی ہے لہٰذا مندرجہ بالا مساوات کا بایاں ہاتھ ہر صورت صفر دے گا اور یوں اگر یہ مساوات درست ہو تب اس کا دایاں ہاتھ بھی ہر صورت صفر ہونا چاہیے۔ مگر ہم استمراری مساوات سے جانتے ہیں کہ

$$\nabla \cdot \boldsymbol{J} = -\frac{\partial \rho}{\partial t} \tag{9.20}$$

ہوتا ہے۔اس سے ثابت ہوتا ہے کہ مساوات 9.19 صرف اس صورت درست ہو گا جب $\frac{\partial \rho}{\partial t} = 0$ ہو۔یہ ایک غیر ضروری اور غیر حقیقی شرط ہے لہٰذا وقت کے ساتھ تبدیل ہوتے برقی میدان پر استعمال کے قابل بنانے کی خاطر مساوات 9.19 کو تبدیل کرنا لازم ہے۔تصور کریں کہ مساوات 9.19 میں نا معلوم جزو $\boldsymbol{G}$ کی شمولیت سے یہ مساوات وقت کے ساتھ تبدیل ہوتے برقی میدان پر بھی لاگو کرنے کے قابل ہو جاتا ہے۔ایسی صورت میں مساوات 9.19 یوں

$$\nabla \times \boldsymbol{H} = \boldsymbol{J} + \boldsymbol{G}$$

لکھی جائے گی۔آئیں دوبارہ اس کی پھیلاو حاصل کریں جس سے

$$0 = \nabla \cdot \boldsymbol{J} + \nabla \cdot \boldsymbol{G}$$

یا

$$\nabla \cdot \boldsymbol{G} = \frac{\partial \rho}{\partial t}$$

حاصل ہوتا ہے جہاں استمراری مساوات کا سہارا لیا گیا۔اس مساوات میں ρ کی جگہ $\nabla \cdot \boldsymbol{D}$ پر کرنے سے

$$\nabla \cdot \boldsymbol{G} = \frac{\partial \left(\nabla \cdot \boldsymbol{D}\right)}{\partial t} = \nabla \cdot \frac{\partial \boldsymbol{D}}{\partial t}$$

یعنی

$$\boldsymbol{G} = \frac{\partial \boldsymbol{D}}{\partial t}$$

حاصل ہوتا ہے۔یوں ایمپیئر کے دوری قانون کی درست شکل

$$\nabla \times \boldsymbol{H} = \boldsymbol{J} + \frac{\partial \boldsymbol{D}}{\partial t} \tag{9.21}$$

ہے۔ مندرجہ بالا مساوات برقی و مقناطیسیات کے اب تک تمام دریافت کردہ اصولوں پر پورا اترتی آئی ہے۔جب تک یہ غلط ثابت نہ ہو جائے، ہم اسے درست ہی تصور کریں گے۔

مساوات 9.21 میکس ویل کے مساوات میں سے ایک مساوات ہے۔اس مساوات میں $\frac{\partial \boldsymbol{D}}{\partial t}$ کی بُعد ایمپیئر فی مربع میٹر حاصل ہوتی ہے جو کثافت برقی رو کا بُعد ہے۔میکس ویل نے اس مساوات میں دائیں ہاتھ نئے جزو کو کثافت انتقالی رو[10] کا نام دیا اور $\boldsymbol{J}_d$ سے ظاہر کیا یعنی

$$\begin{aligned} \nabla \times \boldsymbol{H} &= \boldsymbol{J} + \boldsymbol{J}_d \\ \boldsymbol{J}_d &= \frac{\partial \boldsymbol{D}}{\partial t} \end{aligned} \tag{9.22}$$

ہم تین اقسام کے کثافت رو دیکھ چکے جن میں کثافت انتقالی رو کے علاوہ غیر چارج شدہ خطے میں عموماً الیکٹران کے حرکت سے پیدا کثافت ایصالی رو

$$\boldsymbol{J} = \sigma \boldsymbol{E} \tag{9.23}$$

[10] displacement current density

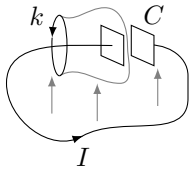

شکل 9.4: موصل تار میں ایصالی رو کپیسٹر کے چادروں کے درمیان انتقالی رو کے برابر ہے۔

اور چارج کے حجم کے حرکت سے پیدا کثافت اتصالی رو

$$\boldsymbol{J} = \rho_h \boldsymbol{v} \tag{9.24}$$

شامل ہیں۔ مساوات 9.21 میں $\boldsymbol{J}$ سے مراد ایصالی اور اتصالی رو کے کثافتوں کا مجموعہ ہے جبکہ مقید چارج $\boldsymbol{H}$ کا حصہ ہیں۔ غیر موصل خطے میں جہاں کثافت چارج پائی ہی نہیں جاتی $\boldsymbol{J} = 0$ ہوتا ہے لہٰذا غیر موصل میں

$$\nabla \times \boldsymbol{H} = \frac{\partial \boldsymbol{D}}{\partial t} \qquad (\boldsymbol{J} = 0) \tag{9.25}$$

ہو گا۔ مساوات 9.25 اور مساوات 9.18 میں مشابہت دیکھیں۔

$$\nabla \times \boldsymbol{E} = -\frac{\partial \boldsymbol{B}}{\partial t}$$

مقناطیسی شدت $\boldsymbol{H}$ اور برقی شدت $\boldsymbol{E}$ کافی مشابہت رکھتے ہیں۔ اسی طرح کثافت رو $\boldsymbol{D}$ اور کثافت بہاو $\boldsymbol{B}$ بھی کافی مشابہت رکھتے ہیں۔ اس مشابہت کو یہیں تک رکھیں چونکہ جیسے ہی میدان میں چارج پر قوت کی بات کی جائے، دونوں اقسام کے میدان بالکل مختلف طریقوں سے عمل کرتے ہیں۔ 2839

کسی بھی سطح سے کل انتقالی رو سطحی تکمل

$$I_d = \int_S \boldsymbol{J}_d \cdot \mathrm{d}\boldsymbol{S} = \int_S \frac{\partial \boldsymbol{D}}{\partial t} \cdot \mathrm{d}\boldsymbol{S} \tag{9.26}$$

سے حاصل ہو گی۔ مساوات 9.21 کے سطحی تکمل

$$\int_S (\nabla \times \boldsymbol{H}) \cdot \mathrm{d}\boldsymbol{S} = \int_S \boldsymbol{J} \cdot \mathrm{d}\boldsymbol{S} + \int_S \frac{\partial \boldsymbol{D}}{\partial t} \cdot \mathrm{d}\boldsymbol{S}$$

پر مسئلہ سٹوکس کے اطلاق سے

$$\oint \boldsymbol{H} \cdot \mathrm{d}\boldsymbol{L} = I + I_d = I + \int_S \frac{\partial \boldsymbol{D}}{\partial t} \cdot \mathrm{d}\boldsymbol{S} \tag{9.27}$$

وقت کے ساتھ تبدیل ہوتے ایمپیئر کے دوری قانون کی نقطہ شکل حاصل ہوتی ہے۔ 2840

انتقالی رو کو شکل 9.4 کی مدد سے سمجھتے ہیں جہاں موصل تار سے کپیسٹر C کے دو سرے جوڑتے ہوئے بند دور بنایا گیا ہے جس میں وقت کے ساتھ بدلتی سائن نما مقناطیسی میدان $\boldsymbol{B}$ محرک برقی دباو

$$e = V_0 \cos \omega t$$

پیدا کرتی ہے۔ یہ سادہ برقی دور ہے جس میں مزاحمت اور امالہ کو نظر انداز کرتے ہوئے برقی رو

$$\begin{aligned} i &= -\omega C V_0 \sin \omega t \\ &= -\omega \frac{\epsilon S}{d} V_0 \sin \omega t \end{aligned}$$

لکھی جا سکتی ہے جہاں ϵ، S اور d کپیسٹر سے متعلق ہیں۔آئیں انتقالی رو کو نظرانداز کرتے ہوئے تار کے گرد بند دائرے k پر ایمپیئر کا دوری قانون لاگو کریں۔

$$\oint_k \boldsymbol{H} \cdot \mathrm{d}\boldsymbol{L} = I_k$$

اب بند دائرہ k اور اس دائرے پر $\boldsymbol{H}$ حقیقی مقدار ہیں اور تکمل سے حاصل رو I_k اس دائرے سے گھیرے کسی بھی سطح سے گزرتی رو کو ظاہر کرتی ہے۔اگر ہم k کو سیدھی سطح کا سرحد تصور کریں تب موصل تار اس سطح کو چھیدتا ہوا گزرے گا۔یوں اس سطح سے I رو ہی گزرے گی جو ایصالی رو ہے۔اس کے برعکس اگر ہم k کو تھیلے کا منہ تصور کریں جیسے شکل میں دکھایا گیا ہے تب ایصالی رو ایسی سطح سے نہیں گزرتی چونکہ تھیلا کپیسٹر کے دو چادروں کے درمیان سے گزرتا ہے اور تار اسے چھوتی تک نہیں۔ایسی صورت میں تھیلے سے گزرتی ایصالی رو صفر کے برابر ہے۔ایسی صورت میں ہمیں انتقالی رو کا سہارا لینا ہو گا۔کپیسٹر کے چادروں کے درمیان

$$D = \epsilon E = \epsilon \left(\frac{V_0}{d} \cos \omega t \right)$$

ہے لہٰذا

$$J_d = \frac{\partial D}{\partial t} = -\omega \epsilon \frac{V_0}{d} \sin \omega t$$

اور یوں

$$I_d = S J_d = -\omega \frac{\epsilon S}{d} V_0 \sin \omega t$$

ہو گی۔

یہ وہی جواب ہے جو ایصالی رو سے حاصل ہوا تھا۔اس مثال سے آپ دیکھ سکتے ہیں کہ ایمپیئر کے دوری قانون کو استعمال کرتے ہوئے سطح سے گزرتی ایصالی رو اور انتقالی رو دونوں کا خیال رکھنا ہو گا۔کہیں پر سطح سے صرف ایصالی رو گزرے گی تو کہیں اس سے صرف انتقالی رو گزرے گی اور کبھی کبھار دونوں کا مجموعہ۔

انتقالی رو وقت کے ساتھ بدلتے برقی میدان سے پیدا ہوتے ہیں لہٰذا یہ ایسے تمام غیر موصل یا نیم موصل خطوں میں پائی جاتی ہے جہاں وقت کے ساتھ تبدیل ہوتی ایصالی رو پائی جائے۔اگرچہ موصل خطے میں بھی انتقالی رو پائی جاتی ہے لیکن، جیسے آپ مندرجہ ذیل مشق میں دیکھیں گے، اس کی قیمت ایصالی رو کی نسبت سے اتنی کم ہوتی ہے کہ یہ قابل نظرانداز ہوتی ہے۔یہی وجہ ہے کہ انتقالی رو تجرباتی طور دریافت نہیں کی گئی بلکہ اس تک منطق کے ذریعہ سے پہنچا گیا۔

مثال 9.1: ایک خطے کے مستقل $\sigma = 0$ ، $\mu_R = 2.5$ اور $\epsilon_R = 1.2$ ہیں۔اس میں کثافت انتقالی برقی رو $\boldsymbol{J}_d = 10 \cos(2 \times 10^8 t - kx) \boldsymbol{a}_\mathrm{y} \ \frac{\mu\mathrm{A}}{\mathrm{m}^2}$ ہے۔الف) $\boldsymbol{D}$ اور $\boldsymbol{E}$ حاصل کریں۔ب) فیراڈے کے قانون کی نقطہ شکل اور تکمل کے استعمال کرتے ہوئے $\boldsymbol{B}$ اور $\boldsymbol{H}$ حاصل کریں۔پ) مساوات 9.22 استعمال کرتے ہوئے $\boldsymbol{J}_d$ حاصل کریں۔ت) حاصل $\boldsymbol{J}_d$ اور سوال میں دیے گئے $\boldsymbol{J}_d$ کا آپس میں موازنہ کرتے ہوئے k کی مثبت قیمت حاصل کریں۔

حل: الف) چونکہ $\boldsymbol{J}_d = \frac{\partial \boldsymbol{D}}{\partial t}$ کے برابر ہے لہٰذا

$$\boldsymbol{D} = \int \boldsymbol{J}_d \, \mathrm{d}t = 5 \times 10^{-14} \sin(2 \times 10^8 t - kx) \boldsymbol{a}_\mathrm{y} + M \quad \frac{\mathrm{C}}{\mathrm{m}^2}$$

حاصل کیا جا سکتا ہے۔ساکن میدان صفر ہونے کی صورت میں تکمل کا مستقل $M = 0$ ہو گا۔یوں

$$\boldsymbol{E} = \frac{\boldsymbol{D}}{\epsilon_R \epsilon_0} = 4.7 \times 10^{-3} \sin(2 \times 10^8 t - kx) \boldsymbol{a}_{\mathrm{y}} \quad \frac{\mathrm{V}}{\mathrm{m}}$$

ہو گا۔

ب) فیراڈے کے قانون سے

$$\nabla \times \boldsymbol{E} = -4.70587111 \times 10^{-3} k \cos(2 \times 10^8 t - kx) \boldsymbol{a}_{\mathrm{z}} = -\frac{\partial \boldsymbol{B}}{\partial t}$$

لکھتے ہوئے تکمل لے کر

$$\boldsymbol{B} = \int 4.70587111 \times 10^{-3} k \cos(2 \times 10^8 t - kx) \boldsymbol{a}_{\mathrm{z}} \, \mathrm{d}t = 2.3529 \times 10^{-11} k \sin(2 \times 10^8 t - kx) \boldsymbol{a}_{\mathrm{z}}$$

حاصل ہوتا ہے جس سے

$$\boldsymbol{H} = \frac{\boldsymbol{B}}{\mu_R \mu_0} = 7.4896 \times 10^{-6} k \sin(2 \times 10^8 t - kx) \boldsymbol{a}_{\mathrm{z}}$$

لکھا جا سکتا ہے۔

پ) چونکہ $\sigma = 0$ ہے لہٰذا کثافت ایصالی برقی رو صفر ہو گی۔یوں مساوات 9.22 سے حاصل کرتے ہیں۔

$$\nabla \times \boldsymbol{H} = 7.4896 \times 10^{-6} k^2 \cos(2 \times 10^8 t - kx) \boldsymbol{a}_{\mathrm{y}} \frac{\mathrm{A}}{\mathrm{m}^2} = \boldsymbol{J}_d$$

ت) حاصل کردہ اور سوال میں دیا گیا $\boldsymbol{J}_d$ برابر پر کرتے ہوئے

$$k = \sqrt{\frac{10 \times 10^{-6}}{7.4896 \times 10^{-6}}} = 1.155 \, \mathrm{m}^{-1}$$

حاصل ہوتا ہے۔

مثال 9.2: رداس a اور b کے موصل ہم محوری کرہ، جہاں $b > a$ ہے، کو برقی دباو $v = V_0 \cos \omega t$ مہیا کی جاتی ہے۔دونوں کرہ کے درمیانی خطے کے مستقل $\sigma = 0$ ، $\epsilon_R = 1$ اور $\mu_R = 1$ ہیں۔بیرونی کرہ کو برقی زمین تصور کریں۔ الف) کرہ کپیسٹر کو مہیا برقی رو حاصل کریں۔ ب) دونوں کرہ کے مابین انتقالی برقی رو حاصل کریں۔ پ) کیا بیرون کپیسٹر ایصالی برقی رو اور اندرون کپیسٹر انتقالی برقی رو برابر ہیں؟

حل: الف) صفحہ 153 پر مساوات 5.60 کرہ کپیسٹر کی کپیسٹنس دیتی ہے جس سے مہیا کردہ ایصالی برقی رو یوں

$$I = \mathrm{C} \frac{\mathrm{d}v}{\mathrm{d}t} = -\frac{4\pi\epsilon\omega V_0}{\frac{1}{a} - \frac{1}{b}} \sin \omega t$$

حاصل کی جا سکتی ہے۔

ب) صفحہ 179 پر مساوات 6.24 استعمال کرتے ہوئے دونوں کرہ کے درمیان خطے میں برقی دباو کو

$$V = \frac{\frac{1}{r} - \frac{1}{b}}{\frac{1}{a} - \frac{1}{b}} V_0 \cos \omega t$$

لکھتے ہوئے

$$\boldsymbol{E} = -\nabla V = \frac{V_0 \cos \omega t}{r^2 \left(\frac{1}{a} - \frac{1}{b}\right)} \boldsymbol{a}_{\mathrm{r}}$$
$$\boldsymbol{D} = \epsilon \boldsymbol{E} = \frac{\epsilon V_0 \cos \omega t}{r^2 \left(\frac{1}{a} - \frac{1}{b}\right)} \boldsymbol{a}_{\mathrm{r}}$$

حاصل ہوتا ہے جس سے کثافت انتقالی برقی رو

$$\boldsymbol{J} = \frac{\partial \boldsymbol{D}}{\partial t} = -\frac{\omega \epsilon V_0 \sin \omega t}{r^2 \left(\frac{1}{a} - \frac{1}{b}\right)} \boldsymbol{a}_{\mathrm{r}}$$

لکھی جا سکتی ہے۔یوں انتقالی برقی رو

$$I_d = 4\pi r^2 J_d = -\frac{4\pi \omega \epsilon V_0 \sin \omega t}{\left(\frac{1}{a} - \frac{1}{b}\right)}$$

ہو گی۔

پ) بیرون کپیسٹر ایصالی برقی رو اور اندرون کپیسٹر انتقالی برقی رو برابر ہیں۔

مشق 9.3: ٹھوس تانبے کی تار میں سائن نما، پچاس ہرٹز کی ایصالی رو $I_0 \cos \omega t$ گزر رہی ہے۔اس میں انتقالی رو حاصل کریں۔پچاس ہرٹز رو کی صورت میں ایصالی اور انتقالی رو کے موثر قیمت کی شرح حاصل کریں۔

حل: $I_d = -\frac{\omega \epsilon_0}{\sigma} I_0 \sin \omega t$ جبکہ ان کے موثر قیمت کی شرح $\frac{I}{I_d} = \frac{\sigma}{\omega \epsilon_0} = 2.08 \times 10^{16}$ ہے۔

9.3 میکس ویل مساوات کی نقطہ شکل

ہم وقت کے ساتھ تبدیل ہوتے میدانوں میں میکس ویل کے دو مساوات کے نقطہ اشکال

$$\nabla \times \boldsymbol{E} = -\frac{\partial \boldsymbol{B}}{\partial t} \tag{9.28}$$

اور

$$\nabla \times \boldsymbol{H} = \boldsymbol{J} + \frac{\partial \boldsymbol{D}}{\partial t} \tag{9.29}$$

حاصل کر چکے ہیں۔ میکس ویل کے بقایا دو مساوات وقت کے ساتھ تبدیل ہوتے میدان میں بھی جوں کے توں

$$\nabla \cdot \boldsymbol{D} = \rho_h \tag{9.30}$$

$$\nabla \cdot \boldsymbol{B} = 0 \tag{9.31}$$

رہتے ہیں۔

مساوات 9.30 کہتا ہے کہ کثافت برقی رو کا منبع کثافت چارج ہے۔ وقت کے ساتھ بدلتے مقناطیسی میدان میں برقی میدان پیدا ہوتا ہے جو بند دائرے پر چلتا ہے۔ ایسے برقی میدان کا نا تو کسی چارج سے اخراج ہوتا ہے اور نا ہی یہ کسی چارج پر ختم ہوتا ہے۔ اس کے برعکس ہر مثبت چارج سے اس کے برابر برقی بہاو کا اخراج ہوتا ہے اور ہر منفی چارج پر اس کے برابر برقی بہاو کا اختتام ہوتا ہے۔

مساوات 9.31 کہتا ہے کہ کسی بھی نقطے سے کل مقناطیسی بہاو کا اخراج صفر ہے یعنی مقناطیسی بہاو نا تو کسی نقطے سے خارج ہوتا ہے اور نا ہی یہ کسی نقطے پر اختتام پذیر ہوتا ہے۔ سادہ زبان میں اس کا مطلب ہے کہ مقناطیس کا یک قطب ممکن نہیں جس سے مقناطیسی بہاو کا اخراج ہو یا اس پر مقناطیسی بہاو اختتام ہو۔

مندرجہ بالا چار مساوات پر برقی و مقناطیسیات کی بنیاد کھڑی ہے جنہیں استعمال کرنے کی خاطر چار معاون مساوات

$$\boldsymbol{D} = \epsilon \boldsymbol{E} \tag{9.32}$$

$$\boldsymbol{B} = \mu \boldsymbol{H} \tag{9.33}$$

$$\boldsymbol{J} = \sigma \boldsymbol{E} \tag{9.34}$$

$$\boldsymbol{J} = \rho_h \boldsymbol{v} \tag{9.35}$$

بھی درکار ہوتے ہیں۔

ایسے ذو برق اور مقناطیسی اشیاء جن میں متغیرات سادہ تعلق نہ رکھتے ہوں، ان میں مساوات 9.32 اور مساوات 9.33 کی جگہ

$$\boldsymbol{D} = \epsilon_0 \boldsymbol{E} + \boldsymbol{P} \tag{9.36}$$

$$\boldsymbol{B} = \mu_0 \left(\boldsymbol{H} + \boldsymbol{M}\right) \tag{9.37}$$

استعمال ہوتے ہیں۔ خطی اشیاء میں

$$\boldsymbol{P} = \chi_e \boldsymbol{E} \tag{9.38}$$

اور

$$\boldsymbol{M} = \chi_m \boldsymbol{H} \tag{9.39}$$

لکھا جا سکتا ہے۔

آخر میں لورنز قوت کی مساوات

$$\boldsymbol{F} = \rho_h \left(\boldsymbol{E} + \boldsymbol{v} \times \boldsymbol{B}\right) \tag{9.40}$$

بھی شامل کرتے ہیں۔

غیر سمتی مقناطیسی دباو V اور سمتی مقناطیسی دباو $\boldsymbol{A}$ انتہائی اہم ہیں البتہ ان کی شمولیت لازم نہیں۔

مثال 9.3: ایک خطے میں $\rho_h = 0$ ہے۔اگر اس خطے میں $\nabla \cdot \boldsymbol{E} = 0$ ہو تب خطے کی برقی مستقل ϵ پر کیا شرط لاگو ہوتی ہے۔

حل: مساوات 9.30 کے تحت $\rho_h = 0$ کی صورت میں $\nabla \cdot \boldsymbol{D} = 0$ ہو گا۔یوں

$$\nabla \cdot \boldsymbol{D} = \nabla \cdot (\epsilon \boldsymbol{E}) == \boldsymbol{E} \cdot \nabla \epsilon + \epsilon \nabla \cdot \boldsymbol{E} = 0$$

یا

$$\nabla \cdot \boldsymbol{E} + \boldsymbol{E} \cdot \frac{\nabla \epsilon}{\epsilon} = 0$$

لکھا جا سکتا ہے۔اب $\nabla \cdot \boldsymbol{E} = 0$ اس صورت ہو گا اگر $\nabla \epsilon = 0$ ہو۔

مشق 9.4: ایک خطے کے مستقل $\sigma = 0$ ، $\epsilon_R = 2.5$ اور $\mu_R = 10$ ہیں۔کیا اس خطے میں میدان $\boldsymbol{D} = (z + 6 \times 10^7 t)\boldsymbol{a}_{\mathrm{x}}$ اور $\boldsymbol{B} = (-754z - 4.52 \times 10^{10} t)\boldsymbol{a}_{\mathrm{y}}$ کی جوڑی میکس ویل کے مساوات پر پورا اترتے ہیں۔

جواب: چونکہ برقی میدان سے حاصل $\nabla \times \boldsymbol{E}$ مقناطیسی میدان سے حاصل $-\frac{\partial \boldsymbol{B}}{\partial t}$ کے برابر ہے اور اسی طرح مقناطیسی میدان سے حاصل $\nabla \times \boldsymbol{H}$ مقناطیسی میدان سے حاصل $\frac{\partial \boldsymbol{D}}{\partial t}$ کے برابر ہے لہٰذا یہ جوڑی میکس ویل کے مساوات پر پورا اترتی ہے۔

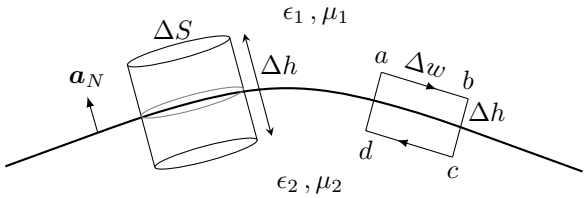

شکل 9.5: وقت کے ساتھ بدلتے میدان کے سرحدی شرائط۔

9.4 میکس ویل مساوات کی تکمل شکل

مساوات 9.28 کے سطحی تکمل پر مسئلہ سٹوکس کے اطلاق سے فیراڈے کے قانون کو

$$\oint \boldsymbol{E} \cdot \mathrm{d}\boldsymbol{L} = -\int_S \frac{\partial \boldsymbol{B}}{\partial t} \cdot \mathrm{d}\boldsymbol{S} \tag{9.41}$$

لکھا جا سکتا ہے۔اسی طرح مساوات 9.29 سے ایمپیئر کے دوری قانون کی تکمل صورت

$$\oint \boldsymbol{H} \cdot \mathrm{d}\boldsymbol{L} = I + \int_S \frac{\partial \boldsymbol{D}}{\partial t} \cdot \mathrm{d}\boldsymbol{S} \tag{9.42}$$

حاصل ہوتی ہے۔

برقی اور مقناطیسی میدان کے تکمل اشکال، گاؤس کے قوانین مساوات 9.30 اور مساوات 9.31 کے حجمی تکمل اور مسئلہ پھیلاو کی مدد سے یوں لکھے جا سکتے ہیں۔

$$\oint_S \boldsymbol{D} \cdot \mathrm{d}\boldsymbol{S} = \int_h \rho_h \, \mathrm{d}h \tag{9.43}$$

اور

$$\oint_S \boldsymbol{B} \cdot \mathrm{d}\boldsymbol{S} = 0 \tag{9.44}$$

مندرجہ بالا چار مساوات سے $\boldsymbol{E}$، $\boldsymbol{H}$، $\boldsymbol{D}$ اور $\boldsymbol{B}$ کے سرحدی شرائط حاصل ہوتے ہیں جن سے میکس ویل کے جزوی تفرقی مساوات کے مستقل حاصل کئے جاتے ہیں۔وقت کے ساتھ تبدیل ہوتے میدان کے سرحدی شرائط عموماً ساکن میدان کے سرحدی شرائط ہی ہوتے ہیں لہٰذا ساکن میدان کے طریقہ کار سے وقت کے ساتھ بدلتے میدان کے سرحدی شرائط بھی حاصل کئے جا سکتے ہیں۔

آئیں شکل 9.5 کی مدد سے سرحد کے متوازی برقی اور مقناطیسی شرائط حاصل کریں۔ شکل میں مستطیل دائرے پر مساوات 9.41 کے اطلاق سے

$$(E_{m1} - E_{m2})\,\Delta w = -\frac{\partial B_n}{\partial t}\Delta w \Delta h$$

لکھا جا سکتا ہے جہاں $\frac{\partial B_n}{\partial t}$ سے مراد دائرے کے گھیرے سطح سے گزرتی مجموعی میدان کی تبدیلی ہے جس کا کچھ حصہ خطہ 1 اور کچھ حصہ خطہ 2 سے گزرتا ہے۔اس مساوات کے دائیں ہاتھ کی قیمت $\Delta h \to 0$ کرتے ہوئے صفر کے قریب تر کی جا سکتی ہے۔ایسی صورت میں دائیں ہاتھ کو صفر ہی تصور کرتے ہوئے

$$E_{m1} = E_{m2} \tag{9.45}$$

یعنی

$$\boldsymbol{a}_N \times (\boldsymbol{E}_1 - \boldsymbol{E}_2) = 0 \tag{9.46}$$

حاصل ہوتا ہے۔ 2897

سرحد پر انتہائی کم موٹائی کے خطے میں کثافت برقی رو $\boldsymbol{K}$ تصور کرتے ہوئے کسی بھی چھوٹی لمبائی $\mathrm{d}\boldsymbol{L}$ پر برقی رو کو $I = \boldsymbol{K} \cdot \mathrm{d}\boldsymbol{L}$ لکھا جا سکتا ہے۔یوں شکل 9.5 میں مستطیل دائرے پر مساوات 9.42 کے اطلاق سے

$$(H_{m1} - H_{m2})\,\Delta w = K_\perp \Delta w + \frac{\partial D}{\partial t}\Delta w \Delta h$$

حاصل ہوتا ہے جہاں $K_\perp$ سے مراد K کا وہ حصہ ہے جو H_{m1} اور H_{m2} کے عمودی ہے۔دائیں ہاتھ دوسرے جزو کی قیمت $\Delta h \to 0$ کرتے ہوئے صفر کے قریب تر کی جا سکتی ہے لہٰذا اس جزو کو نظرانداز کرتے ہوئے

$$H_{m1} - H_{m2} = K_\perp \tag{9.47}$$

حاصل ہوتا ہے جسے یوں

$$\boldsymbol{a}_N \times (\boldsymbol{H}_1 - \boldsymbol{H}_2) = \boldsymbol{K}_\perp \tag{9.48}$$

بھی لکھا جا سکتا ہے۔ 2898

کسی بھی حقیقی دو مختلف اشیاء کے سرحد، مثلاً سمندر کے پانی اور ہوا کے سرحد یا ہوا اور دیوار کے سرحد، پر کثافت برقی رو $\boldsymbol{K}$ صفر ہوتی ہے۔لہٰذا حقیقی مسائل میں $K = 0$ کی بنا پر

$$H_{m1} = H_{m2} \tag{9.49}$$

ہو گا۔صفحہ 266 پر شکل 8.9 میں سطحی کثافت برقی رو $\boldsymbol{K}$ دکھائی گئی ہے جبکہ یہاں شکل 9.5 میں اسے صفر تصور کرتے ہوئے نہیں دکھایا گیا۔ 2899

مساوات 9.43 اور مساوات 9.44 سے سرحدی عمودی شرائط

$$\boldsymbol{a}_N \cdot (\boldsymbol{D}_1 - \boldsymbol{D}_2) = \rho_S \tag{9.50}$$

اور

$$\boldsymbol{a}_N \cdot (\boldsymbol{B}_1 - \boldsymbol{B}_2) = 0 \tag{9.51}$$

حاصل ہوتے ہیں۔ 2900

موصل کو ایسا کامل موصل تصور کرتے ہوئے جس کی موصلیت لامحدود مگر $\boldsymbol{J}$ محدود ہو سے موصل کے اندر اوہم کے قانون سے

$$\boldsymbol{E} = 0 \tag{9.52}$$

اور یوں فیراڈے کے قانون کی نقطہ شکل سے، وقت کے ساتھ تبدیل ہوتے میدان کی صورت میں

$$\boldsymbol{H} = 0 \tag{9.53}$$

حاصل ہوتے ہیں۔اس طرح ایمپیئر کے دوری قانون کی نقطہ شکل سے محدود $\boldsymbol{J}$ کی قیمت

$$\boldsymbol{J} = 0 \tag{9.54}$$

حاصل ہوتی ہے لہٰذا برقی رو صرف موصل کی سطح پر بطور سطحی کثافت رو $\boldsymbol{K}$ ممکن ہے۔یوں اگر خطہ 2 کامل موصل ہو تب مساوات 9.45، 9.49، 9.50 اور 9.51 کی جگہ

$$E_{m1} = 0 \tag{9.55}$$
$$H_{m1} = K \tag{9.56}$$
$$D_{n1} = \rho_S \tag{9.57}$$
$$B_{n1} = 0 \tag{9.58}$$

لکھا جائے گا۔یاد رہے کہ سطحی کثافت چارج کی موجودگی ذو برق، کامل موصل اور غیر کامل موصل تمام پر ممکن ہے جبکہ سطحی کثافت رو $\boldsymbol{K}$ صرف کامل موصل کی صورت میں ممکن ہے۔

مندرجہ بالا سرحدی شرائط میکس ویل کے مساوات کے حل کے لئے لازم ہیں۔حقیقت میں پیش آنے والے تمام مسائل میں مختلف اشیاء کے سرحدیں پائی جاتی ہیں اور ایسے ہر سرحد کے دونوں اطراف پر مختلف متغیرات کے تعلق سرحدی شرائط سے ہی حاصل کرنا ممکن ہے۔کامل موصل کی صورت میں موصل کے اندر، وقت کے ساتھ بدلتے، تمام متغیرات صفر ہوتے ہیں البتہ ایسی صورت میں مساوات 9.55 تا مساوات 9.58 میں دئے شرائط کا اطلاق نہایت مشکل ہوتا ہے۔

لامحدود خطے کو بے سرحد خطہ تصور کیا جا سکتا ہے۔سرحد کی غیر موجودگی میں متحرک لہروں کے چند بنیادی خاصیت لہر کی حرکت پر غور سے واضح ہوتے ہیں۔اگلا باب انہیں متحرک لہروں پر ہے۔چونکہ لامحدود خطے میں سرحد نہیں پایا جاتا لہٰذا سرحدی شرائط کی ضرورت نہیں پڑتی۔اسی وجہ سے لامحدود خطے میں میکس ویل مساوات کا حل نہایت آسان ہوتا ہے۔

مثال 9.4: موصل سطح پر نقطہ $N(2,3-1)$ پایا جاتا ہے جہاں میدان $\boldsymbol{E} = (15\boldsymbol{a}_{\mathrm{x}} - 20\boldsymbol{a}_{\mathrm{y}} + 6\boldsymbol{a}_{\mathrm{z}})\cos 10^6 t\ \frac{\mathrm{V}}{\mathrm{m}}$ ہے۔موصل سطح کے گرد خطے کے مستقل $\mu_R = 2.2$ ، $\epsilon_R = 1.6$ اور $\sigma = 0$ ہیں۔الف) نقطہ N پر موصل سطح کی عمودی اکائی سمتیہ $\boldsymbol{a}_N$ حاصل کریں۔ب) اس نقطے پر کثافت چارج حاصل کریں۔

حل: الف) چونکہ نقطہ N پر برقی میدان دیا گیا ہے اور موصل سطح پر برقی میدان سطح کے عمودی ہوتا ہے لہٰذا عمودی سمتیہ $\boldsymbol{E}$ کے سمت میں ہی ہو گا۔یوں لمحہ $t = 0$ پر میدان کی قیمت استعمال کرتے ہوئے $\boldsymbol{a}_N$ حاصل کرتے ہیں۔

$$\boldsymbol{a}_N = \frac{\boldsymbol{E}_{t=0}}{|\boldsymbol{E}_{t=0}|} = \frac{15\boldsymbol{a}_{\mathrm{x}} - 20\boldsymbol{a}_{\mathrm{y}} + 6\boldsymbol{a}_{\mathrm{z}}}{\sqrt{15^2 + 20^2 + 6^2}} = 0.58\boldsymbol{a}_{\mathrm{x}} - 0.78\boldsymbol{a}_{\mathrm{y}} + 0.23\boldsymbol{a}_{\mathrm{z}}$$

ب) موصل سطح پر عمودی میدان اور کثافت چارج کے تعلق سے

$$\begin{aligned}\rho_S = \boldsymbol{D}\cdot\boldsymbol{a}_N &= 1.6\epsilon_0(15\boldsymbol{a}_{\mathrm{x}} - 20\boldsymbol{a}_{\mathrm{y}} + 6\boldsymbol{a}_{\mathrm{z}})\cos 10^6 t\cdot(0.58\boldsymbol{a}_{\mathrm{x}} - 0.78\boldsymbol{a}_{\mathrm{y}} + 0.23\boldsymbol{a}_{\mathrm{z}})\\ &= 1.138\cos(10^6 t)\ \frac{\mathrm{nC}}{\mathrm{m}^2}\end{aligned}$$

حاصل ہوتا ہے۔

مثال 9.5: خطہ-1 کے مستقل $\sigma_1 = 0$ ، $\epsilon_{R1} = 5.2$ اور $\mu_{R1} = 6$ ہیں جبکہ خطہ-2 کے مستقل $\sigma_2 = 0$ ، $\epsilon_{R2} = 1.5$ اور $\mu_{R2} = 2.2$ ہیں۔ان کے سرحد پر کوئی کثافت چارج نہیں پایا جاتا۔ سمتیہ $10\boldsymbol{a}_{\mathrm{x}} - 5\boldsymbol{a}_{\mathrm{y}} + 15\boldsymbol{a}_{\mathrm{z}}$ خطہ-2 سے خطہ-1 کی جانب ہے۔خطہ-1 الف میں سرحد کے قریب نقطہ N پر میدان $\boldsymbol{E}_1 = (100\boldsymbol{a}_{\mathrm{x}} - 50\boldsymbol{a}_{\mathrm{y}} + 80\boldsymbol{a}_{\mathrm{z}}) \cos 3600t \, \frac{\mathrm{V}}{\mathrm{m}}$ پایا جاتا ہے۔الف)اسی نقطے کے قریب E_{t1} ، E_{n2} اور E_2 حاصل کریں۔

جوابات: $41.8 \, \frac{\mathrm{V}}{\mathrm{m}}$ ، $454 \, \frac{\mathrm{V}}{\mathrm{m}}$ ، $456 \, \frac{\mathrm{V}}{\mathrm{m}}$

مثال 9.6: $z < 0$ خطہ-1 ہے جہاں $\epsilon_1 = 1.5 \times 10^{-11} \, \frac{\mathrm{F}}{\mathrm{m}}$ ، $\mu_1 = 2.2 \times 10^{-6} \, \frac{\mathrm{H}}{\mathrm{m}}$ اور $\sigma_1 = 6 \times 10^{-3} \, \frac{\mathrm{S}}{\mathrm{m}}$ ہیں۔خطہ-2 جو $z > 0$ پر پایا جاتا ہے میں $\epsilon_2 = 2\epsilon_1$ ، $\mu_2 = \frac{\mu_1}{2}$ اور $\sigma_2 = 4\sigma_1$ ہیں۔نقطہ $N(0,0,0^-)$ سرحد پر خطہ-1 میں پایا جاتا ہے جہاں میدان $\boldsymbol{E}_1 = (30\boldsymbol{a}_{\mathrm{x}} + 20\boldsymbol{a}_{\mathrm{y}} + 10\boldsymbol{a}_{\mathrm{z}}) \cos 10^9 t \, \frac{\mathrm{V}}{\mathrm{m}}$ ہے۔الف)اس نقطے پر $\boldsymbol{E}_{n1}$ ، $\boldsymbol{E}_{m1}$ ، $\boldsymbol{D}_{n1}$ اور $\boldsymbol{D}_{m1}$ حاصل کریں۔ ب)اس نقطے پر $\boldsymbol{J}_{n1}$ اور $\boldsymbol{J}_{m1}$ حاصل کریں۔پ)اسی نقطے پر $\boldsymbol{E}_{m2}$ ، $\boldsymbol{D}_{m2}$ اور $\boldsymbol{J}_{m2}$ حاصل کریں۔ت)استمراری مساوات کی مدد سے $J_{n1} - J_{n2} = -\frac{\partial D_{n1}}{\partial t} + \frac{\partial D_{n2}}{\partial t}$ لکھتے ہوئے D_{n2} ، J_{n2} اور E_{n2} حاصل کریں۔

حل:الف)خطہ-1 سے خطہ-2 جانب اکائی سمتیہ $\boldsymbol{a}_{\mathrm{z}}$ ہے۔یوں

$$E_{n1} = \boldsymbol{a}_N \cdot \boldsymbol{E}_1 = \boldsymbol{a}_{\mathrm{z}} \cdot [30\boldsymbol{a}_{\mathrm{x}} + 20\boldsymbol{a}_{\mathrm{y}} + 10\boldsymbol{a}_{\mathrm{z}}] \cos(10^9 t) = 10 \cos(10^9 t)$$

ہو گا جس سے

$$\begin{aligned}
\boldsymbol{E}_{n1} &= E_{n1}\boldsymbol{a}_N = 10 \cos(10^9 t)\boldsymbol{a}_{\mathrm{z}} \\
\boldsymbol{E}_{m1} &= \boldsymbol{E}_1 - \boldsymbol{E}_{n1} = [30\boldsymbol{a}_{\mathrm{x}} + 20\boldsymbol{a}_{\mathrm{y}}] \cos(10^9 t) \\
\boldsymbol{D}_{n1} &= \epsilon_1 \boldsymbol{E}_{n1} = 1.5 \times 10^{-10} \cos(10^9 t)\boldsymbol{a}_{\mathrm{z}} \\
\boldsymbol{D}_{m1} &= \epsilon_1 \boldsymbol{E}_{m1} = 10^{-10}[4.5\boldsymbol{a}_{\mathrm{x}} + 3\boldsymbol{a}_{\mathrm{y}}] \cos(10^9 t)
\end{aligned}$$

لکھے جا سکتے ہیں۔

ب)

$$\begin{aligned}
\boldsymbol{J}_{n1} &= \sigma_1 \boldsymbol{E}_{n1} = (6 \times 10^{-3}) 10 \cos(10^9 t)\boldsymbol{a}_{\mathrm{z}} = \frac{3}{50} \cos(10^9 t)\boldsymbol{a}_{\mathrm{z}} \\
\boldsymbol{J}_{m1} &= \sigma_1 \boldsymbol{E}_{m1} = (6 \times 10^{-3})[30\boldsymbol{a}_{\mathrm{x}} + 20\boldsymbol{a}_{\mathrm{y}}] \cos(10^9 t) = \left[\frac{9}{50}\boldsymbol{a}_{\mathrm{x}} + \frac{3}{25}\boldsymbol{a}_{\mathrm{y}}\right] \cos(10^9 t)
\end{aligned}$$

پ)سرحد پر متوازی برقی میدان بے جوڑ ہوتا ہے لہٰذا اس سرحدی شرط کی بنا پر

$$\boldsymbol{E}_{m2} = \boldsymbol{E}_{m1} = [30\boldsymbol{a}_{\mathrm{x}} + 20\boldsymbol{a}_{\mathrm{y}}] \cos(10^9 t)$$

ہو گا جس سے

$$\begin{aligned}
\boldsymbol{D}_{m2} &= \epsilon_2 \boldsymbol{E}_{m2} = (3 \times 10^{-11})[30\boldsymbol{a}_{\mathrm{x}} + 20\boldsymbol{a}_{\mathrm{y}}] \cos(10^9 t) = 10^{-10}[9\boldsymbol{a}_{\mathrm{x}} + 6\boldsymbol{a}_{\mathrm{y}}] \cos(10^9 t) \\
\boldsymbol{J}_{m2} &= \sigma_2 \boldsymbol{E}_{m2} = (24 \times 10^{-3})[30\boldsymbol{a}_{\mathrm{x}} + 20\boldsymbol{a}_{\mathrm{y}}] \cos(10^9 t) = \left[\frac{18}{25}\boldsymbol{a}_{\mathrm{x}} + \frac{12}{25}\boldsymbol{a}_{\mathrm{y}}\right] \cos(10^9 t)
\end{aligned}$$

حاصل کئے جا سکتے ہیں۔ 2929

ت) مساوات 9.50 سرحد پر سطحی کثافت چارج ρ_S اور عمودی میدان کا تعلق بیان کرتی ہے۔ شکل 9.5 کی طرح سرحد پر کم سے کم قد ($\Delta h \to 0$) کی چھوٹی ڈبیا میں کل $\rho_S \Delta S$ چارج پایا جائے گا۔ اس ڈبیا سے برقی رو کی اخراج سے ڈبیا میں موجود چارج میں کمی پیدا ہو گی جسے استمراری مساوات پیش کرتی ہے

$$(\boldsymbol{J}_{n1} - \boldsymbol{J}_{n2}) \cdot \Delta \boldsymbol{S} = -\frac{\partial \rho_S}{\partial t} \Delta S$$

جہاں $\rho_S = J_{n1} - J_{n2}$ کے برابر ہے۔ اس مساوات کو

$$J_{n1} - J_{n2} = -\frac{\partial}{\partial t}(D_{n1} - D_{n2})$$

یا

$$\sigma_1 E_{n1} - \sigma_2 E_{n2} = -\frac{\partial}{\partial t}(\epsilon_1 E_{n1} - \epsilon_2 E_{n2})$$

لکھا جا سکتا ہے۔ اس تفرقی مساوات میں $E_{n1} = 10 \cos 10^9 t$ پر کرتے ہوئے E_{n2} کے لئے حل کرتے ہیں۔ ایسا نامعلوم مستقل کے طریقے سے کرتے ہیں۔ یہ طریقہ استعمال کرتے ہوئے ہم تصور کرتے ہیں کہ

$$E_{n2} = A \cos 10^9 t + B \sin 10^9 t$$

کے برابر ہے جہاں A اور B درکار مستقل ہیں۔ ہم E_{n1} اور E_{n2} کو استمراری مساوات میں پر کرتے ہیں۔

$$\begin{aligned}(6 \times 10^{-3}) 10 \cos 10^9 t - 24 \times 10^{-3}[A \cos 10^9 t + B \sin 10^9 t] \\ = 1.5 \times 10^{-11} \times 10 \times 10^9 \sin 10^9 t + 3 \times 10^{-11}[-10^9 A \sin 10^9 t + 10^9 B \cos 10^9 t]\end{aligned}$$

اس مساوات میں دونوں جانب cos اجزاء کے سر برابر ہوں گے۔ یوں

$$(6 \times 10^{-3}) 10 - 24 \times 10^{-3} A = 3 \times 10^{-11}[10^9 B]$$

ہو گا۔ اسی طرح مساوات کے دونوں جانب sin اجزاء کے سر برابر ہوں گے لہٰذا

$$-24 \times 10^{-3}[B] = 1.5 \times 10^{-11} \times 10 \times 10^9 + 3 \times 10^{-11}[-10^9 A]$$

ہو گا۔ مندرجہ بالا دو مساوات کو آپس میں حل کرتے ہوئے

$$\begin{aligned} A &= \frac{165}{41} \\ B &= -\frac{50}{41} \end{aligned}$$

حاصل ہوتا ہے جس سے

$$E_{n2} = \frac{165}{41} \cos 10^9 t - \frac{50}{41} \sin 10^9 t = 4.21 \cos(10^9 t - 16.9^\circ)$$

لکھا جا سکتا ہے۔ یوں

$$\begin{aligned} \boldsymbol{E}_{n2} &= 4.21 \cos(10^9 t - 16.9^\circ) \boldsymbol{a}_z \\ \boldsymbol{D}_{n2} &= \epsilon_2 \boldsymbol{E}_{n2} = (3 \times 10^{-11}) 4.21 \cos(10^9 t - 16.9^\circ) \boldsymbol{a}_z = 1.26 \times 10^{-10} \cos(10^9 t - 16.9^\circ) \boldsymbol{a}_z \\ \boldsymbol{J}_{n2} &= \sigma_2 \boldsymbol{E}_{n2} = (24 \times 10^{-3}) 4.21 \cos(10^9 t - 16.9^\circ) \boldsymbol{a}_z = 0.1 \cos(10^9 t - 16.9^\circ) \boldsymbol{a}_z \end{aligned}$$

ہوں گے۔ 2930

2931

9.5 تاخیری دباو

وقت کے ساتھ بدلتے دباو، جنہیں تاخیری دباو[11] کہا جاتا ہے، اشعاعی اخراج[12] کے مسائل حل کرنے میں نہایت اہم ثابت ہوتے ہیں۔آپ کو یاد ہو گا کہ غیر سمتی مقناطیسی دباو V کو خطے میں تقسیم ساکن چارج کی صورت

$$V = \int_h \frac{\rho_h \, \mathrm{d}h}{4\pi\epsilon R} \qquad \text{(برقی سکون)} \tag{9.59}$$

میں لکھا جا سکتا ہے۔اسی طرح سمتی مقناطیسی دباو $\boldsymbol{A}$ کو وقت کے ساتھ نہ بدلتے یعنی یک سمتی برقی رو کے تقسیم کی صورت

$$\boldsymbol{A} = \int_h \frac{\mu \boldsymbol{J} \, \mathrm{d}h}{4\pi R} \qquad \text{(یک سمتی رو)} \tag{9.60}$$

میں لکھا جا سکتا ہے۔انہیں مساوات کے نقطہ اشکال بالترتیب

$$\nabla^2 V = -\frac{\rho_h}{\epsilon} \qquad \text{(برقی سکون)} \tag{9.61}$$

اور

$$\nabla^2 \boldsymbol{A} = -\mu \boldsymbol{J} \qquad \text{(یک سمتی رو)} \tag{9.62}$$

ہیں۔

غیر سمتی اور سمتی مقناطیسی دباو کے حصول کے بعد میدان کے بنیادی متغیرات ڈھلوان

$$\boldsymbol{E} = -\nabla V \qquad \text{(برقی سکون)} \tag{9.63}$$

اور گردش

$$\boldsymbol{B} = \nabla \times \boldsymbol{A} \qquad \text{(یک سمتی رو)} \tag{9.64}$$

کی مدد سے حاصل ہوتے ہیں۔

آئیں اب ساکن چارج اور یک سمتی رو سے متعلق، وقت کے ساتھ تبدیل ہوتے ایسے دباو حاصل کریں جو مندرجہ بالا مساوات پر پورا اترتے ہوں۔

میکس ویل کے مساوات کے تحت $\nabla \cdot \boldsymbol{B} = 0$ ہو گا۔صفحہ 227 پر مساوات 7.66 کے تحت گردش کی پھیلاو لازماً صفر ہوتی ہے لہٰذا مساوات 9.64 میکس ویل کی مساوات $\nabla \cdot \boldsymbol{B} = 0$ پر پورا اترتی ہے۔یوں ہم مساوات 9.64 کو بدلتے میدان کے لئے بھی درست تصور کرتے ہیں۔

صفحہ 237 پر مشق 7.7 میں آپ نے ثابت کیا کہ ڈھلوان کی گردش لازماً صفر ہوتی ہے یوں مساوات 9.63 کی گردش لینے سے دایاں ہاتھ صفر حاصل ہوتا ہے جبکہ بایاں ہاتھ $\nabla \times \boldsymbol{E}$ حاصل ہوتا ہے جو مساوات 9.28 کے تحت صفر نہیں ہے۔یوں صاف ظاہر ہے کہ مساوات 9.63 وقت کے ساتھ بدلتے میدان کے لئے درست نہیں ہے۔آئیں اس توقع سے مساوات 9.63 کے دائیں جانب متغیرہ $\boldsymbol{N}$ جمع کریں

$$\boldsymbol{E} = -\nabla V + \boldsymbol{N}$$

کہ وقت کے ساتھ بدلتے میدان کے لئے ایسی مساوات درست ثابت ہو گی۔فی الحال $\boldsymbol{N}$ ایک نامعلوم متغیرہ ہے۔گردش لینے سے

$$\begin{aligned}\nabla \times \boldsymbol{E} = -\frac{\partial \boldsymbol{B}}{\partial t} &= -\nabla \times (\nabla V) + \nabla \times \boldsymbol{N} \\ &= 0 + \nabla \times \boldsymbol{N}\end{aligned}$$

---

[11] retarded potentials
[12] radiation

یعنی 2938

$$\nabla \times \boldsymbol{N} = -\frac{\partial \boldsymbol{B}}{\partial t}$$

حاصل ہوتا ہے۔ مساوات 9.64 کے استعمال سے یوں

$$\nabla \times \boldsymbol{N} = -\frac{\partial}{\partial t}\left(\nabla \times \boldsymbol{A}\right)$$

یا

$$\nabla \times \boldsymbol{N} = -\nabla \times \left(\frac{\partial \boldsymbol{A}}{\partial t}\right)$$

حاصل ہوتا ہے جس کا سادہ ترین حل

$$\boldsymbol{N} = -\frac{\partial \boldsymbol{A}}{\partial t}$$

ہے لہٰذا اب ہم

$$\boldsymbol{E} = -\nabla V - \frac{\partial \boldsymbol{A}}{\partial t} \tag{9.65}$$

لکھ سکتے ہیں۔ 2939

ہمیں اب بھی دیکھنا ہو گا کہ آیا مساوات 9.64 اور مساوات 9.65 میکس ویل کے بقایا دو مساوات یعنی مساوات 9.29

$$\nabla \times \boldsymbol{H} = \boldsymbol{J} + \frac{\partial \boldsymbol{D}}{\partial t}$$

اور مساوات 9.30

$$\nabla \cdot \boldsymbol{D} = \rho_h$$

پر پورا اترتے ہیں کہ نہیں۔ یہاں پہلی مساوات میں $\boldsymbol{H} = \frac{1}{\mu}\nabla \times \boldsymbol{A}$ اور $\boldsymbol{D} = \epsilon \boldsymbol{E}$ پر کرتے ہوئے

$$\begin{aligned}\nabla \times \nabla \times \boldsymbol{A} &= \boldsymbol{J} + \epsilon \frac{\partial \boldsymbol{E}}{\partial t} \\ &= \boldsymbol{J} + \epsilon \left(-\nabla \frac{\partial V}{\partial t} - \frac{\partial^2 \boldsymbol{A}}{\partial t^2}\right)\end{aligned}$$

یا

$$\nabla\left(\nabla \cdot \boldsymbol{A}\right) - \nabla^2 \boldsymbol{A} = \mu \boldsymbol{J} - \mu\epsilon \left(\nabla \frac{\partial V}{\partial t} + \frac{\partial^2 \boldsymbol{A}}{\partial t^2}\right) \tag{9.66}$$

لکھا جا سکتا ہے جہاں مساوات 9.65 کا سہارا لیا گیا۔ اسی طرح مساوات 9.30 سے

$$\epsilon \left(-\nabla \cdot \nabla V - \frac{\partial}{\partial t}\nabla \cdot \boldsymbol{A}\right) = \rho_h$$

یا

$$\nabla^2 V + \frac{\partial}{\partial t}\left(\nabla \cdot \boldsymbol{A}\right) = -\frac{\rho_h}{\epsilon} \tag{9.67}$$

حاصل ہوتا ہے۔

مساوات 9.66 اور مساوات 9.67 میں کوئی تضاد نہیں پایا جاتا۔ ساکن یا یک سمتی حالات میں $\nabla \cdot \boldsymbol{A} = 0$ کی وجہ سے مساوات 9.66 اور مساوات 9.67 سے بالترتیب مساوات 9.62 اور مساوات 9.61 حاصل ہوتے ہیں۔ یوں ہم فرض کر سکتے ہیں کہ وقت کے ساتھ بدلتے دباو کی تعریف یوں کی جا سکتی ہے کہ ان سے $\boldsymbol{B}$ اور $\boldsymbol{E}$ بذریعہ مساوات 9.64 اور مساوات 9.65 حاصل کئے جا سکتے ہوں۔ البتہ $\boldsymbol{A}$ اور V کو مساوات 9.64 اور مساوات 9.65 از خود مکمل طور پر بیان نہیں کرتے۔ یہ دو مساوات لازمی لیکن نامکمل شرائط ہیں جن پر $\boldsymbol{A}$ اور V کا پورا اترنا ضروری ہے۔ آئیں ایک مثال سے اس حقیقت کو سمجھیں۔

تصور کریں کہ ہمارے پاس سادہ سمتی مقناطیسی دباو ہے جس کے A_y اور A_z اجزاء صفر کے برابر ہیں۔ یوں مساوات 9.64 کی مدد سے ہم لکھ سکتے ہیں۔

$$B_x \boldsymbol{a}_{\mathrm{x}} + B_y \boldsymbol{a}_{\mathrm{y}} + B_z \boldsymbol{a}_{\mathrm{z}} = 0\boldsymbol{a}_{\mathrm{x}} + \frac{\partial A_x}{\partial z}\boldsymbol{a}_{\mathrm{y}} - \frac{\partial A_x}{\partial y}\boldsymbol{a}_{\mathrm{z}}$$

اس سے ظاہر ہے کہ x محدد کے ساتھ A_x کے تبدیلی کے بارے میں کچھ اخذ کرنا ممکن نہیں ہے۔ یہ مساوات $\frac{\partial A_x}{\partial x}$ کا ذکر تک نہیں کرتا۔ ہاں اگر ہمیں $\boldsymbol{A}$ کے پھیلاو کے بارے میں بھی معلومات فراہم ہوتی تب x محدد کے ساتھ A_x کے تبدیلی کے بارے میں کچھ کہنا ممکن ہوتا چونکہ دئے گئے سمتی دباو سے

$$\nabla \cdot \boldsymbol{A} = \frac{\partial A_x}{\partial x}$$

لکھا جا سکتا ہے۔ آخر میں یہ بھی بتانا ضروری ہے کہ $\boldsymbol{A}$ کے بارے میں ہماری تمام معلومات جزوی تفرقی مساوات کی صورت میں ہیں جن سے $\boldsymbol{A}$ کے حصول کے وقت تکمل کا مستقل شامل کرنا ضروری ہے۔ کسی بھی حقیقی مسئلہ جس میں مکمل خلاء کے لئے حل درکار ہو میں ایسا مستقل صفر کے برابر ہو گا چونکہ کوئی بھی میدان لامحدود فاصلے پر صفر ہی ہو گا۔

اس مثال سے ہم کہہ سکتے ہیں کہ اگر ہمیں لامحدود خلاء میں کسی بھی نقطے پر سمتی میدان کی قیمت معلوم ہو تب اس سمتی میدان کو تمام خلاء میں میدان کے گردش اور پھیلاو سے حاصل کیا جا سکتا ہے۔ ہمیں مکمل آزادی ہے کہ جیسے چاہیں $\boldsymbol{A}$ کی پھیلاو بیان کریں۔ ہم مساوات 9.66 اور مساوات 9.67 کو مد نظر رکھتے ہوئے یوں $\boldsymbol{A}$ کے پھیلاو کے لئے سادہ ترین تفاعل

$$\nabla \cdot \boldsymbol{A} = -\mu\epsilon\frac{\partial V}{\partial t} \tag{9.68}$$

لکھتے ہیں جس سے مساوات 9.66

$$\nabla^2 \boldsymbol{A} = -\mu \boldsymbol{J} + \mu\epsilon\frac{\partial^2 \boldsymbol{A}}{\partial t^2} \tag{9.69}$$

صورت اختیار کر لے گی جبکہ مساوات 9.67

$$\nabla^2 V = -\frac{\rho_h}{\epsilon} + \mu\epsilon\frac{\partial^2 V}{\partial t^2} \tag{9.70}$$

صورت اختیار کر لے گی۔

مندرجہ بالا دو مساوات متحرک امواج سے متعلق ہیں جن پر اگلے باب میں غور کیا جائے گا۔ان مساوات کی مشابہت بھی حیرت انگیز ہے۔باب کے اس حصے میں، وقت کے ساتھ بدلتے میدان کے لئے، حاصل کئے گئے نتائج یہاں دوبارہ پیش کرتے ہیں۔

$$\boldsymbol{B} = \nabla \times \boldsymbol{A} \tag{9.71}$$

$$\nabla \cdot \boldsymbol{A} = -\mu\epsilon \frac{\partial V}{\partial t} \tag{9.72}$$

$$\boldsymbol{E} = -\nabla V - \frac{\partial \boldsymbol{A}}{\partial t} \tag{9.73}$$

اگلے باب میں متحرک امواج پر غور کیا جائے گا۔آپ دیکھیں گے کہ وقت کے ساتھ بدلتے برقی و مقناطیسی میدان متحرک امواج پیدا کرتے ہیں جن کی رفتار v

$$v = \frac{1}{\sqrt{\mu\epsilon}} \tag{9.74}$$

کے برابر ہوتی ہے۔خالی خلاء میں یہ رفتار تقریباً $3 \times 10^8 \, \frac{\mathrm{m}}{\mathrm{s}}$ کے برابر ہوتی ہے جو خالی خلاء میں روشنی کی رفتار ہے۔اس سے اخذ کیا جا سکتا ہے کہ نقطہ N_1 پر کثافت چارج سے دور کسی نقطے N_2 پر دباو کی قیمت اسی لمحے کثافت چارج کے قیمت پر منحصر نہیں ہوتی بلکہ کچھ دیر قبل کے کثافت چارج پر منحصر ہوتی ہے۔کثافت چارج میں تبدیلی کی خبر N_1 سے N_2 تک رفتار v سے پہنچتی ہے لہٰذا ان نقطوں کے درمیان فاصلہ R ہونے کی صورت میں یہ خبر $\frac{R}{v}$ سیکنڈ تاخیر سے پہنچے گی۔اس طرح وقت کے ساتھ بدلتی صورت میں مساوات 9.59 کی نئی شکل

$$V = \int_h \frac{[\rho_h]}{4\pi\epsilon R} \, \mathrm{d}h \tag{9.75}$$

ہو گی جہاں $[\rho_h]$ سے مراد یہ ہے کہ مساوات میں وقت t کی جگہ تاخیری وقت t' استعمال کیا جائے یعنی

$$t' = t - \frac{R}{v}$$

یوں اگر خلاء میں کثافت چارج

$$\rho_h = e^{-r} \cos \omega t$$

ہو تب

$$[\rho_h] = e^{-r} \cos \left[\omega \left(t - \frac{R}{v} \right) \right]$$

ہو گا جہاں R تفرقی چارج سے اس نقطے تک فاصلہ ہے جہاں اس تفرقی چارج سے پیدا دباو کا حصول درکار ہو۔

اسی طرح وقت کے ساتھ بدلتی صورت میں مساوات 9.60 کی نئی شکل یعنی تاخیری سمتی مقناطیسی دباو کی مساوات

$$\boldsymbol{A} = \int_h \frac{\mu[\boldsymbol{J}]}{4\pi R} \, \mathrm{d}h \tag{9.76}$$

ہو گی۔

تاخیری وقت کے استعمال کی بنا پر ایسے دباو کو **تاخیری دباو**[13] کہا جاتا ہے۔

تاخیری برقی اور تاخیری مقناطیسی دباو کے استعمال سے برقی و مقناطیسی مسئلے نسبتاً زیادہ آسانی سے حل ہوتے ہیں۔یوں اگر ہمیں ρ اور $\boldsymbol{J}$ معلوم ہوں تب ہم مساوات 9.75 اور مساوات 9.76 سے V اور $\boldsymbol{A}$ حاصل کر سکتے ہیں جن سے مقناطیسی میدان بذریعہ مساوات 9.71 اور برقی میدان بذریعہ مساوات 9.73 حاصل کئے جا سکتے ہیں۔اگر ہمیں ρ اور $\boldsymbol{J}$ کی قیمتیں معلوم نہ ہوں اور نا ہی ان کے قیمتوں کا اندازہ لگانا ممکن ہو تب تاخیری دباو، میکس ویل مساوات کے حل سے زیادہ، مددگار ثابت نہیں ہوتے۔

[13] retarded potential

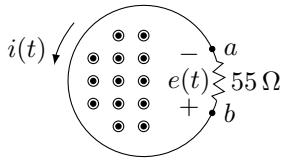

شکل 9.6: دائرے میں یکساں مقناطیسی بہاو، محرک برقی دباو پیدا کرتا ہے۔

سوالات

سوال 9.1: رداس $\rho = 12\,\text{cm}$ کے گول دائرے میں وقت کے ساتھ تبدیل ہوتا، یکساں مقناطیسی میدان $B(t) = 0.15 \sin 1000t\,\text{Wb}$ ہے جو دائرے میں محرک برقی دباو $e(t)$ پیدا کرتا ہے۔ گول دائرے کی مزاحمت $55\,\Omega$ ہے۔ محرک برقی دباو، گول دائرے میں برقی رو $i(t)$ پیدا کرتی ہے۔ برقی رو $i(t)$ سے پیدا مقناطیسی بہاو کو نظر انداز کرتے ہوئے $e(t)$ اور $i(t)$ حاصل کریں۔ صورت حال شکل 9.6 میں دکھائی گئی ہے جہاں صفحہ سے اوپر کی جانب باہر نکلتی مقناطیسی میدان کو چھوٹے دائروں میں بند نقطوں سے ظاہر کیا گیا ہے۔

جوابات: $-6.78 \cos 1000t\,\text{V}$ ، $-123 \cos 1000t\,\text{mA}$

سوال 9.2: سطح $z = 0$ پر موصل تار کے مستطیل کے اطراف $x = \mp 2\,\text{m}$ ، $y = \mp 1.5\,\text{m}$ پر ہیں۔ وقت کے ساتھ تبدیل ہوتا مقناطیسی میدان $\boldsymbol{B} = (0.25\boldsymbol{a}_x - 0.55\boldsymbol{a}_y + 0.1\boldsymbol{a}_z) \sin 1200t\,\text{T}$ ہے۔ مستطیل کی کل مزاحمت $R = 4200\,\Omega$ ہے۔ مثبت z محدد کی جانب سے دیکھتے ہوئے، گھڑی کی سمت میں برقی رو حاصل کریں۔ برقی رو سے پیدا ثانوی مقناطیسی میدان کو نظر انداز کرتے ہوئے حل کریں۔

جواب: $343 \cos 1200t\,\text{mA}$

سوال 9.3: مقناطیسی میدان $\boldsymbol{B} = 5\cos(1.2 \times 10^8 \pi t - \pi y)\boldsymbol{a}_z\,\mu\text{T}$ ہے۔ مندرجہ ذیل فرضی یا غیر موصل دائروں پر $\boldsymbol{a}_\phi$ سمت میں بڑھتا محرک برقی دباو حاصل کریں۔ الف) $(0,0,0)$ تا $(1,0,0)$ تا $(1,1,0)$ تا $(0,1,0)$ تا $(0,0,0)$ ؛ ب) $(0,0,0)$ تا $(2,0,0)$ تا $(2,2,0)$ تا $(0,2,0)$ تا $(0,0,0)$

جوابات: $600[\cos(1.2 \times 10^8 \pi t - \pi) - \cos(1.2 \times 10^8 \pi t)]\,\text{V}$ ، $0\,\text{V}$

سوال 9.4: رداس $\rho = 1\,\text{mm}$ اور $\rho = 3\,\text{mm}$ کے ہم محوری تار میں $\boldsymbol{H} = \frac{0.122}{\rho} \cos 5 \times 10^8 \pi t \cos 0.5\pi z \boldsymbol{a}_\phi\,\frac{\text{A}}{\text{m}}$ پایا جاتا ہے۔ مستطیل $(0.001, 0°, 0)$ تا $(0.003, 0°, 0)$ تا $(0.003, 0°, 1.5)$ تا $(0.001, 0°, 1.5)$ تا $(0.001, 0°, 0)$ میں محرک برقی دباو حاصل کریں۔

جواب: $119 \sin(5 \times 10^8 \pi t)\,\text{V}$

سوال 9.5: لمحہ $t = 0$ پر موصل تار کے مستطیل کے اطراف $x = \mp 0.4\,\text{m}$ اور $y = \mp 0.6\,\text{m}$ پر ہیں۔ یہ مستطیل $6\boldsymbol{a}_y\,\frac{\text{m}}{\text{s}}$ کی سمتی رفتار سے حرکت کر رہی ہے۔ غیر یکساں مقناطیسی میدان $\boldsymbol{B} = 3x^2 y \boldsymbol{a}_z\,\text{T}$ ہے۔ مستطیل کی مزاحمت $R = 100\,\Omega$ ہے۔ مستطیل میں طاقت کی اخراج حاصل کریں۔ ساکن سلاخوں میں کتنی محرک برقی دباو پیدا ہوتی ہے۔

جواب: $P = 2.12\,\text{mW}$ ، $0\,\text{V}$

سوال 9.6: شکل 9.7 میں دو ساکن موصل سلاخ x محدد کے ساتھ $\theta = \mp 10°$ کا زاویہ بناتے ہیں۔ صفحہ کے بالائی سطح سے نکلتی مقناطیسی میدان $B = 0.5\boldsymbol{a}_z\,\text{T}$ ہے۔ محرک سلاخ کی رفتار $v = 8\boldsymbol{a}_x\,\frac{\text{m}}{\text{s}}$ ہے۔ ساکن سلاخوں کے بائیں سروں کے درمیان فاصلہ $2\,\text{cm}$ ہے۔ ان کے مابین آلہ پیما برقی دباو v_{ab} ناپتا ہے۔ الف) محرک سلاخ کے مقام کو $t = 0$ پر $x = 0$ لیتے ہوئے آلہ پیمائش پر حاصل برقی دباو کو مساوات 9.1 سے حاصل

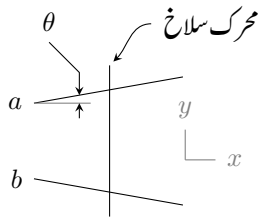

شکل 9.7: محرک سلاخ پر مقناطیسی میدان محرک دباو پیدا کرتا ہے۔

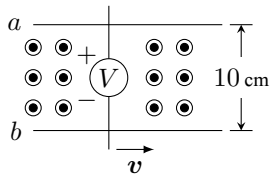

شکل 9.8: کھلے دور اور بند دور میں محرک برقی دباو۔

کریں۔ب) اسی محرک دباو کو مساوات 9.13 کے دائیں ہاتھ کی مدد سے حاصل کریں۔پ) محرک سلاخ کا مقام $x = 50t^2\ \frac{\mathrm{m}}{\mathrm{s}}$ ہونے کی صورت میں جواب حاصل کریں۔

جوابات:الف اور ب: $v_{ab} = -11.285t - 0.08\,\mathrm{V}$ ، پ) $v_{ab} = -881.6t^3 - t\,\mathrm{V}$

سوال 9.7: رداس $\rho = 0.5\,\mathrm{cm}$ اور $\rho = 4\,\mathrm{cm}$ کی ہم محوری تار میں میدان $H_\phi = \frac{5}{\rho}\cos(2\pi \times 10^7 t - 5z)$ اور $E_\rho = \frac{8\pi^2}{\rho}\cos(2\pi \times 10^7 t - 5z)$ پائے جاتے ہیں۔الف) مساوات 9.28 کے دونوں اطراف حل کرتے ہوئے ثابت کریں کہ ہم محوری تار میں موجود میدان اس پر پورا اترتے ہیں۔ب) سمتی سطح $\phi = 0$ ، $0.5\,\mathrm{cm} < \rho < 4\,\mathrm{cm}$ ، $0 < z < 1\,\mathrm{cm}$ اور اس کے محیط پر مساوات 9.4 کے دونوں اطراف حل کرتے ہوئے محرک برقی دباو حاصل کریں۔سمتی سطح کی سمت $\boldsymbol{a}_\phi$ لیں۔یوں محیط پر چلتے ہوئے $z = 1\,\mathrm{cm}$ پر $\boldsymbol{a}_\rho$ سمت میں چلنا ہو گا۔

جوابات: $\nabla \times \boldsymbol{E} = -\frac{\partial \boldsymbol{B}}{\partial t} = \frac{40\pi^2}{\rho}\sin(2\pi \times 10^7 t - 5z)\boldsymbol{a}_\phi$ ،
$\oint \boldsymbol{E}\cdot \mathrm{d}\boldsymbol{L} = -\frac{\mathrm{d}}{\mathrm{d}t}\int \boldsymbol{B}\cdot \mathrm{d}\boldsymbol{S} = 52.26[\cos(2\pi \times 10^7 t - 0.05) - \cos(2\pi \times 10^7 t)]\,\mathrm{V}$

سوال 9.8: شکل 9.8 میں $\boldsymbol{B} = 0.55\boldsymbol{a}_\mathrm{Z}\,\mathrm{T}$ اور $\boldsymbol{v} = 6\boldsymbol{a}_\mathrm{X}\ \frac{\mathrm{m}}{\mathrm{s}}$ ہیں۔محرک سلاخ میں انتہائی زیادہ مزاحمت رکھتا پیما برقی دباو V نسب ہے۔ الف) ساکن سلاخوں کے بائیں اور دائیں سرے آزاد رکھتے ہوئے پیما پر کیا برقی دباو حاصل ہو گی۔ب) ساکن سلاخوں کے بائیں سرے a اور b آپس میں موصل تار سے جوڑنے کے بعد پیما پر کیا حاصل ہو گا۔پ) ساکن سلاخوں کے دائیں سرے آپس میں موصل تار سے جوڑنے کے بعد پیما پر کیا حاصل ہو گا۔ت) ساکن سلاخ کے بائیں سرے آپس میں اور ان کے دائیں سرے آپس میں جوڑ کر پیما کیا پڑھے گا۔

جوابات: $0\,\mathrm{V}$ ، $3.3\,\mathrm{V}$ ، $3.3\,\mathrm{V}$ ، $3.3\,\mathrm{V}$

سوال 9.9: برقی میدان $E = E_0 \cos 1500t\ \frac{\mathrm{V}}{\mathrm{m}}$ کی صورت میں مندرجہ ذیل اشیاء میں ایصالی برقی رو اور انتقالی برقی رو کی شرح حاصل کریں۔ الف)تانبا جس کے مستقل $\epsilon_R = 1$ اور $\sigma = 5.8 \times 10^7\ \frac{\mathrm{S}}{\mathrm{m}}$ ہیں۔ب) مقطر پانی جس کے مستقل $\epsilon_R = 80$ اور $\sigma = 10^{-4}\ \frac{\mathrm{S}}{\mathrm{m}}$ ہیں۔ پ) کوارٹس جس کے مستقل $\epsilon_R = 3.8$ اور $\sigma = 10^{-17}\ \frac{\mathrm{S}}{\mathrm{m}}$ ہیں۔

جوابات: $\frac{\sigma}{\omega\epsilon}$ ، 4.4×10^{15} ، 94 ، 2×10^{-10}

سوال 9.10: برقی میدان $E = E_0 e^{\frac{t}{\tau}}\ \frac{\mathrm{V}}{\mathrm{m}}$ کی صورت میں مندرجہ ذیل اشیاء میں ایصالی برقی رو اور انتقالی برقی رو کی شرح حاصل کریں جہاں $\tau = 10^{-7}$ کے برابر ہے۔ الف) تانبا جس کے مستقل $\epsilon_R = 1$ اور $\sigma = 5.8 \times 10^7\ \frac{\mathrm{S}}{\mathrm{m}}$ ہیں۔ ب) مقطر پانی جس کے مستقل $\epsilon_R = 80$ اور $\sigma = 10^{-4}\ \frac{\mathrm{S}}{\mathrm{m}}$ ہیں۔ پ) کوارٹس جس کے مستقل $\epsilon_R = 3.8$ اور $\sigma = 10^{-17}\ \frac{\mathrm{S}}{\mathrm{m}}$ ہیں۔

جوابات: $\frac{\sigma\tau}{\epsilon}$ ، 6.5×10^{11} ، 0.014 ، 2.97×10^{-11}

سوال 9.11: محدد z پر موجود ہم محوری تار کی لمبائی $12\,\mathrm{cm}$ جبکہ اس کے رداس $2\,\mathrm{mm}$ اور $6\,\mathrm{mm}$ ہیں۔ دونوں تاروں کے درمیان مادے کے مستقل $\mu = 5 \times 10^{-6}\ \frac{\mathrm{H}}{\mathrm{m}}$ ، $\epsilon = 2 \times 10^{-11}\ \frac{\mathrm{F}}{\mathrm{m}}$ اور $\sigma = 4 \times 10^{-5}\ \frac{\mathrm{S}}{\mathrm{m}}$ ہیں۔ تار میں $\boldsymbol{E} = \frac{10^4}{\rho}\cos(10^6 t)\boldsymbol{a}_\rho\ \frac{\mathrm{V}}{\mathrm{m}}$ کی صورت میں $\boldsymbol{J}$ ، I_c ، $\boldsymbol{J}_d$ ، I_d اور $\frac{|I_d|}{|I_c|}$ حاصل کریں۔

جوابات: $\frac{0.5}{\rho}\cos(10^6 t)\boldsymbol{a}_\rho\ \frac{\mathrm{A}}{\mathrm{m}^2}$ ، $0.12\pi\cos 10^6 t\ \mathrm{A}$ ، $-\frac{0.1}{\rho}\sin 10^6 t\ \frac{\mathrm{A}}{\mathrm{m}^2}$ ، $-0.024\pi\sin 10^6 t\ \mathrm{A}$ ، 0.2

سوال 9.12: رداس ρ_1 اور ρ_2 کے ہم محوری تار کی لمبائی l ہے۔ تار کو بیرونی دور $V_0\cos\omega t$ برقی دباو فراہم کرتی ہے۔ تار میں برقی میدان $\boldsymbol{E}$ کی مساوات لکھتے ہوئے $\boldsymbol{J}_d$ اور I_d حاصل کریں۔ ثابت کریں کہ انتقالی برقی رو بیرونی دور میں پائی جانے والی ایصالی برقی رو کے برابر ہے۔

جوابات: $\boldsymbol{E} = \frac{V_0\cos\omega t}{\rho\ln\frac{b}{a}}\boldsymbol{a}_\rho\ \frac{\mathrm{V}}{\mathrm{m}}$ ، $\boldsymbol{J}_d = \frac{-\omega\epsilon V_0\sin\omega t}{\rho\ln\frac{b}{a}}\boldsymbol{a}_\rho$ ، $I_d = -\frac{2\pi l\omega\epsilon V_0\sin\omega t}{\ln\frac{b}{a}}$ ، $I_c = C\frac{\mathrm{d}V}{\mathrm{d}t} = -\frac{2\pi l\omega\epsilon V_0\sin\omega t}{\ln\frac{b}{a}}$

سوال 9.13: مساوات 9.22 کی پہلی مساوات کے دونوں اطراف پھیلاو کا عمل استعمال کرتے ہوئے استمراری مساوات حاصل کریں۔

جواب: $\nabla\cdot\nabla\times\boldsymbol{H} = 0 = \nabla\cdot\boldsymbol{J} + \frac{\partial\rho_h}{\partial t}$

سوال 9.14: ایک خطہ جہاں $\boldsymbol{E} = 32\sin ax\cos 5y\cos(2\times 10^{10}t)\boldsymbol{a}_\mathrm{z}$ ہے کے مستقل $\mu_R = 2.5$ ، $\epsilon_R = 1.2$ اور $\sigma = 0$ ہیں۔ میکس ویل کے مساوات استعمال کرتے ہوئے a کی مثبت قیمت دریافت کریں۔ تمام تکمل کے مستقل کو صفر لیں۔

جواب: $a = 115.44\,\mathrm{m}^{-1}$

سوال 9.15: ایک ترسیلی تار میں مقناطیسی میدان $\boldsymbol{H} = 15\cos(4\times 10^9 t - \beta z)\boldsymbol{a}_\mathrm{x}\ \frac{\mathrm{A}}{\mathrm{m}}$ پایا جاتا ہے۔ ترسیلی تار کے درکار مستقل $\mu_R = 1$ ، $\epsilon_R = 5$ اور $\sigma = 0$ ہیں۔ میکس ویل کے مساوات استعمال کرتے ہوئے β کی مثبت قیمت دریافت کریں۔

جواب: $\beta = 29.83\,\mathrm{m}^{-1}$

سوال 9.16: موصل سطح محدد کے مرکز سے گزرتی ہے جہاں میدان $\boldsymbol{E} = (33\boldsymbol{a}_\mathrm{x} + 12\boldsymbol{a}_\mathrm{y} + 25\boldsymbol{a}_\mathrm{z})\cos(10^7 t)\ \frac{\mathrm{V}}{\mathrm{m}}$ پایا جاتا ہے۔ سطح کے قریب خطے کے مستقل $\sigma = 0$ ، $\epsilon_R = 12$ اور $\mu_R = 1.6$ ہیں۔ نقطہ $(0,0,0)$ پر موصل سطح پہ کثافت چارج حاصل کریں۔ اس نقطے پر سطح کے متوازی میدان حاصل کریں۔

جوابات: $4.58\cos(10^7 t)\ \frac{\mathrm{nC}}{\mathrm{m}^2}$ ، 0

سوال 9.17: خطہ $z < 0$ میں $\epsilon_{R1} = 1$ ، $\mu_{R1} = 1$ اور $\sigma_1 = 0$ ہیں جبکہ خطہ $z > 0$ میں $\epsilon_{R2} = 9$ ، $\mu_{R2} = 4$ اور $\sigma_2 = 0$ ہیں۔ پہلے خطے میں میدان $\boldsymbol{E}_1 = [10\cos(10^9 t - 3.336z) - 2\cos(10^9 t + 3.336z)]\boldsymbol{a}_\mathrm{y}$ اور دوسرے خطے میں $\boldsymbol{E}_2 = (A\cos(10^9 t - 20.014z))\boldsymbol{a}_\mathrm{y}$ ہیں۔ الف) مستقل A کی قیمت دریافت کریں۔ ب) مقناطیسی میدان $\boldsymbol{H}_1$ اور $\boldsymbol{H}_2$ حاصل کریں۔ پ) ثابت کریں کہ مقناطیسی میدان سرحدی شرائط پر پورا اترتے ہیں۔

جوابات: $A = 8$ ، $\boldsymbol{H}_1 = [-0.0265\cos(10^9 t - 3.336z) - 0.0053\cos(10^9 t + 3.336z)]\boldsymbol{a}_{\mathrm{x}}$ ،
$\boldsymbol{H}_2 = -0.0318\cos(10^9 t - 20.014z)\boldsymbol{a}_{\mathrm{x}}$ ، $H_{m1} = H_{m2}$

سوال 9.18: خالی خلاء میں مساوات 9.9 نلکی محدد میں میدان دیتی ہے۔خالی خلاء میں $\boldsymbol{J} = 0$ لیتے ہوئے میکس ویل کی مساوات $\nabla \times \boldsymbol{H} = \boldsymbol{J} + \frac{\partial \boldsymbol{D}}{\partial t}$ استعمال کرتے ہوئے $\boldsymbol{E}$ حاصل کریں۔حاصل $\boldsymbol{E}$ سے میکس ویل کی مساوات $\nabla \times \boldsymbol{E} = -\frac{\partial \boldsymbol{B}}{\partial t}$ کی مدد سے واپس $\boldsymbol{B}$ حاصل کریں۔یوں ثابت کریں کہ دی گئی میدان میکس ویل کی مساوات پر پورا نہیں اترتا۔

جواب: چونکہ ہمیں واپس ابتدائی میدان حاصل نہیں ہوتا لہٰذا یہ میدان میکس ویل کی مساوات پر پورا نہیں اترتا۔

سوال 9.19: دو عدد ہم محوری موصل نلکی $\rho = 1\,\mathrm{cm}$ اور $\rho = 10\,\mathrm{cm}$ کے ساتھ سطح $z = 0$ اور $z = 50\,\mathrm{cm}$ مل کر ڈبیا بناتے ہیں۔اس ڈبیا میں موجود ذو برق کے مستقل $\sigma = 0$ ، $\epsilon_R = 1.5$ اور $\mu_R = 2.5$ ہیں جبکہ اس میں میدان $\boldsymbol{H} = \frac{10}{\rho}\cos 2\pi z \sin(6\pi 10^7 t)\boldsymbol{a}_\phi\,\frac{\mathrm{A}}{\mathrm{m}}$ پایا جاتا ہے۔الف) نقطہ $N(0.01, 30^\circ, 0.02)$ پر سطحی کثافت برقی رو حاصل کریں۔ب) برقی میدان $\boldsymbol{E}$ حاصل کریں۔پ) نقطہ $N(0.015, 0^\circ, 0.2)$ پر سطحی کثافت چارج حاصل کریں۔ت) نقطہ $N(0.015, 0^\circ, 0.2)$ پر انتقالی برقی رو حاصل کریں۔

جوابات: $\boldsymbol{K} = 992\sin(6\pi 10^7 t)\,\frac{\mathrm{A}}{\mathrm{m}}$ ، $\boldsymbol{E} = -\frac{25098}{\rho}\sin 2\pi z\cos(6\pi 10^7 t)\boldsymbol{a}_\rho\,\frac{\mathrm{V}}{\mathrm{m}}$ ،
$\boldsymbol{J} = 3984\sin(6\pi 10^7 t)\boldsymbol{a}_\rho\,\frac{\mathrm{A}}{\mathrm{m}^2}$ ، $\rho_S = -21.1\cos(6\pi 10^7 t)\boldsymbol{a}_\rho\,\frac{\mu\mathrm{C}}{\mathrm{m}^2}$

سوال 9.20: خالی خلاء میں $V = x(z - ct)\,\mathrm{V}$ اور $\boldsymbol{A} = x(\frac{z}{c} - t)\boldsymbol{a}_{\mathrm{z}}\,\frac{\mathrm{Wb}}{\mathrm{m}}$ پائے جاتے ہیں جہاں $c = \frac{1}{\sqrt{\mu_0\epsilon_0}}$ کے برابر ہے۔الف) ثابت کریں کہ $\nabla \cdot \boldsymbol{A} = -\mu_0\epsilon_0\frac{\partial V}{\partial t}$ کے برابر ہے۔ب) میدان $\boldsymbol{B}$ ، $\boldsymbol{H}$ ، $\boldsymbol{E}$ اور $\boldsymbol{D}$ حاصل کریں۔پ) ثابت کریں کہ $\boldsymbol{J} = 0$ اور $\rho_h = 0$ کی صورت میں حاصل میدان میکس ویل کے چار مساواتوں پر پورا اترتے ہیں۔

جوابات: الف) چونکہ $\nabla \cdot \boldsymbol{A} = x\sqrt{\mu_0\epsilon_0}$ اور $\frac{\partial V}{\partial t} = -\frac{x}{\sqrt{\mu_0\epsilon_0}}$ ہیں لہٰذا $\nabla \cdot \boldsymbol{A} = -\mu_0\epsilon_0\frac{\partial V}{\partial t}$ ہو گا۔ب) $\boldsymbol{B} = (t - \frac{z}{c})\boldsymbol{a}_{\mathrm{y}}\,\mathrm{T}$ ، $\boldsymbol{H} = \frac{1}{\mu_0}(t - \frac{z}{c})\boldsymbol{a}_{\mathrm{y}}\,\frac{\mathrm{A}}{\mathrm{m}}$ ، $\boldsymbol{E} = (ct - z)\boldsymbol{a}_{\mathrm{x}}\,\frac{\mathrm{V}}{\mathrm{m}}$ ، $\boldsymbol{D} = \epsilon_0(ct - z)\boldsymbol{a}_{\mathrm{x}}\,\frac{\mathrm{V}}{\mathrm{m}}$ پ) حاصل میدان مساوات 9.28 تا مساوات 9.31 پر پورا اترتے ہیں۔

سوال 9.21: خالی خلاء میں دو عدد موصل چادر $y = 0$ اور $y = y_0$ پر پائے جاتے ہیں۔ان کے درمیان میدان $\boldsymbol{E} = 10^4\cos(10^7 t - 6z)\boldsymbol{a}_{\mathrm{y}}\,\frac{\mathrm{V}}{\mathrm{m}}$ پایا جاتا ہے۔الف) $\boldsymbol{B}$ حاصل کریں۔ب) $\boldsymbol{A}(x, 0, z, t) = 0$ کی صورت میں $\boldsymbol{A}(x, y, z, t)$ حاصل کریں۔پ) $V(x, 0, z, t) = 0$ کی صورت میں $V(x, y, z, t)$ حاصل کریں۔

جواب: $\boldsymbol{B} = -\frac{3}{500}\cos(10^7 t - 6z)\boldsymbol{a}_{\mathrm{x}}\,\frac{\mathrm{Wb}}{\mathrm{m}}$ ، $\boldsymbol{A}(x, y, z, t) = -\frac{3y}{500}\cos(10^7 t - 6z)\boldsymbol{a}_{\mathrm{z}}\,\frac{\mathrm{Wb}}{\mathrm{m}}$ ،
$V(x, y, z, t) = -3.21 \times 10^8 y\cos(10^7 t - 6z)\,\mathrm{V}$

باب 10

مستوی امواج

لامحدود خطہ جس کا کوئی سرحد نہ ہو میں میکس ویل مساوات کا حل سادہ ترین مسئلہ ہے البتہ اس سے حاصل نتائج انتہائی دلچسپ اور معلوماتی ثابت ہوتے ہیں۔آپ دیکھیں گے کہ وقت کے ساتھ بدلتا برقی میدان، وقت کے ساتھ بدلتے مقناطیسی میدان کو جنم دیتا ہے جبکہ وقت کے ساتھ بدلتا مقناطیسی میدان، وقت کے ساتھ بدلتے برقی میدان کو جنم دیتا ہے۔چونکہ برقی میدان چارج کی بدولت جبکہ مقناطیسی میدان برقی رو کی بدولت ہے لہٰذا چارج یا رو میں کسی بھی تبدیل سے باہمی تعاون سے بدلتا برقی اور بدلتا مقناطیسی میدان یعنی برقی و مقناطیسی[1] موج پیدا ہوتی ہے۔ایسے امواج کی تعدد[2] کا دارومدار چارج یا رو (یا دونوں) میں تبدیلی کی شرح پر منحصر ہے۔یوں ω زاویائی تعدد[3] پر سائن نما شکل میں ارتعاش کرتا چارج ω زاویائی تعدد کی سائن نما موج ہی پیدا کرتی ہے۔برقی و مقناطیسی امواج روشنی کی رفتار سے حرکت کرتی ہیں۔انسانی آنکھ مخصوص تعدد کی برقی و مقناطیسی امواج دیکھنے کی صلاحیت رکھتی ہے۔برقی و مقناطیسی امواج کے تعدد کی وہ پٹی جو ہمیں نظر آتی ہیں روشنی[4] کہلاتی ہے۔سائن نما موج کو اس کی تعدد f یا دوری عرصے[5] λ سے بیان کیا جا سکتا ہے۔ہم 380 nm تا 750 nm کے دوری عرصے کے برقی و مقناطیسی امواج دیکھ سکتے ہیں۔

دو اشیاء کے سرحد پر برقی و مقناطیسی موج پر غور کرنے سے شعاعی انعکاس[6]، شعاعی انحراف[7] اور انکسار امواج[8] کے حقائق دریافت ہوتے ہیں۔مختصراً شعاع کے تمام خصوصیات میکس ویل کے مساوات سے حاصل کرنا ممکن ہے۔

10.1 خالی خلاء میں برقی و مقناطیسی مستوی امواج

جیسا کہ آپ جانتے ہیں کہ کسی بھی جسم کے اندر کسی بھی طرح پہنچایا گیا اضافی چارج باہمی قوت دفع سے آخر کار حجم کے سطح پر پہنچ جاتا ہے۔اگر ان لمحات کو نظر انداز کیا جائے جتنی دیر آزاد چارج سطح تک پہنچتا ہے تو جسم کے حجم میں $\rho_h = 0$ تصور کیا جا سکتا ہے۔اس کتاب میں $\rho_h = 0$ ہی تصور کرتے

[1] electromagnetic
[2] frequency
[3] angular frequency
[4] light
[5] time period
[6] reflection
[7] refraction
[8] diffraction

ہوئے برقی و مقناطیسی امواج پر غور کیا جائے گا لہٰذا ایسا ہی تصور کرتے ہوئے صفحہ 296 پر دئے گئے میکس ویل مساوات یہاں دوبارہ پیش کرتے ہیں

$$\nabla \times \boldsymbol{E} = -\mu \frac{\partial \boldsymbol{H}}{\partial t} \tag{10.1}$$

$$\nabla \times \boldsymbol{H} = \sigma \boldsymbol{E} + \epsilon \frac{\partial \boldsymbol{E}}{\partial t} \tag{10.2}$$

$$\nabla \cdot \boldsymbol{E} = 0 \tag{10.3}$$

$$\nabla \cdot \boldsymbol{H} = 0 \tag{10.4}$$

جہاں $\boldsymbol{D} = \epsilon \boldsymbol{E}$ اور $\boldsymbol{B} = \mu \boldsymbol{H}$ کے علاوہ قانون اوہم کی نقطہ شکل $\boldsymbol{J} = \sigma \boldsymbol{E}$ کے استعمال سے تمام مساوات صرف دو متغیرات $\boldsymbol{E}$ اور $\boldsymbol{H}$ کی صورت میں لکھے گئے ہیں۔

اس سے پہلے کہ ہم ان مساوات کو حل کریں، آئیں انہیں صرف دیکھ کر فیصلہ کریں کہ خالی خلاء میں ان سے کیا نتائج اخذ کئے جا سکتے ہیں۔ خالی خلاء میں کثافت برقی رو $\boldsymbol{J}$ صفر کے برابر ہوتی ہے۔ اس حقیقت کو مد نظر رکھتے ہوئے آگے بڑھتے ہیں۔ مساوات 10.1 کہتی ہے کہ کسی بھی نقطے پر مقناطیسی میدان میں وقت کے ساتھ تبدیلی سے اس نقطے کے گرد برقی میدان کی گردش پیدا ہوتی ہے۔ گردش سے مراد ایسا میدان ہے جو بند دائرے پر اس نقطے کے گرد گھومتی ہو۔ اگر مقناطیسی میدان کی قیمت زیادہ ہو تب برقی گردش کی قیمت بھی زیادہ ہو گی اور اگر مقناطیسی میدان کی قیمت کم ہو تب گردش بھی کم ہو گی۔ یوں دو حقائق سامنے آتے ہیں۔ پہلی حقیقت یہ ہے کہ کسی بھی نقطے پر بدلتا مقناطیسی میدان اس نقطے کے گرد، یعنی نقطے سے ذرہ دور، برقی میدان پیدا کرتی ہے اور دوسری حقیقت یہ کہ پہلی میدان کی قیمت کم یا زیادہ کرنے سے پیدا میدان کی قیمت بھی تبدیل ہوتی ہے یعنی بدلتا مقناطیسی میدان، بدلتے برقی میدان کو جنم دیتا ہے۔ اسی طرح مساوات 10.2 کہتی ہے کہ کسی بھی نقطے پر برقی میدان میں وقت کے ساتھ تبدیلی سے اس نقطے کے گرد مقناطیسی گردش پیدا ہوتی ہے۔ یہاں بھی صاف واضح ہے کہ کسی بھی نقطے پر برقی میدان میں وقت کے ساتھ تبدیل، اس نقطے سے ذرہ دور، بدلتی مقناطیسی میدان پیدا کرتی ہے۔ ایسا معلوم ہوتا ہے کہ بدلتا مقناطیسی میدان کچھ فاصلے پر آگے کر کے بدلتا برقی میدان پیدا کرتا ہے جو مزید آگے مقناطیسی میدان پیدا کرتا ہے اور یہ سلسلہ چلے جاتا ہے۔ جیسا کہ ہم جلد دیکھیں گے، ایسے جڑواں، ہاتھ میں ہاتھ ڈالے، حرکت کرتے بدلتے برقی اور بدلتے مقناطیسی میدان کی رفتار $\frac{1}{\sqrt{\epsilon_0 \mu_0}}$ یعنی تقریباً $3 \times 10^8 \, \frac{\mathrm{m}}{\mathrm{s}}$ ہے جو خالی خلاء میں روشنی کی رفتار ہے۔

10.2 برقی و مقناطیسی مستوی امواج

میکس ویل مساوات کے حل دوری سمتیات[9] کی مدد سے نہایت آسان ہو جاتے ہیں لہٰذا پہلے دوری سمتیہ پر غور کرتے ہیں جو آپ نے برقی ادوار حل کرتے وقت ضرور استعمال کئے ہوں گے۔

سائن نما لہر کی عمومی شکل

$$E_y = E_{xyz} \cos(\omega t + \psi) \tag{10.5}$$

ہے جہاں

$$\omega = 2\pi f \tag{10.6}$$

زاویائی تعدد[10] اور ϕ زاویائی فاصلہ[11] ہیں جبکہ E_{xyz} از خود x، y، z اور ω کا تابع تفاعل[12] ہو سکتا ہے۔ تعدد f کی اکائی ہرٹز[13] ہے۔ یہاں دھیان رہے کہ E_{xyz} وقت t کا تابع نہیں ہے۔

---

[9] phasor
[10] angular frequency
[11] phase angle
[12] dependent function
[13] Hertz

کسی بھی متغیرہ x کے لئے یولر مماثل[14] کو $e^{jx} = \cos x + j \sin x$ لکھا جاتا ہے جہاں $j = \sqrt{-1}$ خیالی عدد[15] ہے۔آزاد متغیرہ $\omega t + \psi$ کے لئے یولر مماثل

$$e^{j(\omega t+\psi)} = \cos(\omega t + \psi) + j \sin(\omega t + \psi)$$

لکھا جا سکتا ہے جو حقیقی[16] اور خیالی[17] اجزاء پر مشتمل مخلوط تفاعل[18] ہے۔یوں $\cos(\omega t + \psi)$ کو $e^{j(\omega t+\psi)}$ کا حقیقی جزو تصور کیا جا سکتا ہے۔اس طرح

$$E_y = E_{xyz} \cos(\omega t + \psi) = \left[E_{xyz} e^{j(\omega t+\psi)}\right]_{\text{حقیقی}} = \left[E_{xyz} e^{j\omega t} e^{j\psi}\right]_{\text{حقیقی}}$$

لکھا جا سکتا ہے جہاں زیر نوشت میں حقیقی لکھنے سے مراد یہ ہے کہ پورے تفاعل کا حقیقی جزو لیا جائے۔مندرجہ بالا مساوات کو بطور دوری سمتیہ یوں

$$E_{ys} = E_{xyz} e^{j\psi}$$

لکھا جاتا ہے جہاں $e^{j\omega t}$ اور زیر نوشت میں حقیقی کو پوشیدہ رکھا جاتا ہے۔اس مساوات کے بائیں ہاتھ E_{ys} لکھتے ہوئے زیر نوشت میں s یاد دلاتی ہے کہ یہ مساوات دوری سمتیہ کی شکل میں لکھی گئی ہے لہٰذا یاد رہے کہ اصل تفاعل میں $e^{j\omega t}$ پایا جاتا ہے اور پورے تفاعل کا صرف حقیقی جزو ہی لیا جائے۔تفاعل E_{ys} کے زیر نوشت میں s دراصل اس حقیقت کو ظاہر کرتی ہے کہ اس تفاعل کا آزاد متغیرہ، مخلوط تعدد[19] ہے۔ہمارے استعمال میں s خیالی عدد یعنی $s = j\omega$ ہو گا۔

اب $E_y = 10.5 \cos(10^6 t - 0.35z)$ کو دوری سمتیہ کی شکل میں لکھنے کی خاطر اسے یولر مماثل کے حقیقی جزو

$$E_y = \left[10.5 e^{j(10^6 t - 0.35z)}\right]_{\text{حقیقی}} = \left[10.5 e^{j10^6 t} e^{-j0.35z}\right]_{\text{حقیقی}}$$

لکھنے کے بعد $e^{j10^6 t}$ اور زیر نوشت میں حقیقی کو پوشیدہ رکھتے ہوئے یوں

$$E_{ys} = 10.5 e^{-j0.35z}$$

لکھا جائے گا جہاں بائیں ہاتھ E_{ys} میں زیر نوشت میں s کا اضافہ کیا گیا۔یاد رہے کہ E_y حقیقی تفاعل ہے جبکہ E_{ys} عموماً مخلوط تفاعل ہوتا ہے۔

دوری سمتیہ سے اصل تفاعل حاصل کرنے کی خاطر اسے $e^{j\omega t}$ سے ضرب دیتے ہوئے حاصل جواب کا حقیقی جزو لیا جاتا ہے۔

مساوات 10.5 کا وقت کے ساتھ جزوی تفرق

$$\begin{aligned}\frac{\partial E_y}{\partial t} &= \frac{\partial}{\partial t}[E_{xyz} \cos(\omega t + \psi)] = -\omega E_{xyz} \sin(\omega t + \psi)\\ &= \left[j\omega E_{xyz} e^{j(\omega t+\psi)}\right]_{\text{حقیقی}}\end{aligned}$$

کے برابر ہے۔یہ عمومی نتیجہ ہے جس کے تحت وقت کے ساتھ تفاعل کا تفرق، دوری سمتیہ کو $j\omega$ سے ضرب دینے کے مترادف ہے۔یوں مثال کے طور پر اگر

$$\frac{\partial E_x}{\partial t} = -\frac{1}{\epsilon_0} \frac{\partial H_y}{\partial z}$$

---

[14] Euler's identity
[15] imaginary number
[16] real
[17] imaginary
[18] complex function
[19] complex frequency

ہو تب اسی کی دوری سمتیہ شکل

$$j\omega E_{xs} = -\frac{1}{\epsilon_0}\frac{\partial H_y}{\partial z}$$

ہو گی۔اسی طرح سائن نما میدان کے لئے میکس ویل کے مساوات بھی با آسانی دوری سمتیہ کی شکل میں لکھے جا سکتے ہیں لہٰذا

$$\nabla \times \boldsymbol{E} = -\mu \frac{\partial \boldsymbol{H}}{\partial t}$$

کو دوری سمتیہ کی صورت میں

$$\nabla \times \boldsymbol{E}_s = -j\omega\mu \boldsymbol{H}_s \tag{10.7}$$

لکھا جائے گا۔میکس ویل کے بقایا مساوات کو بھی دوری سمتیہ کی صورت میں لکھتے ہیں۔

$$\nabla \times \boldsymbol{H}_s = (\sigma + j\omega\epsilon)\, \boldsymbol{E}_s \tag{10.8}$$

$$\nabla \cdot \boldsymbol{E}_s = 0 \tag{10.9}$$

$$\nabla \cdot \boldsymbol{H}_s = 0 \tag{10.10}$$

آئیں ان مساوات سے امواج کی مساوات حاصل کریں۔ایسا کرنے کی خاطر مساوات 10.7 کی گردش

$$\nabla \times \nabla \times \boldsymbol{E}_s = \nabla (\nabla \cdot \boldsymbol{E}_s) - \nabla^2 \boldsymbol{E}_s = -j\omega\mu \nabla \times \boldsymbol{H}_s$$

میں مساوات 10.8 اور مساوات 10.9 پر کرنے سے

$$\nabla^2 \boldsymbol{E}_s = j\omega\mu\, (\sigma + j\omega\epsilon)\, \boldsymbol{E}_s = \gamma^2 \boldsymbol{E}_s \tag{10.11}$$

حاصل ہوتا ہے جہاں

$$\gamma = \mp\sqrt{j\omega\mu\, (\sigma + j\omega\epsilon)} \tag{10.12}$$

حرکی مستقل[20] کہلاتا ہے۔چونکہ $j\omega\mu(\sigma + j\omega\epsilon)$ مخلوط عدد ہے لہٰذا اس کا جزر γ بھی مخلوط عدد ہو گا جسے

$$\gamma = \alpha + j\beta \tag{10.13}$$

لکھا جا سکتا ہے جہاں α اور β مثبت اور حقیقی اعداد ہیں۔مساوات 10.12 کو یوں بھی لکھا جا سکتا ہے

$$\gamma = j\omega\sqrt{\mu\epsilon}\sqrt{1 - j\frac{\sigma}{\omega\epsilon}} \tag{10.14}$$

جہاں کسی وجہ سے صرف مثبت قیمت لی گئی ہے۔یہ وجہ آپ کو جلد بتلا دی جائے گی۔ 3089

مساوات 10.11 سمتی ہلم ہولٹز مساوات[21] [22] کہلاتی ہے۔کارتیسی محدد میں بھی سمتی ہلم ہولٹز مساوات کی بڑی شکل کافی خوفناک نظر آتی ہے چونکہ اس سے چار چار اجزاء پر مشتمل تین عدد مساوات نکلتے ہیں۔کارتیسی محدد میں اس کی x مساوات

$$\nabla^2 E_{xs} = \gamma^2 E_{xs} \tag{10.15}$$

---

[20] propagation constant
[21] vector Helmholtz equation
[22] ہرمن لڈوگ فرڈیناند ون ہلم ہولٹز جرمنی کے عالم طبیعیات تھے۔

یعنی

$$\frac{\partial^2 E_{xs}}{\partial x^2} + \frac{\partial^2 E_{xs}}{\partial y^2} + \frac{\partial^2 E_{xs}}{\partial z^2} = \gamma^2 E_{xs} \tag{10.16}$$

ہے۔ہم فرض کرتے ہیں کہ جن امواج پر ہم غور کرنا چاہتے ہیں ان میں نا تو x اور نا ہی y کے ساتھ میدان تبدیل ہوتے ہیں۔ایسی صورت میں $\frac{\partial^2 E_{xs}}{\partial x^2} = 0$ اور $\frac{\partial^2 E_{xs}}{\partial y^2} = 0$ ہوں گے لہٰذا مندرجہ بالا مساوات

$$\frac{\partial^2 E_{xs}}{\partial z^2} = \gamma^2 E_{xs} \tag{10.17}$$

صورت اختیار کر لے گی۔اس طرح کے دو درجی تفرقی مساوات آپ نے پڑھے ہوں گا لہٰذا میں توقع رکھتا ہوں کہ آپ اس کے حل

$$E_{xs} = Ae^{-\gamma z} \tag{10.18}$$

اور

$$E_{xs} = Be^{\gamma z} \tag{10.19}$$

لکھ سکتے ہیں۔ 3090

آئیں $\gamma = \alpha + j\beta$ پر کرتے ہوئے ان جوابات میں سے مساوات 10.18 پر غور کریں۔مساوات 10.18 در حقیقت دوری سمتیہ ہے لہٰذا اسے $e^{j\omega t}$ سے ضرب دے کر

$$\begin{aligned} E_x &= \left[Ae^{j\omega t}e^{-(\alpha+j\beta)z}\right]_{\text{حقیقی}} \\ &= \left[Ae^{-\alpha z}e^{j(\omega t-\beta z)}\right]_{\text{حقیقی}} \end{aligned}$$

حقیقی جزو

$$E_x = Ae^{-\alpha z}\cos(\omega t - \beta z)$$

لیتے ہیں۔مساوات کے مستقل A کی جگہ $t = 0$ اور $z = 0$ پر میدان کی قیمت E_0 پر کرتے ہوئے اصل حل

$$E_x = E_0 e^{-\alpha z}\cos(\omega t - \beta z) \tag{10.20}$$

لکھا جا سکتا ہے۔یہ مستوی موج[23] کی وہ مساوات ہے جس کی تلاش میں ہم نکلے تھے۔اگر ہم مساوات 10.19 کو لے کر آگے بڑھتے تو مساوات 10.20 کی جگہ موج کی مساوات

$$E_x = E_0 e^{\alpha z}\cos(\omega t + \beta z) \tag{10.21}$$

حاصل ہوتی۔ 3091

مساوات 10.18 میں $A = E_0$ پر کرتے ہوئے اس کی سمتیہ شکل

$$\boldsymbol{E}_s = E_0 e^{-\gamma z}\boldsymbol{a}_{\mathrm{x}} \tag{10.22}$$

لکھی جا سکتی ہے جو صرف $\boldsymbol{a}_{\mathrm{x}}$ جزو پر مشتمل ہے۔آئیں مساوات 10.20 میں دئے متحرک موج[24] پر اب غور کریں۔ 3092

[23] plane wave
[24] travelling wave

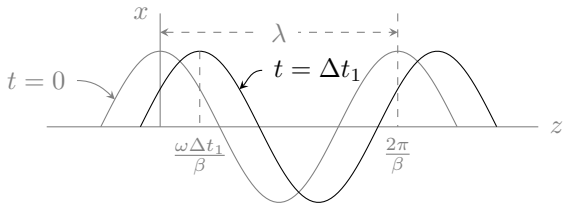

شکل 10.1: وقت $t = 0$ اور $t = t_1$ پر خلاء میں موج کا مقام۔

مساوات 10.20 کہتی ہے کہ برقی میدان ہر نقطے پر x محدد کے متوازی ہے۔اگر z کی قیمت تبدیل نہ کی جائے تب x اور y تبدیل کرنے سے میدان تبدیل نہیں ہوتا۔

مساوات 10.20 میں z بڑھانے سے α کی وجہ سے موج کی چوٹی گھٹتی ہے لہٰذا α تضعیفی مستقل[25] کہلاتا ہے۔موج کی چوٹی طاقت کے ضیاع کی وجہ سے گھٹتی ہے۔یوں بے ضیاع[26] خطے میں $\alpha = 0$ ہو گا جبکہ ضیاع کار[27] خطے میں $\alpha > 0$ ہو گا۔تضعیفی مستقل کو نیپر[28] فی میٹر $\frac{\text{Np}}{\text{m}}$ میں ناپا[29] جاتا ہے۔یوں مساوات 10.20 میں e کی طاقت یعنی αz بے بعد[30] مقدار نیپر Np میں ہو گی۔موج کے مساوات میں $-\beta z$ زاویائی فاصلہ ہے جسے ریڈیئن میں ناپا جاتا ہے لہٰذا β زاویائی مستقل[31] کہلاتا ہے جبکہ اس کی اکائی ریڈیئن فی میٹر $\frac{\text{rad}}{\text{m}}$ ہے۔

بے ضیاع خطے میں $\alpha = 0$ جبکہ ضیاع کار خطے میں $\alpha > 0$ ہو گا۔اس کتاب میں انہیں غیر عامل[32] خطوں پر بحث کی جائے گی۔یہاں بتلاتا چلوں کہ $\alpha < 0$ بھی ممکن ہے۔ایسی صورت میں موج کا حیطہ مسلسل بڑھتا جائے گا۔منفی α کی صورت میں α کو افزائشی مستقل[33] کہا جاتا ہے۔لیزر[34] میں $\alpha < 0$ حاصل کرتے ہوئے شعاع کی طاقت بڑھائی جاتی ہے۔لیزر عامل[35] خطہ ہے۔

موج کی مساوات میں $\alpha = 0$ تصور کرتے ہوئے اسے وقت $t = 0$ پر شکل 10.1 میں ہلکی سیاہی سے دکھایا گیا ہے۔یہاں دھیان رہے کہ شکل میں z محدد کو افقی دکھایا گیا ہے۔جیسے آپ دیکھ سکتے ہیں $t = 0$ پر موج کی دو آپس میں قریبی چوٹیاں $z = 0$ اور $z = \frac{2\pi}{\beta}$ پر پائی جاتی ہیں۔دو آپس میں قریبی چوٹیوں کے درمیان فاصلے کو طول موج[36] پکارا اور λ سے ظاہر کیا جاتا ہے۔یوں اس موج کی طول موج

$$\lambda = \frac{2\pi}{\beta} \tag{10.23}$$

ہے جس سے

$$\beta = \frac{2\pi}{\lambda} \tag{10.24}$$

لکھا جا سکتا ہے جو انتہائی اہم نتیجہ ہے۔

موج کی مساوات ہی کو وقت $t = \Delta t_1$ پر شکل 10.1 میں دوبارہ گاڑھی سیاہی میں بھی دکھایا گیا ہے۔آپ دیکھ سکتے ہیں کہ اس دورانیے میں موج نے دائیں جانب یعنی z بڑھنے کی طرف حرکت کی ہے۔یوں صاف ظاہر ہے کہ یہ موج وقت کے ساتھ مثبت z جانب حرکت کر رہی ہے۔دورانیہ Δt_1

[25] attenuation constant
[26] loss less
[27] lossy
[28] neper
[29] تضعیفی مستقل کی اکائی جان نیپر کے نام سے منسوب ہے۔
[30] dimensionless
[31] phase constant
[32] passive
[33] gain coefficient
[34] laser
[35] active region
[36] wavelength

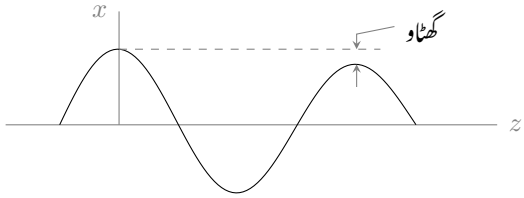

شکل 10.2: موج چلتے ہوئے آہستہ آہستہ کمزور ہوتی رہتی ہے۔

میں موج کی چوٹی نے $\frac{\omega\Delta t_1}{\beta}$ فاصلہ طے کیا ہے لہٰذا موج کے رفتار کو

$$v = \frac{\Delta z}{\Delta t} = \frac{\omega\Delta t_1}{\beta}\frac{1}{\Delta t_1} = \frac{\omega}{\beta} \tag{10.25}$$

لکھا جا سکتا ہے۔

مساوات 10.24 کو مساوات 10.25 میں پر کرنے سے

$$v = f\lambda \tag{10.26}$$

حاصل ہوتا ہے جو λ طول موج اور f تعدد رکھنے والے موج کی رفتار v دیتی ہے۔

مساوات 10.20 میں مساوات 10.25 استعمال کرتے ہوئے

$$E_x = E_0 e^{-\alpha z}\cos\left[\omega\left(t - \frac{z}{v}\right)\right] \tag{10.27}$$

حاصل ہوتا ہے جسے مساوات 10.25 اور مساوات 10.24 کی مدد سے

$$E_x = E_0 e^{-\alpha z}\cos\left(\omega t - \frac{2\pi z}{\lambda}\right) \tag{10.28}$$

بھی لکھا جا سکتا ہے۔

موج کی رفتار کو مساوات 10.20 سے دوبارہ حاصل کرتے ہیں۔اس مساوات کے تحت کسی بھی لمحہ t پر موج کی چوٹی اس مقام پر ہو گی جہاں

$$\omega t - \beta z = 0$$

ہو۔چونکہ رفتار $\frac{\mathrm{d}z}{\mathrm{d}t}$ کو کہتے ہیں لہٰذا اس مساوات کے تفرق

$$\omega\,\mathrm{d}t - \beta\,\mathrm{d}z = 0$$

سے رفتار

$$v = \frac{\mathrm{d}z}{\mathrm{d}t} = \frac{\omega}{\beta} \tag{10.29}$$

حاصل ہوتی ہے۔

شکل 10.2 میں α کو صفر تصور نہیں کیا گیا ہے۔جیسا کہ آپ دیکھ سکتے ہیں، ایسی صورت میں موج کی چوٹی، z کے ساتھ بتدریج گھٹتی ہے لہٰذا $\alpha = 0.001\,\frac{\mathrm{Np}}{\mathrm{m}}$ کی صورت میں $1\,\mathrm{km}$ کے فاصلے پر موج کی چوٹی، ابتدائی چوٹی کے $\frac{e^{-1}}{e^{-0}} = 0.368$ گنارہ گئی ہو گی جہاں ابتدائی چوٹی $z = 0$ پر لی گئی ہے۔

برقی موج $\boldsymbol{E}_s$ سے مساوات 10.7

$$\nabla \times \boldsymbol{E}_s = -j\omega\mu \boldsymbol{H}_s$$

کی مدد سے مقناطیسی موج با آسانی حاصل ہوتی ہے۔ مساوات 10.22 استعمال کرتے ہوئے مندرجہ بالا مساوات سے

$$-\gamma E_0 e^{-\gamma z} \boldsymbol{a}_{\mathrm{y}} = -j\omega\mu \boldsymbol{H}_s$$

یا

$$\boldsymbol{H}_s = \frac{\gamma}{j\omega\mu} E_0 e^{-\gamma z} \boldsymbol{a}_{\mathrm{y}}$$

حاصل ہوتا ہے جس میں مساوات 10.12 سے مثبت γ کی قیمت پر کرنے سے

$$\begin{aligned} \boldsymbol{H}_s &= \sqrt{\frac{\sigma + j\omega\epsilon}{j\omega\mu}} E_0 e^{-\gamma z} \boldsymbol{a}_{\mathrm{y}} \\ &= \frac{E_0}{\eta} e^{-\gamma z} \boldsymbol{a}_{\mathrm{y}} \end{aligned} \tag{10.30}$$

ملتا ہے جہاں دوسرے قدم پر

$$\eta = \sqrt{\frac{j\omega\mu}{\sigma + j\omega\epsilon}} \tag{10.31}$$

لکھی[37] گئی[38] ہے۔ اس مساوات کو

$$\eta = \sqrt{\frac{\mu}{\epsilon}} \frac{1}{\sqrt{1 - j\frac{\sigma}{\omega\epsilon}}} \tag{10.32}$$

بھی لکھا جا سکتا ہے۔ 3109

مساوات 10.22 کی غیر سمتی صورت یعنی $E_{xs} = E_0 e^{-\gamma z}$ کو مساوات 10.30 کے غیر سمتی صورت یعنی $H_{ys} = \frac{E_0}{\eta} e^{-\gamma z}$ سے تقسیم کرتے ہوئے

$$\frac{E_{xs}}{H_{ys}} = \eta \tag{10.33}$$

ملتا ہے۔ 3110

یہاں ذرہ رک کر ایک برقی دور پر غور کرتے ہیں۔ منبع برقی دباو $V_0 \cos(\omega t - \psi)$ جسے دوری سمتیہ $V_0 e^{-j\psi}$ لکھا جا سکتا ہے کے ساتھ سلسلہ وار مزاحمت R، امالہ L اور کپیسٹر C جڑے ہیں جن کی رکاوٹ Z

$$Z = R + j\left(\omega L - \frac{1}{\omega C}\right) = R + jX = |Z|\, e^{j\theta_Z} = |Z| \angle \theta_Z$$

لکھی جا سکتی ہے جہاں $\omega L > \frac{1}{\omega C}$ کی صورت میں X مثبت ہو گا جبکہ $\omega L < \frac{1}{\omega C}$ کی صورت میں یہ منفی ہو گا۔ مزید $\omega L = \frac{1}{\omega C}$ کی صورت میں دور خالص مزاحمتی رکاوٹ پیش کرے گا اور $\theta_Z = 0$ ہو گا۔ اس دور میں برقی رو دوری سمتیہ کی مدد سے

$$I_s = \frac{V_s}{Z_s} = \frac{V_0 e^{-j\psi}}{|Z|\, e^{j\theta_Z}} = \frac{V_0}{|Z|} e^{-j(\psi + \theta_Z)}$$

---

[37] یونانی حروف تہجی η ایٹا پڑھا جاتا ہے۔

[38] η eta

حاصل ہوتا ہے جس سے

$$i = \frac{V_0}{|Z|} \cos\left(\omega t - \psi - \theta_Z\right)$$

لکھا جا سکتا ہے۔ برقی دباو اور برقی رو ایک ہی تعدد رکھتے ہیں البتہ ان میں زاویائی فاصلہ θ_Z پایا جاتا ہے۔ مثبت X کی صورت میں برقی رو اس زاویائی فاصلے کے برابر برقی دباو کے پیچھے رہتی ہے جبکہ منفی X کی صورت میں برقی رو اس زاویائی فاصلے کے برابر برقی دباو کے آگے رہتی ہے۔ ہم دیکھتے ہیں کہ برقی دباو اور برقی رو کی شرح

$$\frac{V_s}{I_s} = |Z|\, e^{j\theta_Z} = Z$$

کے برابر ہے جسے رکاوٹ کہتے ہیں۔

آئیں اب دوبارہ امواج کی بات کریں۔ برقی موج کو اس مثال کے برقی دباو کی جگہ اور مقناطیسی موج کو مثال کے رو کی جگہ رکھتے ہوئے آپ دیکھیں گے کہ دونوں مسائل ہو بہو یکساں ہیں۔ اسی وجہ سے برقی موج E_{xs} اور مقناطیسی موج H_{ys} کی شرح η، **قدرتی رکاوٹ**[39] کہلاتی ہے۔ بالکل برقی رکاوٹ کی طرح قدرتی رکاوٹ حقیقی یا خیالی اور یا مخلوط عدد ہو سکتا ہے۔ قدرتی رکاوٹ کی اکائی اوہم Ω ہے۔

مساوات 10.30 سے مقناطیسی موج

$$H_y = \frac{E_0 e^{-\alpha z}}{|\eta|} \cos\left(\omega t - \beta z - \theta_\eta\right) \tag{10.34}$$

لکھی جائے گی جہاں قدرتی رکاوٹ کو

$$\eta = |\eta|\, e^{j\theta_\eta} \tag{10.35}$$

لکھا گیا۔

مساوات 10.20 کے تحت برقی میدان x محدد کے متوازی ہے جبکہ مساوات 10.34 کے تحت مقناطیسی میدان y محدد کے متوازی ہے لہٰذا یہ میدان آپس میں ہر وقت عمودی رہتے ہیں۔ اس کے علاوہ دونوں امواج z سمت میں حرکت کر رہے ہیں۔ یوں میدان کی سمت اور حرکت کی سمت بھی آپس میں عمودی ہیں۔ ایسے امواج جن میں میدان کی سمت اور حرکت کی سمت عمودی ہوں **عرضی امواج**[40] کہلاتے ہیں۔ پانی کی سطح پر لہریں بھی عرضی امواج ہوتے ہیں۔ اسی طرح رسی کو کھینچ کر رکھتے ہوئے اسے جھٹکے سے ہلانے سے رسی میں عرضی موج پیدا ہوتی ہے۔ **عرضی برقی و مقناطیسی موج**[41] میں برقی میدان اور مقناطیسی میدان دونوں حرکت کے سمت کے عمودی ہوتے ہیں۔ باب 13 میں ایسے امواج پر غور کیا جائے گا جن میں صرف ایک میدان سمت حرکت کے عمودی ہو گا۔ انہیں **عرضی برقی موج**[42] یا **عرضی مقناطیسی موج**[43] کا نام دیا گیا ہے۔

آئیں اب چند مخصوص صورتوں میں ان مساوات کو استعمال کرنا سیکھیں۔

---

[39] intrinsic impedance
[40] transverse waves
[41] transverse electromagnetic, TEM
[42] transverse electric wave, TE wave
[43] transverse magnetic wave, TM wave

10.2.1 خالی خلاء میں امواج

خالی خلاء میں $\sigma = 0$، $\mu_R = 1$ اور $\epsilon_R = 1$ ہیں لہٰذا مساوات 10.12 سے مثبت حرکی مستقل

$$\gamma = \sqrt{j\omega\mu_R\mu_0\left(\sigma + j\omega\epsilon_R\epsilon_0\right)} = j\omega\sqrt{\mu_0\epsilon_0}$$

حاصل ہوتا ہے جس سے

$$\begin{aligned}\alpha &= 0\\ \beta &= \omega\sqrt{\mu_0\epsilon_0}\end{aligned}$$

حاصل ہوتے ہیں۔چونکہ خالی خلاء میں $\alpha = 0$ ہے لہٰذا خالی خلاء بے ضیاع خطہ ہے۔یوں خالی خلاء میں برقی و مقناطیسی امواج کی رفتار، جسے روایتی طور پر c سے ظاہر کیا جاتا ہے، مساوات 10.25 سے

$$c = \frac{\omega}{\beta} = \frac{1}{\sqrt{\mu_0\epsilon_0}} \tag{10.36}$$

حاصل ہوتی ہے جس کی قیمت

$$\begin{aligned}c = \frac{1}{\sqrt{4\times\pi\times10^{-7}\times8.854\times10^{-12}}} &= 2.99\times10^8\,\frac{\mathrm{m}}{\mathrm{s}}\\ &\approx 3\times10^8\,\frac{\mathrm{m}}{\mathrm{s}}\end{aligned}$$

ہے۔

مساوات 10.31 سے خالی خلاء کی قدرتی رکاوٹ

$$\eta = \sqrt{\frac{j\omega\mu_R\mu_0}{\sigma + j\omega\epsilon_R\epsilon_0}} = \sqrt{\frac{\mu_0}{\epsilon_0}}$$

حاصل ہوتی ہے۔قدرتی رکاوٹ کی قیمت حاصل کرنے کی خاطر ہم $\frac{1}{4\pi\epsilon_0} = 9\times10^9$ سے $\epsilon_0 = \frac{1}{36\pi10^9}$ لکھتے ہوئے

$$\eta = 120\pi \approx 377\,\Omega \tag{10.37}$$

حاصل کرتے ہیں۔یوں خالی خلاء میں کسی بھی لمحے، کسی بھی نقطے پر برقی میدان کی قیمت اس نقطے پر مقناطیسی میدان کے 377 گنا ہو گی۔

حرکی مستقل اور قدرتی رکاوٹ کی قیمتیں استعمال کرتے ہوئے خالی خلاء میں متحرک موج کے میدان

$$\begin{aligned}E_x &= E_0\cos\left[\omega\left(t - \frac{z}{c}\right)\right]\\ H_y &= \frac{E_0}{120\pi}\cos\left[\omega\left(t - \frac{z}{c}\right)\right]\end{aligned}$$

لکھے جائیں گے۔آپ دیکھ سکتے ہیں کہ دونوں میدان ہم زاویہ ہیں۔یوں کسی بھی نقطے پر بڑھتے برقی میدان کی صورت میں اس نقطے پر مقناطیسی میدان بھی بڑھتا ہے۔ان مساوات کے تحت امواج بالکل سیدھے حرکت کرتے ہیں اور ناوقت اور ناہی فاصلے کے ساتھ ان کی طاقت میں کسی قسم کی کمی رونما ہوتی ہے۔یہی وجہ ہے کہ کائنات کے دور ترین کہکشاوں سے ہم تک برقی و مقناطیسی امواج پہنچتی ہیں اور ہمیں رات کے چمکتے اور خوبصورت تارے نظر آتے ہیں۔

مشق 10.1: بے تار[44] ذرائع ابلاغ میں 36 000 km کی اونچائی پر پرواز کرتے مصنوعی سیارے اہم کردار ادا کرتے ہیں۔یہ سیارے زمین کے اوپر ایک ہی نقطے پر آویزاں نظر آتے ہیں۔ان سیاروں سے زمین کے قریبی نقطے تک برقی اشارہ کتنی دیر میں پہنچے گا۔

جواب: 0.12 s

مثال 10.1: خالی خلاء میں 240 MHz تعدد کی موج بڑھتے a_z سمت میں حرکت کر رہی ہے۔الف) λ ، β اور ω دریافت کریں۔ ب) لمحہ $t = 0$ پہ موج کی $128\,\frac{\mathrm{V}}{\mathrm{m}}$ چوٹی محدد کے مرکز پر پائی جاتی ہے۔موج کی حقیقی اور دوری مساوات لکھیں۔ پ) اگر موج کی چوٹی لمحہ $t = 1.2\,\mathrm{ns}$ پر نقطہ $z = 25\,\mathrm{cm}$ پہ ہو تب موج کی مساوات کیا ہو گی؟

حل: الف) موج کی رفتار $c = 3 \times 10^8\,\frac{\mathrm{m}}{\mathrm{s}}$ لیتے ہوئے

$$\lambda = \frac{c}{f} = \frac{3 \times 10^8}{240 \times 10^6} = \frac{5}{4}\mathrm{m}$$

اور یوں

$$\beta = \frac{2\pi}{\lambda} = \frac{8\pi}{5}\frac{\mathrm{rad}}{\mathrm{m}}$$

حاصل ہوتے ہیں۔اب زاویائی تعدد حاصل کرتے ہیں۔

$$\omega = 2\pi f = 4.8\pi \times 10^8 \frac{\mathrm{rad}}{\mathrm{s}}$$

ب) حقیقی مساوات

$$E = 128\cos\left(4.8\pi \times 10^8 t - \frac{8\pi}{5}z\right)$$

ہے جبکہ دوری مساوات مندرجہ ذیل ہے۔

$$E = 128e^{-j\frac{8\pi}{5}z}$$

پ) اب موج تاخیر سے محدد کے مرکز پر پہنچتی ہے۔موج کا تاخیری زاویہ θ لکھتے ہوئے موج کی مساوات

$$E = 128\cos\left(4.8\pi \times 10^8 t - \frac{8\pi}{5}z + \theta\right)$$

ہو گی۔موج کی چوٹی $(4.8\pi \times 10^8 t - \frac{8\pi}{5}z + \theta) = 0$ پر ہو گی لہٰذا $t = 1.2\,\mathrm{ns}$ اور $z = 0.25\,\mathrm{m}$ پر کرتے ہوئے $\theta = -0.176\pi$ حاصل ہوتا ہے۔یہ قیمت مندرجہ بالا مساوات میں استعمال کی جائے گی۔موج کی دوری مساوات مندرجہ ذیل ہے۔

$$E_s = 128e^{-j\pi(\frac{8}{5}z + 0.176)}$$

---

[44] wireless

مثال 10.2: لمحہ $t=0$ پہ محدد کے مرکز پر موج کی چوٹی $340\,\frac{\mathrm{V}}{\mathrm{m}}$ پائی جاتی ہے جبکہ $z=1.5\,\mathrm{m}$ وہ قریب ترین نقطہ ہے جہاں میدان صفر کے برابر ہے۔موج گھٹتے z کی سمت میں حرکت کر رہی ہے۔اس لمحہ برقی میدان اکائی سمتیہ $\boldsymbol{a}_E=\frac{2}{\sqrt{13}}\boldsymbol{a}_\mathrm{x}+\frac{3}{\sqrt{13}}\boldsymbol{a}_\mathrm{y}$ کی سمت میں ہے۔برقی موج کی مساوات لکھیں۔

حل: موج کی چوٹی اور صفر کے درمیان فاصلے سے $\frac{\lambda}{4}=1.5$ لکھ کر $\lambda=6\,\mathrm{m}$ حاصل ہوتا ہے جس کو استعمال کرتے ہوئے ہم $\beta=\frac{2\pi}{\lambda}=\frac{\pi}{3}$ اور $f=\frac{3\times10^8}{6}=50\,\mathrm{MHz}$ حاصل کرتے ہیں۔چونکہ موج گھٹتے z جانب حرکت کر رہی ہے اور لمحہ $t=0$ پر اس کی چوٹی محدد کے مرکز پر پائی جاتی ہے لہٰذا

$$\boldsymbol{E}=\boldsymbol{E}_0\cos\left(2\pi\times50\times10^6t+\frac{\pi}{3}z\right)$$

لکھا جائے گا۔لمحہ $t=0$ پر محدد کے مرکز پر میدان $340\boldsymbol{a}_E$ پایا جاتا ہے لہٰذا موج کی مکمل خاصیت مندرجہ ذیل مساوات بیان کرے گی۔

$$\boldsymbol{E}=340\left[\frac{2}{\sqrt{13}}\boldsymbol{a}_\mathrm{x}+\frac{3}{\sqrt{13}}\boldsymbol{a}_\mathrm{y}\right]\cos\left(2\pi\times50\times10^6t+\frac{\pi}{3}z\right)$$

اس کی دوری شکل مندرجہ ذیل ہے۔

$$\boldsymbol{E}_s=340\left[\frac{2}{\sqrt{13}}\boldsymbol{a}_\mathrm{x}+\frac{3}{\sqrt{13}}\boldsymbol{a}_\mathrm{y}\right]e^{j\frac{\pi}{3}z}$$

مثال 10.3: خالی خلاء میں برقی موج $\boldsymbol{E}_s=340\left[\frac{2}{\sqrt{13}}\boldsymbol{a}_\mathrm{x}+\frac{3}{\sqrt{13}}\boldsymbol{a}_\mathrm{y}\right]e^{j\frac{\pi}{3}z}$ پائی جاتی ہے۔مقناطیسی موج کی مساوات لکھیں۔

حل: خالی خلاء میں

$$\frac{E_0}{H_0}=\sqrt{\frac{\mu_0}{\epsilon_0}}=120\pi$$

سے مقناطیسی چوٹی کی قیمت

$$H_0=\frac{340}{120\pi}=\frac{17}{6\pi}$$

حاصل ہوتی ہے۔یہ حقیقی عدد ہے لہٰذا برقی اور مقناطیسی میدان ہم قدم ہیں۔خالی خلاء میں موج کے برقی اور مقناطیسی میدان آپس میں عمودی ہوتے ہیں۔یوں مقناطیسی موج کی سمت میں سمتیہ $x\boldsymbol{a}_\mathrm{x}+y\boldsymbol{a}_\mathrm{y}$ اور برقی موج کی سمت میں سمتیہ $\boldsymbol{a}_E$ کا غیر سمتی ضرب صفر کے برابر ہو گا یعنی

$$\left(\frac{2}{\sqrt{13}}\boldsymbol{a}_\mathrm{x}+\frac{3}{\sqrt{13}}\boldsymbol{a}_\mathrm{y}\right)\cdot(x\boldsymbol{a}_\mathrm{x}+y\boldsymbol{a}_\mathrm{y})=0$$

ہو گا جس سے

$$2x + 3y = 0 \tag{10.38}$$

حاصل ہوتا ہے۔اس میں x کی کوئی بھی قیمت پر کرتے ہوئے y کی قیمت حاصل ہوتی ہے۔یوں $x = 1$ پر کرنے سے $y = -\frac{2}{3}$ حاصل ہوتا ہے۔یوں مقناطیسی میدان $1\boldsymbol{a}_{\mathrm{x}} - \frac{2}{3}\boldsymbol{a}_{\mathrm{y}}$ سمتیہ کی سمت میں ہو گی۔اس طرح مقناطیسی میدان کی سمت میں اکائی سمتیہ

$$\boldsymbol{a}_H = \frac{\boldsymbol{a}_{\mathrm{x}} - \frac{2}{3}\boldsymbol{a}_{\mathrm{y}}}{\sqrt{1 + \frac{4}{9}}} = \frac{3}{\sqrt{13}}\boldsymbol{a}_{\mathrm{x}} - \frac{2}{\sqrt{13}}\boldsymbol{a}_{\mathrm{y}}$$

ہو گی۔یاد رہے کہ $\boldsymbol{a}_E \times \boldsymbol{a}_H$ سے موج کے حرکت کی سمت حاصل ہوتی ہے۔ہم دیکھتے ہیں کہ

$$\boldsymbol{a}_E \times \boldsymbol{a}_H = (\frac{2}{\sqrt{13}}\boldsymbol{a}_{\mathrm{x}} + \frac{3}{\sqrt{13}}\boldsymbol{a}_{\mathrm{y}}) \times (\frac{3}{\sqrt{13}}\boldsymbol{a}_{\mathrm{x}} - \frac{2}{\sqrt{13}}\boldsymbol{a}_{\mathrm{y}}) = -\boldsymbol{a}_{\mathrm{z}}$$

کے برابر ہے جو موج کی درست سمت ہے۔اب ہم مساوات 10.38 میں x کی قیمت منفی بھی پر کر سکتے تھے۔آئیں ایسا بھی کر کے دیکھ لیں۔اگر ہم $x = -1$ پر کرتے تب $y = \frac{2}{3}$ حاصل ہوتا جس سے اکائی سمتیہ $-1\boldsymbol{a}_{\mathrm{x}} + \frac{2}{3}\boldsymbol{a}_{\mathrm{y}}$ حاصل ہوتی۔اس اکائی سمتیہ اور $\boldsymbol{a}_E$ کے سمتی ضرب سے $\boldsymbol{a}_{\mathrm{z}}$ حاصل ہوتا ہے جو بالکل الٹ سمت میں حرکت کرتی موج کی سمت ہے۔ظاہر ہے کہ ہم ان دو جوابات میں سے پہلی جواب کو ہی یہاں درست تسلیم کریں گے۔یوں مقناطیسی موج کی دوری مساوات مندرجہ ذیل ہو گی۔

$$\boldsymbol{H}_s = H_0\boldsymbol{a}_H e^{j\frac{\pi}{3}z} = \frac{17}{6\pi}\left(\frac{3}{\sqrt{13}}\boldsymbol{a}_{\mathrm{x}} - \frac{2}{\sqrt{13}}\boldsymbol{a}_{\mathrm{y}}\right)e^{j\frac{\pi}{3}z}$$

10.2.2 خالص یا کامل ذو برق میں امواج

خالص یا کامل ذو برقی سے مراد ایسا ذو برق ہے جس میں متحرک برقی و مقناطیسی امواج کی توانائی ضائع نہیں ہوتی۔خالص ذو برق میں $\sigma = 0$ جبکہ اس کا جزوی مقناطیسی مستقل μ_R اور جزوی برقی مستقل ϵ_R ہے لہٰذا مساوات 10.12 سے مثبت حرکی مستقل

$$\gamma = j\omega\sqrt{\mu\epsilon}$$

حاصل ہوتا ہے جس سے

$$\alpha = 0 \tag{10.39}$$

$$\beta = \omega\sqrt{\mu\epsilon} \tag{10.40}$$

حاصل ہوتے ہیں۔کامل ذو برق میں $\alpha = 0$ ہے لہٰذا کامل ذو برق بے ضیاع ہے۔یوں خالی خلاء میں برقی و مقناطیسی امواج کی رفتار مساوات 10.25 سے

$$v = \frac{\omega}{\beta} = \frac{1}{\sqrt{\mu_R\mu_0\epsilon_R\epsilon_0}} = \frac{c}{\sqrt{\mu_R\epsilon_R}} \tag{10.41}$$

حاصل ہوتی ہے جہاں $\frac{1}{\sqrt{\mu_0\epsilon_0}}$ کو خالی خلاء میں روشنی کی رفتار c لکھا گیا ہے۔چونکہ ذو برق میں $\mu_R\epsilon_R > 1$ ہے لہٰذا ذو برق میں روشنی کی رفتار خالی خلاء میں روشنی کے رفتار سے کم ہو گی۔خالی خلاء میں روشنی کی رفتار اس کی زیادہ سے زیادہ رفتار ہے۔

موج کی رفتار اور تعدد سے طول موج

$$\lambda = \frac{v}{f} = \frac{c}{f\sqrt{\mu_R \epsilon_R}} = \frac{\lambda_0}{\sqrt{\mu_R \epsilon_R}} \tag{10.42}$$

حاصل ہوتی ہے جہاں خالی خلاء کے طول موج کو λ_0 لکھا گیا ہے۔اس مساوات سے ذو برق میں روشنی کی رفتار کم ہونے کی وجہ سامنے آتی ہے۔چونکہ $\mu_R \epsilon_R > 1$ ہے لہٰذا ذو برق میں طول موج کم ہو جاتا ہے جس سے روشنی کی رفتار کم ہو جاتی ہے۔

مساوات 10.31 سے ذو برقی کی قدرتی رکاوٹ

$$\eta = \sqrt{\frac{\mu}{\epsilon}} = \sqrt{\frac{\mu_0}{\epsilon_0}}\sqrt{\frac{\mu_R}{\epsilon_R}} = \eta_0\sqrt{\frac{\mu_R}{\epsilon_R}}$$

حاصل ہوتی ہے جہاں خالی خلاء کی قدرتی رکاوٹ کو η_0 لکھا گیا ہے۔

یوں ذو برق میں امواج کے مساوات

$$E_x = E_0 \cos(\omega t - \beta z) \tag{10.43}$$

$$H_y = \frac{E_0}{\eta} \cos(\omega t - \beta z) \tag{10.44}$$

ہیں۔

مثال 10.4: پانی کے لئے $\mu_R = 1$، $\epsilon_R = 78.4$ اور $\sigma = 0$ لیتے ہوئے 300 MHz تعدد کے برقی و مقناطیسی امواج کی رفتار، طول موج اور قدرتی رکاوٹ حاصل کریں۔ برقی میدان $50\,\frac{\text{mV}}{\text{m}}$ ہونے کی صورت میں برقی اور مقناطیسی امواج کے مساوات لکھیں۔ہم $\sigma = 0$ لیتے ہوئے درحقیقت پانی میں توانائی کے ضیاع کو نظرانداز کر رہے ہیں۔

حل:

$$v = \frac{c}{\sqrt{\mu_R \epsilon_R}} = \frac{3 \times 10^8}{\sqrt{78.4}} = 0.3388 \times 10^8\,\frac{\text{m}}{\text{s}}$$

$$\lambda = \frac{v}{f} = \frac{0.3388 \times 10^8}{300 \times 10^6} = 11.29\,\text{cm}$$

ہیں جبکہ خالی خلاء میں $\lambda = 1\,\text{m}$ ہے۔بقایا مستقل

$$\beta = \frac{2\pi}{\lambda} = 55.7\,\frac{\text{rad}}{\text{m}}$$

اور

$$\eta = \eta_0\sqrt{\frac{\mu_R}{\epsilon_R}} = \frac{377}{\sqrt{78.4}} = 42.58\,\Omega$$

ہیں۔امواج کے مساوات

$$E_x = 0.05\cos(6\pi 10^8 t - 55.7z)$$

$$H_y = \frac{0.05}{42.58}\cos(6\pi 10^8 t - 55.7z) = 0.00117\cos(6\pi 10^8 t - 55.7z)$$

ہیں۔

مشق 10.2: کتاب کے آخر میں مختلف اشیاء کے مستقل دئے گئے ہیں۔انہیں استعمال کرتے ہوئے ابرق میں، طاقت کے ضیاع کو نظرانداز کرتے ہوئے، 5.6 GHz اور $10\ \frac{\mathrm{mA}}{\mathrm{m}}$ حیطے کی مقناطیسی میدان پر مندرجہ ذیل حاصل کریں۔

- موج کی رفتار،
- طول موج،
- زاویائی مستقل،
- قدرتی رکاوٹ،
- برقی میدان کا حیطہ۔

جوابات: $1.29 \times 10^8\ \frac{\mathrm{m}}{\mathrm{s}}$، 23 cm، $272.6\ \frac{\mathrm{rad}}{\mathrm{m}}$، $162.1\ \Omega$ اور $1.62\ \frac{\mathrm{V}}{\mathrm{m}}$

10.2.3 ناقص یا غیر کامل ذو برقی میں امواج

کامل ذو برق میں امواج پر غور کے بعد فطری طور ناقص ذو برق پر بات کرنا ضروری ہے لہٰذا صاف پانی کو مثال بناتے ہوئے 20 GHz تعدد پر ایسا ہی کرتے ہیں۔صفحہ 328 پر شکل 10.4 میں صاف پانی کے مستقل دئے گئے ہیں۔

اس تعدد پر صاف پانی کے مستقل $\epsilon_R = 41$ اور $\sigma = 36.7\ \frac{\mathrm{S}}{\mathrm{m}}$ ہیں۔چونکہ پانی غیر مقناطیسی ہے لہٰذا اس کا $\mu_R = 1$ ہو گا۔یوں

$$\frac{\sigma}{\omega\epsilon} = 0.8$$

اور

$$\begin{aligned}\gamma &= j2 \times \pi \times 20 \times 10^9 \times \frac{\sqrt{1 \times 41}}{3 \times 10^8}\sqrt{1 - j0.8}\\ &= 3035\underline{/70.67^\circ}\\ &= 1005 + j2864 \quad \mathrm{m}^{-1}\end{aligned}$$

حاصل ہوتے ہیں۔یوں پانی کا تضعیفی مستقل

$$\alpha = 1005\,\frac{\mathrm{Np}}{\mathrm{m}}$$

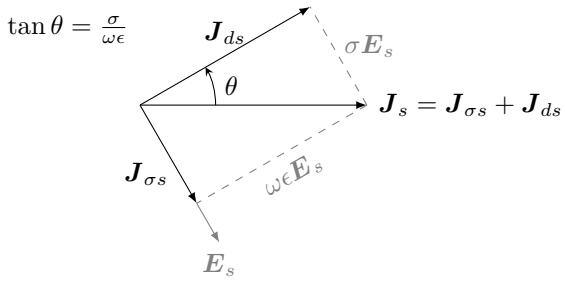

شکل 10.3: طاقت کے ضیاع کا تکون۔

ہے جس کا مطلب ہے کہ پانی میں ہر $\frac{1}{1005}$ میٹر یعنی 1 mm فاصلہ طے کرنے پر برقی اور مقناطیسی امواج 0.368 گنا گھٹ جائیں گے۔ پانی میں $\alpha \neq 0$ ہے لہٰذا پانی ضیاع کار ہے۔ آپ دیکھ سکتے ہیں ریڈار[45] پانی میں کیوں کام نہیں کرتا۔ اسی طرح بارش کی صورت میں بھی ریڈار کی کارکردگی بری طرح متاثر ہوتی ہے۔ پانی میں دیکھنے کی خاطر موج آواز استعمال کی جاتی ہیں۔

زاویائی مستقل

$$\beta = 2864\,\frac{\text{rad}}{\text{m}}$$

ہے جو $\sigma = 0$ کی صورت میں $2682\,\frac{\text{rad}}{\text{m}}$ حاصل ہوتا ہے لہٰذا پانی کے موصلیت سے زاویائی مستقل زیادہ متاثر نہیں ہوا۔ اس تعدد پر خالی خلاء میں طول موج 1.5 cm ہے جبکہ پانی میں $\lambda = \frac{2\pi}{\beta}$ سے طول موج 2.19 mm ہے۔

قدرتی رکاوٹ

$$\eta = \frac{377}{\sqrt{41}}\frac{1}{\sqrt{1-j0.8}} = 52\underline{/19.33^\circ} = 49.1 + j17.2 \quad \Omega$$

ہے لہٰذا E_x ہر نقطے پر H_y سے 19.33° آگے ہے۔

میکس ویل کے مساوات

$$\nabla \times \boldsymbol{H}_s = (\sigma + j\omega\epsilon)\boldsymbol{E}_s = \boldsymbol{J}_{\sigma s} + \boldsymbol{J}_{ds}$$

میں ایصالی اور انتقالی کثافت برقی رو کے سمتی مجموعے کو شکل 10.3 میں بطور مجموعی کثافت رو $\boldsymbol{J}_s$ دکھایا گیا ہے۔ ایصالی رو اور انتقالی رو آپس میں 90° درجے کا زاویہ بناتے ہیں۔ انتقالی رو 90° آگے رہتا ہے۔ یہ بالکل متوازی جڑے مزاحمت اور کپیسٹر کے رو کی طرح صورت حال ہے۔ کپیسٹر کی رو، مزاحمت کی رو سے 90° آگے رہتی ہے۔ مزید یہ کہ مزاحمت کی رو سے برقی طاقت کا ضیاع پیدا ہوتا ہے جبکہ کپیسٹر کی رو سے ایسا نہیں ہوتا۔ ان حقائق کو مد نظر رکھتے ہوئے شکل 10.3 میں زاویہ θ (جس کا کروی محدد کے زاویہ θ کے ساتھ کسی قسم کا کوئی تعلق نہیں ہے) کو دیکھیں جس کے لئے

$$\tan\theta = \frac{\sigma}{\omega\epsilon} \tag{10.45}$$

لکھا جا سکتا ہے۔ یوں اس تکون کو طاقت کے ضیاع کا تکون پکارا جاتا ہے اور $\frac{\sigma}{\omega\epsilon}$ کی شرح کو ضیاعی ٹینجنٹ[46] یا مماس ضیاع کہا جاتا ہے۔

مساوات 10.14 اور مساوات 10.32 کو $\frac{\sigma}{\omega\epsilon}$ استعمال کرتے ہوئے لکھا گیا۔ کسی ذو برق کے کامل یا غیر کامل ہونے کا فیصلہ اس کے مماس ضیاع کی قیمت کو دیکھ کر کیا جاتا ہے۔ اگر اس شرح کی قیمت اکائی کے قریب ہو تب ذو برق غیر کامل قرار دیا جاتا ہے جبکہ $\frac{\sigma}{\omega\epsilon} \ll 1$ کی صورت میں ذو برق کو کامل تصور کیا جاتا ہے۔

---

[45] radar
[46] loss tangent

کم مماس ضیاع کی صورت میں حرکی مستقل اور قدرتی رکاوٹ کے کارآمد مساوات حاصل کئے جا سکتے ہیں۔ حرکی مستقل

$$\gamma = j\omega\sqrt{\mu\epsilon}\sqrt{1 - j\frac{\sigma}{\omega\epsilon}}$$

کو مسئلہ ثنائی[47]

$$(1+x)^n = 1 + \frac{n}{1!}x + \frac{n(n-1)}{2!}x^2 + \frac{n(n-1)(n-2)}{3!}x^3 + \cdots$$

جہاں $|x| < 1$ ہے، کی مدد سے تسلسل کی شکل میں لکھ سکتے ہیں۔ اگر ہم $x = -\frac{\sigma}{\omega\epsilon}$ اور $n = \frac{1}{2}$ لیں تو حرکی مستقل

$$\gamma = j\omega\sqrt{\mu\epsilon}\left[1 - j\frac{\sigma}{2\omega\epsilon} + \frac{1}{8}\left(\frac{\sigma}{\omega\epsilon}\right)^2 + \cdots\right]$$

لکھا جا سکتا ہے جس سے

$$\alpha \doteq j\omega\sqrt{\mu\epsilon}\left(-j\frac{\sigma}{2\omega\epsilon}\right) = \frac{\sigma}{2}\sqrt{\frac{\mu}{\epsilon}} \tag{10.46}$$

اور

$$\beta \doteq \omega\sqrt{\mu\epsilon}\left[1 + \frac{1}{8}\left(\frac{\sigma}{\omega\epsilon}\right)^2\right] \tag{10.47}$$

حاصل ہوتے ہیں۔ اگر $\frac{\sigma}{\omega\epsilon} \ll 1$ ہو تب

$$\beta \doteq \omega\sqrt{\mu\epsilon} \tag{10.48}$$

بھی لکھا جا سکتا ہے۔ بالکل اسی طرح قدرتی رکاوٹ کو

$$\eta \doteq \sqrt{\frac{\mu}{\epsilon}}\left[1 - \frac{3}{8}\left(\frac{\sigma}{\omega\epsilon}\right)^2 + j\frac{\sigma}{2\omega\epsilon}\right] \tag{10.49}$$

یا

$$\eta \doteq \sqrt{\frac{\mu}{\epsilon}}\left(1 + j\frac{\sigma}{2\omega\epsilon}\right) \tag{10.50}$$

لکھا جا سکتا ہے۔ 3184

آئیں دیکھیں کہ ان مساوات سے حاصل جواب اصل مساوات کے جوابات کے کتنے قریب ہیں۔ ایسا صاف پانی کی مثال کو دوبارہ حل کر کے دیکھتے ہیں۔ صاف پانی کے مستقل 20 GHz تعدد پر $\mu_R = 1$، $\epsilon_R = 41$ اور $\sigma = 36.7\ \frac{\mathrm{S}}{\mathrm{m}}$ ہیں لہٰذا مساوات 10.46 سے

$$\alpha = 1080\ \frac{\mathrm{Np}}{\mathrm{m}}$$

حاصل ہوتا ہے جو گزشتہ حاصل کردہ قیمت $1005\ \frac{\mathrm{Np}}{\mathrm{m}}$ کے کافی قریب ہے۔ مساوات 10.47 سے

$$\beta = 2897\ \frac{\mathrm{rad}}{\mathrm{m}}$$

---

[47] binomial theorem

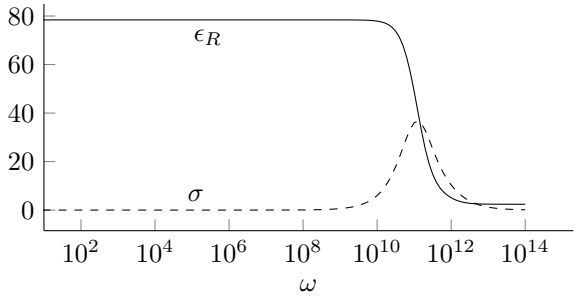

شکل 10.4: صاف پانی کا جزوی برقی مستقل بالمقابل زاویائی تعدد اور موصلیت بالمقابل زاویائی تعدد۔

حاصل ہوتا ہے جو گزشتہ جواب $2864\ \frac{\text{rad}}{\text{m}}$ کے بہت قریب ہے۔مساوات 10.48 سے حاصل جواب

$$\beta = 2682\ \frac{\text{rad}}{\text{m}}$$

درست جواب سے نسبتاً زیادہ مختلف ہے۔قدرتی رکاوٹ مساوات 10.49 سے

$$\eta = 44.75 + j23.55$$

حاصل ہوتا ہے جو $49.1 + j17.2$ کے بہت قریب ہے البتہ مساوات 10.50 سے حاصل جواب

$$\eta = 58.88 + j23.55$$

قدر مختلف ہے۔صاف پانی کی اس مثال میں مماس ضیاع 0.8 ہے جو اکائی سے بہت کم نہیں ہے، اسی لئے جوابات پہلے سے قدر مختلف حاصل ہوئے۔چونکہ موصلیت اور برقی مستقل کی بالکل درست قیمتیں عموماً ہمیں معلوم نہیں ہوتیں لہٰذا سادہ مساوات سے حاصل جوابات کے اس فرق کو زیادہ اہمیت نہیں دینی چاہئے۔بہتر یہی ہوتا ہے کہ $\frac{\sigma}{\omega\epsilon} < 0.1$ ہی کی صورت میں سادہ مساوات استعمال کئے جائیں۔

عموماً ذو برق کی موصلیت تعدد بڑھانے سے غیر خطی طور پر بڑھتی ہے جبکہ $\frac{\sigma}{\omega\epsilon}$ کے قیمت میں تبدیلی نسبتاً کم ہوتی ہے۔یہی وجہ مماس ضیاع کی اہمیت کا راز ہے۔یاد رہے کہ مختلف تعدد پر موصلیت، برقی مستقل اور مماس ضیاع نہایت تیزی سے تبدیل ہو سکتے ہیں۔ایسا عموماً نظر آنے والی روشنی سے قدر کم یا قدر زیادہ تعدد پر ہوتا ہے۔

شکل 10.4 میں صاف پانی کا جزوی برقی مستقل ϵ_R بالمقابل زاویائی تعدد ω ٹھوس لکیر سے دکھایا گیا ہے جبکہ موصلیت بالمقابل تعدد نقطہ دار لکیر سے دکھایا گیا ہے۔افقی محدد تعدد کا لاگ ہے۔آپ دیکھ سکتے ہیں کہ تقریباً $10\ \frac{\text{Grad}}{\text{s}}$ تعدد تک $\epsilon_R = 78.4$ رہتا ہے جبکہ اس سے بلند تعدد پر اس کی قیمت گھٹ کر 2.4 ہو جاتی ہے۔موصلیت کی چوٹی تقریباً $36.7\ \frac{\text{S}}{\text{m}}$ پائی جاتی ہے۔دیگر ذو برق کے خط مختلف اشکال کے ہوں گے۔

مشق 10.3: ایک مادے کے مستقل $1\ \text{MHz}$ تعدد پر $\mu_R = 1$، $\epsilon_R = 2.8$ اور $\sigma = 10\ \frac{\mu\text{S}}{\text{m}}$ ہیں۔اس مادے کے مماس ضیاع، تضعیفی مستقل اور زاویائی مستقل حاصل کریں۔

جوابات: 0.0642، $1.13 \times 10^{-3}\ \frac{\text{Np}}{\text{m}}$ اور $3.51 \times 10^{-4}\ \frac{\text{rad}}{\text{m}}$

مشق 10.4: ایک غیر مقناطیسی مادے کا مماس ضیاع 0.07 جبکہ $\mu_R = 4.7$ ہیں۔ان قیمتوں کو 1 MHz تا 80 MHz تعدد کے درمیان اٹل تصور کیا جا سکتا ہے۔اس کا تضعیفی مستقل اور مادے میں طول موج 20 MHz اور 60 MHz تعدد پر حاصل کریں۔

جوابات: $0.031\ \frac{\text{Np}}{\text{m}}$، 6.9 m، $0.095\ \frac{\text{Np}}{\text{m}}$، 2.3 m

10.3 پوئنٹنگ سمتیہ

اموج کی طاقت جاننے کے لئے مسئلہ پوئنٹنگ[48] درکار ہو گا لہٰذا پہلے اسے[49] حاصل کرتے ہیں۔

میکس ویل کے مساوات

$$\nabla \times \boldsymbol{H} = \boldsymbol{J} + \frac{\partial \boldsymbol{D}}{\partial t}$$

کا $\boldsymbol{E}$ کے ساتھ غیر سمتی ضرب

$$\boldsymbol{E} \cdot \nabla \times \boldsymbol{H} = \boldsymbol{E} \cdot \boldsymbol{J} + \boldsymbol{E} \cdot \frac{\partial \boldsymbol{D}}{\partial t}$$

لیتے ہوئے سمتی مماثل (جسے آپ باآسانی کارتیسی محدد میں ثابت کر سکتے ہیں)

$$\nabla \cdot (\boldsymbol{E} \times \boldsymbol{H}) = -\boldsymbol{E} \cdot \nabla \times \boldsymbol{H} + \boldsymbol{H} \cdot \nabla \times \boldsymbol{E}$$

کے ذریعہ

$$\boldsymbol{H} \cdot \nabla \times \boldsymbol{E} - \nabla (\boldsymbol{E} \times \boldsymbol{H}) = \boldsymbol{E} \cdot \boldsymbol{J} + \boldsymbol{E} \cdot \frac{\partial \boldsymbol{D}}{\partial t}$$

حاصل ہوتا ہے۔اس میں $\nabla \times \boldsymbol{E} = -\frac{\partial \boldsymbol{B}}{\partial t}$ پر کرنے سے

$$-\boldsymbol{H} \cdot \frac{\partial \boldsymbol{B}}{\partial t} - \nabla (\boldsymbol{E} \times \boldsymbol{H}) = \boldsymbol{E} \cdot \boldsymbol{J} + \boldsymbol{E} \cdot \frac{\partial \boldsymbol{D}}{\partial t}$$

یا

$$-\nabla (\boldsymbol{E} \times \boldsymbol{H}) = \boldsymbol{E} \cdot \boldsymbol{J} + \epsilon \boldsymbol{E} \cdot \frac{\partial \boldsymbol{E}}{\partial t} + \mu \boldsymbol{H} \cdot \frac{\partial \boldsymbol{H}}{\partial t}$$

حاصل ہوتا ہے۔اب

$$\epsilon \boldsymbol{E} \cdot \frac{\partial \boldsymbol{E}}{\partial t} = \frac{\epsilon}{2} \frac{\partial E^2}{\partial t} = \frac{\partial}{\partial t} \left(\frac{\epsilon E^2}{2} \right)$$

[48] Poynting theorem

[49] جان ہینری پوئنٹنگ نے 1884 میں پہلی بار اس مسئلے کو پیش کیا۔

اور

$$\mu \boldsymbol{H} \cdot \frac{\partial \boldsymbol{H}}{\partial t} = \frac{\mu}{2} \frac{\partial H^2}{\partial t} = \frac{\partial}{\partial t} \left(\frac{\mu H^2}{2} \right)$$

لکھے جا سکتے ہیں لہٰذا

$$-\nabla (\boldsymbol{E} \times \boldsymbol{H}) = \boldsymbol{E} \cdot \boldsymbol{J} + \frac{\partial}{\partial t} \left(\frac{\epsilon E^2}{2} + \frac{\mu H^2}{2} \right)$$

لکھا جا سکتا ہے۔اس کے حجمی تکمل

$$-\int_h \nabla \cdot (\boldsymbol{E} \times \boldsymbol{H}) \, \mathrm{d}h = \int_h \boldsymbol{E} \cdot \boldsymbol{J} \, \mathrm{d}h + \frac{\partial}{\partial t} \int_h \left(\frac{\epsilon E^2}{2} + \frac{\mu H^2}{2} \right) \mathrm{d}h$$

پر مسئلہ پھیلاو کے اطلاق سے

$$-\oint_S (\boldsymbol{E} \times \boldsymbol{H}) \cdot \mathrm{d}\boldsymbol{S} = \int_h \boldsymbol{E} \cdot \boldsymbol{J} \, \mathrm{d}h + \frac{\partial}{\partial t} \int_h \left(\frac{\epsilon E^2}{2} + \frac{\mu H^2}{2} \right) \mathrm{d}h \tag{10.51}$$

حاصل ہوتا ہے۔

اس مساوات کے دائیں ہاتھ پہلے جزو کی بات کرتے ہیں۔اگر پورے حجم میں کہیں پر بھی منبع طاقت موجود نہ ہو تب یہ تکمل حجم میں کل لمحاتی مزاحمتی طاقت کا ضیاع دیتا ہے۔اگر حجم میں منبع طاقت پایا جاتا ہو تب ان منبع کے حجم پر تکمل کی قیمت مثبت ہو گی اگر منبع کو طاقت فراہم کی جا رہی ہو اور یہ تکمل منفی ہو گا اگر منبع طاقت فراہم کر رہا ہو۔

مساوات کے دائیں ہاتھ دوسرا تکمل حجم میں توانائی کا کل ذخیرہ دیتا ہے جس کا وقت کے ساتھ تفرق حجم میں ذخیرہ توانائی میں لمحاتی تبدیل یعنی طاقت دیتا ہے۔اس طرح مندرجہ بالا مساوات کا دایاں ہاتھ حجم میں داخل ہوتا کل طاقت دیتا ہے۔یوں حجم سے کل خارجی طاقت

$$\oint_S (\boldsymbol{E} \times \boldsymbol{H}) \cdot \boldsymbol{S}$$

ہو گا جہاں حجم گھیرتی سطح پر تکمل لیا گیا ہے۔سمتی ضرب $\boldsymbol{E} \times \boldsymbol{H}$ پوئنٹنگ سمتیہ[50] $\mathscr{P}$ پکارا جاتا ہے

$$\mathscr{P} = \boldsymbol{E} \times \boldsymbol{H} \tag{10.52}$$

جس سے مراد لمحاتی طاقت کی کثافت لی جاتی ہے جو واٹ فی مربع میٹر $\frac{\mathrm{W}}{\mathrm{m}^2}$ میں ناپی جاتی ہے۔یہاں بھی برقی میدان میں کثافت توانائی $\frac{1}{2}\boldsymbol{D} \cdot \boldsymbol{E}$ یا مقناطیسی میدان میں کثافت توانائی $\frac{1}{2}\boldsymbol{B} \cdot \boldsymbol{H}$ کے استعمال کی طرح یاد رہے کہ پوئنٹنگ سمتیہ کا بند سطح پر تکمل ہی حقیقی معنی رکھتا ہے اور ایسا تکمل سطح سے خارج ہوتا کل طاقت دیتا ہے۔کسی بھی نقطے پر $\mathscr{P}$ کی سمت اس نقطے پر لمحاتی طاقت کے بہاو کی سمت دیتا ہے۔

چونکہ $\mathscr{P}$ برقی میدان اور مقناطیسی میدان دونوں کے عمودی ہے لہٰذا طاقت کی بہاو بھی دونوں میدان کے عمودی سمت میں ہو گی۔ہم نے برقی و مقناطیسی امواج پر تبصرے کے دوران دیکھا کہ امواج کے حرکت کی سمت $\boldsymbol{E}$ اور $\boldsymbol{H}$ کے عمودی ہوتی ہے لہٰذا $\mathscr{P}$ کی سمت ہمارے توقع کے عین مطابق ہے۔مزید کامل ذو برق میں

$$E_x = E_0 \cos(\omega t - \beta z)$$
$$H_y = \frac{E_0}{\eta} \cos(\omega t - \beta z)$$

[50] Poynting vector

سے لحاتی کثافت سطحی بہاو طاقت

$$E_x \boldsymbol{a}_{\mathrm{x}} \times H_y \boldsymbol{a}_{\mathrm{y}} = \frac{E_0^2}{\eta} \cos^2(\omega t - \beta z) \boldsymbol{a}_{\mathrm{z}} = \mathscr{P} \boldsymbol{a}_{\mathrm{z}}$$

حاصل ہوتی ہے۔اوسط کثافت طاقت حاصل کرنے کی خاطر ہم ایک پھیرے یعنی $T = \frac{1}{f}$ دورانیے کا تکمل لیتے ہوئے دوری عرصہ T پر تقسیم

$$\begin{aligned}
\mathscr{P}_{\text{اوسط}} &= f \int_0^{\frac{1}{f}} \frac{E_0^2}{\eta} \cos^2(\omega t - \beta z)\, \mathrm{d}t \\
&= \frac{f}{2} \frac{E_0^2}{\eta} \int_0^{\frac{1}{f}} \left[1 + \cos(2\omega t - 2\beta z)\right] \mathrm{d}t \\
&= \frac{f}{2} \frac{E_0^2}{\eta} \left[t + \frac{1}{2\omega} \sin(2\omega t - 2\beta z)\right]_0^{\frac{1}{f}}
\end{aligned}$$

کرتے ہوئے

$$\mathscr{P}_{\text{اوسط}} = \frac{1}{2} \frac{E_0^2}{\eta} \quad \frac{\mathrm{W}}{\mathrm{m}^2} \tag{10.53}$$

حاصل کرتے ہیں جو z سمت میں کثافت طاقت کی بہاو دیتا ہے۔اگر میدان کی چوٹی E_0 کی جگہ اس کی موثر قیمت موثر E استعمال کی جائے تب مندرجہ بالا مساوات میں $\frac{1}{2}$ کا جزو ضربی نہیں لکھا جائے گا۔ 3214

موج کی سمت کے عمودی سطح S سے یوں

$$P_{z,\text{اوسط}} = \frac{1}{2} \frac{E_0^2}{\eta} S \quad \mathrm{W}$$

طاقت گزرے گی۔ 3215

غیر کامل ذو برق کی صورت میں

$$\eta = |\eta|\, e^{j\theta_\eta}$$

لیتے ہوئے

$$\begin{aligned}
E_x &= E_0 e^{-\alpha z} \cos(\omega t - \beta z) \\
H_y &= \frac{E_0 e^{-\alpha z}}{|\eta|} \cos\left(\omega t - \beta z - \theta_\eta\right)
\end{aligned} \tag{10.54}$$

ہوں گے جن سے

$$\begin{aligned}
\mathscr{P}_{\text{اوسط}} &= f \int_0^{\frac{1}{f}} \frac{E_0^2}{|\eta|} e^{-2\alpha z} \cos(\omega t - \beta z) \cos\left(\omega t - \beta z - \theta_\eta\right) \mathrm{d}t \\
&= f \int_0^{\frac{1}{f}} \frac{E_0^2}{2|\eta|} e^{-2\alpha z} \left[\cos(2\omega t - 2\beta z - \theta_\eta) + \cos\theta_\eta\right] \mathrm{d}t
\end{aligned}$$

یعنی

$$\mathscr{P}_{\text{اوسط}} = \frac{1}{2} \frac{E_0^2}{|\eta|} e^{-2\alpha z} \cos\theta_\eta \tag{10.55}$$

حاصل ہوتا ہے۔

کثافت طاقت کی اوسط قیمت مخلوط پوئنٹنگ سمتیہ

$$\mathscr{P}_{\text{اوسط}} = \frac{1}{2}\left[\boldsymbol{E}_s \times \boldsymbol{H}_s^*\right]_{\text{حقیقی}} \tag{10.56}$$

سے بھی حاصل کی جاسکتی ہے جہاں جوڑی دار مخلوط[51] مقناطیسی موج استعمال کی جاتی ہے۔آئیں مساوات 10.55 کو اس ترکیب سے دوبارہ حاصل کریں۔مساوات 10.54 کی دوری سمتی شکل

$$\begin{aligned}
E_{sx} &= E_0 e^{-\alpha z - j\beta z} \\
H_{sy} &= \frac{E_0}{|\eta|} e^{-\alpha z - j\beta z - j\theta_\eta} \\
H_{sy}^* &= \frac{E_0}{|\eta|} e^{-\alpha z + j\beta z + j\theta_\eta}
\end{aligned}$$

ہے جہاں جوڑی دار مخلوط مقناطیسی موج H_{sy}^* بھی لکھی گئی ہے۔یوں

$$\begin{aligned}
\frac{1}{2}\boldsymbol{E}_s \times \boldsymbol{H}_s^* &= \frac{1}{2}\frac{E_0^2}{|\eta|} e^{-2\alpha z + j\theta_\eta} \\
&= \frac{1}{2}\frac{E_0^2}{|\eta|} e^{-2\alpha z}\left(\cos\theta_\eta + j\sin\theta_\eta\right)
\end{aligned}$$

کا حقیقی حصہ لیتے ہوئے

$$\mathscr{P}_{\text{اوسط}} = \frac{1}{2}\frac{E_0^2}{|\eta|} e^{-2\alpha z}\cos\theta_\eta$$

کثافت اوسط توانائی کی مطلوبہ مساوات حاصل ہوتی ہے۔

اس کتاب میں اوسط کثافت توانائی حاصل کرتے وقت مساوات 10.56 استعمال کی جائے گی۔

مشق 10.5: ایک میگا ہرٹز، تین سو میگا ہرٹز اور تین گیگا ہرٹز کے تعدد پر صاف پانی کے برف کے جزو برقی مستقل بالترتیب 4.15، 3.45 اور 3.2 ہیں جبکہ اس کے مماس ضیاع بالترتیب 0.12، 0.035 اور 0.0009 ہیں۔ یکساں سطحی موج جس کی چوٹی $z = 0$ پر $100\ \frac{\text{V}}{\text{m}}$ ہو برف سے گزر رہی ہے۔ایک مربع میٹر سطح سے اوسط طاقت کا بہاو $z = 0$ اور $z = 5\ \text{m}$ پر حاصل کریں۔

جوابات: 27.1 W، 26.4 W، 24.7 W، 12.48 W، 23.7 W، 14.31 W

---

[51] complex conjugate

مثال 10.5: z محدد پر $\sigma = 3.2 \times 10^7\ \frac{\mathrm{S}}{\mathrm{m}}$ موصلیت کے غیر مقناطیسی مادے سے بنی لامحدود لمبائی کی سلاخ پائی جاتی ہے جس کا جزوی برقی مستقل $\epsilon_R = 1$ ہے۔اس سلاخ میں $\boldsymbol{a}_z$ سمت $250\ \mathrm{A}$ کی یکساں یک سمتی برقی رو گزر رہی ہے اور سلاخ کا رداس $2\ \mathrm{cm}$ ہے۔الف) سلاخ کی فی میٹر مزاحمت حاصل کریں۔ب) سلاخ میں فی میٹر طاقت کا ضیاع I^2R سے حاصل کریں۔پ) سلاخ میں $\boldsymbol{J}$ ، $\boldsymbol{E}$ اور $\boldsymbol{H}$ حاصل کریں۔ت) سلاخ کی سطح پر پوئنٹنگ سمتیہ کا سطحی تکمل لیتے ہوئے فی میٹر سلاخ میں طاقت کا ضیاع حاصل کریں۔ٹ) رداس $5\ \mathrm{cm}$ کے نلکی سطح پر پوئنٹنگ سمتیہ کے سطحی تکمل کے استعمال سے سلاخ کے قریب برقی میدان حاصل کریں۔

حل: الف) فی میٹر سلاخ کی مزاحمت حاصل کرتے ہیں۔

$$R = \frac{1}{3.2 \times 10^7 \times \pi \times 0.02^2} = 24.87\ \frac{\mu\Omega}{\mathrm{m}}$$

ب) فی میٹر سلاخ میں طاقت کا مزاحمتی ضیاع یوں حاصل ہو گا۔

$$P = I^2R = 250^2 \times 24.87 \times 10^{-6} = 1.554\,247\ \frac{\mathrm{W}}{\mathrm{m}}$$

پ) سلاخ کا رقبہ عمودی تراش $A = \pi \times 0.02^2$ مربع میٹر ہے۔یوں سلاخ میں کثافت برقی رو

$$\boldsymbol{J} = \frac{I}{A}\boldsymbol{a}_z = \frac{250}{\pi \times 0.02^2}\boldsymbol{a}_z = 198949\boldsymbol{a}_z\ \frac{\mathrm{A}}{\mathrm{m}^2}$$

ہو گی جس سے سلاخ میں برقی شدت $\boldsymbol{J} = \sigma\boldsymbol{E}$ سے

$$\boldsymbol{E} = \frac{\boldsymbol{J}}{\sigma} = \frac{198949\boldsymbol{a}_z}{3.2 \times 10^7} = 6.217 \times 10^{-3}\boldsymbol{a}_z\ \frac{\mathrm{V}}{\mathrm{m}}$$

حاصل ہوتی ہے۔دو سنٹی میٹر سے کم رداس $\rho < 2\ \mathrm{cm}$ کا دائرہ کل

$$\frac{250 \times \pi \times \rho^2}{\pi \times 0.02^2} = 625000\rho^2$$

ایمپیئر کی برقی رو گھیرے گی۔یوں ایمپیئر کا دوری قانون استعمال کرتے ہوئے سلاخ کے اندر رداس ρ پر مقناطیسی میدان

$$\boldsymbol{H}_\phi = \frac{625000\rho^2}{2\pi\rho} = 99472\rho\boldsymbol{a}_\phi\ \frac{\mathrm{A}}{\mathrm{m}}$$

حاصل ہو گا۔

ت) پوئنٹنگ سمتیہ

$$\boldsymbol{\mathscr{P}} = \boldsymbol{E} \times \boldsymbol{H} = -618.42\rho\boldsymbol{a}_\rho\ \frac{\mathrm{W}}{\mathrm{m}^2}$$

ہے۔ہم $2\ \mathrm{cm}$ کے انتہائی قریب لیکن اس سے ذرہ کم رداس اور $1\ \mathrm{m}$ لمبائی کی تصوراتی سطح پر پوئنٹنگ سمتیہ کا سطحی تکمل لیتے ہوئے فی میٹر سلاخ میں مزاحمتی ضیاع حاصل کرتے ہیں۔اس ڈبی نما تصوراتی سطح کی نچلی اور بالائی سیدھی سمتی سطح بالترتیب $-\boldsymbol{a}_z$ اور $\boldsymbol{a}_z$ سمت میں ہیں جبکہ پوئنٹنگ سمتیہ $\boldsymbol{a}_\rho$ سمت میں ہے لہٰذا ان سطحوں پر پوئنٹنگ سمتیہ کا سطحی تکمل صفر کے برابر ہو گا۔یوں سطحی تکمل حقیقت میں صرف تصوراتی سطح کے گول حصے پر لینا ضروری ہے۔سطح میں داخل ہوتا طاقت

$$\int_S -\boldsymbol{\mathscr{P}} \cdot \mathrm{d}\boldsymbol{S} = \int_0^1 \int_0^{2\pi} 618.42\rho^2\,\mathrm{d}\phi\,\mathrm{d}z = 1.554\,247\ \frac{\mathrm{W}}{\mathrm{m}}$$

حاصل ہوتا ہے جہاں $\rho = 2\,\text{cm}$ پر کیا گیا ہے۔یاد رہے کہ ہم نے دو سنٹی میٹر سے ذرہ کم رداس چنا تا کہ سلاخ کے اندر حاصل کردہ برقی میدان اور مقناطیسی میدان قابل استعمال ہوں۔

ٹ) سلاخ کے رداس سے زیادہ رداس پر پوئنٹنگ سمتیہ کا سطحی تکمل وہی طاقت دے گا جو سلاخ کے سطح پر تکمل لیتے ہوئے حاصل ہوا تھا۔مزاحمتی طاقت کا ضیاع ہمارے چنے گئے سطح پر منحصر نہیں ہے۔ $5\,\text{cm}$ رداس اور $1\,\text{m}$ لمبائی کی تصوراتی سطح لے کر آگے بڑھتے ہیں۔ $5\,\text{cm}$ کا گول دائرہ پورے $250\,\text{A}$ کی برقی رو کو گھیرے گا۔یوں اس دائرے پر

$$\boldsymbol{H} = \frac{250}{2\pi \times 0.05}\boldsymbol{a}_\phi = 795.7747\boldsymbol{a}_\phi\,\frac{\text{A}}{\text{m}}$$

ہو گا۔سلاخ کے گول سطح پر برقی میدان $\boldsymbol{a}_\text{z}$ سمت میں ہے۔سرحدی شرائط کے مطابق کسی بھی دو مختلف اجسام کے سرحد پر متوازی برقی میدان برابر ہوتے ہی۔یوں لامحدود لمبائی کے سلاخ کے بالکل قریب برقی میدان $\boldsymbol{a}_\text{z}$ سمت میں ہی ہو گا۔ایسا کوئی جواز نظر نہیں آتا کہ سلاخ سے دور میدان کیوں $\boldsymbol{a}_\text{z}$ سمت میں نہ ہو۔یوں ہم $\boldsymbol{E} = E_0\boldsymbol{a}_\text{z}$ لیتے ہیں۔اس طرح تصوراتی سطح کی نچلی اور بالائی سطحوں پر پوئنٹنگ سمتیہ کا سطحی تکمل صفر کے برابر ہو گا۔سلاخ میں داخل ہوتا طاقت تصوراتی سطح کے گول حصے پر تکمل سے حاصل ہو گا یعنی

$$\int_S -\boldsymbol{\mathscr{P}} \cdot \text{d}\boldsymbol{S} = \int_0^1 \int_0^{2\pi} 795.7747 E_0 \rho\,\text{d}\phi\,\text{d}\text{z} = 250 E_0\,\text{W}$$

جہاں $\rho = 5\,\text{cm}$ پر کیا گیا ہے۔حاصل جواب کو $1.554\,247\,\text{W}$ کے برابر پر کرتے ہوئے سلاخ کے باہر

$$\boldsymbol{E} = 6.217 \times 10^{-3}\boldsymbol{a}_\text{z}\,\frac{\text{V}}{\text{m}}$$

حاصل ہوتا ہے۔اس مثال میں سلاخ کے باہر اور سلاخ کے اندر برابر برقی میدان پایا جاتا ہے۔

10.4 موصل میں امواج

موصل میں امواج پر غور کی خاطر ہم تصور کرتے ہیں کہ موصل سے جڑے ذو برق میں امواج پیدا کئے جاتے ہیں۔ہم جاننا چاہتے ہیں کہ ایسے موج ذو برق اور موصل کے سرحد پر موصل میں کیسے داخل ہوتے ہیں اور موصل میں ان کی کیا کارکردگی ہوتی ہے۔

ایصالی اور انتقالی رو کی شرح $\frac{\sigma}{\omega\epsilon}$ کو مماس ضیاع کہتے ہیں۔یوں ناقص موصل کی مماس ضیاع بلند تعدد پر کم ہو گی۔نائیکروم[52] ناقص موصل ہے جس کا مماس ضیاع $100\,\text{MHz}$ تعدد پر تقریباً 2×10^8 ہے۔یوں کسی بھی موصل کے لئے $\frac{\sigma}{\omega\epsilon} \gg 1$ ہوتا ہے۔اس حقیقت کو مد نظر رکھتے ہوئے چند سادہ مساوات حاصل کرتے ہیں۔حرکی مستقل

$$\gamma = j\omega\sqrt{\mu\epsilon}\sqrt{1 - j\frac{\sigma}{\omega\epsilon}}$$

کو $\frac{\sigma}{\omega\epsilon} \gg 1$ کی بنا پر

$$\gamma = j\omega\sqrt{\mu\epsilon}\sqrt{-j\frac{\sigma}{\omega\epsilon}}$$

---

[52] nichrome

یا

$$\gamma = j\sqrt{-j\omega\mu\sigma}$$

لکھا جا سکتا ہے۔اب

$$-j = 1\underline{/-90^\circ}$$

کے برابر ہے جس کا جزر

$$\sqrt{1\underline{/-90^\circ}} = 1\underline{/-45^\circ} = \frac{1}{\sqrt{2}} - j\frac{1}{\sqrt{2}}$$

ہے لہٰذا

$$\gamma = j\left(\frac{1}{\sqrt{2}} - j\frac{1}{\sqrt{2}}\right)\sqrt{\omega\mu\sigma}$$

یا

$$\gamma = (j+1)\sqrt{\pi f\mu\sigma} \tag{10.57}$$

حاصل ہوتا ہے جس سے

$$\alpha = \beta = \sqrt{\pi f\mu\sigma} \tag{10.58}$$

ملتا ہے۔ 3239

ان معلومات کے بعد کہا جا سکتا ہے کہ کسی بھی μ اور σ مستقل رکھنے والے موصل کے α اور β ہر تعدد پر برابر ہی رہتے ہیں۔ یوں z سمت میں دوبارہ امواج فرض کرتے ہوئے موصل میں برقی میدان کی موج کو

$$E_x = E_0 e^{-z\sqrt{\pi f\mu\sigma}}\cos(\omega t - z\sqrt{\pi f\mu\sigma}) \tag{10.59}$$

لکھا جا سکتا ہے۔اگر $z < 0$ کامل ذو برق اور $z > 0$ موصل خطے ہوں تب ان کے سرحد $z = 0$ پر برقی سرحدی شرائط کے مطابق متوازی برقی میدان سرحد کے دونوں اطراف پر برابر ہوں گے۔مساوات 10.59 کے تحت سرحد پر موصل میں

$$E_x = E_0\cos\omega t \qquad (z = 0) \tag{10.60}$$

ہو گا اور یوں سرحد پر ذو برق میں بھی برقی میدان یہی ہو گا۔اب اسی حقیقت کو یوں بھی دیکھا جا سکتا ہے کہ سرحد پر ذو برق میں برقی میدان مساوات 10.60 دیتا ہے جو موصل میں سرحد پر اسی قیمت کا میدان پیدا کرتا ہے۔ایسا تصور کرنے کا مطلب یہ ہے کہ ہم ذو برق میں میدان کو منبع میدان تصور کرتے ہیں جو موصل میں مساوات 10.59 میں دی موج پیدا کرتا ہے۔موصل میں $\frac{\sigma}{\omega\epsilon} \gg 1$ کی بنا پر انتقالی رو کو نظر انداز کرتے ہوئے

$$\boldsymbol{J} = \sigma\boldsymbol{E} \tag{10.61}$$

لکھا جا سکتا ہے لہٰذا موصل میں ہر نقطے پر کثافت رو اور برقی میدان راہ تناسب کا تعلق رکھتے ہیں اور یوں موصل میں

$$J_x = \sigma E_0 e^{-z\sqrt{\pi f\mu\sigma}}\cos(\omega t - z\sqrt{\pi f\mu\sigma}) \tag{10.62}$$

لکھا جا سکتا ہے۔شکل 10.5 میں J_x دکھایا گیا ہے جہاں عین سرحد یعنی $z = 0$ پر کثافت رو کے قیمت σE_0 کو J_0 لکھا گیا ہے۔ 3240

مساوات 10.59 اور مساوات 10.62 میں بہت معلومات پائی جاتی ہے۔ پہلے ان مساوات میں $e^{z\sqrt{\pi f \mu \sigma}}$ جزو پر غور کریں۔ سرحد پر اس کی قیمت $e^0 = 1$ کے برابر ہے جو سرحد سے

$$z = \frac{1}{\sqrt{\pi f \mu \sigma}}$$

فاصلے پر $e^{-1} = 0.368$ رہ جاتی ہے۔ یہ فاصلہ گہرائی جلد[53] کہلایا اور δ سے ظاہر کیا جاتا ہے۔

$$\delta = \frac{1}{\sqrt{\pi f \mu \sigma}} \tag{10.63}$$

برقی رو کا سطحی تہہ تک محدود رہنے کو اثر جلد[54] کہا جاتا ہے۔ یوں موصل میں

$$\alpha = \beta = \frac{1}{\delta} \tag{10.64}$$

ہو گا۔ اسی طرح سرحد سے 2δ فاصلے پر میدان $e^{-2} = 0.135$ اور 4δ فاصلے پر میدان $e^{-4} = 0.018$ یعنی صرف 1.8 % رہ جائے گا۔

تانبے کی $\sigma = 5.8 \times 10^7 \ \frac{\mathrm{S}}{\mathrm{m}}$ ہے لہٰذا اس میں گہرائی جلد

$$\delta_{\text{تانبہ}} = \frac{1}{\sqrt{\pi \times f \times 4 \times \pi \times 10^{-7} \times 5.8 \times 10^7}} = \frac{0.0661}{\sqrt{f}}$$

میٹر کے برابر ہے۔ یوں 50 Hz کا میدان سرحد سے $\frac{0.0661}{\sqrt{50}} = 9.35\,\mathrm{mm}$ فاصلے پر کم ہو کر صرف 0.368 گنا رہ جائے گا۔ برقی ادوار میں مزاحمت میں طاقت کا ضیاع رو کے مربع کے راست تناسب ہوتا ہے لہٰذا ہر ایک گہرائی جلد کے فاصلے پر کثافت طاقت $0.368^2 = 0.135$ گنا کم ہو گی۔ خرد امواج[55] کے تعدد یعنی 10 GHz پر گہرائی جلد 0.661 μm یعنی نظر آنے والے روشنی کے طول کے آٹھویں حصے کے برابر ہے۔

ان تعدد پر کسی بھی موصل مثلاً تانبے میں سرحد سے چند ہی گہرائی جلد کے فاصلے پر تمام میدان تقریباً صفر کے برابر ہوتے ہیں۔ موصل کے سرحد پر پیدا کئے گئے برقی میدان یا کثافت رو، سرحد سے دوری کے ساتھ تیزی سے کم ہوتے ہیں۔ برقی و مقناطیسی طاقت موصل کے اندر نہیں بلکہ اس کے باہر صفر کرتی ہے۔ موصل کا کام صرف اتنا ہے کہ یہ ان امواج کو راستہ دکھاتی ہے۔ موصل کے سرحد پر پیدا کثافت رو، موصل میں موج کے حرکت کے عمودی سمت میں داخل ہوتی ہے جس سے موصل میں مزاحمتی ضیاع پیدا ہوتا ہے۔ یوں موصل بطور راہ گیر کردار ادا کرتے ہوئے مزاحمتی ضیاع بطور اجرت حاصل کرتا ہے۔

اگر آپ کسی بجلی گھر میں 50 Hz کے برقی رو کو منتقل کرنے کی خاطر پانچ سنٹی میٹر رداس کے تانبے کی ٹھوس تار استعمال کر رہے ہوں تو یہ سراسر تانبہ ضائع کرنا ہو گا چونکہ کثافت رو تار کے بیرونی سطح پر ہی پائی جائے گی۔ اندرونی تار، سطح سے دور، کثافت رو قابل نظرانداز ہو گی لہٰذا اس سے بہتر ہو گا کہ زیادہ رداس کی نلکی نما تار استعمال کی جائے جس کی موٹائی تقریباً 1.5δ یعنی 1.4 cm ہو۔ اگرچہ یہ فیصلہ لامحدود جسامت کے سرحد کے نتائج پر بنیاد ہے، حقیقت میں محدود سرحد پر بھی میدان اسی نسبت سے گھٹتے ہیں۔

بلند تعدد پر گہرائی جلد کا فاصلہ اتنا کم ہوتا ہے کہ راہ گیر موصل کی سطحی تہہ ہی اہمیت رکھتی ہے۔ یوں خرد امواج کی منتقلی کے لئے شیشے پر 0.661 μm موٹی چاندی کی تہہ کافی ہے۔

آئیں اب موصل میں طول موج اور رفتار موج کے مساوات حاصل کریں۔ ہم

$$\beta = \frac{2\pi}{\lambda}$$

---

[53] skin depth
[54] skin effect
[55] microwave

سے شروع کرتے ہوئے مساوات 10.64 استعمال کرتے ہوئے

$$\lambda = 2\pi\delta$$

لکھ سکتے ہیں۔اسی طرح مساوات 10.25

$$v = \frac{\omega}{\beta}$$

سے

$$v = \omega\delta \tag{10.65}$$

ملتا ہے۔

تانبے میں 50 Hz پر $\lambda = 5.8\,\text{cm}$ اور $v = 2.94\,\frac{\text{m}}{\text{s}}$ یا $10.6\,\frac{\text{km}}{\text{h}}$ حاصل ہوتے ہیں۔میں تقریباً $6\,\frac{\text{km}}{\text{h}}$ کی رفتار سے چلتا ہوں۔یوں آپ دیکھ سکتے ہیں کہ تانبے میں برقی و مقناطیسی امواج انتہائی آہستہ چلتے ہیں۔یاد رہے کہ اسی 50 Hz کے موج کی خالی خلاء میں $\lambda = 6000\,\text{km}$ اور رفتار $3 \times 10^8\,\frac{\text{m}}{\text{s}}$ ہو گی۔

موصل میں H_y کی مساوات لکھنے کی خاطر موصل کی قدرتی رکاوٹ درکار ہو گی۔مساوات 10.31

$$\eta = \sqrt{\frac{j\omega\mu}{\sigma + j\omega\epsilon}}$$

کو $\frac{\sigma}{\omega\epsilon} \gg 1$ کی وجہ سے

$$\eta = \sqrt{\frac{j\omega\mu}{\sigma}}$$

یا

$$\eta = \frac{\sqrt{2}\angle 45^\circ}{\sigma\delta} = \frac{1}{\sigma\delta} + j\frac{1}{\sigma\delta} \tag{10.66}$$

لکھا جا سکتا ہے۔یوں مساوات 10.60 کو گہرائی جلد کی صورت

$$E_x = E_0 e^{-\frac{z}{\delta}} \cos\left(\omega t - \frac{z}{\delta}\right) \tag{10.67}$$

میں لکھتے ہوئے مقناطیسی موج کو

$$H_y = \frac{\sigma\delta E_0}{\sqrt{2}} e^{-\frac{z}{\delta}} \cos\left(\omega t - \frac{z}{\delta} - \frac{\pi}{4}\right) \tag{10.68}$$

لکھا جا سکتا ہے جہاں سے آپ دیکھ سکتے ہیں کہ مقناطیسی موج، برقی موج سے پھیرے کے آٹھویں حصے پیچھے ہے۔

مندرجہ بالا دو مساوات کی مدد سے پوئنٹنگ مساوات

$$\mathscr{P}_{\text{اوسط}} = \frac{1}{2}\frac{\sigma\delta E_0^2}{\sqrt{2}} e^{-\frac{2z}{\delta}} \cos\frac{\pi}{4}$$

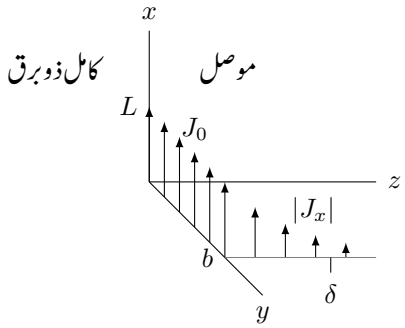

شکل 10.5: موصل میں طاقت کے ضیاع اور گہرائی جلد۔

یا

$$\mathscr{P}_{\text{اوسط}} = \frac{\sigma\delta E_0^2}{4} e^{-\frac{2z}{\delta}}$$

دیتا ہے۔ آپ دوبارہ دیکھ سکتے ہیں کہ ایک گہرائی جلد کی گہرائی پر کثافت طاقت، سرحد کے کثافت طاقت کے $e^{-2} = 0.135$ گنا رہ گئی ہے۔ 3261

شکل 10.5 پر دوبارہ نظر ڈالیں۔ مسئلہ پوئنٹنگ کہتا ہے کہ سرحد پر L اور b اطراف کے مستطیل میں جتنی برقی و مقناطیسی طاقت داخل ہوتی ہے، وہ تمام کی تمام موصل میں ضائع ہو جاتی ہے۔ یہ طاقت

$$\begin{aligned} P_{L,\text{اوسط}} &= \int_0^b \int_0^L \mathscr{P}_{\text{اوسط}}|_{z=0}\, \mathrm{d}x\, \mathrm{d}y \\ &= \int_0^b \int_0^L \left.\frac{\sigma\delta E_0^2}{4} e^{-\frac{2z}{\delta}}\right|_{z=0} \mathrm{d}x\, \mathrm{d}y \\ &= \frac{\sigma\delta b L E_0^2}{4} \end{aligned}$$

کے برابر ہے۔ سرحدی کثافت رو

$$J_0 = \sigma E_0$$

کی صورت میں اسے

$$P_{L,\text{اوسط}} = \frac{1}{4\sigma}\delta b L J_0^2 \tag{10.69}$$

لکھا جا سکتا ہے۔ 3262

آئیں دیکھیں کہ اگر b چوڑائی میں کل برقی رو کو δ گہرائی تک محدود کر دیا جائے تو مزاحمتی ضیاع کتنا ہو گا۔ ایسا کرنے کی خاطر پہلے اس چوڑائی میں کل رو

$$I = \int_0^\infty \int_0^b J_x\, \mathrm{d}y\, \mathrm{d}z$$

حاصل کرتے ہیں جہاں تکمل آسان بنانے کی غرض سے

$$J_x = J_0 e^{-\frac{z}{\delta}} \cos\left(\omega t - \frac{z}{\delta}\right)$$

کو دوری سمتیہ کی شکل

$$\begin{aligned} J_{xs} &= J_0 e^{-\frac{z}{\delta}} e^{-j\frac{z}{\delta}} \\ &= J_0 e^{-(1+j)\frac{z}{\delta}} \end{aligned}$$

میں لکھ کر تکمل حل کرتے ہیں۔

$$\begin{aligned} I &= \int_0^\infty \int_0^b J_0 e^{-(1+j)\frac{z}{\delta}} \, \mathrm{d}y \, \mathrm{d}z \\ &= \frac{J_0 b \delta}{1+j} \end{aligned}$$

اس سے

$$I = \frac{J_0 b \delta}{\sqrt{2}} \cos\left(\omega t - \frac{\pi}{4}\right)$$

لکھا جائے گا۔ اگر اس رو کو $0 < y < b$ اور $0 < z < \delta$ میں محدود کر دیا جائے تب نئی کثافت رو

$$J'_x = \frac{J_0}{\sqrt{2}} \cos\left(\omega t - \frac{\pi}{4}\right)$$

ہو گی۔ مزاحمتی طاقت کا ضیاع فی اکائی حجم $\boldsymbol{J} \cdot \boldsymbol{E}$ کے برابر ہے لہٰذا اس حجم میں کل ضیاع

$$P_L = \frac{1}{\sigma}\left(J'_x\right)^2 bL\delta = \frac{J_0^2}{2\sigma} bL\delta \cos^2\left(\omega t - \frac{\pi}{4}\right)$$

ہو گا۔ مربع کوسائن موج کی اوسط قیمت $\frac{1}{2}$ کے برابر ہوتی ہے لہٰذا اوسط طاقت کے ضیاع کو

$$P_L = \frac{J_0^2 bL\delta}{4\sigma} \tag{10.70}$$

لکھا جا سکتا ہے جو عین مساوات 10.69 ہے۔

اس نتیجے کو دیکھ کر اب کسی بھی موصل، جس میں اثر جلد پایا جاتا ہو، میں کل رو کو ایک جلد گہرائی میں یکساں تقسیم شدہ تصور کرتے ہوئے سلاخ کی مزاحمتی ضیاع حاصل کی جا سکتی ہے۔ یوں b چوڑائی، L لمبائی اور لامحدود گہرائی سلاخ جس میں اثر جلد پایا جاتا ہو اور b چوڑائی، L لمبائی اور δ گہرائی سلاخ جس میں یکساں تقسیم شدہ رو ہو کے مزاحمت بالکل برابر ہوں گے۔

اس حقیقت کو استعمال کرتے ہوئے رداس r کے ٹھوس نلکی سلاخ کی مزاحمت بلند تعدد پر حاصل کی جا سکتی ہے۔ اگر گہرائی جلد سلاخ کے رداس سے بہت کم ہو تب اس طرح حاصل کردہ مزاحمت کی قیمت تقریباً بالکل درست ہو گی۔ ایسی تعدد جس پر اثر جلد پایا جاتا ہو کی صورت میں سلاخ کی بیرونی جلد ہی رو گزارے گی لہٰذا مزاحمت کی قیمت حاصل کرتے وقت اس نلکی نما جھلی کو ہی موصل تصور کیا جائے گا لہٰذا مزاحمت R

$$R = \frac{L}{\sigma S} = \frac{L}{\sigma 2\pi r \delta} \tag{10.71}$$

ایک ملی میٹر رداس اور دس میٹر لمبی تانبے کے تار کی یک سمتی مزاحمت

$$R_{\text{یک سمتی}} = \frac{10}{5.8 \times 10^7 \times \pi \times 0.001^2} = 54.88\,\mathrm{m\Omega}$$

ہے۔ایک سو میگا ہرٹز کی تعدد پر تانبے کی $\delta = 6.61\,\mu\text{m}$ ہو گی لہٰذا اس تعدد پر اسی تار کی مزاحمت

$$R = \frac{10}{5.8 \times 10^7 \times 2 \times \pi \times 0.001 \times 6.61 \times 10^{-6}} = 4.15\,\Omega$$

ہو گی۔

مشق 10.6: ٹھوس نلکی نما لوہے کی تار جس کا رداس 5 mm اور جس کی لمبائی 2.5 m ہے میں $2\cos 10000t$ ایمپیئر کی برقی رو گزر رہی ہے۔کتاب کے آخر میں ضمیمے سے $\sigma = 1.03 \times 10^7\,\frac{\text{S}}{\text{m}}$ اور $\mu_R = 4000$ دئے گئے ہیں۔یاد رہے کہ موصل کا $\epsilon_R = 1$ ہوتا ہے۔آپ سے گزارش ہے کہ مندرجہ ذیل حاصل کریں۔

- یک سمتی رو مزاحمت،
- گہرائی جلد،
- بدلتی رو مزاحمت یا موثر مزاحمت،
- مزاحمتی طاقت کا ضیاع۔

جوابات: $3.09\,\text{m}\Omega$، $62\,\mu\text{m}$، $1.25\,\Omega$ اور $2.49\,\text{W}$

10.5 انعکاس مستوی موج

لامحدود جسامت کے حجم میں مستوی امواج ہم دیکھ چکے۔ایسے حجم میں کبھی بھی موج دو مختلف اقسام کے اشیاء کے درمیان پائی جانے والی سرحد نہیں چھوتی۔آئیں محدود جسامت کے حجم میں مستوی امواج پر غور کریں جہاں امواج کو ایک قسم کے مادے سے دوسرے قسم کے مادے میں داخل ہونا ہو گا۔آپ دیکھیں گے کہ ایسی صورت میں موج کا کچھ حصہ پہلے خطے سے دوسرے خطے میں داخل ہو پاتا ہے جبکہ اس کا بقایا حصہ سرحد سے ٹکرا کر واپس پہلے خطے میں لوٹ جاتا ہے۔اس حصے میں ہم سرحد سے گزرتے اور اس سے ٹکرا کر واپس لوٹتے حصوں کے مساوات حاصل کریں گے۔یہ نتائج تسلی تاروں[56] اور رہبر موج[57] کے مسائل میں جوں کے توں قابل استعمال ہوں گے۔

ہم $z < 0$ کو خطہ-1 تصور کرتے ہیں جہاں $(\epsilon_1, \mu_1, \sigma_1)$ ہیں جبکہ $z > 0$ کو خطہ-2 تصور کرتے ہیں جہاں $(\epsilon_2, \mu_2, \sigma_2)$ ہیں۔یہ صورت حال شکل 10.6 میں دکھائی گئی ہے۔ہم بڑھتے z جانب حرکت کرتے موج کو بالانوشت $+$ جبکہ گھٹتے z جانب حرکت کرتے موج کو بالانوشت $-$ سے ظاہر کریں گے۔اب تصور کریں کہ پہلے خطے میں سرحد کی جانب برقی موج

$$E^+_{xs1} = E^+_{x10} e^{-\gamma_1 z} \tag{10.72}$$

---

[56] transmission lines
[57] waveguide

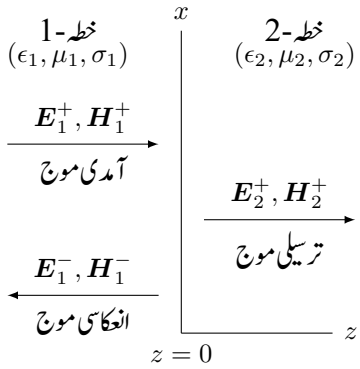

شکل 10.6: آمدی موج سرحد سے گزرتی ترسیلی اور اس سے لوٹتی انعکاسی امواج پیدا کرتی ہے۔

آتی ہے۔آپ جانتے ہیں کہ اس برقی موج کے ساتھ لازماً مقناطیسی موج

$$H_{ys1}^+ = \frac{E_{x10}^+}{\eta_1} e^{-\gamma_1 z} \tag{10.73}$$

بھی ہو گی۔ سرحد کی طرف آتے موج کو **آمدی موج**[58] کہا جاتا ہے۔چونکہ یہ موج سرحد کے عمودی حرکت کر رہا ہے لہٰذا اس کے حرکت کو **عمودی آمد**[59] کہتے ہیں۔

اس آمدی موج کا کچھ حصہ جسے **ترسیلی موج**[60] کہتے ہیں، سرحد سے گزرتے ہوئے سیدھا چلے جائے گا۔ترسیلی امواج

$$E_{xs2}^+ = E_{x20}^+ e^{-\gamma_2 z} \tag{10.74}$$

$$H_{ys2}^+ = \frac{E_{x20}^+}{\eta_2} e^{-\gamma_2 z} \tag{10.75}$$

ہیں۔سرحد کے دوسرے جانب حرکی مستقل γ_2 اور قدرتی رکاوٹ η_2 ہیں جو پہلے خطے سے مختلف ہیں۔ترسیلی امواج سرحد سے دور چلتی جاتی ہیں۔

آمدی اور ترسیلی برقی امواج x محدد کے متوازی جبکہ مقناطیسی امواج y محدد کے متوازی ہیں لہٰذا یہ چاروں امواج سرحد کے بھی متوازی ہیں۔صفحہ 298 پر مساوات 9.45 اور اس کے قریب ہی مساوات 9.47 متوازی امواج کے سرحدی شرائط بیان کرتے ہیں۔اب کائنات میں کبھی بھی دو اشیاء کے سرحد پر سطحی کثافت رو نہیں پائی جاتی۔یوں $K_\perp = 0$ لیتے ہوئے ان شرائط کو

$$\begin{aligned} E_{m1} &= E_{m2} \\ H_{m1} &= H_{m2} \quad (K_\perp = 0) \end{aligned}$$

لکھا جاتا ہے۔

اب اگر پہلی شرط پوری کی جائے تو سرحد کے دونوں اطراف پر متوازی برقی میدان برابر ہوں گے لہٰذا $z = 0$ پر مساوات 10.72 اور مساوات 10.74 برابر ہوں گے۔یوں $E_{x10}^+ = E_{x20}^+$ حاصل ہوتا ہے لیکن دوسری شرط کے مطابق سرحد کے دونوں جانب متوازی مقناطیسی میدان بھی برابر ہونا ہو گا لہٰذا $z = 0$ پر مساوات 10.73 اور مساوات 10.75 بھی برابر ہوں گے جس سے $\frac{E_{x10}^+}{\eta_1} = \frac{E_{x20}^+}{\eta_2}$ حاصل ہوتا ہے۔یہ دونوں تب ممکن ہے جب $\eta_1 = \eta_2$

[58] incident wave
[59] normal incidence
[60] transmitted wave

ہو جو حقیقت میں کبھی بھی نہیں ہو گا لہٰذا صرف آمدی اور ترسیلی امواج کی صورت میں سرحدی شرائط پر پورا نہیں اترا جا سکتا۔ مندرجہ بالا دونوں سرحدی شرائط صرف اس صورت میں پورا ہوتے ہیں جب سرحد سے ٹکرا کر واپس لوٹتے امواج

$$E_{xs1}^{-} = E_{x10}^{-} e^{\gamma_1 z} \tag{10.76}$$

$$H_{ys1}^{-} = -\frac{E_{x10}^{-}}{\eta_1} e^{\gamma_1 z} \tag{10.77}$$

بھی پائے جائیں جنہیں انعکاسی امواج[61] کہا جاتا ہے۔ انعکاسی موج کا حرکی مستقل γ_1 ہی ہے جبکہ یہ موج گھٹتے z جانب حرکت کر رہی ہے۔ انعکاسی موج میں E_{x10}^{-} مخلوط عدد ہو سکتا ہے۔ چونکہ انعکاسی امواج گھٹتے z جانب حرکت کرتی ہیں لہٰذا مسئلہ پوئنٹنگ کے تحت $E_{xs1}^{-} = -\eta_1 H_{ys1}^{-}$ ہو گا تاکہ $\boldsymbol{E}_1^{-} \times \boldsymbol{H}_1^{-}$ کی سمت $-\boldsymbol{a}_z$ ہو۔

آمدی، ترسیلی اور انعکاسی امواج کی صورت میں دونوں سرحدی شرائط پورے ہوتے ہیں اور ان کی مدد سے E_{x10}^{+} کی صورت میں بقایا تمام امواج کے طول بھی حاصل ہوتے ہیں۔ آئیں دیکھیں کہ ایسا کس طرح ہوتا ہے۔

اب پہلے خطے میں آمدی امواج کے علاوہ انعکاسی امواج بھی پائے جاتے ہیں لہٰذا سرحدی شرائط میں دونوں کا مجموعہ استعمال کیا جائے گا۔ یوں $z = 0$ پر سرحد کے دونوں جانب متوازی برقی میدان برابر ہونے سے

$$E_{xs1} = E_{xs2} \quad (z = 0)$$

یعنی

$$E_{xs1}^{+} + E_{xs1}^{-} = E_{xs2}^{+} \quad (z = 0)$$

یا

$$E_{x10}^{+} + E_{x10}^{-} = E_{x20}^{+} \tag{10.78}$$

حاصل ہوتا ہے۔ اسی طرح $z = 0$ پر سرحد کے دونوں جانب متوازی مقناطیسی میدان کے برابری سے

$$H_{ys1} = H_{ys2} \quad (z = 0, K_\perp = 0)$$

یعنی

$$H_{ys1}^{+} + H_{ys1}^{-} = H_{ys2}^{+} \quad (z = 0, K_\perp = 0)$$

یا

$$\frac{E_{x10}^{+}}{\eta_1} - \frac{E_{x10}^{-}}{\eta_1} = \frac{E_{x20}^{+}}{\eta_2} \tag{10.79}$$

حاصل ہوتا ہے۔ مساوات 10.78 اور مساوات 10.79 کو E_{x10}^{-} کی خاطر حل کرنے کی غرض سے مساوات 10.78 کو مساوات میں پر کرتے

$$\frac{E_{x10}^{+}}{\eta_1} - \frac{E_{x10}^{-}}{\eta_1} = \frac{E_{x10}^{+} + E_{x10}^{-}}{\eta_2}$$

ہوئے یوں

$$E_{x10}^{-} = E_{x10}^{+} \frac{\eta_2 - \eta_1}{\eta_2 + \eta_1}$$

[61] reflected wave

حاصل ہوتا ہے۔انعکاسی اور آمدی برقی میدان کے حیطوں کی شرح کو شرح انعکاس[62] پکارا اور Γ سے ظاہر[63] کیا جاتا ہے۔

$$\Gamma = \frac{E_{x10}^{-}}{E_{x10}^{+}} = \frac{\eta_2 - \eta_1}{\eta_2 + \eta_1} \tag{10.80}$$

مخلوط شرح انعکاس کی صورت میں انعکاسی اور آمدی میدان میں زاویائی فرق پایا جائے گا۔آپ دیکھ سکتے ہیں کہ شرح انعکاس کی حتمی قیمت صفر تا ایک ممکن ہے۔

$$|\Gamma| \leq 1 \tag{10.81}$$

اسی طرح مساوات 10.78 اور مساوات 10.79 سے E_{x10}^{-} ختم کرنے سے

$$\tau = \frac{E_{x20}^{+}}{E_{x10}^{+}} = \frac{2\eta_2}{\eta_2 + \eta_1} \tag{10.82}$$

حاصل ہوتا ہے جو شرح ترسیل[64] کہلایا اور τ سے ظاہر کیا جاتا ہے۔مساوات 10.80 اور مساوات 10.82 سے

$$\tau = 1 + \Gamma \tag{10.83}$$

لکھا جا سکتا ہے۔ 3292

آئیں ان نتائج کو چند مخصوص صورتوں میں استعمال کرتے ہیں۔تصور کریں کہ پہلا خطہ کامل ذو برق جبکہ دوسرا خطہ کامل موصل ہے۔ایسی صورت میں σ_2 لامحدود ہو گا لہٰذا

$$\eta_2 = \sqrt{\frac{j\omega\mu_2}{\sigma_2 + j\omega\epsilon_2}} = 0$$

ہو گا۔یوں مساوات 10.82 سے

$$E_{x20}^{+} = 0$$

حاصل ہوتا ہے یعنی کامل موصل میں کسی صورت بھی وقت کے ساتھ بدلتا میدان نہیں پایا جا سکتا۔اس کو یوں بھی بیان کیا جا سکتا ہے کہ کامل موصل کی گہرائی جلد صفر کے برابر ہے۔ 3293 3294

مساوات 10.80 میں $\eta_2 = 0$ پر کرنے سے

$$\Gamma = -1$$

یعنی

$$E_{x10}^{-} = -E_{x10}^{+}$$

حاصل ہوتا ہے۔انعکاسی موج کا حیطہ بالکل آمدی موج کے حیطے کے برابر ہے لیکن ان میں 180° کا زاویہ پایا جاتا ہے۔موصل سطح آمدی توانائی کو واپس کرتی ہے اور یوں پہلے خطے میں کل برقی میدان

$$\begin{aligned} E_{xs1} &= E_{xs1}^{+} + E_{xs1}^{-} \\ &= E_{x10}^{+} e^{-j\beta_1 z} - E_{x10}^{+} e^{j\beta_1 z} \end{aligned}$$

---

[62] reflection coefficient
[63] Γ یونانی حروف تہجی گیما ہے۔
[64] transmission coefficient

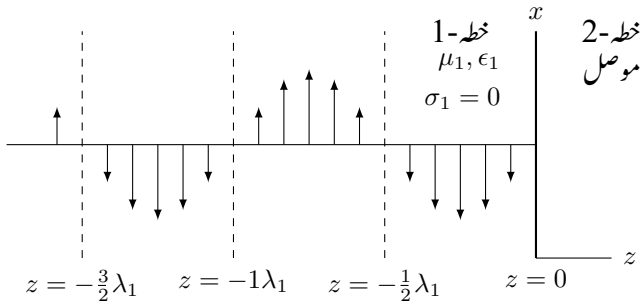

شکل 10.7: ساکن موج، برقی میدان۔

ہو گا جہاں کامل ذو برق میں $\gamma_1 = 0 + j\beta_1$ لیا گیا ہے۔اس کو حل کرتے ہوئے

$$\begin{aligned} E_{xs1} &= E_{x10}^{+}\left(e^{-j\beta_1 z} - e^{j\beta_1 z}\right) \\ &= -j2E_{x10}^{+}\sin\beta_1 z \end{aligned}$$

حاصل ہوتا ہے جو دوری سمتیہ کی صورت میں ہے جسے $e^{j\omega t}$ سے ضرب دے کر حقیقی جزو لیتے ہوئے اصل موج کی مساوات

$$E_{x1} = 2E_{x10}^{+}\sin\beta_1 z\sin\omega t \tag{10.84}$$

حاصل ہوتی ہے۔یہ مساوات ساکن میدان کو ظاہر کرتی ہے۔یاد رہے کہ اسے دو آپس میں الٹ سمت میں حرکت کرتے امواج سے حاصل کیا گیا ہے۔اس کا موازنہ آمدی موج

$$E_{x1}^{+} = E_{x10}^{+}\cos(\omega t - \beta_1 z)$$

سے کریں۔حرکت کرتے موج کی پہچان جزو $\omega t - \beta_1 z$ ہے جو مثبت سمت میں موج کو ظاہر کرتی ہے۔مساوات 10.84 میں ωt اور $\beta_1 z$ علیحدہ علیحدہ پائے جاتے ہیں۔

مساوات 10.84 میں جس لمحہ $\omega t = n\pi$ کے برابر ہو اس لمحہ میدان ہر نقطے پر صفر کے برابر ہو گا۔اس کے علاوہ جس نقطے پر $\beta_1 z = n\pi$ کے برابر ہو، اس نقطے پر ہر وقت میدان صفر ہی رہتا ہے۔مساوات 10.84 کو ساکن موج[65] کہا جاتا ہے۔برقی میدان ان سطحوں پر ہر وقت صفر رہتا ہے جہاں

$$\beta_1 z = n\pi \quad (n = 0, \mp 1, \mp 2, \cdots)$$

ہو جس سے

$$\frac{2\pi}{\lambda_1}z = n\pi$$

یعنی

$$z = n\frac{\lambda_1}{2}$$

حاصل ہوتا ہے۔یوں سرحد یعنی $z = 0$ پر برقی میدان صفر ہو گا اور پہلے خطے میں سرحد سے دور چلتے ہوئے ہر آدھے طول موج پر صفر برقی میدان پایا جائے گا۔یہ صورت حال شکل 10.7 میں دکھائی گئی ہے۔اس شکل میں نقطہ دار لکیر ان سطحوں کو ظاہر کرتی ہیں جہاں میدان صفر رہتا ہے۔برقی میدان کو وقت $t = \frac{\pi}{2}$ پر دکھایا گیا ہے جب اس کا حیطہ زیادہ سے زیادہ ہوتا ہے۔

[65] standing wave

چونکہ $E_{xs1}^{+} = \eta_1 H_{ys1}^{+}$ اور $E_{xs1}^{-} = -\eta_1 H_{ys1}^{-}$ ہوتے ہیں لہٰذا مقناطیسی میدان

$$H_{ys1} = \frac{E_{x10}^{+}}{\eta_1}\left(e^{-j\beta_1 z} + e^{j\beta_1 z}\right)$$

یا

$$H_{y1} = 2\frac{E_{x10}^{+}}{\eta_1}\cos\beta_1 z \cos\omega t \tag{10.85}$$

ہو گا۔یہ بھی ساکن موج ہے لیکن جس سطح پر برقی میدان صفر رہتا ہے وہاں مقناطیسی ساکن موج کی چوٹی پائی جاتی ہے۔اس کے علاوہ برقی اور مقناطیسی ساکن امواج میں 90° کا وقتی فرق پایا جاتا ہے لہٰذا یہ امواج کسی بھی سمت میں اوسطاً صفر طاقت منتقل کرتی ہیں۔

آئیں اب دو کامل ذو برق کی سرحد پر صورت حال دیکھیں۔اب ان دو خطوں میں قدرتی رکاوٹ η_1 اور η_2 جبکہ $\alpha_1 = 0$ اور $\alpha_2 = 0$ ہوں گے۔عددی قیمتیں لے کر آگے چلتے ہیں۔فرض کریں کہ

$$\eta_1 = 50\,\Omega$$
$$\eta_2 = 377\,\Omega$$
$$E_{x10}^{+} = 10\,\frac{\mathrm{V}}{\mathrm{m}}$$

ہیں۔یوں

$$\Gamma = \frac{377-50}{377+50} = 0.7658$$

ہے لہٰذا

$$E_{x10}^{-} = 0.7658 \times 10 = 7.658\,\frac{\mathrm{V}}{\mathrm{m}}$$

ہو گا۔پہلے خطے میں مقناطیسی میدان

$$H_{y10}^{+} = \frac{10}{50} = 0.2\,\frac{\mathrm{A}}{\mathrm{m}}$$
$$H_{y10}^{-} = -\frac{7.658}{50} = -0.153\,\frac{\mathrm{A}}{\mathrm{m}}$$

ہیں۔آمدی اوسط سطحی کثافت طاقت مساوات 10.55 سے

$$P_{1,\text{اوسط}}^{+} = \frac{1}{2}\frac{\left(E_{x10}^{+}\right)^2}{|\eta_1|}e^{-2\alpha_1 z}\cos\theta_{\eta 1} = 1\,\frac{\mathrm{W}}{\mathrm{m}^2}$$

جبکہ انعکاسی اوسط سطحی کثافت طاقت

$$P_{1,\text{اوسط}}^{-} = \frac{1}{2}\frac{\left(E_{x10}^{-}\right)^2}{|\eta_1|}e^{-2\alpha_1 z}\cos\theta_{\eta 1} = 0.5864\,\frac{\mathrm{W}}{\mathrm{m}^2}$$

ہے۔ان مساوات میں $\alpha_1 = 0$ اور $\eta_1 = 50\underline{/0}$ استعمال کئے گئے۔آپ دیکھ سکتے ہیں کہ انعکاسی اور آمدی کثافت طاقت کی شرح

$$\frac{\frac{\left(E_{x10}^{-}\right)^2}{2\eta_0}}{\frac{\left(E_{x10}^{+}\right)^2}{2\eta_0}} = |\Gamma|^2 \tag{10.86}$$

کے برابر ہے۔

دوسرے خطے میں

$$E_{x20}^{+} = \frac{2\eta_2}{\eta_2+\eta_1} E_{x10}^{+} = 17.658\,\frac{\mathrm{V}}{\mathrm{m}}$$
$$H_{y20}^{+} = \frac{17.658}{377} = 0.046\,84\,\frac{\mathrm{A}}{\mathrm{m}}$$

ہیں لہٰذا

$$P_{2,\text{اوسط}}^{+} = \frac{1}{2}\frac{\left(E_{x20}^{+}\right)^2}{|\eta_2|} e^{-2\alpha_2 z}\cos\theta_{\eta 2} = 0.4135\,\frac{\mathrm{W}}{\mathrm{m}^2}$$

ہو گا۔آپ دیکھ سکتے ہیں کہ انعکاسی اور ترسیلی طاقت کا مجموعہ آمدی طاقت کے عین برابر ہے۔

$$P_{1,\text{اوسط}}^{+} = P_{1,\text{اوسط}}^{-} + P_{2,\text{اوسط}}^{+}$$

10.6 شرح ساکن موج

کسی بھی ترسیلی نظام میں مختلف مقامات پر برقی یا مقناطیسی میدان کے راست تناسب اشارہ باآسانی حاصل کیا جا سکتا ہے۔ محوری تار کا اندرونی تار زیادہ لمبا رکھتے ہوئے برقی میدان حاصل کیا جا سکتا ہے۔اسی طرح تار کا ایک چھوٹا دائرہ مقناطیسی میدان کا نمونہ حاصل کرنے میں کام آتا ہے۔ان آلات سے حاصل اشارات کو سمت کار[66] سے گزارتے ہوئے مائیکرو میٹر سے ناپا جا سکتا ہے۔مائیکرو میٹر میدان کے حیطے کے راست تناسب جواب دیتا ہے۔ان آلات کو عموماً درکار اشارات کے ہمسر[67] رکھا جاتا ہے تاکہ یہ زیادہ حساس ہوں۔

اگر بغیر ضیاع خطے میں یکساں مستوی موج حرکت کر رہی ہو اور اس خطے میں انعکاسی موج نہ پائی جاتی ہو تب میدان ناپنے والا آلہ تمام مقامات پر یکساں حیطہ دکھائے گا۔ایسا آلہ تیزی سے تبدیل ہوتے حیطے کو دکھانے سے قاصر ہوتا ہے۔ہر جگہ برابر حیطہ اس بات کی نشانی ہے کہ خطے میں طاقت ضائع نہیں ہوتا اور یہ کہ انعکاسی موج بھی غیر موجود ہے۔

اس کے برعکس کامل ذو برق میں آمدی موج کا کامل موصل سے انعکاس، ساکن موج پیدا کرتا ہے۔ایسے خطے میں میدان ناپتا آلہ مختلف مقامات پر مختلف حیطے ناپے گا۔چونکہ سرحد سے ہر آدھے طول موج کے فاصلے پر میدان صفر رہتا ہے لہٰذا ان نقطوں پر آلہ صفر حیطہ ناپے گا جبکہ عین ایسے دو قریبی نقطوں کے درمیان آلہ زیادہ سے زیادہ حیطہ دکھائے گا۔آلے کو سرحد کے قریب اور دور کرنے سے ناپے گئے حیطے کی شکل $|\sin \beta z|$ کی طرح حاصل ہو گی جہاں سرحد سے فاصلہ z ہے۔اسے شکل 10.8 میں دکھایا گیا ہے۔سائن نما حیطے کا تبدیل ہونا ساکن موج کی پہچان ہے۔

مثال 10.6: کامل موصل سے انعکاس کی صورت میں کامل ذو برق میں ساکن موج کی مساوات حاصل کریں۔

---

[66] rectifier
[67] tuned

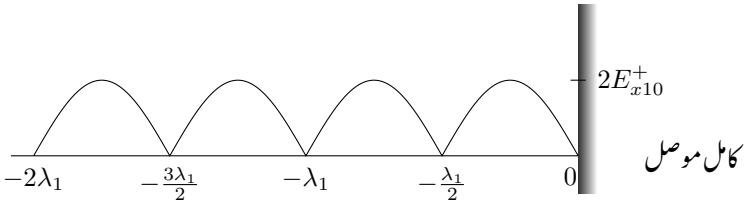

شکل 10.8: کامل موصل سے انعکاس، کامل ذو برق میں ساکن موج پیدا کرتا ہے۔

حل: کامل موصل سے انعکاس کی صورت میں $\Gamma = -1$ حاصل ہوتا ہے لہٰذا $E^-_{xs1} = -E^+_{x10}e^{j\beta_1 z}$ ہو گا۔ یوں آمدی اور انعکاسی امواج کا مجموعہ

$$\begin{aligned} E_{xs1} &= E^+_{x10}e^{-j\beta_1 z} - E^+_{x10}e^{j\beta_1 z} \\ &= -2jE^+_{x10}\sin\beta_1 z \end{aligned}$$

ہو گا۔ اس دوری سمتیہ سے حقیقی ساکن موج کی مساوات حاصل کرنے کی خاطر اسے $e^{j\omega t}$ سے ضرب دیتے ہوئے

$$E_{xs1}e^{j\omega t} = -2jE^+_{x10}\sin\beta_1 z\cos\omega t + 2E^+_{x10}\sin\beta_1 z\sin\omega t$$

حقیقی جزو

$$E_{x1} = 2E^+_{x10}\sin\beta_1 z\sin\omega t$$

لیتے ہیں۔ یہی ساکن موج کی مساوات ہے۔ شکل 10.8 میں آلہ ناپ سے حاصل $|E_{x1}|$ دکھایا گیا ہے۔

اب ایسی صورت پر غور کرتے ہیں جہاں تمام کی تمام موج سرحد سے واپس نہیں لوٹتی بلکہ اس کا کچھ حصہ سرحد پار کرتے ہوئے دوسری جانب چلے جاتی ہے۔ پہلے خطے میں اب آمدی موج کے علاوہ ایسی انعکاسی موج پائی جاتی ہے جس کا حیطہ آمدی موج سے کم ہوتا ہے۔ اگرچہ اب پہلے خطے میں ساکن موج کے ساتھ ساتھ حرکت کرتی موج بھی پائی جاتی ہے لیکن اس کے باوجود اس کو ساکن موج ہی پکارا جاتا ہے۔ اب کسی بھی نقطے پر میدان ہر وقت صفر نہیں رہتا۔ ساکن اور حرکت کرتے حصوں کا اندازہ حیطے کی زیادہ سے زیادہ قیمت اور اس کے کم سے کم قیمت کی شرح سے بیان کی جاتی ہے۔ اس شرح کو شرح ساکن موج[68] کہا اور s سے ظاہر کیا جاتا ہے۔

فرض کریں کہ پہلا خطہ کامل ذو برق ہے جبکہ دوسرا خطہ کوئی بھی مادہ ہو سکتا ہے۔ یوں $\alpha_1 = 0$ ہو گا۔ اب

$$\begin{aligned} E^+_{xs1} &= E^+_{x10}e^{-j\beta_1 z} \\ E^-_{xs1} &= \Gamma E^+_{x10}e^{j\beta_1 z} \end{aligned}$$

ہوں گے جہاں

$$\Gamma = \frac{\eta_2 - \eta_1}{\eta_2 + \eta_1}$$

ہے۔ چونکہ کامل ذو برق میں $\sigma = 0$ ہوتا ہے لہٰذا η_1 مثبت حقیقی عدد ہے جبکہ η_2 مخلوط عدد ہو سکتا ہے لہٰذا Γ بھی مخلوط ہو سکتا ہے۔ یوں اسے

$$\Gamma = |\Gamma|\, e^{j\phi}$$

---

[68] standing wave ratio

بھی لکھا جا سکتا ہے۔یوں

$$E_{xs1}^{-} = |\Gamma|\, E_{x10}^{+} e^{j(\beta_1 z+\phi)}$$

لکھا جا سکتا ہے جس سے ساکن موج کی مساوات

$$E_{xs1} = \left(e^{-j\beta_1 z} + |\Gamma|\, e^{j(\beta_1 z+\phi)}\right) E_{x10}^{+} \tag{10.87}$$

حاصل ہوتی ہے۔ 3324

اب آپ جانتے ہیں کہ کسی بھی مخلوط عدد $e^{j\theta}$ کو

$$e^{j\theta} = \cos\theta + j\sin\theta$$

لکھا جا سکتا ہے۔چونکہ $\cos^2\theta + \sin^2\theta = 1$ ہوتا ہے لہٰذا اس کی حتمی قیمت ایک (1) ہی رہتی ہے۔اس عدد کی زیادہ سے زیادہ قیمت $\theta = 0$ کی صورت میں $+1$ حاصل ہوتی ہے۔یہی قیمت $\theta = \mp 2\pi$ یا $\theta = \mp 4\pi$ کی صورت میں بھی حاصل ہوتی ہے۔اسی طرح اس کی کم سے کم قیمت $\theta = \mp\pi, \mp 3\pi, \mp 5\pi \cdots$ پر -1 حاصل ہوتی ہے۔اس طرح مساوات 10.87 کو

$$E_{xs1} = \left(1 + |\Gamma|\, e^{j(2\beta_1 z+\phi)}\right) e^{-j\beta_1 z} E_{x10}^{+}$$

لکھتے ہوئے اگر $2\beta_1 z + \phi$ کو θ تصور کیا جائے تو $e^{j(2\beta_1 z+\phi)}$ کی زیادہ سے زیادہ قیمت یعنی $+1$

$$2\beta_1 z + \phi = 0, 2\pi, -2\pi, 4\pi, -4\pi, \cdots$$

پر حاصل ہو گی۔اس مساوات کو

$$-\beta_1 z_{\text{بلند تر}} = \frac{\phi}{2} + n\pi \quad (n = 0, \mp 1, \mp 2, \cdots) \tag{10.88}$$

لکھا جا سکتا ہے۔ایسی صورت میں

$$|E_{xs1}|_{\text{بلند تر}} = (1 + |\Gamma|)\, E_{x10}^{+} \tag{10.89}$$

ہو گا۔ 3325

$\eta_2 \gg \eta_1$ کی صورت میں $\Gamma = 1\underline{/0^\circ}$ حاصل ہوتا ہے۔یوں سرحد پر ساکن موج کی چوٹی پائی جائے گی۔اگلی چوٹی سرحد سے $\frac{\lambda}{2}$ فاصلے پر ہو گی۔ η_2 اور η_1 کے کسی بھی اور قیمت کی صورت میں سرحد اور پہلی چوٹی کے درمیان فاصلہ $\frac{\lambda}{2}$ سے کم ہو گا۔ 3327

اسی طرح $e^{j(2\beta_1 z+\phi)}$ کی کم سے کم قیمت یعنی -1

$$2\beta_1 z + \phi = \pi, -\pi, 3\pi, -3\pi, \cdots$$

پر حاصل ہو گی۔اس مساوات کو

$$-\beta_1 z_{\text{کمتر}} = \frac{\phi}{2} + n\pi + \frac{\pi}{2} \quad (n = 0, \mp 1, \mp 2, \cdots) \tag{10.90}$$

لکھا جا سکتا ہے اور ایسی صورت میں

$$|E_{xs1}|_{\text{کمتر}} = (1 - |\Gamma|)\, E_{x10}^{+} \tag{10.91}$$

ہو گا۔

$\eta_2 \ll \eta_1$ کی صورت میں سرحد پر ساکن موج کی کمتر قیمت پائی جائے گی۔اگلی کمتر قیمت سرحد سے $\frac{\lambda}{2}$ فاصلے پر ہو گی۔ η_2 اور η_1 کے کسی بھی اور قیمت کی صورت میں سرحد اور پہلی کمتر نقطے کے درمیان فاصلہ $\frac{\lambda}{2}$ سے کم ہو گا۔

مساوات 10.88 سے $z_{\text{بلند تر}}$ اور مساوات 10.90 سے $z_{\text{کمتر}}$ حاصل کرتے ہوئے دھیان رہے کہ صرف ان قیمتوں کو درست تصور کیا جائے جو شکل 10.9 میں ٹھیک طرف پائے جاتے ہوں یعنی $z_{\text{بلند تر}}$ اور $z_{\text{کمتر}}$ کی قیمت منفی ہونی چاہیے۔

موج کی کم تر قیمت ہر آدھے طول موج پر پائی جاتی ہے۔موج کی بلند تر قیمت دو کم تر قیمتوں کے مقام کے عین وسط میں پائی جاتی ہیں۔کامل موصل کی صورت میں پہلا کمتر میدان $-\beta_1 z = 0$ یعنی سرحد پر پایا جائے گا۔اگر $\eta_2 < \eta_1$ ہو اور دونوں قدرتی رکاوٹوں کی قیمتیں حقیقی اعداد ہوں تب $\phi = \pi$ ہو گا اور ایسی صورت میں سرحد یعنی $-\beta_1 z = 0$ پر برقی دباو کی کمتر قیمتیں پائی جائے گی۔اس کے برعکس اگر $\eta_2 > \eta_1$ ہو اور دونوں رکاوٹ حقیقی ہوں تب سرحد پر برقی میدان کی قیمت بلند تر ہو گی۔

ان معلومات کو زیر استعمال لانے کی غرض سے $10\,\frac{\text{V}}{\text{m}}$ اور $1\,\text{GHz}$ تعدد کے موج پر غور کرتے ہیں جو خطہ اول میں سرحد کی طرف عمودی آمد ہے۔پہلے خطے کے مستقل $\epsilon_{R1} = 3$، $\mu_{R1} = 1$ اور $\sigma_1 = 0$ جبکہ دوسرے خطے کے مستقل $\epsilon_{R1} = 6$، $\mu_{R1} = 1$ اور $\sigma_1 = 0$ ہیں۔

یوں

$$\omega = 2\pi 10^9\,\frac{\text{rad}}{\text{s}}, \quad \beta_1 = 36.28\,\frac{\text{rad}}{\text{m}}, \quad \beta_2 = 51.3\,\frac{\text{rad}}{\text{m}}$$

حاصل ہوتے ہیں۔اگرچہ خالی خلاء میں اس موج کی طول $30\,\text{cm}$ ہو گی، یہاں $\lambda_1 = 17.32\,\text{cm}$ اور $\lambda_2 = 12.25\,\text{cm}$ ہیں۔قدرتی رکاوٹ $\eta_1 = 217.66\,\Omega$ اور $\eta_2 = 153.91\,\Omega$ ہیں جن سے شرح انعکاس $\Gamma = -0.17$ حاصل ہوتا ہے۔چونکہ دونوں رکاوٹ حقیقی اعداد ہیں اور $\eta_2 < \eta_1$ ہے لہٰذا سرحد پر کمتر برقی میدان پایا جائے گا۔پہلے خطے، یعنی $z < 0$، میں سرحد سے دور ہر $8.66\,\text{cm}$ فاصلے پر برقی میدان کی کمتر قیمت پائی جائے گی۔مساوات 10.91 سے ساکن موج کی کمتر قیمت $|Exs1|_{\text{کمتر}} = 8.3\,\frac{\text{V}}{\text{m}}$ حاصل ہوتی ہے۔چونکہ پہلا خطہ کامل ذو برق ہے لہٰذا اس میں طاقت کا ضیاع نہیں ہوتا اور یوں اس خطے میں تمام کمتر قیمتیں برابر ہوں گی۔

میدان کی بلند تر قیمت $11.7\,\frac{\text{V}}{\text{m}}$ پہلے خطے میں سرحد سے 4.33 ، 12.99 ، 21.65 ، $\cdots$ سنٹی میٹر کے فاصلوں پر پائی جائیں گی۔

چونکہ دوسرے خطے میں انعکاسی موج نہیں پائی جاتی لہٰذا اس میں ساکن موج بھی نہیں پائی جائے گی۔

ساکن موج کی زیادہ سے زیادہ اور کم سے کم قیمتوں کی شرح کو **شرح ساکن موج**[69] کہا اور s سے ظاہر کیا جاتا ہے۔

$$s = \frac{|E_{xs1}|_{\text{بلند تر}}}{|E_{xs1}|_{\text{کمتر}}} = \frac{1+|\Gamma|}{1-|\Gamma|} \tag{10.92}$$

چونکہ $|\Gamma| \leq 1$ رہتا ہے لہٰذا شرح ساکن موج ہر صورت مثبت اور اکائی کے برابر یا اس سے زیادہ قیمت کا ہو گا یعنی

$$s \geq 1 \tag{10.93}$$

مندرجہ بالا مثال میں $s = \frac{1+0.17}{1-0.17} = 1.409$ ہے۔

[69] standing wave ration

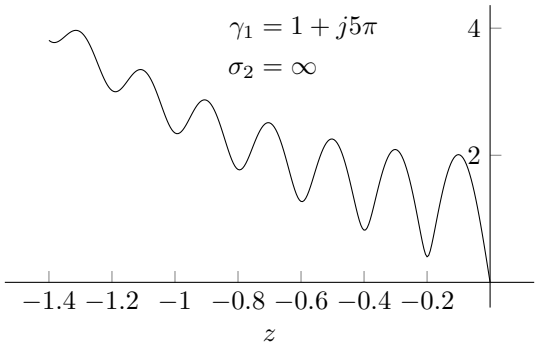

شکل 10.9: غیر کامل ذو برق میں ساکن موج کی بلند تر اور کم تر قیمتوں میں فرق سرحد سے دور کم ہوتا ہے۔

اگر $|\Gamma| = 1$ ہو تب انعکاسی اور آمدی امواج برابر ہوں گے لہٰذا تمام کی تمام آمدی توانائی سرحد سے واپس لوٹتی ہے اور ایسی صورت میں s لامحدود ہو گا۔ پہلے خطے میں ہر $\frac{\lambda_1}{2}$ فاصلے پر ایسی سطح پائی جائے گی جس پر برقی میدان ہر وقت صفر رہتا ہے۔ ان سطحوں کے درمیان ایسی سطحیں ہوں گی جہاں آمدی موج کے دگنے حیطے کا برقی میدان ہو گا۔

اگر $\eta_2 = \eta_1$ ہو تب $\Gamma = 0$ ہو گا۔ ایسی صورت میں توانائی سرحد سے واپس نہیں لوٹتی، $s = 1$ ہوتا ہے اور برقی میدان کی بلند تر اور کم تر قیمتیں برابر ہوتی ہیں۔

آدھی طاقت کے انعکاس کی صورت میں $|\Gamma|^2 = 0.5$ یعنی $|\Gamma| = 0.707$ اور $s = 5.83$ ہو گا۔

چونکہ برقی اور مقناطیسی میدان کے راست تناسب اشارات باآسانی حاصل کئے جا سکتے ہیں اور s کی قیمت حاصل کرنے کے لئے راست تناسب اشارات ہی درکار ہیں لہٰذا شرح ساکن موج کو تجرباتی طور حاصل کیا جا سکتا ہے۔ یہی اس کی اہمیت کا راز ہے۔ یاد رہے کہ s حاصل کرنے کے لئے میدان کی اصل قیمت درکار نہیں ہوتی۔ صرف اتنا ضروری ہوتا ہے کہ تمام اشارات اصل میدان کے تناسب سے ہوں۔

آئیں اب پہلے خطے کو غیر کامل ذو برق تصور کریں جس کا α صفر کے برابر نہیں ہو گا۔ اب بائیں سے آتی آمدی موج مثبت z جانب چلتے ہوئے گھٹے گی۔ انعکاسی موج منفی z جانب چلتے ہوئے گھٹتے جائے گی حتٰی کہ آخر کار اس کی قیمت قابل نظر انداز ہو گی۔ یوں اگرچہ سرحد کے قریب بلند تر اور کم تر میدان میں فرق واضح ہو سکتا ہے لیکن سرحد سے دور ان میں فرق نہیں رہ پاتا۔ پہلے خطے کا حرکی مستقل $\gamma_1 = 1 + j5\pi$ اور دوسرا خطہ کامل موصل ہونے کی صورت میں ایسی ہی ایک ساکن موج شکل 10.9 میں دکھائی گئی ہے جہاں موصل $z = 0$ کے دائیں ہاتھ پر ہے۔ اس شکل میں عین سرحد پر آمدی موج کی قیمت $E_{x10}^{+} = 1\,\frac{\mathrm{V}}{\mathrm{m}}$ ہے۔ چونکہ ذو برق کا سرحد موصل کے ساتھ ہے اور موصل میں برقی میدان صفر ہوتا ہے لہٰذا شکل میں سرحد پر برقی میدان صفر ہی ہے۔ سرحد سے $\frac{2\pi}{\beta_1} = 0.2\,\mathrm{m}$ فاصلے پر دوبارہ کم تر میدان پایا جاتا ہے۔ اسی طرح پہلی چوٹی سرحد پر آمدی میدان کے تقریباً دگنی ہے۔ آپ دیکھ سکتے ہیں کہ کوئی بھی دو چوٹیاں یا دو نشیب برابر نہیں ہیں۔ یہاں شرح ساکن موج کی قیمت اس صورت مطلب رکھتی ہے جب اسے اپنے کا مقام یعنی z بھی ساتھ بتلایا جائے۔ ایسی صورت میں انعکاسی شرح اور تضعیفی مستقل زیادہ کار آمد معلومات ہیں۔

اگرچہ مندرجہ بالا مثال زیادہ انتہا درجے کا تھا لیکن یہ بھی نہیں بھولنا چاہئے کہ حقیقت میں کامل ترسیلی تار بھی نہیں پائے جاتے۔ حقیقت میں شرح ساکن موج ہر صورت سرحد سے فاصلے پر منحصر ہو گی اور اس کا استعمال اسی وقت ممکن ہو گا جب ہماری دلچسپی کے خطے میں اس کی قیمت زیادہ تبدیل نہ ہو۔

آئیں دوبارہ پہلا خطہ کامل ذو برق لیتے ہوئے برقی اور مقناطیسی میدان کی شرح حاصل کریں۔ لامحدود حجم میں آزاد موج کی صورت میں یہ شرح η_1 تھی۔ انعکاسی موج کی موجودگی میں برقی اور مقناطیسی میدان صفر بھی ممکن ہیں لہٰذا ان کی شرح صفر سے لامحدود قیمت کی ہو سکتی ہے۔ سرحد سے $z = -l$

فاصلے پر میدان

$$E_{xs1} = \left(e^{j\beta_1 l} + \Gamma e^{-j\beta_1 l}\right) E_{x10}^{+}$$
$$H_{ys1} = \left(e^{j\beta_1 l} - \Gamma e^{-j\beta_1 l}\right) \frac{E_{x10}^{+}}{\eta_1}$$

ہیں۔ان کی شرح کو داخلی قدرتی رکاوٹ[70] کہتے اور $\eta_{\text{داخلی}}$ سے ظاہر کیا جاتا ہے۔

$$\eta_{\text{داخلی}} = \left.\frac{E_{xs1}}{H_{ys1}}\right|_{z=-l} = \eta_1 \frac{e^{j\beta_1 l} + \Gamma e^{-j\beta_1 l}}{e^{j\beta_1 l} - \Gamma e^{-j\beta_1 l}}$$

اس میں $\Gamma = \frac{\eta_2 - \eta_1}{\eta_2 + \eta_1}$ پر کرتے ہوئے اور یولر مماثل[71] استعمال کرتے ہوئے

$$\eta_{\text{داخلی}} = \eta_1 \frac{(\eta_2 + \eta_1)(\cos\beta_1 l + j\sin\beta_1 l) + (\eta_2 - \eta_1)(\cos\beta_1 l - j\sin\beta_1 l)}{(\eta_2 + \eta_1)(\cos\beta_1 l + j\sin\beta_1 l) - (\eta_2 - \eta_1)(\cos\beta_1 l - j\sin\beta_1 l)}$$

حاصل ہوتا ہے جسے باآسانی یوں

$$\eta_{\text{داخلی}} = \eta_1 \frac{\eta_2 + j\eta_1 \tan\beta_1 l}{\eta_1 + j\eta_2 \tan\beta_1 l} \tag{10.94}$$

لکھا جا سکتا ہے۔

جب η_2 اور η_1 برابر ہوں تب داخلی قدرتی رکاوٹ $\eta_{\text{داخلی}}$ پہلے خطے کی قدرتی رکاوٹ η_1 کے برابر ہوتی ہے۔ایسی صورت میں انعکاس پیدا نہیں ہوتی اور ترسیلی نظام ہم رکاوٹی[72] کہلاتا ہے۔ہم رکاوٹی نظام میں انعکاس کے غیر موجودگی کی بنا توانائی ایک ہی سمت میں منتقل ہوتی ہے۔اگر دوسرا خطہ کامل موصل ہو تب $\eta_2 = 0$ ہو گا۔ایسی صورت میں

$$\eta_{\text{داخلی}} = j\eta_1 \tan\beta_1 l \quad (\eta_2 = 0) \tag{10.95}$$

ہو گا لہٰذا ان مقامات پر جہاں $E_{xs1} = 0$ ہو، یعنی جب $\beta_1 l = n\pi$ ہو، داخلی قدرتی رکاوٹ صفر کے برابر ہو گی جبکہ ان مقامات پر جہاں $H_{ys1} = 0$ ہو وہاں داخلی قدرتی رکاوٹ لامحدود ہو گی۔

مساوات 10.94 ترسیلی نظام پر غور کرنے کے لئے انتہائی اہمیت کا حامل ہے۔

10.7 دو سرحدی انعکاس

اب تک ہم دو ایسے خطوں کے سرحد پر موج کی انعکاس پر غور کرتے رہے ہیں جن میں دونوں خطے نیم لامحدود جسامت کے تھے۔نیم لامحدود خطے[73] سے مراد ایسا خطہ ہے جس کی ایک سرحد محدود فاصلے پر اور دوسری سرحد لامحدود فاصلے پر ہو۔ایسی صورت میں سرحد پار کرنے کے بعد ترسیلی موج دوسرے خطے میں مسلسل آگے ہی بڑھتے ہے اور ایسا کوئی امکان نہیں پایا جاتا کہ یہ لامحدود فاصلے پر موجود سرحد سے انعکاس پذیر ہو کر واپس پہلی سرحد تک آن

[70] intrinsic input impedance
[71] $e^{j\alpha} = \cos\alpha + j\sin\alpha$
[72] matched
[73] semi-infinity region

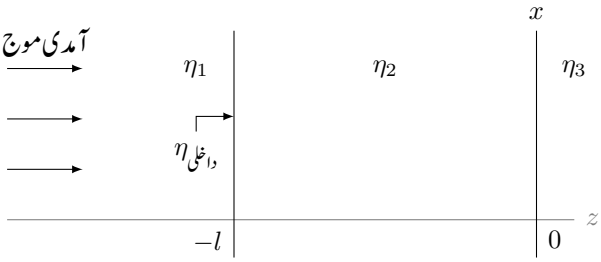

شکل 10.10: دو سرحدی مسئلے میں دوسرے اور تیسرے خطے کے قدرتی رکاوٹ اور دوسرے خطے کی موٹائی کے اثرات پہلی سرحد پر داخلی قدرتی رکاوٹ کی صورت میں نمودار ہوتے ہیں۔

پہنچے۔اس حصے میں ہم محدود جسامت کے خطے میں ترسیلی موج پر غور کرتے ہیں جہاں دوسرے خطے کی محدود جسامت کی بنا پر ترسیلی موج کا کچھ حصہ واپس پہلی سرحد پر پہنچ سکتا ہے۔

شکل 10.10 میں دو سرحدی مسئلہ دکھایا گیا ہے جہاں پہلے نیم لامحدود خطے کی قدرتی رکاوٹ η_1 ، دوسرے محدود موٹائی کے خطے کی قدرتی رکاوٹ η_2 اور تیسرے نیم لامحدود خطے کی قدرتی رکاوٹ η_3 ہے۔ محدود خطے کی موٹائی l ہے۔یہاں پہلا سرحد خطہ-1 اور خطہ-2 کے درمیان $z = -l$ پر جبکہ دوسرا سرحد خطہ-2 اور خطہ-3 کے درمیان $z = 0$ پر پایا جاتا ہے۔پہلے خطے میں موج دائیں جانب (یعنی بڑھتے z جانب) حرکت کرتے ہوئے پہلی سرحد پر عمودی آن پہنچتی ہے جس کے بعد یہ مسلسل چلی آتی ہے۔

پہلی سرحد پر آمدی موج کا کچھ حصہ انعکاس پذیر ہو کر واپس پہلے خطے میں بائیں جانب لوٹتا ہے جبکہ اس کا بقایا حصہ دوسرے خطے میں داخل ہو کر دائیں جانب حرکت کرتے ہوئے دوسری سرحد پر پہنچتا ہے۔اس موج کا کچھ حصہ دوسری سرحد سے بھی گزر پاتا ہے جبکہ اس کا بقایا حصہ دوسرے سرحد سے انعکاس پذیر ہو کر واپس پہلی سرحد جانب چل پڑتا ہے جہاں انعکاس اور ترسیل کا عمل ایک مرتبہ دوبارہ دہرایا جاتا ہے۔یوں دوسرے سرحد سے واپس لوٹتی موج کا کچھ حصہ پہلی سرحد سے گزر کر پہلے خطے میں داخل ہو کر تازہ انعکاسی موج کے ساتھ مل کر بائیں چلے جاتا ہے جبکہ اس کا بقایا حصہ پہلی سرحد سے انعکاس پذیر ہو کر اسی سرحد سے تازہ ترسیلی موج کے ساتھ مل کر دوسری سرحد کے جانب چل پڑتا ہے۔یہی عمل بار بار دہرایا جاتا ہے۔

یوں ہر لمحہ پہلے خطے سے تازہ ترسیلی موج دوسرے خطے میں داخل ہو کر، اس خطے میں پہلے سے موجود، متعدد مرتبہ انعکاس پذیر اجزاء کے ساتھ مل کر دوسری سرحد کی جانب ایک نئی کارواں روانہ کرتی ہے۔اسی طرح دوسرے خطے میں بار بار انعکاس پذیر اور پہلی سرحد سے دو مرتبہ ترسیل کے بعد متعدد حصے مل کر پہلے خطے میں مجموعی انعکاسی موج کو جنم دیتے ہیں۔ ہم اسی طرح تمام امواج کو مد نظر رکھتے ہوئے مسئلے کو حل کر سکتے ہیں۔صفحہ 408 پر حصہ 11.6 میں ایسا ہی کرتے ہوئے عارضی حالت دریافت کی گئی ہے۔

اگر آمدی موج برقرار آتی رہے تب تینوں خطوں میں جلد برقرار صورت حال پیدا ہو جاتی ہے جہاں پہلے خطے میں آمدی موج کی نسبت سے کوئی خاص مقدار کی موج بطور انعکاسی موج پائی جاتی ہے۔اس انعکاسی موج کا مخصوص حیطہ اور دوری زاویہ پایا جاتا ہے۔اسی طرح دونوں سرحد سے گزرتے ہوئے ، تیسرے خطے میں بھی آمدی موج کی نسبت سے کوئی خاص مقدار کی موج بطور ترسیلی موج پائی جاتی ہے جس کا مخصوص حیطہ اور دوری زاویہ پایا جاتا ہے۔دوسرے خطے میں پہلی سرحد سے تازہ ترسیلی اور دوسرے خطے میں واپس انعکاسی امواج مل کر مخصوص حیطے اور دوری زاویے کی موج کو جنم دیتے ہیں جو پہلی سرحد سے دوسری سرحد کی جانب گامزن پائی جاتی ہے۔اسی طرح دوسرے خطے میں دوسری سرحد سے تمام انعکاس پذیر امواج کا مجموعہ بطور انفرادی موج ابھرتا ہے جس کا مخصوص حیطہ اور دوری زاویہ ہوتا ہے۔ یوں برقرار صورت حال حاصل کرنے کے بعد کل پانچ عدد امواج پائے جاتے ہیں یعنی پہلے خطے میں آمدی اور انعکاسی موج، تیسرے خطے میں ترسیلی موج اور دوسرے خطے میں دائیں حرکت کرتی موج اور بائیں حرکت کرتی موج۔آئیں ان پانچ عدد امواج کی مدد سے مسئلے کو حل کریں۔

ہم تصور کرتے ہیں کہ تینوں خطے بے ضیاع، غیر مقناطیسی ہیں اور برقی میدان x سمت میں ہے۔ یوں دوسرے خطے میں دائیں اور بائیں جانب حرکت کرتے ہوئے امواج مل کر برقی میدان

$$E_{xs2} = E_{x20}^{+} e^{-j\beta_2 z} + E_{x20}^{-} e^{j\beta_2 z} \tag{10.96}$$

پیدا کرتے ہیں جہاں $\beta_2 = \frac{\omega\sqrt{\epsilon_{R2}}}{c}$ ہے جبکہ E_{x20}^+ اور E_{x20}^- مخلوط مقدار ہیں۔مقناطیسی میدان y سمت میں ہو گا۔یوں مقناطیسی میدان

$$H_{ys2} = H_{y20}^+ e^{-j\beta_2 z} + H_{y20}^- e^{j\beta_2 z} \tag{10.97}$$

لکھا جائے گا۔دوسرے خطے میں بائیں اور دائیں حرکت کرتے برقی امواج دوسری سرحد کے انعکاسی مستقل Γ_{23} سے وابستہ ہیں جہاں

$$\Gamma_{23} = \frac{\eta_3 - \eta_2}{\eta_3 + \eta_2} \tag{10.98}$$

کے برابر ہے۔یوں

$$E_{x20}^- = \Gamma_{23} E_{x20}^+ \tag{10.99}$$

لکھا جا سکتا ہے۔مقناطیسی اجزاء کو یوں

$$H_{y20}^+ = \frac{E_{x20}^+}{\eta_2} \tag{10.100}$$

$$H_{y20}^- = -\frac{E_{x20}^-}{\eta_2} = -\frac{\Gamma_{23} E_{20}^+}{\eta_2} \tag{10.101}$$

3398

لکھا جا سکتا ہے۔

برقی میدان تقسیم مقناطیسی میدان کو رکاوٹ موج[74] η_m کہا جاتا ہے۔

$$\eta_m(z) = \frac{E_{xs2}}{H_{ys2}} = \frac{E_{x20}^+ e^{-j\beta_2 z} + E_{x20}^- e^{j\beta_2 z}}{H_{y20}^+ e^{-j\beta_2 z} + H_{y20}^- e^{j\beta_2 z}} \tag{10.102}$$

مساوات 10.99 اور مساوات 10.100 استعمال کرتے ہوئے اسے

$$\eta_m(z) = \eta_2 \left[\frac{e^{-j\beta_2 z} + \Gamma_{23} e^{j\beta_2 z}}{e^{-j\beta_2 z} - \Gamma_{23} e^{j\beta_2 z}} \right] \tag{10.103}$$

لکھا جا سکتا ہے۔مساوات 10.98 اور یولر مماثل[75] کے استعمال سے اسے یوں لکھا جا سکتا ہے۔

$$\eta_m(z) = \eta_2 \frac{\eta_3 \cos\beta_2 z - j\eta_2 \sin\beta_2 z}{\eta_2 \cos\beta_2 z - j\eta_3 \sin\beta_2 z} \tag{10.104}$$

مندرجہ بالا مساوات دوسرے خطے میں موج کی رکاوٹ دیتی ہے۔اسے استعمال کرتے ہوئے پہلی سرحد پر کل انعکاسی موج حاصل کرتے ہیں۔چونکہ سرحد پر متوازی برقی میدان $\boldsymbol{E}$ اور متوازی مقناطیسی میدان $\boldsymbol{H}$ ہموار ہیں لہٰذا

$$E_{xs1}^+ + E_{xs1}^- = E_{xs2} \qquad (z = -l) \tag{10.105}$$

$$H_{ys1}^+ + H_{ys1}^- = H_{ys2} \qquad (z = -l) \tag{10.106}$$

لکھا جا سکتا ہے۔ان مساوات کو

$$E_{x10}^+ + E_{x10}^- = E_{xs2} \qquad (z = -l) \tag{10.107}$$

$$\frac{E_{x10}}{\eta_1} - \frac{E_{x10}^-}{\eta_1} = \frac{E_{xs2}}{\eta_m(-l)} \qquad (z = -l) \tag{10.108}$$

---

[74] wave impedance
[75] Euler's identity

لکھا[76] جا سکتا ہے جہاں پہلے خطے میں آمدی موج کا حیطہ E_{x10}^{+} اور مجموعی انعکاسی موج کو حیطہ E_{x10}^{-} ہے۔ان دونوں مساوات میں دائیں ہاتھ E_{xs2} کو جوں کا توں لکھا گیا ہے جبکہ $z=-l$ پر موج کے رکاوٹ کی قیمت استعمال کی گئی ہے۔ $z=-l$ پر موج کے رکاوٹ کو پہلی سرحد پر داخلی قدرتی رکاوٹ $\eta_{\text{داخلی}}$ لکھتے ہوئے مندرجہ بالا دو مساوات کو حل کرتے ہوئے E_{xs2} سے چھٹکارا حاصل کرتے ہیں۔یوں

$$\frac{E_{x10}^{-}}{E_{x10}^{+}}=\Gamma=\frac{\eta_{\text{داخلی}}-\eta_1}{\eta_{\text{داخلی}}+\eta_1} \tag{10.109}$$

حاصل ہوتا ہے۔ پہلی سرحد پر داخلی قدرتی رکاوٹ مساوات 10.104 میں $z=-l$ پر کرنے سے

$$\eta_{\text{داخلی}}=\eta_2\frac{\eta_3\cos\beta_2 l+j\eta_2\sin\beta_2 l}{\eta_2\cos\beta_2 l+j\eta_3\sin\beta_2 l} \tag{10.110}$$

یا

$$\eta_{\text{داخلی}}=\eta_2\frac{\eta_3+j\eta_2\tan\beta_2 l}{\eta_2+j\eta_3\tan\beta_2 l} \tag{10.111}$$

حاصل ہوتا ہے۔ یہاں رک کر ایک مرتبہ مساوات 10.111 کا مساوات 10.94 کے ساتھ موازنہ کریں۔

مساوات 10.109 اور مساوات 10.110 عمومی مساوات ہیں جن سے بے ضیاع، دو متوازی سرحد سے مجموعی انعکاسی موج کا حیطہ اور دوری زاویہ حاصل کیے جا سکتے ہیں۔پہلے خطے میں آمدی طاقت کا Γ^2 حصہ مجموعی انعکاسی طاقت ہو گا۔آمدی طاقت کا $1-\Gamma^2$ حصہ دوسرے خطے سے ہوتا ہوا تیسرے خطے میں ترسیل ہو گا۔دوسرے خطے میں بائیں جانب سے جتنی طاقت داخل ہوتی ہے، اس سے اتنی ہی طاقت دائیں جانب خارج ہوتی ہے۔

مساوات 10.109 میں $\eta_{\text{داخلی}}=\eta_1$ کی صورت میں $\Gamma=0$ حاصل ہوتا ہے جس سے انعکاسی طاقت صفر کے برابر ہو جاتی ہے۔ایسی صورت میں تمام کی تمام آمدی طاقت تیسرے خطے میں داخل ہو پاتی ہے۔ایسا معلوم ہوتا ہے جیسے دوسرا خطہ موجود ہی نہیں ہے۔ایسی صورت میں ہم کہتے ہیں کہ داخلی قدرتی رکاوٹ اور پہلا خطہ **ہم رکاوٹ**[77] ہیں۔ہم رکاوٹ صورت کئی طریقوں سے حاصل کرنا ممکن ہے۔یہاں $\eta_3=\eta_1$ کی صورت میں ہم رکاوٹی حالت حاصل کرتے ہیں۔حصہ 10.7.2 میں $\eta_3\neq\eta_1$ کی صورت میں ہم رکاوٹی حالت اختیار کرنا دکھایا جائے گا۔

اگر پہلے اور تیسرے خطے کے قدرتی رکاوٹ برابر ہوں، یعنی $\eta_1=\eta_3$ ہوں، تب $\beta_2 l=m\pi$ جہاں $m=1,2,3,\cdots$ ہو کی صورت میں مساوات 10.110 سے $\eta_{\text{داخلی}}=\eta_1$ حاصل ہوتا ہے۔چونکہ $\beta_2=\frac{2\pi}{\lambda_2}$ کے برابر ہے جہاں λ_2 دوسرے خطے میں طول موج ہے لہٰذا

$$\frac{2\pi}{\lambda_2}=m\pi$$

یا

$$l=\frac{m\lambda_2}{2} \tag{10.112}$$

درکار شرط ہے۔مساوات 10.112 کے مطابق دوسرے خطے کی موٹائی دوسری خطے میں طول موج کی آدھی یا اس کے m گنا درکار ہے۔ایسی صورت میں $\eta_{\text{داخلی}}=\eta_1$ حاصل ہوتا ہے۔اس ترکیب سے ہم رکاوٹ صورت حال حاصل کرنے کو **نصف طول موج**[78] کی ترکیب کہا جاتا ہے۔

نصف طول موج ترکیب سے تمام آمدی طاقت تیسرے خطے میں منتقل کی جا سکتی ہے۔آمدی موج کی تعدد یعنی اس کی طول موج تبدیل کرنے سے ہم رکاوٹی شرط پوری نہیں ہو پاتی لہٰذا ایسی صورت میں مساوات 10.110 سے حاصل $\eta_{\text{داخلی}}$ کی قیمت η_1 سے قدر مختلف ہو گی جس سے Γ صفر نہیں رہ پاتا۔طول موج جتنی زیادہ تبدیل کی جائے Γ کی قیمت اتنی زیادہ حاصل ہوتی ہے۔ایسی صورت میں دو سرحدی جوڑ بطور **پٹی گزار فلٹر**[79] کردار ادا کرتا ہے۔

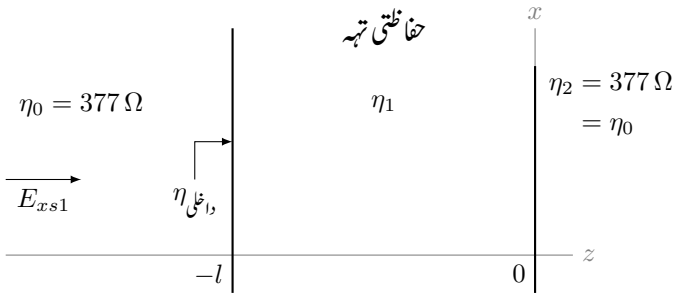

شکل 10.11: ریڈار اینٹینا پر ایسی شفاف حفاظتی تہہ چڑھائی جاتی ہے جو برقی و مقناطیسی امواج کو نہیں گھٹاتی۔

آئیں دو سرحدی مسئلے کے حقیقی مثال پر غور کریں۔ 3413

ریڈار اینٹینا کو موسمی اثرات سے بچانے کی خاطر استعمال کئے جانے والی ایسی تہہ کی بات کرتے ہیں جو ریڈار کے شعاعوں کے لئے بالکل شفاف ثابت ہوتی ہے۔ یہ تہہ عموماً اینٹینا پر گنبد کی شکل میں ہوتی ہے۔ شکل 10.11 میں ریڈار اینٹینا $z = -l$ کے بائیں جانب خلاء میں ہے جبکہ $z = 0$ تا $z = -l$ خطے میں حفاظتی تہہ ہے۔ یوں $z = 0$ کے دائیں جانب خلاء ہے جس میں ریڈار اشارات بھیجتا ہے۔ خلاء کی قدرتی رکاوٹ $377\,\Omega$ ہوتی ہے۔ ذو برق کی بنی حفاظتی تہہ کی موٹائی زیادہ نہیں رکھی جاتی تاکہ اس میں طاقت کا ضیاع کم سے کم ہو۔ حفاظتی تہہ سے انعکاس قابل قبول نہیں چونکہ اس طرح ریڈار کے امواج واپس اینٹینا کی طرف لوٹیں گے۔ ہم چاہتے ہیں کہ اینٹینا، دائیں جانب کے پورے نظام کے لئے ہم رکاوٹی ہو۔ ایسا $\eta_{\text{داخلی}} = \eta_2$ کی صورت میں ہو گا یعنی

$$377 = \eta_1 \frac{377 + j\eta_1 \tan \beta_1 l}{\eta_1 + j377 \tan \beta_1 l}$$

یا

$$j377^2 \tan \beta_1 l = j\eta_1^2 \tan \beta_1 l$$

اب تمام غیر مقناطیسی اشیاء کی $\eta_1 < 377$ ہے لہٰذا اس مساوات پر پورا صرف اس صورت اترا جا سکتا ہے جب $\beta_1 l = n\pi$ ہو۔ کم سے کم موٹائی یوں $n = 1$ کی صورت میں $l = \frac{\pi}{\beta_1}$ یعنی $l = \frac{\lambda_1}{2}$ حاصل ہوتی ہے۔ اگر ریڈار 10 GHz کی شعاعیں پیدا کرتا ہو تب ہم حفاظتی تہہ کو کم ضیاع اور ہلکے وزن کے ایسے پلاسٹک سے بنا سکتے ہیں جس کا $\epsilon_R = 2.25$ ہے۔ ہمیں تہہ کی موٹائی

$$l = \frac{\lambda_1}{2} = \frac{v_1}{2f_1} = \frac{3 \times 10^8}{2\sqrt{2.25} \times 10^{10}} = 1\,\text{cm}$$

رکھنی ہو گی۔ 3414

اگر 10 GHz پر چلنے والے ریڈار پر چڑھائی حفاظتی تہہ کی موٹائی 0.5 cm کر دی جائے تب $\beta_1 = 314.2$ اور $\eta_1 = 251.33$ لیتے ہوئے

$$\begin{aligned}\eta_{\text{داخلی}} &= 251.33 \times \frac{377 + j251.33 \tan(314.2 \times 0.005)}{251.33 + j377 \tan(314.2 \times 0.005)} \\ &\approx 167.6\,\Omega\end{aligned}$$

ہو گی۔ یوں شرح انعکاس

$$\Gamma = \frac{167.6 - 377}{167.6 + 377} = -0.3845$$

[76] ایسا اس لمحے لکھا جا سکتا ہے جب آمدی موج کا حیطہ عین پہلی سرحد پر پایا جاتا ہو۔
[77] matched
[78] half-wave matching
[79] band pass filter

ہو گا اور انعکاسی طاقت کی فی صد شرح

$$\frac{\frac{\left(E_{x10}^{-}\right)^2}{2\eta_0}}{\frac{\left(E_{x10}^{+}\right)^2}{2\eta_0}} \times 100 = |\Gamma|^2 \times 100 = 14.78\,\%$$

ہو گی۔

مشق 10.7: دو خطے آپس میں $z = 0$ پر ملتے ہیں۔ سرحد کے بائیں جانب پہلا خطہ ہے جس کے مستقل $\epsilon_{R1} = 5$ ، $\mu_{R1} = 1$ اور $\sigma_1 = 0$ ہیں۔ سرحد کے دوسری جانب مستقل $\epsilon_{R2} = 2$ ، $\mu_{R2} = 10$ اور $\sigma_2 = 0$ ہیں۔ پہلے خطے میں s حاصل کریں۔ دوسرے خطے میں s حاصل کریں اور آخر میں $z = -0.6\,\text{cm}$ پر داخلی η حاصل کریں۔

جوابات: 5 ، 1 اور $86.9\underline{/-61.8^\circ}$

10.7.1 فیبری-پیروٹ طیف پیما

بصریات کے میدان میں عموماً انحرافی مستقل[80] n استعمال کیا جاتا ہے جہاں

$$n = \sqrt{\epsilon_R} \tag{10.113}$$

کے برابر ہے۔ چونکہ فیبری-پیروٹ طیف پیما[81] بصریات میں استعمال کیا جاتا ہے لہٰذا ہم انحرافی مستقل استعمال کرتے ہوئے اس کی کارکردگی پر غور کرتے ہیں۔ خالی خلاء میں $\beta_0 = \omega\sqrt{\mu_0\epsilon_0}$ جبکہ شیشے[82] میں $\beta = \omega\sqrt{\mu_0\epsilon_0\epsilon_R}$ ہیں۔ یوں

$$\frac{\lambda_0}{\lambda} = \frac{\beta}{\beta_0} = \sqrt{\epsilon_R} = n \tag{10.114}$$

لکھا جا سکتا ہے۔

سادہ ترین صورت میں فیبری-پیروٹ طیف پیما n انحرافی مستقل کے سادہ شیشے (یا کسی دوسرے شفاف مادے) کا تختہ ہوتا ہے جس کی موٹائی l کو یوں رکھا جاتا ہے کہ درکار طول موج پر یہ مساوات 10.112

$$\lambda = \frac{\lambda_0}{n} = \frac{2l}{m} \qquad (m = 1, 2, 3 \cdots) \tag{10.115}$$

پر پورا اترے جہاں خالی خلاء میں طول موج λ_0 جبکہ شیشے کے تختے میں طول موج λ ہے۔ مندرجہ بالا مساوات سے حاصل تمام طول موج، شیشے کے تختے سے بغیر گھٹے گزرتی ہیں۔ عموماً ہم چاہتے ہیں کہ شیشے کے تختے سے صرف اور صرف ایک مخصوص طول موج گزر پائے تاکہ ایسے تمام امواج جو مندرجہ بالا مساوات پر پورا اترتے ہوں۔ ایسا یوں ممکن بنایا جا سکتا ہے کہ درکار طول موج اور مساوات 10.115 سے حاصل قریبی طول موج میں طویل

---

[80] refractive index
[81] Fabry-Perot interferometer
[82] شیشہ غیر مقناطیسی ہے لہٰذا اس کی $\mu_R = 1$ =1 ہے۔

فاصلہ ہو۔مندرجہ بالا مساوات میں m کی مختلف قیمتیں مختلف طول موج دیتی ہیں۔ایسے دو عدد قریبی طول موج جنہیں اس مساوات میں m اور $m-1$ پر کرنے سے حاصل کیا گیا ہو میں فرق

$$\lambda_{m-1} - \lambda_m = \Delta\lambda = \frac{2l}{m-1} - \frac{2l}{m} = \frac{2l}{m(m-1)} \approx \frac{2l}{m^2} \tag{10.116}$$

ہو گا۔یاد رہے کہ m شیشے میں نصف طول موج کی گنتی

$$m = \frac{2l}{\lambda} = \frac{2ln}{\lambda_0} \tag{10.117}$$

ہے۔یوں

$$\Delta\lambda = \frac{\lambda^2}{2l} \tag{10.118}$$

لکھا جا سکتا ہے جسے خالی خلاء میں طول موج λ_0 کی صورت میں

$$\Delta\lambda_0 = \frac{\lambda_0^2}{2ln} \tag{10.119}$$

لکھا جا سکتا ہے۔درکار طول موج λ_0 سے قریب تر طول موج، جو شیشے سے گزر پائے گا، کا فاصلہ $\Delta\lambda_0$ ہے جو طیفی حد[83] کہلاتی ہے۔اگر کسی طرح اس فاصلے پر پائے جانے والے طول موج کو علیحدہ کرنا ممکن ہو تب ہم λ_0 کو علیحدہ کرنے میں کامیاب ہوں گے۔طیف پیما کو بطور پٹی گزار فلٹر بھی استعمال کیا جا سکتا ہے جہاں درکار طول موج کے قریبی طول موج شیشے سے گزر پاتے ہیں جبکہ اس سے دور طول موج نہیں گزر پاتے۔

مثال 10.7: سرخ رنگ کی خالی خلاء میں طول موج 600 nm ہے۔ہمیں اس طول موج پر $\Delta\lambda_0 = 100\,\text{nm}$ فاصلے تک طول موج علیحدہ کرنے ہیں۔فیبری-پیروٹ طیف پیما میں استعمال کردہ شیشے کا انحرافی مستقل $n = 1.45$ ہے۔شیشے کی موٹائی حاصل کریں۔

حل: ہم چاہیں گے کہ طیف پیما کی $\Delta\lambda_0$ درکار قیمت سے قدر زیادہ ہو یعنی

$$l < \frac{\lambda_0^2}{2n\Delta\lambda_0} = \frac{600 \times 10^{-9} \times 600 \times 10^{-9}}{2 \times 1.45 \times 100 \times 10^{-9}} = 1.241\,\mu\text{m}$$

اتنی باریک موٹائی کا شیشہ بنانا یا اسے استعمال کرنا ناممکن سی بات ہے۔اس کا بہتر حل یہ ہو گا کہ دو شیشوں کے درمیان تقریباً یہی فاصلہ رکھا جائے۔ان دو عدد شیشوں کے قریبی سطحوں کے مابین فاصلہ کم یا زیادہ کرتے ہوئے کسی بھی طول موج کو گزارہ جا سکتا ہے۔شیشوں کے بیرونی جانب سطحوں پر انعکاس مخالف تہہ[84] چڑھائی جاتی ہے۔

---

[83] free spectral range
[84] antireflective coating

10.7.2 $\eta_1 \neq \eta_3$ کی صورت میں ہم رکاوٹ صورت کا حصول

اس حصے میں ہم مساوات 10.110 میں $\eta_1 \neq \eta_3$ کی صورت میں $\eta_{\text{داخلی}} = \eta_1$ کے حصول پر غور کرتے ہیں جس سے $\Gamma = 0$ حاصل ہوتا ہے۔

$$\beta_2 l = (2m-1)\frac{\pi}{2} \qquad (m = 1, 2, 3, \cdots)$$

یعنی

$$\frac{2\pi}{\lambda_2} l = (2m-1)\frac{\pi}{2} \qquad (m = 1, 2, 3, \cdots)$$

کی صورت میں

$$l = (2m-1)\frac{\lambda_2}{4} \tag{10.120}$$

لکھا جا سکتا ہے جس کے مطابق دوسرے خطے کی موٹائی، طول موج کے چوتھائی حصے کے طاق گنا ہے۔ایسی صورت میں مساوات 10.110 سے

$$\eta_{\text{داخلی}} = \frac{\eta_2^2}{\eta_3} \tag{10.121}$$

حاصل ہوتا ہے۔ہم دوسرے خطے کی موٹائی کے ذریعہ پہلے خطے کو تیسرے خطے کے ہم رکاوٹ بنا سکتے ہیں۔ایسی صورت میں $\eta_{\text{داخلی}} = \eta_1$ ہو گا لہٰذا مندرجہ بالا مساوات سے

$$\eta_2 = \sqrt{\eta_1 \eta_3} \tag{10.122}$$

لکھا جا سکتا ہے۔مساوات 10.120 اور مساوات 10.122 چوتھائی طول موج[85] سے ہم رکاوٹ بنانا ممکن بناتا ہے۔ انعکاس مخالف تہہ[86] کا دارومدار اسی اصول پر ہے۔

مثال 10.8: ہم 660 nm طول موج کی شعاع کے لئے $n_3 = 1.45$ انحرافی مستقل کے شیشے کو خالی خلاء $n_1 = 1$ کے ہم رکاوٹ بذریعہ انعکاس مخالف تہہ بنانا چاہتے ہیں۔اس تہہ کی کم سے کم موٹائی اور انحرافی مستقل n_2 دریافت کریں۔

حل: خالی خلاء اور شیشے کے قدرتی رکاوٹ

$$\eta_1 = 377\,\Omega$$
$$\eta_3 = \frac{377}{1.45} = 260\,\Omega$$

ہیں۔یوں مساوات 10.122 سے انعکاس مخالف تہہ کی قدرتی رکاوٹ

$$\eta_2 = \sqrt{377 \times 260} = 313\,\Omega$$

حاصل ہوتی ہے۔یوں تہہ کا انحرافی مستقل

$$n = \frac{377}{313} = 1.2$$

---

[85] quarter-wave matching
[86] antireflective coating

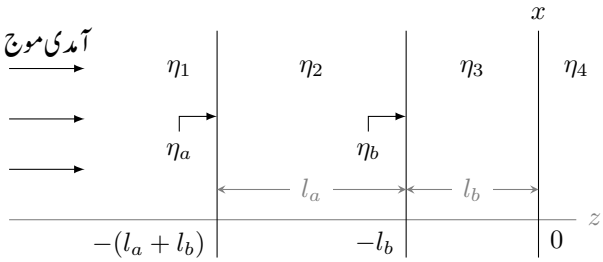

شکل 10.12: متعدد سرحدی صورت میں شرح انعکاس۔

ہو گا۔دوسرے خطے یعنی ذو برق تہہ میں طول موج

$$\lambda_2 = \frac{660}{1.2} = 550\,\text{nm}$$

ہو گا جس سے تہہ کی کم سے کم موٹائی

$$l = \frac{\lambda_2}{4} = \frac{0.1375}{\mu\text{m}}$$

حاصل ہوتی ہے۔

10.7.3 متعدد سرحدی مسئلہ

ہم تو مختلف خطوں کے درمیان سرحد پر انعکاس کو تفصیلاً دیکھ چکے ہیں۔اسی طرح ہم نے دو سرحدی صورت حال پر بھی غور کیا۔آئیں اس حصے میں متعدد سرحدی صورت میں شرح انعکاس حاصل کریں۔شکل 10.12 میں تین سرحدی مسئلہ دکھایا گیا ہے جس پر غور کرتے ہوئے متعدد سرحدی مسئلے کا حل تلاش کیا جائے گا۔

ہمیں آمدی طاقت کا وہ حصہ دریافت کرنا ہے جو تین سرحدی تہہ سے گزر نہیں پاتا بلکہ یہ انعکاس پذیر ہو کر آمدی موج کے الٹ سمت میں واپس چلے جاتا ہے۔اسی طرح ہمیں آمدی طاقت کا وہ حصہ دریافت کرنا ہے جو تینوں سرحدوں کو عبور کرتے ہوئے چوتھے خطے میں ترسیل کر پاتا ہے۔ایسا کرنے کی خاطر ہمیں پہلی سرحد پر داخلی قدرتی رکاوٹ η_a درکار ہو گی۔مسئلے کو حل کرنے کی خاطر ہمیں اختتامی سرحد سے ابتدائی سرحد کی جانب چلتے ہوئے ہر سرحد پر داخلی قدرتی رکاوٹ حاصل کرنے ہوں گے۔یوں ہم پہلے η_b حاصل کریں گے۔یوں تیسرے اور چوتھے خطے کے اثرات کو η_b سے ظاہر کرتے ہوئے ہم پہلی سرحد پر پہنچیں گے۔

مساوات 10.110 استعمال کرتے ہوئے

$$\eta_b = \eta_3 \frac{\eta_4 \cos\beta_3 l_b + j\eta_3 \sin\beta_3 l_b}{\eta_3 \cos\beta_3 l_b + j\eta_4 \sin\beta_3 l_b} \tag{10.123}$$

لکھا جا سکتا ہے۔اس طرح ہم تبادلہ رکاوٹ[87] کی مدد سے تین سرحدی مسئلے کو دو سرحدی مسئلہ بنا پائے ہیں جہاں دوسری سرحد کے دائیں جانب جو کچھ بھی ہے اسے η_b سے ظاہر کیا جاتا ہے۔اب پہلے سرحد پر مساوات 10.110 کے استعمال سے

$$\eta_a = \eta_2 \frac{\eta_b \cos\beta_2 l_a + j\eta_2 \sin\beta_2 l_a}{\eta_2 \cos\beta_2 l_a + j\eta_b \sin\beta_2 l_a} \tag{10.124}$$

---

[87] impedance transformation

لکھا جا سکتا ہے۔

آمدی طاقت کا Γ^2 حصہ انعکاسی طاقت ہو گا جہاں

$$\Gamma = \frac{\eta_a - \eta_1}{\eta_a + \eta_1} \tag{10.125}$$

کے برابر ہے۔آمدی طاقت کا بقایا حصہ یعنی $1 - \Gamma^2$ حصہ چوتھے خطے میں ترسیل ہو گا۔تبادلہ رکاوٹ کی ترکیب متعدد سرحدی مسئلے پر لاگو کیا جا سکتا ہے۔

کیمرے[88] کے عدسہ[89] پر متعدد تہہ چڑھا کر اس کی کارکردگی بہتر کی جاتی ہے۔یوں عدسہ پر پہلی تہہ کا انحرافی مستقل عدسے کے شیشے کے انحرافی مستقل کے برابر ہو گا۔اگلی تہہ کا انحرافی مستقل قدر کم ہو گا۔اسی طرح آخری تہہ کا انحرافی مستقل عین خالی خلاء کے انحرافی مستقل کے برابر ہو گا۔یوں ایک تہہ سے دوسرے تہہ میں موج بغیر انعکاس کے داخل ہو گی۔موج کو سرحد نظر ہی نہیں آتا۔

10.8 خطی، بیضوی اور دائری تقطیب

اس حصے میں تقطیب موج[90] پر غور کیا جائے گا۔خطی تقطیب اور بیضوی تقطیب کے بعد دائری تقطیب پر تبصرہ کیا جائے گا۔

اب تک اٹل سمت کے امواج پر غور کیا گیا۔یوں $\boldsymbol{a}_z$ جانب حرکت کرتا $\boldsymbol{a}_x$ سمت کا میدان

$$E_x = E_{x0} \cos(\omega t - \beta z) \tag{10.126}$$

لکھا گیا۔یہ مساوات خطی تقطیب کی مثال ہے جہاں میدان تمام اوقات صرف x سمت میں پایا جاتا ہے۔عموماً $\boldsymbol{a}_z$ جانب حرکت کرتے موج میں $\boldsymbol{a}_x$ کے علاوہ $\boldsymbol{a}_y$ جزو بھی پایا جائے گا۔ایسی صورت میں موج کے اجزاء

$$\begin{aligned} E_x &= E_1 \cos(\omega t - \beta z) \\ E_y &= E_2 \cos(\omega t - \beta z - \delta) \end{aligned} \tag{10.127}$$

ہو سکتے ہیں جہاں دونوں اجزاء کے حیطے مختلف ممکن ہیں جبکہ ان میں زاویائی فاصلہ δ بھی پایا جا سکتا ہے۔ان اجزاء کا مجموعہ

$$\boldsymbol{E} = E_1 \cos(\omega t - \beta z)\boldsymbol{a}_x + E_2 \cos(\omega t - \beta z - \delta)\boldsymbol{a}_y \tag{10.128}$$

ایسی موج کو ظاہر کرے گا۔یہ مساوات غور طلب ہے۔آئیں خلاء میں کسی بھی اٹل نقطے پر وقت تبدیل ہونے سے ایسی میدان پر غور کریں۔ہم خلاء میں $z = 0$ کو اٹل نقطہ لیتے ہوئے میدان حاصل کرتے ہیں۔

اگر $E_2 = 0$ ہو تب وقت t کے تبدیلی سے میدان کی قیمت $-E_1\boldsymbol{a}_x$ تا $+E_1\boldsymbol{a}_x$ تبدیل ہوتی ہے۔اس میدان کو تمام t کے لئے شکل 10.13-الف میں دکھایا گیا ہے۔آپ دیکھ سکتے ہیں کہ میدان کی نوک $-E_1$ تا $+E_1$ خطی لکیر پر رہتی ہے۔اسی حقیقت سے ایسے موج کی قطبیت کو خطی قطبیت[91] کہتے ہیں۔یہ موج $\boldsymbol{a}_x$ سمت میں خطی قطبیت رکھتی ہے۔اس کے برعکس اگر مساوات 10.128 میں $E_1 = 0$ ہو تب یہ $\boldsymbol{a}_y$ خطی قطبیت کی موج ہو گی جسے شکل 10.13-ب میں دکھایا گیا ہے۔اگر $E_1 = E_2 = E_{12}$ اور $\delta = 0$ ہوں تب بھی خطی قطبیت کی موج حاصل ہوتی ہے البتہ یہ موج افقی محدد کے ساتھ $45°$ کا زاویہ بناتی ہے۔شکل 10.13-پ میں اس موج کو دکھایا گیا ہے۔

---

[88] camera
[89] lens
[90] wave polarization
[91] linear polarization

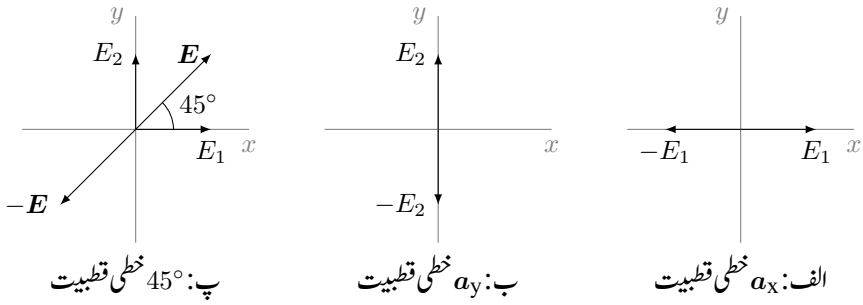

الف: $\boldsymbol{a}_x$ خطی قطبیت ب: $\boldsymbol{a}_y$ خطی قطبیت پ: 45° خطی قطبیت

شکل 10.13: خطی، دائری اور بیضوی قطبیت۔

آئیں اب ذرہ دلچسپ صورت حال دیکھیں۔نقطہ $z = 0$ پر مساوات 10.127

$$\begin{aligned} E_x &= E_1 \cos \omega t \\ E_y &= E_2 \cos(\omega t - \delta) \end{aligned} \tag{10.129}$$

صورت اختیار کر لیتے ہیں جس میں E_y کو

$$E_y = E_2 \left(\cos \omega t \cos \delta + \sin \omega t \sin \delta\right)$$

لکھنا ممکن ہے۔اس مساوات میں، E_x کی مساوات استعمال کرتے ہوئے، $\cos \omega t = \frac{E_x}{E_1}$ اور $\sin \omega t = \sqrt{1 - \left(\frac{E_x}{E_1}\right)^2}$ پر کر کے

$$E_y = E_2 \left[\frac{E_x}{E_1} \cos \delta + \sqrt{1 - \left(\frac{E_x}{E_1}\right)^2} \sin \delta\right]$$

ملتا ہے جسے

$$\frac{E_x^2}{E_1^2} - 2\frac{E_x}{E_1}\frac{E_y}{E_2} \cos \delta + \frac{E_y^2}{E_2^2} = \sin^2 \delta \tag{10.130}$$

یا

$$a E_x^2 - b E_x E_y + c E_y^2 = 1 \tag{10.131}$$

لکھا جا سکتا ہے جہاں

$$a = \frac{1}{E_1^2 \sin^2 \delta} \qquad b = \frac{2 \cos \delta}{E_1 E_2 \sin^2 \delta} \qquad c = \frac{1}{E_2^2 \sin^2 \delta} \tag{10.132}$$

لئے گئے ہیں۔مساوات 10.131 بیضوی قطبیت[92] کی عمومی مساوات ہے۔ 3463

مساوات 10.130 میں $E_1 = E_2 = E_0$ اور $\delta = \mp 90°$ کی صورت میں

$$E_x^2 + E_y^2 = E_0^2 \tag{10.133}$$

حاصل ہوتا ہے جو دائرے کی مساوات ہے اور جسے شکل 10.14-الف میں دکھایا گیا ہے۔شکل میں E_1 اور E_2 بھی ظاہر کئے گئے ہیں جن کی لمبائی برابر ہے۔مساوات 10.129 سے $\delta = +90°$ کی صورت میں $\omega t = 0$ پر

$$\begin{aligned} E_x &= E_0 \cos 0 = E_0 \\ E_y &= E_0 \cos(0 - 90°) = 0 \qquad (\delta = +90°) \end{aligned}$$

[92] elliptic polarization

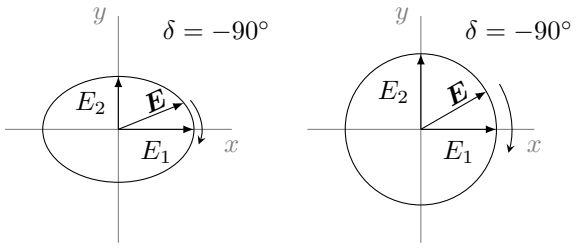

ب: بیضوی قطبیت　　الف: دائری قطبیت

شکل 10.14: دائری اور بیضوی قطبیت۔

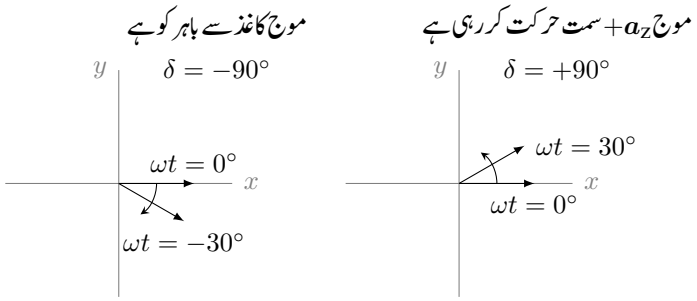

ب: بایاں دائری قطبیت　　الف: دایاں دائری قطبیت

شکل 10.15: دائیں ہاتھ اور بائیں ہاتھ کی دائری قطبیت۔

حاصل ہوتے ہیں جبکہ کچھ ہی لمحے بعد $\omega t = 30°$ کی صورت میں

$$E_x = E_0 \cos 30° = 0.866 E_0$$
$$E_y = E_0 \cos(30° - 90°) = 0.5 E_0 \qquad (\delta = +90°)$$

حاصل ہوتا ہے۔ شکل 10.15-الف میں دونوں اوقات پر موج دکھائی گئی ہے۔ آپ دیکھ سکتے ہیں کہ بڑھتے وقت کے ساتھ میدان کی نوک دائرے پر گھڑی کے الٹ سمت میں حرکت کرتی ہے۔ اس شکل میں موج کے حرکت کی سمت a_z کاغذ سے باہر کو ہے۔ اگر دائیں ہاتھ کے انگوٹھے کو موج کے حرکت کی سمت میں رکھا جائے تو اس ہاتھ کی بقایا چار انگلیاں دائرے پر میدان کی نوک کی حرکت کا سمت دیتی ہیں۔ یوں $\delta = +90°$ کی صورت میں مساوات 10.133 دائیں دائری قطبیت[93] کی موج کو ظاہر کرتا ہے۔

اسی طرح $\delta = -90°$ کی صورت میں بائیں دائری قطبیت[94] حاصل ہوتی ہے جسے شکل 10.15-ب میں دکھایا گیا ہے۔

دائیں ہاتھ قطبی موج سے مراد وہ موج ہے جو آپ کی طرف حرکت کرتے ہوئے آپ کو گھڑی کے الٹ گھومتی نظر آئے۔ کسی موج کی قطبیت سے مراد وہ قطبیت ہے جو دیکھنے والے کی طرف حرکت کرتی موج کی قطبیت ہو گی۔

جہاں بھی غلطی کی گنجائش ہو وہاں بہتر ہوتا ہے کہ قطبیت کا ذکر کرتے وقت حرکت کی سمت کا بھی ذکر کیا جائے۔

مساوات 10.130 میں $\delta = \mp 90°$ اور $E_1 \neq E_2$ کی صورت میں بیضوی موج حاصل ہوتی ہے جسے شکل 10.14-ب میں دکھایا گیا ہے۔

شکل 10.16 میں مساوات 10.130 کی عمومی شکل دکھائی گئی ہے جس میں $\delta \neq 90°$ اور $E_1 \neq E_2$ ہیں۔ اس شکل میں ترخیم[95] افقی محدد کے

[93] right circular polarization
[94] left circular polarization

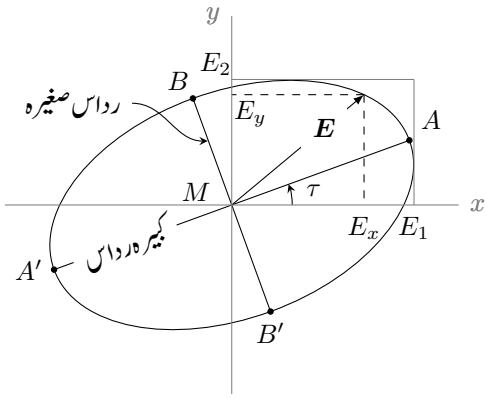

شکل 10.16: عمومی بیضوی قطبیت۔

ساتھ τ زاویہ بناتا ہے۔یوں $\tau = 15^\circ$ کی صورت میں یہ 15° قطبی موج کہلائے گی۔ شکل 10.16 میں رداس کبیرہ MA اور رداس صغیرہ MB کی شرح کو شرح رداس[96]

$$\text{شرح رداس} = \frac{AA'}{BB'} \tag{10.134}$$

کہا جاتا ہے جبکہ τ موج کا زاویہ جھکاو[97] کہلاتا ہے۔ AA' محور کبیرہ اور BB' محور صغیرہ کہلاتے ہیں۔

مثال 10.9: برقی موج $\boldsymbol{E} = 3\cos(\omega t - \beta z - 45^\circ)\boldsymbol{a}_\mathrm{x} - 4\cos(\omega t - \beta z + 30^\circ)\boldsymbol{a}_\mathrm{y}$ کا شرح رداس اور $z = 0$ پر زاویہ جھکاو حاصل کریں۔

حل: پہلے موج کا زیادہ سے زیادہ حیطہ اور کم سے کم حیطہ دریافت کرتے ہیں۔کسی بھی تفاعل $f(x)$ کی زیادہ سے زیادہ یا کم سے کم قیمت دریافت کرنے کی خاطر پہلے وہ نقطہ x_0 دریافت کیا جاتا ہے جہاں درکار قیمت پائی جائے گی۔یہ نقطہ $\frac{\mathrm{d}f}{\mathrm{d}x} = 0$ سے حاصل ہوتا ہے۔

دی گئی برقی موج کی عمومی صورت

$$\boldsymbol{E} = E_x \cos\theta + E_y \cos(\theta + \delta) \tag{10.135}$$

ہے جس سے

$$|\boldsymbol{E}|^2 = E_x^2 \cos^2\theta + E_y^2 \cos^2(\theta + \delta)$$

لکھا جا سکتا ہے۔ہمیں متغیرہ θ کی وہ قیمت درکار ہے جس پر $|\boldsymbol{E}|^2$ زیادہ سے زیادہ یا کم سے کم پایا جائے گا۔اس تفاعل کا تفرق صفر کے برابر پر کرتے ہیں۔

$$-2E_x^2 \cos\theta \sin\theta - 2E_y^2 \cos(\theta + \delta)\sin(\theta + \delta) = 0$$

اس میں $\sin 2\alpha = 2\sin\alpha\cos\alpha$ استعمال کرتے ہوئے یوں لکھا جا سکتا ہے۔

$$E_x^2 \sin 2\theta + E_y^2 \sin[2(\theta + \delta)] = 0$$

---

[95] ellipse
[96] axial ratio
[97] tilt angle

اب $\sin(2\theta+2\delta)=\sin 2\theta\cos 2\delta+\cos 2\theta\sin 2\delta$ پر کرتے ہیں۔

$$E_x^2\sin 2\theta+E_y^2[\sin 2\theta\cos 2\delta+\cos 2\theta\sin 2\delta]=0$$

اس سے یوں لکھا جا سکتا ہے

$$\tan 2\theta=\frac{\sin 2\theta}{\cos 2\theta}=\frac{-E_y^2\sin 2\delta}{E_x^2+E_y^2\cos 2\delta}$$

جس سے

$$\theta_{01}=\frac{1}{2}\tan^{-1}\left(\frac{-E_y^2\sin 2\delta}{E_x^2+E_y^2\cos 2\delta}\right) \tag{10.136}$$

حاصل ہوتا ہے۔ محور کبیرہ اور محور صغیرہ میں 90° کا فرق پایا جاتا ہے لہٰذا دوسرا محور

$$\theta_{02}=90^\circ+\theta_{01} \tag{10.137}$$

پر ہو گا۔ان میں ایک نقطے پر تفاعل کی کم سے کم قیمت حاصل ہو گی جبکہ دوسرے نقطے پر تفاعل کی زیادہ سے زیادہ قیمت حاصل ہو گی۔

سوال میں دی گئی موج میں $\omega t-\beta z-45^\circ=\theta$ پر کرنے سے اسے

$$\boldsymbol{E}=3\cos\theta-4\cos(\theta+75^\circ)$$

لکھا جا سکتا ہے۔یوں مساوات 10.136 اور مساوات 10.137 سے

$$\theta_{01}=\omega t-\beta z-45^\circ=\frac{1}{2}\tan^{-1}\left(\frac{-(-4)^2\sin(2\times 75^\circ)}{3^2+(-4^2\cos(2\times 75^\circ)}\right)=29.37^\circ$$
$$\theta_{02}=90^\circ+29.37=119.37^\circ$$

حاصل ہوتے ہیں۔پہلے نقطے پر محور

$$\begin{aligned}\boldsymbol{E}&=3\cos 29.37^\circ\boldsymbol{a}_{\mathrm{x}}-4\cos(29.37^\circ+75^\circ)\boldsymbol{a}_{\mathrm{y}}\\&=2.6144\boldsymbol{a}_{\mathrm{x}}+0.9927\boldsymbol{a}_{\mathrm{y}}\\&=2.797\underline{/20.792^\circ}\end{aligned}$$

جبکہ دوسرے نقطے پر محور

$$\begin{aligned}\boldsymbol{E}&=-1.471\boldsymbol{a}_{\mathrm{x}}+3.875\boldsymbol{a}_{\mathrm{y}}\\&=4.145\underline{/110.79^\circ}\end{aligned}$$

پایا جائے گا۔دوسرے محور کی لمبائی زیادہ ہے لہٰذا یہ محور کبیرہ ہے۔ شرح رداس

$$\frac{4.145}{2.797}=1.42$$

ہے جبکہ محور کبیرہ کا زاویہ جھکاو 110.79° یا -69.11° دیتا ہے۔شکل 10.17 میں نتائج دکھائے گئے ہیں۔

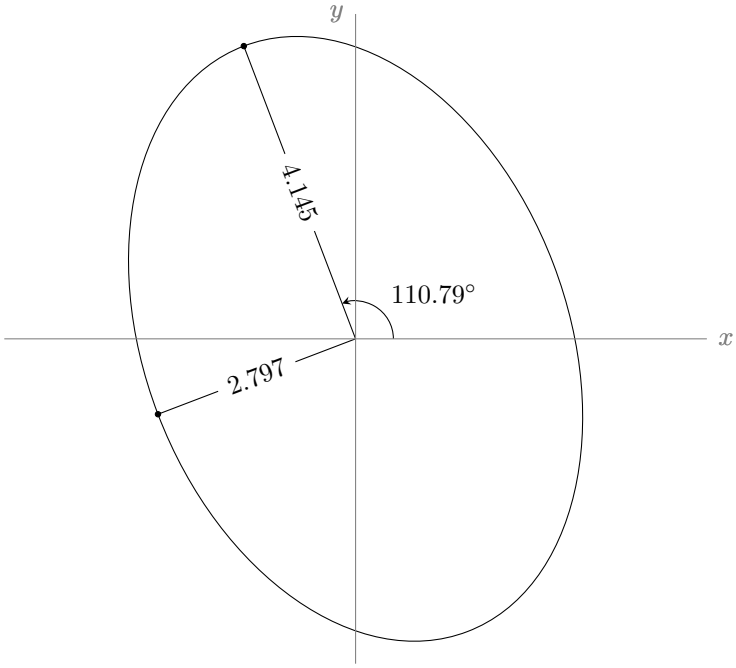

شکل 10.17: مثال 10.9 کی بیضوی قطبی موج۔

مثال 10.10: صفحہ کتاب کے عمودی باہر کی جانب موج کے اجزاء $E_x = 5\cos\omega t$ اور $E_y = 15\cos(\omega t + 90^\circ)$ ہیں۔موج کی شرح رداس، تقطیب اور زاویہ جھکاو حاصل کریں۔

حل:

$$\text{شرح رداس} = \frac{15}{5} = 3$$

کبیرہ اور صغیرہ رداس برابر نہ ہونے کی وجہ سے بیضوی موج پائی جائے گی۔گھومنے کی سمت دریافت کرنے کی خاطر ہم کسی بھی دو قریبی لمحات پر موج کو دیکھتے ہیں۔یوں لمحہ $\omega t = 0$ پر

$$\begin{aligned} E_x &= 5\cos 0^\circ = 5 \\ E_y &= 15\cos 90^\circ = 0 \end{aligned}$$

ہوں گے جبکہ $\omega t = 30^\circ$ پر

$$\begin{aligned} E_x &= 5\cos 30^\circ = 4.33 \\ E_y &= 15\cos(30^\circ + 90^\circ) = -7.5 \end{aligned}$$

ہوں گے۔ان نتائج سے صاف ظاہر ہے کہ موج گھڑی کی سمت گھوم رہی ہے لہٰذا یہ بائیں بیضوی قطبی موج کہلائے گی۔

چونکہ کبیرہ رداس y محدد جبکہ صغیرہ رداس x محدد پر ہیں لہٰذا زاویہ جھکاو 90° ہے۔

مثال 10.11: موج کی دوری سمتی مساوات $\boldsymbol{E}_s = E_0(\boldsymbol{a}_\mathrm{x} - j\boldsymbol{a}_\mathrm{y})e^{-j\beta z}$ ہے۔موج کی حقیقی مساوات حاصل کرتے ہوئے اس کی قطبیت دریافت کریں۔

حل:موج کو حقیقی شکل میں لکھنے کی خاطر دوری سمتی مساوات کو $e^{j\omega t}$ سے ضرب دیتے ہوئے یولر مماثل کا استعمال کرتے ہیں۔

$$\begin{aligned}\boldsymbol{E} &= E_0(\boldsymbol{a}_\mathrm{x} - j\boldsymbol{a}_\mathrm{y})e^{j(\omega t-\beta z)}\\ &= E_0(\boldsymbol{a}_\mathrm{x} - j\boldsymbol{a}_\mathrm{y})[\cos(\omega t-\beta z) + j\sin(\omega t-\beta z)]\\ &= E_0[\boldsymbol{a}_\mathrm{x}\cos(\omega t-\beta z) + \boldsymbol{a}_\mathrm{y}\sin(\omega t-\beta z)] + jE_0[\boldsymbol{a}_\mathrm{x}\sin(\omega t-\beta z) - \boldsymbol{a}_\mathrm{y}\cos(\omega t-\beta z)]\end{aligned}$$

اس کا حقیقی جزو

$$\boldsymbol{E} = E_0[\boldsymbol{a}_\mathrm{x}\cos(\omega t-\beta z) + \boldsymbol{a}_\mathrm{y}\sin(\omega t-\beta z)]$$

یعنی

$$\boldsymbol{E} = E_0[\boldsymbol{a}_\mathrm{x}\cos(\omega t-\beta z) + \boldsymbol{a}_\mathrm{y}\cos(\omega t-\beta z-90^\circ)] \quad \text{دایاں دائری قطبی} \tag{10.138}$$

ہے جو حقیقی موج کی مساوات ہے۔

کسی بھی نقطے مثلاً $z=0$ پر دو قریبی لمحات پر موج کو دیکھتے ہوئے، اس کے گھومنے کی سمت دیکھی جا سکتی ہے۔لمحہ $\omega t = 0$ پر موج $\boldsymbol{a}_\mathrm{x}$ سمت میں ہے جبکہ لمحہ $\omega t = 90^\circ$ پر موج $\boldsymbol{a}_\mathrm{y}$ سمت میں ہے۔یوں موج الٹ گھڑی گھوم رہی ہے۔چونکہ رداس کبیرہ اور رداس صغیرہ برابر ہیں لہٰذا یہ دائری موج ہے۔اس موج کو دائیں دائری قطبی موج کہا جائے گا۔سوال 10.48 میں آپ سے گزارش کی گئی ہے کہ بایاں دائری قطبی موج کی مساوات

$$\boldsymbol{E} = E_0[\boldsymbol{a}_\mathrm{x}\cos(\omega t-\beta z) + \boldsymbol{a}_\mathrm{y}\cos(\omega t-\beta z+90^\circ)] \quad \text{بایاں دائری قطبی} \tag{10.139}$$

حاصل کریں۔

مشق 10.8: موج کی دوری سمتی مساوات $\boldsymbol{E}_s = E_0(\boldsymbol{a}_\mathrm{x} - j\boldsymbol{a}_\mathrm{y})e^{j\beta z}$ ہے۔موج کی حقیقی مساوات حاصل کرتے ہوئے اس کی قطبیت دریافت کریں۔

جواب:دھیان رہے کہ یہ موج منفی z محدد کی جانب حرکت کر رہی ہے۔یوں یہ بائیں دائری قطبی موج ہے۔

مثال 10.12: دائیں دائری قطبی موج $E_0(\boldsymbol{a}_\mathrm{x} - j\boldsymbol{a}_\mathrm{y})e^{-j\beta z}$ اور بائیں دائری قطبی موج $E_0(\boldsymbol{a}_\mathrm{x} + j\boldsymbol{a}_\mathrm{y})e^{-j\beta z}e^{j\delta}$ میں δ زاویائی فرق پایا جاتا ہے۔ان کا مجموعہ دریافت کریں۔

حل: ان کا مجموعہ

$$\begin{aligned}\boldsymbol{E} &= E_0(\boldsymbol{a}_\mathrm{x} - j\boldsymbol{a}_\mathrm{y})e^{-j\beta z} + E_0(\boldsymbol{a}_\mathrm{x} + j\boldsymbol{a}_\mathrm{y})e^{-j\beta z}e^{j\delta}\\ &= E_0[(1+e^{j\delta})\boldsymbol{a}_\mathrm{x} - j(1-e^{j\delta})\boldsymbol{a}_\mathrm{y}]e^{-j\beta z}\end{aligned}$$

ہو گا۔اس سے $e^{j\frac{\delta}{2}}$ باہر نکالتے ہوئے

$$\boldsymbol{E} = E_0 e^{j\frac{\delta}{2}}[(e^{-j\frac{\delta}{2}} + e^{j\frac{\delta}{2}})\boldsymbol{a}_\mathrm{x} - j(e^{-j\frac{\delta}{2}} - e^{j\frac{\delta}{2}})\boldsymbol{a}_\mathrm{y}]e^{-j\beta z}$$

لکھا جا سکتا ہے جس میں $e^{j\frac{\delta}{2}} + e^{j\frac{\delta}{2}} = 2\cos\frac{\delta}{2}$ اور $e^{j\frac{\delta}{2}} - e^{j\frac{\delta}{2}} = j2\sin\frac{\delta}{2}$ پر کرنے سے

$$\boldsymbol{E} = 2E_0\left[\cos\left(\frac{\delta}{2}\right)\boldsymbol{a}_\mathrm{x} + \sin\left(\frac{\delta}{2}\right)\boldsymbol{a}_\mathrm{y}\right]e^{-j(\beta z - \frac{\delta}{2})} \tag{10.140}$$

حاصل ہوتا ہے۔مساوات 10.140 خطی قطبی موج ہے جو x محدد کے ساتھ $\frac{\delta}{2}$ زاویے پر ہے۔اس مثال سے ثابت ہوا کہ کسی بھی خطی قطبی موج کو دو عدد دائری قطبی امواج کا مجموعی تصور کیا جا سکتا ہے۔

10.9 بیضوی یا دائری قطبی امواج کا پوئنٹنگ سمتیہ

کسی بھی موج کی اوسط طاقت مساوات 10.56

$$\mathscr{P}_{\text{اوسط}} = \frac{1}{2}\left[\boldsymbol{E}_s \times \boldsymbol{H}_s^*\right]_{\text{حقیقی}}$$

سے حاصل کی جا سکتی ہے۔شکل 10.16 کے عمومی بیضوی قطبی موج کے x اور y اجزاء

$$E_{sx} = E_1 e^{j(\omega t - \beta z)} \tag{10.141}$$

$$E_{sy} = E_2 e^{j(\omega t - \beta z + \delta)} \tag{10.142}$$

میں δ زاویائی فرق پایا جاتا ہے۔کسی بھی نقطے پر کل برقی میدان ان اجزاء کا سمتی مجموعہ ہو گا جسے نقطہ $z = 0$ پر

$$\boldsymbol{E}_s = \boldsymbol{a}_\mathrm{x} E_1 e^{j\omega t} + \boldsymbol{a}_\mathrm{y} E_2 e^{j(\omega t + \delta)} \tag{10.143}$$

لکھا جا سکتا ہے۔چونکہ

$$\frac{\boldsymbol{E}}{\boldsymbol{H}} = \eta = |\eta|\, e^{j\theta_\eta}$$

ہوتا ہے لہٰذا مساوات 10.141 کی جوڑی مقناطیسی موج

$$H_{sy} = \frac{E_{sx}}{|\eta|}e^{-j\theta_\eta} = \frac{E_1}{|\eta|}e^{j(\omega t - \beta z - \theta_\eta)} = H_1 e^{j(\omega t - \beta z - \theta_\eta)}$$

ہو گی۔اسی طرح مساوات 10.142 کی جوڑی

$$H_{sx} = -H_2 e^{j(\omega t - \beta z + \delta - \theta_\eta)} \tag{10.144}$$

ہو گی۔ کسی بھی نقطے پر مقناطیسی میدان ان اجزاء کا سمتی مجموعہ ہو گا جسے نقطہ $z = 0$ پر

$$\boldsymbol{H}_s = -\boldsymbol{a}_x H_2 e^{j(\omega t+\delta-\theta_\eta)} + \boldsymbol{a}_y H_1 e^{j(\omega t-\theta_\eta)} \tag{10.145}$$

لکھا جا سکتا ہے۔ جوڑی دار مخلوط $\boldsymbol{H}_s$ کی قیمت مندرجہ بالا مساوات میں مثبت j کو منفی اور منفی j کو مثبت لکھ کر حاصل ہوتا ہے یعنی

$$\boldsymbol{H}_s^* = -\boldsymbol{a}_x H_2 e^{-j(\omega t+\delta-\theta_\eta)} + \boldsymbol{a}_y H_1 e^{-j(\omega t-\theta_\eta)} \tag{10.146}$$

مخلوط پوئنٹنگ سمتیہ سے اوسط طاقت

$$\begin{aligned}\boldsymbol{\mathscr{P}}_{\text{اوسط}} &= \frac{1}{2}\left[\left(\boldsymbol{a}_x E_1 e^{j\omega t} + \boldsymbol{a}_y E_2 e^{j(\omega t+\delta)}\right) \times \left(-\boldsymbol{a}_x H_2 e^{-j(\omega t+\delta-\theta_\eta)} + \boldsymbol{a}_y H_1 e^{-j(\omega t-\theta_\eta)}\right)\right]_{\text{حقیقی}} \\ &= \frac{1}{2}\boldsymbol{a}_z\left[E_1 H_1 e^{j\theta_\eta} + E_2 H_2 e^{j\theta_\eta}\right]_{\text{حقیقی}}\end{aligned}$$

یعنی

$$\boldsymbol{\mathscr{P}}_{\text{اوسط}} = \frac{1}{2}\boldsymbol{a}_z\left(E_1 H_1 + E_2 H_2\right)\cos\theta_\eta \tag{10.147}$$

حاصل ہوتی ہے۔ آپ دیکھ سکتے ہیں کہ طاقت δ پر بالکل منحصر نہیں ہے۔ 3505

بے ضیاع خطے میں برقی اور مقناطیسی میدان ہم قدم ہوتے ہیں۔ ان میں $\frac{E_1}{H_1} = \frac{E_2}{H_2} = \eta_0$ کے برابر ہوتا ہے جہاں حقیقی قدرتی رکاوٹ کا زاویہ $\theta_\eta = 0$ ہے۔ ایسے خطے میں

$$\begin{aligned}\boldsymbol{\mathscr{P}}_{\text{اوسط}} &= \frac{1}{2}\boldsymbol{a}_z\left(E_1 H_1 + E_2 H_2\right) \\ &= \frac{1}{2}\boldsymbol{a}_z\left(H_1^2 + H_2^2\right)\eta_0 = \frac{1}{2}\boldsymbol{a}_z H^2 \eta_0\end{aligned} \tag{10.148}$$

ہو گا جہاں $H = \sqrt{H_1^2 + H_2^2}$ کے برابر ہے۔ اس مساوات کو

$$\begin{aligned}\boldsymbol{\mathscr{P}}_{\text{اوسط}} &= \frac{1}{2}\boldsymbol{a}_z\left(E_1 H_1 + E_2 H_2\right) \\ &= \frac{1}{2}\boldsymbol{a}_z\frac{E_1^2 + E_2^2}{\eta_0} = \frac{1}{2}\frac{E^2}{\eta_0}\boldsymbol{a}_z\end{aligned} \tag{10.149}$$

بھی لکھا جا سکتا ہے جہاں $E = \sqrt{E_1^2 + E_2^2}$ کے برابر ہے۔ 3506

جس بیضوی موج کے اجزاء مساوات 10.141 اور مساوات 10.142 میں دئے گئے ہیں، اس موج کی طاقت مساوات 10.149 دیتی ہے۔ آپ دیکھ سکتے 3507
ہیں کہ مجموعی بیضوی موج کی طاقت دونوں اجزاء کی علیحدہ علیحدہ طاقت $\frac{E_1^2}{2\eta_0}$ اور $\frac{E_2^2}{2\eta_0}$ کے مجموعے کے برابر ہے۔ 3508

مثال 10.13: خلاء میں بیضوی قطبی موج کے اجزاء

$$\begin{aligned}E_x &= 2\cos(\omega t - \beta z) \\ E_y &= 3\cos(\omega t - \beta z + 75^\circ)\end{aligned}$$

وولٹ فی میٹر ہیں۔ موج کی فی مربع میٹر اوسط طاقت دریافت کریں۔ 3509

حل: خالی خلاء کی قدرتی رکاوٹ $\eta = 120\pi$ لیتے ہوئے مساوات 10.149 سے

$$\mathscr{P}_{\text{اوسط}} = \frac{1}{2}\frac{2^2+3^2}{120\pi} = 17.24\,\frac{\text{mW}}{\text{m}^2}$$

حاصل ہوتا ہے۔

سوالات

سوال 10.1: خالی خلاء میں $\boldsymbol{a}_z$ سمت میں حرکت کرتی، 600 MHz تعدد کے مستوی برقی موج $\boldsymbol{E}$ کی چوٹی لمحہ $t = 1\,\text{ns}$ پر $z = 0.3\,\text{m}$ پر پائی جاتی ہے۔ یہ چوٹی $310\,\frac{\text{V}}{\text{m}}$ کے برابر ہے۔ الف) برقی میدان $\boldsymbol{a}_x$ سمت میں ہونے کی صورت میں سائن نما $\boldsymbol{E}$ اور $\boldsymbol{H}$ امواج کے مساوات لکھیں۔ ب) میدان سمتیہ $5\boldsymbol{a}_x - 2\boldsymbol{a}_y$ کی سمت میں ہونے کی صورت میں سائن نما $\boldsymbol{E}_s$ اور $\boldsymbol{H}_s$ امواج کی مساوات لکھیں۔

جواب: $\boldsymbol{E} = 310\boldsymbol{a}_x \cos(12\pi \times 10^8 t - 4\pi z)$ ، $\boldsymbol{H} = \frac{31}{12\pi}\boldsymbol{a}_y \cos(12\pi \times 10^8 t - 4\pi z)$ ،
$\boldsymbol{E}_s = 310\left[\frac{5}{\sqrt{29}}\boldsymbol{a}_x - \frac{2}{\sqrt{29}}\boldsymbol{a}_y\right] e^{-j4\pi z}$ ، $\boldsymbol{H}_s = \frac{31}{12\pi}\left[\frac{2}{\sqrt{29}}\boldsymbol{a}_x + \frac{5}{\sqrt{29}}\boldsymbol{a}_y\right] e^{-j4\pi z}$

سوال 10.2: خالی خلاء میں نقطہ $N(3,-2,5)$ پر $\boldsymbol{a}_z$ جانب حرکت کرتی، 200 MHz تعدد کے برقی میدان کی سائن نما مستوی موج کی چوٹی لمحہ $t = 0$ پر $\boldsymbol{E}_0 = 150\boldsymbol{a}_x + 210\boldsymbol{a}_y\,\frac{\text{V}}{\text{m}}$ پائی جاتی ہے۔ الف) λ ، β ، $\boldsymbol{a}_E$ ، $\boldsymbol{a}_H$ ، H_0 اور مقناطیسی موج $\boldsymbol{H}_s$ حاصل کریں۔ ب) لمحہ $t = 0$ پر نقطہ N پہ برقی میدان کی شدت حاصل کریں۔ پ) لمحہ $t = 1.5\,\text{ns}$ پر نقطہ N پہ برقی میدان کی شدت حاصل کریں۔ ت) نقطہ $P(5,3,7)$ پہ لمحہ $t = 2\,\text{ns}$ پر برقی میدان کی شدت حاصل کریں۔

جوابات: $\lambda = \frac{3}{2}\,\text{m}$ ، $\beta = 4.2\,\frac{\text{rad}}{\text{m}}$ ، $\boldsymbol{a}_E = 0.51\boldsymbol{a}_x + 0.86\boldsymbol{a}_y$ ، $\boldsymbol{a}_H = -0.86\boldsymbol{a}_x + 0.51\boldsymbol{a}_y$ ،
$H_0 = 0.7733\,\frac{\text{A}}{\text{m}}$ ، $\boldsymbol{H}_s = 0.7733(-0.86\boldsymbol{a}_x + 0.51\boldsymbol{a}_y)e^{-j4.2z}$ ، $292\,\frac{\text{V}}{\text{m}}$ ، $-90\,\frac{\text{V}}{\text{m}}$ ، $266\,\frac{\text{V}}{\text{m}}$

سوال 10.3: خالی خلاء میں مستوی موج $\boldsymbol{E}_s = \boldsymbol{E}_0 e^{-j6z}$ دی گئی ہے۔ الف) موج کی تعدد ω حاصل کریں۔ ب) برقی میدان کا حیطہ بالترتیب $\boldsymbol{E}_0 = 50\boldsymbol{a}_x$ ، $\boldsymbol{E}_0 = (5+j10)\boldsymbol{a}_x$ ، $\boldsymbol{E}_0 = 50\boldsymbol{a}_x + 80\boldsymbol{a}_y$ اور $\boldsymbol{E}_0 = (30\underline{/45^\circ})\boldsymbol{a}_x$ ہونے کی صورت میں لمحہ $t = 0$ پر نقطہ $N(0,0,0)$ پہ $|\boldsymbol{E}|$ حاصل کریں۔

جوابات: $1.8\,\frac{\text{Grad}}{\text{s}}$ ، $50\,\frac{\text{V}}{\text{m}}$ ، $11.18\,\frac{\text{V}}{\text{m}}$ ، $94.3\,\frac{\text{V}}{\text{m}}$ ، $11.18\,\frac{\text{V}}{\text{m}}$ ، $21.2\,\frac{\text{V}}{\text{m}}$ ،

سوال 10.4: خالی خلاء میں 350 MHz تعدد کی مستوی موج $\boldsymbol{E}_s = (5+j2)(3\boldsymbol{a}_x - j4\boldsymbol{a}_y)e^{j\beta z}\,\frac{\text{V}}{\text{m}}$ پائی جاتی ہے۔ λ اور β کی قیمتیں دریافت کریں۔ لمحہ $t = 1.4\,\text{ns}$ پر نقطہ $z = 40\,\text{cm}$ پہ $\boldsymbol{E}$ حاصل کریں۔ موج کا حیطہ حاصل کریں۔

جواب: $\lambda = \frac{6}{7}\,\text{m}$ ، $\beta = \frac{7\pi}{3}\,\frac{\text{rad}}{\text{m}}$ ، $\boldsymbol{E}(z = 40\text{cm}, t = 1.4\,\text{ns}) = 13.96\boldsymbol{a}_x - 10.84\boldsymbol{a}_y\,\frac{\text{V}}{\text{m}}$ ، $|\boldsymbol{E}|_{\text{بلند تر}} = 26.9\,\frac{\text{V}}{\text{m}}$

سوال 10.5: ایسا خطہ جس کے مستقل $\mu_R = 1$ ، $\epsilon_R = 4.4$ اور $\sigma = 0$ ہیں میں بڑھتے x محدد کی جانب حرکت کرتی، 250 MHz تعدد کی مستوی برقی موج پائی جاتی ہے۔ برقی میدان $\boldsymbol{a}_y$ سمت میں ہے۔ مندرجہ ذیل حاصل کریں۔ v_p ، β ، λ ، η $\boldsymbol{E}_s$ ، $\boldsymbol{H}_s$ اور $\mathscr{P}_{\text{اوسط}}$ ؛

جوابات: $v_p = 1.429 \times 10^8\,\frac{\text{m}}{\text{s}}$ ، $\beta = 10.99\,\frac{\text{rad}}{\text{m}}$ ، $\lambda = 57.2\,\text{cm}$ ، $\eta = 179.6\,\Omega$ ، $\boldsymbol{E}_s = E_0 e^{-j10.99x}\boldsymbol{a}_y\,\frac{\text{V}}{\text{m}}$ ،
$\boldsymbol{H}_s = \frac{E_0}{179.6}e^{-j10.99x}\boldsymbol{a}_z\,\frac{\text{A}}{\text{m}}$ ، $\mathscr{P}_{\text{اوسط}} = \frac{E_0^2}{359.2}\boldsymbol{a}_x\,\frac{\text{W}}{\text{m}^2}$

سوال 10.6: مستوی برقی موج $\boldsymbol{E} = E_0 e^{-\alpha z}\sin(\omega t - \beta z)\boldsymbol{a}_y\,\frac{\text{V}}{\text{m}}$ اور $\eta = |\eta_0|\,e^{j\phi}$ دیے گئے ہیں۔ الف) دوری سمتیات $\boldsymbol{E}_s$ اور $\boldsymbol{H}_s$ حاصل کریں۔ ب) $\mathscr{P}_{\text{اوسط}}$ حاصل کریں۔

جوابات: $\boldsymbol{E}_s = E_0 e^{-\alpha z}e^{-j(\beta z+\pi)}\boldsymbol{a}_y\,\frac{\text{V}}{\text{m}}$ ، $\boldsymbol{H}_s = -\frac{E_0}{|\eta_0|}e^{-\alpha z}e^{-j(\beta z+\pi+\phi)}\boldsymbol{a}_x\,\frac{\text{A}}{\text{m}}$ ، $\mathscr{P}_{\text{اوسط}} = \frac{E_0^2}{2|\eta_0|}e^{-2\alpha z}\cos\phi\,\boldsymbol{a}_z\,\frac{\text{W}}{\text{m}^2}$

سوال 10.7: خالی خلاء میں $\boldsymbol{E} = (30\boldsymbol{a}_{\mathrm{y}} + 22\boldsymbol{a}_{\mathrm{z}})\cos(\omega t - 60x)\,\frac{\mathrm{V}}{\mathrm{m}}$ پایا جاتا ہے۔ الف) λ اور ω حاصل کریں۔ ب) دوری سمتیات $\boldsymbol{E}_s$ اور $\boldsymbol{H}_s$ لکھیں۔ پ) اوسط $\boldsymbol{\mathscr{P}}$ حاصل کریں۔

جوابات: $\lambda = \frac{\pi}{30}\,\mathrm{m}$ ، $\omega = 1.8 \times 10^{10}\,\frac{\mathrm{rad}}{\mathrm{s}}$ ، $\boldsymbol{E}_s = (30\boldsymbol{a}_{\mathrm{y}} + 22\boldsymbol{a}_{\mathrm{z}})e^{-j60x}\,\frac{\mathrm{V}}{\mathrm{m}}$ ، $\boldsymbol{H}_s = \frac{1}{120\pi}(-22\boldsymbol{a}_{\mathrm{y}} + 30\boldsymbol{a}_{\mathrm{z}})e^{-j60x}\,\frac{\mathrm{A}}{\mathrm{m}}$ ، اوسط $\boldsymbol{\mathscr{P}} = \frac{173}{30\pi}\boldsymbol{a}_{\mathrm{x}}\,\frac{\mathrm{W}}{\mathrm{m}^2}$

سوال 10.8: مستوی مقناطیسی موج کا دوری سمتیہ $\boldsymbol{H}_s = (5\boldsymbol{a}_{\mathrm{x}} + j4\boldsymbol{a}_{\mathrm{z}})e^{j20y}\,\frac{\mathrm{V}}{\mathrm{m}}$ اور تعدد $200\,\mathrm{MHz}$ ہے۔ برقی موج کا زیادہ سے زیادہ حیطہ $1200\,\frac{\mathrm{V}}{\mathrm{m}}$ ہے۔ حاصل کریں β ، λ ، η ، v_p ، ϵ_R ، μ_R اور $\boldsymbol{H}(x,y,z,t)$ ؛

جوابات: $\beta = 20\,\frac{\mathrm{rad}}{\mathrm{m}}$ ، $\lambda = \frac{\pi}{10}\,\mathrm{m}$ ، $\eta = 187.4\,\Omega$ ، $v_p = 6.28 \times 10^7\,\frac{\mathrm{m}}{\mathrm{s}}$ ، $\epsilon_R = 9.6$ ، $\mu_R = 2.4$ ، $\boldsymbol{H} = 5\cos(2\pi \times 200 \times 10^6 t + 20y)\boldsymbol{a}_{\mathrm{x}} - 4\sin(2\pi \times 200 \times 10^6 t + 20y)\boldsymbol{a}_{\mathrm{z}}\,\frac{\mathrm{A}}{\mathrm{m}}$

سوال 10.9: میدان $\boldsymbol{E}(y,t) = 700\cos(2.5 \times 10^7 t - \beta y)\boldsymbol{a}_{\mathrm{x}}\,\frac{\mathrm{V}}{\mathrm{m}}$ اور $\boldsymbol{H}(y,t) = 1.5\cos(2.5 \times 10^7 t - \beta y)\boldsymbol{a}_{\mathrm{y}}\,\frac{\mathrm{A}}{\mathrm{m}}$ مستوی موج کو ظاہر کرتے ہیں۔ یہ موج $1.7 \times 10^8\,\frac{\mathrm{m}}{\mathrm{s}}$ رفتار سے حرکت کر رہی ہے۔ حاصل کریں β ، λ ، η ، ϵ_R اور μ_R ؛

جوابات: $\beta = 0.147\,\frac{\mathrm{rad}}{\mathrm{m}}$ ، $\lambda = 42.7\,\mathrm{m}$ ، $\eta = 467\,\Omega$ ، $\epsilon_R = 1.4$ ، $\mu_R = 2.2$

سوال 10.10: بے ضیاع خطے کے مستقل $\mu_R = 1.2$ اور $\epsilon_R = 5.4$ ہیں۔ لمحہ $t = 10\,\mathrm{ns}$ پر نقطہ $N(2, 0.5, 1.5)$ پہ $15\,\mathrm{MHz}$ تعدد اور $E_x = 350\,\frac{\mathrm{V}}{\mathrm{m}}$ ، $E_y = 0$ ، $E_z = 0$ کی خطی قطبی موج $\boldsymbol{a}_{\mathrm{y}}$ سمت میں حرکت کر رہی ہے۔ حاصل کریں β ، λ ، v_p ، η ، E_0 ، $\boldsymbol{E}(x,y,z,t)$ ؛

جوابات: $v_p = 1.18 \times 10^8\,\frac{\mathrm{m}}{\mathrm{s}}$ ، $\lambda = 7.85\,\mathrm{m}$ ، $\beta = 0.25\pi\,\frac{\mathrm{rad}}{\mathrm{m}}$ ، $\eta = 178\,\Omega$ ، $E_0 = 408.6\,\frac{\mathrm{V}}{\mathrm{m}}$ ، $\boldsymbol{E}(x,y,z,t) = 408.6\cos(3\pi \times 10^7 t - 0.25\pi y)\boldsymbol{a}_{\mathrm{x}}$

سوال 10.11: خطی قطبی موج $\boldsymbol{E}_s = (E_{y0}\boldsymbol{a}_{\mathrm{y}} + E_{z0}\boldsymbol{a}_{\mathrm{z}})e^{\alpha x}e^{j\beta x}\,\frac{\mathrm{V}}{\mathrm{m}}$ ایسے ضیاع کار خطے میں پائی جاتی ہے جہاں $\eta = |\eta_0|\,e^{j\phi}$ ہے۔ $\boldsymbol{H}_s$ ، $\boldsymbol{E}(x,y,z,t)$ ، $\boldsymbol{H}(x,y,z,t)$ اور اوسط $\boldsymbol{\mathscr{P}}$ کے مساوات لکھیں۔

جوابات: $\boldsymbol{H}_s = \frac{1}{|\eta_0|}(E_{z0}\boldsymbol{a}_{\mathrm{y}} - E_{y0}\boldsymbol{a}_{\mathrm{z}})e^{\alpha x}e^{j(\beta x - \phi)}\,\frac{\mathrm{A}}{\mathrm{m}}$ ، $\boldsymbol{E}(x,y,z,t) = (E_{y0}\boldsymbol{a}_{\mathrm{y}} + E_{z0}\boldsymbol{a}_{\mathrm{z}})e^{\alpha x}\cos(\omega t + \beta x)\,\frac{\mathrm{V}}{\mathrm{m}}$ ، $\boldsymbol{H}(x,y,z,t) = \frac{1}{|\eta_0|}(E_{z0}\boldsymbol{a}_{\mathrm{y}} - E_{y0}\boldsymbol{a}_{\mathrm{z}})e^{\alpha x}\cos(\omega t + \beta x - \phi)\,\frac{\mathrm{A}}{\mathrm{m}}$ ، اوسط $\boldsymbol{\mathscr{P}} = \frac{1}{2|\eta_0|}(E_{y0}^2 + E_{z0}^2)e^{2\alpha x}\cos\phi\,\boldsymbol{a}_{\mathrm{x}}\,\frac{\mathrm{W}}{\mathrm{m}^2}$

سوال 10.12: کامل موصل سے بنی $\rho = 5\,\mathrm{mm}$ اور $\rho = 12\,\mathrm{mm}$ رداس کے نلکیوں کا محور z محدد ہے۔ دو نلکیوں کے درمیان ذو برق کے مستقل $\mu_R = 1$ اور $\epsilon_R = 3.2$ ہیں۔ اس ذو برق میں میدان $\boldsymbol{E} = \frac{1200}{\rho}\cos(\omega t - 5z)\boldsymbol{a}_\rho\,\frac{\mathrm{V}}{\mathrm{m}}$ پایا جاتا ہے۔ الف) میکس ویل کے مساوات استعمال کرتے ہوئے ω حاصل کریں۔ ب) $\boldsymbol{H}$ کی مساوات حاصل کریں۔ پ) $\boldsymbol{\mathscr{P}}$ اور اوسط $\boldsymbol{\mathscr{P}}$ حاصل کریں۔ ت) دونوں نلکیوں کے درمیانی خطے میں $\boldsymbol{a}_{\mathrm{z}}$ جانب کتنی طاقت منتقل ہو رہی ہے۔

جوابات: $\omega = 8.38 \times 10^8\,\frac{\mathrm{rad}}{\mathrm{s}}$ ، $\boldsymbol{H} = \frac{5.7}{\rho}\cos(8.38 \times 10^8 t - 5z)\boldsymbol{a}_\phi\,\frac{\mathrm{A}}{\mathrm{m}}$ ، $\boldsymbol{\mathscr{P}} = \frac{6837}{\rho^2}\cos^2(8.38 \times 10^8 t - 5z)\boldsymbol{a}_{\mathrm{z}}\,\frac{\mathrm{W}}{\mathrm{m}^2}$ ، اوسط $\boldsymbol{\mathscr{P}} = \frac{3418.6}{\rho^2}\,\frac{\mathrm{W}}{\mathrm{m}^2}$ ، $2.5\,\mathrm{MW}$

سوال 10.13: کروی محدد میں $\boldsymbol{E}_s = \frac{60}{r}\sin\theta e^{-j2r}\boldsymbol{a}_\theta\,\frac{\mathrm{V}}{\mathrm{m}}$ اور $\boldsymbol{H}_s = \frac{1}{4\pi r}\sin\theta e^{-j2r}\boldsymbol{a}_\phi\,\frac{\mathrm{A}}{\mathrm{m}}$ دیے گئے ہیں۔ الف) اوسط $\boldsymbol{\mathscr{P}}$ حاصل کریں۔ ب) رداس $r = 5\,\mathrm{cm}$ پر سطح $0 < \theta < \frac{\pi}{3}$ ، $0 < \phi < 2\pi$ سے خارج طاقت حاصل کریں۔

جوابات: اوسط $\boldsymbol{\mathscr{P}} = \frac{15\sin^2\theta}{2\pi r^2}\boldsymbol{a}_{\mathrm{r}}\,\frac{\mathrm{W}}{\mathrm{m}^2}$ ، $3.13\,\mathrm{W}$

سوال 10.14: 12 GHz تعدد پر ایک فیرائٹ کے مستقل $\mu_R = 5$ ، $\epsilon_R = 8$ اور $\sigma = 15\,\frac{\text{mS}}{\text{m}}$ ہیں۔ آپ سے گزارش ہے کہ α β ، v ، λ اور η حاصل کریں۔

جوابات: $\alpha = 2.23\,\frac{\text{Np}}{\text{m}}$ ، $\beta = 1590\,\frac{\text{rad}}{\text{m}}$ ، $v = 4.74 \times 10^7\,\frac{\text{m}}{\text{s}}$ ، $\lambda = 3.95\,\text{mm}$ ، $\eta = 297.83 + j0.418\,\Omega$

سوال 10.15: ایسے خطے کے مستقل μ_R ، ϵ_R اور σ حاصل کریں جس میں 100 MHz تعدد پر طول موج 1 m ، قدرتی رکاوٹ کی حتمی قیمت $200\,\Omega$ اور تضعیفی مستقل $2\,\frac{\text{Np}}{\text{m}}$ ہو۔

جوابات: $\mu_R = 1.67$ ، $\epsilon_R = 4.84$ ، $\sigma = 19.06\,\frac{\text{mS}}{\text{m}}$

سوال 10.16: 330 MHz تعدد کی مستوی موج ایسے غیر مقناطیسی خطے میں حرکت کر رہی ہے جس کے مستقل $\epsilon_R = 2.8$ اور $\frac{\sigma}{\omega\epsilon} = 3.6 \times 10^{-4}$ ہیں۔ الف) اس خطے کی σ حاصل کریں۔ ب) α ، β اور λ حاصل کریں۔ پ) موج کی چوٹی کتنا فاصلہ طے کرنے کے بعد آدھی رہ جائے گی؟ ت) موج کی طاقت کتنا فاصلہ طے کرنے کے بعد آدھا رہ جائے گا؟ ٹ) کتنے فاصلے پر موج کے زاویے میں 30° تبدیلی رونما ہو گی؟

جوابات: $\sigma = 1.85 \times 10^{-5}\,\frac{\text{S}}{\text{m}}$ ، $\alpha = 0.04\,\frac{\text{Np}}{\text{m}}$ ، $\beta = 11.57\,\frac{\text{rad}}{\text{m}}$ ، $\lambda = 0.54\,\text{m}$ ، $17.1\,\text{m}$ ، $8.55\,\text{m}$ ، $4.52\,\text{cm}$

سوال 10.17: کپیسٹر C میں طاقت کے ضیاع کو کپیسٹر کے متوازی مزاحمت R سے ظاہر کیا جاتا ہے۔ ایسے متوازی دور کی برقی رکاوٹ Z ہے۔ برقی رکاوٹ کے زاویہ θ کا کوسائن، یعنی $\cos\theta$ ، جزو ضربی طاقت کہلاتا ہے جبکہ کپیسٹر کی خاصیت Q سے مراد ωRC ہے۔ متوازی چادر کپیسٹر جس کے مستقل σ ، ϵ اور μ ہیں کے جزو ضربی طاقت اور Q کے مساوات کو مماس ضیاع $\frac{\sigma}{\omega\epsilon}$ استعمال کرتے ہوئے لکھیں۔

جوابات: $\cos\theta = \frac{1}{\sqrt{1+\left(\frac{\sigma}{\omega\epsilon}\right)^{-2}}}$ ، $Q = \left(\frac{\sigma}{\omega\epsilon}\right)^{-1}$

سوال 10.18: تانبے کی ہم محوری تار کے اندرونی تار کا رداس 5 mm اور بیرونی تار کا اندرونی رداس 8 mm ہیں۔ دونوں تار گہرائی جلد δ سے بہت زیادہ موٹائی رکھتے ہیں جبکہ ذو برق بے ضیاع ہے۔ 550 MHz تعدد پر فی میٹر اندرونی تار، فی میٹر بیرونی تار اور فی میٹر مکمل ترسیلی تار کی مزاحمت دریافت کریں۔ تانبے کے مستقل کتاب کے آخر میں جدول 15.1 سے حاصل کئے جا سکتے ہیں۔

جوابات: $195\,\frac{\text{m}\Omega}{\text{m}}$ ، $122\,\frac{\text{m}\Omega}{\text{m}}$ ، $316\,\frac{\text{m}\Omega}{\text{m}}$

سوال 10.19: المونیم سے نلکی نما تار بنائی جاتی ہے جس کا اندرونی رداس 5 mm اور بیرونی رداس 6 mm ہیں۔ ایک کلو میٹر تار کی مزاحمت مندرجہ ذیل تعدد پر حاصل کریں۔ الف) یک سمتی رو۔ ب) 30 MHz پ) 1.2 GHz

جوابات: $758\,\text{m}\Omega$ ، $46.7\,\Omega$ ، $295\,\Omega$

سوال 10.20: کھانا جلد گرم کرنے کی خاطر عموماً برقی خرد موج چولھا[98] (مائیکرو ویو اون) استعمال کیا جاتا ہے جو عموماً 2.45 GHz کے تعدد پر کام کرتا ہے۔ اس چولھے کے دیوار سٹینلس سٹیل کے بنے ہوتے ہیں۔ سٹینلس سٹیل کے مستقل $\sigma = 1.1 \times 10^6\,\frac{\text{S}}{\text{m}}$ ، $\mu_R = 1$ اور $\epsilon_R = 1$ لیتے ہوئے گہرائی جلد δ حاصل کریں۔ سٹینلس سٹیل چادر کی سطح پر $E_s = 64\underline{/0^\circ}\,\frac{\text{V}}{\text{m}}$ لیتے ہوئے چادر کے اندر میدان کی مساوات لکھیں۔

جوابات: $\delta = 9.69\,\mu\text{m}$ ، $E_s(z) = 64e^{-1.03\times10^{-7}z(1+j)}\,\frac{\text{V}}{\text{m}}$

[98] micro wave oven

سوال 10.21: ایک غیر مقناطیسی موصل میں رفتار موج $4.5 \times 10^5\,\frac{\mathrm{m}}{\mathrm{s}}$ اور طول موج $0.25\,\mathrm{mm}$ ہے۔ تعدد f، گہرائی جلد δ اور موصلیت σ حاصل کریں۔

جوابات: $f = 1.8\,\mathrm{GHz}$ ، $\delta = 39.8\,\mu\mathrm{m}$ ، $\sigma = 8.89 \times 10^4\,\frac{\mathrm{S}}{\mathrm{m}}$

سوال 10.22: برقی موج $\boldsymbol{E} = \frac{270}{r}\sin\theta\cos[\omega(t-\frac{r}{c})]\boldsymbol{a}_\theta\,\frac{\mathrm{V}}{\mathrm{m}}$ دی گئی ہے۔ رداس r کے کرہ سے کتنی طاقت خارج ہو رہی ہے۔

جواب: $810\,\mathrm{W}$

سوال 10.23: برقی موج $\boldsymbol{E}_s = 3\boldsymbol{a}_\mathrm{x} - 5\boldsymbol{a}_\mathrm{y} + 2\boldsymbol{a}_\mathrm{z}\,\frac{\mathrm{kV}}{\mathrm{m}}$ اور مقناطیسی موج $\boldsymbol{H}_s = 14\boldsymbol{a}_\mathrm{x} + 13\boldsymbol{a}_\mathrm{y} - 16\boldsymbol{a}_\mathrm{z}\,\frac{\mathrm{A}}{\mathrm{m}}$ ہیں۔ الف) حرکت موج کی سمت میں اکائی سمتیہ حاصل کریں۔ ب) موج کی اوسط کثافت طاقت حاصل کریں۔ پ) $\mu_R = 1$ کی صورت میں ϵ_R حاصل کریں۔

جوابات: $\boldsymbol{a} = 0.38\boldsymbol{a}_\mathrm{x}0.53\boldsymbol{a}_\mathrm{y} + 0.76\boldsymbol{a}_\mathrm{z}$ ، $71.7\,\frac{\mathrm{kW}}{\mathrm{m}^2}$ ، $\epsilon_R = 2.32$

سوال 10.24: ضیاع کار خطہ $x < 0$ کے مستقل $\mu_R = 1$ ، $\epsilon_R = 1$ اور $\sigma = 1500\,\frac{\mathrm{S}}{\mathrm{m}}$ ہیں جبکہ $x > 0$ خالی خلاء ہے۔ خلاء میں نقطہ $N(0^+,0,0)$ پر مقناطیسی میدان $\boldsymbol{H} = 300\cos 5 \times 10^8 t\boldsymbol{a}_\mathrm{y}\,\frac{\mathrm{A}}{\mathrm{m}}$ پایا جاتا ہے۔ الف) نقطہ $(0^-,0,0)$ پر $\boldsymbol{H}$ حاصل کریں۔ ب) خالی خلاء میں $\boldsymbol{a}_\mathrm{z}$ سمت حرکت کرتی موج تصور کرتے ہوئے نقطہ $(0^+,0,0,)$ پر $\boldsymbol{E}$ حاصل کریں۔ خطہ $z < 0$ میں $-\boldsymbol{a}_\mathrm{x}$ جانب حرکت کرتی موج تصور کرتے ہوئے نقطہ $(0^-,0,0)$ پر $\boldsymbol{E}$ حاصل کریں۔

جوابات: $\boldsymbol{H} = 300\cos 5 \times 10^8 t\boldsymbol{a}_\mathrm{y}\,\frac{\mathrm{A}}{\mathrm{m}}$ ، $\boldsymbol{E} = 113\cos 5 \times 10^8 t\boldsymbol{a}_\mathrm{x}\,\frac{\mathrm{kV}}{\mathrm{m}}$ ، $\boldsymbol{E} = 238\cos(5 \times 10^8 t - 45^\circ)\boldsymbol{a}_\mathrm{z}\,\frac{\mathrm{V}}{\mathrm{m}}$

سوال 10.25: آمدی مستوی موج جس کی تعدد $\omega = 4.2 \times 10^8\,\frac{\mathrm{rad}}{\mathrm{s}}$ ہے خطہ-1، $z < 0$ ، $\sigma_1 = 0$ ، $\mu_{R1} = 1$ ، $\epsilon_{R1} = 3.2$ سے خطہ-2، $z > 0$ ، $\sigma_2 = 0$ ، $\mu_{R2} = 2.6$ ، $\epsilon_{R2} = 12$ میں داخل ہوتی ہے۔ آمدی برقی موج کا حیطہ $z = 0$ ، $t = 0$ پر $5.6\,\frac{\mathrm{V}}{\mathrm{m}}$ ہے۔ الف) η_1 ، η_2 ، β_1 اور β_2 حاصل کریں۔ ب) Γ اور τ حاصل کریں۔ پ) $E_1(t)$ اور $E_2(t)$ حاصل کریں۔ ت) $H_1(t)$ حاصل کریں۔ ٹ) لمحہ $t = 4\,\mathrm{ns}$ پر نقطہ $(0,0,-1.5)$ پہ H_1 حاصل کریں۔

جوابات: $\eta_1 = 211\,\Omega$ ، $\eta_2 = 175\,\Omega$ ، $\beta_1 = 2.5\,\frac{\mathrm{rad}}{\mathrm{m}}$ ، $\beta_2 = 7.8\,\frac{\mathrm{rad}}{\mathrm{m}}$ ، $\Gamma = -0.0913$ ، $\tau = 0.9087$ ، $E_1 = 5.6\cos(4.2 \times 10^8 t - 2.5z) - 0.511\cos(4.2 \times 10^8 t + 2.5z)\,\frac{\mathrm{V}}{\mathrm{m}}$ ، $E_2 = 5.09\cos(4.2 \times 10^8 t - 7.8z)\,\frac{\mathrm{V}}{\mathrm{m}}$ ، $H_1 = 26.59\cos(4.2 \times 10^8 t - 2.5z) + 2.43\cos(4.2 \times 10^8 t + 2.5z)\,\frac{\mathrm{mA}}{\mathrm{m}}$ ، $H_1 = 16.49\,\frac{\mathrm{mA}}{\mathrm{m}}$

سوال 10.26: تھیلا بنانے والے پلاسٹک میں $14\,\mathrm{GHz}$ تعدد کی مستوی موج $\boldsymbol{a}_\mathrm{x}$ سمت میں حرکت کرتے ہوئے $x = 0.3\,\mathrm{cm}$ پر پائے جانے والے کامل موصل سطح سے انعکاس پذیر ہوتی ہے۔ الف) وہ سطحیں دریافت کریں جن پر $\boldsymbol{E} = 0$ ہو گا۔ ب) اس پلاسٹک میں بلند تر برقی چوٹی اور بلند تر مقناطیسی چوٹی کی شرح حاصل کریں۔

جوابات: $x = 0.3 - 0.71n\,\mathrm{cm}$ جہاں $n = 0,1,2,\cdots$ ہے، $\eta = 251\,\Omega$

سوال 10.27: خطہ $z < 0$ بے ضیاع خالی خلاء ہے جبکہ ضیاع کار خطہ $z > 0$ کے مستقل $\epsilon = 30\,\frac{\mathrm{pF}}{\mathrm{m}}$ ، $\mu = 4.2\,\frac{\mu\mathrm{H}}{\mathrm{m}}$ اور $\sigma = 4.6\,\frac{\mathrm{mS}}{\mathrm{m}}$ ہیں۔ خالی خلاء سے سرحد پر آمدی موج کی مساوات $E_{x1}^+ = 340e^{-\alpha_1 z}\cos(2 \times 10^8 t - \beta_1 z)\,\frac{\mathrm{V}}{\mathrm{m}}$ ہے۔ الف) α_1 اور β_1 حاصل کریں۔ ب) انعکاسی مستقل حاصل کریں۔ پ) انعکاسی موج E_{x1}^- کی مساوات حاصل کریں۔ ت) ترسیلی موج E_{x2}^+ کی مساوات حاصل کریں۔

جوابات: $\alpha_1 = 0$ ، $\beta_1 = 0.667\,\frac{\mathrm{rad}}{\mathrm{m}}$ ، $\Gamma = 0.176\underline{/111^\circ}$ ، $E_{x1}^- = 59.8\cos(2 \times 10^8 t + 0.667z + 111^\circ)\,\frac{\mathrm{V}}{\mathrm{m}}$ ، $E_{x2}^+ = 324e^{-0.81z}\cos(2 \times 10^8 t - 2.39z + 9.9^\circ)\,\frac{\mathrm{V}}{\mathrm{m}}$

سوال 10.28: المونیم کی سطح $y = 0$ پر خالی خلاء سے عمودی آمدی موج $E_{x1}^{+} = E_{x10}^{+}\cos(4\times10^{8}t - \beta y)\ \frac{\mathrm{V}}{\mathrm{m}}$ ہے۔آمدی طاقت کا کتنا فی صد سطح سے انعکاس پذیر ہوتا ہے۔

جواب: $99.997\,\%$

سوال 10.29: مستوی موج خطہ-1 سے خطہ-2 پر عمودی پڑتی ہے۔ان خطوں کے مستقل $\sigma_1 = \sigma_2 = 0$ ، $\epsilon_{R1} = \mu_{R1}^{3}$ ، اور $\epsilon_{R2} = \mu_{R2}^{3}$ ہیں۔آمدی طاقت کا $40\,\%$ سرحد سے واپس لوٹتا ہے۔ $\frac{\mu_{R2}}{\mu_{R1}}$ حاصل کریں۔

جوابات: $\frac{\mu_{R2}}{\mu_{R1}} = 0.225$ اور $\frac{\mu_{R2}}{\mu_{R1}} = 4.442$

سوال 10.30: خالی خلاء سے مستوی موج ضیاع کار خطہ $\sigma = 0.002\ \frac{\mathrm{S}}{\mathrm{m}}$ ، $\epsilon_R = 8.2$ اور $\mu_R = 1.8$ پر عمودی پڑتی ہے۔آمد موج کی تعدد $100\,\mathrm{MHz}$ اور کثافت طاقت $12\ \frac{\mathrm{W}}{\mathrm{m}^2}$ ہے۔الف) ابتدائی ترسیلی کثافت طاقت حاصل کریں۔ب) ضیاع کار خطے میں کی قیمت حاصل کریں۔پ) دوسرے خطے میں کتنا فاصلہ طے کرنے کے بعد ترسیلی کثافت طاقت $0.2\ \frac{\mathrm{W}}{\mathrm{m}^2}$ رہ جائے گی۔

جوابات: $10.42\ \frac{\mathrm{W}}{\mathrm{m}^2}$ ، $\alpha_2 = 0.1765\ \frac{\mathrm{Np}}{\mathrm{m}}$ ، $11.2\,\mathrm{m}$

سوال 10.31: خالی خلاء $z < 0$ میں برقی موج $\boldsymbol{E}_s = 100e^{-j15z}\boldsymbol{a}_{\mathrm{y}} + 28\underline{/30^\circ}e^{j15z}\boldsymbol{a}_{\mathrm{y}}\ \frac{\mathrm{V}}{\mathrm{m}}$ پائی جاتی ہے۔الف) موج کی تعدد حاصل کریں۔ب) خطہ $z > 0$ کی قدرتی رکاوٹ حاصل کریں۔پ) دو خطوں کے سرحد کے قریب کس مقام پر برقی موج کی چوٹی پائی جاتی ہے؟

جوابات: $715.7\,\mathrm{MHz}$ ، $\eta = 585 + j178\,\Omega$ ، $z = -1.75\,\mathrm{cm}$

سوال 10.32: بے ضیاع خطہ $z < 0$ کے مستقل $\sigma_1 = 0$ ، $\mu_1 = 30\ \frac{\mu\mathrm{H}}{\mathrm{m}}$ اور $\epsilon_1 = 120\ \frac{\mathrm{pF}}{\mathrm{m}}$ ہیں جبکہ ضیاع کار خطہ $z > 0$ کے مستقل $\sigma_1 = 0.02\ \frac{\mathrm{S}}{\mathrm{m}}$ ، $\mu_1 = 50\ \frac{\mu\mathrm{H}}{\mathrm{m}}$ اور $\epsilon_1 = 260\ \frac{\mathrm{pF}}{\mathrm{m}}$ ہیں۔آمدی موج $\boldsymbol{E}_s = 10e^{-\alpha_1 z}\cos(9\times10^{8}t - \beta_1 z)\ \frac{\mathrm{V}}{\mathrm{m}}$ ہے۔ الف) α_1 اور β_1 حاصل کریں۔ب) $\mathscr{P}_{1\text{اوسط}}^{+}$ اور $\mathscr{P}_{1\text{اوسط}}^{-}$ حاصل کریں۔پ) $\mathscr{P}_{2\text{اوسط}}^{+}$ کی مساوات حاصل کریں۔

جوابات: $\alpha_1 = 0\ \frac{\mathrm{Np}}{\mathrm{m}}$ ، $\beta_1 = 54\ \frac{\mathrm{rad}}{\mathrm{m}}$ ، $\mathscr{P}_{1\text{اوسط}}^{+} = 100\boldsymbol{a}_{\mathrm{z}}\ \frac{\mathrm{mW}}{\mathrm{m}^2}$ ، $\mathscr{P}_{1\text{اوسط}}^{-} = -0.486\boldsymbol{a}_{\mathrm{z}}\ \frac{\mathrm{mW}}{\mathrm{m}^2}$ ، $\mathscr{P}_{2\text{اوسط}}^{+} = 99.514e^{-8.76z}\boldsymbol{a}_{\mathrm{z}}\ \frac{\mathrm{mW}}{\mathrm{m}^2}$

سوال 10.33: خطہ $0 < z < 1.5\,\mathrm{m}$ میں بے ضیاع ذو برق پایا جاتا ہے جس کے مستقل $\sigma_2 = 0$ ، $\mu_{R2} = 1$ اور $\epsilon_{R2} = 6$ ہیں۔اس خطے کو دونوں جانب خالی خلاء پائی جاتی ہے۔مستوی موج جس کی تعدد $\omega = 6\times10^{8}\ \frac{\mathrm{rad}}{\mathrm{m}}$ ہے سرحد $z = 0$ کی جانب $\boldsymbol{a}_{\mathrm{z}}$ سمت میں حرکت کر رہی ہے۔الف) ذو برق میں β_2 حاصل کرتے ہوئے سرحد $z = 0$ پر $\eta_{\text{داخلی}}$ حاصل کریں۔ب) خطہ $z < 0$ میں Γ_1 اور s_1 حاصل کریں۔پ) ذو برقی میں $z = 1.5\,\mathrm{m}$ پر سرحد سے منعکس موج کو استعمال کرتے ہوئے Γ_2 اور s_2 حاصل کریں۔ت) خطہ $z > 1.5\,\mathrm{m}$ میں s_3 حاصل کریں۔ٹ) خطہ $z < 0$ میں سرحد کے قریب ترین ایسا نقطہ حاصل کریں جہاں بلند تر برقی میدان پایا جاتا ہے۔

جوابات: $\beta_2 = 2\ \frac{\mathrm{rad}}{\mathrm{m}}$ ، $\eta_{\text{داخلی}} = 77.69 - j66.76\,\Omega$ ، $\Gamma_1 = -0.623 - j0.238 = 0.667e^{-j2.776}$ ، $s_1 = 5$ ، $\Gamma_2 = 0.42$ ، $s_2 = 2.45$ ، $s_3 = 1$ ، $z = -0.924\,\mathrm{m}$

سوال 10.34: ضیاع کار خطہ جہاں $\alpha = 0.4\ \frac{\mathrm{Np}}{\mathrm{m}}$ ہو میں موج $100\,\mathrm{m}$ چلنے کے بعد سرحد سے منعکس ہو کر واپس اسی ابتدائی نقطے تک پہنچتی ہے۔انعکاسی مستقل $\Gamma = 0.4 - j0.5$ ہے۔واپس آتی موج اور ابتدائی موج کے طاقت کی شرح حاصل کریں۔

جواب: 1.33×10^{-70}

سوال 10.35: خطہ $z < 0$ اور خطہ $z > 0$ کامل ذو برق پر مشتمل ہیں جہاں $\sigma = 0$ اور $\mu_R = 1$ ہیں۔تعدد $2 \times 10^{10}\ \frac{\text{rad}}{\text{s}}$ کی موج $\boldsymbol{a}_z$ سمت میں حرکت کرتے ہوئے دونوں خطوں سے گزرتی ہے۔ان خطوں میں طول موج بالترتیب $8\,\text{cm}$ اور $6\,\text{cm}$ ہیں۔الف) Γ حاصل کریں۔ب) کتنی فی صد طاقت منعکس پذیر ہوتی ہے۔پ) کتنی فی صد طاقت ترسیل ہوتی ہے۔ت) شرح ساکن موج s حاصل کریں۔

جوابات: $\Gamma = 0.143e^{j\pi}$ ، $2.04\,\%$ ، $97.96\,\%$ ، $s = 1.333$

سوال 10.36: کامل ذو برقی $\sigma = 0$ سے خالی خلاء میں موج داخل ہوتی ہے۔مندرجہ ذیل صورتوں میں ذو برق کی جزوی برقی مستقل ϵ_R حاصل کریں۔الف) منعکس موج کی چوٹی آمدی موج کے چوٹی کی آدھی ہے۔ب) منعکس موج کا طاقت آمدی موج کے طاقت کا آدھا ہے۔پ) ذو برقی میں $|\boldsymbol{E}|$ کی قیمت بلند تر $|\boldsymbol{E}|$ کی آدھی ہے۔

جوابات: $\epsilon_R = 9$ ، $\epsilon_R = 34$ ، $\epsilon_R = 4$

سوال 10.37: ایک ایسا خطہ جس کے مستقل ہمیں معلوم نہیں ہیں پر خالی خلاء سے $330\,\text{MHz}$ تعدد کی موج پڑتی ہے۔خالی خلاء میں سرحد کے قریب $s = 3$ حاصل ہوتا ہے جبکہ موج کی پہلی کمتر قیمت سرحد سے 0.3λ فاصلے پر پائی جاتی ہے۔انعکاسی مستقل کا زاویہ ϕ اور اس کی حتمی قیمت $|\Gamma|$ حاصل کرتے ہوئے خطے کی قدرتی رکاوٹ حاصل کریں۔

جوابات: $\phi = 0.2\pi$ ، $|\Gamma| = 0.5$ ، $\eta = 641 + j501\,\Omega$

سوال 10.38: سمندری پانی کے مستقل $\sigma = 5\,\frac{\text{S}}{\text{m}}$ اور $\epsilon_R = 78$ ہیں۔خالی خلاء سے اس پر $100\,\text{MHz}$ تعدد کی موج پڑتی ہے۔آمدی طاقت کا کتنا حصہ واپس خلاء میں لوٹتا ہے۔

جواب: $90.7\,\%$

سوال 10.39: خالی خلاء میں $242\,\Omega$ قدرتی رکاوٹ کی $\frac{\lambda}{8}$ موٹی تہہ پائی جاتی ہے۔آمدی طاقت کا کتنا حصہ اس تہہ سے گزر پاتا ہے؟

جوابات: $\eta_{\text{داخلی}} = 220 - j101\,\Omega$ ، $\Gamma = 0.308\underline{/-2.4\,\text{rad}}$ ، $91\,\%$

سوال 10.40: آمدی موج کی تعدد تبدیل کئے بغیر سوال 10.39 کو مندرجہ ذیل صورتوں میں دوبارہ حل کریں۔الف) تہہ کی موٹائی دگنی کر دی جاتی ہے۔ب) تہہ کی موٹائی آدھی کر دی جاتی ہے۔پ) تہہ کی موٹائی چار گنا کر دی جاتی ہے۔

جوابات: $82.7\,\%$ ، $97\,\%$ ، $100\,\%$

سوال 10.41: مستوی موج کا برقی جزو $\boldsymbol{E}_s = 10e^{-j\beta x}\boldsymbol{a}_z + 15e^{-j\beta x}\boldsymbol{a}_y\ \frac{\text{V}}{\text{m}}$ ہے۔الف) اس موج کی قطبیت دریافت کریں ب) $\boldsymbol{H}_s$ حاصل کریں۔پ) $\mathscr{P}_{\text{اوسط}}$ حاصل کریں۔

جوابات: الف) موج خطی قطبی ہے۔یہ موج yz سطح میں رہتے ہوئے y محدد کے ساتھ 33.7° زاویہ بناتی ہے۔
ب) $\boldsymbol{H}_s = -26.5e^{-j\beta x}\boldsymbol{a}_y + 39.8e^{-j\beta x}\boldsymbol{a}_z\ \frac{\text{mA}}{\text{m}}$ ؛ پ) $\mathscr{P}_{\text{اوسط}} = 0.43\boldsymbol{a}_x\ \frac{\text{W}}{\text{m}^2}$

سوال 10.42: بائیں قطبی $\boldsymbol{E}_s = E_0(\boldsymbol{a}_x + j\boldsymbol{a}_y)e^{-j\beta z}$ دی گئی ہے۔الف) $\boldsymbol{H}_s$ دریافت کریں۔ب) $\mathscr{P}_{\text{اوسط}}$ حاصل کریں۔

جوابات: $\boldsymbol{H}_s = \frac{E_0}{\eta_0}(\boldsymbol{a}_y - j\boldsymbol{a}_x)e^{-j\beta z}$ ، $\mathscr{P}_{\text{اوسط}} = \frac{E_0^2}{\eta_0}\boldsymbol{a}_z\ \frac{\text{W}}{\text{m}^2}$

سوال 10.43: مستوی برقی موج $\boldsymbol{E}_s = 10(\boldsymbol{a}_\mathrm{Z} + j\boldsymbol{a}_\mathrm{X})e^{-j50y}$ ہے۔ الف) تعدد حاصل کریں۔ ب) مقناطیسی موج حاصل کریں۔ پ) اوسط $\mathscr{P}$ حاصل کریں۔ ت) موج کی قطبیت دریافت کریں

جوابات: $2.39\,\mathrm{GHz}$ ، $\boldsymbol{H}_s = \frac{10}{377}(\boldsymbol{a}_\mathrm{X} - j\boldsymbol{a}_\mathrm{Z})e^{-j50y}$ ، اوسط $\mathscr{P} = 0.27\boldsymbol{a}_\mathrm{y}\ \frac{\mathrm{W}}{\mathrm{m}^2}$ ، بائیں قطبی

سوال 10.44: برقی موج $\boldsymbol{E}_s = 15e^{-j\beta z}\boldsymbol{a}_\mathrm{X} + 18e^{-j\beta z}\boldsymbol{a}_\mathrm{y}\ \frac{\mathrm{V}}{\mathrm{m}}$ ایسے خطے سے گزرتی ہے جس کی قدرتی رکاوٹ η مخلوط عدد ہے۔ الف) $\boldsymbol{H}_s$ حاصل کریں۔ ب) اوسط $\mathscr{P}$ حاصل کریں۔

جوابات: $\boldsymbol{H}_s = \frac{1}{\eta}(-18e^{j\phi}\boldsymbol{a}_\mathrm{X} + 15\boldsymbol{a}_\mathrm{y})e^{-j\beta z}\ \frac{\mathrm{A}}{\mathrm{m}}$ ، اوسط $\mathscr{P} = \frac{275}{\eta^*}\Big|_{\text{حقیقی}}$

سوال 10.45: شیشے کی چادر کے بائیں سطح پر موج عمودی آمد ہے۔ شیشے کی انحرافی مستقل $n = 1.45$ ہے جبکہ اس کی دائیں سطح کامل موصل کے ساتھ جڑی ہے۔ شیشے کی موٹائی $\frac{\lambda}{2}$ ، $\frac{\lambda}{4}$ اور $\frac{\lambda}{8}$ ہونے کی صورت میں بائیں سطح پر انعکاسی موج کے زاویے میں فرق دریافت کریں۔

جوابات: 0° ، 71° ، -69.2°

سوال 10.46: برقی موج کی دوری سمتی مساوات $\boldsymbol{E}_s = (5\boldsymbol{a}_\mathrm{X} + j20\boldsymbol{a}_\mathrm{y})e^{j\beta z}$ ہے۔ اس کی قطبیت، شرح رداس اور جھکاو دریافت کریں۔

جواب: دایاں بیضوی قطبی موج۔ شرح رداس 4 ہے۔ جھکاو 90° ہے۔

سوال 10.47: برقی موج $\boldsymbol{E} = (3\underline{/-15^\circ}\boldsymbol{a}_\mathrm{X} - 4\underline{/30^\circ}\boldsymbol{a}_\mathrm{y})e^{j\beta z}$ کی حقیقی مساوات حاصل کرتے ہوئے اس کی قطبیت دریافت کریں۔

جوابات: $\boldsymbol{E} = 3\boldsymbol{a}_\mathrm{X}\cos(\omega t + \beta z - 15^\circ) - 4\boldsymbol{a}_\mathrm{y}\cos(\omega t + \beta z + 30^\circ)$ ، دایاں بیضوی قطبی

سوال 10.48: مثال 10.11 کے طرز پر بائیں دائری قطبی موج کی مساوات حاصل کریں جسے مساوات 10.139 میں پیش کیا گیا ہے۔

باب 11

ترسیلی تار

ترسیلی تار ایک نقطے سے دوسرے نقطے تک توانائی اور اشارات منتقل کرتے ہیں۔ بالکل سادہ صورت میں ترسیلی تار منبع طاقت کو برقی بار کے ساتھ منسلک کرتا ہے۔ یہ مرسل (ٹرانسمٹر)[1] اور اینٹینا[2] یا پھر ڈیم میں نسب جنریٹر اور اس سے دور کسی شہر کا بار ہو سکتے ہیں۔

مستوی برقی و مقناطیسی امواج عرضی امواج ہیں۔ ترسیلی تار پر بھی عرضی امواج ہی پائی جاتی ہیں۔ ہم دیکھیں گے کہ اس مشابہت کی بنا پر برقی و مقناطیسی امواج کے لئے حاصل کردہ مساوات ترسیلی تار کے لئے بھی قابل استعمال ہوں گے البتہ ترسیلی نظام میں برقی اور مقناطیسی میدان کے بجائے عموماً برقی دباو اور برقی رو کی استعمال کئے جاتے ہیں۔ اسی طرح کثافت طاقت کی جگہ طاقت کی بات کی جاتی ہے۔

اس باب میں ترسیمی تجزیے پر خاص زور دیا جائے گا جو عرضی برقی و مقناطیسی مستوی امواج کے لئے بھی قابل استعمال ہو گا۔

11.1 ترسیلی تار کے مساوات

ہم ترسیلی تار کی عمومی مساوات حاصل کرنے کی خاطر ہم محوری تار کو ذہن میں رکھ کر آگے چلتے ہیں۔ یہ تار z محدد پر پڑی ہے۔ ہم محوری تار کے اندرونی اور بیرونی موصل تار بہتر موصلیت σ_c رکھتے ہیں۔ ان تاروں کے درمیان مادے کے مستقل ϵ، μ (عموماً μ_0) اور σ ہیں۔ ہم محوری تار کی جسامت اور اشارات کی تعدد جانتے ہوئے ہم اکائی لمبائی تار کے مستقل R، L، C اور G حاصل کر سکتے ہیں۔

یہاں بھی ہم موج کی حرکت $\boldsymbol{a}_z$ جانب تصور کرتے ہیں۔ یوں تار کے چھوٹی لمبائی Δz کی مزاحمت $R\Delta z$، امالہ $L\Delta z$، کپیسٹنس $C\Delta z$ اور ایصالیت $G\Delta z$ ہوں گے۔ شکل 11.1 میں ترسیلی تار کے اس چھوٹے لمبائی کو دکھایا گیا ہے۔ چونکہ تار کا یہ چھوٹا ٹکڑا دونوں اطراف سے بالکل ایک جیسے معلوم ہوتا ہے لہٰذا اس کے سلسلہ وار اجزاء کو آدھے آدھے ٹکڑوں میں کرتے ہوئے متوازی اجزاء کے دونوں طرف دکھایا گیا ہے۔ ہم متوازی اجزاء کو دو برابر ٹکڑوں میں کرتے ہوئے سلسلہ وار اجزاء کے دونوں جانب بھی جوڑ سکتے تھے۔

ہم فرض کرتے ہیں کہ شکل 11.1 میں بائیں طرف برقی دباو

$$V = V_0 \cos(\omega t - \beta z + \psi)$$

[1] transmitter
[2] antenna

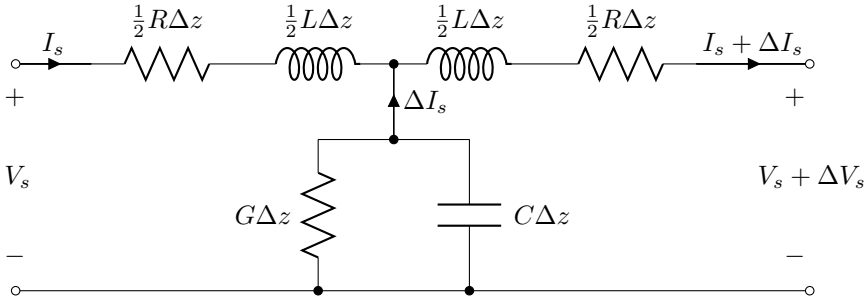

شکل 11.1: یکساں ترسیلی تار کا چھوٹا حصہ۔ متغیرات R، L، C اور G تار کی شکل اور مادوں پر منحصر ہیں۔

پائی جاتی ہے۔یہ حرکت کرتے موج کی عمومی مساوات ہے۔یولر مماثل استعمال کرتے ہوئے اس مساوات کو

$$V = \left[V_0 e^{j(\omega t - \beta z + \psi)}\right]_{\text{حقیقی}}$$

لکھا جا سکتا ہے۔اس مساوات میں $e^{j\omega t}$ اور زیر نوشت میں حقیقی کو پوشیدہ رکھتے ہوئے دوری سمتیہ کی صورت میں یوں لکھا جا سکتا ہے

$$V_s = V_0 e^{j\psi} e^{-\beta z}$$

جہاں مساوات کے بائیں ہاتھ V_s لکھتے ہوئے زیر نوشت میں s یاد دلاتی ہے کہ یہ مساوات دوری سمتیہ کی شکل میں ہے۔ 3710

شکل 11.1 کے گرد گھومتے ہوئے کرچاف کے برقی دباو کے قانون سے

$$V_s = \left(\frac{R\Delta z}{2} + j\frac{\omega L\Delta z}{2}\right) I_s + \left(\frac{R\Delta z}{2} + j\frac{\omega L\Delta z}{2}\right)(I_s + \Delta I_s) + V_s + \Delta V_s$$

یا

$$\frac{\Delta V_s}{\Delta z} = -\left(R + j\omega L\right) I_s - \frac{1}{2}\left(R + j\omega L\right)\Delta I_s$$

لکھا جا سکتا ہے۔اگر Δz کو صفر کے قریب تر کیا جائے تب ΔI_s بھی صفر کے قریب تر ہو گا۔یوں $\Delta z \to 0$ کی صورت میں اس مساوات کے آخری جزو کو نظر انداز کیا جا سکتا ہے۔یوں اسے

$$\frac{\mathrm{d}V_s}{\mathrm{d}z} = -\left(R + j\omega L\right) I_s \tag{11.1}$$

لکھا جا سکتا ہے۔ 3711

متوازی اجزاء پر برقی دباو

$$V_s - \left(\frac{R\Delta z}{2} + j\frac{\omega L\Delta z}{2}\right) I_s$$

ہے جسے استعمال کرتے ہوئے شکل کو دیکھ کر متوازی اجزاء میں تفرقی رو کے لئے

$$-\Delta I_s = \left[V_s - \left(\frac{R\Delta z}{2} + j\frac{\omega L\Delta z}{2}\right) I_s\right]\left(G\Delta z + j\omega C\Delta z\right)$$

یا

$$\frac{\Delta I_s}{\Delta z} = -\left(G + j\omega C\right) V_s + \frac{1}{2}\left(R + j\omega L\right)\left(G + j\omega C\right) I_s \Delta z$$

لکھا جا سکتا ہے۔ اگر $\Delta z \to 0$ کیا جائے تب اس مساوات کے آخری جزو کو نظر انداز کیا جا سکتا ہے اور یوں

$$\frac{\mathrm{d}I_s}{\mathrm{d}z} = -\left(G + j\omega C\right) V_s \tag{11.2}$$

حاصل ہوتا ہے۔

یہاں رک کر ذرہ برقی و مقناطیسی امواج کے مساوات کو دوبارہ پیش کرتے ہیں۔ میکس ویل کی مساوات

$$\nabla \times \boldsymbol{E}_s = -j\omega\mu \boldsymbol{H}_s$$

میں $\boldsymbol{E}_s = E_{xs}\boldsymbol{a}_\mathrm{x}$ اور $\boldsymbol{H}_{ys} = H_{ys}\boldsymbol{a}_\mathrm{y}$ پر کرنے سے

$$\frac{\mathrm{d}E_{xs}}{\mathrm{d}z} = -j\omega\mu H_{ys} \tag{11.3}$$

ملتا ہے اور اسی طرح

$$\nabla \times \boldsymbol{H}_s = \left(\sigma + j\omega\epsilon\right) \boldsymbol{E}_s$$

سے

$$\frac{\mathrm{d}H_{ys}}{\mathrm{d}z} = -\left(\sigma + j\omega\epsilon\right) E_{xs} \tag{11.4}$$

ملتا ہے۔

مساوات 11.2 کا مساوات 11.4 کے ساتھ موازنہ کریں۔ غور کرنے سے معلوم ہوتا ہے کہ پہلے مساوات میں I_s کی جگہ H_{ys} لکھنے اور اسی طرح G کی جگہ σ، C کی جگہ ϵ اور V_s کی جگہ E_{xs} لکھتے ہوئے دوسری مساوات حاصل کی جا سکتی ہے۔ دونوں مساوات بہت قریبی مشابہت رکھتے ہیں۔

اسی طرح مساوات 11.1 اور مساوات 11.3 کو دیکھتے ہوئے یہی جوڑے یہاں بھی پائے جاتے ہیں، البتہ یہاں L اور μ کی جوڑی بھی پائی جاتی ہے جہاں ظاہری طور پر R کی جوڑی موجود نہیں ہے۔ یوں ہم $j\omega\mu$ کی جوڑی $R + j\omega L$ لے سکتے ہیں۔

لامحدود یکساں مستوی امواج اور لامحدود لمبائی کی یکساں ترسیلی تار کے سرحدی شرائط ایک جیسے ہیں۔ دونوں میں سرحد پایا ہی نہیں جاتا لہٰذا ہم گزشتہ باب میں حاصل حل

$$E_{xs} = E_{x0}e^{-\gamma z}$$

کی طرز پر اب

$$V_s = V_0 e^{-\gamma z} \tag{11.5}$$

بطور ترسیلی تار کے مساوات کا حل لکھ سکتے ہیں۔ یہ برقی دباو کے موج کی مساوات ہے۔ یہ موج مثبت z جانب حرکت کر رہی ہے اور $z = 0$ پر اس کا حیطہ V_0 ہے۔ حرکی مستقل

$$\gamma = \sqrt{j\omega\mu(\sigma + j\omega\epsilon)}$$

اب

$$\gamma = \alpha + j\beta = \sqrt{(R + j\omega L)(G + j\omega C)} \tag{11.6}$$

ہو جائے گا۔ طول موج اب بھی

$$\lambda = \frac{2\pi}{\beta} \tag{11.7}$$

ہو گا۔ موج کی رفتار اب بھی

$$v = \frac{\omega}{\beta} \tag{11.8}$$

ہے۔ 3718

کامل ترسیلی تار طاقت ضائع نہیں کرتا۔ ایسی تار کے مستقل $R = G = 0$ ہوتے ہیں لہٰذا

$$\gamma = j\beta = j\omega\sqrt{LC}$$

اور

$$v = \frac{1}{\sqrt{LC}} \tag{11.9}$$

ہوں گے۔ 3719

اسی طرح مقناطیسی موج

$$H_{ys} = \frac{E_{x0}}{\eta} e^{-\gamma z}$$

سے

$$I_s = \frac{V_0}{Z_0} e^{-\gamma z} \tag{11.10}$$

لکھا جا سکتا ہے جہاں ترسیلی تار کی قدرتی رکاوٹ Z_0 کو

$$\eta = \sqrt{\frac{j\omega\mu}{\sigma + j\omega\epsilon}}$$

سے

$$Z_0 = \sqrt{\frac{R + j\omega L}{G + j\omega C}} \tag{11.11}$$

لکھا جا سکتا ہے۔ 3720

خطہ-1 میں آمدی موج جب خطہ-2 کے سرحد سے ٹکراتی ہے تو اس کا کچھ حصہ بطور انعکاسی موج خطہ-1 میں واپس ہو جاتی ہے۔ اس انعکاسی موج اور آمدی موج کی شرح کو شرح انعکاس

$$\Gamma = \frac{E_{x0}^-}{E_{x0}^+} = \frac{\eta_2 - \eta_1}{\eta_2 + \eta_1}$$

کہتے ہیں۔اسی طرح اگر Z_{01} قدرتی رکاوٹ کی ترسیلی تار پر آمد موج Z_{02} قدرتی رکاوٹ کی ترسیلی تار میں داخل ہونا چاہے تو ان کے سرحد سے انعکاسی موج واپس ہو گی۔ایسی انعکاسی موج اور آمدی موج کی شرح

$$\Gamma = \frac{V_0^-}{V_0^+} = \frac{Z_{02} - Z_{01}}{Z_{02} + Z_{01}} \tag{11.12}$$

ہو گی۔انعکاسی شرح جانتے ہوئے شرح ساکن موج

$$s = \frac{1 + |\Gamma|}{1 - |\Gamma|} \tag{11.13}$$

لکھی جا سکتی ہے۔آخر میں اگر $z > 0$ پر $\eta = \eta_2$ ہو تب $z = -l$ پر E_{xs} اور H_{ys} کی شرح

$$\eta_{\text{داخلی}} = \eta_1 \frac{\eta_2 + j\eta_1 \tan \beta_1 l}{\eta_1 + j\eta_2 \tan \beta_1 l}$$

کو داخلی قدرتی رکاوٹ کہتے ہیں۔اس سے $z > 0$ پر Z_{02} کی صورت میں ترسیلی تار کے لئے $z = -l$ پر V_s اور I_s کی شرح، یعنی اس کی داخلی قدرتی رکاوٹ کو

$$Z_{\text{داخلی}} = Z_{01} \frac{Z_{02} + jZ_{01} \tan \beta_1 l}{Z_{01} + jZ_{02} \tan \beta_1 l} \tag{11.14}$$

لکھا جا سکتا ہے۔

محدود لمبائی کے ترسیلی تار میں لمحہ $t = 0$ پر داخلی سرے سے اختتامی سرے کی جانب امواج روانہ ہوتی ہیں۔ان امواج کا کچھ حصہ اختتامی سرے پر نسب بار سے انعکاس پذیر ہو کر واپس لوٹیں گی۔اب تار میں آمدی موج کے ساتھ ساتھ انعکاسی امواج بھی پائی جائیں گی۔انعکاسی موج ترسیلی تار کے داخلی سرے پر پہنچ کر یہاں سے منعکس ہوں گی۔یوں تار میں اب اصل آمدی موج کے ساتھ ساتھ دو مرتبہ انعکاس پذیر امواج بھی اختتامی جانب رواں ہوں گی۔آپ دیکھ سکتے ہیں کہ جلد ہی ترسیلی تار کے دونوں سروں سے بار بار منعکس، لامحدود تعداد کے امواج تار میں پائے جائیں گے۔بجائے یہ کہ ہم تار میں ہر موج پر نظر رکھیں، ہم داخلی جانب سے اختتامی جانب رواں تمام امواج کے مجموعے کو آمدی موج تصور کرتے ہیں۔اسی طرح اختتامی جانب سے داخلی جانب تمام امواج کے مجموعے کو انعکاسی موج تصور کیا جاتا ہے۔ایسی ہی تصور کرتے ہوئے مساوات 11.14 حاصل کیا گیا ہے۔

مشق 11.1: ایک ترسیلی تار کے مستقل $R = 0.15\ \frac{\Omega}{\text{m}}$، $L = 0.25\ \frac{\mu\text{H}}{\text{m}}$، $G = 8\ \frac{\mu\text{S}}{\text{m}}$ اور $C = 80\ \frac{\text{pF}}{\text{m}}$ ہیں۔تعدد $\omega = 5 \times 10^8\ \frac{\text{rad}}{\text{s}}$ پر α، β، λ، v اور Z_0 حاصل کریں۔

جوابات: $1.57\ \frac{\text{Np}}{\text{m}}$، $2.236\ \frac{\text{rad}}{\text{m}}$، $2.81\ \text{m}$، $2.23 \times 10^8\ \frac{\text{m}}{\text{s}}$ اور $55.9\angle{-0.029^\circ}\ \Omega$

11.2 ترسیلی تار کے مستقل

اس حصے میں مختلف اشکال کے ترسیلی تار کے مستقل یکجا کرتے ہیں۔ان میں سے عموماً مستقل کو ہم پہلے حاصل کر چکے ہیں، بس انہیں ایک جگہ لکھنا باقی ہو گا۔سب سے پہلے ہم محوری تار کے مستقل اکھٹے کرتے ہیں۔

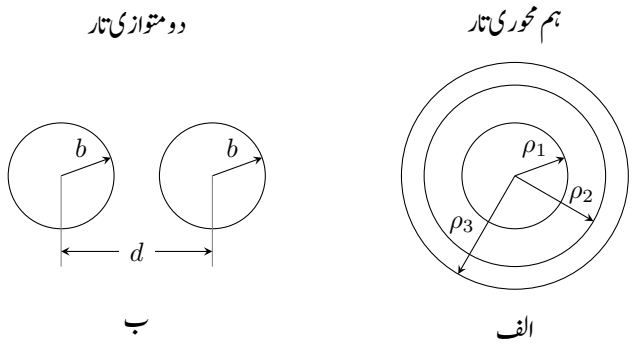

شکل 11.2: ہم محوری ترسیلی تار اور دو متوازی ترسیلی تار۔

11.2.1 ہم محوری تار کے مستقل

شکل 11.2-الف میں ہم محوری تار دکھائی گئی ہے جس میں اندرونی تار کا رداس ρ_1 ہے۔ بیرونی تار کا اندرونی رداس ρ_2 اور اس کا بیرونی رداس ρ_3 ہیں۔ تاروں کے درمیان ذو برق کے مستقل ϵ، μ اور σ ہیں۔ صفحہ 153 پر مساوات میں تار کی لمبائی $L = 1\,\text{m}$ پر کرنے سے اس کی فی میٹر کپیسٹنس

$$C = \frac{Q}{V} = \frac{2\pi\epsilon}{\ln\frac{\rho_2}{\rho_1}} \tag{11.15}$$

حاصل ہوتی ہے جبکہ فی میٹر امالہ صفحہ 272 پر مساوات 8.67 دیتا ہے۔

$$L_{\text{بیرونی}} = \frac{\mu I}{2\pi}\ln\frac{\rho_2}{\rho_1} \tag{11.16}$$

یہ تار کی بیرونی امالہ ہے۔ بلند تعدد پر تار میں برقی رو صرف گہرائی جلد تک محدود رہتی ہے لہٰذا ایسی صورت میں تار کے اندر نہایت کم مقناطیسی بہاو پایا جاتا ہے اور یوں اس کی اندرونی امالہ قابل نظرانداز ہوتی ہے۔ کسی بھی ترسیلی تار کے لئے

$$L_{\text{بیرونی}} C = \mu\epsilon \tag{11.17}$$

درست ثابت ہوتا ہے۔ یوں دونوں ہم محوری تاروں کے درمیان میں بھری ذو برق کا ϵ اور فی میٹر تار کی کپیسٹنس جانتے ہوئے اندرونی امالہ اس مساوات سے حاصل کی جا سکتی ہے۔

کم تعدد پر تار کی اندرونی امالہ کو نظرانداز نہیں کیا جا سکتا۔ ایسی صورت میں مساوات 8.71

$$L = \frac{\mu I}{2\pi}\ln\frac{\rho_2}{\rho_1} + \frac{\mu}{8\pi} + \frac{\mu}{2\pi\left(\rho_3^2-\rho_2^2\right)^2}\left(\rho_3^4\ln\frac{\rho_3}{\rho_2} - \frac{\rho_2^4}{4} - \frac{3\rho_3^4}{4} + \rho_2^2\rho_3^2\right) \tag{11.18}$$

میں دی گئی فی میٹر تار کی امالہ استعمال کی جائے گی۔ یاد رہے کہ یہ امالہ حاصل کرتے ہوئے فرض کیا گیا تھا کہ برقی رو یکساں موصل تار میں گزرتی ہے۔ اب ہم جانتے ہیں کہ بلند تعدد پر رو صرف گہرائی جلد تک محدود رہتی ہے لہٰذا کم تعدد پر ہی اس امالہ کو استعمال کیا جا سکتا ہے۔

آئیں ایسی تعدد پر بھی صورت حال دیکھیں جب اندرونی امالہ کی قیمت قابل نظرانداز نہ ہو لیکن گہرائی جلد کے اثر کو بھی نظرانداز نہیں کیا جا سکتا۔ گہرائی جلد کے اثر کی وجہ سے مساوات 11.18 قابل قبول نہیں ہو گی۔ اب فرض کرتے ہیں کہ گہرائی جلد δ اندرونی تار کے رداس ρ_1 سے بہت کم ہے۔ یوں

اندرونی تار کے بیرونی باریک تہہ میں برقی رو پائی جائے گی۔ برقی رو $\boldsymbol{a}_z$ سمت میں ہے اور چونکہ $\boldsymbol{J}_s = \sigma_c \boldsymbol{E}_s$ ہوتا ہے لہٰذا تار کی سطح پر $\boldsymbol{E}_s$ کا مماثل جزو بھی $\boldsymbol{a}_x$ سمت میں ہو گا۔ موصل تار کی موصلیت کو یہاں σ_c لکھا گیا ہے۔ مقناطیسی میدان کی شدت تار کی سطح پر

$$H_{\phi s} = \frac{I_s}{2\pi\rho_1} \tag{11.19}$$

ہو گی۔ اب تار کی سطح پر E_{zs} اور H_{ys} کی شرح، مستوی برقی و مقناطیسی موج کی قدرتی رکاوٹ ہو گی۔ اگرچہ ہم نلکی اشکال کی بات کر رہے ہیں لیکن $\delta \ll \rho_1$ کی بنا پر برقی رو گزارتے باریک تہہ کو δ موٹائی اور $2\pi\rho_1$ چوڑائی کا موصل تصور کیا جا سکتا ہے۔ یوں صفحہ 337 پر مساوات 10.66 سے

$$\Big|_{\rho_1} \frac{E_{zs}}{H_{ys}} = \frac{1+j}{\sigma_c \delta}$$

لکھا جا سکتا ہے جس میں مساوات 11.19 پر کرنے سے

$$\left.\frac{E_{zs}}{I_s}\right|_{\rho_1} = \frac{1+j}{2\pi\rho_1\delta\sigma_c}$$

لکھا جا سکتا ہے۔ چونکہ E_{zs} دراصل فی میٹر برقی دباو ہے لہٰذا مندرجہ بالا شرح فی میٹر قدرتی رکاوٹ

$$Z = \left.\frac{E_{zs}}{I_s}\right|_{\rho_1} = R + j\omega L = \frac{1}{2\pi\rho_1\delta\sigma_c} + j\frac{1}{2\pi\rho_1\delta\sigma_c} \tag{11.20}$$

کے برابر ہے۔ یہ امالہ تار کی اندرونی امالہ ہے جو تار کے موصلیت σ_c پر منحصر ہے۔ آپ دیکھ سکتے ہیں کہ کامل موصل کی صورت میں قدرتی رکاوٹ صفر ہو گی۔ یوں اندرونی تار کی اندرونی امالہ

$$L_{\rho_1,\text{اندرونی}} = \frac{1}{2\pi\rho_1\delta\sigma_c\omega}$$

ہو گی۔ صفحہ 336 پر مساوات 10.63 کو $\sigma_c = \frac{1}{\pi f \mu \delta^2}$ لکھتے ہوئے اس میں پر کرنے سے

$$L_{\rho_1,\text{اندرونی}} = \frac{\mu\delta}{4\pi\rho_1} \quad (\delta \ll \rho_1) \tag{11.21}$$

حاصل ہوتا ہے۔ اسی طریقہ کار سے بیرونی تار کے لئے

$$L_{\rho_2,\text{اندرونی}} = \frac{\mu\delta}{4\pi\rho_2} \quad (\delta \ll \rho_3 - \rho_2) \tag{11.22}$$

لکھا جا سکتا ہے۔ یوں بلند تعدد پر ہم محوری تار کی کل امالہ

$$L_{\text{بلند تعدد}} = \frac{\mu}{2\pi}\left[\ln\frac{\rho_2}{\rho_1} + \frac{\sigma_c}{2}\left(\frac{1}{\rho_1} + \frac{1}{\rho_2}\right)\right] \quad (\delta \ll \rho_1,\ \delta \ll \rho_3 - \rho_2) \tag{11.23}$$

ہو گا۔ مساوات 11.20 بلند تعدد پر قدرتی رکاوٹ کا مزاحمتی حصہ یعنی فی میٹر مزاحمت بھی دیتا ہے جس سے اندرونی اور بیرونی تاروں کا سلسلہ وار مجموعہ

$$R = \frac{1}{2\pi\delta\sigma_c}\left(\frac{1}{\rho_1} + \frac{1}{\rho_2}\right) \quad (\delta \ll \rho_1,\ \delta \ll \rho_3 - \rho_2) \tag{11.24}$$

لکھا جا سکتا ہے۔ اس مزاحمت کے ساتھ شعاعی اخراج سے پیدا مزاحمتی جزو بھی شامل کیا جا سکتا ہے۔ بے پردہ[3] تار یا ہم محوری تار کے کھلے سر سے شعاعی اخراج ہوتا ہے۔

3741

[3] unshielded

ایسی تعدد جس پر گہرائی جلد کی قیمت رداس سے بہت کم نہ ہو حل کرتے ہوئے[4] استعمال ہوتے ہیں۔ یہاں انہیں حل نہیں کیا جائے گا۔ 3742

قدرتی رکاوٹ کو عموماً بیرونی امالہ اور کپیسٹنس کی صورت میں

$$Z_0 = \sqrt{\frac{L_{\text{بیرونی}}}{C}} = \frac{1}{2\pi}\sqrt{\frac{\mu}{\epsilon}}\ln\frac{\rho_2}{\rho_1} \tag{11.25}$$

لکھا جاتا ہے۔ 3743

اندرونی اور بیرونی تار کے مابین ذو برق میں سے گزرتی یک سمتی برقی رو $I = GV$ سے حاصل ہوتی ہے۔ اندرونی تار پر ρ_L اور بیرونی تار پر $-\rho_L$ کثافت لکیری چارج تصور کرتے ہوئے تاروں کے مابین برقی دباو صفحہ 102 پر مساوات 4.18

$$V = \frac{\rho_L}{2\pi\epsilon}\ln\frac{\rho_2}{\rho_1}$$

دیتی ہے۔ تاروں کے درمیان ذو برق میں میدان مساوات 4.17

$$E_\rho = \frac{\rho_L}{2\pi\epsilon\rho}$$

دیتی ہے۔ ذو برق کی موصلیت σ لکھتے ہوئے، صفحہ 130 پر اوہم کے قانون کی نقطہ شکل یعنی مساوات 5.11 کی مدد سے یوں رداس ρ پر کثافت برقی رو

$$J_\rho = \sigma E_\rho = \frac{\sigma\rho_L}{2\pi\epsilon\rho}$$

لکھی جائے گی۔ اندرونی تار کے گرد رداس ρ پر L لمبائی کی نلکی سطح کا رقبہ $2\pi\rho L$ ہو گا۔ ایسی اکائی لمبائی کی سطح کے رقبہ $2\pi\rho$ سے کل

$$I = J_\rho 2\pi\rho = \frac{\sigma\rho_L}{\epsilon}$$

برقی رو گزرے گی۔ یوں

$$G = \frac{I}{V} = \frac{2\pi\sigma}{\ln\frac{\rho_2}{\rho_1}} \tag{11.26}$$

حاصل ہوتا ہے۔ 3744

یہاں G کی قیمت C کے قیمت سے حاصل کرنا دیکھتے ہیں۔ ایک تار سے دوسرے تار تک $\boldsymbol{E}$ کی لکیری تکمل سے برقی دباو V حاصل ہوتا ہے۔ صفحہ 135 پر مساوات 5.18 کے تحت کسی بھی موصل پر سطحی کثافت چارج، سطح کے عمودی برقی بہاو کے برابر ہوتی ہے، یعنی $\rho_S = D_{\text{عمودی}}$۔ یوں تار پر کل چارج

$$Q = \int_S \rho_S\,\mathrm{d}S = \epsilon\int_S E_{\text{عمودی}}\,\mathrm{d}S$$

لکھی جا سکتی ہے جہاں S تار کا سطحی رقبہ ہے اور $D = \epsilon E$ لکھا گیا گا۔ یوں

$$C = \frac{Q}{V} = \frac{\epsilon\int_S E_{\text{عمودی}}\,\mathrm{d}S}{V} \tag{11.27}$$

ہو گا۔ اب موصل کے سطح پر $E_{\text{عمودی}}$ جانتے ہوئے یہاں کثافت برقی رو $J = \sigma E_{\text{عمودی}}$ لکھی جا سکتی ہے لہٰذا تار کے سطح سے خارج کل برقی رو

$$I = \sigma\int_S E_{\text{عمودی}}\,\mathrm{d}S$$

[4] Bessel functions

ہو گی۔یوں دو تاروں کے مابین ایصالیت

$$G = \frac{I}{V} = \frac{\sigma \int_S E_{\text{عمودی}}\, \mathrm{d}S}{V} \tag{11.28}$$

ہو گی۔مساوات 11.27 اور مساوات 11.28 کو دیکھ کر

$$G = \frac{\sigma}{\epsilon} C \tag{11.29}$$

لکھا جا سکتا ہے جو کسی بھی ترسیلی تار کے لئے درست ہے

مشق 11.2: ایک ہم محوری تار جس کے $\rho_1 = 1\,\mathrm{mm}$، $\rho_2 = 3.49\,\mathrm{mm}$ اور $\sigma_c = 3.82 \times 10^7\ \frac{\mathrm{S}}{\mathrm{m}}$ ہیں کے ذو برق کے مستقل $\mu_R = 1$، $\epsilon_R = 2.25$ اور $\sigma = 10\ \frac{\mu\mathrm{S}}{\mathrm{m}}$ ہیں۔اس کا فی میٹر کپیسٹنس، بیرونی اور اندرونی امالہ حاصل کریں۔ترسیلی تار کے α، β اور Z_0 بھی حاصل کریں۔

جوابات: $0.1\ \frac{\mathrm{nF}}{\mathrm{m}}$، $0.25\ \frac{\mu\mathrm{H}}{\mathrm{m}}$، $1.29\ \frac{\mathrm{nH}}{\mathrm{m}}$، $0.014\ \frac{\mathrm{Np}}{\mathrm{m}}$، $15.1\ \frac{\mathrm{rad}}{\mathrm{m}}$ اور $50\angle 0.055^\circ\ \Omega$

11.2.2 دو متوازی تار کے مستقل

شکل 11.2-ب میں دو متوازی ترسیلی تار دکھائی گئی ہے۔تار کا رداس b، تاروں کے مابین فاصلہ d جبکہ تار کی موصلیت σ_c ہے۔تاروں کے گرد ذو برق کے مستقل ϵ، μ اور σ ہیں۔اس تار کی کپیسٹنس صفحہ 159 پر مساوات 5.75 کی نصف ہو گی۔اس کی وجہ وہیں پر مساوات کے نیچے سمجھائی گئی ہے۔یوں فی میٹر تار کی کپیسٹنس

$$C = \frac{\pi\epsilon}{\cosh^{-1}\frac{d}{2b}} \tag{11.30}$$

ہو گی۔اگر $b \ll d$ ہو تب مساوات 5.76 سے

$$C = \frac{\pi\epsilon}{\ln\frac{d}{b}} \qquad (b \ll d)$$

لکھا جا سکتا ہے۔مساوات 11.17 سے تار کی فی میٹر بیرونی امالہ

$$L_{\text{بیرونی}} = \frac{\mu}{\pi}\cosh^{-1}\frac{d}{2b}$$

یا

$$L_{\text{بیرونی}} = \frac{\mu}{\pi}\ln\frac{d}{b} \qquad (b \ll d)$$

لکھی جا سکتی ہے جبکہ بلند تعدد پر فی میٹر کل امالہ

$$L_{\text{بلند تعدد}} = \frac{\mu}{\pi}\left(\frac{\delta}{2b} + \cosh^{-1}\frac{d}{2b}\right) \qquad (\delta \ll b) \tag{11.31}$$

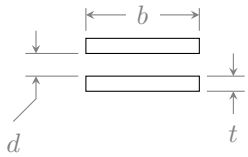

شکل 11.3: سطح مستوی ترسیلی تار۔

ہے۔تار کی بیرونی δ تہہ برقی رو گزارتی ہے۔اس تہہ کا رقبہ عمودی تراش $S = 2\pi b\delta$ ہے لہٰذا فی میٹر مزاحمت

$$R = \frac{l}{\sigma_c S} = \frac{1}{\pi b \delta \sigma_c} \tag{11.32}$$

ہو گی جہاں دونوں تاروں کی مزاحمت سلسلہ وار جڑے ہیں۔مساوات 11.29 سے فی میٹر تار کی ایصالیت

$$G = \frac{\pi\sigma}{\cosh^{-1}\frac{d}{2b}} \tag{11.33}$$

حاصل ہوتی ہے۔

بیرونی امالہ اور کپیسٹنس استعمال کرتے ہوئے قدرتی مزاحمت

$$Z_0 = \frac{1}{\pi}\sqrt{\frac{\mu}{\epsilon}}\cosh^{-1}\frac{d}{2b} \tag{11.34}$$

حاصل ہوتا ہے۔

11.2.3 سطح مستوی ترسیلی تار

شکل 11.3 میں سطح مستوی ترسیلی تار[5] دکھایا گیا ہے جس میں b چوڑائی اور t موٹائی کے دو متوازی موصل چادر دکھائے گئے ہیں جن کے مابین فاصلہ d ہے۔موصل چادر کی موصلیت σ_c جبکہ ارد گرد کے ذو برق کے مستقل ϵ، μ اور σ ہیں۔

اگر $b \gg d$ ہو تب ان چادروں کی فی میٹر کپیسٹنس

$$C = \frac{\epsilon \text{ رقبہ}}{\text{فاصلہ}} = \frac{\epsilon b}{d} \tag{11.35}$$

ہو گی۔یوں مساوات 11.17 سے فی میٹر بیرونی امالہ

$$L_{\text{بیرونی}} = \frac{\mu\epsilon}{C} = \frac{\mu d}{b} \tag{11.36}$$

ہو گی۔امید کی جاتی ہے کہ آپ گہرائی جلد استعمال کرتے ہوئے اندرونی امالہ حاصل کر سکتے ہیں۔یوں کل امالہ

$$L = \frac{\mu d}{b} + \frac{2}{\sigma_c \delta b w} = \frac{\mu}{b}(d+\delta) \quad (\delta \ll t) \tag{11.37}$$

[5] stripline

ہو گی جہاں گہرائی جلد کو چادر کی موٹائی سے بہت کم تصور کیا گیا ہے۔

بلند تعدد پر برقی رو چادروں کے آمنے سامنے سطحوں پر گہرائی جلد تک محدود ہو گی۔یوں برقی رو رقبہ $b\delta$ سے گزرے گی جس سے ایک تار کے اکائی لمبائی کی مزاحمت $\frac{1}{\sigma_c b\delta}$ حاصل ہوتی ہے۔یوں اکائی لمبی تار کے دونوں حصوں کی سلسلہ وار جڑی کل مزاحمت

$$R = \frac{2}{\sigma_c b\delta} \quad (\delta \ll t) \tag{11.38}$$

ہو گی۔

مساوات 11.29 سے

$$G = \frac{\sigma b}{d} \tag{11.39}$$

لکھی جا سکتی ہے۔

ان معلومات سے سطح مستوی ترسیلی تار کی قدرتی رکاوٹ

$$Z_0 = \sqrt{\frac{L_{\text{بیرونی}}}{C}} = \sqrt{\frac{\mu}{\epsilon}}\frac{d}{b} \tag{11.40}$$

لکھی جا سکتی ہے۔

مشق 11.3: مندرجہ بالا تینوں اقسام کے ترسیلی تار 400 MHz پر کام کر رہے ہیں۔ان میں طاقت کے ضیاع کو نظرانداز کرتے ہوئے تمام کے لئے λ اور Γ حاصل کریں۔ہم محوری تار کا $\rho_1 = 0.5\,\text{mm}$، $\rho_2 = 2.8\,\text{mm}$، $\mu_R = 1$ اور $\epsilon_R = 3.1$ ہیں۔ متوازی تار کے $b = 0.5\,\text{mm}$، $d = 9\,\text{mm}$، $\mu_R = 1$ اور $\epsilon_R = 5$ ہیں۔ مستوی سطح کے $d = 0.2\,\text{mm}$، $b = 5\,\text{mm}$، $\mu_R = 1$ اور $\epsilon_R = 2.2$ ہیں۔

جوابات: 42.6 cm، 0.26، 33.5 cm، −0.215، 50.6 cm، 0.816

11.3 ترسیلی تار کے چند مثال

اس حصے میں گزشتہ حصوں کے نتائج استعمال کرتے ہوئے چند مثال کرتے ہیں۔یہاں تمام ترسیلی تاروں کو بے ضیاع تار تصور کیا جائے گا۔

شروع دو متوازی ترسیلی تار سے کرتے ہیں جس کی قدرتی رکاوٹ $300\,\Omega$ ہے۔ایسی تار ٹی وی[6] کے اینٹینا اور ٹی وی کے مابین لگائی جاتی ہے۔شکل 11.4-الف میں اس طرح جڑے ترسیلی نظام کو دکھایا گیا ہے۔اینٹینا کا تھونن[7] مساوی دور استعمال کیا گیا ہے جو ایک عدد منبع برقی دباو V_s اور اس کے ساتھ سلسلہ وار جڑی $300\,\Omega$ کی مزاحمت پر مشتمل ہے۔ترسیلی تار ٹی وی کے برقیاتی دور کے بالکل شروع میں نسب ابتدائی ایمپلی فائر سے جڑتی ہے جس کا داخلی مزاحمت $300\,\Omega$ ہے۔ٹی وی کو اسی مزاحمت سے ظاہر کیا گیا ہے۔اس مثال میں ٹی وی بطور برقی بار کردار ادا کرتا ہے۔ٹی وی اسٹیشن سے

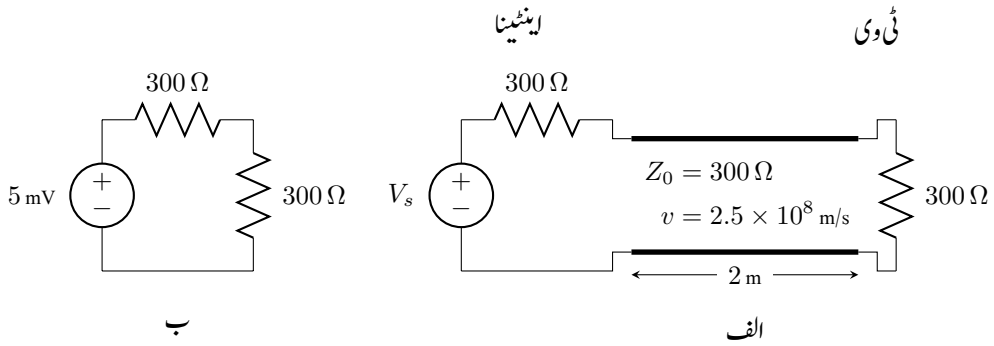

شکل 11.4: ترسیلی تار اینٹینا کو ٹی وی سے جوڑ رہی ہے۔

خارج 100 MHz کے برقی و مقناطیسی امواج اس اینٹینا میں 5 mV کا اشارہ پیدا کرتی ہیں۔ ترسیلی تار کے مستقل ایسے ہیں کہ اس میں اشارات کی رفتار[6] $2.5 \times 10^8\,\frac{\text{m}}{\text{s}}$ ہے۔

چونکہ برقی بار کی مزاحمت اور ترسیلی تار کی قدرتی مزاحمت برابر ہیں لہٰذا ترسیلی تار اور برقی بار ہمہ رکاوٹ ہیں۔ یوں برقی بار پر انعکاس نہیں پایا جائے گا لہٰذا شرح انعکاس

$$\Gamma = \frac{300 - 300}{300 + 300} = 0$$

صفر اور شرح ساکن موج

$$s = \frac{1 - |\Gamma|}{1 + |\Gamma|} = \frac{1 - 0}{1 + 0} = 1$$

ایک کے برابر ہوں گے۔ اشارے کے تعدد پر ترسیلی تار میں طول موج

$$\lambda = \frac{v}{f} = \frac{2.5 \times 10^8}{100 \times 10^6} = 2.5\,\text{m}$$

اور زاویائی مستقل

$$\beta = \frac{2\pi}{\lambda} = \frac{2\pi}{2.5} = 0.8\pi\,\frac{\text{rad}}{\text{m}}$$

ہیں۔ ترسیلی تار کی برقی لمبائی

$$\beta l = 0.8\pi \times 2 = 1.6\pi\,\text{rad}$$

یا 288° ہے جسے 0.8 طول موج بھی کہا جاتا ہے۔

شکل 11.4-ب میں داخلی جانب کا صورت حال دکھایا گیا ہے۔ داخلی جانب چونکہ اینٹینا کی مزاحمت $300\,\Omega$ ہے اور ترسیلی تار کی قدرتی رکاوٹ بھی $300\,\Omega$ ہے لہٰذا اینٹینا اور ترسیلی تار ہمہ رکاوٹ ہیں۔ اینٹینا میں پیدا 5 mV کا اشارہ ترسیلی تار کے قدرتی رکاوٹ پر

$$\frac{5 \times 10^{-3} \times 300}{300 + 300} = 2.5\,\text{mV}$$

[6] TV, television
[7] Thevenin

پیدا کرے گا۔ اینٹینا اور ترسیلی تار ہمہ رکاوٹ ہیں لہٰذا منبع طاقت V_s ترسیلی تار میں زیادہ سے زیادہ طاقت بھیجے گا۔ ترسیلی تار کے داخلی جانب پیدا 2.5 mV کا اشارہ تار میں سے گزرتے ہوئے برقی بار تک پہنچے گا البتہ یہ داخلی اشارے سے 1.6π ریڈیئن پیچھے ہو گا۔ یوں اگر ترسیلی تار کا داخلی اشارہ

$$V_{\text{داخلی}} = 2.5\cos 2\pi 10^8 t \quad \text{mV}$$

ہو تب برقی بار پر اشارہ

$$V_{\text{بار}} = 2.5\cos(2\pi 10^8 t - 1.6\pi) \quad \text{mV}$$

ہو گا۔ داخلی برقی رو

$$I_{\text{داخلی}} = \frac{V_{\text{داخلی}}}{300} = 8.33\cos 2\pi 10^8 t \quad \mu\text{A}$$

اور برقی بار پر برقی رو

$$I_{\text{بار}} = \frac{V_{\text{داخلی}}}{300} = 8.33\cos(2\pi 10^8 t - 1.6\pi) \quad \mu\text{A}$$

ہوں گے۔ چونکہ ترسیلی تار بے ضیاع تار ہے لہٰذا جو طاقت اسے داخلی جانب فراہم کی جاتی ہے وہی طاقت خارجی جانب برقی بار کو مہیا کر دی جاتی ہے۔

$$P_{\text{داخلی}} = P_{\text{بار}} = V_{\text{موثر}} I_{\text{موثر}} = \frac{2.5\times 10^{-3}}{\sqrt{2}} \times \frac{8.33\times 10^{-6}}{\sqrt{2}} = 10.41\,\text{nW}$$

مزاحمتی بار کی طاقت کا حساب لگاتے وقت یاد رہے کہ $P = VI$ میں برقی دباو اور برقی رو کے موثر[8] قیمتیں استعمال کی جاتی ہیں۔ سائن نما موج کی موثر قیمت موج کی چوٹی تقسیم $\sqrt{2}$ کے برابر ہوتی ہے۔

اب پہلے ٹی وی کے متوازی دوسرا ٹی وی نسب کرنے کے اثرات پر غور کرتے ہیں۔ دوسرے ٹی وی کا داخلی مزاحمت بھی $300\,\Omega$ ہے۔ یوں اب ترسیلی تار کے خارجی جانب کل $150\,\Omega$ کا بار پایا جاتا ہے۔ اس طرح شرح انعکاس

$$\Gamma = \frac{150-300}{150=300} = -\frac{1}{3}$$

یا

$$\Gamma = \frac{1}{3}\underline{/\pi} \tag{11.41}$$

حاصل ہوتی ہے اور شرح ساکن موج

$$s = \frac{1+\frac{1}{3}}{1-\frac{1}{3}} = 2$$

ہوں گے۔ ترسیلی تار کی داخلی مزاحمت اب $300\,\Omega$ کے بجائے

$$\begin{aligned} Z_{\text{داخلی}} &= Z_0\frac{Z_L + jZ_0\tan\beta l}{Z_0 + jZ_L\tan\beta l} = 300\frac{150 + j300\tan 288^\circ}{300 + j150\tan 288^\circ} \\ &= 509.7\underline{/-23.79^\circ} = 466.39 - j205.6 \quad \Omega \end{aligned}$$

[8] RMS, effective

ہو گی جو کپیسٹر کی خاصیت رکھتی ہے۔ کپیسٹر کی خاصیت کا مطلب یہ ہے کہ ترسیلی تار کے برقی میدان میں مقناطیسی میدان سے زیادہ توانائی ذخیرہ ہے۔ داخلی رو

$$I_{s,\text{داخلی}} = \frac{0.005}{300 + 466.39 - j205.6} = 6.3013\underline{/15.017^\circ} \quad \mu\text{A}$$

ہے اور یوں ترسیلی تار کو داخلی جانب

$$P_{\text{داخلی}} = \frac{1}{2}\left(6.3013 \times 10^{-6}\right)^2 \times 466.39 = 9.2593\,\text{nW}$$

طاقت فراہم کی جا رہی ہے۔ بے ضیاع تار تمام کی تمام طاقت خارجی جانب منتقل کرے گا لہٰذا 150 Ω کے بار کو 9.2593 nW حاصل ہو گا جو گزشتہ جواب یعنی 10.41 nW سے قدر کم ہے۔ یہ کمی انعکاس کی وجہ سے پیدا ہوئی۔ کہانی یہاں ختم نہیں ہوتی۔ یہ طاقت دونوں ٹی وی میں برابر تقسیم ہو گا لہٰذا ہر ٹی وی کو صرف 4.6297 nW طاقت مہیا ہو گا۔ چونکہ ایک ٹی وی 300 Ω مزاحمت رکھتا ہے لہٰذا ٹی وی پر پیدا برقی دباو

$$4.6297 \times 10^{-9} = \frac{\left|V_{s,\text{بار}}\right|^2}{2 \times 300}$$

یعنی

$$\left|V_{s,\text{بار}}\right| = 1.666\,67\,\text{mV}$$

ہو گا۔ یہ قیمت 2.5 mV سے بہت کم ہے جو اکیلے ٹی وی پر پیدا ہوتی ہے۔ 3776

آئیں ترسیلی تار پر برقی دباو کی چوٹی، نشیب اور ان کے مقامات کے علاوہ دیگر معلومات بھی حاصل کریں۔ اگر ہم برقی دباو کے معلومات حاصل کر سکیں تو ظاہر ہے کہ برقی رو کے معلومات بھی حاصل کر پائیں گے۔ گزشتہ باب میں مستوی امواج کے لئے یہی معلومات حاصل کی گئیں تھیں۔ وہاں استعمال کئے گئے ترکیب یہاں بھی کارآمد ثابت ہوں گے۔ برقی دباو موج کے چوٹی کے مقامات مساوات 10.88

$$-\beta_1 z_{\text{بلند تر}} = \frac{\phi}{2} + n\pi \quad (n = 0, \mp 1, \mp 2, \cdots)$$

دیتا ہے۔ اس میں $\beta = 0.8\pi$ اور $\phi = \pi$ پر کرنے سے

$$\begin{aligned} z_{\text{بلند تر}} &= \frac{1}{-0.8\pi}\left(\frac{\pi}{2} + n\pi\right) \\ &= -1.25\left(\frac{1}{2} + n\right) \end{aligned}$$

حاصل ہوتا ہے جس میں $n = 0$ اور $n = 1$ پر کرنے سے

$$z_{\text{بلند تر}} = -0.625\,\text{m} \quad \text{اور} \quad -1.875\,\text{m}$$

حاصل ہوتے ہیں جو درست جوابات ہیں۔ اگر $n = 2$ پر کیا جائے تو $z_{\text{بلند تر}} = -3.125\,\text{m}$ حاصل ہوتا ہے جبکہ تار کی کل لمبائی صرف دو میٹر ہے لہٰذا اس جواب کو رد کیا جاتا ہے۔ اسی طرح $n = -1$ پر کرنے سے $z_{\text{بلند تر}} = 0.625\,\text{m}$ حاصل ہوتا ہے جبکہ تار منفی z محدد پر پائی جاتی ہے لہٰذا اس جواب کو بھی رد کیا جاتا ہے۔ 3778 3779

موج کے چوٹی سے $\frac{\lambda}{4}$ فاصلے پر نشیب پائے جاتے ہیں، لہٰذا ان کے مقامات

$$z_{\text{کمتر}} = 0\,\text{m} \quad \text{اور} \quad -1.25\,\text{m}$$

ہوں گے۔آپ نے دیکھا کہ سرحد پر برقی دباو کا نشیب پایا جاتا ہے۔آپ کو یاد ہو گا کہ حقیقی Z_0 اور Z_L کی صورت میں اگر $Z_0 < Z_L$ ہو تب سرحد پر موج کا نشیب ہی پایا جاتا ہے۔

چونکہ سرحد پر موج کا نشیب ہے اور ہم جانتے ہیں کہ ٹی وی پر 1.66 mV ہے لہٰذا دباو کی کمتر قیمت یہی ہے اور $s = 2$ سے دباو کی چوٹی اس کے دگنا یعنی 3.32 mV حاصل ہوتی ہے۔ترسیلی تار کے داخلی سرے پر برقی دباو

$$V_{s,\text{داخلی}} = I_{s,\text{داخلی}} Z_{\text{داخلی}} = \left(6.3013 \times 10^{-6} \underline{/15.017^\circ}\right) \left(509.7 \underline{/-23.79^\circ}\right) = 0.00321175 \underline{/-8.77^\circ}$$

ہو گی جو تقریباً موج کے چوٹی کے برابر ہے۔ایسا اس لئے ہے کہ سرحد سے $\frac{\lambda}{4}$ فاصلے پر چوٹی پائی جاتی ہے جس سے ہر 0.5λ فاصلے پر چوٹی ہو گی لہٰذا سرحد سے $\frac{3\lambda}{4}$ فاصلے پر بھی چوٹی متوقع ہے جو تار کے داخلی سرے کے بہت قریب نقطہ ہے۔آپ ترسیلی تار کی داخلی برقی دباو یوں

$$V_{s,\text{داخلی}} = \frac{Z_{\text{داخلی}} V_s}{Z_{\text{داخلی}} + 300} = \frac{(466.39 - j205.6) \times 0.005}{466.39 - j205.6 + 300} = 0.00321175 \underline{/-8.77^\circ}$$

بھی حاصل کر سکتے ہیں۔

آخر میں داخلی برقی دباو اور بار پر برقی دباو کا زاویائی تعلق دیکھتے ہیں۔اگرچہ ہم دونوں برقی دباو کے قیمتیں حاصل کر چکے ہیں، ان کے زاویائی معلومات ابھی تک نہیں حاصل کی گئیں۔مساوات 10.87 کی مدد سے تار پر کسی بھی نقطے پر برقی دباو

$$V_s = \left(e^{-j\beta z} + \Gamma e^{j\beta z}\right) V_0^+$$

لکھا جا سکتا ہے۔چونکہ ہمیں تار کے داخلی سرے پر دباو معلوم ہے لہٰذا اس میں $z = -l$ پر کرنے سے

$$V_{s,\text{داخلی}} = \left(e^{j\beta l} + \Gamma e^{-j\beta l}\right) V_0^+$$

حاصل ہوتا ہے جسے V_0^+ کے لئے حل کرتے ہیں

$$V_0^+ = \frac{V_{s,\text{داخلی}}}{e^{j\beta l} + \Gamma e^{-j\beta l}} = \frac{0.00321175 \underline{/-8.77^\circ}}{e^{j1.6\pi} - \frac{1}{3} e^{-j1.6\pi}} = 0.0025 \underline{/-72^\circ}$$

اور یوں بار یعنی $z = 0$ پر برقی دباو اب حاصل کی جا سکتی ہے

$$V_{s,\text{بار}} = (1 + \Gamma) V_0^+ = 0.001666 \underline{/-72^\circ} = 0.001666 \underline{/-288^\circ}$$

یہاں حاصل جواب کی حتمی قیمت اور کچھ دیر پہلے حاصل کی گئی بار پر برقی دباو کی حتمی قیمت برابر ہیں۔تار کے داخلی سرے پر دباو کا زاویہ -8.77° جبکہ تار کے خارجی سرے پر دباو کا زاویہ 72° ہے۔یوں ان کے مابین فرق 80.77° یعنی -279.23° ہے۔انعکاسی موج کی عدم موجودگی میں یہ فرق -288° یعنی تار کی زاویائی لمبائی جتنا ہوتا ہے۔

آخری مثال کے طور پر ہم اس ترسیلی تار کے خارجی سرے پر صرف کپیسٹر $Z_L = -j300\,\Omega$ نسب کر کے دیکھتے ہیں۔کپیسٹر میں توانائی ضائع نہیں ہوتی۔یہ حقیقت شرح انعکاس

$$\Gamma = \frac{-j300 - 300}{-j300 + 300} = -j = 1 \underline{/-90^\circ}$$

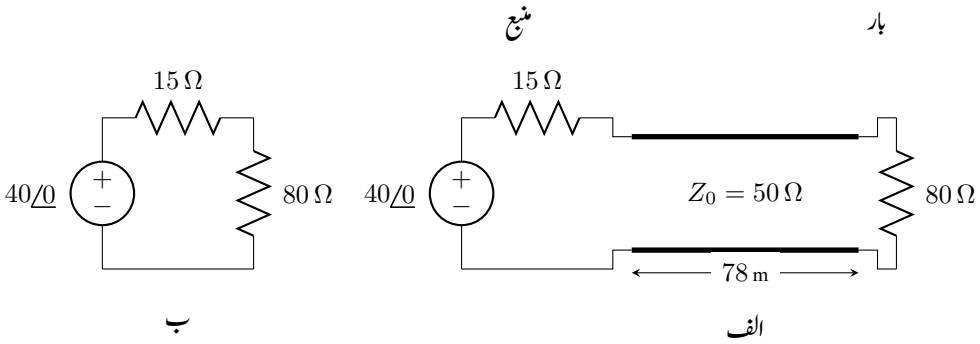

شکل 11.5: بار بردار ترسیلی تار۔

سے صاف ظاہر ہے جو انعکاسی موج کا حیطہ آمدی موج کے برابر دیتا ہے۔شرح ساکن موج یوں

$$s = \frac{1+|-j|}{1-|-j|} = \infty$$

ہو گا جس سے موج کا نشیب عین صفر کے برابر حاصل ہوتا ہے۔ترسیلی تار کی داخلی قدرتی رکاوٹ

$$Z_{\text{داخلی}} = 300\frac{-j300 + j300\tan 288^\circ}{300 + j(-j300)\tan 288^\circ} = j589$$

ہو گی جو خیالی عدد ہے لہٰذا اسے اوسط طاقت فراہم نہیں کی جا سکتی۔

ترسیلی تار کے مسائل ترسیمی طریقے سے نہایت خوش اسلوبی سے حل ہوتے ہیں۔ان میں سمتھ نقشہ[9] زیادہ اہم ہے۔اگلے حصے میں اسی پر غور کیا جائے گا۔

مثال 11.1: شکل 11.5-الف میں 78 m لمبی بے ضیاع ترسیلی تار دکھائی گئی ہے جو $Z_L = 80\,\Omega$ بار کو طاقت فراہم کر رہی ہے۔ترسیلی تار کو منبع $40\underline{/0}$ برقی دباو فراہم کر رہی ہے۔منبع کی خارجی مزاحمت $15\,\Omega$ ہے جبکہ ترسیلی تار کی قدرتی رکاوٹ $Z_0 = 50\,\Omega$ اور اس میں موج کی رفتار $2 \times 10^8\,\frac{\text{m}}{\text{s}}$ ہے۔مندرجہ ذیل صورتوں میں بار پر برقی دباو V_L حاصل کریں۔الف) منبع کی تعدد 500 kHz ہے۔ب) منبع کی تعدد 50 Hz ہے۔

حل:الف) ترسیلی تار میں 500 kHz تعدد پر طول موج اور β مندرجہ ذیل ہیں۔

$$\lambda = \frac{v}{f} = \frac{2\times 10^8}{500000} = 400\,\text{m}$$
$$\beta = \frac{2\pi}{\lambda} = \frac{2\pi}{400} = \frac{\pi}{200}\,\frac{\text{rad}}{\text{m}}$$

اس تعدد پر ترسیلی تار کی لمبائی، طول موج کے 19.5 % ہے۔ترسیلی تار کی داخلی قدرتی رکاوٹ

$$\begin{aligned} Z_{\text{داخلی}} &= 50\frac{80 + j50\tan(\frac{\pi}{200}\times 78)}{50 + j80\tan(\frac{\pi}{200}\times 78)} \\ &= 33.599 - j10.441 \end{aligned}$$

---

[9] Smith chart

ہے۔ ترسیلی تار کے داخلی سرے پر $80\,\Omega$ کا برقی بار $Z_{\text{داخلی}}$ نظر آتا ہے۔ یوں ترسیلی تار کے داخلی سرے پر برقی دباو

$$V_{\text{داخلی}} = \frac{40 \times (33.599 - j10.441)}{15 + 33.599 - j10.441} = 28.2 - j2.54$$

ہو گا۔ برقی بار کو $z = 0$ پر تصور کرنے سے ترسیلی تار کا داخلی سرا $z = -78\,\text{m}$ پر ہو گا۔ ترسیلی تار کے داخلی برقی دباو کو ترسیلی تار میں موجود آمدی موج $V^+ = V_0^+ e^{-j\beta z}$ اور انعکاسی موج $V^- = V_0^- e^{j\beta z}$ کا نقطہ $z = -78\,\text{m}$ پر مجموعہ

$$V_{\text{داخلی}} = V_0^+ e^{-j\frac{\pi}{200}(-78)} + V_0^- e^{j\frac{\pi}{200}(78)} = V_0^+ e^{j1.22522} + V_0^- e^{-j1.22522}$$

تصور کیا جا سکتا ہے جس میں

$$V_0^- = \Gamma V_0^+ = \left(\frac{80-50}{80+50}\right) V_0^+ = \frac{3}{13} V_0^+$$

پر کرنے سے

$$28.2 - j2.54 = V_0^+ e^{j1.22522} + \frac{3}{13} V_0^+ e^{-j1.22522}$$

یا

$$V_0^+ = \frac{28.2 - j2.54}{e^{j1.22522} + \frac{3}{13} e^{-j1.22522}} = 33.9 e^{-j1.138}$$

حاصل ہوتا ہے۔ یوں بار پر برقی دباو

$$V_L = V_0^+ (1 + \Gamma) = 33.9 e^{-j1.138} \left(1 + \frac{3}{13}\right) = 41.7 e^{-j1.138} = 41.7\underline{/-65.2^\circ}$$

ہو گا۔

آئیں بار کو منتقل طاقت بھی حاصل کریں۔ بار پر برقی دباو کے استعمال سے اوسط طاقت

$$P_L = \frac{1}{2}\frac{|V_L|^2}{R_L} = \frac{1}{2}\frac{41.7^2}{80} = 10.88\,\text{W}$$

حاصل ہوتی ہے۔

ترسیلی تار کے داخلی سرے پر برقی رو

$$I_{\text{داخلی}} = \frac{V_{\text{داخلی}}}{Z_{\text{داخلی}}} = \frac{28.2 - j2.54}{33.599 - j10.441} = 0.787 + j0.169$$

ہو گی۔ یوں ترسیلی تار کو داخلی سرے پر

$$P_{\text{داخلی}} = \frac{1}{2}\, V_{\text{داخلی}} I^*_{\text{داخلی}} \Big|_{\text{حقیقی}} = \frac{1}{2}(28.2 - j2.54)(0.787 - j0.169) = 10.88\,\text{W}$$

طاقت منتقل ہو رہی ہے۔ ترسیلی تار بے ضیاع ہے لہٰذا یہی طاقت بار کو منتقل ہو گی۔

ب) ترسیلی تار میں 50 Hz تعدد پر طول موج اور β مندرجہ ذیل ہیں۔

$$\lambda = \frac{v}{f} = \frac{2\times 10^8}{50} = 4\times 10^6\,\mathrm{m}$$
$$\beta = \frac{2\pi}{\lambda} = \frac{2\pi}{4\times 10^6} = 5\pi\times 10^{-7}\,\frac{\mathrm{rad}}{\mathrm{m}}$$

اس تعدد پر ترسیلی تار کی لمبائی، طول موج سے نہایت کم $\lambda \gg 78\,\mathrm{m}$ ہے۔ ترسیلی تار کی داخلی قدرتی رکاوٹ

$$\begin{aligned} Z_{\text{داخلی}} &= Z_0\frac{Z_L + jZ_0\tan\beta l}{Z_0 + jZ_L\tan\beta l} = 50\frac{80 + j50\tan(5\pi\times 10^{-7}\times 78)}{50 + j80\tan(5\pi\times 10^{-7}\times 78)} \\ &= 50\frac{80 + j0.0061}{50 + j0.0098} = 79.999998697\underline{/-0.00684^\circ} \\ &\approx 80\,\Omega \end{aligned}$$

ہے۔ آپ دیکھ سکتے ہیں کہ $\beta l \ll 1$ کی صورت میں $\tan\beta l \to 0$ ہوتا ہے جس سے ترسیلی تار کی داخلی قدرتی رکاوٹ تقریباً برقی بار کے برابر ہی حاصل ہوتی ہے۔ آپ نے دیکھا کہ $l \ll \lambda$ کی صورت میں ترسیلی تار کے داخلی سرے پر برقی بار جوں کا توں نظر آتا ہے لہٰذا ترسیلی تار کا ہونا یا نہ ہونا یک برابر ہے۔ ایسی صورت میں ترسیلی تار کی موجودگی رد کرتے ہوئے دور کو کرچاف کے قوانین سے حل کیا جاتا ہے۔ ایسا کرنے سے ہمیں شکل 11.5-ب حاصل ہوتی ہے جسے کرچاف کے قوانین کی مدد سے حل کرتے ہوئے برقی بار پر

$$V_L = \frac{40\times 80}{15+80} = 33.7\,\mathrm{V}$$

برقی دباو حاصل ہوتی ہے۔

مندرجہ بالا مثال میں آپ نے دیکھا کہ کسی بھی برقی دور میں تار کی لمبائی l طول موج λ سے بہت کم $l \ll \lambda$ ہونے کی صورت میں، ترسیلی تار کو رد کرتے ہوئے، دور کو کرچاف کے قوانین سے حل کیا جاتا ہے۔ البتہ جب بھی تار کی لمبائی، طول موج کے ساتھ مطابقت رکھے، ایسی صورت میں کرچاف کے قوانین غیر کارآمد ہوتے ہیں اور میکس ویل کے مساوات سے ہی درست جوابات حاصل ہوتے ہیں۔

پاکستان میں 50 Hz اور 220 V کی برقی طاقت مہیا کی جاتی ہے۔ تار پر موج کی رفتار $3\times 10^8\,\frac{\mathrm{m}}{\mathrm{s}}$ لیتے ہوئے $\lambda = 6000\,\mathrm{km}$ حاصل ہوتی ہے۔ گھر کے اندر فاصلے λ سے بہت کم ہوتے ہیں[10] لہٰذا گھر میں $484\,\Omega$ بلب کی برقی رو دریافت کرتے ہوئے $\frac{220}{484} = 0.45\,\mathrm{A}$ حاصل ہوتی ہے۔ اس کے برعکس تربیلا ڈیم سے کراچی شہر کا فاصلہ تقریباً $1500\,\mathrm{km}$ ہے جو λ سے مناسبت رکھتا ہے، لہٰذا تربیلا ڈیم سے کراچی شہر کو برقی طاقت کے منتقلی کے مسائل حل کرتے ہوئے میکس ویل کے مساوات استعمال کرنا لازم ہو گا۔

مثال 11.2: قدرتی رکاوٹ $50\,\Omega$ کے ترسیلی تار کے اختتام پر $Z_1 = 50 - j100\,\Omega$ جڑا ہے جبکہ اختتام سے 0.2λ فاصلے پر $Z_2 = 100\,\Omega$ جڑا ہے۔ ترسیلی تار کے دونوں حصوں میں شرح ساکن موج s حاصل کریں۔

حل: محدود لمبائی کے ترسیلی تار میں متعدد انعکاسی امواج پائے جاتے ہیں۔ تمام آگے جانب حرکت امواج کو ایک عدد آمدی بڑھتی موج تصور کرتے ہوئے اور اسی طرح تمام واپسی جانب حرکت کرتے ہوئے تمام امواج کو ایک عدد انعکاسی موج تصور کرتے ہوئے حل کرتے ہیں۔

---

[10] مجھے اپنا گھر بہت چھوٹا لگنے لگا ہے۔

ترسیلی تار کے اختتامی حصے پر

$$\Gamma = \frac{50 - j100 - 50}{50 - j100 + 50} = 0.5 - j0.5$$

ہو گا جس سے $|\Gamma| = \frac{1}{\sqrt{2}}$ حاصل ہوتا ہے۔اس قیمت کو استعمال کرتے ہوئے

$$s = \frac{1 + |\Gamma|}{1 - |\Gamma|} = \frac{1 + \frac{1}{\sqrt{2}}}{1 + \frac{1}{\sqrt{2}}} = 5.83$$

حاصل ہوتا ہے۔

جس نقطے پر $100\,\Omega$ مزاحمت جڑی ہے اس مقام پر $50 - j100$ سے اختتام پذیر 0.2λ لمبی تار کی داخلی رکاوٹ

$$\begin{aligned} Z_{\text{داخلی}} &= 50\frac{(50 - j100) + j50\tan\left(\frac{2\pi}{\lambda} \times 0.2\lambda\right)}{50 + j(50 - j100)\tan\left(\frac{2\pi}{\lambda} \times 0.2\lambda\right)} \\ &= 8.63 + j3.82 \end{aligned}$$

ہے۔اب $Z_{\text{داخلی}}$ اور $100\,\Omega$ متوازی جڑے ہیں جن کا مجموعہ

$$\frac{100 \times (8.63 + j3.82)}{100 + 8.63 + j3.82} = 8.06 + j3.23$$

ہو گا۔داخلی جانب سے دیکھتے ہوئے ترسیلی تار کو $100\,\Omega$ کی بجائے $8.06 + j3.23$ بار نظر آئے گا۔یوں ترسیلی تار کے داخلی حصے پر

$$\Gamma = \frac{8.06 + j3.23 - 50}{8.06 + j3.23 + 50} = -0.717 + j0.096 = 0.723\underline{/171.9^\circ}$$

اور

$$s = \frac{1 + 0.723}{1 - 0.723} = 6.22$$

ہوں گے۔

11.4 ترسیمی تجزیہ، سمتھ نقشہ

سمتھ نقشہ[11] بنیادی طور پر شرح انعکاس

$$\Gamma = \frac{Z_L - Z_0}{Z_L + Z_0}$$

کی مساوات پر منحصر ہے۔اس نقشے میں بار بمطابق Z_0 یعنی $\frac{Z_L}{Z_0}$ استعمال کی جاتی ہے جسے

$$z = r + jx = \frac{Z_L}{Z_0} = \frac{R_L + jX_L}{Z_0}$$

[11] Smith chart

لکھا جا سکتا ہے جہاں z کار تیسی محدد کا متغیرہ نہیں بلکہ Z_0 کے مطابقت سے بار کو ظاہر کرتا ہے۔یوں

$$\Gamma = \frac{z-1}{z+1}$$

اور

$$z = \frac{1+\Gamma}{1-\Gamma} \tag{11.42}$$

لکھے جا سکتے ہیں۔شرح انعکاس کو حقیقی اور خیالی اجزاء

$$\Gamma = \Gamma_r + j\Gamma_i$$

کی صورت میں لکھتے ہوئے

$$r + jx = \frac{1+\Gamma_r + j\Gamma_i}{1-\Gamma_r - j\Gamma_i}$$

کے حقیقی اور خیالی اجزاء علیحدہ کرتے ہوئے

$$r = \frac{1-\Gamma_r^2-\Gamma_i^2}{(1-\Gamma_r)^2+\Gamma_i^2} \tag{11.43}$$

$$x = \frac{2\Gamma_i}{(1-\Gamma_r)^2+\Gamma_i^2} \tag{11.44}$$

لکھے جا سکتے ہیں جنہیں کچھ الجبرا کے بعد

$$\left(\Gamma_r - \frac{r}{1+r}\right)^2 + \Gamma_i^2 = \left(\frac{1}{1+r}\right)^2 \tag{11.45}$$

$$(\Gamma_r - 1)^2 + \left(\Gamma_i - \frac{1}{x}\right)^2 = \left(\frac{1}{x}\right)^2 \tag{11.46}$$

لکھا جا سکتا ہے۔اگر کار تیسی محدد کے متغیرات Γ_r اور Γ_i رکھے جائیں تو مندرجہ بالا دونوں مساوات گول دائروں کے مساوات ہوں گے۔

مساوات 11.45 کے دائروں پر پہلے غور کرتے ہیں۔اگر $r = 0$ ہو تب یہ مساوات اکائی رداس کا دائرہ دیتی ہے جس کا مرکز محدد کے $(0,0)$ پر ہے۔خیالی برقی بار کی صورت میں شرح انعکاس کی حتمی قیمت ایک ہی ہوتی ہے۔اسی طرح $r = \infty$ کی صورت میں دائرے کا رداس صفر جبکہ اس کا مرکز محدد پر $(1,0)$ ہے۔یوں یہ دائرہ صرف اسی نقطے یعنی $\Gamma = 1$ تک محدود ہے۔اب $r = \infty$ سے مراد $Z_L - \infty$ ہے جس سے شرح انعکاس $\Gamma = 1$ ہی حاصل ہوتی ہے۔ایک آخری مثال $r = 1$ کی لیتے ہیں جس سے 0.5 رداس کا دائرہ حاصل ہوتا ہے جس کا مرکز $(0.5,0)$ ہے۔شکل 11.6 میں ان دائروں کے علاوہ $r = 0.5$ اور $r = 2$ سے حاصل دائرے بھی دکھایا گیا ہے۔

مساوات 11.46 بھی دائرے دیتی ہے البتہ ان دائروں کا رداس $\frac{1}{x}$ اور مراکز $(1, \frac{1}{x})$ ہیں۔لامحدود x کی صورت میں دوبارہ $Z = \infty$ اور $\Gamma = 1 + j0$ ہوں گے۔مساوات 11.46 کے مطابق اس دائرے کا رداس صفر جبکہ اس کا مرکز $(1,0)$ ہے لہٰذا یہ $\Gamma = 1$ کو ہی ظاہر کرتا ہے۔اگر $x = 1$ ہو تب دائرے کا رداس اکائی جبکہ اس کا مرکز $(1,1)$ ہوں گے۔جیسا شکل 11.7 میں دکھایا گیا ہے، اس دائرے کا چوتھائی حصہ $|\Gamma| = 1$ دائرے کے اندر پایا جاتا ہے۔اسی طرح $x = -1$ کی صورت میں دائرے کا چوتھائی حصہ Γ_r محدد کے نیچے پایا جاتا ہے۔شکل میں $x = 0.5$، $x = -0.5$، $x = 2$ اور $x = -2$ کے دائرے بھی دکھائے گئے ہیں۔شکل میں $x = 0$ سے پیدا سیدھی لکیر، یعنی Γ_r محدد بھی دکھایا گیا ہے۔

ان دونوں دائروں کو ایک ہی جگہ شکل 11.8 کے سمتھ نقشے میں دکھایا گیا ہے۔یوں کسی بھی Z_L کی صورت میں $\frac{Z_L}{Z_0}$ کی شرح لیتے ہوئے z یعنی x حاصل کر کے سمتھ نقشے میں ان کے دائروں کی نشاندہی کریں۔اگر نقشے پر درکار r اور (یا) x کے دائرے نہ پائے جائیں تب ان کے قریبی قیمتوں کے

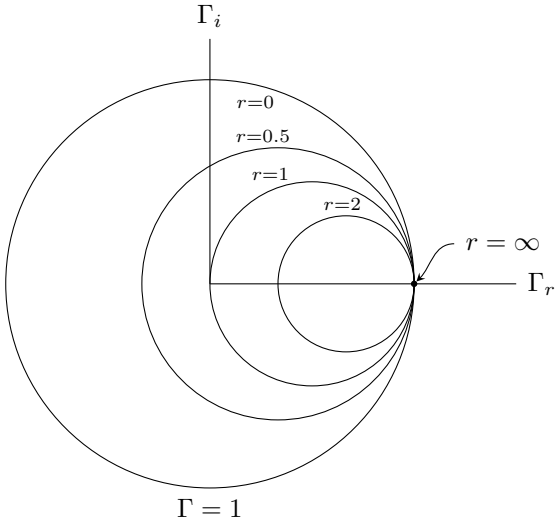

شکل 11.6: کارتیسی محدد کے متغیرات Γ_r اور Γ_i ہیں جبکہ دائرے کا رداس $\frac{1}{r+1}$ ہے۔

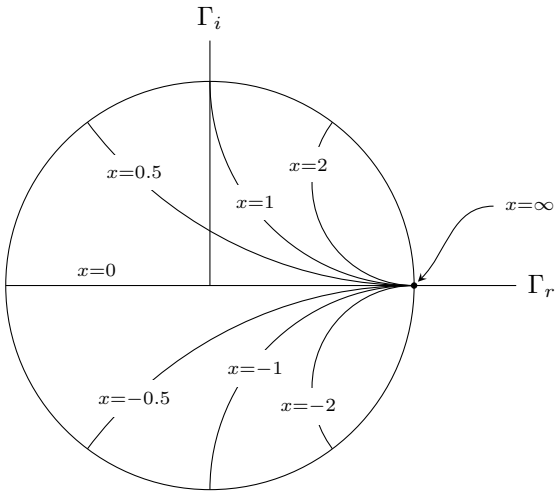

شکل 11.7: کارتیسی محدد پر $\frac{1}{x}$ رداس کے دائروں کے وہ حصے دکھائے گئے ہیں جو اکائی دائرے کے اندر پائے جاتے ہیں۔

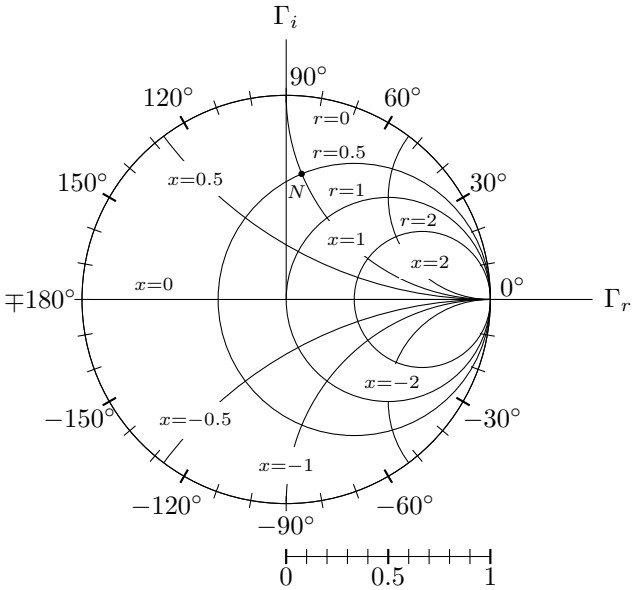

شکل 11.8: سمتھ نقشے پر اکائی دائرے میں r اور x سے حاصل دائرے دکھائے جاتے ہیں۔

دائروں سے مطلوبہ دائرے کا مقام اخذ کریں۔ جہاں یہ دائرے ایک دونوں کو کاٹتے ہیں وہاں سے Γ پڑھیں۔ نقشے کے مرکز $(0,0)$ سے اس نقطے تک فاصلہ $|\Gamma|$ کے برابر ہو گا جبکہ افقی محدد یعنی Γ_r سے گھڑی کے الٹ سمت زاویہ Γ کا زاویہ ہو گا۔ اس زاویے کو اکائی رداس کے دائرے کے باہر دکھایا گیا ہے۔ یوں محدد کے مرکز سے درکار نقطے تک سیدھی لکیر کو اکائی رداس کے دائرے تک بڑھا کر زاویہ ناپا جاتا ہے۔ سمتھ نقشے میں $|\Gamma|$ ناپنے کی غرض سے محدد کے مرکز $(0,0)$ پر مختلف رداس کے دائرے کھینچے جا سکتے تھے، لیکن ایسا نہیں کیا جاتا۔ آپ کو یہ فاصلہ نقشے میں دئے فیتے کی مدد سے ناپنا ہو گا۔ اب مثال کے طور پر $Z_0 = 50\,\Omega$ کی ترسیلی تار پر $Z_L = 25 + j50\,\Omega$ کا بار $z = 0.5 + j1$ سے ظاہر کیا جائے گا۔ اس نقطے کو شکل میں بطور نقطہ N دکھایا گیا ہے جو $r = 0.5$ اور $x = 1$ کے دائروں کے نقطہ ملاپ سے حاصل ہوتا ہے۔ شرح انعکاس تقریباً $0.62\underline{/83°}$ حاصل ہوتا ہے۔

سمتھ نقشہ مکمل کرنے کی خاطر اکائی دائرے کے محیط کے باہر دوسرا فیتہ شامل کیا جاتا ہے جس سے ترسیلی تار پر فاصلہ ناپا جاتا ہے۔ اس فیتے پر فاصلہ طول موج λ کی صورت میں ناپا جا سکتا ہے۔ آئیں دیکھیں کہ اس فیتے سے کس طرح فاصلہ حاصل کیا جاتا ہے۔ ترسیلی تار پر کسی بھی نقطے پر برقی دباو

$$V_s = V_0^+ \left(e^{-j\beta z} + \Gamma e^{j\beta z}\right)$$

کو برقی رو

$$I_s = \frac{V_0^+}{Z_0} \left(e^{-j\beta z} - \Gamma e^{j\beta z}\right)$$

سے تقسیم کرتے ہوئے Z_0 کے مطابقت سے داخلی قدرتی رکاوٹ

$$z_{\text{داخلی}} = \frac{Z_{\text{داخلی}}}{Z_0} = \frac{V_s}{Z_0 I_s} = \frac{e^{-j\beta z} + \Gamma e^{j\beta z}}{e^{-j\beta z} - \Gamma e^{j\beta z}}$$

حاصل کی جا سکتی ہے جس میں $z = -l$ پر کرتے ہوئے

$$z_{\text{داخلی}} = \frac{1 + \Gamma e^{-j2\beta l}}{1 - \Gamma e^{j2\beta l}} \tag{11.47}$$

لکھا جا سکتا ہے۔اس مساوات میں $l = 0$ پر کرنے سے

$$z_{\text{داخلی}}\Big|_{l=0} = \frac{1-\Gamma}{1+\Gamma} = z \tag{11.48}$$

حاصل ہوتا ہے جو عین بار پر شرح انعکاس ہے جسے مساوات 11.42 میں پیش کیا گیا ہے۔

یہاں رک کر اس حقیقت پر غور کریں کہ Γ کو $e^{-j2\beta l}$ سے ضرب دینے سے

$$\Gamma e^{-j2\beta l} = |\Gamma|\, e^{j\phi} e^{-j2\beta l} = |\Gamma|\, e^{j(\phi-2\beta l)}$$

حاصل ہوتا ہے جس کی حتمی قیمت اب بھی $|\Gamma|$ ہی ہے لیکن نیا زاویہ $(\phi - 2\beta l)$ ہے۔یوں سمتھ نقشے میں نقطہ z یعنی

$$z = r + jx = \frac{1+\Gamma}{1-\Gamma} \tag{11.49}$$

کی نشاندہی کرتے ہوئے $|\Gamma|\underline{/\phi}$ ناپیں۔اب $|\Gamma|$ تبدیل کئے بغیر زاویہ تبدیل کرتے ہوئے $(\phi - 2\beta l)$ تک پہنچیں اور یہاں سے $z_{\text{داخلی}}$ ناپیں۔آپ دیکھ سکتے ہیں کہ مساوات 11.49 میں Γ کی جگہ $\Gamma e^{-j2\beta l}$ پر کرنے سے مساوات 11.47 ہی حاصل ہوتا ہے جو برقی بار سے l فاصلے پر بمطابق Z_0 داخلی قدرتی رکاوٹ ہے۔

یوں بار z سے دور $z_{\text{داخلی}}$ کی طرف چلتے ہوئے، ہم منبع طاقت یعنی جنریٹر کی طرف چلتے ہیں جبکہ سمتھ نقشے پر ایسا کرنے سے زاویہ ϕ سے کم ہو کر $\phi - 2\beta l$ ہوتا ہے لہٰذا نقشے پر ہم گھڑی کے سمت چلتے ہیں۔یوں $\beta l = \pi$ فاصلہ، یعنی آدھی طول موج، طے کرنے سے نقشے کے گرد ایک چکر مکمل ہو گا۔اس طرح $\frac{\lambda}{2}$ لمبی بے ضیاع ترسیلی تار کی داخلی قدرتی رکاوٹ عین بار کے رکاوٹ برابر ہو گی۔

یوں سمتھ نقشے کے حیطے پر ایک مکمل چکر کو 0.5λ دکھایا جاتا ہے۔جیسے شکل 11.9 میں دکھایا گیا ہے، استعمال میں آسانی کی غرض سے ایک کے بجائے دو ایسے فیتے بنائے جاتے ہیں۔ایک فیتہ گھڑی کی سمت میں بڑھتا فاصلہ دکھاتا ہے جسے نقشے میں "منجانب جنریٹر" سے ظاہر کیا جاتا ہے جبکہ دوسرا فیتہ گھڑی کے الٹ سمت بڑھتا فاصلہ دکھاتا ہے جسے "منجانب بار" لکھ کر ظاہر کیا جاتا ہے۔ان فیتوں کے ابتدائی نقطے کوئی اہمیت نہیں رکھتے البتہ انہیں نقشے کے بائیں ہاتھ پر رکھا جاتا ہے۔آپ کو یاد ہو گا کہ حقیقی Z_L اور Z_0 کی صورت میں اگر $Z_L < Z_0$ ہو تب برقی دباو کا نشیب اسی نقطے پر ہو گا۔

سمتھ نقشے کا استعمال مثال کی مدد سے بہتر سمجھا جا سکتا ہے۔یوں $50\,\Omega$ کے ترسیلی تار پر $Z_L = 25 + j50\,\Omega$ کے بار پر دوبارہ غور کرتے ہیں۔شکل 11.10 میں $z = 0.5 + j1$ کو نقطہ A ظاہر کرتا ہے جہاں سے $\Gamma = 0.62e^{j1.45} = 0.62\underline{/83^\circ}$ حاصل ہوتا ہے۔مرکز سے A تک لکیر کو اکائی دائرے کے حیطے تک بڑھا کر 0.135λ پڑھا جاتا ہے۔اگر تار کی لمبائی 60 cm ہو اور اشارے کی تعدد اتنی ہو کہ ترسیلی تار پر طول موج 2 m ہو، تب $\frac{l}{\lambda} = 0.3$ ہو گا لہٰذا تار 0.3λ لمبی ہو گی۔یوں بیرونی دائرے پر $0.135\lambda + 0.3\lambda = 0.435\lambda$ سے مرکز تک لکیر اور $|\Gamma|$ رداس کے دائرے کے ملاپ، یعنی نقطہ B، سے $z_{\text{داخلی}} = 0.28 - j0.4$ حاصل ہوتا ہے۔اس طرح $Z_{\text{داخلی}} = 14 - j20$ ہو گا۔تحلیلی طور پر زیادہ درست جواب $Z_{\text{داخلی}} = 13.7 - j20.2$ حاصل ہوتا ہے۔

سمتھ نقشے سے موج کے چوٹی یا نشیب کے مقام باآسانی حاصل کئے جاتے ہیں۔کسی بھی $\Gamma = |\Gamma|\underline{/\phi}$ کے لئے $z = -l$ پر آمدی اور انعکاسی امواج کے مجموعے

$$\begin{aligned} V_s &= V_0^+ \left(e^{j\beta l} + \Gamma e^{-j\beta l}\right) \\ &= V_0^+ e^{j\beta l} \left[1 + |\Gamma|\, e^{j(\phi-2\beta l)}\right] \end{aligned}$$

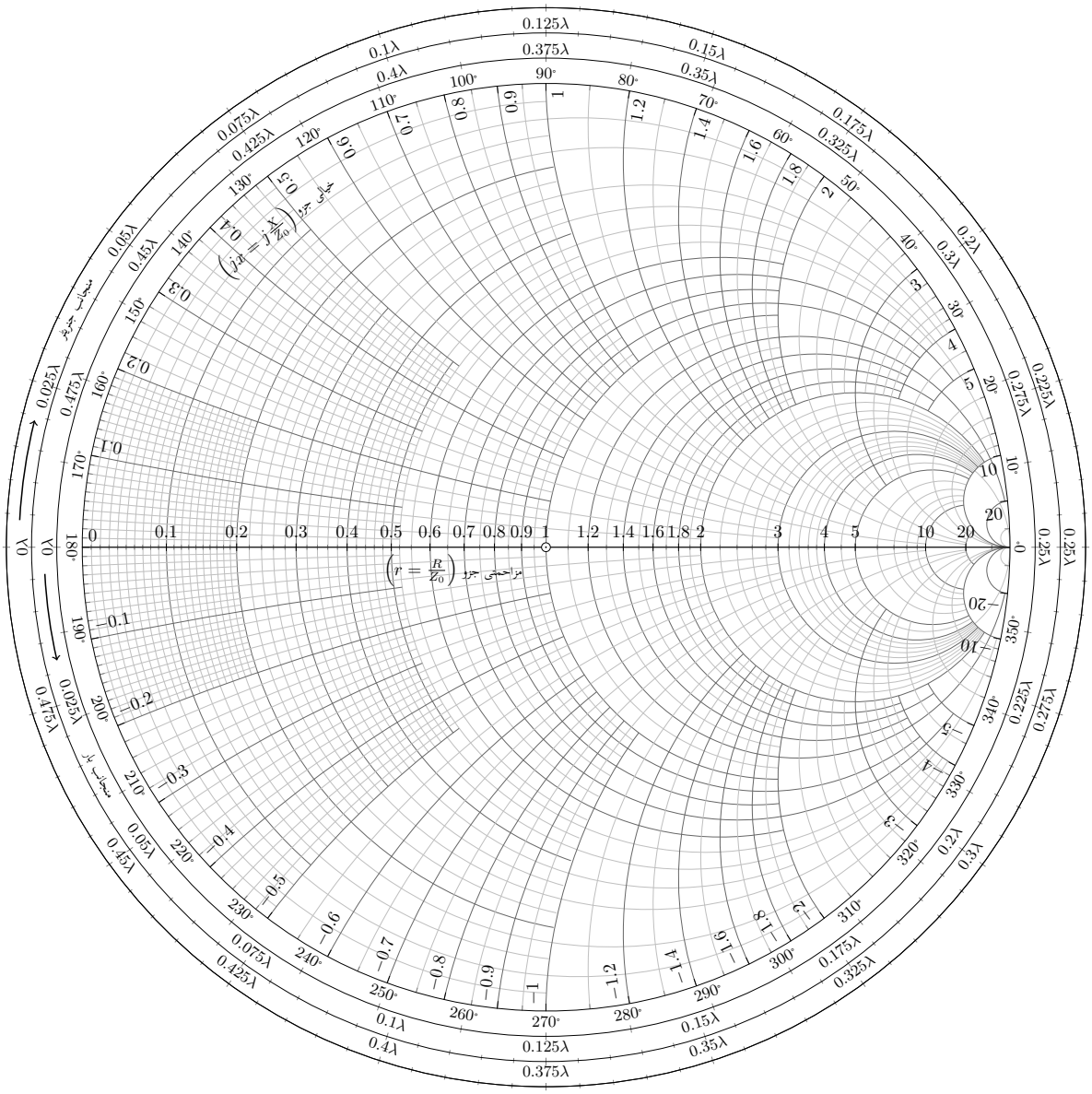

شکل 11.9: مکمل سمتھ نقشہ۔

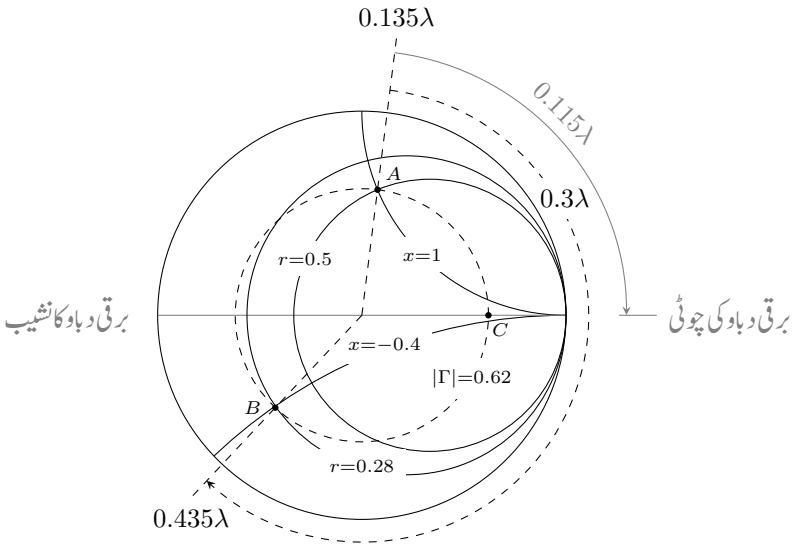

شکل 11.10: سمتھ نقشے سے متغیرات کا حصول۔

کی حتمی قیمت

$$
\begin{aligned}
|V_s| &= V_0^+ \left|e^{j\beta l}\right| \left[\left|1+|\Gamma|\, e^{j(\phi-2\beta l)}\right|\right] \\
&= V_0^+ \left|1+|\Gamma|\, e^{j(\phi-2\beta l)}\right|
\end{aligned}
$$

ہے جہاں $\left|e^{j\beta l}\right| = 1$ کے برابر[12] ہے۔اس کی کم سے کم قیمت $V_0^+\,(1-|\Gamma|)$ ہے جو $\phi - \beta l = (2n+1)\pi$ کی صورت میں حاصل ہوتی ہے جہاں $n = 0, 1, 2, \cdots$ ہے۔عین بار پر $l = 0$ ہے اور ایسی صورت میں اس شرط کو $\phi = \pi$ لکھا جا سکتا ہے۔اسی طرح $|V_s|$ کی زیادہ سے زیادہ قیمت $V_0^+\,(1+|\Gamma|)$ ہے جو $\phi - \beta l = 2n\pi$ کی صورت میں حاصل ہوتی ہے جہاں $n = 0, 1, 2, \ldots$ ہے۔عین بار پر $l = 0$ ہے اور ایسی صورت میں اس شرط کو $\phi = 0$ لکھا جا سکتا ہے۔یوں $\phi = \pi$ کی صورت میں بار پر V_s کی کم سے کم قیمت ہو گی جبکہ $\phi = 0$ کی صورت میں بار پر V_s کی زیادہ سے زیادہ قیمت ہو گی۔آئیں دیکھیں کہ ان شرائط کا مطلب کیا ہے۔

مزاحمتی بار R_L اور حقیقی Z_0 کی صورت میں اگر $R_L < Z_0$ ہو تب Γ منفی حقیقی عدد ہو گا جسے $\Gamma = |\Gamma|\angle\pi$ لکھا جا سکتا ہے جبکہ $R_L > Z_0$ کی صورت میں Γ مثبت حقیقی عدد ہو گا جسے $\Gamma = |\Gamma|\angle 0^\circ$ لکھا جا سکتا ہے۔یوں $R_L < Z_0$ یعنی $\Gamma = |\Gamma|\angle 0$ کی صورت میں بار پر کمتر V_s ہو گا جبکہ $R_L > Z_0$ یعنی $\Gamma = |\Gamma|\angle\pi$ کی صورت میں بار پر بلند تر V_s ہو گا۔سمتھ نقشے پر افقی محدد حقیقی Γ دیتا ہے۔منفی افقی محدد پر $\Gamma = |\Gamma|\angle\pi$ ہوتا ہے لہٰذا بار پر کمتر V_s ہر صورت سمتھ نقشے میں منفی افقی محدد پر پایا جائے گا۔اسی طرح مثبت افقی محدد پر $\Gamma = |\Gamma|\angle 0$ ہوتا ہے لہٰذا بار پر بلند تر V_s ہر صورت سمتھ نقشے میں مثبت افقی محدد پر پایا جائے گا۔

ان نتائج کو آگے بڑھاتے ہیں۔کسی بھی مخلوط بار $Z_L = R_L + jX_L$ کی صورت میں سمتھ نقشے میں $z = r + jx$ سے شروع کر کے فاصلہ l بڑھانے سے زاویہ $\phi - 2\beta l$ گھٹتا ہے جو سمتھ نقشے پر گھڑی کی سمت گھومنے کے مترادف ہے۔جس فاصلے پر $\phi - 2\beta l = 2n\pi$ ہو وہاں برقی موج کی چوٹی پائی جائے گی اور جس فاصلے پر $\phi - 2\beta l = (2n+1)\pi$ ہو وہاں موج کا نشیب پایا جائے گا۔اب $2n\pi$ سے مراد سمتھ نقشے کے افقی محدد کا مثبت حصہ جبکہ $(2n+1)\pi$ سے مراد افقی محدد کا منفی حصہ ہے۔یوں شکل 11.10 میں نقطہ A سے گھڑی کی سمت 0.115λ گھومتے ہوئے ترسیلی تار پر پہلی

[12] $\left|e^{j\beta l}\right| = |\cos\beta l + j\sin\beta l| = \sqrt{\cos^2\beta l + \sin^2\beta l} = 1$

چوٹی پائی جائے گی۔یوں بار سے پہلی چوٹی 0.115λ یعنی $0.115 \times 200 = 23\,\text{cm}$ فاصلے پر ہے۔اگر ترسیلی تار زیادہ لمبی ہوتی تب بار سے 0.365λ دور پہلا نشیب پایا جاتا۔چونکہ تار کی لمبائی اس سے کم ہے لہٰذا تار پر کہیں پر بھی نشیب نہیں پایا جاتا۔

برقی رو کی چوٹی اس نقطے پر پائی جاتی ہے جہاں $\phi - 2\beta l = 2n\pi$ کا شرط پورا ہو۔برقی رو

$$I_s = \frac{V_0^+}{Z_0}\left(e^{j\beta l} - \Gamma e^{j\beta l}\right)$$

کی کمتر قیمت اس نقطے پر پائی جاتی ہے۔اسی طرح جس نقطے پر برقی دباو کی کمتر قیمت پائی جائے، اس نقطے پر برقی رو کی چوٹی پائی جاتی ہے۔یوں سمتھ نقشے کے افقی محدد کے مثبت حصے پر برقی رو کا نشیب جبکہ اس کے منفی حصے پر برقی رو کی چوٹی پائی جائے گی۔

مزاحمتی بار R_L اور بے ضیاع ترسیلی تار کی صورت میں $\Gamma = \frac{R_L - R_0}{R_L + R_0}$ ہو گا۔اگر $R_L > R_0$ ہو تب $|\Gamma| = \frac{R_L - R_0}{R_L + R_0}$ ہو گا جبکہ $R_L < R_0$ کی صورت میں $|\Gamma| = \frac{R_0 - R_L}{R_0 + R_L}$ ہو گا۔یوں $R_L > R_0$ کی صورت میں

$$s = \frac{1+|\Gamma|}{1-|\Gamma|} = \frac{1+\frac{R_L-R_0}{R_L+R_0}}{1-\frac{R_L-R_0}{R_L+R_0}} = \frac{R_L}{R_0} = r \quad (R_L > R_0)$$

جبکہ $R_L < R_0$ کی صورت میں

$$s = \frac{1+|\Gamma|}{1-|\Gamma|} = \frac{1+\frac{R_0-R_L}{R_0+R_L}}{1-\frac{R_0-R_L}{R_0+R_L}} = \frac{R_0}{R_L} \quad (R_L < R_0)$$

ہو گا۔یاد رہے کہ $s > 1$ ہوتا ہے لہٰذا $\frac{R_L}{R_0}$ اور $\frac{R_0}{R_L}$ میں جو بھی اکائی سے زیادہ قیمت رکھتا ہو یہی s ہو گا۔یوں $|\Gamma|$ رداس کے دائرے اور مثبت افقی محدد سے r پڑھ کر s کی قیمت بھی یہی تصور کریں۔شکل 11.10 میں نقطہ C سے $r = 4.2$ پڑھا جائے گا لہٰذا $s = 4.2$ ہے۔مثبت افقی محدد پر $r > 1$ ہوتا ہے لہٰذا محدد کے اسی حصے سے s کی قیمت پڑھی جاتی ہے۔آپ تسلی کر لیں کہ $\frac{R_0}{R_L} > 1$ کی صورت میں بھی اسی طریقہ کار سے درست s حاصل ہوتا ہے۔

11.4.1 سمتھ فراوانی نقشہ

اس حصے کو $\frac{\lambda}{4}$ لمبی تار کی داخلی قدرتی رکاوٹ کے حصول سے شروع کرتے ہیں۔اتنی لمبائی کے تار کا $\beta l = 90^\circ$ ہو گا۔داخلی قدرتی رکاوٹ کی مساوات

$$Z_{\text{داخلی}} = Z_0 \frac{Z_L + jZ_0 \tan \beta l}{Z_0 + jZ_L \tan \beta l}$$

میں $Z_{\text{داخلی}}$ کو Z_0 سے تقسیم کرتے اور $\beta l = 90^\circ$ پر کرتے ہوئے

$$\frac{Z_{\text{داخلی}}}{Z_0} = \frac{Z_L + jZ_0 \tan 90^\circ}{Z_0 + jZ_L \tan 90^\circ} = \frac{Z_0}{Z_L}$$

یعنی

$$z_{\substack{\text{داخلی} \\ 0.25\lambda}} = \frac{1}{z} \tag{11.50}$$

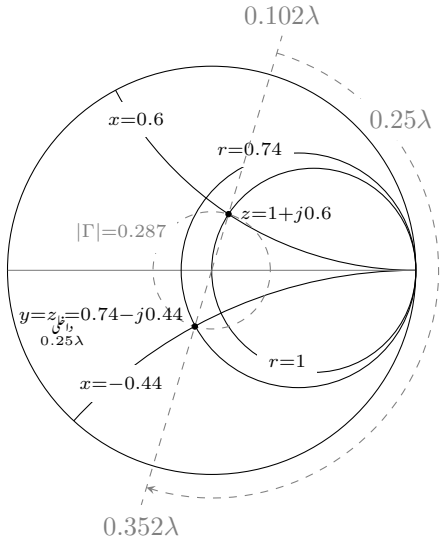

شکل 11.11: چوتھائی طول تار کی داخلی قدرتی رکاوٹ اسی تار کی برقی فراوانی کے برابر ہے۔

حاصل ہوتا ہے جہاں

$$\frac{Z_{\text{داخلی}}}{Z_0} = z_{\substack{\text{داخلی}\\0.25\lambda}}$$
$$\frac{Z_L}{Z_0} = z$$

لکھے گئے ہیں۔ مساوات 11.50 کے تحت بار سے 0.25λ فاصلے پر داخلی قدرتی رکاوٹ $\frac{1}{z}$ کے برابر ہے لیکن $\frac{1}{z} = y$ ہوتا ہے لہٰذا اسی مساوات کو یوں بھی لکھا جا سکتا ہے

$$y = \frac{1}{z} = z_{\substack{\text{منجانب جزیٹر}\\0.25\lambda}} \tag{11.51}$$

جہاں 0.25λ تار کی داخلی قدرتی رکاوٹ کی جگہ منجانب جزیٹر 0.25λ گھومنے کا ذکر کیا گیا ہے۔ مساوات 11.51 کہتی ہے کہ سمتھ نقشے میں z سے منجانب جزیٹر 0.25λ گھوم کر $|\Gamma|$ رداس کے دائرے سے y حاصل ہو گا۔

شکل 11.11 میں $z = 1 + j0.6$ دکھایا گیا ہے جو منجانب جزیٹر 0.102λ زاویے پر پایا جاتا ہے۔ یہ رکاوٹ $\Gamma = 0.287\underline{/73.7^\circ}$ دیتا ہے۔ چوتھائی طول لمبی تار کی داخلی رکاوٹ حاصل کرنے کی خاطر منجانب جزیٹر 0.25λ چلتے ہوئے 0.352λ سے مرکز تک لکیر اور 0.287 رداس کے دائرے کے ملاپ سے $z_{\text{داخلی}} = 0.74 - j0.44$ حاصل ہوتا ہے جو $\frac{1}{z}$ یعنی y کے عین برابر ہے۔

آئیں کسر دور اور کھلے دور تار کے ٹکڑوں کا داخلی قدرتی رکاوٹ حاصل کریں۔ کسر دور تار کی صورت میں $Z_L = 0$ ہو گا لہٰذا داخلی قدرتی رکاوٹ

$$\begin{aligned} Z_{\text{داخلی}} &= Z_0 \frac{0 + jZ_0 \tan \beta l}{Z_0 + j0 \tan \beta l} \\ &= jZ_0 \tan \beta l \end{aligned} \tag{11.52}$$

حاصل ہوتا ہے جو خیالی عدد ہے۔ چوتھائی طول لمبی کسر دور تار کی داخلی قدرتی رکاوٹ یوں

$$Z_{\substack{\text{داخلی}\\0.25\lambda}} = jZ_0 \tan 90^\circ = \infty \qquad \text{(کسرے دور)} \tag{11.53}$$

حاصل ہوتی ہے۔ یہ تعجب بھرا نتیجہ ہے جس کے مطابق چوتھائی طول لمبی کسے دور تار بطور کھلے دور کردار ادا کرتی ہے۔

کھلے دور تار کی صورت میں $Z_L = \infty$ ہو گا لہٰذا داخلی قدرتی رکاوٹ

$$\begin{aligned} Z_{\text{داخلی}} &= Z_0 \frac{\infty + jZ_0 \tan \beta l}{Z_0 + j\infty \tan \beta l} \\ &= -j \frac{Z_0}{\tan \beta l} \end{aligned} \tag{11.54}$$

حاصل ہوتا ہے جو خیالی عدد ہے۔ چوتھائی طول لمبی کھلے دور تار کی داخلی قدرتی رکاوٹ یوں

$$Z_{\substack{\text{داخلی} \\ 0.25\lambda}} = -j \frac{Z_0}{\tan 90^\circ} = 0 \qquad (\text{کھلے دور}) \tag{11.55}$$

حاصل ہوتی ہے۔ یہ بھی تعجب بھرا نتیجہ ہے جس کے مطابق چوتھائی طول لمبی کھلے دور تار بطور کسر دور کردار ادا کرتی ہے۔

سمتھ مزاحمتی نقشے[13] کا متبادل سمتھ فراوانی[14] نقشہ بھی استعمال کیا جاتا ہے۔ ان میں $y = \frac{Y_L}{Y_0} = g + jb$ لیا جاتا ہے جہاں $Y_L = \frac{1}{R_L}$ اور $Y_0 = \frac{1}{Z_0}$ کے برابر ہیں۔ اس طرح y برقی فراوانی بمطابق Y_0 کہلائے گی۔ یوں r سے حاصل دائرے اب g کے دائرے کہلاتے ہیں جبکہ x کے دائرے b کے دائرے کہلاتے ہیں۔ اس نقشے میں $g > 1$ اور $b = 0$ کی صورت میں برقی دباو کی کمتر قیمت حاصل ہو گی۔ ایصالی سمتھ نقشے سے حاصل Γ کا زاویہ 180° بڑھانا ہو گا۔

11.5 تجرباتی نتائج پر مبنی چند مثال

اس حصے میں دو مثالوں پر غور کیا جائے گا۔ پہلی مثال میں تجرباتی نتائج سے بار کی رکاوٹ حاصل کی جائے گی جبکہ دوسری مثال میں بار کو تار کے ہمہ رکاوٹ بنانے کی ترکیب دکھائی جائے گی۔

ہم محوری ترسیلی تار کے بیرونی تار میں لمبائی کی سمت میں شگاف ڈال کر اس میں مختلف مقامات پر برقی دباو کے نمونے لے کر $s = 2.5$ حاصل کیا گیا ہے۔ شکل 11.12 میں صورت حال دکھائی گئی ہے۔ شگاف کے ساتھ فیتہ رکھ کر بلند تر اور کم تر نمونوں کے مقامات بھی درج کئے گئے۔ ایسے نتائج حاصل کرتے وقت فیتے کا صفر کہیں پر بھی رکھا جا سکتا ہے لہٰذا اسے بار کا مقام تصور نہیں کریں۔ کمتر برقی دباو فیتے پر 47 cm کے نشان کے ساتھ پایا جاتا ہے۔ سائن نما اشارے کی صورت میں سمت کار کے خارجی اشارہ شکل میں دکھایا گیا ہے۔ آپ دیکھ سکتے ہیں کہ اشارے کے کمتر قیمت کا مقام ٹھیک ٹھیک تعین کرنا زیادہ آسان ہے۔ اشارے کی چوٹی نوک دار نہیں ہوتی لہٰذا اس کا مقام ٹھیک ٹھیک تعین کرنا قدر مشکل ہوتا ہے۔ اسی وجہ سے عموماً موج کی کمتر قیمت کے مقامات حاصل کرتے ہوئے مطلوبہ معلومات دریافت کی جاتی ہیں۔ ہم محوری تار کی قدرتی رکاوٹ $50\,\Omega$ ہے اور تار میں ہوا بطور ذو برق استعمال کی گئی ہے۔ اشارے کی تعدد 400 MHz ہے لہٰذا طول موج 75 cm ہے۔ بار کا مقام تعین کرنے کی خاطر بار کو ہٹا کر تار کے ان سروں کو کسر دور کیا جاتا ہے۔ کسر دور تار پر کمتر دباو فیتے پر 26 cm کے نشان کے سامنے پایا جاتا ہے۔

ہم جانتے ہیں کہ کسر دور نقطے سے کمتر دباو کا فاصلہ $\frac{n\lambda}{2}$ ہو گا۔ ہم فرض کرتے ہیں کہ کمتر دباو کسر دور نقطے سے آدھے طول موج کے فاصلے پر ہے۔ ایسی صورت میں کسر دور کا مقام فیتے پر $26 - 37.5 = -11.5\,\text{cm}$ نشان کے ساتھ ہو گا۔ چونکہ بار کے مقام پر ہی کسر دور پیدا کیا گیا تھا لہٰذا بار بھی فیتے پر $-11.5\,\text{cm}$ کے نشان کے ساتھ ہو گا۔ یوں حاصل نتائج کے تحت بار سے کم تر دباو کا نقطہ $47 - (-11.5) = 58.5\,\text{cm}$ فاصلے پر ہے جس سے آدھی طول موج منفی کرتے ہوئے بار سے کمتر دباو کا فاصلہ 21 cm حاصل ہوتا ہے۔ بلند تر دباو کا بار سے فاصلہ یوں $21 - \frac{37.5}{2} = 2.25\,\text{cm}$ ہو گا جو $\frac{2.25}{75} = 0.03$ طول موج کے برابر ہے۔

---

[13] Smith impedance chart
[14] Smith admittance chart

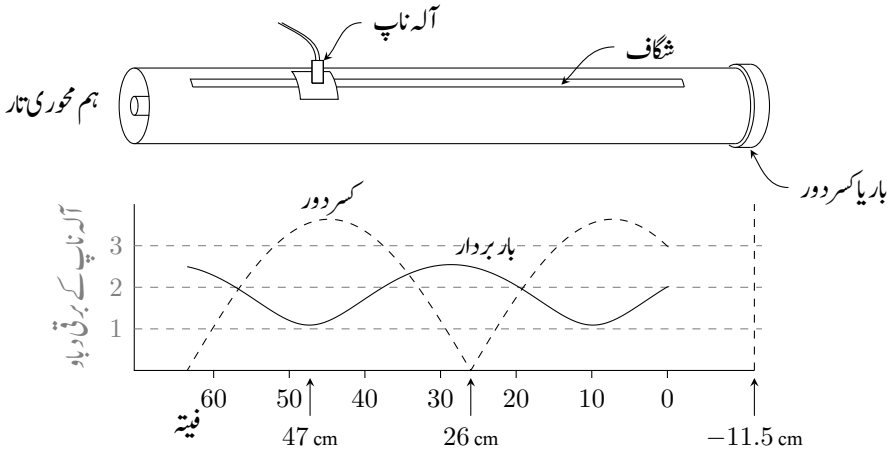

شکل 11.12: ہم محوری تار میں شگاف ڈال کر اس میں آلہ ناپ کی مدد سے مختلف مقامات پر برقی دباو کے نمونے لئے جا سکتے ہیں۔

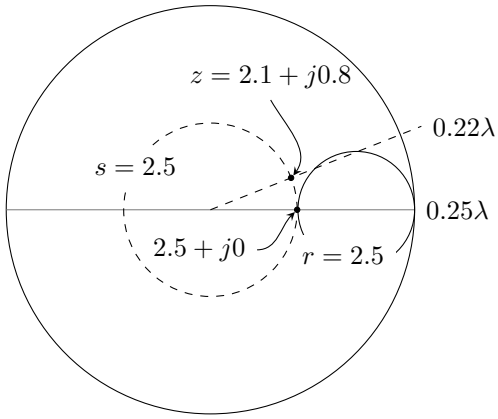

شکل 11.13: اگر 0.03λ لمبی تار پر $z_{\text{داخلی}} = 2.5 + j0$ ہو تب $z = 2.1 + j0.8$ ہو گا۔

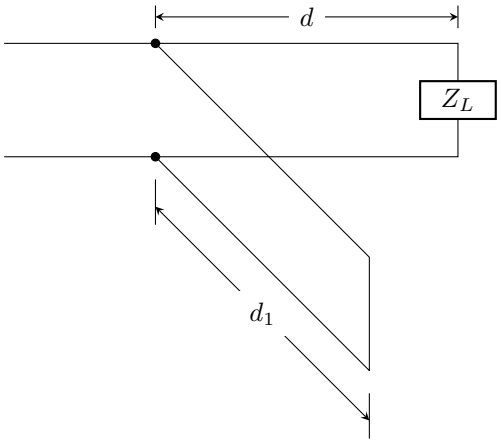

شکل 11.14: بار سے d فاصلے پر d_1 لمبائی کے کسرے دور تار کا ٹکڑا جوڑنے سے بار اور اور ترسیلی تار ہمہ رکاوٹ بنائے جاتے ہیں۔

ان معلومات کے ساتھ اب شکل 11.13 کے سمتھ نقشے کا سہارا لیتے ہیں۔بلند تر برقی دباو کے نقطے پر داخلی قدرتی رکاوٹ حقیقی عدد ہوتا ہے جس کی قیمت sR_0 کے برابر ہوتی ہے، لہٰذا ایسے نقطے پر $z_{\text{داخلی}} = 2.5$ ہو گا۔ہم یوں سمتھ نقشے پر $z_{\text{داخلی}} = 2.5$ نقطے پر داخل ہوتے ہیں جہاں سے منجانب جنریٹر فاصلہ 0.25λ پڑھا جاتا ہے۔اس سے 0.03λ منفی کرتے ہوئے بار تک پہنچتے ہیں، لہٰذا 0.22λ سے مرکز تک لکیر اور $s = 2.5$ یعنی $|\Gamma| = 0.429$ رداس کے دائرے کے ملاپ سے $z = 2.1 + j0.8$ پڑھا جاتا ہے۔یوں $Z_L = 105 + j40\,\Omega$ حاصل ہوتا ہے۔یاد رہے کہ ہم نے بار کو فیتے پر $-11.5\,\text{cm}$ یا اس نقطے سے $\frac{n\lambda}{2}$ فاصلے پر تصور کیا ہے۔چونکہ بار کا مقام اب بھی مکمل طور پر معلوم نہیں ہے لہٰذا بہتر یہ ہوتا ہے کہ تجرباتی نتائج سے حاصل Z_L کی بات کرتے ہوئے بار کا فرض کردہ مقام بھی ساتھ بتلایا جائے۔

آخر میں آئیں اس بار کو $50\,\Omega$ ترسیلی تار کے ہمہ رکاوٹ بنانے کی ترکیب دیکھیں۔ایسا d_1 لمبائی کے کسر دور تار کے ٹکڑے کو بار سے d فاصلے پر نسب کرنے سے ممکن بنایا جاتا ہے۔ایسا شکل 11.14 میں دکھایا گیا ہے۔بار سے d فاصلے پر z کے متوازی d_1 لمبی کسرے دور ٹکڑا نسب کرنے سے کل رکاوٹ $z = 1 + j0$ حاصل کرنے مقصد ہے۔یہاں d_1 اور d مطلوب ہیں۔کسر دور ٹکڑے کی قدرتی رکاوٹ ترسیلی تار کے قدرتی رکاوٹ $50\,\Omega$ کے برابر ہے۔

برقی بار اور کسر دور تار کا ٹکڑا متوازی جڑے ہیں۔متوازی جڑے رکاوٹوں کی بجائے متوازی جڑے برقی فراوانی کے ساتھ کام کرنا زیادہ آسان ہوتا ہے لہٰذا ہم ایسا ہی کرتے ہیں۔برقی فراوانی کی زبان میں موجودہ مسئلہ کچھ یوں ہے۔ہم d اتنا رکھنا چاہتے ہیں کہ داخلی فراوانی $y_{\text{داخلی}} = 1 + jb$ ہو۔اب اگر $y_{\text{داخلی}}$ کے متوازی $-jb$ برقی تاثریت جوڑی جائے تو حاصل کل برقی فراوانی $1 + j0$ ہو گی جو ہمارا مقصد ہے۔یوں d_1 لمبی کسر دور تار کے ٹکڑے کی برقی تاثریت $-jb$ درکار ہے۔ان حقائق کو لے کر سمتھ نقشے کی مدد سے d اور d_1 کی قیمتیں حاصل کرتے ہیں۔

سمتھ نقشے میں $z = 2.1 + j0.8$ پر داخلی ہو کر مساوات 11.51 کے تحت منجانب جنریٹر 0.25λ گھومنے سے $y = \frac{1}{z}$ حاصل ہوتا ہے۔شکل 11.15 میں ایسا دکھایا گیا ہے۔سمتھ نقشے میں $z = 2.1 + j0.8$ منجانب جنریٹر 0.22λ زاویے پر پایا جاتا ہے۔یہاں سے منجانب جنریٹر 0.25λ گھومتے ہوئے 0.47λ تک پہنچا جاتا ہے جہاں $|\Gamma|$ رداس کے دائرے سے $y = 0.41 - j0.16$ ملتا ہے۔اب ہم چاہتے ہیں کہ یہاں سے منجانب جنریٹر گھومتے ہوئے داخلی قدرتی فراوانی $1 + jb$ حاصل ہو۔جیسا شکل میں دکھایا گیا ہے، ایسا 0.16λ اور 0.34λ زاویوں پر ممکن ہے جہاں سے بالترتیب $y_1 = 1 + j0.95$ اور $y_2 = 1 - j0.95$ حاصل ہوتے ہیں۔پہلے نقطے تک پہنچنے کے لئے کم لمبی تار درکار ہے لہٰذا اسی کو جواب تسلیم کرتے ہیں۔بار سے اس نقطے تک $(0.5\lambda - 0.47\lambda) + 0.16\lambda = 0.19\lambda$ تار درکار ہو گی لہٰذا $d = 0.19\lambda$ یعنی $14.25\,\text{cm}$ بنتا ہے۔

اب $1 + j0.95$ کے متوازی $y_{\text{ٹکڑا}} = -j0.95$ برقی تاثریت جوڑ کر $1 + j0$ حاصل ہو گا۔مساوات 11.54 کے تحت کسرے دور ٹکڑے کی داخلی رکاوٹ یا داخلی فراوانی خیالی عدد ہوتا ہے لہٰذا سمتھ نقشے پر ایسے ٹکڑے کا $g = 0$ ہی رہے گا جو نقشے کی بیرونی دائرے کو ظاہر کرتی ہے۔عین کسر دور پر

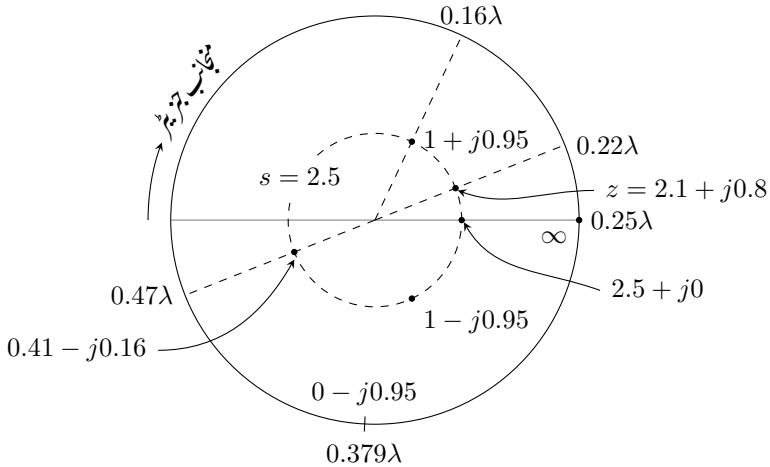

شکل 11.15: بار $z = 2.1 + j0.8$ سے 0.19λ فاصلے پر 0.129λ لمبائی کا کسر دور ٹکڑا جوڑنے سے نظام ہمہ رکاوٹ ہو جاتا ہے۔

$y = \infty$ حاصل ہوتا ہے جو منجانب جنریٹر 0.25λ پر پایا جاتا ہے۔ہم دیکھتے ہیں کہ $y_{\text{داخلی}} = -j0.95$ نقشے پر منجانب جنریٹر 0.379λ پر حاصل ہوتا ہے۔یوں کسے دور ٹکڑے کی لمبائی $0.379\lambda - 0.25\lambda = 0.129\lambda$ یعنی 9.67 cm حاصل ہوتا ہے۔

مشق 11.4: بے ضیاع $50\,\Omega$ ترسیلی تار کو کسرے دور کرنے سے برقی دباو کے دو آپس میں قریبی نشیب 12 cm اور 27 cm پر پائے جاتے ہیں۔ کسرے دور ختم کرتے ہوئے یہاں بار نسب کرنے سے 0.4 V حیطے کے نشیب اور 0.72 V حیطے کے چوٹیاں حاصل ہوتی ہیں۔ایک عدد نشیب 9 cm پر حاصل ہوتا ہے۔ترسیلی تار میں ہوا بطور ذو برق استعمال ہوا ہے۔مندرجہ ذیل حاصل کریں۔ λ، f، s، Γ اور Z_L

جوابات: 0.3 m، 1 GHz، 1.8، $0.286\underline{/108^\circ}$ اور $36.5 + j21.6\,\Omega$

مشق 11.5: بے ضیاع $50\,\Omega$ کے ساتھ $Z_L = 100 + j100\,\Omega$ کا بار نسب ہے۔بار سے d فاصلے پر d_1 لمبائی کا کسر دور ٹکڑا جوڑتے ہوئے نظام کو ہمہ رکاوٹ بنایا جاتا ہے۔اگر تار پر $v = \frac{2}{3}c$ ہو جبکہ اشارے کی تعدد 10 MHz ہو تب مندرجہ ذیل حاصل کریں۔ λ، چھوٹے سے چھوٹا d_1 اور ایسی صورت میں d

جوابات: 20 m، 1.8 m اور 4.4 m

11.6 تجزیہ عارضی حال

اب تک ہم ترسیلی تار میں کسی ایک تعدد پر، برقرار یکساں حال[15] سائن نما امواج کی بات کرتے رہے ہیں۔اس حصے میں غیر سائن نما امواج کی بات کرتے ہیں۔آپ جانتے ہیں کہ کسی بھی غیر سائن نما موج کو فوریئر تسلسل کی مدد سے متعدد اجزاء کا مجموعہ لکھا جا سکتا ہے جہاں ہر جزو کی تعدد مختلف ہوتی ہے۔کسی بھی ترسیلی تار کے مستقل R ، L ، G اور C ازخود تعدد پر منحصر ہوتے ہیں۔اس کی مثال، ہم محوری تار کی مزاحمت ہے جو موٹائی جلد پر منحصر ہے جہاں موٹائی جلد کا دارومدار از خود تعدد پر ہے۔ ترسیلی تار میں موج کی رفتار ان مستقل پر منحصر ہے لہٰذا مختلف تعدد کے امواج تار میں مختلف رفتار سے حرکت کریں گے۔یوں غیر سائن نما موج کے فوریئر اجزاء مختلف رفتار سے حرکت کریں گے جس سے موج کی صورت برقرار نہیں رہ پائے گی۔حرکت کے دوران موج کی صورت بگڑنے کو انتشار[16] کہا جاتا ہے۔فوریئر تسلسل کے انفرادی رفتار v_p کو دوری رفتار[17] کہا جاتا ہے جبکہ منتشر ہوتے موج کی رفتار v_g کو مجموعی رفتار[18] کہا جاتا ہے۔اس کتاب میں اثر انتشار سے پاک امواج پر غور کیا جائے گا۔یوں دوری رفتار اور مجموعی رفتار برابر ہوں گے۔اس رفتار کو v لکھتے ہوئے ہم دیکھتے ہیں کہ وقت t میں ایسی موج vt فاصلہ طے کرے گی۔

غیر سائن نما امواج میں مستطیل موج نہایت اہمیت کی حامل ہے۔عددی[19] اشارات یعنی صفر اور ایک کو عددی ادوار میں $0\,\mathrm{V}$ اور $5\,\mathrm{V}$ سے ظاہر کیا جاتا ہے۔عددی صفر سے عددی ایک یا عددی ایک سے عددی صفر کو سیڑھی نما تفاعل ظاہر کرتی ہے جبکہ صفر سے ایک اور واپس صفر کو مستطیل تفاعل ظاہر کرتی ہے۔یہ مستطیل یا سیڑھی نما اشارات، ترسیلی تاروں کے ذریعہ ایک جگہ سے دوسری جگہ منتقل ہوتے ہیں۔ یہ اشارات عموماً بلا ترتیب ہوتے ہیں۔آئیں ایسی ہی ایک عدد سیڑھی نما اشارے کی ترسیل پر غور کریں۔اس طرز کے تجزیے کو عارضی رد عمل[20] کہا جاتا ہے۔

شکل 11.16 میں Z_0 قدرتی رکاوٹ کا ترسیلی تار Z_0 برقی بار کو طاقت فراہم کرنے کے لئے استعمال کیا جا رہا ہے۔منبع طاقت کی اندرونی رکاوٹ صفر کے برابر ہے۔لمحہ $t=0$ پر سوئچ کو چالو حالت میں کرتے ہوئے منبع کو ترسیلی تار کے ساتھ جوڑا جاتا ہے جس سے ترسیلی تار کا داخلی سرا V_0 برقی دباو پر پہنچ جاتا ہے۔ترسیلی تار کا بقایا حصہ اور برقی بار فی الحال $0\,\mathrm{V}$ پر ہی رہتے ہیں۔سوئچ کو چالو حالت میں ہی رکھا جاتا ہے۔تار کے داخلی سرے پر لاگو برقی دباو رفتار v سے اختتامی جانب حرکت کرے گی۔یوں لمحہ t پر یہ موج vt فاصلہ طے کر چکی ہو گی لہٰذا منبع سے فاصلہ vt تک ترسیلی تار پر اب برقی دباو V_0 ہو گا جبکہ بقایا تار اب بھی صفر برقی دباو پر ہو گا۔شکل 11.16 میں لمحہ t پر منبع کے ساتھ ترسیلی تار کی vt لمبائی حصے کو موٹی لکیر سے دکھایا گیا ہے جبکہ بقایا تار کو پتلی لکیر سے ظاہر کیا گیا ہے۔نقطہ دار لکیر اس مقام کو ظاہر کر رہی ہے جہاں برقی دباو کی موج V^+ پہنچ پائی ہے۔موج کے چوٹی کی قیمت $V^+=V_0$ ہو گی۔تار پر برقی دباو کی صورت سیڑھی نما تفاعل[21] ہے۔ترسیلی تار کی لمبائی l ہونے کی صورت میں برقی دباو کی موج، برقی بار تک $\frac{l}{v}$ دورانیے میں پہنچے گی جہاں v موج کی مجموعی رفتار ہے۔اس دورانیے میں عارضی صورت حال[22] پائی جاتی ہے۔چونکہ برقی بار کی قیمت عین ترسیلی تار کے قدرتی رکاوٹ کے برابر ہے لہٰذا $\Gamma=\frac{Z_L-Z_0}{Z_L+Z_0}=0$ ہو گا۔یوں تار کے اختتامی سرے پر انعکاسی موج پیدا نہیں ہو گی۔اس طرح سوئچ چالو حالت میں کرنے کے ٹھیک $\frac{l}{v}$ دیر بعد برقی بار پر منبع کی برقی دباو V_0 پائی جائے گی۔برقی بار پر اس کے بعد برقی دباو برقرار V_0 قیمت پر رہتا ہے۔

برقی دباو کی موج کے ساتھ ساتھ برقی رو کی موج بھی پائی جاتی ہے۔یوں لمحہ $t=0$ پر سوئچ چالو حالت میں کرتے ہی ترسیلی تار کے داخلی سرے پر I^+ برقی رو کی موج پیدا ہو گی جہاں $I^+=\frac{V^+}{Z_0}$ کے برابر ہے۔اگرچہ موصل تار میں برقی رو، منفی چارج کے حرکت سے پیدا ہوتی ہے، روایتی برقی رو[23] کو مثبت چارج کے حرکت سے ظاہر کیا جاتا ہے۔ شکل 11.16 میں روایتی برقی رو ہی دکھائی گئی ہے۔یوں مثبت تار میں برقی رو کی سمت منبع سے برقی بار کی جانب ہے جبکہ منفی تار میں اس کی سمت برقی بار سے منبع کی جانب ہے۔دھیان رہے کہ برقی رو صرف اور صرف نقطہ دار لکیر کے اس طرف

---

[15] steady state
[16] dispersion
[17] phase velocity
[18] group velocity
[19] digital
[20] transient response
[21] step function
[22] transient state
[23] conventional current

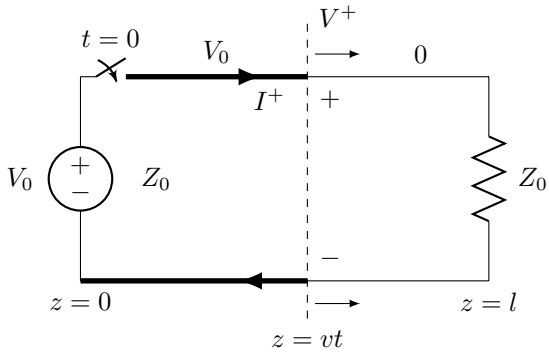

شکل 11.16: ترسیلی تار میں ابتدائی موج۔

پائی جاتی ہے جس طرف منبع نسب ہے۔یوں اس شکل میں مثبت تار میں منبع سے لے کر نقطہ دار لکیر تک مثبت برقی رو پائی جائے گی جبکہ نقطہ دار لکیر کے دوسری جانب برقی رو صفر کے برابر ہو گی۔تار کے اس حصے کو موٹی لکیر سے دکھایا گیا ہے جس میں برقی رو پائی جاتی ہے۔سوئچ چالو کرنے کے ٹھیک $\frac{l}{v}$ دیر بعد برقی بار میں برقرار $\frac{V_0}{Z_0}$ برقی رو پائی جائے گی۔

شکل 11.16 میں نقطہ دار لکیر کے دائیں جانب برقی دباو صفر کے برابر ہے۔اس جانب ترسیلی تار کو کپیسٹر تصور کرتے ہوئے آپ دیکھ سکتے ہیں کہ تار کا یہ حصہ غیر چارج شدہ ہے۔اس کے برعکس نقطہ دار لکیر کے بائیں جانب برقی دباو V_0 ہے۔یوں تار کا یہ حصہ چارج شدہ ہے۔مثبت تار پر برقی رو، مثبت چارج کو نقطہ دار لکیر کے دائیں جانب منتقل کر رہی ہے۔اسی طرح منفی تار پر برقی رو، نقطہ دار لکیر کے دائیں جانب حصے سے مثبت چارج نکال رہی ہے۔اس طرح نقطہ دار لکیر کے قریب دائیں جانب تار چارج بردار ہو رہا ہے جس کی وجہ سے اس حصے کی برقی دباو بڑھتی ہے۔یہی برقی موج ہے۔

آپ دیکھ سکتے ہیں کہ سوئچ چالو کرنے سے $\frac{l}{v}$ تک کے عارضی دورانیے کے دوران کرچاف[24] کے قوانین کارآمد نہیں ہیں۔عارضی دورانیہ گزرنے کے بعد برقرار یکساں صورت حال پائی جاتی ہے لہٰذا کرچاف کے قوانین اب قابل استعمال ہوں گے۔کرچاف کے قانون کے تحت دور میں یک سمتی برقی رو $\frac{V_0}{Z_0}$ پائی جائے گی۔

آئیں اب برقی بار کی قیمت اور ترسیلی تار کی قدرتی رکاوٹ برابر نہ رکھتے ہوئے مسئلے پر دوبارہ غور کریں۔شکل 11.17 میں ایسا ہی دور دکھایا گیا ہے جس میں منبع کی داخلی رکاوٹ بھی شامل کی گئی ہے۔لمحہ $t=0$ پر سوئچ کو چالو حالت کر دیا جاتا ہے جس سے ترسیلی تار کے داخلی سرے پر $V_1=\frac{Z_0V_0}{Z_0+R_g}$ برقی دباو نمودار ہو گا۔یہ برقی دباو بطور موج V_1^+

$$V_1^+=\frac{Z_0V_0}{Z_0+Z_g} \tag{11.56}$$

برقی بار کی جانب حرکت کرے گی۔

تار کے اختتام پر $Z_0\neq Z_L$ کی وجہ سے انعکاسی موج V_1^- پیدا ہو گی جہاں

$$\frac{V_1^-}{V_1^+}=\Gamma_L=\frac{Z_L-Z_0}{Z_L+Z_0}$$

کے برابر ہے۔انعکاسی موج برقی بار سے منبع کی جانب حرکت کرتی ہے۔اس موج سے منبع کی جانب V_1^+ برقی دباو پایا جاتا ہے جبکہ دوسری جانب $V_1^++V_1^-$ برقی دباو ہو گا۔انعکاسی موج V_1^- منبع پر پہنچ کر دو درجی منعکس موج V_2^+ پیدا کرے گی جہاں

$$\frac{V_2^+}{V_1^-}=\Gamma_g=\frac{Z_g-Z_0}{Z_g+Z_0}$$

[24] Kirchoff's laws

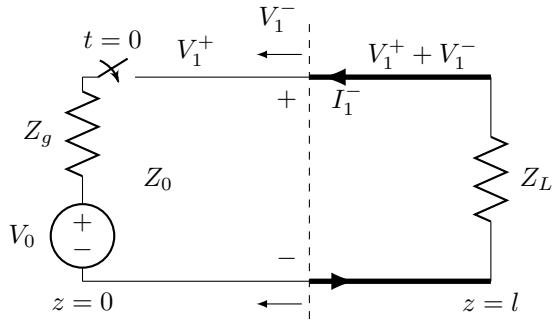

شکل 11.17: عمومی برقی بار سے لدے ترسیلی تار میں ابتدائی موج۔

کے برابر ہے۔اس کو

$$V_2^+ = \Gamma_g V_1^- = \Gamma_g \Gamma_L V_1^+$$

لکھا جا سکتا ہے۔اب V_2^+ موج جب برقی بار تک پہنچے گی تو یہ V_2^-

$$V_2^- = \Gamma_L V_2^+$$

پیدا کرے گی۔ 3974

اسی ترتیب کو بار بار استعمال کرتے ہوئے کسی بھی لمحے پر عارضی صورت حال دریافت کیا جا سکتا ہے۔متعدد انعکاس کے بعد برقی بار پر برقی دباو

$$\begin{aligned} V_L &= V_1^+ + V_1^- + V_2^+ + V_2^- + V_3^+ + V_3^- + \cdots \\ &= V_1^+(1 + \Gamma_L + \Gamma_g\Gamma_L + \Gamma_g\Gamma_L^2 + \Gamma_g^2\Gamma_L^2 + \Gamma_g^2\Gamma_L^3 \cdots) \end{aligned}$$

ہو گا جسے

$$V_L = V_1^+(1+\Gamma_L)(1 + \Gamma_g\Gamma_L + \Gamma_g^2\Gamma_L^2 + \cdots)$$

لکھا جا سکتا ہے۔آپ جانتے ہیں کہ $1 + r + r^2 + r^3 + \cdots + r^{n-1} = \frac{1-r^n}{1-r}$ کے برابر ہے۔یہی کلیہ مندرجہ بالا مساوات کے آخری قوسین پر لاگو کرتے ہوئے لامحدود انعکاس کے بعد

$$V_L|_{t\to\infty} = V_1^+ \left(\frac{1+\Gamma_L}{1-\Gamma_g\Gamma_L}\right)$$

لکھا جا سکتا ہے جہاں لمبی دورانیہ $t \to \infty$ کی صورت میں $n \to \infty$ اور $\Gamma_g^n \Gamma_L^n \to 0$ ہوں گے۔اس مساوات میں $\Gamma_g = \frac{Z_g - Z_0}{Z_g + Z_0}$ اور $\Gamma_L = \frac{Z_L - Z_0}{Z_L + Z_0}$ پر کرتے ہوئے مساوات 11.56 کے استعمال سے

$$V_L|_{t\to\infty} = \frac{Z_L V_0}{Z_g + Z_L}$$

حاصل ہوتا ہے جو برقرار یکساں حالت کی صورت میں برقی بار پر برقی دباو ہے۔یہی جواب کرچاف کے قانون سے بھی حاصل ہوتا ہے جس میں ترسیلی تار کی قدرتی رکاوٹ کا کوئی کردار نہیں پایا جاتا۔ 3976

آئیں اب شکل 11.17 میں عارضی دورانیے کے دوران ترسیلی تار پر $z = \frac{4l}{5}$ کے مقام پر برقی دباو بالمقابل وقت کا خط کھینچتے ہیں۔اس شکل میں Z_g 3977، Z_L اور Z_0 کو حقیقی اعداد تصور کرتے ہیں۔اس کے ساتھ ساتھ $Z_g > Z_0$ اور $Z_L > Z_0$ تصور کیا گیا ہے۔یوں $\Gamma_g > 0$ اور $\Gamma_L > 0$ 3978 حاصل ہوتے ہیں۔شکل 11.18 کو دیکھ کر آگے پڑھیں۔ 3979

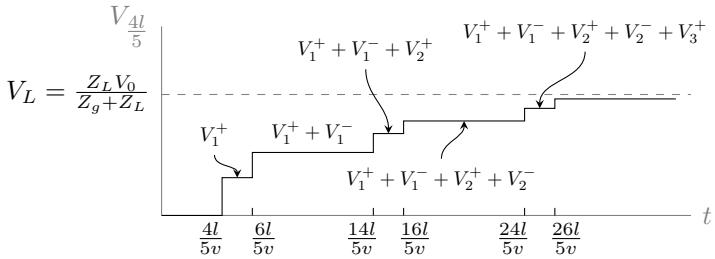

شکل 11.18: عارضی دورانیے کی برقی دباو بالمقابل برقی دباو۔

سوئچ کو لمحہ $t = 0$ پر چالو حالت کیا جاتا ہے جس سے ترسیلی تار میں V_1^+ موج پیدا ہوتی ہے۔یہ موج نقطہ دار لکیر سے ظاہر کردہ مقام تک $\frac{4l}{5v}$ دورانیے میں پہنچتی ہے۔یوں $t = 0$ تا $t = \frac{4l}{5v}$ اس نقطے پر صفر برقی دباو رہتی ہے جبکہ ٹھیک $t = \frac{4l}{5v}$ پر یہاں کی برقی دباو V_1^+ ہو جاتی ہے۔شکل 11.18 میں ایسا ہوتا دکھایا گیا ہے۔موج V_1^+ نقطہ دار لکیر سے برقی بار تک $\frac{l}{5v}$ دورانیے میں پہنچ کر انعکاس پذیر ہوتی ہے۔انعکاسی موج کو برقی بار سے نقطہ دار لکیر تک پہنچنے کی خاطر $\frac{l}{5v}$ دورانیہ درکار ہے۔یوں V_1^- موج نقطہ دار لکیر پر لمحہ $\frac{4l}{5v} + \frac{l}{5v} + \frac{l}{5v} = \frac{6l}{5v}$ پہ پہنچتی ہے۔یوں سوئچ چالو حال کرنے کے $\frac{6l}{5v}$ دیر بعد نقطہ دار لکیر پر برقی دباو $V_1^+ + V_1^-$ ہو جاتی ہے۔امید کی جاتی ہے کہ آپ شکل 11.18 میں دکھائے گئے تمام صورت حال کو سمجھ پائے ہیں۔آپ دیکھ سکتے ہیں کہ ترسیلی تار کے دونوں سروں پر موج بار بار انعکاس پذیر ہوتی ہے۔ہر انعکاس کے بعد برقی دباو برقرار حال قیمت کے قریب تر ہوتی جاتی ہے۔

ترسیلی تار پر کسی بھی مقام پر برقی رو کی قیمت بھی اسی طرح حاصل کی جاتی ہے۔برقی دباو کی صورت میں اس تار کو مثبت برقی دباو پر تصور کیا جاتا ہے جس پر مثبت چارج پایا جاتا ہو۔یوں شکل 11.17 میں V_1^+ اور V_1^- امواج میں بالائی تار مثبت برقی دباو پر ہیں۔اسی شکل میں گھڑی کی سمت میں گھومتی برقی رو کو مثبت تصور کیا جاتا ہے جبکہ گھڑی کے الٹ سمت گھومتی برقی رو کو منفی تصور کیا جاتا ہے۔یوں I_1^+ مثبت جبکہ I_1^- منفی برقی رو ہے۔یوں ترسیلی تار میں دونوں جانب حرکت کرتی برقی دباو کی موج کو مثبت تصور کیا جاتا ہے جبکہ برقی رو کے امواج مثبت یا منفی ممکن ہیں۔برقی رو اور برقی دباو کا عمومی تعلق

$$I_1^+ = \frac{V_1^+}{Z_0}$$
$$I_1^- = -\frac{V_1^-}{Z_0}$$

ہے۔اس طرح

$$I_1^+ = \frac{V_1^+}{Z_0}, \qquad I_1^- = -\frac{V_1^-}{Z_0}$$
$$I_2^+ = \frac{V_2^+}{Z_0}, \qquad I_2^- = -\frac{V_2^-}{Z_0}$$
$$I_3^+ = \frac{V_3^+}{Z_0}, \qquad I_3^- = -\frac{V_3^-}{Z_0}$$

لکھے جائیں گے۔

شکل 11.18 کو دیکھتے ہوئے شکل 11.19 حاصل کیا گیا ہے۔اس شکل میں یہ دلچسپ حقیقت سامنے آتی ہے کہ سوئچ چالو کرنے کے لمحے پر برقی رو برقرار حالت یکساں برقی رو سے زیادہ ہے۔دراصل Z_g ، Z_L اور Z_0 کے قیمت ایسے چنے جا سکتے ہیں کہ ابتدائی برقی دباو یا ابتدائی برقی رو کی قیمت برقرار حالت قیمتوں سے زیادہ یا کم ہو۔

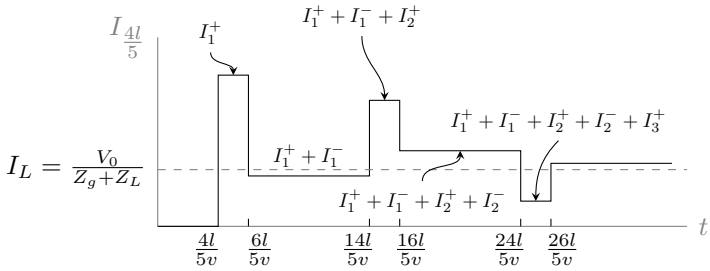

شکل 11.19: عارضی دورانیے کی برقی رو بالمقابل برقی دباو۔

مثال 11.3: شکل 11.17 میں $l = 240\,\mathrm{m}$ ، $v = 0.8c$ ، $V_0 = 5\,\mathrm{V}$ ، $Z_L = 100\,\Omega$ ، $Z_g = 50\,\Omega$ اور $Z_0 = 50\,\Omega$ ہیں۔ سوئچ کو $t = 0$ پر چالو حالت میں کر دیا جاتا ہے۔ عارضی دورانیے میں برقی بار اور منبع پر برقی دباو بالمقابل وقت اور برقی رو بالمقابل وقت کے خط کھینچیں۔

حل: ان قیمتوں سے شرح انعکاس

$$\Gamma_g = \frac{50-50}{50+50} = 0$$
$$\Gamma_L = \frac{100-50}{100+50} = \frac{1}{3}$$

حاصل ہوتے ہیں۔ لمحہ $t = 0$ پر سوئچ چالو کرنے سے منبع کو Z_0 نظر آتا ہے لہٰذا

$$V_1^+ = \frac{Z_0 V_0}{Z_g + Z_0} = \frac{50 \times 5}{50+50} = \frac{5}{2}\,\mathrm{V}$$
$$I_1^+ = \frac{V_0}{Z_g + Z_0} = \frac{5}{50+50} = \frac{1}{20}\,\mathrm{A}$$

ہوں گے۔ ترسیلی تار میں رفتار موج $v = 0.8 \times 3 \times 10^8 = 2.4 \times 10^8\,\frac{\mathrm{m}}{\mathrm{s}}$ ہے لہٰذا یہ امواج

$$t = \frac{l}{v} = \frac{240}{2.4 \times 10^8} = 1\,\mu\mathrm{s}$$

دورانیے میں برقی بار تک پہنچیں گی۔ برقی بار سے انعکاس پذیر امواج

$$V_1^- = \Gamma_L V_1^+ = \frac{1}{3} \times \frac{5}{2} = \frac{5}{6}\,\mathrm{V}$$
$$I_1^- = -\frac{V_1^-}{Z_0} = -\frac{1}{60}\,\mathrm{A}$$

ہیں۔ یوں سوئچ چالو کرنے کے $1\,\mu\mathrm{s}$ دیر بعد برقی بار پر کل برقی دباو اور برقی رو

$$V_1^+ + V_1^- = \frac{5}{2} + \frac{5}{6} = \frac{10}{3}\,\mathrm{V}$$
$$I_1^+ + I_1^- = \frac{1}{20} - \frac{1}{60} = \frac{1}{30}\,\mathrm{A}$$

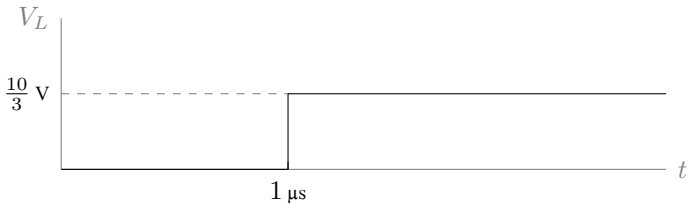

شکل 11.20: برقی بار پر برقی دباو۔

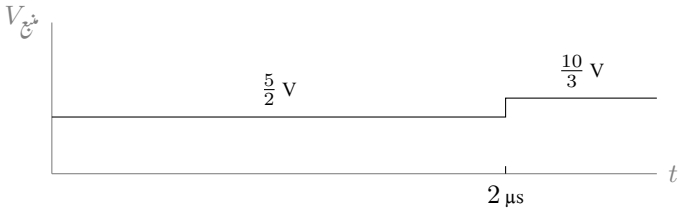

شکل 11.21: منبع کے خارجی سروں پر برقی دباو۔

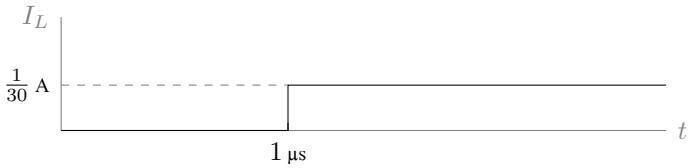

شکل 11.22: برقی بار کی برقی رو۔

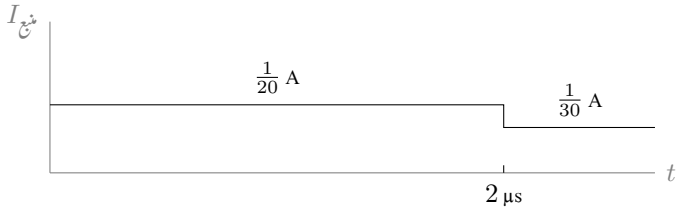

شکل 11.23: منبع کی برقی رو۔

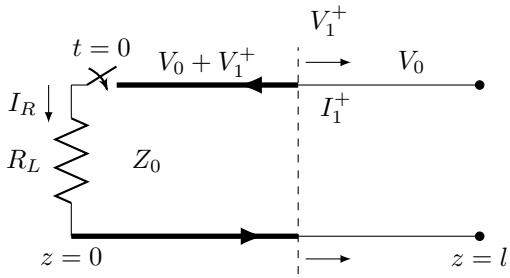

شکل 11.24: ترسیلی تار سے مستطیل پتلا اشارہ حاصل کیا جا سکتا ہے۔

ہوں گے۔سوئچ چالو کرنے کے $2\,\mu s$ دیر بعد انعکاسی امواج منبع تک واپس پہنچیں گی۔چونکہ $\Gamma_g = 0$ ہے لہٰذا منبع سے کوئی موج انعکاس پذیر نہیں ہو گی۔اس طرح سوئچ چالو کرنے کے $2\,\mu s$ دیر بعد منبع پر برقی دباو اور برقی رو مندرجہ بالا قیمتیں اختیار کر لیں گے۔اس کے بعد یہی قیمتیں برقرار رہیں گے۔

عارضی دورانیے کا ایک اہم مسئلہ شکل 11.24 میں دکھایا گیا ہے جہاں $z=0$ پر برقی بار R_L جوڑا جا سکتا ہے جبکہ $z=l$ پر تار کا سرا کھلا رکھا جاتا ہے۔چارج بردار تار پر V_0 مثبت برقی دباو پایا جاتا ہے جبکہ تار کی قدرتی رکاوٹ Z_0 ہے۔آئیں اس کی کارکردگی پر غور کریں۔سوئچ چالو کرتے ہی تار سے چارج کا انخلا بہ راستہ R_L شروع ہو جاتا ہے۔تار میں کثافت چارج کی کمی سے تار میں برقی دباو کم ہوتا ہے۔شکل 11.24 میں سوئچ بند کرنے کے کچھ ہی دیر بعد کی صورت حال دکھائی گئی ہے۔سوئچ چالو کرنے سے پیدا موج کا مقام نقطہ دار لکیر دکھا رہی ہے۔اس لکیر کے دائیں جانب برقی دباو V_0 اور چارج ساکن ہے جبکہ لکیر کے بائیں جانب چارج حرکت میں ہے اور برقی دباو $V_0+V_1^+$ ہے۔چونکہ نقطہ دار لکیر کے بائیں جانب تار پر کثافت چارج کم ہے لہٰذا اس طرف برقی دباو بھی کم ہو گا، جس سے صاف ظاہر ہے کہ V_1^+ کی قیمت منفی ہو گی۔نقطہ دار لکیر کے دائیں جانب برقی رو صفر کے برابر ہے جبکہ لکیر کے بائیں جانب برقی رو پائی جاتی ہے۔یہ برقی رو گھڑی کی الٹ سمت ہے لہٰذا تار میں ابتدائی برقی رو کے موج I_1^+ کی قیمت منفی ہو گی۔برقی دباو کی موج V_1^+ اور برقی رو کی موج I_1^+ ترسیلی تار میں $z=0$ سے $z=l$ جانب حرکت کرتی ہے۔ترسیلی تار میں برقی دباو اور برقی رو ہر صورت

$$-I_R = I_1^+ = \frac{V_1^+}{Z_0}$$

مساوات پر پورا اترتے ہیں۔مزاحمت R_L پر برقی دباو $V_0+V_1^+$ ہے جو I_R کی وجہ سے ہے۔یوں برقی بار پر $V_L = I_R R_L$ ہو گا جسے

$$V_L = V_0 + V_1^+ = -I_1^+ R_L = -\frac{V_1^+}{Z_0} R_L$$

لکھا جا سکتا ہے۔اس مساوات سے

$$V_1^+ = -\frac{Z_0 V_0}{Z_0 + R_L} \tag{11.57}$$

حاصل ہوتا ہے۔برقی دباو کی ابتدائی موج جانتے ہوئے ہم کسی بھی لمحے کسی بھی نقطے پر برقی دباو یا برقی رو حاصل کر سکتے ہیں۔ایسا ہم کئی مرتبہ کر چکے ہیں۔

زیادہ دلچسپ صورت حال اس وقت پیدا ہوتی ہے جب $R_L = Z_0$ ہو۔ایسی صورت میں ترسیلی تار کے سروں پر شرح انعکاس

$$\Gamma_{z=0} = 0$$
$$\Gamma_{z=l} = 1$$

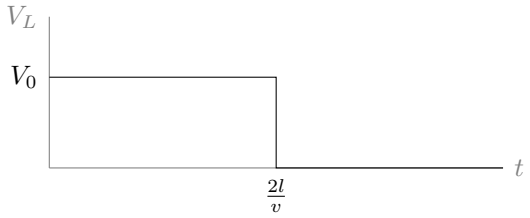

شکل 11.25: ترسیلی تار سے حاصل مستطیل پتلا اشارہ۔

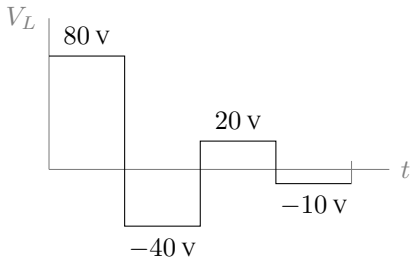

شکل 11.26: بار بار انعکاس پذیر موج سے پیدا برقی دباو۔

حاصل ہوتے ہیں جہاں $z = l$ پر تار کا سرا کھلے دور ہے۔ مساوات 11.57 سے

$$V_1^+ = -\frac{V_0}{2}$$

حاصل ہوتا ہے۔ یوں سوئچ چالو کرتے ہی برقی بار پر دباو $V_L = V_0 + V_1^+ = \frac{V_0}{2}$ پیدا ہوتا ہے۔ موج V_1^+ کو تار کے دائیں سرے تک پہنچنے کی خاطر $\frac{l}{v}$ وقت درکار ہے جہاں سے یہ انعکاس پذیر ہو گی۔ اس طرح سوئچ چالو کرنے کے ٹھیک $\frac{2l}{v}$ دیر بعد منعکس برقی موج برقی بار پہنچ کر اس پر کل برقی دباو کی قیمت $0\,\mathrm{V}$ کر دے گی۔ چونکہ $R_L = Z_0$ ہے لہٰذا بار سے موج انعکاس پذیر نہیں ہو گی۔ برقی بار پر برقی دباو کو شکل 11.25 میں دکھایا گیا ہے۔ آپ دیکھ سکتے ہیں کہ بار پر بالکل مستطیل برقی دباو پائی جاتی ہے۔ انتہائی کم دورانیے کے مستطیل اشارات ترسیلی تار کی مدد سے پیدا کئے جا سکتے ہیں۔ $R_L \neq Z_0$ کی صورت میں موج کئی بار انعکاس پذیر ہو گی جس سے اشارہ مستطیل شکل کھو دے گا۔

مثال 11.4: $300\,\Omega$ کے بار پر $5000\,\mathrm{V}$ اور $100\,\mathrm{ns}$ دورانیے کا مستطیل اشارہ درکار ہے۔ اس اشارے کو $300\,\Omega$ کے ہم محوری تار سے حاصل کریں جہاں تار میں موج کی رفتار $0.8c$ ہے۔

حل: اشارے کے دورانیے سے تار کی لمبائی

$$l = \frac{0.8 \times 3 \times 10^8 \times 100 \times 10^{-9}}{2} = 12\,\mathrm{m}$$

حاصل ہوتی ہے۔ ہم محوری تار کو $10\,\mathrm{kV}$ برقی دباو پر رکھتے ہوئے درکار اشارہ حاصل ہو گا۔

مثال 11.5: شکل 11.24 میں $V_0 = 320\,\mathrm{V}$ ، $Z_0 = 50\,\Omega$ جبکہ $R_L = \frac{50}{3}\,\Omega$ ہیں۔لمحہ $t = 0$ پر سوئچ کو چالو کیا جاتا ہے۔ $0 < t < \frac{8l}{v}$ کے لئے مزاحمت پر برقی دباو حاصل کریں۔

حل:اس دورانیے میں موج ترسیلی تار میں چار چکر کاٹے گی۔دی گئی معلومات سے

$$\Gamma_{z=0} = \frac{\frac{50}{3} - 50}{\frac{50}{3} + 50} = -\frac{1}{2}$$
$$\Gamma_{z=l} = \frac{\infty - 50}{\infty + 50} = 1$$

حاصل ہوتے ہیں۔یوں

$$V_1^+ = -\frac{50 \times 320}{50 + \frac{50}{3}} = -240\,\mathrm{V}$$
$$V_1^- = \Gamma_{z=l} V_1^+ = -240\,\mathrm{V}$$

ہوں گے۔اسی طرح

$$V_2^+ = V_2^- = \Gamma_{z=0} V_1^- = 120\,\mathrm{V}$$
$$V_3^+ = V_3^- = \Gamma_{z=0} V_2^- = -60\,\mathrm{V}$$
$$V_4^+ = V_4^- = \Gamma_{z=0} V_3^- = 30\,\mathrm{V}$$

حاصل ہوتے ہیں۔ان نتائج کو استعمال کرتے ہوئے

$$\begin{aligned}
V_L &= V_0 + V_1^+ = 320 - 240 = 80\,\mathrm{V} && (0 < t < \tfrac{2l}{v}) \\
&= V_0 + V_1^+ + V_1^- + V_2^+ = -40\,\mathrm{V} && (\tfrac{2l}{v} < t < \tfrac{4l}{v}) \\
&= V_0 + V_1^+ + V_1^- + V_2^+ + V_2^- + V_3^+ = 20\,\mathrm{V} && (\tfrac{4l}{v} < t < \tfrac{6l}{v}) \\
&= V_0 + V_1^+ + V_1^- + V_2^+ + V_2^- + V_3^+ + V_3^- + V_4^+ = -10\,\mathrm{V} && (\tfrac{6l}{v} < t < \tfrac{8l}{v})
\end{aligned}$$

لکھا جا سکتا ہے۔ان نتائج کو شکل 11.26 میں دکھایا گیا ہے۔

مثال 11.6: شکل 11.27-الف میں ترسیلی تار کے عین درمیان $z = \frac{l}{2}$ پر سوئچ نسب ہے جسے لمحہ $t = 0$ پر چالو کیا جاتا ہے۔اس دوران میں $R_L = Z_0$ ہے جبکہ منبع کی اندرونی مزاحمت $0\,\Omega$ کے برابر ہے۔برقی بار پر برقی دباو کا خط کھینچیں۔

حل:سوئچ سے بار کی جانب ترسیلی تار پر $0\,\mathrm{V}$ برقی دباو ہے جبکہ سوئچ سے منبع کی جانب ترسیلی تار چارج بردار ہے جس سے اس جانب کی برقی دباو V_0 ہے۔سوئچ چالو کرنے سے دو برقی موج، سوئچ کے مقام پر، پیدا ہوتی ہیں۔سوئچ سے بار کی جانب موج کا حیطہ $\frac{V_0}{2}$ جبکہ سوئچ سے منبع کی جانب

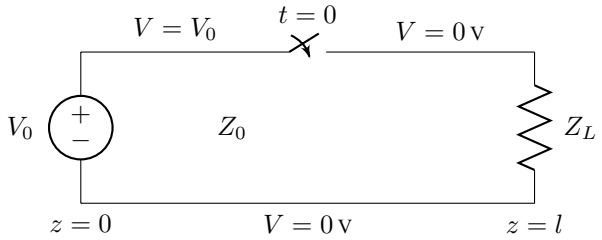

(ا) ترسیلی تار کے عین درمیانے نقطے پر سوئچ کو چالو کیا جاتا ہے۔

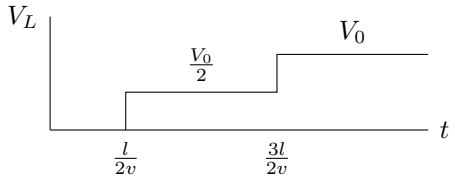

(ب) بار پر برقی دباو۔

شکل 11.27: مثال 11.6 کا دور اور اس میں بار پر برقی دباو۔

موج کا حیطہ $-\frac{V_0}{2}$ ہو گا۔چونکہ $R_L = Z_0$ ہے لہٰذا بار پر انعکاسی موج پیدا نہیں ہو گی۔اس کے برعکس منبع پر $\Gamma_g = -1$ کی بنا پر یہاں سے انعکاس ہو گا۔ان تمام کو مد نظر رکھتے ہوئے ہم لکھ سکتے ہیں۔

$$
\begin{aligned}
V_L &= 0 && (0 < t < \tfrac{l}{2v}) \\
&= \frac{V_0}{2} && (\tfrac{l}{2v} < t < \tfrac{3l}{2v}) \\
&= V_0 && (\tfrac{3l}{2v} < t)
\end{aligned}
$$

ان نتائج کو شکل 11.27-ب میں دکھایا گیا ہے۔

مثال 11.7: شکل 11.28 میں ترسیلی تار میں دو عدد سوئچ نسب ہیں۔دونوں سوئچ کو لمحہ $t = 0$ پر بیک وقت چالو کیا جاتا ہے۔ $Z_0 = R_L$ کی صورت میں بار پر برقی دباو کا خط کھینچیں۔

حل: بار پر $\Gamma_L = 0$ ہے جبکہ ترسیلی تار کے کھلے سر پر $\Gamma = 1$ ہے۔دو سوئچ چالو کرنے سے کل چار عدد برقی دباو کے موج پیدا ہوتے ہیں۔ان میں سے دو عدد موج بار کی جانب حرکت کرتے ہیں جبکہ بقایا دو عدد موج ترسیلی تار کے کھلے سر کی جانب حرکت کرتے ہیں۔کھلے سر پر دونوں امواج انعکاس پذیر ہو کر بار کی جانب لوٹتے ہیں۔بار سے کوئی موج انعکاس پذیر نہیں ہوتی۔

سوئچ-الف سے بار جانب $\frac{V_0}{2}$ وولٹ کی موج جبکہ کھلے سر کی جانب $-\frac{V_0}{2}$ وولٹ کی موج حرکت کرتی ہے۔پہلی موج $t = \frac{l}{v}$ دیر بعد بار تک پہنچتی ہے۔دوسری موج کھلے سر سے انعکاس پذیر ہو کر بار تک $t = \frac{5l}{v}$ دورانیے میں پہنچتی ہے۔

سوئچ-ب سے بار جانب $-V_0$ حیطے کی موج حرکت کرتے ہوئے بار تک $t = \frac{2l}{v}$ دورانیے میں پہنچتی ہے جبکہ دوسری موج کا حیطہ $+V_0$ ہے اور ترسیلی تار کے کھلے سر سے ہوتے ہوئے بار تک $\frac{4l}{v}$ وقت میں پہنچتی ہے۔

ان حقائق سے بار پر برقی دباو کا خط حاصل کیا جاتا ہے جسے شکل 11.28 میں دکھایا گیا ہے۔

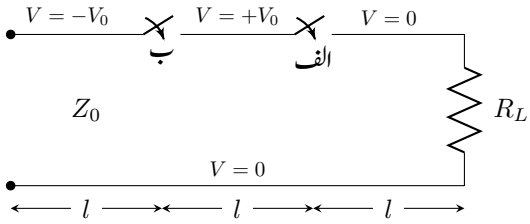

(ا) ترسیلی تار میں دو سوئچ بیک وقت چالو کئے جاتے ہیں۔

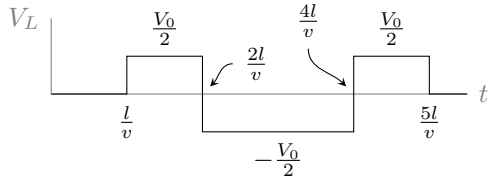

(ب) بار پر عارضی دورانیے میں برقی دباو کا خط۔

شکل 11.28: مثال 11.7 کا دور اور بار پر برقی دباو۔

سوالات

سوال 11.1: ترسیلی تار کے مستقل $R = 20\,\frac{\Omega}{\text{m}}$ ، $L = 4\,\frac{\mu\text{H}}{\text{m}}$ ، $G = 80\,\frac{\mu\text{S}}{\text{m}}$ اور $C = 60\,\frac{\text{pF}}{\text{m}}$ ہیں۔اس میں $200\,\text{MHz}$ تعدد کی برقی موج حرکت کر رہی ہے۔الف) γ ، α ، β ، λ اور Z_0 حاصل کریں۔ب) $12\,\text{m}$ فاصلہ طے کرنے کے بعد موج کا حیطہ ابتدائی قیمت کی نسبت سے کتنا ہو گا؟ پ) $1.6\,\text{m}$ فاصلہ طے کرنے کے بعد موج کا زاویائی فرق کتنا ہو گا؟

جوابات: $\gamma = 0.049 + j3.1\,\text{m}^{-1}$ ، $\alpha = 0.049\,\frac{\text{Np}}{\text{m}}$ ، $\beta = 3.1\,\frac{\text{rad}}{\text{m}}$ ، $\lambda = 2.03\,\text{m}$ ، $Z_0 = 258 - j2.37\,\Omega$ ، $55.5\,\%$ ، 284°

سوال 11.2: ایک ترسیلی تار جس میں موج کی رفتار $3 \times 10^8\,\frac{\text{m}}{\text{s}}$ ہے کی قدرتی رکاوٹ $Z_0 = 50\,\Omega$ ہے۔تار کے داخلی سروں پر $20\,\text{MHz}$ کی موج پیدا کی جا رہی ہے جبکہ اس کا دوسرا سرا کسر دور کیا گیا ہے۔الف) تار کی لمبائی $3.75\,\text{m}$ ہونے کی صورت میں $Z_{\text{داخلی}}$ حاصل کریں۔ب) تار کی لمبائی بالترتیب $7.5\,\text{m}$ ، $1.2\,\text{m}$ اور $9\,\text{m}$ ہونے کی صورت میں $Z_{\text{داخلی}}$ حاصل کریں۔

جوابات: ∞ ، $0\,\Omega$ ، $27.5j\,\Omega$ ، $36.3j\,\Omega$

سوال 11.3: بے ضیاع ترسیلی تار کی فی میٹر امالہ $0.25\,\frac{\mu\text{H}}{\text{m}}$ جبکہ اس کی قدرتی رکاوٹ $75\,\Omega$ ہے۔الف) تار کی فی میٹر کپیسٹنس دریافت کریں۔ ب) تار میں موج کی رفتار حاصل کریں۔ پ) موج کی تعدد $50\,\text{MHz}$ ہونے کی صورت میں β حاصل کریں۔ ت) تار کے ساتھ $55\,\Omega$ کا بار منسلک ہے۔ Γ اور s حاصل کریں۔

جوابات: $44.4\,\frac{\text{pF}}{\text{m}}$ ، $3 \times 10^8\,\frac{\text{m}}{\text{s}}$ ، $\beta = 1.05\,\frac{\text{rad}}{\text{m}}$ ، $\Gamma = -\frac{2}{13}$ ، $s = \frac{15}{11}$

سوال 11.4: ترسیلی تار کی قدرتی رکاوٹ $300\,\Omega$ ہے۔موج کی تعدد $6 \times 10^8\,\frac{\text{rad}}{\text{s}}$ جبکہ اس کی رفتار $2.8 \times 10^8\,\frac{\text{m}}{\text{s}}$ ہے۔الف) تار کی فی میٹر امالہ اور کپیسٹنس حاصل کریں۔ب) تار پر سلسلہ وار جڑی $150\,\Omega$ اور $0.8\,\mu\text{H}$ کا بار ڈالا جاتا ہے۔ Γ اور s حاصل کریں۔

جوابات: $L = 1.07\,\frac{\mu\text{H}}{\text{m}}$ ، $C = 11.9\,\frac{\text{pF}}{\text{m}}$ ، $\Gamma = 0.38 + j0.67$ ، $s = 7.49$

سوال 11.5: بے ضیاع ترسیلی تار کی 80 MHz تعدد پر قدرتی رکاوٹ $75\,\Omega$ اور $\beta = 0.25\pi\,\frac{\text{rad}}{\text{m}}$ ہیں۔ الف) تار کی L اور C حاصل کریں۔ ب) تار پر $Z_L = 80 + j100\,\Omega$ بار لادا جاتا ہے۔ بار سے کتنے فاصلے پر تار کی داخلی رکاوٹ $Z_{\text{داخلی}}$ حقیقی یعنی $Z_{\text{داخلی}} = R + j0$ ہو گا۔

جوابات: $L = 117\,\frac{\text{nH}}{\text{m}}$ ، $C = 20.8\,\frac{\text{pF}}{\text{m}}$ ، $60.34\,\text{cm}$

سوال 11.6: تعدد $1\,\frac{\text{Mrad}}{\text{s}}$ پر ضیاع کار ترسیلی تار کی قدرتی رکاوٹ $Z_0 = 40 + j0\,\Omega$ اور حرکی مستقل $\gamma = 2 + j6\,\text{m}^{-1}$ ہیں۔ الف) G ، C ، R اور L حاصل کریں۔

جوابات: $G = 0.05\,\frac{\text{S}}{\text{m}}$ ، $C = 150\,\frac{\text{nF}}{\text{m}}$ ، $R = 80\,\frac{\Omega}{\text{m}}$ ، $L = 0.24\,\frac{\text{mH}}{\text{m}}$

سوال 11.7: بے ضیاع ترسیلی تار کی 150 MHz تعدد پر $Z_0 = 80\,\Omega$ اور $\beta = 6\,\frac{\text{rad}}{\text{m}}$ ہیں۔ تار پر متوازی جڑے $200\,\Omega$ کی مزاحمت اور $10\,\text{pF}$ کی کپیسٹر کا بار لادا جاتا ہے۔ الف) L اور C حاصل کریں۔ ب) شرح ساکن موج حاصل کریں۔

جوابات: $L = 0.51\,\frac{\mu\text{H}}{\text{m}}$ ، $C = 79.6\,\frac{\text{pF}}{\text{m}}$ ، $s = 4.07$

سوال 11.8: منبع برقی دباو سلسلہ وار جڑی رکاوٹ $Z = 300 - j300\,\Omega$ اور بے ضیاع ترسیلی تار کے ساتھ منسلک ہے۔ ترسیلی تار کا دوسرا سرا کسے دور ہے۔ ترسیلی تار میں طول موج λ ہے۔ الف) منبع برقی دباو پر کل $300\,\Omega$ رکاوٹ مہیا کرنے کی خاطر ترسیلی تار کی لمبائی کتنی رکھی جائے گی۔ ب) ترسیلی تار کی لمبائی کے تمام ممکنہ جواب حاصل کریں۔

جوابات: لمبائی $= \frac{\lambda}{8}$ ، لمبائی $= \frac{\lambda}{8} + \frac{m\lambda}{2}$

سوال 11.9: تعدد 50 MHz کے منبع برقی دباو کے ساتھ رکاوٹ $Z_g = 50 + j50\,\Omega$ اور بے ضیاع ترسیلی تار سلسلہ وار جڑے ہیں۔ ترسیلی تار کی قدرتی رکاوٹ $Z_0 = 100\,\Omega$ ، لمبائی $\frac{\lambda}{4}$ ہے اور یہ بار Z_L کو طاقت فراہم کر رہی ہے۔ الف) بار کی وہ قیمت دریافت کریں جس پر منبع برقی دباو کو کل $100\,\Omega$ رکاوٹ نظر آتی ہے۔ ب) ترسیلی تار کی فی میٹر امالہ $L = 1.5\,\frac{\mu\text{H}}{\text{m}}$ ہونے کی صورت میں ترسیلی تار میں موج کی رفتار اور ترسیلی تار کی لمبائی دریافت کریں۔

جوابات: $Z_L = 100 + j100\,\Omega$ ، $6.6737\,\frac{\text{m}}{\text{s}}$ ، $0.333\,\text{m}$

سوال 11.10: تیس میٹر لمبی بے ضیاع ترسیلی تار کے دونوں سرے آزاد رکھنے کی صورت میں اس کی کل کپیسٹنس $C = 1.5\,\text{nF}$ ناپی جاتی ہے۔ اس کا ایک سرا کسر دور کرتے ہوئے دوسرے سرے پر نہایت کم دورانیے کا مستطیلی برقی دباو کا جھٹکا دیا جاتا ہے جو کسر دور سرے سے ٹکرا کر واپس لوٹتا ہے۔ تار میں دو طرفہ فاصلہ کل $0.4\,\mu\text{s}$ میں طے پاتا ہے۔ ترسیلی تار کی قدرتی رکاوٹ حاصل کریں۔

جواب: $Z_0 = 133.3\,\Omega$

ترسیلی تار کی قدرتی رکاوٹ $Z_0 = 60\,\Omega$ جبکہ اس پر موج کی رفتار $2.8 \times 10^8\,\frac{\text{m}}{\text{s}}$ ہے۔ تار پر آمدی موج کی مساوات $V_s^+(z,t) = 100\cos(\omega t - \pi z)\,\text{V}$ ہے۔ الف) موج کی زاویائی تعدد حاصل کریں۔ ب) آمدی برقی رو کے موج کی مساوات لکھیں۔ پ) ترسیلی تار کا $z > 0$ حصہ ہٹا کر $z = 0$ پر $Z_L = 60 + j40\,\Omega$ رکاوٹ نسب کرنے کی صورت میں Γ حاصل کریں۔ انعکاسی موج $V_s^-(z,t)$ کی مساوات لکھیں اور $z = -2.25\,\text{m}$ پر V_s حاصل کریں۔

جوابات: $\omega = 879.6\,\frac{\text{Mrad}}{\text{s}}$ ، $I^+(z,t) = \frac{5}{3}\cos(\omega t - \pi z)\,\text{A}$ ، $\Gamma = 0.1 + j0.3 = 0.316\underline{/71.6^\circ}$ ،
$V_s^-(z,t) = 31.6e^{j(\pi z + 1.249)}\,\text{V}$ ، $V_s(z = -2.5\,\text{m}) = 130.4e^{j0.71} = 130.4\underline{/40.6^\circ}$

سوال 11.12: ترسیلی تار کی $Z_0 = 50\,\Omega$ ، لمبائی $330\,\text{m}$ اور اس میں رفتار موج $v = 0.8c$ ہے۔یہ $Z_L = 40 + j70\,\Omega$ برقی بار پر اختتام پذیر ہے۔تعدد $1.2\,\text{MHz}$ پر Γ ، s اور $Z_{\text{داخلی}}$ حاصل کریں۔

جوابات: $0.62\underline{/60.3^\circ}$ ، 4.27 ، $100\underline{/-56.2^\circ}$

سوال 11.13: بے ضیاع ترسیلی تار کی لمبائی $3\,\text{m}$ ، قدرتی رکاوٹ $300\,\Omega$ جبکہ اس پر طول موج $4\,\text{m}$ ہے۔ترسیلی تار کے ساتھ نسب برقی بار $100 - j150\,\Omega$ پر $100\underline{/30^\circ}$ برقی دباو پایا جاتا ہے۔الف) ترسیلی تار کے داخلی سرے پر برقی دباو حاصل کریں۔ب) تار پر زیادہ سے زیادہ برقی دباو کیا پایا جائے گا؟

جوابات: $187.8\,\text{V}$ ، $166.4\underline{/-63.7^\circ}\,\text{V}$

سوال 11.14: بے ضیاع ترسیلی تار کی لمبائی $38\,\text{m}$ ہے جبکہ اس کے مستقل $L = 0.3\,\frac{\mu\text{H}}{\text{m}}$ اور $C = 90\,\frac{\text{pF}}{\text{m}}$ ہیں۔بار $Z_L = 40 + j0\,\Omega$ ہے جبکہ داخلی جانب $4\,\text{MHz}$ تعدد کا منبع $200\underline{/0^\circ}\,\text{V}$ مہیا کر رہا ہے۔الف) داخلی برقی رو کا حیطہ حاصل کریں۔ب) بار پر برقی رو کا حیطہ حاصل کریں۔پ) بار کو منتقل طاقت حاصل کریں۔

جوابات: $10.2\,\text{A}$ ، $3.52\,\text{A}$ ، $247.9\,\text{W}$

سوال 11.15: $300\,\Omega$ قدرتی رکاوٹ کی ترسیلی تار پر متوازی جڑے $400\,\Omega$ اور $600\,\Omega$ کا بار لادا جاتا ہے۔تار کی لمبائی $\frac{5\lambda}{8}$ ہے جبکہ اسے داخلی جانب $v(t) = 310\cos(2 \times 10^9 t)\,\text{V}$ برقی دباو مہیا کی جاتی ہے۔بار بردار ترسیلی تار کی داخلی رکاوٹ $Z_{\text{داخلی}}$ حاصل کرتے ہوئے بالترتیب دونوں مزاحمتوں کو مہیا اوسط طاقت حاصل کریں۔

جوابات: $Z_{\text{داخلی}} = 292.7 + j65.9\,\Omega$ ، $93.8\,\text{W}$ ، $62.5\,\text{W}$

سوال 11.16: صفحہ 392 پر شکل 11.5-الف میں برقی بار کو ترسیلی تار کے ذریعہ منبع سے طاقت فراہم کرتا دکھایا گیا ہے۔موجودہ سوال میں $Z_0 = 60\,\Omega$ ، برقی بار $Z_L = 40 - j50\,\Omega$ ، منبع کی خارجی مزاحمت $Z_g = 40\,\Omega$ ، تعدد $10^8\,\text{Hz}$ ، تار کی لمبائی $1.3\,\text{m}$ جبکہ منبع کی برقی دباو $80\underline{/0}\,\text{V}$ ہیں۔ترسیلی تار میں موج کی رفتار c کے برابر ہے۔الف) شرح ساکن موج s اور ترسیلی تار کی $Z_{\text{داخلی}}$ حاصل کریں۔ب) Z_g اور Z_L میں اوسط طاقت ضیاع حاصل کریں۔پ) ترسیلی تار میں طاقت کا ضیاع حاصل کریں۔

جوابات: $s = 2.86$ ، $Z_{\text{داخلی}} = 99.1 - j75.2\,\Omega$ ، $5.1\,\text{W}$ ، $12.7\,\text{W}$ ، $0\,\text{W}$

سوال 11.17: ترسیلی تار کی لمبائی $\frac{8\lambda}{7}$ ، قدرتی رکاوٹ $Z_0 = 75\,\Omega$ جبکہ اس پر برقی بار $Z_L = 100 - j50$ ہے۔تار میں موج کی رفتار c ہے۔اسے داخلی جانب $100\,\Omega$ کے خارجی مزاحمت کے منبع سے $600\underline{/0}\,\text{V}$ برقی دباو مہیا کی جاتی ہے۔الف) Γ ، s اور $Z_{\text{داخلی}}$ حاصل کریں۔ب) ترسیلی تار کی داخلی برقی رو اور اسے مہیا طاقت حاصل کریں۔پ) برقی بار پر برقی دباو اور اس کی برقی رو حاصل کریں۔ت) برقی بار کو منتقل طاقت حاصل کریں۔

جوابات: الف) $\Gamma = 0.21 - j0.23$ ، $s = 1.89$ ، $Z_{\text{داخلی}} = 41.7 - j14\,\Omega$ ب) $4.2\underline{/5.6^\circ}\,\text{A}$ ، $370\,\text{W}$ پ) $304\underline{/-63^\circ}\,\text{V}$ ، $2.7\underline{/-37}\,\text{A}$ ت) $370\,\text{W}$

سوال 11.18: قدرتی رکاوٹ $Z_0 = 300\,\Omega$ اور لمبائی $0.7\,\text{m}$ کے ترسیلی تار کا خارجی سرا کسر دور کیا جاتا ہے۔تار پر طول موج $0.34\,\text{m}$ ہے۔داخلی اشارے کا حیطہ $15\,\text{V}$ ہونے کی صورت میں تار پر زیادہ سے زیادہ حیطہ کیا پایا جائے گا؟ کسر دور سرے میں برقی رو کا حیطہ دریافت کریں۔

جوابات: $41.5\,\text{V}$ ، $138.4\,\text{mA}$

سوال 11.19: منبع برقی رو $0.4\underline{/0}\,\mathrm{A}$ جس کی خارجی مزاحمت $80\,\Omega$ ہے، 3.4λ لمبی ترسیلی تار کے ذریعہ $25\,\Omega$ کے بار کو طاقت فراہم کر رہی ہے۔ ترسیلی تار کی قدرتی رکاوٹ $50\,\Omega$ ہے۔ مزاحمتی بار اور منبع کی مزاحمت میں طاقت کا ضیاع دریافت کریں۔

جوابات: $1.28\,\mathrm{W}$ ، $0.81\,\mathrm{W}$

سوال 11.20: برقی بار $Z_L = 90 - j55\,\Omega$ کو 0.12λ لمبائی اور $Z_0 = 70\,\Omega$ قدرتی رکاوٹ کی ترسیلی تار طاقت فراہم کرتی ہے۔ سمتھ نقشہ استعمال کرتے ہوئے بار بردار ترسیلی تار کی داخلی قدرتی رکاوٹ $Z_{\text{داخلی}}$ اور شرح ساکن موج s حاصل کریں۔

جوابات: $38 - j20\,\Omega$ ، $s = 2.05$

سوال 11.21: بے ضیاع ترسیلی تار کی قدرتی رکاوٹ $Z_0 = 400\,\Omega$ ہے۔ تار کو $200\,\mathrm{MHz}$ تعدد پر استعمال کیا جا رہا ہے۔ اس تعدد پر $Z_{\text{داخلی}} = 200 - j200\,\Omega$ ہے۔ تار کی لمبائی $1\,\mathrm{m}$ ہے۔ سمتھ نقشہ استعمال کرتے ہوئے الف) شرح ساکن موج حاصل کریں۔ ب) تار پر نسب برقی بار Z_L حاصل کریں۔ پ) بلند تر برقی دباو کا مقام حاصل کریں۔

جوابات: $s = 2.62$ ، $Z_L = 1040 + j69.8\,\Omega$ ، $z = -7.2\,\mathrm{mm}$

سوال 11.22: بے ضیاع دو متوازی تار پر مبنی ترسیلی تار کی لمبائی $25\,\mathrm{m}$ ، قدرتی رکاوٹ $300\,\Omega$ اور فی میٹر کپیسٹنس $12\,\frac{\mathrm{pF}}{\mathrm{m}}$ ہے۔ نقطہ $z = 0$ پر تار کے ساتھ متوازی جڑے مزاحمت $800\,\Omega$ اور کپیسٹنس $5\,\mathrm{pF}$ کا برقی بار جڑا ہے۔ تعدد $\omega = 10^{10}\,\frac{\mathrm{rad}}{\mathrm{s}}$ پر سمتھ نقشے کے ذریعہ Γ ، s اور $Z_{\text{داخلی}}$ حاصل کریں۔

جوابات: $\Gamma = 0.44 - j0.16$ ، $s = 2.7$ ، $Z_{\text{داخلی}} = 584 + j335\,\Omega$

سوال 11.23: بے ضیاع ترسیلی تار پر $\frac{Z_L}{Z_0} = 2 + j1$ جبکہ $\lambda = 20\,\mathrm{m}$ ہے۔ سمتھ نقشے کے استعمال کرتے ہوئے حل کریں۔ الف) وہ نقطہ دریافت کریں جس پر $z_{\text{داخلی}} = r + j0$ ہو جہاں $r > 1$ ہے۔ ب) اس نقطے پر $z_{\text{داخلی}}$ حاصل کریں۔ پ) اس نقطے پر ترسیلی تار کو کاٹ کر برقی بار جانب حصے کو ہٹایا جاتا ہے جبکہ نئے سرے پر r نسب کیا جاتا ہے۔ ترسیلی تار پر s حاصل کریں۔ ت) نسب کئے گئے r سے کتنے فاصلے پر $\frac{Z_L}{Z_0} = 2 + j1$ ہو گا؟

جوابات: $0.74\,\mathrm{m}$ ، $z_{\text{داخلی}} = 2.61 + j0\,\Omega$ ، $s = 2.61$ ، $9.26\,\mathrm{m}$

سوال 11.24: ترسیلی تار پر $Z_L = 25 + j75\,\Omega$ بار نقطہ $z = 0$ پر جڑی ہے۔ تار کی قدرتی رکاوٹ $Z_0 = 50\,\Omega$ اور اس پر موج کی رفتار $v = c$ ہے۔ بار کے قریبی اس نقطے کو دریافت کریں جس پر داخلی رکاوٹ کا حقیقی جزو $\frac{1}{Z_0}$ کے برابر ہو جبکہ اس کا خیالی جزو منفی قیمت رکھتا ہو۔ اس نقطے پر $y_{\text{داخلی}}$ حاصل کریں۔ اس نقطے پر کتنا کپیسٹر نسب کرنے سے بقایا تار پر $s = 1$ حاصل ہو گا؟

جوابات: $39.6\,\mathrm{cm}$ ، $y_{\text{داخلی}} = 1 - j2.23$ ، $C = 24\,\mathrm{pF}$

سوال 11.25: صفحہ 410 میں شکل 11.17 دکھایا گیا ہے۔ اس میں $Z_0 = 50\,\Omega$ ، $R_g = R_L = 25\,\Omega$ جبکہ منبع کی برقی دباو V_0 ہے۔ لمحہ $t = 0$ پر سوئچ چالو کیا جاتا ہے۔ $0 < t < \frac{8l}{v}$ دورانیے کے لئے بار کی برقی دباو اور منبع کی برقی رو کے خط کھینچیں۔

حل: شکل 11.29 میں دکھائے گئے ہیں۔

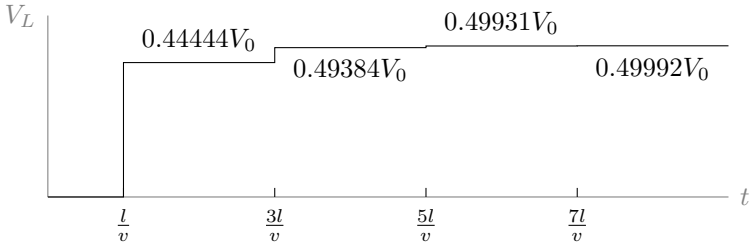

(ا) برقی بار کی برقی دباو بالمقابل وقت۔

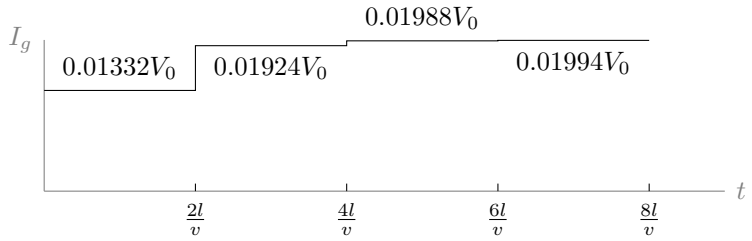

(ب) منبع کی برقی رو بالمقابل وقت۔

شکل 11.29: سوال 11.25 کے خط۔

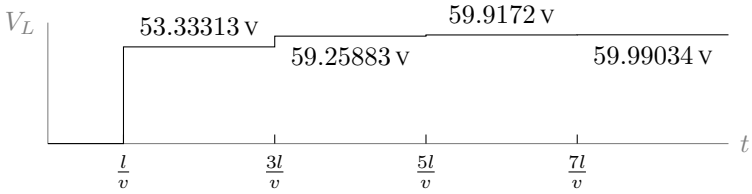

(ا) برقی بار کی برقی دباو بالمقابل وقت۔

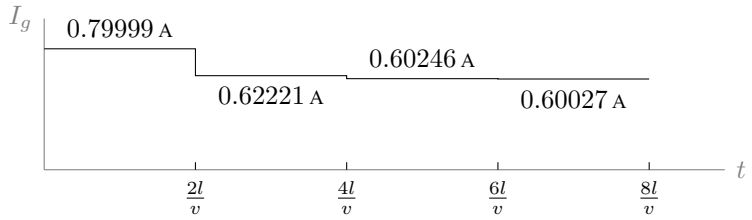

(ب) منبع کی برقی رو بالمقابل وقت۔

شکل 11.30: سوال 11.26 کے خط۔

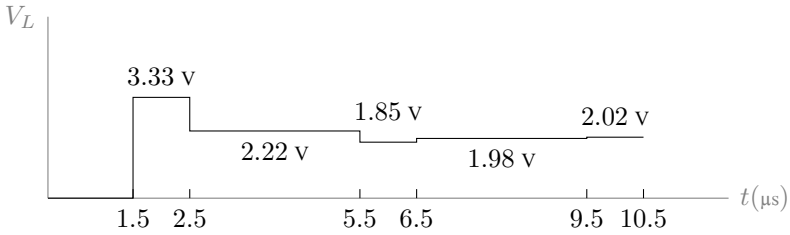

(ا) دئے نقطے کی برقی دباو بالمقابل وقت۔

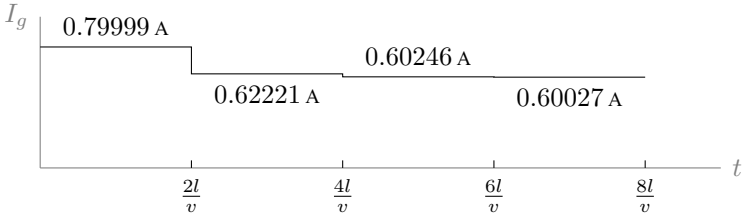

(ب) دئے نقطے کی برقی رو بالمقابل وقت۔

شکل 11.31: سوال 11.27 کے خط۔

سوال 11.26: صفحہ 410 میں شکل 11.17 دکھایا گیا ہے۔اس میں $Z_0 = 50\,\Omega$ ، $R_g = R_L = 100\,\Omega$ جبکہ منبع کی برقی دباو $V_0 = 120\,\text{V}$ ہے۔لمحہ $t = 0$ پر سوئچ چالو کیا جاتا ہے۔ $0 < t < \frac{8l}{v}$ دورانیے کے لئے بار کی برقی دباو اور منبع کی برقی رو کے خط کھینچیں۔

حل: شکل 11.30 میں دکھائے گئے ہیں۔

سوال 11.27: صفحہ 410 میں شکل 11.17 دکھایا گیا ہے۔اس میں $Z_0 = 50\,\Omega$ ، $R_L = 25\,\Omega$ ، $R_g = 100\,\Omega$ جبکہ منبع کی برقی دباو $V_0 = 10\,\text{V}$ ہے۔تار کی لمبائی $480\,\text{m}$ ہے جبکہ تار میں موج کی رفتار $2.4 \times 10^8\,\frac{\text{m}}{\text{s}}$ ہے۔لمحہ $t = 0$ پر سوئچ چالو کیا جاتا ہے۔ $0 < t < \frac{8l}{v}$ دورانیے کے لئے منبع سے $360\,\text{m}$ فاصلے پر برقی دباو اور برقی رو کے خط کھینچیں۔

حل: شکل 11.31 میں دکھائے گئے ہیں۔

سوال 11.28: شکل 11.17 میں $Z_0 = 75\,\Omega$ ، $R_g = R_L = 50\,\Omega$ اور $V_0 = 10\,\text{V}$ ہیں۔لمحہ $t = 0$ پر سوئچ چالو کیا جاتا ہے جبکہ لمحہ $t = \frac{l}{4v}$ پر سوئچ کو دوبارہ منقطع کر دیا جاتا ہے۔برقی بار پر برقی دباو کا خط $0 < t < \frac{8l}{v}$ دورانیے کے لئے کھینچیں۔ جواب: سوئچ چالو کرنے سے $V_1^+ = 6\,\text{V}$ اور $I_1^+ = 0.08\,\text{A}$ امواج پیدا ہوتے ہیں۔سوئچ منقطع کرنے سے برقی رو صفر ہو جاتی ہے۔جس کا مطلب ہے کہ اب $I_1'^+ = -0.08\,\text{A}$ کی موج پیدا ہوئی ہے یعنی برقی دباو کی موج $V_1'^+ = -6\,\text{V}$ کی موج پیدا ہوئی ہے۔برقی دباو کے دونوں امواج مل کر مستطیل موج کو جنم دیتے ہیں۔شکل 11.32 میں نتائج دکھائے گئے ہیں۔

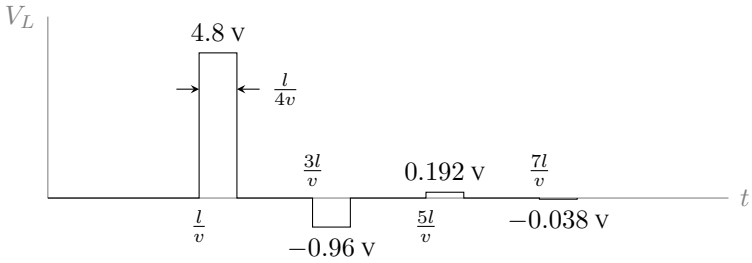

شکل 11.32: سوال 11.28 میں برقی بار پر مستطیل برقی دباو۔

باب 12

ترچھی آمد، انعکاس، انحراف اور انکسار

دو خطوں کے سرحد پر عمودی آمدی موج کے انعکاس اور ترسیل پر باب 10 میں غور کیا گیا۔اس باب میں ترچھی آمدی موج کی بات کرتے ہوئے انعکاس اور ترسیل کے علاوہ انحراف اور انکسار کی بھی بات کی جائے گی۔عمودی امواج اور ترسیلی تار کے مساوات ہو بہو ایک جیسے تھے۔ترچھی آمدی موج کی مساوی مثال ترسیلی تار میں نہیں پائی جاتی۔یہی وجہ ہے کہ ان پر یہاں علیحدہ سے غور کیا جا رہا ہے۔

12.1 ترچھی آمد

عمودی قطبی برقی موج $\boldsymbol{E}_\perp$

شکل 12.1 میں سرحد پر ترچھی آمد موج دکھائی گئی ہے۔دو خطوں کا سرحد $y = 0$ سطح پر پایا جاتا ہے لہٰذا y محدد، سرحد کے عمودی ہے۔پہلے خطے (خطہ-1) میں آمدی برقی موج کے حرکت کی سمت y محدد کے ساتھ θ_i زاویہ آمد[1] بناتی ہے جبکہ اسی خطے میں انعکاسی برقی موج کے حرکت کی سمت y محدد کے ساتھ θ_r زاویہ انعکاس[2] بناتی ہے۔ترسیلی موج کے حرکت کی سمت دوسرے خطے (خطہ-2) میں منفی y محدد کے ساتھ θ_t زاویہ بناتی ہے۔ترسیلی موج کو انحرافی موج بھی کہا جاتا ہے لہٰذا θ_t زاویہ انحراف[3] کہلاتی ہے۔پہلے خطے کے مستقل $\epsilon_1, \mu_1, \sigma_1$ جبکہ دوسرے خطے کے مستقل $\epsilon_2, \mu_2, \sigma_2$ ہیں۔

ہم دو صورتوں پر باری باری غور کریں گے۔پہلی صورت میں برقی میدان سطح آمد (یعنی xy سطح) کے عمودی ہو گا جبکہ دوسری صورت میں برقی میدان اس سطح کے متوازی ہو گا۔ان دو صورتوں میں برقی موج بالترتیب عمودی قطب موج[4] اور متوازی قطب موج[5] کہلائیں گے۔شکل 12.1 عمودی قطبیت کی صورت حال دکھا رہی ہے۔کسی بھی عمومی برقی موج کو عمودی اور متوازی قطب کے امواج کا مجموعہ لکھا جا سکتا ہے۔

منفی z سمت میں حرکت کرتی $\boldsymbol{a}_\mathrm{x}$ میدان کی برقی موج

$$\boldsymbol{E}_i = E_0 \boldsymbol{a}_\mathrm{x} e^{j(\omega t + \beta_1 z)}$$

[1] incidence angle
[2] reflection angle
[3] refraction angle
[4] perpendicular polarized
[5] parallel polarized

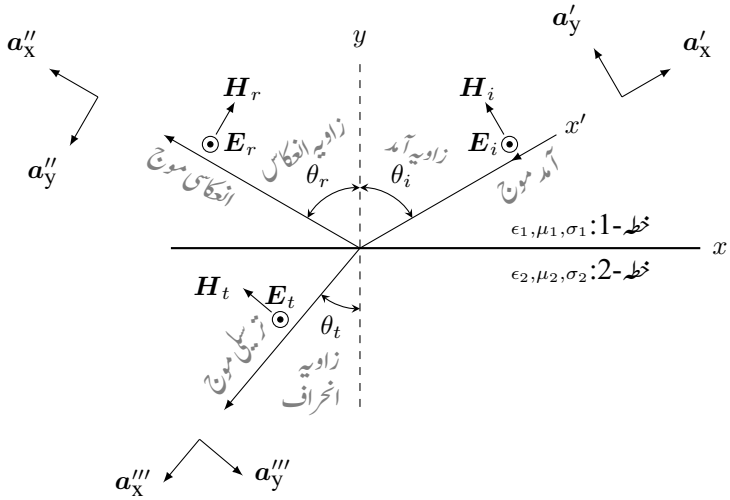

شکل 12.1: ترچھی آمد کی صورت میں انعکاسی اور ترسیلی امواج اور ان کے زاویے۔برقی میدان عمودی قطبیت رکھتی ہے۔

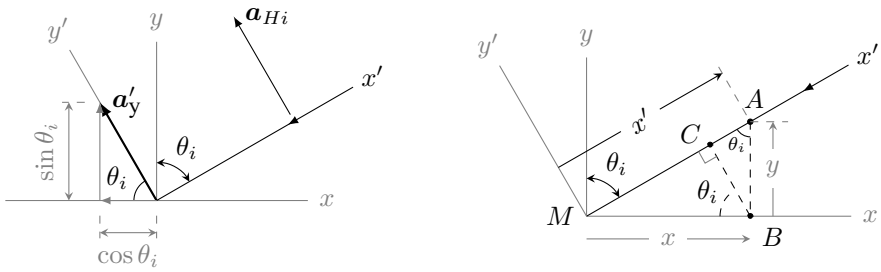

(ب) اکائی سمتیہ کا کارتیسی محدد میں اظہار۔

(ا) فاصلے کا کارتیسی محدد میں اظہار۔

شکل 12.2: کسی بھی سمت میں فاصلے اور اکائی سمتیہ کو کارتیسی محدد میں لکھنے کا طریقہ۔

لکھی جاتی ہے۔اس موج میں برقی میدان ہر نقطے پر تمام اوقات a_x سمت میں ہو گا جبکہ حرکت کی سمت منفی z جانب ہے۔اب a_x اکائی سمتیہ کی جگہ کسی بھی عمومی اکائی سمتیہ a سمت کا میدان جو z محدد کی بجائے لکیر l پر منفی سمت کی جانب حرکت کر رہا ہو، کی موج

$$\boldsymbol{E}_i = E_0 \boldsymbol{a} e^{j(\omega t + \beta_1 l)}$$

لکھی جائے گی۔اب شکل 12.1 میں $\boldsymbol{E}_i$ پر دوبارہ غور کریں۔یہ میدان x' پر منفی سمت میں حرکت کر رہی ہے جبکہ برقی میدان $\boldsymbol{E}_i$ کی سمت a_z ہے لہٰذا اس موج کو

$$\boldsymbol{E}_i = E_0 \boldsymbol{a}_z e^{j(\omega t + \beta_1 x')} \tag{12.1}$$

لکھا جا سکتا ہے جہاں کارتیسی محدد x, y کے مرکز سے لکیر x' پر فاصلہ ناپا گیا ہے۔آئیں مساوات 12.1 میں لکیر x' پر فاصلے کو کارتیسی محدد x, y کے متغیرات استعمال کرتے ہوئے ناپیں۔

4165

شکل 12.2-الف میں آمد موج اور محدد xy دوبارہ دکھائے گئے ہیں۔اس شکل میں لکیر x' کو محدد $x'y'$ کا حصہ دکھایا گیا ہے۔ان دونوں محدد کا مرکز نقطہ M ہے۔لکیر x' پر نقطہ A کا مرکز سے فاصلہ MA کو x' لکھا گیا ہے۔اب $MA = MC + CA$ کے برابر ہے جہاں $MC = x \sin\theta_i$ اور $CA = y \cos\theta_i$ کے برابر ہیں لہٰذا

$$x' = x \sin\theta_i + y \cos\theta_i \tag{12.2}$$

لکھا جا سکتا ہے جس سے ہم مساوات 12.1 کو

$$\boldsymbol{E}_i = E_0 \boldsymbol{a}_{\mathrm{z}} e^{j[\omega t + \beta_1 (x \sin\theta_i + y \cos\theta_i)]} \tag{12.3}$$

لکھ سکتے ہیں۔اس مساوات میں موج گھٹتے x' کی طرف رواں ہے۔

آمدی موج کی بات کرتے ہوئے کارتیسی محدد $x'y'$ کا سہارا لیا جاتا ہے جس کے اکائی سمتیات $\boldsymbol{a}'_{\mathrm{x}}$ اور $\boldsymbol{a}'_{\mathrm{y}}$ کو شکل 12.1 میں لکیر x' کے قریب دکھایا گیا ہے۔اسی طرح انعکاسی موج پر غور کے دوران کارتیسی محدد $x''y''$ اور ترسیلی موج میں $x'''y'''$ کا سہارا لیا جاتا ہے۔ان کے اکائی سمتیات کو بالترتیب انعکاسی اور ترسیلی امواج کے قریب شکل 12.1 میں دکھایا گیا ہے۔ان تینوں محدد کے مرکز نقطہ M پر پائے جاتے ہیں۔

آمدی برقی اور مقناطیسی میدان x' کے عمودی ہیں۔برقی میدان کی سمت $\boldsymbol{a}_{\mathrm{z}}$ (یا $\boldsymbol{a}'_{\mathrm{z}}$) ہے جہاں $\boldsymbol{a}_{\mathrm{z}}$ اور $\boldsymbol{a}'_{\mathrm{z}}$ دونوں ایک ہی سمت کو ظاہر کرتے ہیں۔مقناطیسی میدان $\boldsymbol{H}_i$ کی اکائی سمتیہ $\boldsymbol{a}_{Hi}$ محدد y' کی سمت میں ہے۔یوں $\boldsymbol{a}_{Hi} = \boldsymbol{a}'_y$ لکھا جا سکتا ہے۔آئیں $\boldsymbol{a}'_{\mathrm{y}}$ کو کارتیسی محدد x, y کے متغیرات کی صورت میں شکل 12.2-ب کی مدد سے لکھیں۔اکائی سمتیہ $\boldsymbol{a}'_{\mathrm{y}}$ کو دو سمتیوں کے مجموعے کے طور پر دکھایا گیا ہے۔چونکہ اکائی سمتیہ کی لمبائی ایک کے برابر ہوتی ہے لہٰذا شکل میں تکون کے وتر کی لمبائی اکائی ہے۔یوں تکون کا قاعدہ $\cos\theta_i$ اور اس کا عمود $\sin\theta_i$ کے برابر ہوں گے جس سے

$$\boldsymbol{a}'_{\mathrm{y}} = -\cos\theta_i \boldsymbol{a}_{\mathrm{x}} + \sin\theta_i \boldsymbol{a}_{\mathrm{y}} \tag{12.4}$$

لکھا جا سکتا ہے۔ان معلومات کو استعمال کرتے ہوئے آمدی مقناطیسی موج

$$\boldsymbol{H}_i = \frac{E_0}{\eta_1} \boldsymbol{a}'_{\mathrm{y}} e^{j(\omega t + \beta_1 x')}$$

کو

$$\boldsymbol{H}_i = \frac{E_0}{\eta_1} (-\cos\theta_i \boldsymbol{a}_{\mathrm{x}} + \sin\theta_i \boldsymbol{a}_{\mathrm{y}}) e^{j[\omega t + \beta_1 (x \sin\theta_i + y \cos\theta_i)]} \tag{12.5}$$

لکھا جا سکتا ہے۔

مساوات 12.3 اور مساوات 12.5 کے مساوی دوری سمتی مساوات مندرجہ ذیل ہیں۔

$$\boldsymbol{E}_{si} = \boldsymbol{a}_{\mathrm{z}} E_0 e^{j\beta_1 (x \sin\theta_i + y \cos\theta_i)} \tag{12.6}$$

$$\boldsymbol{H}_{si} = (-\cos\theta_i \boldsymbol{a}_{\mathrm{x}} + \sin\theta_i \boldsymbol{a}_{\mathrm{y}}) \frac{E_0}{\eta_1} e^{j\beta_1 (x \sin\theta_i + y \cos\theta_i)} \tag{12.7}$$

مساوات 10.80 شرح انعکاس جبکہ مساوات 10.82 شرح ترسیل کی تعریف بیان کرتے ہیں۔عین سرحد پر عمودی ($\perp$) قطب کے میدان کے لئے ان مساوات کو

$$\begin{aligned} \Gamma_\perp &= \frac{E_r}{E_i} \\ \tau_\perp &= \frac{E_t}{E_i} \end{aligned} \tag{12.8}$$

لکھا جائے گا۔

شکل 12.3-الف میں صرف انعکاسی موج دکھائی گئی ہے۔مرکز M سے موج کا فاصلہ x'' لیتے ہوئے برقی موج کی مساوات حاصل کرتے ہیں۔اب $MA = MC + CA$ کے برابر ہے جہاں $MC = -x \sin\theta_r$ اور $CA = y \cos\theta_r$ کے برابر ہیں لہٰذا

$$x'' = -x \sin\theta_r + y \cos\theta_r \tag{12.9}$$

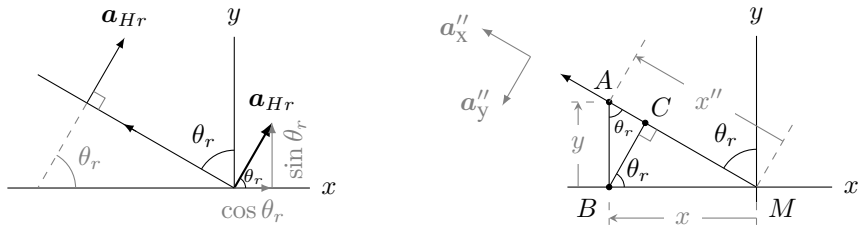

(ا) انعکاسی موج کے فاصلے کی کارتیسی محدد میں اظہار۔ (ب) انعکاسی مقناطیسی موج کی اکائی سمتیہ کا کارتیسی محدد میں اظہار۔

شکل 12.3: انعکاسی موج کے متغیرات کا کارتیسی محدد میں اظہار۔

لکھا جائے گا۔ چونکہ منفی محدد پر x کی قیمت منفی ہو گی لہٰذا MC حاصل کرتے وقت منفی علامت کی ضرورت ہو گی۔ یوں مثبت x'' سمت میں حرکت کرتی انعکاسی برقی موج

$$\begin{aligned}\boldsymbol{E}_{sr} &= \boldsymbol{a}_{\mathrm{z}}\Gamma_\perp E_0 e^{-j\beta_1 x''}\\ &= \boldsymbol{a}_{\mathrm{z}}\Gamma_\perp E_0 e^{-j\beta_1(-x\sin\theta_r + y\cos\theta_r)}\end{aligned} \tag{12.10}$$

لکھی جائے گی جہاں میدان کی سمت $\boldsymbol{a}''_{\mathrm{z}}$ یعنی $\boldsymbol{a}_{\mathrm{z}}$ ہے۔

انعکاسی مقناطیسی موج کی مساوات لکھنے کی خاطر مقناطیسی میدان کی اکائی سمتیہ درکار ہے۔ شکل 12.3-ب میں انعکاسی مقناطیسی میدان کی سمت میں اکائی سمتیہ $\boldsymbol{a}_H$ دکھائی گئی ہے جو x محدد کے ساتھ θ_r زاویہ بناتی ہے۔ اکائی سمتیہ کو محدد کے مرکز پر دو سمتیات کے مجموعے کے طور پر بھی دکھایا گیا ہے جہاں سے

$$\boldsymbol{a}_{Hr} = \cos\theta_r \boldsymbol{a}_{\mathrm{x}} + \sin\theta_r \boldsymbol{a}_{\mathrm{y}} \tag{12.11}$$

لکھا جا سکتا ہے لہٰذا انعکاسی مقناطیسی موج

$$\boldsymbol{H}_{sr} = (\cos\theta_r \boldsymbol{a}_{\mathrm{x}} + \sin\theta_r \boldsymbol{a}_{\mathrm{y}})\Gamma_\perp \frac{E_0}{\eta_1} e^{-j\beta_1(-x\sin\theta_r + y\cos\theta_r)} \tag{12.12}$$

لکھی جا سکتی ہے۔ شکل سے واضح ہے کہ $\boldsymbol{a}_{Hr} = -\boldsymbol{a}''_{\mathrm{y}}$ ہے۔

یہی طریقہ کار استعمال کرتے ہوئے ترسیلی امواج کے مساوات یوں لکھے جا سکتے ہیں

$$\boldsymbol{E}_{st} = \boldsymbol{a}_{\mathrm{z}}\tau_\perp E_0 e^{j\beta_2(x\sin\theta_t + y\cos\theta_t)} \tag{12.13}$$

$$\boldsymbol{H}_{st} = (-\cos\theta_t \boldsymbol{a}_{\mathrm{x}} + \sin\theta_t \boldsymbol{a}_{\mathrm{y}})\tau_\perp \frac{E_0}{\eta_2} e^{j\beta_2(x\sin\theta_t + y\cos\theta_t)} \tag{12.14}$$

جہاں ترسیلی امواج کارتیسی محدد کے مرکز سے بڑھتے فاصلے کی طرف رواں ہیں۔ یہاں غور کریں کہ دوسرے خطے میں امواج کے مساوات میں مستقل β_2 اور η_2 استعمال کئے گئے ہیں۔

صفحہ 298 پر مساوات 9.45 برقی میدان کی سرحدی شرط پیش کرتی ہے جس کے مطابق سرحد کے دونوں اطراف متوازی برقی میدان برابر ہوں گے۔ برقی میدان کی شرط مساوات 12.6، مساوات 12.10 اور مساوات 12.13 میں $y = 0$ پر کرتے ہوئے یوں

$$\boldsymbol{a}_{\mathrm{z}} E_0 e^{j\beta_1(x\sin\theta_i + 0\cos\theta_i)} + \boldsymbol{a}_{\mathrm{z}}\Gamma_\perp E_0 e^{-j\beta_1(-x\sin\theta_r + 0\cos\theta_r)} = \boldsymbol{a}_{\mathrm{z}}\tau_\perp E_0 e^{j\beta_2(x\sin\theta_t + 0\cos\theta_t)}$$

یا

$$e^{j\beta_1 x\sin\theta_i} + \Gamma_\perp e^{j\beta_1 x\sin\theta_r} = \tau_\perp e^{j\beta_2 x\sin\theta_t} \tag{12.15}$$

لکھی جا سکتی ہے۔یہ مساوات کسی بھی x کے لئے درست ہے لہٰذا یہ $x=0$ کے لئے بھی درست ہو گی۔اس میں $x=0$ پر کرنے سے

$$1+\Gamma_\perp=\tau_\perp \tag{12.16}$$

ملتا ہے۔مساوات 12.15 میں x کی قیمت تبدیل کرنے سے e کے طاقت تبدیل ہوتے ہیں۔یوں یہ مساوات صرف اور صرف اس صورت x کے ہر قیمت کے لئے درست ہو گی جب مساوات میں تینوں e کے طاقت ہر صورت برابر ہوں یعنی

$$e^{j\beta_1 x\sin\theta_i}=e^{j\beta_1 x\sin\theta_r}=e^{j\beta_2 x\sin\theta_t} \tag{12.17}$$

اب پہلی دو اجزاء کے مساوات سے

$$\theta_i=\theta_r \tag{12.18}$$

اور آخری دو اجزاء کی مساوات سے

$$\beta_2\sin\theta_t=\beta_1\sin\theta_r \tag{12.19}$$

ملتا ہے جس میں مساوات 12.18 پر کرنے سے

$$\sin\theta_t=\frac{\beta_1}{\beta_2}\sin\theta_i$$

اور صفحہ 323 پر دیے، بے ضیاع خطے کی مساوات 10.40 پر کرنے سے

$$\sin\theta_t=\frac{\omega\sqrt{\mu_1\epsilon_1}}{\omega\sqrt{\mu_2\epsilon_2}}\sin\theta_i=\frac{\sqrt{\mu_1\epsilon_1}}{\sqrt{\mu_2\epsilon_2}}\sin\theta_i \tag{12.20}$$

یعنی

$$\begin{aligned}\sin\theta_t&=\frac{\sqrt{\mu_{r1}\mu_0\epsilon_{r1}\epsilon_0}}{\sqrt{\mu_{r2}\mu_0\epsilon_{r2}\epsilon_0}}\sin\theta_i\\&=\frac{\sqrt{\mu_{r1}\epsilon_{r1}}}{\sqrt{\mu_{r2}\epsilon_{r2}}}\sin\theta_i \qquad \text{قانون ابن سھل کی عمومی مساوات}\end{aligned} \tag{12.21}$$

حاصل ہوتا ہے۔ 4176

غیر مقناطیسی اور بے ضیاع خطے میں بصری امواج پر تبصرے کے دوران عموماً انحرافی مستقل[6] n استعمال کیا جاتا ہے جہاں

$$\sqrt{\epsilon_R}=n$$

کے برابر ہے۔بے ضیاع، غیر مقناطیسی خطے میں مساوات 12.21 کو

$$\sin\theta_t=\frac{n_1}{n_2}\sin\theta_i \qquad \text{قانون ابن سھل، غیر مقناطیسی خطے} \tag{12.22}$$

لکھا جا سکتا ہے جہاں

$$\begin{aligned}n_1&=\sqrt{\epsilon_{r1}}\\n_2&=\sqrt{\epsilon_{r2}}\end{aligned} \tag{12.23}$$

[6] index of refraction

غیر مقناطیسی خطوں کے انحرافی مستقل ہیں۔انحرافی مستقل کو استعمال کرتے ہوئے، بے ضیاع اور غیر مقناطیسی خطے میں

$$\beta = \omega\sqrt{\mu\epsilon} = \omega\sqrt{\mu_0\epsilon_0}\sqrt{\epsilon_R} = \frac{\omega n}{c} \tag{12.24}$$

$$\eta = \sqrt{\frac{\mu}{\epsilon}} = \frac{1}{\sqrt{\epsilon_R}}\sqrt{\frac{\mu_0}{\epsilon_0}} = \frac{\eta_0}{n} \tag{12.25}$$

لکھے جا سکتے ہیں۔اسی طرح دوری رفتار اور خطے میں طول موج کو

$$v = \frac{c}{n} \tag{12.26}$$

$$\lambda = \frac{\lambda_0}{n} \tag{12.27}$$

لکھا جا سکتا ہے جہاں λ_0 خالی خلاء میں طول موج ہے۔

مساوات 12.18 کہتا ہے کہ آمدی اور انعکاسی زاویے برابر ہیں۔مساوات 12.22 جسے ابن سھل[7] کا قانون انحراف کہتے ہیں زاویہ انحراف اور زاویہ آمد کا تعلق بیان کرتا ہے۔یہ قانون مغربی دنیا میں قانون سنیل[8] سے جانا جاتا ہے۔بصریات[9] کے میدان میں قانون ابن سھل بنیادی اہمیت رکھتا ہے۔مساوات 12.21 مقناطیسی خطے میں لاگو قانون ابن سھل دیتی ہے۔

مثال 12.1: ہوا سے $\theta_i = 30^\circ$ زاویے پر شیشے میں عمودی تقطیب کی موج داخل ہوتی ہے۔پانی میں انحرافی موج کا زاویہ θ_t حاصل کریں۔اگر شیشے سے خلاء میں موج اسی زاویے سے داخل ہو تب θ_t کیا ہو گا۔شیشے کا جزوی برقی مستقل $\epsilon_r = 2.3$ لیں۔

حل: خلاء کا جزوی برقی مستقل $\epsilon_r = 1$ لیتے ہوئے، خلاء سے شیشے میں دخول پر

$$\sin\theta_t = \frac{\sqrt{1}}{\sqrt{2.3}}\sin 30^\circ = 0.32969$$

سے

$$\theta_t = \sin^{-1} 0.32969 = 19.25^\circ$$

حاصل ہوتا ہے جبکہ شیشے سے خلاء میں دخول پر

$$\sin\theta_t = \frac{\sqrt{2.3}}{\sqrt{1}}\sin 30^\circ = 0.758288$$

سے

$$\theta_t = \sin^{-1} 0.758288 = 49.3^\circ$$

حاصل ہوتا ہے۔

---

[7] بغداد کے أبو سعد العلاء ابن سھل نے اس قانون کو سن 984 میں دریافت کیا۔
[8] Snell's law
[9] optics

صفحہ 299 پر مساوات 9.49 مقناطیسی میدان کی سرحدی شرط بیان کرتا ہے جس کے مطابق سرحد کے دونوں اطراف پر متوازی مقناطیسی میدان برابر ہوں گے۔ شکل 12.1 میں آمدی، انعکاسی اور انحرافی مقناطیسی میدان $\boldsymbol{a}_x$ اور $\boldsymbol{a}_y$ اجزاء پر مشتمل ہیں۔ان میں صرف $\boldsymbol{a}_x$ اجزاء سرحد کے متوازی ہیں لہٰذا مساوات 12.7، مساوات 12.12 اور مساوات 12.14 کے $\boldsymbol{a}_x$ اجزاء میں $y = 0$ پر کرتے ہوئے مقناطیسی سرحدی شرط سے

$$-\cos\theta_i \frac{E_0}{\eta_1} e^{j\beta_1 x \sin\theta_i} + \cos\theta_r \Gamma_\perp \frac{E_0}{\eta_1} e^{-j\beta_1(-x\sin\theta_r)} = -\cos\theta_t \tau_\perp \frac{E_0}{\eta_2} e^{j\beta_2(x\sin\theta_t)}$$

یا

$$-\cos\theta_i e^{j\beta_1 x \sin\theta_i} + \cos\theta_r \Gamma_\perp e^{j\beta_1 x \sin\theta_r} = -\cos\theta_t \tau_\perp \frac{\eta_1}{\eta_2} e^{j\beta_2 x \sin\theta_t}$$

حاصل ہوتا ہے جسے مساوات 12.18 اور مساوات 12.19 کے استعمال سے

$$-\cos\theta_i + \cos\theta_i \Gamma_\perp = -\cos\theta_t \tau_\perp \frac{\eta_1}{\eta_2}$$

لکھا جا سکتا ہے۔اس میں مساوات 12.16 سے $\tau_\perp$ کی قیمت پر کرتے ہوئے

$$\Gamma_\perp = \frac{\eta_2 \cos\theta_i - \eta_1 \cos\theta_t}{\eta_2 \cos\theta_i + \eta_1 \cos\theta_t} \tag{12.28}$$

حاصل ہوتا ہے۔صفحہ 343 پر مساوات 10.80 موجودہ مساوات میں $\theta_i = 0^\circ$ پر کرنے سے حاصل ہوتا ہے۔ 4186

اگر خطہ-2 کامل موصل ہو تب $\eta_2 = 0$ ہو گا جس سے $\Gamma_\perp = -1$ حاصل ہوتا ہے۔اگر دونوں خطے غیر مقناطیسی، بے ضیاع ذو برق ہوں تب مساوات 12.20 کی مدد سے

$$\Gamma_\perp = \frac{\cos\theta_i - \sqrt{\frac{\epsilon_2}{\epsilon_1} - \sin^2\theta_i}}{\cos\theta_i + \sqrt{\frac{\epsilon_2}{\epsilon_1} - \sin^2\theta_i}} \tag{12.29}$$

حاصل ہوتا ہے۔خطہ-2 کا برقی مستقل خطہ-1 کے برقی مستقل سے زیادہ ہونے کی صورت $(\epsilon_2 > \epsilon_1)$ میں $\frac{\epsilon_2}{\epsilon_1} > 1$ ہو گا جبکہ سائن کی زیادہ سے زیادہ ممکن قیمت اکائی ہے لہٰذا $\sin^2\theta_i \leq 1$ ہو گا اور یوں جزر کے اندر مقدار مثبت رہے گی جس سے $\Gamma_\perp$ حقیقی عدد حاصل ہوتا ہے۔اس کے برعکس $\epsilon_2 < \epsilon_1$ کی صورت میں اگر $\sin^2\theta_i > \frac{\epsilon_2}{\epsilon_1}$ ہو تب جزر کے اندر منفی مقدار ہو گی لہٰذا $\Gamma_\perp$ خیالی عدد ہو گا۔ایسی صورت میں $|\Gamma_\perp| = 1$ ہوتا ہے اور سرحد پر مکمل اندرونی انعکاس[10] سے پوری کی پوری موج زیادہ برقی مستقل کے خطے میں سرحد سے واپس لوٹتی ہے۔جس زاویہ آمد پر $\Gamma_\perp = 1$ ہو اسے زاویہ فاصل[11] پکارا جاتا ہے۔یوں زاویہ فاصل

$$\theta_{i,\text{ف}} = \sin^{-1}\sqrt{\frac{\epsilon_2}{\epsilon_1}} \tag{12.30}$$

کے برابر ہے۔غیر مقناطیسی خطوں کا مقناطیسی مستقل μ_0 لیتے ہوئے، فاصل زاویے سے بڑے زاویے $(\theta_i > \theta_{i,\text{ف}})$ کی صورت میں مساوات 12.20 سے $\sin\theta_t > 1$ حاصل ہوتا ہے جس سے $\cos\theta_t$ خیالی عدد حاصل ہو گا

$$\cos\theta_t = \sqrt{1 - \sin^2\theta_t} = \sqrt{1 - \frac{\epsilon_1}{\epsilon_2}\sin^2\theta_i} = jA \tag{12.31}$$

جہاں $A = \sqrt{\frac{\epsilon_1}{\epsilon_2}\sin^2\theta_i - 1}$ حقیقی عدد ہے۔یوں کم کثافت کے خطے میں مساوات 12.13 کی مدد سے میدان

$$\begin{aligned}\boldsymbol{E}_{st} &= \boldsymbol{a}_z \tau_\perp E_0 e^{j\beta_2(x\sin\theta_t + yjA)} \\ &= \boldsymbol{a}_z \tau_\perp E_0 e^{-\beta_2 A y} e^{j\beta_2 x \sin\theta_t}\end{aligned}$$

---

[10] total internal reflection
[11] critical angle

یا

$$\boldsymbol{E}_{st} = \boldsymbol{a}_z \tau_\perp E_0 e^{-\alpha y} e^{j\beta_2 x \sin\theta_t} \tag{12.32}$$

لکھا جا سکتا ہے جہاں

$$\alpha = \beta_2 A = \omega\sqrt{\mu_2\epsilon_2}\sqrt{\frac{\epsilon_1}{\epsilon_2}\sin^2\theta_i - 1} \tag{12.33}$$

کے برابر ہے۔ یہ میدان کم کثافت خطے میں $x-$ جانب بے ضیاع حرکت کرتی ہے۔ سرحد پر $E_\perp$ کی مقدار $\tau_\perp E_0$ ہے جو سرحد سے دور چلتے ہوئے $e^{-\alpha y}$ کی شرح سے گھٹتی ہے۔ مساوات 12.32 کے طرز کی موج کو سطحی موج[12] کہتے ہیں۔ سطحی موج سرحد کے ساتھ چمٹی رہتی ہے۔

مثال 12.2: پانی سے ہوا کی جانب سرحد پر آمدی موج $\theta_i = 55^\circ$ زاویہ رکھتی ہے۔ ہوا میں انحرافی موج کی قیمت سرحد پر اور سرحد سے $\frac{\lambda}{4}$ فاصلے پر حاصل کریں۔ سرحد پر آمدی برقی میدان $E_i = 1\ \frac{\mathrm{V}}{\mathrm{m}}$ ہے۔ پانی کے مستقل $\epsilon_r = 80$، $\mu_r = 1$ اور $\sigma = 0$ لیں۔

حل: مساوات 12.30 سے فاصل زاویہ

$$\theta_{i,\text{ف}} = \sin^{-1}\sqrt{\frac{1}{80}} = 6.42^\circ$$

حاصل ہوتا ہے۔ چونکہ آمدی زاویہ اس سے زیادہ ہے لہٰذا مکمل اندرونی انعکاس پائی جائے گی۔ مساوات 12.20 سے

$$\sin\theta_t = \sqrt{\frac{\mu_0 \times 80 \times \epsilon_0}{\mu_0 \times 1 \times \epsilon_0}}\sin 55^\circ = 7.327$$

اور مساوات 12.31 سے

$$\cos\theta_t = jA = \sqrt{1 - 7.327^2} = j7.258$$

حاصل ہوتے ہیں۔ یوں

$$\alpha = \beta_2 A = \frac{2\pi}{\lambda_0}7.258 = \frac{45.6}{\lambda_0}\ \frac{\mathrm{Np}}{\mathrm{m}}$$

ہو گا۔ مساوات 12.29 سے

$$\Gamma_\perp = \frac{\cos 55^\circ - \sqrt{\frac{1}{80} - \sin^2 55^\circ}}{\cos 55^\circ + \sqrt{\frac{1}{80} - \sin^2 55^\circ}} = -0.33369 - j0.94268$$

اور مساوات 12.16 سے

$$\tau_\perp = 1 + \Gamma_\perp = 0.66631 - j0.94268 = 1.1544\underline{/-54.746^\circ}$$

- اس طرح ہوا میں سرحد پر $|E_t| = 1.1544 \times 1 = 1.1544\ \frac{\mathrm{V}}{\mathrm{m}}$ ہو گا۔
- ہوا میں سرحد سے $\frac{\lambda}{4}$ فاصلے پر

$$|E_t| = 1.1544 \times 1 \times e^{-\frac{45.6}{\lambda_0}\frac{\lambda_0}{4}} = 12.9\ \frac{\mu\mathrm{V}}{\mathrm{m}}$$

ہو گا۔

---

[12] surface wave

آپ دیکھ سکتے ہیں کہ ہوا میں میدان سرحد کے قریب رہتا ہے۔ سرحد سے کچھ ہی فاصلے پر میدان کی قیمت قابل نظر انداز ہو جاتی ہے۔ یاد رہے کہ $\sin\theta_t$ حقیقی عدد ہے جس کی قیمت اکائی سے زیادہ ہے جبکہ $\cos\theta_t$ خیالی عدد ہے۔ مساوات 12.32 اور مساوات 12.14 سے ہوا میں برقی اور مقناطیسی امواج

$$\begin{aligned}
\boldsymbol{E}_{st} &= \boldsymbol{a}_{\mathrm{z}}\tau_\perp E_0 e^{-\beta_2 Ay} e^{j\beta_2 x\sin\theta_t}\\
\boldsymbol{H}_{st} &= (-jA\boldsymbol{a}_{\mathrm{x}} + \sin\theta_t \boldsymbol{a}_{\mathrm{y}})\tau_\perp \frac{E_0}{\eta_2} e^{-\beta_2 Ay} e^{j\beta_2 x\sin\theta_t}\\
&= (-jA\boldsymbol{a}_{\mathrm{x}} + \sin\theta_t \boldsymbol{a}_{\mathrm{y}})\tau_\perp \frac{E_0}{|\eta_2|} e^{-\beta_2 Ay} e^{(j\beta_2 x\sin\theta_t - j\theta_\eta)}
\end{aligned}$$

لکھے جائیں گے جہاں $\eta = |\eta|\, e^{j\theta_\eta}$ کا استعمال کیا گیا۔ ہوا میں سرحد سے دور $\boldsymbol{a}_{\mathrm{y}}$ سمت میں اوسط طاقت کی منتقلی صفحہ 332 پر مساوات 10.56

$$\boldsymbol{\mathscr{P}}_{\text{اوسط}} = \frac{1}{2}\left[\boldsymbol{E}_{\mathrm{s}} \times \boldsymbol{H}_{\mathrm{s}}^*\right]_{\text{حقیقی}}$$

کی مدد حاصل کرتے ہیں۔ مقناطیسی میدان کا $\boldsymbol{a}_{\mathrm{y}}$ جزو اس منتقلی میں کوئی کردار ادا نہیں کرتا لہٰذا اس کا صرف $\boldsymbol{a}_{\mathrm{x}}$ جزو لیا جائے گا۔ جوڑی دار مخلوط مقناطیسی میدان $\boldsymbol{H}_{\mathrm{s}}^*$ لکھتے ہوئے $\boldsymbol{H}_{\mathrm{s}}$ میں تمام مقامات پر j کی علامت مثبت سے منفی اور منفی سے مثبت کر دی جاتی ہے۔

$$\begin{aligned}
\frac{1}{2}\boldsymbol{E}_{\mathrm{s}} \times \boldsymbol{H}_{\mathrm{s}}^* &= \frac{1}{2}\left[\boldsymbol{a}_{\mathrm{z}}\tau_\perp E_0 e^{-\beta_2 Ay} e^{j\beta_2 x\sin\theta_t}\right] \times \left[jA\boldsymbol{a}_{\mathrm{x}}\tau_\perp \frac{E_0}{|\eta_2|} e^{-\beta_2 Ay} e^{(-j\beta_2 x\sin\theta_t + j\theta_\eta)}\right]\\
&= \boldsymbol{a}_{\mathrm{y}} \frac{\tau_\perp^2 E_0^2}{2|\eta_2|} e^{-2\beta_2 Ay}\left[j\cos\theta_\eta - \sin\theta_\eta\right]
\end{aligned}$$

کا حقیقی جزو لیتے ہوئے

$$\boldsymbol{\mathscr{P}}_{\text{اوسط}} = -\boldsymbol{a}_{\mathrm{y}} \frac{\tau_\perp^2 E_0^2}{2|\eta_2|} e^{-2\beta_2 Ay}\sin\theta_\eta$$

حاصل ہوتا ہے۔ ہوا میں η حقیقی عدد ہے لہٰذا $\theta_\eta = 0$ ہو گا اور چونکہ $\sin 0 = 0$ ہوتا ہے لہٰذا اوسط طاقت کی منتقلی

$$\boldsymbol{\mathscr{P}}_{\text{اوسط}} = -\boldsymbol{a}_{\mathrm{y}} \frac{\tau_\perp^2 E_0^2}{2|\eta_2|} e^{-2\beta_2 Ay}\sin 0^\circ = 0$$

صفر ہو گی۔ یوں کم کثافتی خطے میں مکمل اندرونی انعکاس کی صورت میں اوسطاً کوئی طاقت منتقل نہیں ہو گا اور برقی اور مقناطیسی امواج سرحد کے قریب ہی رہتی ہیں۔ ایسی امواج کو فنا پذیر امواج[13] کہتے ہیں۔

کم کثافتی خطے یعنی ہوا میں مقناطیسی موج کا $\boldsymbol{a}_{\mathrm{y}}$ جزو اور برقی $\boldsymbol{a}_{\mathrm{z}}$ اجزاء سرحد کے ساتھ ساتھ، بے ضیاع $-\boldsymbol{a}_{\mathrm{x}}$ سمت میں حرکت کریں گے۔ ہوا میں ان امواج کی رفتار، زیادہ کثافتی خطے یعنی پانی میں، سرحد کے متوازی موج کی رفتار کے برابر ہو گی یعنی

$$\text{ہوا میں سرحد کے متوازی موج کی رفتار} = \frac{\text{پانی میں رفتار موج}}{\sin\theta_i}$$

سرحدی موج درحقیقت سرحدی شرائط پورا کرنے کی درکار برقی اور مقناطیسی میدان ہیں۔

[13] evanescent wave

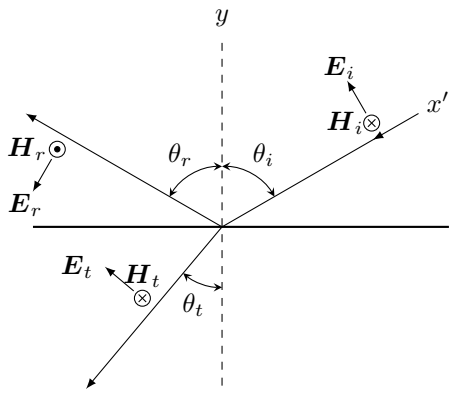

شکل 12.4: متوازی قطبی موج میں برقی میدان سطح آمد کے متوازی ہوتا ہے۔

متوازی قطبی برقی موج $\boldsymbol{E}_{\|}$

آئیں اب متوازی قطبی موج کی صورت حال دیکھیں۔ یاد رہے کہ موج کی سمت پوئنٹنگ سمتیہ $\boldsymbol{E} \times \boldsymbol{H}$ کی سمت ہی ہوتی ہے۔ برقی اور مقناطیسی میدان، موج کے حرکت کی سمت کے عمودی ہوتے ہیں۔ یوں سمت حرکت کے عمودی، برقی میدان کی سمت فرض کرتے ہوئے اور سمت حرکت جانتے ہوئے مقناطیسی میدان کی سمت کا تعین پوئنٹنگ سمتیہ سے کیا جاتا ہے۔ متوازی قطبی موج کی بات کرتے ہوئے، آمدی برقی میدان کی سمت یا تو شکل 12.4 میں $\boldsymbol{E}_i$ کی سمت اور یا اس کے الٹ سمت ممکن ہے۔ یہ واحد دو سمتیں ہیں جو موج کے حرکت کے عمودی اور آمدی سطح کے متوازی ہیں۔ اگر آمدی برقی میدان کی سمت شکل میں دکھائے سمت کے الٹ ہو تب آمدی مقناطیسی میدان کی سمت بھی الٹ ہو گی یعنی یہ صفحہ سے باہر جانب کو ہو گا۔ سمت حرکت کے عمودی اور آمدی سطح کے متوازی، انعکاسی موج $\boldsymbol{E}_r$ کی بھی دو سمتیں ممکن ہیں جن میں ایک سمت شکل میں فرض کی گئی ہے۔ برقی انعکاسی میدان کی سمت فرض کرنے سے انعکاسی مقناطیسی میدان کی سمت اب وہی ممکن ہے جسے شکل میں دکھایا گیا ہے۔ آئیں اس شکل کو حل کریں۔

مساوات 12.2 اور مساوات 12.4 کی مدد سے شکل 12.4 کے لئے

$$\boldsymbol{E}_{si} = (-\cos\theta_i \boldsymbol{a}_{\mathrm{x}} + \sin\theta_i \boldsymbol{a}_{\mathrm{y}}) E_0 e^{j\beta_1(x\sin\theta_i + y\cos\theta_i)} \tag{12.34}$$

$$\boldsymbol{H}_{si} = -\boldsymbol{a}_{\mathrm{z}} \frac{E_0}{\eta_1} e^{j\beta_1(x\sin\theta_i + y\cos\theta_i)} \tag{12.35}$$

لکھے جا سکتے ہیں۔ اسی طرح گزشتہ معلومات کا سہارا لیتے ہوئے

$$\boldsymbol{E}_{sr} = -(\cos\theta_r \boldsymbol{a}_{\mathrm{x}} + \sin\theta_r \boldsymbol{a}_{\mathrm{y}}) \Gamma_{\|} E_0 e^{j\beta_1(x\sin\theta_r - y\cos\theta_r)} \tag{12.36}$$

$$\boldsymbol{H}_{sr} = \boldsymbol{a}_{\mathrm{z}} \Gamma_{\|} \frac{E_0}{\eta_1} e^{j\beta_1(x\sin\theta_r - y\cos\theta_r)} \tag{12.37}$$

$$\boldsymbol{E}_{st} = (-\cos\theta_t \boldsymbol{a}_{\mathrm{x}} + \sin\theta_t \boldsymbol{a}_{\mathrm{y}}) \tau_{\|} E_0 e^{j\beta_2(x\sin\theta_t + y\cos\theta_t)} \tag{12.38}$$

$$\boldsymbol{H}_{st} = -\boldsymbol{a}_{\mathrm{z}} \tau_{\|} \frac{E_0}{\eta_2} e^{j\beta_2(x\sin\theta_t + y\cos\theta_t)} \tag{12.39}$$

لکھے جا سکتے ہیں۔ سرحد $(y = 0)$ پر برقی شرط لاگو کرنے کی خاطر برقی میدان کا وہ حصہ استعمال کیا جائے گا جو سرحد کے متوازی ہے۔ یوں $\boldsymbol{a}_{\mathrm{y}}$ جزو کو رد کیا جائے گا جبکہ $\boldsymbol{a}_{\mathrm{x}}$ جزو کو استعمال کیا جائے گا لہٰذا

$$-\cos\theta_i \boldsymbol{a}_{\mathrm{x}} E_0 e^{j\beta_1(x\sin\theta_i + 0\cos\theta_i)} - \cos\theta_r \boldsymbol{a}_{\mathrm{x}} \Gamma_{\|} E_0 e^{j\beta_1(x\sin\theta_r - 0\cos\theta_r)} = -\cos\theta_t \boldsymbol{a}_{\mathrm{x}} \tau_{\|} E_0 e^{j\beta_2(x\sin\theta_t + 0\cos\theta_t)}$$

یعنی

$$\cos\theta_i e^{j\beta_1 x\sin\theta_i} + \cos\theta_r \Gamma_{\|} e^{j\beta_1 x\sin\theta_r} = \cos\theta_t \tau_{\|} e^{j\beta_2 x\sin\theta_t} \tag{12.40}$$

لکھا جا سکتا ہے۔اس مساوات میں x کی قیمت تبدیل کرنے سے e کی طاقت تبدیل ہوتی ہے۔ایسی صورت میں یہ مساوات صرف اور صرف اس صورت درست ہو گا جب مساوات میں تینوں e کے طاقت، x کے تمام قیمتوں کے لئے برابر ہوں یعنی

$$j\beta_1 x \sin\theta_i = j\beta_1 x \sin\theta_r = j\beta_2 x \sin\theta_t \tag{12.41}$$

ہو۔اس مساوات سے

$$\theta_i = \theta_r \tag{12.42}$$

اور

$$\sin\theta_t = \frac{\beta_1}{\beta_2}\sin\theta_i \tag{12.43}$$

حاصل ہوتے ہیں جو عین عمودی قطبی موج کے مساوات ہیں۔مساوات 12.40 میں مساوات 12.41 پر کرنے سے

$$1 + \Gamma_\parallel = \frac{\cos\theta_t}{\cos\theta_i}\tau_\parallel \tag{12.44}$$

حاصل ہوتا ہے۔ 4207

سرحد پر مقناطیسی شرط لاگو کرتے ہیں۔چونکہ مقناطیسی میدان سرحد کے متوازی ہے لہٰذا اس کا کوئی جزو رد نہیں کیا جائے گا۔اس طرح

$$-\boldsymbol{a}_z \frac{E_0}{\eta_1} e^{j\beta_1(x\sin\theta_i + 0\cos\theta_i)} + \boldsymbol{a}_z \Gamma_\parallel \frac{E_0}{\eta_1} e^{j\beta_1(x\sin\theta_r - 0\cos\theta_r)} = -\boldsymbol{a}_z \tau_\parallel \frac{E_0}{\eta_2} e^{j\beta_2(x\sin\theta_t + 0\cos\theta_t)}$$

یعنی

$$e^{j\beta_1 x\sin\theta_i} - \Gamma_\parallel e^{j\beta_1 x\sin\theta_r} = \tau_\parallel \frac{\eta_1}{\eta_2} e^{j\beta_2 x\sin\theta_t}$$

لکھا جا سکتا ہے جس میں مساوات 12.41 پر کرنے سے

$$1 - \Gamma_\parallel = \tau_\parallel \frac{\eta_1}{\eta_2} \tag{12.45}$$

ملتا ہے۔مساوات 12.44 اور مساوات 12.45 حل کرتے ہوئے

$$\Gamma_\parallel = \frac{\eta_2\cos\theta_t - \eta_1\cos\theta_i}{\eta_1\cos\theta_i + \eta_2\cos\theta_t} \tag{12.46}$$

ملتا ہے جو غیر مقناطیسی اور بے ضیاع خطوں میں

$$\Gamma_\parallel = \frac{-\frac{\epsilon_2}{\epsilon_1}\cos\theta_i + \sqrt{\frac{\epsilon_2}{\epsilon_1} - \sin^2\theta_i}}{\frac{\epsilon_2}{\epsilon_1}\cos\theta_i + \sqrt{\frac{\epsilon_2}{\epsilon_1} - \sin^2\theta_i}} \tag{12.47}$$

صورت اختیار کر لے گی۔اگر خطہ-2 کامل موصل ہو تب $\Gamma_\parallel = -1$ حاصل ہوتا ہے جو متوقع جواب ہے۔ 4208

متوازی قطبی موج کی صورت میں ایسے آمدی زاویہ ممکن ہے جس پر $\Gamma_\parallel = 0$ حاصل ہو لہٰذا ایسی صورت میں تمام کی تمام موج بغیر انعکاس کے دوسرے خطے میں داخل ہو جاتی ہے۔اس آمدی زاویے کو **بریوسٹر زاویہ**[14] کہتے[15] ہیں۔مساوات 12.47 کو صفر کے برابر پر کرنے سے زاویہ بریوسٹر

$$\theta_{i,\text{بریوسٹر}} = \sin^{-1}\sqrt{\frac{\frac{\epsilon_2}{\epsilon_1}}{1+\frac{\epsilon_2}{\epsilon_1}}} = \tan^{-1}\sqrt{\frac{\epsilon_2}{\epsilon_1}} \tag{12.48}$$

---

[14] Brewster angle

[15] یہ زاویہ سکاٹ لینڈ کے داؤد بریوسٹر کے نام سے منسوب ہے۔

حاصل ہوتا ہے۔

کسی بھی موج کو عمودی اور متوازی قطبی امواج کا مجموعہ لکھا جا سکتا ہے۔یوں اگر غیر قطبی موج، سرحد پر زاویہ بریوسٹر سے آمد ہو تب اس موج کا وہ جزو جو متوازی قطبیت رکھتا ہو سرحد سے مکمل طور دوسری جانب گزر جائے گا جبکہ سرحد سے انعکاسی جزو صرف اور صرف عمودی قطبیت کا ہو گا۔ عمودی قطبی موج حاصل کرنے کا یہ آسان طریقہ ہے۔عمودی موج کا کچھ حصہ منعکس ہو گا اور کچھ حصہ منحرف لہٰذا انحرافی موج غیر قطبی ہو گی۔زاویہ بریوسٹر کو زاویہ قطبیت[16] بھی کہتے ہیں۔

مثال 12.3: متوازی قطبی موج ہوا سے پانی کی طرف آمد ہے۔زاویہ بریوسٹر حاصل کریں۔پانی کا جزوی برقی مستقل $\epsilon_r = 80$ لیں۔

حل:

$$\theta_{i,\text{بریوسٹر}} = \tan^{-1}\sqrt{\frac{80}{1}} = 83.6^\circ \tag{12.49}$$

مشق 12.1: شکل 12.4 میں انعکاسی میدانوں کی سمتیں الٹ تصور کرتے ہوئے شرح انعکاس $\Gamma_\parallel$ حاصل کریں۔چونکہ یہاں انعکاسی میدان الٹ تصور کئے جا رہے ہیں لہٰذا ہم توقع کرتے ہیں کہ $\Gamma_\parallel$ کی حاصل مساوات منفی ایک سے ضرب ہو گی۔

جواب: صرف انعکاسی امواج میں فرق ہو گا جنہیں یوں لکھا جائے گا۔

$$\begin{aligned}
\boldsymbol{E}_{sr} &= (\cos\theta_r \boldsymbol{a}_\text{x} + \sin\theta_r \boldsymbol{a}_\text{y})\Gamma_\parallel E_0 e^{j\beta_1(x\sin\theta_r - y\cos\theta_r)} \\
\boldsymbol{H}_{sr} &= -\boldsymbol{a}_\text{z}\Gamma_\parallel \frac{E_0}{\eta_1} e^{j\beta_1(x\sin\theta_r - y\cos\theta_r)}
\end{aligned}$$

شرح انعکاس $\frac{\eta_1\cos\theta_i - \eta_2\cos\theta_t}{\eta_1\cos\theta_i + \eta_2\cos\theta_t}$ حاصل ہو گا۔

---

[16] polarizing angle

12.2 قطبی موج کی ترچھی آمد

شکل 12.5 میں قطبی موج کی ترچھی آمد دکھائی گئی ہے۔اس شکل میں آمدی، انعکاسی اور ترسیلی امواج کے لئے علیحدہ علیحدہ کارتیسی محدد استعمال کئے گئے ہیں۔ان تینوں محدد کے مرکز کو نقطہ M ظاہر کرتی ہے جبکہ تینوں امواج کو اپنے اپنے محدد کے x محدد پر حرکت کرتا تصور کیا گیا ہے۔یوں آمدی موج گھٹتی x' جانب حرکت کر رہی ہے جبکہ انعکاسی موج بڑھتے x'' جانب اور ترسیلی موج بڑھتے x''' جانب حرکت کر رہی ہے۔محدد z' ، z'' اور z''' ، صفحہ کتاب کے عمودی باہر جانب کو ہے۔یوں ان تینوں کو z سے ظاہر کیا جا سکتا ہے۔آمدی قطبی برقی موج کے عمودی جزو کا حیطہ $E_{i\perp}$ اور دوری زاویہ صفر ہے جبکہ متوازی جزو کا حیطہ $E_{i\|}$ اور دوری زاویہ δ_i ہے۔ شکل کو دیکھتے ہوئے

$$\boldsymbol{E}_i = (E_{i\perp}\boldsymbol{a}_{\mathrm{Z}} + E_{i\|}e^{j\delta_i}\boldsymbol{a}'_{\mathrm{y}})e^{j(\omega t+\beta_1 x')}$$

لکھا جا سکتا ہے۔انعکاسی مستقل

$$\Gamma_\perp = |\Gamma_\perp|\, e^{j\phi_\perp} \tag{12.50}$$

$$\Gamma_\| = \left|\Gamma_\|\right| e^{j\phi_\|} \tag{12.51}$$

لیتے ہیں۔یوں انعکاسی موج کے اجزاء

$$E_{r\perp} = E_z = \Gamma_\perp E_{i\perp} = |\Gamma_\perp|\, E_{i\perp}e^{j\phi_\perp} \tag{12.52}$$

$$E_{r\|} = E_{y''} = \Gamma_\| E_{i\|}e^{j\delta} = \left|\Gamma_\|\right| E_\| e^{j(\phi_\|+\delta_i)} \tag{12.53}$$

لکھے جا سکتے ہیں۔اسی طرح ترسیلی مستقل[17]

$$\tau_\perp = |\tau_\perp|\, e^{j\xi_\perp} \tag{12.54}$$

$$\tau_\| = \left|\tau_\|\right| e^{\xi_\|} \tag{12.55}$$

لیتے ہوئے ترسیلی موج کے اجزاء

$$E_{t\perp} = \tau_\perp E_{i\perp} = |\tau_\perp|\, E_{i\perp}e^{j\xi_\perp} \tag{12.56}$$

$$E_{t\|} = \tau_\| E_{i\|} = \left|\tau_\|\right| E_{i\|}e^{j(\xi_\|+\delta_i)} \tag{12.57}$$

ہوں گے۔

مثال 12.4: دایاں دائری قطبی موج 45° زاویے پر ہوا سے کامل موصل پر آمد ہے۔انعکاسی موج کی قطبیت دریافت کریں۔ پولیسٹرین ($\epsilon_{\mathrm{R}}=2.7$) پر آمد کی صورت میں دوبارہ حل کریں۔

حل: موصل سطح پر ترچھی آمد دائری قطبی موج کے انعکاسی مستقل مساوات 12.28 اور مساوات 12.46 سے حاصل کئے جائیں گے۔کامل موصل کی موصلیت $\sigma \to \infty$ لیتے ہوئے موصل کی قدرتی رکاوٹ $\eta = \sqrt{\frac{j\omega\mu}{\sigma+j\omega\epsilon}} = 0$ حاصل ہوتی ہے جسے ان مساوات میں پر کرتے ہوئے

$$\Gamma_\perp = \Gamma_\| = -1 = e^{j\pi}$$

---

[17] ہم τ کی علامت موج کے جھکاو جبکہ $\tau_\perp$ اور $\tau_\|$ کو بطور ترسیلی مستقل استعمال کرتے ہیں۔

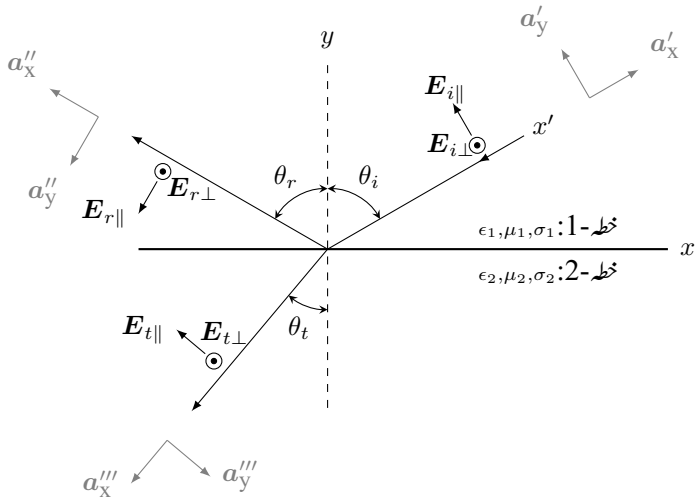

شکل 12.5: قطبی برقی موج سرحد پر ترچھی آمد۔

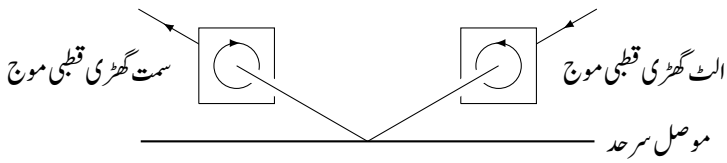

شکل 12.6: الٹ گھڑی قطبی آمدی موج موصل سطح سے انعکاس کے بعد سمت گھڑی قطبیت رکھتی ہے۔

حاصل ہوتے ہیں۔ صفحہ 366 پر مساوات 10.138 کی مدد سے شکل کو دیکھتے ہوئے دائیں دائری قطبی آمدی موج

$$\boldsymbol{E}_i = (E_{i\perp}\boldsymbol{a}_z + E_{i\parallel}\boldsymbol{a}'_y)e^{j(\omega t+\beta x')}$$

کے اجزاء

$$\begin{aligned} E_z &= E_0 \\ E_{y'} &= E_0 e^{-j\frac{\pi}{2}} \end{aligned}$$

لکھے جا سکتے ہیں۔

12.3 ترسیم ہائی گن

ہائی گن[18] کا اصول کہتا ہے کہ محاذ موج پر ہر نقطے کو منبع کروی موج تصور کیا جا سکتا ہے۔ شکل 12.7 میں اس اصول کو دکھایا گیا ہے جہاں ابتدائی محاذ موج پر مختلف نقطوں سے پیدا ثانوی امواج دکھائے گئے ہیں۔ یہ ثانوی امواج مل کر ثانوی محاذ موج پیدا کرتی ہیں۔ ہائی گن کے اصول کی مدد سے شعاع کی راہ میں حائل چیز کے قریب شعاع کا مڑ جانا سمجھا جا سکتا ہے جو نا تو انعکاس اور نا ہی انحراف کے زمرے میں آتا ہے۔

[18] Huygen's principle

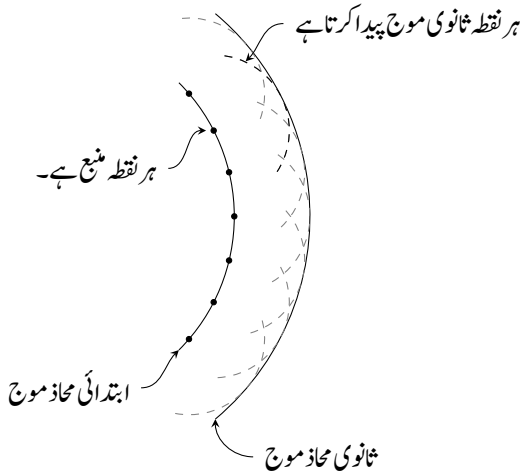

شکل 12.7: ہائی گن کے اصول کے تحت محاذ موج پر ہر نقطہ منبع موج کا کردار ادا کرتا ہے۔

شعاع کی راہ میں حائل موصل سطح شکل میں دکھائی گئی ہے۔آئیں ہائی گن کے اصول سے نقطہ N پر برقی میدان

$$E = \int \mathrm{d}E \tag{12.58}$$

حاصل کریں جہاں موصل سطح کے کنارے سے آگے x محدد پر عمومی نقطے کو منبع موج تصور کرتے ہوئے N پر میدان $\mathrm{d}E$ کے برابر ہے۔

$$\mathrm{d}E = \frac{E_0}{r} e^{-j\beta(r+\delta)}\,\mathrm{d}x \tag{12.59}$$

سے

$$E = \frac{E_0}{r} e^{-j\beta r} \int_a^\infty e^{-j\beta\delta}\,\mathrm{d}x \tag{12.60}$$

لکھا جا سکتا ہے۔اگر $\delta \ll r$ ہو تب

$$\delta = \frac{x^2}{2r} \tag{12.61}$$

کے برابر ہو گا۔یوں $k^2 = \frac{2}{r\lambda}$ اور $u = kx$ لیتے ہوئے

$$E = \frac{E_0}{kr} e^{-j\beta r} \int_{ka}^\infty e^{-j\frac{\pi u^2}{2}}\,\mathrm{d}u \tag{12.62}$$

لکھا جا سکتا ہے جسے

$$E = \frac{E_0}{kr} e^{-j\beta r} \left(\int_0^\infty e^{-j\frac{\pi u^2}{2}}\,\mathrm{d}u - \int_0^{ka} e^{-j\frac{\pi u^2}{2}}\,\mathrm{d}u \right) \tag{12.63}$$

لکھ سکتے ہیں۔

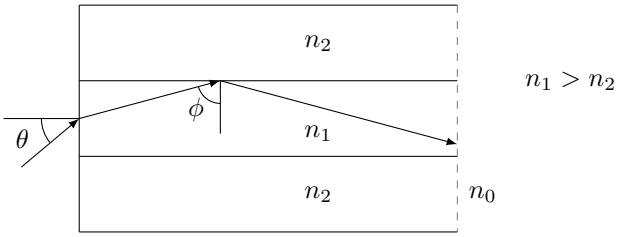

شکل 12.8: شیش ریشہ۔

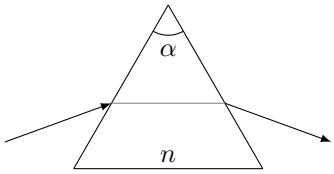

شکل 12.9: منشور

سوالات

سوال 12.1: دائیں دائری قطبی موج نیم لامحدود پلیکسی گلاس $(\sigma = 0, \mu_R = 1, \epsilon_R = 3.45)$ کی سطح پر بریوسٹر زاویے سے آمد ہے۔ آمدی کثافت طاقت $100\ \frac{\mathrm{W}}{\mathrm{m}^2}$ ہے۔ الف) پلیکسی گلاس کا بریوسٹر زاویہ حاصل کریں۔ ب) $\Gamma_\parallel$ اور $\Gamma_\perp$ حاصل کریں۔ پ) انعکاسی اور ترسیلی کثافت طاقت دریافت کریں۔ ت) انعکاسی اور ترسیلی امواج کی قطبیت بیان کریں۔ (آمدی دائری قطبی موج میں آدھی طاقت عمودی برقی اور آدھی طاقت متوازی برقی ہو گی۔)

جوابات: 61.7° ، $\Gamma_\parallel = 0$ ، $\Gamma_\perp = -0.549$ ، $15\ \frac{\mathrm{W}}{\mathrm{m}^2}$ ، $85\ \frac{\mathrm{W}}{\mathrm{m}^2}$ ، انعکاسی موج خطی قطبی جبکہ ترسیلی موج بیضوی قطبی ہے۔

سوال 12.2: شکل 12.8 میں شیش ریشہ دکھایا گیا ہے۔ اس شیش ریشے میں بائیں جانب سے شعاع θ زاویے سے داخل ہوتی ہے۔ یہ شعاع غلاف سے مکمل اندرونی انعکاس کرتے ہوئے شیش ریشے کے دوسرے سر تک پہنچتی ہے۔ بیرونی خلاء کا انحرافی مستقل $n_0 = 1$ لیتے ہوئے θ کی وہ حد دریافت کریں جس کے اندر رہتے ہوئے شیش ریشے میں مکمل اندرونی انعکاس پائی جائے گی۔ $\sin\theta$ کو شیش ریشے کی عددی شگاف[19] کہتے ہیں۔

جواب: $\theta_{\text{بلند تر}} = \sin^{-1}\sqrt{n_1^2 - n_2^2}$

سوال 12.3: شکل 12.8 میں θ بریوسٹر زاویہ اور ϕ زاویہ فاصل ہونے کی صورت میں n_0 کو n_1 اور n_2 کی صورت میں بیان کریں۔

جواب: $n_0 = \frac{n_1}{n_2}\sqrt{n_1^2 - n_2^2}$

سوال 12.4: ایسا منشور جو متوازی برقی موج کو بغیر گھٹائے گزرنے دے بریوسٹر منشور[20] کہلاتا ہے۔ شکل 12.9 میں دکھائے منشور کو $n = 1.45$ کے شیشے سے بنایا گیا ہے۔ اس شکل میں دکھائی گئی صورت حال کو دیکھتے ہوئے زاویہ α حاصل کریں۔ (داخلی اور خارجی شعاع شیشے کے عمود کے ساتھ بریوسٹر زاویہ بناتے ہیں۔ اس سے انعکاسی ضیاع کا خاتمہ حاصل کیا جاتا ہے۔)

جواب: یہاں منشور کے اندر شعاع، منشور کے قاعدے کے متوازی ہے۔ $\alpha = 69.2^\circ$

[19] numerical aperture
[20] Brewster prism

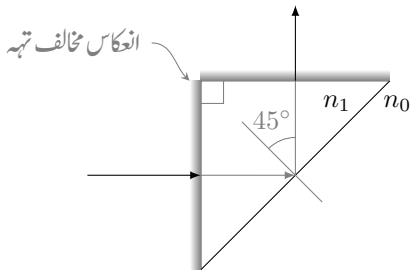

شکل 12.10: منشور سے شعاع کی سمت تبدیل کی جا سکتی ہے

سوال 12.5: شکل 12.9 میں دکھائے گئے بریوسٹر منشور میں عمودی برقی موج کا کتنا فی صد گزر پائے گا۔

جواب: $76\,\%$

سوال 12.6: شکل 12.10 میں شعاع کی سمت $90°$ تبدیل کرنے کی خاطر منشور استعمال کیا گیا ہے۔انعکاسی ضیاع سے چھٹکارے کی خاطر منشور کے بائیں اور بالائی سطحوں پر انعکاس مخالف تہہ چڑھائی گئی ہے۔منشور کو خالی خلاء میں استعمال کرنے کی خاطر n_1 کی کم سے کم قیمت دریافت کریں۔

جواب: $n_1 > 1.41$

سوال 12.7: دائری قطبی برقی موج دو عدد خطی قطبی امواج کے مجموعے سے بنی ہوئی ہے۔خطی قطبی امواج $E_x = 5\cos(\omega t - \beta z)$ اور $E_y = 5\cos(\omega t - \beta z - 90°)$ ہیں۔یہ دائری قطبی موج خطہ-1 $(\mu_{R1} = 1, \epsilon_{R1} = 1)$ سے خطہ-2 $(\mu_{R2} = 1, \epsilon_{R2} = 3.5)$ کے سرحد پر $45°$ زاویے سے پہنچتی ہے۔زاویہ سرحد کے عمود کے ساتھ ناپا جاتا ہے۔انعکاسی موج کی شرح رداس حاصل کریں۔

جواب: 2.38

سوال 12.8: دائری قطبی برقی موج خطہ-1 $(\mu_{R1} = 1, \epsilon_{R1} = 1)$ سے خطہ-2 $(\mu_{R2} = 1, \epsilon_{R2} = 4)$ کے سرحد پر θ زاویے سے پہنچتی ہے۔زاویہ سرحد کے عمود کے ساتھ ناپا جاتا ہے۔انعکاسی موج کی شرح رداس مندرجہ ذیل صورتوں میں حاصل کریں۔الف) $\theta = 30°$ ب) $\theta = 60°$ ، پ) $\theta = 63.43°$

جواب: 1.35 ، 10.9 ، 7409

سوال 12.9: دائیں بیضوی قطبی برقی موج از خود عمودی قطبی موج $E_x = 8\cos(\omega t - \beta z)$ اور متوازی قطبی موج $E_y = 6\cos(\omega t - \beta z - 90°)$ کا مجموعہ ہے۔یہ دائیں بیضوی قطبی موج خطہ-1 $(\mu_{R1} = 1, \epsilon_{R1} = 1)$ سے خطہ-2 $(\mu_{R2} = 1, \epsilon_{R2} = 3)$ کے سرحد $z = 0$ پر $30°$ زاویے سے پہنچتی ہے۔زاویہ سرحد کے عمود کے ساتھ ناپا گیا ہے۔انعکاسی موج کی شرح رداس حاصل کریں۔

جواب: 2.68

سوال 12.10: دائیں بیضوی قطبی برقی موج از خود عمودی قطبی موج $E_x = 8\cos(\omega t - \beta z)$ اور متوازی قطبی موج $E_y = 6\cos(\omega t - \beta z - 90°)$ کا مجموعہ ہے۔یہ دائیں بیضوی قطبی موج خطہ-1 $(\mu_{R1} = 1, \epsilon_{R1} = 1)$ سے خطہ-2 $(\mu_{R2} = 1, \epsilon_{R2} = 3)$ کے سرحد $z = 0$ پر $60°$ زاویے سے پہنچتی ہے۔زاویہ سرحد کے عمود کے ساتھ ناپا گیا ہے۔انعکاسی موج کی شرح رداس حاصل کریں۔اس کی قطبیت بھی دریافت کریں۔

جواب: شرح رداس لامحدود ہے۔موج عمودی قطبی ہے۔

باب 13

مویج اور گھمکیا

اب تک ہم صرف عرضی برقی و مقناطیسی TEM[1] امواج کی بات کرتے آ رہے ہیں جن میں برقی اور مقناطیسی دونوں میدان سمت حرکت کے عمودی ہوتے ہیں۔اس باب میں ترسیلی تار پر بحث کو آگے بڑھاتے ہوئے ایسے امواج پر غور کیا جائے گا جن میں برقی یا مقناطیسی میدان سمت حرکت کی جانب بھی جزو رکھتے ہوں۔وہ ترسیلی تار جو صرف اس طرح کے امواج کو گزار سکیں مویج[2] کہلاتے ہیں۔

دو لامحدود جسامت کے مستوی سطحوں کے مویج سے بات شروع کرتے ہوئے کھوکھلے مستطیلی اور نلکی مویج تک بات بڑھائی جائے گی۔ان مویج میں میدان کے اشکال، ان کے منقطع طول موج اور تضعیفی مستقل حاصل کئے جائیں گے۔اس کے بعد ایک تار پر بیرونی موج اور دیگر اقسام کے مویج پر غور کیا جائے گا۔آخر میں موصل کے بند ڈبوں میں قید امواج پر غور کیا جائے گا جنہیں گھمکیا کہتے ہیں۔

13.1 برقی دور، ترسیلی تار اور مویج کا موازنہ

کم تعدد پر برقی دباو، برقی رو، مزاحمت وغیرہ عملی متغیر ہیں جنہیں استعمال کرتے ہوئے برقی ادوار حل کئے جاتے ہیں۔ان تعدد پر تمام مزاحمت یا رکاوٹ کو نقطہ نما تصور کیا جاتا ہے۔یوں تار کے ایک سرے پر منبع برقی دباو لاگو کرتے ہوئے تار کے دوسرے سرے پر مزاحمت میں برقی رو حاصل کی جا سکتی ہے۔

قدر زیادہ تعدد پر انہیں حقائق کو ترسیلی تار پر لاگو کیا جا سکتا ہے۔ایسا کرتے وقت ترسیلی تار کی مزاحمت یا امالہ تار کی لمبائی پر تقسیم شدہ تصور کرنا لازم ہے۔ساتھ ہی ساتھ ترسیلی تار پر برقی دباو کی رفتار پر بھی نظر رکھنی ہوتی ہے۔

اب موصل کھوکھلے نلکی یا مستطیلی نالی پر مبنی نظام کی بات کرتے ہیں۔کیا ایسی نالی برقی و مقناطیسی طاقت منتقل کرنے کی صلاحیت رکھتی ہے؟ اگر ہماری معلومات برقی ادوار یا ترسیلی تار تک محدود ہوتی تب اس سوال کا جواب یہ ہے کہ ایسا ممکن نہیں ہے کیونکہ برقی طاقت کے منتقلی کے لئے دو تار ضروری ہیں۔البتہ اگر ہم شعاعوں کا علم رکھتے تب جواب ہوتا کہ ایسا ممکن ہے چونکہ شعاعیں سیدھی کھوکھلے نلکی سے گزر سکتی ہیں اور شعاعیں بلند تعدد (10^{16} Hz) کی برقی و مقناطیسی امواج ہی ہیں۔

---

[1] transverse electromagnetic, TEM

[2] waveguide

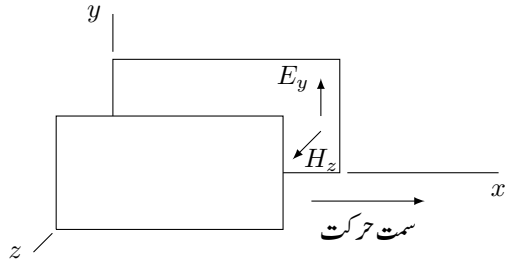

شکل 13.1: دو لامحدود وسعت کے متوازی موصل چادروں کا نظام۔

اصل جواب ہے کہ ایسا امواج کے تعدد پر منحصر ہے۔کم تعدد کے امواج نالی سے نہیں گزر سکتے جبکہ بلند تعدد کے امواج اس سے گزر سکتے ہیں۔تعدد کے ان دو خطوں کے درمیان ایسی تعدد ہو گی جس سے کم تعدد نالی سے نہیں گزرے گی اور جس سے زیادہ تعدد نالی سے گزرے گی۔اس تعدد کو پست انقطاعی تعدد[3] کہا جاتا ہے۔

کھوکھلے نالی سے برقی و مقناطیسی طاقت کی منتقلی برقی ادوار حل کرنے کے علم سے ناقابل سمجھ مسئلہ ہے۔کھوکھلے نالی میں طاقت کی منتقلی، نالی کے کھوکھلے حصے میں برقی اور مقناطیسی میدان پر غور سے سمجھا جا سکتا ہے جنہیں استعمال کرتے ہوئے پوئنٹنگ سمتیہ سے موج کی طاقت حاصل ہوتی ہے۔دراصل برقی و مقناطیسی طاقت نالی کے کھوکھلے حصے میں برقی اور مقناطیسی امواج سے منتقل ہوتا ہے نا کہ نالی کے موصل حصے میں۔برقی دباو اور برقی رو اس منتقلی کے محض اضافی اثرات ہیں۔

13.2 دو لامحدود وسعت کے مستوی چادروں کے مویج میں عرضی برقی موج

شکل 13.1 میں دو لامحدود وسعت کے متوازی چادروں پر مبنی ترسیلی تار دکھائی گئی ہے جو y سمتی عرضی برقی و مقناطیسی موج گزار سکتی ہے۔اس تار کی خاص خاصیت یہ ہے کہ ایک مخصوص تعدد کے اوپر یہ دیگر بلند درجی انداز[4] کے امواج بھی گزار سکتی ہے۔یوں ترسیلی تار سے شروع کرتے ہوئے مویج تک بحث کو پہنچانے کے لئے یہ بہترین مثال ہے۔

ایسی بلند درجی انداز کی بات کرتے ہیں جس میں برقی میدان ہر نقطے پر y سمتی ہے جبکہ سمت حرکت a_x ہے۔چونکہ برقی میدان سمت حرکت کے عمودی ہے لہٰذا اس انداز کو عرضی برقی انداز[5] (TE) کہا جائے گا۔اگرچہ اس موج میں برقی میدان عرضی ہے، مقناطیسی میدان عرضی اور طولی اجزاء پر مشتمل ہے۔کامل موصل چادروں کی صورت میں چادروں پر برقی میدان صفر ہو گا البتہ چادر سے دور اس کی کچھ بھی قیمت ممکن ہے۔ایسی عرضی برقی انداز موج کے خصوصیات باآسانی یوں حاصل کئے جا سکتے ہیں کہ اسے دو عرضی برقی و مقناطیسی انداز TEM امواج کا مجموعہ تصور کیا جائے جو موصل چادروں کے درمیان بار بار انعکاس کرتی ہوں۔

آئیں پہلے شکل 13.2 پر غور کریں جہاں خالی خلاء میں ایک ہی تعدد کے دو سطحی TEM امواج کے ملاپ کی صورت حال دکھائی گئی ہے۔اس شکل میں امواج خطی قطبی تصور کئے گئے ہیں جن کا برقی میدان صفحہ کے عمودی فرض کیا گیا ہے۔موج الف کی شعاع اوپر بائیں ہاتھ سے نیچے دائیں ہاتھ کی طرف جبکہ موج ب کی شعاع نیچے بائیں ہاتھ سے اوپر دائیں ہاتھ کی جانب گامزن ہے۔یوں ان کا آپس میں ملاپ کسی زاویے پر ہوتا ہے۔شکل میں گہری سیاہی کی ٹھوس لکیر سے موج کی چوٹی جبکہ ہلکی سیاہی کے ٹھوس لکیر سے اس کا نشیب دکھایا گیا ہے۔یوں سطحی موج الف کی چوٹیاں اور نشیب، شعاع الف کے

[3] low cutoff frequency
[4] higher order mode
[5] transverse electric mode, TE mode

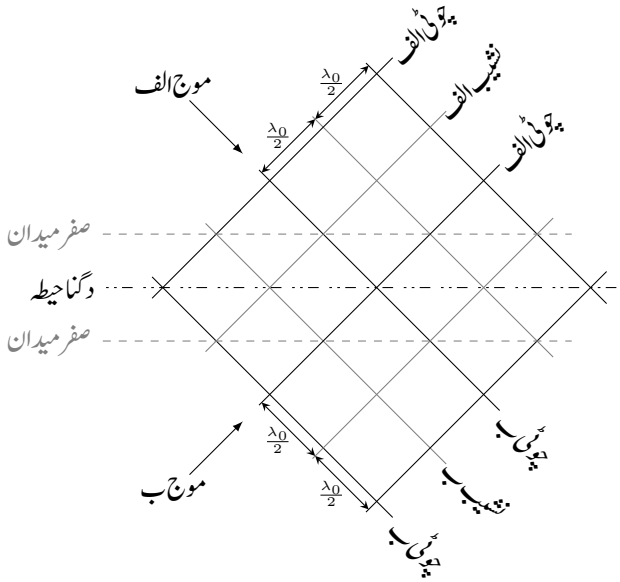

شکل 13.2: دو عرضی برقی و مقناطیسی امواج خلاء میں مختلف سمتوں میں حرکت کر رہی ہیں۔

عمودی دکھائے گئے ہیں۔ گہری سیاہی کے ٹھوس لکیر کو برقی میدان کی چوٹی تصور کیا جائے۔ یوں اس لکیر پر برقی میدان زیادہ سے زیادہ قیمت رکھتا ہے اور اس کی سمت صفحہ سے عمودی باہر جانب کو ہے۔ اسی طرح ہلکی ٹھوس لکیر میدان کی نشیب کو ظاہر کرتی ہے لہٰذا یہاں میدان کی قیمت زیادہ سے زیادہ ہو گی البتہ اس کی سمت صفحہ کے عمودی اندر جانب کو ہو گی۔ چوٹی اور نشیب کے درمیان فاصلہ $\frac{\lambda_0}{2}$ کے برابر ہے۔

جس نقطے پر ایک موج کی چوٹی اور دوسری موج کا نشیب ملتے ہیں اس نقطے پر کل میدان صفر کے برابر ہو گا۔ یوں جہاں گہری سیاہی اور ہلکی سیاہی کے لکیر ملتے ہیں وہاں میدان صفر ہو گا۔ شکل میں ہلکی سیاہی میں ایسی دو نقطہ دار لکیریں کھینچی گئی ہیں جن پر میدان صفر کے برابر ہے۔ آپ غور کر کے تسلی کر لیں کہ ان لکیروں کے ہر نقطے پر برقی میدان صفر ہی ہے۔ مزید آپ ذہن میں دونوں امواج کو حرکت دیتے ہوئے تسلی کر لیں کہ امواج کے حرکت کے باوجود ان دو لکیروں پر میدان صفر ہی رہتا ہے۔ اسی طرح جن نقطوں پر دونوں امواج کی چوٹیاں آپس میں ملتی ہوں یا دونوں کے نشیب آپس میں ملتے ہوں وہاں میدان دگنا ہو گا۔ شکل میں ہلکی سیاہی اور دو نقطوں والی ایسی ایک عدد لکیر دکھائی گئی ہے جہاں میدان دگنا پایا جائے گا۔

صفر میدان دکھاتے نقطہ دار لکیر پر برقی میدان صفر کے برابر ہے لہٰذا ان پر موصل سطح کے سرحدی برقی میدان کا شرط پورا اترتا ہے۔ یوں ان لکیروں پر، صفحہ کے عمودی موصل چادر رکھے جا سکتے ہیں۔ البتہ ایسا کرنے سے موج کی سیدھی حرکت متاثر ہو گی چونکہ آمدی زاویے کے برابر، موصل سطح پر، انعکاسی زاویے سے موج انعکاس کرے گی۔ یوں موج موصل سطح سے گزر نہیں پائے گی۔ ہاں اگر دو موصل چادروں کے درمیان ان امواج کو بھیجا جائے، تب یہ دونوں موصل سطحوں کے درمیان بار بار انعکاس کرتی حرکت کریں گی۔ شکل 13.3 میں ایسا دکھایا گیا ہے۔ شکل 13.4 میں موبج میں موج کی چوٹی اور نشیب دکھائے گئے ہیں۔ خالی خلاء میں طول موج اور موبج میں طول موج کا تعلق بھی دکھایا گیا ہے۔ اس شکل میں موصل چادروں کے درمیان میدان ہو بہو شکل 13.2 میں دو متوازی نقطہ دار لکیروں کے درمیان میدان ہے۔ یہاں بھی گہری سیاہی میں ٹھوس لکیر $\boldsymbol{E}$ کی چوٹی اور ہلکی سیاہی میں لکیر اس کا نشیب ہے۔ موصل چادر پر یہ دونوں مل کر صفر برقی میدان پیدا کرتے ہیں۔

اگرچہ ہم دو عدد عرضی برقی و مقناطیسی TEM امواج کی بات کرتے آ رہے ہیں، درحقیقت ان کا مجموعہ بلند درجی TE انداز کی موج ہے۔ بلند درجی انداز کے موج کی اہم خصوصیت یہ ہے کہ اس کا طول موج ایک مخصوص حد سے کم ہونا لازم ہے۔ ایسا نہ ہونے کی صورت میں یہ موبج سے نہیں گزر سکتی۔ طول کی یہ حد انقطاعی طول[6] پکاری جاتی ہے۔ آئیں انقطاعی طول حاصل کریں۔

[6] cutoff wavelength

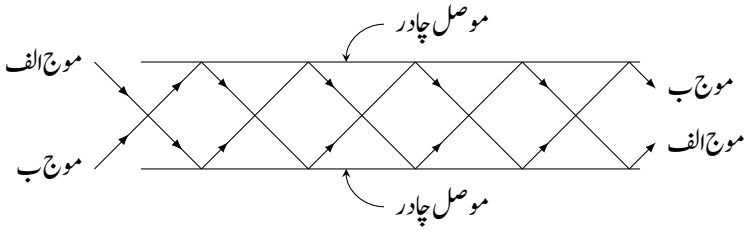

شکل 13.3: شعاعیں دو چادروں کے درمیان بار بار انعکاس کرتی حرکت کرتی ہیں۔

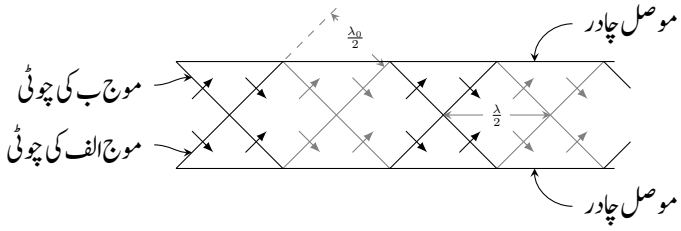

شکل 13.4: موجوں کی چوٹیاں، نشیب، خالی خلاء اور مویج میں طول موج۔

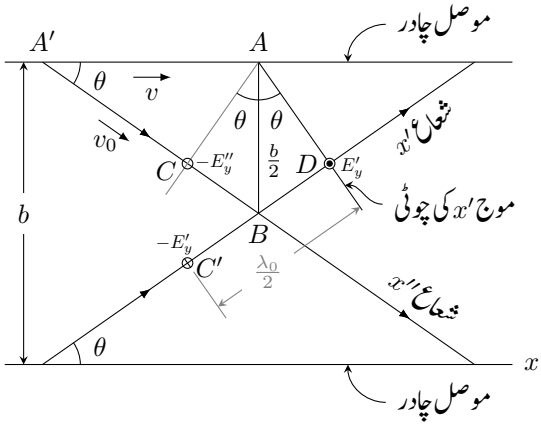

شکل 13.5: متوازی لامحدود وسعت کے چادروں کے مویج میں میدان کے اجزاء۔

شکل 13.5 میں TE موج کے دو TEM اجزاء دکھائے گئے ہیں جو x' اور x'' سمت میں گامزن ہیں۔دونوں جزو موصل چادر یعنی x محدد کے ساتھ θ زاویہ بناتے ہیں۔برقی میدان صفحہ کے عمودی y محدد کی سمت میں ہے۔چادروں کے درمیان فاصلہ b ہے۔نقطہ D پر موج x' کی چوٹی ہے لہٰذا یہاں برقی میدان E'_y مثبت قیمت رکھتا ہے جو صفحہ کے عمودی باہر کو ہے اور جسے گول دائرے میں بند نقطے سے ظاہر کیا گیا ہے۔اس نقطے پر لکیر AD لہر کی چوٹی ظاہر کرتی ہے۔عین اسی لمحہ نقطہ C پر موج x'' کا نشیب ہے جسے گول دائرے میں بند صلیبی نشان سے ظاہر کیا گیا ہے۔اس لہر کے نشیب کو ہلکی سیاہی میں لکیر AC سے ظاہر کیا گیا ہے۔ایک لہر کی چوٹی اور دوسرے لہر کا نشیب نقطہ A پر مل کر صفر میدان پیدا کرتے ہیں۔ہم جانتے ہیں کہ عین دو چادروں کے درمیان دونوں امواج کی چوٹیاں مل کر دگنا میدان پیدا کرتی ہیں۔اس نقطے کو شکل میں B سے ظاہر کیا گیا ہے۔یوں موج x'' کا نشیب C پر جبکہ اس کی چوٹی B پر ہے۔اس طرح ان نقطوں کے درمیان فاصلہ طول موج کا چوتھا حصہ ہو گا۔اسی طرح BD اور $C'B$ بھی طول موج کے چوتھائی برابر ہیں

$$BC = BC' = BD = \frac{\lambda_0}{4} \tag{13.1}$$

جہاں لامحدود خلاء میں TEM موج کا طول موج λ_0 ہے اور یہ خلاء اسی مادے سے بھری ہے جو دو چادروں کے درمیان پایا جاتا ہے۔موصل چادر پر ایک موج کی کوئی بھی چوٹی اور دوسری موج کا کوئی بھی نشیب مل کر صفر میدان پیدا کر سکتے ہیں۔یوں مندرجہ بالا مساوات کی عمومی شکل

$$BC = \frac{n\lambda_0}{4} \tag{13.2}$$

ہے جہاں $n = 1, 2, 3, \cdots$ ہو سکتے ہیں۔جفت n کی صورت میں دو چادروں کے عین درمیان برقی میدان صفر حاصل ہو گا جبکہ طاق n کی صورت میں یہاں میدان دگنا ہو گا۔ان حقائق ہر تفصیلاً جلد بات کی جائے گی۔شکل 13.5 میں تکون ABC سے

$$AB \sin\theta = \frac{b}{2}\sin\theta = \frac{n\lambda_0}{4}$$

یعنی

$$\lambda_0 = \frac{2b}{n}\sin\theta \tag{13.3}$$

لکھا جا سکتا ہے جہاں لمبائی BC کے لئے مساوات 13.2 استعمال کیا گیا۔اس مساوات کے تحت زیادہ سے زیادہ طول موج λ_{0c} کی قیمت $\sin\theta = 1$ یعنی $\theta = 90^\circ$ پر

$$\lambda_{0c} = \frac{2b}{n} \tag{13.4}$$

حاصل ہوتی ہے جس سے n کی ہر قیمت کے مقابل طول کی انقطاعی قیمت حاصل کی جا سکتی ہے۔جب $n = 1$ ہو تب

$$\lambda_{0c} = 2b \tag{13.5}$$

حاصل ہوتا ہے۔یہ کم تر درجے کی TE موج کا انقطاعی طول ہے جو ان چادروں کے درمیان صفر کر سکتی ہے۔یہ مساوات کہتا ہے کہ چادروں کے درمیان فاصلہ کم از کم آدھے طول کے برابر ہو گا تو موج چادروں کے درمیان سے گزر پائے گی۔

$n = 1$ کو بلند درجی TE امواج کا کم تر درجہ کہا جاتا ہے۔$n = 2$ اس سے ایک قدم بلند درجے کی موج کہلائے گی اور اس کا انقطاعی طول

$$\lambda_{0c} = b \tag{13.6}$$

ہو گا۔یوں $n = 2$ درجے کی TE موج کے گزرنے کا لئے چادروں کے درمیان کم از کم فاصل موج کے طول کے برابر ضروری ہے۔اسی طرح $n = 3$ کے لئے $\lambda_{0c} = \frac{2b}{3}$ حاصل ہوتا ہے، وغیرہ وغیرہ۔

مساوات 13.4 اور مساوات 13.3 کو ملا کر

$$\lambda_0 = \lambda_{0c}\sin\theta \tag{13.7}$$

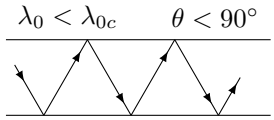

(ب) طول موج، انقطاعی طول موج سے قدر کم ہے۔

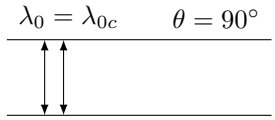

(ا) طول موج، عین انقطاعی طول موج کے برابر ہے۔

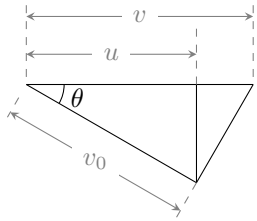

(د) مختلف اقسام کے رفتار کا تعلق۔

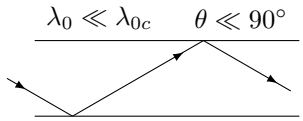

(ج) طول موج مزید کم کرنے سے زاویہ بھی مزید کم ہوتا ہے۔

شکل 13.6: طول موج اور انعکاس موج کے زاویے۔ مختلف اقسام کے رفتاروں کا آپس میں تعلق۔

یا

$$\theta = \sin^{-1} \frac{\lambda_0}{\lambda_{0c}} \tag{13.8}$$

لکھا جا سکتا ہے۔یوں کسی بھی درجے کی موج کا انقطاعی زاویہ $\theta = 90°$ حاصل ہوتا ہے۔اس زاویے پر موج دونوں چادروں کے مابین، x تبدیل کئے بغیر، انعکاس کرتی رہتی ہے۔یوں چادروں کے درمیان ساکن موج پیدا ہوتی ہے جو x سمت میں طاقت منتقل نہیں کر سکتی۔اگر طول موج λ_0 انقطاعی طول موج λ_{0c} سے قدر کم ہو تب θ کی قیمت $90°$ سے کم ہو گی اور موج، بار بار انعکاس کرتی ہوئی، چادروں کے درمیان x سمت میں حرکت کر پائے گی جیسے شکل 13.6 میں دکھایا گیا ہے، طول موج مزید کم کرنے سے زاویہ مزید کم ہوتا ہے۔آخر کار انتہائی کم طول موج پر صورت حال لامحدود خلاء میں موج کے حرکت مانند ہو جاتی ہے اور یہ شعاع کی طرح چادروں کے درمیان سیدھا گزرنے کے قابل ہو جاتی ہے۔

شکل 13.5 میں TEM امواج کی **دوری رفتار**[7] v_0 لامحدود خلاء میں آزاد موج کی دوری رفتار

$$v_0 = \frac{1}{\sqrt{\mu\epsilon}} \quad \left(\frac{\mathrm{m}}{\mathrm{s}}\right) \tag{13.9}$$

ہی ہے جہاں خلاء کا مقناطیسی مستقل μ اور اس کا برقی مستقل ϵ ہیں۔شکل 13.6-د میں TE موج کی x سمت میں دوری رفتار v ہے۔TE موج کی چوٹی یا نشیب یا کوئی اور زاویائی نقطہ اس رفتار سے x سمت میں حرکت کرتا نظر آئے گا۔ان دو اقسام کے رفتار کا تعلق شکل 13.6-د سے

$$\frac{v_0}{v} = \cos\theta \tag{13.10}$$

لکھا جا سکتا ہے جس سے

$$v = \frac{v_0}{\cos\theta} = \frac{1}{\sqrt{\mu\epsilon}\cos\theta} \qquad \frac{\mathrm{m}}{\mathrm{s}} \tag{13.11}$$

حاصل ہوتا ہے۔اس مساوات کے تحت جیسے جیسے طول موج کو انقطاعی طول موج کے قریب لایا جائے، ویسے ویسے TE موج کی دوری رفتار کی قیمت بڑھتی ہے حتٰی کہ عین λ_{0c} پر دوری رفتار لامحدود قیمت اختیار کر لیتی ہے۔اس کے برعکس جیسے جیسے طول موج کو کم کیا جائے، یعنی جیسے جیسے θ کو کم کیا جائے، ویسے ویسے TE موج کی دوری رفتار TEM کے دوری رفتار کے قریب ہو گی حتٰی کہ انتہائی کم طول موج یعنی انتہائی بلند تعدد کے موج کی

[7] phase velocity

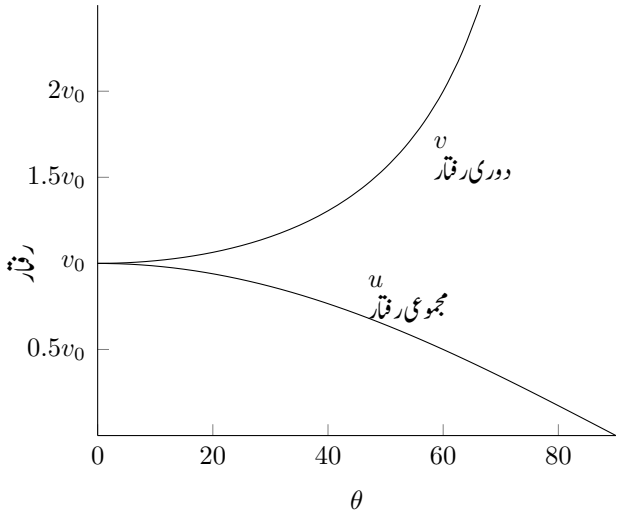

شکل 13.7: دوری اور مجموعی رفتار بالمقابل زاویہ موج۔

صورت میں یہ قیمت v_0 کے برابر ہو جائے گی۔ یوں مویج میں بند، بلند درجی موج کا دوری رفتار TEM موج کے دوری رفتار سے زیادہ یا اس کے برابر ممکن ہے۔ طاقت کی منتقلی انعکاس کرتی موج کے مجموعی رفتار[8] سے ہوتی ہے جسے شکل میں u سے ظاہر کیا گیا ہے۔ شکل 13.6-د سے

$$u = v_0 \cos\theta \tag{13.12}$$

لکھا جا سکتا ہے لہٰذا طاقت کی منتقلی کی رفتار TEM کے رفتار سے کم یا اس کے برابر ممکن ہے۔ طاقت کسی صورت بھی TEM موج کی رفتار سے زیادہ رفتار پر منتقل کرنا ممکن نہیں ہے۔ یہ حقیقت آئن سٹائن کے قانون کے عین مطابق ہے جس کے تحت کوئی بھی چیز رفتار شعاع سے تجاوز نہیں کر سکتی۔ یاد رہے کہ TE موج کی دوری رفتار درحقیقت کسی چیز کی منتقلی نہیں کرتی لہٰذا اس کی قیمت v_0 سے بڑھ سکتی ہے۔ مساوات 13.11 اور مساوات 13.12 کو ملا کر

$$uv = v_0^2 \tag{13.13}$$

حاصل ہوتا ہے۔

دو چادروں میں بند ہونے سے TEM موج کا تعدد تبدیل نہیں ہوتا۔ اسی طرح ایسے دو یکساں تعدد کے امواج سے حاصل TE موج کا تعدد بھی وہی رہتا ہے۔ چونکہ طول موج ضرب تعدد کا حاصل رفتار کے برابر ہوتا ہے لہٰذا مساوات 13.11 کو

$$f\lambda = \frac{f\lambda_0}{\cos\theta}$$

لکھا جا سکتا ہے جس سے

$$\lambda = \frac{\lambda_0}{\cos\theta}$$

حاصل ہوتا ہے جو بلند درجہ موج کے طول λ اور آزاد موج کے طول λ_0 کا تعلق ہے۔

شکل 13.7 میں دوری رفتار بالمقابل زاویہ موج اور مجموعی رفتار بالمقابل زاویہ موج دکھائے گئے ہیں۔ جیسے جیسے θ کی قیمت $90°$ کے قریب آتی ہے ویسے ویسے دوری رفتار کی قیمت لامحدود جبکہ مجموعی رفتار کی قیمت صفر کے قریب تر ہوتی ہے۔

[8] group velocity

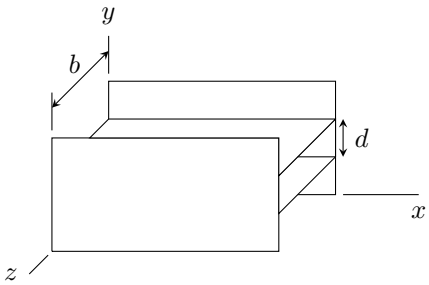

(ا) لامحدود متوازی چادر مویج سے مستطیلی مویج کا حصول۔

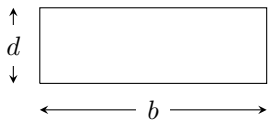

(ب) مستطیلی مویج کا رقبہ عمودی تراش۔

شکل 13.8: مستطیلی مویج کا حصول اور اس کا رقبہ عمودی تراش۔

حقیقت میں دو متوازی لامحدود وسعت[9] کے چادروں پر مبنی مویج کہیں نہیں پایا جاتا۔ حقیقی مویج عموماً کھوکھلے مستطیل یا کھوکھلے نالی کے اشکال رکھتے ہیں۔ چونکہ برقی میدان کے عمودی موصل چادر رکھنے سے میدان متاثر نہیں ہوتا لہٰذا دو لامحدود وسعت کے متوازی چادر، جن کے درمیان فاصلہ b ہو، میں TE موج کے عمودی دو چادر رکھنے سے میدان میں کوئی تبدیلی رونما نہیں ہو گی، لیکن ایسا کرنے سے مستطیل مویج حاصل ہوتا ہے۔ شکل 13.8-الف میں مستطیلی مویج بنتا دکھایا گیا ہے جہاں d فاصلے پر دو متوازی چادر رکھے گئے ہیں۔ مستطیل شکل کے علاوہ بقایا چادر ہٹانے سے مستطیل مویج حاصل ہوتا ہے جسے شکل 13.8-ب میں دکھایا گیا ہے۔ اس طرح ہم دیکھتے ہیں کہ اگرچہ دو لامحدود چادروں کا مویج تو استعمال نہیں ہوتا لیکن اس کے TE امواج جوں کے توں مستطیل مویج کے لئے استعمال کئے جا سکتے ہیں۔ موجودہ TE امواج کے نقطہ نظر سے مستطیل کی d لمبائی کچھ بھی ممکن ہے۔

لامحدود چادر کے مویج پر غور کرنے سے انقطاعی طول موج کے علاوہ دوری رفتار اور مجموعی رفتار کے مساوات بھی حاصل کئے گئے۔ دیگر بلند درجے کے امواج پر معلومات حاصل کرنے کی خاطر میکس ویل کے مساوات حل کرنا لازم ہے۔ آئیں مستطیل مویج کے لئے میکس ویل مساوات حل کرتے ہیں۔

13.3 کھوکھلا مستطیلی مویج

مستطیل مویج کے اطراف پر برقی اور مقناطیسی سرحدی شرائط، کارتیسی محدد میں نہایت آسانی سے لاگو کئے جا سکتے ہیں۔ اسی لئے مستطیلی مویج کو کارتیسی نظام میں حل کیا جائے گا۔ ہم کارتیسی نظام میں میکس ویل کے مساوات سے موج کی مساوات حاصل کرتے ہیں۔ مویج کو x محدد پر رکھتے ہوئے ہم سمت موج کو اسی سمت حرکت کے پابند بناتے ہیں اور ساتھ ہی ساتھ اسے سائن نما تصور کرتے ہیں۔ اس کے بعد بلند درجے موج کی قسم کا انتخاب کرتے ہیں۔ یوں ہم برقی میدان E کو سمت موج کے عمودی رہنے کے پابند رکھتے ہوئے عرضی برقی[10] TE موج پر غور کر سکتے ہیں یا مقناطیسی میدان کو سمت موج کے عمودی رہنے کے پابند رکھتے ہوئے عرضی مقناطیسی[11] TM موج پر غور کر سکتے ہیں۔ TEM موج میں برقی اور مقناطیسی میدان سمت حرکت کے عمودی ہوتے ہیں۔ بلند درجی موج میں میدان، سمت حرکت کی سمت میں بھی پائے جاتے ہیں۔ اب عرضی برقی TE موج کی صورت میں $E_x = 0$ ہو گا لہٰذا ایسی صورت میں H_x صفر کے برابر نہیں ہو سکتا۔ اگر H_x بھی صفر کے برابر ہو تب موج TEM قسم کی ہو گی نا کہ TE قسم کی۔ TE کی صورت میں تمام مساوات کو H_x کی صورت میں لکھنا بہتر ثابت ہوتا ہے۔ حاصل موج پر سرحدی شرائط لاگو کرتے ہوئے اسے H_x کے لئے حل کیا جاتا ہے۔ حاصل H_x کو بقایا مساوات میں پر کرتے ہوئے E_y، E_z، H_y اور H_z حاصل کئے جاتے ہیں۔ یوں برقی اور مقناطیسی میدان کے تمام کارتیسی اجزاء کی مکمل معلومات حاصل ہوتی ہے۔ یہ عمومی طریقہ کار ہے جسے دیگر مسائل حل کرنے کے لئے بھی استعمال کیا جا سکتا ہے۔

اس طریقے کو مستطیلی مویج میں TE موج کے لئے تفصیلاً استعمال کرتے ہیں۔ ایسا کرنے کی خاطر مندرجہ ذیل قدم سلسلہ وار اٹھائے جائیں گے۔

[9] حقیقی دنیا میں لا محدود وسعت کے چادر نہیں پائے جاتے۔
[10] transverse electric, TE
[11] transverse magnetic, TM

- میکس ویل مساوات سے شروع کریں۔
- موج کو وقت کے ساتھ سائن نما رہنے کا پابند بنائیں۔
- موج کو x سمت کے ساتھ سائن نما رہنے کا پابند بناتے ہوئے حرکی مستقل بروئے کار لائیں۔
- بلند درجی موج کا انتخاب کریں۔ہم TE موج کا انتخاب کرتے ہوئے $E_x = 0$ اور $H_x \neq 0$ رکھیں گے۔
- بقایا چار اجزاء یعنی E_y، E_z، H_y اور H_z کے مساوات H_x کی صورت میں لکھیں۔
- موج کی مساوات H_x کی صورت میں حاصل کریں۔
- مستطیلی موبج کے اطراف کے سرحدی شرائط لاگو کرتے ہوئے موج کی اس مساوات کو H_x کے لئے حل کریں۔
- E_y، E_z، H_y اور H_z کے مساوات میں حاصل H_x پر کرتے ہوئے ان کی مساوات بھی حاصل کریں۔

ان قدموں پر چلتے ہوئے مکمل حل حاصل ہو گا۔

آئیں پہلے قدم سے شروع کرتے ہوئے میکس ویل کے مساوات کو کارتیسی نظام میں لکھتے ہیں۔صفحہ 296 پر مساوات 9.28 اور مساوت 9.29

$$\nabla \times \boldsymbol{E} = -\frac{\partial \boldsymbol{B}}{\partial t} \tag{13.14}$$

$$\nabla \times \boldsymbol{H} = \boldsymbol{J} + \frac{\partial \boldsymbol{D}}{\partial t} \tag{13.15}$$

کارتیسی محدد میں

$$\frac{\partial E_z}{\partial y} - \frac{\partial E_y}{\partial z} + \mu \frac{\partial H_x}{\partial t} = 0 \tag{13.16}$$

$$\frac{\partial E_x}{\partial z} - \frac{\partial E_z}{\partial x} + \mu \frac{\partial H_y}{\partial t} = 0 \tag{13.17}$$

$$\frac{\partial E_y}{\partial x} - \frac{\partial E_x}{\partial y} + \mu \frac{\partial H_z}{\partial t} = 0 \tag{13.18}$$

اور

$$\frac{\partial H_z}{\partial y} - \frac{\partial H_y}{\partial z} - \sigma E_x - \epsilon \frac{\partial E_x}{\partial t} = 0 \tag{13.19}$$

$$\frac{\partial H_x}{\partial z} - \frac{\partial H_z}{\partial x} - \sigma E_y - \epsilon \frac{\partial E_y}{\partial t} = 0 \tag{13.20}$$

$$\frac{\partial H_y}{\partial x} - \frac{\partial H_x}{\partial y} - \sigma E_z - \epsilon \frac{\partial E_z}{\partial t} = 0 \tag{13.21}$$

لکھے جائیں گے جہاں $\boldsymbol{B} = \mu \boldsymbol{H}$ اور $\boldsymbol{D} = \epsilon \boldsymbol{E}$ کا استعمال کیا گیا ہے۔اسی طرح خالی خلاء میں $\rho_h = 0$ لیتے ہوئے مساوات 9.30 اور مساوات 9.31 کارتیسی محدد میں

$$\frac{\partial E_x}{\partial x} + \frac{\partial E_y}{\partial y} + \frac{\partial E_z}{\partial z} = 0 \tag{13.22}$$

$$\frac{\partial H_x}{\partial x} + \frac{\partial H_y}{\partial y} + \frac{\partial H_z}{\partial z} = 0 \tag{13.23}$$

لکھے جائیں گے۔ 4370

اب دوسرا قدم کہتا ہے کہ موج وقت کے ساتھ سائن نما تعلق رکھتا ہے جبکہ تیسرا قدم کہتا ہے کہ موج x فاصلے کے ساتھ بھی سائن نما تعلق رکھتا ہے۔ساتھ ہی ساتھ x سمت میں حرکی مستقل بھی بروئے کار لانا ہے۔ان دو اقدام کو استعمال کرتے ہوئے میدان کے تمام اجزاء لکھتے ہیں۔یوں E_y اور H_x کو مثال بناتے ہوئے

$$\begin{aligned} E_y &= E_1 e^{j\omega t-\gamma x} \\ H_x &= H_1 e^{j\omega t-\gamma x} \end{aligned} \tag{13.24}$$

لکھے جائیں گے جہاں 4371

γ حرکی مستقل $(\gamma = \alpha + j\beta)$ 4372

α تضعیفی مستقل 4373

β زاویائی مستقل 4374

ہیں۔مساوات 13.24 کے طرز پر بقایا میدان بھی لکھتے ہوئے مساوات 13.16

$$\left[\frac{\partial E_z}{\partial y} - \frac{\partial E_y}{\partial z} + j\omega\mu H_x\right] e^{j\omega t-\gamma z} = 0$$

یا

$$\frac{\partial E_z}{\partial y} - \frac{\partial E_y}{\partial z} + j\omega\mu H_x = 0 \tag{13.25}$$

لکھا جائے۔اسی طرح مساوات 13.24 کے طرز پر بقایا میدان بھی لکھتے ہوئے مساوات 13.17 تا مساوات 13.23 یوں لکھے جائیں گے۔

$$\frac{\partial E_x}{\partial z} + \gamma E_z + j\omega\mu H_y = 0 \tag{13.26}$$

$$-\gamma E_y - \frac{\partial E_x}{\partial y} + j\omega\mu H_z = 0 \tag{13.27}$$

$$\frac{\partial H_z}{\partial y} - \frac{\partial H_y}{\partial z} - (\sigma + j\omega\epsilon)E_x = 0 \tag{13.28}$$

$$\frac{\partial H_x}{\partial z} + \gamma H_z - (\sigma + j\omega\epsilon)E_y = 0 \tag{13.29}$$

$$-\gamma H_y - \frac{\partial H_x}{\partial y} - (\sigma + j\omega\epsilon)E_z = 0 \tag{13.30}$$

$$-\gamma E_x + \frac{\partial E_y}{\partial y} + \frac{\partial E_z}{\partial z} = 0 \tag{13.31}$$

$$-\gamma H_x + \frac{\partial H_y}{\partial y} + \frac{\partial H_z}{\partial z} = 0 \tag{13.32}$$

مندرجہ بالا آٹھ مساوات میں ترسیلی تار کے برقی رکاوٹ Z اور برقی فراوانی Y کی طرز کے مستقل

$$Z = -j\omega\mu \qquad (\Omega/\mathrm{m}) \tag{13.33}$$

$$Y = \sigma + j\omega\epsilon \qquad (\mathrm{S/m}) \tag{13.34}$$

استعمال کرتے ہوئے انہیں قدر چھوٹا لکھتے ہیں۔

$$\frac{\partial E_z}{\partial y} - \frac{\partial E_y}{\partial z} - ZH_x = 0 \tag{13.35}$$

$$\frac{\partial E_x}{\partial z} + \gamma E_z - ZH_y = 0 \tag{13.36}$$

$$-\gamma E_y - \frac{\partial E_x}{\partial y} - ZH_z = 0 \tag{13.37}$$

$$\frac{\partial H_z}{\partial y} - \frac{\partial H_y}{\partial z} - YE_x = 0 \tag{13.38}$$

$$\frac{\partial H_x}{\partial z} + \gamma H_z - YE_y = 0 \tag{13.39}$$

$$-\gamma H_y - \frac{\partial H_x}{\partial y} - YE_z = 0 \tag{13.40}$$

$$-\gamma E_x + \frac{\partial E_y}{\partial y} + \frac{\partial E_z}{\partial z} = 0 \tag{13.41}$$

$$-\gamma H_x + \frac{\partial H_y}{\partial y} + \frac{\partial H_z}{\partial z} = 0 \tag{13.42}$$

یہ x سمت میں حرکت کرتی موج کی عمومی مساوات ہیں۔ 4375

ابھی تک نا تو مویج کی شکل اور نا ہی بلند درجی موج کا انتخاب کیا گیا ہے لہٰذا چوتھے قدم کا اطلاق کرتے ہوئے TE قسم کا انتخاب کرتے ہیں جس کا مطلب ہے کہ $E_x = 0$ لیا جائے گا۔ایسا کرنے سے مندرجہ بالا مساوات

$$\frac{\partial E_z}{\partial y} - \frac{\partial E_y}{\partial z} - ZH_x = 0 \tag{13.43}$$

$$\gamma E_z - ZH_y = 0 \tag{13.44}$$

$$-\gamma E_y - ZH_z = 0 \tag{13.45}$$

$$\frac{\partial H_z}{\partial y} - \frac{\partial H_y}{\partial z} = 0 \tag{13.46}$$

$$\frac{\partial H_x}{\partial z} + \gamma H_z - YE_y = 0 \tag{13.47}$$

$$-\gamma H_y - \frac{\partial H_x}{\partial y} - YE_z = 0 \tag{13.48}$$

$$\frac{\partial E_y}{\partial y} + \frac{\partial E_z}{\partial z} = 0 \tag{13.49}$$

$$-\gamma H_x + \frac{\partial H_y}{\partial y} + \frac{\partial H_z}{\partial z} = 0 \tag{13.50}$$

صورت اختیار کر لیتے ہیں۔ 4376

پانچویں قدم پر تمام مساوات کو H_x کی صورت میں لکھنا ہو گا۔ایسا کرنے کی خاطر پہلے مساوات 13.44 اور 13.45 سے

$$\frac{E_z}{H_y} = -\frac{E_y}{H_z} = \frac{Z}{\gamma} \tag{13.51}$$

لکھتے ہیں۔اب $\frac{E_z}{H_y}$ یا $\frac{E_y}{H_z}$ کی شرح قدرتی رکاوٹ کی مانند ہے۔چونکہ مساوات 13.51 میں صرف عرضی اجزاء پائے جاتے ہیں لہٰذا اس شرح کو عرضی-موج کی قدرتی رکاوٹ[12] Z_{yz} کہا جائے گا جہاں

$$Z_{yz} = \frac{E_y}{H_z} = -\frac{E_z}{H_y} = -\frac{Z}{\gamma} = \frac{j\omega\mu}{\gamma} \qquad (\Omega) \tag{13.52}$$

کے برابر ہے۔مساوات 13.52 کو مساوات 13.48 میں پر کرتے ہوئے H_y کے لئے حل کرنے سے

$$H_y = \frac{-1}{\gamma - YZ_{yz}} \frac{\partial H_x}{\partial y} \tag{13.53}$$

حاصل ہوتا ہے۔اسی طرح مساوات 13.52 کو مساوات 13.47 میں پر کرتے ہوئے H_z کے لئے حل کرنے سے

$$H_z = \frac{-1}{\gamma - YZ_{yz}} \frac{\partial H_x}{\partial z} \tag{13.54}$$

حاصل ہوتا ہے۔اب مساوات 13.53 کو مساوات 13.52 میں پر کرتے ہوئے

$$E_z = \frac{Z_{yz}}{\gamma - YZ_{yz}} \frac{\partial H_x}{\partial y} \tag{13.55}$$

اور مساوات 13.54 کو مساوات 13.52 میں پر کرتے ہوئے

$$E_y = \frac{-Z_{yz}}{\gamma - YZ_{yz}} \frac{\partial H_x}{\partial z} \tag{13.56}$$

حاصل ہوتے ہیں۔ مساوات 13.53 تا مساوات 13.56 تمام اجزاء کو H_x کی صورت میں پیش کرتے ہیں۔ 4377

چھٹے قدم پر ان مساوات سے موج کی مساوات کا حصول ہے۔ایسا کرنے کی خاطر مساوات 13.53 کا y کے ساتھ تفرق اور مساوات 13.54 کا z کے ساتھ تفرق لیتے ہوئے دونوں حاصل جواب کو مساوات 13.50 میں پر کرتے ہوئے

$$-\gamma H_x - \frac{1}{\gamma - YZ_{yz}} \left(\frac{\partial^2 H_x}{\partial y^2} + \frac{\partial^2 H_x}{\partial z^2} \right) = 0$$

یا

$$\frac{\partial^2 H_x}{\partial y^2} + \frac{\partial^2 H_x}{\partial z^2} + \gamma \left(\gamma - YZ_{yz} \right) H_x = 0$$

حاصل کرتے ہیں جس میں

$$k^2 = \gamma \left(\gamma - YZ_{yz} \right) \tag{13.57}$$

پر کرتے ہوئے

$$\frac{\partial^2 H_x}{\partial y^2} + \frac{\partial^2 H_x}{\partial z^2} + k^2 H_x = 0 \tag{13.58}$$

لکھا جا سکتا ہے۔مساوات 13.58 مویج کے عرضی برقی موج کی عمومی مساوات ہے۔مویج کا عمودی تراش کسی بھی شکل کا ہو سکتا ہے۔یہاں چھٹا قدم پورا ہوتا ہے۔ 4378 4379

[12] transverse-wave impedance

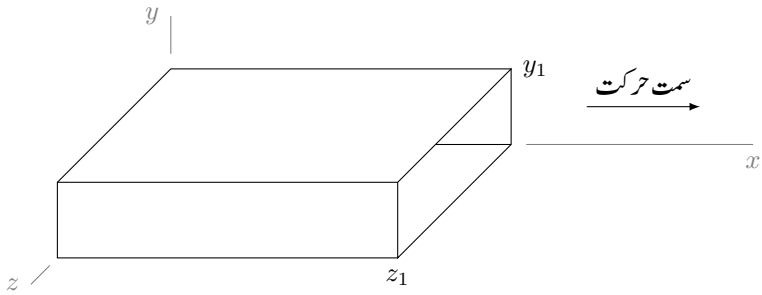

شکل 13.9: مستطیل موبج۔

ساتویں قدم میں موبج کے اطراف کے سرحدی شرائط لاگو کرتے ہوئے موج کو حل کرنا ہے۔شکل 13.9 میں کامل موصل چادروں سے بنایا گیا مستطیلی موبج دکھایا گیا ہے جس کی چوڑائی z_1 اور اونچائی y_1 ہے۔موصل اور ہوا کے سرحدی برقی شرائط کے مطابق سرحد پر متوازی برقی میدان صفر ہوتا ہے لہٰذا موبج کے اطراف پر متوازی E صفر ہو گا۔یوں موبج کے نچلی اور بالائی سطحوں پر $E_z = 0$ ہو گا۔اسی طرح موبج کے بائیں اور دائیں کھڑے سطحوں پر $E_y = 0$ ہو گا۔اب ان شرائط پر پورا اترتا مساوات 13.58 کا حل درکار ہے۔علیحدگی متغیرات کا طریقہ یہاں قابل استعمال ہے جس میں H_x کو دو متغیرات کے حاصل ضرب کے طور پر لکھا جاتا ہے یعنی

$$H_x = YZ \tag{13.59}$$

جہاں Y ایسا متغیر ہے جو صرف y پر منحصر ہے جبکہ Z ایسا متغیر ہے جو صرف z پر منحصر ہے۔اصل میں ان متغیرات کو $Y(y)$ اور $Z(z)$ لکھنا چاہیے لیکن غیر ضروری علامات کم کرنے کی غرض سے انہیں Y اور Z ہی لکھا جائے گا۔مساوات 13.59 کے استعمال سے مساوات 13.58

$$Z\frac{\partial^2 Y}{\partial y^2} + Y\frac{\partial^2 Z}{\partial z^2} + k^2 YZ = 0 \tag{13.60}$$

صورت اختیار کر لیتا ہے۔دونوں اطراف کو YZ سے تقسیم کرتے ہوئے اسے یوں

$$\frac{1}{Y}\frac{\partial^2 Y}{\partial y^2} + \frac{1}{Z}\frac{\partial^2 Z}{\partial z^2} = -k^2 \tag{13.61}$$

لکھا جا سکتا ہے۔اب بائیں ہاتھ پہلا جزو صرف y پر منحصر ہے جبکہ دوسرا جزو صرف z پر منحصر ہے۔یوں y کی تبدیلی سے صرف پہلے جزو میں تبدیلی کا امکان ہے لیکن پہلے جزو میں کسی بھی تبدیلی کے بعد مساوات کے دونوں اطراف برابر نہیں رہ سکتے۔اس طرح صاف ظاہر ہے کہ پہلے جزو میں y کے تبدیلی سے کوئی تبدیلی رونما نہیں ہو سکتی یعنی یہ جزو ناقابل تبدیل مستقل قیمت رکھتا ہے جسے ہم $-A_1$ لکھتے ہیں۔اسی منطق سے دوسرا جزو بھی اٹل قیمت رکھتا ہے جسے ہم $-A_2$ لکھتے ہیں۔یوں

$$\frac{1}{Y}\frac{\partial^2 Y}{\partial y^2} = -A_1 \tag{13.62}$$

$$\frac{1}{Z}\frac{\partial^2 Z}{\partial z^2} = -A_2 \tag{13.63}$$

ہوں گے لہٰذا مساوات 13.61 سے

$$A_1 + A_2 = k^2 \tag{13.64}$$

حاصل ہوتا ہے۔مساوات 13.62 اور مساوات 13.63 ایک متغیرہ پر مبنی دو درجی تفرقی مساوات ہیں جن کا حل آپ جانتے ہی ہوں گے۔مساوات 13.62 کا حل تجربے سے

$$Y = c_1 \cos b_1 y + c_2 \sin b_1 y \tag{13.65}$$

لکھا جا سکتا ہے جہاں m_1، c_2 اور b_1 مساوات کے مستقل ہیں۔ مساوات 13.65 کو واپس مساوات 13.62 میں پر کرنے سے

$$b_1 = \sqrt{A_1}$$

حاصل ہوتا ہے۔یوں مساوات 13.62 کا حل

$$Y = c_1 \cos \sqrt{A_1} y + c_2 \sin \sqrt{A_1} y \tag{13.66}$$

ہے۔اسی طرح مساوات 13.63 کا حل

$$Z = c_3 \cos \sqrt{A_2} z + c_4 \sin \sqrt{A_2} z \tag{13.67}$$

ہے۔ان دو جوابات کو استعمال کرتے ہوئے مساوات 13.59 کو

$$H_x = \left(c_1 \cos \sqrt{A_1} y + c_2 \sin \sqrt{A_1} y\right) \left(c_3 \cos \sqrt{A_2} z + c_4 \sin \sqrt{A_2} z\right) \tag{13.68}$$

لکھا جا سکتا ہے۔اسے مساوات 13.55 میں پر کرنے سے

$$E_z = \frac{Z_{yz}}{\gamma - YZ_{yz}} \sqrt{A_1} \left(-c_1 \sin \sqrt{A_1} y + c_2 \cos \sqrt{A_1} y\right) \left(c_3 \cos \sqrt{A_2} z + c_4 \sin \sqrt{A_2} z\right)$$

حاصل ہوتا ہے۔ مستطیل کا نچلا چادر $y = 0$ پر پایا جاتا ہے جس پر، برقی سرحدی شرط کے مطابق، $E_z = 0$ ہو گا لہٰذا $y = 0$ پر مندرجہ بالا مساوات صفر کے برابر ہو گا، جس سے

$$0 = \frac{Z_{yz}}{\gamma - YZ_{yz}} \sqrt{A_1} c_2 \left(c_3 \cos \sqrt{A_2} z + c_4 \sin \sqrt{A_2} z\right)$$

یعنی

$$c_2 = 0 \tag{13.69}$$

حاصل ہوتا ہے لہٰذا

$$E_z = \frac{-Z_{yz}}{\gamma - YZ_{yz}} \sqrt{A_1} c_1 \sin \sqrt{A_1} y \left(c_3 \cos \sqrt{A_2} z + c_4 \sin \sqrt{A_2} z\right)$$

حاصل ہوتا ہے۔ مستطیل کا بالائی چادر $y = y_1$ پر پایا جاتا ہے جس پر برقی سرحدی شرط کے مطابق متوازی برقی دباو صفر کے برابر ہو گا لہٰذا مندرجہ بالا مساوات میں y_1 پر $E_z = 0$ پر کرتے ہوئے

$$0 = \frac{-Z_{yz}}{\gamma - YZ_{yz}} \sqrt{A_1} c_1 \sin \sqrt{A_1} y_1 \left(c_3 \cos \sqrt{A_2} z + c_4 \sin \sqrt{A_2} z\right)$$

حاصل ہوتا ہے۔اس مساوات کا ایک ممکنہ حل c_1 مساوی صفر ہے جس سے $H_x = 0$ حاصل ہو گا۔اگرچہ یہ درست جواب ہے لیکن ہمیں زیادہ غرض حرکت کرتے موج سے ہے نا کہ ہر قسم کے میدان سے خالی موج سے، لہٰذا ہم

$$c_1 \neq 0 \tag{13.70}$$

لیتے ہیں۔یوں مندرجہ بالا مساوات سے

$$\sqrt{A_1} y_1 = n\pi$$

یعنی

$$\sqrt{A_1} = \frac{n\pi}{y_1} \tag{13.71}$$

حاصل ہوتا ہے جہاں $n = 0, 1, 2, \cdots$ ممکن ہے۔یوں

$$H_x = n_1 \cos \frac{n\pi y}{y_1} \left(c_3 \cos \sqrt{A_2} z + c_4 \sin \sqrt{A_2} z \right) \tag{13.72}$$

ہو گا۔اس مساوات کو مساوات 13.56 میں پر کرنے سے

$$E_y = \frac{-Z_{yz}}{\gamma - YZ_{yz}} c_1 \sqrt{A_2} \cos \frac{n\pi y}{y_1} \left(-c_3 \sin \sqrt{A_2} z + c_4 \cos \sqrt{A_2} z \right)$$

حاصل ہوتا ہے۔مستطیل کا دایاں کھڑا چادر $z = 0$ پر ہے، جہاں سرحدی شرط کے تحت متوازی برقی میدان صفر ہو گا لہٰذا

$$0 = \frac{-Z_{yz}}{\gamma - YZ_{yz}} c_1 c_4 \sqrt{A_2} \cos \frac{n\pi y}{y_1}$$

حاصل ہوتا ہے۔اب چونکہ $c_1 \neq 0$ ہے لہٰذا

$$c_4 = 0 \tag{13.73}$$

حاصل ہوتا ہے اور یوں

$$E_y = \frac{Z_{yz}}{\gamma - YZ_{yz}} c_1 c_3 \sqrt{A_2} \cos \frac{n\pi y}{y_1} \sin \sqrt{A_2} z$$

ہو گا۔مستطیل کا بایاں کھڑا چادر $z = z_1$ پر پایا جاتا ہے جہاں سرحدی شرائط کے تحت E_y ہو گا لہٰذا مندرجہ بالا مساوات میں یہ حقائق پر کرتے ہوئے

$$0 \frac{Z_{yz}}{\gamma - YZ_{yz}} c_1 c_3 \sqrt{A_2} \cos \frac{n\pi y}{y_1} \sin \sqrt{A_2} z_1$$

لکھا جائے گا۔اب $c_1 \neq 0$ اور اس مساوات کا ایک ممکنہ حل c_3 برابر صفر ہے جس سے H_x کے علاوہ تمام میدان صفر کے برابر حاصل ہوتے ہیں۔ہم چونکہ حرکت کرتے موج کی تلاش میں ہیں لہٰذا ہم اس ممکنہ جواب کو رد کرتے ہوئے

$$c_3 \neq 0 \tag{13.74}$$

چنتے ہیں۔اس شرط کے ساتھ مندرجہ بالا مساوات سے

$$\sqrt{A_2} z_1 = m\pi \tag{13.75}$$

یعنی

$$\sqrt{A_2} = \frac{m\pi}{z_1} \tag{13.76}$$

حاصل ہوتا ہے جہاں $m = 0, 1, 2, \cdots$ ممکن ہے۔یوں $c_1 c_3 = H_0$ لکھتے ہوئے

$$H_x(y, z) = H_0 \cos \frac{n\pi y}{y_1} \cos \frac{m\pi z}{z_1} \tag{13.77}$$

حاصل ہوتا ہے جو مقداری مساوات ہے۔اس مساوات میں وقت t اور x سمت میں حرکت کا کوئی ذکر نہیں ہے۔یاد رہے کہ اصل میدان مساوات 13.24 کی طرز کا ہے جس میں یہ معلومات بھی شامل ہیں لہٰذا

$$H_x(x,y,z,t) = H_0 \cos\frac{n\pi y}{y_1}\cos\frac{m\pi z}{z_1}e^{j\omega t-\gamma x} \tag{13.78}$$

لکھا جائے گا جو مکمل جواب ہے۔

آٹھویں قدم میں H_x کو مساوات 13.53 تا مساوات 13.56 میں پر کرتے ہوئے بقایا میدان حاصل کرتے ہیں یعنی

$$H_y = \frac{\gamma H_0}{k^2}\frac{n\pi}{y_1}\sin\frac{n\pi y}{y_1}\cos\frac{m\pi z}{z_1}e^{j\omega t-\gamma x} \tag{13.79}$$

$$H_z = \frac{\gamma H_0}{k^2}\frac{m\pi}{z_1}\cos\frac{n\pi y}{y_1}\sin\frac{m\pi z}{z_1}e^{j\omega t-\gamma x} \tag{13.80}$$

$$E_z = -\frac{\gamma Z_{yz} H_0}{k^2}\frac{n\pi}{y_1}\sin\frac{n\pi y}{y_1}\cos\frac{m\pi z}{z_1}e^{j\omega t-\gamma x} \tag{13.81}$$

$$E_y = \frac{\gamma Z_{yz} H_0}{k^2}\frac{m\pi}{z_1}\cos\frac{n\pi y}{y_1}\sin\frac{m\pi z}{z_1}e^{j\omega t-\gamma x} \tag{13.82}$$

$$E_x = 0 \tag{13.83}$$

جہاں آخر میں $E_x = 0$ بھی شامل کیا گیا ہے۔مساوات 13.78 تا مساوات 13.83 مستطیلی مویج میں TE موج کا مکمل حل ہے۔یہاں آٹھواں قدم پورا ہوتا ہے۔

آئیں مستطیلی مویج میں m اور n مستقل پر غور کریں۔اگر $m = 1$ اور $n = 0$ ہوں تب مندرجہ بالا مساوات میں H_y، E_z اور E_x صفر کے برابر حاصل ہوتے ہیں۔یوں مویج میں صرف H_x، H_z اور E_y میدان پائے جاتے ہیں۔دائیں چادر، یعنی $z = 0$، پر $E_y = 0$ پایا جاتا ہے جبکہ دونوں چادروں کے عین درمیان $z = \frac{z_1}{2}$ پر میدان کی چوٹی پائی جاتی ہے۔شکل 13.10-الف میں پہلا خط E_y ہی ہے۔اگر H_x کی بات کی جائے تو دائیں چادر، یعنی $z = 0$، پر H_x کی چوٹی جبکہ بائیں چادر، یعنی $z = z_1$، پر H_x کا نشیب پایا جاتا ہے۔ان دو اطراف کے عین درمیان $z = \frac{z_1}{2}$ پر $H_x = 0$ پایا جاتا ہے۔شکل 13.10-الف میں دوسرا خط H_x ہے۔مقناطیسی میدان H_z بھی دائیں اور بائیں چادروں پر صفر کے برابر ہے جبکہ ان کے عین درمیان اس کی چوٹی پائی جاتی ہے۔یوں $m = 1$ اور $n = 0$ کی صورت میں میدان z کے ساتھ تبدیل ہوتے ہیں جبکہ y کا ان پر کوئی اثر نہیں پایا جاتا۔ساتھ ہی ساتھ z پر میدان کا آدھا چکر پایا جاتا ہے۔

$m = 2$ اور $n = 0$ کی صورت میں میدان شکل 13.10-ب میں دکھائے گئے ہیں۔اب بھی میدان z کے ساتھ تبدیل ہوتے ہیں جبکہ y کا ان پر کوئی اثر نہیں پایا جاتا۔ساتھ ہی ساتھ z پر میدان کا مکمل چکر، یعنی دو آدھے چکر، پائے جاتے ہیں۔ان سے آپ دیکھ سکتے ہیں کہ m کی قیمت z پر میدان کے آدھے چکروں کی گنتی ہے۔آپ جلد دیکھیں گے کہ n بالکل اسی طرح y پر میدان کے آدھے چکروں کی گنتی ہے۔ان حقائق کو سامنے رکھتے ہوئے بلند درجی TE موج کو m اور n سے پہچانا جاتا ہے۔یوں شکل 13.10-الف کے امواج TE_{10} جبکہ شکل 13.10-ب کے امواج TE_{20} کہلاتے ہیں۔یوں عمومی بلند درجی عرضی برقی موج TE_{mn} کہلائے گی جہاں z پر آدھے چکروں کی تعداد m ہے جبکہ y پر آدھے چکروں کی تعداد n ہے۔مستطیلی مویج میں عموماً z سے لمبی طرف کو ظاہر کیا جاتا ہے۔اسی طرح مقناطیسی امواج TM_{mn} کہلائے جاتے ہیں۔

آئیں TE پر تفصیلاً غور کریں۔

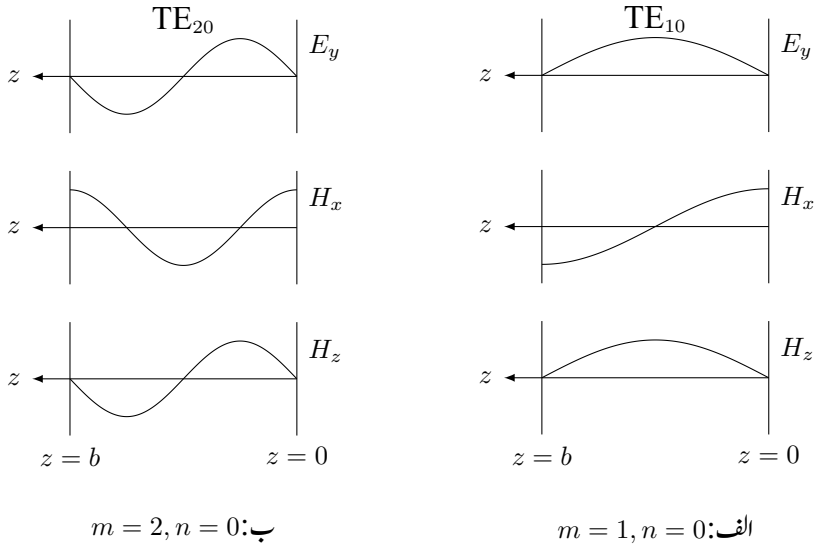

شکل 13.10: بلند انداز TE امواج۔

13.3.1 مستطیلی مویج کے میدان پر تفصیلی غور

بلند درجی TE_{10} موج:

مساوات 13.78 تا مساوات 13.83 میں $m = 1$ اور $n = 0$ پر کرنے سے مندرجہ ذیل TE_{10} امواج حاصل ہوتے ہیں۔

$$
\begin{aligned}
E_x &= 0 \qquad\qquad \text{TE کا بنیادی شرط} \\
E_y &= \frac{\gamma Z_{yz} H_0}{k^2} \frac{\pi}{z_1} \sin \frac{\pi z}{z_1} e^{j\omega t - \gamma x} \\
E_z &= 0 \\
H_x &= H_0 \cos \frac{\pi z}{z_1} e^{j\omega t - \gamma x} \\
H_y &= 0 \\
H_z &= \frac{\gamma H_0}{k^2} \frac{\pi}{z_1} \sin \frac{\pi z}{z_1} e^{j\omega t - \gamma x}
\end{aligned}
\tag{13.84}
$$

ان میں پہلی مساوات، یعنی $E_x = 0$، درحقیقت TE موج کی تعریف ہے۔ان امواج کو شکل 13.10-الف میں $t = 0$ اور $x = 0$ کی صورت میں دکھایا گیا ہے۔ان اشکال میں میدان بالمقابل z دکھایا گیا ہے۔مندرجہ بالا مساوات میں کوئی میدان بھی y پر منحصر نہیں ہے لہٰذا y کے تبدیلی سے یہ میدان تبدیل نہیں ہوں گے۔TE_{10} تمام اقسام کے بلند درجی امواج میں سب سے لمبی انقطاعی طول موج رکھتی ہے لہٰذا اس کی انقطاعی تعدد سب سے کم ہے۔شکل 13.11 میں E_y اور H_z کو بطور سمتیہ دکھایا گیا ہے۔شکل-الف میں $z = \frac{z_1}{2}$ پر سمتیوں کی تعداد زیادہ دکھا کر گھنے میدان کو ظاہر کرنے کی کوشش کی گئی ہے۔ساتھ ہی ساتھ اس خطے کو گہرا رنگ بھی دے کر گھنے میدان کو ظاہر کیا گیا ہے۔شکل-ب میں مقناطیسی میدان کی سمت کو سمتیہ سے جبکہ میدان کو گہرے رنگ سے ظاہر کیا گیا ہے۔

بلند درجی TE_{20} موج:

شکل 13.11 میں TE_{20} کے E_y اور H_z اشکال بھی دکھائے گئے ہیں۔

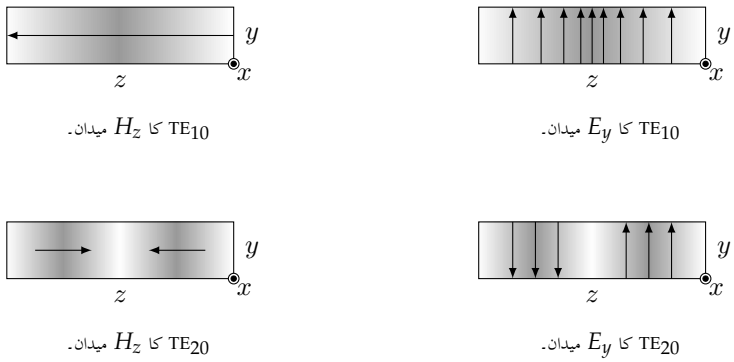

E_y کا TE_{10} میدان۔

H_z کا TE_{10} میدان۔

E_y کا TE_{20} میدان۔

H_z کا TE_{20} میدان۔

شکل 13.11: TE_{10} اور TE_{20} کے E_y اور H_z میدان۔

4407 بلند درجی TE_{11} موج:

مساوات 13.78 تا مساوات 13.83 میں $m = 1$ اور $n = 1$ پر کرنے سے مندرجہ ذیل TE_{11} امواج حاصل ہوتے ہیں۔

$$
\begin{aligned}
E_x &= 0 \qquad\qquad \text{TE کا بنیادی شرط} \\
E_y &= \frac{\gamma Z_{yz} H_0}{k^2} \frac{\pi}{z_1} \cos \frac{\pi y}{y_1} \sin \frac{\pi z}{z_1} e^{j\omega t - \gamma x} \\
E_z &= -\frac{\gamma Z_{yz} H_0}{k^2} \frac{\pi}{y_1} \sin \frac{\pi y}{y_1} \cos \frac{\pi z}{z_1} e^{j\omega t - \gamma x} \\
H_x &= H_0 \cos \frac{\pi y}{y_1} \cos \frac{\pi z}{z_1} e^{j\omega t - \gamma x} \\
H_y &= \frac{\gamma H_0}{k^2} \frac{\pi}{y_1} \sin \frac{\pi y}{y_1} \cos \frac{\pi z}{z_1} e^{j\omega t - \gamma x} \\
H_z &= \frac{\gamma H_0}{k^2} \frac{\pi}{z_1} \cos \frac{\pi y}{y_1} \sin \frac{\pi z}{z_1} e^{j\omega t - \gamma x}
\end{aligned}
\tag{13.85}
$$

4408 اس بلند درجی انداز میں صرف E_x ہر نقطے پر تمام اوقات صفر کے برابر رہتا ہے۔ان میدان کو شکل 13.12 میں دکھایا گیا ہے۔

مستطیل مویج کے حاصل حل میدان تمام ممکنہ میدان ہیں جو کسی مویج میں پائے جا سکتے ہیں۔حقیقت میں کسی بھی مویج میں پائے جانے والے امواج کا دارومدار مویج کی جسامت، موج پیدا کرنے کا طریقہ اور مویج میں ناہمواریوں پر ہے۔کسی بھی نقطے پر موجود تمام میدانوں کا مجموعی میدان پایا جائے گا۔ 4411

واپس اپنی گفتگو پر آتے ہوئے مساوات 13.64، مساوات 13.71 اور مساوات 13.76 کو ملا کر

$$
k^2 = \left(\frac{n\pi}{y_1}\right)^2 + \left(\frac{m\pi}{z_1}\right)^2 \tag{13.86}
$$

لکھا جا سکتا ہے جہاں مساوات 13.33، مساوات 13.52 اور مساوات 13.57 سے

$$
k^2 = \gamma^2 - j\omega\mu(\sigma + j\omega\epsilon) \tag{13.87}
$$

کے برابر ہے۔بے ضیاع ذو برق میں $\sigma = 0$ لیا جا سکتا ہے۔اس طرح مندرجہ بالا دو مساوات سے

$$
\gamma = \sqrt{\left(\frac{n\pi}{y_1}\right)^2 + \left(\frac{m\pi}{z_1}\right)^2 - \omega^2\mu\epsilon} \tag{13.88}
$$

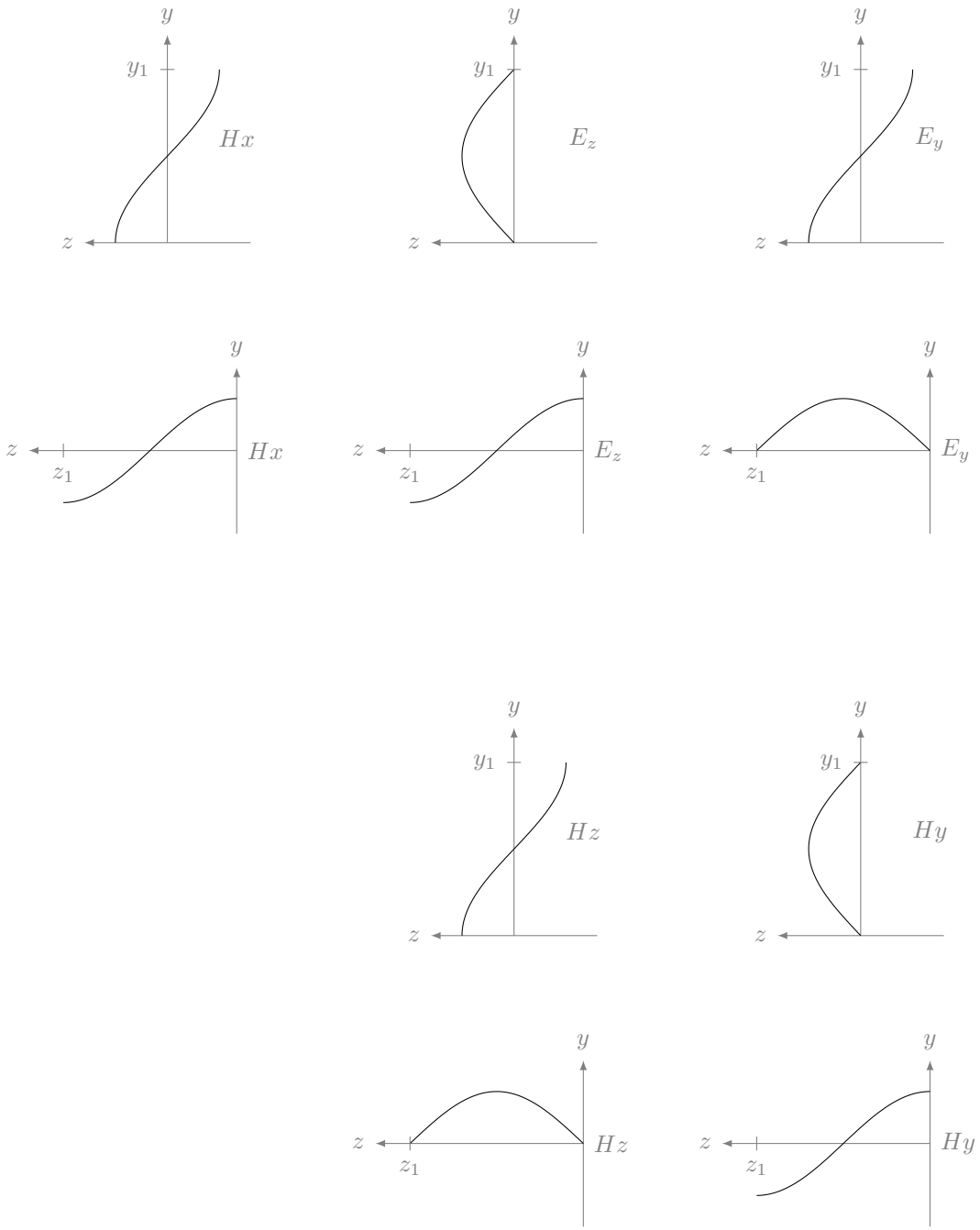

شکل 13.12: TE_{11} میدان۔

حاصل ہوتا ہے۔

ایک مخصوص قیمت سے کم تعدد پر جزر میں آخری جزو پہلے دو اجزاء کے مجموعے سے کم ہو گا لہٰذا γ حقیقی ہو گا۔ حقیقی γ کی صورت میں موج گھٹے گی اور یہ موج میں صفر نہیں کر پائے گی۔

اسی طرح اس مخصوص قیمت سے زیادہ تعدد پر γ خیالی عدد ہو گا لہٰذا موج میں موج صفر کرے گی۔

ان دو قیمتوں کے درمیان تعدد کی وہ قیمت ہو گی جس پر $\gamma = 0$ حاصل ہوتا ہے۔اس تعدد کو انقطاعی تعدد[13] کہتے ہیں۔انقطاعی تعدد سے بلند تعدد کے امواج، بغیر گھٹے، موج میں صفر کر سکتے ہیں جبکہ اس سے کم تعدد کے امواج گھٹتے ہیں لہٰذا یہ موج میں صفر نہیں کر پاتے۔

ان تین تعددی خطوں کو ایک جگہ دوبارہ پیش کرتے ہیں۔

- کم تعدد یعنی کم ω پر γ حقیقی ہوتا ہے۔موج غیر شفاف ہوتا ہے جس میں امواج صفر نہیں کر سکتے۔
- مخصوص درمیانی تعدد پر $\gamma = 0$ ہوتا ہے۔یہ انقطاعی تعدد ہے۔
- زیادہ تعدد پر γ خیالی ہوتا ہے۔موج شفاف ہوتا ہے جس میں امواج صفر کر سکتے ہیں۔

مساوات 13.88 میں $\sqrt{\omega^2\mu\epsilon}$ درحقیقت ایسی لامحدود خطے کا زاویائی مستقل β_0 ہے جس میں وہی ذو برق ہو جو موج میں پایا جاتا ہے۔یوں ہم

$$\gamma = \sqrt{k^2 - \beta_0^2} \tag{13.89}$$

لکھ سکتے ہیں جہاں

$$\beta_0 = \sqrt{\omega^2\mu\epsilon} = \frac{2\pi}{\lambda_0} \quad \text{لامحدود خطے کا زاویائی مستقل}$$
$$\lambda_0 \quad \text{لامحدود خطے میں طول موج}$$
$$k = \sqrt{\left(\frac{n\pi}{y_1}\right)^2 + \left(\frac{m\pi}{z_1}\right)^2}$$

ہیں۔یوں انقطاعی تعدد سے بلند تعدد پر $\beta_0 > k$ ہو گا لہٰذا

$$\gamma = \sqrt{k^2 - \beta_0^2} = j\beta \tag{13.90}$$

ہو گا جہاں

$$\beta = \frac{2\pi}{\lambda} = \sqrt{\beta_0^2 - k^2} \quad \text{موج میں زاویائی مستقل}$$
$$\lambda \quad \text{موج میں طول موج}$$

ہیں۔کافی بلند تعدد پر $\beta_0 \gg k$ ہو گا اور یوں موج کے زاویائی مستقل β کی قیمت لامحدود خطے کے زاویائی مستقل β_0 کے قیمت کے قریب ہو گی۔اس کے برعکس انقطاعی تعدد سے کم تعدد پر $\beta_0 < k$ ہو گا جس سے

$$\gamma = \sqrt{k^2 - \beta_0^2} = \alpha \tag{13.91}$$

[13] cutoff frequency

حاصل ہوتا ہے جہاں α تضعیفی مستقل ہے۔

کافی کم تعدد پر $\beta_0 \ll k$ ہو گا لہٰذا تضعیفی مستقل کی قیمت k کے قریب ہو گی۔

عین انقطاعی تعدد پر $\beta_0 = k$ ہو گا لہٰذا $\gamma = 0$ ہو گا۔یوں انقطاعی تعدد پر

$$\omega^2 \mu\epsilon = \left(\frac{n\pi}{y_1}\right)^2 + \left(\frac{m\pi}{z_1}\right)^2 \tag{13.92}$$

ہو گا جس سے انقطاعی تعدد[14]

$$f_c = \frac{1}{2\sqrt{\mu\epsilon}}\sqrt{\left(\frac{n}{y_1}\right)^2 + \left(\frac{m}{z_1}\right)^2} \qquad \text{(Hz)} \tag{13.93}$$

اور انقطاعی طول موج

$$\lambda_{0c} = \frac{2\pi}{\sqrt{\left(\frac{n\pi}{y_1}\right)^2 + \left(\frac{m\pi}{z_1}\right)^2}} = \frac{2}{\sqrt{\left(\frac{n}{y_1}\right)^2 + \left(\frac{m}{z_1}\right)^2}} = \frac{2\pi}{k} \qquad \text{(m)} \tag{13.94}$$

یا

$$k = \frac{2\pi}{\lambda_{0c}} \tag{13.95}$$

حاصل ہوتے ہیں جہاں λ_{0c} لامحدود خطے میں انقطاعی تعدد پر طول موج ہے جسے چھوٹا کر کہ انقطاعی طول موج[15] پکارا جاتا ہے۔مساوات 13.93 اور مساوات 13.94 سے کھوکھلے مستطیلی مویج کے کسی بھی TE_{mn} موج کا انقطاعی تعدد اور انقطاعی طول موج حاصل کیا جا سکتا ہے۔مثال کے طور پر TE_{10} موج کا انقطاعی طول موج

$$\lambda_{0c} = 2z_1 \tag{13.96}$$

حاصل ہوتا ہے جو وہی قیمت ہے جو مساوات 13.5 میں حاصل کی گئی تھی جہاں $z_1 = b$ کے برابر ہے۔

انقطاعی تعدد سے بلند تعدد $(\beta_0 > k)$ پر

$$\beta = \sqrt{\beta_0^2 - k^2} = \sqrt{\omega^2\mu\epsilon - \left(\frac{n\pi}{y_1}\right)^2 - \left(\frac{m\pi}{z_1}\right)^2} \tag{13.97}$$

کے برابر ہے۔اب $\beta_0 = \frac{2\pi}{\lambda_0}$ اور مساوات 13.95 مندرجہ بالا مساوات میں پر کرتے ہوئے

$$\beta = \sqrt{\left(\frac{2\pi}{\lambda_0}\right)^2 - \left(\frac{2\pi}{\lambda_{0c}}\right)^2} = \beta_0\sqrt{1 - \left(\frac{\lambda_0}{\lambda_{0c}}\right)^2} \tag{13.98}$$

لکھا جا سکتا ہے لہٰذا مویج میں طول موج

$$\lambda_{\text{مویج}} = \frac{2\pi}{\beta} = \frac{\lambda_0}{\sqrt{1 - \left(\frac{\lambda_0}{\lambda_{0c}}\right)^2}} \tag{13.99}$$

---

[14] cutoff frequency
[15] cutoff wavelength

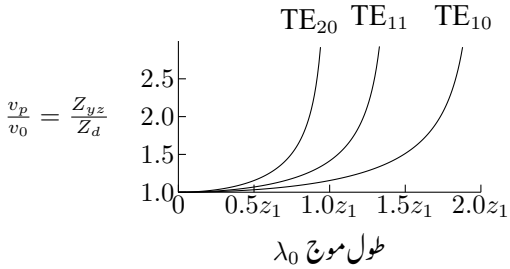

شکل 13.13: مختلف بلند درجی امواج کے مستطیلی مویج میں دوری رفتار بالمقابل طول موج λ_0۔

اور مویج میں دوری رفتار[16] v_p

$$v_p = \frac{\omega}{\beta} = \frac{v_0}{\sqrt{1 - \left(\frac{n\lambda_0}{2y_1}\right)^2 - \left(\frac{m\lambda_0}{2z_1}\right)^2}} \tag{13.100}$$

یا

$$v_p = \frac{v_0}{\sqrt{1 - \left(\frac{\lambda_0}{\lambda_{0c}}\right)^2}} \tag{13.101}$$

حاصل ہوتے ہیں جہاں

v_o لامحدود خطے میں دوری رفتار $v_0 = \frac{\omega}{\beta_0} = \frac{1}{\sqrt{\mu\epsilon}}$ ہے،

λ_0 لامحدود خطے میں طول موج،

λ_{0c} انقطاعی طول موج

ہیں۔

شکل 13.13 میں مختلف بلند انداز امواج کے دوری رفتار بالمقابل طول موج λ_0 دکھائے گئے ہیں۔دوری رفتار کو لامحدود خطے کے دوری رفتار v_0 کی نسبت سے دکھایا گیا ہے۔ان اشکال میں مستطیلی مویج کے دونوں اطراف برابر لمبائی $(y_1 = z_1)$ کے تصور کئے گئے ہیں۔

مندرجہ بالا تجزیے میں مویج کے اطراف کامل موصل کے تصور کئے گئے اور ساتھ ہی ساتھ مویج میں بے ضیاع ذو برق بھرا تصور کیا گیا۔اسی لئے انقطاعی تعدد سے بلند تعدد پر امواج بغیر گھٹے مویج میں صفر کرتے ہیں۔حقیقت میں مویج کے اطراف کے موصل کی موصلیت اور ذو برق میں طاقت کی ضیاع سے $\gamma = \alpha + j\beta$ ہو گا لہٰذا انقطاعی تعدد سے بلند تعدد کے امواج بھی صفر کے دوران کچھ نہ کچھ گھٹتے ہیں۔

کھوکھلے مویج جس میں صرف ہوا بھری ہو میں ذو برق یعنی ہوا کا ضیاع قابل نظر انداز ہوتا ہے۔ایسے مویج میں طاقت کا ضیاع صرف مویج کے چادروں کی موصلیت کی بنا ہے۔موصل چادر مکمل طور پر کامل نہ ہونے کا مطلب لے کہ حقیقت میں چادر کے متوازی برقی میدان E_m صفر نہیں ہو گا۔اچھے موصل مثلاً تانبے کی بنی چادر میں E_m کی قیمت قابل نظر انداز ہوتی ہے۔یوں تانبے یا دیگر اچھے موصل کے چادر سے بنی مویج کے طول موج λ، زاویائی مستقل β یا دوری رفتار v_p حاصل کرتے وقت مویج کے چادر کو کامل ہی تصور کیا جاتا ہے۔ایسی صورت میں تضعیفی مستقل α کا تخمینہ علیحدہ طور پر لگایا جاتا ہے۔

[16] phase velocity

آخر میں مستطیلی مویج میں عرضی برقی موج کی رکاوٹ Z_{yz} مساوات 13.52 سے حاصل کرتے ہیں۔

$$Z_{yz} = \frac{j\omega\mu}{\gamma} \tag{13.102}$$

انقطاعی تعدد سے بلند تعدد پر $\gamma = j\beta$ ہوتا ہے لہٰذا

$$Z_{yz} = \frac{\omega\mu}{\beta} = \frac{Z_z}{\sqrt{1-\left(\frac{\lambda_0}{\lambda_{0c}}\right)^2}} \qquad (\Omega) \tag{13.103}$$

ہو گا جہاں

Z_z مویج کے ذو برق کی قدرتی رکاوٹ $Z_z = \sqrt{\frac{\mu}{\epsilon}}$ جبکہ

λ_0 لامحدود خطے میں طول موج،

λ_{0c} انقطاعی طول موج

ہیں۔ہوا کے لئے $Z_z = 120\pi = 376.7\,\Omega$ کے برابر ہے۔چونکہ Z_{yz} اور Z_z کی شرح بالقل v_p اور v_0 کی شرح کے برابر ہے لہٰذا شکل 13.13 $\frac{Z_{yz}}{Z_z}$ بالمقابل λ_0 بھی دیتا ہے۔

مشق 13.1: TE_{10}، TE_{20} اور TE_{11} امواج کی انقطاعی طول موج مندرجہ ذیل مستطیلی مویج کے لئے حاصل کریں۔

- ہوا سے بھرا مویج جس کے اطراف چار سنٹی میٹر اور دو سنٹی میٹر ہیں۔
- ہوا سے بھرا مویج جس کے دونوں اطراف چار سنٹی میٹر کے برابر ہیں۔

جوابات: پہلا مویج 8 cm، 4 cm، 3.577 cm۔ دوسرا مویج 8 cm، 4 cm، 5.656 cm

---

13.4 مستطیلی مویج میں عرضی مقناطیسی TM_{mn} موج

عرضی برقی امواج حل کرنے کے آٹھ قدم صفحہ 450 پر بتلائے گئے۔انہیں آٹھ قدم سے شکل 13.9 کے مستطیلی مویج میں عرضی مقناطیسی موج TM_{mn} بھی حاصل کئے جاتے ہیں۔فرق صرف اتنا ہے کہ یہاں $H_x = 0$ فرض کر کے مسئلہ حل کیا جاتا ہے۔TM_{mn} موج کہتے ہی اس موج کو ہیں جن میں $H_x = 0$ ہو۔آئیں TM_{mn} حاصل کرنے کے اہم نکات کا تذکرہ کریں۔

موج حاصل کرنے کے پہلے تین قدم میں کوئی تبدیلی نہیں پائی جاتی لہٰذا مساوات 13.14 تا مساوات 13.42 جوں کے توں استعمال کئے جائیں گے۔چوتھے قدم میں $H_x = 0$ پر کرنے سے

$$\frac{\partial E_z}{\partial y} - \frac{\partial E_y}{\partial z} = 0 \tag{13.104}$$

$$\frac{\partial E_x}{\partial z} + \gamma E_z - Z H_y = 0 \tag{13.105}$$

$$-\gamma E_y - \frac{\partial E_x}{\partial y} - Z H_z = 0 \tag{13.106}$$

$$\frac{\partial H_z}{\partial y} - \frac{\partial H_y}{\partial z} - Y E_x = 0 \tag{13.107}$$

$$\gamma H_z - Y E_y = 0 \tag{13.108}$$

$$-\gamma H_y - Y E_z = 0 \tag{13.109}$$

$$-\gamma E_x + \frac{\partial E_y}{\partial y} + \frac{\partial E_z}{\partial z} = 0 \tag{13.110}$$

$$\frac{\partial H_y}{\partial y} + \frac{\partial H_z}{\partial z} = 0 \tag{13.111}$$

حاصل ہوتا ہے۔مساوات 13.108 اور مساوات 13.109 سے

$$Z_{yz} = \frac{E_y}{H_z} = -\frac{E_z}{H_y} = \frac{\gamma}{Y} \tag{13.112}$$

لکھا جا سکتا ہے۔اس مساوات کا مساوات 13.52 کے ساتھ موازنہ کریں۔اگرچہ دونوں جگہ Z_{yz} کی تعریف $\frac{E_y}{H_z}$ ہی ہے لیکن دونوں جگہ اس شرح کی قیمت مختلف ہے۔یہیں سے آپ توقع کر سکتے ہیں کہ TM_{mn} موج کی رکاوٹ TE_{mn} کے رکاوٹ سے مختلف ہو گی۔

پانچویں قدم میں تمام میدان کو E_x کی صورت میں حاصل کرنا ہے۔مساوات 13.112 کو مساوات 13.105 میں پر کرتے ہوئے H_y کے لئے حل کرتے ہوئے

$$H_y = \frac{Y}{\gamma^2 + YZ} \frac{\partial E_x}{\partial z} \tag{13.113}$$

اور اسی طرح مساوات 13.112 کو مساوات 13.106 میں پر کرتے ہوئے H_z کے لئے حل کرتے ہوئے

$$H_z = \frac{-Y}{\gamma^2 + YZ} \frac{\partial E_x}{\partial y} \tag{13.114}$$

حاصل ہوتے ہیں۔ان دو مساوات اور مساوات 13.112 سے

$$E_y = \frac{-\gamma}{\gamma^2 + YZ} \frac{\partial E_x}{\partial y} \tag{13.115}$$

$$E_z = \frac{-\gamma}{\gamma^2 + YZ} \frac{\partial E_x}{\partial z} \tag{13.116}$$

لکھا جا سکتا ہے۔یوں پانچواں قدم پورا ہوتا ہے۔ 4458

چھٹے قدم میں E_x کے موج کی مساوات حاصل کرنے کی غرض سے مساوات 13.115 کا y کے ساتھ تفرق اور مساوات 13.116 کا z کے ساتھ تفرق مساوات 13.110 میں پر کرتے ہوئے

$$-\gamma E_x - \frac{\gamma}{\gamma^2+YZ}\frac{\partial^2 E_x}{\partial y^2} - \frac{\gamma}{\gamma^2+YZ}\frac{\partial^2 E_x}{\partial z^2} = 0$$

یا

$$\frac{\partial^2 E_x}{\partial y^2} + \frac{\partial^2 E_x}{\partial z^2} + (\gamma^2+YZ)E_x = 0$$

حاصل ہوتا ہے جسے

$$\frac{\partial^2 E_x}{\partial y^2} + \frac{\partial^2 E_x}{\partial z^2} + k^2 E_x = 0 \tag{13.117}$$

لکھا جا سکتا ہے جہاں

$$k^2 = \gamma^2 + YZ = \gamma\left(\gamma + \frac{Z}{Z_{yz}}\right) \tag{13.118}$$

کے برابر ہے۔مساوات 13.57 کے ساتھ موازنہ کرتے ہوئے آپ دیکھ سکتے ہیں کہ TM_{mn} اور TE_{mn} امواج کے k^2 مختلف قیمت رکھتے ہیں۔ 4459

ساتویں قدم پر مساوات 13.117 کا ایسا حل درکار ہے جو مستطیلی مویج کے اطراف پر برقی اور مقناطیسی سرحدی شرائط پر پورا اترتا ہو۔بالکل پہلے کی طرح حل کرتے ہوئے

$$k^2 = \left(\frac{n\pi}{y_1}\right)^2 + \left(\frac{m\pi}{z_1}\right)^2 \tag{13.119}$$

اور میدان

$$E_x = E_0 \sin\frac{n\pi y}{y_1}\sin\frac{m\pi z}{z_1}e^{j\omega t-\gamma x} \tag{13.120}$$

حاصل ہوتا ہے جسے باری باری مساوات 13.113 تا مساوات 13.116 میں پر کرتے ہوئے

$$H_y = \frac{YE_0}{\gamma^2+YZ}\frac{m\pi}{z_1}\sin\frac{n\pi y}{y_1}\cos\frac{m\pi z}{z_1}e^{j\omega t-\gamma x} \tag{13.121}$$

$$H_z = \frac{-YE_0}{\gamma^2+YZ}\frac{n\pi}{y_1}\cos\frac{n\pi y}{y_1}\sin\frac{m\pi z}{z_1}e^{j\omega t-\gamma x} \tag{13.122}$$

$$E_y = \frac{-\gamma E_0}{\gamma^2+YZ}\frac{n\pi}{y_1}\cos\frac{n\pi y}{y_1}\sin\frac{m\pi z}{z_1}e^{j\omega t-\gamma x} \tag{13.123}$$

$$E_z = \frac{-\gamma E_0}{\gamma^2+YZ}\frac{m\pi}{z_1}\sin\frac{n\pi y}{y_1}\cos\frac{m\pi z}{z_1}e^{j\omega t-\gamma x} \tag{13.124}$$

حاصل ہوتے ہیں۔ان جوابات کے ساتھ

$$H_x = 0 \qquad \text{موج ہونے کا شرط } \mathrm{TM}_{mn} \tag{13.125}$$

شامل کرتے ہوئے تمام میدان حاصل ہوتے ہیں۔ 4460

مساوات 13.120 تا مساوات 13.125 کے TM_{mn} امواج میں m یا n صفر کے برابر ہونے سے تمام میدان صفر ہو جاتے ہیں لہٰذا TM_{mn} کا کم سے کم تعددی موج TM_{11} ہے۔

بے ضیاع $\sigma = 0$ ذو برق تصور کرتے ہوئے، مساوات 13.118، مساوات 13.119 اور مساوات 13.33 سے

$$\begin{aligned}\gamma &= \sqrt{\left(\frac{n\pi}{y_1}\right)^2 + \left(\frac{m\pi}{z_1}\right)^2 - \omega^2\mu\epsilon} \\ &= \sqrt{k^2 - \beta_0^2}\end{aligned} \tag{13.126}$$

لکھا جا سکتا ہے جہاں $\omega\sqrt{\mu\epsilon}$ لامحدود وسعت کے خطے میں موج کا زاویائی مستقل β_0 ہے۔ مندرجہ بالا مساوات میں $k > \beta_0$ کی صورت میں $\gamma = \alpha + j\beta$ سے

$$\begin{aligned}\alpha &= \sqrt{k^2 - \beta_0^2} \qquad (k > \beta_0) \\ \beta &= 0\end{aligned} \tag{13.127}$$

حاصل ہوتا ہے۔ اس صورت میں موج صفر نہیں کر پائے گی۔ اس کے برعکس $k < \beta_0$ کی صورت میں

$$\begin{aligned}\alpha &= 0 \\ \beta &= \sqrt{\beta_0^2 - k^2} \qquad (k < \beta_0)\end{aligned} \tag{13.128}$$

حاصل ہوتے ہیں۔ اس صورت میں موج، بغیر گھٹے مویج میں صفر کرے گی۔ انقطاعی تعدد ان دو تعددی خطوں کے عین درمیان پایا جائے گا جہاں γ کی قیمت حقیقی سے خیالی ہوتے ہوئے صفر سے گزرے گی۔ مساوات 13.126 میں $\gamma = 0$ پر کرنے سے انقطاعی تعدد

$$\omega_c^2\mu\epsilon = \left(\frac{n\pi}{y_1}\right)^2 + \left(\frac{m\pi}{z_1}\right)^2 \tag{13.129}$$

یا

$$f_c = \frac{1}{2\sqrt{\mu\epsilon}}\sqrt{\left(\frac{n}{y_1}\right)^2 + \left(\frac{m}{z_1}\right)^2} \tag{13.130}$$

حاصل ہوتا ہے۔ اس طرح انقطاعی طول موج

$$\lambda_{0c} = \frac{2\pi}{\sqrt{\left(\frac{n\pi}{y_1}\right)^2 + \left(\frac{m\pi}{z_1}\right)^2}} = \frac{2}{\sqrt{\left(\frac{n}{y_1}\right)^2 + \left(\frac{m}{z_1}\right)^2}} = \frac{2\pi}{k} \tag{13.131}$$

یا

$$k = \frac{2\pi}{\lambda_{0c}} \tag{13.132}$$

حاصل ہوتا ہے۔ آپ دیکھ سکتے ہیں کہ TM_{mn} اور TE_{mn} امواج کے انقطاعی تعدد کے مساوات ہو بہو ایک جیسے ہیں۔

انقطاعی تعدد سے بلند تعدد $\beta_0 > k$ کی صورت میں

$$\beta = \sqrt{\beta_0^2 - k^2} = \sqrt{\omega^2\mu\epsilon - \left(\frac{n\pi}{y_1}\right)^2 - \left(\frac{m\pi}{z_1}\right)^2} \tag{13.133}$$

ہو گا جس سے مویج میں طول موج

$$\lambda_{\text{مویج}} = \frac{2\pi}{\beta} = \frac{\lambda_0}{\sqrt{1-\left(\frac{\lambda_0}{\lambda_{0c}}\right)^2}} \tag{13.134}$$

اور مویج میں دوری رفتار

$$\begin{aligned} v_p = \frac{\omega}{\beta} &= \frac{v_0}{\sqrt{1-\left(\frac{n\lambda_0}{2y_1}\right)^2-\left(\frac{m\lambda_0}{2z_1}\right)^2}} \\ &= \frac{v_0}{\sqrt{1-\left(\frac{\lambda_0}{\lambda_{0c}}\right)^2}} \end{aligned} \tag{13.135}$$

حاصل ہوتے ہیں جہاں

v_0 لامحدود خطے میں دوری رفتار $v_0 = \frac{1}{\sqrt{\mu\epsilon}}$ جبکہ

λ_0 لامحدود خطے میں طول موج اور

λ_{0c} انقطاعی طول موج

ہیں۔آپ دیکھ سکتے ہیں کہ TM_{mn} اور TE_{mn} کے دوری رفتار کے مساوات بھی ہو بہو یکساں ہیں۔

عرضی مقناطیسی موج کی رکاوٹ مساوات 13.112 سے

$$Z_{yz} = \frac{\gamma}{Y}$$

ہے جو انقطاعی تعدد سے بلند تعدد $\gamma = j\beta$ کی صورت میں

$$Z_{yz} = \frac{\beta}{\omega\epsilon} = Z_z\sqrt{1-\left(\frac{\lambda_0}{\lambda_{0c}}\right)^2} \tag{13.136}$$

ہو گا جہاں

Z_z مویج کے ذو برق کی قدرتی رکاوٹ $Z_z = \sqrt{\frac{\mu}{\epsilon}}$ جبکہ

λ_0 لامحدود خطے میں طول موج اور

λ_{0c} انقطاعی طول موج

کے برابر ہیں۔مساوات 13.136 کا مساوات 13.103 کے ساتھ موازنہ کرنے سے آپ دیکھ سکتے ہیں کہ TM_{mn} اور TE_{mn} امواج کی رکاوٹ مختلف ہیں۔

ہم نے دیکھا کہ ہر بلند درجی انداز کا اپنا مخصوص انقطاعی تعدد، رفتار اور رکاوٹ ہوتے ہیں۔اگر تعدد اتنی ہو کہ مختلف بلند انداز مویج میں صفر کر سکتے ہوں تب میدان ان تمام میدانوں کا مجموعہ ہو گا جو مویج میں پائے جاتے ہوں۔

جدول 13.1 مستطیلی مویج میں TE_{mn} موج کے متغیرات کے تعلق دیتا ہے۔Z_{yz} کے علاوہ یہی تعلق TM_{mn} کے لئے بھی درست ہیں۔

جدول 13.1: مستطیلی مویج میں TE_{mn} امواج کے متغیرات کے تعلق۔

نام تفاعل	اکائی	تعلق
انقطاعی تعدد	Hz	$f_c = \frac{1}{2\sqrt{\mu\epsilon}}\sqrt{\left(\frac{n}{y_1}\right)^2 + \left(\frac{m}{z_1}\right)^2}$
انقطاعی طول موج	m	$\lambda_{0c} = \frac{2}{\sqrt{\left(\frac{n}{y_1}\right)^2 + \left(\frac{m}{z_1}\right)^2}}$
مویج میں طول موج	m	$\lambda_{\text{مویج}} = \frac{\lambda_0}{\sqrt{1-\left(\frac{\lambda_0}{\lambda_{0c}}\right)^2}}$
دوری رفتار	$\frac{\mathrm{m}}{\mathrm{s}}$	$v_p = \frac{v_0}{\sqrt{1-\left(\frac{\lambda_0}{\lambda_{0c}}\right)^2}}$
عرضی موج کی رکاوٹ	Ω	$Z_{yz} = \frac{Z_z}{\sqrt{1-\left(\frac{\lambda_0}{\lambda_{0c}}\right)^2}}$

13.5 کھوکھلی نالی مویج

کھوکھلی نالی جس کا اندرونی رداس ρ ہو کے مسائل نلکی محدد میں باآسانی حاصل ہوتے ہیں لہٰذا ایسے مویج میں TE_{mn} یا TM_{mn} امواج حاصل کرنے کی خاطر نلکی محدد ہی استعمال کرتے ہیں۔ یہاں بھی صفحہ 450 پر دیے آٹھ قدم لیتے ہوئے جواب حاصل کیا جائے گا۔ نلکی مویج z محدد پر رکھا گیا ہے لہٰذا اس میں امواج z جانب حرکت کریں گے۔

میکس ویل کے گردش کے دو مساوات کو نلکی محدد میں لکھ کر

$$\left[\frac{1}{\rho}\frac{\partial E_z}{\partial \phi} - \frac{\partial E_\phi}{\partial z}\right]\boldsymbol{a}_\rho + \left(\frac{\partial E_\rho}{\partial z} - \frac{\partial E_z}{\partial \rho}\right)\boldsymbol{a}_\phi + \left[\frac{1}{\rho}\frac{\partial (E_\phi \rho)}{\partial \rho} - \frac{1}{\rho}\frac{\partial E_\rho}{\partial \phi}\right]\boldsymbol{a}_z = -\mu\left(\frac{\partial H_\rho}{\partial t}\boldsymbol{a}_\rho + \frac{\partial H_\phi}{\partial t}\boldsymbol{a}_\phi + \frac{\partial H_z}{\partial t}\boldsymbol{a}_z\right)$$

$$\left[\frac{1}{\rho}\frac{\partial H_z}{\partial \phi} - \frac{\partial H_\phi}{\partial z}\right]\boldsymbol{a}_\rho + \left(\frac{\partial H_\rho}{\partial z} - \frac{\partial H_z}{\partial \rho}\right)\boldsymbol{a}_\phi + \left[\frac{1}{\rho}\frac{\partial (H_\phi \rho)}{\partial \rho} - \frac{1}{\rho}\frac{\partial H_\rho}{\partial \phi}\right]\boldsymbol{a}_z = \sigma\left(E_\rho\boldsymbol{a}_\rho + E_\phi\boldsymbol{a}_\phi + E_z\boldsymbol{a}_z\right) + \epsilon\left(\frac{\partial E_\rho}{\partial t}\boldsymbol{a}_\rho + \frac{\partial E_\phi}{\partial t}\boldsymbol{a}_\phi + \frac{\partial E_z}{\partial t}\boldsymbol{a}_z\right)$$

محددی اجزاء علیحدہ علیحدہ لکھتے ہوئے مندرجہ ذیل چھ مساوات

$$\frac{1}{\rho}\frac{\partial E_z}{\partial \phi} - \frac{\partial E_\phi}{\partial z} = -\mu\frac{\partial H_\rho}{\partial t} \tag{13.137}$$

$$\frac{\partial E_\rho}{\partial z} - \frac{\partial E_z}{\partial \rho} = -\mu\frac{\partial H_\phi}{\partial t} \tag{13.138}$$

$$\frac{1}{\rho}\frac{\partial (E_\phi \rho)}{\partial \rho} - \frac{1}{\rho}\frac{\partial E_\rho}{\partial \phi} = -\mu\frac{\partial H_z}{\partial t} \tag{13.139}$$

$$\frac{1}{\rho}\frac{\partial H_z}{\partial \phi} - \frac{\partial H_\phi}{\partial z} = \sigma E_\rho + \epsilon\frac{\partial E_\rho}{\partial t} \tag{13.140}$$

$$\frac{\partial H_\rho}{\partial z} - \frac{\partial H_z}{\partial \rho} = \sigma E_\phi + \epsilon\frac{\partial E_\phi}{\partial t} \tag{13.141}$$

$$\frac{1}{\rho}\frac{\partial (H_\phi \rho)}{\partial \rho} - \frac{1}{\rho}\frac{\partial H_\rho}{\partial \phi} = \sigma E_z + \epsilon\frac{\partial E_z}{\partial t} \tag{13.142}$$

حاصل ہوتے ہیں جن کے ساتھ چارج سے خالی $\rho_h = 0$ خطے میں پھیلاو کے دو مساوات 4481

$$\frac{1}{\rho}\frac{\partial(\rho E_\rho)}{\partial\rho} + \frac{1}{\rho}\frac{\partial E_\phi}{\partial\phi} + \frac{\partial E_z}{\partial z} = 0 \tag{13.143}$$

$$\frac{1}{\rho}\frac{\partial(\rho H_\rho)}{\partial\rho} + \frac{1}{\rho}\frac{\partial H_\phi}{\partial\phi} + \frac{\partial H_z}{\partial z} = 0 \tag{13.144}$$

شامل کرتے ہیں۔ 4482

مساوات 13.137 تا مساوات 13.144 کو وقت کے ساتھ اور z فاصلے کے ساتھ سائن نما تعلق کا پابند $(E_\phi = E_1 e^{j\omega t - \gamma z})$ بناتے ہوئے

$$\frac{1}{\rho}\frac{\partial E_z}{\partial\phi} + \gamma E_\phi - Z H_\rho = 0 \tag{13.145}$$

$$-\gamma E_\rho - \frac{\partial E_z}{\partial\rho} - Z H_\phi = 0 \tag{13.146}$$

$$\frac{1}{\rho}\frac{\partial(E_\phi\rho)}{\partial\rho} - \frac{1}{\rho}\frac{\partial E_\rho}{\partial\phi} - Z H_z = 0 \tag{13.147}$$

$$\frac{1}{\rho}\frac{\partial H_z}{\partial\phi} + \gamma H_\phi - Y E_\rho = 0 \tag{13.148}$$

$$-\gamma H_\rho - \frac{\partial H_z}{\partial\rho} - Y E_\phi = 0 \tag{13.149}$$

$$\frac{1}{\rho}\frac{\partial(H_\phi\rho)}{\partial\rho} - \frac{1}{\rho}\frac{\partial H_\rho}{\partial\phi} - Y E_z = 0 \tag{13.150}$$

$$\frac{1}{\rho}\frac{\partial(\rho E_\rho)}{\partial\rho} + \frac{1}{\rho}\frac{\partial E_\phi}{\partial\phi} + \frac{\partial E_z}{\partial z} = 0 \tag{13.151}$$

$$\frac{1}{\rho}\frac{\partial(\rho H_\rho)}{\partial\rho} + \frac{1}{\rho}\frac{\partial H_\phi}{\partial\phi} - \gamma H_z = 0 \tag{13.152}$$

حاصل ہوتا ہے جہاں

$$Z = -j\omega\mu \quad (\Omega/\mathrm{m}) \qquad \text{سلسلہ وار رکاوٹ}$$

$$Y = \sigma + j\omega\epsilon \quad (\mathrm{S/m}) \qquad \text{متوازی فراوانی}$$

$$\gamma = \alpha + j\beta \qquad \text{حرکی مستقل}$$

ہیں۔ 4483

یہاں ہم عرضی برقی یا عرضی مقناطیسی موج منتخب کرتے ہوئے آگے بڑھ سکتے ہیں۔ ہم TE_{mn} منتخب کرتے ہوئے آگے بڑھتے ہیں۔ یوں $E_z = 0$

ہو گا جس سے

$$\gamma E_\phi - ZH_\rho = 0 \tag{13.153}$$

$$-\gamma E_\rho - ZH_\phi = 0 \tag{13.154}$$

$$\frac{E_\phi}{\rho} + \frac{\partial E_\phi}{\partial \rho} - \frac{1}{\rho}\frac{\partial E_\rho}{\partial \phi} - ZH_z = 0 \tag{13.155}$$

$$\frac{1}{\rho}\frac{\partial H_z}{\partial \phi} + \gamma H_\phi - YE_\rho = 0 \tag{13.156}$$

$$-\gamma H_\rho - \frac{\partial H_z}{\partial \rho} - YE_\phi = 0 \tag{13.157}$$

$$\frac{H_\phi}{\rho} + \frac{\partial H_\phi}{\partial \rho} - \frac{1}{\rho}\frac{\partial H_\rho}{\partial \phi} = 0 \tag{13.158}$$

$$\frac{E_\rho}{\rho} + \frac{\partial E_\rho}{\partial \rho} + \frac{1}{\rho}\frac{\partial E_\phi}{\partial \phi} = 0 \tag{13.159}$$

$$\frac{H_\rho}{\rho} + \frac{\partial H_\rho}{\partial \rho} + \frac{1}{\rho}\frac{\partial H_\phi}{\partial \phi} - \gamma H_z = 0 \tag{13.160}$$

حاصل ہوتا ہے جہاں مساوات 13.147 میں $\frac{\partial(E_\phi \rho)}{\partial \rho}$ تفرق کو کھول کر $E_\phi + \rho\frac{\partial E_\phi}{\partial \rho}$ لکھا گیا ہے۔ایسا ہی بقایا تفرق کے ساتھ بھی کیا گیا ہے۔ 4484

تمام میدان کو H_z کی صورت میں لکھنے کی خاطر مساوات 13.153 اور مساوات 13.154 سے عرضی موج کی رکاوٹ $Z_{\rho\phi}$

$$Z_{\rho\phi} = \frac{E_\rho}{H_\phi} = -\frac{E_\phi}{H_\rho} = -\frac{Z}{\gamma} = \frac{j\omega\mu}{\gamma} \tag{13.161}$$

لیتے ہیں۔ مساوات 13.161 سے E_ρ مساوات 13.156 میں پر کرتے ہوئے H_ϕ کے لئے حل کرتے ہوئے

$$H_\phi = -\frac{1}{\gamma - YZ_{\rho\phi}}\frac{1}{\rho}\frac{\partial H_z}{\partial \phi} \tag{13.162}$$

حاصل ہوتا ہے۔اسی طرح مساوات 13.161 سے E_ϕ مساوات 13.157 میں پر کرتے ہوئے H_ρ کے لئے حل کرتے ہوئے

$$H_\rho = -\frac{1}{\gamma - YZ_{\rho\phi}}\frac{\partial H_z}{\partial \rho} \tag{13.163}$$

حاصل ہوتا ہے۔مندرجہ بالا دو مساوات اور مساوات 13.161 سے

$$E_\rho = -\frac{Z_{\rho\phi}}{\gamma - YZ_{\rho\phi}}\frac{1}{\rho}\frac{\partial H_z}{\partial \phi} \tag{13.164}$$

$$E_\phi = \frac{Z_{\rho\phi}}{\gamma - YZ_{\rho\phi}}\frac{\partial H_z}{\partial \rho} \tag{13.165}$$

لکھے جا سکتے ہیں۔یہ مساوات تمام میدان کو H_z کی صورت میں بیان کرتے ہیں۔ 4485

مساوات 13.164 کا ϕ تفرق، مساوات 13.165 کا ρ تفرق اور مساوات 13.165 کو مساوات 13.155 میں پر کرتے ہوئے

$$\frac{Z_{\rho\phi}}{\gamma - YZ_{\rho\phi}}\frac{1}{\rho}\frac{\partial H_z}{\partial \rho} + \frac{Z_{\rho\phi}}{\gamma - YZ_{\rho\phi}}\frac{\partial^2 H_z}{\partial \rho^2} + \frac{Z_{\rho\phi}}{\gamma - YZ_{\rho\phi}}\frac{1}{\rho^2}\frac{\partial^2 H_z}{\partial \phi^2} - ZH_z = 0 \tag{13.166}$$

موج کی مقداری مساوات حاصل ہوتی ہے۔اس میں

$$\frac{Z\left(\gamma - YZ_{\rho\phi}\right)}{Z_{\rho\phi}} = -k^2 \tag{13.167}$$

یعنی

$$k^2 = \gamma^2 + YZ \tag{13.168}$$

لکھتے ہوئے

$$\frac{1}{\rho}\frac{\partial H_z}{\partial \rho} + \frac{\partial^2 H_z}{\partial \rho^2} + \frac{1}{\rho^2}\frac{\partial^2 H_z}{\partial \phi^2} + k^2 H_z = 0$$

یا

$$\rho^2 \frac{\partial^2 H_z}{\partial \rho^2} + \rho \frac{\partial H_z}{\partial \rho} + k^2 \rho^2 H_z = -\frac{\partial^2 H_z}{\partial \phi^2} \tag{13.169}$$

حاصل ہوتا ہے جس میں

$$H_z(\rho, \phi) = M(\rho) N(\phi) \tag{13.170}$$

لکھ کر متغیرات کی علیحدگی ممکن ہے۔ایسا کرتے ہوئے

$$\rho^2 N \frac{\partial^2 M}{\partial \rho^2} + \rho N \frac{\partial M}{\partial \rho} + k^2 \rho^2 MN = -M \frac{\partial^2 N}{\partial \phi^2}$$

حاصل ہوتا ہے۔دونوں اطراف کو MN سے تقسیم کرتے ہوئے

$$\frac{\rho^2}{M}\frac{\partial^2 M}{\partial \rho^2} + \frac{\rho}{M}\frac{\partial M}{\partial \rho} + k^2 \rho^2 = -\frac{1}{N}\frac{\partial^2 N}{\partial \phi^2}$$

حاصل ہوتا ہے جہاں بایاں ہاتھ کا متغیرہ ρ ہے جبکہ دائیں ہاتھ کا متغیرہ ϕ ہے۔یوں دونوں اطراف کو مستقل n^2 کے برابر پر کیا جا سکتا ہے یعنی

$$\frac{\rho^2}{M}\frac{\partial^2 M}{\partial \rho^2} + \frac{\rho}{M}\frac{\partial M}{\partial \rho} + k^2 \rho^2 = n^2 \tag{13.171}$$

$$-\frac{1}{N}\frac{\partial^2 N}{\partial \phi^2} = n^2 \tag{13.172}$$

مندرجہ بالا میں نچلی مساوات کا حل

$$N = c_1 \cos n\phi + c_2 \sin n\phi \tag{13.173}$$

ہے جہاں c_1 اور c_2 مساوات کے مستقل ہیں۔ 4486

مساوات 13.171 کو

$$\rho^2 \frac{\partial^2 M}{\partial \rho^2} + \rho \frac{\partial M}{\partial \rho} + (k^2 \rho^2 - n^2) M = 0 \tag{13.174}$$

لکھا جا سکتا ہے جو بیسل مساوات[17] کہلاتی ہے اور جس کا حل

$$M = c_3 J_n(k\rho) + c_4 N_n(k\rho) \tag{13.175}$$

لکھا جاتا ہے جہاں c_3 اور c_4 مساوات کے مستقل ہیں۔ 4487

[17] Bessel's equation

یوں مساوات 13.170 سے

$$H_z = \left[c_3 J_n(k\rho) + c_4 Y_n(k\rho)\right]\left(c_1 \cos n\phi + c_2 \sin n\phi\right) \tag{13.176}$$

حاصل ہوتا ہے جس پر مندرجہ ذیل دو عدد سرحدی شرائط لاگو کرتے ہوئے مساوات کے مستقل حاصل کئے جا سکتے ہیں۔ 4488

کائنات میں کہیں پر بھی لامحدود میدان نہیں پایا جاتا لہٰذا نلکی موجیج میں بھی میدان کی قیمت محدود ہو گی۔اس کے علاوہ موصل نلکی سطح پر برقی میدان صفر ہو گا، یعنی $(E_\phi(\rho_0) = 0)$، جہاں نلکی کا رداس ρ_0 کے برابر ہے۔ 4490

پہلے شرط کے تحت نلکی محدد میں میدان کی قیمت محدود ہے، لیکن $\rho = 0$ پر $Y_n \to \infty$ کی قیمت لامحدود ہوتی ہے لہٰذا مساوات 13.176 میں

$$c_4 = 0 \tag{13.177}$$

ہو گا۔اگر $c_2 = 0$ ہو تب میدان کی چوٹی $\phi = 0°$ پر ہو گی اور اگر $c_1 = 0$ ہو تب میدان کی چوٹی $n\phi = 90°$ پر ہو گی۔کسی اور زاویے پر چوٹی کی صورت میں دونوں مستقل پائے جائیں گے۔ہم چوٹی کو صفر زاویے پر تصور کرتے ہیں۔یوں

$$H_z = H_0 \cos n\phi J_n(k\rho) \tag{13.178}$$

ہو گا جہاں $c_1 c_3 = H_0$ لکھا گیا ہے۔اب چونکہ $\phi = 0$ اور $\phi = 2\pi$ ریڈیئن نلکی موجیج میں ایک ہی نقطے کو ظاہر کرتے ہیں لہٰذا دونوں زاویوں سے میدان برابر حاصل ہونا چاہیے۔یوں

$$n = 0, 1, 2, \cdots$$

حاصل ہوتا ہے۔آپ دیکھ سکتے ہیں کہ $n = 1$ کی صورت میں نلکی میں $\phi = 0$ تا $\phi = 2\pi$ یعنی ایک چکر کاٹتے ہوئے H_z کی موج بوجہ $\cos n\phi$ کے ایک چکر کاٹے گا۔اسی طرح $n = 2$ کی صورت میں نلکی کے گرد ایک چکر کاٹتے ہوئے میدان دو چکر کاٹتا ہے۔یوں نلکی کے گرد ایک چکر کاٹتے ہوئے میدان کے چکر کی تعداد n دیتا ہے۔ 4493

نلکی موجیج میں موج کی مساوات

$$H_z = H_0 \cos n\phi J_n(k\rho) e^{j\omega t - \gamma z} \qquad (n = 0, 1, 2, \cdots) \tag{13.179}$$

ہو گی جہاں میدان کا وقت اور فاصلے کے ساتھ سائن نما تبدیلی کو بھی شامل کیا گیا ہے۔اس کو مساوات 13.165 میں پر کرتے ہوئے

$$E_\phi = \frac{Z_{\rho\phi}}{\gamma - YZ_{\rho\phi}} H_0 \cos n\phi \frac{\mathrm{d}J_n(k\rho)}{\mathrm{d}\rho} e^{j\omega t - \gamma z} \tag{13.180}$$

حاصل ہوتا ہے۔دوسری سرحدی شرط کے تحت موصل نلکی سطح پر متوازی برقی میدان صفر ہو گا لہٰذا مساوات 13.180 میں ρ_0 پر $E_\rho = 0$ پر کرتے ہوئے

$$\left.\frac{\mathrm{d}J_n(k\rho)}{\mathrm{d}\rho}\right|_{\rho_0} = 0 \tag{13.181}$$

حاصل ہوتا ہے جس سے

$$k\rho_0 = \alpha'_{nm} \tag{13.182}$$

حاصل ہوتا ہے جہاں α'_{nm} بیسل تفاعل کے تفرق کے صفر کہلاتے ہیں یعنی

$$\frac{\mathrm{d}J_n(\alpha'_{nm})}{\mathrm{d}\rho} = 0 \tag{13.183}$$

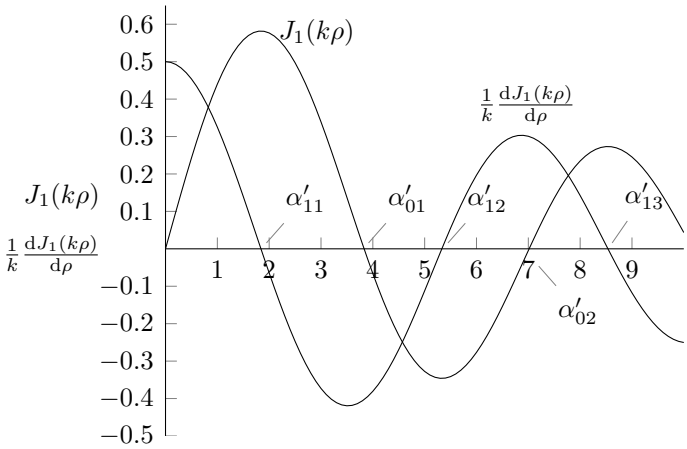

شکل 13.14: بیسل تفاعل۔

مساوات 13.182 سے حاصل k کو k'_{nm} لکھتے ہوئے یوں

$$k'_{nm} = \frac{\alpha'_{nm}}{\rho_0} \qquad (m = 1, 2, 3, \cdots) \tag{13.184}$$

حاصل ہوتا ہے۔

مساوات 13.184 کو استعمال کرتے ہوئے یوں

$$H_z = H_0 \cos n\phi J_n(k'_{nm}\rho) e^{j\omega t - \gamma z} \tag{13.185}$$

حاصل ہوتا ہے جسے مساوات 13.162 تا مساوات 13.165 میں پر کرتے ہوئے بقایا تمام میدان

$$H_\phi = \frac{1}{\gamma - YZ_{\rho\phi}} \frac{n}{\rho} H_0 \sin n\phi J_n(k'_{nm}\rho) e^{j\omega t - \gamma z} \tag{13.186}$$

$$H_\rho = -\frac{1}{\gamma - YZ_{\rho\phi}} H_0 \cos n\phi \frac{\mathrm{d}J_n(k'_{nm}\rho)}{\mathrm{d}\rho} e^{j\omega t - \gamma z} \tag{13.187}$$

$$E_\rho = -\frac{Z_{\rho\phi}}{\gamma - YZ_{\rho\phi}} \frac{n}{\rho} H_0 \sin n\phi J_n(k'_{nm}\rho) e^{j\omega t - \gamma z} \tag{13.188}$$

$$E_\phi = \frac{Z_{\rho\phi}}{\gamma - YZ_{\rho\phi}} H_0 \cos n\phi \frac{\mathrm{d}J_n(k'_{nm}\rho)}{\mathrm{d}\rho} e^{j\omega t - \gamma z} \tag{13.189}$$

$$E_z = 0 \tag{13.190}$$

حاصل ہوتے ہیں جہاں E_z بھی شامل کیا گیا ہے۔

آئیں k'_{nm} کو سمجھیں۔ اگر $n = 1$ ہو تب بیسل تفاعل J_1 اور اس کا تفرق $\frac{\mathrm{d}J_1}{\mathrm{d}\rho}$ استعمال کئے جائیں گے۔ $\frac{\mathrm{d}J_1}{\mathrm{d}\rho}$ کے پہلے تین صفر $\alpha'_{11} = 1.84$، $\alpha'_{12} = 5.33$ اور $\alpha'_{13} = 8.54$ ہیں جو بالترتیب TE_{11}، TE_{12} اور TE_{13} بلند عرضی برقی امواج کے مستقل ہیں۔ شکل 13.14 میں انہیں دکھایا گیا ہے۔اسی طرح TE_{01} اور TE_{02} میں $n = 0$ ہے جبکہ $\alpha'_{01} = 3.832$ اور $\alpha'_{02} = 7.016$ ہیں۔بیسل تفاعل کے تفرق $\frac{\mathrm{d}J_0}{\mathrm{d}\rho}$ اور J_1 کے صفر عین برابر ہوتے ہیں۔ شکل میں یوں $\frac{\mathrm{d}J_0}{\mathrm{d}\rho}$ کے صفر کو J_1 کے صفر سے حاصل کیا گیا دکھایا گیا ہے۔

کامل ذو برق کی صورت میں $\sigma = 0$ لیتے ہوئے مساوات 13.184 کو مساوات 13.168 میں پر کرنے سے

$$\left(\frac{\alpha'_{nm}}{\rho_0}\right)^2 = \gamma^2 + \omega^2\mu\epsilon$$

یا

$$\gamma = \alpha + j\beta = \sqrt{\left(\frac{\alpha'_{nm}}{\rho_0}\right)^2 - \omega^2\mu\epsilon} \tag{13.191}$$

حاصل ہوتا ہے۔اس مساوات سے تین صورتیں ممکن ہیں۔

- کم تعدد پر حقیقی γ ہو گا لہٰذا موجیج غیر شفاف ہو گا اور موج اس میں صفر نہیں کر پائے گی۔
- مخصوص درمیانے تعدد پر $\gamma = 0$ حاصل ہو گا۔یہ انقطاعی تعدد ہو گی۔
- بلند تعدد پر γ خیالی عدد ہو گا لہٰذا موجیج شفاف ہو گا اور موج اس میں صفر کر پائے گی۔

مساوات 13.191 کو صفر کے برابر پر کرنے سے انقطاعی تعدد

$$f_c = \frac{1}{2\pi\sqrt{\mu\epsilon}}\frac{k'_{nm}}{\rho_0} \qquad \text{(Hz)} \tag{13.192}$$

اور انقطاعی طول موج

$$\lambda_{0c} = \frac{2\pi\rho_0}{k'_{nm}} \qquad \text{(m)} \tag{13.193}$$

حاصل ہوتے ہیں۔یوں TE_{11} کے لئے $\alpha'_{11} = 1.84$ سے $\lambda_{0c} = \frac{2\pi\rho_0}{1.84} = 3.41\rho_0$ حاصل ہو گا۔

انقطاعی تعدد سے زیادہ تعدد پر γ خیالی ہو گا لہٰذا اسے

$$\beta = \sqrt{\omega^2\mu\epsilon - \left(\frac{\alpha'_{nm}}{\rho_0}\right)^2} \qquad \text{(rad/m)} \tag{13.194}$$

لکھا جائے گا۔مندرجہ بالا دو مساوات کو ملا کر z سمت میں موجیج میں طول موج

$$\lambda_g = \frac{\lambda_0}{\sqrt{1 - \left(\frac{\lambda_0}{\lambda_{0c}}\right)^2}} \qquad \text{(m)} \tag{13.195}$$

حاصل ہوتی ہے جہاں

λ_0 موجیج کے ذو برق سے بھرے لامحدود خطے میں طول موج اور

λ_{0c} انقطاعی طول موج

ہیں۔موج میں دوری رفتار $v_p = f\lambda_g$

$$v_p = \frac{\omega}{\beta} = \frac{v_0}{\sqrt{1-\left(\frac{\lambda_0}{\lambda_{0c}}\right)^2}} \qquad (\mathrm{m/s}) \tag{13.196}$$

حاصل ہوتا ہے جہاں

$$v_0 = \frac{1}{\sqrt{\mu\epsilon}}$$

ہے۔

مساوات 13.195 اور مساوات 13.196 ہو بہو مستطیلی موج کے مساوات ہیں۔یہی مساوات ہر شکل کے کھوکھلے موج کے لئے درست ثابت ہوتے ہیں۔

بیسل تفاعل کے صفر برابر فاصلوں پر نہیں پائے جاتے لہٰذا نلکی موج میں ممکنہ بلند انداز امواج برابر تعدد کے فاصلے پر نہیں پائے جاتے۔اس کے برعکس مستطیلی موج میں یہ بلند انداز امواج برابر تعدد کے فاصلوں پر پائے جاتے ہیں۔نلکی موج میں TE_{11} تمام امواج، بشمول TM_{nm}، سے کم انقطاعی تعدد رکھتی ہے لہٰذا اسے غالب[18] بلند درجی انداز کہتے ہیں۔TE_{01} بلند درجی انداز نہایت کم تضعیف کا حامل ہے لہٰذا کم موصلیت کے چادر کی بنی موج میں اس کی اہمیت مزید بڑھ جاتی ہے۔

13.6 انقطاعی تعدد سے کم تعدد پر تضعیف

ہم دیکھ چکے ہیں کہ انقطاعی تعدد سے کم تعدد کی موج تضعیف کا شکار ہوتی ہے اور یہ موج میں صفر کے قابل نہیں ہوتی۔آئیں تضعیف کی مقدار کا حساب لگائیں۔مستطیلی موج میں مساوات 13.127

$$\alpha = \sqrt{k^2-\beta_0^2} = \sqrt{\left(\frac{n\pi}{y_1}\right)^2+\left(\frac{m\pi}{z_1}\right)^2-\left(\frac{2\pi}{\lambda_0}\right)^2} \tag{13.197}$$

انقطاعی تعدد سے کم تعدد پر تضعیفی مستقل دیتا ہے جسے مساوات 13.131 کی مدد سے

$$\alpha = \frac{2\pi}{\lambda_0}\sqrt{\left(\frac{\lambda_0}{\lambda_{0c}}\right)^2-1} = \beta_0\sqrt{\left(\frac{\lambda_0}{\lambda_{0c}}\right)^2-1} \qquad (\mathrm{Np/m}) \tag{13.198}$$

لکھا جا سکتا ہے جہاں

λ_0 لا محدود خطے میں طول موج اور

λ_{0c} انقطاعی طول موج

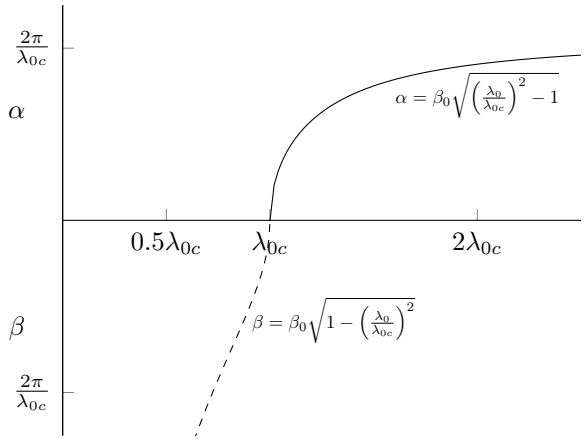

شکل 13.15: حرکی مستقل بالمقابل طول موج۔انقطاعی طول موج سے کم طول موج پر تضعیفی مستقل صفر ہے جبکہ اس سے زیادہ طول موج پر زاویائی مستقل صفر ہے۔

ہیں۔مساوات 13.198 ہر قسم کے شکل کے کھوکھلے مویج کے لئے درست ہے۔

انقطاعی تعدد سے بہت کم تعدد ($\lambda_0 \gg \lambda_{0c}$) کی صورت میں مساوات 13.198 سے

$$\alpha \approx \frac{2\pi}{\lambda_{0c}} \qquad (\mathrm{Np/m}) \tag{13.199}$$

حاصل ہوتا ہے۔شکل 13.15 میں تضعیفی مستقل α بالمقابل لامحدود خطے میں طول موج λ_0 کو ٹھوس خط سے دکھایا گیا ہے۔انقطاعی طول موج سے کم طول موج پر $\alpha = 0$ ہے۔

مثال 13.1: ایک مویج کا انقطاعی طول موج $\lambda_{0c} = 50\,\mathrm{mm}$ ہے۔اس مویج میں $\lambda_0 = 2\,\mathrm{m}$ کے موج کی فی میٹر صفر کے دوران تضعیف دریافت کریں۔

حل: چونکہ $\lambda_0 \gg \lambda_{0c}$ ہے لہٰذا

$$\alpha = \frac{2\pi}{50 \times 10^{-3}} = 125.68\,\mathrm{Np/m}$$

ہو گا۔یوں مویج میں بہت کم فاصلے پر موج کی قیمت انتہائی گھٹ جائے گی۔

---

[18] dominant mode

13.7 انقطاعی تعدد سے بلند تعدد پر تضعیف

کامل موصل چادر سے بنا اور کامل ذو برق سے بھرا موجیج بے ضیاع ہوتا ہے لہٰذا انقطاعی تعدد سے زیادہ تعدد پر $\alpha = 0$ ہو گا۔ مساوات 13.128 سے

$$\begin{aligned}\beta &= \sqrt{\beta_0^2 - k^2}\\ &= \sqrt{\left(\frac{2\pi}{\lambda_0}\right)^2 - \left(\frac{2\pi}{\lambda_{0c}}\right)^2}\\ &= \frac{2\pi}{\lambda_0}\sqrt{1-\left(\frac{\lambda_0}{\lambda_{0c}}\right)^2}\end{aligned}$$

یا

$$\beta = \beta_0\sqrt{1-\left(\frac{\lambda_0}{\lambda_{0c}}\right)^2} \tag{13.200}$$

حاصل ہوتا ہے۔ مساوات 13.200 ہر قسم کے شکل کے کھوکھلے موجیج کے لئے درست ہے۔ شکل 13.15 میں نقطہ دار خط سے β دکھایا گیا ہے۔ انقطاعی طول موج سے زیادہ طول موج پر $\beta = 0$ ہے۔

شکل 13.15 میں طول موج کو افقی محدد اور حرکی مستقل کو عمودی محدد پر رکھا گیا ہے۔ عین انقطاعی طول موج λ_{0c} پر $\gamma = 0$ یعنی $\alpha = 0$ اور $\beta = 0$ ہیں۔ انقطاعی طول موج سے کم طول موج پر $\alpha = 0$ رہتا ہے جبکہ β کی قیمت طول موج کم کرنے سے لامحدود قیمت کی جانب بڑھتی ہے۔ انقطاعی طول موج سے زیادہ طول موج پر $\beta = 0$ رہتا ہے جبکہ α کی قیمت $\frac{2\pi}{\lambda_{0c}}$ تک پہنچنے کی کوشش کرتی ہے۔

حقیقی موجیج کامل نہیں ہوتے لہٰذا ان میں α صفر نہیں ہوتا۔ بہتر موصل، مثلاً تانبہ، کی چادر سے بنے اور ہوا سے بھرے موجیج میں α کی قیمت نہایت کم ہوتی ہے جبکہ β مندرجہ بالا مساوات کے عین مطابق ہوتا ہے۔ آئیں حقیقی موجیج میں α کی قیمت حاصل کریں۔

صفحہ 332 پر مساوات 10.56

$$\mathscr{P}_{\text{اوسط}} = \frac{1}{2}\left[\boldsymbol{E}_s \times \boldsymbol{H}_s^*\right]_{\text{حقیقی}}$$

موج کی اوسط طاقت دیتی ہے۔ کسی بھی موجیج میں میدان، مثلاً صفحہ 460 پر مساوات 13.85، میں حرکت کرتے میدان $e^{-\alpha x}e^{j(\omega t-\beta x)}$ خاصیت رکھتے ہیں۔ یوں $\frac{E}{H} = Z$ لیتے ہوئے

$$\mathscr{P}_{\text{اوسط}} = \frac{1}{2}\frac{|E|^2}{Z_h}e^{-2\alpha x} = \frac{1}{2}Z_h|H|^2\,e^{-2\alpha x} = P_0 e^{-2\alpha x} \tag{13.201}$$

لکھا جا سکتا ہے جہاں $x = 0$ پر اوسط طاقت P_0 کے برابر ہے، Z کے حقیقی جزو کو Z_h اور $\boldsymbol{E}\times\boldsymbol{E}^* = |E|^2$ لکھے گئے ہیں۔ اس مساوات سے

$$\alpha = -\frac{1}{2}\frac{\frac{\mathrm{d}P}{\mathrm{d}x}}{P} \qquad (\mathrm{Np/m}) \tag{13.202}$$

حاصل ہوتا ہے جہاں $\mathscr{P}_{\text{اوسط}}$ کو P لکھا گیا ہے۔ مساوات 13.202 میں کسی بھی نقطے پر x سمت میں P طاقت منتقل ہو رہا ہے جبکہ اسی نقطے پر $-\frac{\mathrm{d}P}{\mathrm{d}x}$ طاقت کے ضیاع کو ظاہر کرتا ہے۔ تضعیفی مستقل کی اس مساوات میں طاقت کا ضیاع، موجیج کی دیواروں میں پیدا برقی رو سے مزاحمتی برقی ضیاع (I^2R_c) ہے جو حرارت میں تبدیل ہوتا ہے۔ انقطاعی تعدد سے کم تعدد پر موجیج کے تضعیفی مستقل پر طاقت کا ضیاع عمل درآمد نہیں ہوتا۔ کم انقطاعی تعدد پر امواج نہ گزارنے کی معزوری کو α سے ظاہر کیا جاتا ہے۔

مساوات 13.202 کو یوں پڑھا جا سکتا ہے

$$\alpha = \frac{\text{طاقت کا ضیاع فی اکائی لمبائی}}{\text{منتقل طاقت کا دگنا}}$$

کامل ذو برق سے بھرے موج میں ذو برق کا ضیاع صفر ہو گا۔ایسی صورت میں صرف موج کے چادروں میں مزاحمتی ضیاع پایا جائے گا لہٰذا اکائی لمبائی میں طاقت کا ضیاع

$$-\frac{\mathrm{d}P}{\mathrm{d}x} = \frac{1}{\mathrm{d}x}\int\int \mathscr{P}_{\text{چادر}}\,\mathrm{d}S = \int \mathscr{P}_{\text{چادر}}\,\mathrm{d}l \tag{13.203}$$

ہو گا جہاں $\mathscr{P}_{\text{چادر}}$ سے مراد وہ اوسط طاقت (وقت کے مطابقت سے اوسط) ہے جو موج کے دیواروں کے موصل چادروں میں منتقل ہو رہا ہے۔مساوات 13.203 میں سطح کا چھوٹا رقبہ $\mathrm{d}S$ موج کے اندرونی سطح پر لیا جاتا ہے۔اس رقبے کی لمبائی $\mathrm{d}x$ اور چوڑائی $\mathrm{d}l$ ہے جہاں l اندرونی سطح پر ایک چکر کے برابر ہے۔شکل 13.9 کے مستطیلی موج کی صورت میں $l = 2(y_1 + z_1)$ کے برابر ہو گا۔مخلوط پوئنٹنگ سمتیہ سے موصل چادر میں منتقل طاقت کو

$$\mathscr{P}_{\text{چادر}} = \frac{1}{2}Z_{ch}|H_m|^2 \tag{13.204}$$

لکھا جا سکتا ہے جہاں H_m چادر کے متوازی میدان اور Z_c چادر کے موصل کا قدرتی رکاوٹ ہے جس کا حقیقی جزو Z_{ch} ہے۔چادر کے متوازی میدان کی حتمی قیمت $|H_m|$ ہے۔چونکہ موصل میں $\sigma \gg j\omega\epsilon$ ہوتا ہے لہٰذا

$$Z_c = \sqrt{\frac{j\omega\mu}{\sigma + j\omega\epsilon}} =\approx \sqrt{\frac{j\omega\mu}{\sigma}} = (1+j)\sqrt{\frac{\omega\mu}{2\sigma}}$$

ہو گا جس سے

$$Z_{ch} = \sqrt{\frac{\omega\mu}{2\sigma}}$$

حاصل ہوتا ہے۔یوں مساوات 13.203 کو

$$-\frac{\mathrm{d}P}{\mathrm{d}x} = \frac{Z_{ch}}{2}\int |H_m|^2\,\mathrm{d}l \tag{13.205}$$

لکھا جا سکتا ہے۔ 4540

موج میں کسی بھی نقطے پر لمبائی کے جانب منتقل طاقت کو

$$P = \frac{Z_{yz,h}}{1}\int\int |H_\perp|^2\,\mathrm{d}S \tag{13.206}$$

لکھا جا سکتا ہے جہاں $H_\perp$ سے مراد وہ میدان ہے جو موج کے حرکت کے عمودی ہے۔اس میدان کو موج کے سطح عمودی تراش کے متوازی بھی لکھا جا سکتا ہے۔اس مساوات میں Z_{yz} موج کا قدرتی رکاوٹ ہے جس کے حقیقی جزو کو $Z_{yz,h}$ لکھا گیا ہے۔اس طرح تضعیفی مستقل کو

$$\alpha = \frac{Z_{ch}\int |H_m|^2\,\mathrm{d}l}{2Z_{yz,h}\int\int |H_\perp|^2}\,\mathrm{d}S \qquad (\mathrm{Np/m}) \tag{13.207}$$

لکھا جا سکتا ہے۔ 4541

مساوات 13.207 تمام موتیج کے تمام بلند انداز کے لئے درست ہے۔ کسی بھی بلند انداز کا تضعیفی مستقل حاصل کرتے وقت اسی بلند انداز کے میدان مساوات 13.207 میں پر کئے جائیں گے۔ بہتر موصل سے بنے موتیج کی صورت میں کامل موصل کے لئے حاصل کردہ میدان ہی استعمال کئے جاتے ہیں۔ مساوات 13.207 کا استعمال مندرجہ ذیل مثال میں دکھایا گیا ہے۔

مثال 13.2: دو متوازی چادروں کے موتیج کو صفحہ 444 پر شکل 13.1 میں دکھایا گیا ہے۔ اس موتیج میں 450 Hz کے TEM موج کا تضعیفی مستقل حاصل کریں۔ چادروں کے درمیان فاصلہ 20 cm ہے۔

حل: مساوات 13.207 سے

$$\alpha = \frac{2Z_{ch}\int_0^{y_1}|H_m|^2\,\mathrm{d}y}{2Z_{yz,h}\int_0^{y_1}\int_0^{z_1}|H_\perp|^2\,\mathrm{d}z\,\mathrm{d}y}$$

لکھا جائے گا جہاں کسر کے بالائی حصے میں دونوں اطراف کے چادروں میں طاقت کے ضیاع کی وجہ سے ضرب دو لکھا گیا ہے۔ اس موتیج میں TEM موج کے میدان حرکت کے سمت کے عمودی اور چادروں کے متوازی ہیں۔ یوں مقناطیسی میدان $H\boldsymbol{a}_y$ ہے جو چادروں کے متوازی اور موج کے حرکت کے عمودی ہے۔ یوں H_m اور $H_\perp$ دونوں $H\boldsymbol{a}_y$ ہی ہیں لہٰذا

$$\alpha = \frac{Z_{ch}y_1}{Z_{yz,h}y_1z_1} = \frac{Z_{ch}}{z_1Z_{yz,h}}$$

ہو گا۔ تانبے میں 450 MHz پر

$$\begin{aligned}
Z_c &= \sqrt{\frac{j\omega\mu}{\sigma + j\omega\epsilon}} \\
&= \sqrt{\frac{j2\times\pi\times 450\times 10^6}{5.8\times 10^7 + j2\times\pi\times 450\times 10^6\times 8.854\times 10^{-12}}} \\
&= 0.0055 + j0.0055
\end{aligned}$$

حاصل ہوتا ہے جس کا حقیقی جزو $Z_{ch} = 0.0055$ اوہم ہے۔ ہوا کے لئے $Z_{yz,h} = Z_{yz} = 376.7\,\Omega$ ہے۔ ان نتائج کے تحت

$$\alpha = \frac{0.0055}{0.2\times 376.7} = 73\,\mu\mathrm{Np/m}$$

ہو گا۔ یوں ایک کلو میٹر فاصلہ طے کرنے پر میدان کی قیمت ابتدائی قیمت کے $e^{-0.073} = 0.9296$ یعنی 92.96 فی صد ہو گی۔

13.8 سطحی موج

غیر کامل موصل اور ذو برق کی سطح شکل 13.16-الف میں $x = 0$ پر دکھائی گئی ہے۔ سطح کے نیچے $(x < 0)$ غیر کامل موصل جبکہ اس کے اوپر $(x > 0)$ ذو برق ہے۔ سطح کے ساتھ ساتھ TEM موج z سمت میں حرکت کر رہی ہے۔ آئیں اس مسئلے کو حل کریں۔

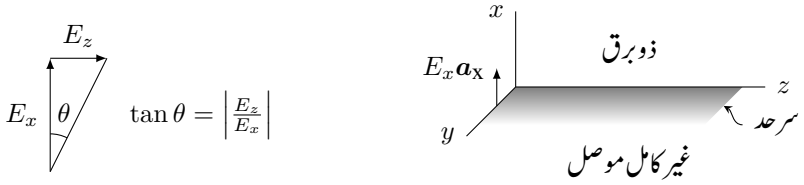

ب: زاویہ جھکاو

الف: غیر کامل موصل اور ذو برق کی سرحد

شکل 13.16: دو خطوں کے سرحد پر امواج۔

اس مسئلے کو حل کرتے ہوئے تصور کیا جائے گا کہ موج میں y کے تبدیلی سے کوئی تبدیلی رونما نہیں ہوتی۔یوں $\frac{\partial}{\partial y} = 0$ ہو گا۔چونکہ موج z سمت حرکت کر رہی ہے لہٰذا تمام میدان

$$H = H_0 e^{j\omega t - \gamma z} \tag{13.208}$$

خاصیت رکھتے ہیں۔ان حقائق کو استعمال کرتے ہوئے، سطح سے اوپر ذو برق میں مساوات 13.16 تا مساوات 13.23 مندرجہ ذیل صورت اختیار کر لیتے ہیں

$$\gamma_1 E_y + j\omega\mu_1 H_x = 0 \tag{13.209}$$

$$-\gamma_1 E_x - \frac{\partial E_z}{\partial x} + j\omega\mu_1 H_y = 0 \tag{13.210}$$

$$\frac{\partial E_y}{\partial x} + j\omega\mu_1 H_z = 0 \tag{13.211}$$

$$\gamma_1 H_y - j\omega\epsilon_1 E_x = 0 \tag{13.212}$$

$$-\gamma_1 H_x - \frac{\partial H_z}{\partial x} - j\omega\epsilon_1 E_y = 0 \tag{13.213}$$

$$\frac{\partial H_y}{\partial x} - j\omega\epsilon_1 E_z = 0 \tag{13.214}$$

$$\frac{\partial E_x}{\partial x} - \gamma_1 E_z = 0 \tag{13.215}$$

$$\frac{\partial H_x}{\partial x} - \gamma_1 H_z = 0 \tag{13.216}$$

جہاں زیر نوشت میں 1 سرحد سے اوپر ذو برق کے خطے کو ظاہر کرتا ہے۔موج کی مقداری مساوات حاصل کرنے کی خاطر مساوات 13.212 سے E_x اور مساوات 13.214 سے E_z کو مساوات 13.210 میں پر کرتے ہوئے

$$-\frac{\gamma_1^2}{j\omega\epsilon_1} H_y - \frac{1}{j\omega\epsilon_1}\frac{\partial^2 H_y}{\partial x^2} + j\omega\mu_1 H_y = 0$$

یعنی

$$\frac{\partial^2 H_y}{\partial x^2} + \left(\gamma_1^2 + \omega^2\mu_1\epsilon_1\right) H_y = 0$$

یا

$$\frac{\partial^2 H_y}{\partial x^2} = k_1^2 H_y \tag{13.217}$$

حاصل ہوتا ہے جہاں

$$k_1^2 = -\left(\gamma_1^2 + \omega^2\mu_1\epsilon_1\right) \tag{13.218}$$

کے برابر ہے۔مساوات 13.217 کا حل

$$H_y = c_1 e^{-k_1 x} + c_2 e^{k_1 x}$$

ہے۔ذو برق میں x کی قیمت 0 تا ∞ ممکن ہے۔اس مساوات میں سرحد سے دور لامحدود فاصلے $x \to \infty$ پر میدان کی قیمت لامحدود حاصل ہوتی ہے جو ناقابل قبول نتیجہ ہے لہٰذا اسے رد کرتے ہوئے $c_2 = 0$ لیا جاتا ہے۔اور یوں

$$H_y = c_1 e^{-k_1 x} e^{j\omega t - \gamma_1 z} \qquad \text{ذو برق خطہ} \tag{13.219}$$

حاصل ہوتا ہے جہاں موج کو مساوات 13.208 کے طرز پر لکھا گیا ہے۔ 4553

موصل خطے کے لئے میکس ویل کے مساوات مندرجہ ذیل ہیں۔

$$\gamma_2 E_y + j\omega\mu_2 H_x = 0 \tag{13.220}$$

$$-\gamma_2 E_x - \frac{\partial E_z}{\partial x} + j\omega\mu_2 H_y = 0 \tag{13.221}$$

$$\frac{\partial E_y}{\partial x} + j\omega\mu_2 H_z = 0 \tag{13.222}$$

$$\gamma_2 H_y - \left(\sigma_2 + j\omega\epsilon_2\right) E_x = 0 \tag{13.223}$$

$$-\gamma_2 H_x - \frac{\partial H_z}{\partial x} - \left(\sigma_2 + j\omega\epsilon_2\right) E_y = 0 \tag{13.224}$$

$$\frac{\partial H_y}{\partial x} - \left(\sigma_2 + j\omega\epsilon_2\right) E_z = 0 \tag{13.225}$$

$$\frac{\partial E_x}{\partial x} - \gamma_2 E_z = 0 \tag{13.226}$$

$$\frac{\partial H_x}{\partial x} - \gamma_2 H_z = 0 \tag{13.227}$$

موج کی مقداری مساوات حاصل کرنے کی خاطر مساوات 13.223 سے E_x اور مساوات 13.225 سے E_Z کو مساوات 13.221 میں پر کرتے ہوئے

$$-\frac{\gamma_2^2}{\sigma_2 + j\omega\epsilon_2} H_y - \frac{1}{\sigma_2 + j\omega\epsilon_2} \frac{\partial^2 H_y}{\partial x^2} + j\omega\mu_2 H_y = 0$$

یعنی

$$\frac{\partial^2 H_y}{\partial x^2} + \left[\gamma_2^2 - j\omega\mu_2\left(\sigma_2 + j\omega\epsilon_2\right)\right] H_y = 0$$

یا

$$\frac{\partial^2 H_y}{\partial x^2} = k_2^2 H_y \tag{13.228}$$

حاصل ہوتا ہے جہاں

$$k_2^2 = -\gamma_2^2 + \gamma_m^2 \tag{13.229}$$

$$\gamma_m^2 = j\omega\mu_2\left(\sigma_2 + j\omega\epsilon_2\right) \tag{13.230}$$

کے برابر ہیں۔ 4554

مساوات 13.228 کا حل

$$H_y = c_3 e^{-k_2 x} + c_4 e^{k_2 x}$$

ہے۔موصل میں x کی قیمت 0 تا $-\infty$ ممکن ہے۔اس مساوات میں سرحد سے دور لامحدود فاصلے $x \to -\infty$ پر میدان کی قیمت لامحدود حاصل ہوتی ہے جو ناقابل قبول نتیجہ ہے لہٰذا اسے رد کرتے ہوئے $c_3 = 0$ لیا جاتا ہے اور یوں

$$H_y = c_4 e^{k_2 x} e^{j\omega t - \gamma_2 z} \qquad \text{موصل خطہ} \tag{13.231}$$

حاصل ہوتا ہے جہاں موج کو مساوات 13.208 کے طرز پر لکھا گیا ہے۔ 4555

مقناطیسی سرحدی شرط کے تحت سرحد کے دونوں اطراف تمام اوقات میدان برابر ہوں گے لہٰذا $x = 0$ پر کسی بھی z پر تمام t کے لئے مساوات 13.219 اور مساوات 13.231 برابر ہوں گے جس سے

$$\gamma_1 = \gamma_2 \tag{13.232}$$

$$c_1 = c_4 \tag{13.233}$$

حاصل ہوتے ہیں۔ان حقائق کو استعمال کرتے ہوئے مساوات 13.212 سے E_x اور مساوات 13.214 سے ذو برق میں E_z یوں حاصل ہوتے ہیں۔

$$\begin{aligned} E_x &= \frac{\gamma_1 c_1}{j\omega\epsilon_1} e^{-k_1 x} e^{j\omega t - \gamma_1 z} \\ E_z &= \frac{-k_1 c_1}{j\omega\epsilon_1} e^{-k_1 x} e^{j\omega t - \gamma_1 z} \qquad \text{ذو برق خطہ} \end{aligned} \tag{13.234}$$

مساوات کم نہیں 4556

اسی طرح ان حقائق کو استعمال کرتے ہوئے مساوات 13.223 سے E_x اور مساوات 13.225 سے موصل میں E_z یوں حاصل ہوتے ہیں۔

$$\begin{aligned} E_x &= \frac{\gamma_1 c_1}{\sigma_2 + j\omega\epsilon_2} e^{k_2 x} e^{j\omega t - \gamma_1 z} \\ E_z &= \frac{k_2 c_1}{\sigma_2 + j\omega\epsilon_2} e^{k_2 x} e^{j\omega t - \gamma_1 z} \qquad \text{موصل خطہ} \end{aligned} \tag{13.235}$$

حاصل ہوتے ہیں جہاں $c_4 = c_1$ اور $\gamma_2 = \gamma_1$ پر کئے گئے ہیں۔ 4557

سرحد کے دونوں اطراف متوازی برقی میدان برابر ہونے کی شرط سے $x = 0$ پر دونوں اطراف E_z برابر ہوں گے جس سے

$$\frac{-k_1}{j\omega\epsilon_1} = \frac{k_2}{\sigma_2 + j\omega\epsilon_2}$$

یعنی

$$k_1 = \frac{-j\omega\epsilon_1}{\sigma_2 + j\omega\epsilon_2} k_2 \tag{13.236}$$

حاصل ہوتا ہے۔مساوات 13.218 سے

$$\begin{aligned} \gamma_1^2 &= -\omega^2 \mu_1 \epsilon_1 - k_1^2 \\ &= -\omega^2 \mu_1 \epsilon_1 + \left(\frac{\omega\epsilon_1}{\sigma_2 + j\omega\epsilon_2} \right)^2 k_2^2 \\ &= -\omega^2 \mu_1 \epsilon_1 + \left(\frac{\omega\epsilon_1}{\sigma_2 + j\omega\epsilon_2} \right)^2 \left(-\gamma_2^2 + \gamma_m^2 \right) \end{aligned}$$

لکھا جا سکتا ہے جہاں پہلے قدم پر مساوات 13.236 اور دوسرے قدم پر مساوات 13.229 کا استعمال کیا گیا ہے۔اس میں مساوات 13.232 سے $\gamma_2 = \gamma_1$ پر کرتے ہوئے

$$\gamma_1 = \sqrt{\frac{-\omega^2\mu_1\epsilon_1 + \left(\frac{\omega\epsilon_1}{\sigma_2+j\omega\epsilon_2}\right)^2\gamma_m^2}{1+\left(\frac{\omega\epsilon_1}{\sigma_2+j\omega\epsilon_2}\right)^2}} \tag{13.237}$$

حاصل ہوتا ہے۔

مساوات 13.234 میں E_x سرحد کے عمودی ہے جبکہ E_z سرحد کے متوازی ہے۔کل برقی میدان ان دونوں کا سمتی مجموعہ ہو گا۔آپ دیکھ سکتے ہیں کہ کل میدان حرکت کی سمت میں جھکا ہو گا۔شکل 13.16-ب میں ایسا دکھایا گیا ہے۔ جھکنے کا زاویہ

$$\theta = \tan^{-1}\frac{|E_z|}{|E_x|} = \tan^{-1}\left|\frac{-k_1}{\gamma_1}\right| \tag{13.238}$$

ہو گا۔

آئیں چند مخصوص سرحدوں پر موج کے جھکاو کا زاویہ حاصل کریں۔

ہوا اور تانبے کے سرحد پر $\omega = 100\,\mathrm{Mrad/s}$ تعدد کے موج کی بات کرتے ہوئے

$$\begin{aligned}\epsilon_1 &= \epsilon_2 = \epsilon_0\\ \mu_1 &= \mu_2 = \mu_0\\ \sigma_2 &= 5.8\times 10^7\end{aligned}$$

سے

$$\begin{aligned}\gamma_1 = \gamma_2 &= j0.33356\\ k_1 &= 0.9215(1-j)\times 10^{-6}\\ k_2 &= 6.038(1-j)\times 10^4\end{aligned}$$

حاصل ہوتے ہیں جن سے

$$\theta = \tan^{-1}\left|\frac{0.9215(1-j)\times 10^{-6}}{j0.33356}\right| = 0.00022385^\circ$$

زاویہ حاصل ہوتا ہے۔اس نتیجے سے آپ دیکھ سکتے ہیں کہ موصل کے سرحد پر برقی میدان تقریباً عمودی ہی ہوتا ہے۔برقی میدان کا عمودی یعنی E_x حصہ حرکت موج کی سمت میں طاقت منتقل کرتا ہے جبکہ E_z حصہ موصل میں طاقت منتقل کرتا ہے جو ضائع ہو جاتا ہے۔

ہوا اور پانی $\epsilon_R = 78$ کے سرحد پر $\omega = 100\,\mathrm{Mrad/s}$ تعدد کے موج کی بات کرتے ہوئے

$$\begin{aligned}\epsilon_1 &= \epsilon_0\\ \epsilon_2 &= 78\epsilon_0\\ \mu_1 &= \mu_2 = \mu_0\\ \sigma_2 &= 0\end{aligned}$$

سے

$$\begin{aligned}\gamma_1 = \gamma_2 &= j0.33144\\ k_1 &= j0.037528\\ k_2 &= 2.9272\end{aligned}$$

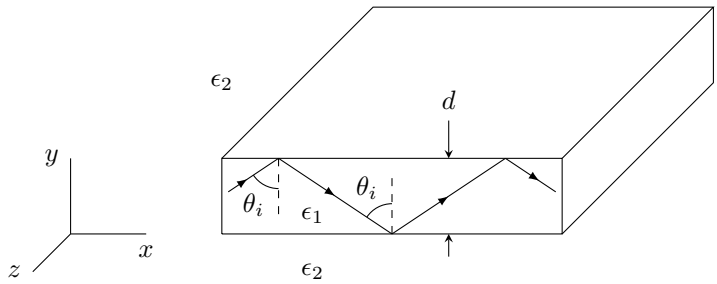

شکل 13.17: ذو برق تختی مویج میں اندرونی مکمل انعکاس سے موج صفر کرتی ہے۔

حاصل ہوتے ہیں جو

$$\theta = \tan^{-1}\left|\frac{j0.037528}{j0.33144}\right| = 6.46^\circ$$

زاویہ دیتا ہے۔ ہوا اور پانی کے سرحد پر برقی میدان کی جھکاو باآسانی ناپی جا سکتی ہے۔

13.9 ذو برق تختی مویج

اب تک ہم موصل چادروں سے بنائے گئے مویج پر غور کرتے رہے ہیں۔ اس حصے میں ذو برق سے بنائے گئے مویج پر غور کیا جائے گا۔ شکل 13.17 میں d موٹائی اور لامحدود وسعت کے ذو برق کا تختہ دکھایا گیا ہے۔ اس تختے میں بائیں طرف سے TEM موج داخلی کی جاتی ہے۔ ہم تختے میں پیدا کردہ موج کی حرکت پر غور کریں گے۔ یہ موج تختے میں بائیں سے دائیں یعنی بڑھتے x جانب حرکت کرے گی۔ جب تک ذو برق کے نچلے اور بالائی سطحوں پر آمدی زاویہ کی قیمت فاصل زاویے سے زیادہ ہو، موج مکمل اندرونی انعکاس کرے گی۔ یوں ذو برق میں بار بار انعکاس کرتے ہوئے موج صفر کرے گی۔ ایسا معلوم ہوتا ہے جیسے دو متوازی موصل چادروں کے درمیان موج انعکاس کر رہی ہے۔ حقیقت میں موصل چادروں کی صورت میں چادر پر متوازی برقی میدان صفر ہو گا جبکہ ذو برق میں مکمل اندرونی انعکاس کی صورت میں ایسا نہیں ہوتا۔ ذو برق کے باہر میدان لامحدود فاصلے تک پہنچتا ہے البتہ ایسا میدان سرحد سے دور جلد قابل نظر انداز حد تک گھٹ جاتا ہے۔ یوں میدان ذو برق کے انتہائی قریب ہی رہتا ہے۔

اگرچہ ایسا معلوم ہوتا ہے کہ جب تک آمدی زاویہ، فاصل زاویے سے زیادہ ہو، موج ذو برق میں صفر کر پائے گی، حقیقت میں ایسا نہیں ہوتا۔ موج مخصوص زاویوں پر ہی صفر کر پاتی ہے۔ آئیں اس کی وجہ پر غور کریں۔ شکل کو دیکھتے ہوئے، دو TEM امواج پر نظر رکھیں جن کی تعدد برابر ہے۔ دونوں فاصل زاویے سے زیادہ زاویے پر آمد ہیں یعنی $\theta > \theta_{ic}$ ہے۔ یوں

$$\theta_i > \theta_{ic} = \sin^{-1}\sqrt{\frac{\epsilon_2}{\epsilon_1}} = \sin^{-1}\frac{n_2}{n_1} \tag{13.239}$$

ہو گا جہاں

$\epsilon_1 > \epsilon_2$ اور

ϵ_1 ذو برق تختے کا برقی مستقل،

ϵ_2 ذو برق تختے کے اوپر اور نیچے خطوں کا برقی مستقل

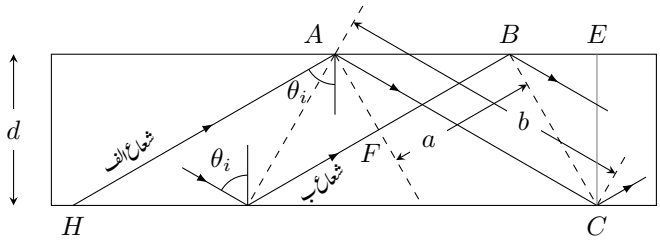

شکل 13.18: ذو برق تختے کے اندرونی سطح پر ممکنہ آمدی زاویے۔

ہیں۔

شکل 13.18 میں شعاعوں کو ٹھوس لکیر جبکہ موج کی چوٹیوں کو نقطہ دار لکیروں سے ظاہر کیا گیا ہے۔موج کی ترسیل کے لئے ضروری شرط یہ ہے کہ پہلی موج کا زاویائی فاصلہ a دوسری موج کے زاویائی فاصلے b کے برابر ہو اور یا ان میں فرق $2m\pi$ ہو جہاں $m = 0, 1, 2, \cdots$ ممکن ہے۔زاویائی فاصلے ناپتے وقت انعکاس سے پیدا زاویائی فرق کا بھی حساب رکھا جائے گا۔اس شرط کو یوں لکھا جا سکتا ہے

$$\frac{2\pi}{\lambda_0} n_1 (b - a) + \phi = 2m\pi \tag{13.240}$$

جہاں

$m = 0, 1, 2, \cdots$

n_1 پہلے خطے کا انحرافی مستقل $n_1 = \sqrt{\epsilon_{R1}}$ جبکہ

ϕ سطح سے انعکاس پر زاویائی فرق،

λ_0 خالی خلاء میں طول موج

ہیں۔شکل 13.18 کو دیکھ کر

$$b = \frac{d}{\cos\theta_i} \tag{13.241}$$

لکھا جا سکتا ہے۔اسی طرح تکون ΔAEC، تکون ΔBEC اور تکون ΔAFB سے بالترتیب

$$\begin{aligned} AB + BE &= d\tan\theta_i \\ \tan\theta_i &= \frac{d}{BE} \\ \sin\theta_i &= \frac{a}{AB} \end{aligned}$$

لکھے جا سکتے ہیں۔یوں مساوات 13.240 کو

$$\frac{2\pi n_1 d}{\lambda_0}\left[\frac{1}{\cos\theta_i} - \sin\theta_i\left(\tan\theta_i - \frac{1}{\tan\theta_i}\right)\right] + \phi = 2m\pi \tag{13.242}$$

لکھا جا سکتا ہے جس کی سادہ صورت

$$\frac{4\pi n_1 d\cos\theta_i}{\lambda_0} + \phi = 2m\pi \tag{13.243}$$

ہے۔ عمودی برقی میدان $\boldsymbol{E}_\perp$ کو لے کر آگے بڑھتے ہیں۔ صفحہ 431 پر مساوات 12.29 کو یوں بھی لکھا جا سکتا ہے

$$\Gamma_\perp = \frac{\cos\theta_i - j\sqrt{\sin^2\theta_i - \frac{\epsilon_2}{\epsilon_1}}}{\cos\theta_i + j\sqrt{\sin^2\theta_i - \frac{\epsilon_2}{\epsilon_1}}} = 1\underline{/\phi} \tag{13.244}$$

جہاں

$$\phi = -2\tan^{-1}\frac{\sqrt{\sin^2\theta_i - \frac{\epsilon_2}{\epsilon_1}}}{\cos\theta_i} \tag{13.245}$$

کے برابر ہے۔

اس طرح شرح انعکاس Γ کی حتمی قیمت اکائی ہے جبکہ انعکاس سے پیدا زاویائی فرق ϕ ہے۔ مساوات 13.244 کو مساوات 13.243 میں پر کرتے ہوئے

$$\frac{4\pi n_1 d\cos\theta_i}{\lambda_0} - 2m\pi = 2\tan^{-1}\frac{\sqrt{\sin^2\theta_i - \frac{\epsilon_2}{\epsilon-1}}}{\cos\theta_i} \tag{13.246}$$

یا

$$\tan\left(\frac{2\pi n_1 d\cos\theta_i}{\lambda_0} - m\pi\right) = \frac{\sqrt{n_1^2\sin^2\theta_i - n_2^2}}{n_1\cos\theta_i} \tag{13.247}$$

حاصل ہوتا ہے جہاں

$m = 0, 1, 2, 3, \cdots$ جبکہ

n_1 پہلے خطے کا انحرافی مستقل $n_1 = \sqrt{\epsilon_{R1}}$ ہے،

n_2 ذو برق تختے سے اوپر اور اس سے نیچے خطے کا انحرافی مستقل $n_2 = \sqrt{\epsilon_{R2}}$ ہے،

d ذو برق تختے کی موٹائی،

θ_i آمدی زاویہ اور

λ_0 لامحدود خطے میں طول موج

ہیں۔

چادر کی چوڑائی کم کرتے ہوئے w کرنے سے ذو برقی پٹی موجیج حاصل ہوتا ہے جسے شکل 13.20 میں دکھایا گیا ہے جہاں $t \ll w$ ہے۔ ذو برق پٹی سے کم انحرافی مستقل کے زیریں ذو برق[19] پر عموماً یہ نسب کئے جاتے ہیں۔

مثال 13.3: ذو برق کے 10 mm موٹی تختے کو بطور موجیج استعمال کیا جا رہے ہے۔ اس تختے کا انحرافی مستقل $n_1 = 1.5$ ہے جبکہ تختے سے اوپر اور نیچے خطے کا انحرافی مستقل $n_2 = 1$ ہے۔ برقی میدان تختے کے متوازی ہے یعنی شکل 13.17 میں x سمت کو ہے۔ طول موج $\lambda_0 = 10\,\text{mm}$ کی صورت میں آمدی زاویہ θ_i حاصل کریں۔

[19] dielectric substrate

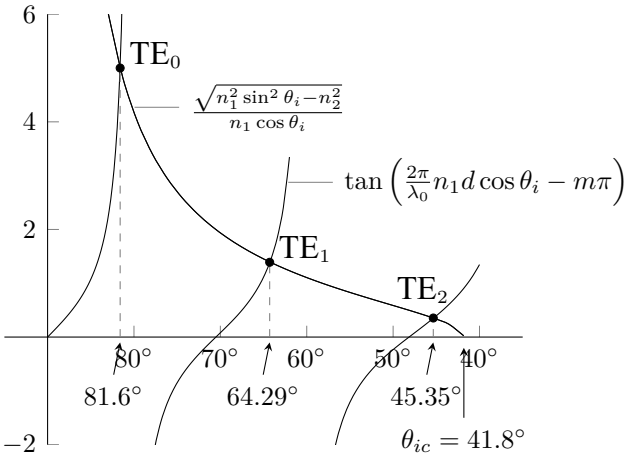

شکل 13.19: تختی موجیج میں شعاع کے ممکن زاویے۔

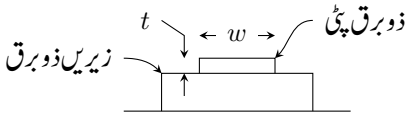

شکل 13.20: ذو برق پٹی موجیج

حل: برقی میدان تختے کے متوازی لیکن موج کے حرکت کی سمت کے عمودی ہے۔ مساوات 13.239 سے زاویہ فاصل

$$\theta_{ic} = \sin^{-1}\frac{1}{1.5} = 41.8° \tag{13.248}$$

حاصل ہوتا ہے۔ زاویے کو θ_{ic} سے زیادہ رکھتے ہوئے، مساوات 13.247 کے بائیں اور دائیں ہاتھ کو شکل 13.19 میں کھینچا گیا ہے جس سے ممکنہ زاویے 45.35°، 64.29° اور 81.6° حاصل ہوتے ہیں۔ یہ زاویے TE$_0$، TE$_1$ اور TE$_2$ امواج کے لئے ہیں۔ تینوں امواج بیک وقت موجیج میں پائے جا سکتے ہیں۔ تختے کی موٹائی کم یا زیادہ کرنے سے امواج کی ممکنہ تعداد بالترتیب زیادہ یا کم ہو گی۔ اسی طرح طول موج زیادہ (کم) کرنے سے ممکنہ امواج کی تعداد کم (زیادہ) ہو گی۔ ہاں کسی بھی صورت کم از کم ایک موج ضرور ممکن ہو گی لہٰذا تعدد کم کرتے کرتے صفر تک پہنچتے ہوئے بھی کوئی نہ کوئی موج ضرور ممکن ہو گی۔

13.10 شیش ریشہ

ذو برق تختی موجیج پر غور کے بعد ذو برق نلکی موجیج پر غور کرتے ہیں۔ ذرائع ابلاغ کے نظام میں اس طرز کے نلکی موجیج جنہیں شیش ریشہ[20] کہتے ہیں عام استعمال ہوتے ہیں۔ بصری طول موج یا اس کے قریب طول موج پر استعمال کئے جانے والے نلکی موجیج کا رداس انتہائی کم ہوتا ہے۔ یہ n_1 شرح انحراف کے انتہائی شفاف شیشے سے بنایا جاتا ہے جسے قدر کم شرح انحراف n_2 کے شیشے کا غلاف پہنایا جاتا ہے۔ ان دونوں پر غیر شفاف حفاظتی تہہ چڑھائی جاتی ہے۔ شیش ریشے کے مرکزی ریشے کا عمومی قطر 25 μm ہے جو انسانی سر کے بال جتنی موٹائی ہے۔ ایک شیش ریشہ ہزار سے زائد دو طرفہ گفتگو کی ترسیل

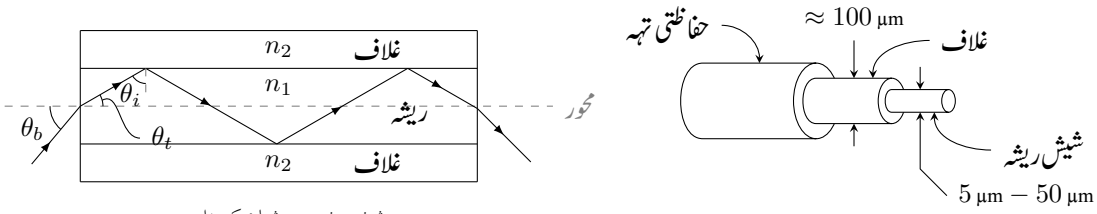

ب: شیشہ ریشے میں شعاع کے زاویے

الف: شیشہ ریشے کی بنیادی ساخت

شکل 13.21: شیشہ ریشے کی ساخت اور ممکنہ آمدی زاویے

کرنے کی صلاحیت رکھتا ہے۔روشنی یا زیریں بصری[21] شعاعوں کے لئے شیشہ ریشے کی تضعیفی مستقل $1.15 \times 10^{-4}\ \frac{\text{Np}}{\text{m}}$ کے برابر ہوتی ہے جو ایک انتہائی کم مقدار ہے۔بصری اور زیریں بصری شعاعوں کے طول موج تقریباً 400 nm تا 1000 nm ہے۔

شکل 13.21-الف میں شیشہ ریشے کی ساخت دکھائی گئی ہے۔اندرونی شفاف ریشے کا انحرافی مستقل n_1 جبکہ غلاف کا انحرافی مستقل n_2 ہے۔ارد گرد خلاء کا انحرافی مستقل n_0 ہے۔جیسے شکل 13.21-ب میں دکھایا گیا ہے، بیرون تار محور کے ساتھ θ_b زاویے پر آمدی شعاع تار کے اندر θ_t زاویے پر داخل ہو گا۔یوں شفاف ریشے اور غلاف کی سرحد پر شعاع کا زاویہ θ_i ہو گا۔بیرونی اور اندرونی زاویوں کا تعلق ابن سھل کا قانون

$$\frac{\sin\theta_t}{\sin\theta_b} = \frac{n_0}{n_1} \tag{13.249}$$

دیتا ہے۔جب تک مرکزی ریشے اور غلاف کے سرحد پر آمدی زاویہ θ_i، فاصل زاویے θ_{ic} سے زیادہ ہو، شعاع مکمل اندرونی انعکاس کرے گی۔شیشہ ریشے اور غلاف کی سرحد پر قانون ابن سھل

$$\sin\theta_{ic} = \frac{n_2}{n_1} \tag{13.250}$$

سے فاصل زاویہ θ_{ic} حاصل ہوتا ہے۔یوں

$$\sin\theta_b = \frac{n_1}{n_0}\sin\theta_t = \frac{n_1}{n_0}\sin(90^\circ - \theta_{ic}) = \frac{n_1}{n_0}\cos\theta_{ic}$$

یا

$$\sin\theta_b = \frac{\sqrt{n_1^2 - n_2^2}}{n_0} \tag{13.251}$$

لکھا جا سکتا ہے جہاں

θ_b بیرون تار، محور کے ساتھ آمدی زاویہ،

n_1 شیشہ ریشے کا انحرافی مستقل،

n_2 شیشہ ریشے پر چڑھائی تہہ کا انحرافی مستقل اور

n_0 تار کے گرد خطے کا انحرافی مستقل

[20] optical fiber
[21] infrared

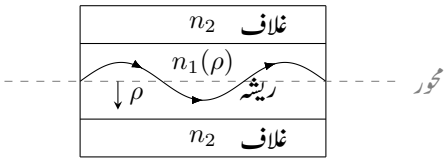

شکل 13.22: رداسی سمت ρ میں انحرافی مستقل مسلسل کم ہونے سے موج ہمواری کے ساتھ مڑتی ہے۔

ہیں۔خالی خلاء یا ہوا کی صورت میں $n_0 = 1$ ہو گا لہٰذا

$$\sin\theta_b = \sqrt{n_1^2 - n_2^2} \tag{13.252}$$

ہو گا۔

شیش ریشے اور غلاف کے انحرافی مستقل تقریباً $n_1 = 1.5$ اور $n_2 = 1.485$ ہوتے ہیں جس سے $\theta_b = 12.2^\circ$ حاصل ہوتا ہے۔یوں جو شعاع شیش ریشے کے محور پر $\theta_b < 12.2^\circ$ زاویے سے آمد ہو شیش ریشے میں پھنس جائے گی۔یہ شعاع شیش ریشے میں بار بار مکمل اندرونی انعکاس کرتے ہوئے صفر کرے گی۔شیش ریشے میں کئی بلند انداز شعاع ممکن ہیں اور تختی موجیج کی طرح یہاں بھی ایک عدد بلند درجی انداز ایسا ہے جس کا کوئی انقطاعی تعدد نہیں پایا جاتا۔یوں اگر

$$\lambda_0 > \frac{2\pi a\sqrt{n_1^2 - n_2^2}}{k_{01}} = \frac{2\pi a n_1 \cos\theta_{ic}}{k_{01}} \tag{13.253}$$

ہو جہاں

k_{01} صفر درجی بیسل تفاعل J_0 کا پہلا صفر $k_{01} = 2.405$ ہے،

λ_0 لامحدود خلاء میں طول موج

a شیش ریشے کا رداس

n_1 شیش ریشے کا انحرافی مستقل

n_2 شیش ریشے پر چڑھی تہہ کا انحرافی مستقل

θ_{ic} شیش ریشے اور اس پر چڑھی تہہ کے سرحد پر فاصل آمدی زاویہ

کے برابر ہیں تب صرف ایک عدد بلند درجی موج شیش ریشے میں پائی جائے گی۔اس صورت میں شیش ریشہ اکائی بلند درجی انداز رکھتی ہے۔

اگر شفاف ریشے کا انحرافی مستقل محور سے رداسی ρ سمت گھٹتا ہو تب شعاع کی راہ سرحد پر انعکاس سے اچانک تبدیل ہونے کی بجائے ہمواری کے ساتھ مڑے گی۔یوں شعاع کبھی بھی ریشے اور غلاف کے سرحد کو نہیں چھوئے گی۔ شکل 13.21-ب اور شکل 13.22 میں دونوں صورت حال دکھائے ہیں۔

شیش ریشے پر مبنی ذرائع ابلاغ کا نظام شکل میں دکھایا گیا ہے۔ایک جانب نوری ڈایوڈ[22] یا لیزر[23] برقی اشارے کو شعاع میں تبدیل کرتے ہوئے شیش ریشے میں خارج کرتا ہے۔دوسری جانب یہی شعاع شیش ریشے سے خارج ہو کر نوری ٹرانزسٹر پر چمکتی ہے جو اسے واپس برقی اشارے میں تبدیل کرتا ہے۔

[22] light emitting diode, LED
[23] laser

عمومی شیشہ ریشے میں کم سے کم تضعیف 700 nm تا 1100 nm زیریں بصری طول موج پر پائی جاتی ہے۔انسانی آنکھ 400 nm تا 700 nm طول موج دیکھنے کی صلاحیت رکھتی ہے۔

شیشہ ریشے 5 μm تا 50 μm قطر کے پائے جاتے ہیں جو کئی زیریں بصری طول موج کے برابر ہے لہٰذا اس سے شعاعی اخراج نہایت کم ہوتا ہے۔قطر کم کرنے یا طول موج بڑھانے سے شعاعی اخراج بڑھتا ہے۔ایسے شیشہ ریشے جن کا انحرافی مستقل 1.5 کے لگ بھگ ہو اور ان کا قطر اکائی طول موج سے زیادہ ہو بطور موجیج کردار ادا کرتے ہیں جبکہ اکائی طول موج سے کم قطر کے شیشہ ریشوں میں توانائی بیرون ریشہ سطح کے قریب رہتے ہوئے صفر کرتی ہے لہٰذا ان سے زیادہ شعاعی اخراج ہوتا ہے۔یوں اگر اکائی طول موج سے زیادہ قطر کے شیشہ ریشے کا قطر کم ہوتے ہوتے اکائی طول موج سے کم ہو جائے تو توانائی شیشہ ریشے کے اندر سے باہر منتقل ہو گی اور ساتھ ہی ساتھ محوری سمت میں شعاعی اخراج بھی پایا جائے گا۔ایسا شیشہ ریشہ بطور **محوری اینٹینا**[24] کردار ادا کرے گا۔

13.11 پردہ بصارت

انسانی آنکھ میں 10^8 سے زائد شیشہ ریشے پائے جاتے ہیں جو نا صرف بطور موجیج کام کرتے ہیں بلکہ یہ **ضیائی ذرے** یعنی **فوٹان**[25] پکڑنے کا کام بھی سرانجام دیتے ہیں۔آنکھ میں دو اقسام کے شیشہ ریشے پائے جاتے ہیں۔آنکھ کے درمیانے خطے میں مخروط شکل کے جبکہ اطراف پر نسبتاً زیادہ تعداد میں سلاخ نما شیشہ ریشے پائے جاتے ہیں جنہیں بالترتیب **مخروطے**[26] اور **سلاخ**[27] کہا جاتا ہے۔ تقریباً ہر مخروط علیحدہ علیحدہ انفرادی ترسیلی **عصبی ریشے**[28] کے ذریعے دماغ کے ساتھ منسلک ہوتا ہے جہاں تصویر کشی کا عمل ہوتا ہے۔ مخروطے ہمیں باریک بینی اور رنگ پہچانے کی صلاحیت مہیا کرتے ہیں۔مخروطوں کے برعکس اشکال پہچانے میں سلاخ کم مدد کرتے ہیں لیکن ان کی زیادہ تعداد اور حساس پن تاریکی میں دیکھنا ممکن بناتی ہے۔دماغ سے جڑی ایک عدد ترسیلی تار کے ساتھ متوازی کئی سلاخ جڑے ہوتے ہیں جس سے کم روشنی میں بینائی مزید بہتر کرتی ہے۔مرکز نگاہ سے ہٹ کر اطراف کی بینائی بھی سلاخ مہیا کرتے ہیں۔

شکل 13.23-الف میں آنکھ کا عمودی تراش دکھایا گیا ہے جس میں **عدسہ چشم**[29]، **پردہ بصارت**[30] اور دماغ کو جاتا **عصب بصری**[31] دکھائے گئے ہیں۔شکل 13.23-ب میں پردہ آنکھ کی زیادہ تفصیل دکھائی گئی ہے۔آنکھ کا پردہ شفاف ہوتا ہے۔اس میں مخروطے، سلاخ، دو قطبی خلیے[32] اور عصبی خلیے[33] پائے جاتے ہیں۔عصبی خلیہ کے دو اہم جزو **شجریہ**[34] اور **عصبی ریشہ** کہلاتے ہیں۔پردے کے پچھلی سطح پر غیر شفاف تہہ پائی جاتی ہے۔شکل 13.23-پ میں مخروط کی مزید وضاحت کی گئی ہے۔مخروط اور سلاخ کے پچھلے دبلے سر کا قطر تقریباً 1 μm، لمبائی بیس گنا زیادہ اور اس کا انحرافی مستقل $n_1 = 1.39$ جبکہ گرد مواد کا انحرافی مستقل n_2 اس سے چند فی صد کم ہوتا ہے۔یاد رہے کہ ذرائع ابلاغ میں استعمال شیشہ ریشوں کے انحرافی مستقل $n_1 = 1.46$ اور $n_2 = 1.44$ تقریباً یہی قیمتیں ہیں البتہ مخروط اور سلاخ کے دبلے سر کا قطر 1.5λ تا 2λ ہے جو شیشہ ریشے کے قطر سے نسبتاً کم ہے لہٰذا ان سے شعاعی اخراج زیادہ ہو گا۔

مخروط یا سلاخ کا **مرکزہ**[35] بطور عدسہ چشم کردار ادا کرتا ہے۔شعاع مخروط یا سلاخ میں بار بار مکمل اندرونی انعکاس سے صفر کرتی ہے اور جو فوٹان پچھلے دبلے حصے میں جذب نہ ہو پائے وہ پردے پر غیر شفاف تہہ تک پہنچتی ہے۔انسانی آنکھ میں غیر شفاف تہہ فوٹان جذب کرتی ہے جبکہ رات کی تاریکی میں

---

[24] end-fire antenna
[25] photon
[26] cones
[27] rods
[28] axon
[29] lens
[30] retina
[31] optic nerve
[32] bipolar cells
[33] nerve cells
[34] dendrite
[35] nucleus

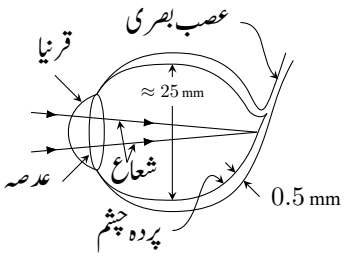

الف: انسانی آنکھ

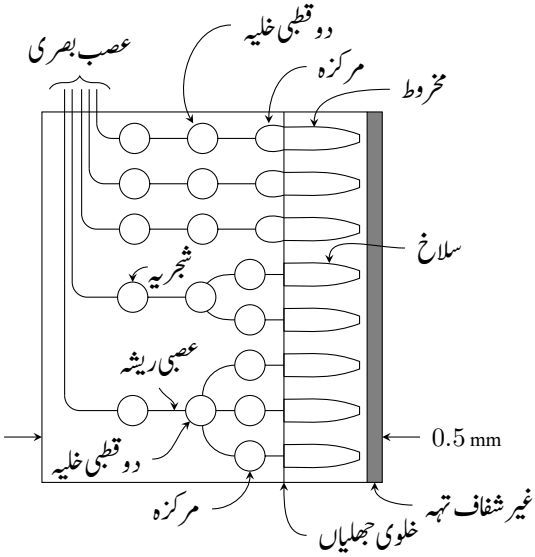

ب: آنکھ کا پردہ

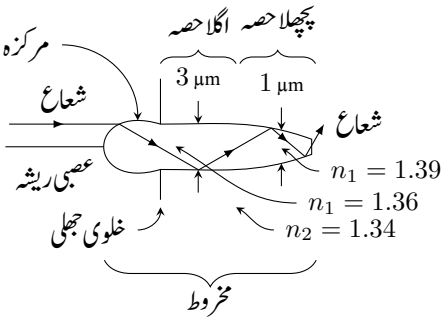

پ: مخروط

شکل 13.23: انسانی آنکھ اور اس کی تفصیل

شکار کرنے والے جانور، مثلاً بلی، کی آنکھ میں غیر شفاف تہہ کی جگہ انعکاسی مادے کی تہہ پائی جاتی ہے جو فوٹان کو واپس مخروط یا سلاخ میں بھیجتی ہے جس سے ان کی بینائی مزید بہتر ہوتی ہے۔

مخروط کے اگلے حصے میں $n_1 = 1.36$ جبکہ پچھلے حصے میں $n_1 = 1.39$ ہے۔یوں اگرچہ مخروط میں لمبائی کی جانب انحرافی مستقل تبدیل ہوتا ہے لیکن یاد رہے کہ اس کی قیمت بیرونی مادے کی انحرافی مستقل سے زیادہ رہتی ہے۔

مخروط یا سلاخ کے پچھلے حصے کے مالیکیول ضیائی ذرہ پکڑتے ہیں۔فوٹان پکڑنے سے برقی رو پیدا ہوتی ہے جو دو قطبی خلیے تک پہنچتی ہے۔دو قطبی خلیہ مختصر دورانیے کی موج پیدا کرتی ہے جو عصب بصری کے ذریعہ دماغ تک اشارہ پہنچاتی ہے۔یوں مخروط یا سلاخ محوری اینٹینا کی طرح ہیں البتہ ان میں 10^{15} Hz تعدد کے فوٹان پکڑنے اور اس کے عوض مختصر دورانیے کا عددی اشارہ پیدا کرنے کی صلاحیت بھی پائی جاتی ہے۔

13.12 گھمکی خلاء

مویج کا مقصد طاقت کی منتقلی ہے۔اس کے برعکس گھمکیا طاقت ذخیرہ کرتا ہے۔گھمکیا کو امالہ اور کپیسٹر کے گھمکی دور[36] کی طرح تصور کیا جا سکتا ہے۔شکل میں امالہ اور کپیسٹر کا دور دکھایا گیا ہے جس کی گھمکی تعدد $\omega = \frac{1}{\sqrt{LC}}$ ہے۔اس دور کے گھمکی تعدد کو بڑھانے کی خاطر امالہ اور کپیسٹر کی قیمت کم کرنی ہو گی۔شکل-ب میں امالہ کے چکر کم کرتے کرتے ایک تک پہنچ گئے ہیں۔اسی طرح کپیسٹر کی قیمت کم کرنے کی خاطر اس کے دو چادروں کو دور کر دیا گیا ہے۔متوازی امالہ جوڑنے سے کل امالہ کم ہوتی ہے۔شکل-پ میں مزید امالہ متوازی جوڑ کر یہی کرنے کی کوشش کی گئی ہے۔متوازی امالہ جوڑنے کی حد شکل-ت میں دکھائی گئی ہے جہاں کپیسٹر اور امالہ مل کر بند ڈبے کی شکل اختیار کر گئے ہیں۔یہی بند ڈبی گھمکی خلاء[37] کہلاتی ہے۔

آئیں مستطیلی گھمکی خلاء پر تفصیلی بحث کریں۔صفحہ 458 پر مساوات 13.78 تا مساوات 13.83 مستطیلی مویج میں تمام میدان دیتے ہیں۔ان میں $\gamma = j\beta$ لیتے ہوئے یہاں دوبارہ پیش کیا گیا ہے جہاں H_y کے مساوات میں $H_{y0} = \frac{\gamma H_0}{k^2}\frac{n\pi}{y_1}$ لکھا گیا ہے اور یہی طریقہ کار باقی مساوات پر بھی لاگو کیا گیا ہے تاکہ صرف ضروری معلومات پر توجہ رہے۔مثبت x جانب حرکت کرتے میدان مثلاً H_x^+ پر زیر بالا + لکھ کر حرکت کی سمت بتلائی گئی ہے۔

$$H_x^+ = H_{x0}\cos\frac{n\pi y}{y_1}\cos\frac{m\pi z}{z_1}e^{j(\omega t-\beta x)} \tag{13.254}$$

$$H_y^+ = H_{y0}\sin\frac{n\pi y}{y_1}\cos\frac{m\pi z}{z_1}e^{j(\omega t-\beta x)} \tag{13.255}$$

$$H_z^+ = H_{z0}\cos\frac{n\pi y}{y_1}\sin\frac{m\pi z}{z_1}e^{j(\omega t-\beta x)} \tag{13.256}$$

$$E_z^+ = -E_{z0}\sin\frac{n\pi y}{y_1}\cos\frac{m\pi z}{z_1}e^{j(\omega t-\beta x)} \tag{13.257}$$

$$E_y^+ = E_{y0}\cos\frac{n\pi y}{y_1}\sin\frac{m\pi z}{z_1}e^{j(\omega t-\beta x)} \tag{13.258}$$

$$E_x^+ = 0 \tag{13.259}$$

اگر مویج کو دائیں جانب موصل چادر سے بند کر دیا جائے تو امواج اس بند سرے پر عمودی آمد ہوں گے۔برقی میدان E_y^+ بند سرے کی چادر کے متوازی ہے لہٰذا انعکاسی مستقل $\Gamma_{\parallel} = -1$ ہے۔یوں یہ برقی میدان انعکاس کے بعد منفی x جانب حرکت کرے گا۔انعکاسی برقی میدان

$$E_y^- = -E_{y0}\cos\frac{n\pi y}{y_1}\sin\frac{m\pi z}{z_1}e^{j(\omega t+\beta x)} \tag{13.260}$$

---

[36] resonant circuit
[37] cavity resonator

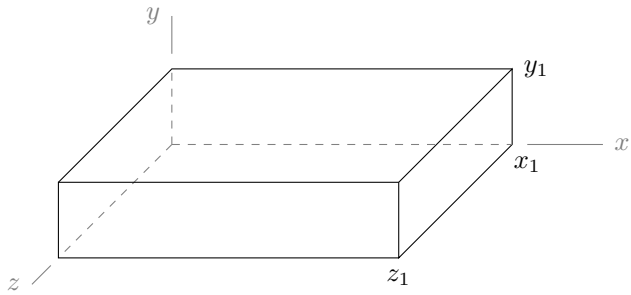

شکل 13.24: مستطیلی گھمکیا

ہے۔آمدی اور انعکاسی میدان مل کر ساکن موج

$$\begin{aligned} E_y^+ + E_y^- &= E_{y0}\cos\frac{n\pi y}{y_1}\sin\frac{m\pi z}{z_1}e^{j(\omega t-\beta x)} - E_{y0}\cos\frac{n\pi y}{y_1}\sin\frac{m\pi z}{z_1}e^{j(\omega t+\beta x)} \\ &= E_{y0}\cos\frac{n\pi y}{y_1}\sin\frac{m\pi z}{z_1}e^{j\omega t}\left(e^{-j\beta x} - e^{j\beta x}\right) \end{aligned}$$

یعنی

$$E_y = -j2E_{y0}\cos\frac{n\pi y}{y_1}\sin\frac{m\pi z}{z_1}\sin\beta x e^{j\omega t} \tag{13.261}$$

کو جنم دیتے ہیں۔موصل پر متوازی برقی میدان صفر ہوتا ہے لہٰذا مساوات 13.261 کا برقی میدان موجیج کے دائیں بند سرے پر صفر کے برابر ہو گا۔اسی طرح بند سرے سے $\frac{\lambda}{2}$ یا $\frac{l\lambda}{2}$ فاصلے پر بھی میدان صفر ہو گا جہاں $l = 1, 2, \cdots$ ہے۔یوں بند سرے سے $\frac{l\lambda}{2}$ فاصلے پر موصل چادر رکھنے سے میدان پر کوئی اثر نہیں پڑے گا، البتہ E_y^- موجیج کے بائیں بند سرے سے انعکاس پذیر ہو گا۔ شکل 13.24 میں مستطیلی موجیج کے دائیں اور بائیں سرے بند کرتے ہوئے بقایا موجیج کو ہٹا لیا گیا ہے۔یہ بند ڈبہ **مستطیلی گھمکیا**[38] ہے۔

شکل 13.24 میں گھمکیا کا بایاں سرا $x = 0$ اور دایاں سرا $x = x_1$ پر ہیں جہاں دونوں بند سروں کے درمیان فاصلہ

$$x_1 = \frac{l\lambda}{2} \qquad (l = 1, 2, 3, \cdots) \tag{13.262}$$

ہے۔اس مساوات کو استعمال کرتے ہوئے

$$\beta x_1 = \frac{2\pi}{\lambda}\frac{l\lambda}{2} = l\pi$$

حاصل ہوتا ہے جس سے

$$\beta = \frac{l\pi}{x_1} \tag{13.263}$$

ملتا ہے۔اس کو استعمال کرتے ہوئے مساوات 13.261

$$E_y = -j2E_{y0}\cos\frac{n\pi y}{y_1}\sin\frac{m\pi z}{z_1}\sin\frac{l\pi x}{x_1}e^{j\omega t} \tag{13.264}$$

[38] rectangular resonator

لکھا جائے گا۔اس مساوات میں گھمکیا کے x سمت میں l آدھے طول موج پائے جاتے ہیں، y سمت میں n آدھے طول موج پائے جاتے ہیں اور z سمت میں m آدھے طول موج پائے جاتے ہیں۔

مساوات 13.264 میں $x = 0$ یا $x = x_1$ پر کرتے ہوئے آپ دیکھ سکتے ہیں کہ دونوں بند سطحوں پر برقی میدان صفر کے برابر ہے۔

مساوات 13.86 میں دئے k کو k_{yz} لکھتے

$$k_{yz}^2 = \left(\frac{n\pi}{y_1}\right)^2 + \left(\frac{m\pi}{z_1}\right)^2 \tag{13.265}$$

ہوئے اور کامل ذو برق کے لئے $\sigma = 0$ لیتے ہوئے مساوات 13.87

$$k_{yz}^2 = \gamma^2 + \omega^2\mu\epsilon$$

لکھا جائے گا جہاں $\alpha = 0$ کی صورت میں $\gamma = j\beta$ ہو گا لہٰذا

$$k_{yz}^2 = -\beta^2 + \omega^2\mu\epsilon$$

یا

$$\left(\frac{n\pi}{y_1}\right)^2 + \left(\frac{m\pi}{z_1}\right)^2 = -\left(\frac{l\pi}{x_1}\right)^2 + (2\pi f)^2 \frac{1}{(f\lambda)^2}$$

لکھا جا سکتا ہے جس سے گھمکی طول موج

$$\lambda_{\text{گھمکی}} = \frac{2\pi}{\sqrt{\left(\frac{n\pi}{y_1}\right)^2 + \left(\frac{m\pi}{z_1}\right)^2 + \left(\frac{l\pi}{x_1}\right)^2}} \tag{13.266}$$

حاصل ہوتی ہے۔اس مساوات کو استعمال کرتے ہوئے گھمکیا کا مستقل k یوں

$$k_{xyz}^2 = \left(\frac{l\pi}{x_1}\right)^2 + \left(\frac{n\pi}{y_1}\right)^2 + \left(\frac{m\pi}{z_1}\right)^2 \tag{13.267}$$

بیان کیا جاتا ہے جس سے

$$\lambda_{\text{گھمکی}} = \frac{2\pi}{k_{xyz}} \tag{13.268}$$

لکھا جا سکتا ہے۔

یوں گھمکی کے مندرجہ بالا امواج بلند درجی TE_{lnm} کہلائیں گے اور گھمکی طول موج λ_{lnm} لکھی جائے گی۔

13.13 میکس ویل مساوات کا عمومی حل

اس حصے میں مستطیلی گھمکی مکمل طور پر حل کی جائے گی۔امید کی جاتی ہے کہ آپ اس طریقے کو پسند کریں گے۔

کثافت چارج سے خالی $\rho_h = 0$ خطے کے میکس ویل کے مساوات

$$\nabla \times \boldsymbol{H} = \sigma \boldsymbol{E} + \epsilon \frac{\partial \boldsymbol{E}}{\partial t} \tag{13.269}$$

$$\nabla \times \boldsymbol{E} = -\mu \frac{\partial \boldsymbol{H}}{\partial t} \tag{13.270}$$

$$\nabla \cdot \boldsymbol{H} = 0 \tag{13.271}$$

$$\nabla \cdot \boldsymbol{E} = 0 \tag{13.272}$$

سے شروع کرتے ہیں۔مساوات 13.270 کی گردش لیتے ہوئے حاصل جواب میں مساوات 13.269 اور مساوات 13.272 پر کرنے سے موج کی مساوات

$$\nabla \times \nabla \times \boldsymbol{E} = \nabla (\nabla \cdot \boldsymbol{E}) - \nabla^2 \boldsymbol{E} = -\mu \frac{\partial}{\partial t} (\nabla \times \boldsymbol{H})$$

$$-\nabla^2 \boldsymbol{E} = -\mu\sigma \frac{\partial \boldsymbol{E}}{\partial t} - \mu\epsilon \frac{\partial^2 \boldsymbol{E}}{\partial t^2}$$

حاصل ہوتی ہے۔یہ سمتی مساوات حقیقت میں تین مساوات کو ظاہر کرتی ہے۔ان میں سے E_x کی مساوات یوں

$$\nabla^2 E_x = \mu\sigma \frac{\partial E_x}{\partial t} + \mu\epsilon \frac{\partial^2 E_x}{\partial t^2}$$

یا

$$\frac{\partial^2 E_x}{\partial x^2} + \frac{\partial^2 E_x}{\partial y^2} + \frac{\partial^2 E_x}{\partial z^2} = \mu\sigma \frac{\partial E_x}{\partial t} + \mu\epsilon \frac{\partial^2 E_x}{\partial t^2} \tag{13.273}$$

لکھی جائے گی جہاں برقی میدان $E_x(x, y, z, t)$ کے چار آزاد متغیرات ہیں۔علیحدگی متغیرات[39] استعمال کرتے ہوئے برقی میدان کو دو تفاعل کے حاصل ضرب کے برابر لکھا جاتا ہے

$$E_x(x, y, z, t) = M(x, y, z)T(t) \tag{13.274}$$

جہاں پہلے تفاعل M کے تین آزاد متغیرات x، y اور z ہیں جبکہ دوسرے تفاعل T کا صرف t آزاد متغیرہ ہے۔یوں مساوات 13.273 سے

$$T\left(\frac{\partial^2 M}{\partial x^2} + \frac{\partial^2 M}{\partial y^2} + \frac{\partial^2 M}{\partial z^2}\right) = M\left(\mu\sigma \frac{\partial T}{\partial t} + \mu\epsilon \frac{\partial^2 T}{\partial t^2}\right)$$

حاصل ہوتا ہے۔دونوں اطراف کو MT سے تقسیم کرتے ہوئے

$$\frac{1}{M}\left(\frac{\partial^2 M}{\partial x^2} + \frac{\partial^2 M}{\partial y^2} + \frac{\partial^2 M}{\partial z^2}\right) = \frac{1}{T}\left(\mu\sigma \frac{\partial T}{\partial t} + \mu\epsilon \frac{\partial^2 T}{\partial t^2}\right)$$

حاصل ہوتا ہے۔اس مساوات کا بایاں ہاتھ خلاء کے متغیرات x، y اور z پر منحصر ہے جبکہ دایاں ہاتھ وقت t پر منحصر ہے۔یوں خلاء کے متغیرات تبدیل کرنے سے صرف بایاں ہاتھ تبدیل ہونے کا امکان ہے لیکن بائیں ہاتھ میں تبدیلی کے بعد مساوات کے دونوں اطراف برابر نہیں ہوں گے لہٰذا یہ لازم ہے کہ مساوات کے دونوں اطراف قابل تبدیل نہ ہوں۔یوں انہیں مستقل k^2 کے برابر لکھا جا سکتا ہے یعنی

$$\frac{1}{M}\left(\frac{\partial^2 M}{\partial x^2} + \frac{\partial^2 M}{\partial y^2} + \frac{\partial^2 M}{\partial z^2}\right) = \frac{1}{T}\left(\mu\sigma \frac{\partial T}{\partial t} + \mu\epsilon \frac{\partial^2 T}{\partial t^2}\right) = -k^2$$

[39] separation of variables

جس سے دو مساوات

$$\mu\epsilon\frac{\partial^2 T}{\partial t^2}+\mu\sigma\frac{\partial T}{\partial t}+k^2T=0 \tag{13.275}$$

$$\frac{\partial^2 M}{\partial x^2}+\frac{\partial^2 M}{\partial y^2}+\frac{\partial^2 M}{\partial z^2}+k^2M=0 \tag{13.276}$$

حاصل ہوتے ہیں۔ 4677

مساوات 13.275 کا حل $T=e^{pt}$ فرض کرتے ہوئے

$$\left(\mu\epsilon p^2+\mu\sigma p+k^2T\right)e^{pt}=0$$

سے

$$p=\frac{-\sigma\mp\sqrt{\sigma^2-4\frac{\epsilon}{\mu}k^2}}{2\epsilon}$$

حاصل ہوتا ہے۔کامل ذو برق کی صورت میں $\sigma=0$ ہو گا جس سے

$$p=\mp\frac{jk}{\sqrt{\mu\epsilon}} \tag{13.277}$$

حاصل ہوتا ہے جس سے

$$T(t)=c_{t1}e^{-\frac{jk}{\sqrt{\mu\epsilon}}t}+c_{t2}e^{+\frac{jk}{\sqrt{\mu\epsilon}}t}$$

لکھا جا سکتا ہے جہاں c_{t1}، c_{t2} مساوات کے مستقل ہیں۔اس میں

$$\omega=\frac{k}{\sqrt{\mu\epsilon}} \tag{13.278}$$

لیتے ہوئے مساوات کی جانی پہچانی شکل

$$T(t)=c_{t1}e^{-j\omega t}+c_{t2}e^{j\omega t} \tag{13.279}$$

حاصل ہوتی ہے۔ 4678

مساوات 13.276 کو بھی علیحدگی متغیرات کے طریقے سے حل کرتے ہیں۔یوں

$$M(x,y,z)=X(x)N(y,z) \tag{13.280}$$

لیتے ہوئے

$$N\frac{\partial^2 X}{\partial x^2}+X\frac{\partial^2 N}{\partial y^2}+X\frac{\partial^2 N}{\partial z^2}+k^2XN=0$$

یا

$$\frac{1}{X}\frac{\partial^2 X}{\partial x^2}=-\frac{1}{N}\left(\frac{\partial^2 N}{\partial y^2}+\frac{\partial^2 N}{\partial z^2}\right)-k^2$$

حاصل ہوتا ہے جسے نئے مستقل $-k_x^2$ کے برابر لکھا جا سکتا ہے۔یوں

$$\frac{\partial^2 X}{\partial x^2} + k_x^2 X = 0 \tag{13.281}$$

$$\frac{\partial^2 N}{\partial y^2} + \frac{\partial^2 N}{\partial z^2} + (k^2 - k_x^2)N = 0 \tag{13.282}$$

حاصل ہوتے ہیں۔ان میں دوسرے مساوات میں N کو مزید دو تفاعل کا حاصل ضرب

$$N(y,z) = Y(y)Z(z) \tag{13.283}$$

لکھتے ہوئے

$$Z\frac{\partial^2 Y}{\partial y^2} + Y\frac{\partial^2 Z}{\partial z^2} + (k^2 - k_x^2)YZ = 0$$

یا

$$\frac{1}{Y}\frac{\partial^2 Y}{\partial y^2} = -\frac{1}{Z}\frac{\partial^2 Z}{\partial z^2} - k^2 + k_x^2$$

لکھا جا سکتا ہے۔اس کو نئے مستقل $-k_y^2$ کے برابر پر کرتے ہوئے دو مساوات

$$\frac{\partial^2 Y}{\partial y^2} = -k_y^2 Y \tag{13.284}$$

$$\frac{\partial^2 Z}{\partial z^2} = -(k^2 - k_x^2 - k_y^2)Z = -k_z^2 Z \tag{13.285}$$

حاصل ہوتے ہیں جہاں آخری قدم پر $(k^2 - k_x^2 - k_y^2 = k_z^2)$ یا

$$k^2 = k_x^2 + k_y^2 + k_z^2 \tag{13.286}$$

لیا گیا ہے۔مساوات 13.281، مساوات 13.284 اور مساوات 13.285 کے حل

$$X(x) = c_{x1}e^{-jk_x x} + c_{x2}e^{jk_x x} = c'_{x1}\cos k_x x + c'_{x2}\sin k_x x \tag{13.287}$$

$$Y(y) = c_{y1}e^{-jk_y y} + c_{y2}e^{jk_y y} = c'_{y1}\cos k_y y + c'_{y2}\sin k_y y \tag{13.288}$$

$$Z(z) = c_{z1}e^{-jk_z z} + c_{z2}e^{jk_z z} = c'_{z1}\cos k_z z + c'_{z2}\sin k_z z \tag{13.289}$$

ہیں۔

مساوات 13.280، مساوات 13.283 اور مساوات 13.274 سے ظاہر ہے کہ

$$E_x(x,y,z,t) = TXYZ \tag{13.290}$$

کے برابر ہے۔مساوات 13.290 میکس ویل مساوات کا عمومی حل ہے جو کسی ایک خطے میں ہر ممکنہ E_x موج کو ظاہر کرتی ہے۔اصل موج اس مساوات کا حقیقی جزو ہو گا۔

اب تک k پر کوئی شرط عائد نہیں کی گئی۔یوں $k_x = 0.32$ یا $k_x = -7.59$ ہو سکتا ہے۔مندرجہ بالا مساوات لامحدود خطے میں مکمل آزاد موج کو ظاہر کرتی ہے۔آئیں اب موج کو پابند کر کے دیکھیں۔

تصور کریں کہ لا محدود وسعت کے دو متوازی موصل چادروں کے درمیان موج پیدا کی جاتی ہے۔ صفحہ 444 پر شکل 13.1 میں ایسا دکھایا گیا ہے۔ ان موصل چادروں پر متوازی برقی دباو صفر ہو گا۔ یوں $z = 0$ اور $z = z_0$ پر E_x صفر ہو گا۔ ہم اس ترکیب کو کئی مرتبہ استعمال کر چکے ہیں۔ مساوات 13.289 میں ان شرائط کو پر کرتے ہوئے

$$c'_{z1} = 0 \tag{13.291}$$

$$k_z = \frac{m\pi}{z_1} \tag{13.292}$$

حاصل ہوتا ہے جہاں

$$m = 1, 2, 3 \cdots \tag{13.293}$$

کے برابر ممکن ہے۔ آپ دیکھ سکتے ہیں کہ k_z اب صرف چنی گئی قیمت کا ہو سکتا ہے۔ یوں $k_z = \frac{\pi}{z_1}$ یا $k_z = \frac{2\pi}{z_1}$ ہو سکتا ہے لیکن ان دو قیمتوں کے درمیان یہ کسی اور قیمت کا نہیں ہو سکتا۔ یہی خصوصیت مقید موج کی نشانی ہے۔

اسی طرح $y = 0$ اور $y = y_0$ پر بھی دو متوازی موصل چادر نسب کرنے سے صفحہ 450 پر دکھایا شکل 13.8 حاصل ہوتا ہے۔ ان سطحوں پر بھی متوازی برقی میدان صفر ہو گا۔ اس طرح مساوات 13.288 سے

$$c'_{y1} = 0 \tag{13.294}$$

$$k_y = \frac{n\pi}{y_1} \tag{13.295}$$

حاصل ہوتے ہیں جہاں

$$n = 1, 2, 3, \cdots \tag{13.296}$$

کے برابر ممکن ہیں۔ اب موج y اطراف سے بھی پابند ہے جس کی وجہ سے k_y بھی آزادانہ قیمت رکھنے سے قاصر ہے۔ یوں مستطیلی مویج میں موج کی مساوات

$$E_x = E_{x0} \sin \frac{n\pi y}{y_0} \sin \frac{m\pi z}{z_0} e^{j(\omega t \mp k_x x)} \tag{13.297}$$

ہو گی جہاں $e^{j(\omega t - k_x x)}$ بڑھتے x جانب موج جبکہ $e^{j(\omega t + k_x x)}$ گھٹتے x جانب موج ہے۔ k_y اور k_z کی قیمتیں مساوات 13.292 اور مساوات 13.295 کے تحت ہوں گی۔ جیسے آپ جلد مساوات 13.311 میں دیکھیں گے، طول موج اور k کا ایک خاص تعلق ہے۔ یوں جس تعدد کی موج مستطیلی مویج سے گزر رہی ہو مساوات 13.311 اس کا k دیتی ہے جو ایک اٹل قیمت ہو گی۔ اب کسی بھی k_y اور k_z کے لئے مساوات 13.286 سے k_x کی قیمت مخصوص تعدد کے موج کے لئے حاصل کی جا سکتی ہے۔ جب تک k_x کی قیمت حقیقی عدد حاصل ہو اس وقت تک مساوات 13.287 سے حرکت کرتی موج ہی حاصل ہو گی البتہ اگر k_y اور k_z کی جوڑی سے k_x کی قیمت خیالی حاصل ہو تب مساوات 13.287 سے

$$X(x) = c_{x1} e^{k_x x} + c_{x2} e^{-k_x x}$$

حاصل ہو گا۔ بڑھتے x جانب موج کی صورت میں $x \to \infty$ کی صورت میں اس مساوات سے لا محدود میدان حاصل ہو گا لہٰذا ایسی صورت میں $c_{x1} = 0$ لیا جائے گا۔ مساوات کا بقایا حصہ حرکت کرتے موج کو ظاہر نہیں کرتا بلکہ یہ گھٹتے میدان کو ظاہر کرتا ہے۔ آپ دیکھ سکتے ہیں کہ کسی مخصوص تعدد، k_y اور k_z سے 13.286 k_x کی مخصوص قیمت دیتا ہے۔

اگر $x = 0$ اور $x = x_0$ پر بھی موصل چادر نسب کئے جائیں تو صفحہ 495 پر دکھایا شکل 13.24 حاصل ہو گا۔ چونکہ E_x ان چادروں کے عمودی ہے لہٰذا ہمیں E_y یا E_z کی مساوات درکار ہو گی۔ میں لکھتے لکھتے بہت تھک چکا ہوں۔ آپ بھی پڑھ پڑھ کر بہت تھکے ہوں گے لہٰذا میں ان چادروں سے حاصل نتیجہ لکھ لیتا ہوں

$$c'_{x2} = 0 \tag{13.298}$$

$$k_x = \frac{l\pi}{x_0} \tag{13.299}$$

جہاں

$$l = 1, 2, 3, \cdots \tag{13.300}$$

کے برابر ممکن ہے۔

ان نتائج کو جمع کرتے ہوئے شکل 13.24 میں دکھائے مستطیلی گھمکیا کی مساوات

$$\begin{aligned} E_x &= E_{x0} \cos k_x x \sin k_y y \sin k_z z e^{j\omega t} \\ &= E_{x0} \cos \frac{l\pi x}{x_0} \sin \frac{n\pi y}{y_0} \sin \frac{m\pi z}{z_0} e^{j\omega t} \end{aligned} \tag{13.301}$$

حاصل ہوتی ہے جو ساکن موج ہے۔

آئیں ایک بار پھر مکمل آزاد موج کی بات کریں۔ مساوات 13.287 دراصل دو ممکنہ جوابات $e^{-jk_x x}$ اور $e^{jk_x x}$ کا مجموعہ ہے۔ اسی طرح مساوات 13.288 اور مساوات 13.289 بھی مجموعے ہیں۔ مساوات 13.290 میں X، Y اور Z کے مختلف اجزاء پر کرتے ہوئے مختلف امواج کے مساوات حاصل ہوتے ہیں۔ یوں مساوات 13.287، مساوات 13.288 اور مساوات 13.289 کے پہلے جزو چنتے ہوئے ایک ممکنہ حل

$$E_x = E_{x0} e^{j\omega t - k_x \boldsymbol{a}_{\mathrm{x}} - k_y \boldsymbol{a}_{\mathrm{y}} - k_z \boldsymbol{a}_{\mathrm{z}}} \tag{13.302}$$

حاصل ہوتا ہے۔ کارتیسی محدد میں کسی بھی نقطہ (x, y, z) کو سمتیہ

$$\boldsymbol{r} = x\boldsymbol{a}_{\mathrm{x}} + y\boldsymbol{a}_{\mathrm{y}} + z\boldsymbol{a}_{\mathrm{z}} \tag{13.303}$$

ظاہر کرتی ہے۔ ہم k_x، k_y، k_z اور k کو سمتیہ

$$\boldsymbol{k} = k_x \boldsymbol{a}_{\mathrm{x}} + k_y \boldsymbol{a}_{\mathrm{y}} + k_z \boldsymbol{a}_{\mathrm{z}} \tag{13.304}$$

لکھ سکتے ہیں جو مساوات 13.286 کے شرط پر پورا اترتی ہے۔ اس طرح

$$\boldsymbol{k} \cdot \boldsymbol{r} = k_x x + k_y y + k_z z \tag{13.305}$$

ہو گا لہٰذا مساوات 13.302 کو نہایت عمدگی کے ساتھ

$$E_x = E_{x0} e^{j(\omega t - \boldsymbol{k} \cdot \boldsymbol{r})} \tag{13.306}$$

لکھا جا سکتا ہے جس کا حقیقی جزو

$$E_x = E_{x0} \cos(\omega t - \boldsymbol{k} \cdot \boldsymbol{r}) \tag{13.307}$$

اصل موج دیتا ہے۔ مندرجہ بالا مساوات لامحدود خطے میں موج کی عمومی مساوات ہے جو بڑھتے $\boldsymbol{k}$ کی جانب حرکت کرے گی۔

شکل 13.25 میں موج کے حرکت کی سمت، x محدد کے ساتھ ϕ زاویہ بناتی ہے۔ یہ موج xy سطح پر پائی جاتی ہے یعنی $k_z = 0$ کے برابر ہے۔ موج کی چوٹیوں کو نقطہ دار لکیروں سے ظاہر کیا گیا ہے۔ کسی بھی نقطے پر ان چوٹیوں کو گن کر تعدد دریافت کی جا سکتی ہے۔ یوں x محدد پر نقطہ $(x_0, 0)$ سے فی سیکنڈ گزرتے چوٹیوں کی تعداد موج کی تعدد f ہو گی۔ آپ دیکھ سکتے ہیں کہ y محدد پر نقطہ $(0, y_0)$ سے بھی فی سیکنڈ اتنی ہی چوٹیاں گزریں گی۔ اسی طرح $\boldsymbol{k}$ پر بھی کسی نقطے پر چوٹیاں گنتے ہوئے یہی تعدد حاصل ہوتی ہے۔

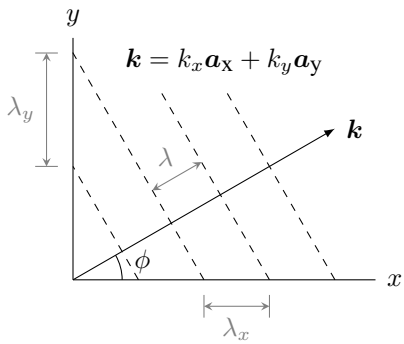

شکل 13.25: مختلف طول موج کا آپس میں تعلق

دو متواتر چوٹیوں کے درمیان فاصلہ طول موج کہلاتا ہے۔ وقت t کو روک کر x محدد پر رہتے ہوئے موج کی دو متواتر چوٹیوں کے درمیان فاصلہ λ_x ناپا جائے گا۔ اسی طرح y محدد پر طول موج λ_y ناپی جائے گی جبکہ حرکت کی سمت میں طول موج λ ناپی جائے گی۔ ان تمام کو شکل 13.25 میں دکھایا گیا ہے۔ 4698

کسی بھی موج کی تعدد f اور طول موج λ جانتے ہوئے اس کی رفتار $v = f\lambda$ لکھی جا سکتی ہے۔ سمت حرکت کی جانب موج کی رفتار $\frac{1}{\sqrt{\mu\epsilon}}$ کے برابر ہوتی ہے لہٰذا

$$f\lambda = \frac{1}{\sqrt{\mu\epsilon}} \tag{13.308}$$

ہو گا۔ اس مساوات کے دونوں اطراف کو 2π سے ضرب دیتے ہوئے

$$\lambda = \frac{2\pi}{\omega\sqrt{\mu\epsilon}} \tag{13.309}$$

حاصل ہوتا ہے جس میں مساوات 13.278 پر کرنے سے

$$\lambda = \frac{2\pi}{k} \tag{13.310}$$

یا

$$k = \frac{2\pi}{\lambda} \tag{13.311}$$

حاصل ہوتا ہے لیکن ہم جانتے ہیں کہ $\beta = \frac{2\pi}{\lambda}$ ہوتا ہے۔ مندرجہ بالا مساوات کامل ذو برق $\sigma = 0$ کے لئے حاصل کئے گئے لہٰذا $\alpha = 0$ اور

$$\gamma = 0 + j\beta = jk \tag{13.312}$$

کے برابر ہے۔ اس طرح k کو β جبکہ k_x، k_y اور k_z کو بالترتیب β_x، β_y اور β_z لکھا جا سکتا ہے۔ 4699

ہم توقع کرتے ہیں کہ مساوات 13.311 کی طرح $\lambda_x = \frac{2\pi}{k_x}$ لکھنا ممکن ہو گا۔ آئیں اس حقیقت کو ثابت کریں۔ شکل 13.25 کو دیکھ کر $\lambda_x = \frac{\lambda}{\cos\phi}$ لکھا جا سکتا ہے جہاں شکل کو دیکھتے ہوئے $\cos\phi = \frac{k_x}{k}$ لکھا جا سکتا ہے۔ یوں

$$\lambda_x = \frac{\lambda}{\cos\phi} = \frac{\lambda k}{k_x}$$

لکھ کر $k = \frac{2\pi}{\lambda}$ پر کرتے ہوئے

$$\lambda_x = \frac{2\pi}{k_x} \tag{13.313}$$

حاصل ہوتا ہے۔اسی طرح ہم

$$\lambda_y = \frac{2\pi}{k_y} \tag{13.314}$$

$$\lambda_z = \frac{2\pi}{k_z} \tag{13.315}$$

بھی حاصل کر سکتے ہیں۔

سمت حرکت کی جانب رفتار جسے مجموعی رفتار[40] کہتے ہیں

$$v = f\lambda = \frac{\omega}{k} \tag{13.316}$$

کے برابر ہے۔موج اس رفتار سے توانائی ایک جگہ سے دوسری جگہ منتقل کرتی ہے۔اس کے برعکس کارتیسی محدد پر دوری رفتار[41]

$$v_x = f\lambda_x = \frac{\omega}{k_x}$$
$$v_y = f\lambda_y = \frac{\omega}{k_y}$$
$$v_z = f\lambda_z = \frac{\omega}{k_z}$$

ہوں گے۔شکل 13.25 میں ϕ کی قیمت کم کرنے سے λ_y اور یوں v_y کی قیمت بڑھتی ہے حتٰی کہ $\phi = 0$ پر $v_y = \infty$ حاصل ہوتا ہے۔یوں دوری رفتار، روشنی کے رفتار سے زیادہ ہو سکتی ہے۔دوری رفتار صرف آنکھوں کا دھوکہ ہے، اس رفتار سے موج کا کوئی حصہ حرکت نہیں کرتا لہٰذا یہ آئن سٹائن کے قانون کی خلاف ورزی نہیں کرتا۔آئن سٹائن کا قانون کہتا ہے کہ کوئی چیز روشنی سے زیادہ تیز صفر نہیں کر سکتی۔

سوالات

سوال 13.1: ہوا اور تانبے کے سرحد پر 1 GHz تعدد کے موج کا جھکاو حاصل کریں۔

جواب: $0.00177°$

سوال 13.2: ہوا اور پانی $\epsilon_R = 78$ کے سرحد پر 1 GHz تعدد کے موج کا جھکاو حاصل کریں۔

جواب: $6.46°$

[40] group velocity
[41] phase velocity

باب 14

اینٹینا اور شعاعی اخراج

14.1 تعارف

14.2 تاخیری دباو

کسی بھی اخراج شعاع کے نظام میں موج کے ترسیل کے لئے درکار دورانیہ اہمیت رکھتا ہے۔یوں شکل 14.3 میں دکھائے تار میں برقی رو سے پیدا میدان کا اثر نقطہ N پر کچھ وقفے سے ہو گا۔خالی خلاء میں یہ وقفہ موج کو تار سے نقطے تک پہنچنے کا دورانیہ $\frac{r}{c}$ ہے جہاں $c = 3 \times 10^8\,\mathrm{m/s}$ خالی خلاء میں شعاع کی رفتار ہے۔یوں N کے نقطہ نظر سے تار میں برقی رو

$$I = I_0 \cos \omega t \tag{14.1}$$

کی بجائے

$$[I] = I_0 \cos \omega \left(t - \frac{r}{c}\right) \tag{14.2}$$

لکھی جا سکتی ہے جہاں $[I]$ تاخیری برقی رو[1] کہلاتی ہے۔تاخیری تفاعل کو چکور قوسین میں بند لکھا جاتا ہے۔تاخیری برقی رو لکھتے ہوئے وقت t کی جگہ تاخیری وقت $(t - \frac{r}{c})$ استعمال کیا جاتا ہے۔

مساوات 14.2 کہتا ہے کہ نقطہ N پر لمحہ t پر پیدا اثر، گزرے لمحے $(t - \frac{r}{c})$ پر تار میں برقی رو کا اثر ہے جہاں تار سے N تک فاصلہ r ہے۔تار سے N تک شعاع پہنچنے کا دورانیہ $\frac{r}{c}$ ہے۔

[1] retarded current

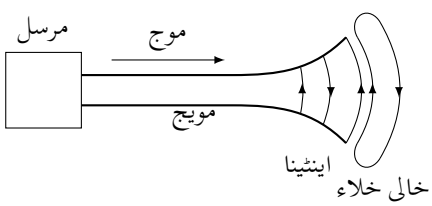

شکل 14.1: اینٹینا وہ عبوری خطہ ہے جہاں منضبط موج ترسیلی نظام سے نکل کر خلاء میں بطور آزاد موج خارج ہوتی ہے۔

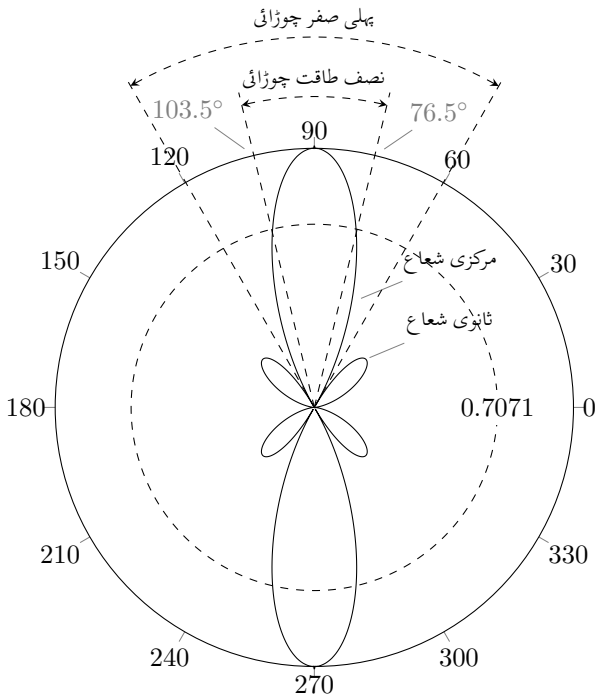

شکل 14.2: ایٹینا کے شعاع کا نقش

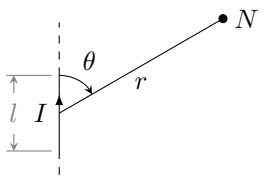

شکل 14.3: برقی رو گزارتی تار کی چھوٹی لمبائی

گزشتہ بابوں میں امواج کی بات کرتے ہوئے $\cos(\omega t - \beta x)$ استعمال کیا گیا جس میں $\frac{\omega}{\beta} = c$ کے استعمال سے

$$\cos(\omega t - \beta x) = \cos\omega\left(t - \frac{x}{c}\right) \tag{14.3}$$

لکھا جا سکتا ہے جو تاخیری تفاعل کو ظاہر کرتی ہے۔

مساوات 14.2 کی دوری سمتیہ شکل

$$[I] = I_0 e^{j\omega(t-r/c)} = I_0 e^{j(\omega t - \beta r)} \tag{14.4}$$

ہے۔اسی طرح کثافت برقی رو کی تاخیری دوری سمتیہ شکل

$$[\boldsymbol{J}] = \boldsymbol{J}_0 e^{j\omega(t-r/c)} = \boldsymbol{J}_0 e^{j(\omega t - \beta r)} \tag{14.5}$$

ہو گی جسے استعمال کرتے ہوئے تاخیری مقناطیسی دباو

$$[\boldsymbol{A}] = \frac{\mu}{4\pi}\int_h \frac{[\boldsymbol{J}]}{r}\,\mathrm{d}h = \frac{\mu}{4\pi}\int_h \frac{\boldsymbol{J}_0 e^{j\omega(t-r/c)}}{r}\,\mathrm{d}h \tag{14.6}$$

لکھا جائے گا۔اسی طرح تاخیری حجمی کثافت چارج

$$[\rho_h] = \rho_0 e^{j\omega(t-r/c)} \tag{14.7}$$

لکھتے ہوئے تاخیری برقی دباو

$$[V] = \frac{1}{4\pi\epsilon}\int_h \frac{[\rho_h]}{r}\,\mathrm{d}h \tag{14.8}$$

لکھا جائے گا۔ باب-9 کے آخر میں مساوات 9.76 اور مساوات 9.75 کے بائیں ہاتھ کے تفاعل کو چکور قوسین میں لکھ کر موج کی رفتار c لیتے ہوئے اور فاصلے کو کروی محدد کے رداس r سے ظاہر کرنے سے یہی مساوات حاصل ہوتے ہیں۔

ہم یہاں اصل موضوع سے ہٹ کر ایک تکمل پر غور کرتے ہیں جو اس باب میں بار بار استعمال کیا جائے گا۔

14.3 تکمل

شکل 14.4 میں تفاعل $f(x)$ دکھایا گیا ہے جس کا x_1 تا x_2 تکمل خط کے نیچے دو عمودی نقطہ دار لکیروں کے مابین رقبے کے برابر ہے۔اس رقبے کو K کہتے ہوئے

$$\int_{x_1}^{x_2} f(x)\,\mathrm{d}x = K \tag{14.9}$$

لکھا جا سکتا ہے۔شکل میں ہلکی سیاہی میں $\frac{f(x)}{2}$ بھی دکھایا گیا ہے جسے $\epsilon f(x)$ لکھا گیا ہے جہاں $\epsilon = 0.5$ ہے۔چونکہ x_1 تا x_2 کے ہر نقطے پر تفاعل کی قیمت آدھی ہے لہٰذا ہلکی سیاہی کے خط کے نیچے رقبہ $\frac{K}{2}$ ہو گا لہٰذا

$$\int_{x_1}^{x_2} \epsilon f(x)\,\mathrm{d}x = \frac{K}{2} = \epsilon K \tag{14.10}$$

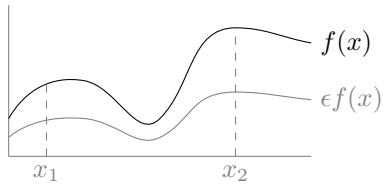

شکل 14.4: تفاعل کا تکمل

لکھا جائے گا۔اب فرض کریں کہ $\epsilon(x)$ مستقل نہیں ہے بلکہ اس کی قیمت x پر منحصر ہے۔مزید یہ کہ $\epsilon(x)$ کی قیمت 0 تا ϵ ممکن ہے۔ایسی صورت میں x_1 تا x_2 پر $\epsilon(x)f(x)$ کی قیمت 0 تا $\epsilon f(x)$ ممکن ہے لہٰذا $\epsilon(x)f(x)$ کا تکمل ϵK سے کم ہو گا یعنی

$$\int_{x_1}^{x_2} \epsilon(x)f(x)\,\mathrm{d}x \leq \epsilon K \tag{14.11}$$

جہاں ہر جگہ $\epsilon(x) = 1$ کو بھی مد نظر رکھا گیا ہے۔اگر $\epsilon \to 0$ ہو تب تکمل قابل نظر انداز

$$\int_{x_1}^{x_2} \epsilon(x)f(x)\,\mathrm{d}x \to 0 \qquad (\epsilon \to 0) \tag{14.12}$$

ہو گا۔

آئیں اب $\frac{f(x)}{1+\epsilon}$ کے تکمل

$$\int_{x_1}^{x_2} \frac{f(x)}{1+\epsilon}\,\mathrm{d}x \tag{14.13}$$

پر غور کریں جہاں $\epsilon \to 0$ کے برابر ہے۔ہم

$$\frac{1}{1+\epsilon} = (1+\epsilon)^{-1} = 1 - \frac{\epsilon}{1!} + \frac{\epsilon^2}{2!} - \frac{\epsilon^3}{3!} + \cdots \tag{14.14}$$

لکھ سکتے ہیں لہٰذا تکمل

$$\int_{x_1}^{x_2} \left(1 - \frac{\epsilon}{1!} + \frac{\epsilon^2}{2!} - \frac{\epsilon^3}{3!} + \cdots\right) f(x)\,\mathrm{d}x \tag{14.15}$$

صورت اختیار کر لے گا۔مساوات 14.12 کو استعمال کرتے ہوئے $\epsilon \to 0$ کی صورت میں اسے

$$\int_{x_1}^{x_2} \frac{f(x)}{1+\epsilon}\,\mathrm{d}x = \int_{x_1}^{x_2} \left(1 - \frac{\epsilon}{1!} + \frac{\epsilon^2}{2!} - \frac{\epsilon^3}{3!} + \cdots\right) f(x)\,\mathrm{d}x \approx \int_{x_1}^{x_2} f(x)\,\mathrm{d}x \tag{14.16}$$

لکھا جا سکتا ہے جو K کے برابر ہے۔

14.4 مختصر جفت قطبی اینٹینا

مختصر لمبائی کے سیدھے موصل تار کو عموماً مختصر جفت قطب[2] کہا جاتا ہے۔مندرجہ ذیل گفتگو میں مختصر جفت قطب کی لمبائی محدود ہو گی۔لامحدود حد تک کم لمبائی کی صورت میں اسے صغاری جفت قطب[3] کہا جائے گا۔

[2] short dipole
[3] infinitesimal

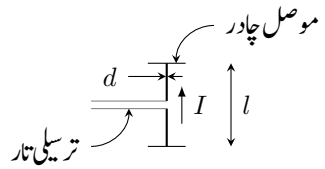

الف: متوازن ترسیلی تار سے جفت قطب کو طاقت مہیا کی گئی ہے۔

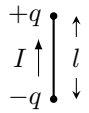

ب: جفت قطب بطور چھوٹی تار

شکل 14.5: جفت قطب

خطی نوعیت کے کسی بھی اینٹینا کو متعدد تعداد کے سلسلہ وار جڑے مختصر جفت قطبوں کا مجموعہ تصور کیا جا سکتا ہے لہٰذا مختصر جفت قطب کی خاصیت جانتے ہوئے زیادہ لمبے جفت قطب یا مختلف انداز میں جڑے موصل تاروں کی خاصیت جاننے میں مدد ملے گی۔

آئیں شکل 14.5-الف میں دکھائے مختصر جفت قطب پر غور کریں جس کی لمبائی l طول موج سے بہت کم $l \ll \lambda$ ہے۔ جفت قطب کے سروں پر موصل چادر بطور کپیسٹر بوجھ کردار ادا کرتے ہیں۔ جفت قطب کی مختصر لمبائی اور اس کے سروں پر موصل چادر مل کر جفت قطب کی پوری لمبائی پر تقریباً برابر برقی رو رکھنے میں مدد دیتے ہیں۔ جیسے شکل-الف میں دکھایا گیا ہے، جفت قطب کو متوازن ترسیلی تار سے طاقت مہیا کی جا سکتی ہے۔ یہ فرض کرتے ہوئے کہ ترسیلی تار سے شعاعی اخراج نہیں ہوتی، اس کے موجودگی کو نظر انداز کیا جائے گا۔ جفت قطب کے سروں پر نسب موصل چادروں کے شعاعی اخراج کو بھی نظر انداز کیا جائے گا۔ جفت قطب کی موٹائی d اس کے لمبائی سے بہت کم $d \ll \lambda$ ہے۔ ان حقائق کو مد نظر رکھتے ہوئے تحلیلی تجزیے کی خاطر جفت قطب کو شکل 14.5-ب کی طرح تصور کیا جا سکتا ہے۔ ایسا جفت قطب یکساں برقی رو I گزارتا، l لمبائی کا تار معلوم ہو گا جس کے دونوں سروں پر برابر مگر الٹ قطب کے چارج $\mp q$ ہوں۔ کپیسٹر پر چارج q اور برقی رو I کا تعلق

$$I = \frac{\partial q}{\partial t} \tag{14.17}$$

ہے۔

آئیں لامحدود وسعت کی خالی خلاء میں جفت قطب کے میدان حاصل کریں۔ جفت قطب کے وسط کو کروی محدد کے مرکز اور لمبائی کو z محدد پر رکھتے ہوئے آگے بڑھتے ہیں۔ کسی بھی نقطہ N پر عموماً آپس میں عمودی تین میدان E_r، E_θ اور $E\phi$ پائے جائیں گے۔

کسی بھی نقطہ N پر مساوات 9.71 اور مساوات 9.73 بالترتیب مقناطیسی میدان اور برقی میدان دیتے ہیں

$$\boldsymbol{H} = \frac{1}{\mu_0} \nabla \times \boldsymbol{A} \tag{14.18}$$

$$\boldsymbol{E} = -\nabla V - \frac{\partial \boldsymbol{A}}{\partial t} \tag{14.19}$$

جہاں

V نقطہ N پر مقداری برقی دباو

$\boldsymbol{A}$ نقطہ N پر سمتی دباو

ہیں۔ اگر ہمیں کسی بھی نقطے پر مقداری دباو V اور سمتی دباو $\boldsymbol{A}$ معلوم ہوں تب مندرجہ بالا دو مساوات سے اس نقطے پر برقی اور مقناطیسی میدان حاصل کئے جا سکتے ہیں۔ چونکہ ہمیں جفت قطب سے دور میدان درکار ہیں لہٰذا ایسی صورت میں مساوات 14.6 اور مساوات 14.8 میں دئے تاخیری دباو قابل استعمال ہوں گے۔ یوں ان مساوات کو

$$\boldsymbol{H} = \frac{1}{\mu_0} \nabla \times [\boldsymbol{A}] \tag{14.20}$$

$$\boldsymbol{E} = -\nabla [V] - \frac{\partial [\boldsymbol{A}]}{\partial t} = -\nabla [V] - j\omega [\boldsymbol{A}] \tag{14.21}$$

لکھا جا سکتا ہے جہاں مساوات 9.59 اور مساوات 9.60 سے تاخیری دباو

$$[\boldsymbol{A}] = \frac{\mu_0}{4\pi}\int_h \frac{\boldsymbol{J}_0 e^{j\omega(t-r/c)}}{r}\,\mathrm{d}h \tag{14.22}$$

$$[V] = \frac{1}{4\pi\epsilon_0}\int_h \frac{\rho_0 e^{j\omega(t-r/c)}}{r}\,\mathrm{d}h \tag{14.23}$$

لکھے جا سکتے ہیں۔

کسی بھی برقی چارج اور برقی رو سے پیدا میدان مساوات 14.20 اور مساوات 14.21 سے حاصل کئے جا سکتے ہیں۔مساوات 14.23 کے تحت تاخیری مقداری دباو $[V]$ صرف ساکن چارجوں پر منحصر ہے جبکہ مساوات 14.22 کے تحت تاخیری سمتی دباو $[\boldsymbol{A}]$ صرف برقی رو یعنی حرکت کرتے چارجوں پر منحصر ہے۔مساوات 14.20 کے تحت مقناطیسی میدان $\boldsymbol{H}$ صرف برقی رو یعنی حرکت کرتے چارجوں پر منحصر ہے جبکہ مساوات 14.21 کے تحت برقی میدان $\boldsymbol{E}$ ساکن چارج اور برقی رو دونوں پر منحصر ہے۔ہم جلد دیکھیں گے کہ کسی بھی چارج اور برقی رو سے دور پیدا مقناطیسی اور برقی میدانوں کا دارومدار صرف برقی رو پر ہوتا ہے۔ چونکہ اس باب میں تاخیری دباو ہی استعمال کئے جائیں گے لہٰذا انہیں چکور قوسین میں لکھنے سے گریز کیا جائے گا۔اس باب میں یہاں سے آگے بغیر چکور قوسین کے دباو کو تاخیری دباو ہی سمجھا جائے۔

شکل سے ظاہر ہے کہ سمتی دباو کا صرف $\boldsymbol{a}_\mathrm{z}$ جزو

$$\boldsymbol{A} = \frac{\boldsymbol{a}_\mathrm{z}\mu_0}{4\pi}\int_{-l/2}^{l/2} \frac{I_0 e^{j(\omega t-\beta s)}}{s}\,\mathrm{d}z \tag{14.24}$$

پایا جاتا ہے۔اگر جفت قطب کی لمبائی l، نقطہ N سے جفت قطب تک فاصلہ r سے نہایت کم $l \ll r$ اور طول موج λ سے بھی نہایت کم $l \ll \lambda$ ہو تب مندرجہ بالا مساوات میں متغیر فاصلہ s کی جگہ مستقل فاصلہ r پر کیا جا سکتا ہے[4] اور ساتھ ہی ساتھ l پر مختلف نقطوں سے N پر پیدا دباو میں زاویائی فرق کو نظر انداز کیا جا سکتا ہے۔اس طرح ان تمام کو تکمل کے باہر لے جایا جا سکتا ہے۔جفت قطب کی پوری لمبائی پر یک برابر برقی رو I_0 کی صورت میں I_0 کو بھی تکمل کے باہر لے جایا جا سکتا ہے۔یوں مندرجہ بالا مساوات سے

$$\boldsymbol{A} = \frac{\boldsymbol{a}_\mathrm{z}\mu_0 I_0 l e^{j(\omega t-\beta r)}}{4\pi r} \tag{14.25}$$

حاصل ہوتا ہے۔اس مساوات کو کروی محدد میں یوں

$$\boldsymbol{A} = A_r\boldsymbol{a}_\mathrm{r} + A_\theta\boldsymbol{a}_\theta + A_\phi\boldsymbol{a}_\phi$$

لکھا جائے گا جہاں

$$\begin{aligned}
A_r &= \boldsymbol{a}_\mathrm{r}\cdot\boldsymbol{A} = \frac{\mu_0 I_0 l e^{j(\omega t-\beta r)}}{4\pi r}\boldsymbol{a}_\mathrm{r}\cdot\boldsymbol{a}_\mathrm{z} = \frac{\mu_0 I_0 l e^{j(\omega t-\beta r)}}{4\pi r}\cos\theta\\
A_\theta &= \boldsymbol{a}_\theta\cdot\boldsymbol{A} = \frac{\mu_0 I_0 l e^{j(\omega t-\beta r)}}{4\pi r}\boldsymbol{a}_\theta\cdot\boldsymbol{a}_\mathrm{z} = -\frac{\mu_0 I_0 l e^{j(\omega t-\beta r)}}{4\pi r}\sin\theta\\
A_\phi &= \boldsymbol{a}_\phi\cdot\boldsymbol{A} = \frac{\mu_0 I_0 l e^{j(\omega t-\beta r)}}{4\pi r}\boldsymbol{a}_\phi\cdot\boldsymbol{a}_\mathrm{z} = 0
\end{aligned} \tag{14.26}$$

ہوں گے جہاں اکائی سمتیات کے مقداری ضرب صفحہ 32 پر جدول 1.2 سے حاصل کئے گئے۔اس طرح

$$\boldsymbol{A} = \frac{\mu_0 I_0 l e^{j(\omega t-\beta r)}}{4\pi r}\left(\cos\theta\boldsymbol{a}_\mathrm{r} - \sin\theta\boldsymbol{a}_\theta\right) \tag{14.27}$$

[4] جیسے حصہ 14.3 میں دکھایا گیا ہے۔

لکھا جائے گا۔ 4744

ساکن چارج جفت قطب کے سروں پر پایا جاتا ہے لہٰذا مقداری دباو

$$V = \frac{q_0}{4\pi\epsilon_0}\left[\frac{e^{j(\omega t-\beta s_1)}}{s_1} - \frac{e^{j(\omega t-\beta s_2)}}{s_2}\right] \tag{14.28}$$

ہو گا جہاں مساوات 14.17 کے تحت

$$q = \int I\,\mathrm{d}t = \frac{I}{j\omega} \tag{14.29}$$

کے برابر ہے جہاں

$$I = I_0 e^{j(\omega t-\beta s)}$$
$$q = q_0 e^{j(\omega t-\beta s)}$$

ہیں۔ مساوات 14.29 سے $q_0 = \frac{I_0}{j\omega}$ حاصل کرتے ہوئے مساوات 14.28 میں پر کرتے ہیں۔

$$V = \frac{I_0}{4\pi\epsilon_0 j\omega}\left[\frac{e^{j(\omega t-\beta s_1)}}{s_1} - \frac{e^{j(\omega t-\beta s_2)}}{s_2}\right] \tag{14.30}$$

شکل کو دیکھ کر

$$s_1 = r - \frac{l}{2}\cos\theta$$
$$s_2 = r + \frac{l}{2}\cos\theta$$

لکھے جا سکتے ہیں جنہیں مساوات 14.30 میں پر کرتے

$$V = \frac{I_0 e^{j(\omega t-\beta r)}}{4\pi\epsilon_0 j\omega}\left[\frac{(r+\frac{l}{2}\cos\theta)e^{j\frac{\beta l}{2}\cos\theta} - (r-\frac{l}{2}\cos\theta)e^{-j\frac{\beta l}{2}\cos\theta}}{r^2 - \frac{l^2}{4}\cos^2\theta}\right] \tag{14.31}$$

ملتا ہے۔ چکور قوسین میں شرح کے نچلے حصے میں $r \gg l$ کی وجہ سے $\frac{l^2}{4}\cos^2\theta$ کو نظر انداز کرتے ہیں۔ مسئلہ ڈی موے ور[5] کے استعمال سے

$$V = \frac{I_0 e^{j(\omega t-\beta r)}}{4\pi\epsilon_0 j\omega r^2}\left[\left(r+\frac{l}{2}\cos\theta\right)\left(\cos\frac{\beta l\cos\theta}{2} + j\sin\frac{\beta l\cos\theta}{2}\right) - \left(r-\frac{l}{2}\cos\theta\right)\left(\cos\frac{\beta l\cos\theta}{2} - j\sin\frac{\beta l\cos\theta}{2}\right)\right] \tag{14.32}$$

لکھا جائے گا۔ چونکہ $l \ll \lambda$ ہے لہٰذا

$$\cos\frac{\beta l\cos\theta}{2} = \cos\frac{\pi l\cos\theta}{\lambda} \approx l$$
$$\sin\frac{\beta l\cos\theta}{2} \approx \frac{\beta l\cos\theta}{2}$$

ہوں گے، جنہیں مساوات 14.32 میں پر کرنے سے

$$V = \frac{I_0 l e^{j(\omega t-\beta r)}\cos\theta}{4\pi\epsilon_0 c}\left(\frac{1}{r} + \frac{c}{j\omega r^2}\right) \tag{14.33}$$

حاصل ہوتا ہے جہاں 4745

[5] de Moivre's theorem ($e^{j\alpha} = \cos\alpha + j\sin\alpha$)

I_0 برقی رو کا حیطہ یعنی اس کی زیادہ سے زیادہ قیمت، A

l جفت قطب کی لمبائی، m

ω زاویائی تعدد $(\omega = 2\pi f)$، اکائی rad/s۔ جہاں ہرٹز Hz میں تعدد f ہے

β زاویائی مستقل $(\beta = \frac{2\pi}{\lambda})$، اکائی rad/m

t وقت، s

θ جفت قطب اور جفت قطب سے نقطہ N تک سمتیہ کے مابین زاویہ

ϵ_0 خالی خلاء کا برقی مستقل، 8.854 pF/m

c خالی خلاء میں شعاع کی رفتار، 3×10^8 m/s

j خیالی عدد $\sqrt{-1}$

r جفت قطب کے وسط سے نقطہ N تک فاصلہ، m

ہیں۔

مختصر جفت قطب کے وسط سے، $l \ll \lambda$ اور $l \ll r$ کی صورت میں، r فاصلے اور θ زاویے پر مساوات 14.27 سمتی دباو اور مساوات 14.33 مقداری دباو دیتے ہیں۔ کروی محدد میں مقداری دباو کی ڈھلوان

$$\begin{aligned}\nabla V &= \frac{\partial V}{\partial r}\boldsymbol{a}_{\mathrm{r}} + \frac{1}{r}\frac{\partial V}{\partial \theta}\boldsymbol{a}_\theta + \frac{1}{r\sin\theta}\frac{\partial V}{\partial \phi}\boldsymbol{a}_\phi \\ &= \frac{I_0 l e^{j(\omega t-\beta r)}}{4\pi\epsilon_0 c}\left[-\left(\frac{\cos\theta}{r^2}+\frac{2c\cos\theta}{j\omega r^3}\right)\boldsymbol{a}_{\mathrm{r}} - \left(\frac{\sin\theta}{r}+\frac{c\sin\theta}{j\omega r^2}\right)\boldsymbol{a}_\theta\right]\end{aligned} \tag{14.34}$$

کے برابر ہے۔ برقی میدان $\boldsymbol{E} = E_r\boldsymbol{a}_{\mathrm{r}} + E_\theta\boldsymbol{a}_\theta + E_\phi\boldsymbol{a}_\phi$ کے اجزاء مساوات 14.21 کی مدد سے

$$\begin{aligned}E_r &= -\frac{\partial V}{\partial r} - j\omega A_r \\ E_\theta &= -\frac{1}{r}\frac{\partial V}{\partial \theta} - j\omega A_\theta \\ E_\phi &= -\frac{1}{r\sin\theta}\frac{\partial V}{\partial \phi} - j\omega A_\phi\end{aligned}$$

لکھے جا سکتے ہیں جن میں مطلوبہ تفاعل پر کرنے سے برقی میدان کے عمومی مساوات

$$\begin{aligned}E_r &= \frac{I_0 l\cos\theta e^{j(\omega t-\beta r)}}{2\pi\epsilon_0}\left(\frac{1}{cr^2}+\frac{1}{j\omega r^3}\right) \\ E_\theta &= \frac{I_0 l\sin\theta e^{j(\omega t-\beta r)}}{4\pi\epsilon_0}\left(\frac{j\omega}{c^2 r}+\frac{1}{cr^2}+\frac{1}{j\omega r^3}\right) \qquad \text{عمومی میدان} \\ E_\phi &= 0\end{aligned} \tag{14.35}$$

حاصل ہوتے ہیں۔

مقناطیسی میدان مساوات 14.20 سے حاصل ہو گی۔ کروی محدد میں سمتی دباو کی گردش

$$\boldsymbol{B} = \nabla \times \boldsymbol{A} = \frac{1}{r\sin\theta}\left[\frac{\partial(A_\theta \sin\theta)}{\partial\theta} - \frac{\partial A_\theta}{\partial\phi}\right]\boldsymbol{a}_\mathrm{r} + \frac{1}{r}\left[\frac{1}{\sin\theta}\frac{\partial A_r}{\partial\phi} - \frac{\partial(rA_\phi)}{\partial r}\right]\boldsymbol{a}_\theta + \frac{1}{r}\left[\frac{\partial(rA_\theta)}{\partial r} - \frac{\partial A_r}{\partial\theta}\right]\boldsymbol{a}_\phi \tag{14.36}$$

میں مساوات 14.26 پر کرنے سے مقناطیسی میدان کی عمومی مساوات

$$\begin{aligned} H_\phi &= \frac{I_0 l \sin\theta e^{j(\omega t-\beta r)}}{4\pi}\left(\frac{j\omega}{cr} + \frac{1}{r^2}\right) \qquad \text{عمومی میدان} \\ H_r &= 0 \\ H_\theta &= 0 \end{aligned} \tag{14.37}$$

حاصل ہوتے ہیں جہاں $\boldsymbol{B} = \mu_0 \boldsymbol{H}$ کا استعمال کیا گیا۔ 4758

مساوات 14.35 اور مساوات 14.37 کے تحت جفت قطب سے پیدا میدان کے صرف تین اجزاء E_r، E_θ اور H_ϕ پائے جاتے ہیں۔ جفت قطب سے زیادہ فاصلے پر میدان کی مساوات میں $\frac{1}{r^2}$ یا $\frac{1}{r^3}$ کو نظر انداز کیا جا سکتا ہے۔ یوں E_r قابل نظر انداز ہو گا لہٰذا $E_r \approx 0$ تصور کیا جائے گا جبکہ

$$\begin{aligned} E_\theta &= \frac{I_0 l \sin\theta e^{j(\omega t-\beta r)}}{4\pi\epsilon_0}\frac{j\omega}{c^2 r} = j\frac{30 I_0 \beta l}{r}\sin\theta e^{j(\omega t-\beta r)} \\ H_\phi &= \frac{I_0 l \sin\theta e^{j(\omega t-\beta r)}}{4\pi}\frac{j\omega}{cr} = j\frac{I_0 \beta l}{4\pi r}\sin\theta e^{j(\omega t-\beta r)} \qquad \text{دور میدان} \end{aligned} \tag{14.38}$$

ہوں گے۔ مساوات 14.38 استعمال کرتے ہوئے برقی اور مقناطیسی میدان کی شرح

$$\frac{E_\theta}{H_\phi} = \frac{1}{\epsilon_0 c} = \sqrt{\frac{\mu_0}{\epsilon_0}} = 376.7\,\Omega \tag{14.39}$$

حاصل ہوتی ہے جو خالی خلاء کی قدرتی رکاوٹ ہے۔ 4759

یہاں اس حقیقت پر توجہ دیں کہ خالی خلاء میں TEM موج کی طرح، جفت قطب سے دور E_θ اور H_ϕ آپس میں ہم قدم ہیں۔ اس کے علاوہ دونوں میدان $\sin\theta$ کے راست تناسب ہیں یعنی جفت قطب کے محوری سمت $\theta = 0^\circ$ پر ان کی قیمت صفر جبکہ $\theta = 90^\circ$ پر ان کی قیمت زیادہ سے زیادہ ہے۔ اندرسہ[6] شکل کی ان میدان کو شکل میں دکھایا گیا ہے۔ 4760 4762

جفت قطب سے دور میدان حاصل کرتے وقت مساوات 14.35 اور مساوات 14.37 میں $\frac{1}{r^2}$ یا $\frac{1}{r^3}$ رکھتے اجزاء کو نظر انداز کیا گیا یعنی E_θ میں

$$\left|j\frac{\omega}{c^2 r}\right| \gg \frac{1}{cr^2}$$

$$\left|j\frac{\omega}{c^2 r}\right| \gg \left|\frac{1}{j\omega r^3}\right|$$

یا

$$r \gg \frac{c}{\omega} \tag{14.40}$$

[6] doughnut

تصور کیا گیا۔اسی طرح H_ϕ میں بھی

$$\left|j\frac{\omega}{cr}\right| \gg \frac{1}{r^2}$$

یا

$$r \gg \frac{c}{\omega} \tag{14.41}$$

تصور کیا گیا جسے

$$r \gg \frac{1}{\beta} \qquad \text{(دور میدان)} \tag{14.42}$$

بھی لکھا جا سکتا ہے۔اگر جفت قطب کے قریب میدان کی بات کی جائے تو $r \ll \frac{c}{\omega}$ یعنی $r \ll \frac{1}{\beta}$ لیا جائے گا۔یوں مساوات 14.35 اور مساوات 14.37 میں

$$\begin{aligned}
\frac{1}{cr^2} &\ll \left|\frac{1}{j\omega r^3}\right| \\
\left|\frac{j\omega}{c^2 r}\right| &\ll \left|\frac{1}{j\omega r^3}\right| \\
\frac{1}{cr^2} &\ll \left|\frac{1}{j\omega r^3}\right| \\
\left|\frac{j\omega}{cr}\right| &\ll \frac{1}{r^2}
\end{aligned}$$

ہوں گے لہٰذا قریبی میدان

$$\begin{aligned}
E_r &= \frac{I_0 l \cos\theta e^{j(\omega t-\beta r)}}{2\pi\epsilon_0}\frac{1}{j\omega r^3} = \frac{I_0 l \cos\theta e^{j(\omega t-\beta r-\frac{\pi}{2})}}{2\pi\epsilon_0\omega r^3} \\
E_\theta &= \frac{I_0 l \sin\theta e^{j(\omega t-\beta r)}}{4\pi\epsilon_0}\frac{1}{j\omega r^3} = \frac{I_0 l \sin\theta e^{j(\omega t-\beta r-\frac{\pi}{2})}}{4\pi\epsilon_0\omega r^3} \\
H_\phi &= \frac{I_0 l \sin\theta e^{j(\omega t-\beta r)}}{4\pi}\frac{1}{r^2} = \frac{I_0 l \sin\theta e^{j(\omega t-\beta r)}}{4\pi r^2} \qquad \text{قریبی میدان}
\end{aligned} \tag{14.43}$$

لکھے جا سکتے ہیں۔ کل قریبی برقی میدان

$$\boldsymbol{E} = E_r\boldsymbol{a}_\mathrm{r} + E_\theta\boldsymbol{a}_\theta = \left[\frac{I_0 l\cos\theta}{2\pi\epsilon_0\omega r^3}\boldsymbol{a}_\mathrm{r} + \frac{I_0 l\sin\theta}{4\pi\epsilon_0\omega r^3}\boldsymbol{a}_\theta\right]e^{j(\omega t-\beta r-\frac{\pi}{2})} \tag{14.44}$$

ہو گا۔مساوات 14.44 کے برقی میدان میں جزو ضربی $e^{j(\omega t-\beta r-\frac{\pi}{2})}$ پایا جاتا ہے جبکہ مقناطیسی میدان میں جزو ضربی $e^{j(\omega t-\beta r)}$ پایا جاتا ہے۔یوں جفت قطب کے قریب کسی بھی نقطے پر ہر لمحہ برقی میدان اور مقناطیسی میدان میں $\frac{\pi}{2}$ زاویے کا فرق پایا جاتا ہے جو ساکن میدان کی نشانی ہے۔ 4764

جفت قطب کے قریب برقی اور مقناطیسی میدان میں لمحاتی طور $\frac{\pi}{2}$ ریڈیئن کا زاویہ پایا جاتا ہے جبکہ جفت قطب سے دور دونوں میدان لمحاتی طور پر ہم قدم ہیں لہٰذا کسی درمیانے فاصلے پر ان میدانوں میں 45° کا زاویہ ہو گا۔آپ دیکھ سکتے ہیں کہ جفت قطب سے فاصلہ بڑھانے سے برقی میدان وقت کی نسبت سے گھوم کر مقناطیسی میدان کے ہم قدم ہو جاتا ہے۔ 4767

مخلوط پوئنٹنگ سمتیہ استعمال کرتے ہوئے مساوات 14.38 سے دور میدان میں کثافت توانائی

$$\mathscr{P}_{\text{اوسط}} = \frac{1}{2}\left[\boldsymbol{E}\times\boldsymbol{H}^*\right]_{\text{حقیقی}} = \frac{1}{2}E_\theta H_\phi^* \boldsymbol{a}_{\mathrm{r}} = \frac{15 I_0^2 \beta^2 l^2}{4\pi r^2}\sin^2\theta \boldsymbol{a}_{\mathrm{r}} \qquad \text{دور کثافت طاقت}$$

حاصل ہوتی ہے جو رداسی r سمت میں منتقل ہوتی حقیقی توانائی ہے۔یہی اینٹینا کی شعاعی اخراج ہے۔شعاعی اخراج $\theta = 90^\circ$ پر زیادہ سے زیادہ ہے۔اسی طرح پوئنٹنگ سمتیہ استعمال کرتے ہوئے مساوات 14.43 سے قریبی میدان میں کثافت توانائی

$$\begin{aligned}\frac{1}{2}\left[\boldsymbol{E}\times\boldsymbol{H}^*\right]_{\text{حقیقی}} &= \frac{1}{2}\left[\left(E_r\boldsymbol{a}_{\mathrm{r}} + E_\theta \boldsymbol{a}_\theta\right)\times H_\phi^*\boldsymbol{a}_\phi\right]_{\text{حقیقی}}\\ &= \frac{1}{2}\left[-\frac{I_0 l\cos\theta}{2\pi\epsilon_0\omega r^3}\boldsymbol{a}_\theta + \frac{I_0 l\sin\theta}{4\pi\epsilon_0\omega r^3}\boldsymbol{a}_{\mathrm{r}}\right]\frac{I_0 l\sin\theta}{4\pi r^2}e^{-j\frac{\pi}{2}}\end{aligned}$$

حاصل ہوتی ہے جس کا بیشتر حصہ خیالی ہے اور ساتھ ہی ساتھ شعاعی اخراج کے علاوہ یہاں θ سمت میں گھومتی طاقت بھی پائی جاتی ہے۔ 4768

آئیں اب نہایت کم تعدد پر صورت حال دیکھیں۔ مساوات 14.35 میں $I_0 = j\omega q_0$ پر کرتے ہوئے اور مساوات 14.37 کو جوں کا توں دوبارہ پیش کرتے ہیں۔

$$\begin{aligned}E_r &= \frac{q_0 l\cos\theta e^{j(\omega t-\beta r)}}{2\pi\epsilon_0}\left(\frac{j\omega}{cr^2}+\frac{1}{r^3}\right)\\ E_\theta &= \frac{q_0 l\sin\theta e^{j(\omega t-\beta r)}}{4\pi\epsilon_0}\left(-\frac{\omega^2}{c^2 r}+\frac{j\omega}{cr^2}+\frac{1}{r^3}\right)\\ H_\phi &= \frac{I_0 l\sin\theta e^{j(\omega t-\beta r)}}{4\pi}\left(\frac{j\omega}{cr}+\frac{1}{r^2}\right)\end{aligned}$$

$\left|e^{-j\beta r}\right| = 1$ لیتے ہوئے، صفر کے قریب تر تعدد $\omega \to 0$ پر ان مساوات سے میدان کی حتمی قیمت

$$\begin{aligned}E_r &= \frac{q_0 l\cos\theta}{2\pi\epsilon_0 r^3}\\ E_\theta &= \frac{q_0 l\sin\theta}{4\pi\epsilon_0 r^3}\\ H_\phi &= \frac{I_0 l\sin\theta}{4\pi r^2} \qquad \text{نیم ساکن میدان}\end{aligned}$$

حاصل ہوتی ہیں جن سے برقی میدان

$$\boldsymbol{E} = \frac{q_0 l}{4\pi\epsilon_0 r^3}\left(2\cos\theta\boldsymbol{a}_{\mathrm{r}} + \sin\theta\boldsymbol{a}_\theta\right) \tag{14.45}$$

لکھا جا سکتا ہے۔ان میدان کو نیم ساکن میدان[7] کہا جاتا ہے۔یہ صفحہ 113 پر حاصل کی گئی مساوات 4.67 ہی ہے۔اسی طرح مندرجہ بالا مقناطیسی میدان H_ϕ کی قیمت صفحہ 200 پر مساوات 7.3 ہی ہے۔چونکہ یہ میدان $\frac{1}{r}$ یا $\frac{1}{r^2}$ کے تعلق سے تبدیل ہوتے ہیں لہٰذا یہ جفت قطب کے قریب ہی پائے جاتے ہیں۔جفت قطب سے دور ان کی قیمت قابل نظر انداز ہوتی ہے لہٰذا ان کا شعاعی اخراج میں خاص کردار نہیں ہوتا۔بلند تعدد پر دور میدان جنہیں مساوات 14.38 پیش کرتی ہے، $\frac{1}{r}$ کے تعلق سے گھٹتی ہیں لہٰذا یہی شعاعی اخراج کو ظاہر کرتی ہیں اور یوں انہیں اخراجی میدان[8] کہا جاتا ہے۔ 4772

مختصر جفت قطب، $r \ll l$ اور $l \ll \lambda$، کے تمام میدان کو جدول 14.1 میں پیش کیا گیا ہے۔بقایا اجزاء $E_\phi = H_r = H_\theta = 0$ صفر کے برابر ہیں۔ 4774

[7] quasi stationary fields
[8] radiation fields

جدول 14.1: مختصر جفت قطب کے میدان

جزو	عمومی مساوات	دور میدان	نیم ساکن میدان
E_r	$\frac{I_0 l \cos\theta e^{j(\omega t-\beta r)}}{2\pi\epsilon_0}\left(\frac{1}{cr^2}+\frac{1}{j\omega r^3}\right)$	0	$\frac{q_0 l\cos\theta}{2\pi\epsilon_0 r^3}$
E_θ	$\frac{I_0 l \sin\theta e^{j(\omega t-\beta r)}}{4\pi\epsilon_0}\left(\frac{j\omega}{c^2 r}+\frac{1}{cr^2}+\frac{1}{j\omega r^3}\right)$	$\frac{j60\pi I_0 \sin\theta e^{j(\omega t-\beta r)}}{r}\frac{l}{\lambda}$	$\frac{q_0 l\sin\theta}{4\pi\epsilon_0 r^3}$
H_ϕ	$\frac{I_0 l \sin\theta e^{j(\omega t-\beta r)}}{4\pi}\left(\frac{j\omega}{cr}+\frac{1}{r^2}\right)$	$\frac{jI_0 \sin\theta e^{j(\omega t-\beta r)}}{2r}\frac{l}{\lambda}$	$\frac{I_0 l\sin\theta}{4\pi r^2}$

اگر ہماری دلچسپی صرف دور میدان میں ہو تب مطلوبہ میدان کو نہایت آسانی کے ساتھ صرف $\boldsymbol{A}$ سے حاصل کیا جا سکتا ہے چونکہ دور میدان میں مقداری دباو V کا کوئی کردار نہیں۔یوں مساوات 14.21 اور مساوات 14.26 سے

$$E_\theta = -j\omega A_\theta = -j\omega\left(-\frac{\mu_0 I_0 l e^{j(\omega t-\beta r)}}{4\pi r}\sin\theta\right) = j\frac{30 I_0 \beta l}{r}\sin\theta e^{j(\omega t-\beta r)} \tag{14.46}$$

حاصل ہوتا ہے۔مقناطیسی میدان H_ϕ کو مساوات 14.20 سے حاصل کیا جا سکتا ہے جہاں $\frac{1}{r^2}$ اجزاء رد کئے جائیں گے۔مقناطیسی میدان کو نسبتاً زیادہ آسانی سے، لامحدود خلاء کی قدرتی رکاوٹ $Z_0 = \sqrt{\frac{\mu_0}{\epsilon_0}} = 120\pi$ استعمال کرتے ہوئے

$$H_\phi = \frac{E_\theta}{Z_0} = j\frac{30 I_0 \beta l}{120\pi r}\sin\theta e^{j(\omega t-\beta r)} = j\frac{I_0 \beta l}{4\pi r}\sin\theta e^{j(\omega t-\beta r)} \tag{14.47}$$

سے بھی حاصل کیا جا سکتا ہے۔

مساوات 14.38 میں $\beta = \frac{2\pi}{\lambda}$ پر کرتے ہوئے دور برقی میدان کو

$$E_\theta = j \quad 60\pi \quad I_0 \quad \frac{l}{\lambda} \quad \frac{1}{r} \quad \sin\theta \quad e^{j(\omega t-\beta r)} \tag{14.48}$$

مقدار رو لمبائی فاصلہ شکل زاویہ

لکھا جا سکتا ہے جہاں 60π جزو مقدار ہے، I_0 برقی رو، $\frac{l}{\lambda}$ جفت قطب کی لمبائی جسے طول موج میں ناپا گیا ہے، $\frac{1}{r}$ فاصلے کو ظاہر کرتا ہے، $\sin\theta$ میدان کی شکل اور $e^{j(\omega t-\beta r)}$ زاویائی فرق ہے۔کسی بھی اینٹینا کے میدان کو عموماً ان چھ اجزاء کے حاصل ضرب کی صورت میں لکھا جا سکتا ہے۔

جدول 14.1 مختصر جفت قطب کے میدان دیتا ہے۔کسی بھی اینٹینا کو متعدد مختصر جفت قطب کا مجموعہ تصور کیا جا سکتا ہے۔یوں کسی بھی اینٹینا کے میدان تمام جفت قطب کے میدان کو جمع کرتے ہوئے حاصل کیا جا سکتا ہے۔

14.5 مختصر جفت قطب کا اخراجی مزاحمت

اینٹینا کے گرد کسی بھی بند سطح پر مخلوط پوئنٹنگ سمتیہ

$$\boldsymbol{\mathscr{P}}_{\text{اوسط}} = \frac{1}{2}\left[\boldsymbol{E}_s \times \boldsymbol{H}_s^*\right]_{\text{حقیقی}} \tag{14.49}$$

کی سطحی تکمل

$$P = \int_S \mathscr{P}_{\text{اوسط}} \cdot \mathrm{d}\boldsymbol{s} \qquad (\mathrm{W}) \tag{14.50}$$

کل شعاعی اخراج P دے گی۔فی سیکنڈ خارج ہونے والی توانائی شعاعی اخراج کہلاتی ہے لہٰذا اس کی اکائی واٹ W ہے۔سادہ ترین بند سطح کرہ ہے۔یوں اینٹینا کو کروی محدد کے مرکز پر رکھتے ہوئے تکمل حاصل کیا جائے گا۔چونکہ دور کے میدان نسبتاً سادہ صورت رکھتے ہیں لہٰذا بند سطح کا رداس جتنا زیادہ رکھا جائے تکمل اتنا آسان ہو گا۔یوں رداس زیادہ سے زیادہ رکھتے ہوئے دور میدان استعمال کرتے ہوئے جفت قطب کا شعاعی اخراج P حاصل کیا جاتا ہے۔

کامل اینٹینا کی صورت میں شعاعی اخراج اس برقی طاقت کے برابر ہو گا جو اینٹینا کے برقی سروں پر مہیا کی گئی ہو۔اینٹینا کو مزاحمت R تصور کرتے ہوئے اس برقی طاقت کو $P = \frac{1}{2} I_0^2 R$ لکھا جا سکتا ہے جہاں I_0 سائن نما برقی رو کا حیطہ ہے۔یوں

$$R = \frac{2P}{I_0^2} \qquad (\Omega) \tag{14.51}$$

لکھا جا سکتا ہے جہاں R اینٹینا کی **اخراجی مزاحمت**[9] کہلاتی ہے۔

آئیں مختصر جفت قطب کی اخراجی مزاحمت حاصل کریں۔دور میدان میں صرف E_θ اور H_ϕ پائے جاتے ہیں لہٰذا شعاعی اخراج

$$P = \frac{1}{2} \int_S \left[E_\theta H_\phi^* \right]_{\text{حقیقی}} \mathrm{d}s \tag{14.52}$$

سے حاصل ہو گی جہاں H_ϕ^* مقناطیسی میدان H_ϕ کا جوڑی دار مخلوط ہے۔اب $E_\theta = Z_0 H_\phi$ ہے لہٰذا

$$P = \frac{1}{2} \int_S \left[H_\phi H_\phi^* Z_0 \right]_{\text{حقیقی}} \mathrm{d}s = \frac{Z_0}{2} \int_S \left| H_\phi \right|^2 \mathrm{d}s \tag{14.53}$$

یا

$$P = \frac{1}{2Z_0} \int_S \left| E_\phi \right|^2 \mathrm{d}s \tag{14.54}$$

لکھا جا سکتا ہے جہاں خالی خلاء کی قدرتی رکاوٹ $Z_0 = \sqrt{\frac{\mu_0}{\epsilon_0}} = 120\pi$ اور $\mathrm{d}s = r^2 \sin\theta \, \mathrm{d}\theta \, \mathrm{d}\phi$ کے برابر ہیں۔

جفت قطب کے میدان حاصل کرتے وقت فرض کیا گیا کہ اس کی پوری لمبائی پر یک برابر برقی رو I_0 پائی جاتی ہے۔ساتھ ہی ساتھ لمبائی l کے مختلف نقطوں کے میدان کا زاویائی فرق نظر انداز کیا گیا۔جفت قطب کی پوری لمبائی پر برابر برقی رو نہ ہونے کی صورت میں مساوات 14.24 سے مساوات 14.25 حاصل ہونے کی بجائے

$$\begin{aligned} \boldsymbol{A} &= \frac{\boldsymbol{a}_z \mu_0 e^{j(\omega t - \beta r)}}{4\pi r} \int_{-l/2}^{l/2} i \, \mathrm{d}z \\ &= \frac{\boldsymbol{a}_z \mu_0 l I e^{j(\omega t - \beta r)}}{4\pi r} \end{aligned}$$

حاصل ہو گا جہاں I اوسط برقی رو ہے۔اسی حقیقت کو مد نظر رکھتے ہوئے مساوات 14.38 سے مقناطیسی میدان کا حیطہ

$$H_\phi = \frac{I\beta l}{4\pi r} \sin\theta \tag{14.55}$$

---

[9] radiation resistance

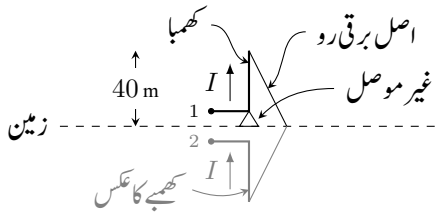

شکل 14.6: کھمبا اینٹینا

لکھتے ہوئے I_0 کی جگہ اوسط برقی رو I لکھی گئی ہے۔ مقناطیسی میدان کے اس حیطے کو مساوات 14.53 میں پر کرتے ہوئے زیادہ سے زیادہ اخراجی طاقت

$$\begin{aligned} P &= \frac{120\pi}{2}\int_0^{2\pi}\int_0^{\pi}\left(\frac{I\beta l}{4\pi r}\sin\theta\right)^2 r^2\sin\theta\,\mathrm{d}\theta\,\mathrm{d}\phi \\ &= \frac{120\pi}{2}\left(\frac{\beta I l}{4\pi}\right)^2\int_0^{2\pi}\int_0^{\pi}\sin^3\theta\,\mathrm{d}\theta\,\mathrm{d}\phi \\ &= 80\pi^2 I^2\left(\frac{l}{\lambda}\right)^2 \end{aligned}$$

حاصل ہوتی ہے۔ مساوات 14.53 یا مساوات 14.54 برقی رو کی چوٹی I کی صورت میں اخراجی طاقت دیتے ہیں جو سائن نما برقی رو کی صورت میں اوسط اخراجی طاقت کے دگنا ہوتی ہے۔ یوں اوسط اخراجی طاقت

$$P_{\text{اوسط}} = 40\pi^2 I^2\left(\frac{l}{\lambda}\right)^2 \tag{14.56}$$

ہو گی۔ مساوات 14.51 سے مختصر جفت قطب کی اخراجی مزاحمت

$$R = 80\pi^2\left(\frac{l}{\lambda}\right)^2\left(\frac{I}{I_0}\right)^2 \qquad (\Omega) \tag{14.57}$$

حاصل ہوتی ہے۔ 4786

کسی بھی اینٹینا کی اخراجی مزاحمت

$$R = \frac{Z_0}{I_0^2}\int_S |H|^2\,\mathrm{d}s = \frac{1}{Z_0 I_0^2}\int_S |E|^2\,\mathrm{d}s \tag{14.58}$$

سے حاصل کی جا سکتی ہے جہاں $Z_0 = 120\pi$ کے برابر ہے۔ 4787

مثال 14.1: چالیس میٹر لمبے کھمبے اینٹینا کو موصل سطح پر کھڑا کئے 300 kHz کے تعدد پر استعمال کیا جاتا ہے۔ اسے برقی اشارہ نچلے سرے پر فراہم کیا جاتا ہے۔ اینٹینا کی اخراجی مزاحمت حاصل کریں۔ اس کھمبے کو شکل 14.6 میں دکھایا گیا ہے۔ کھمبے کو غیر موصل بنیاد پر کھڑا کیا گیا ہے۔ 4788 4789

حل: موصل زمین میں کھمبا اینٹینا کا عکس بنتا ہے۔ درکار تعدد پر $\lambda = \frac{c}{f} = \frac{3\times10^8}{300000} = 1000\,\mathrm{m}$ ہے جو کھمبے کی لمبائی سے بہت زیادہ ہے۔ یوں اینٹینا اور اس کا عکس بطور مختصر جفت قطب کردار ادا کرتے ہیں۔ چونکہ کھمبے کے سر پر موصل چادر نسب نہیں کیا گیا ہے لہٰذا اس کے پورے لمبائی پر برابر برقی رو تصور کرنا غلط ہو گا۔ حقیقت میں، جیسے شکل میں وضاحت کی گئی ہے، کھمبے کے کھلے سر پر برقی رو صفر ہو گی جبکہ نچلے سر پر اس کی قیمت زیادہ سے

زیادہ ہو گی۔ جیسا شکل میں دکھایا گیا ہے، برقی رو بالمقابل لمبائی l کا خط تکونی ہے۔ یوں اوسطاً برقی رو $I_{\text{اوسط}} = \frac{I_0}{2}$ ہو گی جہاں برقی رو کی زیادہ سے زیادہ قیمت I_0 ہے۔

یوں 2×40 میٹر لمبے فرضی جفت قطب کی اخراجی مزاحمت مساوات 14.57 سے

$$80\pi^2 \left(\frac{2 \times 40}{1000}\right)^2 \left(\frac{0.5 I_0}{I_0}\right)^2 = 1.2633\,\Omega$$

حاصل ہوتی ہے۔ یہ مزاحمت حقیقی کھمبے کے سر 1 اور عکسی کھمبے کے سر 2 کے مابین ہے۔ یوں اصل اینٹینا کی اخراجی مزاحمت جو زمین اور 1 کے مابین ناپی جائے گی کی قیمت

$$R_{\text{اخراجی}} = \frac{0.63165}{2} = 0.63\,\Omega \tag{14.59}$$

ہو گی۔

حقیقی دھات کامل موصل نہیں ہوتے لہٰذا کسی بھی دھات سے بنائے گئے جفت قطب میں توانائی کا ضیاع ہو گا۔ موصل کے علاوہ اینٹینا کے ساتھ منسلک ذو برق میں بھی طاقت کا ضیاع ہو گا۔ ان ضیاع کو مزاحمت $R_{\text{ضیاعی}}$ سے ظاہر کیا جا سکتا ہے۔ یوں اینٹینا کے برقی سروں پر کل مزاحمت

$$R = R_{\text{اخراجی}} + R_{\text{ضیاعی}} \tag{14.60}$$

ہو گی۔ مندرجہ بالا مثال میں اگر $R_{\text{ضیاعی}} = 0.63\,\Omega$ ہو تا تب اینٹینا کی کارکزاری[10] k

$$k = \frac{\text{اخراجی طاقت}}{\text{داخلی طاقت}} = \frac{R_{\text{اخراجی}}}{R_{\text{اخراجی}} + R_{\text{ضیاعی}}} \frac{0.63}{0.63 + 0.63} = 50\,\% \tag{14.61}$$

پچاس فی صد ہو گی۔ اگر طاقت کا ضیاع بڑھائے بغیر زیادہ لمبائی کا جفت قطب استعمال کیا جائے تو کارکزاری اس سے بہتر کی جا سکتی ہے۔

اگر مخلوط پوئنٹنگ سمتیہ کا حقیقی حصہ لئے بغیر کسی اینٹینا کو مکمل گھیرے سطح پر اس کا تکمل لیا جائے تو حقیقی طاقت کے ساتھ ساتھ خیالی طاقت بھی حاصل ہو گا۔ حقیقی طاقت اخراجی طاقت کو ظاہر کرتا ہے جبکہ خیالی طاقت متعامل جزو ہے۔ سطح تکمل کی صورت اور مقام کا تکمل کے حقیقی جزو پر کوئی اثر نہیں البتہ خیالی طاقت کا دارومدار سطح کی صورت اور مقام پر ہے۔ اینٹینا سے بہت دور خیالی جزو قابل نظر انداز ہوتا ہے جبکہ اینٹینا کے قریب اس جزو کی مقدار بڑھ جاتی ہے۔ نہایت پتلی ساخت کے خطی اینٹینا کی صورت میں اگر سطح تکمل کو بالکل سطح اینٹینا کے ساتھ ملا لیا جائے تب حاصل مخلوط طاقت تقسیم I_0^2 رکاوٹ $R + jX$ دیتا ہے جہاں R اینٹینا کے اخراجی مزاحمت کو ظاہر کرتا ہے۔

---

[10] efficiency

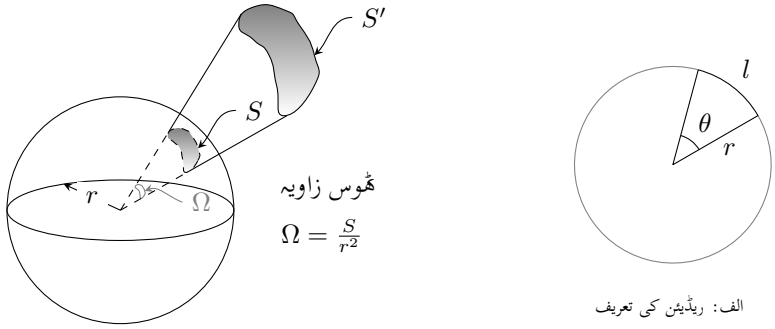

الف: ریڈیئن کی تعریف

ب: سٹریڈیئن کی تعریف

شکل 14.7: ریڈیئن اور سٹریڈیئن کی تعریف

14.6 ٹھوس زاویہ

اگلے حصے میں ٹھوس زاویہ[11] درکار ہو گا لہٰذا اسے پہلے سمجھتے ہیں۔

شکل 14.7-الف میں رداس r کے دائرے پر قوس کی لمبائی l اور رداس r کی شرح

$$\theta = \frac{l}{r} \qquad \text{(rad)} \tag{14.62}$$

زاویے θ دیتی ہے جس کی اکائی ریڈیئن[12] (rad) ہے۔یوں اکائی رداس کے دائرے پر اکائی لمبی قوس، دائرے کے مرکز پر، ایک ریڈیئن (1rad) کا زاویہ بنائے گی۔یہی اکائی ریڈیئن کی تعریف ہے۔چونکہ دائرے کا محیط $2\pi r$ ہے لہٰذا دائرے کے گرد ایک مکمل چکر 2π ریڈیئن کے زاویے کو ظاہر کرتی ہے۔اگرچہ مساوات 14.62 کے تحت θ دراصل بے بُعد مقدار ہے، ہم اس کے باوجود اس کو فرضی اکائی ریڈیئن میں ناپتے ہیں۔یوں x rad سے ظاہر ہوتا ہے کہ x زاویے کی بات کی جا رہی ہے۔

بالکل اسی طرح رداس r کے کرہ کی سطح پر کسی بھی رقبہ S اور کرہ کے رداس کے مربع r^2 کی شرح

$$\Omega = \frac{S}{r^2} \qquad \text{(sr)} \tag{14.63}$$

ٹھوس زاویہ Ω دیتی ہے جسے مربع ریڈیئن یعنی سٹریڈیئن[13] (sr) میں ناپا جاتا ہے۔اکائی رداس کے کرہ پر اکائی رقبہ، کرہ کے مرکز پر، ایک سٹریڈیئن کا ٹھوس زاویہ بنائے گی۔یہی سٹریڈیئن کی تعریف ہے۔چونکہ کرہ کی سطح $4\pi r^2$ کے برابر ہے لہٰذا پوری کرہ 4π سٹریڈیئن کا ٹھوس زاویہ دیتی ہے۔اگرچہ ٹھوس زاویہ بے بُعد مقدار ہے، ہم اس کے باوجود اس کو فرضی اکائی سٹریڈیئن میں ناپتے ہیں۔یوں مختلف اعداد کی بات کرتے وقت یہ جاننا ممکن ہوتا ہے کہ ٹھوس زاویے کی بات کی جا رہی ہے۔

شکل 14.7-ب میں عمومی رقبہ S' کا محدد کے مرکز پر ٹھوس زاویہ حاصل کرنے کا طریقہ دکھایا گیا ہے۔مرکز سے دیکھتے ہوئے S' کا بیرونی خاکہ نظر آئے گا۔اگر اس خاکے کے بیرونی کناروں سے مرکز تک ربڑی چادر کھینچ کر لگائی جائے تو یہ چادر رداس r کے کرہ کو کاٹے گی۔کرہ کی سطح پر یوں رقبہ S گھیرا جائے گا۔ٹھوس زاویے

$$\Omega = \frac{S}{r^2} \tag{14.64}$$

---

[11] solid angle
[12] radian
[13] steradian

کے برابر ہو گا۔اکائی رداس کے کرہ کی صورت میں رقبہ S کی قیمت ٹھوس زاویے کی قیمت کے برابر ہو گی۔

شکل 14.7-الف میں θ نظارے کے حدود کو ظاہر کرتا ہے۔اسی طرح شکل 14.7-ب میں Ω نظارے کے حدود تعین کرتا ہے۔

شکل 14.7-الف میں دکھایا گیا زاویہ سطحی نوعیت کا ہے جسے ریڈیئن میں ناپا جاتا ہے۔اس کے برعکس شکل 14.7-ب میں دکھایا گیا زاویہ حجمی نوعیت کا ہے جسے سٹریڈیئن یا ریڈیئن کے مربع میں ناپا جاتا ہے۔یاد رہے کہ ایک مربع ریڈیئن کو ہی ایک سٹریڈیئن کہتے ہیں۔

$$1\,\mathrm{sr} = 1\,\mathrm{rad}^2 \tag{14.65}$$

کروی محدد میں r رداس کے کرہ کی سطح پر رقبے کو

$$S = \int_\theta \int_\phi r^2 \sin\theta \,\mathrm{d}\theta\,\mathrm{d}\phi \tag{14.66}$$

لکھا جا سکتا ہے۔یہ رقبہ کرہ کے مرکز پر

$$\Omega = \frac{S}{r^2} = \int_\theta \int_\phi \sin\theta \,\mathrm{d}\theta\,\mathrm{d}\phi \qquad (\mathrm{sr}) \tag{14.67}$$

ٹھوس زاویہ بنائے گی۔

14.7 اخراجی رقبہ، سمتیت اور افزائش

مختصر جفت قطب کے دور میدان میں صرف E_θ اور H_ϕ پائے جاتے ہیں جنہیں مساوات 14.38 میں پیش کیا گیا ہے۔کسی بھی اینٹینا کی طرح اس کے دور میدان $\frac{1}{r}$ کی شرح سے گھٹتے ہیں لہٰذا پوئنٹنگ سمتیہ

$$\mathscr{P} = \frac{1}{2}\left[\boldsymbol{E}_s \times \boldsymbol{H}_s^*\right]_{\text{حقیقی}} = \frac{Z_0}{2}|H|^2\,\boldsymbol{a}_\mathrm{r} = \frac{1}{2Z_0}|E|^2\,\boldsymbol{a}_\mathrm{r} \tag{14.68}$$

$\frac{1}{r^2}$ کی شرح سے گھٹے گی۔یوں پوئنٹنگ سمتیہ کے رداسی جزو کو r^2 سے ضرب دینے سے $P(\theta,\phi)$

$$P(\theta,\phi) = r^2\mathscr{P} = \frac{Z_0}{2}|H|^2 r^2 = \frac{1}{2Z_0}|E|^2 r^2 \qquad (\mathrm{W/sr}) \tag{14.69}$$

حاصل ہوتی ہے جس کی قیمت فاصلہ r بڑھانے سے نہیں گھٹتی۔$P(\theta,\phi)$ **اخراجی شدت**[14] کہلاتی ہے۔اخراجی شدت کے بُعد پر غور کریں۔پوئنٹنگ سمتیہ طاقت کی کثافت یعنی طاقت فی رقبہ دیتی ہے۔مساوات 14.63 سے رقبے کو $S = \Omega r^2$ لکھا جا سکتا ہے۔یوں پوئنٹنگ سمتیہ ضرب مربع رداس کا بُعد طاقت فی ٹھوس زاویہ $\mathrm{W/sr}$ بنتی ہے۔

اخراجی شدت کو **تقابل پذیر**[15] بنانے کی خاطر $P(\theta,\phi)$ کو اس کی زیادہ سے زیادہ قیمت $P_{\text{بلند تر}} = r^2\mathscr{P}_{\text{بلند تر}}$ سے تقسیم کرتے ہوئے

$$P_n(\theta,\phi) = \frac{P(\theta,\phi)}{P(\theta,\phi)_{\text{بلند تر}}} \qquad \text{بے بُعد} \tag{14.70}$$

---

[14] radiation intensity
[15] normalized

بے بُعد[16] مقدار $P_n(\theta,\phi)$ حاصل ہوتی ہے جو اینٹینا کی تقابل پذیر نقش طاقت[17] ہے۔ 4820

اینٹینا کی کل اخراج

$$\int_0^{2\pi}\int_0^{\pi}\mathscr{P}r^2\sin\theta\,\mathrm{d}\theta\,\mathrm{d}\phi \tag{14.71}$$

ہے۔اگر کثافت طاقت $\mathscr{P}_{\text{بلند تر}}$ ہو تب اتنی اخراج مکمل کرہ کی سطح کے بجائے کرہ کی سطح پر رقبہ S سے خارج ہو گی یعنی

$$\mathscr{P}_{\text{بلند تر}}S=\int_0^{2\pi}\int_0^{\pi}\mathscr{P}r^2\sin\theta\,\mathrm{d}\theta\,\mathrm{d}\phi \tag{14.72}$$

ہو گا۔اس میں مساوات 14.63 کی مدد سے کرہ کی سطح پر رقبے کو ٹھوس زاویے کی صورت میں لکھتے ہوئے

$$\Omega_A=\int_0^{2\pi}\int_0^{\pi}\frac{\mathscr{P}r^2}{\mathscr{P}_{\text{بلند تر}}r^2}\sin\theta\,\mathrm{d}\theta\,\mathrm{d}\phi$$

یعنی

$$\Omega_A=\int_0^{2\pi}\int_0^{\pi}P_n(\theta,\phi)r^2\sin\theta\,\mathrm{d}\theta\,\mathrm{d}\phi=\iint\limits_{4\pi}P_n(\theta,\phi)\,\mathrm{d}\Omega\qquad(\mathrm{sr}) \tag{14.73}$$

حاصل ہوتا ہے۔اس مساوات کے تحت Ω_A ٹھوس زاویے پر یکساں زیادہ سے زیادہ طاقت خارج کرتے ہوئے اینٹینا پوری طاقت خارج کر سکتی ہے۔ Ω_A 4823 کو اخراجی ٹھوس زاویہ[18] کہتے ہیں۔ 4822

مرکزی شعاع[19] پر تکمل

$$\Omega_M=\iint\limits_{\text{مرکزی شعاع}}P_n(\theta,\phi)\,\mathrm{d}\Omega\qquad(\mathrm{sr}) \tag{14.74}$$

لیتے ہوئے مرکزی ٹھوس زاویہ[20] حاصل کیا جا سکتا ہے۔یوں ثانوی شعاع[21] کے ٹھوس زاویہ Ω_m کو اخراجی ٹھوس زاویے اور مرکزی ٹھوس زاویے کے فرق

$$\Omega_m=\Omega_A-\Omega_M \tag{14.75}$$

سے حاصل کیا جا سکتا ہے۔غیر سمتی[22] اینٹینا ہر سمت میں برابر اخراج کرتی ہے لہٰذا ہر سمت میں اس کا $P_n(\theta,\phi)=1$ اور $\Omega_A=4\pi$ ہو گا۔ 4823

اینٹینا کی دوسری اہم خاصیت اس کی سمتیت[23] ہے۔اخراجی اینٹینا کی زیادہ سے زیادہ اخراجی شدت اور اوسط اخراجی شدت کی شرح

$$D=\frac{\text{زیادہ سے زیادہ اخراجی شدت}}{\text{اوسط اخراجی شدت}}=\frac{P(\theta,\phi)_{\text{بلند تر}}}{P(\theta,\phi)_{\text{اوسط}}}\qquad\text{بے بُعد} \tag{14.76}$$

---

[16] dimensionless
[17] normalized power pattern
[18] beam solid angle
[19] main lobe
[20] major lobe solid angle
[21] minor lobe
[22] isotropic
[23] directivity

اس کی سمتیت کہلاتی ہے۔ کل اخراج W کو 4π سٹریڈیئن سے تقسیم کرنے سے اوسط اخراجی شدت $P(\theta,\phi)_{\text{اوسط}}$ حاصل ہوتی ہے جبکہ اخراجی شدت $P(\theta,\phi)$ کا 4π سٹریڈیئن پر تکمل لینے سے اینٹینا کی کل اخراج حاصل ہوتی ہے۔ یوں

$$\begin{aligned} D = \frac{P(\theta,\phi)_{\text{بلند تر}}}{W/4\pi} &= \frac{4\pi P(\theta,\phi)_{\text{بلند تر}}}{\iint\limits_{4\pi} P(\theta,\phi)\,\mathrm{d}\Omega} \\ &= \frac{4\pi}{\iint\limits_{4\pi} \frac{P(\theta,\phi)}{P(\theta,\phi)_{\text{بلند تر}}}\,\mathrm{d}\Omega} \\ &= \frac{4\pi}{\iint\limits_{4\pi} P_n(\theta,\phi)\,\mathrm{d}\Omega} \end{aligned} \tag{14.77}$$

لکھی جا سکتی ہے۔ مساوات 14.73 کے ساتھ موازنے کے بعد اسے

$$D = \frac{4\pi}{\Omega_A} \qquad \text{بے بُعد} \tag{14.78}$$

لکھا جا سکتا ہے۔ یوں اینٹینا کی سمتیت سے مراد، کرہ کا ٹھوس زاویہ 4π تقسیم اینٹینا کی اخراجی ٹھوس زاویہ Ω ہے۔ سمتیت اینٹینا کی ایک منفرد خاصیت ہے۔ مخصوص ٹھوس زاویے میں طاقت مرکوز کرنے کی صلاحیت کی ناپ سمتیت ہے۔ سمتیت جتنی زیادہ ہو گی اینٹینا اتنی کم ٹھوس زاویے میں طاقت کو مرکوز کر پائے گا۔

مثال 14.2: غیر سمتی اینٹینا کی سمتیت حاصل کریں۔

حل: غیر سمتی اینٹینا ہر سمت میں یکساں اخراج کرتی ہے لہٰذا اس کا $P_n(\theta,\phi) = 1$ اور $\Omega_A = 1$ ہوں گے۔ یوں

$$D = \frac{4\pi}{\Omega_A} = 1 \tag{14.79}$$

حاصل ہو گا۔ کسی بھی اینٹینا کی یہ کم سے کم ممکنہ سمتیت ہے۔

مثال 14.3: مختصر جفت قطب کی سمتیت حاصل کریں۔

حل: مساوات 14.38 استعمال کرتے ہوئے تقابل پذیر نقش طاقت

$$P_n(\theta,\phi) = \frac{H_\phi^2(\theta,\phi)}{H_\phi^2(\theta,\phi)_{\text{بلند تر}}} = \sin^2\theta \tag{14.80}$$

لکھی جا سکتی ہے۔ مساوات 14.73 سے

$$\Omega_A = \int_0^{2\pi}\int_0^{\pi} \sin^2\theta \, d\theta \, d\phi = \frac{8\pi}{3} \tag{14.81}$$

اور یوں مساوات سے

$$D = \frac{4\pi}{\Omega} = \frac{3}{2} \tag{14.82}$$

حاصل ہوتا ہے۔ یوں غیر سمتی اینٹینا کی نسبت سے مختصر جفت قطب کی زیادہ سے زیادہ اخراج $\frac{3}{2}$ گنا زیادہ ہے۔

سمتیت کا دارومدار صرف اور صرف دور میدان کی نقش پر ہے۔ اس میں اینٹینا کی کارگزاری شامل نہیں ہے۔ اس کے برعکس اینٹینا کی کارگزاری، اینٹینا کی افزائش طاقت یا افزائش[24] پر اثر انداز ہوتی ہے۔ اینٹینا کی افزائش سے مراد

$$\text{افزائش} = G = \frac{\text{آزمائشی اینٹینا کی زیادہ سے زیادہ اخراجی شدت}}{\text{حوالہ اینٹینا کی زیادہ سے زیادہ اخراجی شدت}} \tag{14.83}$$

ہے جہاں دونوں اینٹینوں کی داخلی طاقت برابر ہے۔ کسی بھی اینٹینا کو بطور حوالہ اینٹینا لیا جا سکتا ہے۔ اگر ہم بے ضیاع، غیر سمتی اینٹینا کو حوالہ تصور کریں تب

$$G_0 = \frac{P'_m}{P_0} \tag{14.84}$$

ہو گا جہاں

P'_m آزمائشی اینٹینا کی زیادہ سے زیادہ اخراجی شدت،

P_0 بے ضیاع، غیر سمتی اینٹینا کی اخراجی شدت

ہیں۔ یاد رہے کہ غیر سمتی اینٹینا ہر سمت میں یکساں اخراج کرتی ہے لہٰذا اس کی زیادہ سے زیادہ شدت اور اوسط اخراجی شدت برابر ہوتے ہیں۔ آزمودہ اینٹینا کی اخراجی شدت P'_m اور کامل اینٹینا کی اخراجی شدت P_m کی شرح اینٹینا کی کارگزاری k دیتی ہے۔ یہ وہی k ہے جسے مساوات 14.61 میں بھی حاصل کیا گیا۔ یوں

$$G_0 = \frac{kP_m}{P_0} = kD \tag{14.85}$$

حاصل ہوتا ہے۔ یہ مساوات کہتی ہے کہ کسی بھی کامل اینٹینا ($k = 100\,\%$) کی افزائش، کامل غیر سمتی اینٹینا کی نسبت سے، اسی اینٹینا کی سمتیت کے برابر ہوتی ہے۔ غیر کامل $k < 100\,\%$ اینٹینا کی صورت میں افزائش کی قیمت سمتیت سے کم ہو گی۔

سمتیت کی قیمت 1 تا ∞ ممکن ہے۔ سمتیت کی قیمت اکائی سے کم نہیں ہو سکتی۔ اس کے برعکس افزائش کی قیمت صفر تا لا محدود ممکن ہے۔

$$1 \leq D \leq \infty$$

$$0 \leq G \leq \infty \qquad \text{ممکنہ قیمت}$$

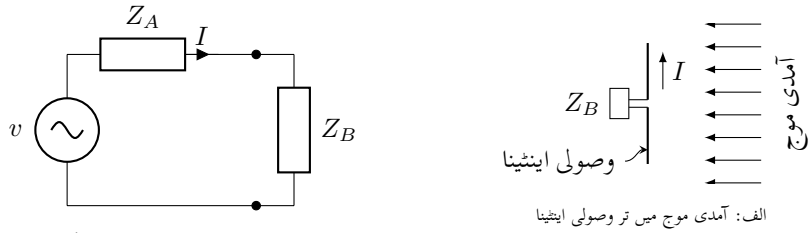

الف: آمدی موج میں تر وصولی اینٹینا

ب: اینٹینا کے ساتھ برقی رکاوٹ جوڑا گیا ہے

شکل 14.8: وصولی اینٹینا آمدی موج سے طاقت حاصل کر کے برقی رکاوٹ کو فراہم کرتی ہے۔

اخراجی اینٹینا[25] شعاعی اخراج کرتی ہے۔اس کے برعکس وصولی اینٹینا[26] شعاع سے طاقت وصول کرتی ہے۔برقی و مقناطیسی امواج جب وصولی اینٹینا پر پہنچتے ہیں تو وصولی اینٹینا ان سے طاقت حاصل کرتی ہے۔اگر اینٹینا کے برقی سروں پر بیرونی مزاحمت R_B نسب کی جائے تو حاصل کردہ طاقت کا کچھ حصہ اس مزاحمت میں ضائع ہو گا۔ہم چونکہ بیرونی مزاحمت کو فراہم طاقت $W = I^2R_B$ میں دلچسپی رکھتے ہیں لہٰذا اسی کی بات کرتے ہوئے آگے بڑھتے ہیں۔بیرونی مزاحمت کو فراہم طاقت I^2R_B کے برابر طاقت آمدی موج کے رقبہ S میں پایا جاتا ہے۔یوں

$$\mathscr{P}S = I^2R_B \tag{14.86}$$

لکھا جا سکتا ہے۔ہم فرض کرتے ہیں کہ اینٹینے کا رقبہ S ہی ہے اور اینٹینا اتنے رقبے پر آمدی موج سے مکمل طاقت حاصل کرنے اور اسے بیرونی برقی سروں تک منتقل کرنے کی صلاحیت رکھتی ہے۔اس فرضی رقبے کو وصولی رقبہ[27] کہا جاتا ہے۔یوں وصولی رقبے کو

$$S = \frac{I^2R_B}{\mathscr{P}} \tag{14.87}$$

سے حاصل کیا جا سکتا ہے جہاں

S اینٹینا کا فرضی رقبہ، m^2

I موثر برقی رو، A

$\mathscr{P}$ آمدی موج کا پوئنٹنگ سمتیہ، $\mathrm{W/m}^2$

R_L برقی مزاحمت، Ω

ہیں۔حقیقت میں اینٹینا I^2R_B سے زیادہ طاقت حاصل کرتی ہے جس کا کچھ حصہ اینٹینا کے اندر ہی ضائع ہو جاتا ہے۔ہمیں اینٹینا کے اندر ضائع ہونے والے طاقت سے کوئی دلچسپی نہیں ہے۔

شکل 14.8-الف میں آمدی موج میں تر اینٹینا دکھایا گیا ہے جسے بیرونی برقی رکاوٹ Z_B کے ساتھ جوڑا گیا ہے۔اینٹینا کا تھونن[28] مساوی دور استعمال کرتے ہوئے، شکل-ب میں اسی کا مکمل برقی دور دکھایا گیا ہے۔اس دور میں سلسلہ وار برقی رو

$$I = \frac{v}{Z_A + Z_B} = \frac{v}{R_A + R_B + j(X_A + X_B)}$$

ہو گی جہاں

[24] gain
[25] transmitting antenna
[26] receiving antenna
[27] antenna aperture
[28] Thevenin equivalent circuit

v اینٹینا میں آمدی موج سے پیدا موثر برقی دباو،

R_A اینٹینا کے تھونن مساوی دور میں اینٹینا کی مزاحمت،

X_A تھونن دور میں اینٹینا کی متعاملیت،

R_B بیرونی مزاحمت،

X_B بیرونی متعاملیت

ہیں۔یوں بیرونی مزاحمت کو مہیا طاقت

$$|I|^2 R_B = \frac{v^2 R_B}{(R_A+R_B)^2+(X_A+X_B)^2} \tag{14.88}$$

ہو گا جس سے اینٹینے کا رقبہ وصولی

$$S = \frac{v^2 R_B}{\mathscr{P}\left[(R_A+R_B)^2+(X_A+X_B)^2\right]} \tag{14.89}$$

حاصل ہوتا ہے۔

آمدی موج کی نسبت سے ایک مخصوص انداز میں رکھے ہوئے اینٹینا میں زیادہ سے زیادہ برقی دباو پیدا ہو گا۔اسی جگہ اینٹینا کو رکھتے ہوئے بیرونی مزاحمت میں زیادہ سے زیادہ طاقت اس صورت منتقل ہو گی جب

$$R_B = R_A \tag{14.90}$$
$$X_B = -X_A \tag{14.91}$$

ہوں۔بے ضیاع اینٹینا کی تھونن مزاحمت دراصل اینٹینا کی اخراجی مزاحمت R_r ہی ہے۔اس طرح بیرونی مزاحمت میں زیادہ سے زیادہ طاقت منتقل کرتے وقت زیادہ سے زیادہ وصولی رقبہ

$$S_{\text{اخراجی}} = \frac{v^2}{4\mathscr{P}R_r} \tag{14.92}$$

حاصل ہو گا جسے اینٹینا کا اخراجی رقبہ[29] $S_{\text{اخراجی}}$ پکارا جاتا ہے۔ہر اینٹینا مخصوص قیمت کا اخراجی رقبہ رکھتا ہے۔

مثال 14.4: پورے مختصر جفت قطب پر یکساں برقی رو تصور کرتے ہوئے، اس کا اخراجی رقبہ حاصل کریں۔

حل: مساوات 14.92 سے ظاہر ہے کہ اخراجی رقبہ دریافت کرنے کے لئے، اینٹینا میں پیدا برقی دباو v، اینٹینا کی اخراجی مزاحمت R_r اور آمدی موج میں کثافت طاقت $\mathscr{P}$ درکار ہوں گے۔جفت قطب میں زیادہ سے زیادہ برقی دباو اس صورت پیدا ہو گی جب اینٹینا کی تار اور آمدی موج کا برقی میدان متوازی ہوں۔ایسی صورت میں اینٹینا میں

$$v = El \tag{14.93}$$

[29] effective aperture

برقی دباو پیدا ہو گی۔آمدی موج کی پوئنٹنگ سمتیہ

$$\mathscr{P} = \frac{E^2}{Z_0} \qquad (\mathrm{W/m^2}) \tag{14.94}$$

ہے جہاں $Z_0 = \sqrt{\mu_0/\epsilon_0} = 120\pi$ خالی خلاء کی قدرتی رکاوٹ ہے۔مساوات 14.57 میں $I = I_0$ پر کرنے سے موجودہ جفت قطب کی اخراجی مزاحمت

$$R_r = 80\pi^2 \left(\frac{l}{\lambda}\right)^2 \tag{14.95}$$

حاصل ہوتی ہے۔ان تمام کو مساوات 14.92 میں پر کرتے ہوئے

$$S_{\text{اخراجی}} = \frac{E^2 l^2}{4\frac{E^2}{Z_0}80\pi^2\left(\frac{l}{\lambda}\right)^2} = \frac{3\lambda^2}{8\pi} = 0.119\lambda^2 \qquad (\mathrm{m^2}) \tag{14.96}$$

یوں کامل مختصر جفت قطب کی لمبائی جتنی بھی کم کیوں نہ ہو یہ ہر صورت $0.119\lambda^2$ اخراجی رقبے پر آمدی موج سے تمام طاقت حاصل کرنے اور اسے بیرونی مزاحمت تک منتقل کرنے کی صلاحیت رکھتا ہے۔حقیقی جفت قطب غیر کامل ہو گا لہٰذا اس کی مزاحمت $R_{\text{اخراجی}} + R_{\text{ضائع}}$ ہو گی۔یوں کامل جفت قطب کا اخراجی رقبہ کچھ کم ہو گا۔

آئیں ایسے اینٹینا کی بات کریں جس کا اخراجی رقبہ $S_{\text{اخراجی}}$ اور اخراجی ٹھوس زاویہ Ω_A ہو۔اخراجی رقبے پر یکساں برقی میدان E_m کی صورت میں اخراجی طاقت

$$P = \frac{E_m^2}{Z} S_{\text{اخراجی}} \tag{14.97}$$

ہو گا جہاں Z انتقالی خطے کی قدرتی رکاوٹ ہے۔

اگر r فاصلے پر میدان E_r ہو تب اخراجی طاقت

$$P = \frac{E_r^2}{Z} r^2 \Omega_A \tag{14.98}$$

ہو گا۔

ہم آگے جا کر مساوات 14.159 حاصل کریں گے جس کے تحت $E_r = \frac{E_m S_{\text{اخراجی}}}{r\lambda}$ ہے۔اس نتیجے کو استعمال کرتے ہوئے مندرجہ بالا دو مساوات کو برابر لکھتے ہوئے

$$\lambda^2 = S_{\text{اخراجی}} \Omega_A \qquad (\mathrm{m^2}) \tag{14.99}$$

حاصل ہوتا ہے جہاں

λ طول موج،

$S_{\text{اخراجی}}$ اینٹینا کا اخراجی رقبہ اور

Ω_A اینٹینا کا اخراجی ٹھوس زاویہ

ہیں۔اس مساوات کے تحت اینٹینا کا اخراجی رقبہ ضرب اخراجی ٹھوس زاویہ برابر ہوتا ہے طول موج کا مربع۔یوں اگر ہمیں اخراجی رقبہ معلوم ہو تب ہم اخراجی ٹھوس زاویہ حاصل کر سکتے ہیں اور اگر اخراجی ٹھوس زاویہ معلوم ہو تب اخراجی رقبہ حاصل کیا جا سکتا ہے۔

مساوات 14.78 میں مساوات 14.99 پر کرنے سے

$$D = \frac{4\pi}{\lambda^2} S_{\text{اخراجی}} \tag{14.100}$$

لکھا جا سکتا ہے۔سمتیت کی یہ تیسری مساوات ہے۔تینوں کو یہاں دوبارہ پیش کرتے ہیں

$$\begin{aligned} D &= \frac{P(\theta,\phi)_{\text{بلند تر}}}{P_{\text{اوسط}}} \\ D &= \frac{4\pi}{\Omega} \\ D &= \frac{4\pi}{\lambda^2} S_{\text{اخراجی}} \end{aligned} \tag{14.101}$$

جہاں پہلی دو مساوات میں سمتیت اخراجی شعاع کے نقش سے حاصل کی گئی ہے جبکہ تیسری مساوات میں اسے اخراجی رقبے سے حاصل کیا گیا ہے۔

14.8 قطاری ترتیب

مسئلہ اینٹینا دراصل اینٹینا کے مختلف حصوں سے پیدا میدانوں کا درست مجموعہ حاصل کرنا ہے۔اینٹینا کے مختلف حصوں کے میدان جمع کرتے ہوئے ان کے انفرادی حیطے اور زاویائی فرق کا خیال رکھنا ضروری ہے۔

14.8.1 غیر سمتی، دو نقطہ منبع

دو عدد نقطہ منبع کو شکل میں دکھایا گیا ہے۔دونوں منبع غیر سمتی ہیں اور ان کے درمیان فاصلہ d ہے۔نقطہ منبع سے مراد ایسی فرضی منبع ہے جس کا حجم صفر کے برابر ہو۔ہم آگے چل کر مسئلہ متکافیت[30] دیکھیں گے جس کے تحت نقطہ منبع کے قطاروں کا اخراجی نقش اور انہیں کا وصولی نقش بالکل یکساں ہوتے ہیں۔

ہم فرض کرتے ہیں کہ دونوں منبع برابر حیطے اور ہم قدم میدان پیدا کرتے ہیں۔دونوں میدان کے خطی تقطیب ہیں۔مزید یہ کہ دونوں کے $\boldsymbol{E}$ میدان صفحے کے عمودی ہیں۔دونوں منبع سے برابر فاصلے پر ان کے بالکل درمیانے مقام پر زاویائی صفر تصور کرتے ہوئے، دور میدان کو

$$E = E_2 e^{j\frac{\psi}{2}} + E_1 e^{-j\frac{\psi}{2}} \tag{14.102}$$

لکھا جا سکتا ہے جہاں

$$\psi = \beta d \cos\theta = \frac{2\pi d}{\lambda} \cos\theta \tag{14.103}$$

ہے۔ان مساوات میں

[30] reciprocity

E_1 منبع-1 کا زاویہ θ سمت میں دور میدان،

E_2 منبع-2 کا زاویہ θ سمت میں دور میدان اور

ψ دونوں اشارات کا زاویہ θ کی سمت میں زاویائی فرق

ہیں۔دونوں دور میدان برابر $(E_1 = E_2)$ ہونے کی صورت میں یوں

$$E = E_1 \left(e^{j\frac{\psi}{2}} + e^{-j\frac{\psi}{2}}\right) = 2E_1 \cos\frac{\psi}{2} \tag{14.104}$$

ہو گا۔ فاصلہ $d = \frac{\lambda}{2}$ کی صورت میں میدان کو شکل میں دکھایا گیا ہے۔

اگر زاویائی صفر کو دونوں منبع کے درمیانے مقام کی جگہ منبع-1 پر چنا جاتا تب دور میدان

$$\begin{aligned} E &= E_1 + E_2 e^{j\psi} \\ &= \left(E_1 e^{-j\frac{\psi}{2}} + E_2 e^{j\frac{\psi}{2}}\right) e^{j\frac{\psi}{2}} \end{aligned} \tag{14.105}$$

حاصل ہوتا جو $E_1 = E_2$ کی صورت میں

$$E = 2E_1 \cos\frac{\psi}{2} e^{j\frac{\psi}{2}} = 2E_1 \cos\frac{\psi}{2} \angle \frac{\psi}{2} \tag{14.106}$$

حاصل ہوتا۔میدان کا نقش چونکہ میدان کے حیطے پر منحصر ہوتا ہے لہٰذا اس میں کوئی تبدیلی رونما نہیں ہوئی البتہ میدان کا زاویہ تبدیل ہو گیا ہے۔میدان کے زاویے کی تبدیلی کی وجہ یہ ہے کہ ہم نے زاویے کے صفر کو دونوں منبع کے درمیانے مقام سے ہٹا کر منبع-1 پر چنا ہے۔

14.8.2 ضرب نقش

گزشتہ حصے میں بالکل یکساں دو عدد غیر سمتی نقطہ منبع کے میدان پر غور کیا گیا۔اگر نقطہ منبع سمتی ہوں اور دونوں کے نقش بالکل یکساں ہوں تب بھی مساوات 14.104 (یا مساوات 14.106) ہی ان کا مجموعی میدان دے گا پس فرق اتنا ہے کہ اب E_1 از خود θ کا تفاعل $E(\theta)$ ہے۔انفرادی منبع کے نقش $E(\theta)$ کو انفرادی نقش[31] جبکہ $\cos\frac{\psi}{2}$ کو قطاری نقش[32] کہا جائے گا۔یوں

$$E = E(\theta) \cos\frac{\psi}{2} \tag{14.107}$$

لکھا جا سکتا ہے۔مساوات 14.107 ضرب نقش[33] کا اصول بیان کرتا ہے جس کے تحت انفرادی منبع کا نقش اور غیر سمتی نقطہ منبع کے قطار کا نقش ضرب دینے سے سمتی منبع کے قطار کا نقش حاصل ہوتا ہے۔یہاں فرض کیا گیا ہے کہ قطار میں انفرادی نقطہ منبع کا نقش وہی ہے جو اس نقطہ منبع کا تنہائی میں نقش ہوتا ہے۔

[31] primary pattern
[32] array pattern
[33] pattern multiplication

14.8.3 ثنائی قطار

مساوات 14.106 دو غیر سمتی زاویائی طور پر ہم قدم نقطہ منبع کے جوڑی کا دور میدان دیتا ہے۔نقطہ منبع کے درمیان فاصلہ $\frac{\lambda}{2}$ اور $E_1 = \frac{1}{2}$ ہونے کی صورت میں اس مساوات کو

$$E = \cos\left(\frac{\pi}{2}\cos\theta\right) \tag{14.108}$$

لکھا جا سکتا ہے۔اس نقش کو شکل میں دکھایا گیا ہے جس میں کوئی ثانوی شعاع نہیں پایا جاتا۔اس جوڑی منبع کے سیدھ میں $\frac{\lambda}{2}$ فاصلے پر منبع کی دوسری جوڑی رکھنے سے شکل-ب حاصل ہوتا ہے۔اس شکل میں دو درمیانے منبع دراصل ایک ہی نقطے پر پائے جائیں گے لیکن وضاحت کی خاطر انہیں اوپر نیچے دکھایا گیا ہے۔ضرب نقش کے اصول کے تحت ان کا مجموعی میدان

$$E = \cos^2\left(\frac{\pi}{2}\cos\theta\right) \tag{14.109}$$

ہو گا جسے شکل میں دکھایا گیا ہے۔اس مساوات پر شق کرنے والوں کے لئے مثال میں تفصیلی ثبوت پیش کیا گیا ہے۔

اس قطار کو تین عدد منبع کی قطار تصور کیا جا سکتا ہے جہاں قطار میں بالترتیب، منبع کی طاقت $(1 : 2 : 1)$ نسبت سے ہے۔اس تین رکنی قطار کے سیدھ میں لیکن $\frac{\lambda}{2}$ ہٹ کر بالکل ایسی ہی تین رکنی قطار رکھنے سے شکل حاصل ہوتی ہے۔اس نئی قطار کو چار رکنی تصور کیا جا سکتا ہے جہاں بالترتیب منبع کی طاقت $(1 : 3 : 3 : 1)$ نسبت سے ہے۔اس چار رکنی قطار کا میدان

$$E = \cos^3\left(\frac{\pi}{2}\cos\theta\right) \tag{14.110}$$

ہے۔اس نقش میں بھی ثانوی شعاع نہیں پایا جاتا۔اسی طرح بڑھتے ہوئے،ثانوی شعاع سے پاک، زیادہ سے زیادہ سمتیت کا نقش حاصل کیا جا سکتا ہے۔یوں زیادہ منبع پر مبنی قطار میں منبع کی طاقت ثنائی تسلسل[34] کے ثنائی سر[35] کی نسبت سے ہوتے ہیں۔ثنائی سروں کو شکل میں دکھائے گئے پاسکل تکون[36] کی مدد سے حاصل کیا جا سکتا ہے جس میں ہر اندرونی عدد، اوپر کے قریبی دو اعداد کا مجموعہ ہوتا ہے۔متعدد منبع کے قطار کا نقش

$$E = \cos^{n-1}\left(\frac{\pi}{2}\cos\theta\right) \tag{14.111}$$

کے برابر ہو گا جہاں قطار میں منبع کی تعداد n ہے۔

اگرچہ مندرجہ بالا n رکنی قطار کے نقش میں کوئی ثانوی شعاع نہیں پایا جاتا اس کے باوجود اس کی سمتیت برابر طاقت کے n رکنی منبع کے قطار سے کم ہوتی ہے۔حقیقی قطار عموماً ان دو صورتوں (ثنائی قطار اور یکساں قطار) کی درمیانی شکل رکھتے ہیں۔

مثال 14.5: مساوات 14.109 کو ثابت کریں۔

---

binomial series[34]
binomial coefficient[35]
Pascal triangle[36]

حل: مساوات 14.105 کی طرح زاویائی صفر کو قطار کے پہلی رکن پر چنتے ہوئے

$$\begin{aligned}E &= E_0 + E_0 e^{j\psi} + E_0 e^{j\psi} + E_0 e^{j2\psi}\\ &= E_0\left(1+e^{j\psi}\right) + E_0 e^{j\psi}\left(1+e^{j\psi}\right)\\ &= E_0\left(1+e^{j\psi}\right)\left(1+e^{j\psi}\right)\\ &= E_0\left(1+e^{j\psi}\right)^2\end{aligned}$$

جس میں $E_0 = \frac{1}{2}$ اور $\psi = \frac{\pi}{2}\cos\theta$ پر کرتے ہوئے

$$E = \left[\left(\frac{e^{-j\frac{\psi}{2}} + e^{j\frac{\psi}{2}}}{2}\right) e^{j\frac{\psi}{2}}\right]^2 = \cos^2\frac{\psi}{2}\,\underline{/\psi}$$

لکھا جا سکتا ہے۔اس کا حیطہ $\cos^2\frac{\psi}{2}$ نقش کی مساوات ہے۔

مثال 14.6: مساوات 14.111 کو تفصیل سے ثابت کریں۔

ثنائی قطار میں رکن کے طاقت ثنائی تسلسل کے سر کی نسبت سے ہوتے ہیں۔یوں $n+1$ رکنی قطار میں بالترتیب رکن کے طاقت $(1+x)^n$ کی ثنائی تسلسل

$$(1+x)^n = 1 + \frac{n}{1!}x + \frac{n(n-1)}{2!}x^2 + \frac{n(n-1)(n-2)}{3!}x^3 + \cdots \tag{14.112}$$

کے سر سے حاصل کئے جاتے ہیں۔یوں تین رکنی قطار کے سر ثنائی تسلسل

$$(1+x)^2 = 1 + 2x + x^2 \tag{14.113}$$

کے سر کی نسبت $1:2:1$ سے ہوں گے لہٰذا مندرجہ بالا مساوات میں $x = e^{j\psi}$ پر کرنے سے تین رکنی قطار کا دور میدان مندرجہ بالا مساوات کے بائیں یا دائیں ہاتھ کی صورت میں لکھا جا سکتا ہے یعنی

$$E = E_0\left(1+e^{j\psi}\right)^2 = E_0(1 + 2e^{j\psi} + e^{j2\psi}) \tag{14.114}$$

تین رکنی قطار کو دیکھ کر دور میدان مندرجہ بالا مساوات کی دائیں ہاتھ دیتی ہے جسے ثنائی تسلسل کی مدد سے مساوات کی بائیں ہاتھ کی صورت میں بھی لکھا جا سکتا ہے۔مساوات کے بائیں ہاتھ سے نقش $\cos^2\frac{\psi}{2}$ حاصل ہوتا ہے۔اسی طرح n رکنی قطار کو $(1+x)^{n-1}$ کی ثنائی تسلسل کی مدد سے اکھٹے کرتے ہوئے

$$E = E_0\left(1+e^{j\psi}\right)^{n-1} \tag{14.115}$$

لکھا جا سکتا ہے جس میں $E_0 = \frac{1}{2}$ اور $\psi = \pi\cos\theta$ پر کرتے ہوئے صرف حیطہ لیتے ہوئے قطار کا نقش

$$E = \cos^{n-1}\left(\frac{\pi}{2}\cos\theta\right) \tag{14.116}$$

لکھا جا سکتا ہے۔

14.8.4 یکساں طاقت کے متعدد رکن پر مبنی قطار

ثنائی قطار غیر یکساں رکنی قطار ہے۔ آئیں شکل میں دکھائے گئے n رکنی، غیر سمتی، یکساں طاقت کے منبع کی قطار کا دور میدان حاصل کریں۔ یہاں فرض کیا جاتا ہے کہ قطار میں ہر دو قریبی منبع میں δ زاویائی فرق پایا جاتا ہے۔ یوں

$$\psi = \beta d \cos\theta + \delta \tag{14.117}$$

ہو گا۔ قطار کا دور میدان

$$E = E_0 \left(1 + e^{j\psi} + e^{j2\psi} + e^{j3\psi} + \cdots + e^{j(n-1)\psi}\right) \tag{14.118}$$

لکھا جا سکتا ہے جہاں

d قطار میں رکن کے درمیان فاصلہ،

δ ہر دو قریبی رکن کے درمیان زاویائی فرق اور

ψ دو قریبی رکن میں کل زاویائی فرق یعنی $\psi = \beta d \cos\theta + \delta$

ہیں۔

اس میں $e^{j\psi} = x$ پر کرنے سے جانی پہچانی تسلسل

$$E_0 \left(1 + x + x^2 + x^3 + \cdots + x^{n-1}\right)$$

حاصل ہوتی ہے جس کا مجموعہ

$$E_0 \left(\frac{1 - x^n}{1 - x}\right)$$

کے برابر ہے۔

مساوات 14.118 کو $e^{j\psi}$ سے ضرب دیتے ہوئے

$$Ee^{j\psi} = E_0 \left(e^{j\psi} + e^{j2\psi} + e^{j3\psi} + \cdots + e^{jn\psi}\right) \tag{14.119}$$

حاصل ہوتا ہے۔ مساوات 14.118 سے مساوات 14.119 منفی کر کے E کے لئے حل کرتے ہوئے

$$E = E_0 \frac{1 - e^{jn\psi}}{1 - e^{j\psi}} = E_0 \frac{\sin\frac{n\psi}{2}}{\sin\frac{\psi}{2}} \underline{/(n-1)\frac{\lambda}{2}} \tag{14.120}$$

حاصل ہوتا ہے۔ اگر قطار کے درمیانے نقطے کو زاویائی صفر چنا جاتا تب مندرجہ بالا مساوات میں زاویہ $\underline{/(n-1)\frac{\lambda}{2}}$ نہ پایا جاتا۔ تمام رکن غیر سمتی ہونے کی صورت میں E_0 ہر رکن کا انفرادی نقش ہو گا جبکہ $\frac{\sin\frac{n\psi}{2}}{\sin\frac{\psi}{2}}$ قطاری نقش ہے۔

غیر سمتی منبع اور زاویائی صفر کا مقام قطار کے درمیانے نقطے پر رکھتے ہوئے

$$E = E_0 \frac{\sin\frac{n\psi}{2}}{\sin\frac{\psi}{2}} \tag{14.121}$$

ہو گا۔ قطار کی زیادہ سے زیادہ قیمت $\psi \to 0$ کی صورت میں پائی جائے گی۔ چونکہ $\psi = 0$ پر مندرجہ بالا مساوات $E = \frac{0}{0}$ دیتا ہے جو بے معنی[37] ہے لہٰذا ہمیں ال ہوس پٹل[38] کا قاعدہ استعمال کرنا ہو گا جس کے تحت اگر تفاعل $y = \frac{m(x)}{n(x)}$ کی قیمت $x \to a$ پر $y = \frac{0}{0}$ حاصل ہو تب قیمت $y = \frac{\partial m/\partial x}{\partial n/\partial x}$ سے حاصل ہو گی۔ یوں مندرجہ بالا مساوات سے $\psi \to 0$ پر

$$\begin{aligned} E &= E_0 \left.\frac{\frac{\partial \sin\frac{n\psi}{2}}{\partial\psi}}{\frac{\partial \sin\frac{\psi}{2}}{\partial\psi}}\right|_{\psi\to 0} \\ &= E_0 \left.\frac{\frac{n}{2}\cos\frac{n\psi}{2}}{\frac{1}{2}\cos\frac{\psi}{2}}\right|_{\psi\to 0} \end{aligned}$$

یعنی

$$E = nE_0 \tag{14.122}$$

حاصل ہوتا ہے جو قطار کی زیادہ سے زیادہ ممکنہ میدان ہے۔ یہ میدان قطار میں انفرادی منبع کے طاقت سے n گنا زیادہ ہے۔ اس قطار کے نقش کی زیادہ سے زیادہ قیمت اس زاویے پر پائی جائے گی جس پر $\psi = 0$ یعنی

$$\beta d\cos\theta + \delta = 0 \tag{14.123}$$

ہو جس سے

$$\theta_{\text{بلند تر طاقت}} = \cos^{-1}\left(-\frac{\delta}{\beta d}\right) \tag{14.124}$$

حاصل ہوتا ہے۔ 4911

اسی طرح اخراجی نقش کا صفر اس مقام پر ہو گا جہاں مساوات 14.121 صفر کے برابر ہو یعنی جہاں $\frac{n\psi}{2} = \mp k\pi$ کے برابر ہو یعنی

$$\frac{n}{2}\left(\beta d\cos\theta + \delta\right) = \mp k\pi \tag{14.125}$$

جس سے صفر اخراج کا زاویہ

$$\theta_0 = \cos^{-1}\left[\left(\mp\frac{2k\pi}{n} - \delta\right)\frac{\lambda}{2\pi d}\right] \tag{14.126}$$

حاصل ہوتا ہے جہاں 4912

θ_0 صفر اخراج کا زاویہ، 4913

k اعداد $k = 1, 2, 3, \cdots$ ممکن ہے جہاں $k \neq mn$ کی شرط لاگو ہے جس میں $m = 1, 2, 3, \cdots$ کے برابر ہے۔ 4914

مساوات 14.121 کو مساوات 14.122 سے تقسیم کرتے ہوئے تقابل پذیر میدان E_n

$$E_n = \frac{E}{nE_0} = \frac{1}{n}\frac{\sin\frac{n\psi}{2}}{\sin\frac{\psi}{2}} \tag{14.127}$$

حاصل ہوتا ہے۔ 4915

---

[37] indeterminate
[38] L Hospital's rule

14.8.5 یکساں طاقت کے متعدد رکن پر مبنی قطار: چوڑائی جانب اخراجی قطار

نقش کی چوٹی اس مقام پر پائی جاتی ہے جس پر $\beta d \cos\theta = -\delta$ ہو۔ قطار کے سیدھ میں کھڑے ہو کر، چوڑائی جانب ($\theta = 90°$) زیادہ سے زیادہ اخراج $\delta = 0$ کی صورت میں ہو گا یعنی جب تمام انفرادی منبع ہم قدم ہوں۔ اگر θ کی جگہ اس کا زاویہ تکملہ[39] γ استعمال کیا جائے تب نقش کے صفر

$$\gamma_0 = \sin^{-1}\left(\mp\frac{k\lambda}{nd}\right) \tag{14.128}$$

پر پائے جائیں گے۔ لمبی قطار $nd \gg k\lambda$ کی صورت میں γ_0 کم قیمت کا ہو گا لہٰذا اسے

$$\gamma_0 = \frac{k}{nd/\lambda} \approx \frac{k}{L/\lambda} \tag{14.129}$$

لکھا جا سکتا ہے جہاں قطار کی لمبائی $L = (n-1)d$ ہے۔ لمبائی کو $n \gg 1$ کی صورت میں

$$L = (n-1)d \approx nd$$

لکھا جا سکتا ہے۔ مساوات 14.129 میں $k = 1$ پر کرتے ہوئے نقش کا پہلا صفر γ_{01} حاصل ہوتا ہے۔ یوں گوشے کے دونوں اطراف پر پہلے صفروں کے درمیان نقش کی چوڑائی

$$\text{پہلی صفر چوڑائی} = \gamma_{01} \approx \frac{2}{L/\lambda}\,\text{rad} = \frac{114.6°}{L/\lambda} \tag{14.130}$$

حاصل ہوتی ہے۔ نقش میں زیادہ سے زیادہ طاقت کے زاویے کے دونوں اطراف وہ زاویے پائے جاتے ہیں جن پر طاقت نصف ہوتی ہے۔ ان کے درمیان زاویے کو نصف طاقت چوڑائی[40]، کہتے ہیں۔ لمبے یکساں چوڑائی جانب اخراجی قطار[41] کے نصف طاقت چوڑائی کی قیمت پہلی صفر چوڑائی[42] کے تقریباً آدھی ہوتی ہے۔ یوں

$$\text{نصف طاقت چوڑائی} \approx \frac{\text{پہلی صفر چوڑائی}}{2} = \frac{1}{L/\lambda}\,\text{rad} = \frac{57.3°}{L/\lambda} \tag{14.131}$$

ہو گی۔

شکل 14.9 میں چوڑائی جانب اخراجی قطار کا تقابل پذیر نقش دکھایا گیا ہے۔ یہ نقش مساوات 14.127 سے حاصل کیا گیا ہے۔ اس قطار میں منبع $\frac{\lambda}{2}$ فاصلے پر رکھے گئے ہیں۔ بیس عدد برابر طاقت کے منبع پر مبنی اس قطار کی نصف طاقت چوڑائی $\theta^\circ_{HP} = 5.1°$ ہے۔ شکل میں نقش کا تراش دکھایا گیا ہے۔ یہ حقیقت میں چرخی مانند ہے لہٰذا $\phi = 0°$ تا $\phi = 360°$ گھومتے ہوئے اس کی صورت یہی نظر آئے گی۔ یوں ϕ زاویے پر اس کی نصف طاقت چوڑائی $\phi^\circ_{HP} = 360°$ ہے۔

14.8.6 یکساں طاقت کے متعدد رکن پر مبنی قطار: لمبائی جانب اخراجی قطار

زیادہ سے زیادہ اخراج کا زاویہ مساوات 14.123

$$\beta d \cos\theta + \delta = 0 \tag{14.132}$$

---

[39] complementary angle
[40] half power beam width, HPBW
[41] broadside array
[42] beam width between first nulls, BWFN

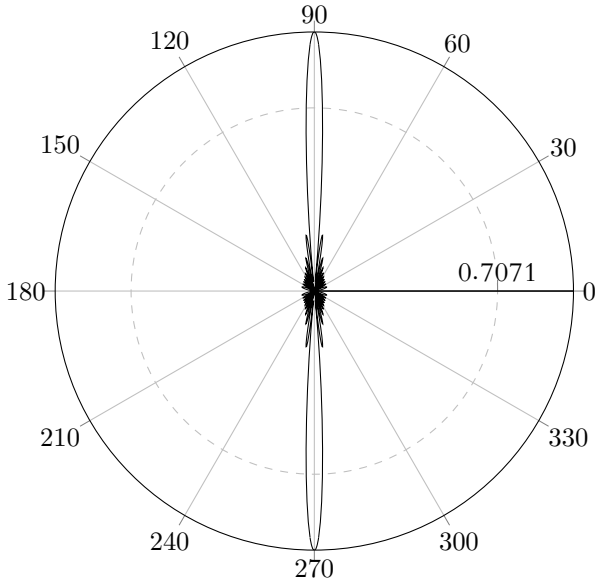

شکل 14.9: چوڑائی جانب اخراجی قطار

سے حاصل ہوتا ہے۔ قطار کے سیدھ میں کھڑے ہو کر سیدھا آگے $(\theta = 0)$ لمبائی کی جانب زیادہ سے زیادہ اخراج اس صورت ہو گا جب ہر دو قریبی منبع کے مابین

$$\delta = -\beta d \tag{14.133}$$

زاویائی فرق پایا جاتا ہو۔ یوں ایسے قطار کے صفر مساوات 14.125 کے تحت

$$\frac{n}{2}\beta d\left(\cos\theta_0 - 1\right) = \mp k\pi$$

یعنی

$$\cos\theta_0 - 1 = \mp\frac{k}{nd/\lambda}$$

سے حاصل ہوں گے۔ اس سے

$$\frac{\theta_0}{2} = \sin^{-1}\left(\mp\sqrt{\frac{k}{2nd/\lambda}}\right) \tag{14.134}$$

لکھا جا سکتا ہے۔ لمبی قطار $(nd \gg k\lambda)$ کی صورت میں اسے

$$\theta_0 = \mp\sqrt{\frac{2k}{nd/\lambda}} \approx \mp\sqrt{\frac{2k}{L/\lambda}} \tag{14.135}$$

لکھا جا سکتا ہے جہاں لمبائی $L = (n-1)d$ کو $(nd \gg k\lambda)$ کی صورت میں $L \approx= nd$ لکھا گیا ہے۔ پہلا صفر $k = 1$ پر حاصل ہو گا جس سے پہلی صفر چوڑائی

$$\text{پہلی صفر چوڑائی} = 2\theta_{01} \approx 2\sqrt{\frac{2}{L/\lambda}}\,\text{rad} = 114.6^\circ\sqrt{\frac{2}{L/\lambda}} \tag{14.136}$$

حاصل ہوتی ہے۔

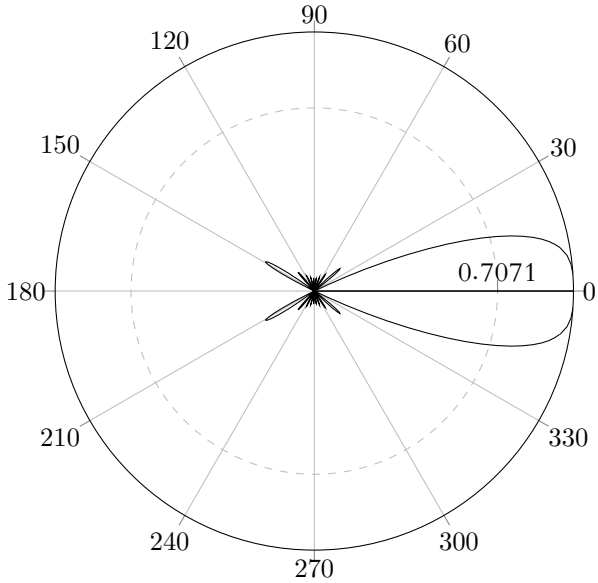

شکل 14.10: لمبائی جانب اخراجی قطار

بیس منبع پر مبنی، لمبائی جانب اخراجی قطار کا تقابل پذیر اخراجی نقش شکل 14.10 میں دکھایا گیا ہے۔ یہ نقش مساوات 14.127 سے حاصل کیا گیا ہے۔ منبع کے درمیانی فاصلہ $\frac{\lambda}{2}$ ہے۔ مساوات 14.127 سے پہلی صفر چوڑائی 52° اور نصف طاقت چوڑائی $\theta_{HP}^\circ = 34^\circ$ حاصل ہوتی ہے۔ یہ نقش جتنا چوڑا ہے یہ اتنا صفحہ کے عمودی جانب موٹا بھی ہے۔ یوں ϕ جانب بھی اس کی نصف طاقت چوڑائی $\phi_{HP}^\circ = 34^\circ$ ہی ہے۔ لمبائی جانب اخراجی لمبی قطار کی نصف طاقت چوڑائی اس کے پہلے صفر چوڑائی کے تقریباً $\frac{2}{3}$ گنا ہوتی ہے۔

جیسے مثال 14.7 اور مثال 14.8 میں آپ دیکھیں گے کہ n عدد منبع پر مبنی لمبائی جانب اخراجی قطار کی سمتیت n عدد منبع پر مبنی چوڑائی جانب اخراجی قطار کی سمتیت سے زیادہ ہوتی ہے۔

مساوات 14.78 اینٹینا کی سمتیت

$$D = \frac{4\pi}{\Omega_A} \tag{14.137}$$

دیتا ہے جہاں ٹھوس زاویہ مساوات 14.73 سے حاصل ہوتا ہے۔ اگر ثانوی شعاعوں کو نظرانداز کیا جائے تب مرکزی شعاع کے θ سمت میں نصف طاقت زاویے θ_{HP} اور ϕ سمت میں نصف طاقت زاویے ϕ_{HP} کا ضرب تقریباً ٹھوس زاویے کے برابر ہو گا لہٰذا ایسی صورت میں مساوات 14.73 حل کرنا ضروری نہیں اور سمتیت کو

$$D \approx \frac{4\pi}{\phi_{HP}\phi_{HP}} \tag{14.138}$$

لکھا جا سکتا ہے جہاں نصف طاقت زاویے ریڈیئن میں ہیں۔ اس مساوات میں

$$4\pi\,\mathrm{sr} = 4\pi\,\mathrm{rad}^2 = 4\pi\left(\frac{180}{\pi}\right)^2\ \mathrm{deg}^2 = 41\,253\,\mathrm{deg}^2$$

پر کرتے ہوئے

$$D \approx \frac{41\,253}{\theta_{HP}^\circ\phi_{HP}^\circ} \tag{14.139}$$

بھی لکھا جا سکتا ہے۔

مثال 14.7: بیس رکنی، چوڑائی جانب اخراجی قطار جس میں ارکان $\frac{\lambda}{2}$ فاصلے پر ہیں کے نصف طاقت زاویے $\theta_{HP}^{\circ} = 5.1^{\circ}$ اور $\phi_{HP}^{\circ} = 360^{\circ}$ ہیں کی سمتیت حاصل کریں۔

حل: مساوات 14.139 سے

$$D \approx \frac{41\,253}{5.1 \times 360} = 22.5$$

حاصل ہوتی ہے۔

مثال 14.8: بیس رکنی، لمبائی جانب اخراجی قطار جس میں ارکان $\frac{\lambda}{2}$ فاصلے پر ہیں کے نصف طاقت زاویے $\theta_{HP}^{\circ} = \phi_{HP}^{\circ} = 34^{\circ}$ ہیں کی سمتیت حاصل کریں۔

حل: مساوات 14.139 سے

$$D \approx \frac{41\,253}{34 \times 34} = 35.7$$

حاصل ہوتی ہے۔

مثال 14.9: دو ارکان پر مبنی قطار میں ارکان کے درمیان فاصلہ $\frac{\lambda}{4}$ ہے۔ دائیں رکن (دوسرا رکن) کو 90° پیچھے برقی رو مہیا کی گئی ہے۔ دونوں برقی رو کی حتمی قیمت برابر ہے۔ دونوں ارکان افقی سطح پر سیدھے کھڑے ہیں۔ افقی میدان پر اخراجی نقش حاصل کریں۔

حل: برقی رو کی حتمی قیمت برابر ہونے کی صورت میں $|E_1| = |E_2| = E$ ہوں گے۔ اگر لمحہ $t = 0$ پر بائیں رکن (پہلا رکن) کا برقی میدان 0° میکانی زاویے پر ہو تب اسی لمحہ دائیں رکن (دوسرا رکن) کا میدان -90° میکانی زاویے پر ہو گا۔ شکل 14.11-الف میں ان میدان (E_1 اور E_2) کو گاڑھی سیاہی میں دکھایا گیا ہے۔ چونکہ دونوں ارکان میں $\frac{\lambda}{4}$ کا فاصلہ ہے لہٰذا جتنی دیر میں بائیں رکن کے میدان کی موج E_1 چل کر دائیں رکن تک پہنچے گا اتنی دیر میں دوری عرصے کے $\frac{1}{4}$ برابر وقت گزر چکا ہو گا لہٰذا دوسرے رکن میں برقی رو $\frac{1}{4} \times 360^{\circ} = 90^{\circ}$ آگے بڑھ چکی ہو گی اور یوں اس لمحہ پر دوسرا رکن 0° میکانی زاویے پر ہی میدان پیدا کرے گا۔ یوں دوسرے رکن کے مقام پر دونوں میدان ہم قدم پائے جائیں گے لہٰذا یہاں برقی میدان $E_1 + E_2$ یعنی دگنا ہو گا۔ شکل 14.11-الف میں کچھ دیر بعد کے ان میدان کو ہلکی سیاہی میں ہم قدم دکھایا گیا ہے۔ دونوں میدان دائیں جانب ہم قدم رہتے ہوئے حرکت کریں گے۔

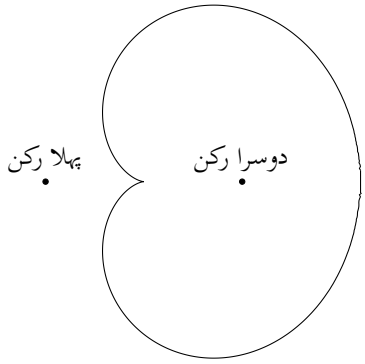

دو رکنی قطار کا نقش

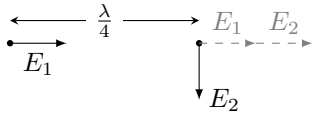

الف: دو رکنی نشریاتی قطار

شکل 14.11: دو رکنی اشاعتی قطار اور اس کا نقش

اس کے برعکس جس لمحہ دائیں رکن کی برقی رو $0°$ پر ہو اسی لمحہ بائیں رکن کی برقی رو $90°$ پر ہو گی۔اس لمحے پر دائیں رکن کا میدان $0°$ پر ہو گا جبکہ بائیں رکن کا میدان $90°$ پر ہو گا۔اب جتنی دیر میں دائیں رکن کا میدان بائیں رکن تک پہنچے گا اتنی دیر میں دائیں رکن کا میدان مزید $90°$ آگے بڑھ کر $180°$ پر پہنچ چکا ہو گا۔یوں دائیں رکن کے مقام پر دونوں میدان آپس میں الٹ سمت میں ہوں گے لہٰذا ان کا مجموعہ صفر کے برابر ہو گا۔اس طرح دائیں رکن کے دائیں جانب میدان صفر ہی پایا جائے گا۔شکل 14.11 میں صفر اور پائے ریڈیئن زاویوں پر دگنا اور صفر میدان دکھایا گیا ہے۔

دونوں رکن کے درمیان عمودی لکیر پر پہنچنے کے لئے دونوں میدان کو برابر دورانیے کی ضرورت ہے لہٰذا اس لکیر پر دونوں میدان آپس میں عمودی رہیں گے۔یوں اس لکیر پر کل میدان مسئلہ فیثاغورث کی مدد سے $\sqrt{E^2+E^2} = 1.4142E$ حاصل ہو گا۔شکل 14.11-ب میں اسی طرح مختلف مقامات پر میدان حاصل کرتے ہوئے حاصل کردہ نقش دکھایا گیا ہے۔

مندرجہ بالا مثال کے نقش سے ظاہر ہے کہ یہ اینٹینا بائیں جانب اخراج نہیں کرتا لہٰذا اس کے بائیں جانب دوسرا اینٹینا نسب کیا جا سکتا ہے جس کی اخراجی سمت بائیں رکھی جائے گی تاکہ دونوں علیحدہ علیحدہ نشریات کر سکیں۔

14.8.7 یکساں طاقت کے متعدد رکن پر مبنی قطار: بدلتے زاویہ اخراجی اینٹینا

مساوات 14.124

$$\theta_{\text{بلند تر طاقت}} = \cos^{-1}\left(-\frac{\delta}{\beta d}\right) \tag{14.140}$$

یکساں ارکان کے قطار کی مرکزی نقش کا زاویہ دیتی ہے۔چوڑائی جانب اخراجی قطار میں $\theta = 90°$ رکھا جاتا ہے جبکہ لمبائی جانب اخراجی قطار میں $\theta = 0°$ رکھا جاتا ہے۔اگر شعاع کی سمت تبدیل کرنی ہو تو ایسے اینٹینا کو گھمانا ہو گا۔

مساوات 14.124 کے تحت δ کو تبدیل کرتے ہوئے شعاع کی سمت کسی بھی زاویے پر رکھی جا سکتی ہے۔یوں δ کو -1 تا $+1$ مسلسل تبدیل کرتے ہوئے شعاع کی سمت کو $0°$ تا $180°$ مسلسل تبدیل کیا جا سکتا ہے۔یوں بدلتے زاویہ اخراجی اینٹینا[43] کو ہلائے بغیر اس کی اخراجی سمت تبدیل کی جا سکتی ہے۔

---

[43] scanning antenna

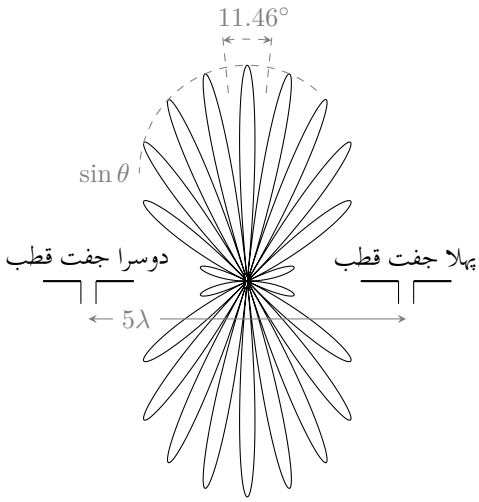

شکل 14.12: دو عدد مختصر جفت قطب جنہیں 5λ فاصلے پر رکھا گیا ہے سے حاصل تداخل پیما کا نقش۔

14.9 تداخُل پیما

4967

فلکیات[44] کے میدان میں اینٹینا کا کلیدی کردار ہے۔ریڈیائی فلکیات[45] میں استعمال ہونے والے اینٹینا کو تداخل پیما[46] اینٹینا کہتے ہیں۔ 4968

شکل 14.12 میں دو عدد مختصر جفت قطب کے درمیان فاصلہ L ہے۔دونوں کو ہم قدم برقی رو مہیا کی گئی ہے۔ضرب نقش کی ترکیب استعمال کرتے ہوئے اس کا نقش

$$E = 2E_1 \cos \frac{\psi}{2} \tag{14.141}$$

لکھا جا سکتا ہے جہاں $\psi = \beta L \cos\theta$ کے برابر ہے۔ضرب نقش کے تحت E_1 انفرادی رکن کی نقش ہے جبکہ $\cos\frac{\psi}{2}$ دو رکنی قطار کا نقش ہے۔مساوات 14.48 سے مختصر جفت قطب کا نقش $\sin\theta$ حاصل ہوتا ہے لہٰذا تقابل پذیر نقش

$$E = \sin\theta \cos\frac{\psi}{2} = \sin\theta \cos\left(\frac{\pi L}{\lambda}\cos\theta\right) \tag{14.142}$$

لکھا جا سکتا ہے جہاں $\beta = \frac{2\pi}{\lambda}$ کا استعمال کیا گیا ہے۔شکل 14.12 میں $L = 5\lambda$ کے لئے نقش دکھایا گیا ہے۔زاویہ θ کا زاویہ تکملہ $\gamma = \frac{\pi}{2} - \theta$ استعمال کرتے ہوئے، پہلا صفر

$$\frac{\pi L}{\lambda}\cos\theta = \frac{\pi L}{\lambda}\sin\gamma_{01} = \frac{\pi}{2}$$

کی صورت میں پایا جائے گا جس سے

$$\gamma_{01} = \sin^{-1}\frac{1}{2L/\lambda} \tag{14.143}$$

حاصل ہوتا ہے۔اگر $L \gg \lambda$ ہو تب پہلی صفر چوڑائی

$$\text{پہلی صفر چوڑائی} = 2\gamma_{01} = \frac{1}{L/\lambda}\,\text{rad} = \frac{57.3}{L/\lambda}\,\text{deg} \tag{14.144}$$

---

[44] astronomy
[45] radio astronomy
[46] interferometer

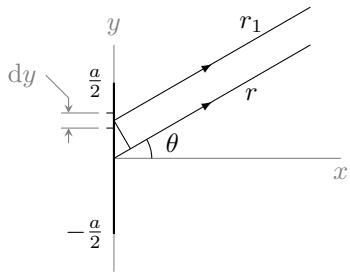

شکل 14.13: مسلسل اینٹینا

لکھی جا سکتی ہے۔ یہ مساوات 14.130 میں دیے، n رکنی چوڑائی جانب اخراجی قطار کے پہلی صفر چوڑائی کی آدھی قیمت ہے۔ ہلکی سیاہی کے نقطہ دار لکیر سے شکل میں مختصر جفت قطب کے نقش $\sin\theta$ کو واضح کیا گیا ہے۔

پانچ طول موج برابر L کی صورت میں مساوات 14.144 سے پہلی صفر چوڑائی 11.46° حاصل ہوتی ہے۔

ریڈیائی فلکیات میں فلکی اخراجی مادے کی شعاع کو تداخل پیما سے وصول کیا جاتا ہے۔ ان کی جسامت کا بہتر سے بہتر تخمینہ لگانے میں چوڑائی نقش کردار ادا کرتی ہے۔

مشق 14.1: $L = 20\lambda$ کی صورت میں تداخل پیما کی پہلی صفر چوڑائی حاصل کریں۔

جواب: 2.865°

14.10 مسلسل خطی اینٹینا

ہم متعدد تعداد کے نقطہ منبع پر مبنی مختلف اقسام کے اینٹینا دیکھ چکے ہیں۔ اگر متعدد نقطہ منبع کی قطار میں منبع کے درمیان فاصلہ اتنا کم کر دیا جائے کہ یہ علیحدہ علیحدہ منبع کی جگہ ایک مسلسل لکیر نظر آئے تو ایسی صورت میں مسلسل خطی اینٹینا حاصل ہو گا۔ شکل 14.13 میں ایسا ہی اینٹینا دکھایا گیا ہے جس میں تمام نقطہ منبع کو ہم قدم برقی رو مہیا کی گئی ہے۔ اس اینٹینے کی کل لمبائی a کے برابر ہے۔ اینٹینا y محدد پر پایا جاتا ہے۔

اینٹینا کے چھوٹے حصے $\mathrm{d}y$ کا دور میدان $\mathrm{d}E$

$$\mathrm{d}E = \frac{A}{r_1} e^{j\omega(t-\frac{r_1}{c})}\,\mathrm{d}y = \frac{A}{r_1} e^{j(\omega t-\beta r_1)}\,\mathrm{d}y \tag{14.145}$$

لکھا جا سکتا ہے جہاں A برقی رو پر منحصر مستقل ہے۔ یوں مکمل اینٹینا کا میدان

$$E = \int_{-\frac{a}{2}}^{\frac{a}{2}} \frac{A}{r_1} e^{j(\omega t-\beta r_1)}\,\mathrm{d}y \tag{14.146}$$

ہو گا۔ شکل سے $r_1 = r - y\sin\theta$ لکھا جا سکتا ہے۔ یوں

$$E = e^{j(\omega t - \beta r)} \int_{-\frac{a}{2}}^{\frac{a}{2}} \frac{A}{r_1} e^{j\beta y \sin\theta}\, \mathrm{d}y \tag{14.147}$$

حاصل ہوتا ہے۔ اگر $r_1 \gg a$ ہو تب تکمل کے $e^{j\beta y \sin\theta}$ جزو کی قیمت y تبدیل ہونے سے اتنی تبدیل ہوتی ہے کہ اس تبدیلی کو نظر انداز نہیں کیا جا سکتا۔ اس کے برعکس، جیسے حصہ 14.3 میں دکھایا گیا ہے، $r_1 \gg a$ کی صورت میں $\frac{A}{r_1} \approx \frac{A}{r}$ لکھا جا سکتا ہے۔ ایسا کرتے ہوئے اسے تکمل کے باہر

$$E = \frac{A}{r} e^{j(\omega t - \beta r)} \int_{-\frac{a}{2}}^{\frac{a}{2}} e^{j\beta y \sin\theta}\, \mathrm{d}y \tag{14.148}$$

لکھا جا سکتا ہے۔ تکمل لیتے ہوئے

$$\begin{aligned} E &= \frac{A}{r} e^{j(\omega t - \beta r)} \left[\frac{e^{j\beta \frac{a}{2} \sin\theta}}{j\beta \sin\theta} - \frac{e^{-j\beta \frac{a}{2} \sin\theta}}{j\beta \sin\theta} \right] \\ &= A' \frac{\sin\left(\frac{\beta a}{2} \sin\theta\right)}{\frac{\beta a}{2} \sin\theta} \end{aligned} \tag{14.149}$$

حاصل ہوتا ہے جہاں

$$\frac{a A e^{j(\omega t - \beta r)}}{r} = A'$$

لکھا گیا ہے۔

مساوات 14.149 زیادہ سے زیادہ میدان $\theta = 90^\circ$ پر A' دیتا ہے۔ یوں مساوات 14.149 کو A' سے تقسیم کرنے سے مسلسل اینٹینا کی تقابل پذیر قیمت

$$E_n = \frac{\sin\left(\frac{\beta a}{2} \sin\theta\right)}{\frac{\beta a}{2} \sin\theta} \tag{14.150}$$

حاصل ہوتی ہے۔

یہاں رک کر صفحہ 533 پر مساوات 14.127 کو دوبارہ دیکھیں۔

14.11 مستطیل سطحی اینٹینا

حصہ 14.10 کی ترکیب مستطیل سطحی اینٹینا پر بھی لاگو کی جا سکتی ہے۔ اگر نقطہ منبع کے صف در صف اتنے قریب قریب رکھے جائیں کہ یہ علیحدہ علیحدہ منبع کی جگہ ایک مسلسل سطح نظر آئے تو ایسی صورت میں مسلسل سطحی اینٹینا حاصل ہو گا۔ ایسی ہی ایک مستطیلی سطح جس کی x سمت میں لمبائی x_1 اور y سمت میں لمبائی a ہے کو شکل 14.14 میں دکھایا گیا ہے۔ سطح پر میدان x سمت میں ہے۔ اس سطح پر میدان x کا تفاعل نہیں ہے البتہ یہ y پر منحصر ہے۔ یوں میدان کو $E_x(y)$ لکھا جائے گا۔ پورے سطح پر میدان ہم قدم ہے۔

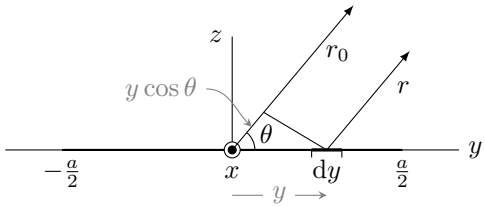

شکل 14.14: مستطیل سطحی ایٹینا

ہائی گن[47] کے اصول کے تحت محاذ موج پر ہر نقطہ، منبع موج کا کردار ادا کرتا ہے۔یوں سطح پر چھوٹے رقبے $\mathrm{d}x\,\mathrm{d}y$ پر میدان $E_x(y)$ بطور منبع کردار ادا کرے گا۔ سطح پر برقی میدان $E_x(y)$ سے یہاں کا مقناطیسی میدان

$$H_y = \frac{E_x(y)}{Z_0} \tag{14.151}$$

لکھا جا سکتا ہے جہاں Z_0 خطے کی قدرتی رکاوٹ $\sqrt{\frac{\mu_0}{\epsilon_0}}$ ہے۔مقناطیسی میدان کا بُعد ایمپیئر فی میٹر $\frac{\mathrm{A}}{\mathrm{m}}$ ہے لہٰذا اسے

$$H_y = J_x z_1 \tag{14.152}$$

لکھا جا سکتا ہے جہاں سطح کی موٹائی z_1 اور اس میں کثافت برقی رو J_x تصور کی گئی ہے۔اس طرح لکھنے سے اس حقیقت کی وضاحت ہوتی ہے کہ مقناطیسی میدان بالکل اسی طرح کردار ادا کرتا ہے جیسے کثافت برقی رو۔یوں مقناطیسی میدان کو منبع تصور کیا جا سکتا ہے۔ 4990

مساوات 14.25 میں $I_0 = J_x z_1\,\mathrm{d}y$ اور $\mathrm{d}l = \mathrm{d}x$ پر کرنے سے A حاصل کرتے ہوئے، چھوٹے رقبے $\mathrm{d}x\,\mathrm{d}y$ سے دور تفرق میدان کو $E = -j\omega A$ سے حاصل کیا جا سکتا ہے یعنی

$$\begin{aligned}
\mathrm{d}E &= -j\omega[\mathrm{d}A_x] \\
&= -j\omega\frac{\mu_0 I_0\,\mathrm{d}l\,e^{j(\omega t-\beta r)}}{4\pi r} \\
&= -\frac{j\omega\mu_0 E(y)}{4\pi r Z_0}e^{j(\omega t-\beta r)}\,\mathrm{d}x\,\mathrm{d}y
\end{aligned} \tag{14.153}$$

جہاں J_x کی وجہ سے A_x سمتی دباو لکھی گئی ہے۔پورے رقبے سے پیدا میدان سطحی تکمل سے حاصل ہو گا۔رقبے کے وسط سے r_0 فاصلے اور θ زاویے پر میدان

$$E(\theta) = -\frac{j\omega\mu_0 e^{j(\omega t-\beta r_0)}}{4\pi r_0 Z_0}\int_{-a/2}^{a/2}\int_{-x_1/2}^{x_1/2} E(y)e^{j\beta y\cos\theta}\,\mathrm{d}x\,\mathrm{d}y \tag{14.154}$$

ہو گا جہاں $r \approx r_0$ لیا[48] گیا ہے۔بیرونی تکمل لیتے اور $\frac{\omega\mu_0}{4\pi Z_0} = \frac{1}{2\lambda}$ پر کرتے ہوئے میدان کی حتمی قیمت $|E|$

$$E(\theta) = \frac{x_1}{2r_0\lambda}\int_{-a/2}^{a/2} E(y)e^{j\beta y\cos\theta}\,\mathrm{d}y \tag{14.155}$$

حاصل ہوتی ہے۔پوری سطح پر یکساں میدان $E(y) = E_a$ کی صورت میں

$$E(\theta) = \frac{x_1 E_a}{2r_0\lambda}\int_{-a/2}^{a/2} e^{j\beta y\cos\theta}\,\mathrm{d}y \tag{14.156}$$

---

[47] Huygen's principle

[48] جیسے حصہ 14.3 میں دکھایا گیا ہے۔

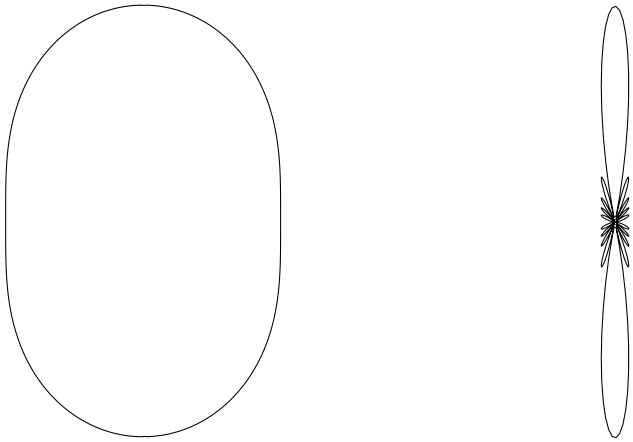

الف: مستطیل سطحی اینٹینا کا $a = 5\lambda$ کی صورت میں نقش ب: مستطیل سطحی اینٹینا کا $a = \frac{\lambda}{2}$ کی صورت میں نقش

شکل 14.15: مستطیل سطح کے نقش

لکھتے ہوئے

$$\begin{aligned} E(\theta) &= \frac{x_1 a E_a}{2r_0\lambda}\frac{\sin[(\beta a/2)\cos\theta]}{(\beta a/2)\cos\theta} \\ &= \frac{E_a S_{\text{اخراجی}}}{2r_0\lambda}\frac{\sin[(\beta a/2)\cos\theta]}{(\beta a/2)\cos\theta} \end{aligned} \tag{14.157}$$

حاصل ہو گا جہاں $S_{\text{اخراجی}}$ سطح کا رقبہ ہے۔ 4991

زیادہ سے زیادہ میدان $\theta = 90^\circ$ پر

$$E(\theta)_{\text{بلند تر}} = \frac{E_a S_{\text{اخراجی}}}{2r_0\lambda} \qquad \text{دو رُخی اخراج} \tag{14.158}$$

حاصل ہوتا ہے۔اگر $\theta = 270^\circ$ جانب اخراج صفر ہو تب $\theta = 90^\circ$ جانب اخراج دگنی

$$E(\theta)_{\text{بلند تر}} = \frac{E_a S_{\text{اخراجی}}}{r_0\lambda} \qquad \text{یک رُخی اخراج} \tag{14.159}$$

ہو گی۔اس میدان کو $a = 5\lambda$ اور $a = \frac{\lambda}{2}$ کے لئے شکل 14.15 میں دکھایا گیا ہے۔ 4992

صفحہ 532 پر مساوات 14.121

$$E(\theta) = E_0 \frac{\sin\frac{n\psi}{2}}{\sin\frac{\psi}{2}}$$

یکساں غیر سمتی n رکنی قطار کا دور میدان دیتی ہے جہاں $(\psi = \beta d\cos\theta + \delta)$ ہے اور E_0 انفرادی رکن کا میدان ہے۔چوڑائی جانب اخراجی قطار $\delta = 0$ کی صورت میں حاصل ہوتا ہے جس سے مندرجہ بالا مساوات

$$E(\theta) = E_0 \frac{\sin[(n\beta d/2)\cos\theta]}{\sin[(\beta d/2)\cos\theta]} \tag{14.160}$$

صورت اختیار کر لیتی ہے۔قطار کی لمبائی a' لکھتے ہوئے، زیادہ قیمت کی n اور a' کی صورت میں $a' = (n-1)d \approx nd$ ہو گا۔اگر ہم اپنی توجہ $\theta = 90^\circ$ کے قریب رکھیں تب مساوات 14.160 کو

$$E(\theta) = nE_0 \frac{\sin[(\beta a'/2)\cos\theta]}{(\beta a'/2)\cos\theta} \tag{14.161}$$

لکھا جا سکتا ہے۔اس مساوات کا مساوات 14.157 کے ساتھ موازنہ کرنے سے ہم دیکھتے ہیں کہ a لمبائی کی سطحی اینٹینا اور n رکنی a' لمبی چوڑائی اخراجی قطار کے مرکزی شعاع ایک جیسے ہیں۔مزید $nE_0 = \frac{E_a S_{\text{اخراجی}}}{2r_0\lambda}$ کی صورت میں دونوں کے میدان بالکل برابر حتمی قیمت رکھتے ہیں۔

14.12 اخراجی سطح پر میدان اور دور میدان آپس کے فوریئر بدل ہیں

یک بُعدی میدان $E(y)$ اور اس سے پیدا دور میدان $E(\theta)$ ایک دوسرے کے فوریئر بدل[49] ہوتے ہیں۔ محدود سطح کے لئے ان جڑواں فوریئر تسلسل میں سے ایک بدل کو

$$E(\theta) = \int_{-a/2}^{a/2} E(y) e^{j\beta y \cos\theta}\, \mathrm{d}y \tag{14.162}$$

لکھا جا سکتا ہے۔اس کا مساوات 14.155 کے ساتھ موازنہ کریں۔ان میں صرف جزو ضربی $\frac{x_1}{2r_0\lambda}$ کا فرق پایا جاتا ہے۔

شکل میں کئی $E(y)$ اور اس سے پیدا $E(\theta)$ آمنے سامنے دکھائے گئے ہیں۔ سطح پر یکساں میدان اور اس کا پیدا کردہ دُور میدان شکل-الف میں دکھائے گئے ہیں جن کے حوالے سے بقایا پر تبصرہ کرتے ہیں۔ تکونی اور سائن نما سطحی تقسیم کے مرکزی شعاع کی چوڑائی زیادہ ہے البتہ ان کے ثانوی شعاعیں کمزور ہیں۔مربع کو سائن اور گاوسی تقسیم[50] کے مرکزی شعاع مزید زیادہ چوڑی ہے جبکہ ان میں ثانوی شعاع نہیں پائی جاتی۔اس کے برعکس منفی ڈھلوان کی تقسیم مثلاً شکل-ث کم چوڑائی کی مرکزی شعاع پیدا کرتی ہے البتہ اس کی ثانوی شعاعیں بھی زیادہ طاقتور ہوتی ہیں۔ منفی ڈھلوان کی انتہا شکل-ٹ میں دکھائی گئی ہے جو دور کنی تداخُل پیا ہی ہے۔اس کی چوڑائی شکل-الف کی آدھی ہے البتہ اس کے ثانوی شعاعیں عین مرکزی شعاع جتنی طاقتور ہیں۔

14.13 خطی اینٹینا

مختصر جفت قطب ہم دیکھ چکے ہیں جہاں جفت قطب کی لمبائی طول موج سے بہت کم $l \ll \lambda$ تھی۔آئیں لمبی اینٹینا پر غور کریں۔اینٹینا پر سائن نما برقی رو تصور کی جائے گی۔

شکل میں کل L لمبائی کا اینٹینا دکھایا گیا ہے جسے بالکل درمیان سے برقی رو مہیا کی گئی ہے۔اینٹینا کے دونوں بالکل یکساں نصف اطراف میں برقی رو بھی ہم شکل ہے۔ہم L کے چھوٹے چھوٹے ٹکڑوں $\mathrm{d}y$ کو انفرادی جفت قطب تصور کرتے ہوئے ان سب کے میدان کا مجموعہ حاصل کرتے ہوئے اس اینٹینا کا دور میدان حاصل کریں گے۔ تجربے سے ثابت ہوتا ہے کہ ایسی اینٹینا میں برقی رو

$$I = \begin{cases} I_0 \sin\left[\frac{2\pi}{\lambda}\left(\frac{L}{2}+y\right)\right] & y < 0 \\ I_0 \sin\left[\frac{2\pi}{\lambda}\left(\frac{L}{2}-y\right)\right] & y > 0 \end{cases} \tag{14.163}$$

---

[49] Fourier transform
[50] Gaussian distribution

صورت رکھتی ہے۔ مختصر جفت قطب کی لمبائی کو $\mathrm{d}y$ اور اس کے دور میدان کو $\mathrm{d}E_\theta$ لکھتے ہوئے مساوات 14.38

$$\mathrm{d}E_\theta = j\frac{30I\beta\,\mathrm{d}y}{r}\sin\theta e^{j(\omega t-\beta r)} \tag{14.164}$$

یعنی

$$\mathrm{d}E_\theta = \frac{j60\pi e^{j(\omega t-\beta r_0)}}{r_0\lambda}\sin\theta I e^{j\beta y\cos\theta}\,\mathrm{d}y \tag{14.165}$$

دیتی ہے۔ یوں L لمبے اینٹینا کا میدان

$$E_\theta = k\sin\theta\int_{-L/2}^{L/2} I e^{j\beta y\cos\theta}\,\mathrm{d}y \tag{14.166}$$

ہو گا جہاں

$$k = \frac{j60\pi e^{j(\omega t-\beta r_0)}}{r_0\lambda} \tag{14.167}$$

لکھا گیا ہے۔ مساوات 14.163 استعمال کرتے اور تکمل لیتے ہوئے

$$E_\theta = \frac{j60[I_0]}{r_0}\left\{\frac{\cos[(\beta L\cos\theta)/2]-\cos(\beta L/2)}{\sin\theta}\right\} \quad \text{خطی اینٹینا کی عمومی مساوات} \tag{14.168}$$

حاصل ہوتا ہے جہاں $[I_0] = I_0 e^{j(\omega t-\beta r_0)}$ تاخیری برقی رو ہے۔ $\frac{\lambda}{2}$ جفت قطب کی صورت میں اسے

$$E_\theta = \frac{j60[I_0]}{r_0}\frac{\cos[\frac{\pi}{2}\cos\theta]}{\sin\theta} \quad \frac{\lambda}{2}\ \text{جفت قطب} \tag{14.169}$$

لکھا جا سکتا ہے۔

میدان کی شکل مساوات 14.168 کے دائیں جانب قوسین میں بند جزو پر منحصر ہے جسے $\frac{\lambda}{2}$ جفت قطب کی صورت میں

$$E_\theta = \frac{\cos[\frac{\pi}{2}\cos\theta]}{\sin\theta} \quad \frac{\lambda}{2}\ \text{جفت قطب} \tag{14.170}$$

اور 1.5λ جفت قطب کی صورت میں

$$E_\theta = \frac{\cos[\frac{3\pi}{2}\cos\theta]}{\sin\theta} \quad \frac{3\lambda}{2}\ \text{جفت قطب} \tag{14.171}$$

لکھا جا سکتا ہے۔

شکل 14.16 میں $\frac{\lambda}{2}$ اور $\frac{3\lambda}{2}$ جفت قطب اور ان کے شعاع نکلی محدد پر دکھائے گئے ہیں۔ جفت قطب پر برقی رو کی سمتیں تیر کی نشان سے دکھائے گئے ہیں۔

شکل-ب میں میدان کے شعاعوں میں 180° کا زاویائی فرق پایا جاتا ہے۔

جفت قطب کو محور لیتے ہوئے دئے گئے نقش کو اس کے گرد گمانے سے تین رُخی نقش حاصل ہو گا۔

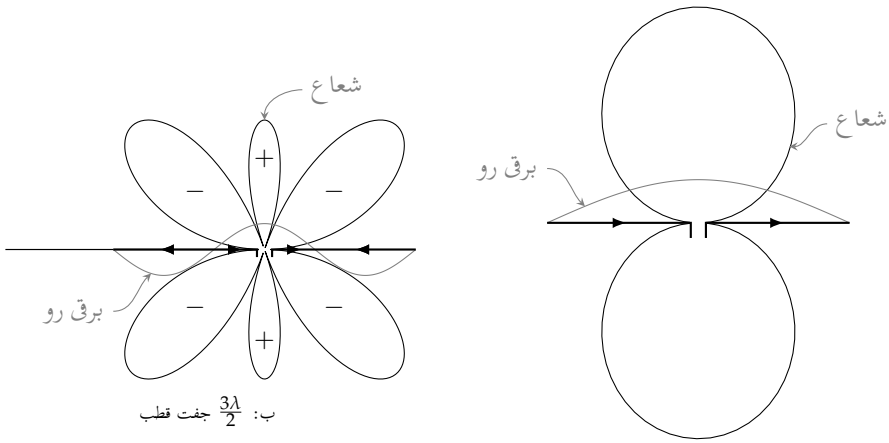

ب: $\frac{3\lambda}{2}$ جفت قطب

الف: $\frac{\lambda}{2}$ جفت قطب

شکل 14.16: 0.5λ اور 1.5λ جفت قطب کے دور میدان۔

اوسط پوئنٹنگ سمتیہ کا بڑی رداس کے کرہ پر سطحی تکمل

$$P = \int_0^{2\pi}\int_0^{\pi} \frac{|E_\theta|^2}{2Z} r^2 \sin\theta \, \mathrm{d}\theta \, \mathrm{d}\phi \tag{14.172}$$

عددی طریقے سے حاصل کرتے ہوئے کل اخراجی مزاحمت R حاصل کی جاتی ہے۔اس مساوات میں $|E_\theta|$ کو مساوات 14.169 سے پر کرتے ہوئے

$$P = \frac{15 I_0^2}{\pi} \int_0^{2\pi}\int_0^{\pi} \frac{\cos^2[\frac{\pi}{2}\cos\theta]}{\sin\theta} \, \mathrm{d}\theta \, \mathrm{d}\phi$$

حاصل ہوتا ہے جہاں $Z_0 = 120\pi$ اور $r = r_0$ لکھے گئے ہیں۔بیرونی تکمل پہلے لیتے ہوئے

$$P = 30 I_0^2 \int_0^{\pi} \frac{\cos^2[\frac{\pi}{2}\cos\theta]}{\sin\theta} \, \mathrm{d}\theta \tag{14.173}$$

ملتا ہے۔اس مساوات کو عددی طریقے سے حل کرتے ہیں۔ایسا کرنے کی خاطر اسے مجموعے

$$P = \sum_{i=0}^{n} 30 I_0^2 \frac{\cos^2[\frac{\pi}{2}\cos\theta]}{\sin\theta} \Delta\theta = \sum_{i=0}^{n} p(\theta)\Delta\theta \tag{14.174}$$

کی شکل میں لکھتے ہیں جہاں

$$p(\theta) = 30 I_0^2 \frac{\cos^2[\frac{\pi}{2}\cos\theta]}{\sin\theta} \tag{14.175}$$

لکھا گیا ہے۔ شکل 14.17 میں کارتیسی محدد پر تفاعل $p(\theta)$ کو دکھایا گیا ہے۔افقی محدد پر $\theta = 0$ تا $\theta = \pi$ ہے جبکہ عمودی محدد پر $p(\theta)$ ہے۔اگر $\theta = 0$ تا π کو n برابر ٹکڑوں میں تقسیم کیا جائے تو ہر ٹکڑے کی چوڑائی $\frac{\pi}{n}$ ہو گی۔ گراف کے ایسے ہر ٹکڑے کو مستطیل تصور کیا جا سکتا ہے۔ان تمام مستطیل کے رقبے جمع کرتے ہوئے تکمل حاصل کیا جاتا ہے۔اسے کہتے ہیں عددی طریقہ۔

شکل میں $n = 10$ لیا گیا ہے۔یوں ہمیں دس مستطیل کے رقبے حاصل کرنے ہیں۔ہر مستطیل کے دونوں اطراف کے قد کی اوسط قیمت کو مستطیل کا قد تصور کیا جائے گا۔بائیں بازو سے شروع کرتے ہوئے پہلے مستطیل کے بائیں طرف کا قد 0 ہے جبکہ اس کے دائیں طرف کا قد $\theta = 0.1\pi$ پر مساوات

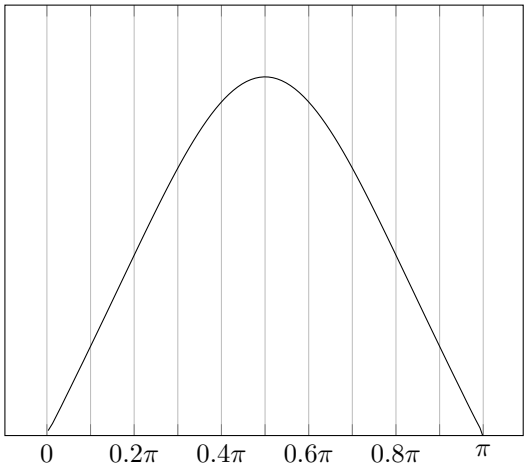

شکل 14.17: اخراجی مزاحمت کا عددی حل۔

جدول 14.2: برابر زاویائی فاصلوں پر تفاعل کے قیمت۔

$30I_0^2\,\frac{\cos^2[\pi/2\cos\theta]}{\sin\theta}$	θ
0	0.0π
$00.573I_0^2$	0.1π
$04.457I_0^2$	0.2π
$13.492I_0^2$	0.3π
$24.677I_0^2$	0.4π
$30I_0^2$	0.5π
$24.677I_0^2$	0.6π
$13.492I_0^2$	0.7π
$04.457I_0^2$	0.8π
$00.573I_0^2$	0.9π
0	1.0π

14.175 سے

$$p_1(\theta) = 30I_0^2\frac{\cos^2[\frac{\pi}{2}\cos(0.1\pi)]}{\sin(0.1\pi)} = 0.573I_0^2 \tag{14.176}$$

حاصل ہوتا ہے۔اسی طرح بقایا تمام نقطوں پر بھی قد حاصل کرتے ہوئے جدول 14.2 میں دیے گیے ہیں۔ 5014

شکل 14.17 میں بائیں سے دوسرے مستطیل ($\theta = 0.1\pi$ تا $\theta = 0.2\pi$) کا رقبہ

$$\begin{aligned}
\text{رقبہ} &= \text{چوڑائی} \times \text{اوسط قد} \\
&= 0.1\pi \times \left(\frac{0.573I_0^2 + 4.457I_0^2}{2}\right) \\
&= 0.79I_0^2
\end{aligned}$$

ہے۔ 5015

جدول 14.2 کی مدد سے کل رقبہ

$$P = 0.1\pi I_0^2 \left(\frac{0}{2} + 0.573 + 4.457 + 13.492 + 24.677 + 30 \right.$$
$$\left. +24.677 + +13.492 + 4.457 + 0.573 + \frac{0}{2}\right)$$

یعنی

$$P = 36.5675 I_0^2 \tag{14.177}$$

حاصل ہوتا ہے۔سائن نما برقی رو کی چوٹی I_0 ہونے کی صورت میں مزاحمت R میں طاقت کا ضیاع $\frac{1}{2} I_0^2 R$ ہوتا ہے لہٰذا ان دونوں کو برابر لکھتے ہوئے

$$\frac{1}{2} I_0^2 R_{\text{اخراجی}} = 36.5675 I_0^2$$

$\frac{\lambda}{2}$ لمبائی کے جفت قطب کا اخراجی مزاحمت

$$R_{\text{اخراجی}} = 73.13\,\Omega \qquad \text{جفت قطب}\ \frac{\lambda}{2} \tag{14.178}$$

حاصل ہوتا ہے۔ یہ وہ مزاحمت ہے جو اینٹینا کو طاقت مہیا کرنے یا اس سے طاقت وصول کرنے والے ترسیلی تار کو نظر آتی ہے۔ $\frac{\lambda}{2}$ اینٹینا کے اخراجی مزاحمت کا موازنہ مختصر جفت قطب کی اخراجی مزاحمت $(0.63\,\Omega)$ کے ساتھ کریں جسے صفحہ 518 پر مثال 14.1 میں حاصل کیا گیا ہے۔

اینٹینا کی رکاوٹ میں $j42.5$ اوہم کا خیالی جزو $(Z = 73.1 + j42.5)$ بھی پایا جاتا ہے۔اینٹینا کی لمبائی چند فی صد کم کرنے سے خیالی جزو صفر کیا جا سکتا ہے، البتہ اس سے حقیقی جزو قدر کم ہو کر $70\,\Omega$ رہ جاتا ہے۔زیادہ سے زیادہ طاقت کی منتقلی کے لئے ضروری ہے کہ ایسے اینٹینا کو $70\,\Omega$ قدرتی رکاوٹ کے ترسیلی تار کے ساتھ جوڑا جائے۔ $\frac{3\lambda}{2}$ اینٹینا کا اخراجی مزاحمت $100\,\Omega$ حاصل ہوتا ہے۔

مثال 14.10: $\frac{\lambda}{2}$ لمبائی کے خطی اینٹینا کی سمتیت حاصل کریں۔

حل: مساوات 14.77 میں مساوات 14.170 پر کرتے ہوئے

$$D = \frac{4\pi}{\iint\limits_{4\pi} P_n(\theta,\phi)\,\mathrm{d}\Omega} = \frac{4\pi}{2\pi \int_0^\pi \frac{\cos^2\left[\frac{\pi}{2}\cos\theta\right]}{\sin^2\theta} \sin\theta\,\mathrm{d}\theta} \tag{14.179}$$

حاصل ہوتا ہے۔اس کا مساوات 14.173 سے موازنہ کرتے ہوئے، مساوات 14.177 میں حاصل کی گئی قیمت $36.5675 I_0^2$ استعمال کرتے ہوئے

$$D = \frac{4\pi}{2\pi\left(\frac{36.5675 I_0^2}{30 I_0^2}\right)} = 1.64 \tag{14.180}$$

حاصل ہوتا ہے۔

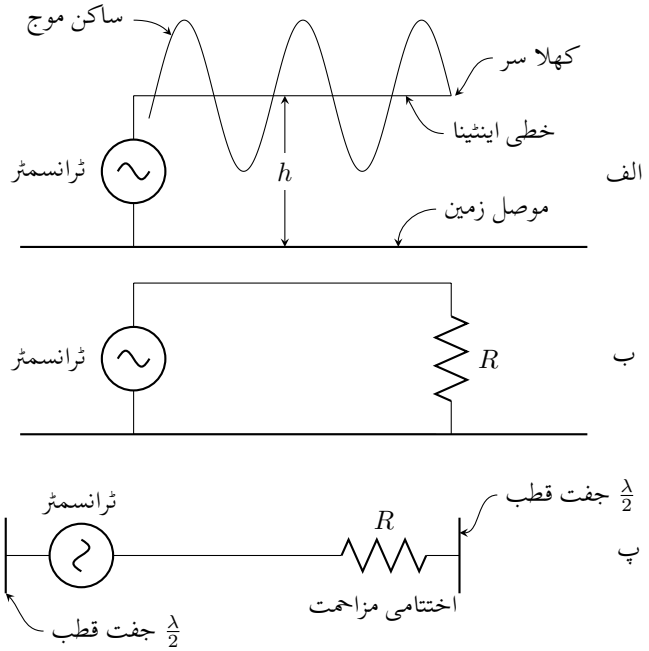

شکل 14.18: مسلسل موج اینٹینا۔

14.14 چلتے موج اینٹینا

گزشتہ حصے میں خطی اینٹینا پر سائن نما برقی رو تصور کیا گیا۔ایسی دبلی موصل تار، جس کا قطر d طول موج λ سے بہت کم ہو $d < \frac{\lambda}{100}$ اور جس کا آخری سرا کھلے سرے ہو، کے برقی رو کی شکل تقریباً ایسی ہی ہوتی ہے۔

کئی طول موج لمبی خطی اینٹینا موصل زمین کے متوازی h اونچائی پر پائی جاتی ہے۔ جیسے شکل 14.18-الف میں دکھایا گیا ہے، اس کو بائیں جانب سے ٹرانسمٹر[51] طاقت مہیا کرتا ہے۔ خطی اینٹینا اور موصل زمین مل کر کھلے سرے ترسیلی تار کا کردار ادا کرتے ہیں۔یوں کھلے سر پر آمدی برقی رو اور یہاں سے انعکاسی برقی رو مل کر ساکن موج کو جنم دیتے ہیں جسے شکل-الف میں دکھایا گیا ہے۔تار کے کھلے سر پر برقی رو کے ساکن موج کا صفر پایا جاتا ہے جبکہ $\frac{\lambda}{4}$ فاصلے پر اس کی چوٹی پائی جاتی ہے۔یہی برقی رو گزشتہ حصے میں خطی اینٹینا پر فرض کی گئی تھی۔

آئیں اب ترسیلی تار کے قدرتی رکاوٹ کے برابر مزاحمت R، تار کے کھلے سر اور زمین کے درمیان جوڑیں۔ایسا کرنے کے بعد اینٹینا پر انعکاسی موج پیدا نہیں ہو گی۔تار میں قابل نظرانداز ضیاع کی صورت میں پوری لمبائی پر برقی رو کی قیمت یکساں ہو گی جبکہ لمبائی جانب بڑھتا زاویائی فرق پایا جائے گا۔اس طرح قدرتی رکاوٹ کے برابر مزاحمت سے اختتام کردہ اینٹینا کو شکل 14.18-ب میں دکھایا گیا ہے۔زمین سے دور خطی اینٹینا پر ایسی ہی مسلسل موج پیدا کرنے کی ترکیب شکل 14.18-پ میں دکھائی گئی ہے جہاں $\frac{\lambda}{2}$ اینٹینا کے وسطی نقطے کو زمین تصور کیا گیا ہے۔

مسلسل موج کے اس خطی اینٹینا کو چھوٹے چھوٹے، سلسلہ وار جڑے، لمبائی جانب اخراجی جفت قطب کا مجموعہ تصور کیا جا سکتا ہے۔ایسا شکل میں دکھایا گیا ہے۔مساوات 14.127 غیر سمتی ارکان کے قطار کا تقابل پذیر نقش

$$E_n = \frac{1}{n}\frac{\sin\frac{n\psi}{2}}{\sin\frac{\psi}{2}}$$

[51] transmitter

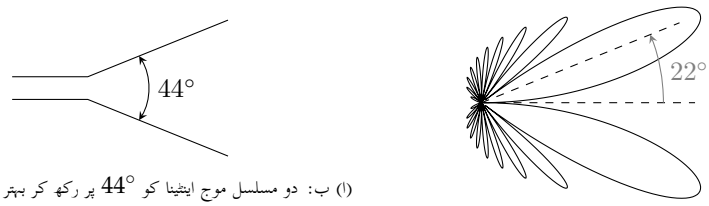

(ا) ب: دو مسلسل موج اینٹینا کو 44° پر رکھ کر بہتر سمتیت حاصل کی جاتی ہے۔

الف: خطی اختتام کردہ مسلسل موج اینٹینا۔

شکل 14.19

دیتی ہے جہاں لمبائی جانب اخراج کی صورت میں $\psi = \beta d(\cos\theta - 1)$ کے برابر ہے۔اگر انفرادی رکن کا نقش E_0 ہو تب ضرب نقش کی ترکیب سے قطار کا نقش

$$E(\theta) = \frac{E_0}{n}\frac{\sin\frac{n\psi}{2}}{\sin\frac{\psi}{2}}$$

لکھا جا سکتا ہے۔انتہائی چھوٹے جفت قطب کا نقش $E_0 = \sin\theta$ ہے لہٰذا لمبے اینٹینا $L = d(n-1) \approx nd$ کے لئے

$$E(\theta) = \frac{\sin\theta}{n}\frac{\sin[\frac{\beta L}{2}(\cos\theta - 1)]}{\sin[\frac{\beta L}{2n}(\cos\theta - 1)]} \tag{14.181}$$

لکھا جائے گا۔یہ اینٹینا لمبائی جانب اخراج کرتا ہے لہٰذا θ کی قیمت زیادہ نہیں ہو گی۔ایسی صورت میں مندرجہ بالا مساوات کو

$$E(\theta) = \sin\theta\frac{\sin[\beta L/2(\cos\theta - 1)]}{\beta L/2(\cos\theta - 1)} \tag{14.182}$$

لکھا جا سکتا ہے۔

شکل 14.19-الف میں $n = 20$ اور $d = \frac{\lambda}{4}$ کی صورت میں حاصل 4.75λ لمبائی کے اینٹینا کی شعاع دکھائی گئی ہے۔مرکزی شعاع $\theta = 22^\circ$ پر پائی جاتی ہے۔جیسا شکل-ب میں دکھایا گیا ہے، دو عدد ایسے اینٹینا کو آپس میں 44° کے میکانی زاویے پر رکھنے سے یک سمتی اینٹینا حاصل ہو گا جسے دو تار کے ترسیلی تار سے طاقت مہیا کی جا سکتی ہے۔دونوں کے قریبی شعاع مل کر بہتر سمتیت دیتی ہے۔

زمین کے متوازی اینٹینا کا عمودی شعاع حاصل کرنے کی خاطر زمین میں اینٹینا کے عکس کو بھی مد نظر رکھا جائے گا۔

14.15 چھوٹا گھیرا اینٹینا

شکل 14.20-الف میں d قطر کا **گھیرا اینٹینا**[52] دکھایا گیا ہے جس میں I برقی رو گزر رہی ہے۔دائرے کا قطر طول موج سے بہت کم $d \ll \lambda$ ہے لہٰذا پورے گول دائرے پر یک قیمت اور ہم قدم برقی رو تصور کی جا سکتی ہے۔اس چھوٹے گول دائرے کو شکل-ب کا چکور تصور کرتے ہوئے، دور میدان حاصل کرتے ہیں۔چکور اور گول دائرے کے رقبے برابر

$$S = s^2 = \frac{\pi d^2}{4} \tag{14.183}$$

[52] loop antenna

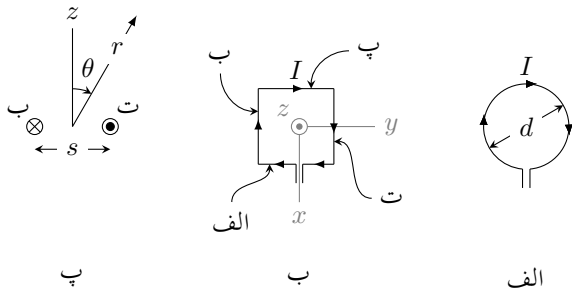

شکل 14.20: دائرہ اور چکور اینٹینا

لئے جاتے ہیں۔ چکور کے چار اطراف کو چار جفت قطب تصور کرتے ہوئے دور میدان حاصل کیا جائے گا۔ چکور کو کار تیسی محدد کے مرکز پر $z = 0$ سطح پر رکھتے ہوئے $x = 0$ سطح پر دور میدان حاصل کیا جائے گا۔ سطح $x = 0$ پر چکور کے اطراف الف اور پ برابر مگر الٹ سمت میں میدان پیدا کرتے ہیں لہٰذا ان کا مجموعہ صفر کے برابر ہے۔ اطراف ب اور ت بطور مختصر جفت قطب کردار ادا کرتے ہیں جن کا نقش $x = 0$ سطح پر غیر سمتی ہے لہٰذا انہیں دو غیر سمتی جفت قطب تصور کیا جا سکتا ہے۔ ایسا ہی شکل-پ میں دکھایا گیا ہے جہاں سے دور میدان

$$E(\theta) = E_2 e^{-j\frac{\psi}{2}} - E_4 e^{j\frac{\psi}{2}}$$

لکھا جا سکتا ہے۔ اس مساوات میں $E_2 = E_4$ اور $\psi = \beta s \sin\theta$ ہیں۔ یوں

$$E(\theta) = -j2E_2 \sin\left(\frac{\beta s}{2}\sin\theta\right)$$

لکھا جا سکتا ہے جسے $s \ll \lambda$ کی صورت میں

$$E(\theta) = -jE_2\beta s \sin\theta \tag{14.184}$$

لکھا جا سکتا ہے۔ صفحہ 516 پر دیے گئے جدول 14.1 سے مختصر جفت قطب کے دور میدان E_θ کے حیطے کو E_2 کی جگہ پر کرتے ہوئے

$$E(\theta) = \frac{60\pi I l}{r\lambda}\beta s \sin\theta \tag{14.185}$$

حاصل ہوتا ہے۔ شکل 14.20-پ میں جفت قطب کی لمبائی $l = s$ ہے جبکہ چکور کا رقبہ $S = s^2$ ہے لہٰذا

$$E(\theta) = \frac{120\pi^2 I}{r}\frac{S}{\lambda^2}\sin\theta \tag{14.186}$$

لکھا جا سکتا ہے۔ مندرجہ بالا مساوات S رقبے کے چھوٹے دائرے یا چکور کا دور میدان دیتی ہے۔ چکور کا قطر جتنا کم ہو یہ مساوات اتنا ہی زیادہ درست میدان دیتا ہے۔ حقیقت میں S رقبے کے کسی بھی شکل کے چھوٹے بند دائرے کا دور میدان یہی مساوات دیتا ہے۔ 5043

14.16 پیچ دار اینٹینا 5044

طول موج برابر محیط کا پیچ دار لچھا لمبائی جانب اخراجی اینٹینا کا کام کرتا ہے۔ ایسے اینٹینا کی شعاع، دائری قطبیت رکھتی ہے۔ لچھے کی لمبائی اور اینٹینا کی سمتیت راست تناسب کا تعلق رکھتے ہیں۔ پیچ دار اینٹینا[53] کا قطر D، اس کا محیط C، چکر کے مابین فاصلہ d، چکر کی لمبائی l اور پیچ دار زاویہ α، اس کے اہم

[53] helical-beam antenna

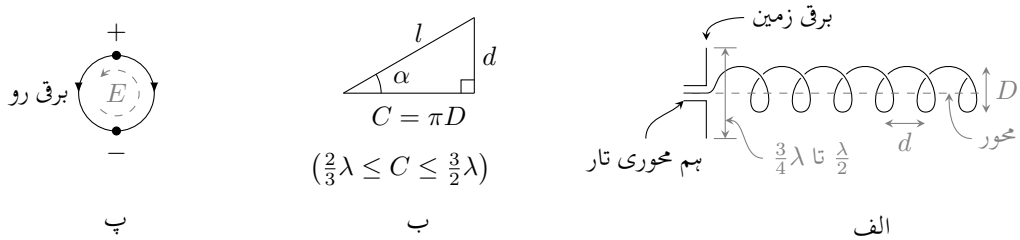

شکل 14.21: پیچ دار اینٹینا۔

ناپ ہیں۔ان تمام کو شکل 14.21 میں دکھایا گیا ہے۔ایسا لچھے جس کا محیط $C = \pi D$ تقریباً ایک طول موج (1λ) لمبا ہو پر ایک مکمل موج پائی جائے گی۔یوں نصف چکر پر برقی موج کا مثبت حصہ اور بقایا پر موج کا منفی حصہ پایا جائے گا۔ لچھے کے ایک چکر کو شکل-پ میں دکھایا گیا ہے جہاں اس پر برقی رو اور چارج دکھائے گئے ہیں جو میدان $\boldsymbol{E}$ پیدا کرتے ہیں۔جیسے جیسے برقی رو کی موج اینٹینا پر آگے حرکت کرتی ہے ویسے ویسے میدان $\boldsymbol{E}$ گھومے گا جو اینٹینا کے محور پر دائری قطبیت[54] کو جنم دے گی۔پیچ دار لچھا بطور مسلسل موج اینٹینا کردار ادا کرتا ہے اور اس کی خاصیت یہ ہے کہ اسے کسی مزاحمت سے اختتام پذیر کرنے کی ضرورت نہیں ہوتی۔اس پر برقی رو بالکل مسلسل موج اینٹینا کی مانند ہوتی ہے۔اینٹینا کے کھلے سر سے انعکاسی موج قابل نظر انداز ہونے کے ناطے، اس پر یکساں حیطے کے برقی رو کی موج خارجی جانب حرکت کرتی پائی جاتی ہے۔

پیچ دار اینٹینا کو لمبائی جانب اخراجی قطار تصور کیا جا سکتا ہے جہاں ہر چکر کو انفرادی منبع فرض کیا جاتا ہے۔ضرب نقش کے اصول سے، انفرادی منبع کا نقش ضرب غیر سمتی ارکان کے قطار کا نقش،

$$E(\theta) = \cos\theta \frac{\sin(n\psi/2)}{\sin(\psi/2)} \tag{14.187}$$

اینٹینے کا نقش دیتا ہے۔اس مساوات میں انفرادی چکر کے نقش کو $\cos\theta$ کے لگ بھگ تصور کیا گیا ہے۔مندرجہ بالا مساوات میں

$$\psi = \beta d \cos\theta - \frac{c\beta L}{v} \tag{14.188}$$

کے برابر ہے جہاں دو قریبی چکر کے مابین زاویائی فرق $\frac{c\beta L}{v}$ ہو گا جو ایک چکر گولائی L پر v رفتار سے حرکت کرتی موج کا زاویائی فرق ہے۔

مساوات 14.187 اور مساوات 14.182 کے موازنے سے معلوم ہوتا ہے کہ یہ قدر مختلف ہیں۔مساوات 14.187 میں $\cos\theta$ پایا جاتا ہے جس کی قیمت $\theta = 0$ پر زیادہ سے زیادہ ہے جو اینٹینا کا محور یعنی شعاعی اخراج کی سمت ہے۔اس کے برعکس مساوات 14.182 میں $\sin\theta$ کا جزو ضربی پایا جاتا ہے جو اینٹینا کے محور پر صفر کے برابر ہے لہٰذا اس اینٹینا کی شعاع دو شاخی ہے اور اس کی سمتیت قدر کم ہے۔

چونکہ میدان دائری قطبی اور محور کے گرد یکساں ہے لہٰذا یہی مساوات $E_\theta(\theta)$ کے علاوہ $E_\phi(\theta)$ کا نقش بھی دیتی ہے۔

کسی بھی لمبائی جانب اخراجی قطار میں تمام منبع کے میدان اینٹینا کے محور پر ہم قدم ہوتے ہیں جو

$$\psi = 0, \mp 2\pi, \mp 4\pi, \cdots \tag{14.189}$$

کی صورت میں ممکن ہوتا ہے۔پیچ دار اینٹینا میں $\psi = -2\pi$ کے برابر ہے۔ارکان کے مابین $\psi = -2\pi$ زاویائی فرق کی بنیاد پر حاصل نقش اور اصل پیچ دار اینٹینا کے ناپے گئے نقش میں خاصہ فرق پایا جاتا ہے۔پیچ دار اینٹینا کی ناپی گئی سمتیت زیادہ ہے۔ہنسن اور ووڈیارڈ[55] یہ ثابت کر چکے ہیں کہ n رکنی لمبائی جانب اخراجی قطار کی زیادہ سے زیادہ سمتیت اس صورت حاصل ہوتی ہے جب اس کے ارکان کے مابین $\psi = -2\pi - \frac{\pi}{n}$ زاویائی فرق پایا جاتا

[54] circular polarization
[55] Hansen and Woodyard

ہو۔مساوات 14.187 میں ارکان کے مابین زاویائی فرق $\psi = -2\pi - \frac{\pi}{n}$ پر کرنے سے حقیقی اینٹینا کے ناپے نقش جیسا نقش حاصل ہوتا ہے۔اس سے ثابت ہوتا ہے کہ حقیقی اینٹینا پر دو قریبی چکر کے مابین یہی زاویائی فرق پایا جاتا ہے۔اس نتیجے کو تسلیم کرتے ہوئے مساوات 14.188 سے

$$\psi = \beta d \cos\theta - \frac{c\beta L}{v} = -2\pi - \frac{\pi}{n} \tag{14.190}$$

لکھتے ہوئے

$$\frac{v}{c} = \frac{\frac{1}{\lambda}}{\frac{d}{\lambda} + \frac{2n+1}{2n}} \tag{14.191}$$

حاصل ہوتا ہے۔یوں $C = \lambda$ ، $\alpha = 12^\circ$ اور $n = 20$ کی صورت میں $\frac{v}{c} = 0.82$ ہو گی۔ حقیقی پیچ دار اینٹینا پر موج کی رفتار یہی ناپی جاتی ہے۔ایسا معلوم ہوتا ہے کہ پیچ دار اینٹینا خود بخود موج کی رفتار کو اس قیمت پر رکھتی ہے جس پر اینٹینا کی سمتیت زیادہ سے زیادہ حاصل ہو۔تین سے زیادہ چکر پر مبنی پیچ دار اینٹینا یہ عمل $(5^\circ < \alpha < 20^\circ)$ اور $(\frac{3}{4}\lambda < C < \frac{3}{2}\lambda)$ تک حاصل کرنے کی صلاحیت رکھتی ہے۔چکر کی تعداد بڑھا کر سمتیت بڑھائی جا سکتی ہے۔

پیچ دار اینٹینا کی سمتیت تقریباً

$$D = 15\left(\frac{C}{\lambda}\right)^2 \frac{nd}{\lambda} \tag{14.192}$$

کے برابر ہے۔یوں $C = \lambda$ اور $\alpha = 12^\circ$ کی صورت میں $D = 64$ ہو گی۔

پیچ دار زاویہ $\alpha = 12^\circ$ اور $d = 0.213\lambda$ کی صورت میں طول موج میں تقریباً پانچ چکر پائیں جائیں گے لہٰذا 20 چکر کا اینٹینا $= 20 \times 0.213\lambda$ 4.3λ لمبائی کا ہو گا۔اتنی لمبائی کے عام لمبائی جانب اخراجی اینٹینا کی سمتیت چار گنا سے بھی قدر کم ہوتی ہے۔

پیچ دار اینٹینا کی سمتیت زیادہ ہونے کا مطلب ہے کہ اس کی اخراجی سطح حقیقی سطح سے بہت زیادہ ہوتی ہے۔مصنوعی سیاروں پر مبنی ذرائع ابلاغ میں پیچ دار اینٹینا کلیدی کردار ادا کرتی ہے۔

14.17 دو طرفہ کردار

اینٹینا شعاع خارج کرتی ہے اور یا اسے وصول کرتی ہے۔اینٹینا کے تمام خاصیت دو طرفہ ہیں۔یوں اس کی سمتیت، اخراجی رقبہ، نقش اور اخراجی مزاحمت دونوں (اخراجی اور وصولی) صورتوں میں برابر پائے جاتے ہیں۔البتہ اینٹینا پر برقی رو اخراجی اور وصولی صورت میں مختلف صورت رکھتی ہے۔

اینٹینا کی **دو طرفہ خاصیت**[56] پر شکل 14.22 کی مدد سے غور کرتے ہیں۔دونوں اینٹینا کے درمیان غیر متحرک، خطی اور غیر سمتی خطہ پایا جاتا ہے۔شکل-الف میں پہلے اینٹینا کو صفر رکاوٹ اور f تعدد کے منبع سے طاقت مہیا کی جاتی ہے جس سے پہلے اینٹینا کے داخلی سروں پر I_1 برقی رو اور دوسرے اینٹینا کے کھلے برقی سروں پر برقی دباو V_{21} پیدا ہوتی ہے۔اگر منبع طاقت کو دوسرے اینٹینا کے ساتھ جوڑا جائے تب دوسرے اینٹینا میں I_2 برقی رو اور پہلے اینٹینا کے کھلے برقی سروں پر V_{12} برقی دباو پیدا ہو گا۔شکل-ب میں ایسا دکھایا گیا ہے۔چونکہ کسی بھی چار سروں والے برقی دور کا مساوی T دور بنانا ممکن ہے لہٰذا ان اینٹینا کے چار برقی سروں کے مابین بھی ایسا کرنا ممکن ہو گا۔شکل 14.23 میں یہ مساوی دور دکھایا گیا ہے جہاں سے

[56] reciprocity

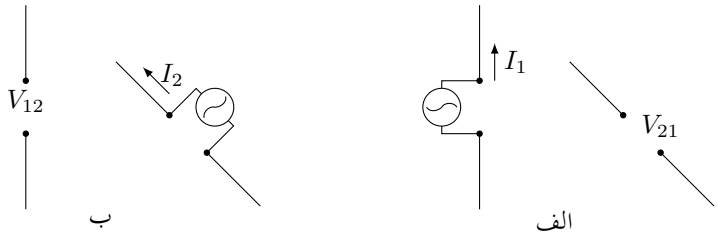

شکل 14.22: دو اینٹینا کے مابین باہمیت۔

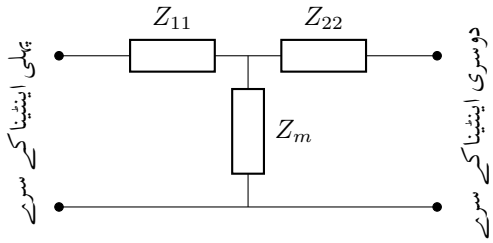

شکل 14.23: مساوی T دور۔

$$V_{21} = I_1 Z_m$$
$$V_{12} = I_2 Z_m$$

یا

$$\frac{V_{21}}{I_1} = \frac{V_{12}}{I_2} = Z_m \tag{14.193}$$

لکھا جا سکتا ہے۔دونوں اینٹینا کو برابر برقی رو $(I_1 = I_2)$ مہیا کرنے کی صورت میں

$$V_{21} = V_{12} \tag{14.194}$$

ہو گا۔

اینٹینا کی دو طرفہ خاصیت کے تحت اگر کسی ایک اینٹینا کو برقی رو I مہیا کی جائے جس سے کسی دوسرے اینٹینا میں برقی دباو V پیدا ہو تب دوسرے اینٹینا کو برقی رو I فراہم کرنے سے پہلے اینٹینا میں برقی دباو V پیدا ہو گا۔

دونوں اینٹینا کے مابین مشترکہ رکاوٹ Z_m دونوں اطراف سے برابر ہے۔

نقش

شکل 14.24 میں اینٹینا-الف شعاع خارج کر رہی ہے جبکہ اینٹینا-ب اس شعاع کو وصول کر رہی ہے۔اینٹینا-الف ساکن ہے جبکہ اینٹینا-ب اس کے گرد گول دائرے پر گھوم رہی ہے۔اینٹینا-ب پر پیدا برقی دباو، اینٹینا-الف کی نقش دے گی۔اب اگر دائرے پر گھومتی اینٹینا شعاع خارج کرے اور ساکن اینٹینا اس شعاع کو وصول کرے تو اینٹینا کے دو طرفہ خاصیت کے تحت وہی نقش دوبارہ حاصل ہو گا۔یوں کسی بھی اینٹینا کا اخراجی نقش اور وصولی نقش بالکل یکساں ہوتے ہیں۔اینٹینا کی دو طرفہ خاصیت اس کے نقش کے لئے بھی درست ثابت ہوتی ہے۔

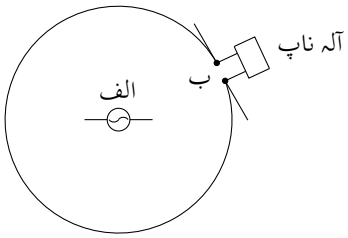

شکل 14.24: نقش کی ناپ۔

سمتیت اور اخراجی رقبہ

مساوات 14.77

$$D = \frac{4\pi}{\iint\limits_{4\pi} P_n(\theta,\phi)\,\mathrm{d}\Omega} \tag{14.195}$$

کے تحت سمتیت صرف اور صرف نقش پر منحصر ہے اور ہم دیکھ چکے ہیں کہ اینٹینا کا اخراجی نقش اور اس کا وصولی نقش بالکل یکساں ہوتے ہیں لہٰذا اس کی اخراجی سمتیت اور وصولی سمتیت بھی بالکل یکساں ہوں گے۔

اگر اخراجی سمتیت اور وصولی سمتیت برابر ہوں تب مساوات 14.101

$$D = \frac{4\pi}{\lambda^2} S_{\text{اخراجی}} \tag{14.196}$$

کے تحت اخراجی رقبہ اور وصولی رقبہ بھی برابر ہوں گے۔اینٹینا کی دو طرفہ خاصیت سمتیت اور رقبے کے لئے بھی درست ثابت ہوتی ہے۔

اخراجی مزاحمت اور وصولی مزاحمت

اخراجی اینٹینا کو صرف داخلی برقی سروں سے برقی رو مہیا کی جا سکتی ہے جبکہ وصولی اینٹینا کے تمام جسامت پر برقی دباو پیدا ہوتا ہے جس سے اینٹینا کی برقی رو عموماً اخراجی صورت سے مختلف ہو گی۔

اگر اینٹینا کو مختلف برقی رکاوٹوں کا مجموعہ تصور کیا جائے تب اگرچہ اس کے مختلف حصوں پر برقی رو مختلف ممکن ہے لیکن کسی بھی دو سروں کے مابین رکاوٹ تبدیل نہیں ہوتی۔یوں اینٹینا کے برقی سروں کے مابین برقی رکاوٹ کا دارومدار اینٹینا میں برقی رو کی صورت پر نہیں ہوتی۔اس کا اخراجی رکاوٹ اور وصولی رکاوٹ بالکل برابر ہوتے ہیں۔اینٹینا کی دو طرفہ خاصیت یہاں بھی قابل استعمال ہے۔

14.18 جھری اینٹینا

وسیع موصل چادر میں $\frac{\lambda}{2}$ لمبائی کی جھری شکل 14.25-الف میں دکھائی گئی ہے۔اگر aa' کو ترسیلی تار سے جوڑا جائے تو جھری کے گرد موصل چادر میں برقی رو کی وجہ سے شعاعی اخراج پیدا ہو گی۔جھری کو از خود موصل چادر فرض کرتے اینٹینا تصور کیا جا سکتا ہے جس کی مدد سے جھری اینٹینا[57] کا میدان

[57] slot antenna

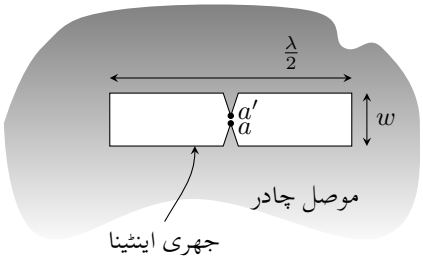

الف: موصل چادر میں جھری بطور اینٹینا کام کرتی ہے۔

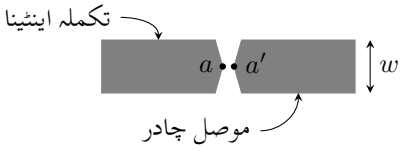

ب: تکملہ اینٹینا کی مدد سے جھری اینٹینا پر غور کیا جاتا ہے۔

شکل 14.25: جھری اینٹینا اور اس کا تکملہ اینٹینا۔

حاصل کیا جاتا ہے۔ شکل-ب میں اسی **تکملہ اینٹینا**[58] کو دکھایا گیا ہے۔ جھری اینٹینا کو aa' پر طاقت چوڑائی کے اطراف کے مابین فراہم کی جاتی ہے جبکہ تکملہ اینٹینا کو لمبائی جانب کے اطراف کے مابین طاقت aa' پر مہیا کی جاتی ہے۔ یوں ان کے میدان آپس میں $90°$ پر ہوں[59] گے۔ جھری اینٹینا کی اخراجی رکاوٹ Z_g اور تکملہ اینٹینا کی اخراجی رکاوٹ Z_d کا آپس میں تعلق

$$Z_g = \frac{Z_0^2}{4Z_d} \tag{14.197}$$

ہے جہاں $Z_0 = 120\pi$ خلاء کی قدرتی رکاوٹ ہے۔

اس طرح جفت قطب کے خصوصیات جانتے ہوئے جھری کے خصوصیات دریافت کئے جا سکتے ہیں۔ یوں اگر جھری کی چوڑائی $c \ll \lambda$ اور اس کی لمبائی $\frac{\lambda}{2}$ کر دی جائے تو تکملہ اینٹینا (صفحہ 548) کی اخراجی رکاوٹ $Z_d = 73 + j42.5$ جانتے ہوئے جھری اینٹینا کی اخراجی رکاوٹ

$$Z_g = \frac{377^2}{4 \times (73 + j42.5)} = 363 - j211\,\Omega \tag{14.198}$$

لکھی جا سکتی ہے۔

14.19 پیپا اینٹینا

شکل 14.26 میں **پیپا اینٹینا**[60] دکھایا گیا ہے جسے بائیں جانب سے مستطیلی ترسیلی تار طاقت مہیا کر رہی ہے۔ پیپا اینٹینا کو مستطیل ترسیلی تار کا کھلا منہ تصور کیا جا سکتا ہے۔ مستطیلی ترسیلی تار کا منہ بڑھانے سے اینٹینا کی اخراجی سطح بڑھانا مقصد ہے جس سے سمتیت بڑھتی ہے۔ اگرچہ پیپا کے منہ پر ہم قدم میدان ہی سے بہتر سمتیت حاصل ہو گی، حقیقت میں ایسا ہم قدم میدان حاصل کرنا ممکن نہیں ہوتا۔ یوں حقیقی اینٹینا میں پیپا کے منہ پر میدان میں فرق کو کسی مخصوص مقدار δ سے کم رکھا جاتا ہے۔ شکل-ب کو دیکھ کر

$$\cos\theta = \frac{l}{l+\delta}$$
$$\sin\theta = \frac{h}{2(l+\delta)}$$
$$\tan\theta = \frac{h}{2l}$$

---

[58] complementary antenna
[59] Booker's theory
[60] horn antenna

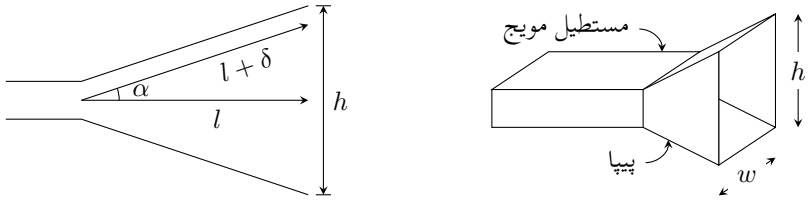

الف: پیپا اینٹینا۔ ب: پیپا اینٹینا کے اہم ناپ۔

شکل 14.26: پیپا اینٹینا اور اس کے اہم ناپ۔

لکھے جا سکتے ہیں۔ کم δ کی صورت میں ان مساوات سے

$$l = \frac{h^2}{8\delta} \tag{14.199}$$

$$\theta = \tan^{-1}\frac{h}{2l} = \cos^{-1}\frac{l}{l+\delta} \tag{14.200}$$

لکھا جا سکتا ہے۔ برقی میدان h سمت میں اور مقناطیسی میدان w سمت میں تصور کرتے ہوئے آگے پڑھیں۔ برقی میدان E کے سطح پر اس فرق کو $\delta < \frac{\lambda}{5}$ رکھا جاتا ہے جس سے پیپے کے منہ پر کل فرق $\mp 36^\circ$ تک محدود رہتا ہے جبکہ مقناطیسی میدان H کے سطح پر فرق $\delta < \frac{3\lambda}{8}$ تک محدود رکھا جاتا ہے۔ مقناطیسی میدان کے سطح پیپے کے اطراف پر برقی میدان سطح کے متوازی ہونے کی وجہ سے صفر ہوتا ہے لہٰذا میدان میں زیادہ زاویائی فرق سے دور میدان زیادہ متاثر نہیں ہوتا۔

مثال 14.11: شکل میں $h = 10\lambda$ ہے جبکہ ترسیلی تار میں TE_{10} موج پائی جاتی ہے۔ شکل میں، w اور نصف زاویے θ اور ϕ حاصل کریں۔

حل: برقی میدان کی سطح پر $\delta < \frac{\lambda}{5}$ لیتے ہوئے

$$l = \frac{h^2}{8\delta} = \frac{100\lambda^2}{8 \times \frac{\lambda}{5}} = 62.5\lambda$$

حاصل ہوتا ہے جس سے E سطح پر

$$\theta = \tan^{-1}\frac{h}{2l} = \tan^{-1}\frac{10\lambda}{2 \times 62.5\lambda} = 4.6^\circ$$

حاصل ہوتا ہے۔ مقناطیسی میدان پر $\delta < \frac{3\lambda}{8}$ لیتے ہوئے

$$\phi = \cos^{-1}\frac{62.5\lambda}{62.5\lambda + \frac{3}{8}\lambda} = 6.26^\circ$$

حاصل ہوتا ہے۔ پیپے کی چوڑائی

$$w = 2l\tan\phi = 2 \times 62.5 \times \lambda \times \tan 6.26^\circ = 13.7\lambda$$

حاصل ہوتی ہے۔

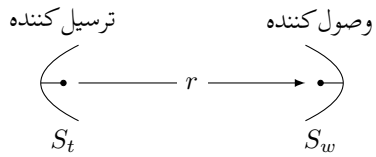

شکل 14.27: وصول کردہ طاقت کا انحصار ترسیلی اور وصولی اینٹینا کے اخراجی رقبوں پر ہے۔

14.20 فرائس ریڈار مساوات

5106

شکل 14.27 میں S_t اخراجی رقبے کا ترسیل کنندہ اور S_w اخراجی رقبے کا وصول کنندہ اینٹینا آپس میں r فاصلے پر دکھائے گئے ہیں۔اگر غیر سمتی ترسیل کنندہ P_t طاقت کی شعاع خارج کرے تب وصول کنندہ کے قریب اکائی رقبے پر

$$P = \frac{P_t}{4\pi r^2} \tag{14.201}$$

کثافت طاقت دستیاب ہو گی جس سے وصول کنندہ

$$P'_w = PS_w \tag{14.202}$$

طاقت حاصل کر پائے گا۔ترسیلی سطح S_t کے سمتی ترسیل کنندہ کی سمتیت $D = \frac{4\pi S_t}{\lambda^2}$ ہے لہٰذا اس کی شعاع سے وصول کنندہ

$$P_w = DP'_w = \frac{4\pi S_t}{\lambda^2}\frac{P_t S_w}{4\pi r^2} \tag{14.203}$$

طاقت حاصل کر پائے گا۔اس مساوات سے

$$\frac{P_w}{P_t} = \frac{S_t S_w}{\lambda^2 r^2} \tag{14.204}$$

لکھا جا سکتا ہے جہاں کسی بھی دو اینٹینا کے نظام میں مساوات کا دایاں ہاتھ بے بُعد مستقل ہے۔یہ مساوات **فرائس ترسیلی مساوات**[61] کہلاتی ہے۔آئیں اب شکل 14.28-الف پر غور کریں جہاں ترسیل کنندہ اینٹینا شعاع خارج کرتی ہے۔انعکاسی شعاع کو وصول کنندہ اینٹینا وصول کرتی ہے۔ریڈار میں عموماً ایک ہی اینٹینا دونوں کام سرانجام دیتی ہے۔شعاع کا انعکاس ہوا میں اڑتے جہاز سے ممکن ہے۔شکل 14.28-ب میں عاکس کو دو اینٹینا کی صورت میں دکھایا گیا ہے جہاں ایک اینٹینا شعاع وصول کرتے ہوئے دوسرے اینٹینا سے واپس خارج کرتا ہے۔یوں مساوات 14.204 کو دو مرتبہ استعمال کرتے ہوئے

$$\frac{P_w}{P_t} = \frac{S_t S_w S_e^2}{\lambda^4 r^4} \tag{14.205}$$

لکھا جا سکتا ہے۔اگر ایک ہی اینٹینا بطور ترسیلی اور وصولی اینٹینا استعمال کیا جائے تب

$$\frac{P_w}{P_t} = \frac{S_w^2 S_e^2}{\lambda^4 r^4} \tag{14.206}$$

لکھا جا سکتا ہے جہاں عاکس کا اخراجی رقبہ S_e ہے۔

5107

اگر عاکس وسیع جسامت کا ہو اور اس سے انعکاسی موج عین ریڈار کی سمت میں ہو تب عاکس کا اخراجی رقبہ اس کے میکانی رقبے جتنا ہو گا۔عموماً عاکس غیر سمتی اخراج کرتا ہے جس کی وجہ سے اس کا اخراجی رقبہ، اس کے میکانی رقبے سے کم ہوتا ہے۔ایسی صورت میں عاکس کے وصولی رقبے کو σ لکھتے ہوئے مساوات 14.204 سے عاکس کی حاصل کردہ طاقت

$$\frac{P}{P_t} = \frac{S_t \sigma}{\lambda^2 r^2} \tag{14.207}$$

[61] Friis transmission equation

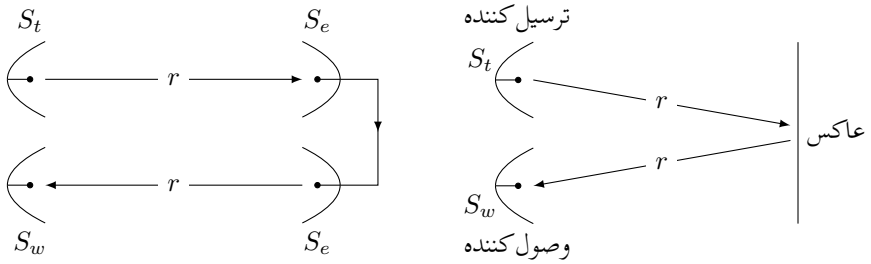

ب: عاکس کو اینٹینا فرض کیا گیا ہے۔

الف: عاکس سے انعکاسی موج کی وصولی۔

شکل 14.28: ریڈار اینٹینا شعاع خارج کر کے انعکاسی موج وصول کرتا ہے۔

لکھی جائے گی۔یہی طاقت غیر سمتی خارج کی جائے گی۔غیر سمتی اینٹینا کا اخراجی رقبہ $S = \frac{\lambda^2}{4\pi}$ ہوتا ہے۔یہی عاکس کی اخراجی رقبہ لیتے ہوئے مساوات 14.206 میں $S_e^2 = S\sigma$ لکھتے ہوئے

$$\frac{P_w}{P_t} = \frac{S_w^2 S\sigma}{\lambda^4 r^4} \tag{14.208}$$

یعنی

$$\frac{P_w}{P_t} = \frac{S_w^2 \sigma}{4\pi\lambda^2 r^4} \tag{14.209}$$

حاصل ہوتا ہے جہاں σ ریڈار رقبہ تراش[62] کہلاتا ہے۔یہ ریڈار مساوات[63] کہلاتی ہے۔

بڑی جسامت کی موصل کرہ، جس کا رداس a ہو، کی ریڈار رقبہ تراش اس کے میکانی رقبہ تراش πa^2 کے برابر ہوتی ہے۔غیر کامل عاکس کی صورت میں ریڈار رقبی تراش نسبتاً کم ہو گا، مثلاً ایک میٹر طول موج پر چاند کا ریڈار رقبہ تراش تقریباً $\frac{1}{10}$ گنا حاصل ہوتا ہے۔

مثال 14.12: ایک ٹی وی اسٹیشن موصل زمین پر کھڑے 200 m قد کے اینٹینا سے 1 kW کی طاقت سے نشریات کرتی ہے۔افقی سطح پر اینٹینا غیر سمتی ہے جبکہ عمودی سمت میں اس کی نصف طاقت چوڑائی $10°$ ہے۔طول موج 1 m ہونے کی صورت میں 4 km دور کتنی اونچائی پر اینٹینا بہترین وصولی کر پائے گا۔وصول کردہ طاقت کا بھی تخمینہ لگائیں۔وصولی اینٹینا مندرجہ ذیل فرض کرتے ہوئے حل کریں۔

- عمودی قطبی اینٹینا جس کی سمتیت 4 کے برابر ہے۔
- افقی قطبی اینٹینا جس کی سمتیت 4 کے برابر ہے۔
- دائری قطبی 6 چکر کا پیچ دار اینٹینا جس کا $\alpha = 12.5°$ اور چکر کے مابین فاصلہ 0.22λ ہے۔

حل: شکل میں صورت حال دکھائی گئی ہے۔موصل زمین سے انعکاس پر زمین کے متوازی برقی میدان میں $180°$ کی تبدیلی رونما ہو گی۔یوں اگر وصولی اینٹینا زمین کے بالکل قریب ہو تب افقی قطبی میدان کی صورت میں یہ صفر طاقت وصول کر پائے گا جبکہ عمودی قطبیت کی صورت میں اسے سیدھی رسائی کے علاوہ زمین سے انعکاسی میدان بھی میسر ہو گا۔یوں کل میدان دگنا اور طاقت چار گنا ہو گا۔

---

[62] radar cross section
[63] radar equation

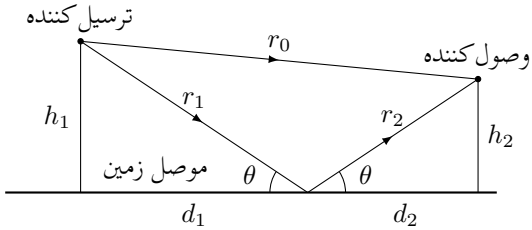

شکل 14.29: سیدھی آمد موج اور انعکاسی موج کے اثرات۔

شکل 14.29 کو دیکھتے ہوئے کہہ سکتے ہیں کہ کسی بھی h پر اگر

$$r_1 + r_2 - r_0 = n\lambda \qquad (n = 0, 1, 2, \cdots) \tag{14.210}$$

ہو تب افقی قطبی میدان صفر پایا جائے گا جبکہ عمودی قطبی میدان دگنا ہو گا۔اسی طرح جب بھی

$$r_1 + r_2 - r_0 = n\frac{\lambda}{2} \qquad (n = 1, 3, 5, \cdots) \tag{14.211}$$

ہو تب افقی قطبی میدان دگنا اور عمودی قطبی میدان صفر پایا جائے گا۔ان حقائق سے ظاہر ہے کہ زیادہ سے زیادہ افقی قطبی میدان کے دو قریبی نقطوں کے درمیانی نقطے پر زیادہ سے زیادہ عمودی قطبی میدان پایا جاتا ہے۔

بایاں دائری قطبی موج انعکاس کے بعد دایاں دائری قطبی ہوتا ہے۔اسی طرح دایاں دائری قطبی موج انعکاس کے بعد بایاں دائری قطبی ہوتا ہے۔یوں اگر ترسیلی اینٹینا دایاں دائری قطبی ہو تب دایاں دائری قطبی اینٹینا صرف سیدھے آمدی میدان کو وصول کر پائے گا جبکہ بایاں دائری قطبی اینٹینا صرف انعکاسی میدان کو وصول کر پائے گا۔یوں دونوں اقسام کے دائری قطبی اینٹینا اکائی میدان حاصل کریں گے۔ترسیلی اینٹینا بایاں قطبی ہونے کی صورت میں بایاں قطبی وصولی اینٹینا سیدھے آمد میدان کو وصول کرے گا جبکہ دایاں قطبی اینٹینا انعکاسی میدان کو وصول کرے گا۔

افقی اور عمودی قطبی اینٹینوں کی صورت میں وصولی اینٹینا کی اونچائی تبدیل کرنے سے میدان صفر تا دگنا حاصل کرنا ممکن ہے جبکہ دائری قطبی اینٹینا کی صورت میں وصول طاقت کا دارومدار اینٹینا کی اونچائی پر نہیں ہوتا۔دائری اینٹینا ہر صورت اکائی میدان حاصل کرتی ہے۔

چونکہ آمدی اور انعکاسی زاویے برابر ہوتے ہیں لہٰذا شکل میں آمدی تکون اور انعکاسی تکون یکساں ہیں۔یوں $(r_1 + r_2 - r_0)$ کی قیمت $\frac{2h_1h_2}{d}$ لکھی جا سکتی ہے۔یوں عمودی قطب میدان کی زیادہ سے زیادہ قیمت

$$h_2 = \frac{d\lambda}{2h_1} = \frac{4 \times 10^3 \times 1}{2 \times 200} = 10\,\mathrm{m}$$

کی صورت میں حاصل ہو گی جس سے افقی قطبی میدان کی زیادہ سے زیادہ قیمت کی اونچائی 5، 15، 25، $\cdots$ میٹر لکھی جا سکتی ہے۔

فرائس کی مساوات سے، ایک راہ سے موصول طاقت

$$P_w = \frac{P_t A_t A_w}{r^2\lambda^2} = \frac{10^3 \times 0.32 \times 0.91}{16 \times 10^6 \times 1} = 18\,\mu\mathrm{W}$$

حاصل ہوتی ہے جہاں ترسیلی اینٹینا کی سمتیت

$$D = \frac{4\pi}{\theta_{HP}\phi_{HP}} = \frac{4\pi}{\frac{360\times\pi}{180} \times \frac{10\times\pi}{180}} = 11.459$$

لیتے ہوئے اس کا اخراجی رقبہ

$$A_t = \frac{\lambda^2}{4\pi} D = 0.91\,\mathrm{m}^2$$

اور وصولی اینٹینا کا وصولی رقبہ

$$A_w = \frac{\lambda^2}{4\pi} D = \frac{1^2 \times 4}{4\pi} = 0.32\,\mathrm{m}^2$$

لئے گئے ہیں۔ سیدھی آمد اور انعکاسی آمد میدان مل کر زیادہ سے زیادہ طاقت 4 گنا کر دیتی ہیں۔ یوں افقی قطبی اور عمودی قطبی اینٹینا کی صورت میں زیادہ سے زیادہ وصول کردہ طاقت 72 μW ہو گا جبکہ دونوں صورتوں میں کم سے کم حاصل کردہ طاقت صفر ہو گا۔

دائری قطبی صورت میں وصولی اینٹینا کی سمتیت

$$D = 15\left(\frac{C}{\lambda}\right)^2 \frac{nd}{\lambda} = 15\left(\frac{\frac{0.22}{\tan 12.5^\circ}}{1}\right)^2 \times \frac{6 \times 0.22}{1} = 19.5$$

اور وصولی رقبہ

$$A_w = \frac{\lambda^2 D}{4\pi} = 1.55\,\mathrm{m}^2$$

ہیں لہٰذا ہر اونچائی پر وصول کردہ طاقت

$$P_w = \frac{1.55}{0.32} \times 18 = 87\,\mu\mathrm{W}$$

ہو گا۔

وصول کردہ طاقت کا تخمینہ لگاتے ہوئے ہم نے اینٹینوں کے درمیان فاصلے کو چار کلو میٹر ہی تصور کیا اگرچہ حقیقی فاصلے قدر مختلف ہیں۔ چار کلو میٹر کے فاصلے پر چند میٹر کم یا زیادہ سے حاصل جواب میں کوئی خاص تبدیلی پیدا نہیں ہوتی۔

14.21 ریڈیائی دوربین، اینٹینا کی حرارت اور تحلیلی کارکردگی

کسی بھی برقی مزاحمت R میں حرارت T کی وجہ سے آزاد چارج حرکت کرتے ہیں جس سے مزاحمت میں حراری شور[64] پیدا ہوتا ہے۔ ایسی مزاحمت کے برقی سروں پر B تعددی پٹی پر

$$W = kBT \tag{14.212}$$

طاقت شور[65] پایا جاتا ہے۔ اکائی تعددی پٹی پر یوں

$$w = kT \tag{14.213}$$

طاقت شور پایا جائے گا جہاں

---

[64] thermal noise
[65] noise power

w اکائی تعددی پٹی پر شور کی طاقت، $\frac{\mathrm{W}}{\mathrm{Hz}}$

k بولٹزمن کا مستقل، $1.38 \times 10^{-23}\ \frac{\mathrm{J}}{\mathrm{K}}$

B تعددی پٹی، Hz

T مزاحمت کی حتمی حرارت، K

ہیں۔ T کو حرارت شور[66] کہا جاتا ہے۔ برابر تعددی پٹی پر برابر طاقت شور پایا جاتا ہے۔

اگر برقی مزاحمت R کے برابر اخراجی مزاحمت ($R_{\text{اخراجی}} = R$) کے اینٹینا کے برقی سروں پر طاقت شور ناپی جائے تو یہ مزاحمت پر ناپی گئی طاقت شور سے مختلف ہو گی۔ اینٹینا کے سروں پر طاقت شور، خلاء کے اس خطے کی حرارت T سے پیدا شور ہو گا جہاں سے اینٹینا طاقت وصول کر رہا ہو۔ اس طاقت شور کا اینٹینا کی حرارت سے کوئی تعلق نہیں۔ یوں اینٹینا کو بطور بعید پیما حرارت[67] استعمال کیا جا سکتا ہے۔

ایک سنٹی میٹر طول موج کے ریڈیائی دوربین کی مرکز نگاہ آسمان کے ایسے خطوں پر رکھی جا سکتی ہے جہاں حتمی حرارت 0 K کے قریب قریب ہوتی ہے۔ ایسی صورت میں طاقت شور آسمان کی حرارت سے پیدا ہو گا نا کہ اینٹینا کے حرارت سے جو 300 K کے لگ بھگ ہو گی۔ ریڈیائی دوربین کی طاقت شور فی تعدد

$$w = kT_A \qquad \left(\frac{\mathrm{W}}{\mathrm{Hz}}\right) \tag{14.214}$$

لکھی جاتی ہے جہاں T_A اینٹینا کی حراری شور ہے جسے عموماً حرارت اینٹینا[68] یا اخراجی مزاحمت کی حرارت کہا جاتا ہے۔ حرارت اینٹینا وہ خطہ کرتی ہے جس پر اینٹینا کے نقش کی نظر ہو۔ یوں اینٹینا کی مدد سے دور آسمان کے خطوں کی حرارت ناپنا ممکن ہے۔ ہم نے اس پورے بحث میں یہ فرض کر رکھا ہے کہ اینٹینا بے ضیاع ہے اور یہ آسمان کی طرف نظر رکھے ہوئے ہے۔ یوں انعکاسی شعاع اور ثانوی شعاع کو رد کیا گیا ہے۔

ریڈیائی دوربین کو استعمال کرتے ہوئے کثافت طاقت شور فی تعدد

$$p = \frac{w}{S_e} = \frac{kT_A}{S_e} \qquad \left(\frac{\mathrm{W}}{\mathrm{m^2\,Hz}}\right) \tag{14.215}$$

کا استعمال زیادہ سودمند ثابت ہوتا ہے جسے پوئنٹنگ سمتیہ فی تعدد تصور کیا جا سکتا ہے۔

اگر ہمیں منبع شور کی زاویائی وسعت Ω_M معلوم ہو اور یہ Ω_A کی نسبت سے کم ہو تب منبع کی حرارت

$$\frac{T_A}{T_M} = \frac{\Omega_M}{\Omega_A} \tag{14.216}$$

سے حاصل کی جا سکتی ہے۔ یاد رہے کہ T_A کا اینٹینا کی حرارت سے کوئی تعلق نہیں۔

مثال 14.13: مریخ[69] پر مرکز نگاہ رکھتے ہوئے 15 m لمبی ریڈیائی دوربین کی اینٹینا حرارت 31.5 mm طول موج پر 0.24 K ناپی جاتی ہے۔ اینٹینا پر مریخ 0.005° زاویہ بناتا ہے اور اینٹینا کا نصف طاقت زاویہ 0.116° ہیں۔ مریخ کی حرارت دریافت کریں۔

---

[66] noise temperature
[67] remote temperature sensor
[68] antenna temperature
[69] Mars

حل: مساوات 14.216 سے مریخ کی حرارت

$$T_M = \frac{\Omega_A}{\Omega_M} T_A \approx \frac{0.116^2}{\pi(0.005^2/4)} 0.24 = 164\,\mathrm{K}$$

حاصل ہوتی ہے۔

14.22 حرارت نظام اور حرارت بعید

حرارت اینٹینا سے اس خطے کی حرارت حاصل کی جا سکتی ہے جس پر اینٹینا کا مرکز نگاہ ہو۔یوں اینٹینا کو بعید پیما حرارت استعمال کیا جا سکتا ہے۔ایک سنٹی میٹر طول موج کے ریڈیائی دوربین کی نگاہ، ستاروں سے خالی آسمان کے خطے پر رکھتے ہوئے انتہائی کم اینٹینا حرارت حاصل کی جا سکتی ہے۔آسمان کو دیکھتے ہوئے کم تر حرارت 3 K حاصل ہوتی جو کائنات کی ابتدائی دھماکے[70] کی بقیہ حرارت[71] ہے۔اگر اینٹینا کے سامنے ستارہ موجود ہو تب بقیہ حرارت سے زیادہ حرارت ناپی جائے گی۔ایک میٹر طول موج پر ہماری کہکشاں کی حرارت کئی ہزار کیلون ناپی جاتی ہے۔ہم حراری[72] شور کی حرارت ناپنے کی بات کر رہے ہیں۔یہ کامل اخراجی-وصولی خاصیت کے جسم کی حرارت ہے۔ایسے جسم کو سیاہ جسم[73] کہا جاتا ہے۔یوں اگر اینٹینا کی پوری وصولی نقش کے خطے میں گرم کوئلے یا سیاہ دھات کا کرہ پایا جائے، تو اینٹینا سے کرہ کی ناپی گئی حرارت وہی ہو گی جو تھرمامیٹر[74] سے ناپی جائے گی۔اس کے برعکس ترسیلی اینٹینا کی ناپی گئی اینٹینا حرارت غیر یقینی طور پر زیادہ حاصل ہوتی ہے۔

مثال کے طور پر اگر قریب ریڈیو اسٹیشن کی نشریات، $10\,\mathrm{m}^2$ وصولی رقبے اور $10\,\mathrm{kHz}$ تعددی پٹی کے وصولی اینٹینا کے قریب $10\,\frac{\mu\mathrm{V}}{\mathrm{m}}$ کا میدان پیدا کرے تو وصولی اینٹینا کی کل وصول کردہ طاقت

$$W = \frac{E^2}{Z_0} S_e = \frac{10^{-10}}{377} \times 10 = 2.65\,\mathrm{pW}$$

ہو گی جسے مساوات 14.212 میں پر کرتے ہوئے

$$T = \frac{W}{kB} = \frac{2.65 \times 10^{-12}}{1.38 \times 10^{-23} \times 10^4} = 1.9 \times 10^7\,\mathrm{K}$$

حاصل ہوتی ہے۔اس مثال میں آپ نے دیکھا کہ صرف $10\,\frac{\mu\mathrm{V}}{\mathrm{m}}$ کا میدان $1.9 \times 10^7\,\mathrm{K}$ کی اینٹینا حرارت پیدا کر سکتا ہے۔یہ اتنی بڑی مقدار ہے کہ اس کی موجودگی میں بقایا نظام کی حرارت، جسے حرارت نظام[75] پکارا جاتا ہے، کو نظر انداز کیا جا سکتا ہے۔البتہ، ریڈیائی دوربین اتنی کم طاقت کے اشارات پر کام کرتے ہیں کہ ان میں حرارت نظام انتہائی اہم ہوتا ہے۔اس کا اندازہ آپ یوں کر سکتے ہیں کہ ریڈیائی دوربین کے استعمال میں کثافت طاقت فی ہرٹز کی اکائی جانسکی[76] ہے جہاں $1\,\mathrm{Ja} = 10^{-26}\,\frac{\mathrm{W}}{\mathrm{m}^2\,\mathrm{Hz}}$ کے برابر ہے۔

[70] big bang
[71] residual temperature
[72] thermal
[73] blackbody
[74] thermometer
[75] system temperature
[76] Jansky

سوالات

سوال 14.1: 1.5λ لمبے خطی اینٹینا کا اخراجی مزاحمت حاصل کریں۔ایسا کرنے کی خاطر آپ کو صفحہ 547 پر دیے جدول 14.2 کے طرز کا جدول حاصل کرنا ہو گا۔

جواب: $100\,\Omega$

سوال 14.2: یکساں غیر سمتی منبع پر مبنی قطار میں ارکان کے درمیان $d = \frac{\lambda}{4}$ ہے۔مرکزی شعاع $\theta = 30^\circ$ پر حاصل کرنے کی خاطر ارکان کے مابین زاویائی فرق δ حاصل کریں۔

جواب: $1.36\,\text{rad}$

سوال 14.3: تداخل پیما میں جفت قطب کے مابین فاصلہ 10λ ہونے کی صورت میں پہلے صفر چوڑائی حاصل کریں۔

جواب: 5.7°

باب 15

5198

سوالات

5199

ترچھی آمد

5200

جدول 15.1: σ

چیز	$\sigma, \frac{\mathrm{S}}{\mathrm{m}}$	چیز	$\sigma, \frac{\mathrm{S}}{\mathrm{m}}$
چاندی	6.17×10^7	گریفائٹ	7×10^4
تانبا	5.80×10^7	سلیکان	1200
سونا	4.10×10^7	فیرائٹ (عمومی قیمت)	100
المونیم	3.82×10^7	سمندری پانی	5
ٹنگسٹن	1.82×10^7	چھونا پتھر	10^{-2}
جست	1.67×10^7	چکنی مٹی	5×10^{-3}
پیتل	1.50×10^7	تازہ پانی	10^{-3}
نکل	1.45×10^7	مقطر پانی	10^{-4}
لوہا	1.03×10^7	ریتیلی مٹی	10^{-5}
قلعی	0.70×10^7	سنگ مرمر	10^{-8}
کاربن سٹیل	0.60×10^7	بیک لائٹ	10^{-9}
مینگنین	0.227×10^7	چینی مٹی	10^{-10}
جرمینیم	0.22×10^7	ہیرا	2×10^{-13}
سٹینلس سٹیل	0.11×10^7	پولیسٹرین پلاسٹک	10^{-16}
نائیکروم	0.10×10^7	کوارٹس	10^{-17}

جدول 15.2: $\sigma/\omega\epsilon$ and ϵ_R

$\sigma/\omega\epsilon$	ϵ_R	چیز
	1	خالی خلاء
	1.0006	ہوا
0.0006	8.8	المونیم اکسائڈ
0.002	2.7	عنبر
0.022	4.74	بیک لائٹ
	1.001	کاربن ڈائی آکسائڈ
	16	جرمینیم
0.001	7 تا 4	شیشہ
0.1	4.2	برف
0.0006	5.4	ابرق
0.02	3.5	نائلون
0.008	3	کاغذ
0.04	3.45	پلیکسی گلاس
0.0002	2.26	پلاسٹک (تھیلا بنانے والا)
0.000 05	2.55	پولیسٹرین
0.014	6	چینی مٹی
0.0006	4	پائریکس شیشہ (برتن بنانے والا)
0.000 75	3.8	کوارٹس
0.002	3 تا 2.5	ربڑ
0.000 75	3.8	سلیکا SiO_2
	11.8	سلیکان
0.5	3.3	قدرتی برف
0.0001	5.9	کھانے کا نمک
0.07	2.8	خشک مٹی
0.0001	1.03	سٹائروفوم
0.0003	2.1	ٹیفلان
0.0015	100	ٹائٹینیم ڈائی آکسائڈ
0.04	80	مقطر پانی
4		سمندری پانی
0.01	4 تا 1.5	خشک لکڑی

جدول 15.3: μ_R

چیز	μ_R
بسمت	0.999 998 6
پیرافین	0.999 999 42
لکڑی	0.999 999 5
چاندی	0.999 999 81
المونیم	1.000 000 65
بیریلیم	1.000 000 79
نکل	50
ڈھلواں لوہا	60
مشین سٹیل	300
فیرائٹ (عمومی قیمت)	1000
پرم بھرت (permalloy)	2500
ٹرانسفارمر پتری	3000
سیلکان لوہا	3500
خالص لوہا	4000
میو میٹل (mumetal)	20 000
سنڈسٹ (sendust)	30 000
سوپرم بھرت (supermalloy)	100 000

جدول 15.4: اہم مستقل

چیز	علامت	قیمت
الیکٹران چارج	e	$(1.602\,189\,2 \mp 0.000\,004\,6) \times 10^{-19}\,\mathrm{C}$
الیکٹران کمیت	m	$(9.109\,534 \mp 0.000\,047) \times 10^{-31}\,\mathrm{kg}$
برقی مستقل (خالی خلاء)	ϵ_0	$(8.854\,187\,818 \mp 0.000\,000\,071) \times 10^{-12}\,\frac{\mathrm{F}}{\mathrm{m}}$
مقناطیسی مستقل (خالی خلاء)	μ_0	$4\pi 10^{-7}\,\frac{\mathrm{H}}{\mathrm{m}}$
روشنی کی رفتار (خالی خلاء)	c	$(2.997\,924\,574 \mp 0.000\,000\,011) \times 10^{8}\,\frac{\mathrm{m}}{\mathrm{s}}$